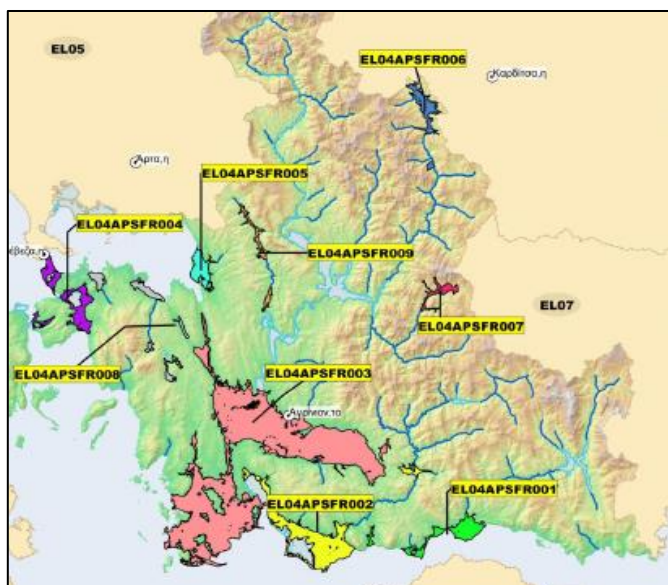




ΕΛΛΗΝΙΚΗ ΔΗΜΟΚΡΑΤΙΑ



**ΓΕΝΙΚΗ ΓΡΑΜΜΑΤΕΙΑ ΦΥΣΙΚΟΥ ΠΕΡΙΒΑΛΛΟΝΤΟΣ
ΚΑΙ ΥΔΑΤΩΝ
ΓΕΝΙΚΗ ΔΙΕΥΘΥΝΣΗ ΥΔΑΤΩΝ**



**1^η ΑΝΑΘΕΩΡΗΣΗ
ΣΧΕΔΙΟΥ ΔΙΑΧΕΙΡΙΣΗΣ ΚΙΝΔΥΝΩΝ ΠΛΗΜΜΥΡΑΣ
των Λεκάνών Απορροής Ποταμών του
Υδατικού Διαμερίσματος Δυτικής Στερεάς Ελλάδας (EL04)**

Στάδιο 1 – Παραδοτέο 4

ΠΛΗΜΜΥΡΙΚΑ ΥΔΡΟΓΡΑΦΗΜΑΤΑ

**Παράρτημα Π4.4:
Υδρολογική Ανάλυση λεκάνης Ποταμού Ευήνου**



Ευρωπαϊκή Ένωση
Ταμείο Συνοχής



Με τη συγχρηματοδότηση της Ελλάδας και της Ευρωπαϊκής Ένωσης

Περιεχόμενα

| | |
|---|-------------------|
| <u>1 ΜΟΝΤΕΛΟ ΥΔΡΟΛΟΓΙΚΗΣ ΠΡΟΣΟΜΟΙΩΣΗΣ ΛΕΚΑΝΗΣ ΑΠΟΡΡΟΗΣ</u> | <u>4</u> |
| <u>2 ΔΕΔΟΜΕΝΑ ΕΙΣΟΔΟΥ ΚΑΙ ΑΠΟΤΕΛΕΣΜΑΤΑ ΥΔΡΟΛΟΓΙΚΟΥ ΣΕΝΑΡΙΟΥ T=50</u> | <u>10</u> |
| 2.1 ΑΠΟΤΕΛΕΣΜΑΤΑ, ΥΕΤΟΓΡΑΦΗΜΑΤΑ ΚΑΙ ΥΔΡΟΓΡΑΦΗΜΑΤΑ ΣΧΕΔΙΑΣΜΟΥ ΥΠΟΛΕΚΑΝΩΝ | 11 |
| 2.2 ΔΕΔΟΜΕΝΑ ΚΑΙ ΥΔΡΟΓΡΑΦΗΜΑΤΑ ΣΧΕΔΙΑΣΜΟΥ ΚΛΑΔΩΝ ΥΔΡΟΓΡΑΦΙΚΟΥ ΔΙΚΤΥΟΥ | 68 |
| 2.3 ΔΕΔΟΜΕΝΑ ΚΑΙ ΥΔΡΟΓΡΑΦΗΜΑΤΑ ΣΧΕΔΙΑΣΜΟΥ ΚΛΑΔΩΝ ΥΔΡΟΓΡΑΦΙΚΟΥ ΔΙΚΤΥΟΥ | 97 |
| <u>3 ΔΕΔΟΜΕΝΑ ΕΙΣΟΔΟΥ ΚΑΙ ΑΠΟΤΕΛΕΣΜΑΤΑ ΥΔΡΟΛΟΓΙΚΟΥ ΣΕΝΑΡΙΟΥ T=50L</u> | <u>128</u> |
| 3.1 ΑΠΟΤΕΛΕΣΜΑΤΑ, ΥΕΤΟΓΡΑΦΗΜΑΤΑ ΚΑΙ ΥΔΡΟΓΡΑΦΗΜΑΤΑ ΣΧΕΔΙΑΣΜΟΥ ΥΠΟΛΕΚΑΝΩΝ | 129 |
| 3.2 ΔΕΔΟΜΕΝΑ ΚΑΙ ΥΔΡΟΓΡΑΦΗΜΑΤΑ ΣΧΕΔΙΑΣΜΟΥ ΚΛΑΔΩΝ ΥΔΡΟΓΡΑΦΙΚΟΥ ΔΙΚΤΥΟΥ | 186 |
| 3.3 ΔΕΔΟΜΕΝΑ ΚΑΙ ΥΔΡΟΓΡΑΦΗΜΑΤΑ ΣΧΕΔΙΑΣΜΟΥ ΚΛΑΔΩΝ ΥΔΡΟΓΡΑΦΙΚΟΥ ΔΙΚΤΥΟΥ | 215 |
| <u>4 ΔΕΔΟΜΕΝΑ ΕΙΣΟΔΟΥ ΚΑΙ ΑΠΟΤΕΛΕΣΜΑΤΑ ΥΔΡΟΛΟΓΙΚΟΥ ΣΕΝΑΡΙΟΥ T=50U</u> | <u>246</u> |
| 4.1 ΑΠΟΤΕΛΕΣΜΑΤΑ, ΥΕΤΟΓΡΑΦΗΜΑΤΑ ΚΑΙ ΥΔΡΟΓΡΑΦΗΜΑΤΑ ΣΧΕΔΙΑΣΜΟΥ ΥΠΟΛΕΚΑΝΩΝ | 247 |
| 4.2 ΔΕΔΟΜΕΝΑ ΚΑΙ ΥΔΡΟΓΡΑΦΗΜΑΤΑ ΣΧΕΔΙΑΣΜΟΥ ΚΛΑΔΩΝ ΥΔΡΟΓΡΑΦΙΚΟΥ ΔΙΚΤΥΟΥ | 304 |
| 4.3 ΔΕΔΟΜΕΝΑ ΚΑΙ ΥΔΡΟΓΡΑΦΗΜΑΤΑ ΣΧΕΔΙΑΣΜΟΥ ΚΛΑΔΩΝ ΥΔΡΟΓΡΑΦΙΚΟΥ ΔΙΚΤΥΟΥ | 333 |
| <u>5 ΔΕΔΟΜΕΝΑ ΕΙΣΟΔΟΥ ΚΑΙ ΑΠΟΤΕΛΕΣΜΑΤΑ ΥΔΡΟΛΟΓΙΚΟΥ ΣΕΝΑΡΙΟΥ T=100</u> | <u>364</u> |
| 5.1 ΑΠΟΤΕΛΕΣΜΑΤΑ, ΥΕΤΟΓΡΑΦΗΜΑΤΑ ΚΑΙ ΥΔΡΟΓΡΑΦΗΜΑΤΑ ΣΧΕΔΙΑΣΜΟΥ ΥΠΟΛΕΚΑΝΩΝ | 365 |
| 5.2 ΔΕΔΟΜΕΝΑ ΚΑΙ ΥΔΡΟΓΡΑΦΗΜΑΤΑ ΣΧΕΔΙΑΣΜΟΥ ΚΛΑΔΩΝ ΥΔΡΟΓΡΑΦΙΚΟΥ ΔΙΚΤΥΟΥ | 422 |
| 5.3 ΔΕΔΟΜΕΝΑ ΚΑΙ ΥΔΡΟΓΡΑΦΗΜΑΤΑ ΣΧΕΔΙΑΣΜΟΥ ΚΟΜΒΩΝ ΥΔΡΟΓΡΑΦΙΚΟΥ ΔΙΚΤΥΟΥ | 451 |
| <u>6 ΔΕΔΟΜΕΝΑ ΕΙΣΟΔΟΥ ΚΑΙ ΑΠΟΤΕΛΕΣΜΑΤΑ ΥΔΡΟΛΟΓΙΚΟΥ ΣΕΝΑΡΙΟΥ T=100L</u> | <u>481</u> |
| 6.1 ΑΠΟΤΕΛΕΣΜΑΤΑ, ΥΕΤΟΓΡΑΦΗΜΑΤΑ ΚΑΙ ΥΔΡΟΓΡΑΦΗΜΑΤΑ ΣΧΕΔΙΑΣΜΟΥ ΥΠΟΛΕΚΑΝΩΝ | 482 |
| 6.2 ΔΕΔΟΜΕΝΑ ΚΑΙ ΥΔΡΟΓΡΑΦΗΜΑΤΑ ΣΧΕΔΙΑΣΜΟΥ ΚΛΑΔΩΝ ΥΔΡΟΓΡΑΦΙΚΟΥ ΔΙΚΤΥΟΥ | 539 |
| 6.3 ΔΕΔΟΜΕΝΑ ΚΑΙ ΥΔΡΟΓΡΑΦΗΜΑΤΑ ΣΧΕΔΙΑΣΜΟΥ ΚΟΜΒΩΝ ΥΔΡΟΓΡΑΦΙΚΟΥ ΔΙΚΤΥΟΥ | 568 |
| <u>7 ΔΕΔΟΜΕΝΑ ΕΙΣΟΔΟΥ ΚΑΙ ΑΠΟΤΕΛΕΣΜΑΤΑ ΥΔΡΟΛΟΓΙΚΟΥ ΣΕΝΑΡΙΟΥ T=100U</u> | <u>599</u> |
| 7.1 ΑΠΟΤΕΛΕΣΜΑΤΑ, ΥΕΤΟΓΡΑΦΗΜΑΤΑ ΚΑΙ ΥΔΡΟΓΡΑΦΗΜΑΤΑ ΣΧΕΔΙΑΣΜΟΥ ΥΠΟΛΕΚΑΝΩΝ | 600 |
| 7.2 ΔΕΔΟΜΕΝΑ ΚΑΙ ΥΔΡΟΓΡΑΦΗΜΑΤΑ ΣΧΕΔΙΑΣΜΟΥ ΚΛΑΔΩΝ ΥΔΡΟΓΡΑΦΙΚΟΥ ΔΙΚΤΥΟΥ | 657 |
| 7.3 ΔΕΔΟΜΕΝΑ ΚΑΙ ΥΔΡΟΓΡΑΦΗΜΑΤΑ ΣΧΕΔΙΑΣΜΟΥ ΚΟΜΒΩΝ ΥΔΡΟΓΡΑΦΙΚΟΥ ΔΙΚΤΥΟΥ | 686 |
| <u>8 ΔΕΔΟΜΕΝΑ ΕΙΣΟΔΟΥ ΚΑΙ ΑΠΟΤΕΛΕΣΜΑΤΑ ΥΔΡΟΛΟΓΙΚΟΥ ΣΕΝΑΡΙΟΥ T=1000</u> | <u>717</u> |
| 8.1 ΑΠΟΤΕΛΕΣΜΑΤΑ, ΥΕΤΟΓΡΑΦΗΜΑΤΑ ΚΑΙ ΥΔΡΟΓΡΑΦΗΜΑΤΑ ΣΧΕΔΙΑΣΜΟΥ ΥΠΟΛΕΚΑΝΩΝ | 718 |
| 8.2 ΔΕΔΟΜΕΝΑ ΚΑΙ ΥΔΡΟΓΡΑΦΗΜΑΤΑ ΣΧΕΔΙΑΣΜΟΥ ΚΛΑΔΩΝ ΥΔΡΟΓΡΑΦΙΚΟΥ ΔΙΚΤΥΟΥ | 775 |

| | | |
|------------|--|------------|
| 8.3 | ΔΕΔΟΜΕΝΑ ΚΑΙ ΥΔΡΟΓΡΑΦΗΜΑΤΑ ΣΧΕΔΙΑΣΜΟΥ ΚΟΜΒΩΝ ΥΔΡΟΓΡΑΦΙΚΟΥ ΔΙΚΤΥΟΥ | 804 |
|------------|--|------------|

9 ΔΕΔΟΜΕΝΑ ΕΙΣΟΔΟΥ ΚΑΙ ΑΠΟΤΕΛΕΣΜΑΤΑ ΥΔΡΟΛΟΓΙΚΟΥ ΣΕΝΑΡΙΟΥ T=1000L828

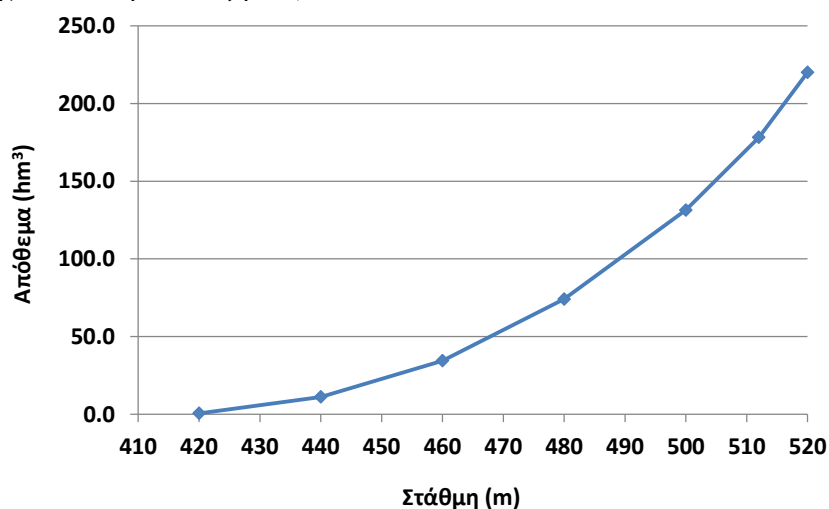
| | | |
|------------|--|------------|
| 9.1 | ΑΠΟΤΕΛΕΣΜΑΤΑ, ΥΕΤΟΓΡΑΦΗΜΑΤΑ ΚΑΙ ΥΔΡΟΓΡΑΦΗΜΑΤΑ ΣΧΕΔΙΑΣΜΟΥ ΥΠΟΛΕΚΑΝΩΝ | 829 |
| 9.2 | ΔΕΔΟΜΕΝΑ ΚΑΙ ΥΔΡΟΓΡΑΦΗΜΑΤΑ ΣΧΕΔΙΑΣΜΟΥ ΚΛΑΔΩΝ ΥΔΡΟΓΡΑΦΙΚΟΥ ΔΙΚΤΥΟΥ | 886 |
| 9.3 | ΔΕΔΟΜΕΝΑ ΚΑΙ ΥΔΡΟΓΡΑΦΗΜΑΤΑ ΣΧΕΔΙΑΣΜΟΥ ΚΟΜΒΩΝ ΥΔΡΟΓΡΑΦΙΚΟΥ ΔΙΚΤΥΟΥ | 915 |

10 ΔΕΔΟΜΕΝΑ ΕΙΣΟΔΟΥ ΚΑΙ ΑΠΟΤΕΛΕΣΜΑΤΑ ΥΔΡΟΛΟΓΙΚΟΥ ΣΕΝΑΡΙΟΥ T=1000U946

| | | |
|-------------|--|-------------|
| 10.1 | ΑΠΟΤΕΛΕΣΜΑΤΑ, ΥΕΤΟΓΡΑΦΗΜΑΤΑ ΚΑΙ ΥΔΡΟΓΡΑΦΗΜΑΤΑ ΣΧΕΔΙΑΣΜΟΥ ΥΠΟΛΕΚΑΝΩΝ | 947 |
| 10.2 | ΔΕΔΟΜΕΝΑ ΚΑΙ ΥΔΡΟΓΡΑΦΗΜΑΤΑ ΣΧΕΔΙΑΣΜΟΥ ΚΛΑΔΩΝ ΥΔΡΟΓΡΑΦΙΚΟΥ ΔΙΚΤΥΟΥ | 1004 |
| 10.3 | ΔΕΔΟΜΕΝΑ ΚΑΙ ΥΔΡΟΓΡΑΦΗΜΑΤΑ ΣΧΕΔΙΑΣΜΟΥ ΚΟΜΒΩΝ ΥΔΡΟΓΡΑΦΙΚΟΥ ΔΙΚΤΥΟΥ | 1033 |

1 Μοντέλο Υδρολογικής Προσομοίωσης Λεκάνης Απορροής

Το μοντέλο υδρολογικής προσομοίωσης της λεκάνης απορροής του ποταμού Ευήνου περιλαμβάνει 56 υπολεκάνες, 30 κόμβους και 29 κλάδους του υδρογραφικού δικτύου. Στον κόμβο J13 βρίσκεται το φράγμα Αγίου Δημητρίου, που αποτελεί ένα από τα βασικότερα έργα του υδροδοτικού συστήματος της ΕΥΔΑΠ (λειτουργεί ως φράγμα εκτροπής, καθώς η κύρια αναρρυθμιστική λειτουργία γίνεται στον ταμιευτήρα του Μόρνου). Ανάντη του φράγματος αναπτύσσεται ο ομώνυμος ταμιευτήρας, μέγιστης έκτασης (στην ανώτατη στάθμη λειτουργίας) 3.60 km^2 . Η λεκάνη απορροής ανάντη του φράγματος έχει έκταση 351.9 km^2 . Στο μοντέλο προσομοιώνεται ο κύριος κλάδος του Ευήνου, καθώς και οι σημαντικότεροι παραπόταμοί του, που είναι (από ανάντη προς κατάντη) το Καλογερίκο (κλάδος R2220), ο Κλινοβίτης (κλάδος R2314), ο Γερμανδίτης (κλάδοι R2524, R2411), το Χαλκιώτικο (κλάδος R2610), και ο Κότσαλος (κλάδοι R2928, R2827, R278). Ο ταμιευτήρας σχηματίζεται στη συμβολή του κύριου κλάδου του Ευήνου με τον Κλινοβίτη. Οι κλάδοι R1514, R2314 και R1413 επικαλύπτονται από τον ταμιευτήρα. Κατάντη του φράγματος, ο ποταμός ρέει κατά μήκος της διαδρομής J13-J12-J11-J10-J9-J8-J7-J6-J5-J4-J3-J2-J1, ενώ εκβάλλει στον Πατραϊκό Κόλπο, στο ύψος του Ευηνοχωρίου. Η ΖΔΥΚΠ καλύπτει μικρό μόνο τμήμα της λεκάνης, κατάντη του κόμβου J5.



Εικόνα 1-1 Σχέση στάθμης-αποθέματος ταμιευτήρα Ευήνου (στέψη υπερχειλιστή +505.0 m)

Για την προσομοίωση της διόδευσης των υδρογραφημάτων από τον υπερχειλιστή του ταμιευτήρα Ευήνου, γίνεται η παραδοχή ότι κατά την έναρξη όλων των επεισοδίων βροχής, ο ταμιευτήρας είναι σε πλήρη πλήρωση (στάθμη υπερχείλισης, +505.0 m), ενώ καθ' όλη τη διάρκεια της προσομοίωσης πραγματοποιείται εκτροπή $18.0 \text{ m}^3/\text{s}$ προς τον ταμιευτήρα του Μόρνου, μέσω της σήραγγας Ευήνου-Μόρνου, και εκροή άλλων $3.5 \text{ m}^3/\text{s}$ κατάντη του φράγματος, μέσω της υδροληψίας που υλοποιεί την οικολογική παροχή. Η διόδευση γίνεται από ελεύθερο υπερχειλιστή, για τον οποίο λαμβάνεται ενεργό πλάτος $b = 40.0 \text{ m}$ και συντελεστής απωλειών $c = 2.10$. Σημειώνεται ότι η σχέση του ελεύθερου υπερχειλιστή ισχύει για παροχές έως $4000 \text{ m}^3/\text{s}$, καθώς ο υπερχειλιστής είναι σε σήραγγα και για μεγαλύτερες τιμές η ροή γίνεται υπό πίεση. Τέλος, εφαρμόζεται η σχέση στάθμης-αποθέματος του ταμιευτήρα, το γράφημα της οποίας δίνεται στην Εικόνα 1-1. Η σχέση στάθμης-αποθέματος, η οποία ελήφθη από την προμελέτη του φράγματος (Κουτσογιάννης κ.ά., 1991), είναι ελαφρά διαφορετική από αυτή που εφαρμόζεται από την ΕΥΔΑΠ (Ευστρατιάδης και Μαμάσης, 2004), εξασφαλίζοντας λίγο μεγαλύτερο περιθώριο ανάχησης των πλημμυρών.

Η σχηματοποίηση του υδρολογικού συστήματος απεικονίζεται στον χάρτη της Εικόνας 5-7.

Τα χαρακτηριστικά μεγέθη της λεκάνης είναι:

- Έκταση $A = 1094.3 \text{ km}^2$
- Μέσο υψόμετρο $z_m = 856 \text{ m}$
- Υψόμετρο κόμβου εξόδου $z_k = 0.0 \text{ m}$
- Μέγιστο μήκος ροής $L_{\max} = 119.2 \text{ km}$
- Χρόνος συγκέντρωσης $t_c = 13.29 \text{ h}$

Για την υδρολογική προσομοίωση επιλέγεται διάρκεια βροχής $D = 48 \text{ h}$ και χρονικό βήμα $\Delta t = 15 \text{ min}$.

Για την παραπάνω έκταση και διάρκεια προκύπτει συντελεστής επιφανειακής αναγωγής $\varphi = 0.906$.

Τα χαρακτηριστικά γεωμετρικά μεγέθη των κλάδων και υπολεκανών του υδρογραφικού δικτύου δίνονται στους Πίνακες 5-11 και 5-12, αντίστοιχα, ενώ τα συγκεντρωτικά αποτελέσματα της συνολικής λεκάνης απορροής δίνονται στον Πίνακα 1-3. Στο Παράρτημα Π4 δίνονται τα πλήρη δεδομένα εισόδου και εξόδου του μοντέλου προσομοίωσης για όλες τις συνιστώσες του δικτύου (υπολεκάνες, κόμβοι, κλάδοι), και τα αντίστοιχα γραφήματα.

Πίνακας 1-1 Χαρακτηριστικά μεγέθη κλάδων υδρογραφικού δικτύου (υδατορεύματα)

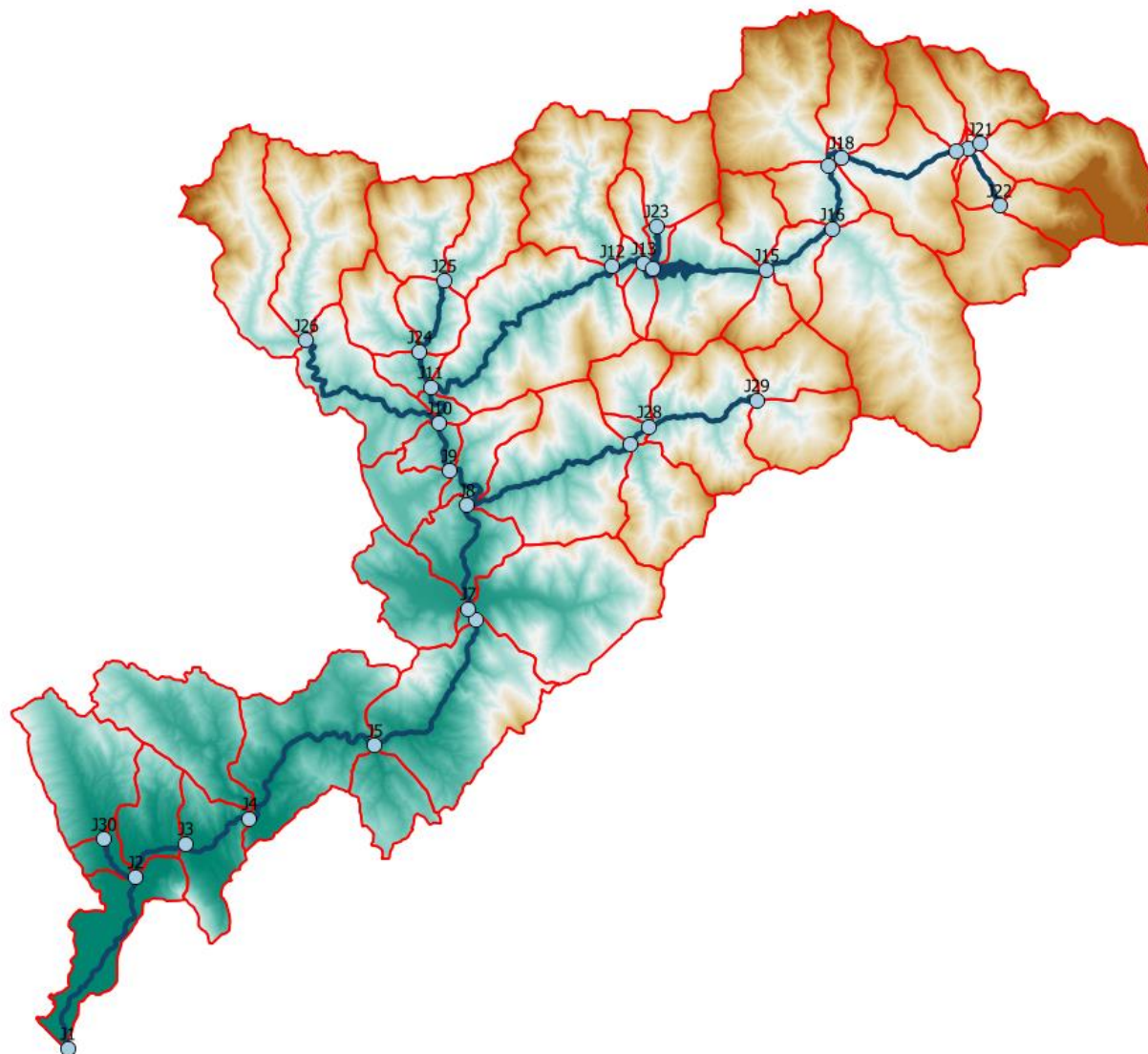
| Κωδικός | Ονομασία | Ανάκτη | Κατάκτη | Μήκος (km) | Μέση κλίση |
|---------|-------------|--------|---------|------------|------------|
| R21 | ΕΥΝΗΟΣ 1 | J2 | J1 | 11.378 | 0.0019 |
| R32 | ΕΥΝΗΟΣ 2 | J3 | J2 | 3.907 | 0.0039 |
| R43 | ΕΥΝΗΟΣ 2 | J4 | J3 | 4.751 | 0.0037 |
| R54 | ΕΥΝΗΟΣ 2 | J5 | J4 | 11.365 | 0.0037 |
| R65 | ΕΥΝΗΟΣ 2 | J6 | J5 | 10.150 | 0.0050 |
| R76 | ΕΥΝΗΟΣ 2 | J7 | J6 | 0.786 | 0.0051 |
| R87 | ΕΥΝΗΟΣ 2 | J8 | J7 | 6.876 | 0.0058 |
| R98 | ΕΥΝΗΟΣ 3 | J9 | J8 | 3.906 | 0.0070 |
| R109 | ΕΥΝΗΟΣ 3 | J10 | J9 | 2.818 | 0.0056 |
| R1110 | ΕΥΝΗΟΣ 3 | J11 | J10 | 2.769 | 0.0076 |
| R1211 | ΕΥΝΗΟΣ 3 | J12 | J11 | 15.878 | 0.0079 |
| R1312 | ΕΥΝΗΟΣ 3 | J13 | J12 | 2.400 | 0.0397 |
| R1413 | ΕΥΝΗΟΣ 3 | J14 | J13 | 0.543 | 0.0018 |
| R1514 | ΕΥΝΗΟΣ 4 | J15 | J14 | 5.757 | 0.0090 |
| R1615 | ΕΥΝΗΟΣ 4 | J16 | J15 | 4.578 | 0.0075 |
| R1716 | ΕΥΝΗΟΣ 4 | J17 | J16 | 4.067 | 0.0174 |
| R1817 | ΕΥΝΗΟΣ 5 | J18 | J17 | 1.781 | 0.0197 |
| R1918 | ΕΥΝΗΟΣ 5 | J19 | J18 | 7.457 | 0.0197 |
| R2019 | ΕΥΝΗΟΣ 5 | J20 | J19 | 0.782 | 0.0261 |
| R2120 | ΕΥΝΗΟΣ 5 | J21 | J20 | 0.729 | 0.0229 |
| R2220 | ΚΑΛΟΓΕΡΙΚΟ | J22 | J20 | 3.780 | 0.0349 |
| R2314 | ΚΛΙΝΟΒΙΤΗΣ | J23 | J14 | 2.215 | 0.0157 |
| R2411 | ΓΙΡΜΑΝΔΙΤΗΣ | J24 | J11 | 2.340 | 0.0215 |
| R2524 | ΓΙΡΜΑΝΔΙΤΗΣ | J25 | J24 | 4.929 | 0.0231 |
| R2610 | ΧΑΛΙΚΙΩΤΙΚΟ | J26 | J10 | 12.649 | 0.0189 |
| R278 | ΚΟΤΣΑΛΟΣ | J27 | J8 | 11.548 | 0.0182 |
| R2827 | ΚΟΤΣΑΛΟΣ | J28 | J27 | 1.446 | 0.0200 |
| R2928 | ΚΟΤΣΑΛΟΣ | J29 | J28 | 7.423 | 0.0273 |
| R302 | ΑΓΝΩΣΤΟ | J30 | J2 | 3.816 | 0.0086 |

Πίνακας 1-2 Χαρακτηριστικά μεγέθη υπολεκανών

| Κωδικός | Λεκάνη απορροής | Κλάδος | Κόμβος εξόδου | Έκταση (km ²) | Μέσο υψόμετρο (m) | Υψόμετρο εξόδου (m) | Μέγιστο μήκος ροής (km) |
|----------------|-----------------|--------|---------------|---------------------------|-------------------|---------------------|-------------------------|
| EL0420FR004001 | EL0420FR00004 | R21 | J1 | 23.033 | 48.9 | 0.0 | 15.371 |
| EL0420FR004002 | EL0420FR00004 | R32 | J2 | 14.691 | 231.9 | 20.3 | 8.964 |
| EL0420FR004003 | EL0420FR00004 | R43 | J3 | 18.270 | 238.7 | 33.6 | 6.188 |
| EL0420FR004004 | EL0420FR00004 | R54 | J4 | 43.515 | 288.1 | 53.1 | 17.782 |
| EL0420FR004005 | EL0420FR00004 | R65 | J5 | 48.871 | 505.4 | 97.0 | 15.507 |
| EL0420FR004006 | EL0420FR00004 | R76 | J6 | 0.818 | 277.7 | 148.6 | 2.330 |
| EL0420FR004007 | EL0420FR00004 | R87 | J7 | 16.517 | 360.2 | 153.2 | 8.794 |
| EL0420FR004008 | EL0420FR00004 | R98 | J8 | 12.704 | 721.0 | 192.2 | 10.629 |
| EL0420FR004009 | EL0420FR00004 | R109 | J9 | 5.921 | 473.8 | 215.6 | 5.379 |

| Κωδικός | Λεκάνη απορροής | Κλάδος | Κόμβος εξόδου | Έκταση (km ²) | Μέσο υψόμετρο (m) | Υψόμετρο εξόδου (m) | Μέγιστο μήκος ροής (km) |
|----------------|-----------------|--------|---------------|---------------------------|-------------------|---------------------|-------------------------|
| EL0420FR004010 | EL0420FR00004 | R1110 | J10 | 2.670 | 447.2 | 234.6 | 3.194 |
| EL0420FR004011 | EL0420FR00004 | R1211 | J11 | 55.389 | 816.6 | 254.7 | 20.898 |
| EL0420FR004012 | EL0420FR00004 | R1312 | J12 | 2.360 | 631.2 | 383.5 | 3.093 |
| EL0420FR004013 | EL0420FR00004 | R2314 | J14 | 1.959 | 582.7 | 493.6 | 1.386 |
| EL0420FR004014 | EL0420FR00004 | R1514 | J14 | 27.105 | 886.5 | 493.6 | 6.623 |
| EL0420FR004015 | EL0420FR00004 | R1615 | J15 | 10.065 | 914.9 | 498.5 | 6.460 |
| EL0420FR004016 | EL0420FR00004 | R1716 | J16 | 12.086 | 952.3 | 565.2 | 8.259 |
| EL0420FR004017 | EL0420FR00004 | R1817 | J17 | 0.823 | 784.4 | 635.5 | 2.284 |
| EL0420FR004018 | EL0420FR00004 | R1918 | J18 | 26.762 | 1094.6 | 670.6 | 10.228 |
| EL0420FR004019 | EL0420FR00004 | R2019 | J19 | 0.872 | 1031.2 | 816.5 | 2.374 |
| EL0420FR004020 | EL0420FR00004 | R2220 | J20 | 6.123 | 1118.2 | 833.0 | 4.949 |
| EL0420FR004021 | EL0420FR00004 | | J21 | 32.130 | 1550.7 | 856.4 | 16.490 |
| EL0420FR004022 | EL0420FR00004 | | J21 | 15.307 | 1353.1 | 853.9 | 7.348 |
| EL0420FR004023 | EL0420FR00004 | | J22 | 11.116 | 1569.6 | 968.6 | 7.191 |
| EL0420FR004024 | EL0420FR00004 | | J22 | 19.630 | 1332.3 | 967.6 | 7.721 |
| EL0420FR004025 | EL0420FR00004 | | J16 | 67.329 | 1112.1 | 564.2 | 16.817 |
| EL0420FR004026 | EL0420FR00004 | | J15 | 8.757 | 1150.0 | 529.9 | 4.861 |
| EL0420FR004027 | EL0420FR00004 | | J29 | 13.939 | 1173.5 | 631.6 | 5.592 |
| EL0420FR004028 | EL0420FR00004 | | J29 | 17.927 | 1135.5 | 632.3 | 6.245 |
| EL0420FR004029 | EL0420FR00004 | R2928 | J28 | 31.506 | 969.2 | 431.7 | 10.499 |
| EL0420FR004030 | EL0420FR00004 | | J28 | 11.422 | 998.2 | 432.0 | 5.926 |
| EL0420FR004031 | EL0420FR00004 | R2827 | J27 | 2.284 | 671.5 | 401.6 | 3.723 |
| EL0420FR004032 | EL0420FR00004 | | J27 | 20.344 | 1032.3 | 412.4 | 8.184 |
| EL0420FR004033 | EL0420FR00004 | R278 | J8 | 42.847 | 748.3 | 192.2 | 14.117 |
| EL0420FR004034 | EL0420FR00004 | | J6 | 46.398 | 665.6 | 148.1 | 13.303 |
| EL0420FR004035 | EL0420FR00004 | | J19 | 12.201 | 1336.0 | 817.9 | 8.283 |
| EL0420FR004036 | EL0420FR00004 | | J18 | 17.885 | 1302.6 | 670.5 | 8.985 |
| EL0420FR004037 | EL0420FR00004 | | J17 | 37.960 | 1279.6 | 640.7 | 11.678 |
| EL0420FR004038 | EL0420FR00004 | | J15 | 11.753 | 1152.6 | 497.6 | 6.507 |
| EL0420FR004039 | EL0420FR00004 | | J23 | 21.529 | 1161.9 | 505.3 | 8.293 |
| EL0420FR004040 | EL0420FR00004 | | J12 | 34.790 | 1098.4 | 383.0 | 12.770 |
| EL0420FR004041 | EL0420FR00004 | | J25 | 17.225 | 1033.9 | 419.7 | 9.825 |
| EL0420FR004042 | EL0420FR00004 | | J25 | 21.679 | 1065.5 | 423.4 | 8.961 |
| EL0420FR004043 | EL0420FR00004 | | J24 | 13.124 | 920.6 | 305.2 | 7.706 |
| EL0420FR004044 | EL0420FR00004 | R2524 | J24 | 10.334 | 718.0 | 302.0 | 6.648 |
| EL0420FR004045 | EL0420FR00004 | R2411 | J11 | 5.316 | 585.3 | 255.4 | 4.435 |
| EL0420FR004046 | EL0420FR00004 | R2610 | J10 | 24.575 | 603.0 | 234.8 | 15.061 |
| EL0420FR004047 | EL0420FR00004 | | J26 | 37.252 | 1079.4 | 470.4 | 14.342 |
| EL0420FR004048 | EL0420FR00004 | | J26 | 34.693 | 1115.5 | 471.0 | 16.731 |
| EL0420FR004049 | EL0420FR00004 | | J9 | 11.769 | 489.2 | 215.6 | 8.456 |
| EL0420FR004050 | EL0420FR00004 | | J7 | 19.249 | 363.4 | 152.6 | 8.191 |
| EL0420FR004051 | EL0420FR00004 | | J4 | 32.449 | 436.2 | 53.3 | 15.319 |
| EL0420FR004052 | EL0420FR00004 | | J30 | 29.834 | 426.2 | 55.1 | 13.173 |
| EL0420FR004053 | EL0420FR00004 | R2120 | J20 | 0.537 | 950.6 | 834.0 | 1.720 |
| EL0420FR004054 | EL0420FR00004 | R302 | J2 | 4.716 | 119.4 | 19.0 | 5.190 |

| Κωδικός | Λεκάνη απορροής | Κλάδος | Κόμβος εξόδου | Έκταση (km ²) | Μέσο υψόμετρο (m) | Υψόμετρο εξόδου (m) | Μέγιστο μήκος ροής (km) |
|----------------|-----------------|--------|---------------|---------------------------|-------------------|---------------------|-------------------------|
| EL0420FR004055 | EL0420FR00004 | R1413 | J13 | 10.123 | 902.4 | 493.6 | 4.107 |
| EL0420FR004056 | EL0420FR00004 | | J5 | 13.797 | 389.6 | 97.0 | 6.934 |

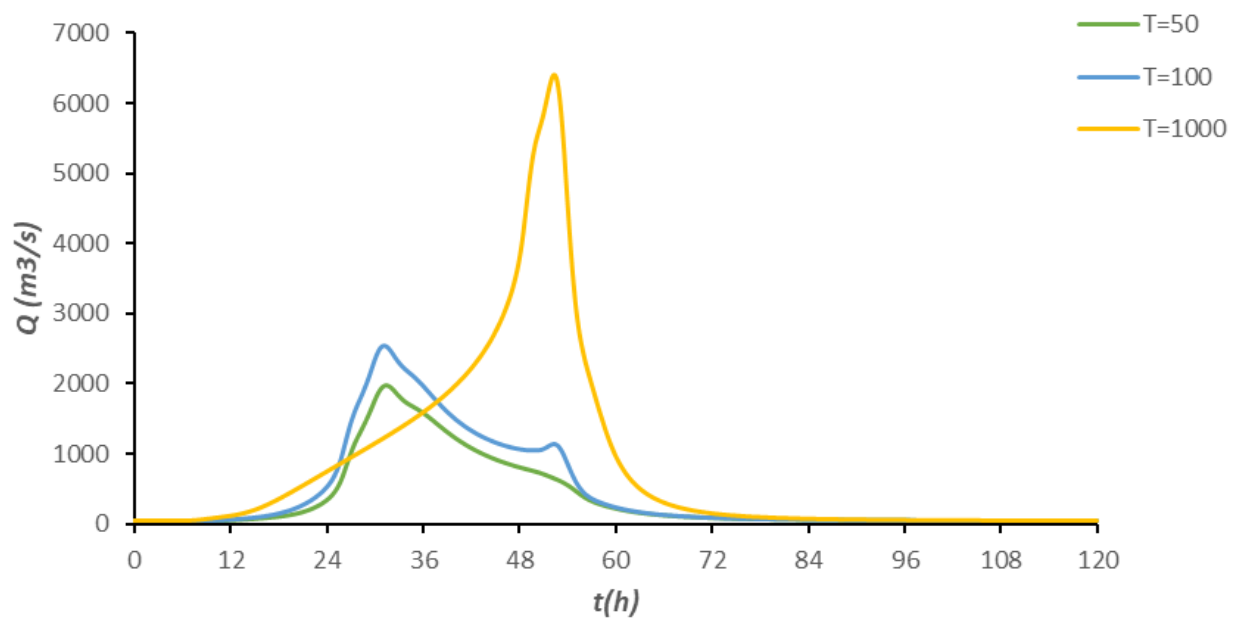


Εικόνα 1-2 Χάρτης περιοχής μελέτης, στον οποίο απεικονίζεται η σχηματοποίηση των κόμβων και κλάδων του υδρογραφικού δικτύου και των υπολεκανών

Πίνακας 1-3 Συγκεντρωτικά αποτελέσματα υδρολογικής προσομοίωσης περιοχής μελέτης

| Χαρακτηριστικά μεγέθη λεκάνης απορροής Ευήνου | | | |
|--|--|-------------------------------------|---------------------------|
| Έκταση (km ²) | 1094.28 | Υψόμετρο εξόδου (m) | 0.0 |
| Αδιαπέρατη επιφάνεια (%) | 0.22 | Χρόνος συγκέντρωσης (h) | 13.29 |
| Μέγιστο μήκος ροής (km) | 119.17 | Διάρκεια βροχόπτωσης σχεδιασμού (h) | 48.00 |
| Μέσο υψόμετρο (m) | 855.7 | Χρονικό βήμα (h) | 0.25 |
| Συγκεντρωτικά αποτελέσματα υδρολογικής προσομοίωσης λεκάνης | | | |
| | Ευμενείς συνθήκες | Μέσες συνθήκες | Δυσμενείς συνθήκες |
| | Ολικό ύψος επιφανειακής βροχής (mm) | | |
| T = 50 | 227.2 | 227.2 | 227.2 |
| T = 100 | 266.2 | 266.2 | 266.2 |
| T = 1000 | 436.6 | 436.6 | 436.6 |
| | Ολικό ύψος πλημμυρικής απορροής (mm) | | |
| T = 50 | 68.1 | 127.1 | 172.4 |
| T = 100 | 96.5 | 166.3 | 216.2 |
| T = 1000 | 217.2 | 315.3 | 375.8 |
| | Συντελεστής απορροής | | |
| T = 50 | 0.300 | 0.559 | 0.759 |
| T = 100 | 0.363 | 0.625 | 0.812 |
| T = 1000 | 0.497 | 0.722 | 0.861 |
| | Πλημμυρική παροχή αιχμής (m³/s) | | |
| T = 50 | 778.8 | 1929.3 | 2904.2 |
| T = 100 | 1125.5 | 2489.5 | 3497.1 |
| T = 1000 | 4817.2 | 6318.3 | 6885.2 |
| | Πλημμυρικός όγκος (hm³) | | |
| T = 50 | 74.528 | 139.057 | 188.627 |
| T = 100 | 105.596 | 181.946 | 236.565 |
| T = 1000 | 237.624 | 345.041 | 411.184 |
| | Συνολική παροχή αιχμής (m³/s) | | |
| T = 50 | 828.1 | 1978.6 | 2953.5 |
| T = 100 | 1180.2 | 2544.2 | 3551.8 |
| T = 1000 | 4888.3 | 6389.5 | 6956.3 |
| | Συνολικός όγκος υδρογραφήματος (hm³) | | |
| T = 50 | 119.195 | 183.562 | 233.063 |
| T = 100 | 155.273 | 231.536 | 286.124 |
| T = 1000 | 302.425 | 409.905 | 476.090 |

Υδρογραφήματα σχεδιασμού στον κόμβο εξόδου (μέσες συνθήκες)



2 Δεδομένα εισόδου και αποτελέσματα υδρολογικού σεναρίου T=50

2.1 Αποτελέσματα, υετογραφήματα και υδρογραφήματα σχεδιασμού υπολεκάνων

Υπολεκάνη: EL0420FR4001

Έκταση (KM2) : 23.03

Κατάνη : J1

Μέθοδος Απωλειών: SCS

| | |
|--------------------------------|-------|
| Ποσοστό αδιαπέρατης επιφάνειας | 0 |
| Αριθμός Καμπύλης Απορροής-CN | 78.41 |
| Αρχικές Απώλειες | 13.99 |

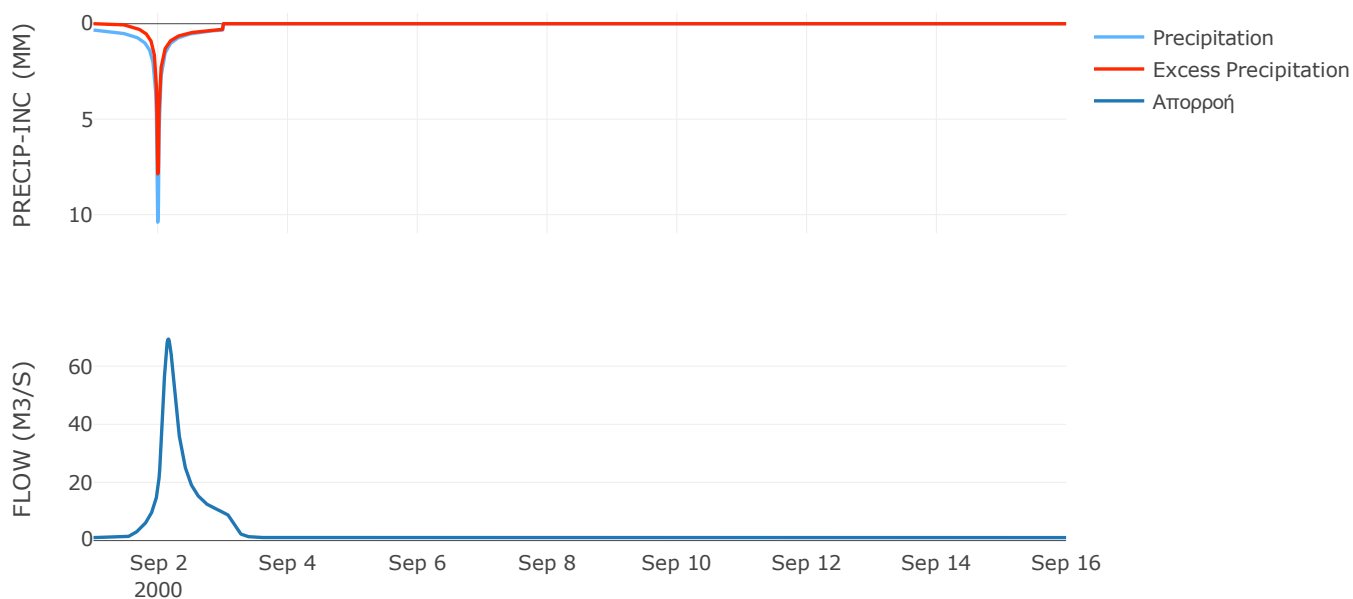
Μέθοδος
Μετασχηματισμού: SCS

| | |
|------------------|--------|
| Χρόνος Υστέρησης | 203.61 |
|------------------|--------|

Αποτελέσματα:
EL0420FR4001

| | |
|-----------------------------|------------------|
| Παροχή αιχμής (M3/S) | 69.31 |
| Χρονική στιγμή αιχμής | 02Sep2000, 03:45 |
| Όγκος (MM) | 173.05 |
| Όγκος βροχόπτωσης (M3) | 4.09E6 |
| Όγκος απωλειών (M3) | 1.45E6 |
| Ενεργός Όγκος (M3) | 2.64E6 |
| Όγκος άμεσης απορροής (M3) | 2.64E6 |
| Όγκος βασικής απορροής (M3) | 1.34E6 |

Βροχόπτωση και Απορροή



Υπολεκάνη: EL0420FR4002

Έκταση (KM2) : 14.69

Κατάντη : J2

Μέθοδος Απωλειών: SCS

| | |
|--------------------------------|-------|
| Ποσοστό αδιαπέρατης επιφάνειας | 0 |
| Αριθμός Καμπύλης Απορροής-CN | 81.59 |
| Αρχικές Απώλειες | 11.46 |

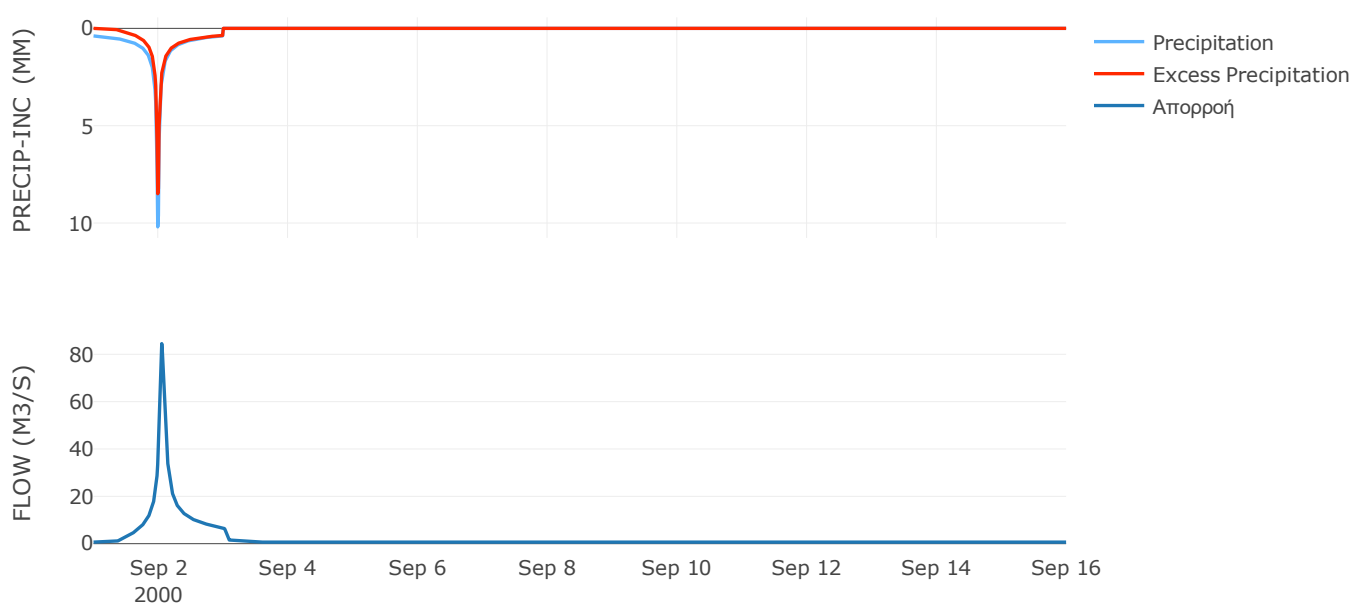
Μέθοδος
Μετασχηματισμού: SCS

| | |
|------------------|-------|
| Χρόνος Υστέρησης | 66.73 |
|------------------|-------|

Αποτελέσματα:
EL0420FR4002

| | |
|-----------------------------|------------------|
| Παροχή αιχμής (M3/S) | 84.52 |
| Χρονική στιγμή αιχμής | 02Sep2000, 01:15 |
| Όγκος (MM) | 197.92 |
| Όγκος βροχόπτωσης (M3) | 2.86E6 |
| Όγκος απωλειών (M3) | 8.1E5 |
| Ενεργός Όγκος (M3) | 2.05E6 |
| Όγκος άμεσης απορροής (M3) | 2.05E6 |
| Όγκος βασικής απορροής (M3) | 8.57E5 |

Βροχόπτωση και Απορροή



Υπολεκάνη: EL0420FR4003

Έκταση (KM2) : 18.27

Κατάντη : J3

Μέθοδος Απωλειών: SCS

| | |
|--------------------------------|-------|
| Ποσοστό αδιαπέρατης επιφάνειας | 0 |
| Αριθμός Καμπύλης Απορροής-CN | 75.32 |
| Αρχικές Απώλειες | 16.65 |

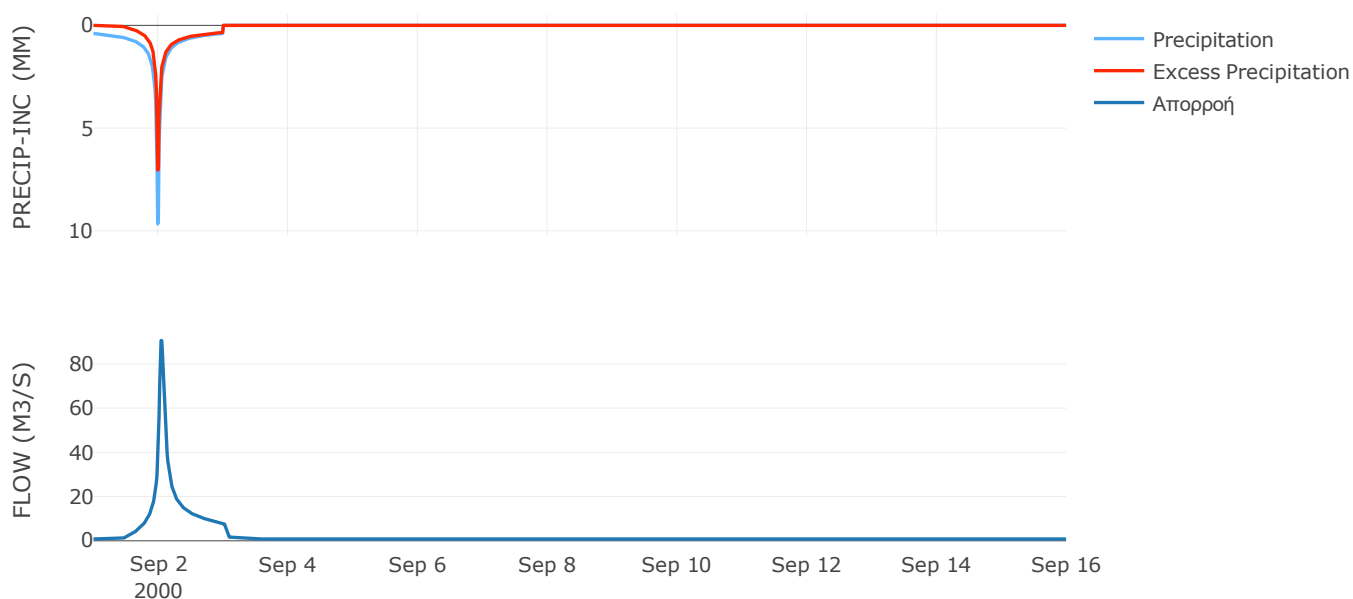
Μέθοδος
Μετασχηματισμού: SCS

| | |
|------------------|-------|
| Χρόνος Υστέρησης | 62.13 |
|------------------|-------|

Αποτελέσματα:
EL0420FR4003

| | |
|-----------------------------|------------------|
| Παροχή αιχμής (M3/S) | 90.6 |
| Χρονική στιγμή αιχμής | 02Sep2000, 01:00 |
| Όγκος (MM) | 177.56 |
| Όγκος βροχόπτωσης (M3) | 3.51E6 |
| Όγκος απωλειών (M3) | 1.34E6 |
| Ενεργός Όγκος (M3) | 2.18E6 |
| Όγκος άμεσης απορροής (M3) | 2.18E6 |
| Όγκος βασικής απορροής (M3) | 1.07E6 |

Βροχόπτωση και Απορροή



Υπολεκάνη: EL0420FR4004

Έκταση (KM2) : 43.51

Κατάντη : J4

Μέθοδος Απωλειών: SCS

| | |
|--------------------------------|-------|
| Ποσοστό αδιαπέρατης επιφάνειας | 0 |
| Αριθμός Καμπύλης Απορροής-CN | 80.89 |
| Αρχικές Απώλειες | 12 |

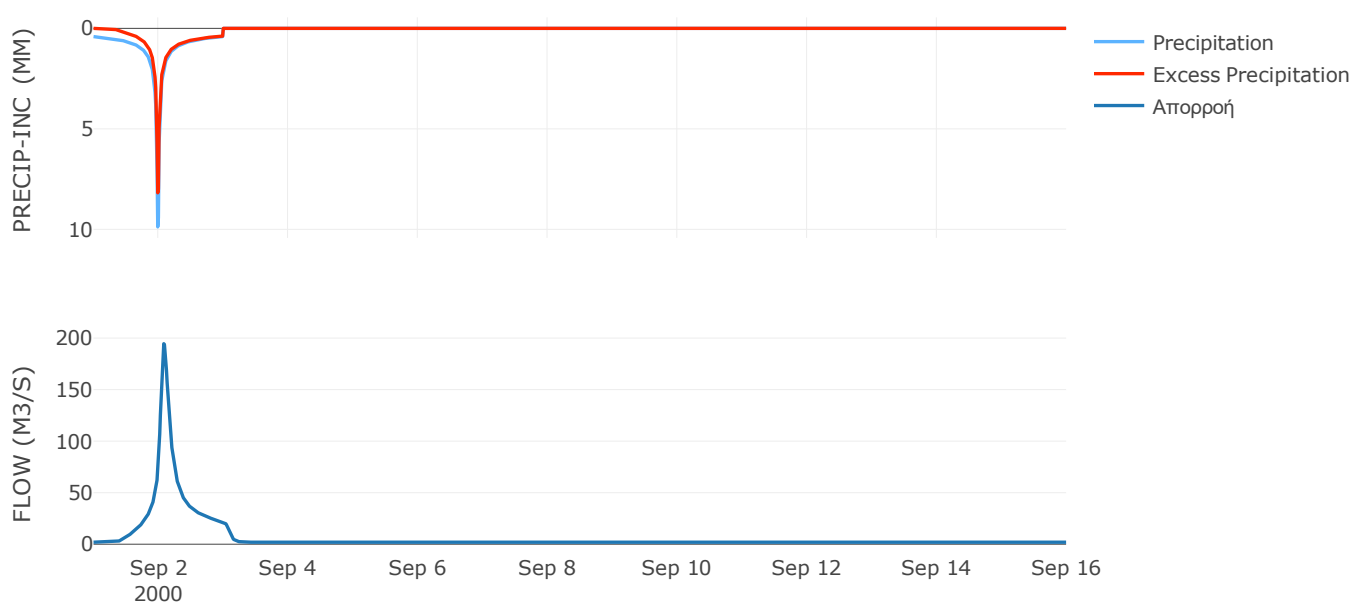
Μέθοδος
Μετασχηματισμού: SCS

| | |
|------------------|--------|
| Χρόνος Υστέρησης | 116.87 |
|------------------|--------|

Αποτελέσματα:
EL0420FR4004

| | |
|-----------------------------|------------------|
| Παροχή αιχμής (M3/S) | 194.57 |
| Χρονική στιγμή αιχμής | 02Sep2000, 02:00 |
| Όγκος (MM) | 200.35 |
| Όγκος βροχόπτωσης (M3) | 8.68E6 |
| Όγκος απωλειών (M3) | 2.5E6 |
| Ενεργός Όγκος (M3) | 6.18E6 |
| Όγκος άμεσης απορροής (M3) | 6.18E6 |
| Όγκος βασικής απορροής (M3) | 2.54E6 |

Βροχόπτωση και Απορροή



Υπολεκάνη: EL0420FR4005

Έκταση (KM2) : 48.87

Κατάνη : J5

Μέθοδος Απωλειών: SCS

| | |
|--------------------------------|-------|
| Ποσοστό αδιαπέρατης επιφάνειας | 0 |
| Αριθμός Καμπύλης Απορροής-CN | 65.72 |
| Αρχικές Απώλειες | 26.49 |

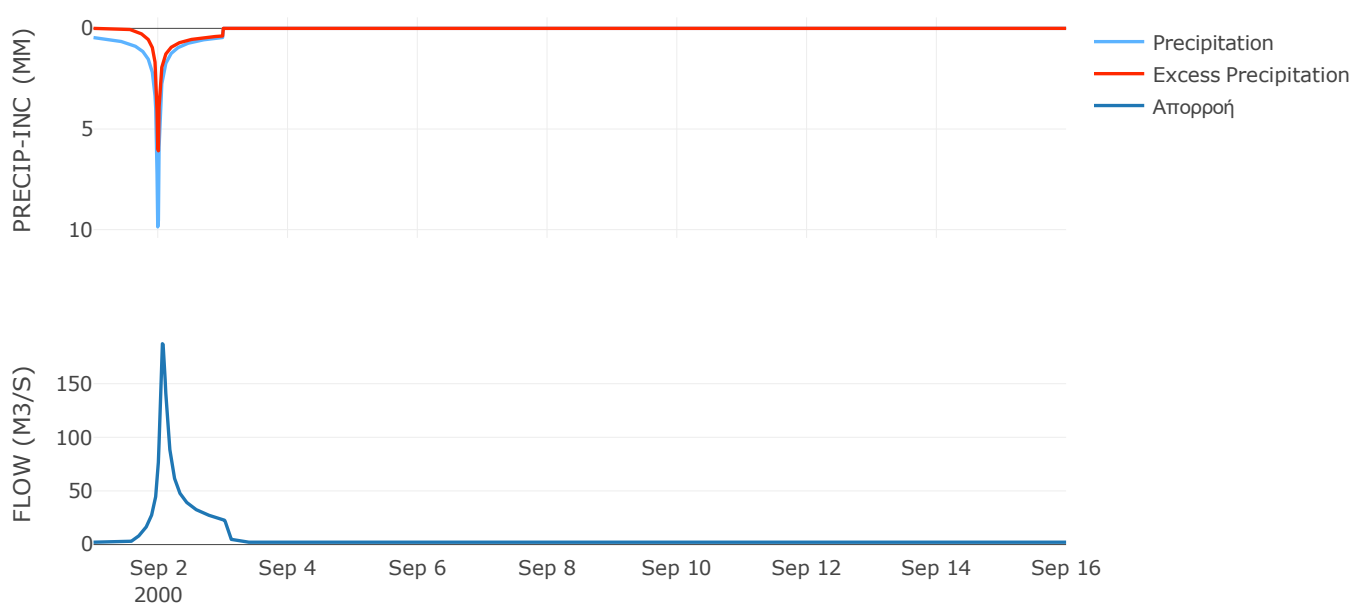
Μέθοδος
Μετασχηματισμού: SCS

| | |
|------------------|-------|
| Χρόνος Υστέρησης | 85.67 |
|------------------|-------|

Αποτελέσματα:
EL0420FR4005

| | |
|-----------------------------|------------------|
| Παροχή αιχμής (M3/S) | 187.28 |
| Χρονική στιγμή αιχμής | 02Sep2000, 01:30 |
| Όγκος (MM) | 168.45 |
| Όγκος βροχόπτωσης (M3) | 1.05E7 |
| Όγκος απωλειών (M3) | 5.09E6 |
| Ενεργός Όγκος (M3) | 5.38E6 |
| Όγκος άμεσης απορροής (M3) | 5.38E6 |
| Όγκος βασικής απορροής (M3) | 2.85E6 |

Βροχόπτωση και Απορροή



Υπολεκάνη: EL0420FR4006

Έκταση (KM2) : 0.82

Κατάντη : J6

Μέθοδος Απωλειών: SCS

| | |
|--------------------------------|-------|
| Ποσοστό αδιαπέρατης επιφάνειας | 0 |
| Αριθμός Καμπύλης Απορροής-CN | 54.88 |
| Αρχικές Απώλειες | 41.76 |

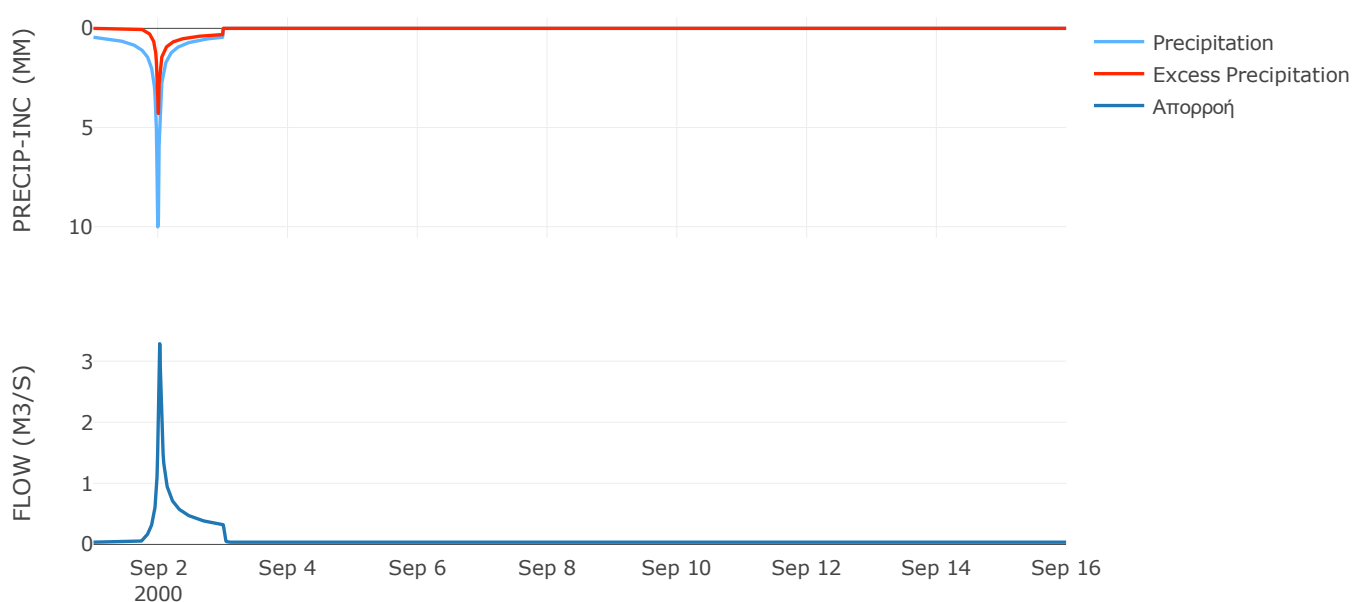
Μέθοδος
Μετασχηματισμού: SCS

| | |
|------------------|-------|
| Χρόνος Υστέρησης | 21.17 |
|------------------|-------|

Αποτελέσματα:
EL0420FR4006

| | |
|-----------------------------|------------------|
| Παροχή αιχμής (M3/S) | 3.29 |
| Χρονική στιγμή αιχμής | 02Sep2000, 00:30 |
| Όγκος (MM) | 135.3 |
| Όγκος βροχόπτωσης (M3) | 1.74E5 |
| Όγκος απωλειών (M3) | 1.11E5 |
| Ενεργός Όγκος (M3) | 62947.48 |
| Όγκος άμεσης απορροής (M3) | 62947.48 |
| Όγκος βασικής απορροής (M3) | 47691.5 |

Βροχόπτωση και Απορροή



Υπολεκάνη: EL0420FR4007

Έκταση (KM2) : 16.52

Κατάντη : J7

Μέθοδος Απωλειών: SCS

| | |
|--------------------------------|-------|
| Ποσοστό αδιαπέρατης επιφάνειας | 0 |
| Αριθμός Καμπύλης Απορροής-CN | 60.81 |
| Αρχικές Απώλειες | 32.74 |

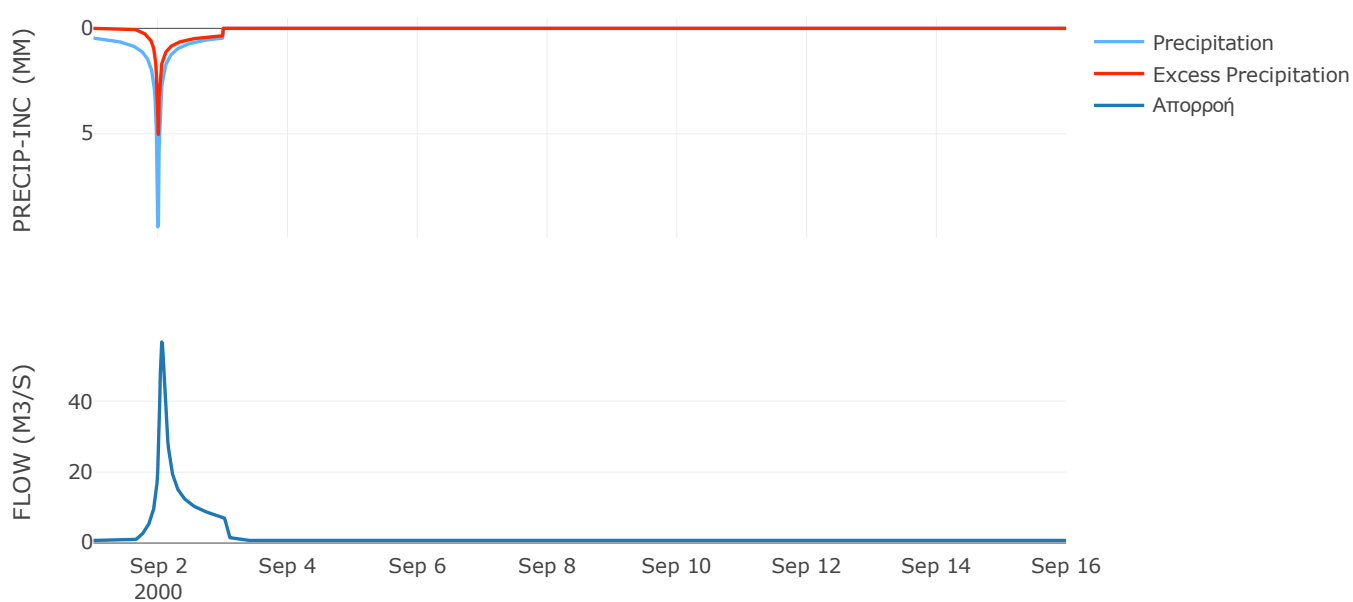
Μέθοδος
Μετασχηματισμού: SCS

| | |
|------------------|-------|
| Χρόνος Υστέρησης | 69.18 |
|------------------|-------|

Αποτελέσματα:
EL0420FR4007

| | |
|-----------------------------|------------------|
| Παροχή αιχμής (M3/S) | 56.7 |
| Χρονική στιγμή αιχμής | 02Sep2000, 01:15 |
| Όγκος (MM) | 151.99 |
| Όγκος βροχόπτωσης (M3) | 3.5E6 |
| Όγκος απωλειών (M3) | 1.95E6 |
| Ενεργός Όγκος (M3) | 1.55E6 |
| Όγκος άμεσης απορροής (M3) | 1.55E6 |
| Όγκος βασικής απορροής (M3) | 9.63E5 |

Βροχόπτωση και Απορροή



Υπολεκάνη: EL0420FR4008

Έκταση (KM2) : 12.7

Κατάντη : J8

Μέθοδος Απωλειών: SCS

| | |
|--------------------------------|-------|
| Ποσοστό αδιαπέρατης επιφάνειας | 0 |
| Αριθμός Καμπύλης Απορροής-CN | 59.06 |
| Αρχικές Απώλειες | 35.21 |

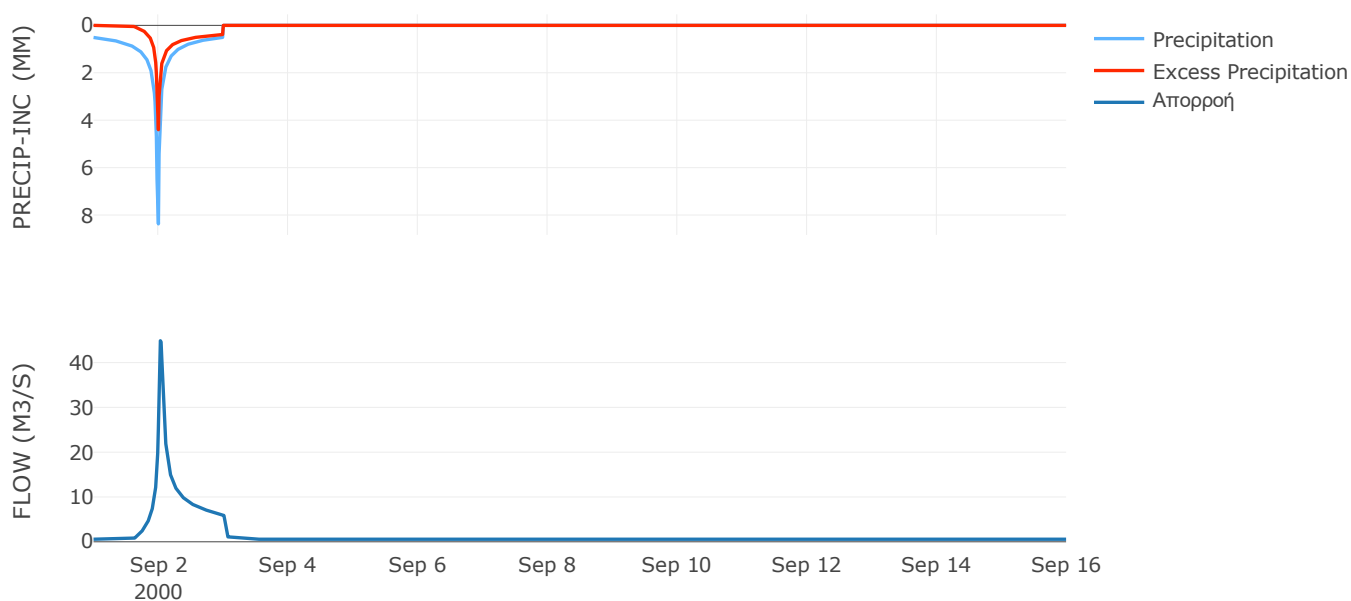
Μέθοδος
Μετασχηματισμού: SCS

| | |
|------------------|-------|
| Χρόνος Υστέρησης | 44.37 |
|------------------|-------|

Αποτελέσματα:
EL0420FR4008

| | |
|-----------------------------|------------------|
| Παροχή αιχμής (M3/S) | 44.87 |
| Χρονική στιγμή αιχμής | 02Sep2000, 00:45 |
| Όγκος (MM) | 151.42 |
| Όγκος βροχόπτωσης (M3) | 2.77E6 |
| Όγκος απωλειών (M3) | 1.59E6 |
| Ενεργός Όγκος (M3) | 1.18E6 |
| Όγκος άμεσης απορροής (M3) | 1.18E6 |
| Όγκος βασικής απορροής (M3) | 7.41E5 |

Βροχόπτωση και Απορροή



Υπολεκάνη: EL0420FR4009

Έκταση (KM2) : 5.92

Κατάνη : J9

Μέθοδος Απωλειών: SCS

| | |
|--------------------------------|-------|
| Ποσοστό αδιαπέρατης επιφάνειας | 0 |
| Αριθμός Καμπύλης Απορροής-CN | 63.56 |
| Αρχικές Απώλειες | 29.13 |

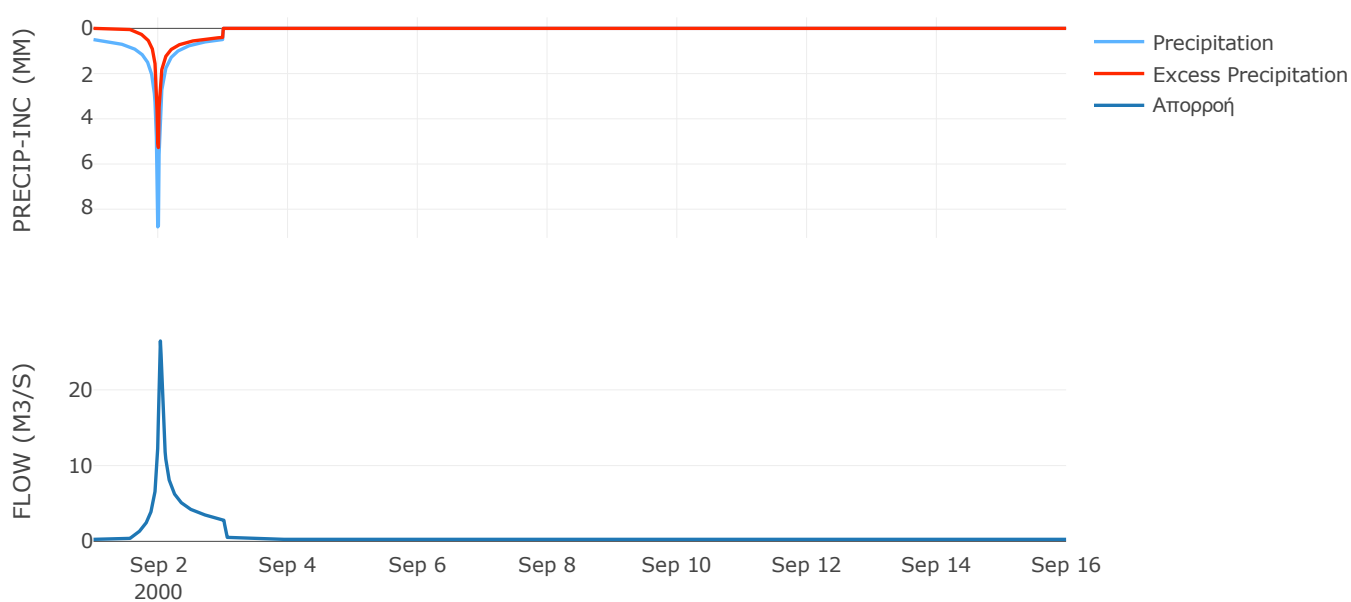
Μέθοδος
Μετασχηματισμού: SCS

| | |
|------------------|-------|
| Χρόνος Υστέρησης | 37.44 |
|------------------|-------|

Αποτελέσματα:
EL0420FR4009

| | |
|-----------------------------|------------------|
| Παροχή αιχμής (M3/S) | 26.45 |
| Χρονική στιγμή αιχμής | 02Sep2000, 00:45 |
| Όγκος (MM) | 164.76 |
| Όγκος βροχόπτωσης (M3) | 1.29E6 |
| Όγκος απωλειών (M3) | 6.59E5 |
| Ενεργός Όγκος (M3) | 6.3E5 |
| Όγκος άμεσης απορροής (M3) | 6.3E5 |
| Όγκος βασικής απορροής (M3) | 3.45E5 |

Βροχόπτωση και Απορροή



Υπολεκάνη: EL0420FR4010

Έκταση (KM2) : 2.67

Κατάντη : J10

Μέθοδος Απωλειών: SCS

| | |
|--------------------------------|-------|
| Ποσοστό αδιαπέρατης επιφάνειας | 0 |
| Αριθμός Καμπύλης Απορροής-CN | 58.38 |
| Αρχικές Απώλειες | 36.21 |

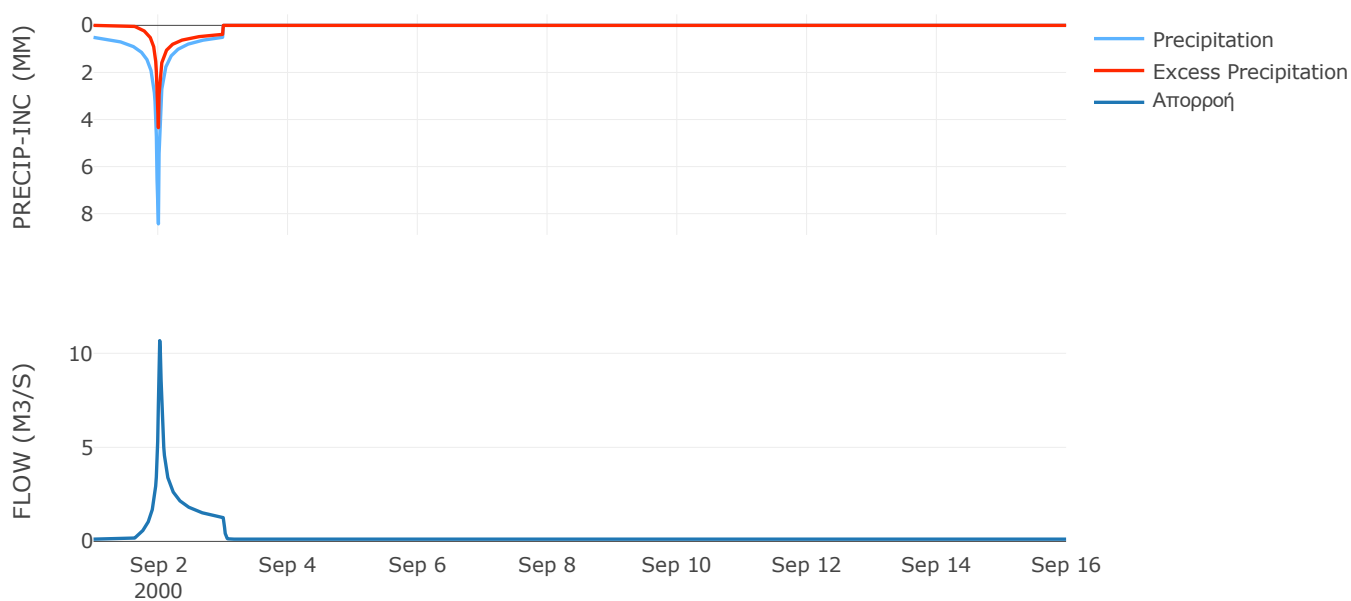
Μέθοδος
Μετασχηματισμού: SCS

| | |
|------------------|-------|
| Χρόνος Υστέρησης | 26.25 |
|------------------|-------|

Αποτελέσματα:
EL0420FR4010

| | |
|-----------------------------|------------------|
| Παροχή αιχμής (M3/S) | 10.67 |
| Χρονική στιγμή αιχμής | 02Sep2000, 00:30 |
| Όγκος (MM) | 149.92 |
| Όγκος βροχόπτωσης (M3) | 5.84E5 |
| Όγκος απωλειών (M3) | 3.39E5 |
| Ενεργός Όγκος (M3) | 2.45E5 |
| Όγκος άμεσης απορροής (M3) | 2.45E5 |
| Όγκος βασικής απορροής (M3) | 1.56E5 |

Βροχόπτωση και Απορροή



Υπολεκάνη: EL0420FR4011

Έκταση (KM2) : 55.39

Κατάνη : J11

Μέθοδος Απωλειών: SCS

| | |
|--------------------------------|-------|
| Ποσοστό αδιαπέρατης επιφάνειας | 0 |
| Αριθμός Καμπύλης Απορροής-CN | 56.82 |
| Αρχικές Απώλειες | 38.6 |

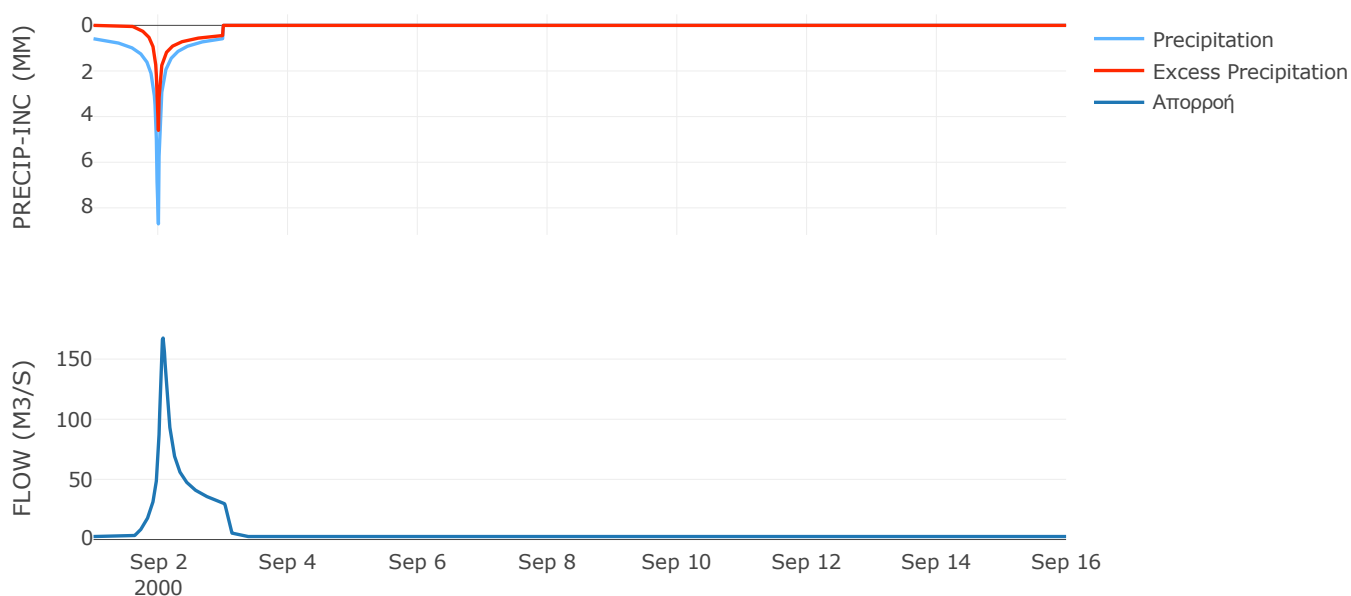
Μέθοδος
Μετασχηματισμού: SCS

| | |
|------------------|------|
| Χρόνος Υστέρησης | 87.1 |
|------------------|------|

Αποτελέσματα:
EL0420FR4011

| | |
|-----------------------------|------------------|
| Παροχή αιχμής (M3/S) | 167.5 |
| Χρονική στιγμή αιχμής | 02Sep2000, 01:45 |
| Όγκος (MM) | 162.48 |
| Όγκος βροχόπτωσης (M3) | 1.34E7 |
| Όγκος απωλειών (M3) | 7.62E6 |
| Ενεργός Όγκος (M3) | 5.77E6 |
| Όγκος άμεσης απορροής (M3) | 5.77E6 |
| Όγκος βασικής απορροής (M3) | 3.23E6 |

Βροχόπτωση και Απορροή



Υπολεκάνη: EL0420FR4012

Έκταση (KM2) : 2.36

Κατάντη : J12

Μέθοδος Απωλειών: SCS

| | |
|--------------------------------|-------|
| Ποσοστό αδιαπέρατης επιφάνειας | 0 |
| Αριθμός Καμπύλης Απορροής-CN | 67.92 |
| Αρχικές Απώλειες | 24 |

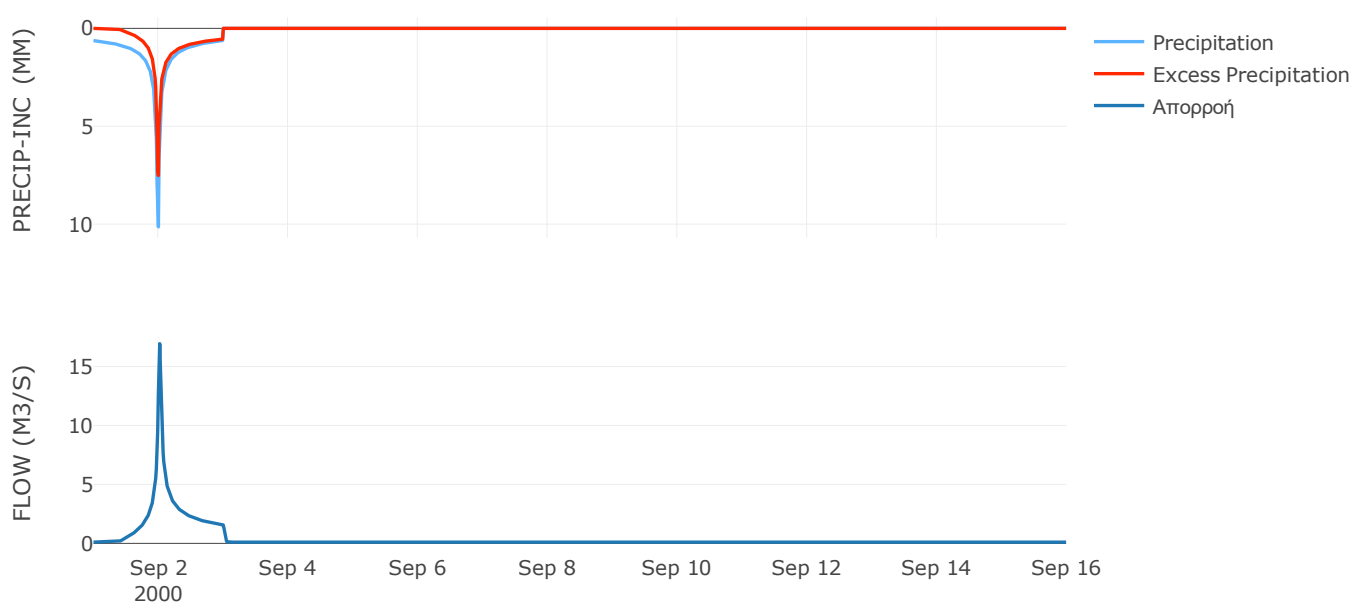
Μέθοδος
Μετασχηματισμού: SCS

| | |
|------------------|-------|
| Χρόνος Υστέρησης | 23.12 |
|------------------|-------|

Αποτελέσματα:
EL0420FR4012

| | |
|-----------------------------|------------------|
| Παροχή αιχμής (M3/S) | 16.94 |
| Χρονική στιγμή αιχμής | 02Sep2000, 00:30 |
| Όγκος (MM) | 219.7 |
| Όγκος βροχόπτωσης (M3) | 6.27E5 |
| Όγκος απωλειών (M3) | 2.46E5 |
| Ενεργός Όγκος (M3) | 3.81E5 |
| Όγκος άμεσης απορροής (M3) | 3.81E5 |
| Όγκος βασικής απορροής (M3) | 1.38E5 |

Βροχόπτωση και Απορροή



Υπολεκάνη: EL0420FR4013

Έκταση (KM2) : 1.96

Κατάντη : J14

Μέθοδος Απωλειών: SCS

| | |
|--------------------------------|-------|
| Ποσοστό αδιαπέρατης επιφάνειας | 24 |
| Αριθμός Καμπύλης Απορροής-CN | 83.78 |
| Αρχικές Απώλειες | 9.84 |

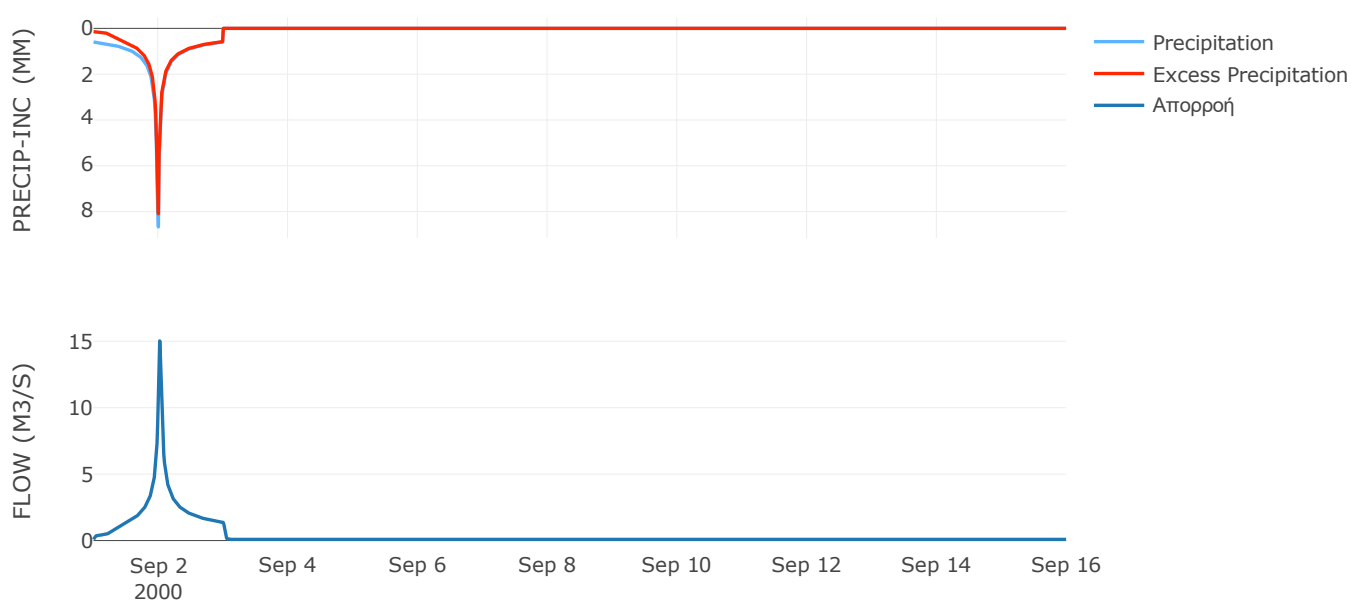
Μέθοδος
Μετασχηματισμού: SCS

| | |
|------------------|-------|
| Χρόνος Υστέρησης | 27.43 |
|------------------|-------|

Αποτελέσματα:
EL0420FR4013

| | |
|-----------------------------|------------------|
| Παροχή αιχμής (M3/S) | 15.03 |
| Χρονική στιγμή αιχμής | 02Sep2000, 00:30 |
| Όγκος (MM) | 263.63 |
| Όγκος βροχόπτωσης (M3) | 4.77E5 |
| Όγκος απωλειών (M3) | 75139.89 |
| Ενεργός Όγκος (M3) | 4.02E5 |
| Όγκος άμεσης απορροής (M3) | 4.02E5 |
| Όγκος βασικής απορροής (M3) | 1.14E5 |

Βροχόπτωση και Απορροή



Υπολεκάνη: EL0420FR4014

Έκταση (KM2) : 27.11

Κατάντη : J14

Μέθοδος Απωλειών: SCS

| | |
|--------------------------------|-------|
| Ποσοστό αδιαπέρατης επιφάνειας | 7 |
| Αριθμός Καμπύλης Απορροής-CN | 68.41 |
| Αρχικές Απώλειες | 23.46 |

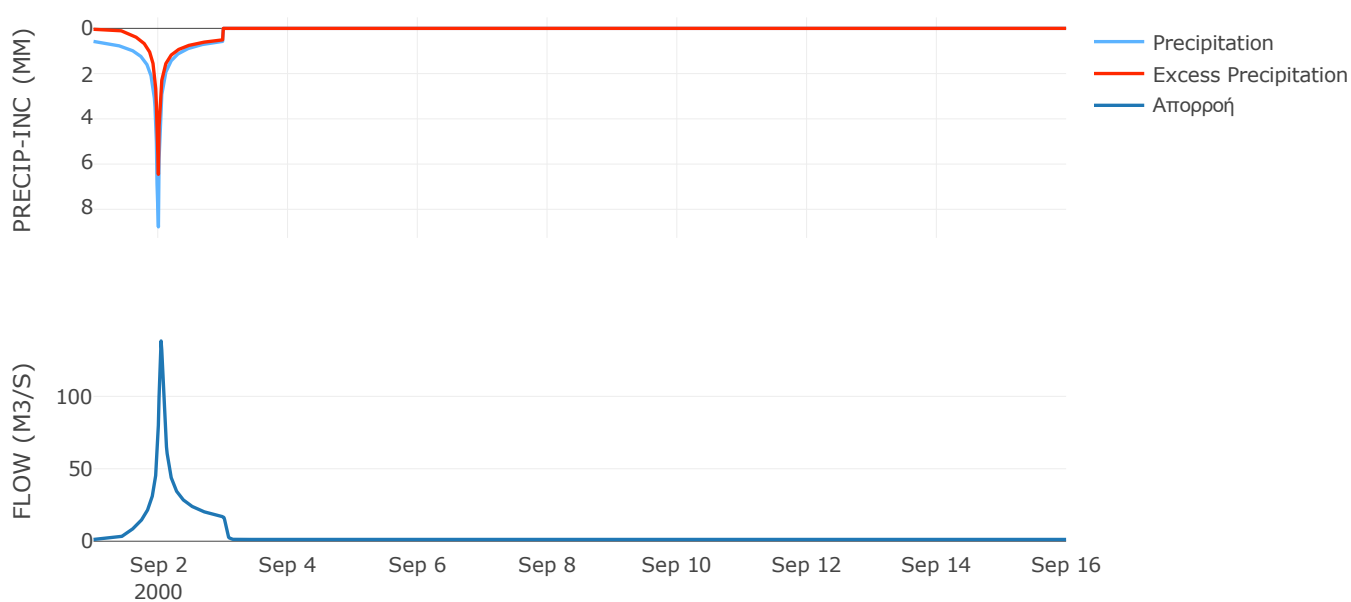
Μέθοδος
Μετασχηματισμού: SCS

| | |
|------------------|-------|
| Χρόνος Υστέρησης | 52.34 |
|------------------|-------|

Αποτελέσματα:
EL0420FR4014

| | |
|-----------------------------|------------------|
| Παροχή αιχμής (M3/S) | 138.26 |
| Χρονική στιγμή αιχμής | 02Sep2000, 01:00 |
| Όγκος (MM) | 205.77 |
| Όγκος βροχόπτωσης (M3) | 6.51E6 |
| Όγκος απωλειών (M3) | 2.51E6 |
| Ενεργός Όγκος (M3) | 4E6 |
| Όγκος άμεσης απορροής (M3) | 4E6 |
| Όγκος βασικής απορροής (M3) | 1.58E6 |

Βροχόπτωση και Απορροή



Υπολεκάνη: EL0420FR4015

Έκταση (KM2) : 10.07

Κατάνη : J15

Μέθοδος Απωλειών: SCS

| | |
|--------------------------------|-------|
| Ποσοστό αδιαπέρατης επιφάνειας | 0 |
| Αριθμός Καμπύλης Απορροής-CN | 65.03 |
| Αρχικές Απώλειες | 27.32 |

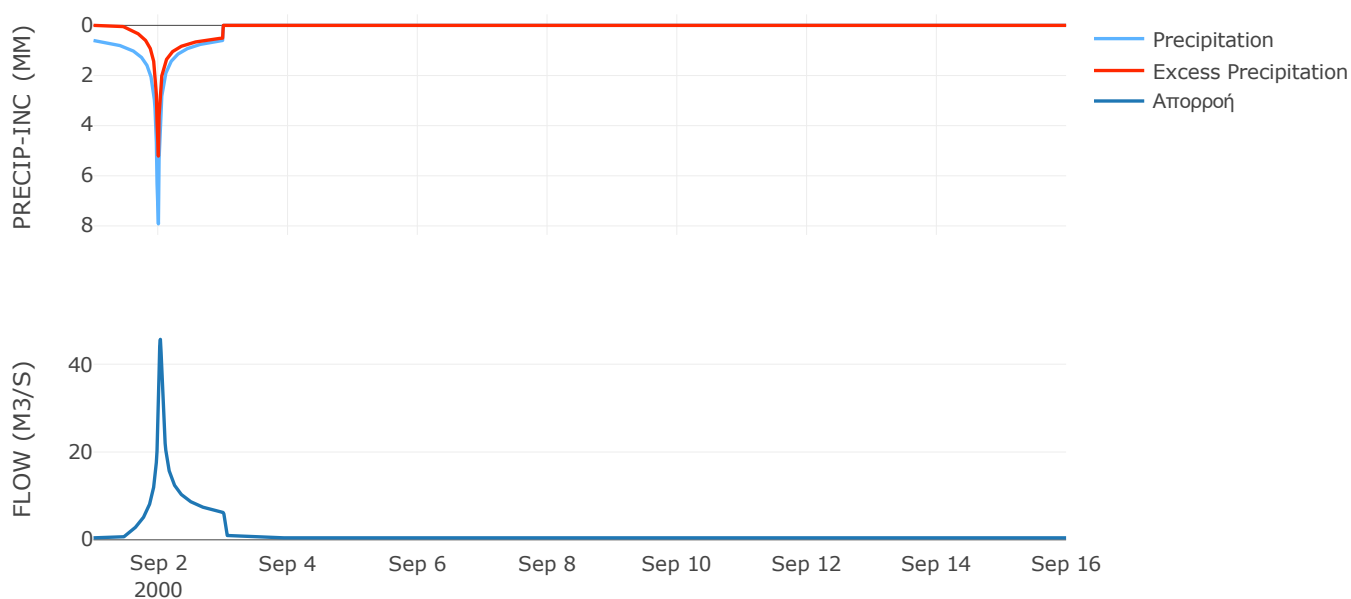
Μέθοδος
Μετασχηματισμού: SCS

| | |
|------------------|-------|
| Χρόνος Υστέρησης | 36.97 |
|------------------|-------|

Αποτελέσματα:
EL0420FR4015

| | |
|-----------------------------|------------------|
| Παροχή αιχμής (M3/S) | 45.66 |
| Χρονική στιγμή αιχμής | 02Sep2000, 00:45 |
| Όγκος (MM) | 186.34 |
| Όγκος βροχόπτωσης (M3) | 2.4E6 |
| Όγκος απωλειών (M3) | 1.11E6 |
| Ενεργός Όγκος (M3) | 1.29E6 |
| Όγκος άμεσης απορροής (M3) | 1.29E6 |
| Όγκος βασικής απορροής (M3) | 5.87E5 |

Βροχόπτωση και Απορροή



Υπολεκάνη: EL0420FR4016

Έκταση (KM2) : 12.09

Κατάντη : J16

Μέθοδος Απωλειών: SCS

| | |
|--------------------------------|-------|
| Ποσοστό αδιαπέρατης επιφάνειας | 0 |
| Αριθμός Καμπύλης Απορροής-CN | 80.42 |
| Αρχικές Απώλειες | 12.37 |

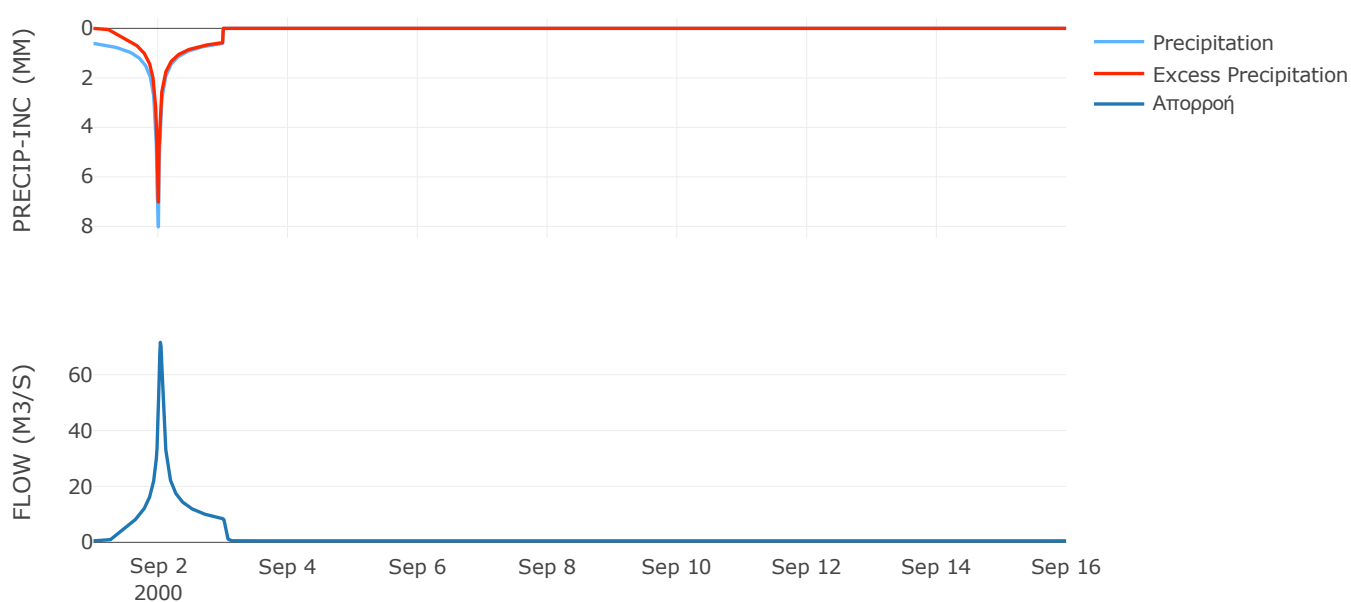
Μέθοδος
Μετασχηματισμού: SCS

| | |
|------------------|-------|
| Χρόνος Υστέρησης | 45.04 |
|------------------|-------|

Αποτελέσματα:
EL0420FR4016

| | |
|-----------------------------|------------------|
| Παροχή αιχμής (M3/S) | 71.56 |
| Χρονική στιγμή αιχμής | 02Sep2000, 00:45 |
| Όγκος (MM) | 237.5 |
| Όγκος βροχόπτωσης (M3) | 2.9E6 |
| Όγκος απωλειών (M3) | 7.37E5 |
| Ενεργός Όγκος (M3) | 2.17E6 |
| Όγκος άμεσης απορροής (M3) | 2.17E6 |
| Όγκος βασικής απορροής (M3) | 7.05E5 |

Βροχόπτωση και Απορροή



Υπολεκάνη: EL0420FR4017

Έκταση (KM2) : 0.82

Κατάληψη : J17

Μέθοδος Απωλειών: SCS

| | |
|--------------------------------|-------|
| Ποσοστό αδιαπέρατης επιφάνειας | 0 |
| Αριθμός Καμπύλης Απορροής-CN | 81.44 |
| Αρχικές Απώλειες | 11.57 |

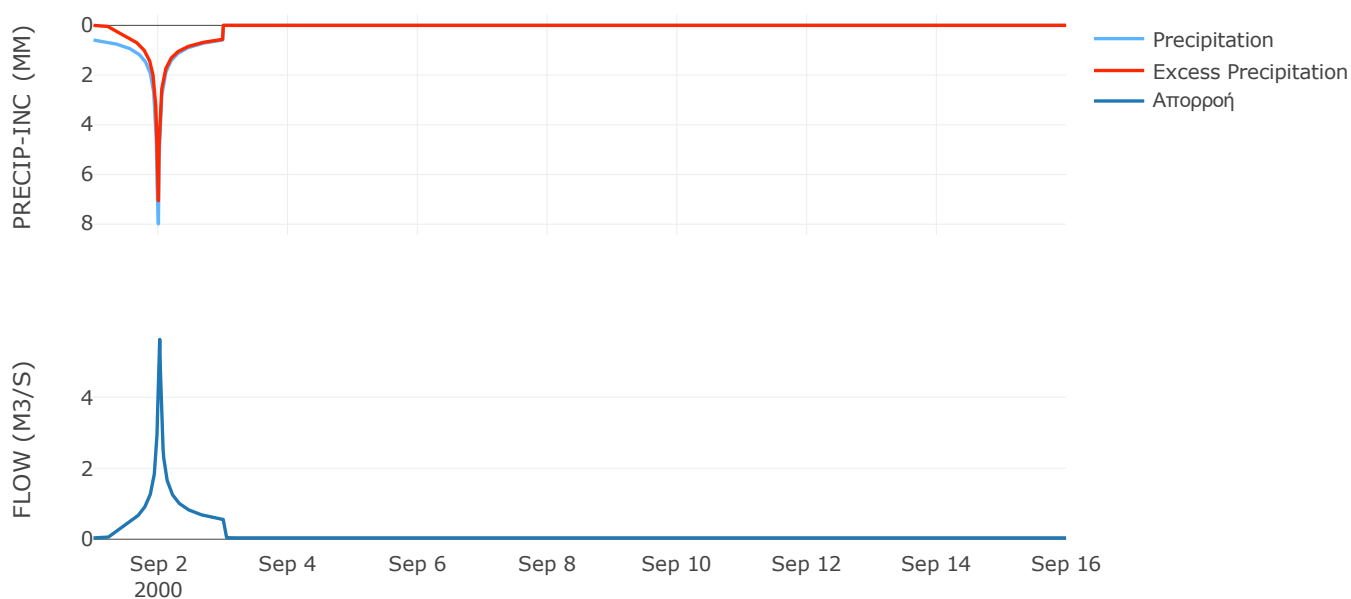
Μέθοδος
Μετασχηματισμού: SCS

| | |
|------------------|-------|
| Χρόνος Υστέρησης | 19.48 |
|------------------|-------|

Αποτελέσματα:
EL0420FR4017

| | |
|-----------------------------|------------------|
| Παροχή αιχμής (M3/S) | 5.63 |
| Χρονική στιγμή αιχμής | 02Sep2000, 00:30 |
| Όγκος (MM) | 236.35 |
| Όγκος βροχόπτωσης (M3) | 1.94E5 |
| Όγκος απωλειών (M3) | 47388.09 |
| Ενεργός Όγκος (M3) | 1.47E5 |
| Όγκος άμεσης απορροής (M3) | 1.47E5 |
| Όγκος βασικής απορροής (M3) | 48007.73 |

Βροχόπτωση και Απορροή



Υπολεκάνη: EL0420FR4018

Έκταση (KM2) : 26.76

Κατάντη : J18

Μέθοδος Απωλειών: SCS

| | |
|--------------------------------|-------|
| Ποσοστό αδιαπέρατης επιφάνειας | 0 |
| Αριθμός Καμπύλης Απορροής-CN | 80.6 |
| Αρχικές Απώλειες | 12.23 |

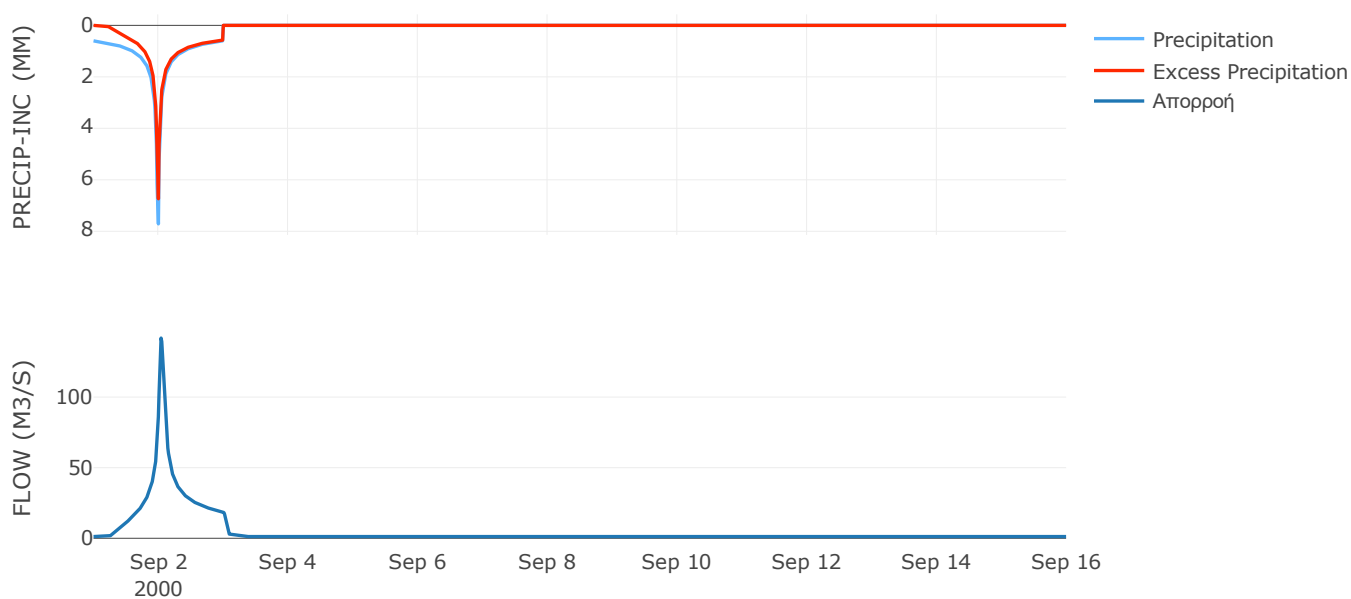
Μέθοδος
Μετασχηματισμού: SCS

| | |
|------------------|-------|
| Χρόνος Υστέρησης | 58.99 |
|------------------|-------|

Αποτελέσματα:
EL0420FR4018

| | |
|-----------------------------|------------------|
| Παροχή αιχμής (M3/S) | 141.8 |
| Χρονική στιγμή αιχμής | 02Sep2000, 01:00 |
| Όγκος (MM) | 233.63 |
| Όγκος βροχόπτωσης (M3) | 6.3E6 |
| Όγκος απωλειών (M3) | 1.61E6 |
| Ενεργός Όγκος (M3) | 4.69E6 |
| Όγκος άμεσης απορροής (M3) | 4.69E6 |
| Όγκος βασικής απορροής (M3) | 1.56E6 |

Βροχόπτωση και Απορροή



Υπολεκάνη: EL0420FR4019

Έκταση (KM2) : 0.87

Κατάντη : J19

Μέθοδος Απωλειών: SCS

| | |
|--------------------------------|-------|
| Ποσοστό αδιαπέρατης επιφάνειας | 0 |
| Αριθμός Καμπύλης Απορροής-CN | 81.39 |
| Αρχικές Απώλειες | 11.62 |

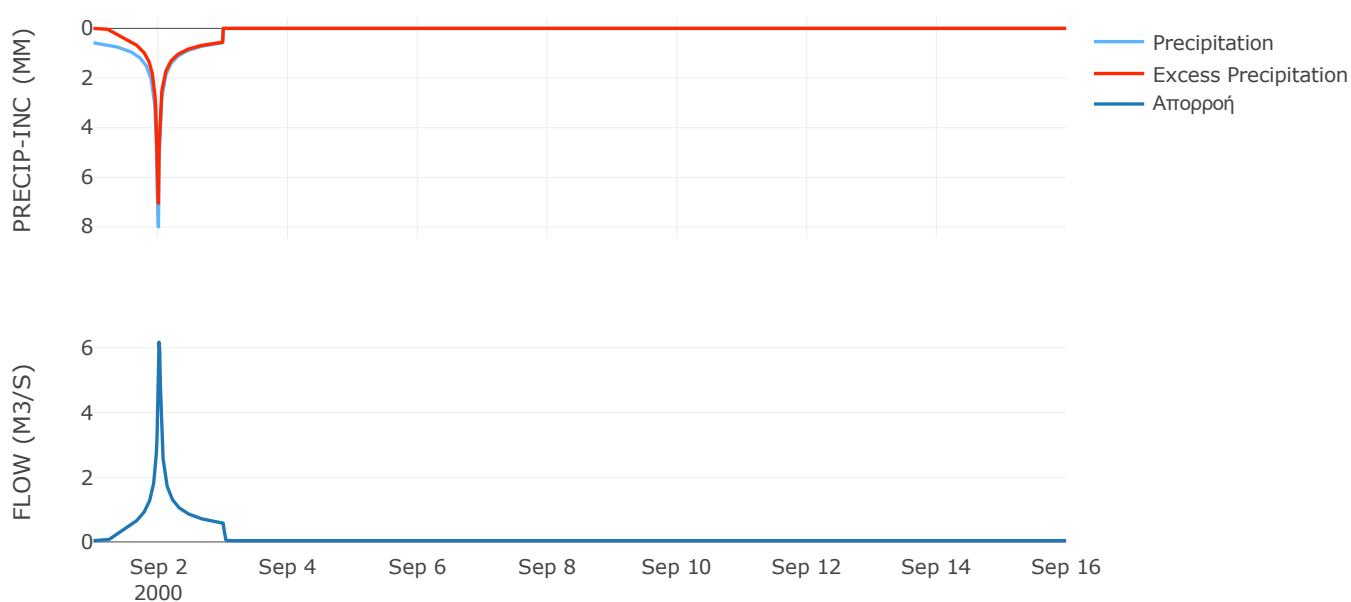
Μέθοδος
Μετασχηματισμού: SCS

| | |
|------------------|-------|
| Χρόνος Υστέρησης | 16.78 |
|------------------|-------|

Αποτελέσματα:
EL0420FR4019

| | |
|-----------------------------|------------------|
| Παροχή αιχμής (M3/S) | 6.17 |
| Χρονική στιγμή αιχμής | 02Sep2000, 00:15 |
| Όγκος (MM) | 234.13 |
| Όγκος βροχόπτωσης (M3) | 2.04E5 |
| Όγκος απωλειών (M3) | 50288.49 |
| Ενεργός Όγκος (M3) | 1.53E5 |
| Όγκος άμεσης απορροής (M3) | 1.53E5 |
| Όγκος βασικής απορροής (M3) | 50877.07 |

Βροχόπτωση και Απορροή



Υπολεκάνη: EL0420FR4020

Έκταση (KM2) : 6.12

Κατάντη : J20

Μέθοδος Απωλειών: SCS

| | |
|--------------------------------|-------|
| Ποσοστό αδιαπέρατης επιφάνειας | 0 |
| Αριθμός Καμπύλης Απορροής-CN | 81.56 |
| Αρχικές Απώλειες | 11.49 |

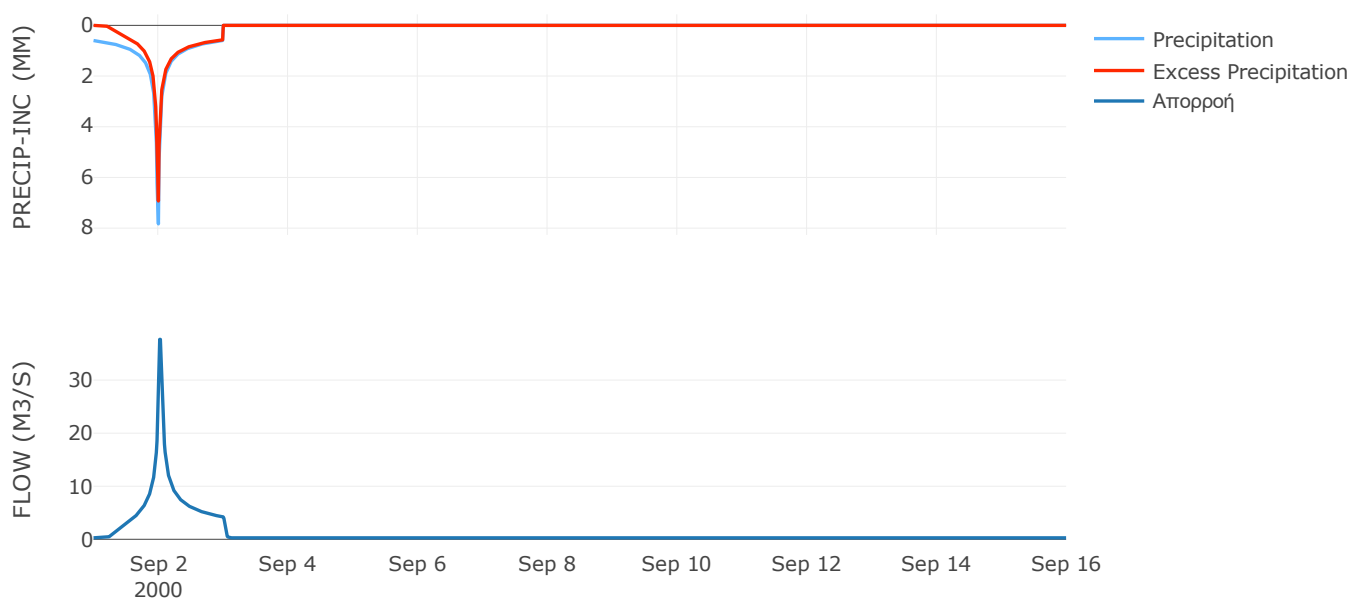
Μέθοδος
Μετασχηματισμού: SCS

| | |
|------------------|-------|
| Χρόνος Υστέρησης | 34.57 |
|------------------|-------|

Αποτελέσματα:
EL0420FR4020

| | |
|-----------------------------|------------------|
| Παροχή αιχμής (M3/S) | 37.68 |
| Χρονική στιγμή αιχμής | 02Sep2000, 00:30 |
| Όγκος (MM) | 236.98 |
| Όγκος βροχόπτωσης (M3) | 1.44E6 |
| Όγκος απωλειών (M3) | 3.5E5 |
| Ενεργός Όγκος (M3) | 1.09E6 |
| Όγκος άμεσης απορροής (M3) | 1.09E6 |
| Όγκος βασικής απορροής (M3) | 3.57E5 |

Βροχόπτωση και Απορροή



Υπολεκάνη: EL0420FR4021

Έκταση (KM2) : 32.13

Κατάντη : J21

Μέθοδος Απωλειών: SCS

| | |
|--------------------------------|-------|
| Ποσοστό αδιαπέρατης επιφάνειας | 0 |
| Αριθμός Καμπύλης Απορροής-CN | 77.63 |
| Αρχικές Απώλειες | 14.63 |

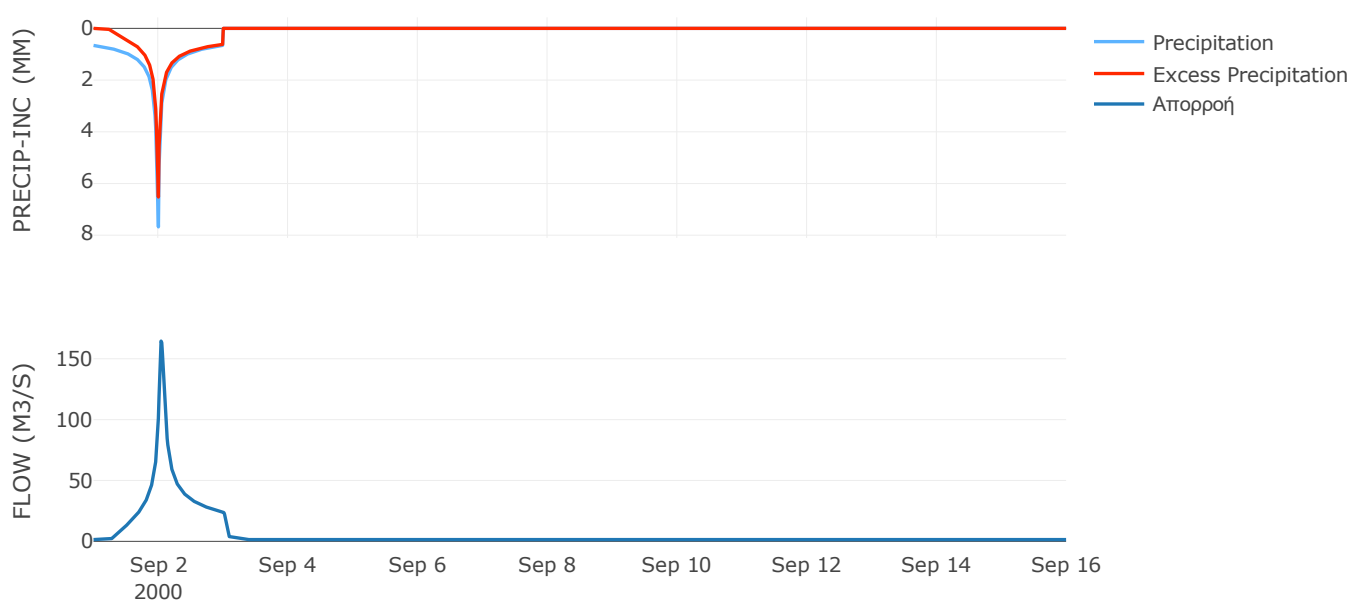
Μέθοδος
Μετασχηματισμού: SCS

| | |
|------------------|-------|
| Χρόνος Υστέρησης | 60.64 |
|------------------|-------|

Αποτελέσματα:
EL0420FR4021

| | |
|-----------------------------|------------------|
| Παροχή αιχμής (M3/S) | 164.5 |
| Χρονική στιγμή αιχμής | 02Sep2000, 01:00 |
| Όγκος (MM) | 237.68 |
| Όγκος βροχόπτωσης (M3) | 8.03E6 |
| Όγκος απωλειών (M3) | 2.26E6 |
| Ενεργός Όγκος (M3) | 5.76E6 |
| Όγκος άμεσης απορροής (M3) | 5.76E6 |
| Όγκος βασικής απορροής (M3) | 1.87E6 |

Βροχόπτωση και Απορροή



Υπολεκάνη: EL0420FR4022

Έκταση (KM2) : 15.31

Κατάντη : J21

Μέθοδος Απωλειών: SCS

| | |
|--------------------------------|-------|
| Ποσοστό αδιαπέρατης επιφάνειας | 0 |
| Αριθμός Καμπύλης Απορροής-CN | 81.55 |
| Αρχικές Απώλειες | 11.49 |

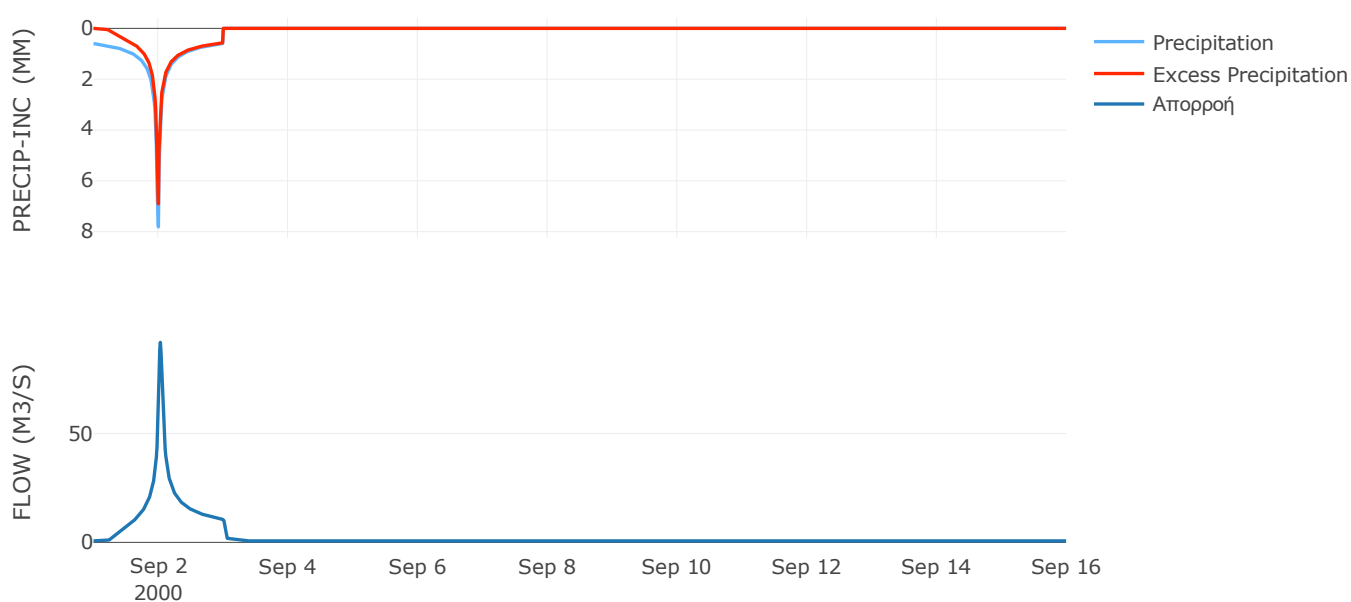
Μέθοδος
Μετασχηματισμού: SCS

| | |
|------------------|-------|
| Χρόνος Υστέρησης | 40.22 |
|------------------|-------|

Αποτελέσματα:
EL0420FR4022

| | |
|-----------------------------|------------------|
| Παροχή αιχμής (M3/S) | 91.85 |
| Χρονική στιγμή αιχμής | 02Sep2000, 00:45 |
| Όγκος (MM) | 236.19 |
| Όγκος βροχόπτωσης (M3) | 3.6E6 |
| Όγκος απωλειών (M3) | 8.76E5 |
| Ενεργός Όγκος (M3) | 2.72E6 |
| Όγκος άμεσης απορροής (M3) | 2.72E6 |
| Όγκος βασικής απορροής (M3) | 8.93E5 |

Βροχόπτωση και Απορροή



Υπολεκάνη: EL0420FR4023

Έκταση (KM2) : 11.12

Κατάντη : J22

Μέθοδος Απωλειών: SCS

| | |
|--------------------------------|-------|
| Ποσοστό αδιαπέρατης επιφάνειας | 0 |
| Αριθμός Καμπύλης Απορροής-CN | 67.46 |
| Αρχικές Απώλειες | 24.5 |

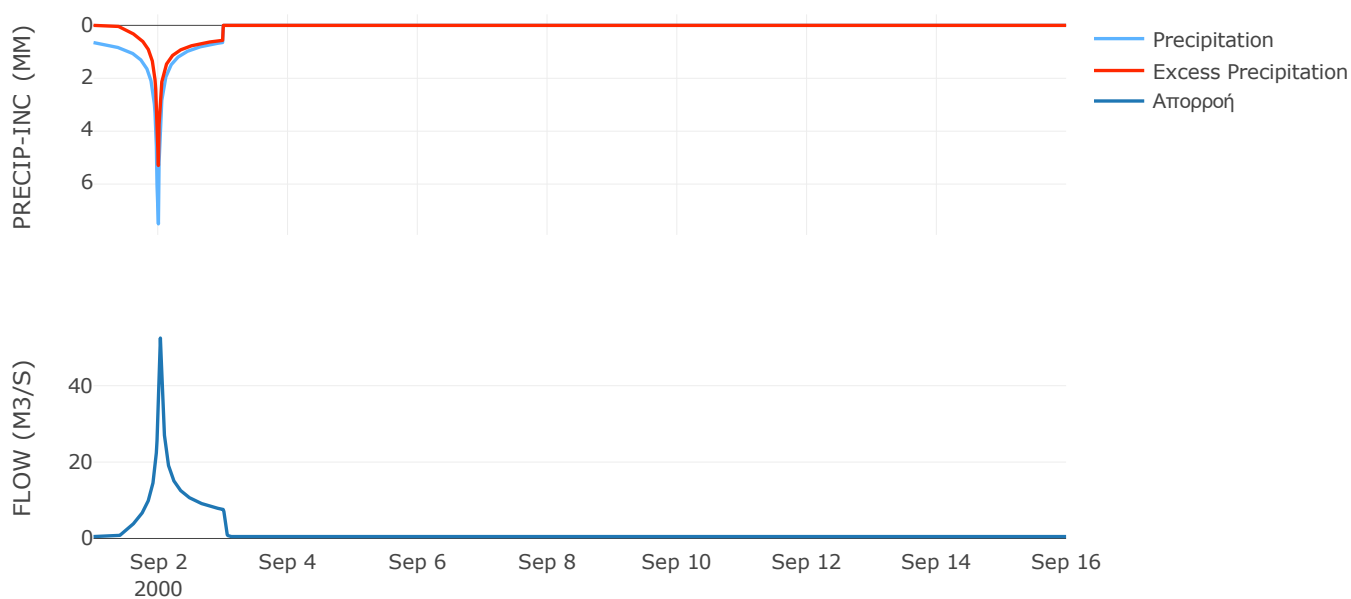
Μέθοδος
Μετασχηματισμού: SCS

| | |
|------------------|-------|
| Χρόνος Υστέρησης | 33.18 |
|------------------|-------|

Αποτελέσματα:
EL0420FR4023

| | |
|-----------------------------|------------------|
| Παροχή αιχμής (M3/S) | 52.47 |
| Χρονική στιγμή αιχμής | 02Sep2000, 00:45 |
| Όγκος (MM) | 200.77 |
| Όγκος βροχόπτωσης (M3) | 2.73E6 |
| Όγκος απωλειών (M3) | 1.15E6 |
| Ενεργός Όγκος (M3) | 1.58E6 |
| Όγκος άμεσης απορροής (M3) | 1.58E6 |
| Όγκος βασικής απορροής (M3) | 6.48E5 |

Βροχόπτωση και Απορροή



Υπολεκάνη: EL0420FR4024

Έκταση (KM2) : 19.63

Κατάντη : J22

Μέθοδος Απωλειών: SCS

| | |
|--------------------------------|-------|
| Ποσοστό αδιαπέρατης επιφάνειας | 0 |
| Αριθμός Καμπύλης Απορροής-CN | 78.26 |
| Αρχικές Απώλειες | 14.11 |

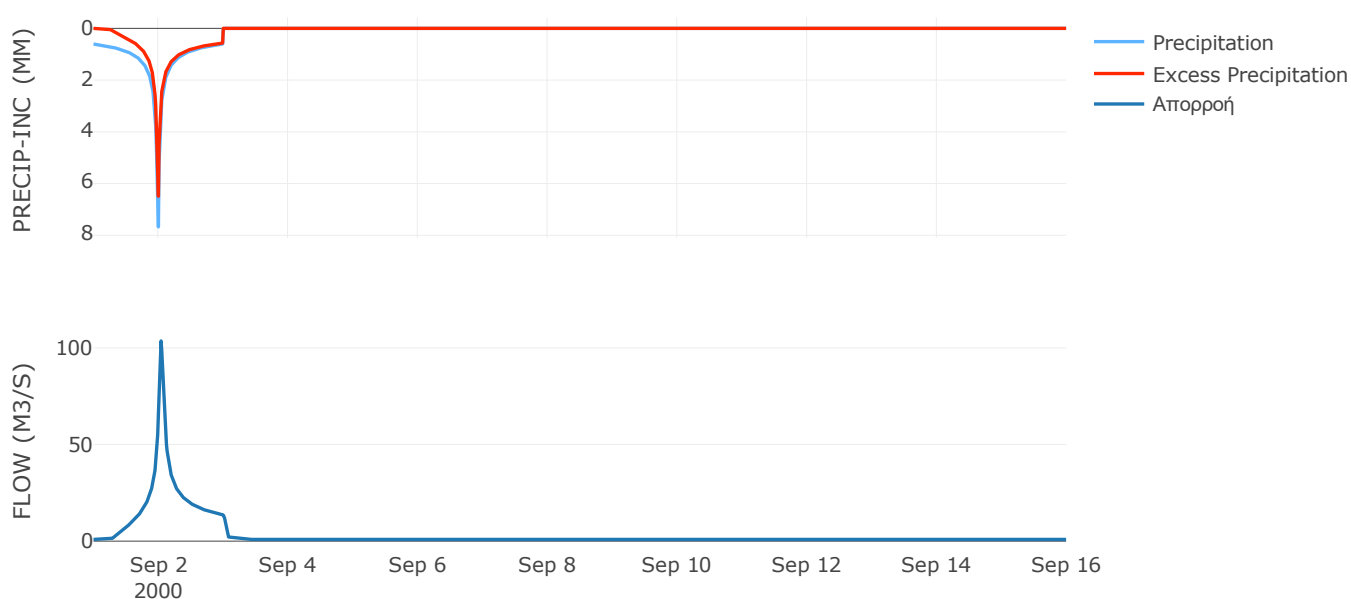
Μέθοδος
Μετασχηματισμού: SCS

| | |
|------------------|-------|
| Χρόνος Υστέρησης | 51.73 |
|------------------|-------|

Αποτελέσματα:
EL0420FR4024

| | |
|-----------------------------|------------------|
| Παροχή αιχμής (M3/S) | 103.58 |
| Χρονική στιγμή αιχμής | 02Sep2000, 01:00 |
| Όγκος (MM) | 226.68 |
| Όγκος βροχόπτωσης (M3) | 4.63E6 |
| Όγκος απωλειών (M3) | 1.33E6 |
| Ενεργός Όγκος (M3) | 3.3E6 |
| Όγκος άμεσης απορροής (M3) | 3.3E6 |
| Όγκος βασικής απορροής (M3) | 1.14E6 |

Βροχόπτωση και Απορροή



Υπολεκάνη: EL0420FR4025

Έκταση (KM2) : 67.33

Κατάντη : J16

Μέθοδος Απωλειών: SCS

| | |
|--------------------------------|-------|
| Ποσοστό αδιαπέρατης επιφάνειας | 0 |
| Αριθμός Καμπύλης Απορροής-CN | 79.77 |
| Αρχικές Απώλειες | 12.88 |

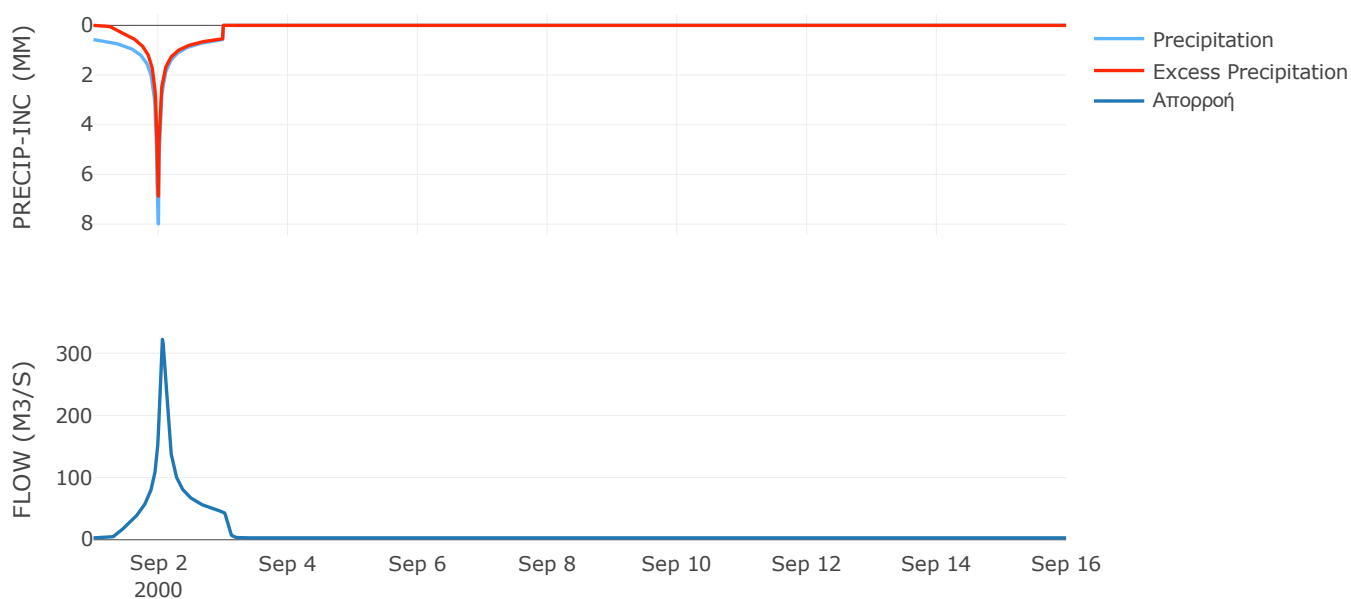
Μέθοδος
Μετασχηματισμού: SCS

| | |
|------------------|-------|
| Χρόνος Υστέρησης | 83.61 |
|------------------|-------|

Αποτελέσματα:
EL0420FR4025

| | |
|-----------------------------|------------------|
| Παροχή αιχμής (M3/S) | 322.25 |
| Χρονική στιγμή αιχμής | 02Sep2000, 01:30 |
| Όγκος (MM) | 226.73 |
| Όγκος βροχόπτωσης (M3) | 1.56E7 |
| Όγκος απωλειών (M3) | 4.22E6 |
| Ενεργός Όγκος (M3) | 1.13E7 |
| Όγκος άμεσης απορροής (M3) | 1.13E7 |
| Όγκος βασικής απορροής (M3) | 3.93E6 |

Βροχόπτωση και Απορροή



Υπολεκάνη: EL0420FR4026

Έκταση (KM2) : 8.76

Κατάνη : J15

Μέθοδος Απωλειών: SCS

| | |
|--------------------------------|-------|
| Ποσοστό αδιαπέρατης επιφάνειας | 0 |
| Αριθμός Καμπύλης Απορροής-CN | 61.78 |
| Αρχικές Απώλειες | 31.43 |

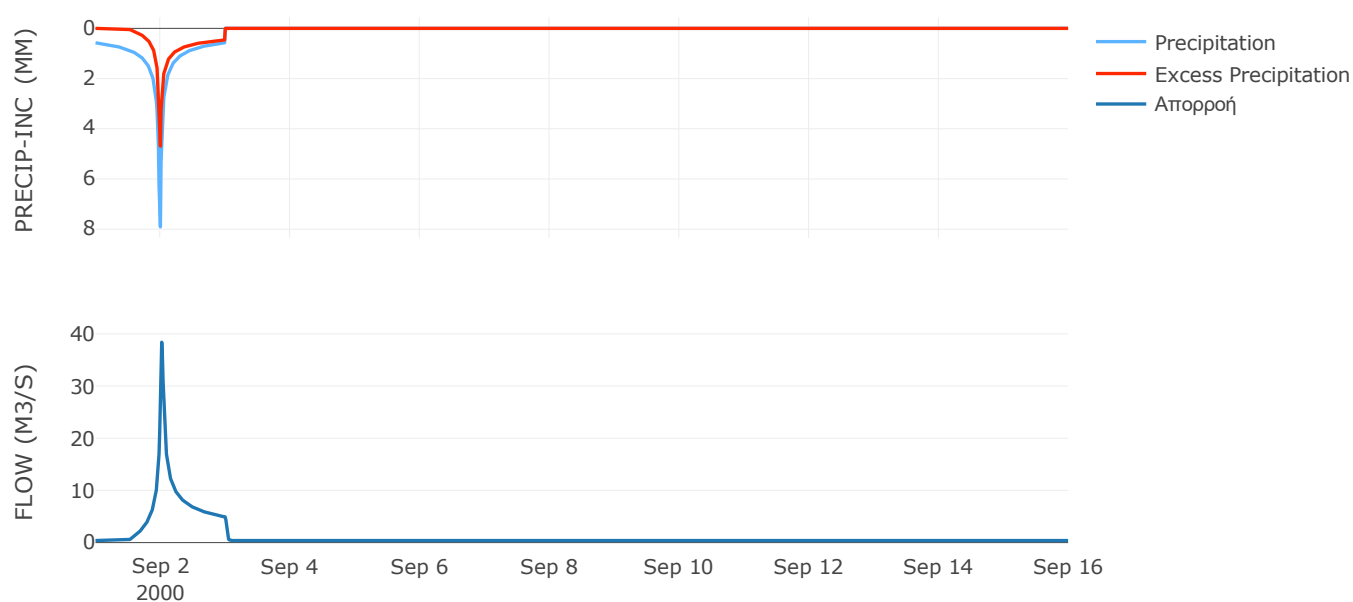
Μέθοδος
Μετασχηματισμού: SCS

| | |
|------------------|------|
| Χρόνος Υστέρησης | 25.9 |
|------------------|------|

Αποτελέσματα:
EL0420FR4026

| | |
|-----------------------------|------------------|
| Παροχή αιχμής (M3/S) | 38.41 |
| Χρονική στιγμή αιχμής | 02Sep2000, 00:30 |
| Όγκος (MM) | 169.66 |
| Όγκος βροχόπτωσης (M3) | 2.02E6 |
| Όγκος απωλειών (M3) | 1.04E6 |
| Ενεργός Όγκος (M3) | 9.75E5 |
| Όγκος άμεσης απορροής (M3) | 9.75E5 |
| Όγκος βασικής απορροής (M3) | 5.11E5 |

Βροχόπτωση και Απορροή



Υπολεκάνη: EL0420FR4027

Έκταση (KM2) : 13.94

Κατάντη : J29

Μέθοδος Απωλειών: SCS

| | |
|--------------------------------|-------|
| Ποσοστό αδιαπέρατης επιφάνειας | 0 |
| Αριθμός Καμπύλης Απορροής-CN | 67.22 |
| Αρχικές Απώλειες | 24.77 |

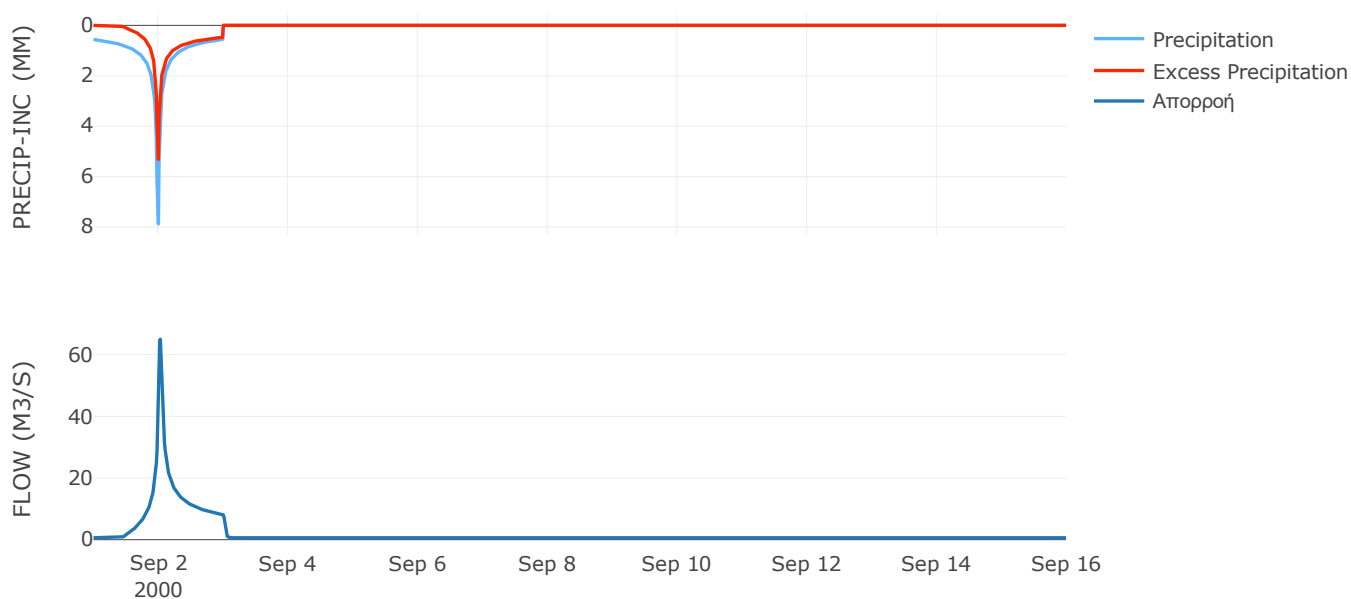
Μέθοδος
Μετασχηματισμού: SCS

| | |
|------------------|-------|
| Χρόνος Υστέρησης | 33.78 |
|------------------|-------|

Αποτελέσματα:
EL0420FR4027

| | |
|-----------------------------|------------------|
| Παροχή αιχμής (M3/S) | 64.99 |
| Χρονική στιγμή αιχμής | 02Sep2000, 00:45 |
| Όγκος (MM) | 182.46 |
| Όγκος βροχόπτωσης (M3) | 3.14E6 |
| Όγκος απωλειών (M3) | 1.41E6 |
| Ενεργός Όγκος (M3) | 1.73E6 |
| Όγκος άμεσης απορροής (M3) | 1.73E6 |
| Όγκος βασικής απορροής (M3) | 8.13E5 |

Βροχόπτωση και Απορροή



Υπολεκάνη: EL0420FR4028

Έκταση (KM2) : 17.93

Κατάντη : J29

Μέθοδος Απωλειών: SCS

| | |
|--------------------------------|-------|
| Ποσοστό αδιαπέρατης επιφάνειας | 0 |
| Αριθμός Καμπύλης Απορροής-CN | 78.88 |
| Αρχικές Απώλειες | 13.6 |

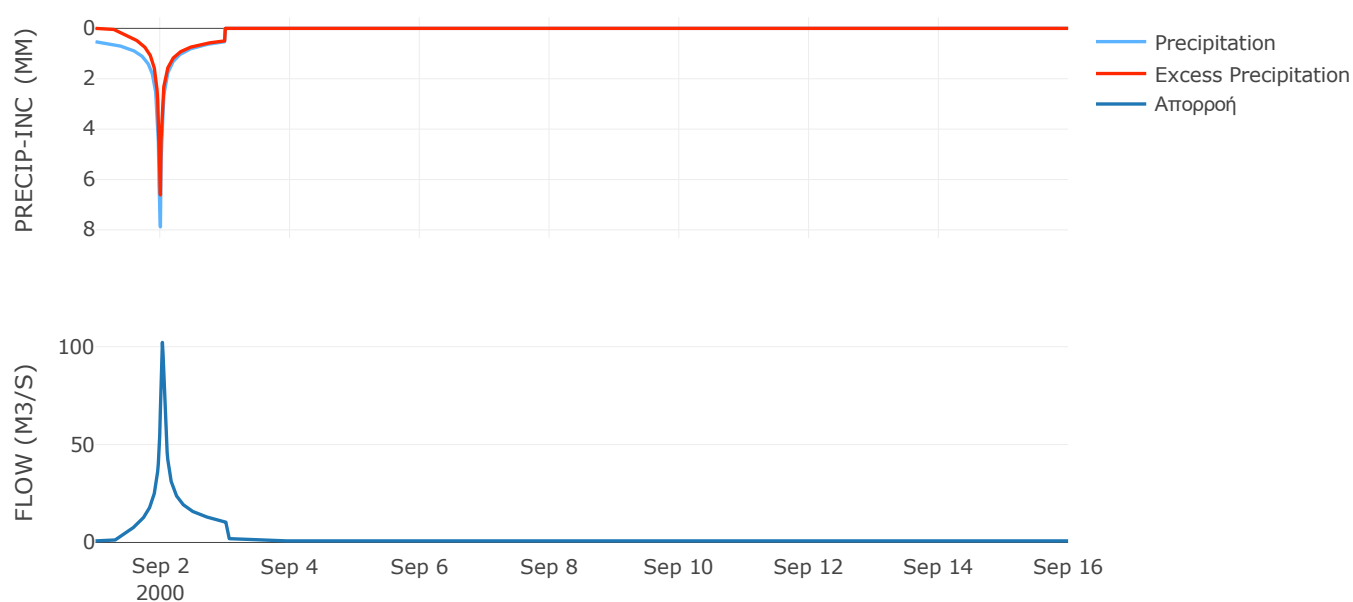
Μέθοδος
Μετασχηματισμού: SCS

| | |
|------------------|-------|
| Χρόνος Υστέρησης | 39.55 |
|------------------|-------|

Αποτελέσματα:
EL0420FR4028

| | |
|-----------------------------|------------------|
| Παροχή αιχμής (M3/S) | 102.2 |
| Χρονική στιγμή αιχμής | 02Sep2000, 00:45 |
| Όγκος (MM) | 212.79 |
| Όγκος βροχόπτωσης (M3) | 3.93E6 |
| Όγκος απωλειών (M3) | 1.16E6 |
| Ενεργός Όγκος (M3) | 2.77E6 |
| Όγκος άμεσης απορροής (M3) | 2.77E6 |
| Όγκος βασικής απορροής (M3) | 1.05E6 |

Βροχόπτωση και Απορροή



Υπολεκάνη: EL0420FR4029

Έκταση (KM2) : 31.51

Κατάντη : J28

Μέθοδος Απωλειών: SCS

| | |
|--------------------------------|-------|
| Ποσοστό αδιαπέρατης επιφάνειας | 0 |
| Αριθμός Καμπύλης Απορροής-CN | 55.43 |
| Αρχικές Απώλειες | 40.85 |

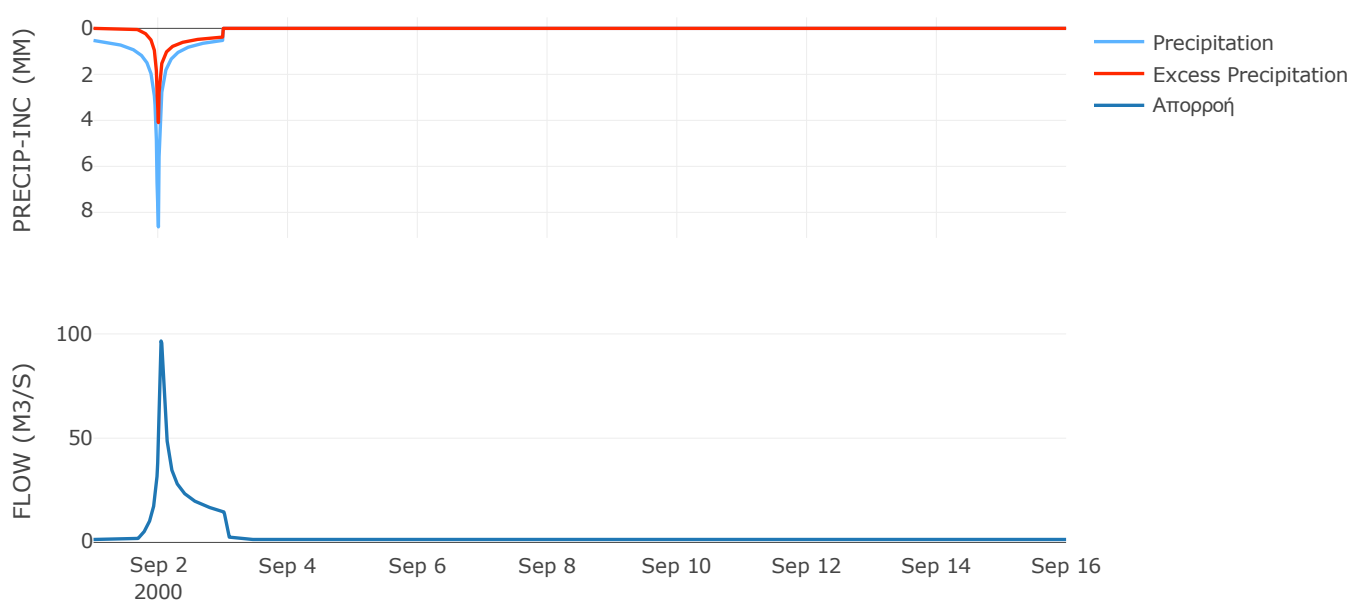
Μέθοδος
Μετασχηματισμού: SCS

| | |
|------------------|-------|
| Χρόνος Υστέρησης | 55.59 |
|------------------|-------|

Αποτελέσματα:
EL0420FR4029

| | |
|-----------------------------|------------------|
| Παροχή αιχμής (M3/S) | 96.62 |
| Χρονική στιγμή αιχμής | 02Sep2000, 01:00 |
| Όγκος (MM) | 145.52 |
| Όγκος βροχόπτωσης (M3) | 7.08E6 |
| Όγκος απωλειών (M3) | 4.34E6 |
| Ενεργός Όγκος (M3) | 2.75E6 |
| Όγκος άμεσης απορροής (M3) | 2.75E6 |
| Όγκος βασικής απορροής (M3) | 1.84E6 |

Βροχόπτωση και Απορροή



Υπολεκάνη: EL0420FR4030

Έκταση (KM2) : 11.42

Κατάντη : J28

Μέθοδος Απωλειών: SCS

| | |
|--------------------------------|-------|
| Ποσοστό αδιαπέρατης επιφάνειας | 0 |
| Αριθμός Καμπύλης Απορροής-CN | 62.16 |
| Αρχικές Απώλειες | 30.92 |

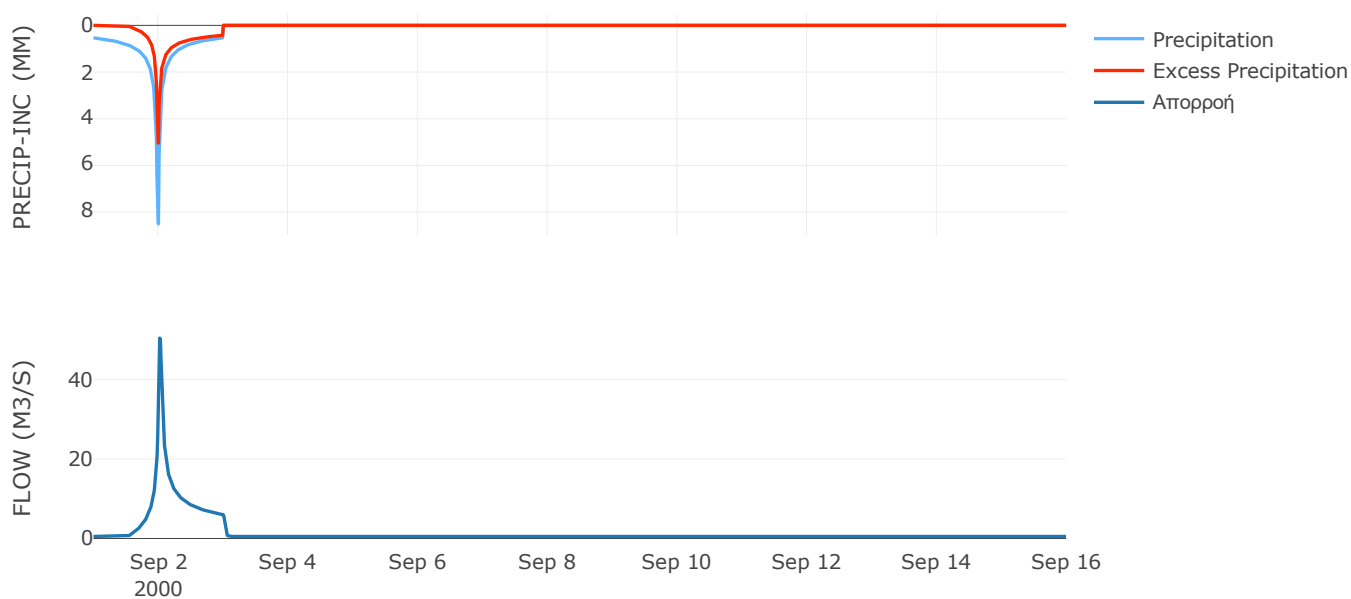
Μέθοδος
Μετασχηματισμού: SCS

| | |
|------------------|-------|
| Χρόνος Υστέρησης | 31.79 |
|------------------|-------|

Αποτελέσματα:
EL0420FR4030

| | |
|-----------------------------|------------------|
| Παροχή αιχμής (M3/S) | 50.44 |
| Χρονική στιγμή αιχμής | 02Sep2000, 00:30 |
| Όγκος (MM) | 166.72 |
| Όγκος βροχόπτωσης (M3) | 2.58E6 |
| Όγκος απωλειών (M3) | 1.34E6 |
| Ενεργός Όγκος (M3) | 1.24E6 |
| Όγκος άμεσης απορροής (M3) | 1.24E6 |
| Όγκος βασικής απορροής (M3) | 6.66E5 |

Βροχόπτωση και Απορροή



Υπολεκάνη: EL0420FR4031

Έκταση (KM2) : 2.28

Κατάντη : J27

Μέθοδος Απωλειών: SCS

| | |
|--------------------------------|-------|
| Ποσοστό αδιαπέρατης επιφάνειας | 0 |
| Αριθμός Καμπύλης Απορροής-CN | 69.51 |
| Αρχικές Απώλειες | 22.28 |

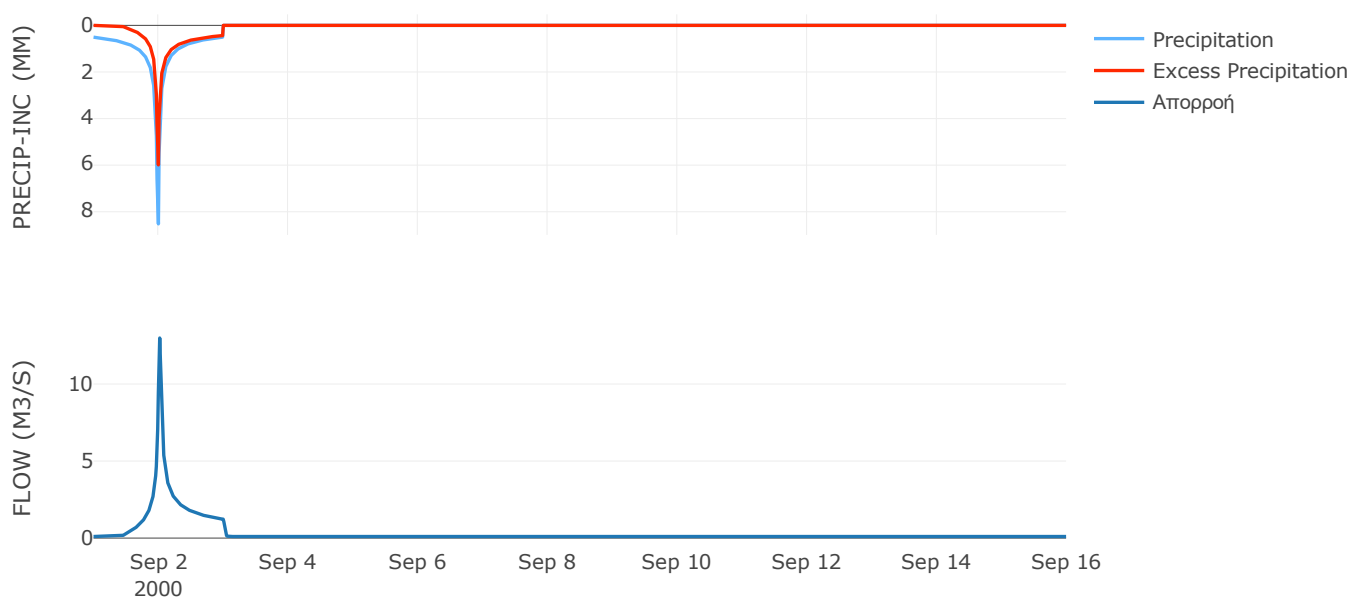
Μέθοδος
Μετασχηματισμού: SCS

| | |
|------------------|------|
| Χρόνος Υστέρησης | 23.9 |
|------------------|------|

Αποτελέσματα:
EL0420FR4031

| | |
|-----------------------------|------------------|
| Παροχή αιχμής (M3/S) | 12.99 |
| Χρονική στιγμή αιχμής | 02Sep2000, 00:30 |
| Όγκος (MM) | 183.5 |
| Όγκος βροχόπτωσης (M3) | 4.99E5 |
| Όγκος απωλειών (M3) | 2.13E5 |
| Ενεργός Όγκος (M3) | 2.86E5 |
| Όγκος άμεσης απορροής (M3) | 2.86E5 |
| Όγκος βασικής απορροής (M3) | 1.33E5 |

Βροχόπτωση και Απορροή



Υπολεκάνη: EL0420FR4032

Έκταση (KM2) : 20.34

Κατάντη : J27

Μέθοδος Απωλειών: SCS

| | |
|--------------------------------|-------|
| Ποσοστό αδιαπέρατης επιφάνειας | 0 |
| Αριθμός Καμπύλης Απορροής-CN | 60.47 |
| Αρχικές Απώλειες | 33.21 |

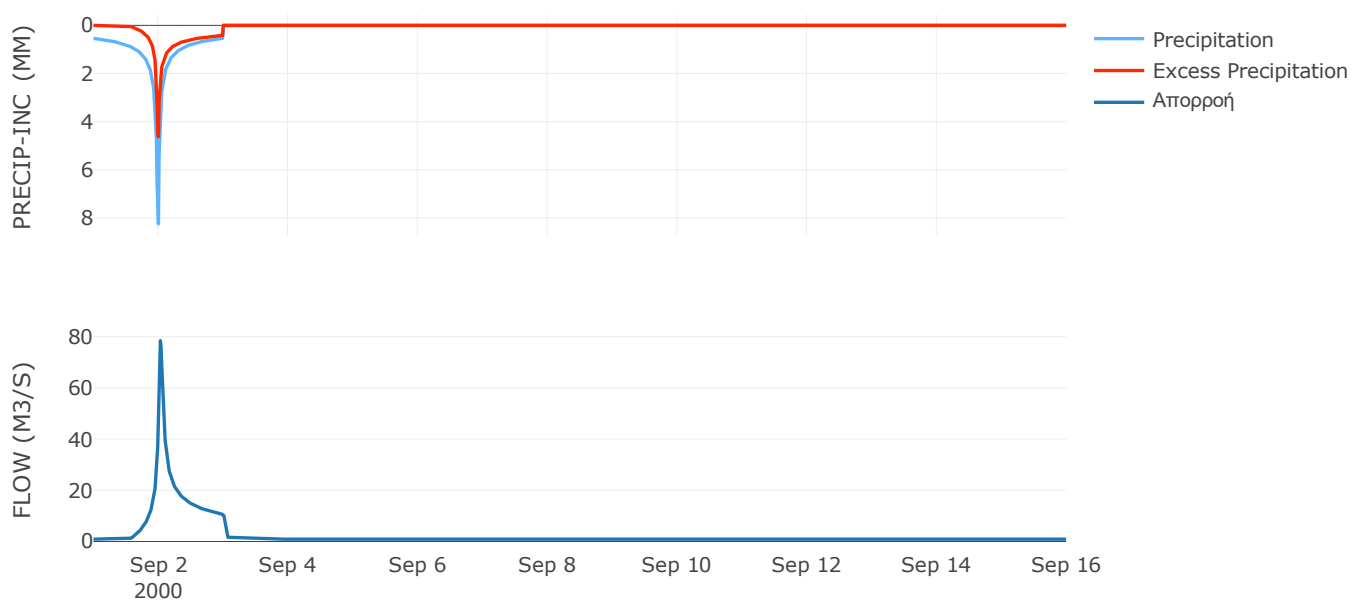
Μέθοδος
Μετασχηματισμού: SCS

| | |
|------------------|------|
| Χρόνος Υστέρησης | 41.1 |
|------------------|------|

Αποτελέσματα:
EL0420FR4032

| | |
|-----------------------------|------------------|
| Παροχή αιχμής (M3/S) | 78.46 |
| Χρονική στιγμή αιχμής | 02Sep2000, 00:45 |
| Όγκος (MM) | 160.81 |
| Όγκος βροχόπτωσης (M3) | 4.57E6 |
| Όγκος απωλειών (M3) | 2.48E6 |
| Ενεργός Όγκος (M3) | 2.08E6 |
| Όγκος άμεσης απορροής (M3) | 2.08E6 |
| Όγκος βασικής απορροής (M3) | 1.19E6 |

Βροχόπτωση και Απορροή



Υπολεκάνη: EL0420FR4033

Έκταση (KM2) : 42.85

Κατάνη : J8

Μέθοδος Απωλειών: SCS

| | |
|--------------------------------|-------|
| Ποσοστό αδιαπέρατης επιφάνειας | 0 |
| Αριθμός Καμπύλης Απορροής-CN | 60.83 |
| Αρχικές Απώλειες | 32.71 |

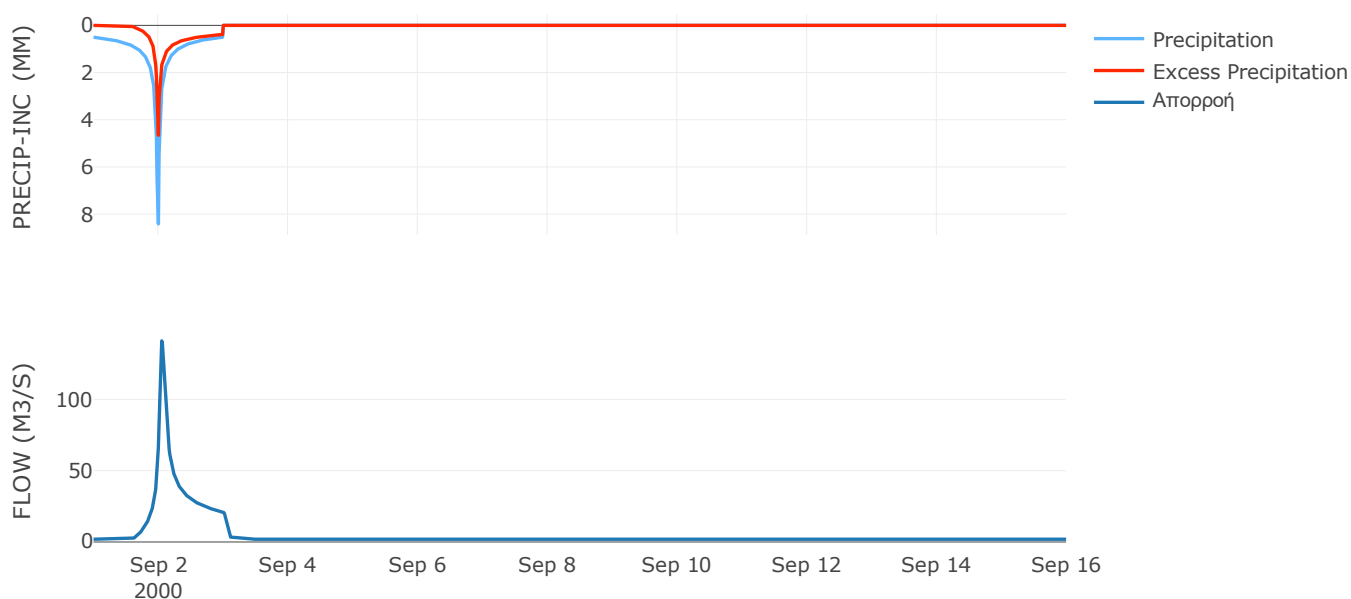
Μέθοδος
Μετασχηματισμού: SCS

| | |
|------------------|-------|
| Χρόνος Υστέρησης | 67.83 |
|------------------|-------|

Αποτελέσματα:
EL0420FR4033

| | |
|-----------------------------|------------------|
| Παροχή αιχμής (M3/S) | 141.03 |
| Χρονική στιγμή αιχμής | 02Sep2000, 01:15 |
| Όγκος (MM) | 155.38 |
| Όγκος βροχόπτωσης (M3) | 9.27E6 |
| Όγκος απωλειών (M3) | 5.11E6 |
| Ενεργός Όγκος (M3) | 4.16E6 |
| Όγκος άμεσης απορροής (M3) | 4.16E6 |
| Όγκος βασικής απορροής (M3) | 2.5E6 |

Βροχόπτωση και Απορροή



Υπολεκάνη: EL0420FR4034

Έκταση (KM2) : 46.4

Κατάνη : J6

Μέθοδος Απωλειών: SCS

| | |
|--------------------------------|-------|
| Ποσοστό αδιαπέρατης επιφάνειας | 0 |
| Αριθμός Καμπύλης Απορροής-CN | 58.95 |
| Αρχικές Απώλειες | 35.37 |

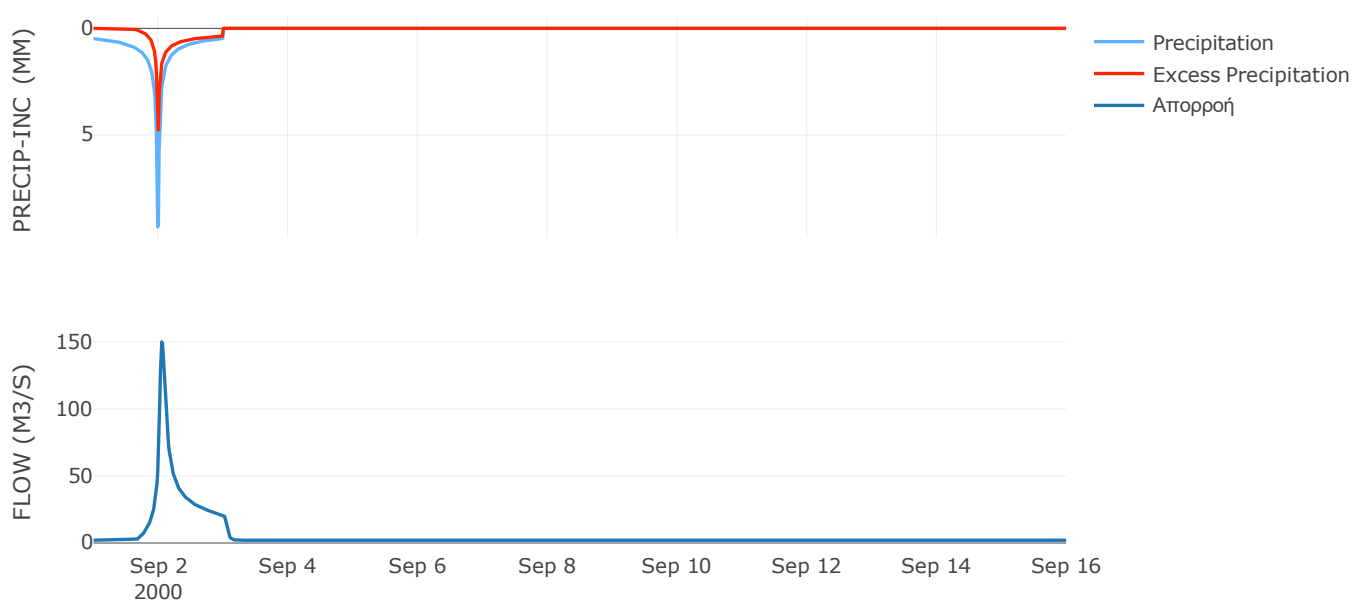
Μέθοδος
Μετασχηματισμού: SCS

| | |
|------------------|-------|
| Χρόνος Υστέρησης | 70.14 |
|------------------|-------|

Αποτελέσματα:
EL0420FR4034

| | |
|-----------------------------|------------------|
| Παροχή αιχμής (M3/S) | 150.11 |
| Χρονική στιγμή αιχμής | 02Sep2000, 01:15 |
| Όγκος (MM) | 149.34 |
| Όγκος βροχόπτωσης (M3) | 1E7 |
| Όγκος απωλειών (M3) | 5.78E6 |
| Ενεργός Όγκος (M3) | 4.22E6 |
| Όγκος άμεσης απορροής (M3) | 4.22E6 |
| Όγκος βασικής απορροής (M3) | 2.71E6 |

Βροχόπτωση και Απορροή



Υπολεκάνη: EL0420FR4035

Έκταση (KM2) : 12.2

Κατάντη : J19

Μέθοδος Απωλειών: SCS

| | |
|--------------------------------|-------|
| Ποσοστό αδιαπέρατης επιφάνειας | 0 |
| Αριθμός Καμπύλης Απορροής-CN | 81.66 |
| Αρχικές Απώλειες | 11.41 |

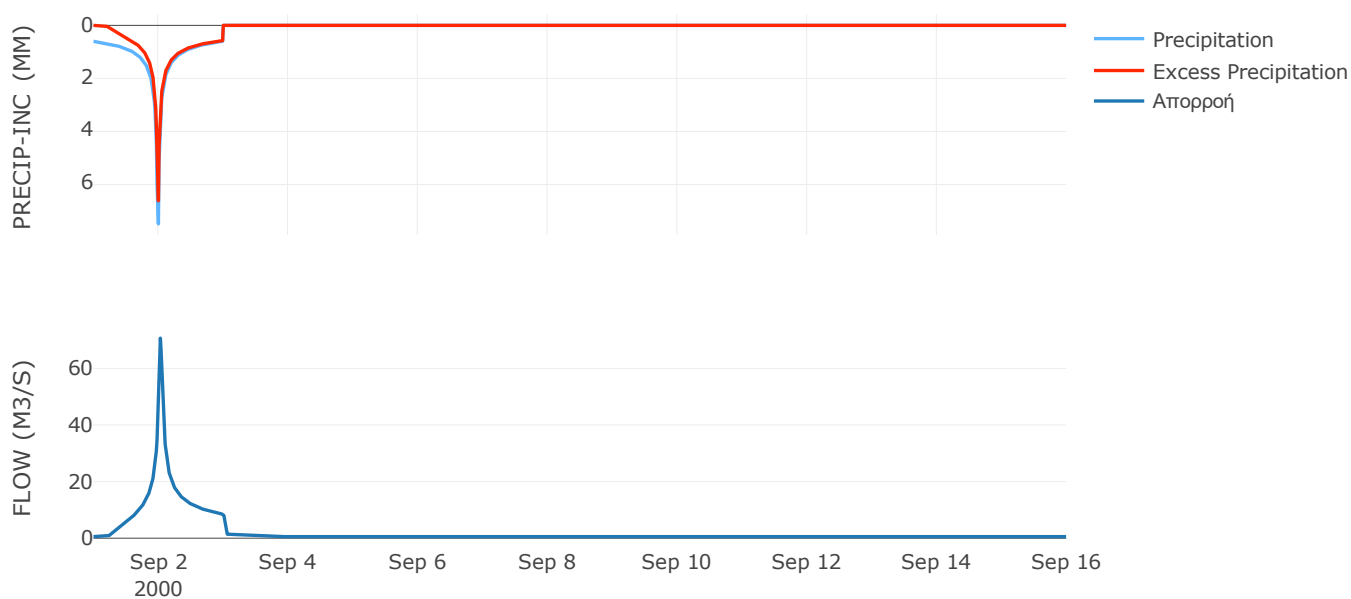
Μέθοδος
Μετασχηματισμού: SCS

| | |
|------------------|-------|
| Χρόνος Υστέρησης | 39.08 |
|------------------|-------|

Αποτελέσματα:
EL0420FR4035

| | |
|-----------------------------|------------------|
| Παροχή αιχμής (M3/S) | 70.7 |
| Χρονική στιγμή αιχμής | 02Sep2000, 00:45 |
| Όγκος (MM) | 234.61 |
| Όγκος βροχόπτωσης (M3) | 2.84E6 |
| Όγκος απωλειών (M3) | 6.93E5 |
| Ενεργός Όγκος (M3) | 2.15E6 |
| Όγκος άμεσης απορροής (M3) | 2.15E6 |
| Όγκος βασικής απορροής (M3) | 7.12E5 |

Βροχόπτωση και Απορροή



Υπολεκάνη: EL0420FR4036

Έκταση (KM2) : 17.89

Κατάντη : J18

Μέθοδος Απωλειών: SCS

| | |
|--------------------------------|-------|
| Ποσοστό αδιαπέρατης επιφάνειας | 0 |
| Αριθμός Καμπύλης Απορροής-CN | 81.52 |
| Αρχικές Απώλειες | 11.52 |

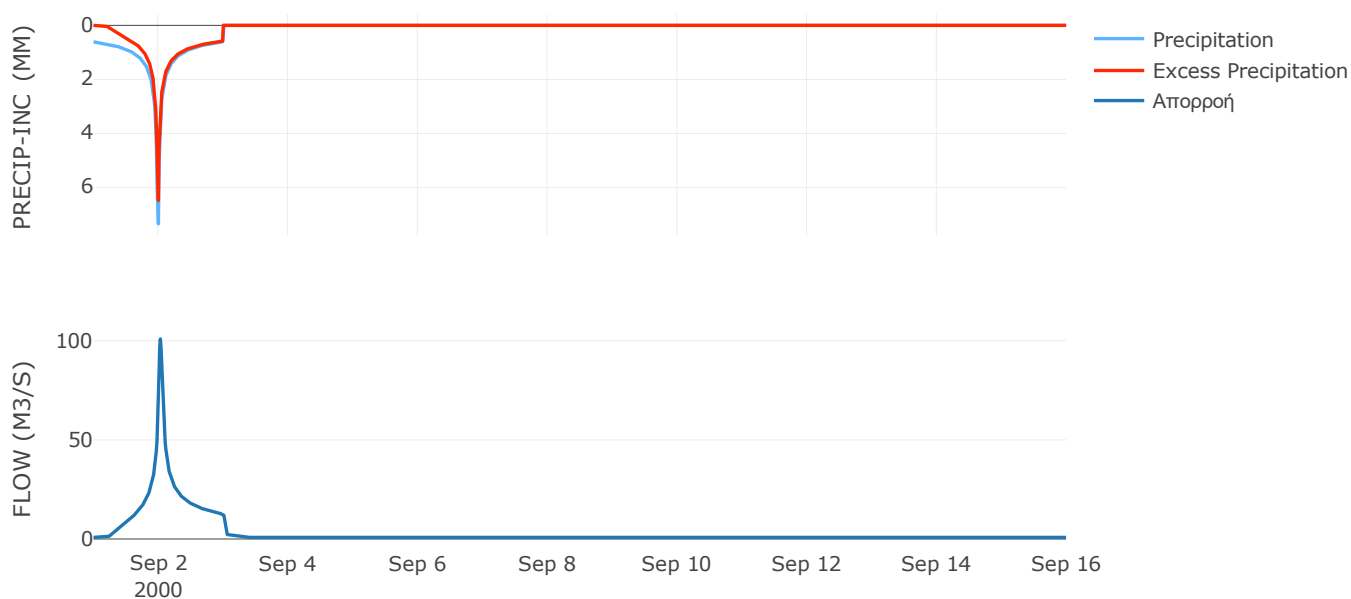
Μέθοδος
Μετασχηματισμού: SCS

| | |
|------------------|-------|
| Χρόνος Υστέρησης | 40.74 |
|------------------|-------|

Αποτελέσματα:
EL0420FR4036

| | |
|-----------------------------|------------------|
| Παροχή αιχμής (M3/S) | 100.93 |
| Χρονική στιγμή αιχμής | 02Sep2000, 00:45 |
| Όγκος (MM) | 234.58 |
| Όγκος βροχόπτωσης (M3) | 4.18E6 |
| Όγκος απωλειών (M3) | 1.02E6 |
| Ενεργός Όγκος (M3) | 3.15E6 |
| Όγκος άμεσης απορροής (M3) | 3.15E6 |
| Όγκος βασικής απορροής (M3) | 1.04E6 |

Βροχόπτωση και Απορροή



Υπολεκάνη: EL0420FR4037

Έκταση (KM2) : 37.96

Κατάνη : J17

Μέθοδος Απωλειών: SCS

| | |
|--------------------------------|-------|
| Ποσοστό αδιαπέρατης επιφάνειας | 0 |
| Αριθμός Καμπύλης Απορροής-CN | 80.64 |
| Αρχικές Απώλειες | 12.2 |

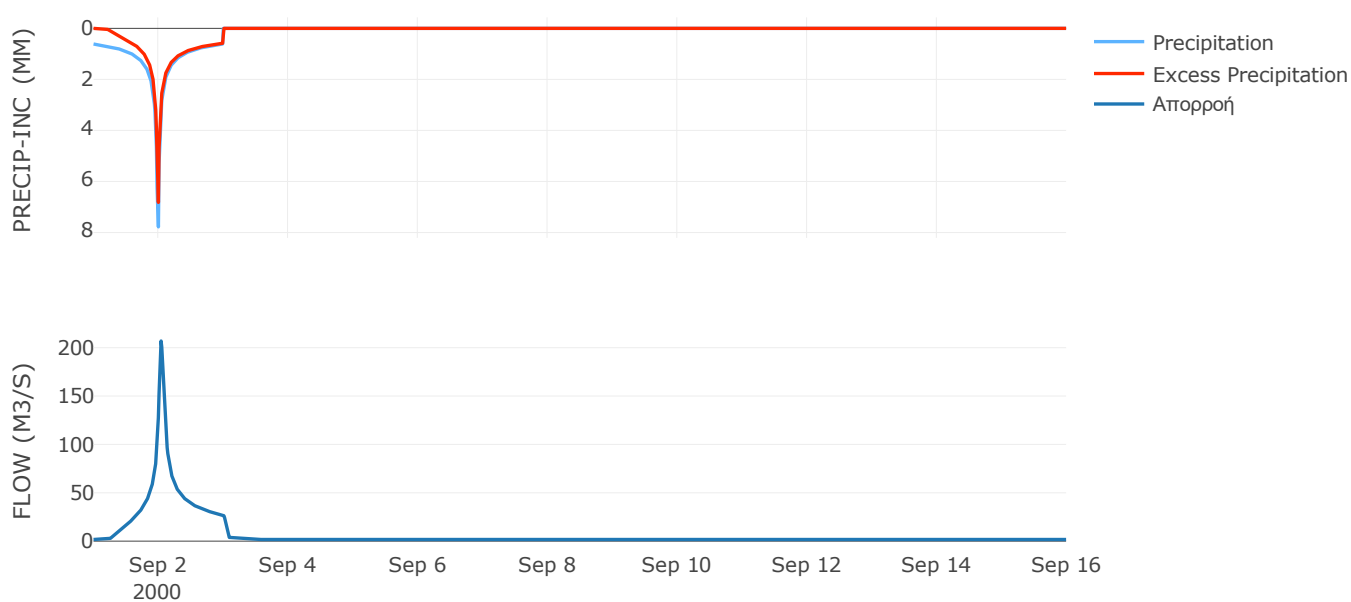
Μέθοδος
Μετασχηματισμού: SCS

| | |
|------------------|------|
| Χρόνος Υστέρησης | 56.2 |
|------------------|------|

Αποτελέσματα:
EL0420FR4037

| | |
|-----------------------------|------------------|
| Παροχή αιχμής (M3/S) | 206.92 |
| Χρονική στιγμή αιχμής | 02Sep2000, 01:00 |
| Όγκος (MM) | 237.33 |
| Όγκος βροχόπτωσης (M3) | 9.08E6 |
| Όγκος απωλειών (M3) | 2.29E6 |
| Ενεργός Όγκος (M3) | 6.8E6 |
| Όγκος άμεσης απορροής (M3) | 6.8E6 |
| Όγκος βασικής απορροής (M3) | 2.21E6 |

Βροχόπτωση και Απορροή



Υπολεκάνη: EL0420FR4038

Έκταση (KM2) : 11.75

Κατάνη : J15

Μέθοδος Απωλειών: SCS

| | |
|--------------------------------|-------|
| Ποσοστό αδιαπέρατης επιφάνειας | 0 |
| Αριθμός Καμπύλης Απορροής-CN | 68.37 |
| Αρχικές Απώλειες | 23.5 |

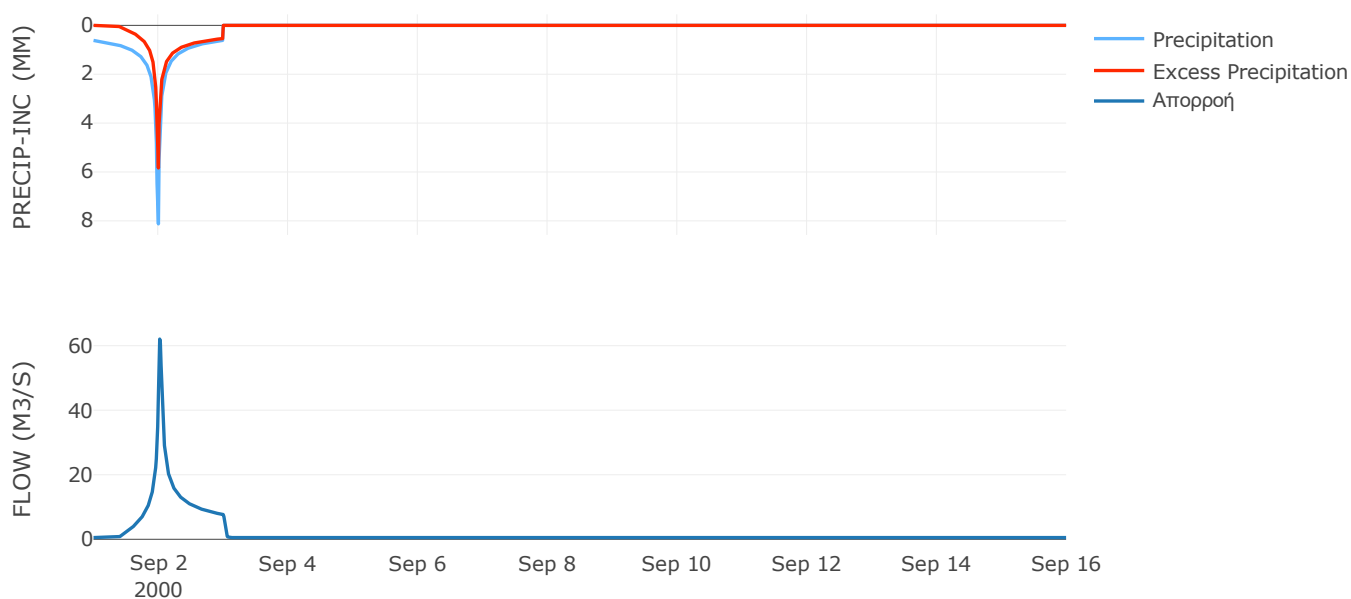
Μέθοδος
Μετασχηματισμού: SCS

| | |
|------------------|-------|
| Χρόνος Υστέρησης | 30.91 |
|------------------|-------|

Αποτελέσματα:
EL0420FR4038

| | |
|-----------------------------|------------------|
| Παροχή αιχμής (M3/S) | 62.05 |
| Χρονική στιγμή αιχμής | 02Sep2000, 00:30 |
| Όγκος (MM) | 201.95 |
| Όγκος βροχόπτωσης (M3) | 2.86E6 |
| Όγκος απωλειών (M3) | 1.18E6 |
| Ενεργός Όγκος (M3) | 1.69E6 |
| Όγκος άμεσης απορροής (M3) | 1.69E6 |
| Όγκος βασικής απορροής (M3) | 6.85E5 |

Βροχόπτωση και Απορροή



Υπολεκάνη: EL0420FR4039

Έκταση (KM2) : 21.53

Κατάντη : J23

Μέθοδος Απωλειών: SCS

| | |
|--------------------------------|-------|
| Ποσοστό αδιαπέρατης επιφάνειας | 0 |
| Αριθμός Καμπύλης Απορροής-CN | 72.21 |
| Αρχικές Απώλειες | 19.55 |

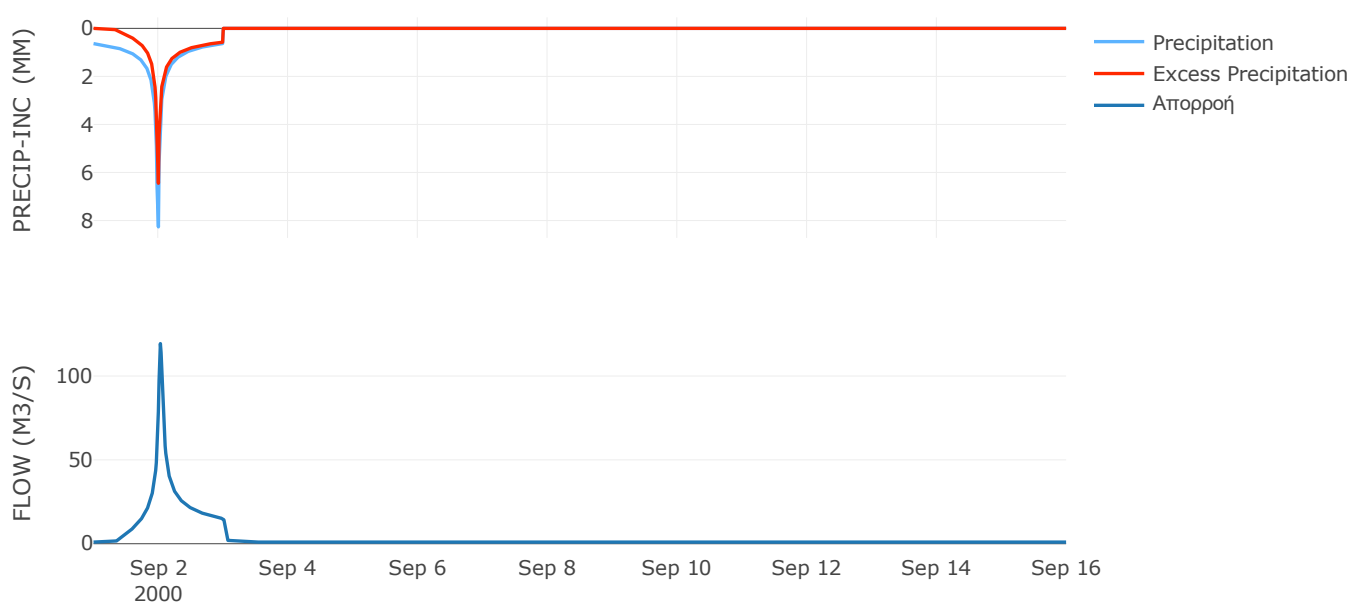
Μέθοδος
Μετασχηματισμού: SCS

| | |
|------------------|-------|
| Χρόνος Υστέρησης | 40.79 |
|------------------|-------|

Αποτελέσματα:
EL0420FR4039

| | |
|-----------------------------|------------------|
| Παροχή αιχμής (M3/S) | 119.32 |
| Χρονική στιγμή αιχμής | 02Sep2000, 00:45 |
| Όγκος (MM) | 219.86 |
| Όγκος βροχόπτωσης (M3) | 5.38E6 |
| Όγκος απωλειών (M3) | 1.9E6 |
| Ενεργός Όγκος (M3) | 3.48E6 |
| Όγκος άμεσης απορροής (M3) | 3.48E6 |
| Όγκος βασικής απορροής (M3) | 1.26E6 |

Βροχόπτωση και Απορροή



Υπολεκάνη: EL0420FR4040

Έκταση (KM2) : 34.79

Κατάντη : J12

Μέθοδος Απωλειών: SCS

| | |
|--------------------------------|-------|
| Ποσοστό αδιαπέρατης επιφάνειας | 0 |
| Αριθμός Καμπύλης Απορροής-CN | 59.29 |
| Αρχικές Απώλειες | 34.88 |

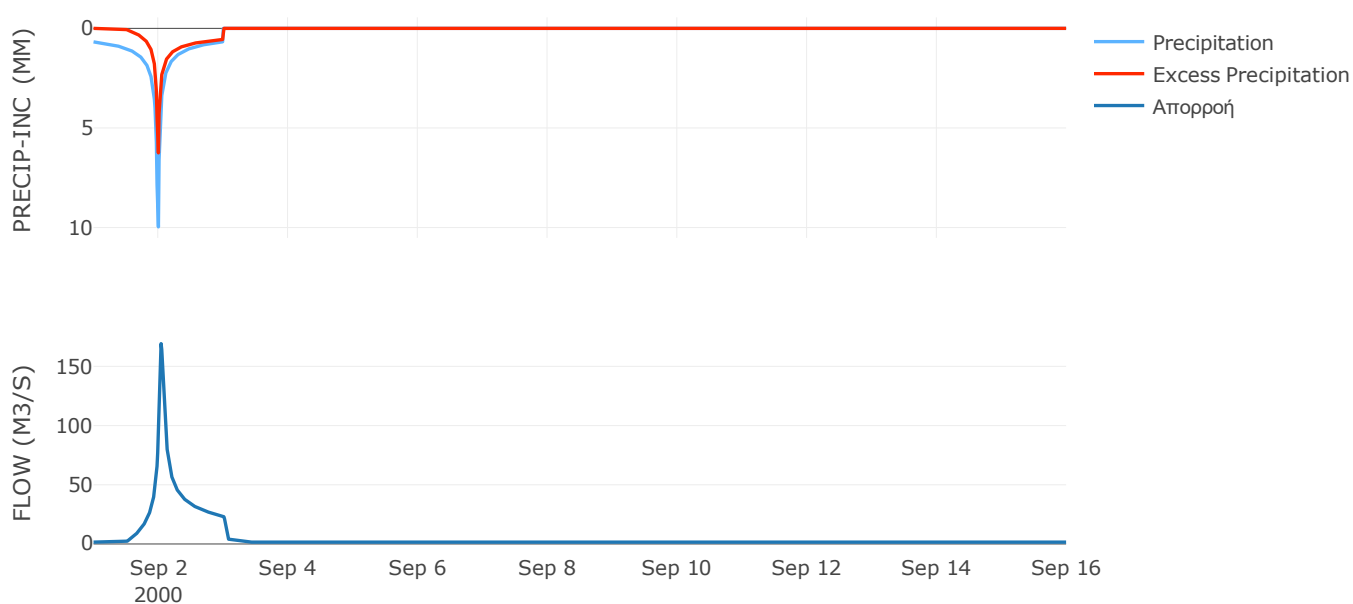
Μέθοδος
Μετασχηματισμού: SCS

| | |
|------------------|-------|
| Χρόνος Υστέρησης | 53.93 |
|------------------|-------|

Αποτελέσματα:
EL0420FR4040

| | |
|-----------------------------|------------------|
| Παροχή αιχμής (M3/S) | 169.19 |
| Χρονική στιγμή αιχμής | 02Sep2000, 01:00 |
| Όγκος (MM) | 200.37 |
| Όγκος βροχόπτωσης (M3) | 9.69E6 |
| Όγκος απωλειών (M3) | 4.75E6 |
| Ενεργός Όγκος (M3) | 4.94E6 |
| Όγκος άμεσης απορροής (M3) | 4.94E6 |
| Όγκος βασικής απορροής (M3) | 2.03E6 |

Βροχόπτωση και Απορροή



Υπολεκάνη: EL0420FR4041

Έκταση (KM2) : 17.22

Κατάντη : J25

Μέθοδος Απωλειών: SCS

| | |
|--------------------------------|-------|
| Ποσοστό αδιαπέρατης επιφάνειας | 0 |
| Αριθμός Καμπύλης Απορροής-CN | 51.86 |
| Αρχικές Απώλειες | 47.15 |

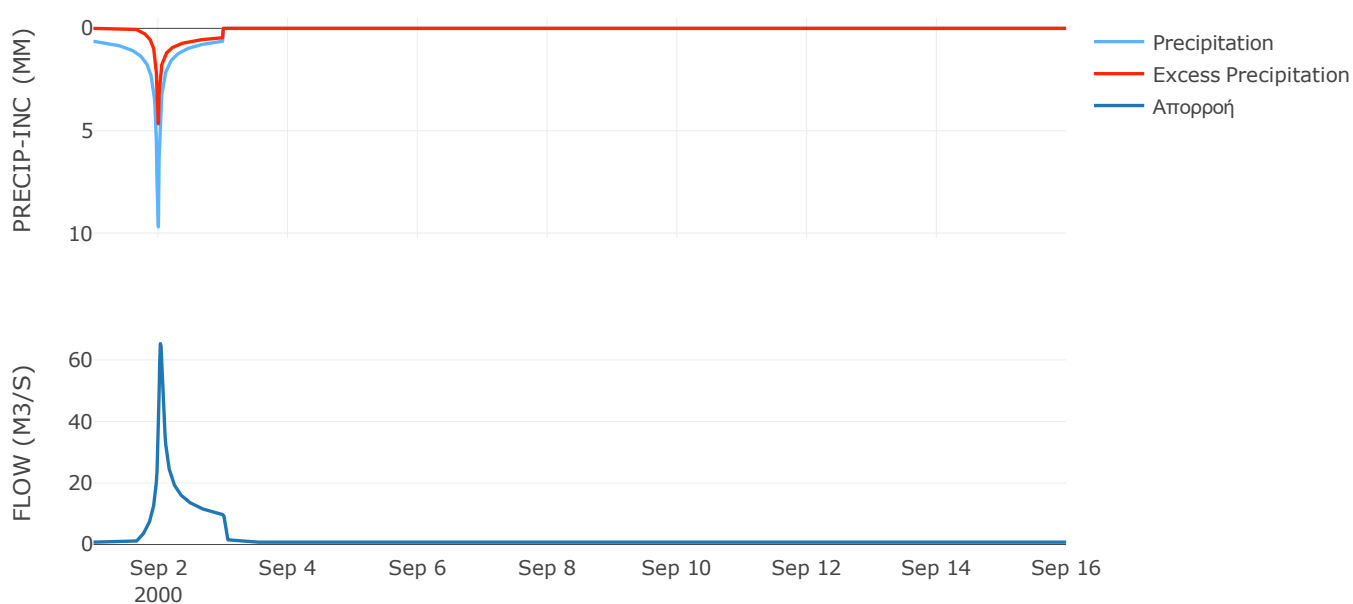
Μέθοδος
Μετασχηματισμού: SCS

| | |
|------------------|-------|
| Χρόνος Υστέρησης | 42.72 |
|------------------|-------|

Αποτελέσματα:
EL0420FR4041

| | |
|-----------------------------|------------------|
| Παροχή αιχμής (M3/S) | 65.27 |
| Χρονική στιγμή αιχμής | 02Sep2000, 00:45 |
| Όγκος (MM) | 162.09 |
| Όγκος βροχόπτωσης (M3) | 4.54E6 |
| Όγκος απωλειών (M3) | 2.76E6 |
| Ενεργός Όγκος (M3) | 1.79E6 |
| Όγκος άμεσης απορροής (M3) | 1.79E6 |
| Όγκος βασικής απορροής (M3) | 1E6 |

Βροχόπτωση και Απορροή



Υπολεκάνη: EL0420FR4042

Έκταση (KM2) : 21.68

Κατάντη : J25

Μέθοδος Απωλειών: SCS

| | |
|--------------------------------|-------|
| Ποσοστό αδιαπέρατης επιφάνειας | 0 |
| Αριθμός Καμπύλης Απορροής-CN | 50.78 |
| Αρχικές Απώλειες | 49.23 |

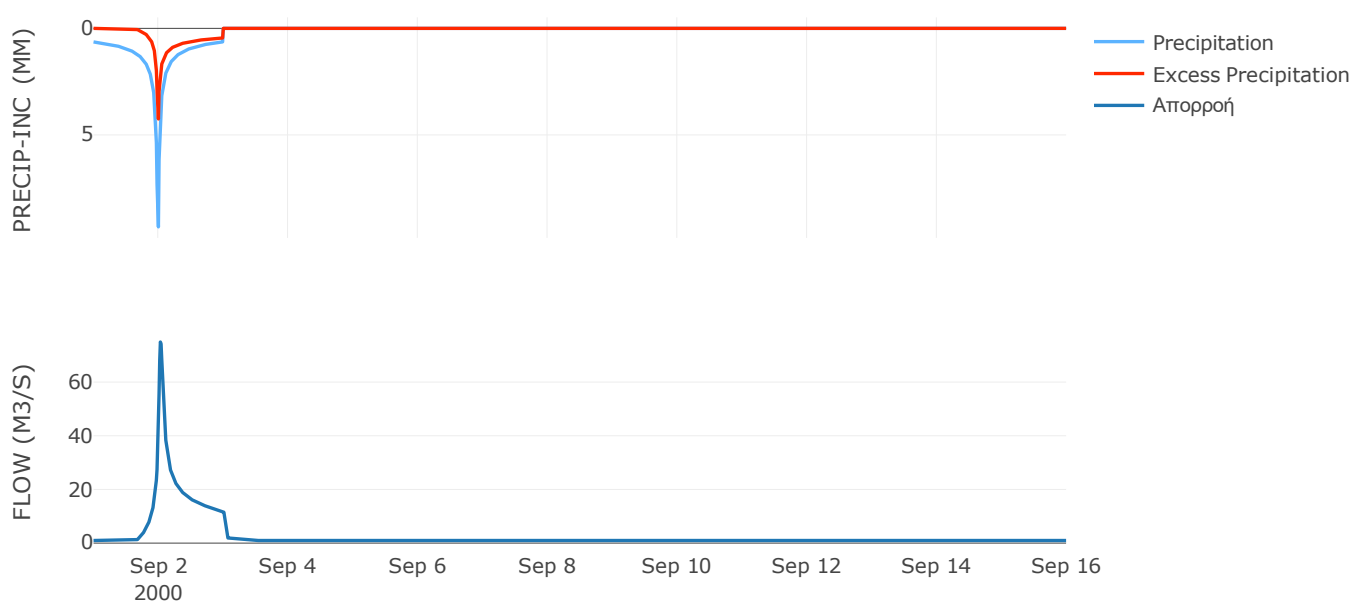
Μέθοδος
Μετασχηματισμού: SCS

| | |
|------------------|-------|
| Χρόνος Υστέρησης | 42.76 |
|------------------|-------|

Αποτελέσματα:
EL0420FR4042

| | |
|-----------------------------|------------------|
| Παροχή αιχμής (M3/S) | 74.95 |
| Χρονική στιγμή αιχμής | 02Sep2000, 00:45 |
| Όγκος (MM) | 156.29 |
| Όγκος βροχόπτωσης (M3) | 5.66E6 |
| Όγκος απωλειών (M3) | 3.54E6 |
| Ενεργός Όγκος (M3) | 2.12E6 |
| Όγκος άμεσης απορροής (M3) | 2.12E6 |
| Όγκος βασικής απορροής (M3) | 1.26E6 |

Βροχόπτωση και Απορροή



Υπολεκάνη: EL0420FR4043

Έκταση (KM2) : 13.12

Κατάντη : J24

Μέθοδος Απωλειών: SCS

| | |
|--------------------------------|-------|
| Ποσοστό αδιαπέρατης επιφάνειας | 0 |
| Αριθμός Καμπύλης Απορροής-CN | 57.47 |
| Αρχικές Απώλειες | 37.59 |

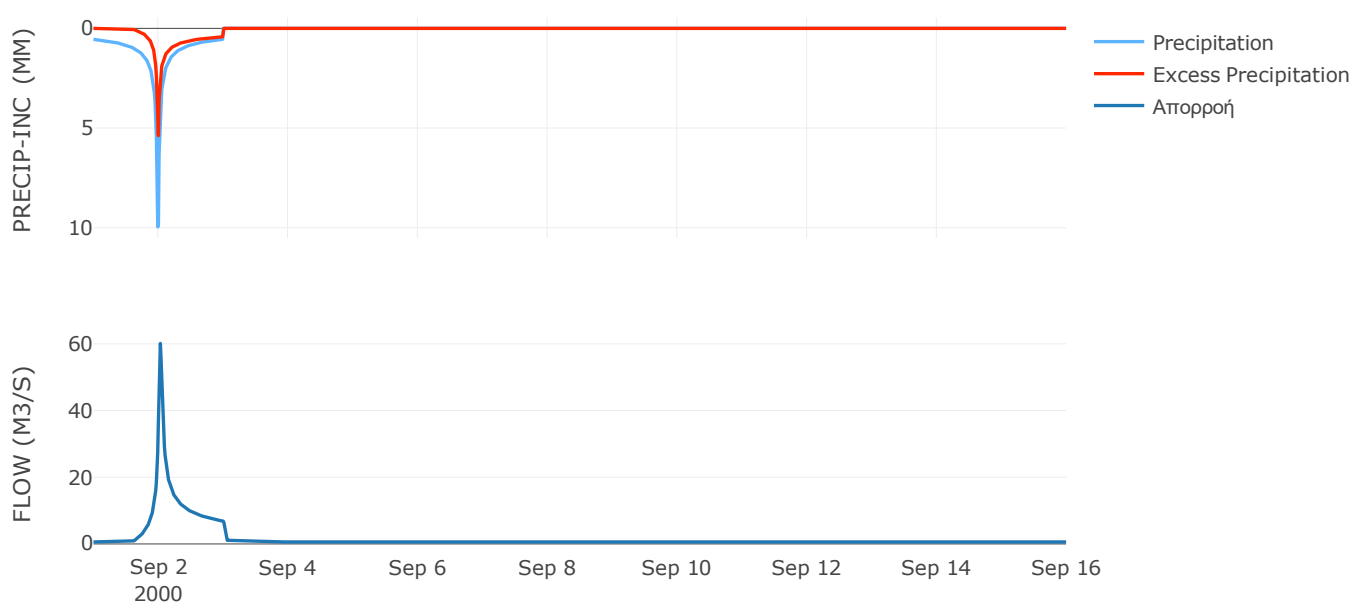
Μέθοδος
Μετασχηματισμού: SCS

| | |
|------------------|-------|
| Χρόνος Υστέρησης | 35.48 |
|------------------|-------|

Αποτελέσματα:
EL0420FR4043

| | |
|-----------------------------|------------------|
| Παροχή αιχμής (M3/S) | 60.11 |
| Χρονική στιγμή αιχμής | 02Sep2000, 00:45 |
| Όγκος (MM) | 165.72 |
| Όγκος βροχόπτωσης (M3) | 3.19E6 |
| Όγκος απωλειών (M3) | 1.78E6 |
| Ενεργός Όγκος (M3) | 1.41E6 |
| Όγκος άμεσης απορροής (M3) | 1.41E6 |
| Όγκος βασικής απορροής (M3) | 7.65E5 |

Βροχόπτωση και Απορροή



Υπολεκάνη: EL0420FR4044

Έκταση (KM2) : 10.33

Κατάντη : J24

Μέθοδος Απωλειών: SCS

| | |
|--------------------------------|-------|
| Ποσοστό αδιαπέρατης επιφάνειας | 0 |
| Αριθμός Καμπύλης Απορροής-CN | 48 |
| Αρχικές Απώλειες | 55.04 |

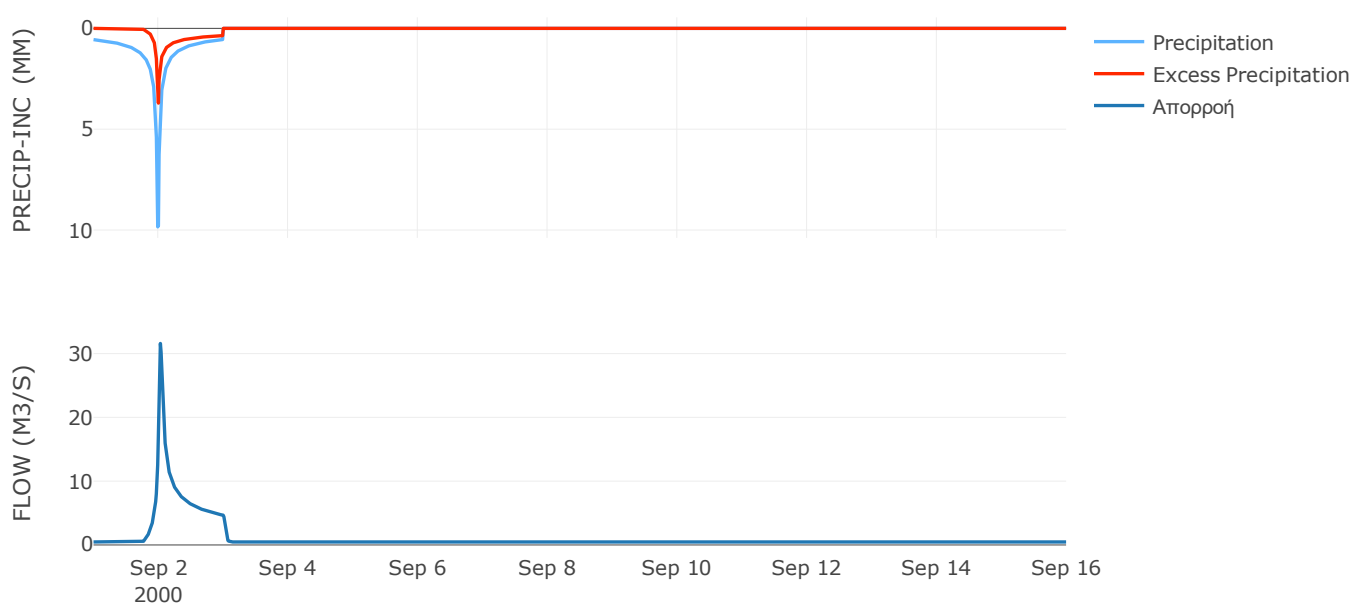
Μέθοδος
Μετασχηματισμού: SCS

| | |
|------------------|-------|
| Χρόνος Υστέρησης | 37.82 |
|------------------|-------|

Αποτελέσματα:
EL0420FR4044

| | |
|-----------------------------|------------------|
| Παροχή αιχμής (M3/S) | 31.58 |
| Χρονική στιγμή αιχμής | 02Sep2000, 00:45 |
| Όγκος (MM) | 135.48 |
| Όγκος βροχόπτωσης (M3) | 2.53E6 |
| Όγκος απωλειών (M3) | 1.73E6 |
| Ενεργός Όγκος (M3) | 7.97E5 |
| Όγκος άμεσης απορροής (M3) | 7.97E5 |
| Όγκος βασικής απορροής (M3) | 6.03E5 |

Βροχόπτωση και Απορροή



Υπολεκάνη: EL0420FR4045

Έκταση (KM2) : 5.32

Κατάνη : J11

Μέθοδος Απωλειών: SCS

| | |
|--------------------------------|-------|
| Ποσοστό αδιαπέρατης επιφάνειας | 0 |
| Αριθμός Καμπύλης Απορροής-CN | 58.91 |
| Αρχικές Απώλειες | 35.44 |

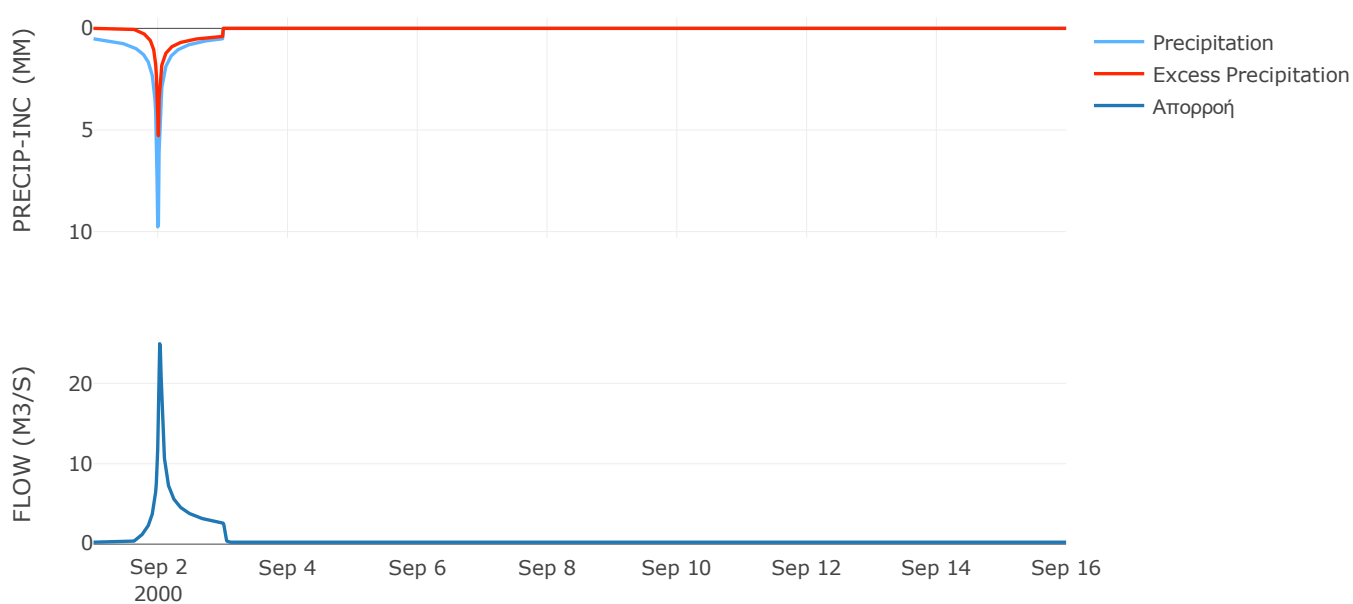
Μέθοδος
Μετασχηματισμού: SCS

| | |
|------------------|-------|
| Χρόνος Υστέρησης | 29.53 |
|------------------|-------|

Αποτελέσματα:
EL0420FR4045

| | |
|-----------------------------|------------------|
| Παροχή αιχμής (M3/S) | 24.93 |
| Χρονική στιγμή αιχμής | 02Sep2000, 00:30 |
| Όγκος (MM) | 160.84 |
| Όγκος βροχόπτωσης (M3) | 1.23E6 |
| Όγκος απωλειών (M3) | 6.82E5 |
| Ενεργός Όγκος (M3) | 5.45E5 |
| Όγκος άμεσης απορροής (M3) | 5.45E5 |
| Όγκος βασικής απορροής (M3) | 3.1E5 |

Βροχόπτωση και Απορροή



Υπολεκάνη: EL0420FR4046

Έκταση (KM2) : 24.57

Κατάντη : J10

Μέθοδος Απωλειών: SCS

| | |
|--------------------------------|-------|
| Ποσοστό αδιαπέρατης επιφάνειας | 0 |
| Αριθμός Καμπύλης Απορροής-CN | 52.86 |
| Αρχικές Απώλειες | 45.31 |

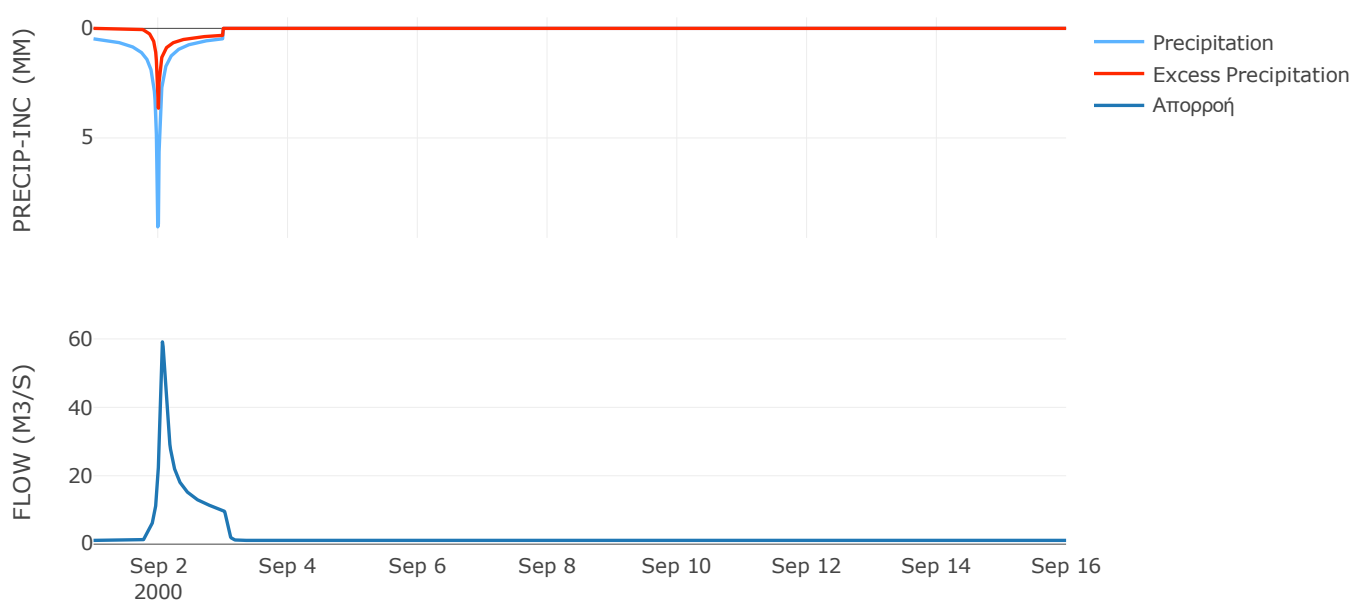
Μέθοδος
Μετασχηματισμού: SCS

| | |
|------------------|-------|
| Χρόνος Υστέρησης | 74.69 |
|------------------|-------|

Αποτελέσματα:
EL0420FR4046

| | |
|-----------------------------|------------------|
| Παροχή αιχμής (M3/S) | 59.14 |
| Χρονική στιγμή αιχμής | 02Sep2000, 01:30 |
| Όγκος (MM) | 130.41 |
| Όγκος βροχόπτωσης (M3) | 5.26E6 |
| Όγκος απωλειών (M3) | 3.49E6 |
| Ενεργός Όγκος (M3) | 1.77E6 |
| Όγκος άμεσης απορροής (M3) | 1.77E6 |
| Όγκος βασικής απορροής (M3) | 1.43E6 |

Βροχόπτωση και Απορροή



Υπολεκάνη: EL0420FR4047

Έκταση (KM2) : 37.25

Κατάντη : J26

Μέθοδος Απωλειών: SCS

| | |
|--------------------------------|-------|
| Ποσοστό αδιαπέρατης επιφάνειας | 0 |
| Αριθμός Καμπύλης Απορροής-CN | 50.17 |
| Αρχικές Απώλειες | 50.45 |

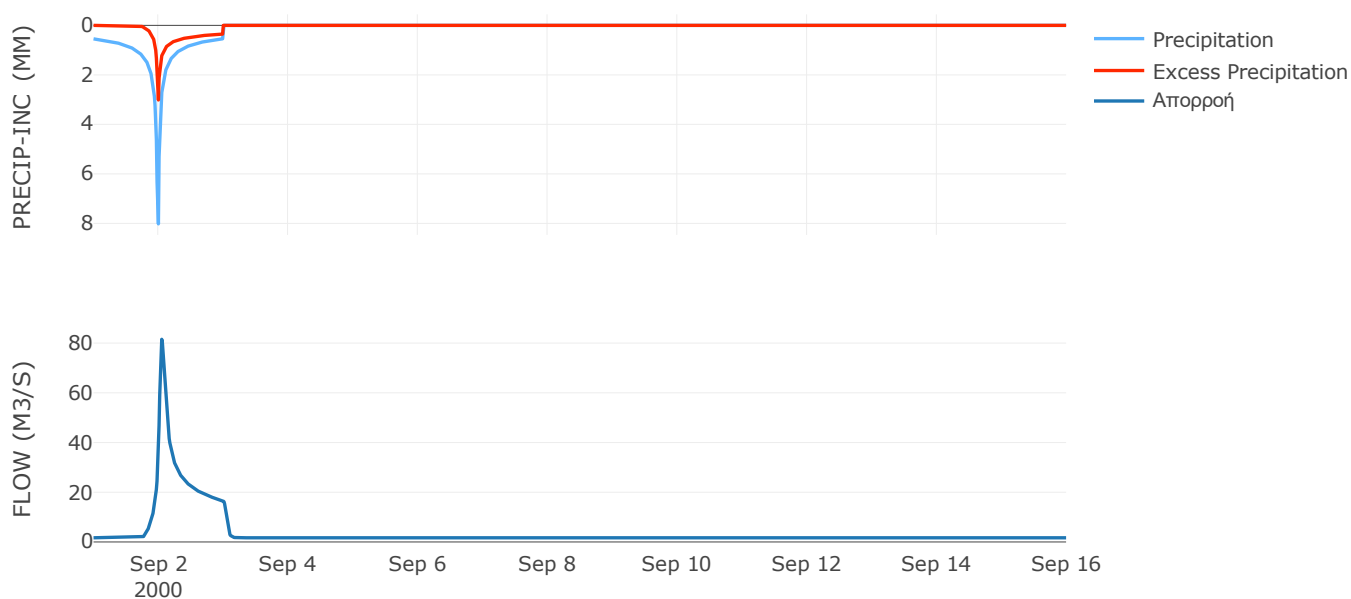
Μέθοδος
Μετασχηματισμού: SCS

| | |
|------------------|-------|
| Χρόνος Υστέρησης | 62.89 |
|------------------|-------|

Αποτελέσματα:
EL0420FR4047

| | |
|-----------------------------|------------------|
| Παροχή αιχμής (M3/S) | 81.53 |
| Χρονική στιγμή αιχμής | 02Sep2000, 01:15 |
| Όγκος (MM) | 129.01 |
| Όγκος βροχόπτωσης (M3) | 8.34E6 |
| Όγκος απωλειών (M3) | 5.71E6 |
| Ενεργός Όγκος (M3) | 2.63E6 |
| Όγκος άμεσης απορροής (M3) | 2.63E6 |
| Όγκος βασικής απορροής (M3) | 2.17E6 |

Βροχόπτωση και Απορροή



Υπολεκάνη: EL0420FR4048

Έκταση (KM2) : 34.69

Κατάντη : J26

Μέθοδος Απωλειών: SCS

| | |
|--------------------------------|-------|
| Ποσοστό αδιαπέρατης επιφάνειας | 0 |
| Αριθμός Καμπύλης Απορροής-CN | 50.81 |
| Αρχικές Απώλειες | 49.18 |

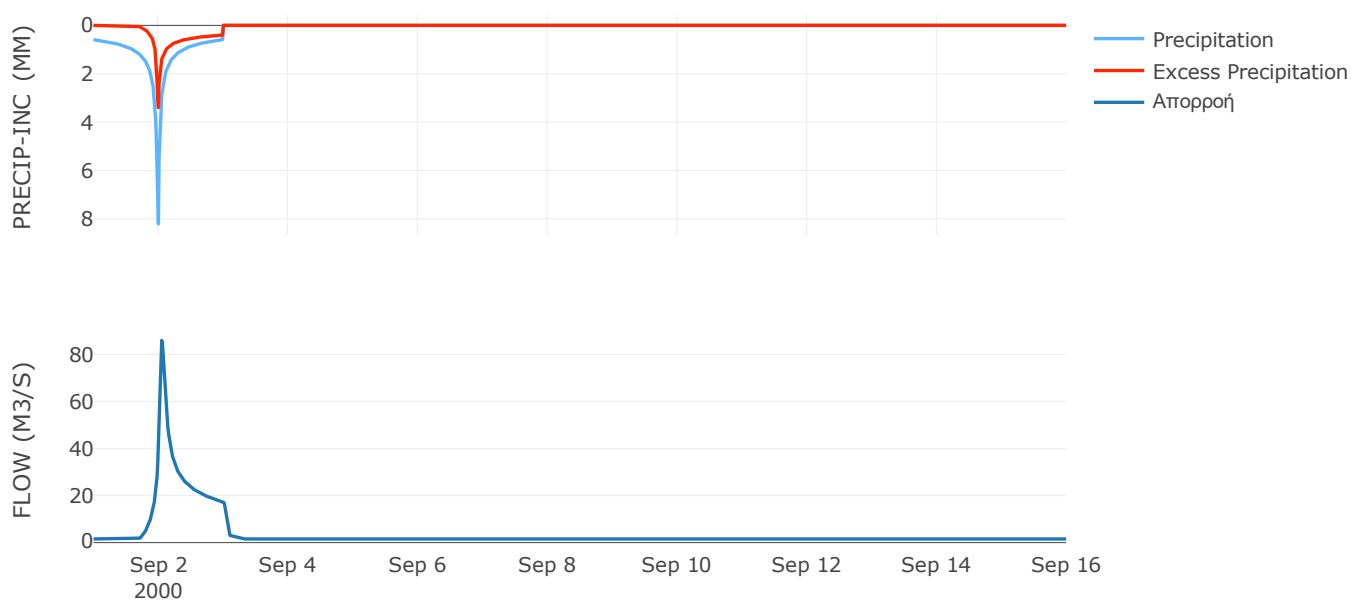
Μέθοδος
Μετασχηματισμού: SCS

| | |
|------------------|-------|
| Χρόνος Υστέρησης | 64.77 |
|------------------|-------|

Αποτελέσματα:
EL0420FR4048

| | |
|-----------------------------|------------------|
| Παροχή αιχμής (M3/S) | 85.91 |
| Χρονική στιγμή αιχμής | 02Sep2000, 01:15 |
| Όγκος (MM) | 140.39 |
| Όγκος βροχόπτωσης (M3) | 8.26E6 |
| Όγκος απωλειών (M3) | 5.41E6 |
| Ενεργός Όγκος (M3) | 2.85E6 |
| Όγκος άμεσης απορροής (M3) | 2.85E6 |
| Όγκος βασικής απορροής (M3) | 2.02E6 |

Βροχόπτωση και Απορροή



Υπολεκάνη: EL0420FR4049

Έκταση (KM2) : 11.77

Κατάνη : J9

Μέθοδος Απωλειών: SCS

| | |
|--------------------------------|-------|
| Ποσοστό αδιαπέρατης επιφάνειας | 0 |
| Αριθμός Καμπύλης Απορροής-CN | 57.41 |
| Αρχικές Απώλειες | 37.69 |

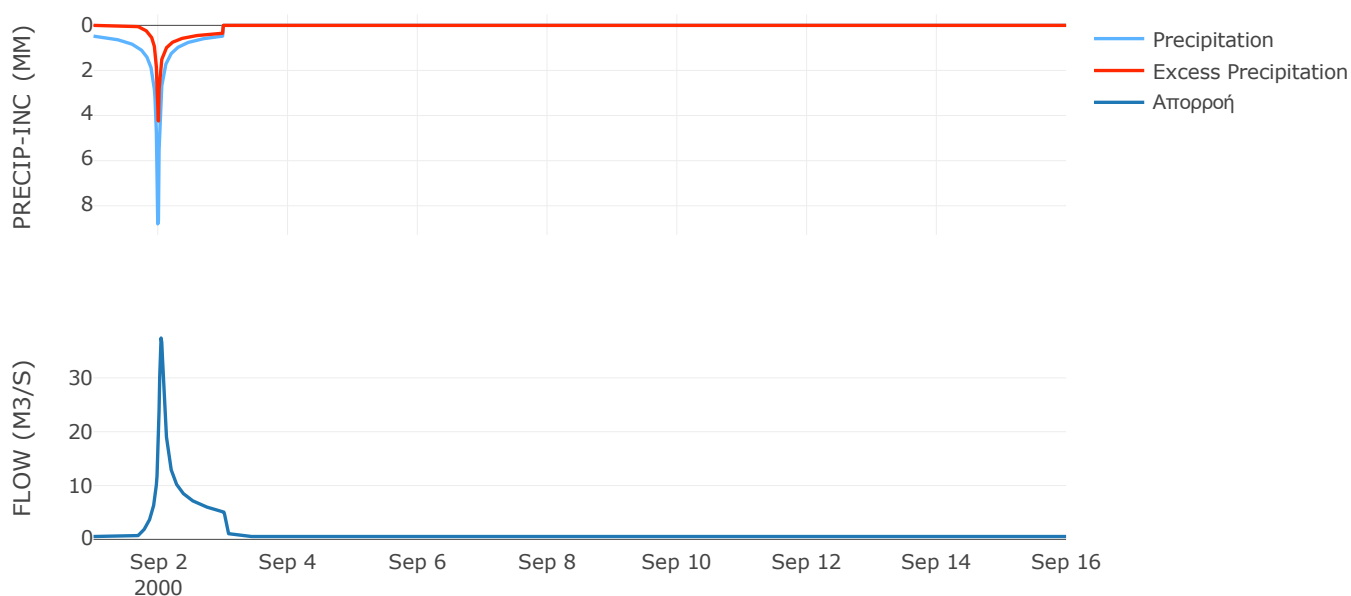
Μέθοδος
Μετασχηματισμού: SCS

| | |
|------------------|-------|
| Χρόνος Υστέρησης | 53.94 |
|------------------|-------|

Αποτελέσματα:
EL0420FR4049

| | |
|-----------------------------|------------------|
| Παροχή αιχμής (M3/S) | 37.41 |
| Χρονική στιγμή αιχμής | 02Sep2000, 01:00 |
| Όγκος (MM) | 142.57 |
| Όγκος βροχόπτωσης (M3) | 2.5E6 |
| Όγκος απωλειών (M3) | 1.51E6 |
| Ενεργός Όγκος (M3) | 9.92E5 |
| Όγκος άμεσης απορροής (M3) | 9.92E5 |
| Όγκος βασικής απορροής (M3) | 6.86E5 |

Βροχόπτωση και Απορροή



Υπολεκάνη: EL0420FR4050

Έκταση (KM2) : 19.25

Κατάνη : J7

Μέθοδος Απωλειών: SCS

| | |
|--------------------------------|-------|
| Ποσοστό αδιαπέρατης επιφάνειας | 0 |
| Αριθμός Καμπύλης Απορροής-CN | 55.91 |
| Αρχικές Απώλειες | 40.05 |

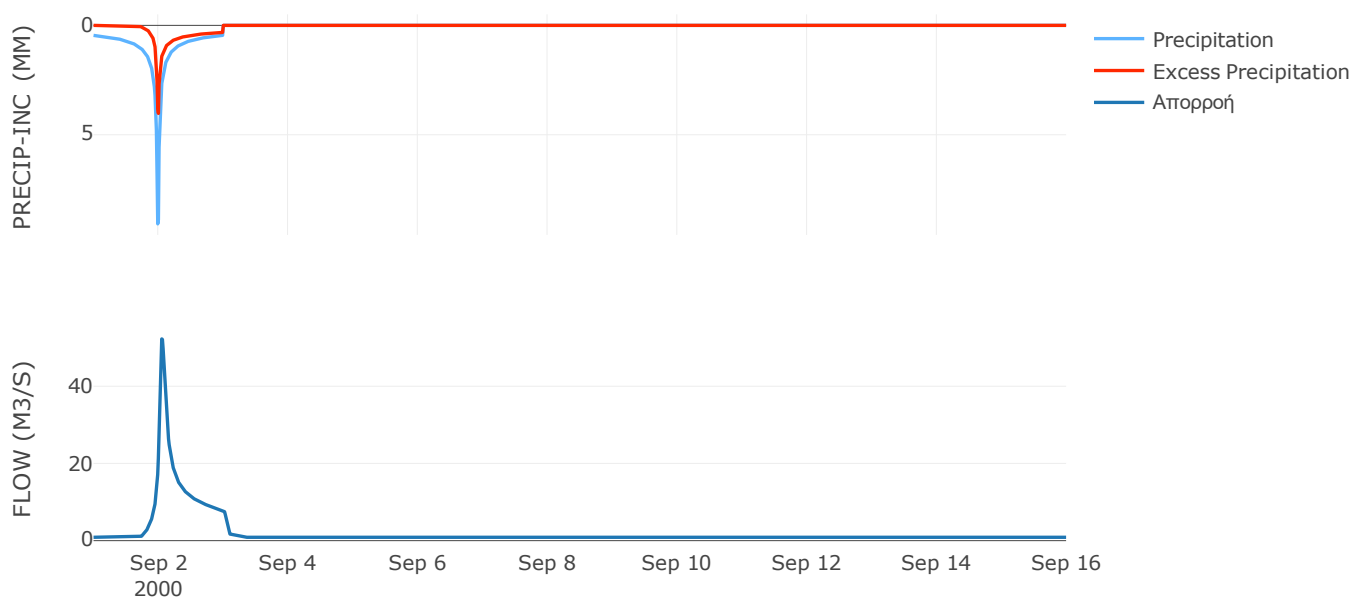
Μέθοδος
Μετασχηματισμού: SCS

| | |
|------------------|-------|
| Χρόνος Υστέρησης | 69.49 |
|------------------|-------|

Αποτελέσματα:
EL0420FR4050

| | |
|-----------------------------|------------------|
| Παροχή αιχμής (M3/S) | 52.26 |
| Χρονική στιγμή αιχμής | 02Sep2000, 01:15 |
| Όγκος (MM) | 135.36 |
| Όγκος βροχόπτωσης (M3) | 4.02E6 |
| Όγκος απωλειών (M3) | 2.53E6 |
| Ενεργός Όγκος (M3) | 1.48E6 |
| Όγκος άμεσης απορροής (M3) | 1.48E6 |
| Όγκος βασικής απορροής (M3) | 1.12E6 |

Βροχόπτωση και Απορροή



Υπολεκάνη: EL0420FR4051

Έκταση (KM2) : 32.45

Κατάνη : J4

Μέθοδος Απωλειών: SCS

| | |
|--------------------------------|-------|
| Ποσοστό αδιαπέρατης επιφάνειας | 0 |
| Αριθμός Καμπύλης Απορροής-CN | 80.53 |
| Αρχικές Απώλειες | 12.28 |

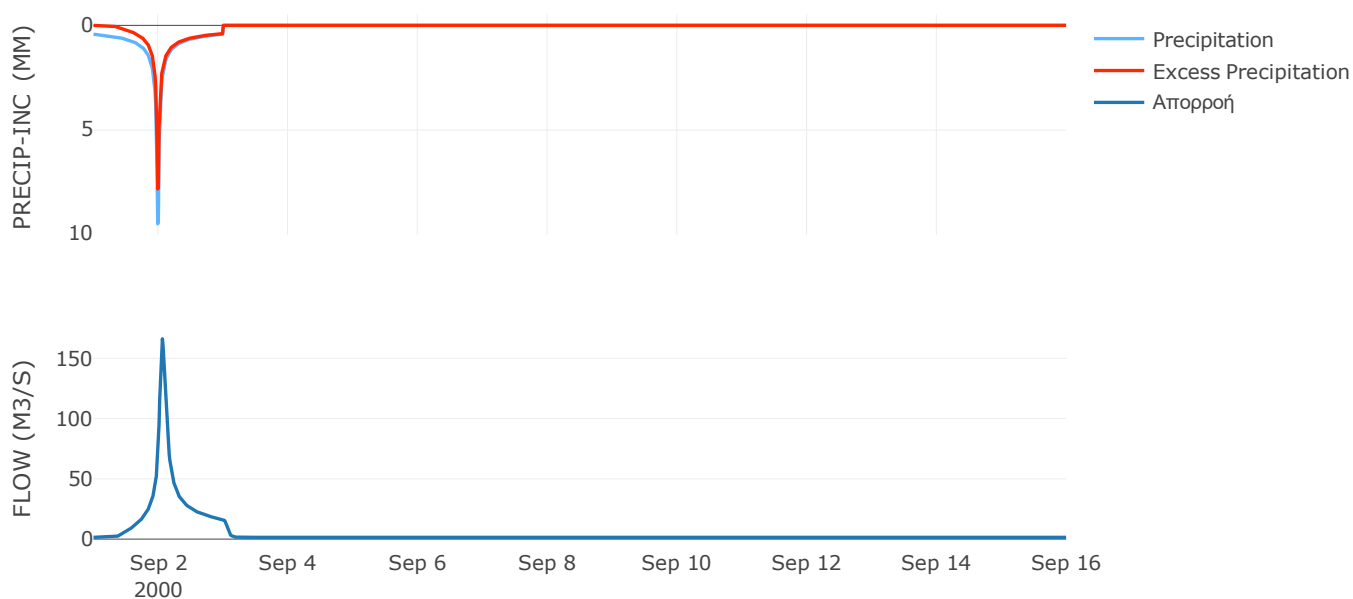
Μέθοδος
Μετασχηματισμού: SCS

| | |
|------------------|-------|
| Χρόνος Υστέρησης | 78.92 |
|------------------|-------|

Αποτελέσματα:
EL0420FR4051

| | |
|-----------------------------|------------------|
| Παροχή αιχμής (M3/S) | 166.14 |
| Χρονική στιγμή αιχμής | 02Sep2000, 01:30 |
| Όγκος (MM) | 199.94 |
| Όγκος βροχόπτωσης (M3) | 6.5E6 |
| Όγκος απωλειών (M3) | 1.9E6 |
| Ενεργός Όγκος (M3) | 4.6E6 |
| Όγκος άμεσης απορροής (M3) | 4.6E6 |
| Όγκος βασικής απορροής (M3) | 1.89E6 |

Βροχόπτωση και Απορροή



Υπολεκάνη: EL0420FR4052

Έκταση (KM2) : 29.83

Κατάντη : J30

Μέθοδος Απωλειών: SCS

| | |
|--------------------------------|-------|
| Ποσοστό αδιαπέρατης επιφάνειας | 0 |
| Αριθμός Καμπύλης Απορροής-CN | 80.61 |
| Αρχικές Απώλειες | 12.22 |

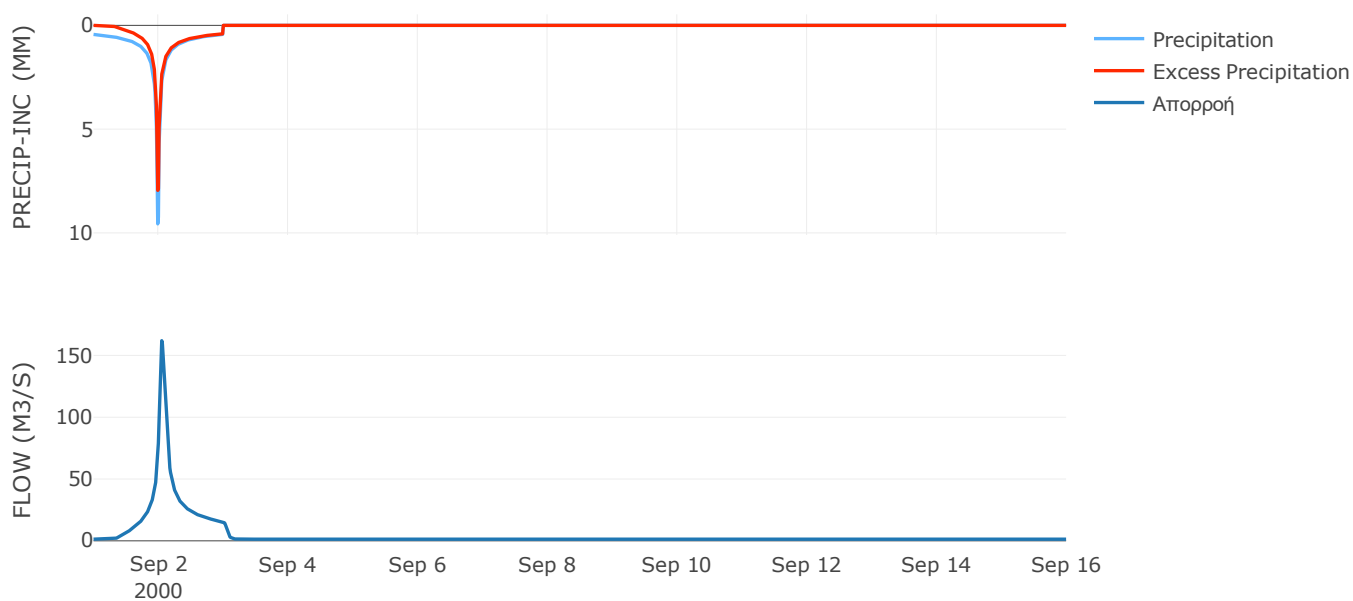
Μέθοδος
Μετασχηματισμού: SCS

| | |
|------------------|-------|
| Χρόνος Υστέρησης | 72.85 |
|------------------|-------|

Αποτελέσματα:
EL0420FR4052

| | |
|-----------------------------|------------------|
| Παροχή αιχμής (M3/S) | 161.94 |
| Χρονική στιγμή αιχμής | 02Sep2000, 01:15 |
| Όγκος (MM) | 205.13 |
| Όγκος βροχόπτωσης (M3) | 6.13E6 |
| Όγκος απωλειών (M3) | 1.75E6 |
| Ενεργός Όγκος (M3) | 4.38E6 |
| Όγκος άμεσης απορροής (M3) | 4.38E6 |
| Όγκος βασικής απορροής (M3) | 1.74E6 |

Βροχόπτωση και Απορροή



Υπολεκάνη: EL0420FR4053

Έκταση (KM2) : 0.54

Κατάνη : J20

Μέθοδος Απωλειών: SCS

| | |
|--------------------------------|-------|
| Ποσοστό αδιαπέρατης επιφάνειας | 0 |
| Αριθμός Καμπύλης Απορροής-CN | 81.16 |
| Αρχικές Απώλειες | 11.79 |

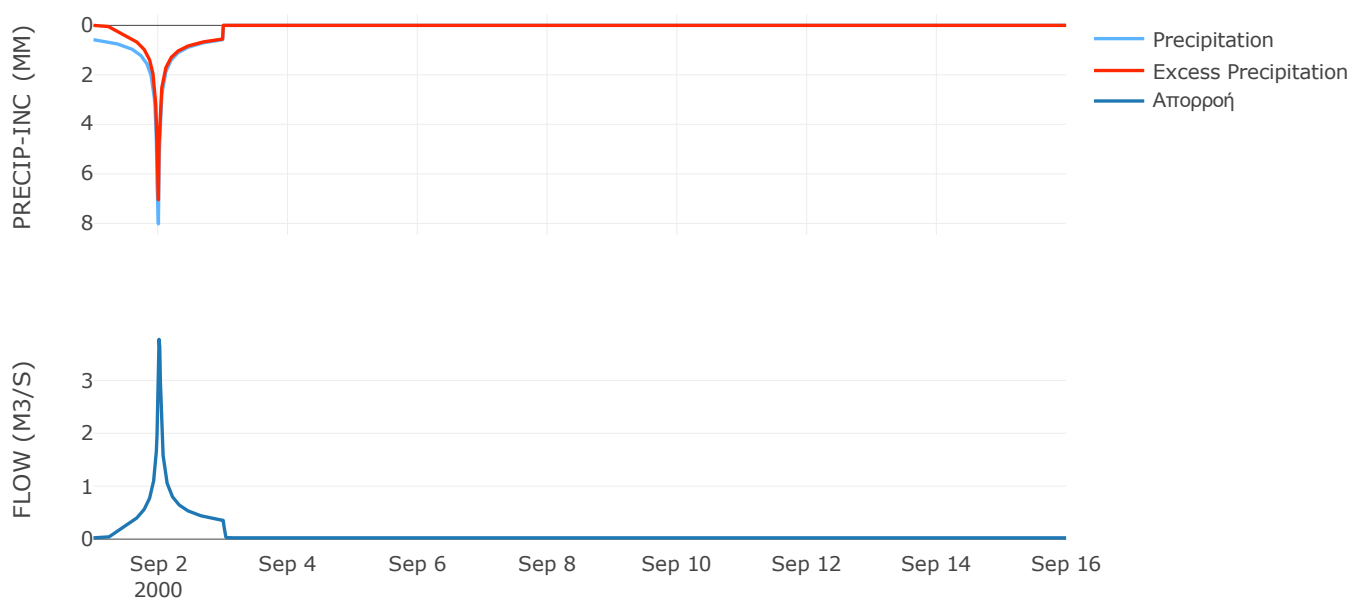
Μέθοδος
Μετασχηματισμού: SCS

| | |
|------------------|-------|
| Χρόνος Υστέρησης | 17.19 |
|------------------|-------|

Αποτελέσματα:
EL0420FR4053

| | |
|-----------------------------|------------------|
| Παροχή αιχμής (M3/S) | 3.78 |
| Χρονική στιγμή αιχμής | 02Sep2000, 00:15 |
| Όγκος (MM) | 232.97 |
| Όγκος βροχόπτωσης (M3) | 1.25E5 |
| Όγκος απωλειών (M3) | 31304.62 |
| Ενεργός Όγκος (M3) | 93700.89 |
| Όγκος άμεσης απορροής (M3) | 93700.89 |
| Όγκος βασικής απορροής (M3) | 31289.33 |

Βροχόπτωση και Απορροή



Υπολεκάνη: EL0420FR4054

Έκταση (KM2) : 4.72

Κατάντη : J2

Μέθοδος Απωλειών: SCS

| | |
|--------------------------------|-------|
| Ποσοστό αδιαπέρατης επιφάνειας | 0 |
| Αριθμός Καμπύλης Απορροής-CN | 80.61 |
| Αρχικές Απώλειες | 12.22 |

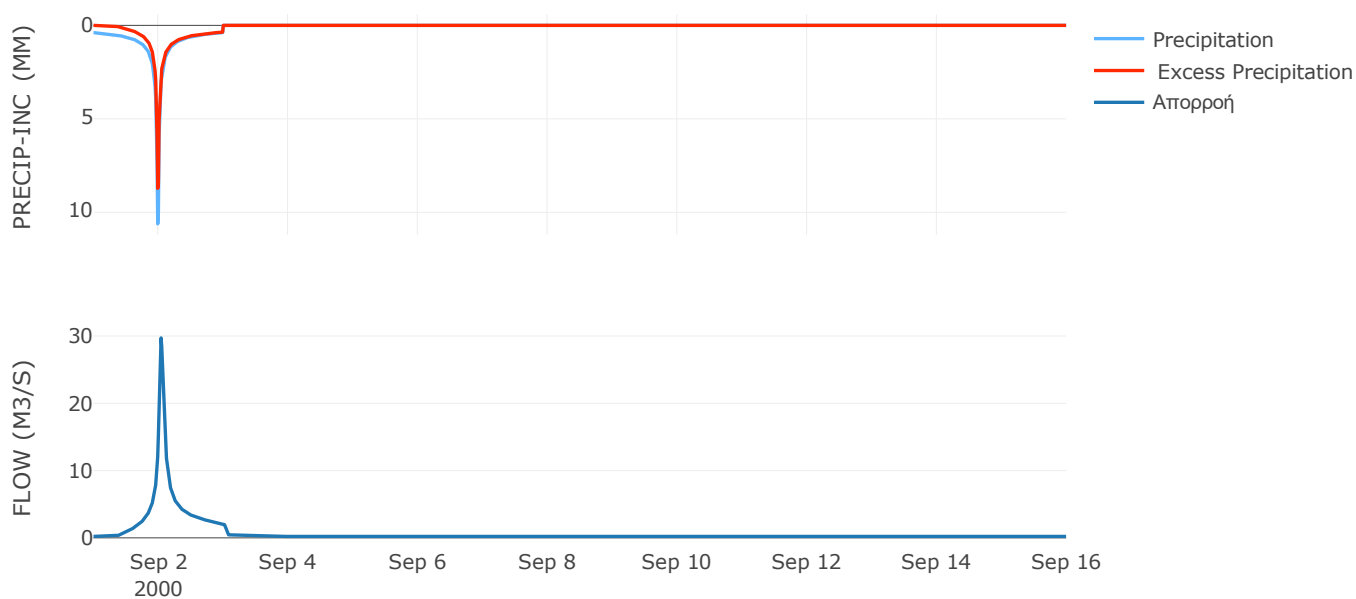
Μέθοδος
Μετασχηματισμού: SCS

| | |
|------------------|-------|
| Χρόνος Υστέρησης | 55.42 |
|------------------|-------|

Αποτελέσματα:
EL0420FR4054

| | |
|-----------------------------|------------------|
| Παροχή αιχμής (M3/S) | 29.72 |
| Χρονική στιγμή αιχμής | 02Sep2000, 01:00 |
| Όγκος (MM) | 197.53 |
| Όγκος βροχόπτωσης (M3) | 9.31E5 |
| Όγκος απωλειών (M3) | 2.74E5 |
| Ενεργός Όγκος (M3) | 6.57E5 |
| Όγκος άμεσης απορροής (M3) | 6.57E5 |
| Όγκος βασικής απορροής (M3) | 2.75E5 |

Βροχόπτωση και Απορροή



Υπολεκάνη: EL0420FR4055

Έκταση (KM2) : 10.12

Κατάντη : Diversion - 1

Μέθοδος Απωλειών: SCS

| | |
|--------------------------------|-------|
| Ποσοστό αδιαπέρατης επιφάνειας | 4.1 |
| Αριθμός Καμπύλης Απορροής-CN | 72.62 |
| Αρχικές Απώλειες | 19.15 |

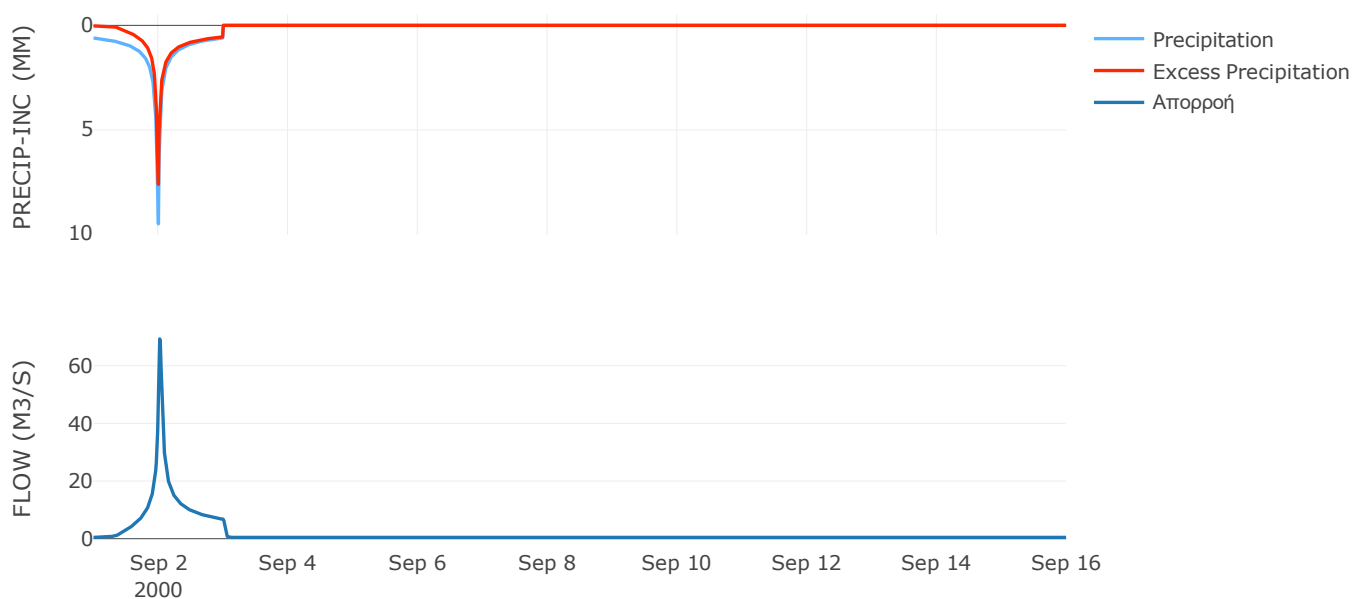
Μέθοδος
Μετασχηματισμού: SCS

| | |
|------------------|-------|
| Χρόνος Υστέρησης | 31.52 |
|------------------|-------|

Αποτελέσματα:
EL0420FR4055

| | |
|-----------------------------|------------------|
| Παροχή αιχμής (M3/S) | 69.29 |
| Χρονική στιγμή αιχμής | 02Sep2000, 00:30 |
| Όγκος (MM) | 228.57 |
| Όγκος βροχόπτωσης (M3) | 2.57E6 |
| Όγκος απωλειών (M3) | 8.46E5 |
| Ενεργός Όγκος (M3) | 1.72E6 |
| Όγκος άμεσης απορροής (M3) | 1.72E6 |
| Όγκος βασικής απορροής (M3) | 5.9E5 |

Βροχόπτωση και Απορροή



Υπολεκάνη: EL0420FR4056

Έκταση (KM2) : 13.8

Κατάντη : J5

Μέθοδος Απωλειών: SCS

| | |
|--------------------------------|------|
| Ποσοστό αδιαπέρατης επιφάνειας | 0 |
| Αριθμός Καμπύλης Απορροής-CN | 80.5 |
| Αρχικές Απώλειες | 12.3 |

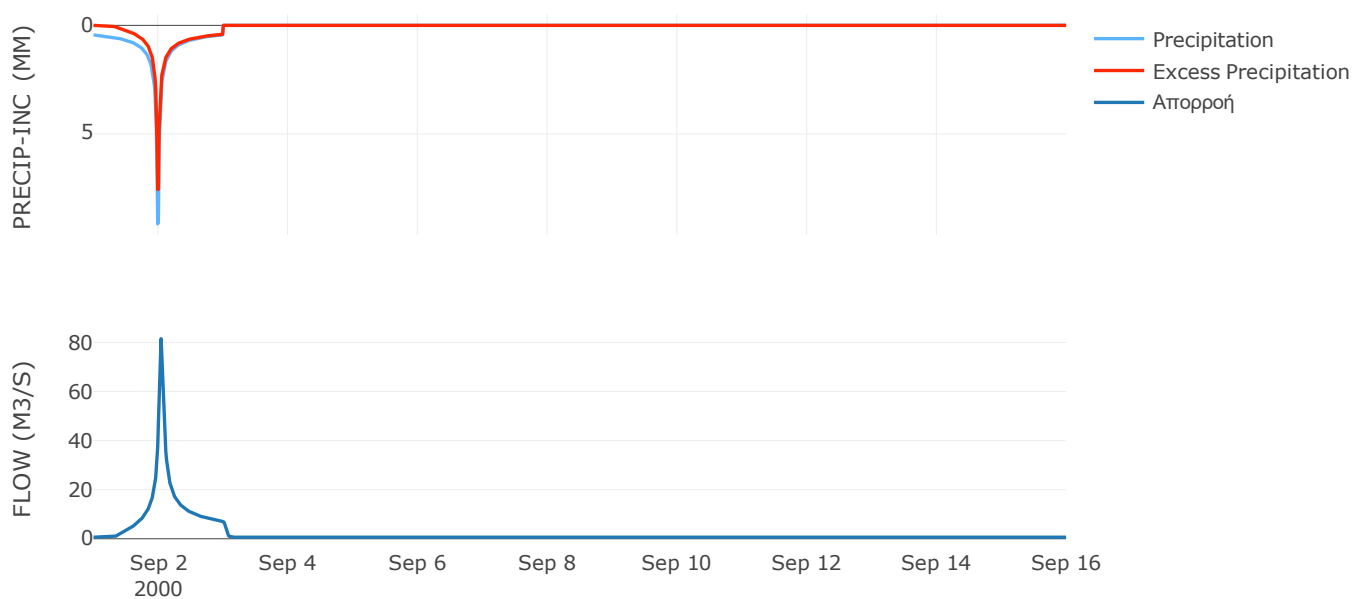
Μέθοδος
Μετασχηματισμού: SCS

| | |
|------------------|-------|
| Χρόνος Υστέρησης | 49.87 |
|------------------|-------|

Αποτελέσματα:
EL0420FR4056

| | |
|-----------------------------|------------------|
| Παροχή αιχμής (M3/S) | 81.51 |
| Χρονική στιγμή αιχμής | 02Sep2000, 01:00 |
| Όγκος (MM) | 202.69 |
| Όγκος βροχόπτωσης (M3) | 2.8E6 |
| Όγκος απωλειών (M3) | 8.12E5 |
| Ενεργός Όγκος (M3) | 1.99E6 |
| Όγκος άμεσης απορροής (M3) | 1.99E6 |
| Όγκος βασικής απορροής (M3) | 8.05E5 |

Βροχόπτωση και Απορροή



2.2 Δεδομένα και Υδρογραφήματα Σχεδιασμού Κλάδων Υδρογραφικού Δικτύου

Κλάδος: R21

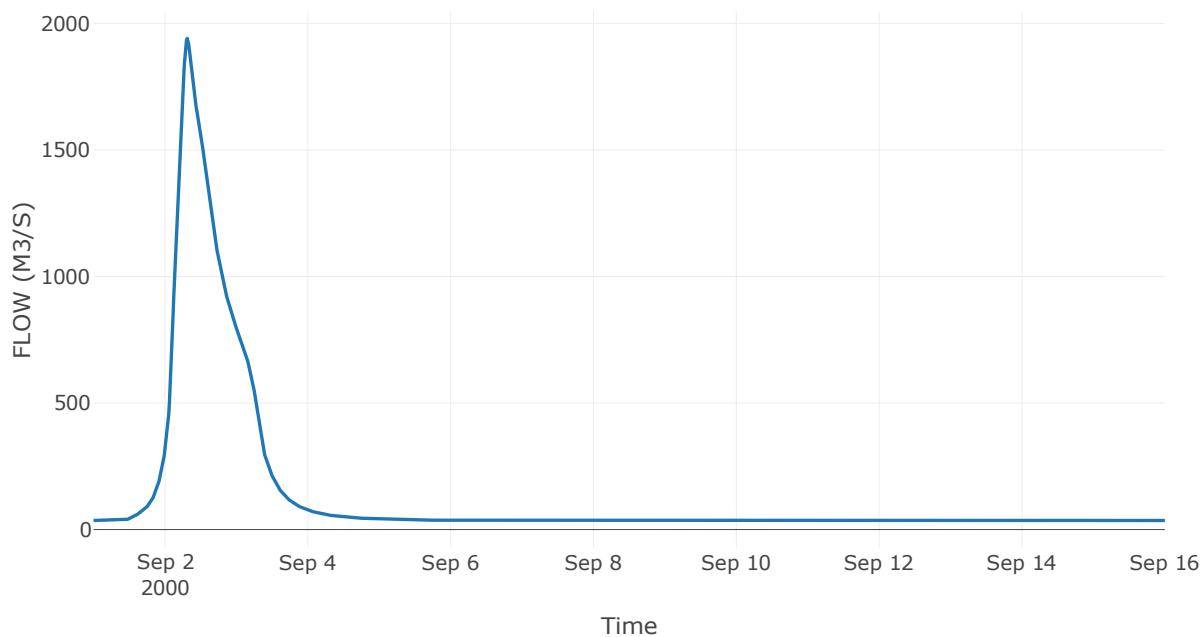
Κατάντη : J1

| | |
|----------------------|-----------------|
| Μέθοδος Διόδευσης | Muskingum |
| Αρχική Μεταβλητή | Combined Inflow |
| Χρόνος Ροής K | 1.74 |
| Συντελεστής βάρους x | 0.2 |
| Πλήθος Υποκλάδων | 7 |

Αποτελέσματα: R21

| | |
|------------------------------|------------------|
| Παροχή Αιχμής(M3/S) | 1940.96 |
| Χρονική στιγμή αιχμής | 02Sep2000, 07:30 |
| Όγκος(MM) | 167.63 |
| Παροχή Αιχμής Εισόδου (M3/S) | 1971.42 |
| Όγκος Εισροής(M3) | 1.8E8 |

Απορροή



Κλάδος: R32

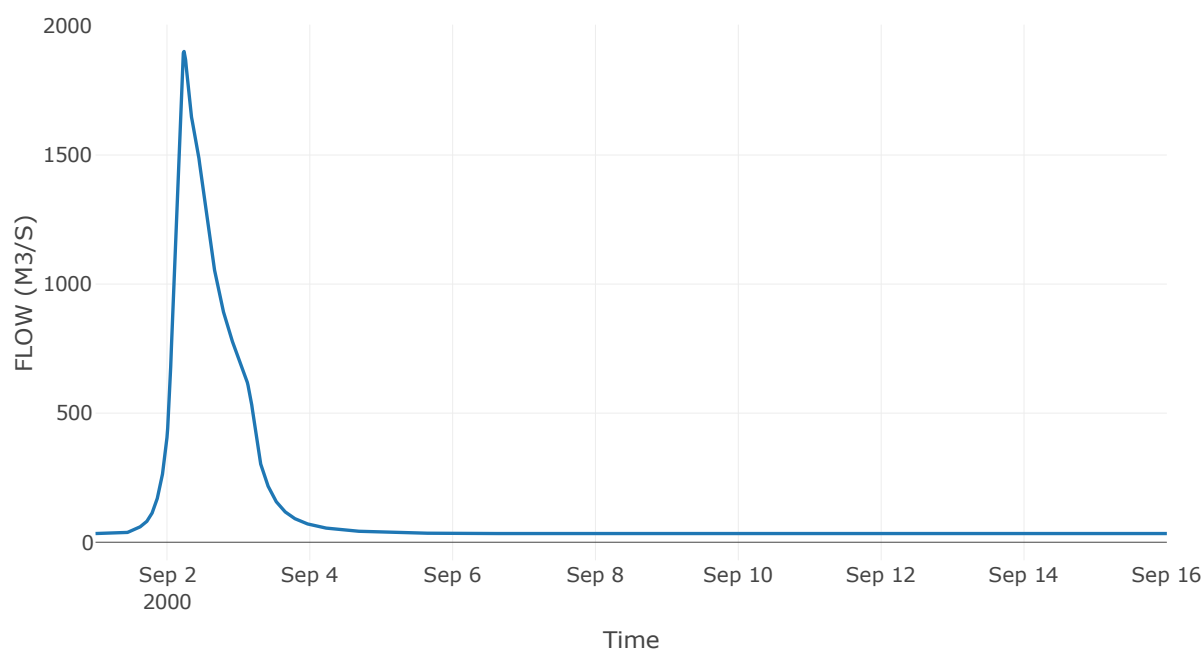
Κατάντη : J2

| | |
|----------------------|-----------------|
| Μέθοδος Διόδευσης | Muskingum |
| Αρχική Μεταβλητή | Combined Inflow |
| Χρόνος Ροής K | 0.42 |
| Συντελεστής βάρους x | 0.2 |
| Πλήθος Υποκλάδων | 2 |

Αποτελέσματα: R32

| | |
|------------------------------|------------------|
| Παροχή Αιχμής(M3/S) | 1901.22 |
| Χρονική στιγμή αιχμής | 02Sep2000, 05:45 |
| Όγκος(MM) | 165.97 |
| Παροχή Αιχμής Εισόδου (M3/S) | 1908.51 |
| Όγκος Εισροής(M3) | 1.7E8 |

Απορροή



Κλάδος: R43

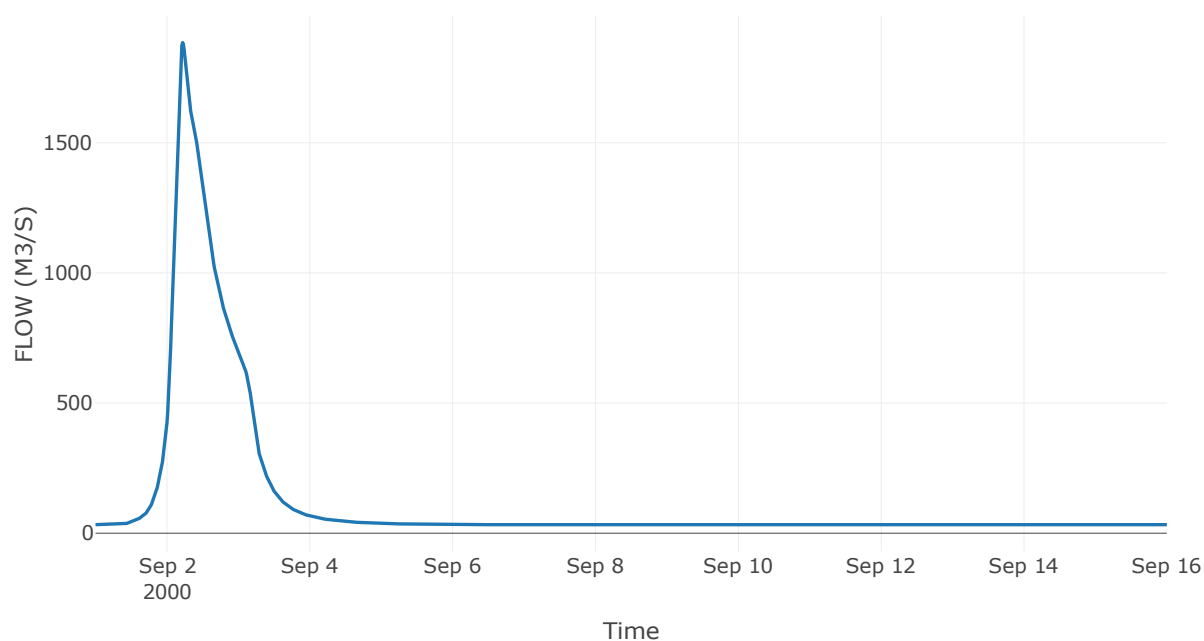
Κατάντη : J3

| | |
|----------------------|-----------------|
| Μέθοδος Διόδευσης | Muskingum |
| Αρχική Μεταβλητή | Combined Inflow |
| Χρόνος Ροής K | 0.52 |
| Συντελεστής βάρους x | 0.2 |
| Πλήθος Υποκλάδων | 2 |

Αποτελέσματα: R43

| | |
|------------------------------|------------------|
| Παροχή Αιχμής(M3/S) | 1885.03 |
| Χρονική στιγμή αιχμής | 02Sep2000, 05:15 |
| Όγκος(MM) | 165.75 |
| Παροχή Αιχμής Εισόδου (M3/S) | 1897.41 |
| Όγκος Εισροής(M3) | 1.66E8 |

Απορροή



Κλάδος: R54

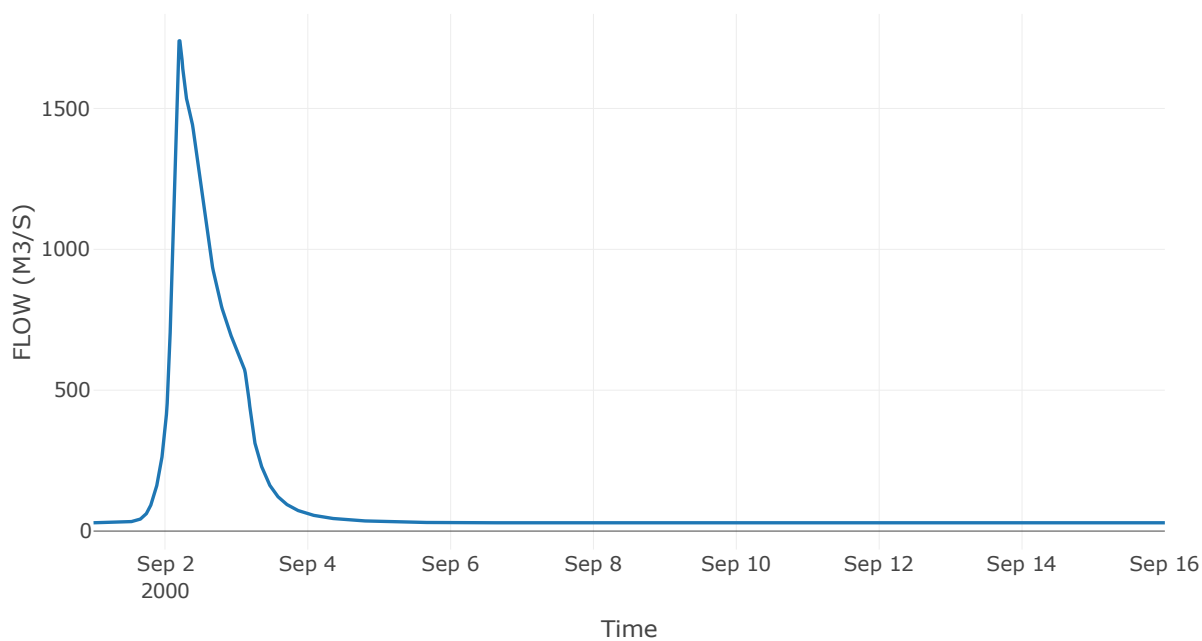
Κατάντη : J4

| | |
|----------------------|-----------------|
| Μέθοδος Διόδευσης | Muskingum |
| Αρχική Μεταβλητή | Combined Inflow |
| Χρόνος Ροής K | 1.24 |
| Συντελεστής βάρους x | 0.2 |
| Πλήθος Υποκλάδων | 5 |

Αποτελέσματα: R54

| | |
|------------------------------|------------------|
| Παροχή Αιχμής(M3/S) | 1740.5 |
| Χρονική στιγμή αιχμής | 02Sep2000, 05:00 |
| Όγκος(MM) | 162.94 |
| Παροχή Αιχμής Εισόδου (M3/S) | 1772.78 |
| Όγκος Εισροής(M3) | 1.51E8 |

Απορροή



Κλάδος: R65

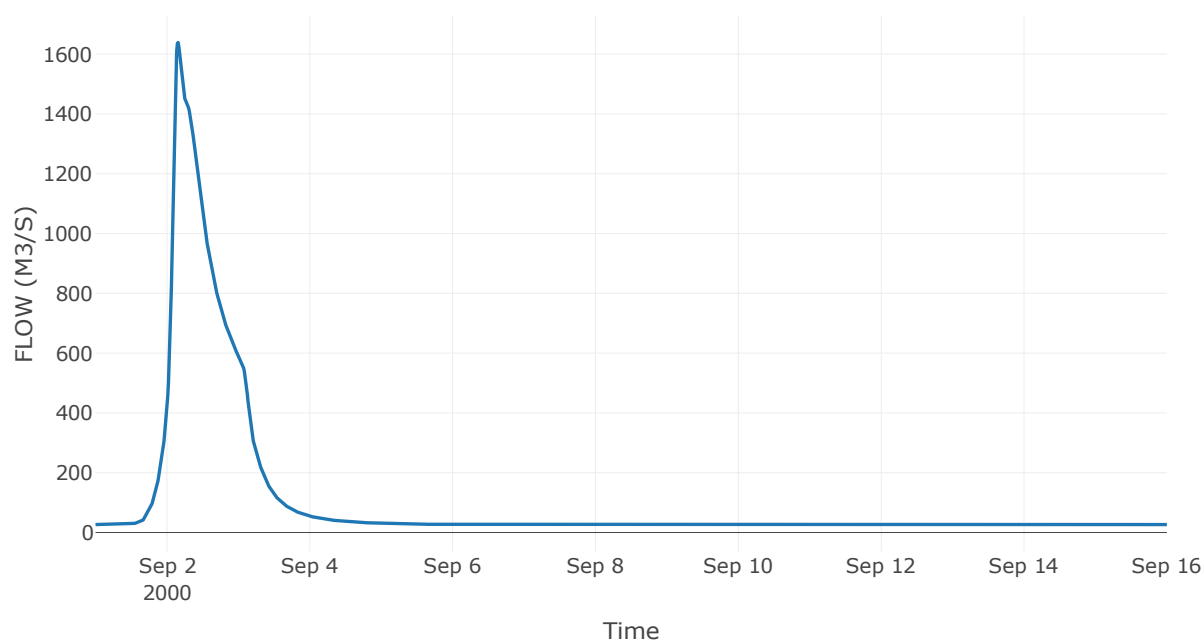
Κατάντη : J5

| | |
|----------------------|-----------------|
| Μέθοδος Διόδευσης | Muskingum |
| Αρχική Μεταβλητή | Combined Inflow |
| Χρόνος Ροής K | 0.96 |
| Συντελεστής βάρους x | 0.2 |
| Πλήθος Υποκλάδων | 4 |

Αποτελέσματα: R65

| | |
|------------------------------|------------------|
| Παροχή Αιχμής(M3/S) | 1638.99 |
| Χρονική στιγμή αιχμής | 02Sep2000, 03:45 |
| Όγκος(MM) | 161.99 |
| Παροχή Αιχμής Εισόδου (M3/S) | 1663.55 |
| Όγκος Εισροής(M3) | 1.4E8 |

Απορροή



Κλάδος: R76

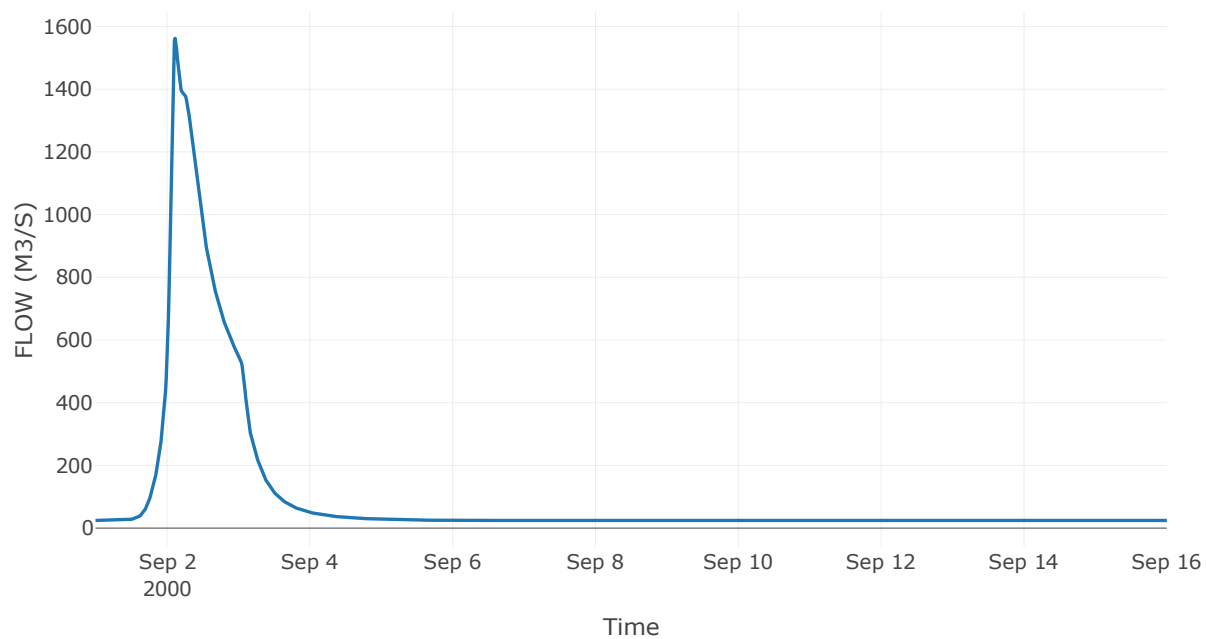
Κατάντη : J6

| | |
|-------------------|------------------|
| Μέθοδος Διόδευσης | Χρόνος Υστέρησης |
| Αρχική Μεταβλητή | Combined Inflow |
| Χρόνος Υστέρησης | 4.38 |

Αποτελέσματα: R76

| | |
|------------------------------|------------------|
| Παροχή Αιχμής(M3/S) | 1562.03 |
| Χρονική στιγμή αιχμής | 02Sep2000, 02:45 |
| Όγκος(MM) | 162.73 |
| Παροχή Αιχμής Εισόδου (M3/S) | 1562.41 |
| Όγκος Εισροής(M3) | 1.33E8 |

Απορροή



Κλάδος: R87

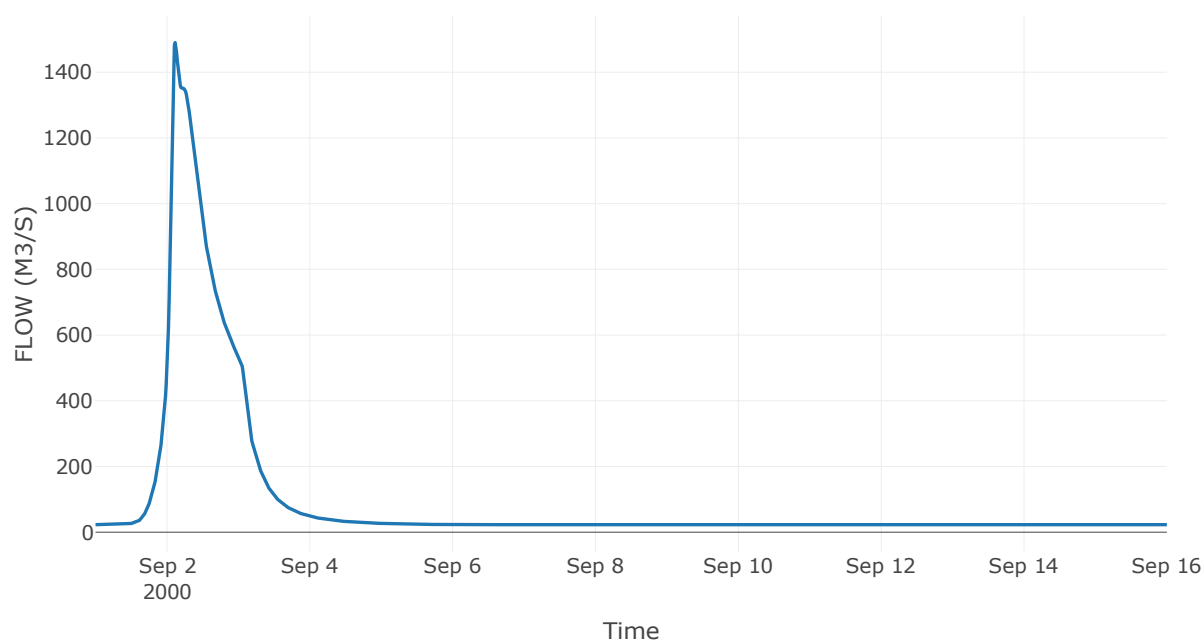
Κατάντη : J7

| | |
|----------------------|-----------------|
| Μέθοδος Διόδευσης | Muskingum |
| Αρχική Μεταβλητή | Combined Inflow |
| Χρόνος Ροής K | 0.6 |
| Συντελεστής βάρους x | 0.2 |
| Πλήθος Υποκλάδων | 2 |

Αποτελέσματα: R87

| | |
|------------------------------|------------------|
| Παροχή Αιχμής(M3/S) | 1490.33 |
| Χρονική στιγμή αιχμής | 02Sep2000, 02:45 |
| Όγκος(MM) | 163.63 |
| Παροχή Αιχμής Εισόδου (M3/S) | 1514.07 |
| Όγκος Εισροής(M3) | 1.28E8 |

Απορροή



Κλάδος: R98

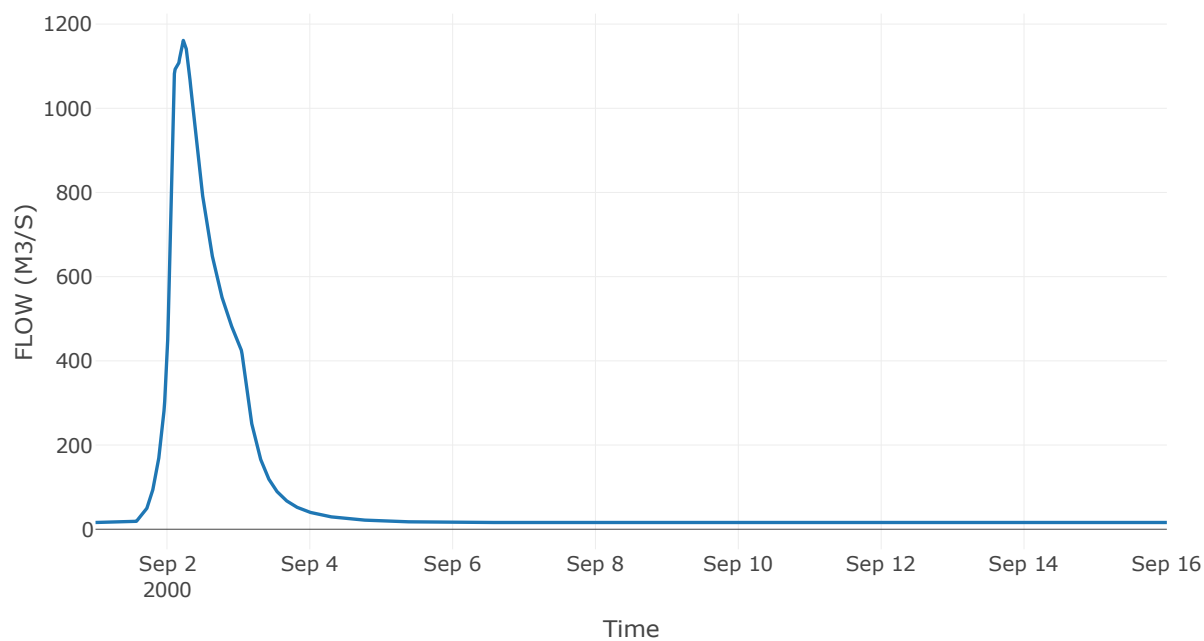
Κατάντη : J8

| | |
|----------------------|-----------------|
| Μέθοδος Διόδευσης | Muskingum |
| Αρχική Μεταβλητή | Combined Inflow |
| Χρόνος Ροής K | 0.31 |
| Συντελεστής βάρους x | 0.2 |
| Πλήθος Υποκλάδων | 1 |

Αποτελέσματα: R98

| | |
|------------------------------|------------------|
| Παροχή Αιχμής(M3/S) | 1161.24 |
| Χρονική στιγμή αιχμής | 02Sep2000, 05:30 |
| Όγκος(MM) | 163.5 |
| Παροχή Αιχμής Εισόδου (M3/S) | 1163.21 |
| Όγκος Εισροής(M3) | 1.03E8 |

Απορροή



Κλάδος: R109

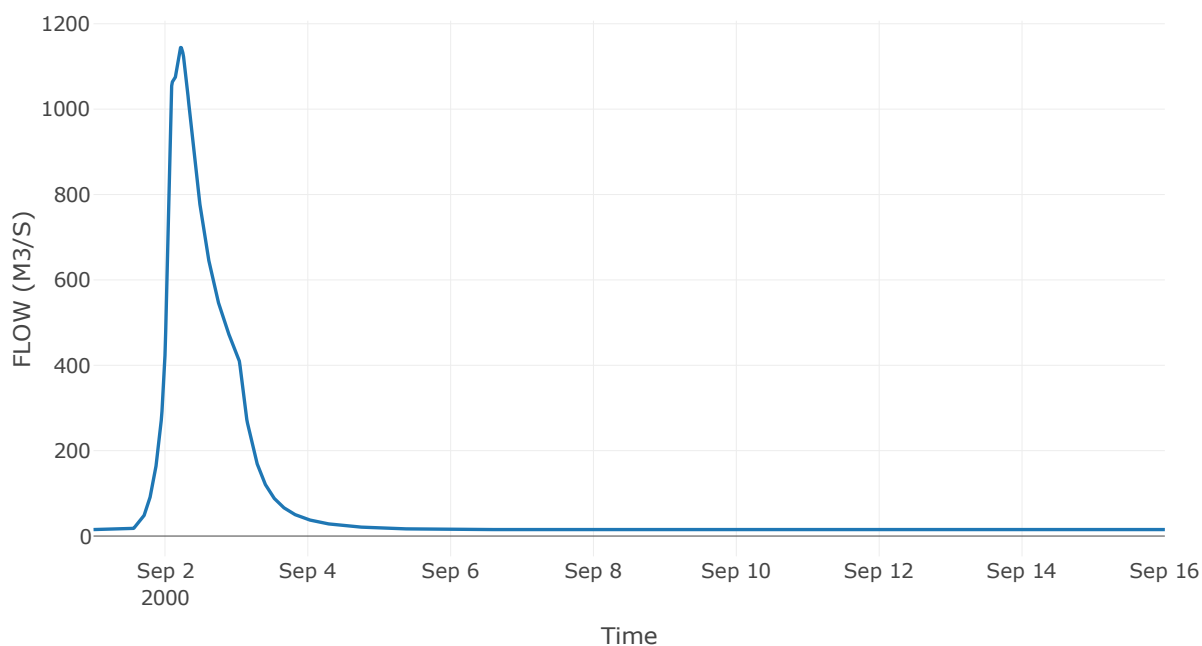
Κατάντη : J9

| | |
|----------------------|-----------------|
| Μέθοδος Διόδευσης | Muskingum |
| Αρχική Μεταβλητή | Combined Inflow |
| Χρόνος Ροής K | 0.25 |
| Συντελεστής βάρους x | 0.2 |
| Πλήθος Υποκλάδων | 1 |

Αποτελέσματα: R109

| | |
|------------------------------|------------------|
| Παροχή Αιχμής(M3/S) | 1144.42 |
| Χρονική στιγμή αιχμής | 02Sep2000, 05:15 |
| Όγκος(MM) | 163.89 |
| Παροχή Αιχμής Εισόδου (M3/S) | 1145.62 |
| Όγκος Εισροής(M3) | 1E8 |

Απορροή



Κλάδος: R1110

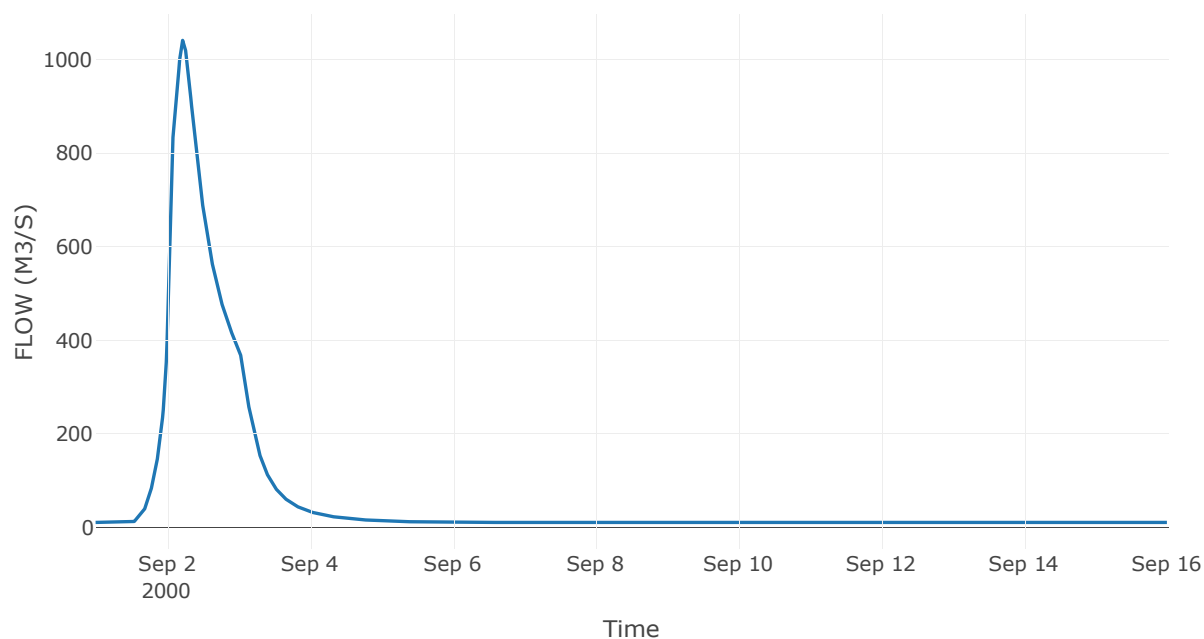
Κατάντη : J10

| | |
|----------------------|-----------------|
| Μέθοδος Διόδευσης | Muskingum |
| Αρχική Μεταβλητή | Combined Inflow |
| Χρόνος Ροής K | 0.21 |
| Συντελεστής βάρους x | 0.2 |
| Πλήθος Υποκλάδων | 1 |

Αποτελέσματα: R1110

| | |
|------------------------------|------------------|
| Παροχή Αιχμής(M3/S) | 1040.78 |
| Χρονική στιγμή αιχμής | 02Sep2000, 05:15 |
| Όγκος(MM) | 169.69 |
| Παροχή Αιχμής Εισόδου (M3/S) | 1041.45 |
| Όγκος Εισροής(M3) | 8.69E7 |

Απορροή



Κλάδος: R1211

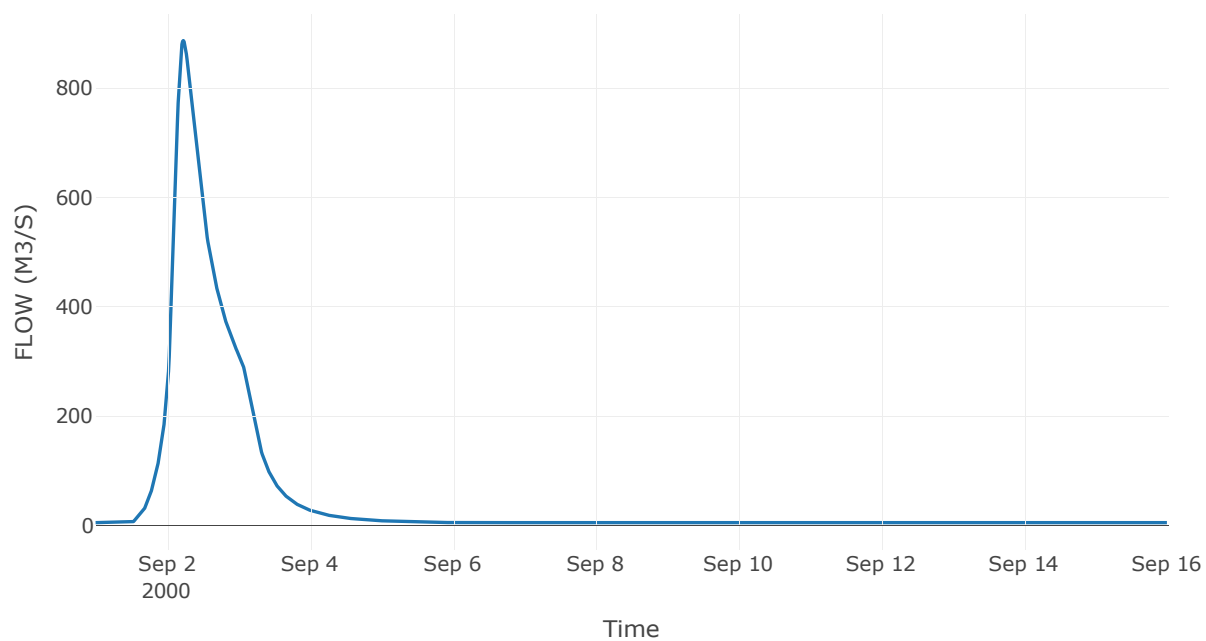
Κατάντη : J11

| | |
|----------------------|-----------------|
| Μέθοδος Διόδευσης | Muskingum |
| Αρχική Μεταβλητή | Combined Inflow |
| Χρόνος Ροής K | 1.19 |
| Συντελεστής βάρους x | 0.2 |
| Πλήθος Υποκλάδων | 5 |

Αποτελέσματα: R1211

| | |
|------------------------------|------------------|
| Παροχή Αιχμής(M3/S) | 886.73 |
| Χρονική στιγμή αιχμής | 02Sep2000, 05:30 |
| Όγκος(MM) | 172.97 |
| Παροχή Αιχμής Εισόδου (M3/S) | 892.1 |
| Όγκος Εισροής(M3) | 6.73E7 |

Απορροή



Κλάδος: R1312

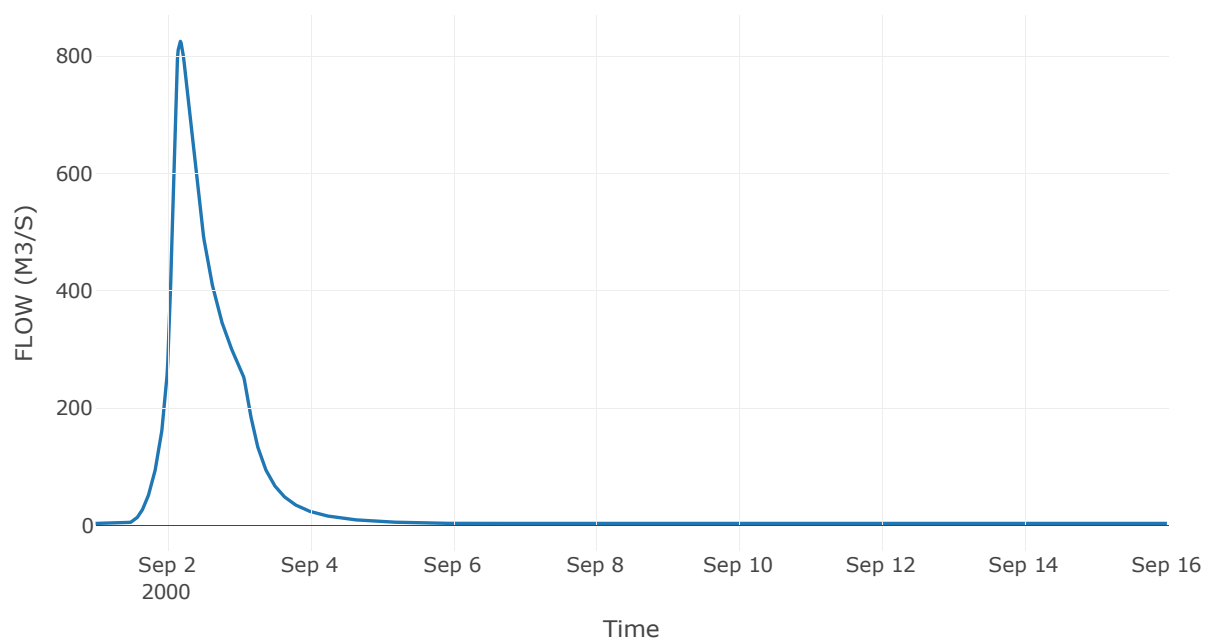
Κατάντη : J12

| | |
|-------------------|------------------|
| Μέθοδος Διόδευσης | Χρόνος Υστέρησης |
| Αρχική Μεταβλητή | Combined Inflow |
| Χρόνος Υστέρησης | 4.81 |

Αποτελέσματα: R1312

| | |
|------------------------------|------------------|
| Παροχή Αιχμής(M3/S) | 824.58 |
| Χρονική στιγμή αιχμής | 02Sep2000, 04:30 |
| Όγκος(MM) | 169.95 |
| Παροχή Αιχμής Εισόδου (M3/S) | 824.99 |
| Όγκος Εισροής(M3) | 5.98E7 |

Απορροή



Κλάδος: R1413

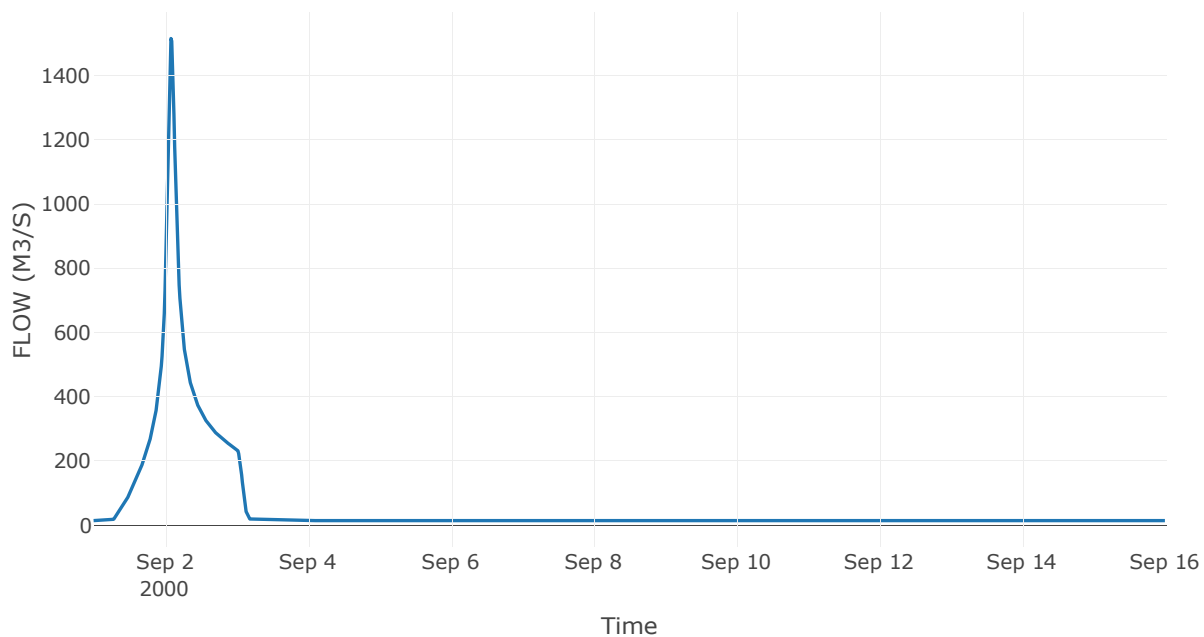
Κατάντη : Diversion - 1

| | |
|-------------------|------------------|
| Μέθοδος Διόδευσης | Χρόνος Υστέρησης |
| Αρχική Μεταβλητή | Combined Inflow |
| Χρόνος Υστέρησης | 5.06 |

Αποτελέσματα: R1413

| | |
|------------------------------|------------------|
| Παροχή Αιχμής(M3/S) | 1515.17 |
| Χρονική στιγμή αιχμής | 02Sep2000, 02:00 |
| Όγκος(MM) | 224.98 |
| Παροχή Αιχμής Εισόδου (M3/S) | 1522.74 |
| Όγκος Εισροής(M3) | 7.69E7 |

Απορροή



Κλάδος: R1514

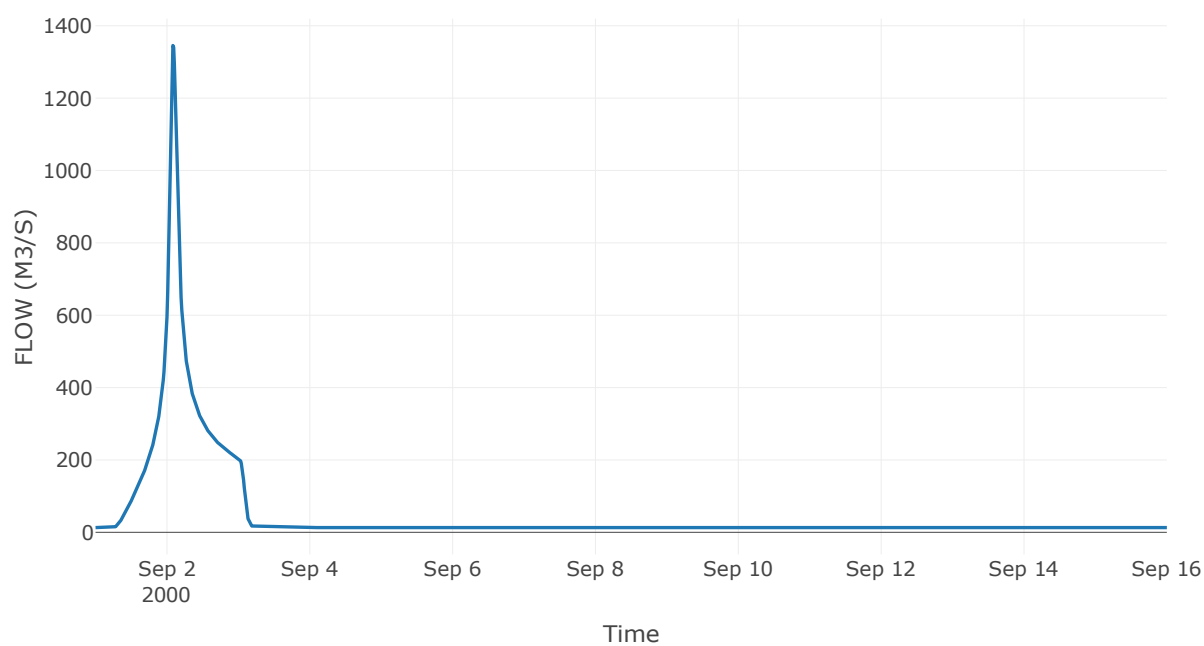
Κατάντη : J14

| | |
|----------------------|-----------------|
| Μέθοδος Διόδευσης | Muskingum |
| Αρχική Μεταβλητή | Combined Inflow |
| Χρόνος Ροής K | 0.4 |
| Συντελεστής βάρους x | 0.2 |
| Πλήθος Υποκλάδων | 2 |

Αποτελέσματα: R1514

| | |
|------------------------------|------------------|
| Παροχή Αιχμής(M3/S) | 1345.44 |
| Χρονική στιγμή αιχμής | 02Sep2000, 02:00 |
| Όγκος(MM) | 226.88 |
| Παροχή Αιχμής Εισόδου (M3/S) | 1367.88 |
| Όγκος Εισροής(M3) | 6.61E7 |

Απορροή



Κλάδος: R1615

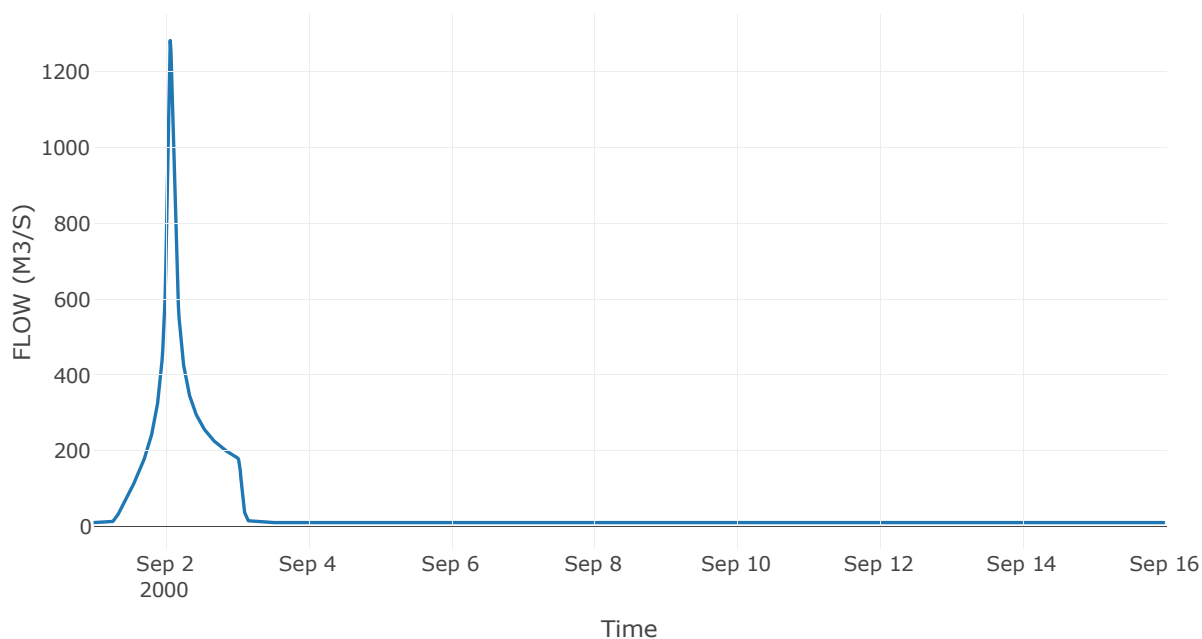
Κατάντη : J15

| | |
|----------------------|-----------------|
| Μέθοδος Διόδευσης | Muskingum |
| Αρχική Μεταβλητή | Combined Inflow |
| Χρόνος Ροής K | 0.35 |
| Συντελεστής βάρους x | 0.2 |
| Πλήθος Υποκλάδων | 1 |

Αποτελέσματα: R1615

| | |
|------------------------------|------------------|
| Παροχή Αιχμής(M3/S) | 1282.39 |
| Χρονική στιγμή αιχμής | 02Sep2000, 01:45 |
| Όγκος(MM) | 231.49 |
| Παροχή Αιχμής Εισόδου (M3/S) | 1310.18 |
| Όγκος Εισροής(M3) | 6.04E7 |

Απορροή



Κλάδος: R1716

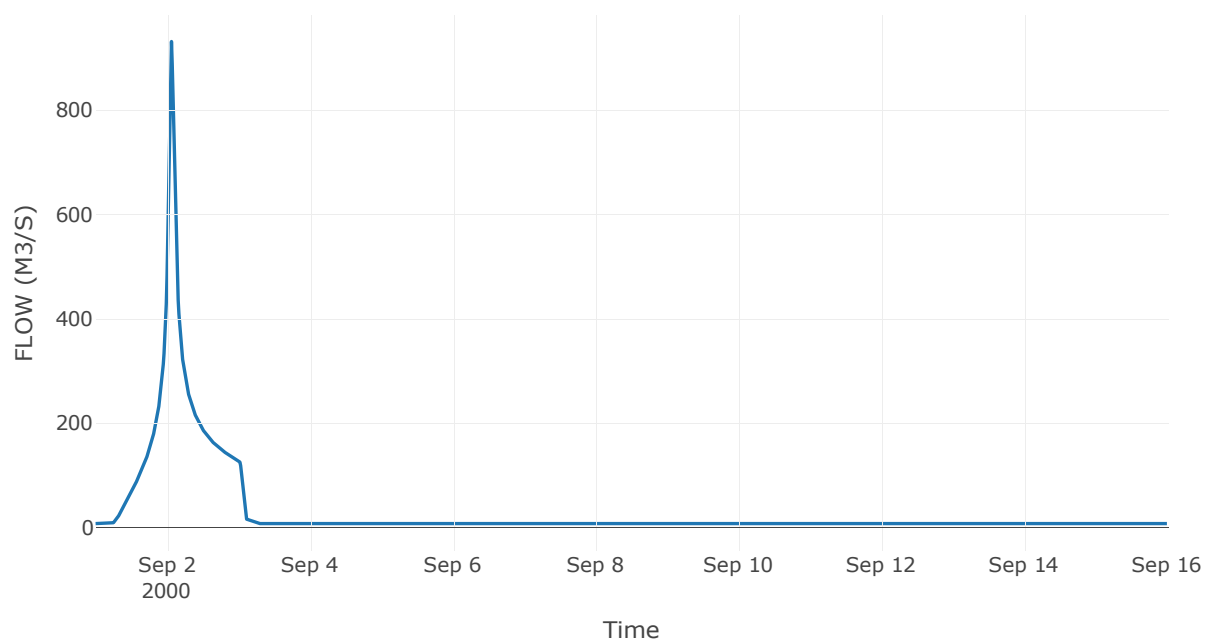
Κατάντη : J16

| | |
|-------------------|------------------|
| Μέθοδος Διόδευσης | Χρόνος Υστέρησης |
| Αρχική Μεταβλητή | Combined Inflow |
| Χρόνος Υστέρησης | 12.31 |

Αποτελέσματα: R1716

| | |
|------------------------------|------------------|
| Παροχή Αιχμής(M3/S) | 931.4 |
| Χρονική στιγμή αιχμής | 02Sep2000, 01:30 |
| Όγκος(MM) | 232.86 |
| Παροχή Αιχμής Εισόδου (M3/S) | 938.87 |
| Όγκος Εισροής(M3) | 4.22E7 |

Απορροή



Κλάδος: R1817

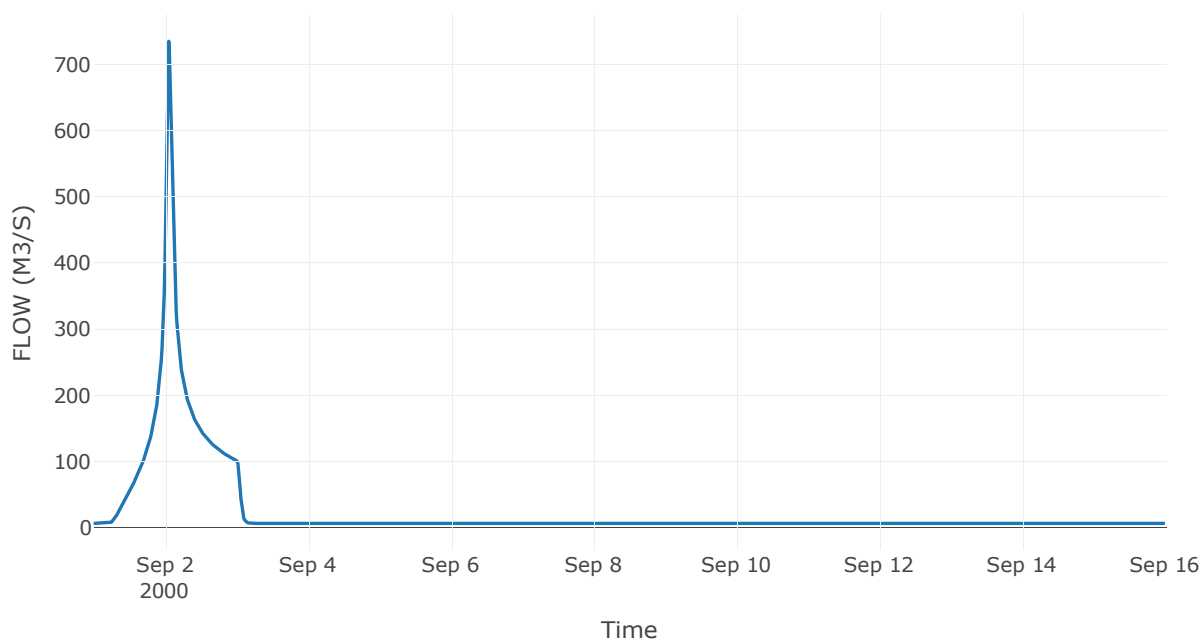
Κατάντη : J17

| | |
|-------------------|------------------|
| Μέθοδος Διόδευσης | Χρόνος Υστέρησης |
| Αρχική Μεταβλητή | Combined Inflow |
| Χρόνος Υστέρησης | 5.08 |

Αποτελέσματα: R1817

| | |
|------------------------------|------------------|
| Παροχή Αιχμής(M3/S) | 734.71 |
| Χρονική στιγμή αιχμής | 02Sep2000, 01:15 |
| Όγκος(MM) | 231.65 |
| Παροχή Αιχμής Εισόδου (M3/S) | 736.04 |
| Όγκος Εισροής(M3) | 3.3E7 |

Απορροή



Κλάδος: R1918

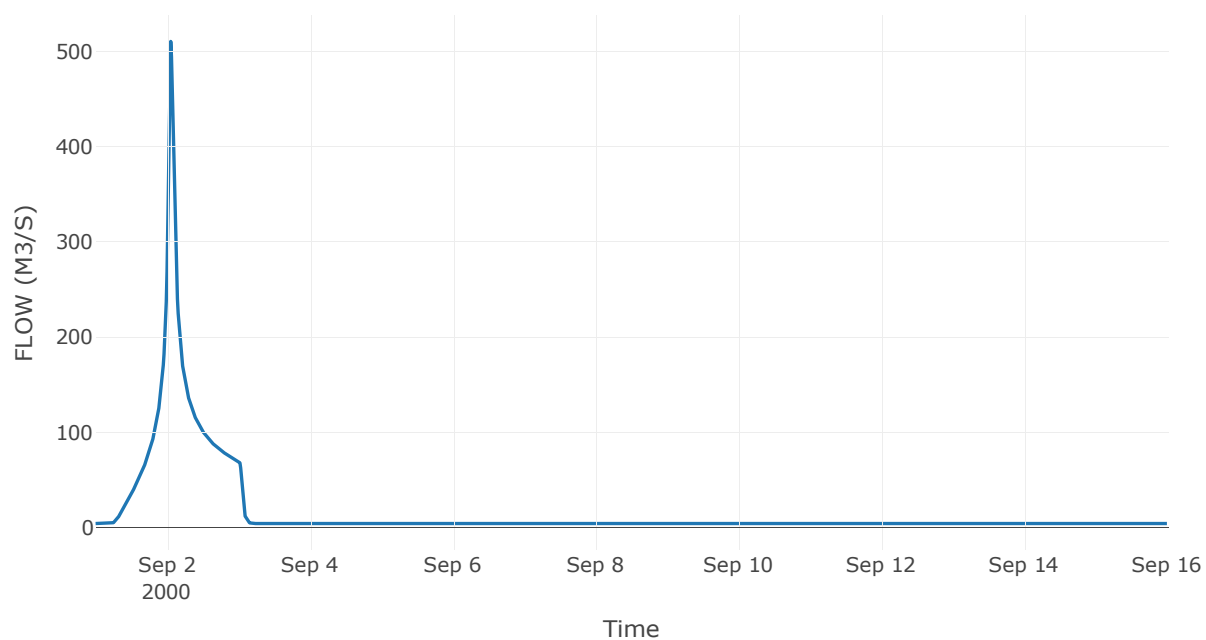
Κατάντη : J18

| | |
|-------------------|------------------|
| Μέθοδος Διόδευσης | Χρόνος Υστέρησης |
| Αρχική Μεταβλητή | Combined Inflow |
| Χρόνος Υστέρησης | 21.25 |

Αποτελέσματα: R1918

| | |
|------------------------------|------------------|
| Παροχή Αιχμής(M3/S) | 510.33 |
| Χρονική στιγμή αιχμής | 02Sep2000, 01:15 |
| Όγκος(MM) | 230.57 |
| Παροχή Αιχμής Εισόδου (M3/S) | 510.78 |
| Όγκος Εισροής(M3) | 2.26E7 |

Απορροή



Κλάδος: R2019

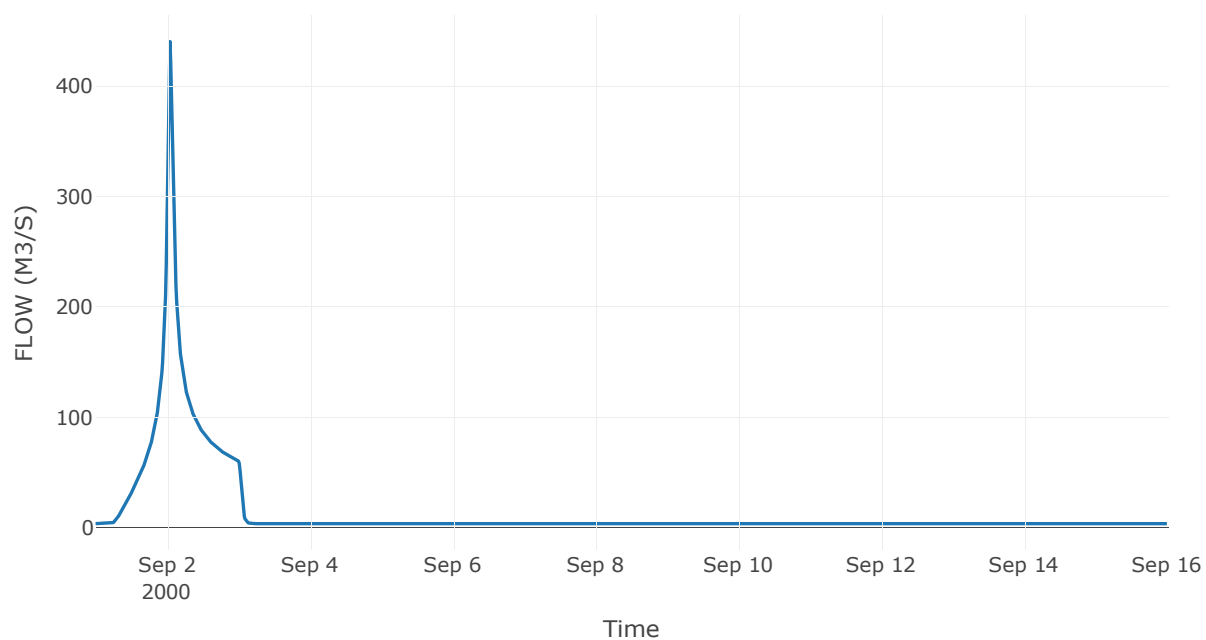
Κατάντη : J19

| | |
|-------------------|------------------|
| Μέθοδος Διόδευσης | Χρόνος Υστέρησης |
| Αρχική Μεταβλητή | Combined Inflow |
| Χρόνος Υστέρησης | 1.94 |

Αποτελέσματα: R2019

| | |
|------------------------------|------------------|
| Παροχή Αιχμής(M3/S) | 440.43 |
| Χρονική στιγμή αιχμής | 02Sep2000, 01:00 |
| Όγκος(MM) | 229.95 |
| Παροχή Αιχμής Εισόδου (M3/S) | 440.71 |
| Όγκος Εισροής(M3) | 1.95E7 |

Απορροή



Κλάδος: R2120

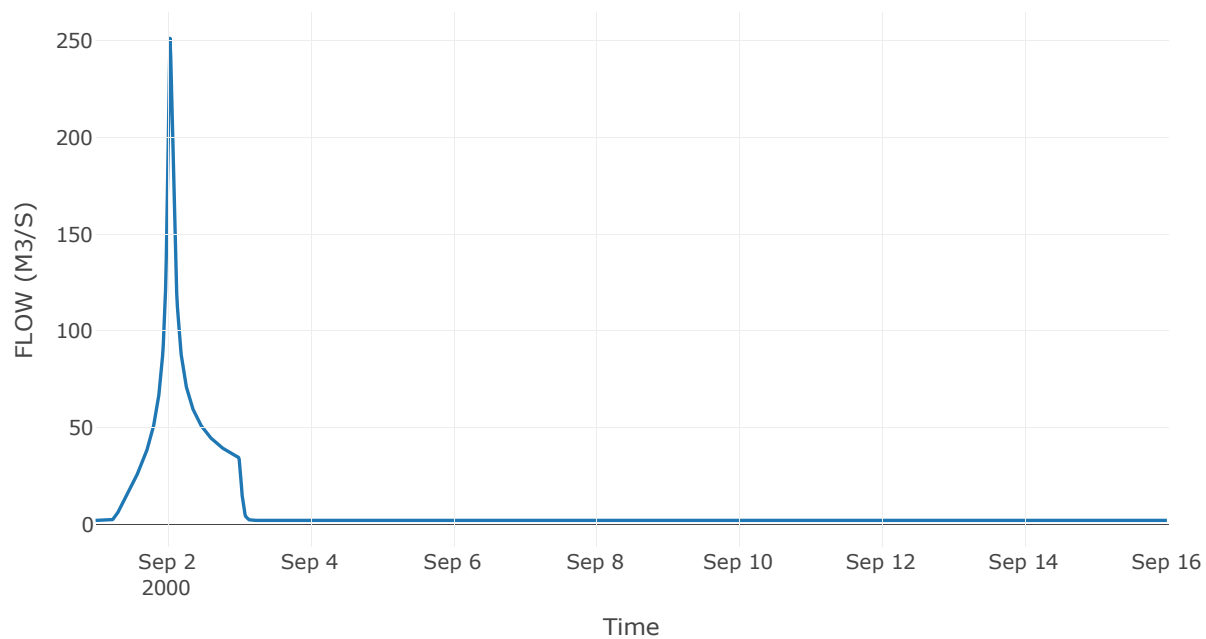
Κατάντη : J20

| | |
|-------------------|------------------|
| Μέθοδος Διόδευσης | Χρόνος Υστέρησης |
| Αρχική Μεταβλητή | Combined Inflow |
| Χρόνος Υστέρησης | 1.93 |

Αποτελέσματα: R2120

| | |
|------------------------------|------------------|
| Παροχή Αιχμής(M3/S) | 251.11 |
| Χρονική στιγμή αιχμής | 02Sep2000, 01:00 |
| Όγκος(MM) | 237.2 |
| Παροχή Αιχμής Εισόδου (M3/S) | 251.33 |
| Όγκος Εισροής(M3) | 1.13E7 |

Απορροή



Κλάδος: R2220

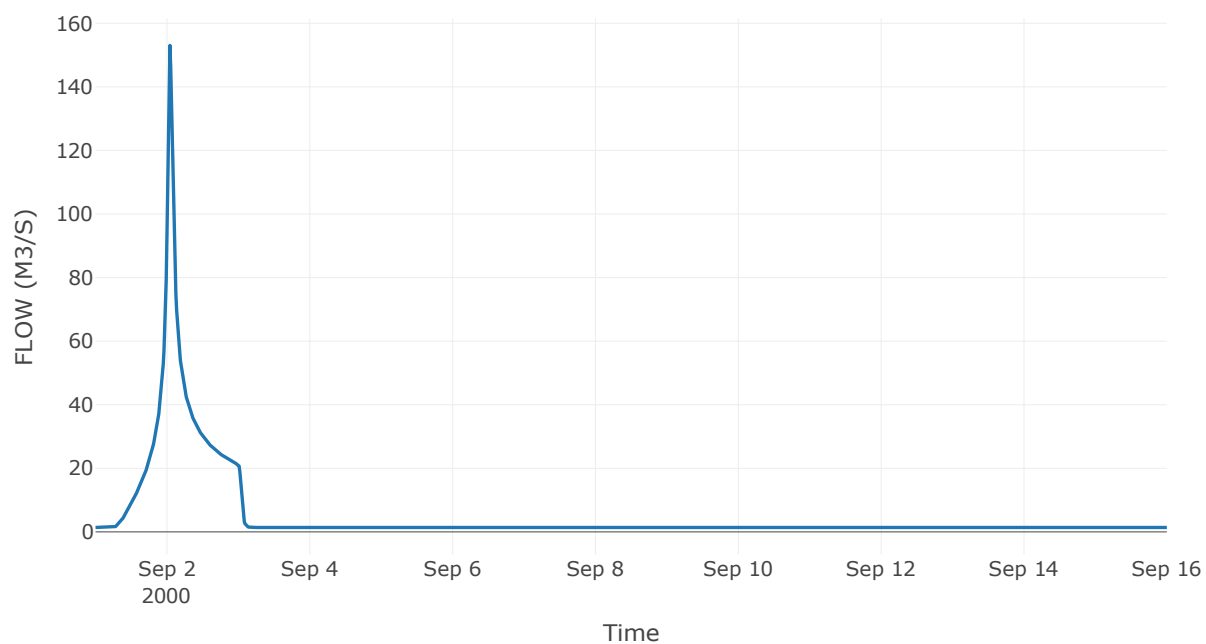
Κατάντη : J20

| | |
|-------------------|------------------|
| Μέθοδος Διόδευσης | Χρόνος Υστέρησης |
| Αρχική Μεταβλητή | Combined Inflow |
| Χρόνος Υστέρησης | 8.09 |

Αποτελέσματα: R2220

| | |
|------------------------------|------------------|
| Παροχή Αιχμής(M3/S) | 153.03 |
| Χρονική στιγμή αιχμής | 02Sep2000, 01:00 |
| Όγκος(MM) | 217.31 |
| Παροχή Αιχμής Εισόδου (M3/S) | 154.37 |
| Όγκος Εισροής(M3) | 6.68E6 |

Απορροή



Κλάδος: R2314

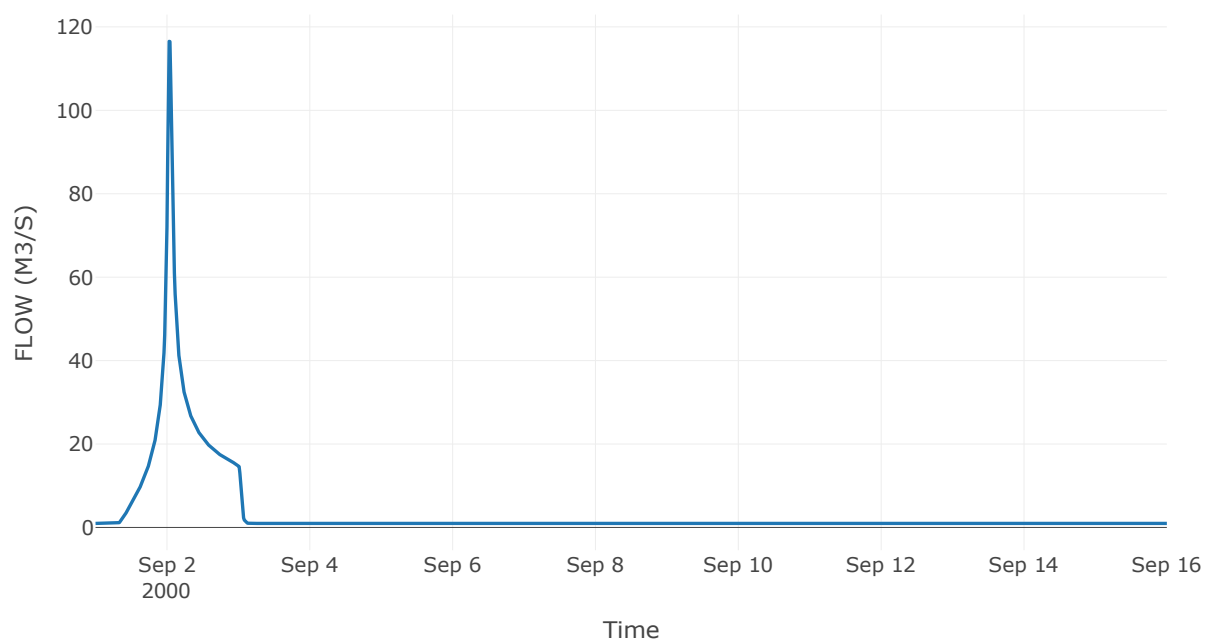
Κατάντη : J14

| | |
|-------------------|------------------|
| Μέθοδος Διόδευσης | Χρόνος Υστέρησης |
| Αρχική Μεταβλητή | Combined Inflow |
| Χρόνος Υστέρησης | 7.07 |

Αποτελέσματα: R2314

| | |
|------------------------------|------------------|
| Παροχή Αιχμής(M3/S) | 116.53 |
| Χρονική στιγμή αιχμής | 02Sep2000, 00:45 |
| Όγκος(MM) | 219.86 |
| Παροχή Αιχμής Εισόδου (M3/S) | 119.32 |
| Όγκος Εισροής(M3) | 4.73E6 |

Απορροή



Κλάδος: R2411

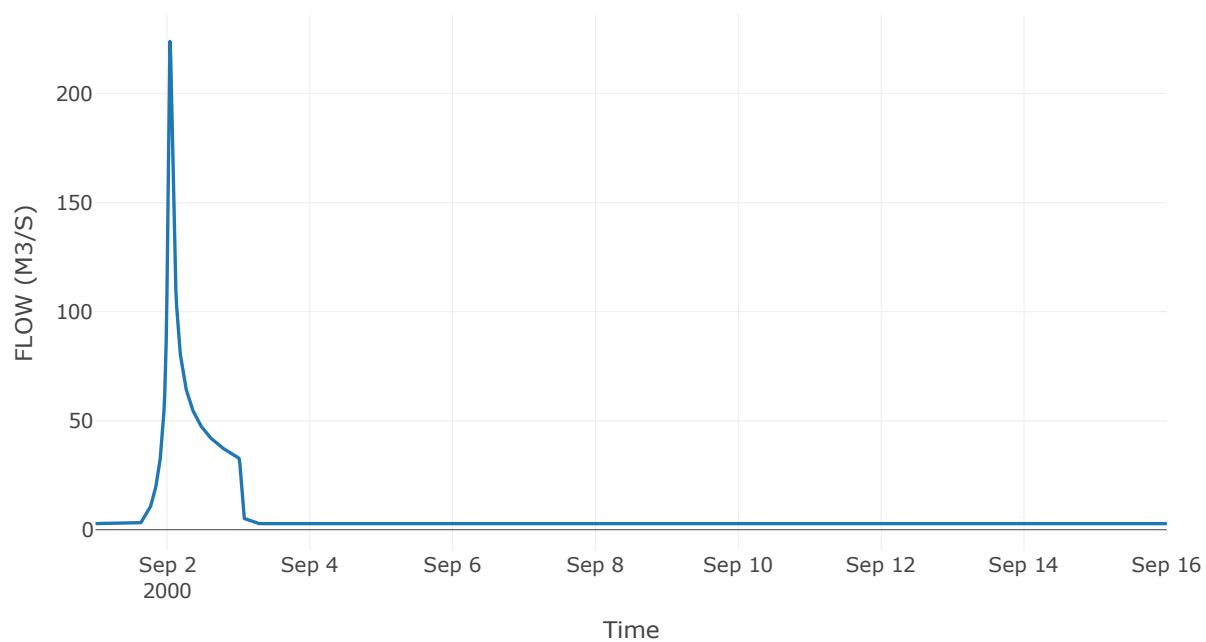
Κατάντη : J11

| | |
|-------------------|------------------|
| Μέθοδος Διόδευσης | Χρόνος Υστέρησης |
| Αρχική Μεταβλητή | Combined Inflow |
| Χρόνος Υστέρησης | 6.38 |

Αποτελέσματα: R2411

| | |
|------------------------------|------------------|
| Παροχή Αιχμής(M3/S) | 223.94 |
| Χρονική στιγμή αιχμής | 02Sep2000, 01:00 |
| Όγκος(MM) | 156.43 |
| Παροχή Αιχμής Εισόδου (M3/S) | 225.38 |
| Όγκος Εισροής(M3) | 9.75E6 |

Απορροή



Κλάδος: R2524

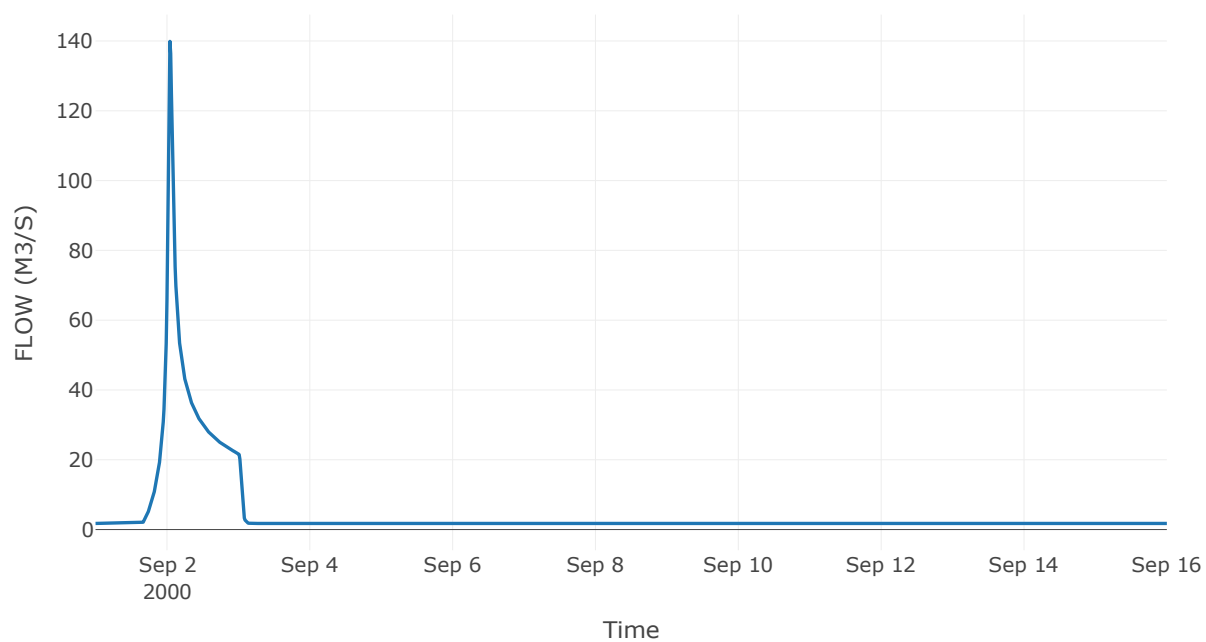
Κατάντη : J24

| | |
|-------------------|------------------|
| Μέθοδος Διόδευσης | Χρόνος Υστέρησης |
| Αρχική Μεταβλητή | Combined Inflow |
| Χρόνος Υστέρησης | 12.96 |

Αποτελέσματα: R2524

| | |
|------------------------------|------------------|
| Παροχή Αιχμής(M3/S) | 139.89 |
| Χρονική στιγμή αιχμής | 02Sep2000, 01:00 |
| Όγκος(MM) | 158.86 |
| Παροχή Αιχμής Εισόδου (M3/S) | 140.21 |
| Όγκος Εισροής(M3) | 6.18E6 |

Απορροή



Κλάδος: R2610

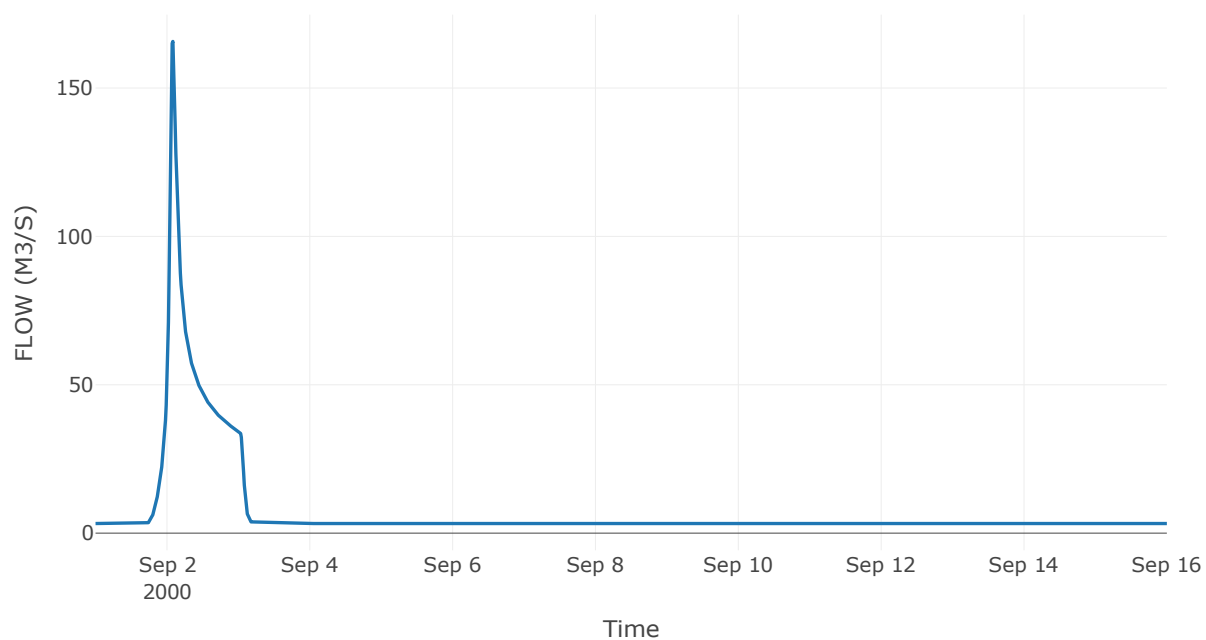
Κατάντη : J10

| | |
|-------------------|------------------|
| Μέθοδος Διόδευσης | Χρόνος Υστέρησης |
| Αρχική Μεταβλητή | Combined Inflow |
| Χρόνος Υστέρησης | 36.78 |

Αποτελέσματα: R2610

| | |
|------------------------------|------------------|
| Παροχή Αιχμής(M3/S) | 165.71 |
| Χρονική στιγμή αιχμής | 02Sep2000, 02:00 |
| Όγκος(MM) | 134.5 |
| Παροχή Αιχμής Εισόδου (M3/S) | 167.44 |
| Όγκος Εισροής(M3) | 9.68E6 |

Απορροή



Κλάδος: R278

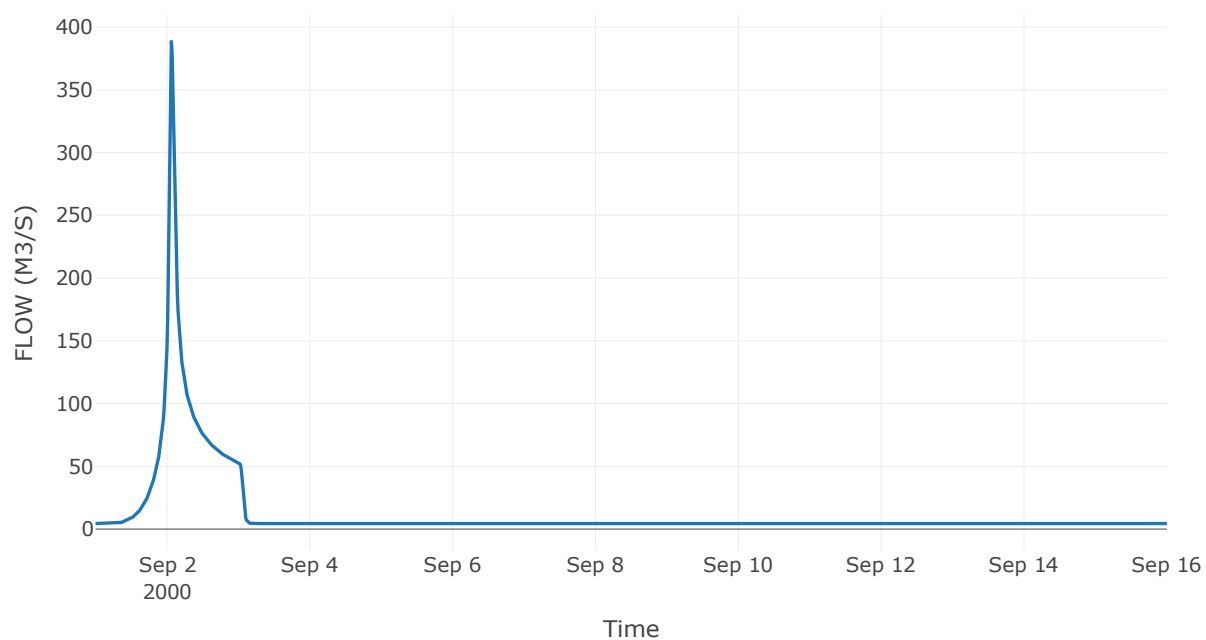
Κατάντη : J8

| | |
|-------------------|------------------|
| Μέθοδος Διόδευσης | Χρόνος Υστέρησης |
| Αρχική Μεταβλητή | Combined Inflow |
| Χρόνος Υστέρησης | 34.21 |

Αποτελέσματα: R278

| | |
|------------------------------|------------------|
| Παροχή Αιχμής(M3/S) | 388.54 |
| Χρονική στιγμή αιχμής | 02Sep2000, 01:30 |
| Όγκος(MM) | 169.75 |
| Παροχή Αιχμής Εισόδου (M3/S) | 391.43 |
| Όγκος Εισροής(M3) | 1.65E7 |

Απορροή



Κλάδος: R2827

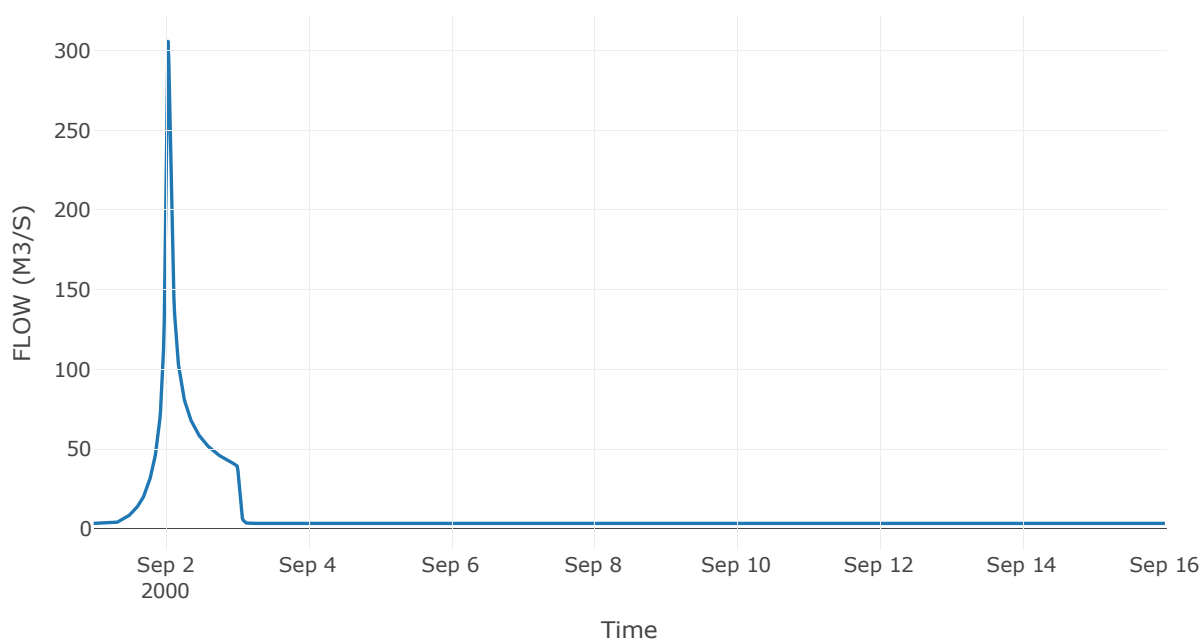
Κατάντη : J27

| | |
|-------------------|------------------|
| Μέθοδος Διόδευσης | Χρόνος Υστέρησης |
| Αρχική Μεταβλητή | Combined Inflow |
| Χρόνος Υστέρησης | 4.09 |

Αποτελέσματα: R2827

| | |
|------------------------------|------------------|
| Παροχή Αιχμής(M3/S) | 305.89 |
| Χρονική στιγμή αιχμής | 02Sep2000, 01:00 |
| Όγκος(MM) | 171.77 |
| Παροχή Αιχμής Εισόδου (M3/S) | 307.94 |
| Όγκος Εισροής(M3) | 1.28E7 |

Απορροή



Κλάδος: R2928

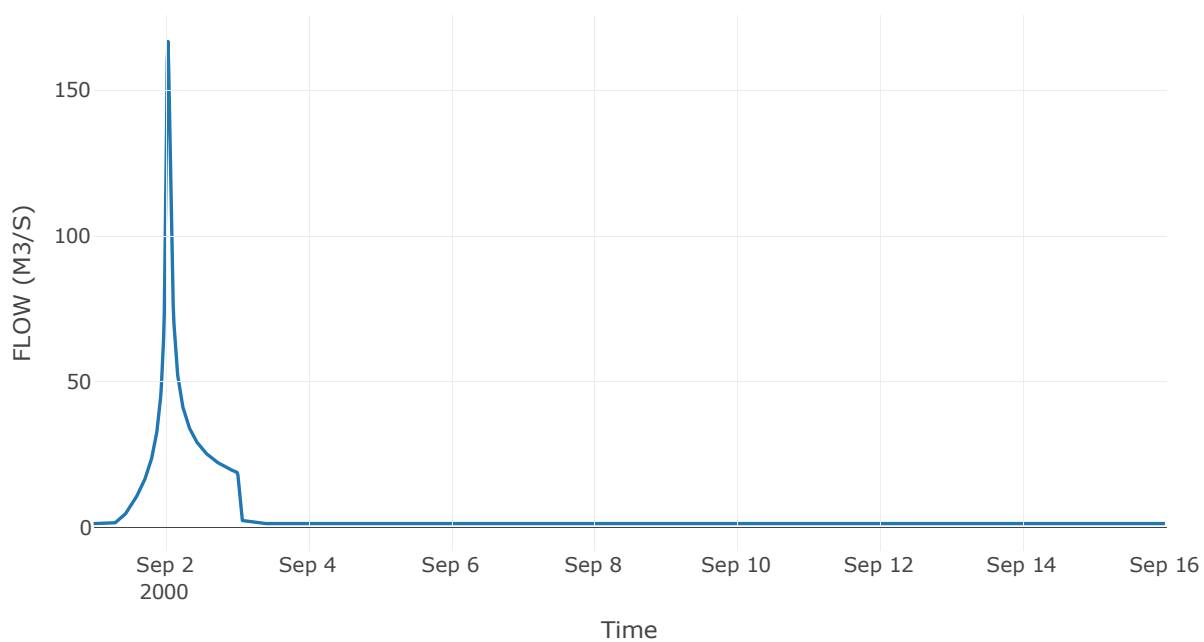
Κατάντη : J28

| | |
|-------------------|------------------|
| Μέθοδος Διόδευσης | Χρόνος Υστέρησης |
| Αρχική Μεταβλητή | Combined Inflow |
| Χρόνος Υστέρησης | 17.96 |

Αποτελέσματα: R2928

| | |
|------------------------------|------------------|
| Παροχή Αιχμής(M3/S) | 166.59 |
| Χρονική στιγμή αιχμής | 02Sep2000, 01:00 |
| Όγκος(MM) | 199.52 |
| Παροχή Αιχμής Εισόδου (M3/S) | 167.18 |
| Όγκος Εισροής(M3) | 6.36E6 |

Απορροή



Κλάδος: R302

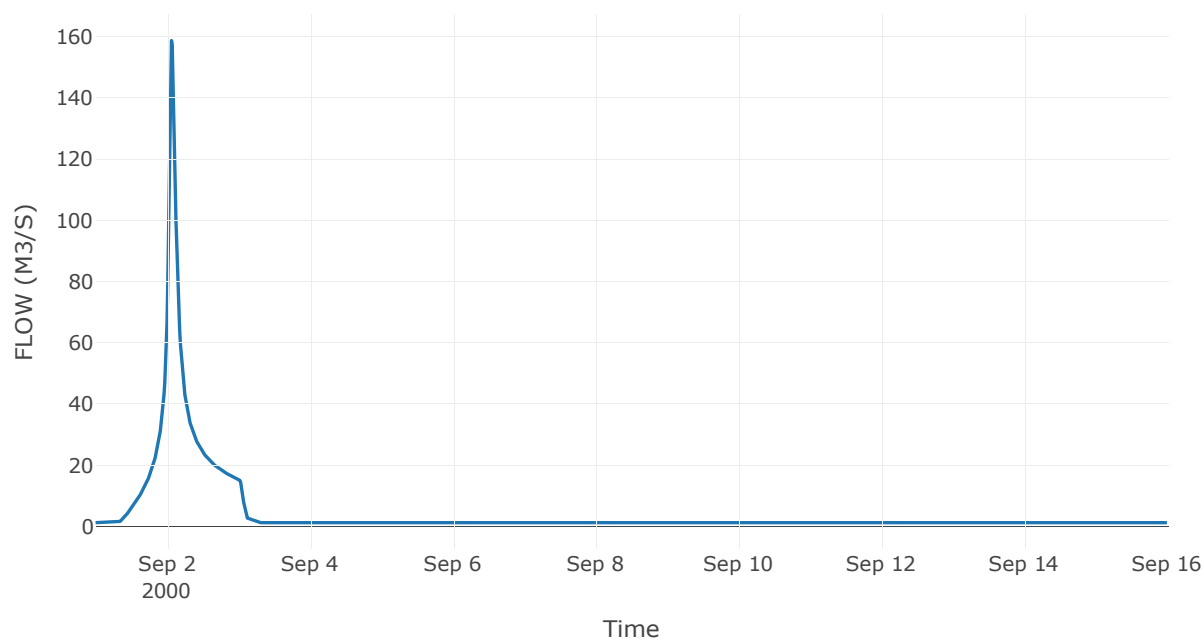
Κατάντη : J2

| | |
|----------------------|-----------------|
| Μέθοδος Διόδευσης | Muskingum |
| Αρχική Μεταβλητή | Combined Inflow |
| Χρόνος Ροής K | 0.27 |
| Συντελεστής βάρους x | 0.2 |
| Πλήθος Υποκλάδων | 1 |

Αποτελέσματα: R302

| | |
|------------------------------|------------------|
| Παροχή Αιχμής(M3/S) | 158.65 |
| Χρονική στιγμή αιχμής | 02Sep2000, 01:30 |
| Όγκος(MM) | 205.13 |
| Παροχή Αιχμής Εισόδου (M3/S) | 161.94 |
| Όγκος Εισροής(M3) | 6.12E6 |

Απορροή



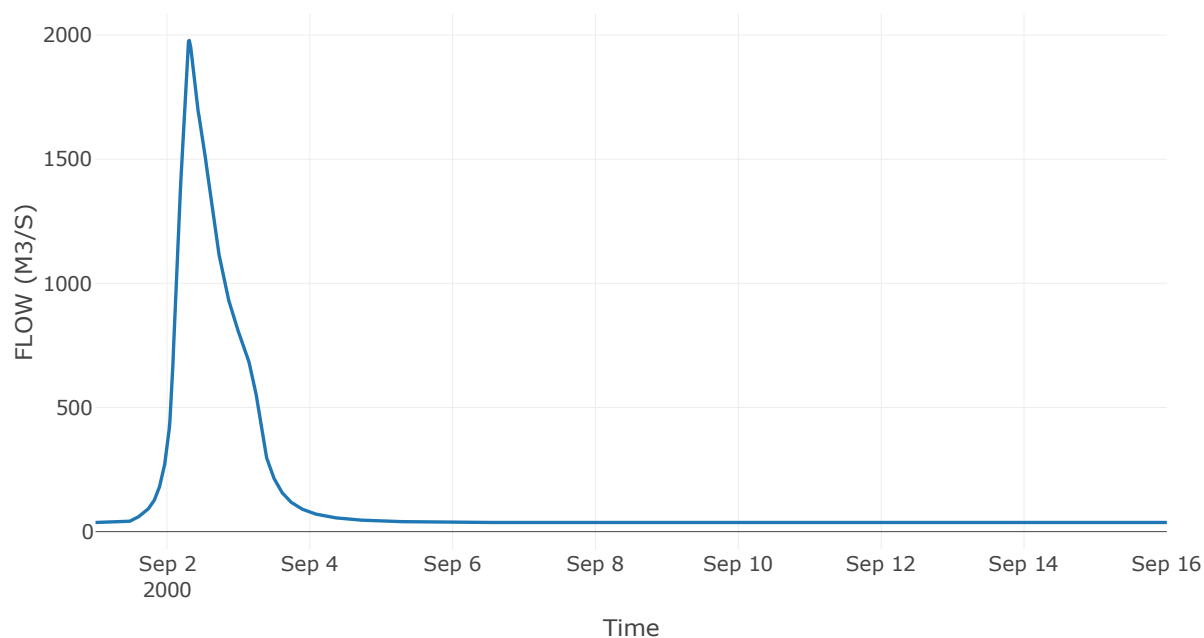
2.3 Δεδομένα και Υδρογραφήματα Σχεδιασμού Κλάδων Υδρογραφικού Δικτύου

Κόμβος εξόδου: J1

Αποτελέσμα
τα: J1

| | |
|-----------------------|------------------|
| Παροχή αιχμής (M3/S) | 1978.61 |
| Χρονική στιγμή αιχμής | 02Sep2000, 07:30 |
| Όγκος (MM) | 167.75 |

Απορροή



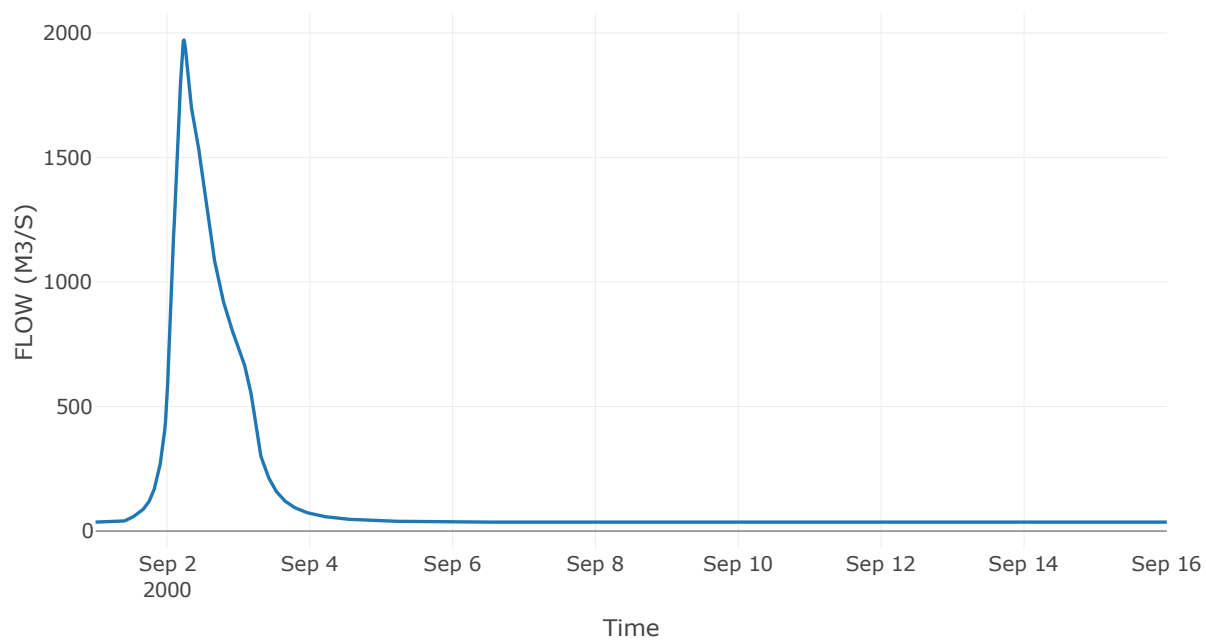
Κόμβος: J2

Κατάντη : R21

Αποτελέσματα: J2

| | |
|-----------------------|------------------|
| Παροχή Αιχμής(M3/S) | 1971.42 |
| Χρονική στιγμή αιχμής | 02Sep2000, 05:45 |
| Όγκος(MM) | 167.63 |

Απορροή



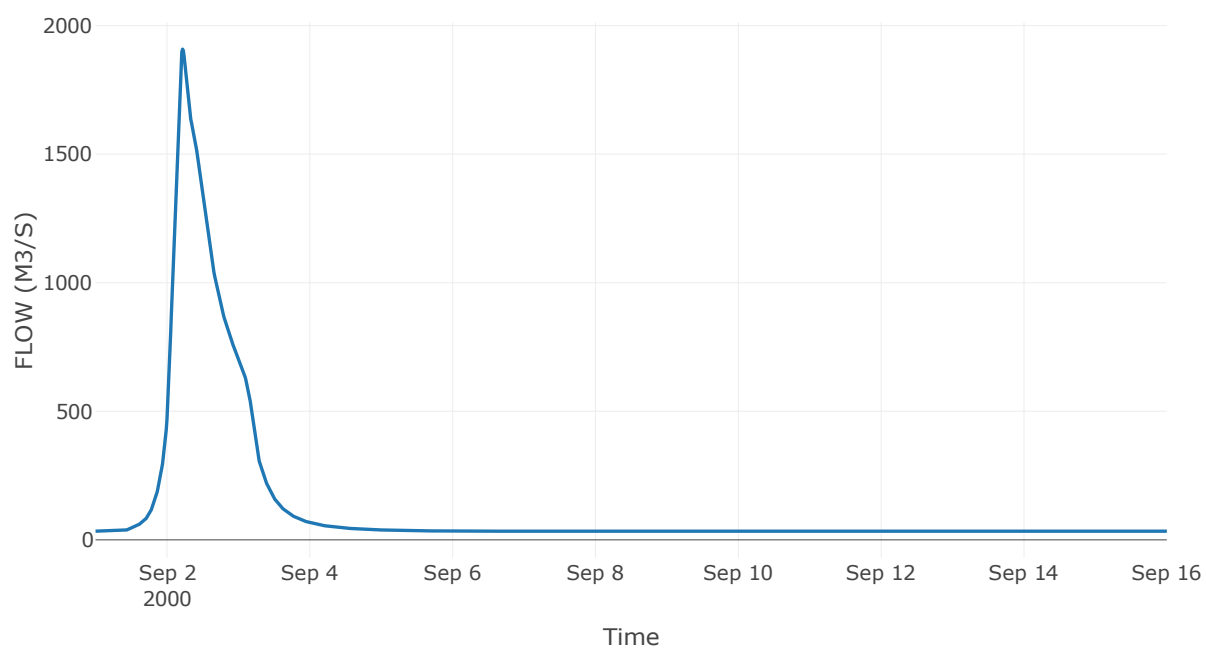
Κόμβος: J3

Κατάντη : R32

Αποτελέσματα: J3

| | |
|-----------------------|------------------|
| Παροχή Αιχμής(M3/S) | 1908.51 |
| Χρονική στιγμή αιχμής | 02Sep2000, 05:15 |
| Όγκος(MM) | 165.97 |

Απορροή



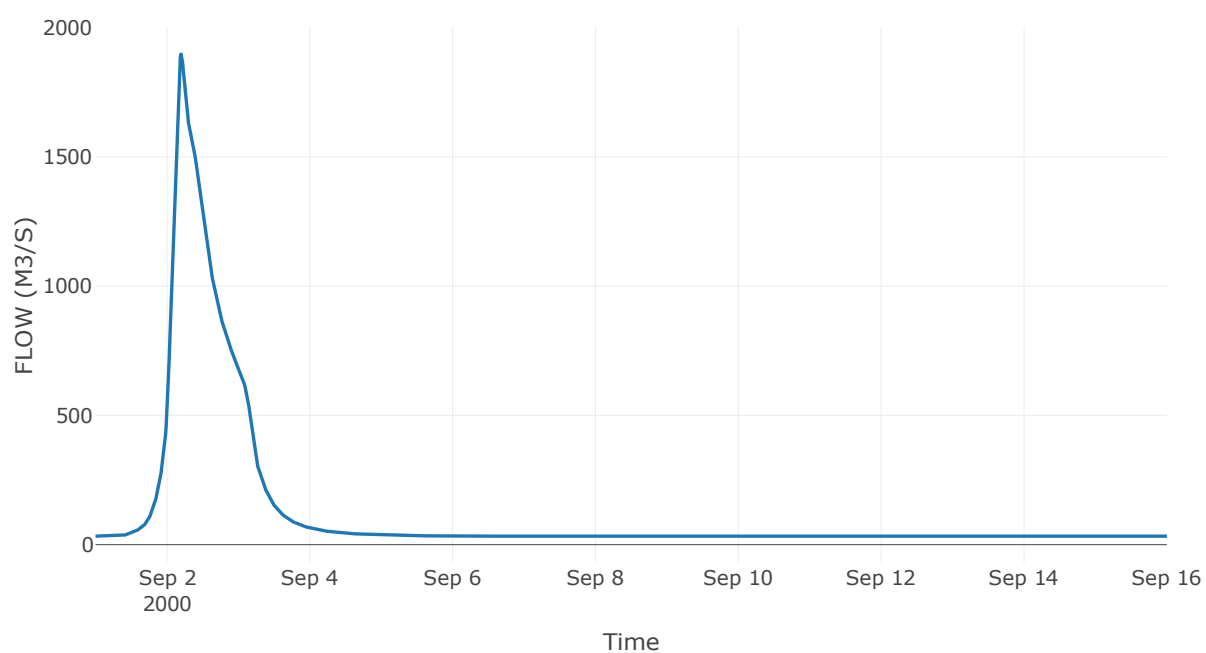
Κόμβος: J4

Κατάντη : R43

Αποτελέσματα: J4

| | |
|-----------------------|------------------|
| Παροχή Αιχμής(M3/S) | 1897.41 |
| Χρονική στιγμή αιχμής | 02Sep2000, 04:45 |
| Όγκος(MM) | 165.75 |

Απορροή



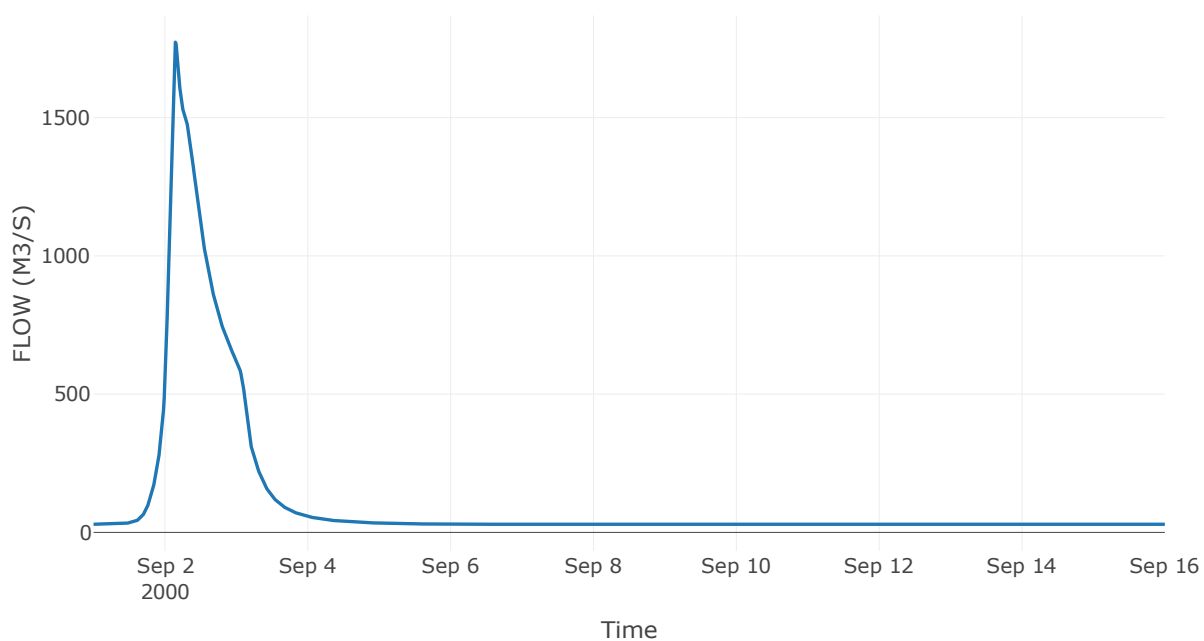
Κόμβος: J5

Κατάντη : R54

Αποτελέσματα: J5

| | |
|-----------------------|------------------|
| Παροχή Αιχμής(M3/S) | 1772.78 |
| Χρονική στιγμή αιχμής | 02Sep2000, 03:30 |
| Όγκος(MM) | 162.94 |

Απορροή



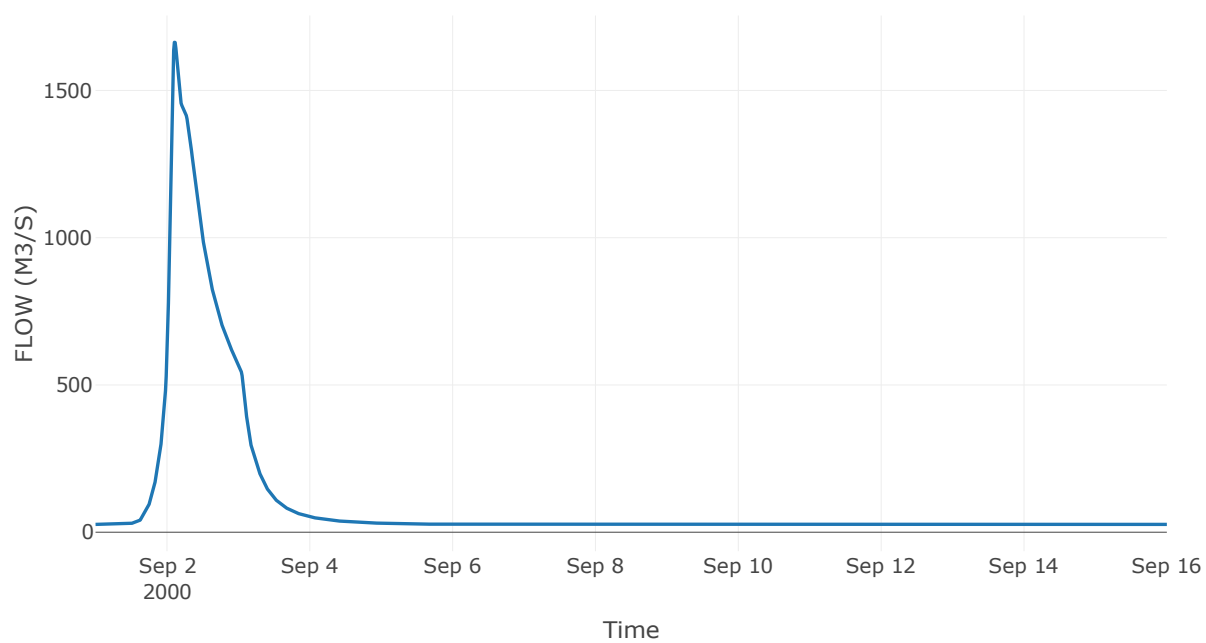
Κόμβος: J6

Κατάντη : R65

Αποτελέσματα: J6

| | |
|-----------------------|------------------|
| Παροχή Αιχμής(M3/S) | 1663.55 |
| Χρονική στιγμή αιχμής | 02Sep2000, 02:30 |
| Όγκος(MM) | 161.99 |

Απορροή



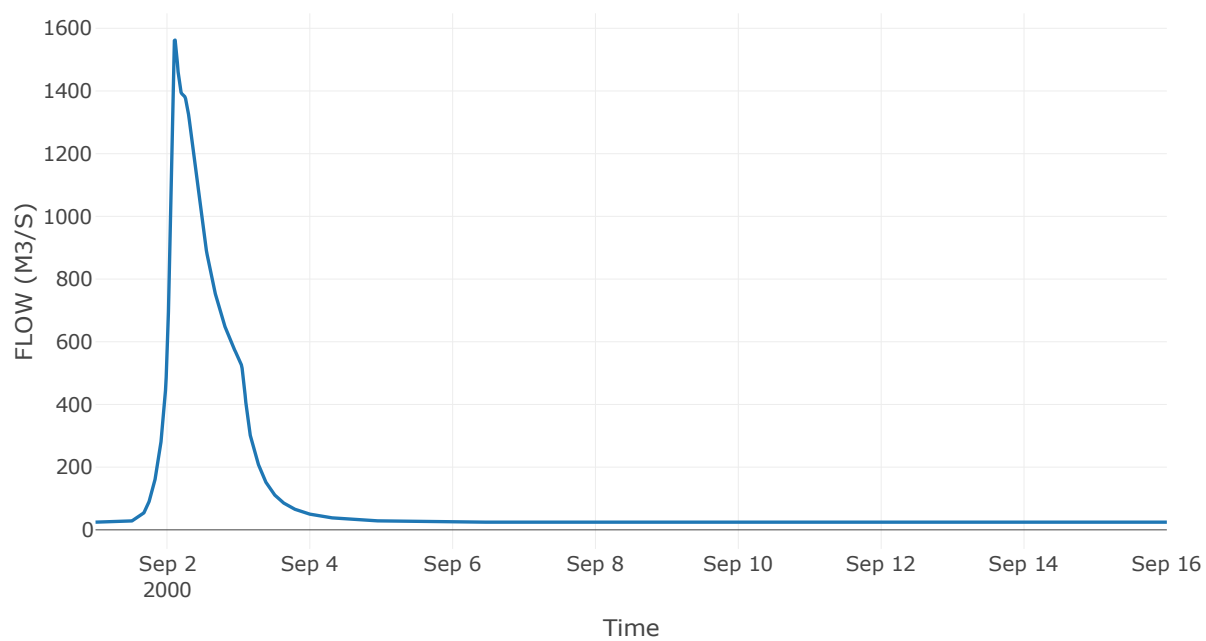
Κόμβος: J7

Κατάντη : R76

Αποτελέσματα: J7

| | |
|-----------------------|------------------|
| Παροχή Αιχμής(M3/S) | 1562.41 |
| Χρονική στιγμή αιχμής | 02Sep2000, 02:45 |
| Όγκος(MM) | 162.73 |

Απορροή



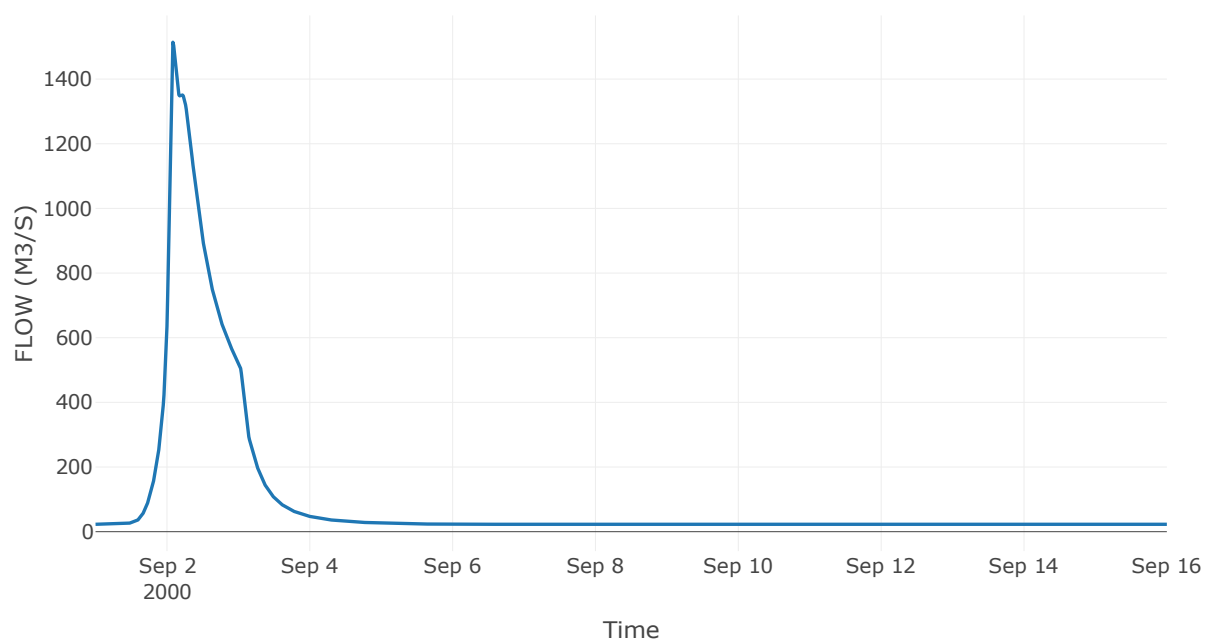
Κόμβος: J8

Κατάντη : R87

Αποτελέσματα: J8

| | |
|-----------------------|------------------|
| Παροχή Αιχμής(M3/S) | 1514.07 |
| Χρονική στιγμή αιχμής | 02Sep2000, 02:00 |
| Όγκος(MM) | 163.63 |

Απορροή



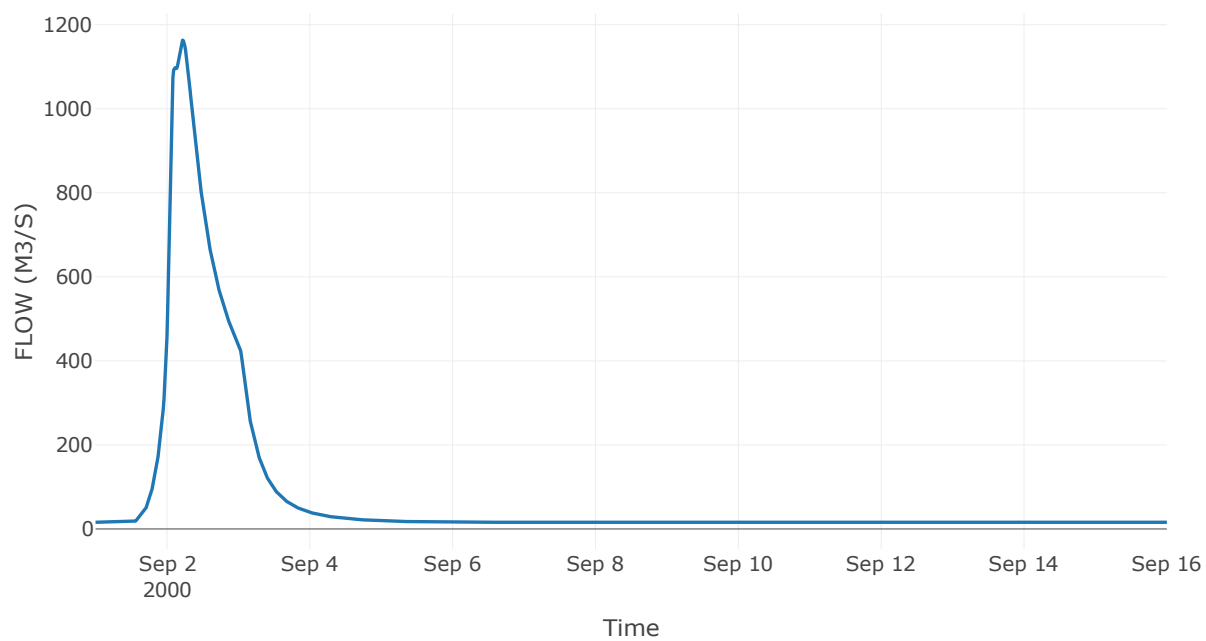
Κόμβος: J9

Κατάντη : R98

Αποτελέσματα: J9

| | |
|-----------------------|------------------|
| Παροχή Αιχμής(M3/S) | 1163.21 |
| Χρονική στιγμή αιχμής | 02Sep2000, 05:15 |
| Όγκος(MM) | 163.5 |

Απορροή



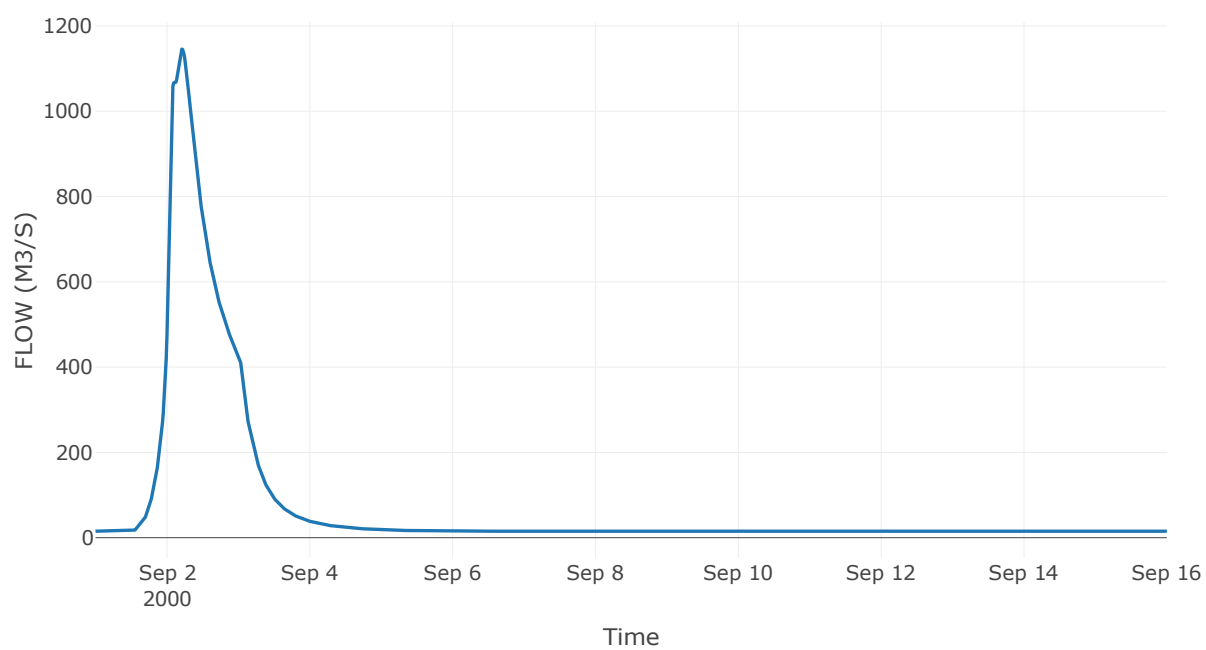
Κόμβος: J10

Κατάντη : R109

Αποτελέσματα: J10

| | |
|-----------------------|------------------|
| Παροχή Αιχμής(M3/S) | 1145.62 |
| Χρονική στιγμή αιχμής | 02Sep2000, 05:00 |
| Όγκος(MM) | 163.89 |

Απορροή



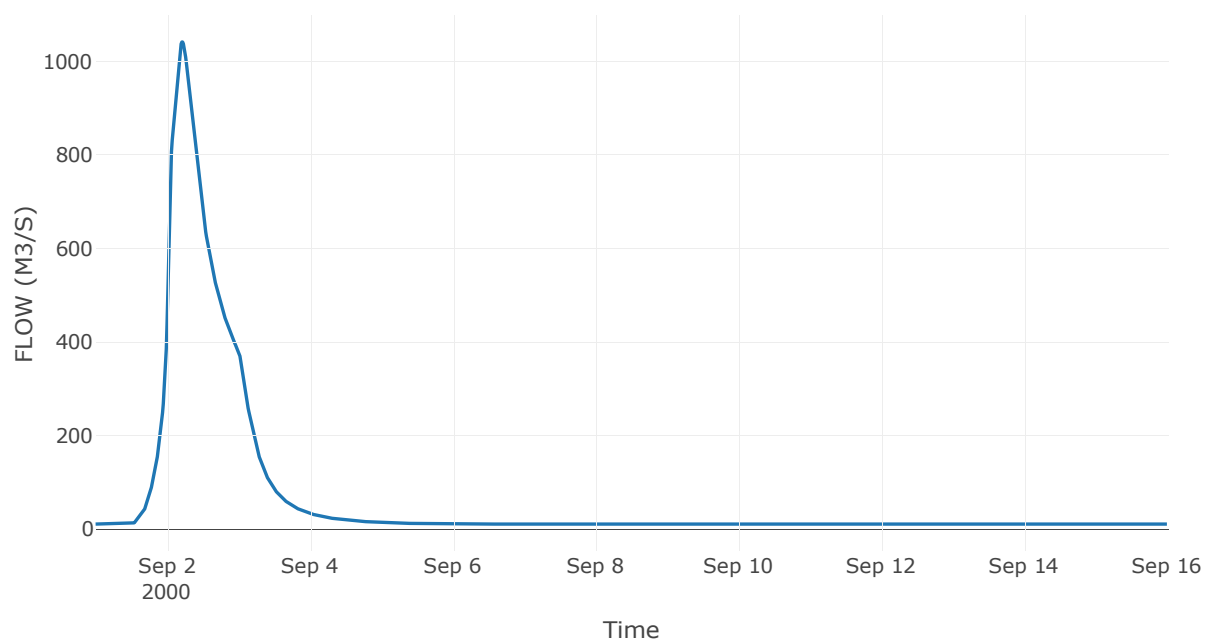
Κόμβος: J11

Κατάντη : R1110

Αποτελέσματα: J11

| | |
|-----------------------|------------------|
| Παροχή Αιχμής(M3/S) | 1041.45 |
| Χρονική στιγμή αιχμής | 02Sep2000, 05:00 |
| Όγκος(MM) | 169.69 |

Απορροή



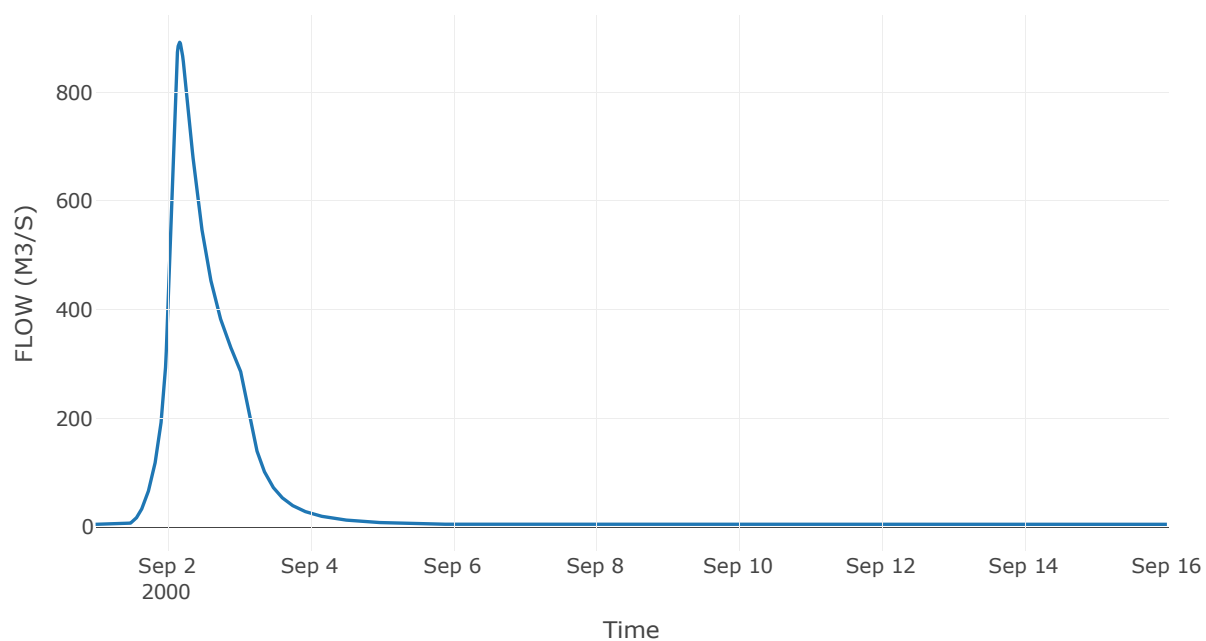
Κόμβος: J12

Κατάντη : R1211

Αποτελέσματα: J12

| | |
|-----------------------|------------------|
| Παροχή Αιχμής(M3/S) | 892.1 |
| Χρονική στιγμή αιχμής | 02Sep2000, 04:15 |
| Όγκος(MM) | 172.97 |

Απορροή



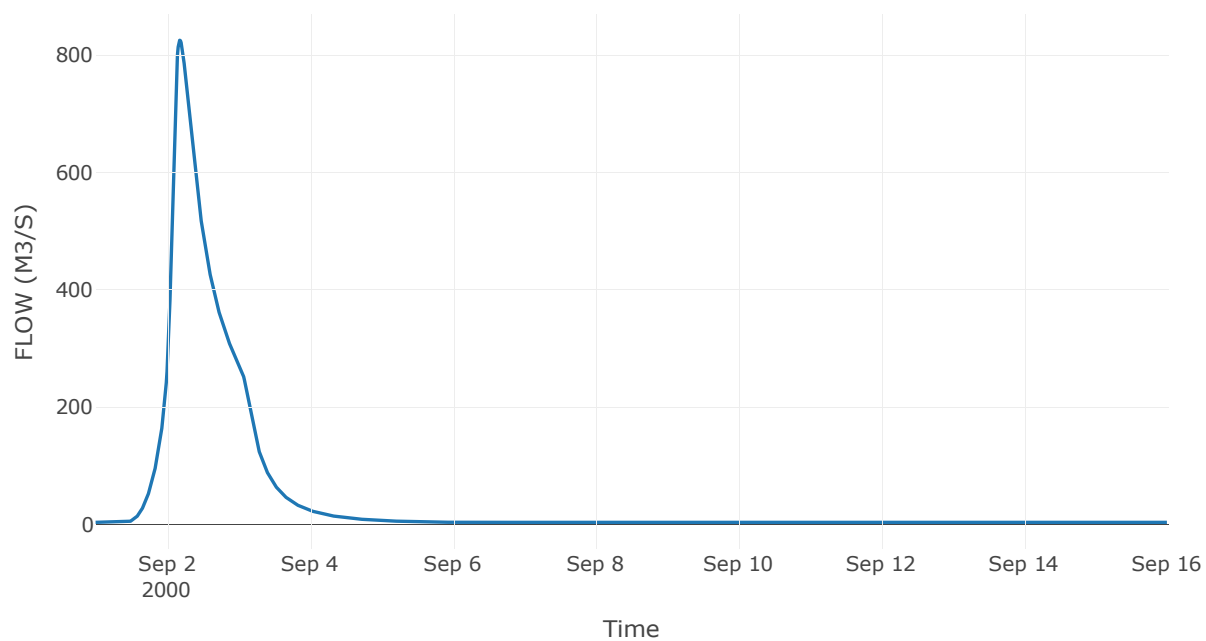
Ταμιευτήρας: J13_RES1

Κατάντη : R1312

Αποτελέσματα: J13_RES1

| | |
|-------------------------------|------------------|
| Παροχή Αιχμής(M3/S) | 824.99 |
| Χρονική στιγμή αιχμής | 02Sep2000, 04:15 |
| Όγκος(MM) | 169.95 |
| Παροχή Αιχμής Εισόδου (M3/S) | 1521.19 |
| Χρονική Στιγμή Αιχμής Εισροής | 02Sep2000, 02:00 |
| Όγκος Εισροής (M3) | 5.68E7 |
| Μέγιστη Αποθηκευτικότητα (M3) | 1.69E8 |
| Μέγιστη Στάθμη(M) | 509.57 |
| Όγκος Απορροής(M3) | 5.98E7 |

Απορροή



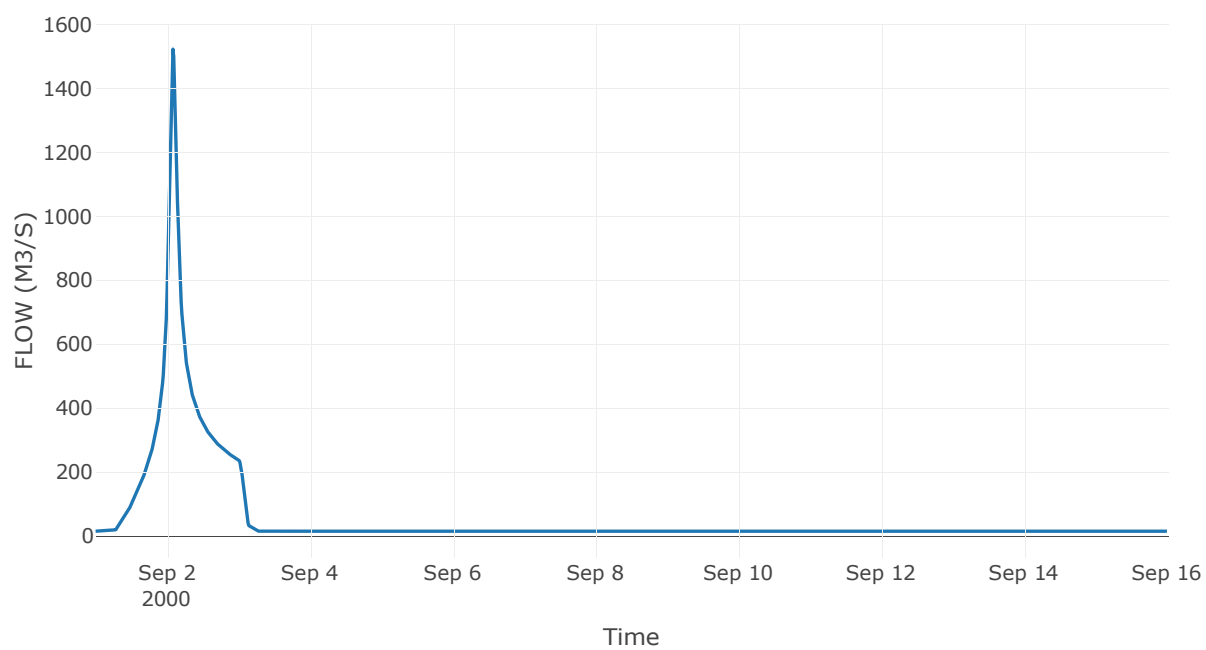
Κόμβος: J14

Κατάντη : R1413

Αποτελέσματα: J14

| | |
|-----------------------|------------------|
| Παροχή Αιχμής(M3/S) | 1522.74 |
| Χρονική στιγμή αιχμής | 02Sep2000, 02:00 |
| Όγκος(MM) | 224.98 |

Απορροή



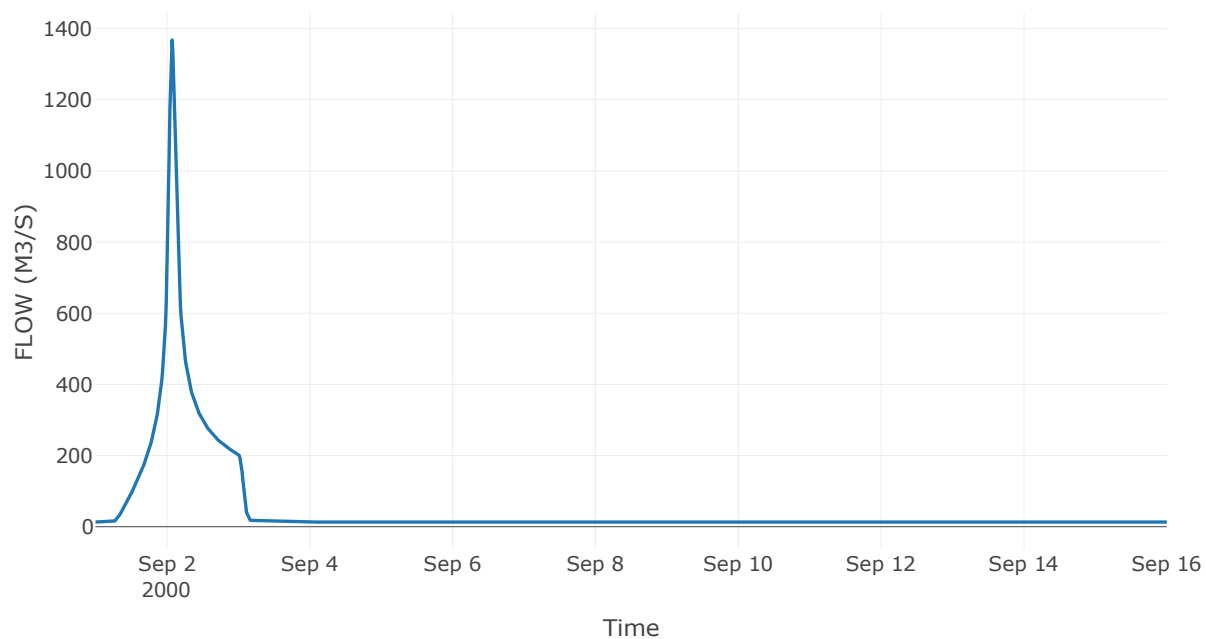
Κόμβος: J15

Κατάντη : R1514

Αποτελέσματα: J15

| | |
|-----------------------|------------------|
| Παροχή Αιχμής(M3/S) | 1367.88 |
| Χρονική στιγμή αιχμής | 02Sep2000, 01:45 |
| Όγκος(MM) | 226.88 |

Απορροή



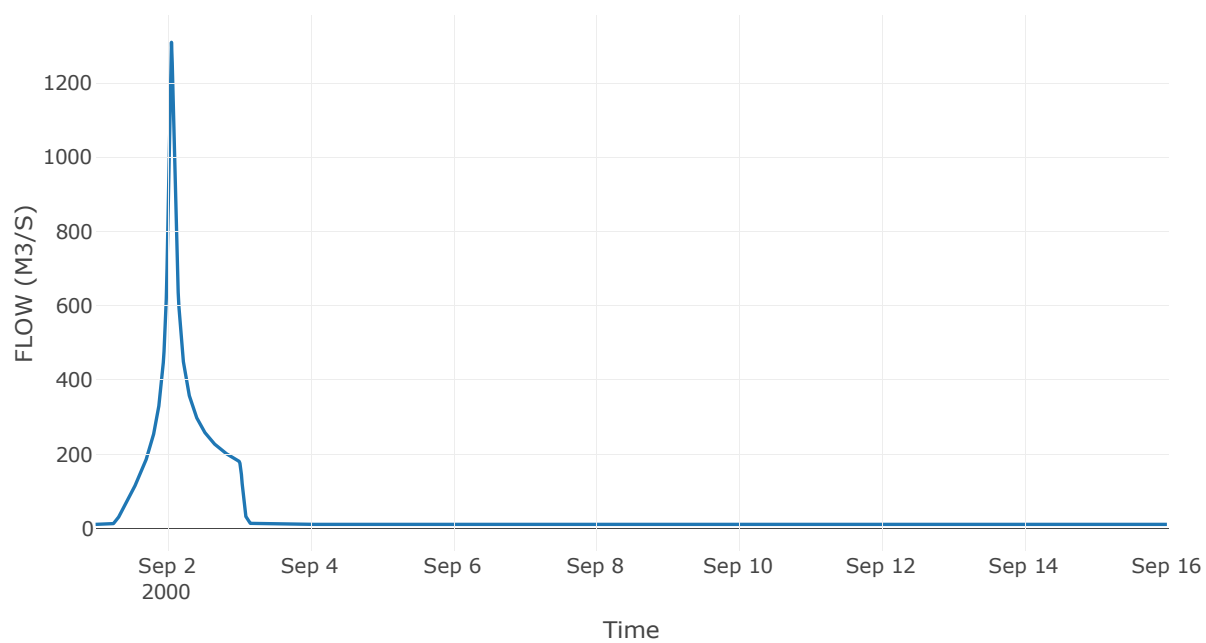
Κόμβος: J16

Κατάντη : R1615

Αποτελέσματα: J16

| | |
|-----------------------|------------------|
| Παροχή Αιχμής(M3/S) | 1310.18 |
| Χρονική στιγμή αιχμής | 02Sep2000, 01:30 |
| Όγκος(MM) | 231.49 |

Απορροή



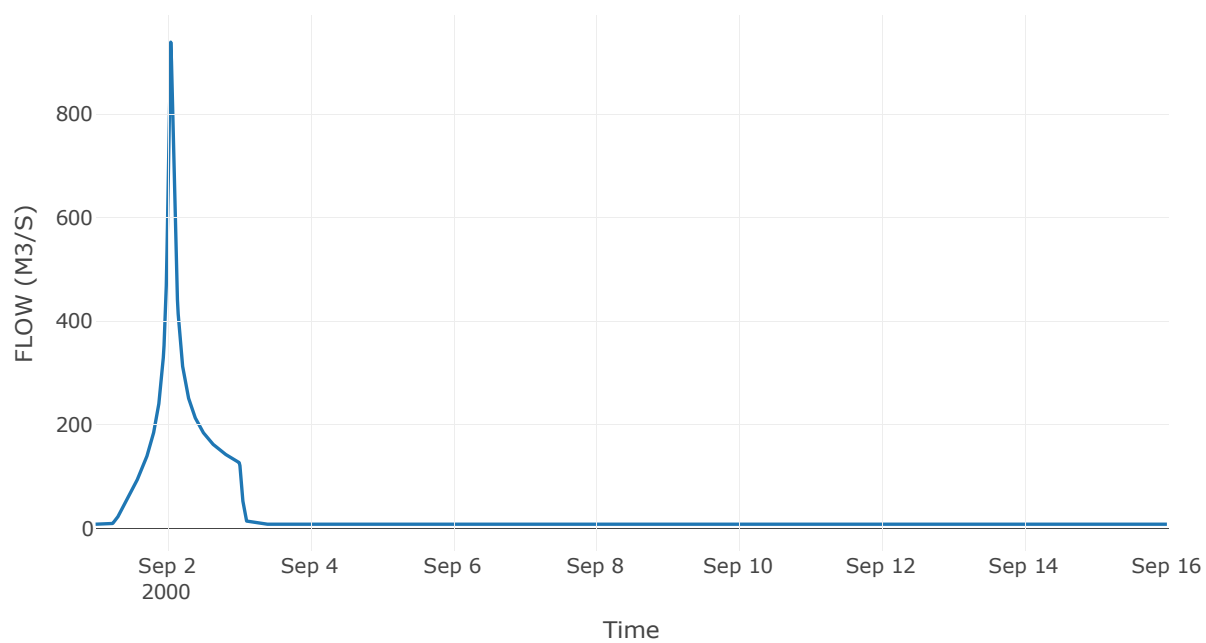
Κόμβος: J17

Κατάντη : R1716

Αποτελέσματα: J17

| | |
|-----------------------|------------------|
| Παροχή Αιχμής(M3/S) | 938.87 |
| Χρονική στιγμή αιχμής | 02Sep2000, 01:15 |
| Όγκος(MM) | 232.86 |

Απορροή



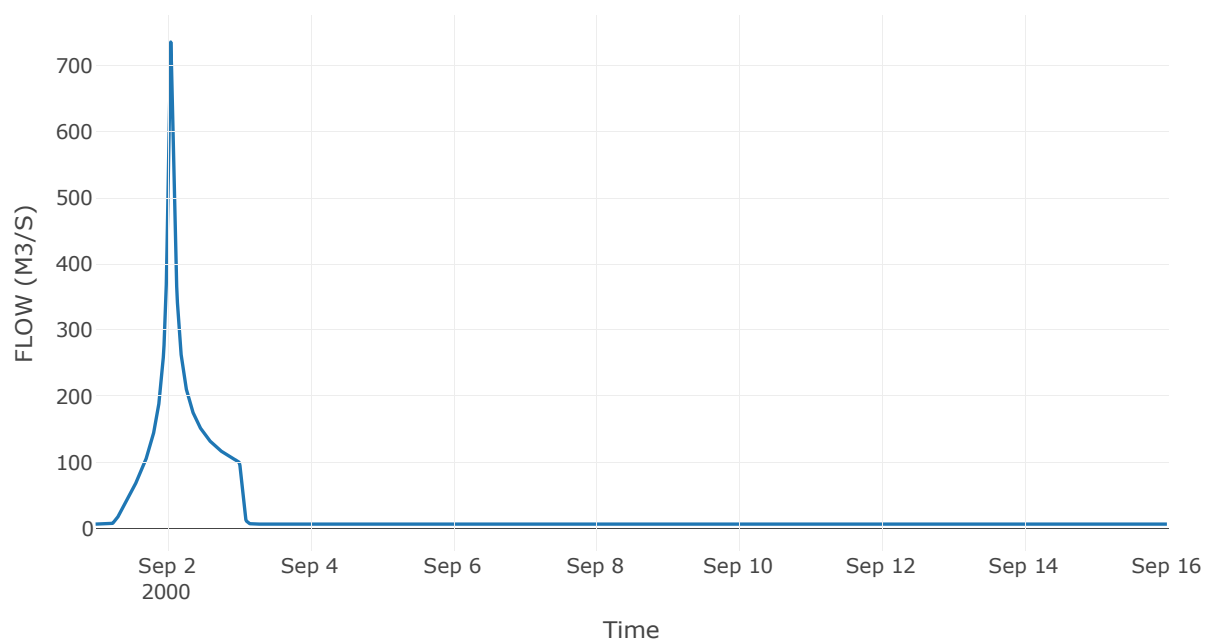
Κόμβος: J18

Κατάντη : R1817

Αποτελέσματα: J18

| | |
|-----------------------|------------------|
| Παροχή Αιχμής(M3/S) | 736.04 |
| Χρονική στιγμή αιχμής | 02Sep2000, 01:15 |
| Όγκος(MM) | 231.65 |

Απορροή



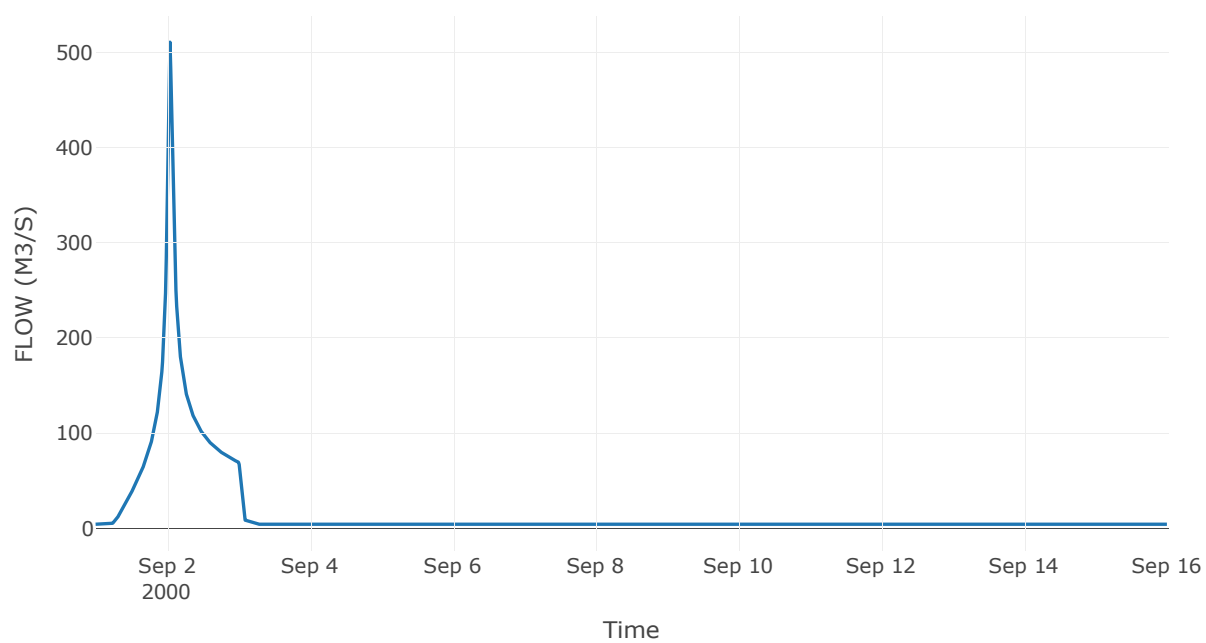
Κόμβος: J19

Κατάντη : R1918

Αποτελέσματα: J19

| | |
|-----------------------|------------------|
| Παροχή Αιχμής(M3/S) | 510.78 |
| Χρονική στιγμή αιχμής | 02Sep2000, 01:00 |
| Όγκος(MM) | 230.57 |

Απορροή



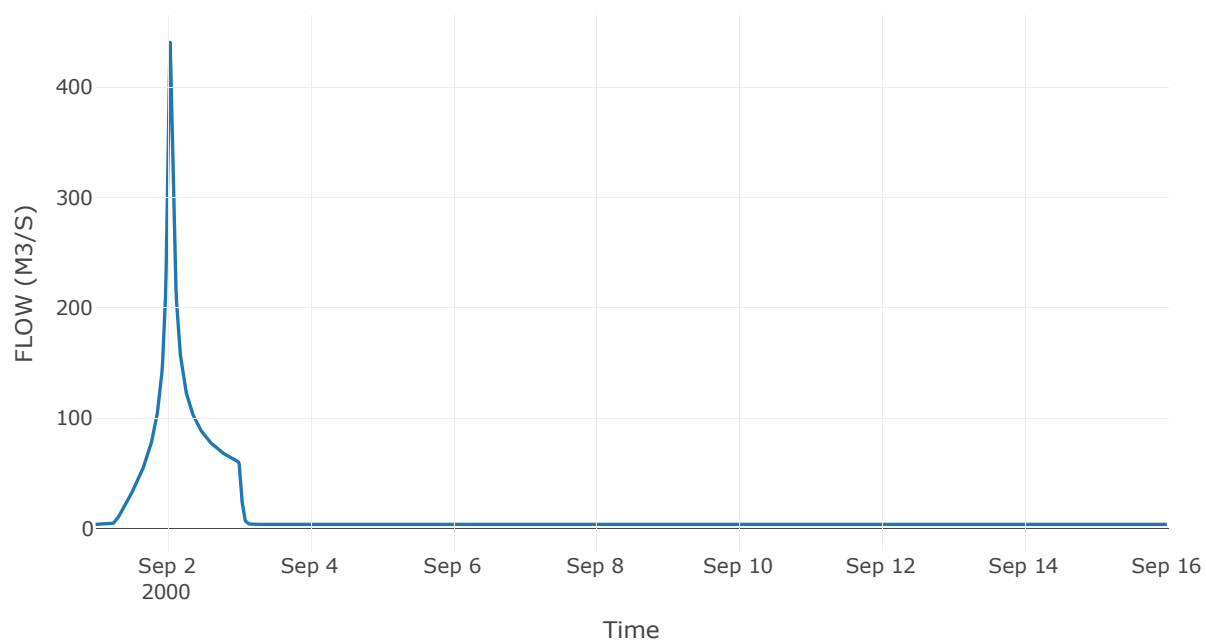
Κόμβος: J20

Κατάντη : R2019

Αποτελέσματα: J20

| | |
|-----------------------|------------------|
| Παροχή Αιχμής(M3/S) | 440.71 |
| Χρονική στιγμή αιχμής | 02Sep2000, 01:00 |
| Όγκος(MM) | 229.95 |

Απορροή



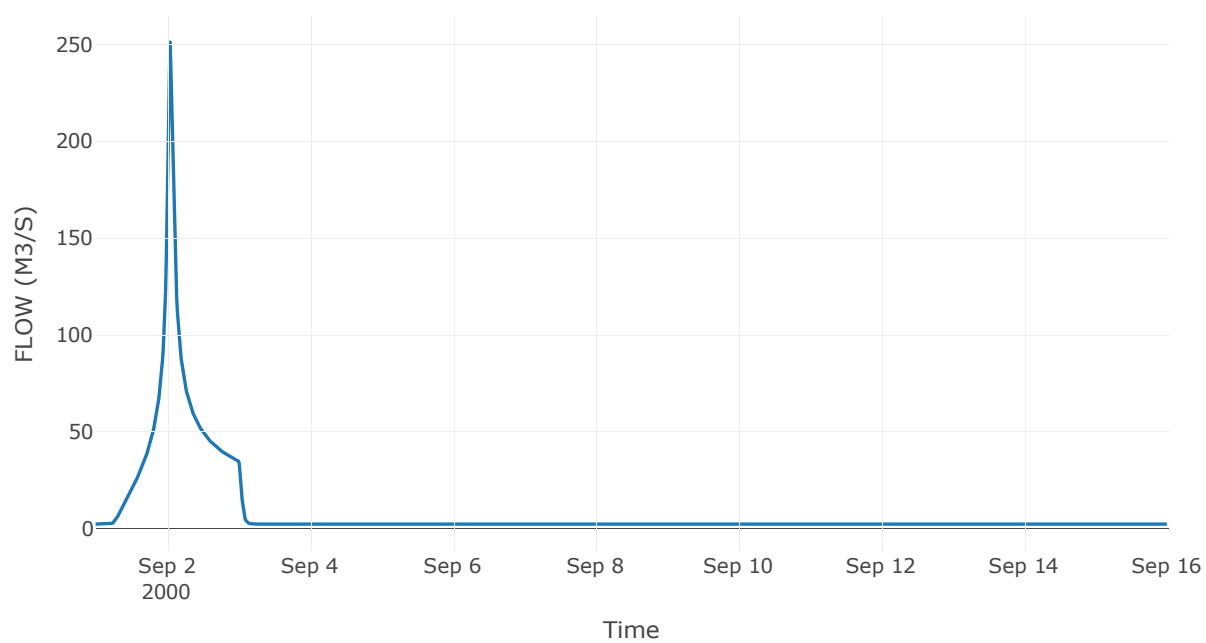
Κόμβος: J21

Κατάντη : R2120

Αποτελέσματα: J21

| | |
|-----------------------|------------------|
| Παροχή Αιχμής(M3/S) | 251.33 |
| Χρονική στιγμή αιχμής | 02Sep2000, 01:00 |
| Όγκος(MM) | 237.2 |

Απορροή



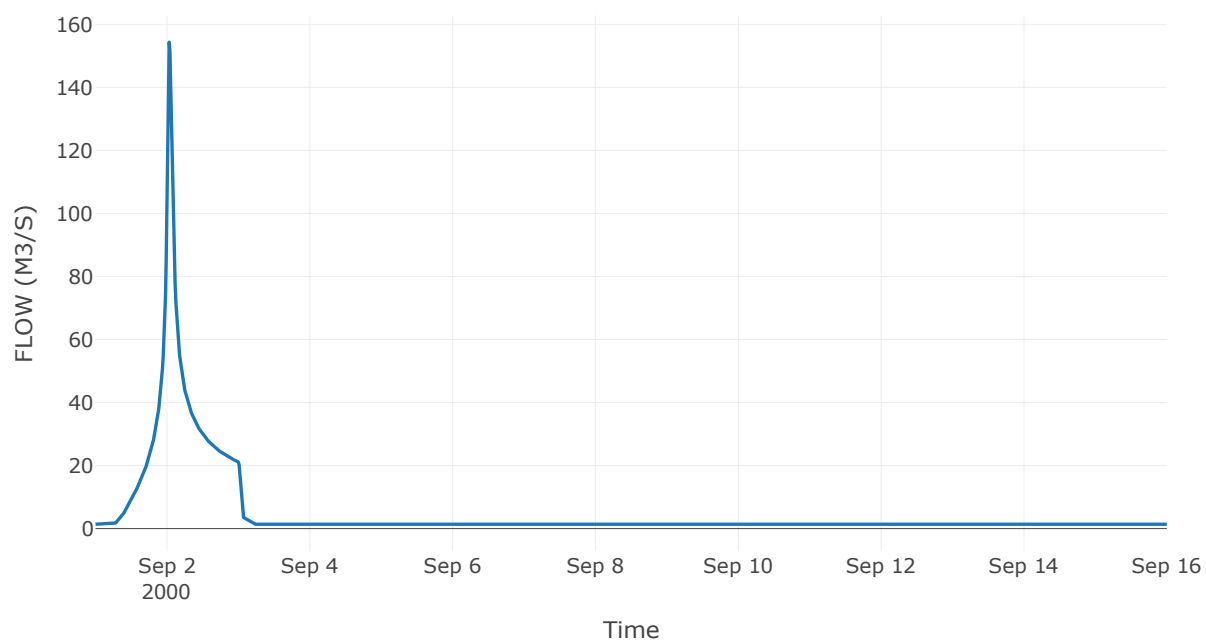
Κόμβος: J22

Κατάντη : R2220

Αποτελέσματα: J22

| | |
|-----------------------|------------------|
| Παροχή Αιχμής(M3/S) | 154.37 |
| Χρονική στιγμή αιχμής | 02Sep2000, 00:45 |
| Όγκος(MM) | 217.31 |

Απορροή



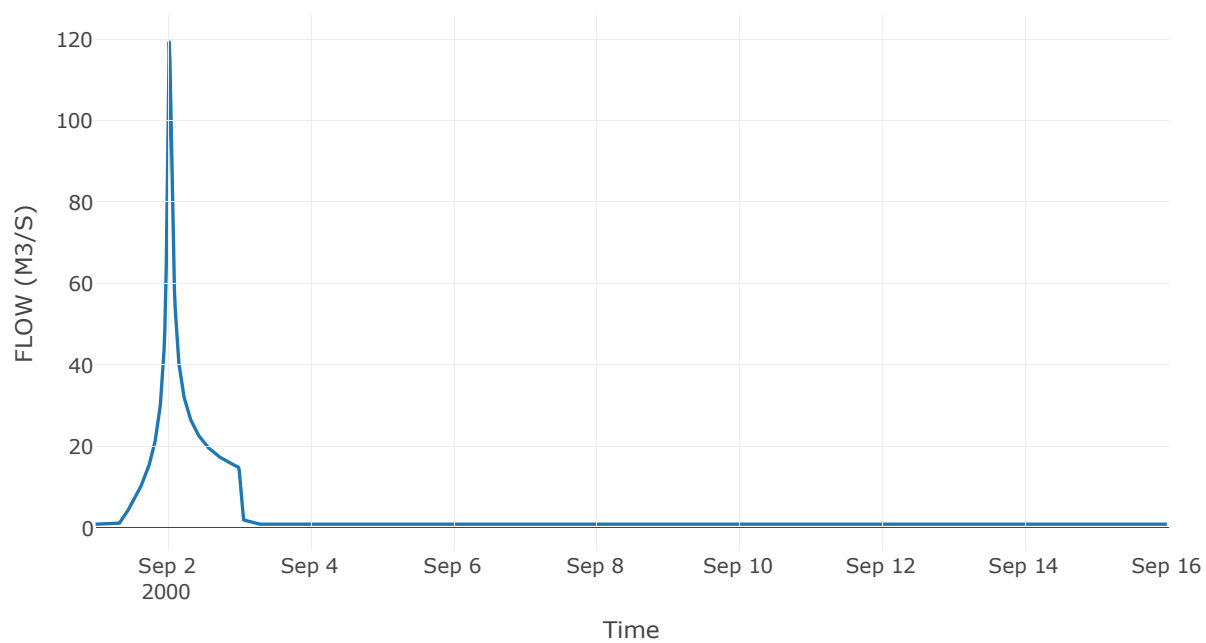
Κόμβος: J23

Κατάντη : R2314

Αποτελέσματα: J23

| | |
|-----------------------|------------------|
| Παροχή Αιχμής(M3/S) | 119.32 |
| Χρονική στιγμή αιχμής | 02Sep2000, 00:45 |
| Όγκος(MM) | 219.86 |

Απορροή



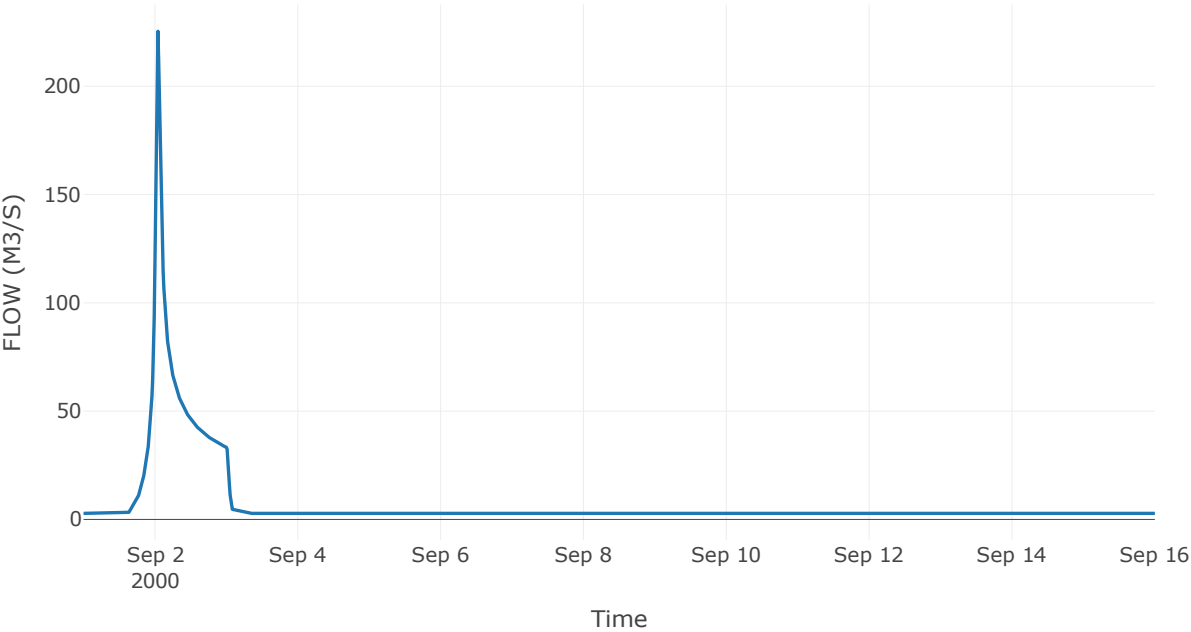
Κόμβος: J24

Κατάντη : R2411

Αποτελέσματα: J24

| | |
|-----------------------|------------------|
| Παροχή Αιχμής(M3/S) | 225.38 |
| Χρονική στιγμή αιχμής | 02Sep2000, 01:00 |
| Όγκος(MM) | 156.43 |

Απορροή



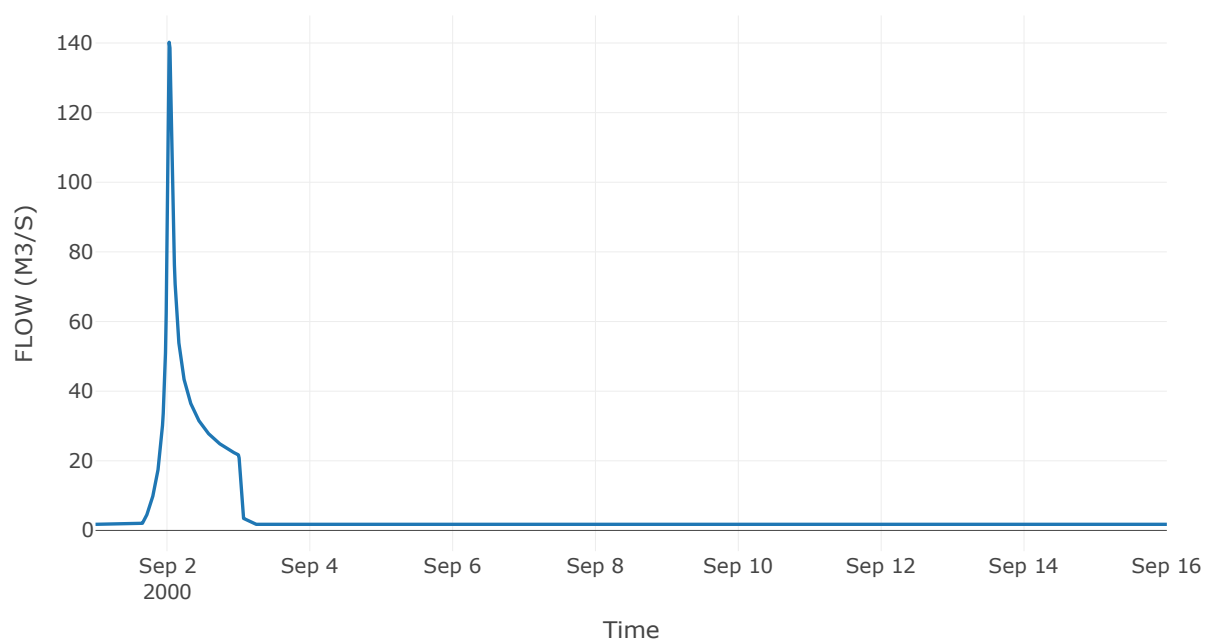
Κόμβος: J25

Κατάντη : R2524

Αποτελέσματα: J25

| | |
|-----------------------|------------------|
| Παροχή Αιχμής(M3/S) | 140.21 |
| Χρονική στιγμή αιχμής | 02Sep2000, 00:45 |
| Όγκος(MM) | 158.86 |

Απορροή



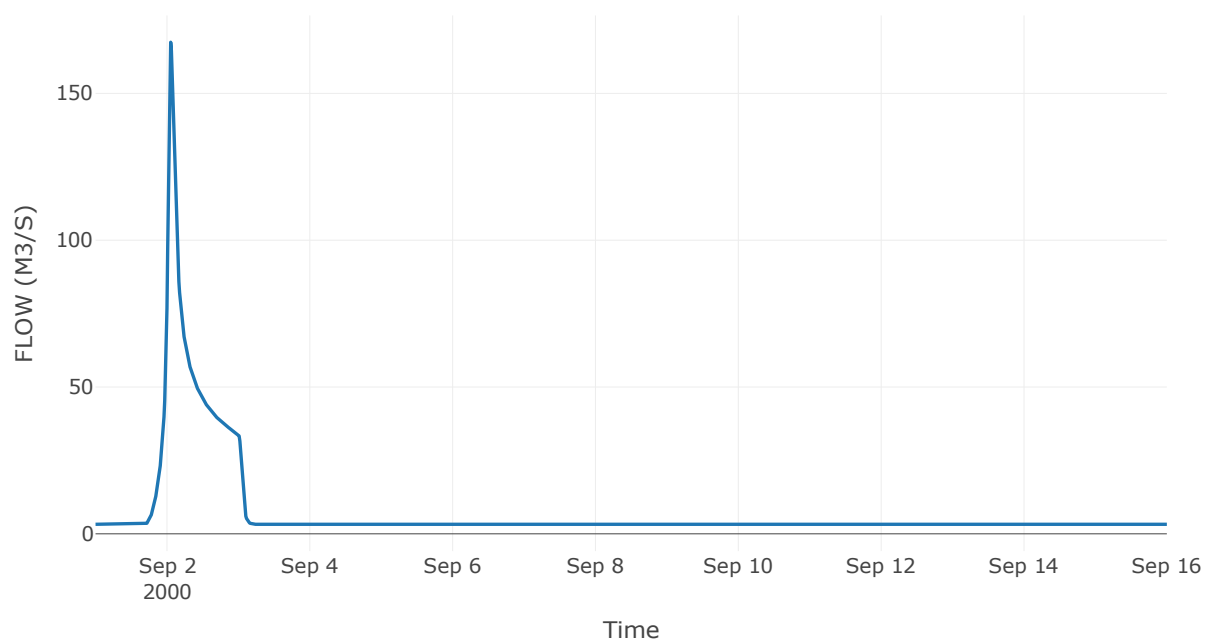
Κόμβος: J26

Κατάντη : R2610

Αποτελέσματα: J26

| | |
|-----------------------|------------------|
| Παροχή Αιχμής(M3/S) | 167.44 |
| Χρονική στιγμή αιχμής | 02Sep2000, 01:15 |
| Όγκος(MM) | 134.5 |

Απορροή



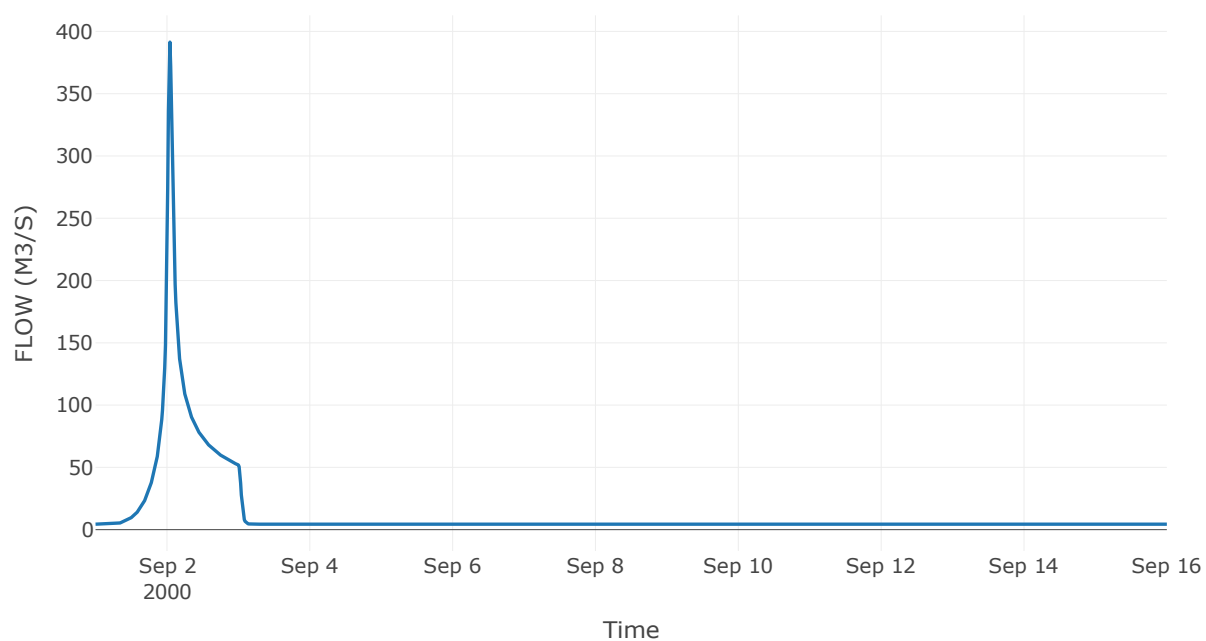
Κόμβος: J27

Κατάντη : R278

Αποτελέσματα: J27

| | |
|-----------------------|------------------|
| Παροχή Αιχμής(M3/S) | 391.43 |
| Χρονική στιγμή αιχμής | 02Sep2000, 01:00 |
| Όγκος(MM) | 169.75 |

Απορροή



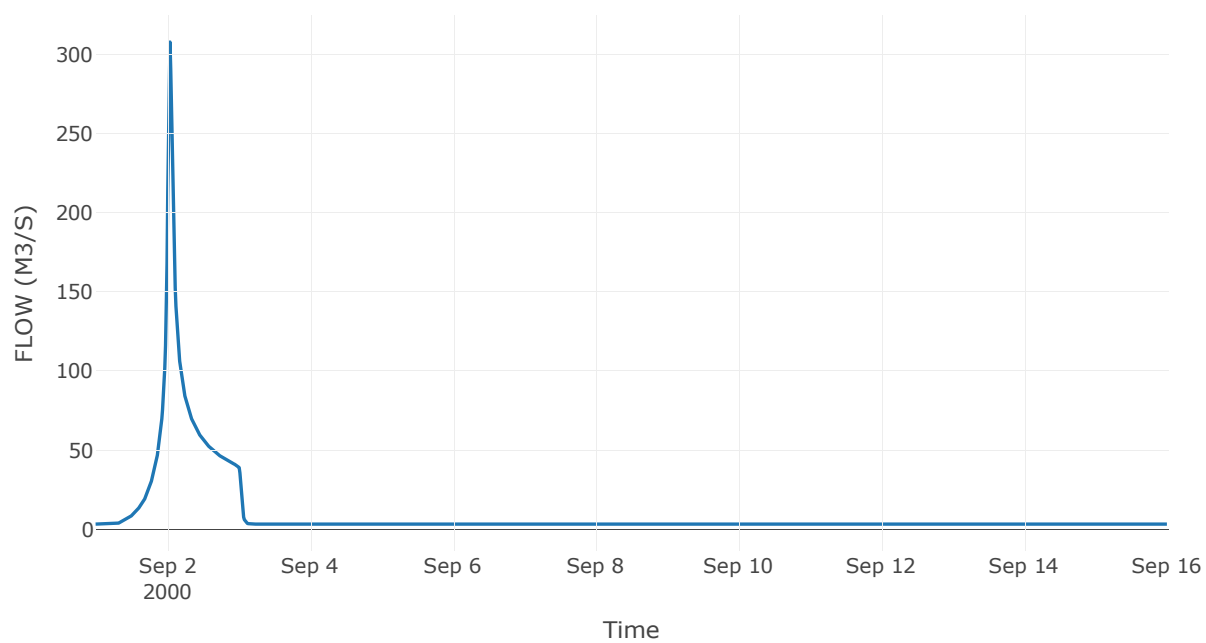
Κόμβος: J28

Κατάντη : R2827

Αποτελέσματα: J28

| | |
|-----------------------|------------------|
| Παροχή Αιχμής(M3/S) | 307.94 |
| Χρονική στιγμή αιχμής | 02Sep2000, 01:00 |
| Όγκος(MM) | 171.77 |

Απορροή



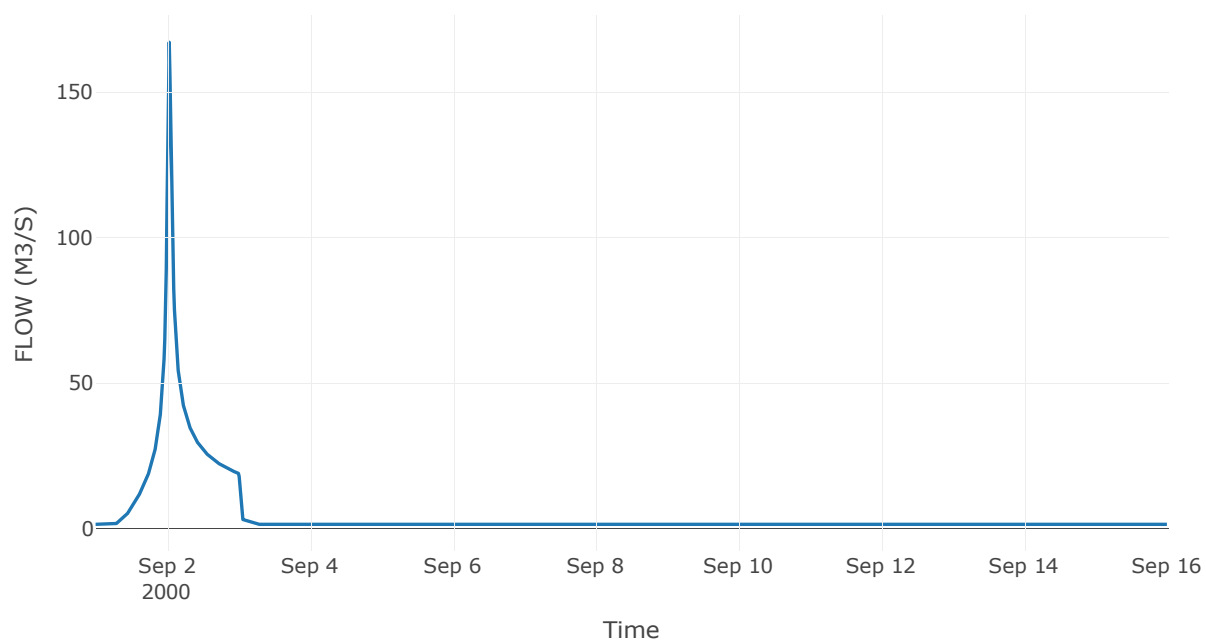
Κόμβος: J29

Κατάντη : R2928

Αποτελέσματα: J29

| | |
|-----------------------|------------------|
| Παροχή Αιχμής(M3/S) | 167.18 |
| Χρονική στιγμή αιχμής | 02Sep2000, 00:45 |
| Όγκος(MM) | 199.52 |

Απορροή



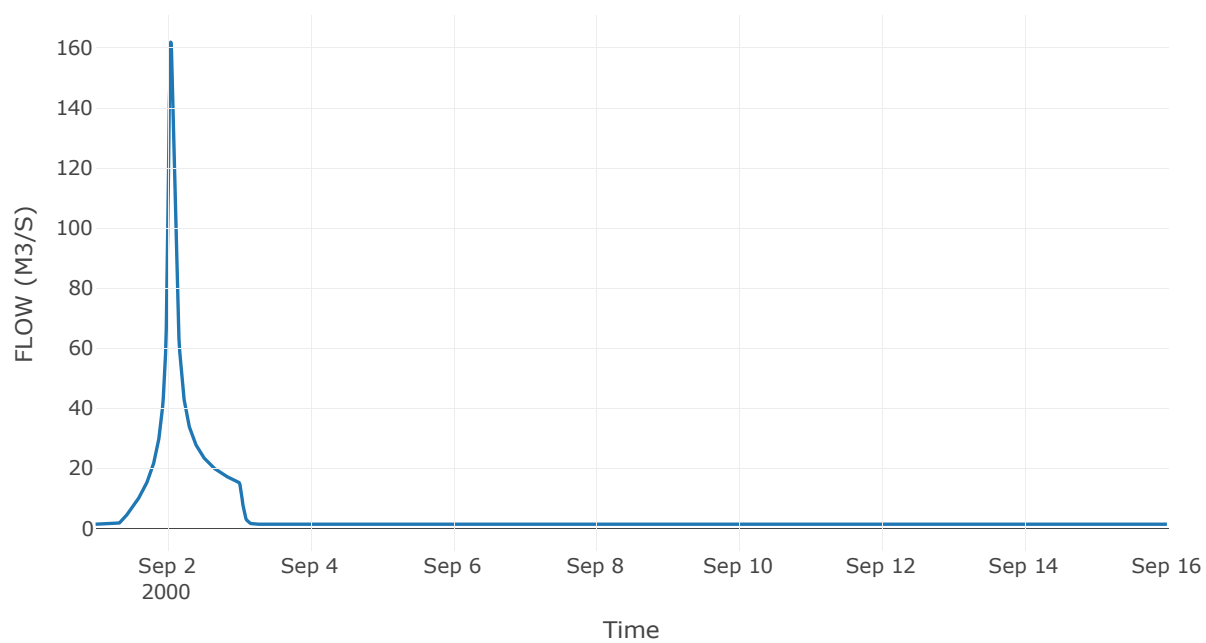
Κόμβος: J30

Κατάντη : R302

Αποτελέσματα: J30

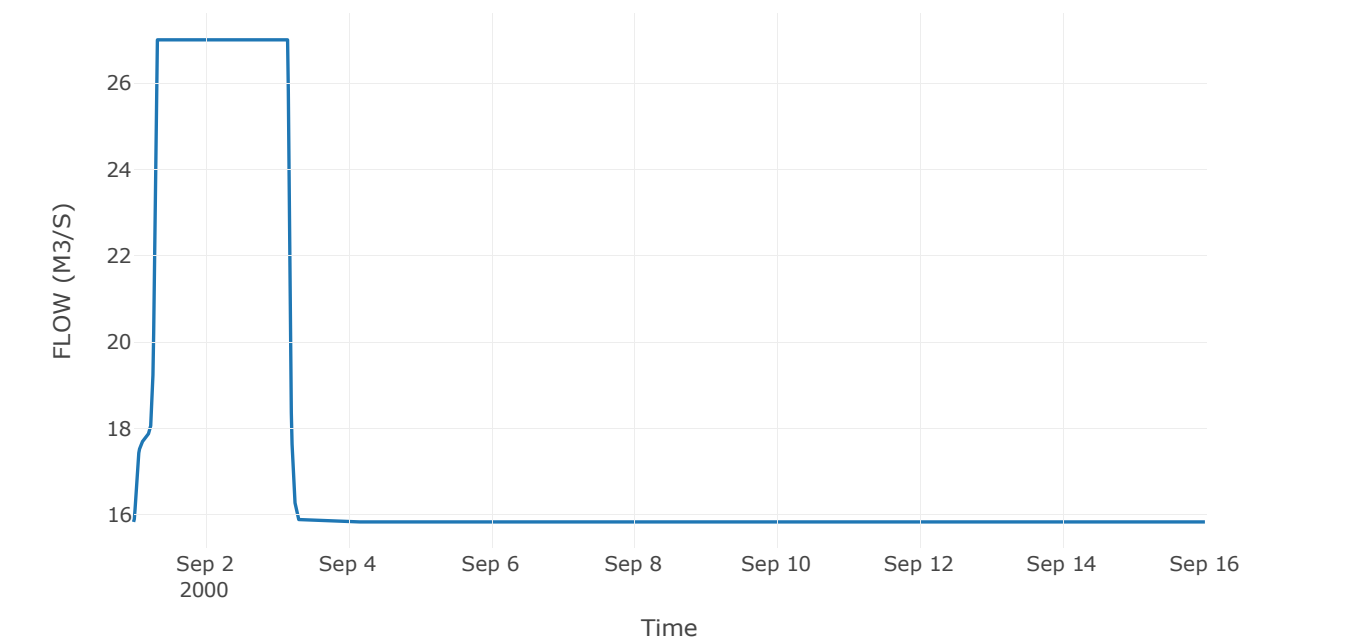
| | |
|-----------------------|------------------|
| Παροχή Αιχμής(M3/S) | 161.94 |
| Χρονική στιγμή αιχμής | 02Sep2000, 01:15 |
| Όγκος(MM) | 205.13 |

Απορροή



| | |
|-----------------------|------------------|
| Παροχή Αιχμής(M3/S) | 27 |
| Χρονική στιγμή αιχμής | 01Sep2000, 07:45 |

Απορροή



3 Δεδομένα εισόδου και αποτελέσματα υδρολογικού σεναρίου T=50L

3.1 Αποτελέσματα, υετογραφήματα και υδρογραφήματα σχεδιασμού υπολεκάνων

Υπολεκάνη: EL0420FR4001

Έκταση (KM2) : 23.03

Κατάληξη : J1

Μέθοδος Απωλειών: SCS

| | |
|--------------------------------|------|
| Ποσοστό αδιαπέρατης επιφάνειας | 0 |
| Αριθμός Καμπύλης Απορροής-CN | 60.4 |
| Αρχικές Απώλειες | 33.3 |

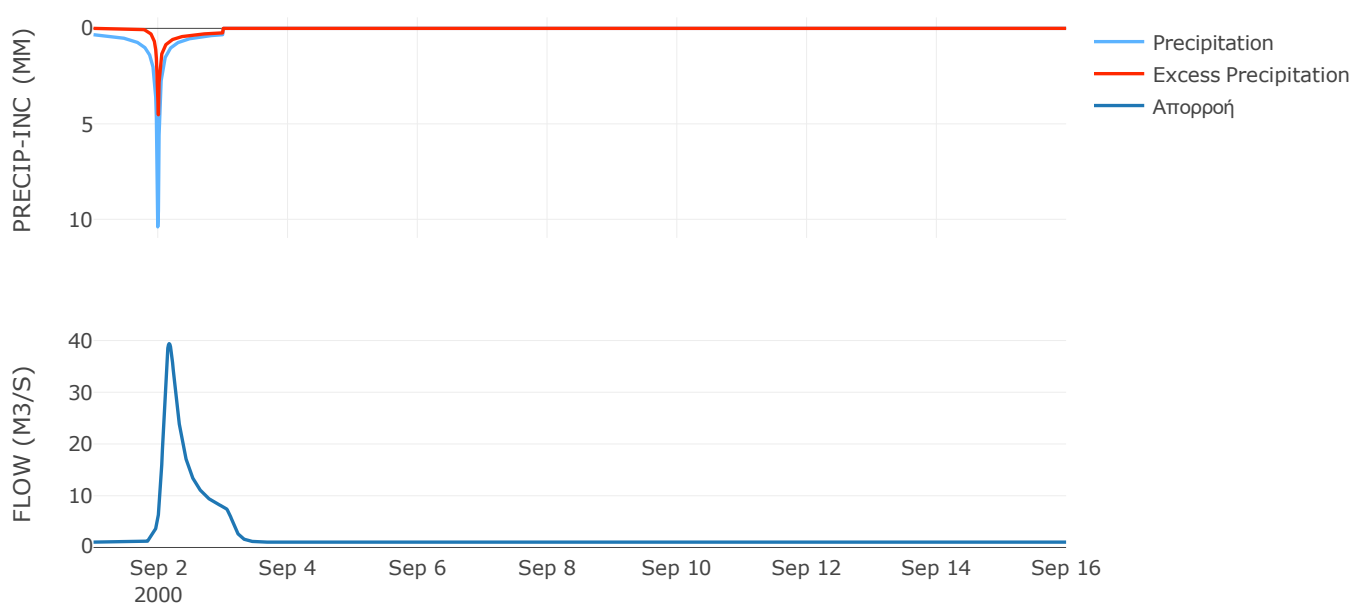
Μέθοδος
Μετασχηματισμού: SCS

| | |
|------------------|--------|
| Χρόνος Υστέρησης | 203.61 |
|------------------|--------|

Αποτελέσματα:
EL0420FR4001

| | |
|-----------------------------|------------------|
| Παροχή αιχμής (M3/S) | 39.4 |
| Χρονική στιγμή αιχμής | 02Sep2000, 04:00 |
| Όγκος (MM) | 125.4 |
| Όγκος βροχόπτωσης (M3) | 4.09E6 |
| Όγκος απωλειών (M3) | 2.55E6 |
| Ενεργός Όγκος (M3) | 1.54E6 |
| Όγκος άμεσης απορροής (M3) | 1.54E6 |
| Όγκος βασικής απορροής (M3) | 1.34E6 |

Βροχόπτωση και Απορροή



Υπολεκάνη: EL0420FR4002

Έκταση (KM2) : 14.69

Κατάντη : J2

Μέθοδος Απωλειών: SCS

| | |
|--------------------------------|-------|
| Ποσοστό αδιαπέρατης επιφάνειας | 0 |
| Αριθμός Καμπύλης Απορροής-CN | 65.06 |
| Αρχικές Απώλειες | 27.28 |

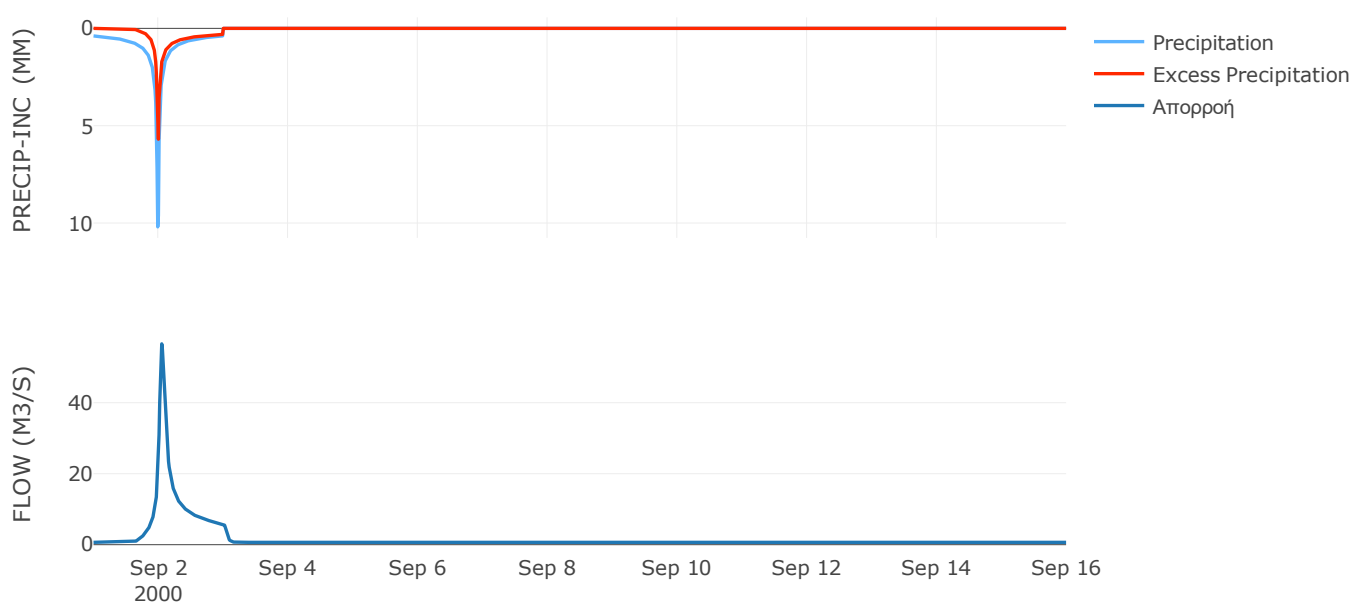
Μέθοδος
Μετασχηματισμού: SCS

| | |
|------------------|-------|
| Χρόνος Υστέρησης | 66.73 |
|------------------|-------|

Αποτελέσματα:
EL0420FR4002

| | |
|-----------------------------|------------------|
| Παροχή αιχμής (M3/S) | 56.58 |
| Χρονική στιγμή αιχμής | 02Sep2000, 01:15 |
| Όγκος (MM) | 150.58 |
| Όγκος βροχόπτωσης (M3) | 2.86E6 |
| Όγκος απωλειών (M3) | 1.51E6 |
| Ενεργός Όγκος (M3) | 1.36E6 |
| Όγκος άμεσης απορροής (M3) | 1.36E6 |
| Όγκος βασικής απορροής (M3) | 8.57E5 |

Βροχόπτωση και Απορροή



Υπολεκάνη: EL0420FR4003

Έκταση (KM2) : 18.27

Κατάντη : J3

Μέθοδος Απωλειών: SCS

| | |
|--------------------------------|-------|
| Ποσοστό αδιαπέρατης επιφάνειας | 0 |
| Αριθμός Καμπύλης Απορροής-CN | 56.17 |
| Αρχικές Απώλειες | 39.63 |

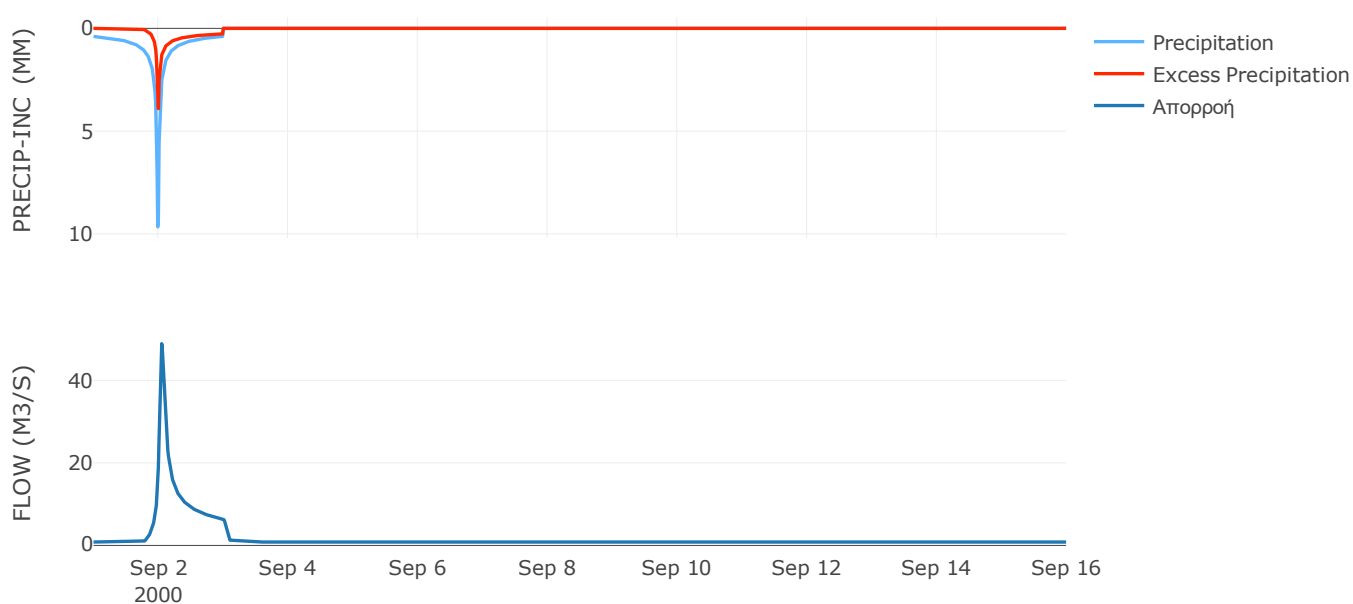
Μέθοδος
Μετασχηματισμού: SCS

| | |
|------------------|-------|
| Χρόνος Υστέρησης | 62.13 |
|------------------|-------|

Αποτελέσματα:
EL0420FR4003

| | |
|-----------------------------|------------------|
| Παροχή αιχμής (M3/S) | 48.91 |
| Χρονική στιγμή αιχμής | 02Sep2000, 01:15 |
| Όγκος (MM) | 124.8 |
| Όγκος βροχόπτωσης (M3) | 3.51E6 |
| Όγκος απωλειών (M3) | 2.3E6 |
| Ενεργός Όγκος (M3) | 1.21E6 |
| Όγκος άμεσης απορροής (M3) | 1.21E6 |
| Όγκος βασικής απορροής (M3) | 1.07E6 |

Βροχόπτωση και Απορροή



Υπολεκάνη: EL0420FR4004

Έκταση (KM2) : 43.51

Κατάντη : J4

Μέθοδος Απωλειών: SCS

| | |
|--------------------------------|-------|
| Ποσοστό αδιαπέρατης επιφάνειας | 0 |
| Αριθμός Καμπύλης Απορροής-CN | 64 |
| Αρχικές Απώλειες | 28.57 |

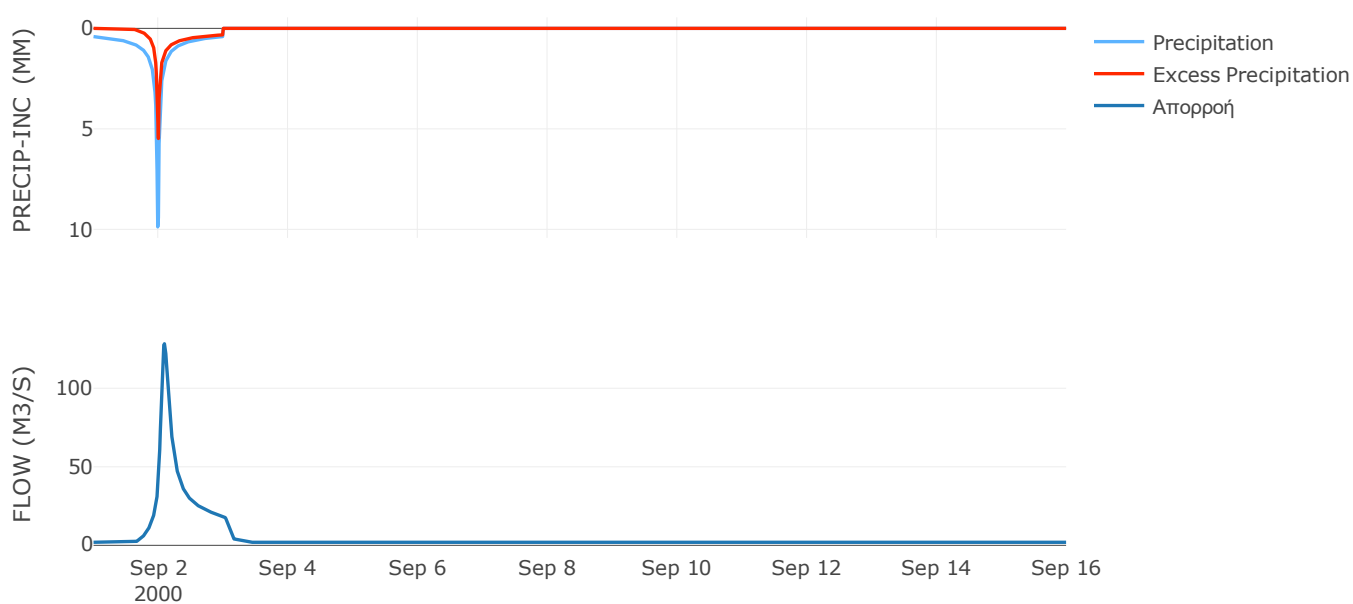
Μέθοδος
Μετασχηματισμού: SCS

| | |
|------------------|--------|
| Χρόνος Υστέρησης | 116.87 |
|------------------|--------|

Αποτελέσματα:
EL0420FR4004

| | |
|-----------------------------|------------------|
| Παροχή αιχμής (M3/S) | 128.33 |
| Χρονική στιγμή αιχμής | 02Sep2000, 02:15 |
| Όγκος (MM) | 151.42 |
| Όγκος βροχόπτωσης (M3) | 8.68E6 |
| Όγκος απωλειών (M3) | 4.63E6 |
| Ενεργός Όγκος (M3) | 4.05E6 |
| Όγκος άμεσης απορροής (M3) | 4.05E6 |
| Όγκος βασικής απορροής (M3) | 2.54E6 |

Βροχόπτωση και Απορροή



Υπολεκάνη: EL0420FR4005

Έκταση (KM2) : 48.87

Κατάντη : J5

Μέθοδος Απωλειών: SCS

| | |
|--------------------------------|-------|
| Ποσοστό αδιαπέρατης επιφάνειας | 0 |
| Αριθμός Καμπύλης Απορροής-CN | 44.61 |
| Αρχικές Απώλειες | 63.08 |

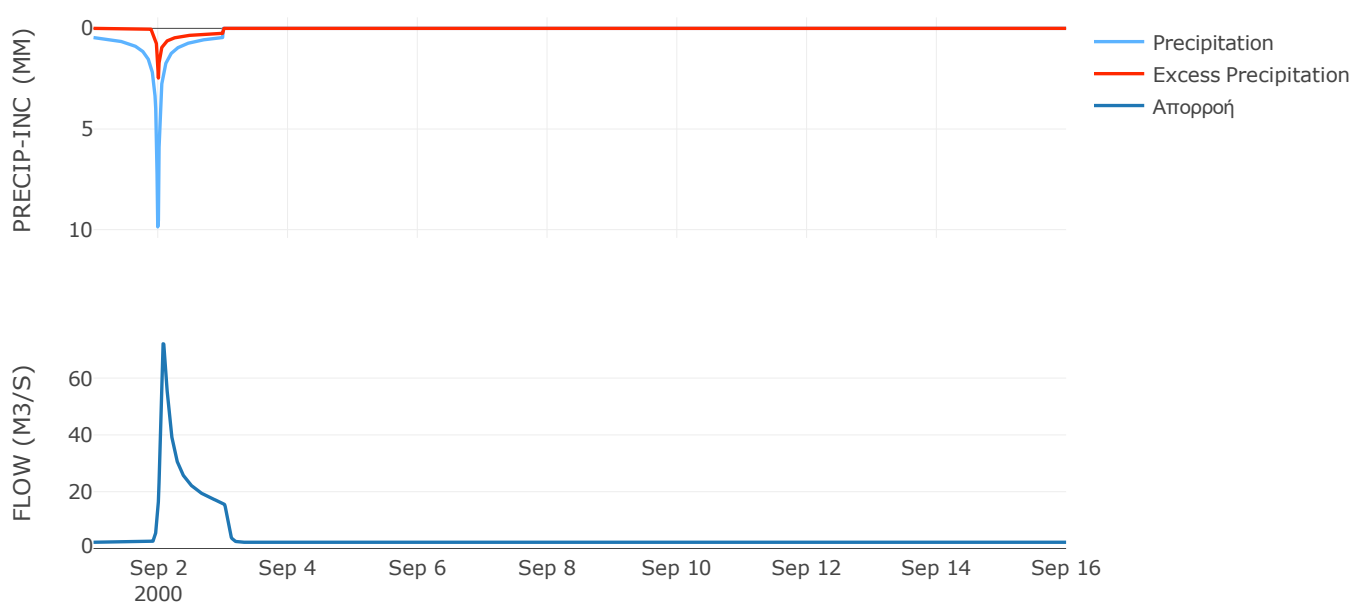
Μέθοδος
Μετασχηματισμού: SCS

| | |
|------------------|-------|
| Χρόνος Υστέρησης | 85.67 |
|------------------|-------|

Αποτελέσματα:
EL0420FR4005

| | |
|-----------------------------|------------------|
| Παροχή αιχμής (M3/S) | 72.1 |
| Χρονική στιγμή αιχμής | 02Sep2000, 01:45 |
| Όγκος (MM) | 107.33 |
| Όγκος βροχόπτωσης (M3) | 1.05E7 |
| Όγκος απωλειών (M3) | 8.08E6 |
| Ενεργός Όγκος (M3) | 2.4E6 |
| Όγκος άμεσης απορροής (M3) | 2.4E6 |
| Όγκος βασικής απορροής (M3) | 2.85E6 |

Βροχόπτωση και Απορροή



Υπολεκάνη: EL0420FR4006

Έκταση (KM2) : 0.82

Κατάντη : J6

Μέθοδος Απωλειών: SCS

| | |
|--------------------------------|-------|
| Ποσοστό αδιαπέρατης επιφάνειας | 0 |
| Αριθμός Καμπύλης Απορροής-CN | 33.82 |
| Αρχικές Απώλειες | 99.42 |

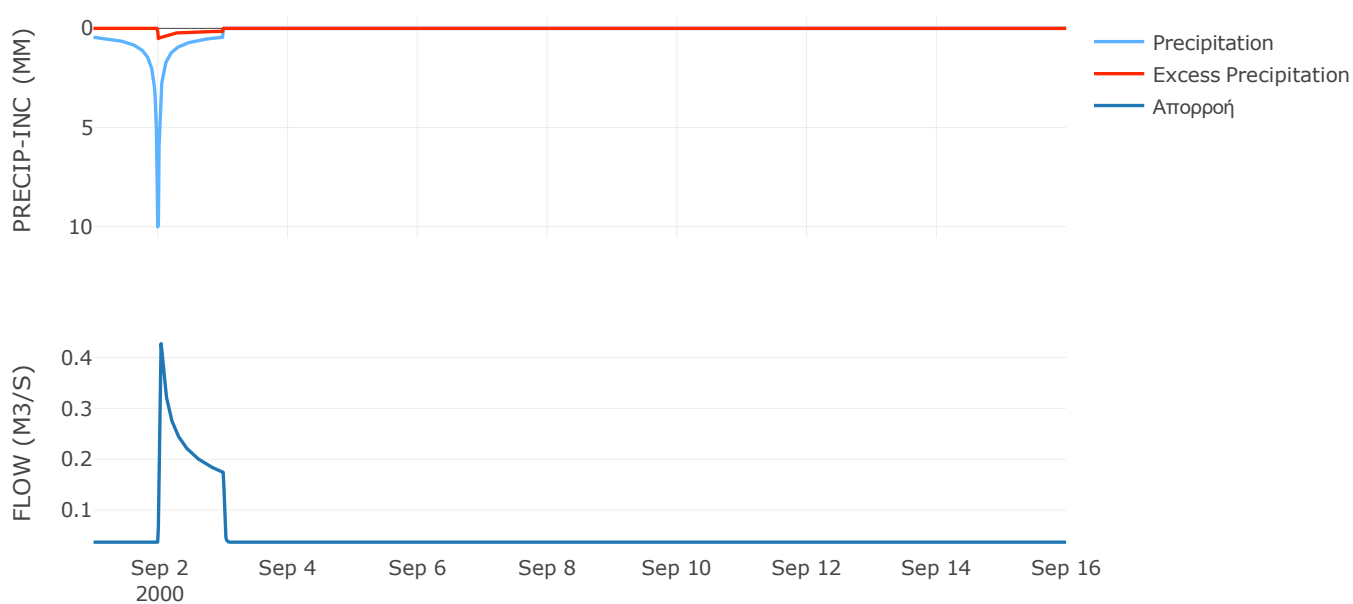
Μέθοδος
Μετασχηματισμού: SCS

| | |
|------------------|-------|
| Χρόνος Υστέρησης | 21.17 |
|------------------|-------|

Αποτελέσματα:
EL0420FR4006

| | |
|-----------------------------|------------------|
| Παροχή αιχμής (M3/S) | 0.43 |
| Χρονική στιγμή αιχμής | 02Sep2000, 01:00 |
| Όγκος (MM) | 79.35 |
| Όγκος βροχόπτωσης (M3) | 1.74E5 |
| Όγκος απωλειών (M3) | 1.57E5 |
| Ενεργός Όγκος (M3) | 17200.54 |
| Όγκος άμεσης απορροής (M3) | 17200.54 |
| Όγκος βασικής απορροής (M3) | 47691.5 |

Βροχόπτωση και Απορροή



Υπολεκάνη: EL0420FR4007

Έκταση (KM2) : 16.52

Κατάντη : J7

Μέθοδος Απωλειών: SCS

| | |
|--------------------------------|-------|
| Ποσοστό αδιαπέρατης επιφάνειας | 0 |
| Αριθμός Καμπύλης Απορροής-CN | 39.45 |
| Αρχικές Απώλειες | 77.96 |

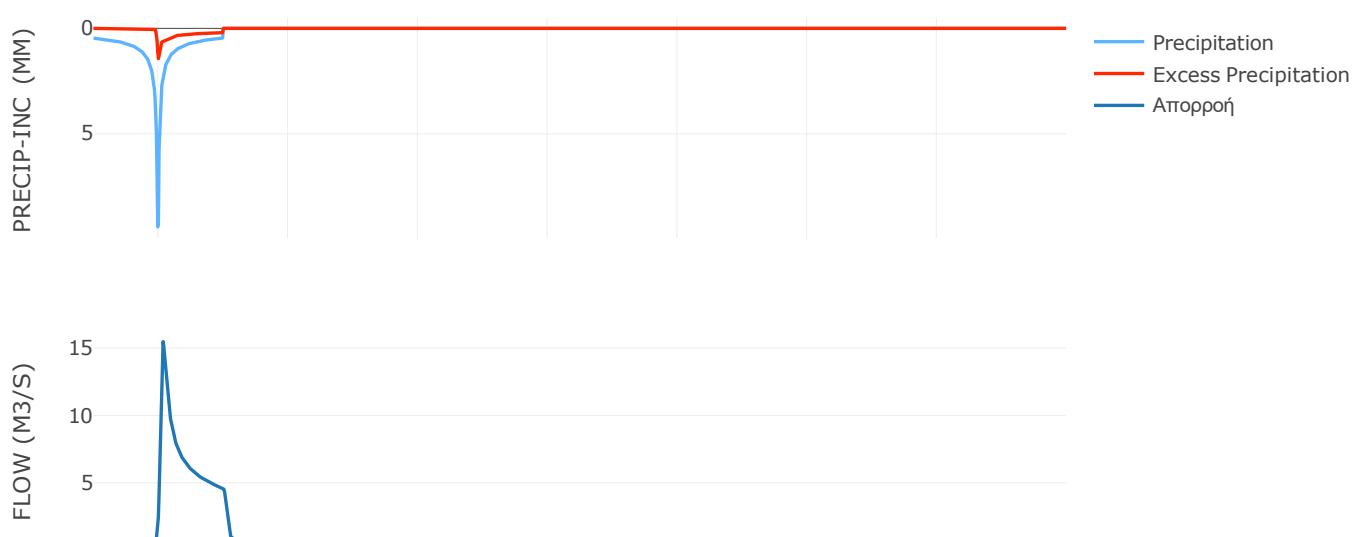
Μέθοδος
Μετασχηματισμού: SCS

| | |
|------------------|-------|
| Χρόνος Υστέρησης | 69.18 |
|------------------|-------|

Αποτελέσματα:
EL0420FR4007

| | |
|-----------------------------|------------------|
| Παροχή αιχμής (M3/S) | 15.47 |
| Χρονική στιγμή αιχμής | 02Sep2000, 01:45 |
| Όγκος (MM) | 92.61 |
| Όγκος βροχόπτωσης (M3) | 3.5E6 |
| Όγκος απωλειών (M3) | 2.93E6 |
| Ενεργός Όγκος (M3) | 5.66E5 |
| Όγκος άμεσης απορροής (M3) | 5.66E5 |
| Όγκος βασικής απορροής (M3) | 9.63E5 |

Βροχόπτωση και Απορροή



Υπολεκάνη: EL0420FR4008

Έκταση (KM2) : 12.7

Κατάνη : J8

Μέθοδος Απωλειών: SCS

| | |
|--------------------------------|-------|
| Ποσοστό αδιαπέρατης επιφάνειας | 0 |
| Αριθμός Καμπύλης Απορροής-CN | 37.73 |
| Αρχικές Απώλειες | 83.83 |

Μέθοδος
Μετασχηματισμού: SCS

| | |
|------------------|-------|
| Χρόνος Υστέρησης | 44.37 |
|------------------|-------|

Αποτελέσματα:
EL0420FR4008

| | |
|-----------------------------|------------------|
| Παροχή αιχμής (M3/S) | 10.99 |
| Χρονική στιγμή αιχμής | 02Sep2000, 01:15 |
| Όγκος (MM) | 90.84 |
| Όγκος βροχόπτωσης (M3) | 2.77E6 |
| Όγκος απωλειών (M3) | 2.36E6 |
| Ενεργός Όγκος (M3) | 4.13E5 |
| Όγκος άμεσης απορροής (M3) | 4.13E5 |
| Όγκος βασικής απορροής (M3) | 7.41E5 |

Βροχόπτωση και Απορροή



Υπολεκάνη: EL0420FR4009

Έκταση (KM2) : 5.92

Κατάνη : J9

Μέθοδος Απωλειών: SCS

| | |
|--------------------------------|-------|
| Ποσοστό αδιαπέρατης επιφάνειας | 0 |
| Αριθμός Καμπύλης Απορροής-CN | 42.28 |
| Αρχικές Απώλειες | 69.35 |

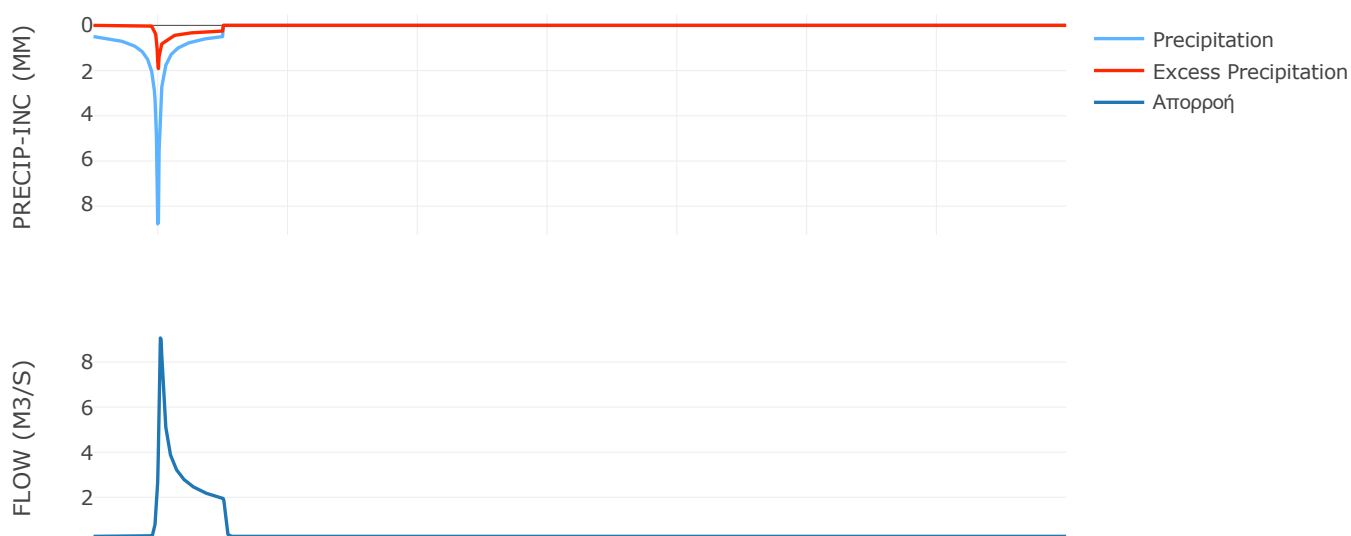
Μέθοδος
Μετασχηματισμού: SCS

| | |
|------------------|-------|
| Χρόνος Υστέρησης | 37.44 |
|------------------|-------|

Αποτελέσματα:
EL0420FR4009

| | |
|-----------------------------|------------------|
| Παροχή αιχμής (M3/S) | 9.07 |
| Χρονική στιγμή αιχμής | 02Sep2000, 00:45 |
| Όγκος (MM) | 102.79 |
| Όγκος βροχόπτωσης (M3) | 1.29E6 |
| Όγκος απωλειών (M3) | 1.03E6 |
| Ενεργός Όγκος (M3) | 2.63E5 |
| Όγκος άμεσης απορροής (M3) | 2.63E5 |
| Όγκος βασικής απορροής (M3) | 3.45E5 |

Βροχόπτωση και Απορροή



Υπολεκάνη: EL0420FR4010

Έκταση (KM2) : 2.67

Κατάντη : J10

Μέθοδος Απωλειών: SCS

| | |
|--------------------------------|-------|
| Ποσοστό αδιαπέρατης επιφάνειας | 0 |
| Αριθμός Καμπύλης Απορροής-CN | 37.08 |
| Αρχικές Απώλειες | 86.22 |

Μέθοδος
Μετασχηματισμού: SCS

| | |
|------------------|-------|
| Χρόνος Υστέρησης | 26.25 |
|------------------|-------|

Αποτελέσματα:
EL0420FR4010

| | |
|-----------------------------|------------------|
| Παροχή αιχμής (M3/S) | 2.42 |
| Χρονική στιγμή αιχμής | 02Sep2000, 00:45 |
| Όγκος (MM) | 89.46 |
| Όγκος βροχόπτωσης (M3) | 5.84E5 |
| Όγκος απωλειών (M3) | 5.01E5 |
| Ενεργός Όγκος (M3) | 83141.69 |
| Όγκος άμεσης απορροής (M3) | 83141.69 |
| Όγκος βασικής απορροής (M3) | 1.56E5 |

Βροχόπτωση και Απορροή



Υπολεκάνη: EL0420FR4011

Έκταση (KM2) : 55.39

Κατάνη : J11

Μέθοδος Απωλειών: SCS

| | |
|--------------------------------|------|
| Ποσοστό αδιαπέρατης επιφάνειας | 0 |
| Αριθμός Καμπύλης Απορροής-CN | 35.6 |
| Αρχικές Απώλειες | 91.9 |

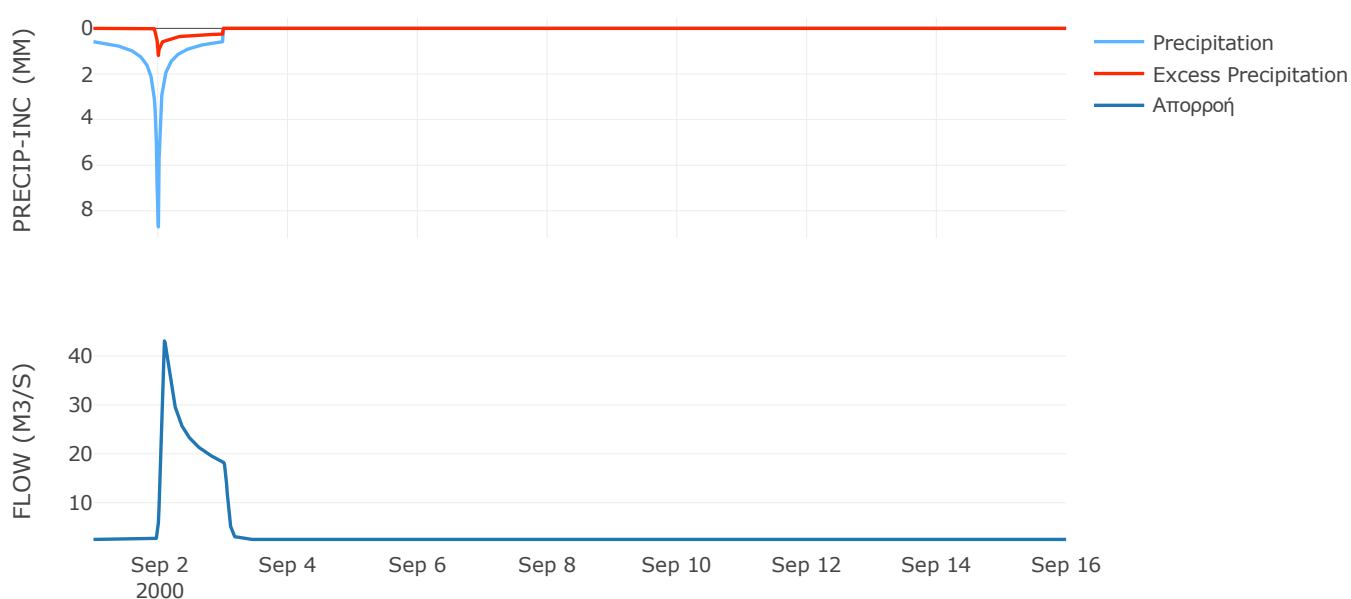
Μέθοδος
Μετασχηματισμού: SCS

| | |
|------------------|------|
| Χρόνος Υστέρησης | 87.1 |
|------------------|------|

Αποτελέσματα:
EL0420FR4011

| | |
|-----------------------------|------------------|
| Παροχή αιχμής (M3/S) | 43.09 |
| Χρονική στιγμή αιχμής | 02Sep2000, 02:15 |
| Όγκος (MM) | 95.16 |
| Όγκος βροχόπτωσης (M3) | 1.34E7 |
| Όγκος απωλειών (M3) | 1.13E7 |
| Ενεργός Όγκος (M3) | 2.04E6 |
| Όγκος άμεσης απορροής (M3) | 2.04E6 |
| Όγκος βασικής απορροής (M3) | 3.23E6 |

Βροχόπτωση και Απορροή



Υπολεκάνη: EL0420FR4012

Έκταση (KM2) : 2.36

Κατάντη : J12

Μέθοδος Απωλειών: SCS

| | |
|--------------------------------|-------|
| Ποσοστό αδιαπέρατης επιφάνειας | 0 |
| Αριθμός Καμπύλης Απορροής-CN | 47.06 |
| Αρχικές Απώλειες | 57.14 |

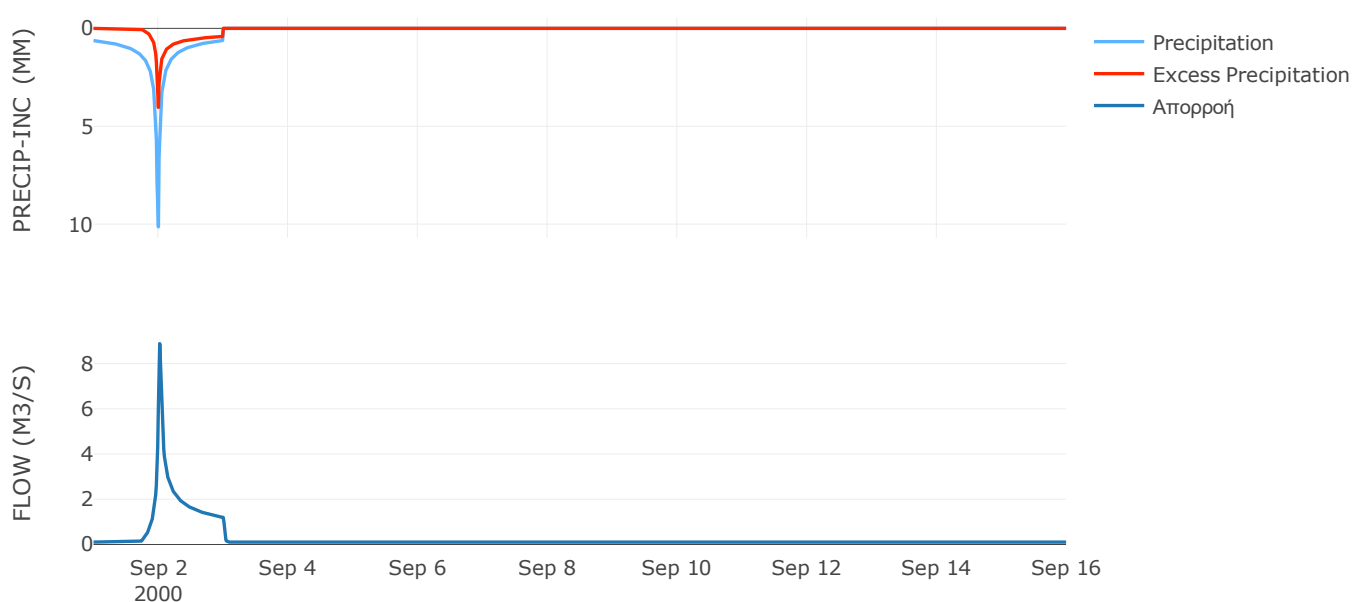
Μέθοδος
Μετασχηματισμού: SCS

| | |
|------------------|-------|
| Χρόνος Υστέρησης | 23.12 |
|------------------|-------|

Αποτελέσματα:
EL0420FR4012

| | |
|-----------------------------|------------------|
| Παροχή αιχμής (M3/S) | 8.88 |
| Χρονική στιγμή αιχμής | 02Sep2000, 00:30 |
| Όγκος (MM) | 146.22 |
| Όγκος βροχόπτωσης (M3) | 6.27E5 |
| Όγκος απωλειών (M3) | 4.19E5 |
| Ενεργός Όγκος (M3) | 2.07E5 |
| Όγκος άμεσης απορροής (M3) | 2.07E5 |
| Όγκος βασικής απορροής (M3) | 1.38E5 |

Βροχόπτωση και Απορροή



Υπολεκάνη: EL0420FR4013

Έκταση (KM2) : 1.96

Κατάντη : J14

Μέθοδος Απωλειών: SCS

| | |
|--------------------------------|-------|
| Ποσοστό αδιαπέρατης επιφάνειας | 24 |
| Αριθμός Καμπύλης Απορροής-CN | 68.45 |
| Αρχικές Απώλειες | 23.42 |

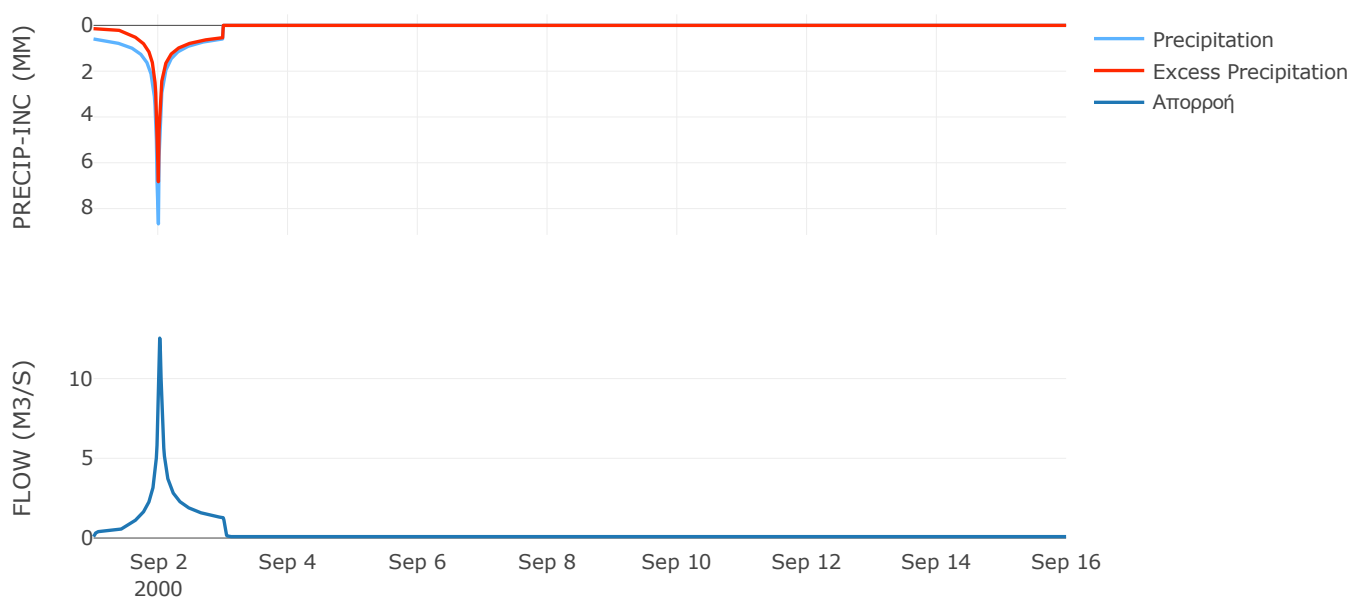
Μέθοδος
Μετασχηματισμού: SCS

| | |
|------------------|-------|
| Χρόνος Υστέρησης | 27.43 |
|------------------|-------|

Αποτελέσματα:
EL0420FR4013

| | |
|-----------------------------|------------------|
| Παροχή αιχμής (M3/S) | 12.54 |
| Χρονική στιγμή αιχμής | 02Sep2000, 00:30 |
| Όγκος (MM) | 226.09 |
| Όγκος βροχόπτωσης (M3) | 4.77E5 |
| Όγκος απωλειών (M3) | 1.49E5 |
| Ενεργός Όγκος (M3) | 3.29E5 |
| Όγκος άμεσης απορροής (M3) | 3.29E5 |
| Όγκος βασικής απορροής (M3) | 1.14E5 |

Βροχόπτωση και Απορροή



Υπολεκάνη: EL0420FR4014

Έκταση (KM2) : 27.11

Κατάντη : J14

Μέθοδος Απωλειών: SCS

| | |
|--------------------------------|-------|
| Ποσοστό αδιαπέρατης επιφάνειας | 7 |
| Αριθμός Καμπύλης Απορροής-CN | 47.63 |
| Αρχικές Απώλειες | 55.86 |

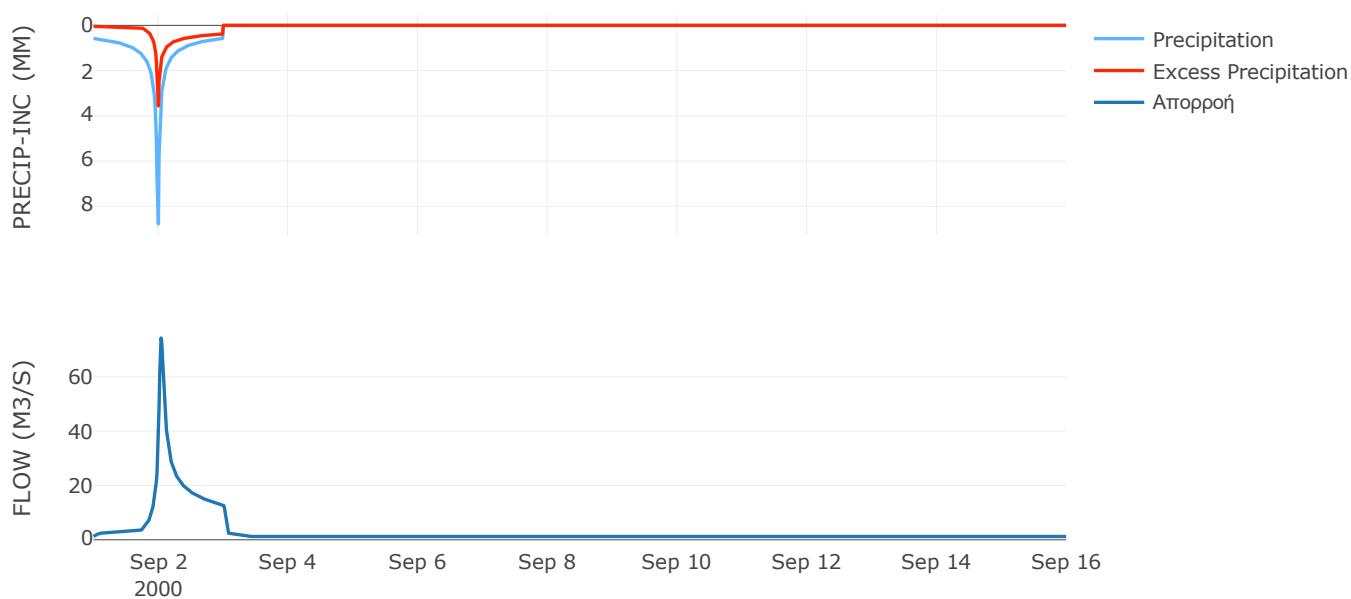
Μέθοδος
Μετασχηματισμού: SCS

| | |
|------------------|-------|
| Χρόνος Υστέρησης | 52.34 |
|------------------|-------|

Αποτελέσματα:
EL0420FR4014

| | |
|-----------------------------|------------------|
| Παροχή αιχμής (M3/S) | 74.28 |
| Χρονική στιγμή αιχμής | 02Sep2000, 01:00 |
| Όγκος (MM) | 143.18 |
| Όγκος βροχόπτωσης (M3) | 6.51E6 |
| Όγκος απωλειών (M3) | 4.21E6 |
| Ενεργός Όγκος (M3) | 2.3E6 |
| Όγκος άμεσης απορροής (M3) | 2.3E6 |
| Όγκος βασικής απορροής (M3) | 1.58E6 |

Βροχόπτωση και Απορροή



Υπολεκάνη: EL0420FR4015

Έκταση (KM2) : 10.07

Κατάνη : J15

Μέθοδος Απωλειών: SCS

| | |
|--------------------------------|-------|
| Ποσοστό αδιαπέρατης επιφάνειας | 0 |
| Αριθμός Καμπύλης Απορροής-CN | 43.85 |
| Αρχικές Απώλειες | 65.05 |

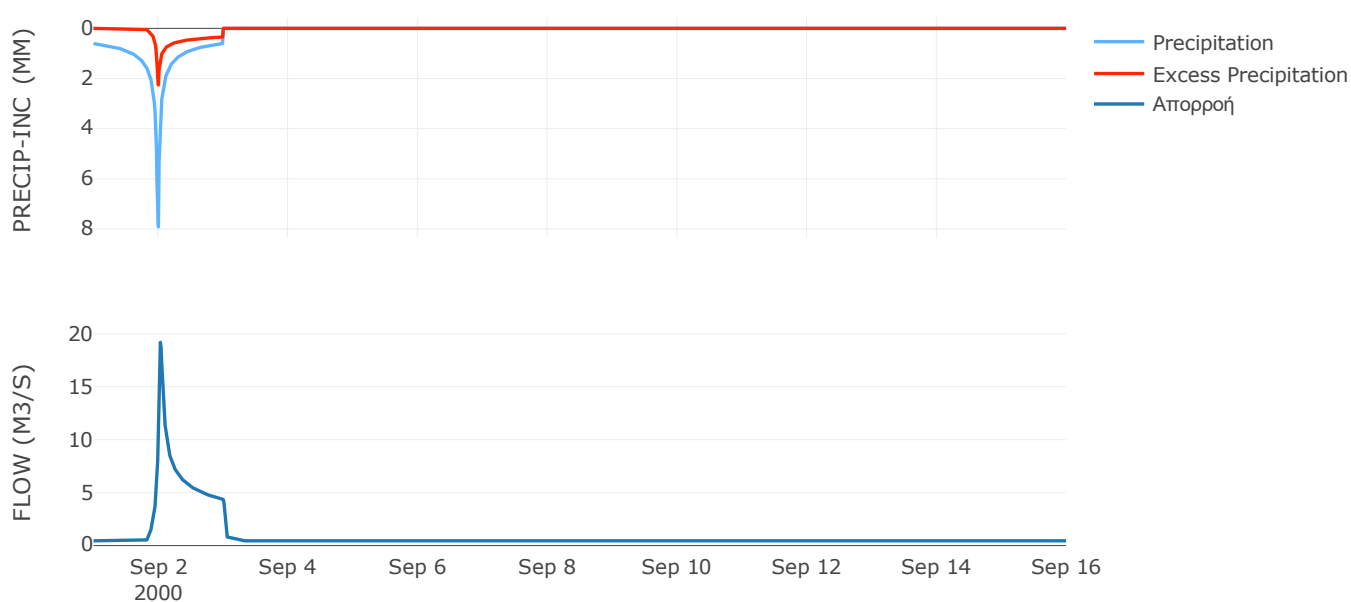
Μέθοδος
Μετασχηματισμού: SCS

| | |
|------------------|-------|
| Χρόνος Υστέρησης | 36.97 |
|------------------|-------|

Αποτελέσματα:
EL0420FR4015

| | |
|-----------------------------|------------------|
| Παροχή αιχμής (M3/S) | 19.19 |
| Χρονική στιγμή αιχμής | 02Sep2000, 00:45 |
| Όγκος (MM) | 118.5 |
| Όγκος βροχόπτωσης (M3) | 2.4E6 |
| Όγκος απωλειών (M3) | 1.79E6 |
| Ενεργός Όγκος (M3) | 6.06E5 |
| Όγκος άμεσης απορροής (M3) | 6.06E5 |
| Όγκος βασικής απορροής (M3) | 5.87E5 |

Βροχόπτωση και Απορροή



Υπολεκάνη: EL0420FR4016

Έκταση (KM2) : 12.09

Κατάνη : J16

Μέθοδος Απωλειών: SCS

| | |
|--------------------------------|-------|
| Ποσοστό αδιαπέρατης επιφάνειας | 0 |
| Αριθμός Καμπύλης Απορροής-CN | 63.3 |
| Αρχικές Απώλειες | 29.45 |

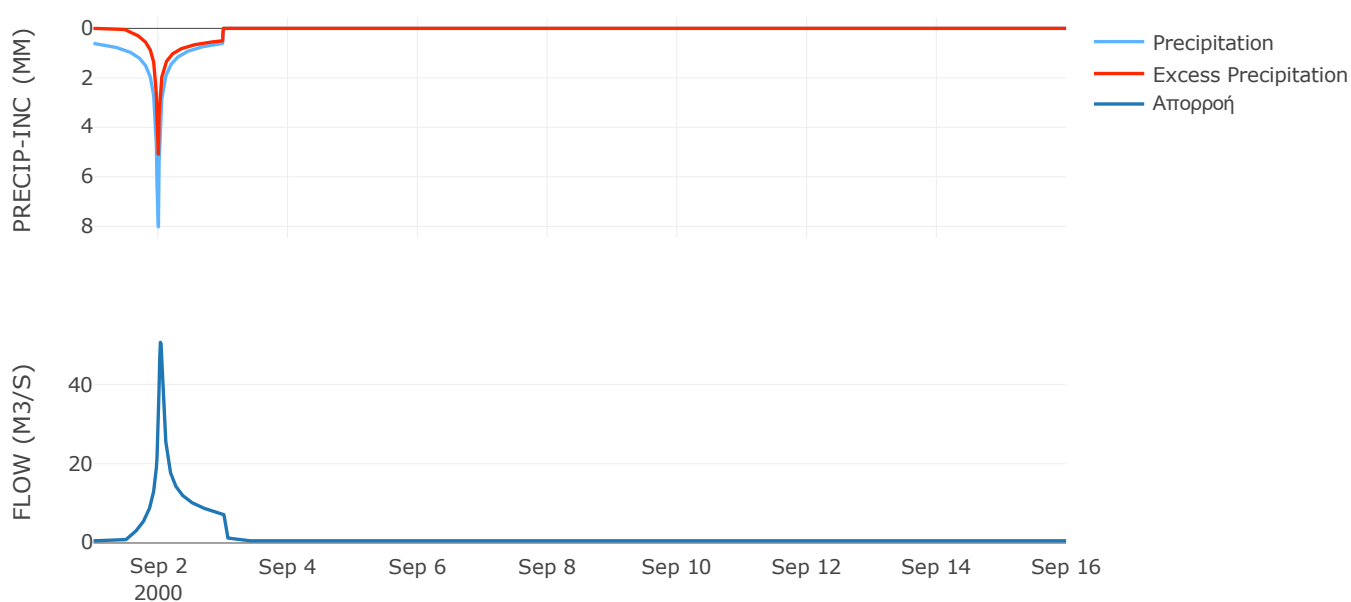
Μέθοδος
Μετασχηματισμού: SCS

| | |
|------------------|-------|
| Χρόνος Υστέρησης | 45.04 |
|------------------|-------|

Αποτελέσματα:
EL0420FR4016

| | |
|-----------------------------|------------------|
| Παροχή αιχμής (M3/S) | 50.61 |
| Χρονική στιγμή αιχμής | 02Sep2000, 00:45 |
| Όγκος (MM) | 182.38 |
| Όγκος βροχόπτωσης (M3) | 2.9E6 |
| Όγκος απωλειών (M3) | 1.4E6 |
| Ενεργός Όγκος (M3) | 1.5E6 |
| Όγκος άμεσης απορροής (M3) | 1.5E6 |
| Όγκος βασικής απορροής (M3) | 7.05E5 |

Βροχόπτωση και Απορροή



Υπολεκάνη: EL0420FR4017

Έκταση (KM2) : 0.82

Κατάνη : J17

Μέθοδος Απωλειών: SCS

| | |
|--------------------------------|-------|
| Ποσοστό αδιαπέρατης επιφάνειας | 0 |
| Αριθμός Καμπύλης Απορροής-CN | 64.83 |
| Αρχικές Απώλειες | 27.56 |

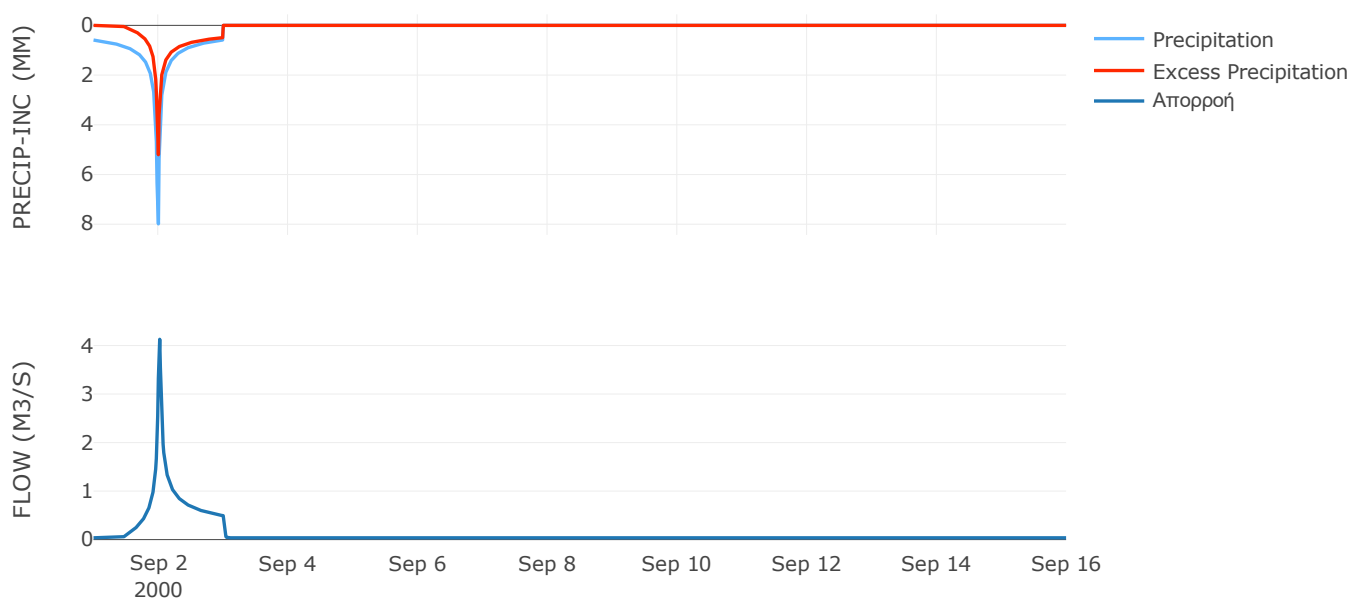
Μέθοδος
Μετασχηματισμού: SCS

| | |
|------------------|-------|
| Χρόνος Υστέρησης | 19.48 |
|------------------|-------|

Αποτελέσματα:
EL0420FR4017

| | |
|-----------------------------|------------------|
| Παροχή αιχμής (M3/S) | 4.13 |
| Χρονική στιγμή αιχμής | 02Sep2000, 00:30 |
| Όγκος (MM) | 183.47 |
| Όγκος βροχόπτωσης (M3) | 1.94E5 |
| Όγκος απωλειών (M3) | 90919.58 |
| Ενεργός Όγκος (M3) | 1.03E5 |
| Όγκος άμεσης απορροής (M3) | 1.03E5 |
| Όγκος βασικής απορροής (M3) | 48007.73 |

Βροχόπτωση και Απορροή



Υπολεκάνη: EL0420FR4018

Έκταση (KM2) : 26.76

Κατάνη : J18

Μέθοδος Απωλειών: SCS

| | |
|--------------------------------|-------|
| Ποσοστό αδιαπέρατης επιφάνειας | 0 |
| Αριθμός Καμπύλης Απορροής-CN | 63.56 |
| Αρχικές Απώλειες | 29.12 |

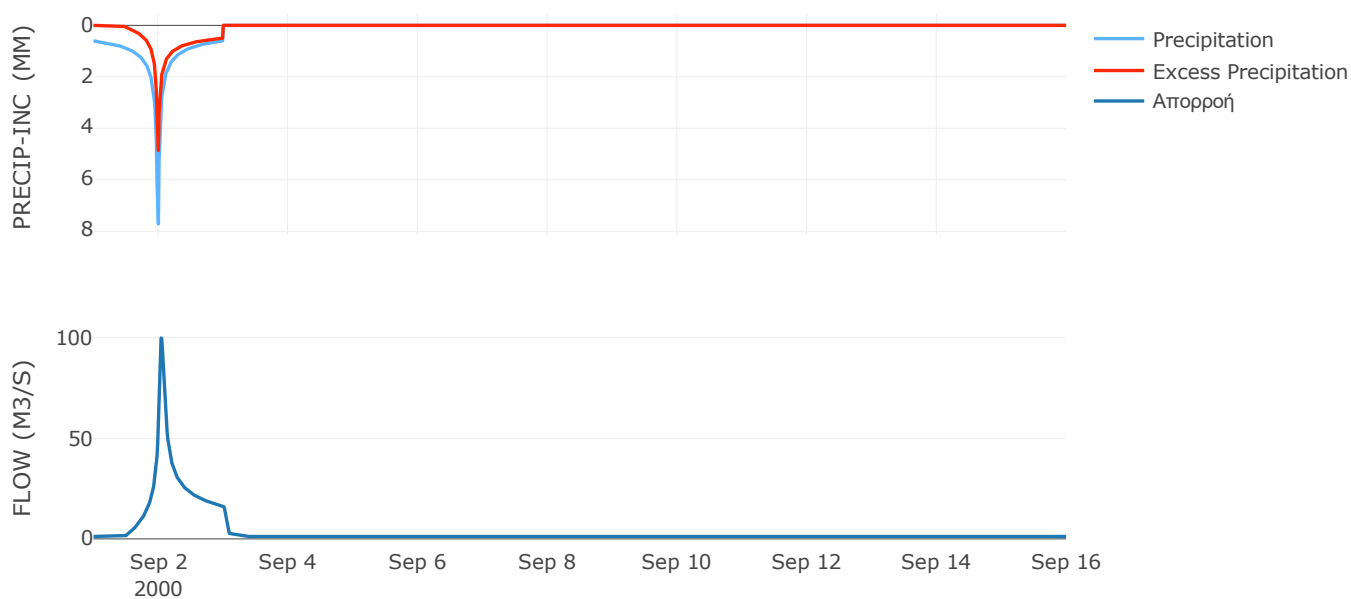
Μέθοδος
Μετασχηματισμού: SCS

| | |
|------------------|-------|
| Χρόνος Υστέρησης | 58.99 |
|------------------|-------|

Αποτελέσματα:
EL0420FR4018

| | |
|-----------------------------|------------------|
| Παροχή αιχμής (M3/S) | 99.87 |
| Χρονική στιγμή αιχμής | 02Sep2000, 01:00 |
| Όγκος (MM) | 179.37 |
| Όγκος βροχόπτωσης (M3) | 6.3E6 |
| Όγκος απωλειών (M3) | 3.06E6 |
| Ενεργός Όγκος (M3) | 3.24E6 |
| Όγκος άμεσης απορροής (M3) | 3.24E6 |
| Όγκος βασικής απορροής (M3) | 1.56E6 |

Βροχόπτωση και Απορροή



Υπολεκάνη: EL0420FR4019

Έκταση (KM2) : 0.87

Κατάντη : J19

Μέθοδος Απωλειών: SCS

| | |
|--------------------------------|-------|
| Ποσοστό αδιαπέρατης επιφάνειας | 0 |
| Αριθμός Καμπύλης Απορροής-CN | 64.75 |
| Αρχικές Απώλειες | 27.66 |

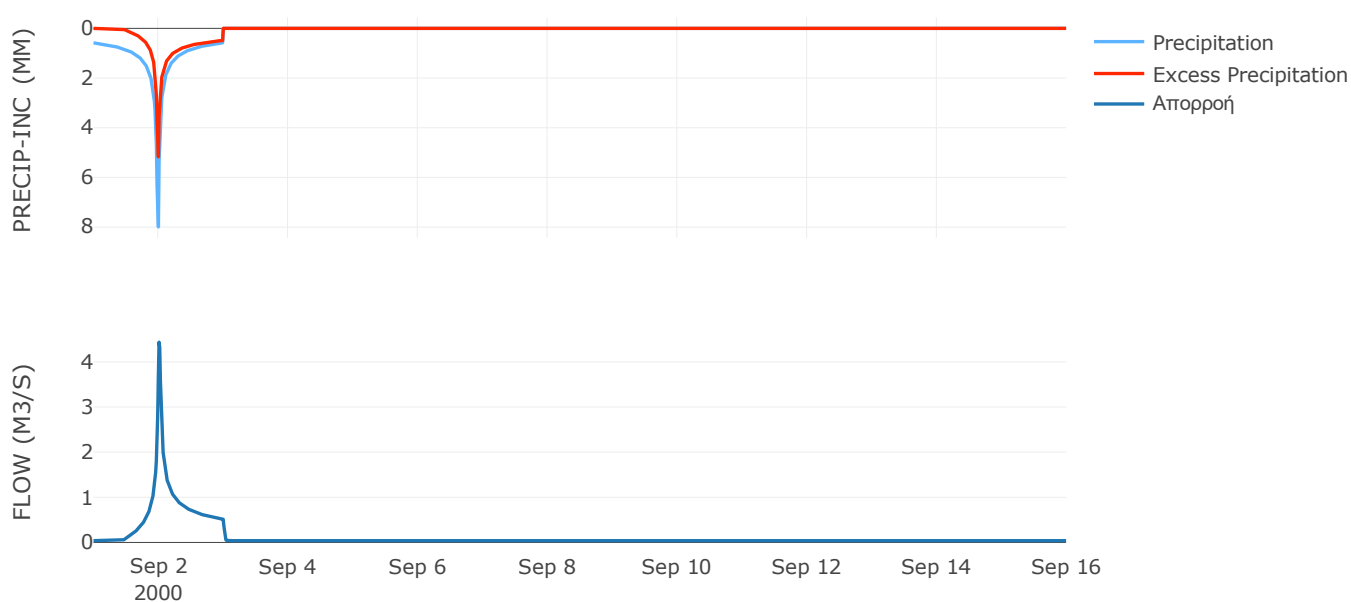
Μέθοδος
Μετασχηματισμού: SCS

| | |
|------------------|-------|
| Χρόνος Υστέρησης | 16.78 |
|------------------|-------|

Αποτελέσματα:
EL0420FR4019

| | |
|-----------------------------|------------------|
| Παροχή αιχμής (M3/S) | 4.44 |
| Χρονική στιγμή αιχμής | 02Sep2000, 00:15 |
| Όγκος (MM) | 181.4 |
| Όγκος βροχόπτωσης (M3) | 2.04E5 |
| Όγκος απωλειών (M3) | 96281.75 |
| Ενεργός Όγκος (M3) | 1.07E5 |
| Όγκος άμεσης απορροής (M3) | 1.07E5 |
| Όγκος βασικής απορροής (M3) | 50877.07 |

Βροχόπτωση και Απορροή



Υπολεκάνη: EL0420FR4020

Έκταση (KM2) : 6.12

Κατάντη : J20

Μέθοδος Απωλειών: SCS

| | |
|--------------------------------|-------|
| Ποσοστό αδιαπέρατης επιφάνειας | 0 |
| Αριθμός Καμπύλης Απορροής-CN | 65 |
| Αρχικές Απώλειες | 27.35 |

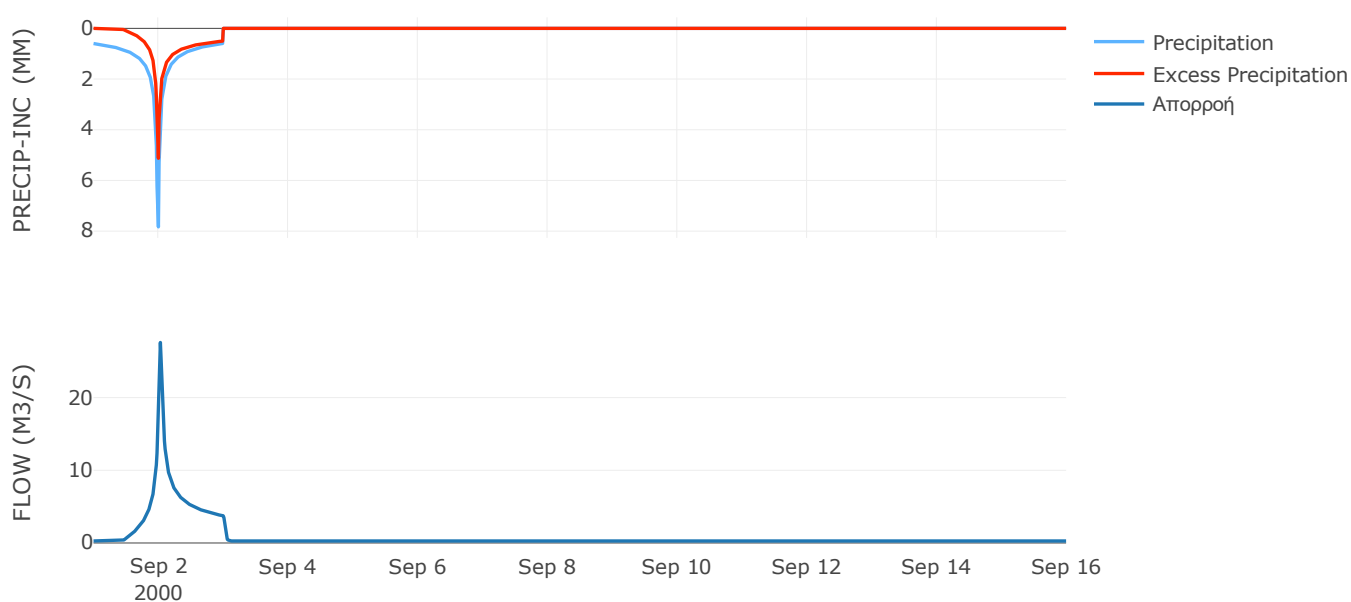
Μέθοδος
Μετασχηματισμού: SCS

| | |
|------------------|-------|
| Χρόνος Υστέρησης | 34.57 |
|------------------|-------|

Αποτελέσματα:
EL0420FR4020

| | |
|-----------------------------|------------------|
| Παροχή αιχμής (M3/S) | 27.59 |
| Χρονική στιγμή αιχμής | 02Sep2000, 00:45 |
| Όγκος (MM) | 184.26 |
| Όγκος βροχόπτωσης (M3) | 1.44E6 |
| Όγκος απωλειών (M3) | 6.73E5 |
| Ενεργός Όγκος (M3) | 7.71E5 |
| Όγκος άμεσης απορροής (M3) | 7.71E5 |
| Όγκος βασικής απορροής (M3) | 3.57E5 |

Βροχόπτωση και Απορροή



Υπολεκάνη: EL0420FR4021

Έκταση (KM2) : 32.13

Κατάντη : J21

Μέθοδος Απωλειών: SCS

| | |
|--------------------------------|-------|
| Ποσοστό αδιαπέρατης επιφάνειας | 0 |
| Αριθμός Καμπύλης Απορροής-CN | 59.31 |
| Αρχικές Απώλειες | 34.85 |

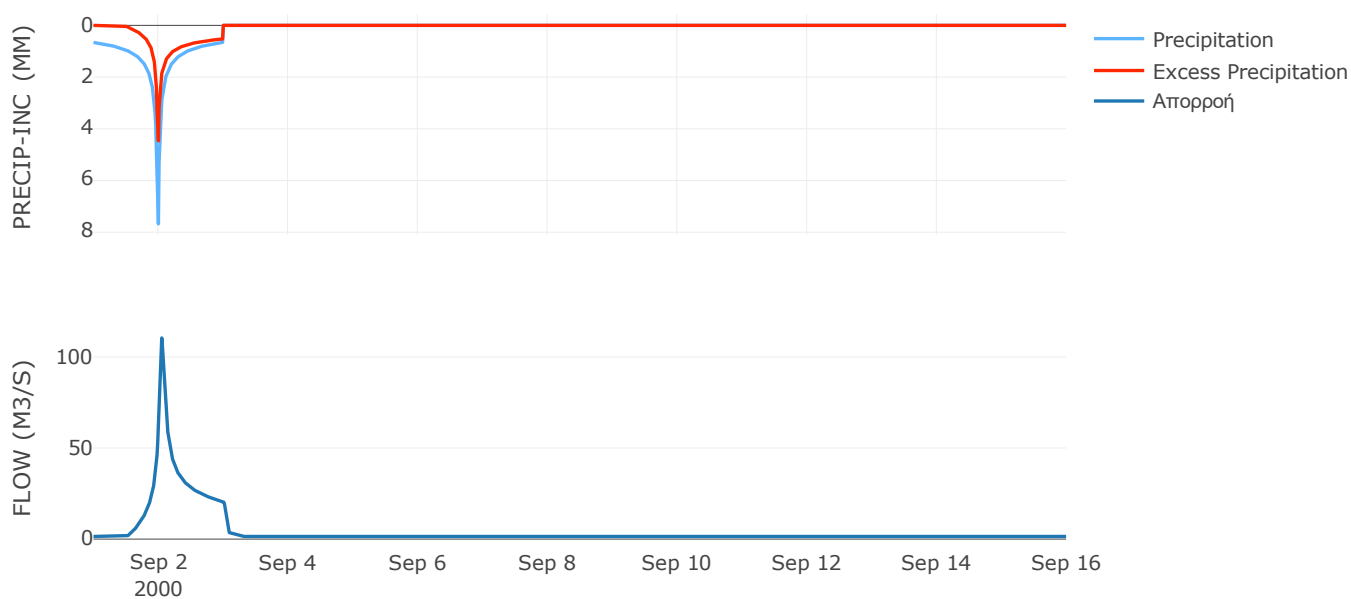
Μέθοδος
Μετασχηματισμού: SCS

| | |
|------------------|-------|
| Χρόνος Υστέρησης | 60.64 |
|------------------|-------|

Αποτελέσματα:
EL0420FR4021

| | |
|-----------------------------|------------------|
| Παροχή αιχμής (M3/S) | 110.4 |
| Χρονική στιγμή αιχμής | 02Sep2000, 01:15 |
| Όγκος (MM) | 177.05 |
| Όγκος βροχόπτωσης (M3) | 8.03E6 |
| Όγκος απωλειών (M3) | 4.21E6 |
| Ενεργός Όγκος (M3) | 3.81E6 |
| Όγκος άμεσης απορροής (M3) | 3.81E6 |
| Όγκος βασικής απορροής (M3) | 1.87E6 |

Βροχόπτωση και Απορροή



Υπολεκάνη: EL0420FR4022

Έκταση (KM2) : 15.31

Κατάντη : J21

Μέθοδος Απωλειών: SCS

| | |
|--------------------------------|-------|
| Ποσοστό αδιαπέρατης επιφάνειας | 0 |
| Αριθμός Καμπύλης Απορροής-CN | 64.99 |
| Αρχικές Απώλειες | 27.37 |

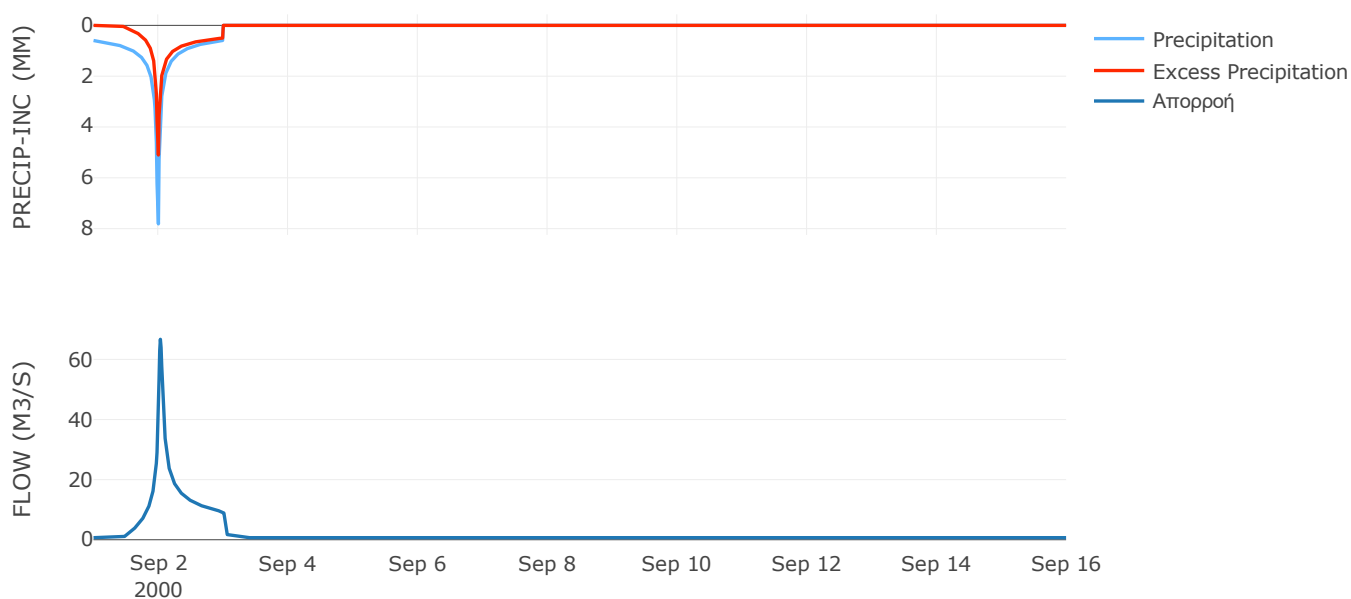
Μέθοδος
Μετασχηματισμού: SCS

| | |
|------------------|-------|
| Χρόνος Υστέρησης | 40.22 |
|------------------|-------|

Αποτελέσματα:
EL0420FR4022

| | |
|-----------------------------|------------------|
| Παροχή αιχμής (M3/S) | 66.7 |
| Χρονική στιγμή αιχμής | 02Sep2000, 00:45 |
| Όγκος (MM) | 183.54 |
| Όγκος βροχόπτωσης (M3) | 3.6E6 |
| Όγκος απωλειών (M3) | 1.68E6 |
| Ενεργός Όγκος (M3) | 1.92E6 |
| Όγκος άμεσης απορροής (M3) | 1.92E6 |
| Όγκος βασικής απορροής (M3) | 8.93E5 |

Βροχόπτωση και Απορροή



Υπολεκάνη: EL0420FR4023

Έκταση (KM2) : 11.12

Κατάντη : J22

Μέθοδος Απωλειών: SCS

| | |
|--------------------------------|-------|
| Ποσοστό αδιαπέρατης επιφάνειας | 0 |
| Αριθμός Καμπύλης Απορροής-CN | 46.54 |
| Αρχικές Απώλειες | 58.34 |

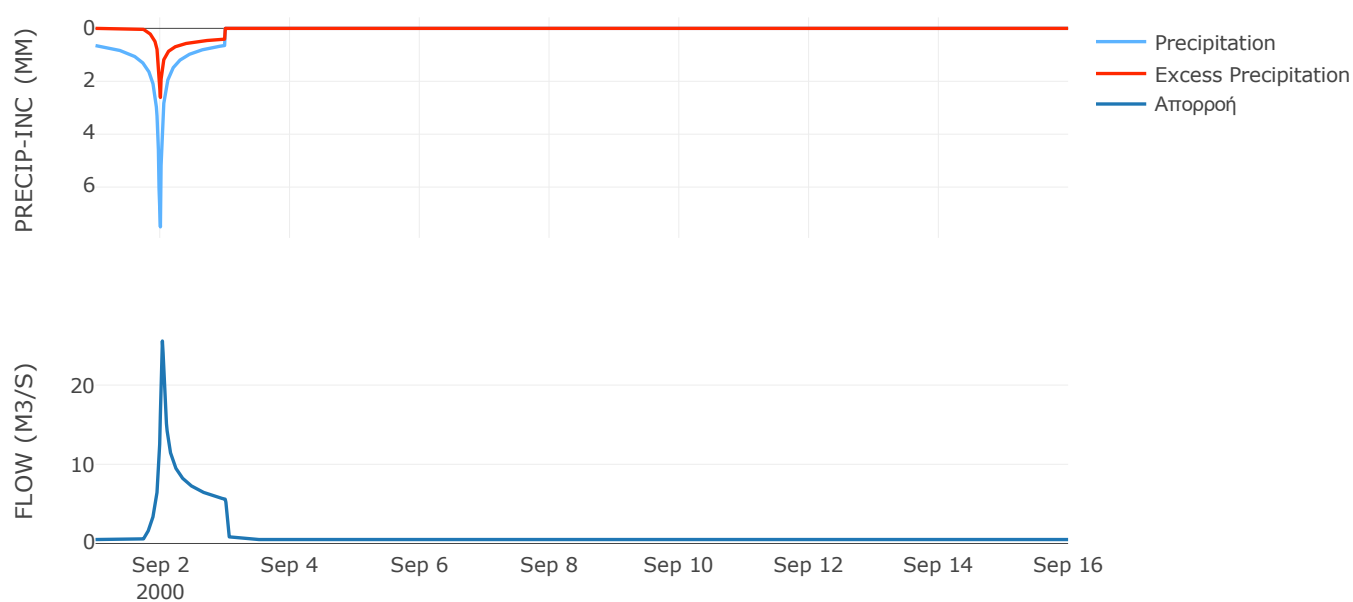
Μέθοδος
Μετασχηματισμού: SCS

| | |
|------------------|-------|
| Χρόνος Υστέρησης | 33.18 |
|------------------|-------|

Αποτελέσματα:
EL0420FR4023

| | |
|-----------------------------|------------------|
| Παροχή αιχμής (M3/S) | 25.57 |
| Χρονική στιγμή αιχμής | 02Sep2000, 00:45 |
| Όγκος (MM) | 131.66 |
| Όγκος βροχόπτωσης (M3) | 2.73E6 |
| Όγκος απωλειών (M3) | 1.92E6 |
| Ενεργός Όγκος (M3) | 8.15E5 |
| Όγκος άμεσης απορροής (M3) | 8.15E5 |
| Όγκος βασικής απορροής (M3) | 6.48E5 |

Βροχόπτωση και Απορροή



Υπολεκάνη: EL0420FR4024

Έκταση (KM2) : 19.63

Κατάντη : J22

Μέθοδος Απωλειών: SCS

| | |
|--------------------------------|-------|
| Ποσοστό αδιαπέρατης επιφάνειας | 0 |
| Αριθμός Καμπύλης Απορροής-CN | 60.19 |
| Αρχικές Απώλειες | 33.6 |

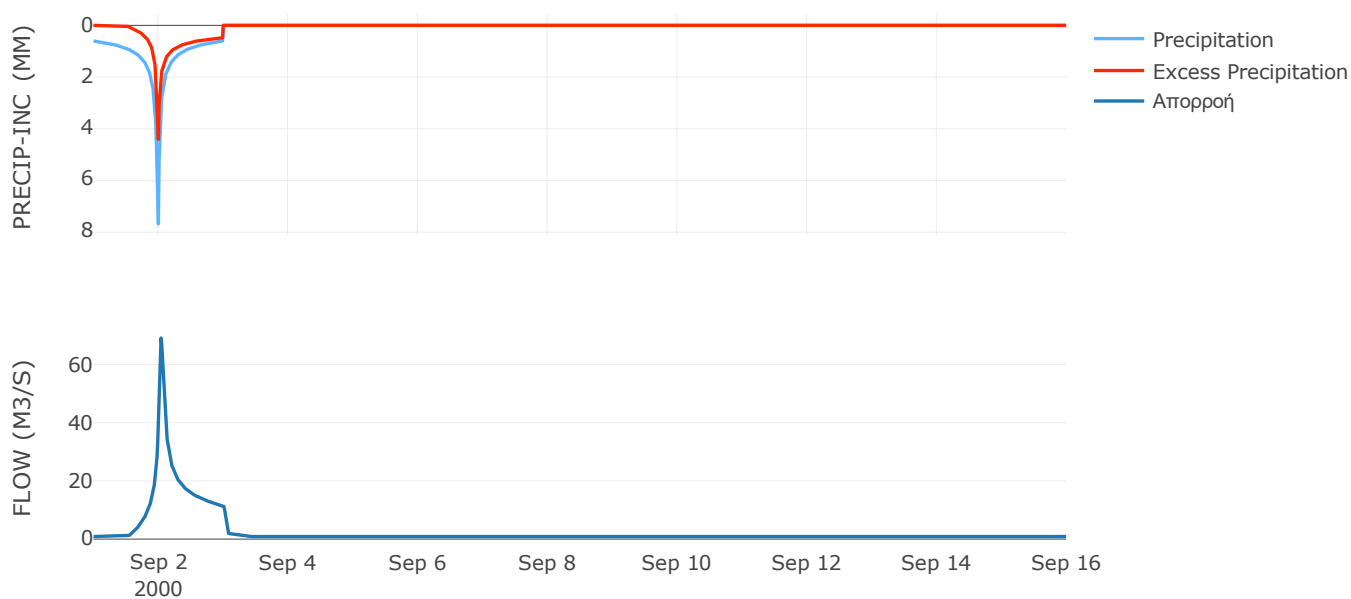
Μέθοδος
Μετασχηματισμού: SCS

| | |
|------------------|-------|
| Χρόνος Υστέρησης | 51.73 |
|------------------|-------|

Αποτελέσματα:
EL0420FR4024

| | |
|-----------------------------|------------------|
| Παροχή αιχμής (M3/S) | 69.11 |
| Χρονική στιγμή αιχμής | 02Sep2000, 01:00 |
| Όγκος (MM) | 168.92 |
| Όγκος βροχόπτωσης (M3) | 4.63E6 |
| Όγκος απωλειών (M3) | 2.46E6 |
| Ενεργός Όγκος (M3) | 2.17E6 |
| Όγκος άμεσης απορροής (M3) | 2.17E6 |
| Όγκος βασικής απορροής (M3) | 1.14E6 |

Βροχόπτωση και Απορροή



Υπολεκάνη: EL0420FR4025

Έκταση (KM2) : 67.33

Κατάντη : J16

Μέθοδος Απωλειών: SCS

| | |
|--------------------------------|-------|
| Ποσοστό αδιαπέρατης επιφάνειας | 0 |
| Αριθμός Καμπύλης Απορροής-CN | 62.35 |
| Αρχικές Απώλειες | 30.68 |

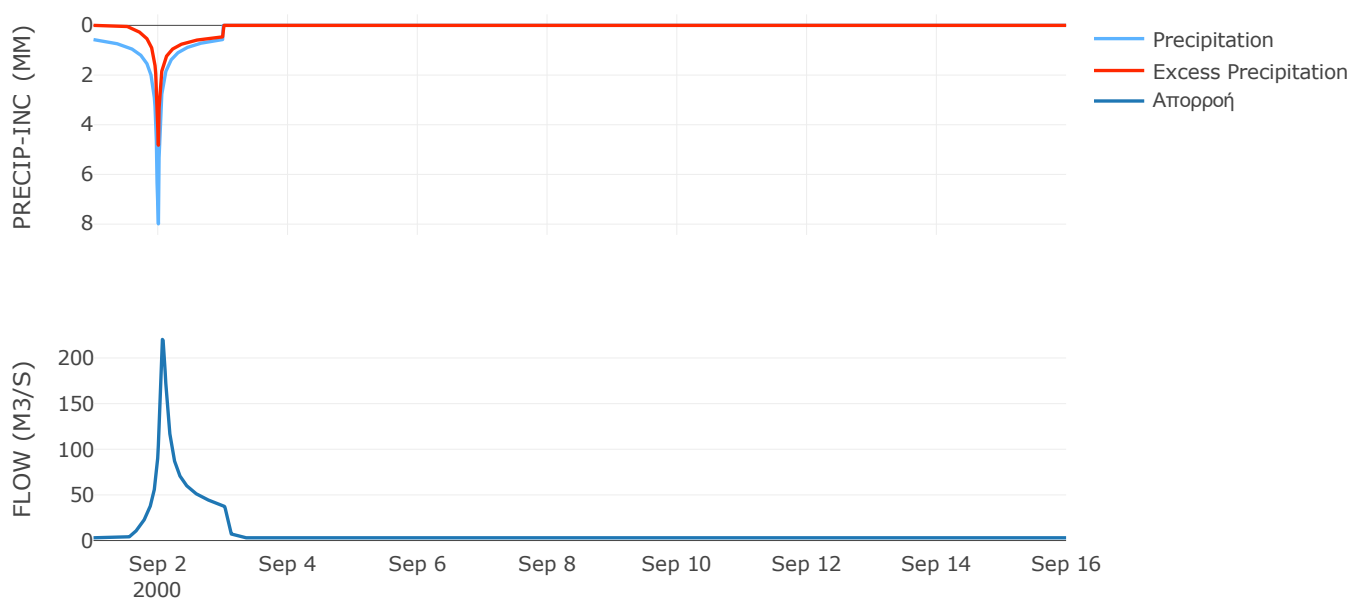
Μέθοδος
Μετασχηματισμού: SCS

| | |
|------------------|-------|
| Χρόνος Υστέρησης | 83.61 |
|------------------|-------|

Αποτελέσματα:
EL0420FR4025

| | |
|-----------------------------|------------------|
| Παροχή αιχμής (M3/S) | 220.32 |
| Χρονική στιγμή αιχμής | 02Sep2000, 01:30 |
| Όγκος (MM) | 171.8 |
| Όγκος βροχόπτωσης (M3) | 1.56E7 |
| Όγκος απωλειών (M3) | 7.91E6 |
| Ενεργός Όγκος (M3) | 7.64E6 |
| Όγκος άμεσης απορροής (M3) | 7.64E6 |
| Όγκος βασικής απορροής (M3) | 3.93E6 |

Βροχόπτωση και Απορροή



Υπολεκάνη: EL0420FR4026

Έκταση (KM2) : 8.76

Κατάνη : J15

Μέθοδος Απωλειών: SCS

| | |
|--------------------------------|-------|
| Ποσοστό αδιαπέρατης επιφάνειας | 0 |
| Αριθμός Καμπύλης Απορροής-CN | 40.43 |
| Αρχικές Απώλειες | 74.84 |

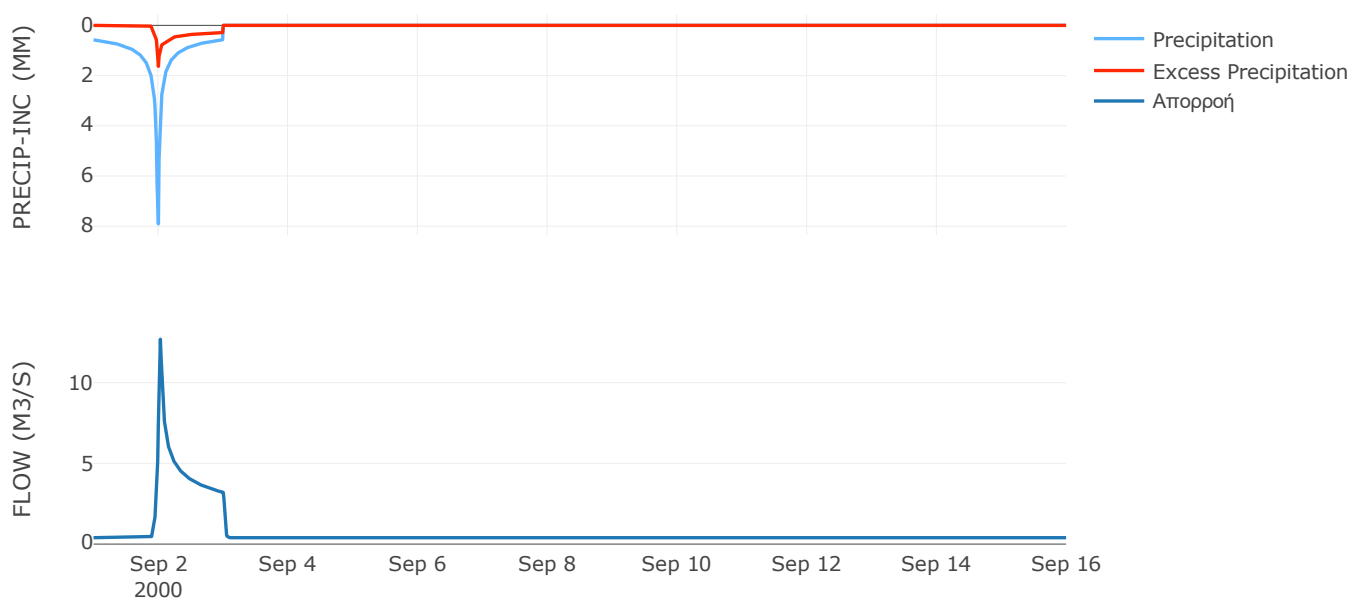
Μέθοδος
Μετασχηματισμού: SCS

| | |
|------------------|------|
| Χρόνος Υστέρησης | 25.9 |
|------------------|------|

Αποτελέσματα:
EL0420FR4026

| | |
|-----------------------------|------------------|
| Παροχή αιχμής (M3/S) | 12.69 |
| Χρονική στιγμή αιχμής | 02Sep2000, 00:45 |
| Όγκος (MM) | 104.11 |
| Όγκος βροχόπτωσης (M3) | 2.02E6 |
| Όγκος απωλειών (M3) | 1.62E6 |
| Ενεργός Όγκος (M3) | 4.01E5 |
| Όγκος άμεσης απορροής (M3) | 4.01E5 |
| Όγκος βασικής απορροής (M3) | 5.11E5 |

Βροχόπτωση και Απορροή



Υπολεκάνη: EL0420FR4027

Έκταση (KM2) : 13.94

Κατάντη : J29

Μέθοδος Απωλειών: SCS

| | |
|--------------------------------|-------|
| Ποσοστό αδιαπέρατης επιφάνειας | 0 |
| Αριθμός Καμπύλης Απορροής-CN | 46.27 |
| Αρχικές Απώλειες | 58.99 |

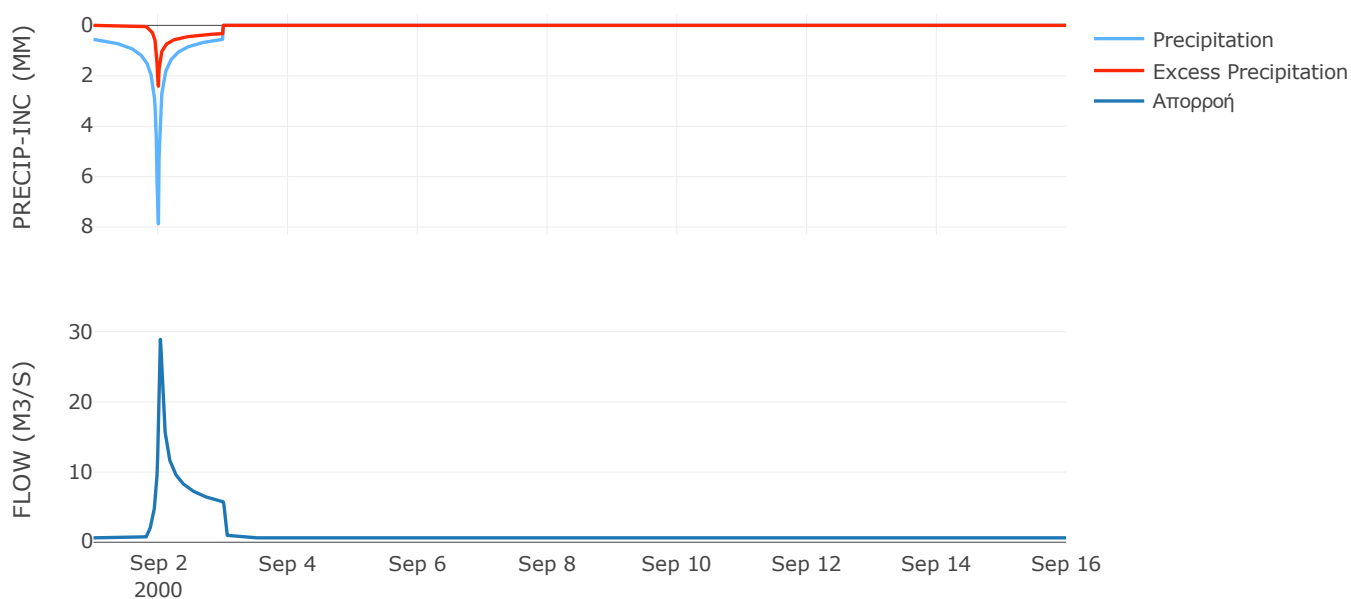
Μέθοδος
Μετασχηματισμού: SCS

| | |
|------------------|-------|
| Χρόνος Υστέρησης | 33.78 |
|------------------|-------|

Αποτελέσματα:
EL0420FR4027

| | |
|-----------------------------|------------------|
| Παροχή αιχμής (M3/S) | 28.91 |
| Χρονική στιγμή αιχμής | 02Sep2000, 00:45 |
| Όγκος (MM) | 118.42 |
| Όγκος βροχόπτωσης (M3) | 3.14E6 |
| Όγκος απωλειών (M3) | 2.31E6 |
| Ενεργός Όγκος (M3) | 8.38E5 |
| Όγκος άμεσης απορροής (M3) | 8.38E5 |
| Όγκος βασικής απορροής (M3) | 8.13E5 |

Βροχόπτωση και Απορροή



Υπολεκάνη: EL0420FR4028

Έκταση (KM2) : 17.93

Κατάντη : J29

Μέθοδος Απωλειών: SCS

| | |
|--------------------------------|-------|
| Ποσοστό αδιαπέρατης επιφάνειας | 0 |
| Αριθμός Καμπύλης Απορροής-CN | 61.07 |
| Αρχικές Απώλειες | 32.38 |

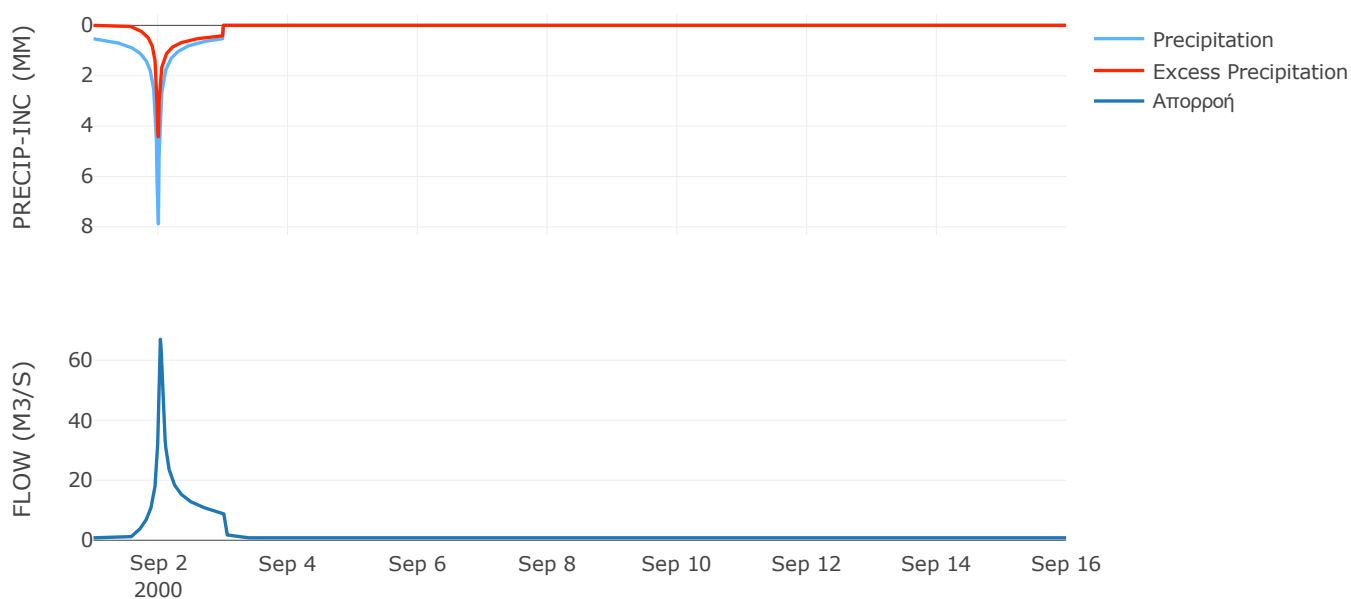
Μέθοδος
Μετασχηματισμού: SCS

| | |
|------------------|-------|
| Χρόνος Υστέρησης | 39.55 |
|------------------|-------|

Αποτελέσματα:
EL0420FR4028

| | |
|-----------------------------|------------------|
| Παροχή αιχμής (M3/S) | 66.95 |
| Χρονική στιγμή αιχμής | 02Sep2000, 00:45 |
| Όγκος (MM) | 158.38 |
| Όγκος βροχόπτωσης (M3) | 3.93E6 |
| Όγκος απωλειών (M3) | 2.14E6 |
| Ενεργός Όγκος (M3) | 1.79E6 |
| Όγκος άμεσης απορροής (M3) | 1.79E6 |
| Όγκος βασικής απορροής (M3) | 1.05E6 |

Βροχόπτωση και Απορροή



Υπολεκάνη: EL0420FR4029

Έκταση (KM2) : 31.51

Κατάντη : J28

Μέθοδος Απωλειών: SCS

| | |
|--------------------------------|-------|
| Ποσοστό αδιαπέρατης επιφάνειας | 0 |
| Αριθμός Καμπύλης Απορροής-CN | 34.31 |
| Αρχικές Απώλειες | 97.25 |

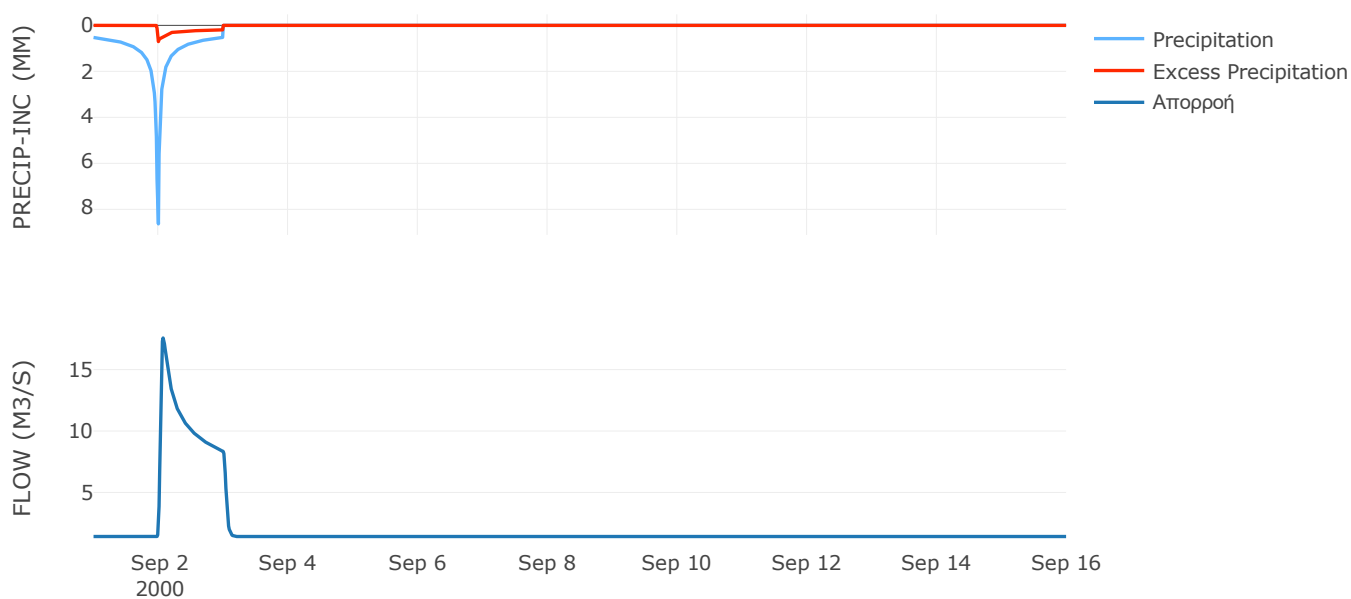
Μέθοδος
Μετασχηματισμού: SCS

| | |
|------------------|-------|
| Χρόνος Υστέρησης | 55.59 |
|------------------|-------|

Αποτελέσματα:
EL0420FR4029

| | |
|-----------------------------|------------------|
| Παροχή αιχμής (M3/S) | 17.57 |
| Χρονική στιγμή αιχμής | 02Sep2000, 01:45 |
| Όγκος (MM) | 84.84 |
| Όγκος βροχόπτωσης (M3) | 7.08E6 |
| Όγκος απωλειών (M3) | 6.25E6 |
| Ενεργός Όγκος (M3) | 8.35E5 |
| Όγκος άμεσης απορροής (M3) | 8.35E5 |
| Όγκος βασικής απορροής (M3) | 1.84E6 |

Βροχόπτωση και Απορροή



Υπολεκάνη: EL0420FR4030

Έκταση (KM2) : 11.42

Κατάνη : J28

Μέθοδος Απωλειών: SCS

| | |
|--------------------------------|-------|
| Ποσοστό αδιαπέρατης επιφάνειας | 0 |
| Αριθμός Καμπύλης Απορροής-CN | 40.83 |
| Αρχικές Απώλειες | 73.62 |

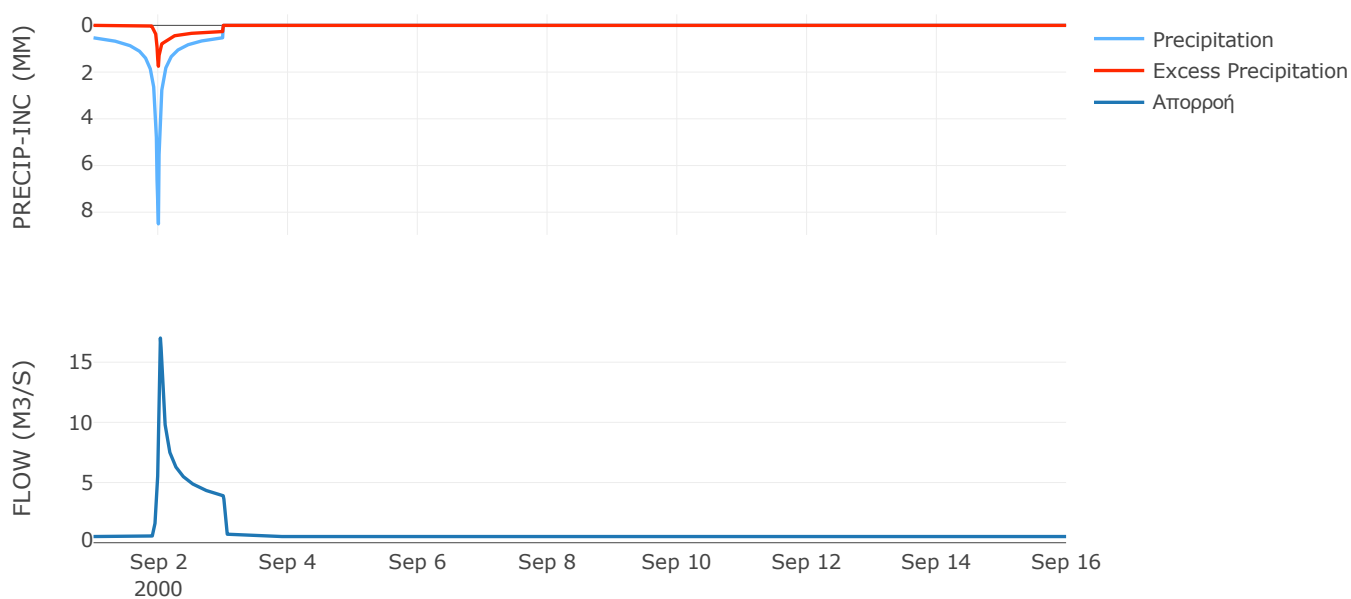
Μέθοδος
Μετασχηματισμού: SCS

| | |
|------------------|-------|
| Χρόνος Υστέρησης | 31.79 |
|------------------|-------|

Αποτελέσματα:
EL0420FR4030

| | |
|-----------------------------|------------------|
| Παροχή αιχμής (M3/S) | 17.01 |
| Χρονική στιγμή αιχμής | 02Sep2000, 00:45 |
| Όγκος (MM) | 102.67 |
| Όγκος βροχόπτωσης (M3) | 2.58E6 |
| Όγκος απωλειών (M3) | 2.07E6 |
| Ενεργός Όγκος (M3) | 5.07E5 |
| Όγκος άμεσης απορροής (M3) | 5.07E5 |
| Όγκος βασικής απορροής (M3) | 6.66E5 |

Βροχόπτωση και Απορροή



Υπολεκάνη: EL0420FR4031

Έκταση (KM2) : 2.28

Κατάντη : J27

Μέθοδος Απωλειών: SCS

| | |
|--------------------------------|-------|
| Ποσοστό αδιαπέρατης επιφάνειας | 0 |
| Αριθμός Καμπύλης Απορροής-CN | 48.92 |
| Αρχικές Απώλειες | 53.05 |

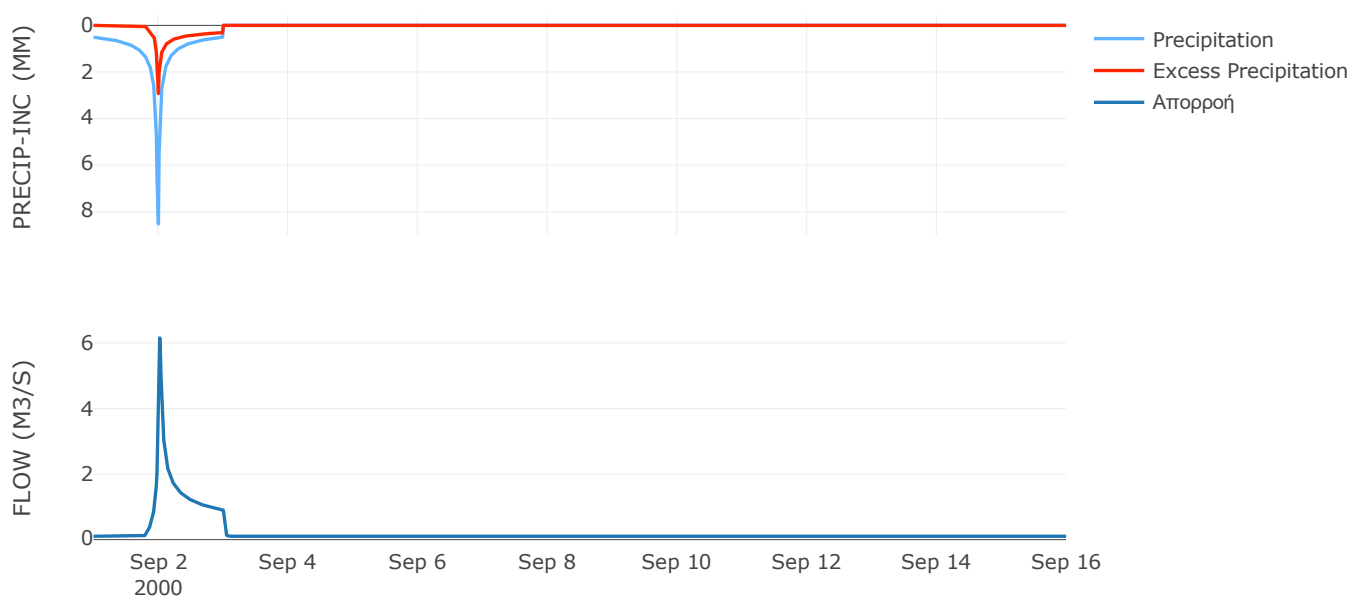
Μέθοδος
Μετασχηματισμού: SCS

| | |
|------------------|------|
| Χρόνος Υστέρησης | 23.9 |
|------------------|------|

Αποτελέσματα:
EL0420FR4031

| | |
|-----------------------------|------------------|
| Παροχή αιχμής (M3/S) | 6.15 |
| Χρονική στιγμή αιχμής | 02Sep2000, 00:30 |
| Όγκος (MM) | 121.89 |
| Όγκος βροχόπτωσης (M3) | 4.99E5 |
| Όγκος απωλειών (M3) | 3.54E5 |
| Ενεργός Όγκος (M3) | 1.45E5 |
| Όγκος άμεσης απορροής (M3) | 1.45E5 |
| Όγκος βασικής απορροής (M3) | 1.33E5 |

Βροχόπτωση και Απορροή



Υπολεκάνη: EL0420FR4032

Έκταση (KM2) : 20.34

Κατάνη : J27

Μέθοδος Απωλειών: SCS

| | |
|--------------------------------|-------|
| Ποσοστό αδιαπέρατης επιφάνειας | 0 |
| Αριθμός Καμπύλης Απορροής-CN | 39.12 |
| Αρχικές Απώλειες | 79.07 |

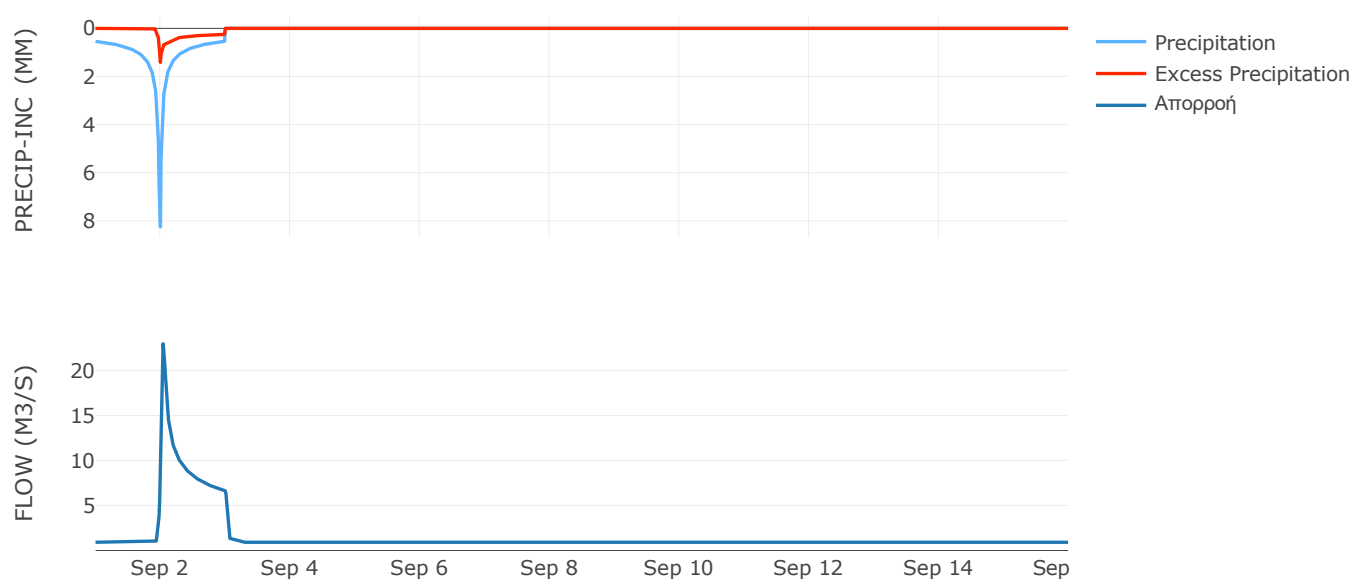
Μέθοδος
Μετασχηματισμού: SCS

| | |
|------------------|------|
| Χρόνος Υστέρησης | 41.1 |
|------------------|------|

Αποτελέσματα:
EL0420FR4032

| | |
|-----------------------------|------------------|
| Παροχή αιχμής (M3/S) | 22.96 |
| Χρονική στιγμή αιχμής | 02Sep2000, 01:00 |
| Όγκος (MM) | 97.48 |
| Όγκος βροχόπτωσης (M3) | 4.57E6 |
| Όγκος απωλειών (M3) | 3.77E6 |
| Ενεργός Όγκος (M3) | 7.97E5 |
| Όγκος άμεσης απορροής (M3) | 7.97E5 |
| Όγκος βασικής απορροής (M3) | 1.19E6 |

Βροχόπτωση και Απορροή



Υπολεκάνη: EL0420FR4033

Έκταση (KM2) : 42.85

Κατάντη : J8

Μέθοδος Απωλειών: SCS

| | |
|--------------------------------|-------|
| Ποσοστό αδιαπέρατης επιφάνειας | 0 |
| Αριθμός Καμπύλης Απορροής-CN | 39.48 |
| Αρχικές Απώλειες | 77.88 |

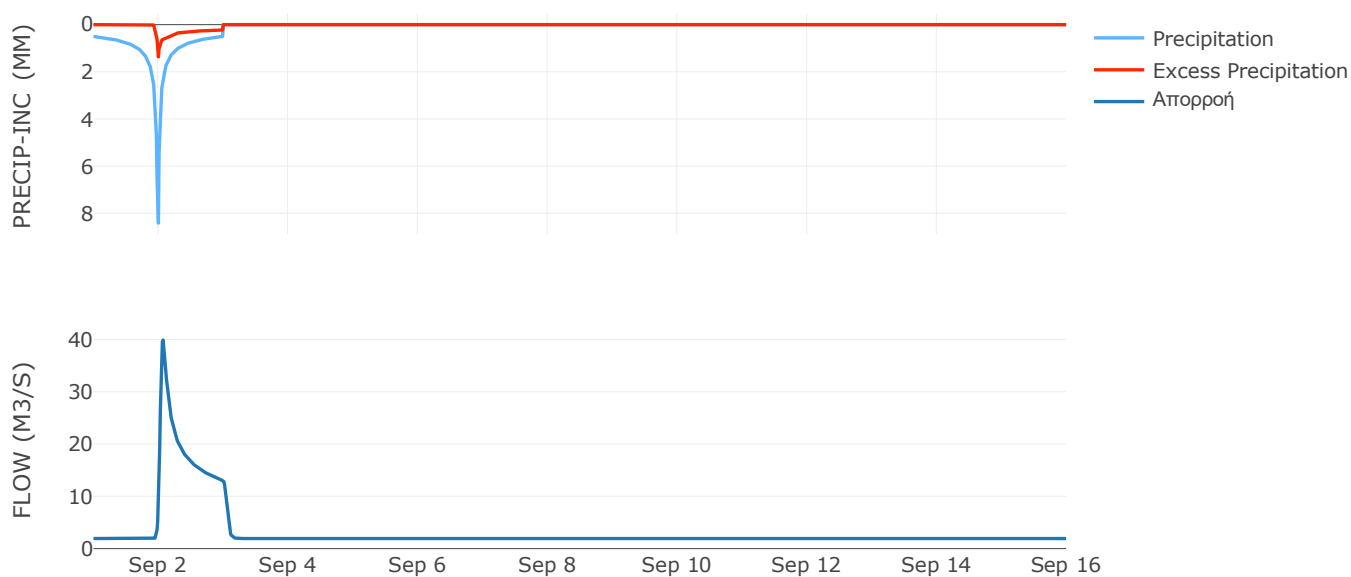
Μέθοδος
Μετασχηματισμού: SCS

| | |
|------------------|-------|
| Χρόνος Υστέρησης | 67.83 |
|------------------|-------|

Αποτελέσματα:
EL0420FR4033

| | |
|-----------------------------|------------------|
| Παροχή αιχμής (M3/S) | 39.88 |
| Χρονική στιγμή αιχμής | 02Sep2000, 01:45 |
| Όγκος (MM) | 94.6 |
| Όγκος βροχόπτωσης (M3) | 9.27E6 |
| Όγκος απωλειών (M3) | 7.71E6 |
| Ενεργός Όγκος (M3) | 1.55E6 |
| Όγκος άμεσης απορροής (M3) | 1.55E6 |
| Όγκος βασικής απορροής (M3) | 2.5E6 |

Βροχόπτωση και Απορροή



Υπολεκάνη: EL0420FR4034

Έκταση (KM2) : 46.4

Κατάντη : J6

Μέθοδος Απωλειών: SCS

| | |
|--------------------------------|-------|
| Ποσοστό αδιαπέρατης επιφάνειας | 0 |
| Αριθμός Καμπύλης Απορροής-CN | 37.63 |
| Αρχικές Απώλειες | 84.22 |

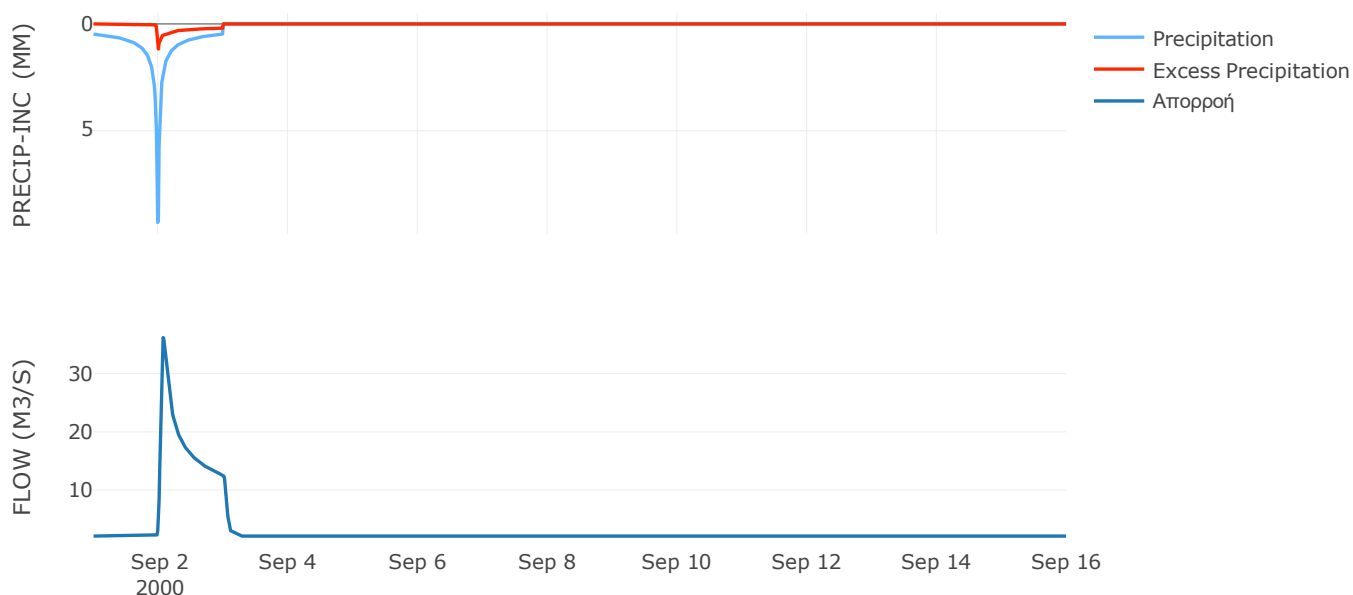
Μέθοδος
Μετασχηματισμού: SCS

| | |
|------------------|-------|
| Χρόνος Υστέρησης | 70.14 |
|------------------|-------|

Αποτελέσματα:
EL0420FR4034

| | |
|-----------------------------|------------------|
| Παροχή αιχμής (M3/S) | 36.2 |
| Χρονική στιγμή αιχμής | 02Sep2000, 01:45 |
| Όγκος (MM) | 89.59 |
| Όγκος βροχόπτωσης (M3) | 1E7 |
| Όγκος απωλειών (M3) | 8.56E6 |
| Ενεργός Όγκος (M3) | 1.45E6 |
| Όγκος άμεσης απορροής (M3) | 1.45E6 |
| Όγκος βασικής απορροής (M3) | 2.71E6 |

Βροχόπτωση και Απορροή



Υπολεκάνη: EL0420FR4035

Έκταση (KM2) : 12.2

Κατάντη : J19

Μέθοδος Απωλειών: SCS

| | |
|--------------------------------|-------|
| Ποσοστό αδιαπέρατης επιφάνειας | 0 |
| Αριθμός Καμπύλης Απορροής-CN | 65.16 |
| Αρχικές Απώλειες | 27.16 |

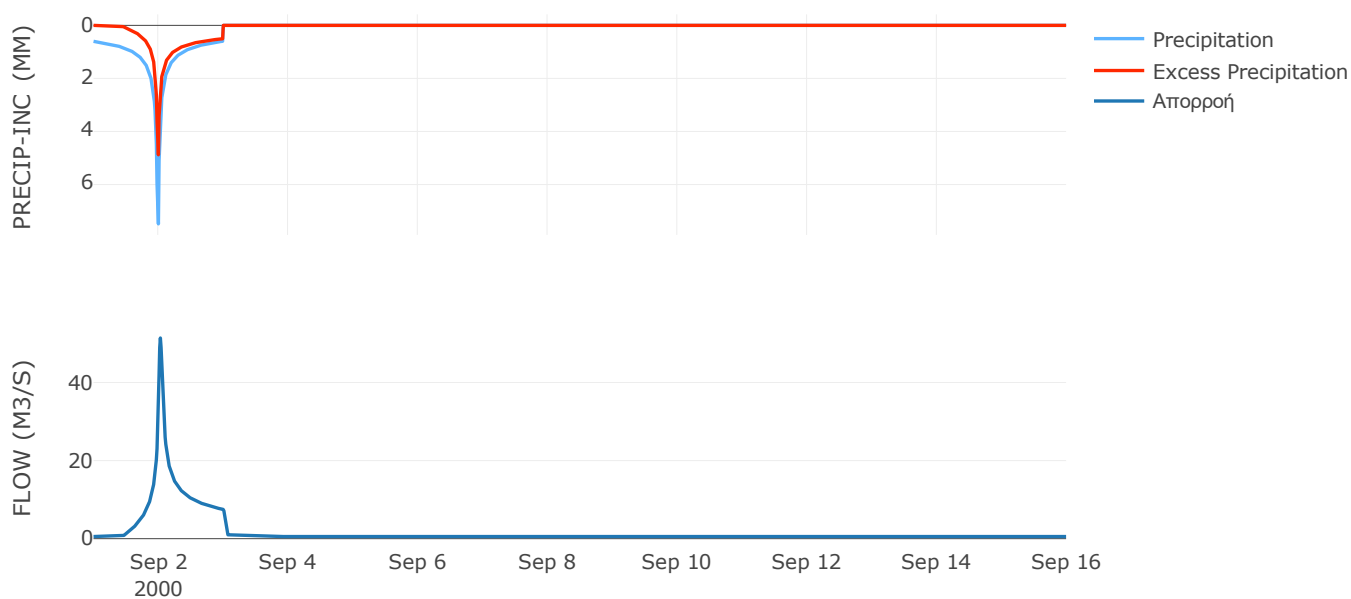
Μέθοδος
Μετασχηματισμού: SCS

| | |
|------------------|-------|
| Χρόνος Υστέρησης | 39.08 |
|------------------|-------|

Αποτελέσματα:
EL0420FR4035

| | |
|-----------------------------|------------------|
| Παροχή αιχμής (M3/S) | 51.4 |
| Χρονική στιγμή αιχμής | 02Sep2000, 00:45 |
| Όγκος (MM) | 182.39 |
| Όγκος βροχόπτωσης (M3) | 2.84E6 |
| Όγκος απωλειών (M3) | 1.33E6 |
| Ενεργός Όγκος (M3) | 1.51E6 |
| Όγκος άμεσης απορροής (M3) | 1.51E6 |
| Όγκος βασικής απορροής (M3) | 7.12E5 |

Βροχόπτωση και Απορροή



Υπολεκάνη: EL0420FR4036

Έκταση (KM2) : 17.89

Κατάντη : J18

Μέθοδος Απωλειών: SCS

| | |
|--------------------------------|-------|
| Ποσοστό αδιαπέρατης επιφάνειας | 0 |
| Αριθμός Καμπύλης Απορροής-CN | 64.94 |
| Αρχικές Απώλειες | 27.43 |

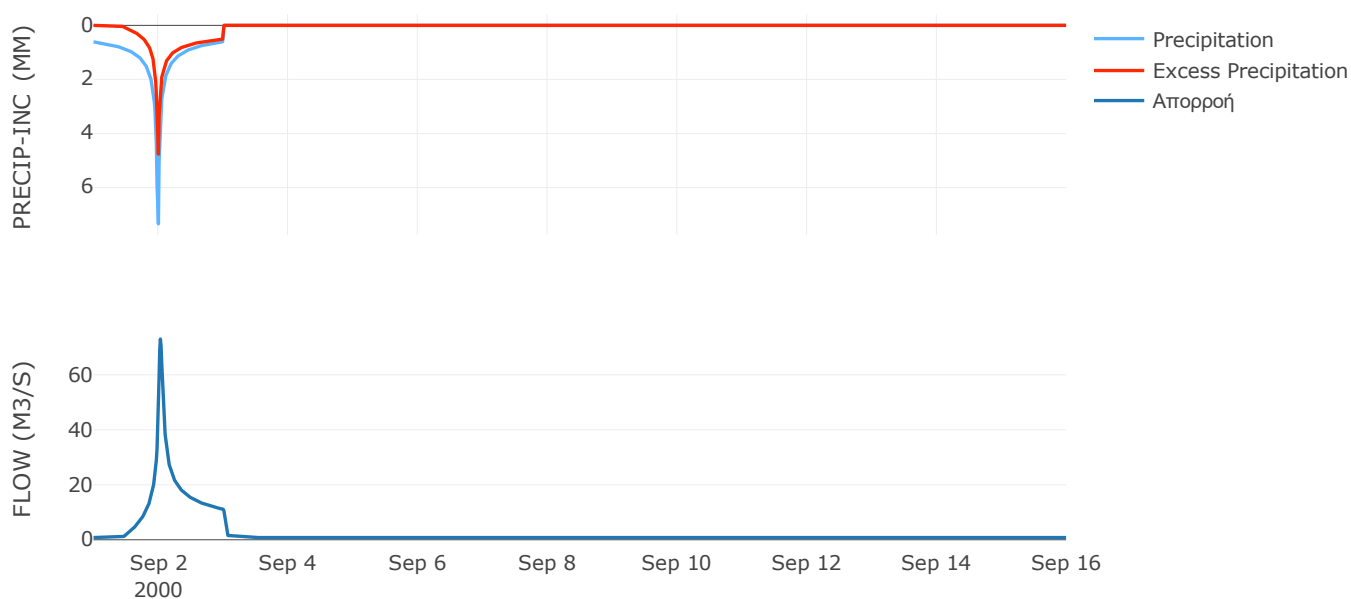
Μέθοδος
Μετασχηματισμού: SCS

| | |
|------------------|-------|
| Χρόνος Υστέρησης | 40.74 |
|------------------|-------|

Αποτελέσματα:
EL0420FR4036

| | |
|-----------------------------|------------------|
| Παροχή αιχμής (M3/S) | 73.01 |
| Χρονική στιγμή αιχμής | 02Sep2000, 00:45 |
| Όγκος (MM) | 182.06 |
| Όγκος βροχόπτωσης (M3) | 4.18E6 |
| Όγκος απωλειών (M3) | 1.96E6 |
| Ενεργός Όγκος (M3) | 2.21E6 |
| Όγκος άμεσης απορροής (M3) | 2.21E6 |
| Όγκος βασικής απορροής (M3) | 1.04E6 |

Βροχόπτωση και Απορροή



Υπολεκάνη: EL0420FR4037

Έκταση (KM2) : 37.96

Κατάνη : J17

Μέθοδος Απωλειών: SCS

| | |
|--------------------------------|-------|
| Ποσοστό αδιαπέρατης επιφάνειας | 0 |
| Αριθμός Καμπύλης Απορροής-CN | 63.62 |
| Αρχικές Απώλειες | 29.05 |

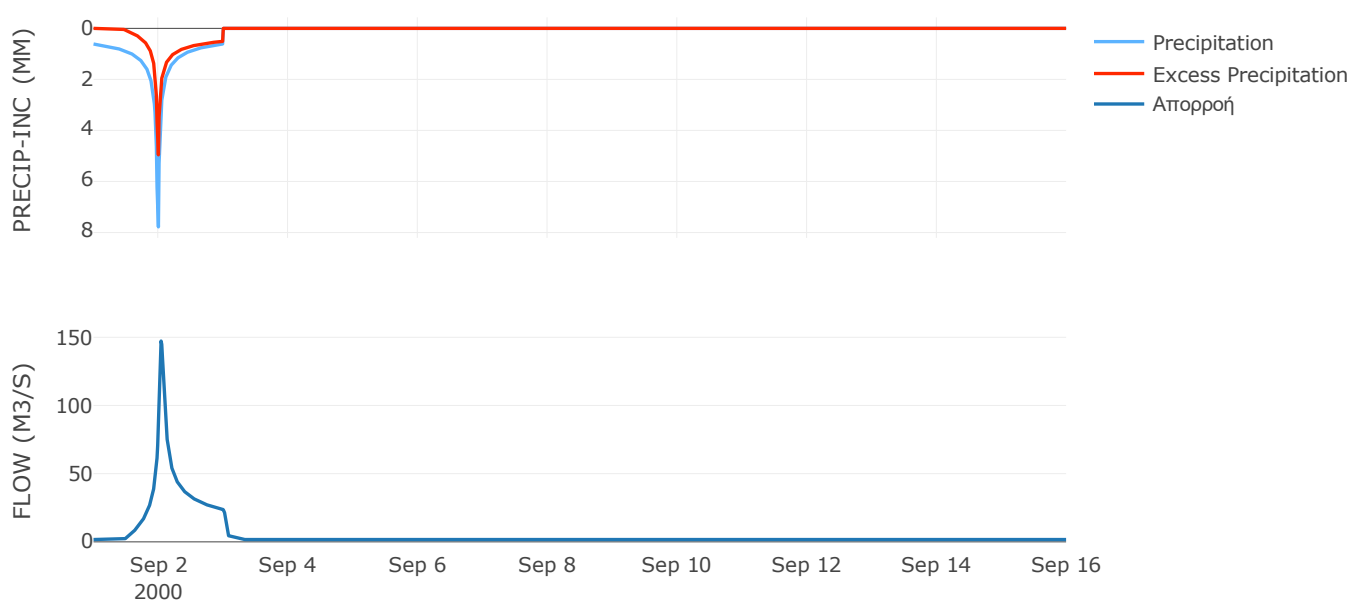
Μέθοδος
Μετασχηματισμού: SCS

| | |
|------------------|------|
| Χρόνος Υστέρησης | 56.2 |
|------------------|------|

Αποτελέσματα:
EL0420FR4037

| | |
|-----------------------------|------------------|
| Παροχή αιχμής (M3/S) | 147.27 |
| Χρονική στιγμή αιχμής | 02Sep2000, 01:00 |
| Όγκος (MM) | 182.67 |
| Όγκος βροχόπτωσης (M3) | 9.08E6 |
| Όγκος απωλειών (M3) | 4.36E6 |
| Ενεργός Όγκος (M3) | 4.72E6 |
| Όγκος άμεσης απορροής (M3) | 4.72E6 |
| Όγκος βασικής απορροής (M3) | 2.21E6 |

Βροχόπτωση και Απορροή



Υπολεκάνη: EL0420FR4038

Έκταση (KM2) : 11.75

Κατάνη : J15

Μέθοδος Απωλειών: SCS

| | |
|--------------------------------|-------|
| Ποσοστό αδιαπέρατης επιφάνειας | 0 |
| Αριθμός Καμπύλης Απορροής-CN | 47.59 |
| Αρχικές Απώλειες | 55.95 |

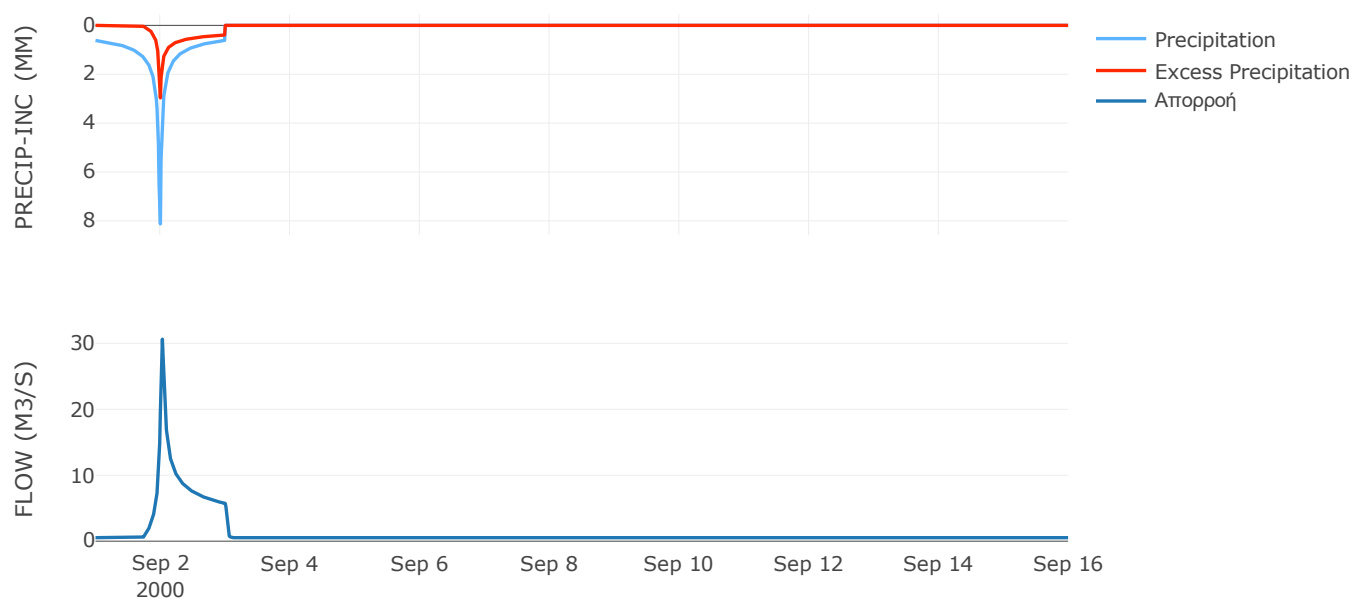
Μέθοδος
Μετασχηματισμού: SCS

| | |
|------------------|-------|
| Χρόνος Υστέρησης | 30.91 |
|------------------|-------|

Αποτελέσματα:
EL0420FR4038

| | |
|-----------------------------|------------------|
| Παροχή αιχμής (M3/S) | 30.63 |
| Χρονική στιγμή αιχμής | 02Sep2000, 00:45 |
| Όγκος (MM) | 133.75 |
| Όγκος βροχόπτωσης (M3) | 2.86E6 |
| Όγκος απωλειών (M3) | 1.98E6 |
| Ενεργός Όγκος (M3) | 8.87E5 |
| Όγκος άμεσης απορροής (M3) | 8.87E5 |
| Όγκος βασικής απορροής (M3) | 6.85E5 |

Βροχόπτωση και Απορροή



Υπολεκάνη: EL0420FR4039

Έκταση (KM2) : 21.53

Κατάντη : J23

Μέθοδος Απωλειών: SCS

| | |
|--------------------------------|-------|
| Ποσοστό αδιαπέρατης επιφάνειας | 0 |
| Αριθμός Καμπύλης Απορροής-CN | 52.18 |
| Αρχικές Απώλειες | 46.55 |

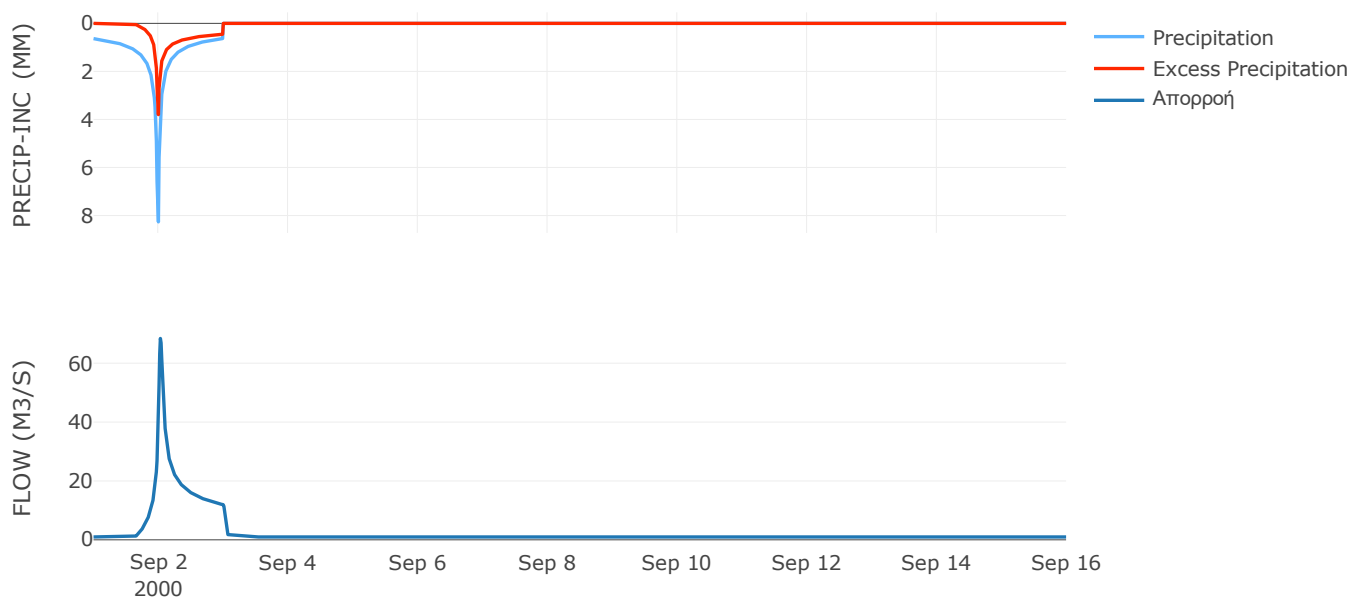
Μέθοδος
Μετασχηματισμού: SCS

| | |
|------------------|-------|
| Χρόνος Υστέρησης | 40.79 |
|------------------|-------|

Αποτελέσματα:
EL0420FR4039

| | |
|-----------------------------|------------------|
| Παροχή αιχμής (M3/S) | 68.41 |
| Χρονική στιγμή αιχμής | 02Sep2000, 00:45 |
| Όγκος (MM) | 153 |
| Όγκος βροχόπτωσης (M3) | 5.38E6 |
| Όγκος απωλειών (M3) | 3.34E6 |
| Ενεργός Όγκος (M3) | 2.04E6 |
| Όγκος άμεσης απορροής (M3) | 2.04E6 |
| Όγκος βασικής απορροής (M3) | 1.26E6 |

Βροχόπτωση και Απορροή



Υπολεκάνη: EL0420FR4040

Έκταση (KM2) : 34.79

Κατάντη : J12

Μέθοδος Απωλειών: SCS

| | |
|--------------------------------|-------|
| Ποσοστό αδιαπέρατης επιφάνειας | 0 |
| Αριθμός Καμπύλης Απορροής-CN | 37.96 |
| Αρχικές Απώλειες | 83.03 |

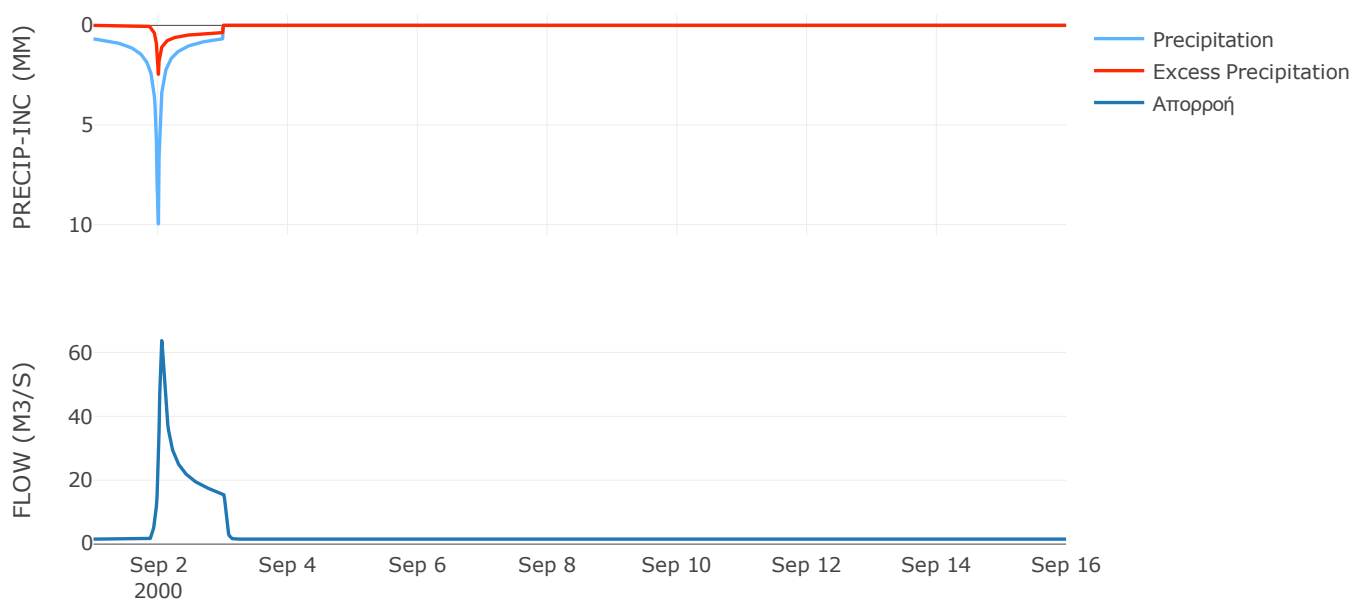
Μέθοδος
Μετασχηματισμού: SCS

| | |
|------------------|-------|
| Χρόνος Υστέρησης | 53.93 |
|------------------|-------|

Αποτελέσματα:
EL0420FR4040

| | |
|-----------------------------|------------------|
| Παροχή αιχμής (M3/S) | 63.71 |
| Χρονική στιγμή αιχμής | 02Sep2000, 01:15 |
| Όγκος (MM) | 120.92 |
| Όγκος βροχόπτωσης (M3) | 9.69E6 |
| Όγκος απωλειών (M3) | 7.51E6 |
| Ενεργός Όγκος (M3) | 2.18E6 |
| Όγκος άμεσης απορροής (M3) | 2.18E6 |
| Όγκος βασικής απορροής (M3) | 2.03E6 |

Βροχόπτωση και Απορροή



Υπολεκάνη: EL0420FR4041

Έκταση (KM2) : 17.22

Κατάντη : J25

Μέθοδος Απωλειών: SCS

| | |
|--------------------------------|--------|
| Ποσοστό αδιαπέρατης επιφάνειας | 0 |
| Αριθμός Καμπύλης Απορροής-CN | 31.15 |
| Αρχικές Απώλειες | 112.26 |

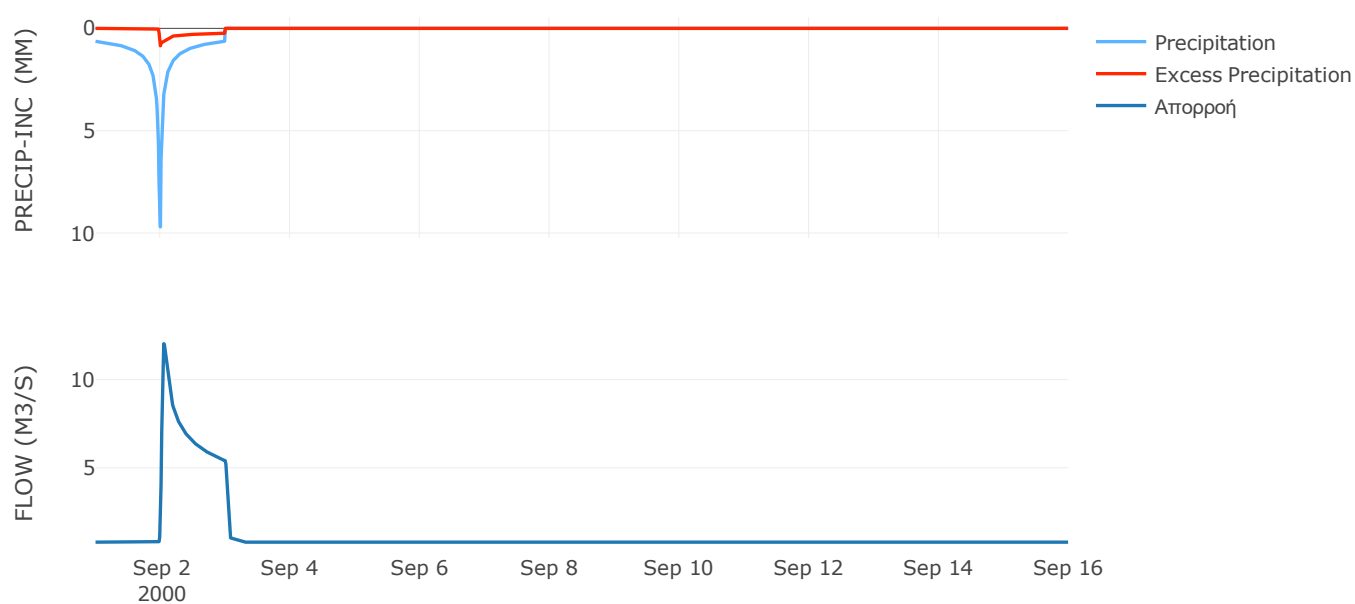
Μέθοδος
Μετασχηματισμού: SCS

| | |
|------------------|-------|
| Χρόνος Υστέρησης | 42.72 |
|------------------|-------|

Αποτελέσματα:
EL0420FR4041

| | |
|-----------------------------|------------------|
| Παροχή αιχμής (M3/S) | 12.04 |
| Χρονική στιγμή αιχμής | 02Sep2000, 01:15 |
| Όγκος (MM) | 90.54 |
| Όγκος βροχόπτωσης (M3) | 4.54E6 |
| Όγκος απωλειών (M3) | 3.99E6 |
| Ενεργός Όγκος (M3) | 5.55E5 |
| Όγκος άμεσης απορροής (M3) | 5.55E5 |
| Όγκος βασικής απορροής (M3) | 1E6 |

Βροχόπτωση και Απορροή



Υπολεκάνη: EL0420FR4042

Έκταση (KM2) : 21.68

Κατάντη : J25

Μέθοδος Απωλειών: SCS

| | |
|--------------------------------|--------|
| Ποσοστό αδιαπέρατης επιφάνειας | 0 |
| Αριθμός Καμπύλης Απορροής-CN | 30.23 |
| Αρχικές Απώλειες | 117.23 |

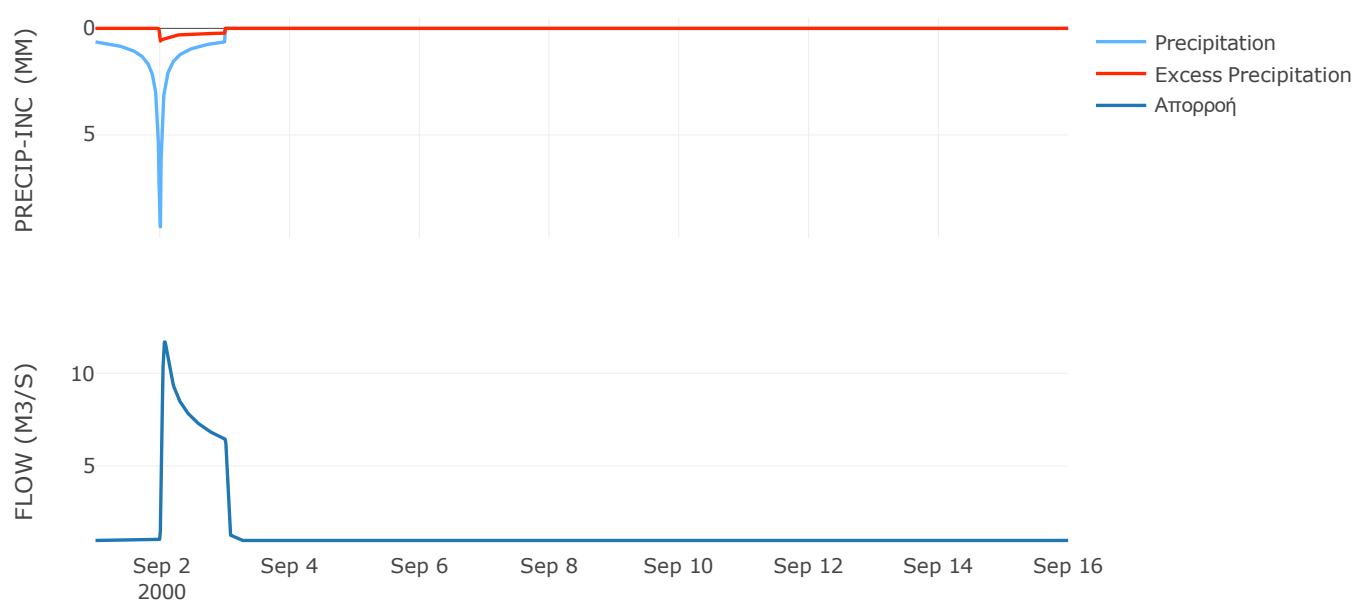
Μέθοδος
Μετασχηματισμού: SCS

| | |
|------------------|-------|
| Χρόνος Υστέρησης | 42.76 |
|------------------|-------|

Αποτελέσματα:
EL0420FR4042

| | |
|-----------------------------|------------------|
| Παροχή αιχμής (M3/S) | 11.69 |
| Χρονική στιγμή αιχμής | 02Sep2000, 01:30 |
| Όγκος (MM) | 86.66 |
| Όγκος βροχόπτωσης (M3) | 5.66E6 |
| Όγκος απωλειών (M3) | 5.05E6 |
| Ενεργός Όγκος (M3) | 6.14E5 |
| Όγκος άμεσης απορροής (M3) | 6.14E5 |
| Όγκος βασικής απορροής (M3) | 1.26E6 |

Βροχόπτωση και Απορροή



Υπολεκάνη: EL0420FR4043

Έκταση (KM2) : 13.12

Κατάντη : J24

Μέθοδος Απωλειών: SCS

| | |
|--------------------------------|-------|
| Ποσοστό αδιαπέρατης επιφάνειας | 0 |
| Αριθμός Καμπύλης Απορροής-CN | 36.21 |
| Αρχικές Απώλειες | 89.5 |

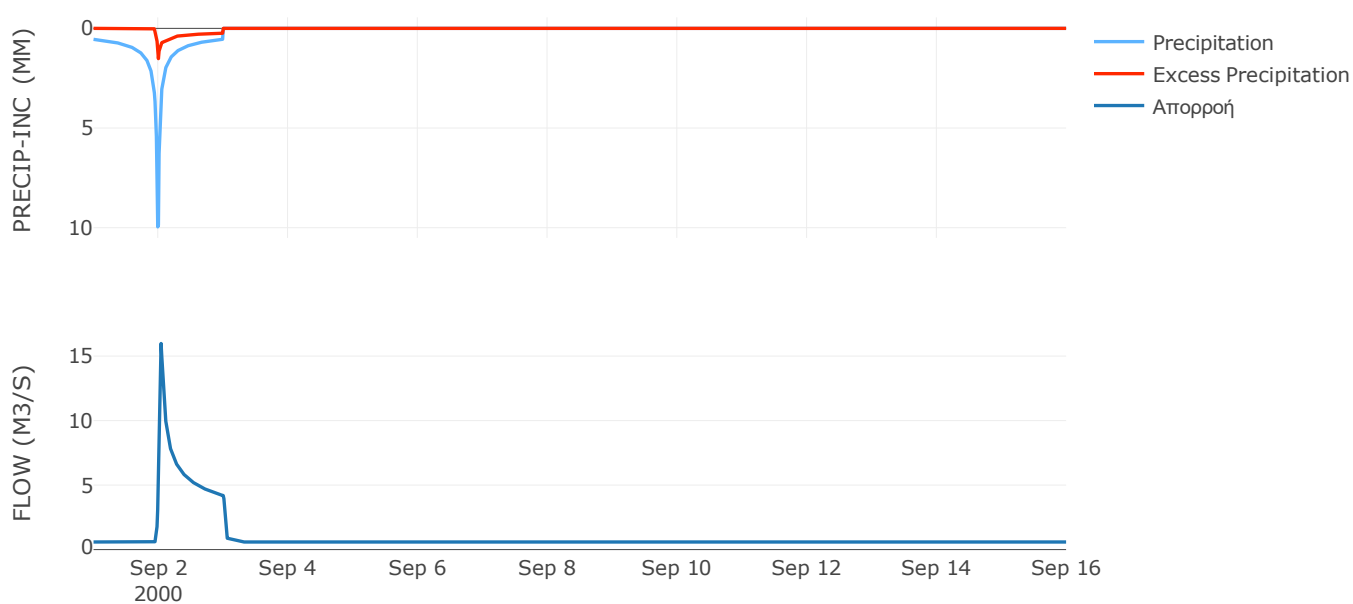
Μέθοδος
Μετασχηματισμού: SCS

| | |
|------------------|-------|
| Χρόνος Υστέρησης | 35.48 |
|------------------|-------|

Αποτελέσματα:
EL0420FR4043

| | |
|-----------------------------|------------------|
| Παροχή αιχμής (M3/S) | 15.98 |
| Χρονική στιγμή αιχμής | 02Sep2000, 01:00 |
| Όγκος (MM) | 97.6 |
| Όγκος βροχόπτωσης (M3) | 3.19E6 |
| Όγκος απωλειών (M3) | 2.68E6 |
| Ενεργός Όγκος (M3) | 5.16E5 |
| Όγκος άμεσης απορροής (M3) | 5.16E5 |
| Όγκος βασικής απορροής (M3) | 7.65E5 |

Βροχόπτωση και Απορροή



Υπολεκάνη: EL0420FR4044

Έκταση (KM2) : 10.33

Κατάντη : J24

Μέθοδος Απωλειών: SCS

| | |
|--------------------------------|--------|
| Ποσοστό αδιαπέρατης επιφάνειας | 0 |
| Αριθμός Καμπύλης Απορροής-CN | 27.93 |
| Αρχικές Απώλειες | 131.06 |

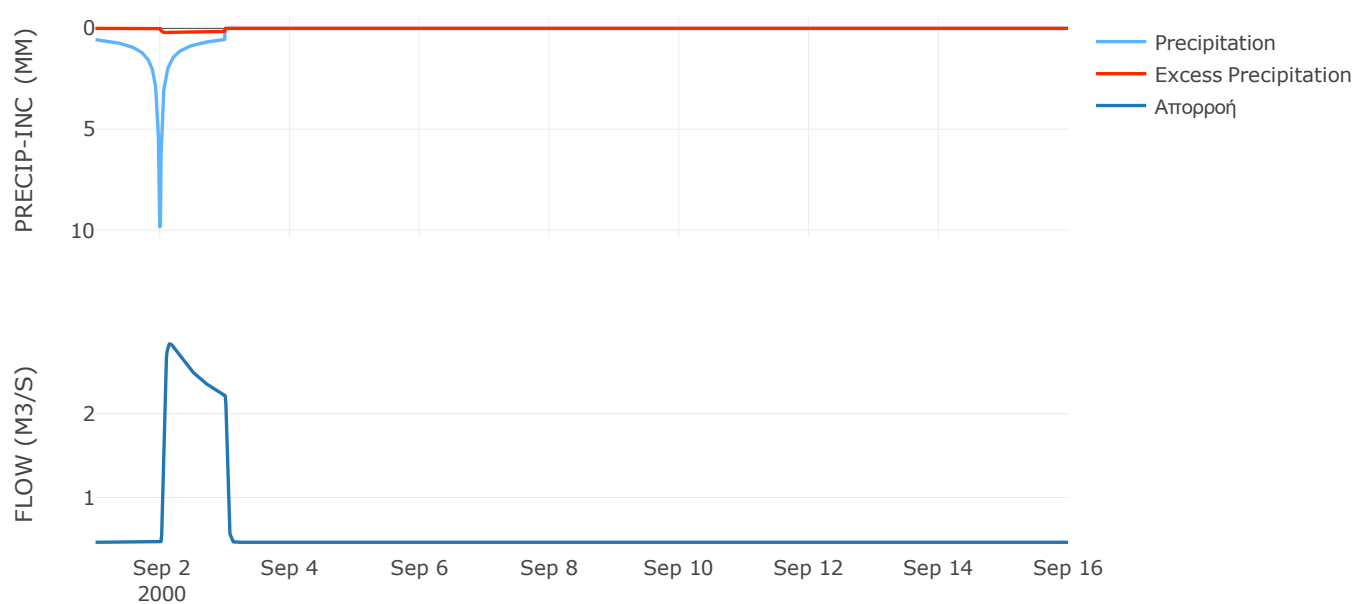
Μέθοδος
Μετασχηματισμού: SCS

| | |
|------------------|-------|
| Χρόνος Υστέρησης | 37.82 |
|------------------|-------|

Αποτελέσματα:
EL0420FR4044

| | |
|-----------------------------|------------------|
| Παροχή αιχμής (M3/S) | 2.83 |
| Χρονική στιγμή αιχμής | 02Sep2000, 03:30 |
| Όγκος (MM) | 75.03 |
| Όγκος βροχόπτωσης (M3) | 2.53E6 |
| Όγκος απωλειών (M3) | 2.35E6 |
| Ενεργός Όγκος (M3) | 1.73E5 |
| Όγκος άμεσης απορροής (M3) | 1.73E5 |
| Όγκος βασικής απορροής (M3) | 6.03E5 |

Βροχόπτωση και Απορροή



Υπολεκάνη: EL0420FR4045

Έκταση (KM2) : 5.32

Κατάνη : J11

Μέθοδος Απωλειών: SCS

| | |
|--------------------------------|-------|
| Ποσοστό αδιαπέρατης επιφάνειας | 0 |
| Αριθμός Καμπύλης Απορροής-CN | 37.58 |
| Αρχικές Απώλειες | 84.37 |

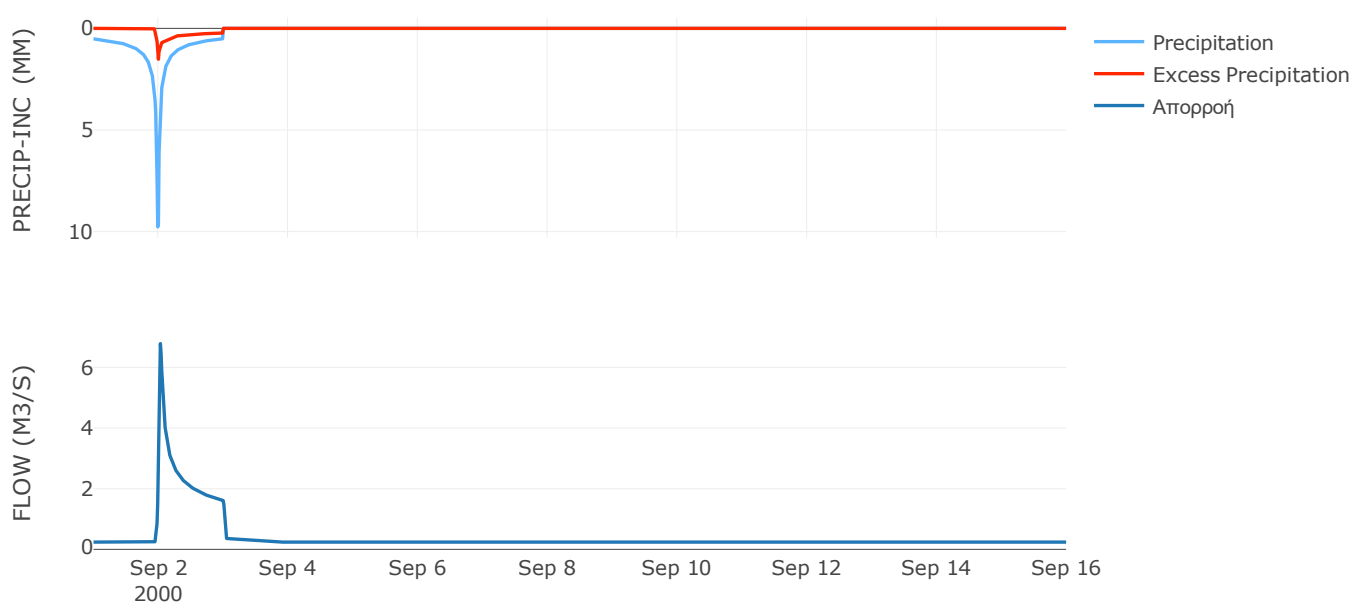
Μέθοδος
Μετασχηματισμού: SCS

| | |
|------------------|-------|
| Χρόνος Υστέρησης | 29.53 |
|------------------|-------|

Αποτελέσματα:
EL0420FR4045

| | |
|-----------------------------|------------------|
| Παροχή αιχμής (M3/S) | 6.79 |
| Χρονική στιγμή αιχμής | 02Sep2000, 00:45 |
| Όγκος (MM) | 96.09 |
| Όγκος βροχόπτωσης (M3) | 1.23E6 |
| Όγκος απωλειών (M3) | 1.03E6 |
| Ενεργός Όγκος (M3) | 2.01E5 |
| Όγκος άμεσης απορροής (M3) | 2.01E5 |
| Όγκος βασικής απορροής (M3) | 3.1E5 |

Βροχόπτωση και Απορροή



Υπολεκάνη: EL0420FR4046

Έκταση (KM2) : 24.57

Κατάντη : J10

Μέθοδος Απωλειών: SCS

| | |
|--------------------------------|--------|
| Ποσοστό αδιαπέρατης επιφάνειας | 0 |
| Αριθμός Καμπύλης Απορροής-CN | 32.02 |
| Αρχικές Απώλειες | 107.87 |

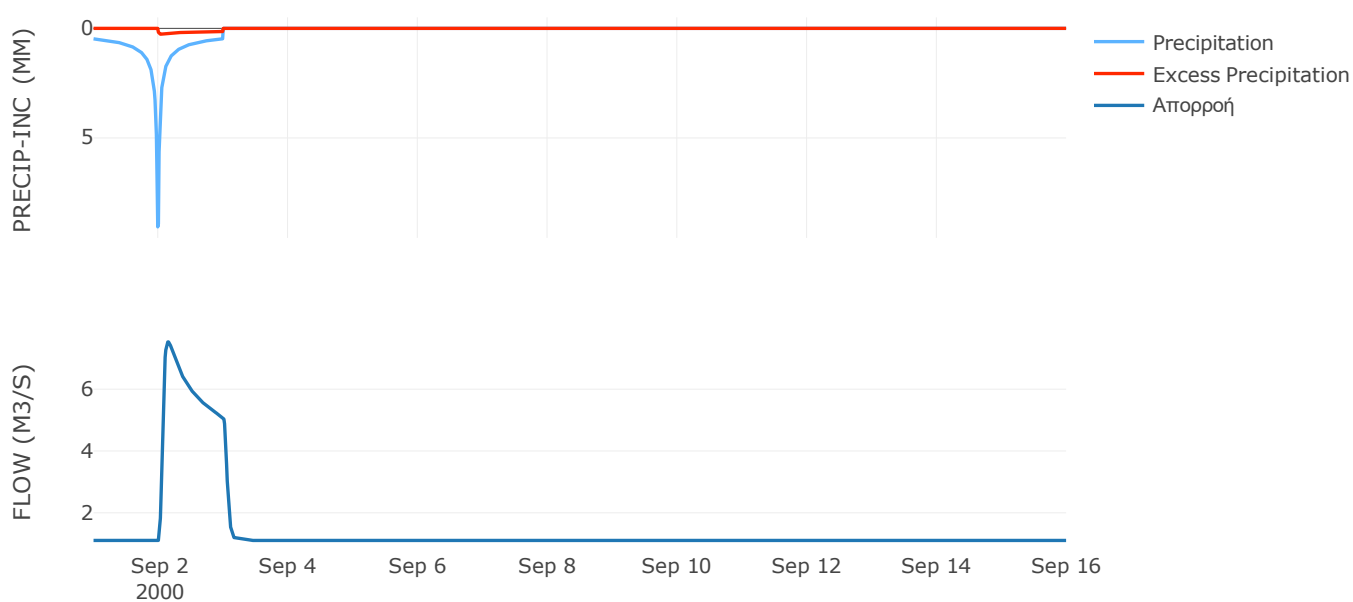
Μέθοδος
Μετασχηματισμού: SCS

| | |
|------------------|-------|
| Χρόνος Υστέρησης | 74.69 |
|------------------|-------|

Αποτελέσματα:
EL0420FR4046

| | |
|-----------------------------|------------------|
| Παροχή αιχμής (M3/S) | 7.53 |
| Χρονική στιγμή αιχμής | 02Sep2000, 03:30 |
| Όγκος (MM) | 75.81 |
| Όγκος βροχόπτωσης (M3) | 5.26E6 |
| Όγκος απωλειών (M3) | 4.83E6 |
| Ενεργός Όγκος (M3) | 4.3E5 |
| Όγκος άμεσης απορροής (M3) | 4.3E5 |
| Όγκος βασικής απορροής (M3) | 1.43E6 |

Βροχόπτωση και Απορροή



Υπολεκάνη: EL0420FR4047

Έκταση (KM2) : 37.25

Κατάντη : J26

Μέθοδος Απωλειών: SCS

| | |
|--------------------------------|--------|
| Ποσοστό αδιαπέρατης επιφάνειας | 0 |
| Αριθμός Καμπύλης Απορροής-CN | 29.72 |
| Αρχικές Απώλειες | 120.11 |

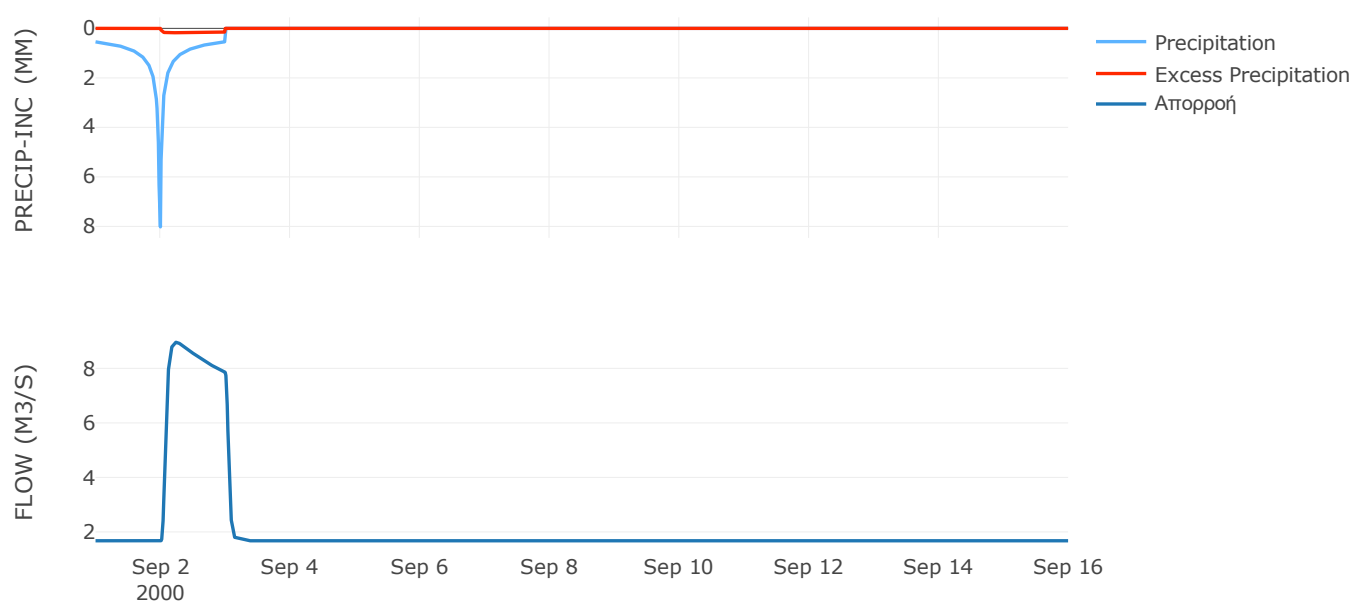
Μέθοδος
Μετασχηματισμού: SCS

| | |
|------------------|-------|
| Χρόνος Υστέρησης | 62.89 |
|------------------|-------|

Αποτελέσματα:
EL0420FR4047

| | |
|-----------------------------|------------------|
| Παροχή αιχμής (M3/S) | 8.96 |
| Χρονική στιγμή αιχμής | 02Sep2000, 05:45 |
| Όγκος (MM) | 73.62 |
| Όγκος βροχόπτωσης (M3) | 8.34E6 |
| Όγκος απωλειών (M3) | 7.77E6 |
| Ενεργός Όγκος (M3) | 5.7E5 |
| Όγκος άμεσης απορροής (M3) | 5.7E5 |
| Όγκος βασικής απορροής (M3) | 2.17E6 |

Βροχόπτωση και Απορροή



Υπολεκάνη: EL0420FR4048

Έκταση (KM2) : 34.69

Κατάντη : J26

Μέθοδος Απωλειών: SCS

| | |
|--------------------------------|-------|
| Ποσοστό αδιαπέρατης επιφάνειας | 0 |
| Αριθμός Καμπύλης Απορροής-CN | 30.26 |
| Αρχικές Απώλειες | 117.1 |

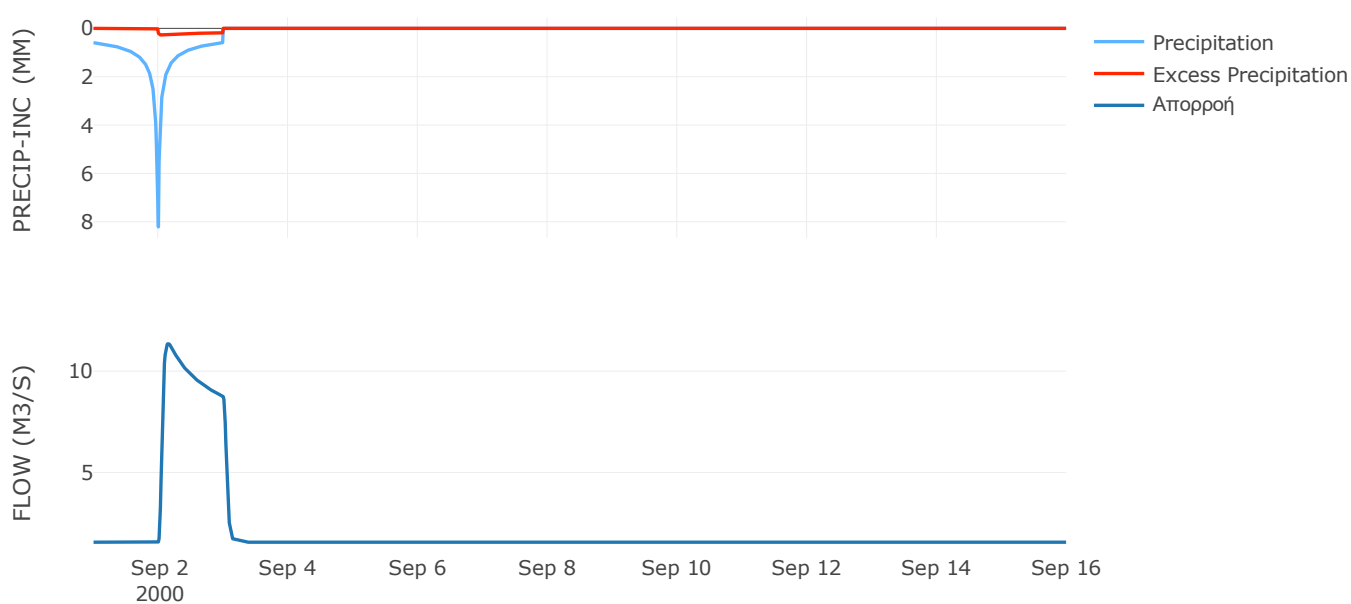
Μέθοδος
Μετασχηματισμού: SCS

| | |
|------------------|-------|
| Χρόνος Υστέρησης | 64.77 |
|------------------|-------|

Αποτελέσματα:
EL0420FR4048

| | |
|-----------------------------|------------------|
| Παροχή αιχμής (M3/S) | 11.35 |
| Χρονική στιγμή αιχμής | 02Sep2000, 03:45 |
| Όγκος (MM) | 79.04 |
| Όγκος βροχόπτωσης (M3) | 8.26E6 |
| Όγκος απωλειών (M3) | 7.54E6 |
| Ενεργός Όγκος (M3) | 7.19E5 |
| Όγκος άμεσης απορροής (M3) | 7.19E5 |
| Όγκος βασικής απορροής (M3) | 2.02E6 |

Βροχόπτωση και Απορροή



Υπολεκάνη: EL0420FR4049

Έκταση (KM2) : 11.77

Κατάνη : J9

Μέθοδος Απωλειών: SCS

| | |
|--------------------------------|-------|
| Ποσοστό αδιαπέρατης επιφάνειας | 0 |
| Αριθμός Καμπύλης Απορροής-CN | 36.15 |
| Αρχικές Απώλειες | 89.74 |

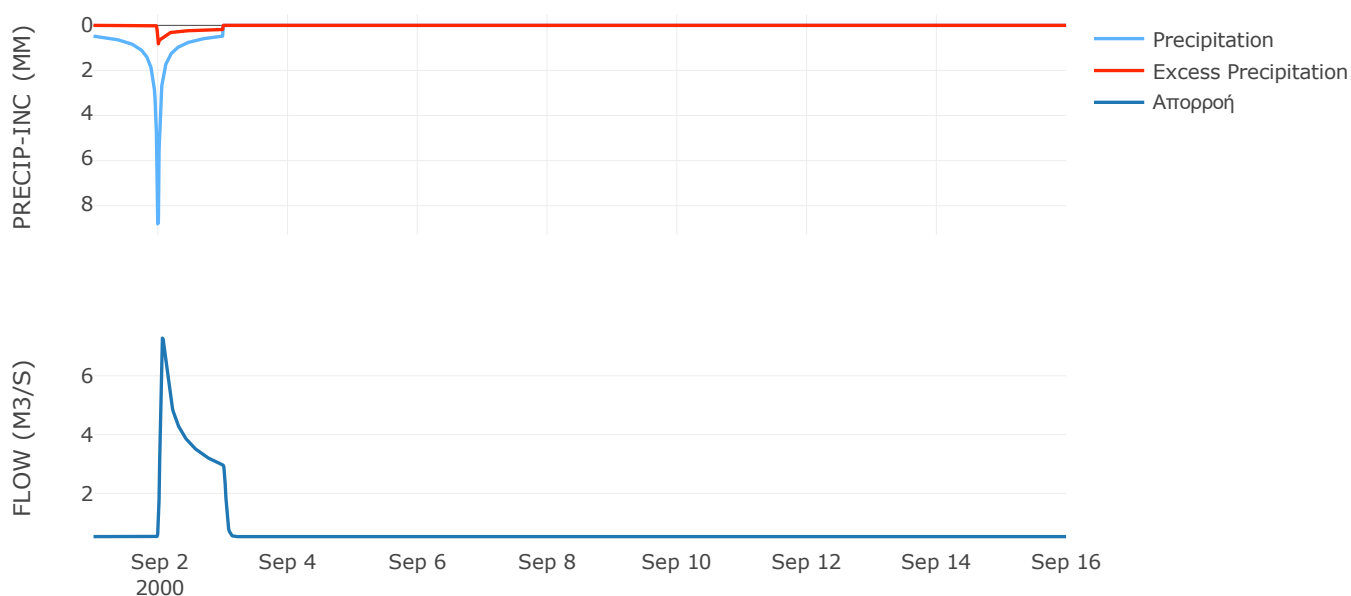
Μέθοδος
Μετασχηματισμού: SCS

| | |
|------------------|-------|
| Χρόνος Υστέρησης | 53.94 |
|------------------|-------|

Αποτελέσματα:
EL0420FR4049

| | |
|-----------------------------|------------------|
| Παροχή αιχμής (M3/S) | 7.28 |
| Χρονική στιγμή αιχμής | 02Sep2000, 01:30 |
| Όγκος (MM) | 84.76 |
| Όγκος βροχόπτωσης (M3) | 2.5E6 |
| Όγκος απωλειών (M3) | 2.19E6 |
| Ενεργός Όγκος (M3) | 3.11E5 |
| Όγκος άμεσης απορροής (M3) | 3.11E5 |
| Όγκος βασικής απορροής (M3) | 6.86E5 |

Βροχόπτωση και Απορροή



Υπολεκάνη: EL0420FR4050

Έκταση (KM2) : 19.25

Κατάντη : J7

Μέθοδος Απωλειών: SCS

| | |
|--------------------------------|-------|
| Ποσοστό αδιαπέρατης επιφάνειας | 0 |
| Αριθμός Καμπύλης Απορροής-CN | 34.75 |
| Αρχικές Απώλειες | 95.37 |

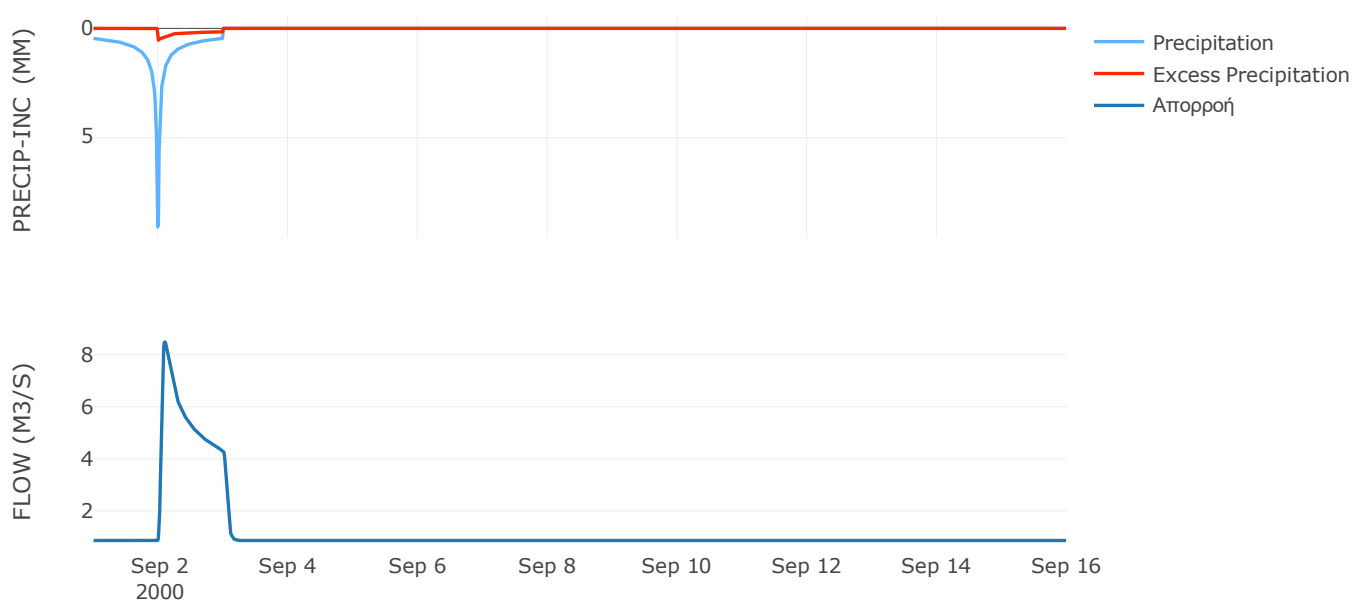
Μέθοδος
Μετασχηματισμού: SCS

| | |
|------------------|-------|
| Χρόνος Υστέρησης | 69.49 |
|------------------|-------|

Αποτελέσματα:
EL0420FR4050

| | |
|-----------------------------|------------------|
| Παροχή αιχμής (M3/S) | 8.49 |
| Χρονική στιγμή αιχμής | 02Sep2000, 02:30 |
| Όγκος (MM) | 80.06 |
| Όγκος βροχόπτωσης (M3) | 4.02E6 |
| Όγκος απωλειών (M3) | 3.6E6 |
| Ενεργός Όγκος (M3) | 4.18E5 |
| Όγκος άμεσης απορροής (M3) | 4.18E5 |
| Όγκος βασικής απορροής (M3) | 1.12E6 |

Βροχόπτωση και Απορροή



Υπολεκάνη: EL0420FR4051

Έκταση (KM2) : 32.45

Κατάντη : J4

Μέθοδος Απωλειών: SCS

| | |
|--------------------------------|-------|
| Ποσοστό αδιαπέρατης επιφάνειας | 0 |
| Αριθμός Καμπύλης Απορροής-CN | 63.47 |
| Αρχικές Απώλειες | 29.23 |

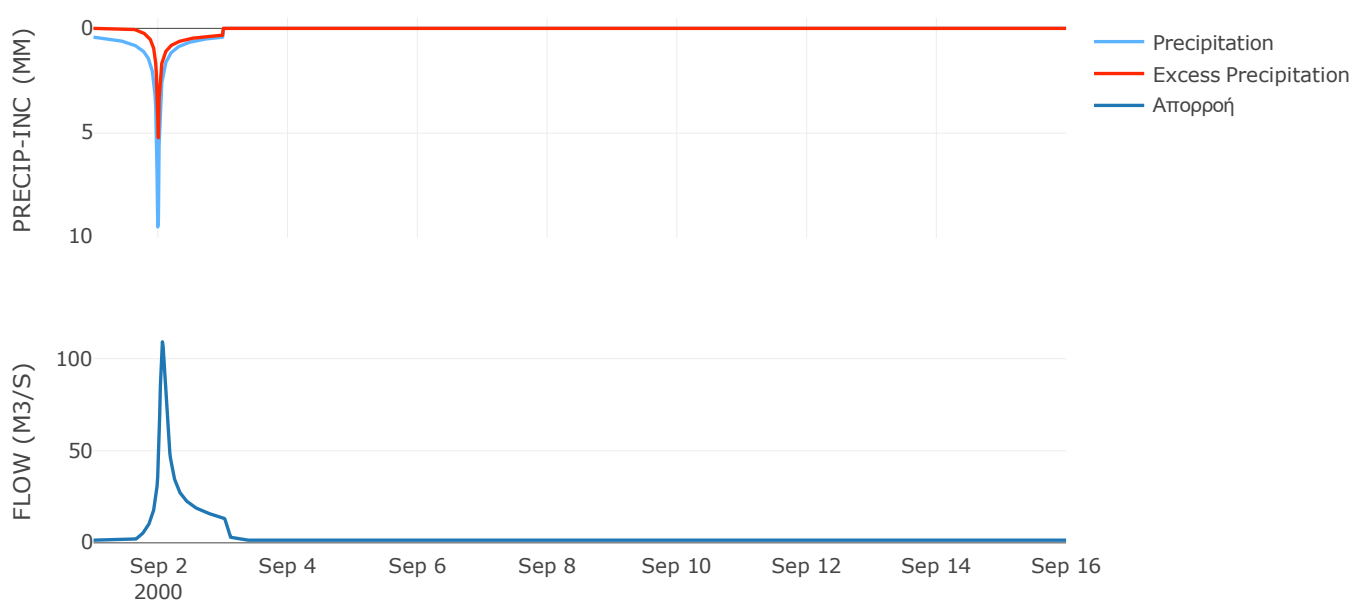
Μέθοδος
Μετασχηματισμού: SCS

| | |
|------------------|-------|
| Χρόνος Υστέρησης | 78.92 |
|------------------|-------|

Αποτελέσματα:
EL0420FR4051

| | |
|-----------------------------|------------------|
| Παροχή αιχμής (M3/S) | 109.16 |
| Χρονική στιγμή αιχμής | 02Sep2000, 01:30 |
| Όγκος (MM) | 150.46 |
| Όγκος βροχόπτωσης (M3) | 6.5E6 |
| Όγκος απωλειών (M3) | 3.51E6 |
| Ενεργός Όγκος (M3) | 2.99E6 |
| Όγκος άμεσης απορροής (M3) | 2.99E6 |
| Όγκος βασικής απορροής (M3) | 1.89E6 |

Βροχόπτωση και Απορροή



Υπολεκάνη: EL0420FR4052

Έκταση (KM2) : 29.83

Κατάντη : J30

Μέθοδος Απωλειών: SCS

| | |
|--------------------------------|-------|
| Ποσοστό αδιαπέρατης επιφάνειας | 0 |
| Αριθμός Καμπύλης Απορροής-CN | 63.58 |
| Αρχικές Απώλειες | 29.1 |

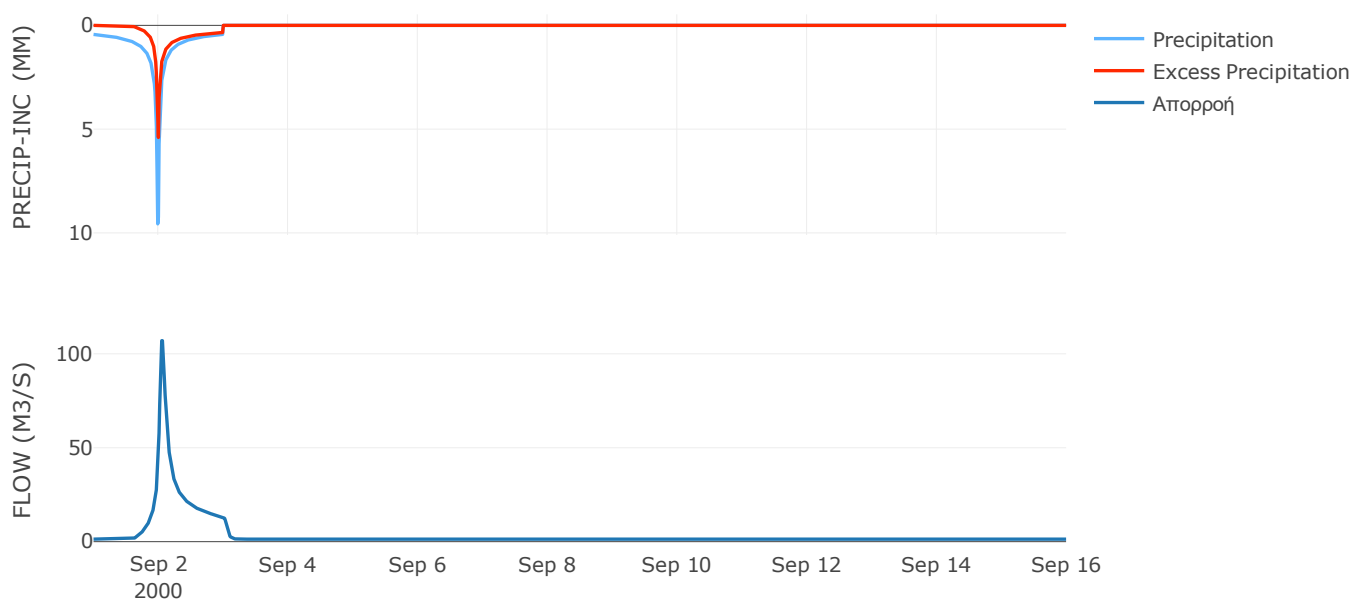
Μέθοδος
Μετασχηματισμού: SCS

| | |
|------------------|-------|
| Χρόνος Υστέρησης | 72.85 |
|------------------|-------|

Αποτελέσματα:
EL0420FR4052

| | |
|-----------------------------|------------------|
| Παροχή αιχμής (M3/S) | 107.01 |
| Χρονική στιγμή αιχμής | 02Sep2000, 01:15 |
| Όγκος (MM) | 154.96 |
| Όγκος βροχόπτωσης (M3) | 6.13E6 |
| Όγκος απωλειών (M3) | 3.25E6 |
| Ενεργός Όγκος (M3) | 2.88E6 |
| Όγκος άμεσης απορροής (M3) | 2.88E6 |
| Όγκος βασικής απορροής (M3) | 1.74E6 |

Βροχόπτωση και Απορροή



Υπολεκάνη: EL0420FR4053

Έκταση (KM2) : 0.54

Κατάντη : J20

Μέθοδος Απωλειών: SCS

| | |
|--------------------------------|-------|
| Ποσοστό αδιαπέρατης επιφάνειας | 0 |
| Αριθμός Καμπύλης Απορροής-CN | 64.4 |
| Αρχικές Απώλειες | 28.08 |

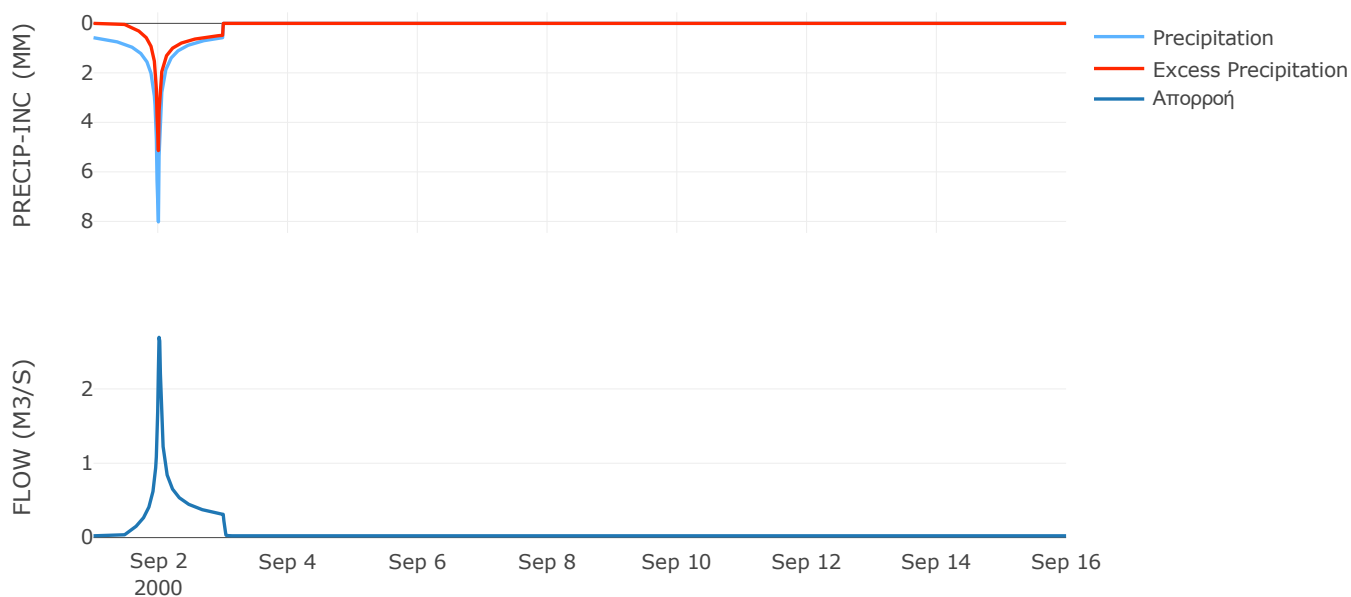
Μέθοδος
Μετασχηματισμού: SCS

| | |
|------------------|-------|
| Χρόνος Υστέρησης | 17.19 |
|------------------|-------|

Αποτελέσματα:
EL0420FR4053

| | |
|-----------------------------|------------------|
| Παροχή αιχμής (M3/S) | 2.69 |
| Χρονική στιγμή αιχμής | 02Sep2000, 00:15 |
| Όγκος (MM) | 179.92 |
| Όγκος βροχόπτωσης (M3) | 1.25E5 |
| Όγκος απωλειών (M3) | 59764.1 |
| Ενεργός Όγκος (M3) | 65241.41 |
| Όγκος άμεσης απορροής (M3) | 65241.41 |
| Όγκος βασικής απορροής (M3) | 31289.33 |

Βροχόπτωση και Απορροή



Υπολεκάνη: EL0420FR4054

Έκταση (KM2) : 4.72

Κατάντη : J2

Μέθοδος Απωλειών: SCS

| | |
|--------------------------------|-------|
| Ποσοστό αδιαπέρατης επιφάνειας | 0 |
| Αριθμός Καμπύλης Απορροής-CN | 63.58 |
| Αρχικές Απώλειες | 29.1 |

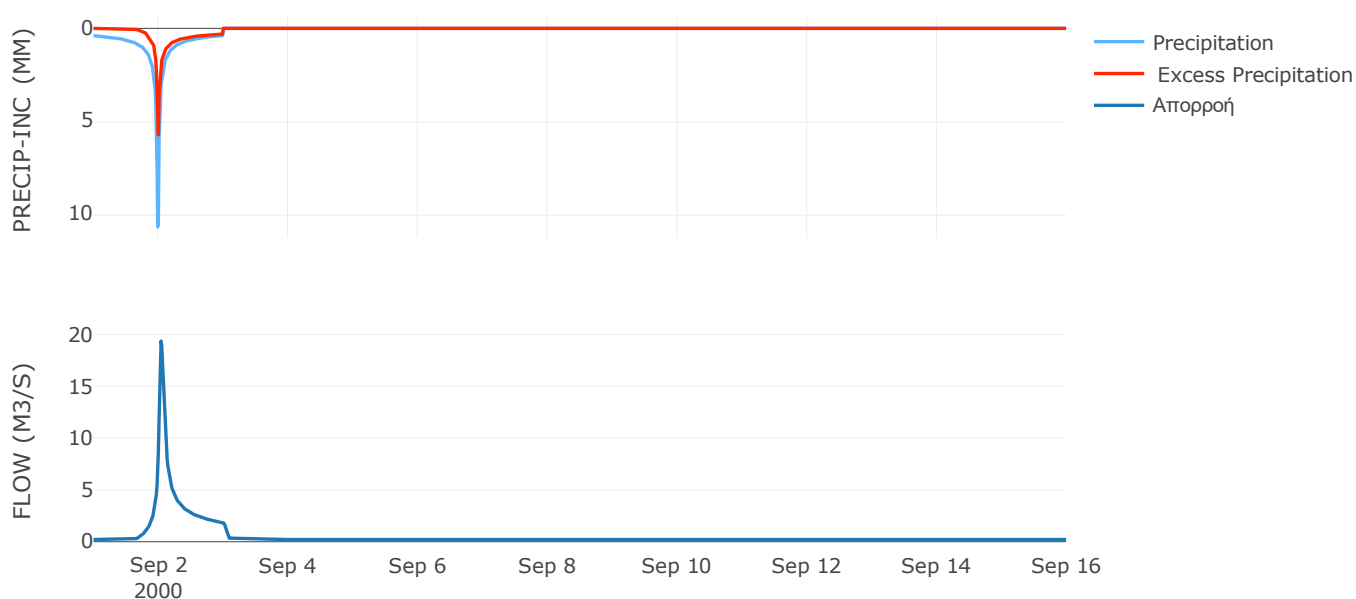
Μέθοδος
Μετασχηματισμού: SCS

| | |
|------------------|-------|
| Χρόνος Υστέρησης | 55.42 |
|------------------|-------|

Αποτελέσματα:
EL0420FR4054

| | |
|-----------------------------|------------------|
| Παροχή αιχμής (M3/S) | 19.37 |
| Χρονική στιγμή αιχμής | 02Sep2000, 01:00 |
| Όγκος (MM) | 148.57 |
| Όγκος βροχόπτωσης (M3) | 9.31E5 |
| Όγκος απωλειών (M3) | 5.05E5 |
| Ενεργός Όγκος (M3) | 4.26E5 |
| Όγκος άμεσης απορροής (M3) | 4.26E5 |
| Όγκος βασικής απορροής (M3) | 2.75E5 |

Βροχόπτωση και Απορροή



Υπολεκάνη: EL0420FR4055

Έκταση (KM2) : 10.12

Κατάντη : Diversion - 1

Μέθοδος Απωλειών: SCS

| | |
|--------------------------------|-------|
| Ποσοστό αδιαπέρατης επιφάνειας | 4.1 |
| Αριθμός Καμπύλης Απορροής-CN | 52.69 |
| Αρχικές Απώλειες | 45.61 |

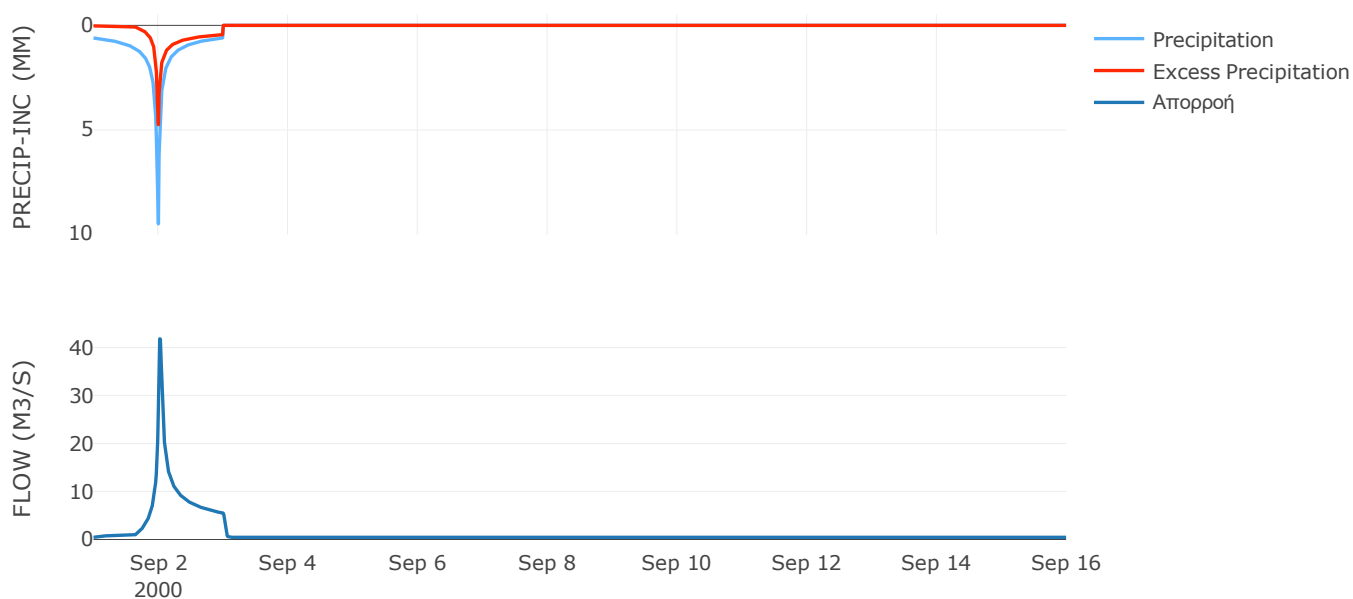
Μέθοδος
Μετασχηματισμού: SCS

| | |
|------------------|-------|
| Χρόνος Υστέρησης | 31.52 |
|------------------|-------|

Αποτελέσματα:
EL0420FR4055

| | |
|-----------------------------|------------------|
| Παροχή αιχμής (M3/S) | 41.81 |
| Χρονική στιγμή αιχμής | 02Sep2000, 00:30 |
| Όγκος (MM) | 164.05 |
| Όγκος βροχόπτωσης (M3) | 2.57E6 |
| Όγκος απωλειών (M3) | 1.5E6 |
| Ενεργός Όγκος (M3) | 1.07E6 |
| Όγκος άμεσης απορροής (M3) | 1.07E6 |
| Όγκος βασικής απορροής (M3) | 5.9E5 |

Βροχόπτωση και Απορροή



Υπολεκάνη: EL0420FR4056

Έκταση (KM2) : 13.8

Κατάντη : J5

Μέθοδος Απωλειών: SCS

| | |
|--------------------------------|-------|
| Ποσοστό αδιαπέρατης επιφάνειας | 0 |
| Αριθμός Καμπύλης Απορροής-CN | 63.43 |
| Αρχικές Απώλειες | 29.29 |

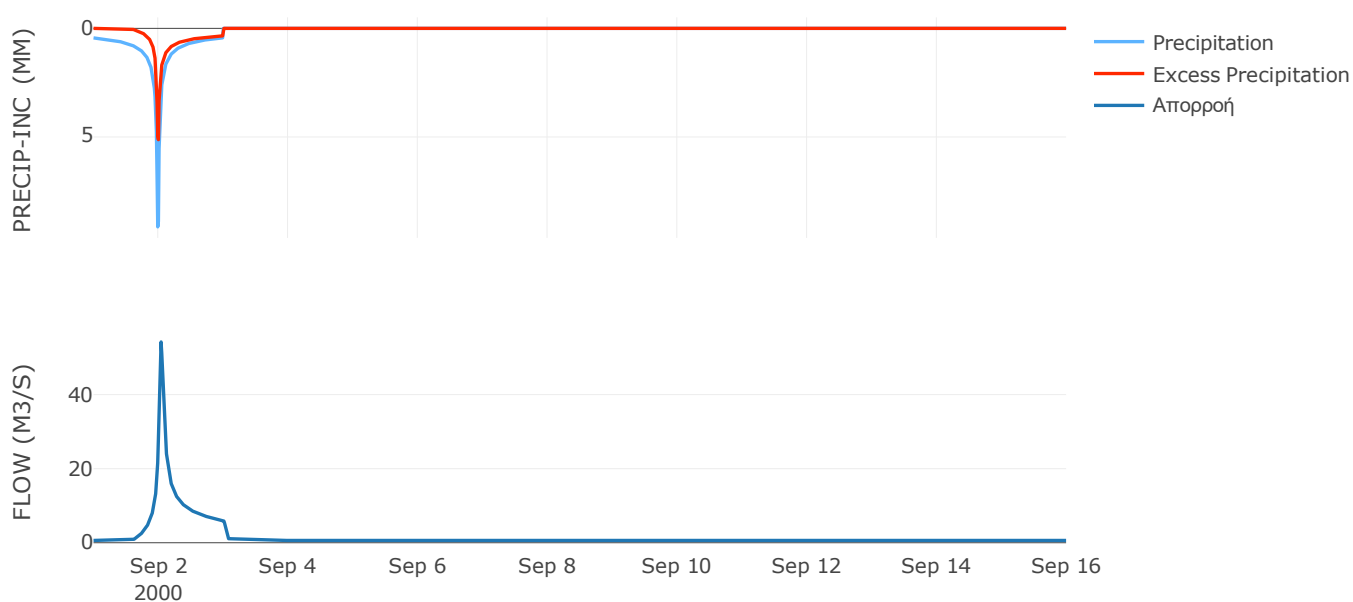
Μέθοδος
Μετασχηματισμού: SCS

| | |
|------------------|-------|
| Χρόνος Υστέρησης | 49.87 |
|------------------|-------|

Αποτελέσματα:
EL0420FR4056

| | |
|-----------------------------|------------------|
| Παροχή αιχμής (M3/S) | 54.22 |
| Χρονική στιγμή αιχμής | 02Sep2000, 01:00 |
| Όγκος (MM) | 152.72 |
| Όγκος βροχόπτωσης (M3) | 2.8E6 |
| Όγκος απωλειών (M3) | 1.5E6 |
| Ενεργός Όγκος (M3) | 1.3E6 |
| Όγκος άμεσης απορροής (M3) | 1.3E6 |
| Όγκος βασικής απορροής (M3) | 8.05E5 |

Βροχόπτωση και Απορροή



3.2 Δεδομένα και Υδρογραφήματα Σχεδιασμού Κλάδων Υδρογραφικού Δικτύου

Κλάδος: R21

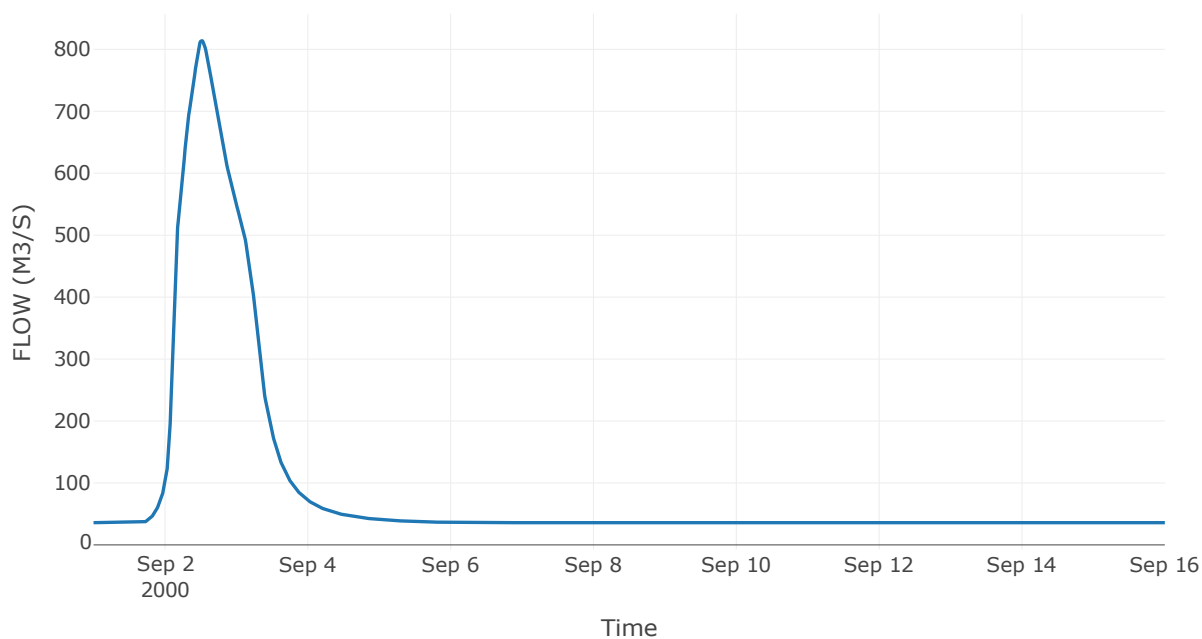
Κατάντη : J1

| | |
|----------------------|-----------------|
| Μέθοδος Διόδευσης | Muskingum |
| Αρχική Μεταβλητή | Combined Inflow |
| Χρόνος Ροής K | 1.74 |
| Συντελεστής βάρους x | 0.2 |
| Πλήθος Υποκλάδων | 7 |

Αποτελέσματα: R21

| | |
|------------------------------|------------------|
| Παροχή Αιχμής(M3/S) | 814.12 |
| Χρονική στιγμή αιχμής | 02Sep2000, 12:15 |
| Όγκος(MM) | 108.57 |
| Παροχή Αιχμής Εισόδου (M3/S) | 816.9 |
| Όγκος Εισροής(M3) | 1.16E8 |

Απορροή



Κλάδος: R32

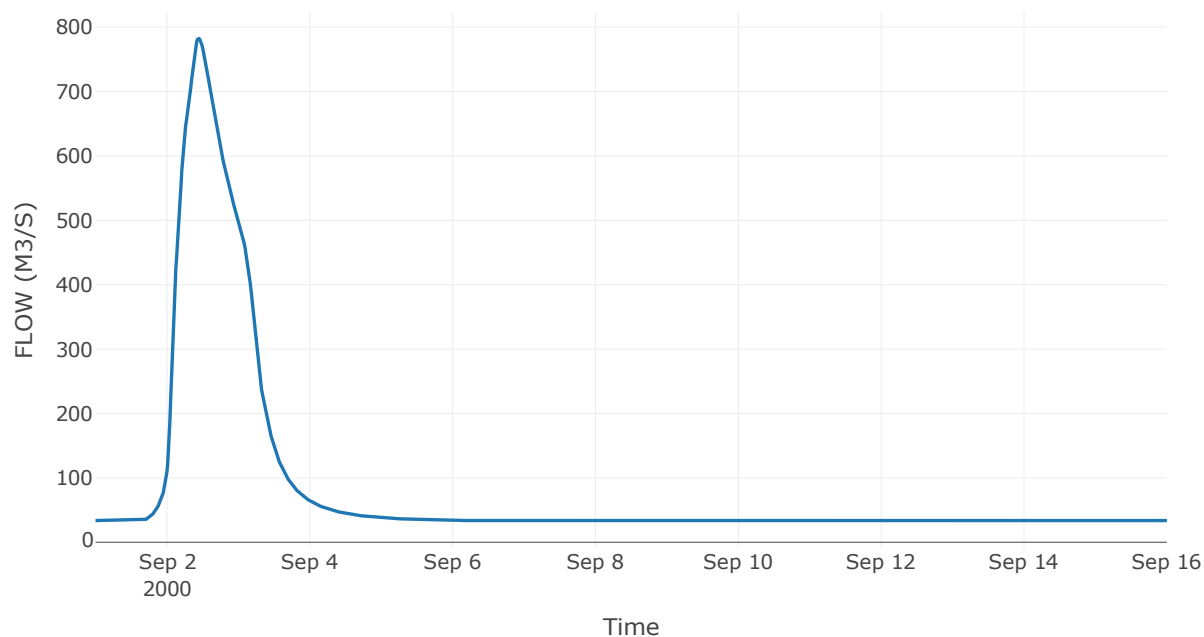
Κατάντη : J2

| | |
|----------------------|-----------------|
| Μέθοδος Διόδευσης | Muskingum |
| Αρχική Μεταβλητή | Combined Inflow |
| Χρόνος Ροής K | 0.42 |
| Συντελεστής βάρους x | 0.2 |
| Πλήθος Υποκλάδων | 2 |

Αποτελέσματα: R32

| | |
|------------------------------|------------------|
| Παροχή Αιχμής(M3/S) | 782.47 |
| Χρονική στιγμή αιχμής | 02Sep2000, 10:45 |
| Όγκος(MM) | 106.43 |
| Παροχή Αιχμής Εισόδου (M3/S) | 783.12 |
| Όγκος Εισροής(M3) | 1.09E8 |

Απορροή



Κλάδος: R43

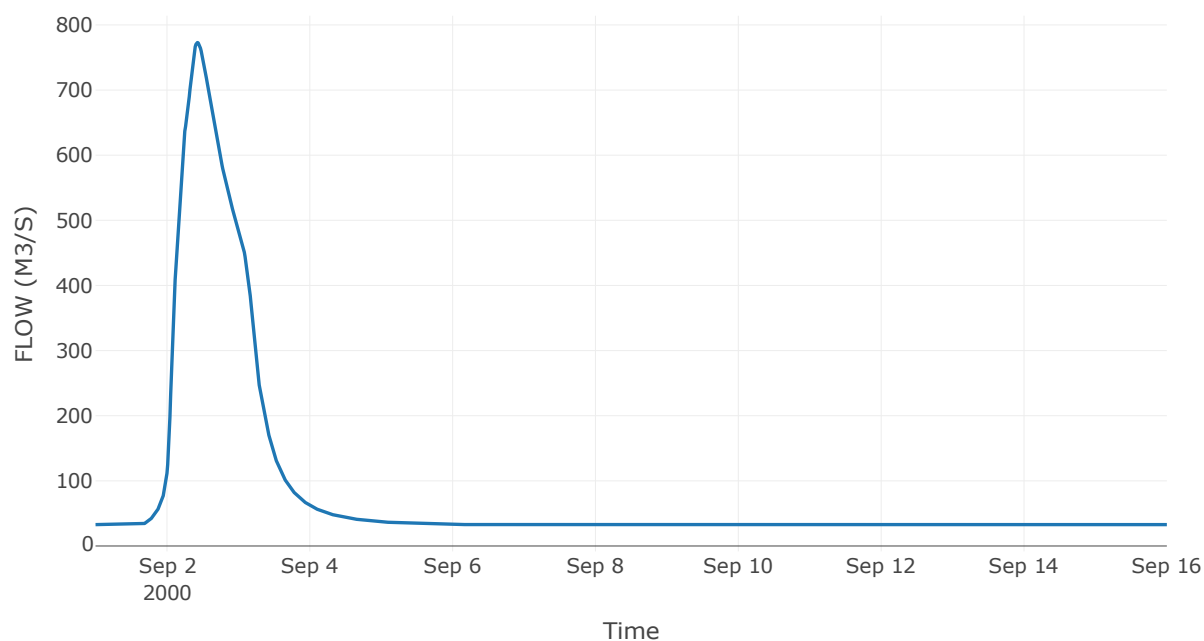
Κατάντη : J3

| | |
|----------------------|-----------------|
| Μέθοδος Διόδευσης | Muskingum |
| Αρχική Μεταβλητή | Combined Inflow |
| Χρόνος Ροής K | 0.52 |
| Συντελεστής βάρους x | 0.2 |
| Πλήθος Υποκλάδων | 2 |

Αποτελέσματα: R43

| | |
|------------------------------|------------------|
| Παροχή Αιχμής(M3/S) | 772.96 |
| Χρονική στιγμή αιχμής | 02Sep2000, 10:15 |
| Όγκος(MM) | 106.09 |
| Παροχή Αιχμής Εισόδου (M3/S) | 773.82 |
| Όγκος Εισροής(M3) | 1.06E8 |

Απορροή



Κλάδος: R54

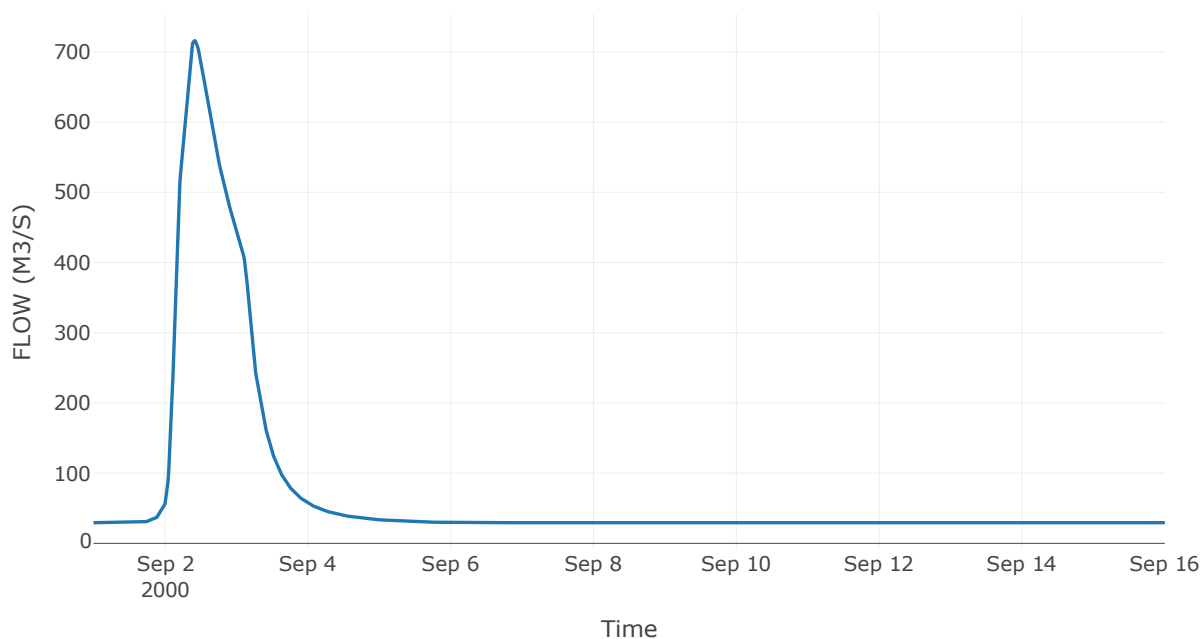
Κατάντη : J4

| | |
|----------------------|-----------------|
| Μέθοδος Διόδευσης | Muskingum |
| Αρχική Μεταβλητή | Combined Inflow |
| Χρόνος Ροής K | 1.24 |
| Συντελεστής βάρους x | 0.2 |
| Πλήθος Υποκλάδων | 5 |

Αποτελέσματα: R54

| | |
|------------------------------|------------------|
| Παροχή Αιχμής(M3/S) | 716.06 |
| Χρονική στιγμή αιχμής | 02Sep2000, 10:00 |
| Όγκος(MM) | 102.42 |
| Παροχή Αιχμής Εισόδου (M3/S) | 717.91 |
| Όγκος Εισροής(M3) | 9.5E7 |

Απορροή



Κλάδος: R65

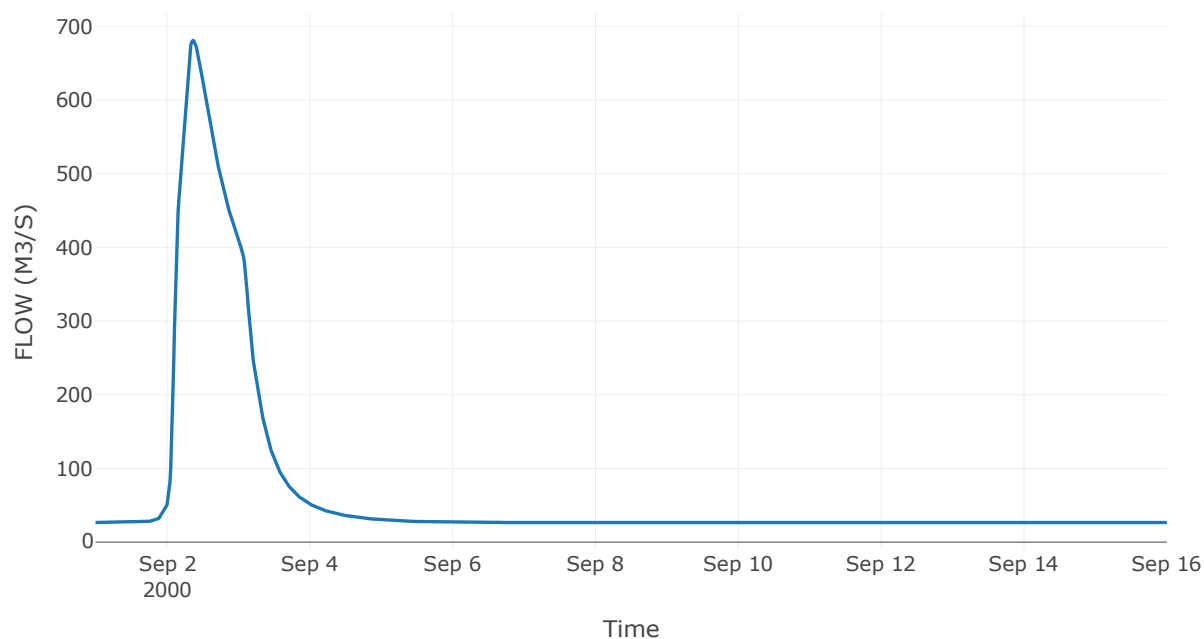
Κατάντη : J5

| | |
|----------------------|-----------------|
| Μέθοδος Διόδευσης | Muskingum |
| Αρχική Μεταβλητή | Combined Inflow |
| Χρόνος Ροής K | 0.96 |
| Συντελεστής βάρους x | 0.2 |
| Πλήθος Υποκλάδων | 4 |

Αποτελέσματα: R65

| | |
|------------------------------|------------------|
| Παροχή Αιχμής(M3/S) | 680.72 |
| Χρονική στιγμή αιχμής | 02Sep2000, 08:45 |
| Όγκος(MM) | 101.34 |
| Παροχή Αιχμής Εισόδου (M3/S) | 682.12 |
| Όγκος Εισροής(M3) | 8.77E7 |

Απορροή



Κλάδος: R76

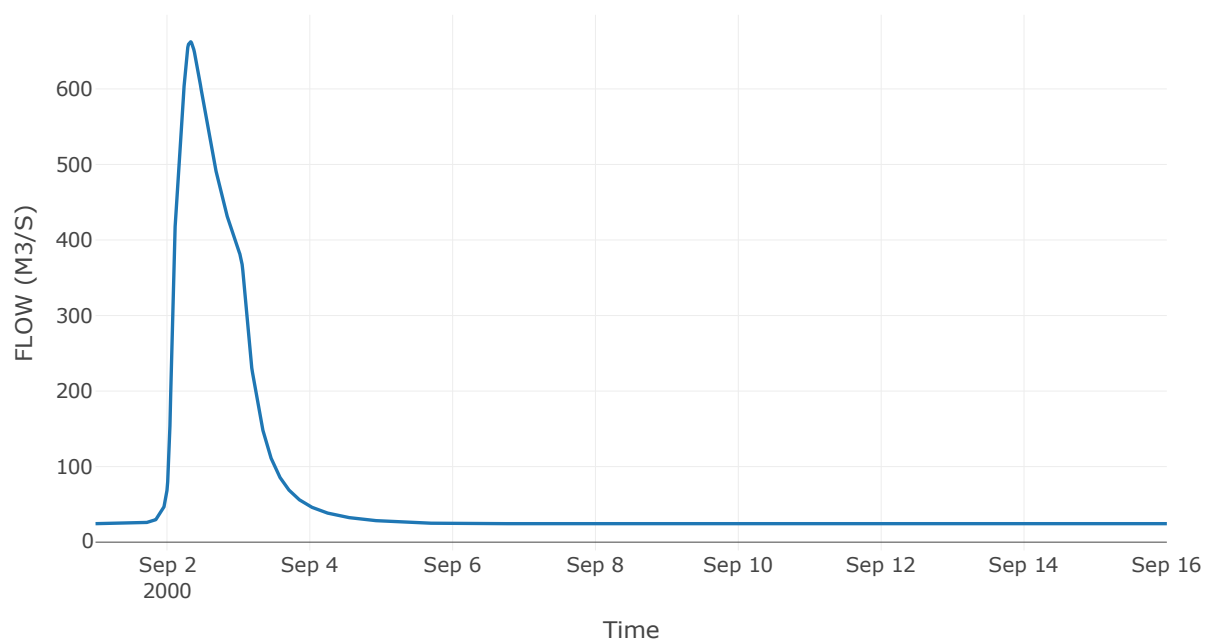
Κατάντη : J6

| | |
|-------------------|------------------|
| Μέθοδος Διόδευσης | Χρόνος Υστέρησης |
| Αρχική Μεταβλητή | Combined Inflow |
| Χρόνος Υστέρησης | 4.38 |

Αποτελέσματα: R76

| | |
|------------------------------|------------------|
| Παροχή Αιχμής(M3/S) | 662.66 |
| Χρονική στιγμή αιχμής | 02Sep2000, 07:45 |
| Όγκος(MM) | 102.03 |
| Παροχή Αιχμής Εισόδου (M3/S) | 662.83 |
| Όγκος Εισροής(M3) | 8.34E7 |

Απορροή



Κλάδος: R87

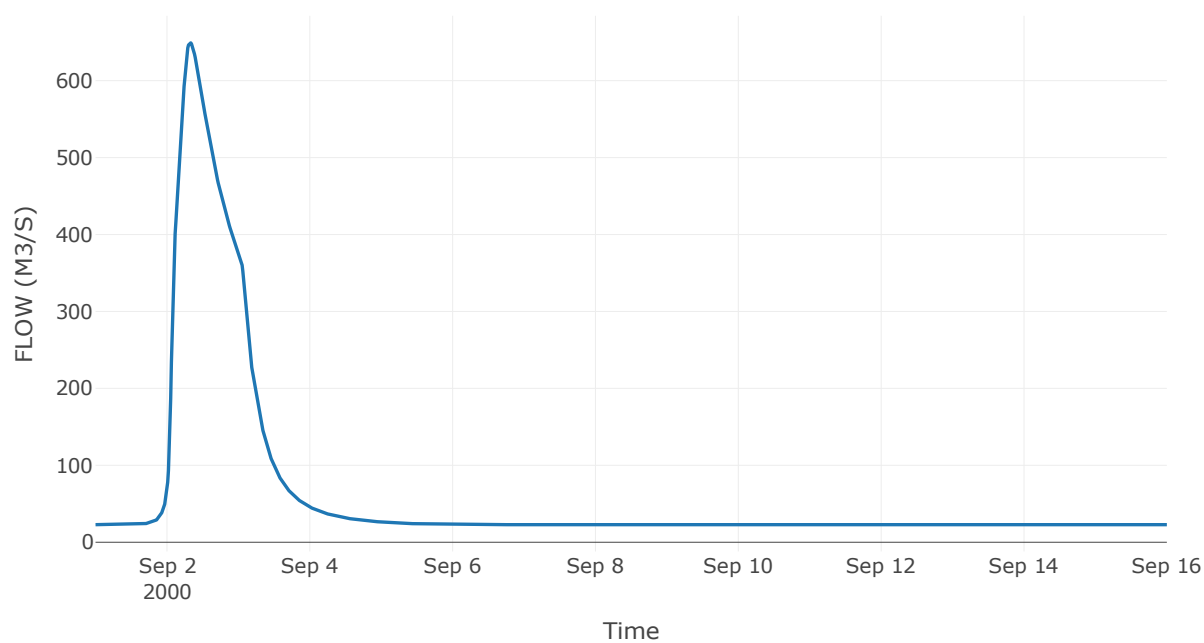
Κατάντη : J7

| | |
|----------------------|-----------------|
| Μέθοδος Διόδευσης | Muskingum |
| Αρχική Μεταβλητή | Combined Inflow |
| Χρόνος Ροής K | 0.6 |
| Συντελεστής βάρους x | 0.2 |
| Πλήθος Υποκλάδων | 2 |

Αποτελέσματα: R87

| | |
|------------------------------|------------------|
| Παροχή Αιχμής(M3/S) | 649.48 |
| Χρονική στιγμή αιχμής | 02Sep2000, 07:45 |
| Όγκος(MM) | 102.76 |
| Παροχή Αιχμής Εισόδου (M3/S) | 650.52 |
| Όγκος Εισροής(M3) | 8.04E7 |

Απορροή



Κλάδος: R98

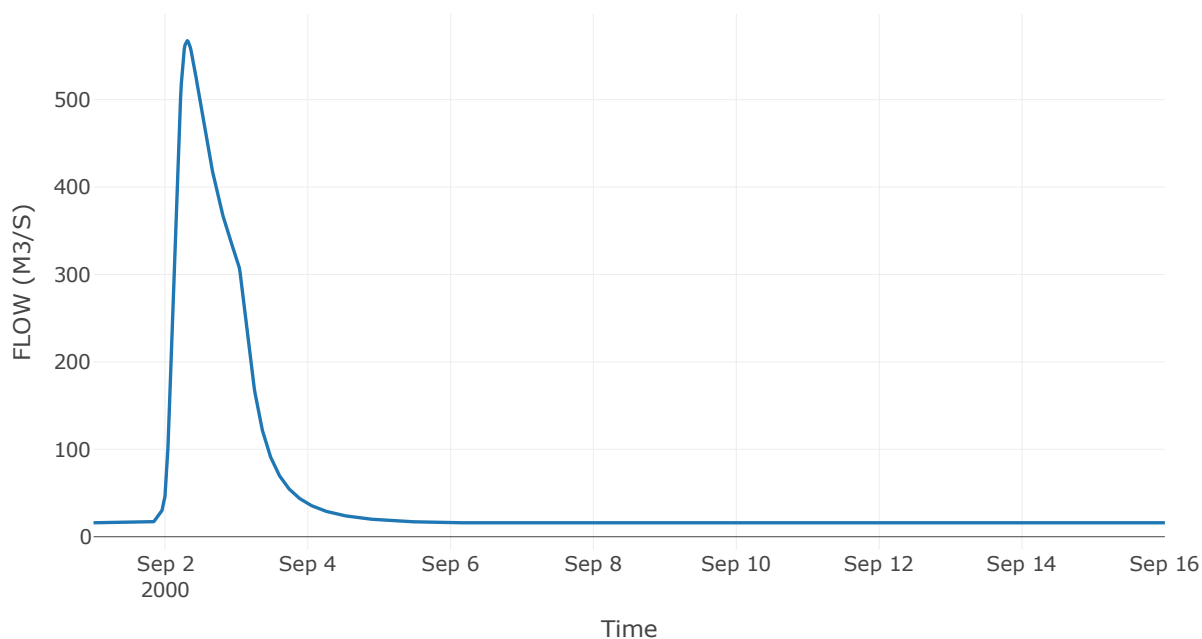
Κατάντη : J8

| | |
|----------------------|-----------------|
| Μέθοδος Διόδευσης | Muskingum |
| Αρχική Μεταβλητή | Combined Inflow |
| Χρόνος Ροής K | 0.31 |
| Συντελεστής βάρους x | 0.2 |
| Πλήθος Υποκλάδων | 1 |

Αποτελέσματα: R98

| | |
|------------------------------|------------------|
| Παροχή Αιχμής(M3/S) | 567.46 |
| Χρονική στιγμή αιχμής | 02Sep2000, 07:30 |
| Όγκος(MM) | 102.63 |
| Παροχή Αιχμής Εισόδου (M3/S) | 567.92 |
| Όγκος Εισροής(M3) | 6.46E7 |

Απορροή



Κλάδος: R109

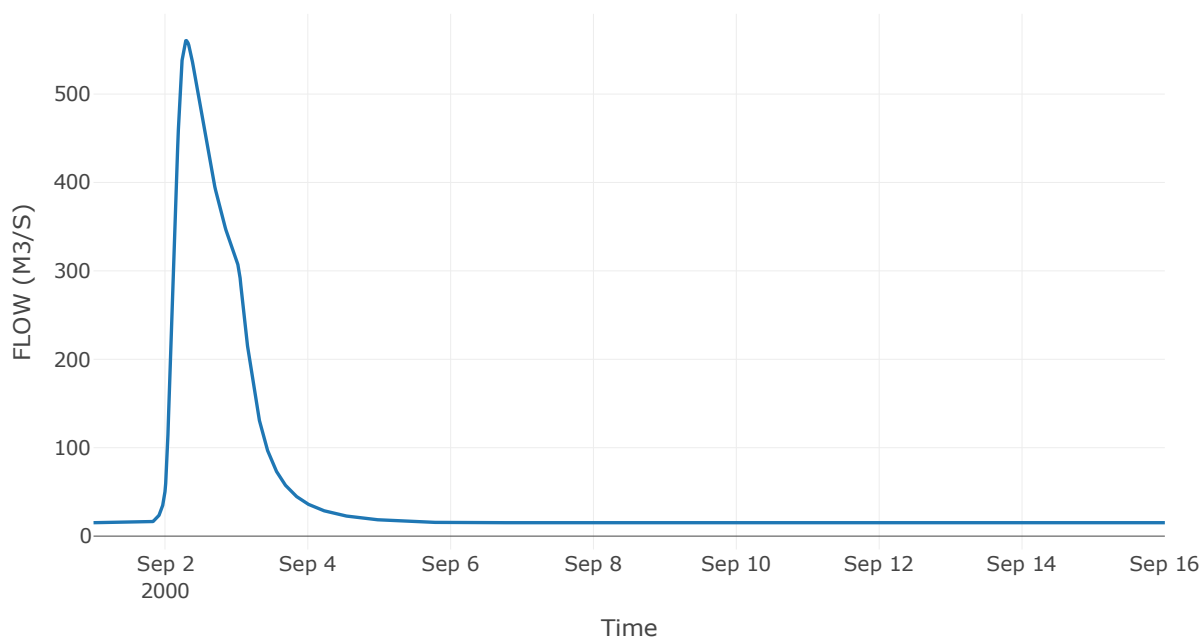
Κατάντη : J9

| | |
|----------------------|-----------------|
| Μέθοδος Διόδευσης | Muskingum |
| Αρχική Μεταβλητή | Combined Inflow |
| Χρόνος Ροής K | 0.25 |
| Συντελεστής βάρους x | 0.2 |
| Πλήθος Υποκλάδων | 1 |

Αποτελέσματα: R109

| | |
|------------------------------|------------------|
| Παροχή Αιχμής(M3/S) | 560.43 |
| Χρονική στιγμή αιχμής | 02Sep2000, 07:15 |
| Όγκος(MM) | 102.97 |
| Παροχή Αιχμής Εισόδου (M3/S) | 560.74 |
| Όγκος Εισροής(M3) | 6.3E7 |

Απορροή



Κλάδος: R1110

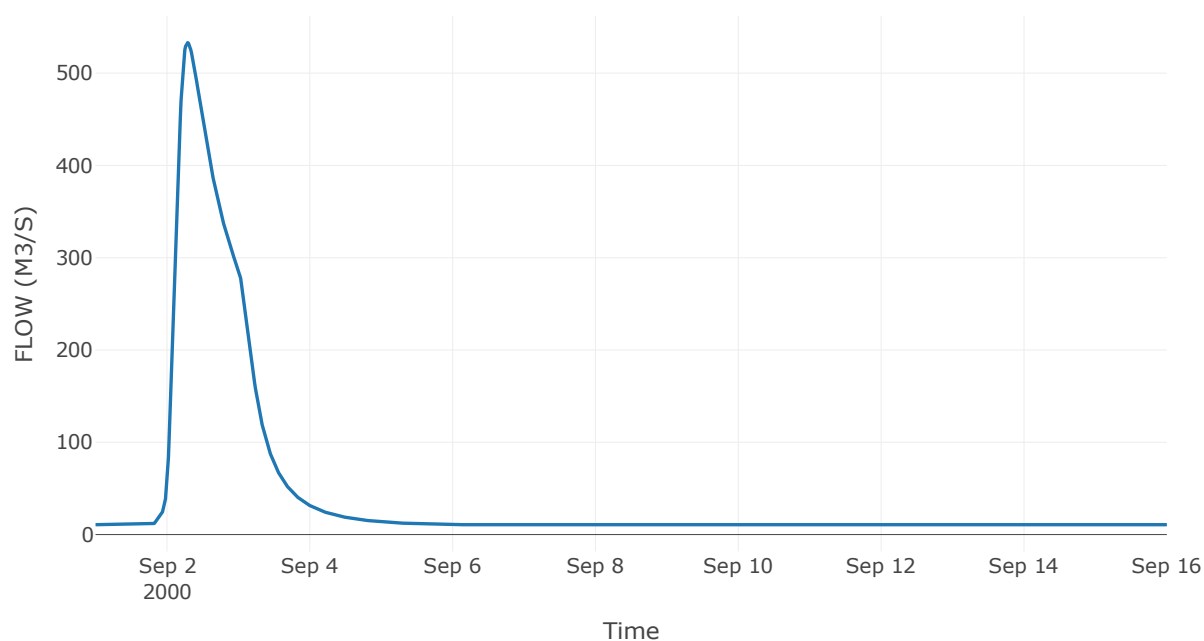
Κατάντη : J10

| | |
|----------------------|-----------------|
| Μέθοδος Διόδευσης | Muskingum |
| Αρχική Μεταβλητή | Combined Inflow |
| Χρόνος Ροής K | 0.21 |
| Συντελεστής βάρους x | 0.2 |
| Πλήθος Υποκλάδων | 1 |

Αποτελέσματα: R1110

| | |
|------------------------------|------------------|
| Παροχή Αιχμής(M3/S) | 533.1 |
| Χρονική στιγμή αιχμής | 02Sep2000, 07:00 |
| Όγκος(MM) | 108.1 |
| Παροχή Αιχμής Εισόδου (M3/S) | 533.37 |
| Όγκος Εισροής(M3) | 5.54E7 |

Απορροή



Κλάδος: R1211

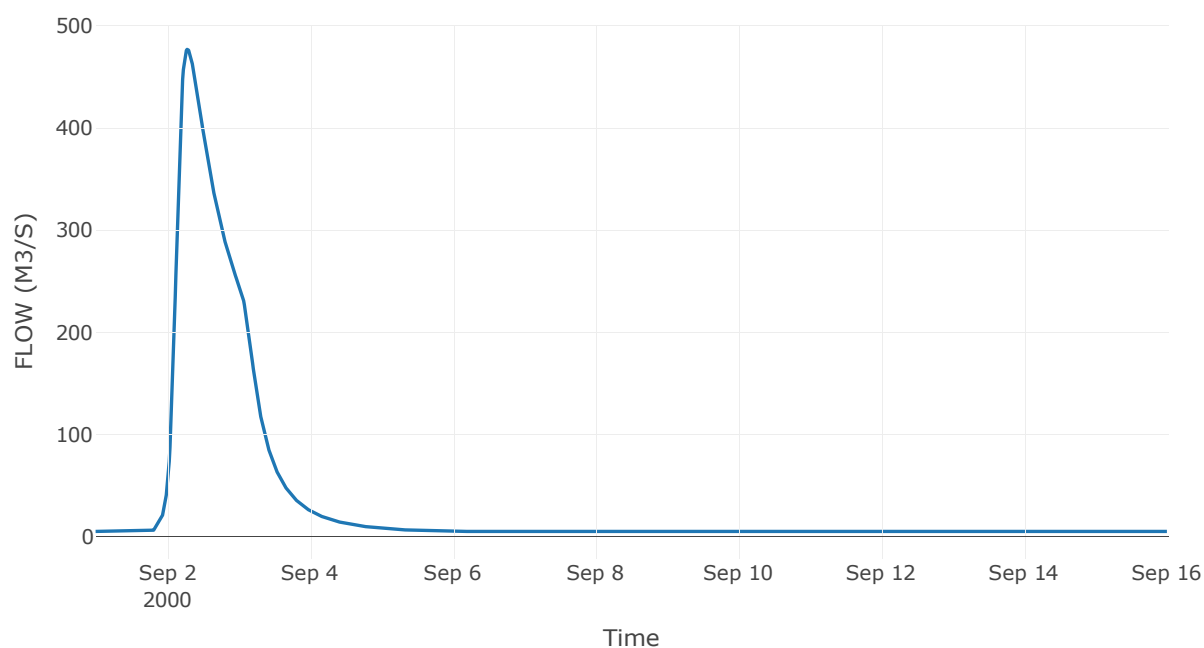
Κατάντη : J11

| | |
|----------------------|-----------------|
| Μέθοδος Διόδευσης | Muskingum |
| Αρχική Μεταβλητή | Combined Inflow |
| Χρόνος Ροής K | 1.19 |
| Συντελεστής βάρους x | 0.2 |
| Πλήθος Υποκλάδων | 5 |

Αποτελέσματα: R1211

| | |
|------------------------------|------------------|
| Παροχή Αιχμής(M3/S) | 476.43 |
| Χρονική στιγμή αιχμής | 02Sep2000, 07:00 |
| Όγκος(MM) | 113.31 |
| Παροχή Αιχμής Εισόδου (M3/S) | 477.79 |
| Όγκος Εισροής(M3) | 4.41E7 |

Απορροή



Κλάδος: R1312

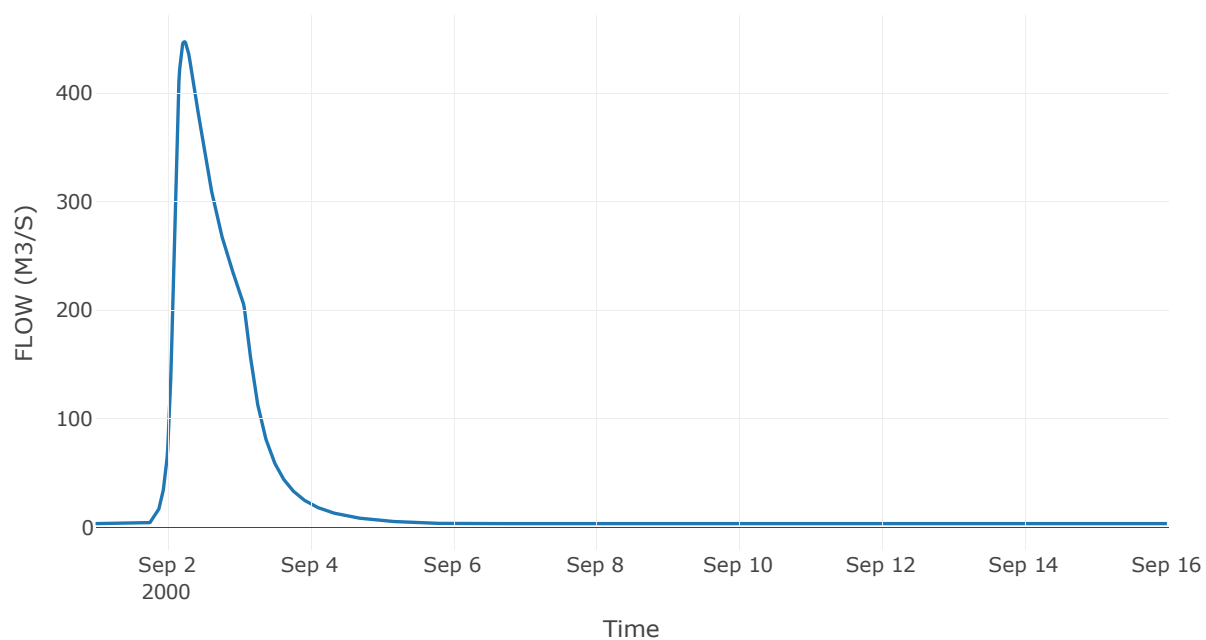
Κατάντη : J12

| | |
|-------------------|------------------|
| Μέθοδος Διόδευσης | Χρόνος Υστέρησης |
| Αρχική Μεταβλητή | Combined Inflow |
| Χρόνος Υστέρησης | 4.81 |

Αποτελέσματα: R1312

| | |
|------------------------------|------------------|
| Παροχή Αιχμής(M3/S) | 447.29 |
| Χρονική στιγμή αιχμής | 02Sep2000, 05:45 |
| Όγκος(MM) | 112.34 |
| Παροχή Αιχμής Εισόδου (M3/S) | 447.4 |
| Όγκος Εισροής(M3) | 3.95E7 |

Απορροή



Κλάδος: R1413

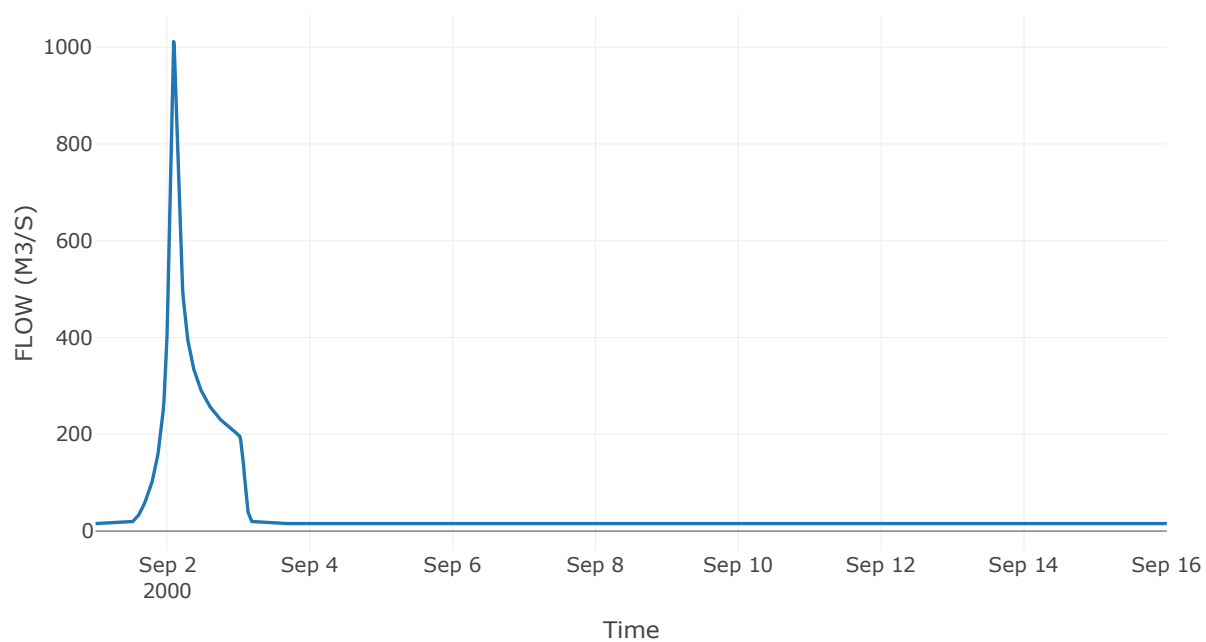
Κατάντη : Diversion - 1

| | |
|-------------------|------------------|
| Μέθοδος Διόδευσης | Χρόνος Υστέρησης |
| Αρχική Μεταβλητή | Combined Inflow |
| Χρόνος Υστέρησης | 5.06 |

Αποτελέσματα: R1413

| | |
|------------------------------|------------------|
| Παροχή Αιχμής(M3/S) | 1011.78 |
| Χρονική στιγμή αιχμής | 02Sep2000, 02:15 |
| Όγκος(MM) | 166.97 |
| Παροχή Αιχμής Εισόδου (M3/S) | 1011.84 |
| Όγκος Εισροής(M3) | 5.71E7 |

Απορροή



Κλάδος: R1514

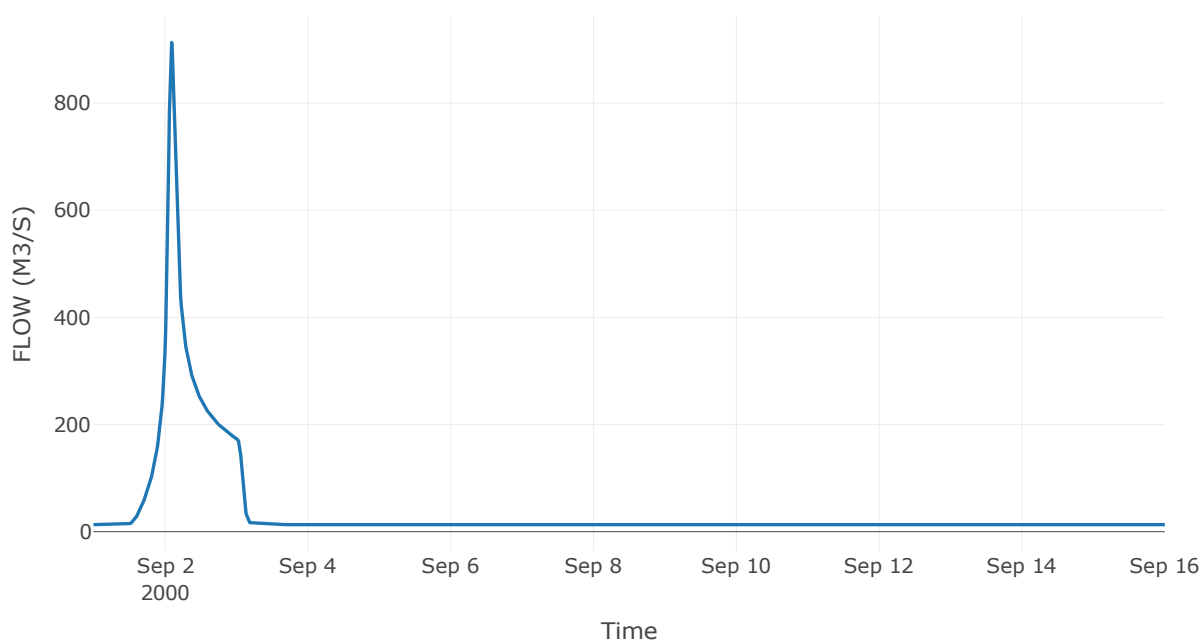
Κατάντη : J14

| | |
|----------------------|-----------------|
| Μέθοδος Διόδευσης | Muskingum |
| Αρχική Μεταβλητή | Combined Inflow |
| Χρόνος Ροής K | 0.4 |
| Συντελεστής βάρους x | 0.2 |
| Πλήθος Υποκλάδων | 2 |

Αποτελέσματα: R1514

| | |
|------------------------------|------------------|
| Παροχή Αιχμής(M3/S) | 912.98 |
| Χρονική στιγμή αιχμής | 02Sep2000, 02:15 |
| Όγκος(MM) | 169.82 |
| Παροχή Αιχμής Εισόδου (M3/S) | 927.56 |
| Όγκος Εισροής(M3) | 4.95E7 |

Απορροή



Κλάδος: R1615

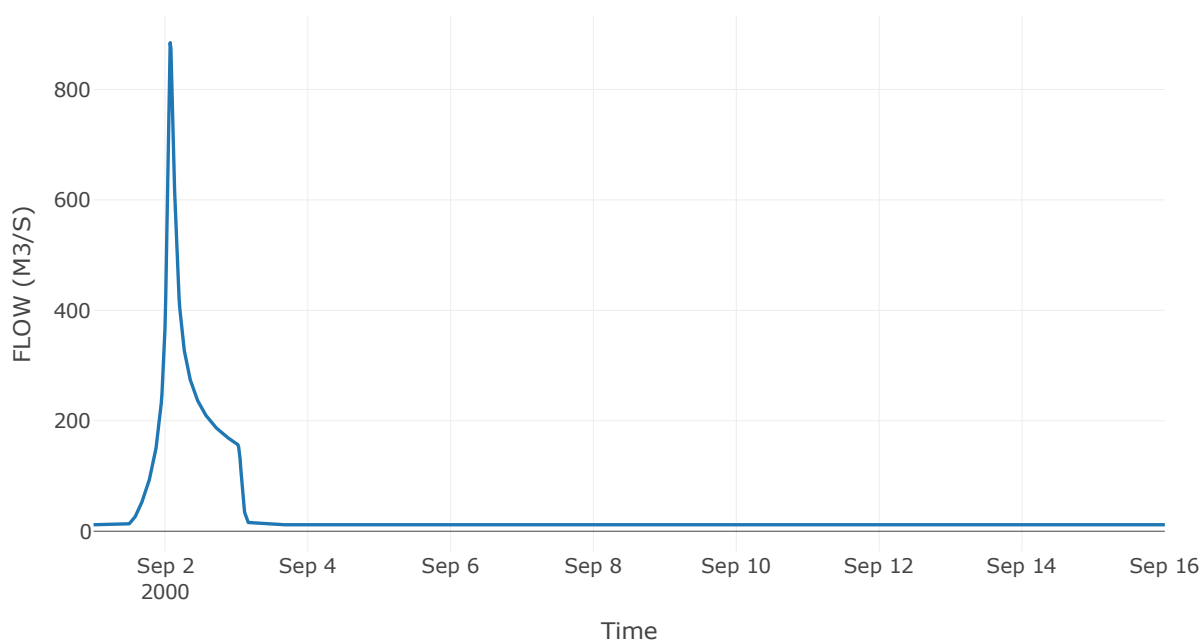
Κατάντη : J15

| | |
|----------------------|-----------------|
| Μέθοδος Διόδευσης | Muskingum |
| Αρχική Μεταβλητή | Combined Inflow |
| Χρόνος Ροής K | 0.35 |
| Συντελεστής βάρους x | 0.2 |
| Πλήθος Υποκλάδων | 1 |

Αποτελέσματα: R1615

| | |
|------------------------------|------------------|
| Παροχή Αιχμής(M3/S) | 884.76 |
| Χρονική στιγμή αιχμής | 02Sep2000, 01:45 |
| Όγκος(MM) | 175.63 |
| Παροχή Αιχμής Εισόδου (M3/S) | 908.48 |
| Όγκος Εισροής(M3) | 4.58E7 |

Απορροή



Κλάδος: R1716

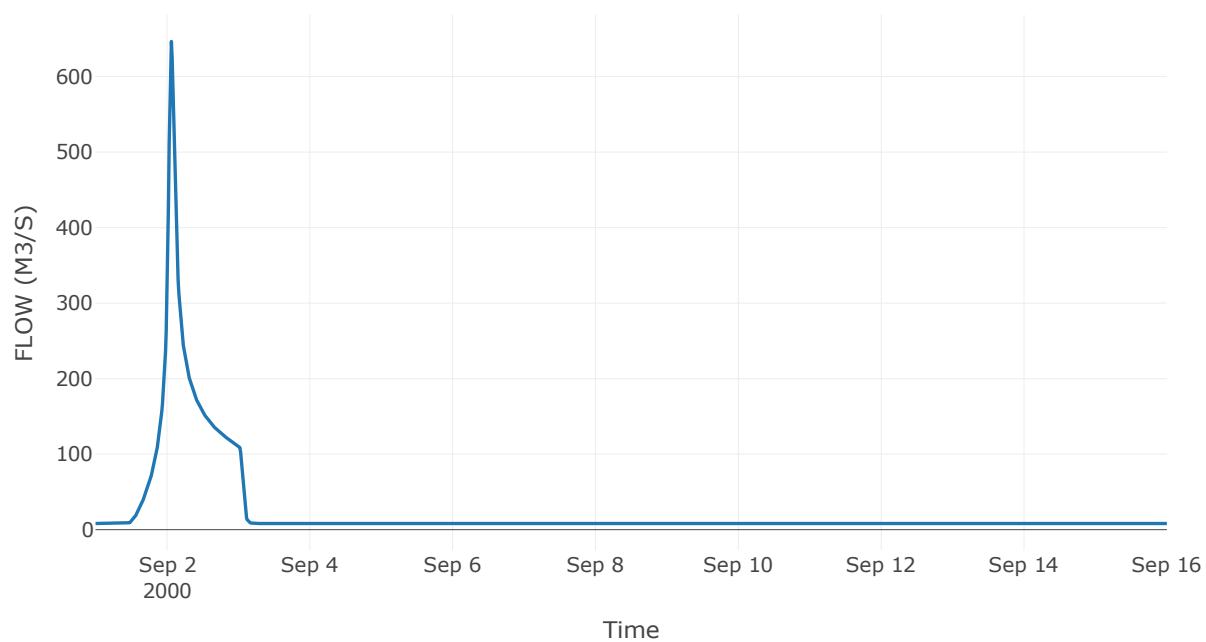
Κατάντη : J16

| | |
|-------------------|------------------|
| Μέθοδος Διόδευσης | Χρόνος Υστέρησης |
| Αρχική Μεταβλητή | Combined Inflow |
| Χρόνος Υστέρησης | 12.31 |

Αποτελέσματα: R1716

| | |
|------------------------------|------------------|
| Παροχή Αιχμής(M3/S) | 646.52 |
| Χρονική στιγμή αιχμής | 02Sep2000, 01:30 |
| Όγκος(MM) | 176.61 |
| Παροχή Αιχμής Εισόδου (M3/S) | 650.21 |
| Όγκος Εισροής(M3) | 3.2E7 |

Απορροή



Κλάδος: R1817

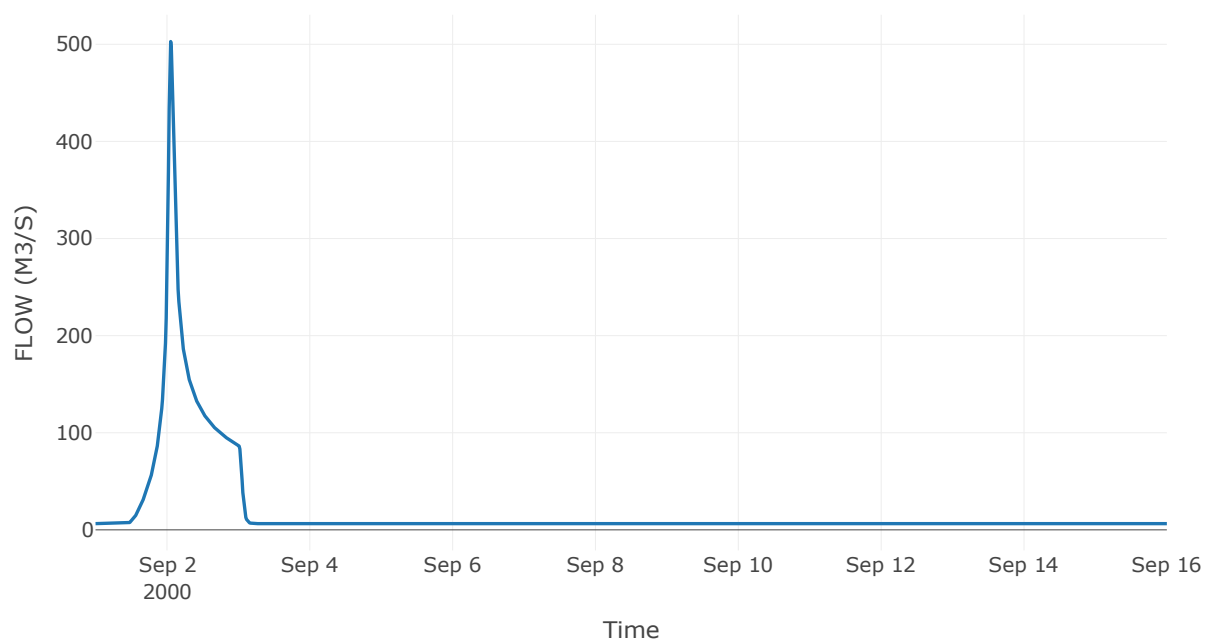
Κατάντη : J17

| | |
|-------------------|------------------|
| Μέθοδος Διόδευσης | Χρόνος Υστέρησης |
| Αρχική Μεταβλητή | Combined Inflow |
| Χρόνος Υστέρησης | 5.08 |

Αποτελέσματα: R1817

| | |
|------------------------------|------------------|
| Παροχή Αιχμής(M3/S) | 502.85 |
| Χρονική στιγμή αιχμής | 02Sep2000, 01:15 |
| Όγκος(MM) | 174.96 |
| Παροχή Αιχμής Εισόδου (M3/S) | 505.9 |
| Όγκος Εισροής(M3) | 2.49E7 |

Απορροή



Κλάδος: R1918

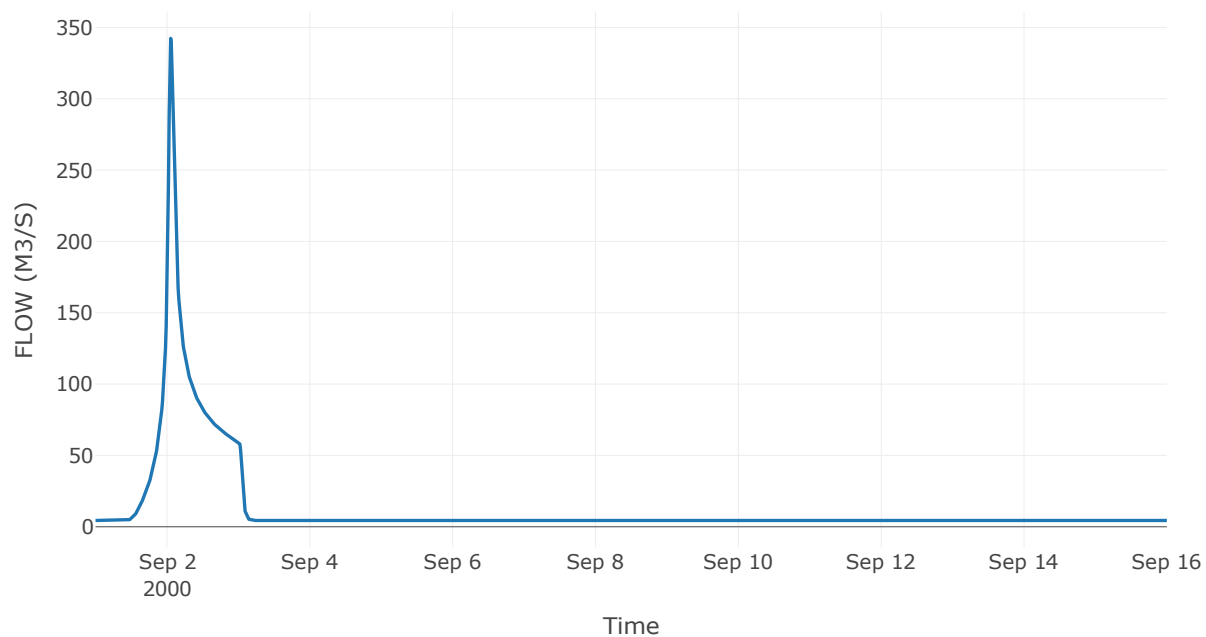
Κατάντη : J18

| | |
|-------------------|------------------|
| Μέθοδος Διόδευσης | Χρόνος Υστέρησης |
| Αρχική Μεταβλητή | Combined Inflow |
| Χρόνος Υστέρησης | 21.25 |

Αποτελέσματα: R1918

| | |
|------------------------------|------------------|
| Παροχή Αιχμής(M3/S) | 342.31 |
| Χρονική στιγμή αιχμής | 02Sep2000, 01:15 |
| Όγκος(MM) | 172.45 |
| Παροχή Αιχμής Εισόδου (M3/S) | 344.65 |
| Όγκος Εισροής(M3) | 1.69E7 |

Απορροή



Κλάδος: R2019

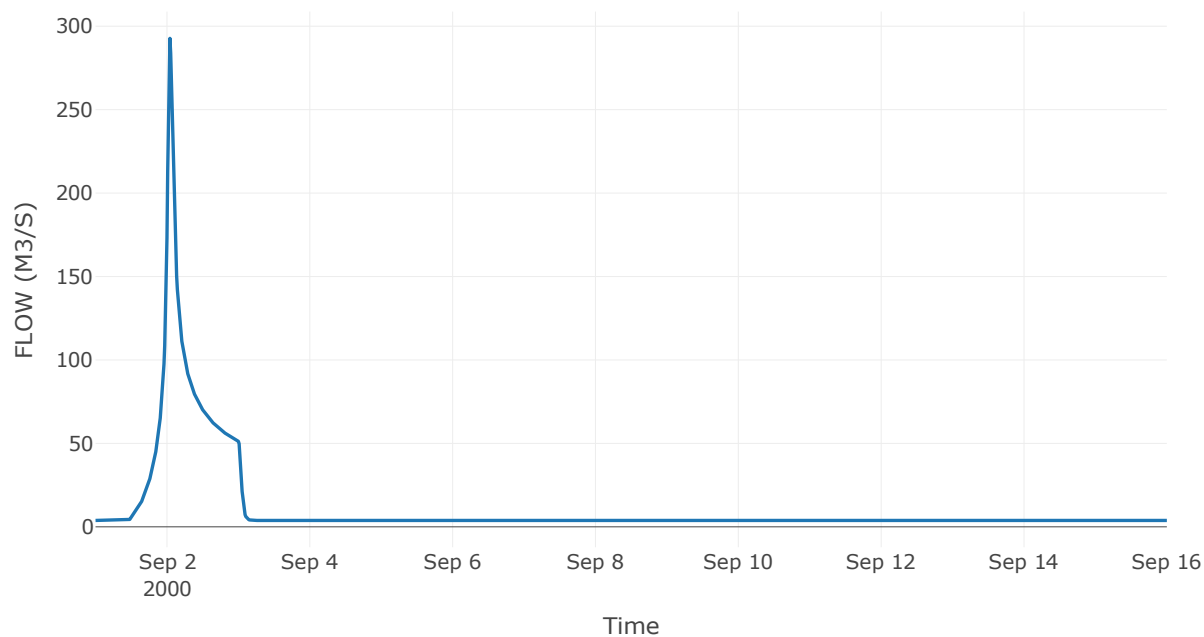
Κατάντη : J19

| | |
|-------------------|------------------|
| Μέθοδος Διόδευσης | Χρόνος Υστέρησης |
| Αρχική Μεταβλητή | Combined Inflow |
| Χρόνος Υστέρησης | 1.94 |

Αποτελέσματα: R2019

| | |
|------------------------------|------------------|
| Παροχή Αιχμής(M3/S) | 292.73 |
| Χρονική στιγμή αιχμής | 02Sep2000, 01:00 |
| Όγκος(MM) | 170.93 |
| Παροχή Αιχμής Εισόδου (M3/S) | 293.23 |
| Όγκος Εισροής(M3) | 1.45E7 |

Απορροή



Κλάδος: R2120

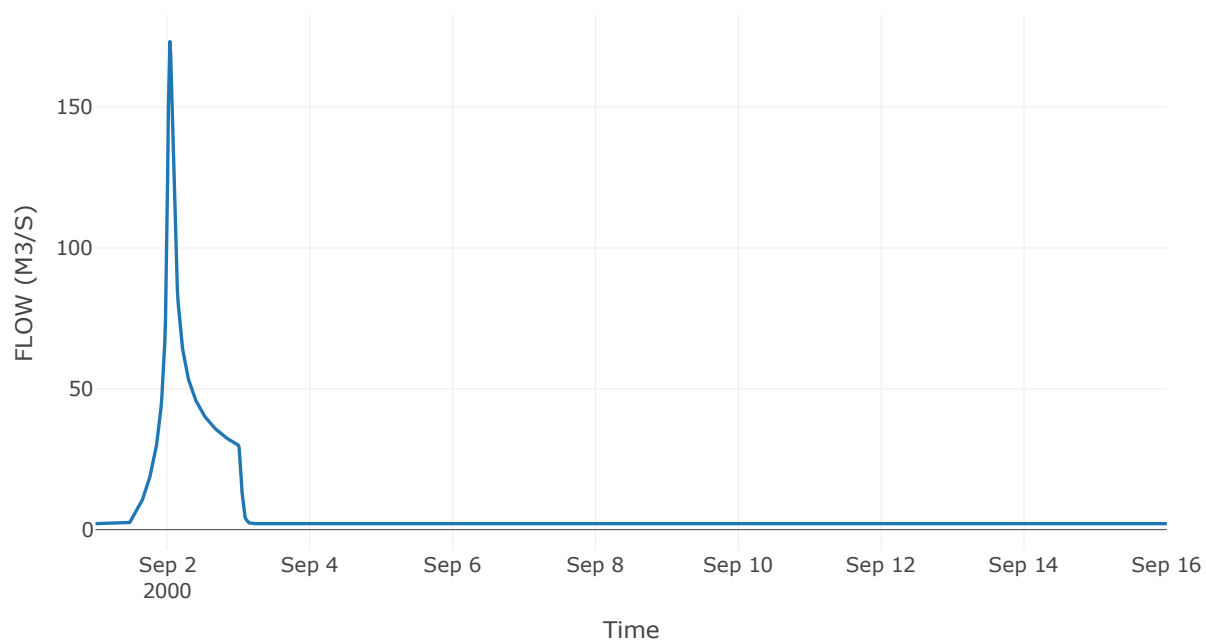
Κατάντη : J20

| | |
|-------------------|------------------|
| Μέθοδος Διόδευσης | Χρόνος Υστέρησης |
| Αρχική Μεταβλητή | Combined Inflow |
| Χρόνος Υστέρησης | 1.93 |

Αποτελέσματα: R2120

| | |
|------------------------------|------------------|
| Παροχή Αιχμής(M3/S) | 173.28 |
| Χρονική στιγμή αιχμής | 02Sep2000, 01:00 |
| Όγκος(MM) | 179.14 |
| Παροχή Αιχμής Εισόδου (M3/S) | 173.59 |
| Όγκος Εισροής(M3) | 8.5E6 |

Απορροή



Κλάδος: R2220

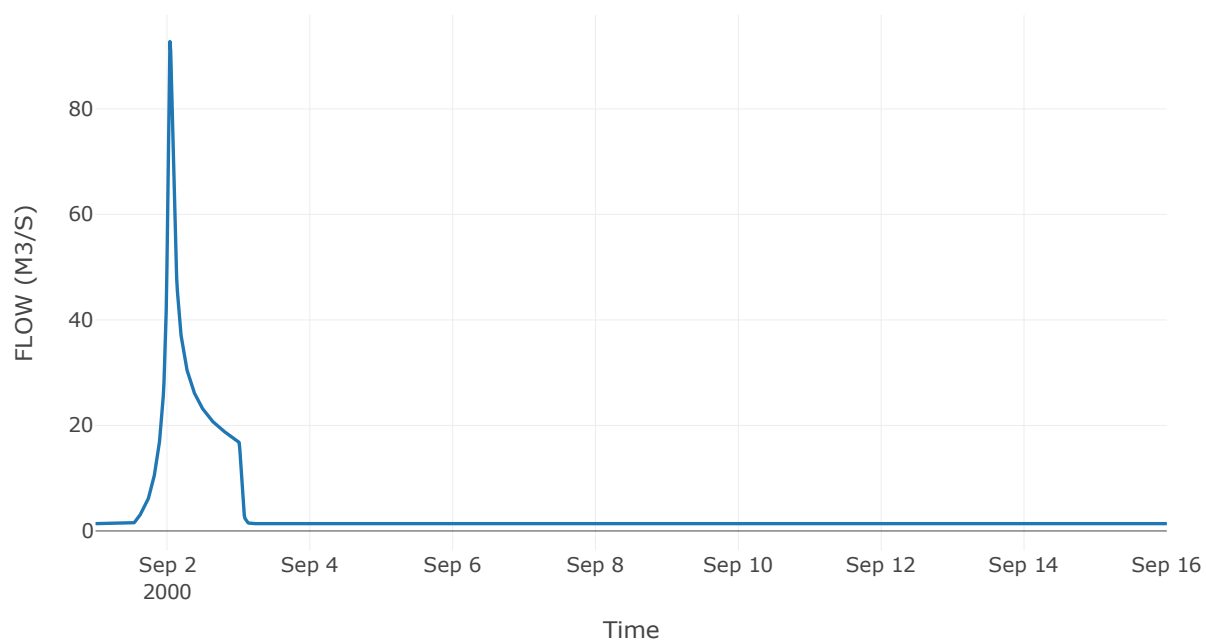
Κατάντη : J20

| | |
|-------------------|------------------|
| Μέθοδος Διόδευσης | Χρόνος Υστέρησης |
| Αρχική Μεταβλητή | Combined Inflow |
| Χρόνος Υστέρησης | 8.09 |

Αποτελέσματα: R2220

| | |
|------------------------------|------------------|
| Παροχή Αιχμής(M3/S) | 92.76 |
| Χρονική στιγμή αιχμής | 02Sep2000, 01:00 |
| Όγκος(MM) | 155.45 |
| Παροχή Αιχμής Εισόδου (M3/S) | 93.18 |
| Όγκος Εισροής(M3) | 4.78E6 |

Απορροή



Κλάδος: R2314

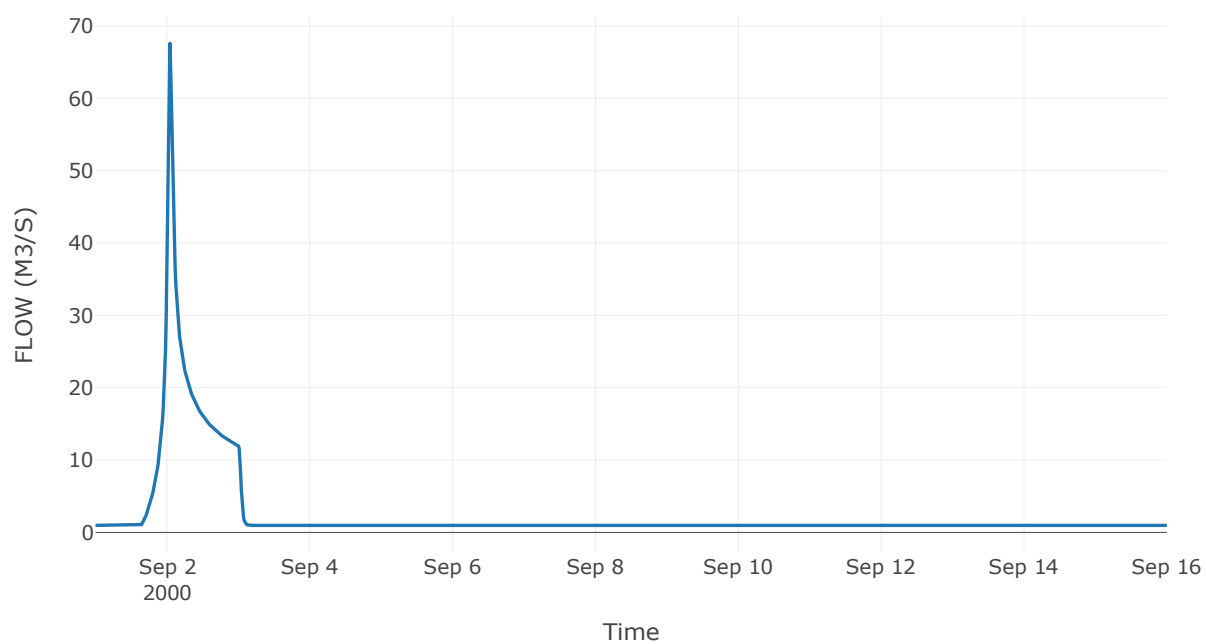
Κατάντη : J14

| | |
|-------------------|------------------|
| Μέθοδος Διόδευσης | Χρόνος Υστέρησης |
| Αρχική Μεταβλητή | Combined Inflow |
| Χρόνος Υστέρησης | 7.07 |

Αποτελέσματα: R2314

| | |
|------------------------------|------------------|
| Παροχή Αιχμής(M3/S) | 67.59 |
| Χρονική στιγμή αιχμής | 02Sep2000, 01:00 |
| Όγκος(MM) | 153 |
| Παροχή Αιχμής Εισόδου (M3/S) | 68.41 |
| Όγκος Εισροής(M3) | 3.29E6 |

Απορροή



Κλάδος: R2411

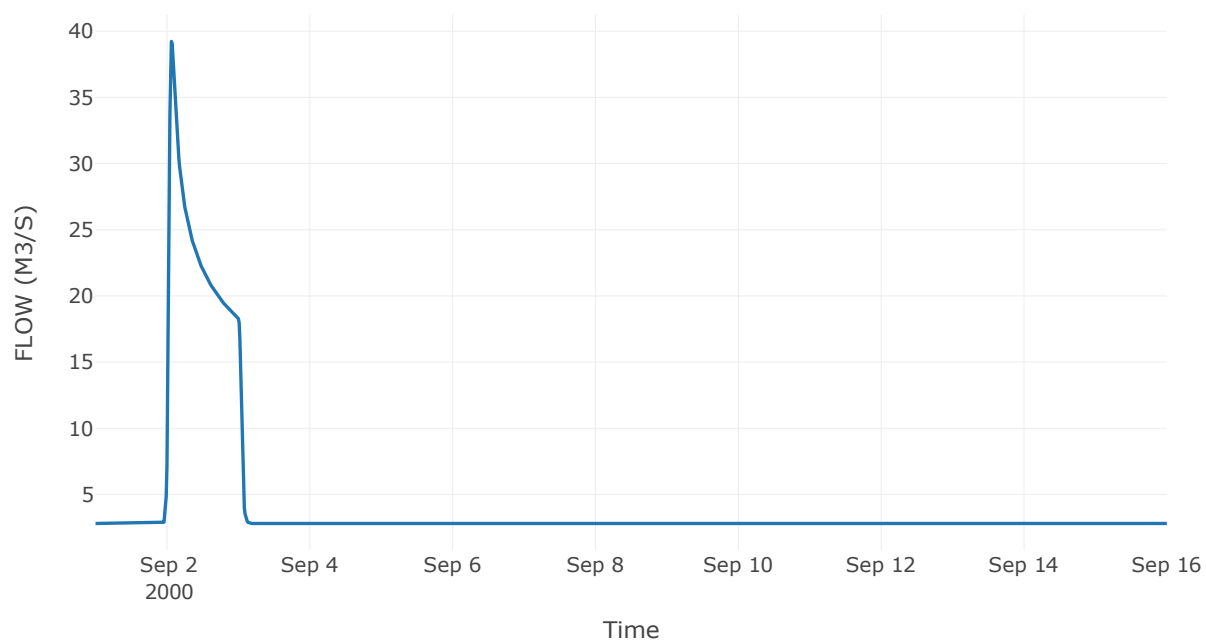
Κατάντη : J11

| | |
|-------------------|------------------|
| Μέθοδος Διόδευσης | Χρόνος Υστέρησης |
| Αρχική Μεταβλητή | Combined Inflow |
| Χρόνος Υστέρησης | 6.38 |

Αποτελέσματα: R2411

| | |
|------------------------------|------------------|
| Παροχή Αιχμής(M3/S) | 39.24 |
| Χρονική στιγμή αιχμής | 02Sep2000, 01:30 |
| Όγκος(MM) | 88.11 |
| Παροχή Αιχμής Εισόδου (M3/S) | 39.47 |
| Όγκος Εισροής(M3) | 5.49E6 |

Απορροή



Κλάδος: R2524

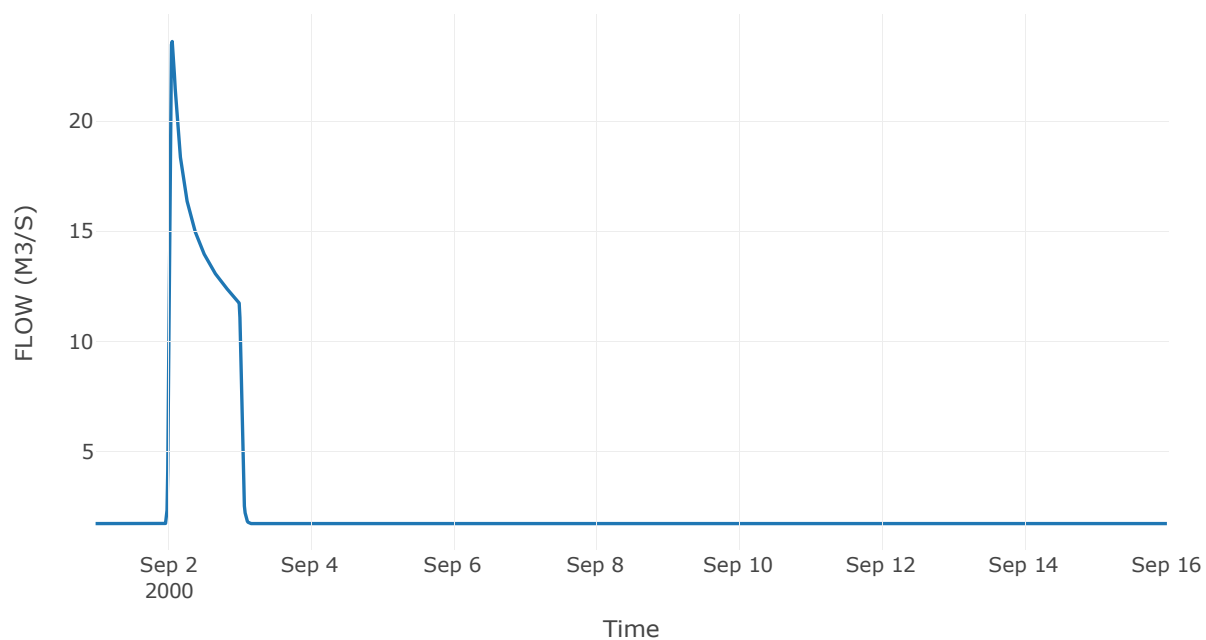
Κατάντη : J24

| | |
|-------------------|------------------|
| Μέθοδος Διόδευσης | Χρόνος Υστέρησης |
| Αρχική Μεταβλητή | Combined Inflow |
| Χρόνος Υστέρησης | 12.96 |

Αποτελέσματα: R2524

| | |
|------------------------------|------------------|
| Παροχή Αιχμής(M3/S) | 23.61 |
| Χρονική στιγμή αιχμής | 02Sep2000, 01:45 |
| Όγκος(MM) | 88.38 |
| Παροχή Αιχμής Εισόδου (M3/S) | 23.68 |
| Όγκος Εισροής(M3) | 3.44E6 |

Απορροή



Κλάδος: R2610

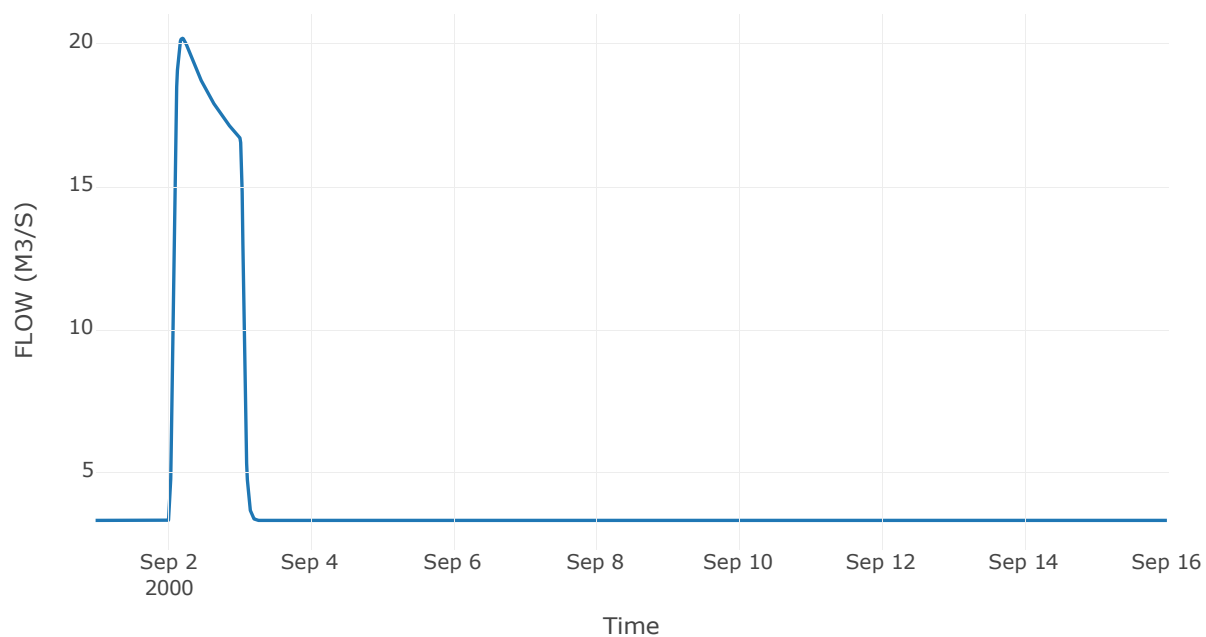
Κατάντη : J10

| | |
|-------------------|------------------|
| Μέθοδος Διόδευσης | Χρόνος Υστέρησης |
| Αρχική Μεταβλητή | Combined Inflow |
| Χρόνος Υστέρησης | 36.78 |

Αποτελέσματα: R2610

| | |
|------------------------------|------------------|
| Παροχή Αιχμής(M3/S) | 20.09 |
| Χρονική στιγμή αιχμής | 02Sep2000, 05:15 |
| Όγκος(MM) | 76.23 |
| Παροχή Αιχμής Εισόδου (M3/S) | 20.1 |
| Όγκος Εισροής(M3) | 5.48E6 |

Απορροή



Κλάδος: R278

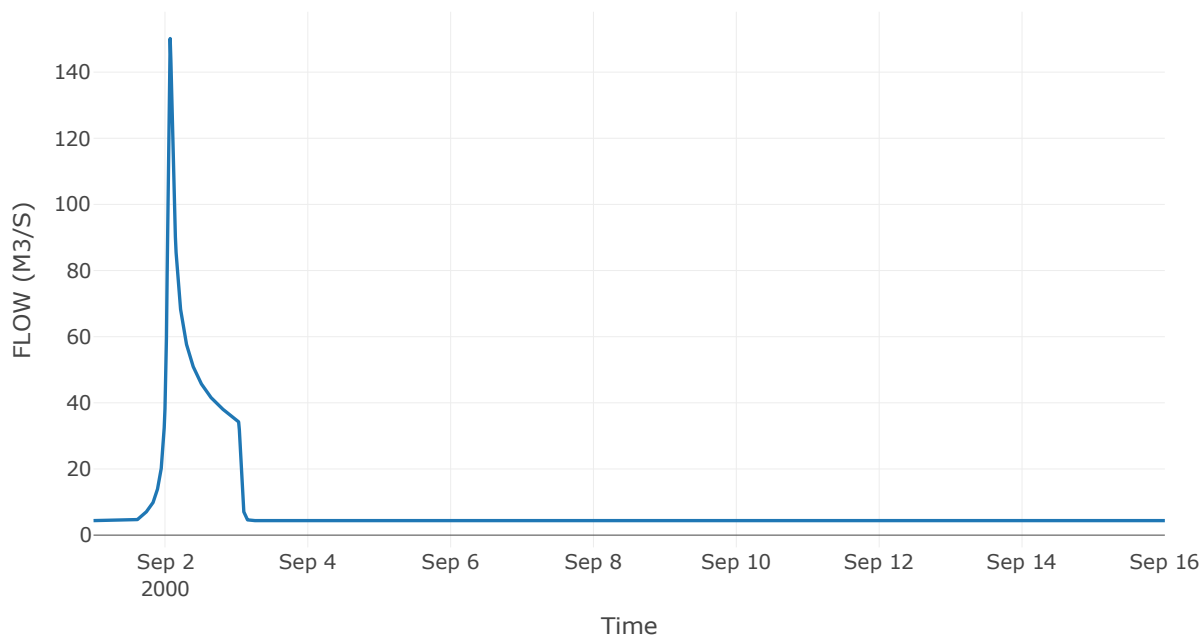
Κατάντη : J8

| | |
|-------------------|------------------|
| Μέθοδος Διόδευσης | Χρόνος Υστέρησης |
| Αρχική Μεταβλητή | Combined Inflow |
| Χρόνος Υστέρησης | 34.21 |

Αποτελέσματα: R278

| | |
|------------------------------|------------------|
| Παροχή Αιχμής(M3/S) | 150.16 |
| Χρονική στιγμή αιχμής | 02Sep2000, 01:45 |
| Όγκος(MM) | 108.77 |
| Παροχή Αιχμής Εισόδου (M3/S) | 150.65 |
| Όγκος Εισροής(M3) | 1.06E7 |

Απορροή



Κλάδος: R2827

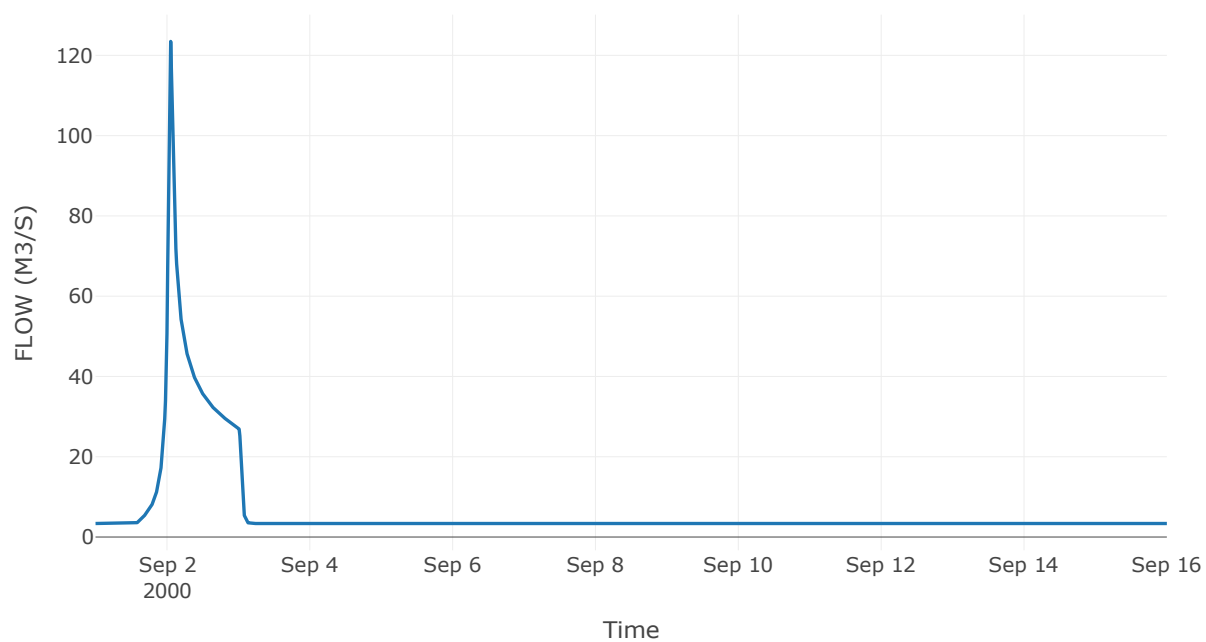
Κατάντη : J27

| | |
|-------------------|------------------|
| Μέθοδος Διόδευσης | Χρόνος Υστέρησης |
| Αρχική Μεταβλητή | Combined Inflow |
| Χρόνος Υστέρησης | 4.09 |

Αποτελέσματα: R2827

| | |
|------------------------------|------------------|
| Παροχή Αιχμής(M3/S) | 123.47 |
| Χρονική στιγμή αιχμής | 02Sep2000, 01:15 |
| Όγκος(MM) | 111.45 |
| Παροχή Αιχμής Εισόδου (M3/S) | 125.23 |
| Όγκος Εισροής(M3) | 8.34E6 |

Απορροή



Κλάδος: R2928

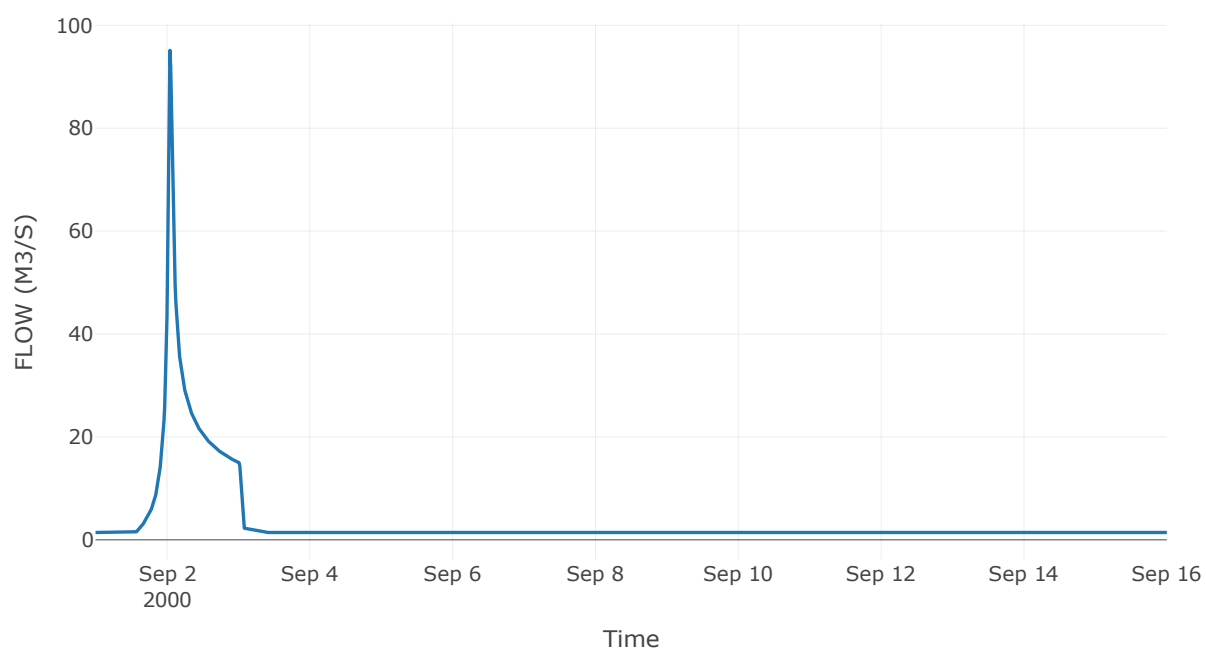
Κατάντη : J28

| | |
|-------------------|------------------|
| Μέθοδος Διόδευσης | Χρόνος Υστέρησης |
| Αρχική Μεταβλητή | Combined Inflow |
| Χρόνος Υστέρησης | 17.96 |

Αποτελέσματα: R2928

| | |
|------------------------------|------------------|
| Παροχή Αιχμής(M3/S) | 95.13 |
| Χρονική στιγμή αιχμής | 02Sep2000, 01:00 |
| Όγκος(MM) | 140.9 |
| Παροχή Αιχμής Εισόδου (M3/S) | 95.86 |
| Όγκος Εισροής(M3) | 4.49E6 |

Απορροή



Κλάδος: R302

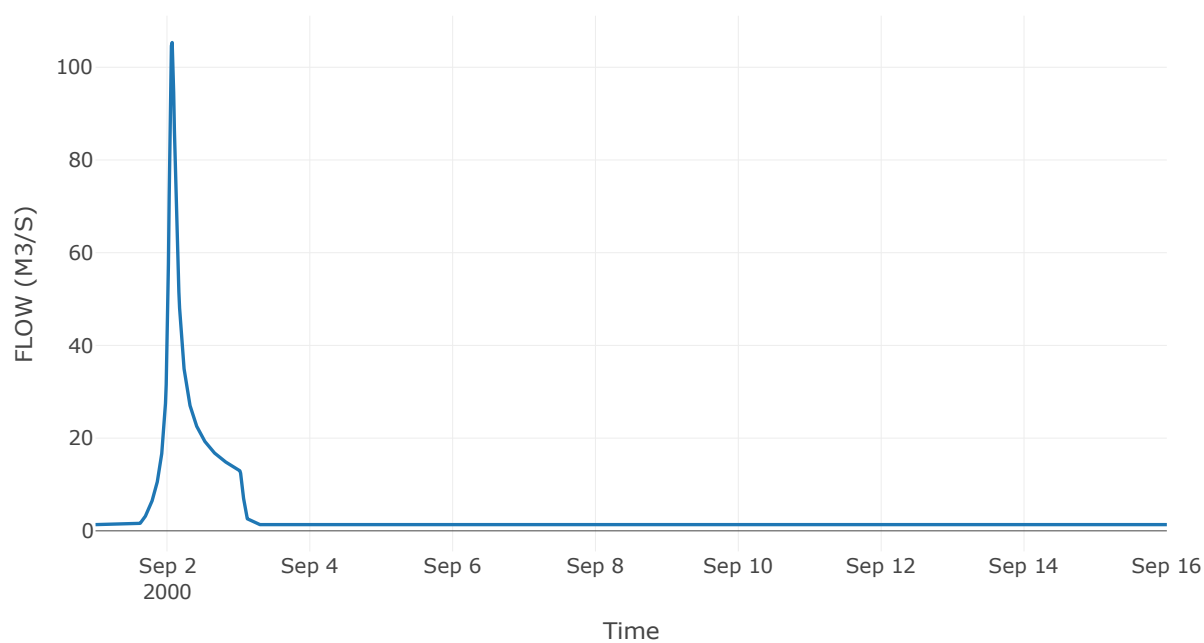
Κατάντη : J2

| | |
|----------------------|-----------------|
| Μέθοδος Διόδευσης | Muskingum |
| Αρχική Μεταβλητή | Combined Inflow |
| Χρόνος Ροής K | 0.27 |
| Συντελεστής βάρους x | 0.2 |
| Πλήθος Υποκλάδων | 1 |

Αποτελέσματα: R302

| | |
|------------------------------|------------------|
| Παροχή Αιχμής(M3/S) | 105.34 |
| Χρονική στιγμή αιχμής | 02Sep2000, 01:45 |
| Όγκος(MM) | 154.96 |
| Παροχή Αιχμής Εισόδου (M3/S) | 107.01 |
| Όγκος Εισροής(M3) | 4.62E6 |

Απορροή



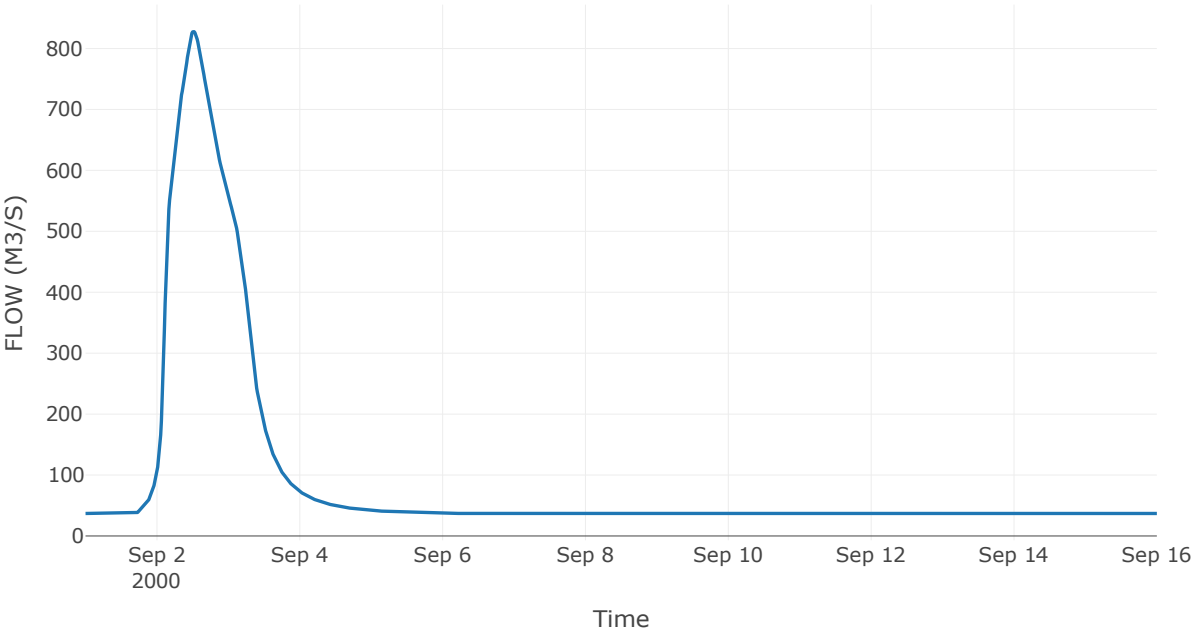
3.3 Δεδομένα και Υδρογραφήματα Σχεδιασμού Κλάδων Υδρογραφικού Δικτύου

Κόμβος εξόδου: J1

Αποτελέσματ
α: J1

| | |
|-----------------------|------------------|
| Παροχή αιχμής (M3/S) | 828.09 |
| Χρονική στιγμή αιχμής | 02Sep2000, 12:15 |
| Όγκος (MM) | 108.93 |

Απορροή



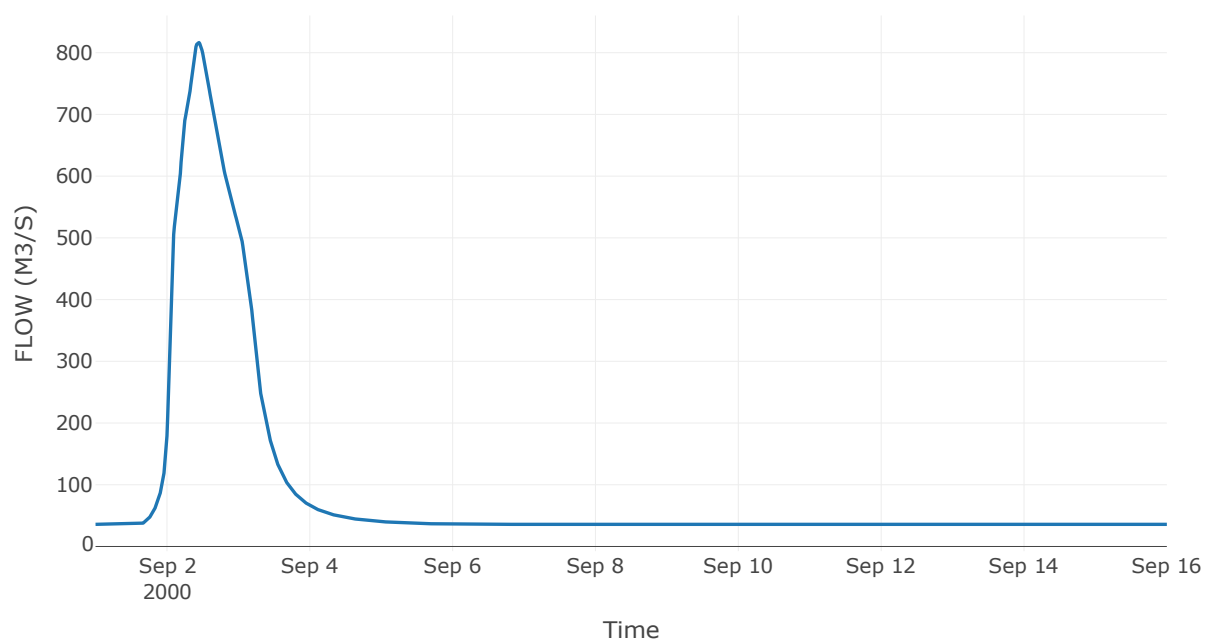
Κόμβος: J2

Κατάντη : R21

Αποτελέσματα: J2

| | |
|-----------------------|------------------|
| Παροχή Αιχμής(M3/S) | 816.9 |
| Χρονική στιγμή αιχμής | 02Sep2000, 10:30 |
| Όγκος(MM) | 108.57 |

Απορροή



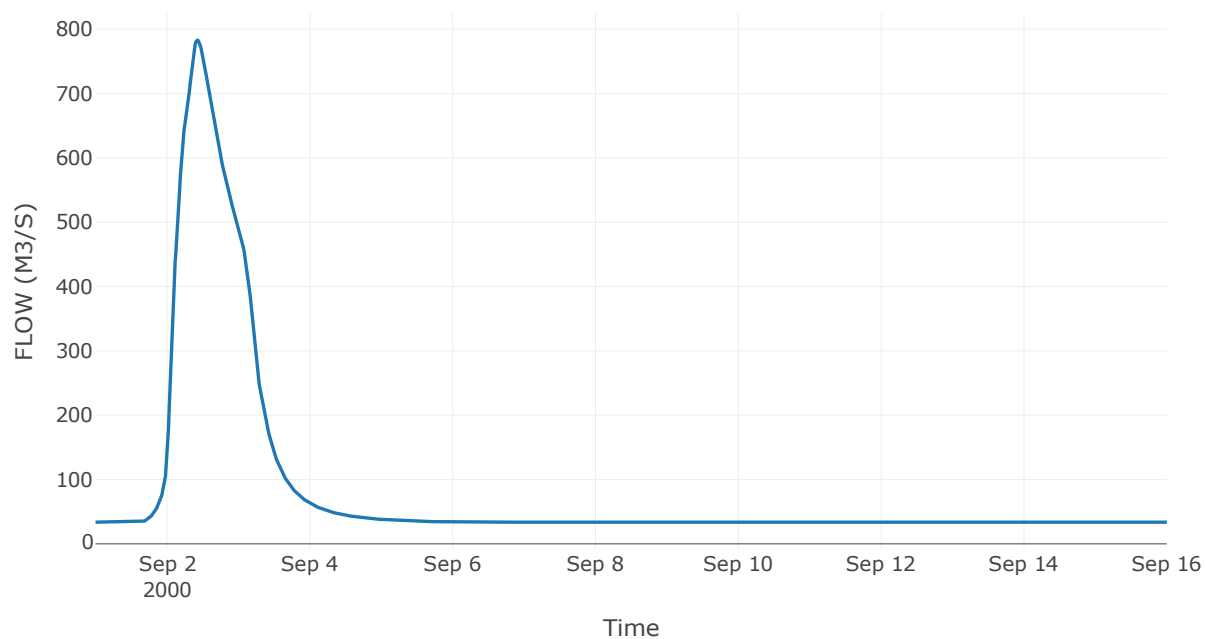
Κόμβος: J3

Κατάντη : R32

Αποτελέσματα: J3

| | |
|-----------------------|------------------|
| Παροχή Αιχμής(M3/S) | 783.12 |
| Χρονική στιγμή αιχμής | 02Sep2000, 10:15 |
| Όγκος(MM) | 106.43 |

Απορροή



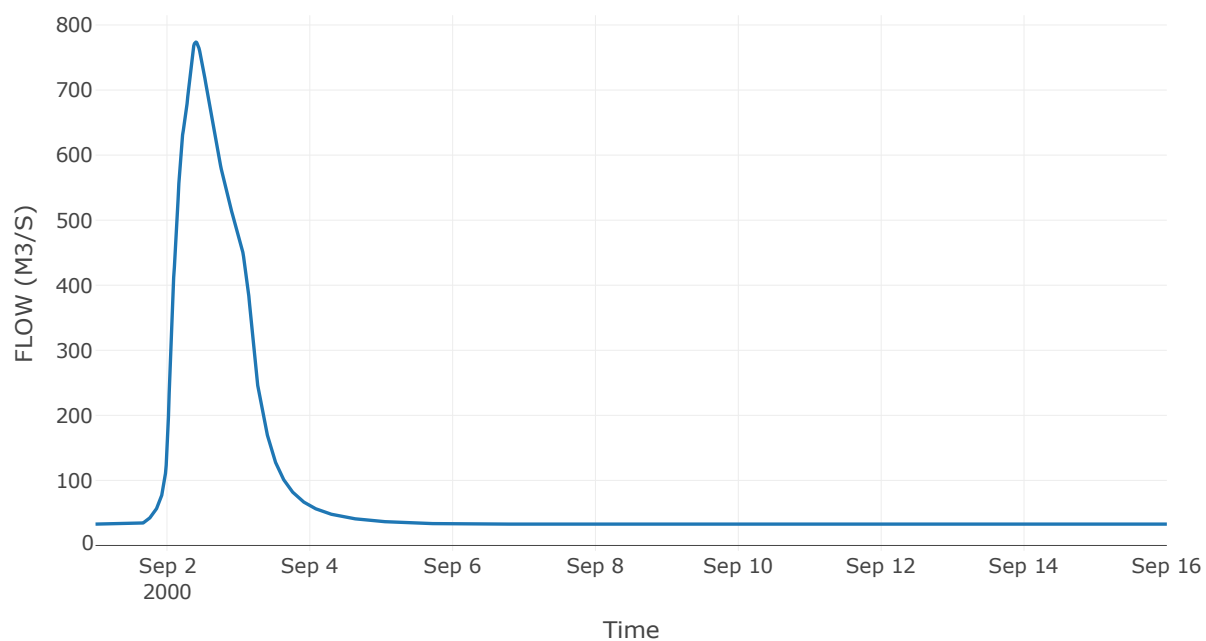
Κόμβος: J4

Κατάντη : R43

Αποτελέσματα: J4

| | |
|-----------------------|------------------|
| Παροχή Αιχμής(M3/S) | 773.82 |
| Χρονική στιγμή αιχμής | 02Sep2000, 09:45 |
| Όγκος(MM) | 106.09 |

Απορροή



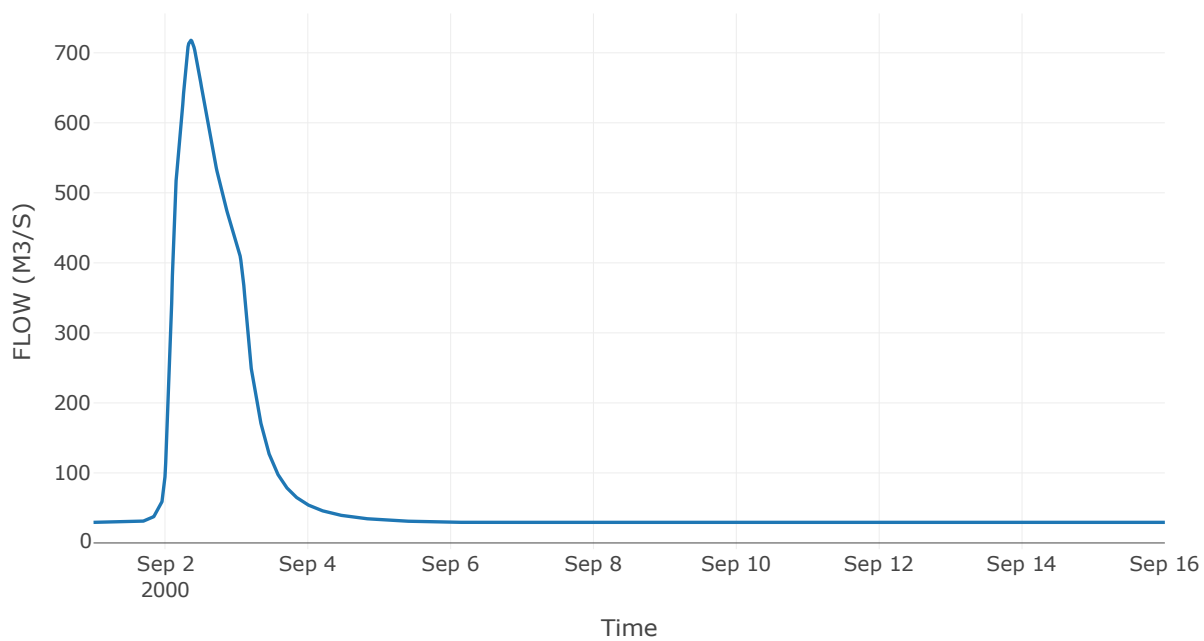
Κόμβος: J5

Κατάντη : R54

Αποτελέσματα: J5

| | |
|-----------------------|------------------|
| Παροχή Αιχμής(M3/S) | 717.91 |
| Χρονική στιγμή αιχμής | 02Sep2000, 08:45 |
| Όγκος(MM) | 102.42 |

Απορροή



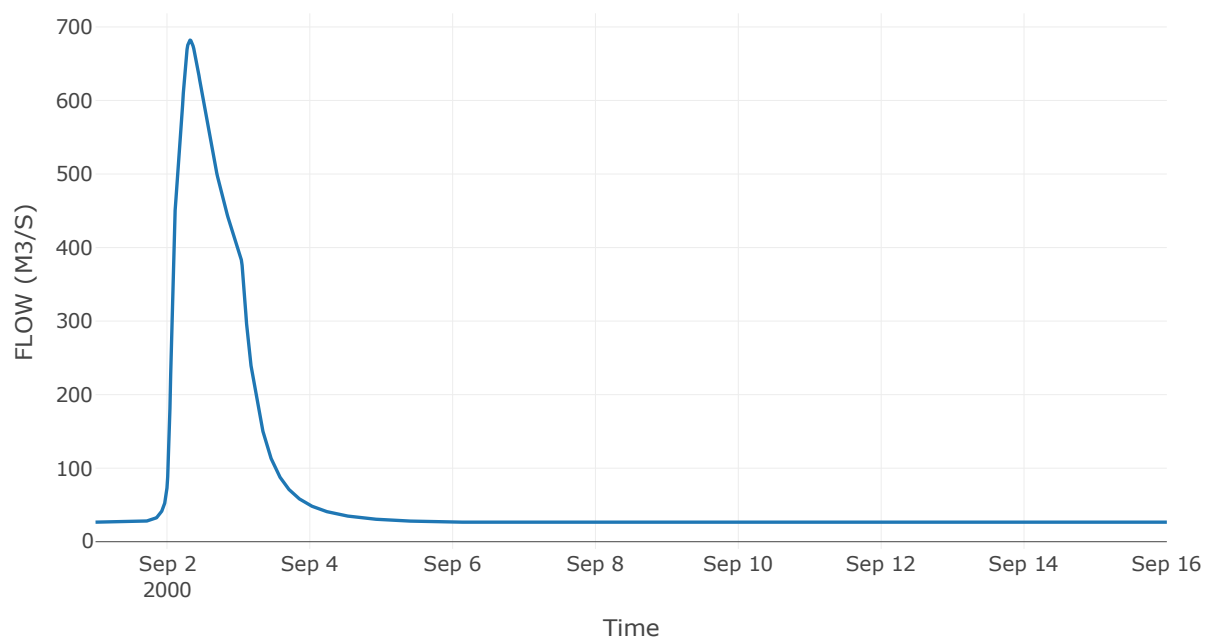
Κόμβος: J6

Κατάντη : R65

Αποτελέσματα: J6

| | |
|-----------------------|------------------|
| Παροχή Αιχμής(M3/S) | 682.12 |
| Χρονική στιγμή αιχμής | 02Sep2000, 07:45 |
| Όγκος(MM) | 101.34 |

Απορροή



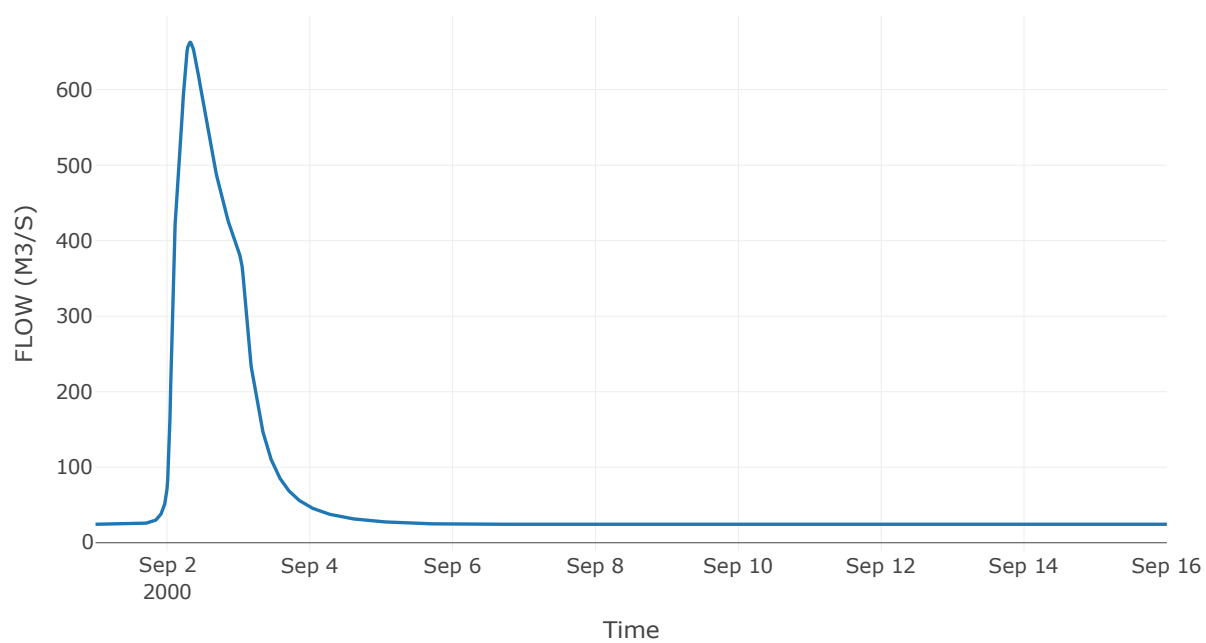
Κόμβος: J7

Κατάντη : R76

Αποτελέσματα: J7

| | |
|-----------------------|------------------|
| Παροχή Αιχμής(M3/S) | 662.83 |
| Χρονική στιγμή αιχμής | 02Sep2000, 07:45 |
| Όγκος(MM) | 102.03 |

Απορροή



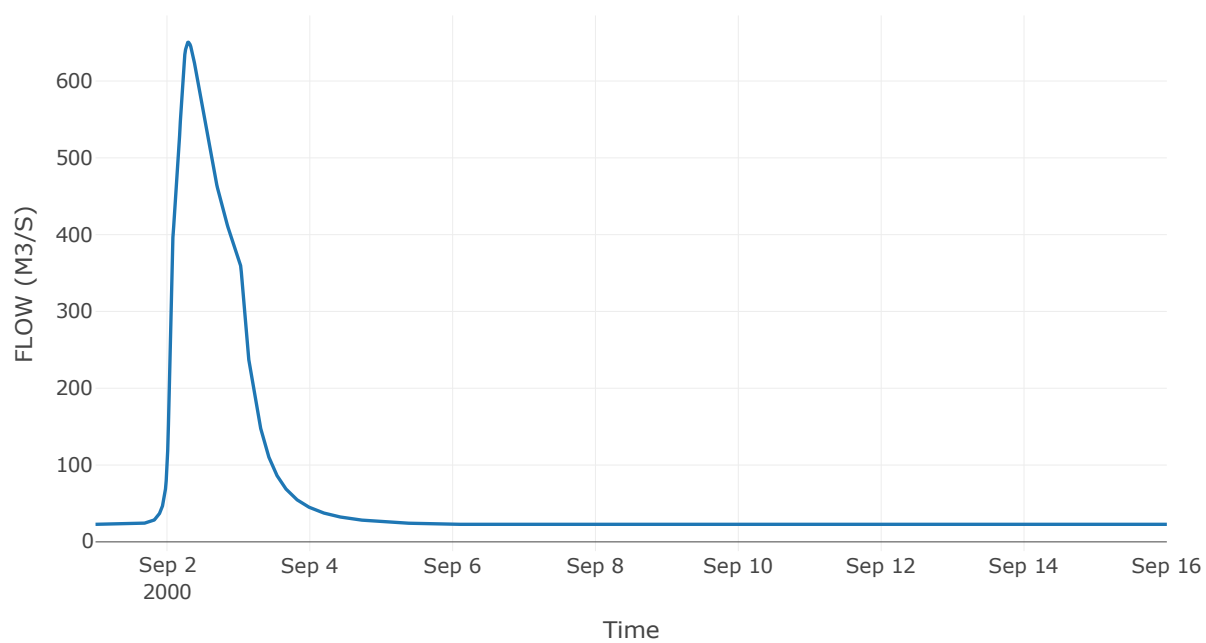
Κόμβος: J8

Κατάντη : R87

Αποτελέσματα: J8

| | |
|-----------------------|------------------|
| Παροχή Αιχμής(M3/S) | 650.52 |
| Χρονική στιγμή αιχμής | 02Sep2000, 07:15 |
| Όγκος(MM) | 102.76 |

Απορροή



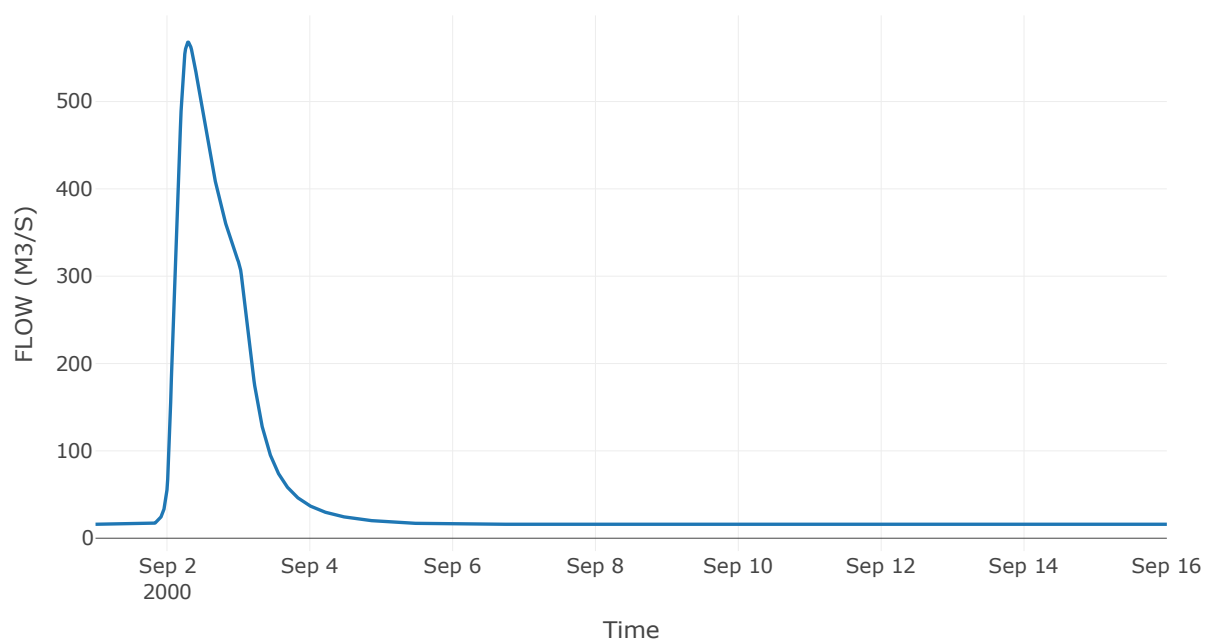
Κόμβος: J9

Κατάντη : R98

Αποτελέσματα: J9

| | |
|-----------------------|------------------|
| Παροχή Αιχμής(M3/S) | 567.92 |
| Χρονική στιγμή αιχμής | 02Sep2000, 07:00 |
| Όγκος(MM) | 102.63 |

Απορροή



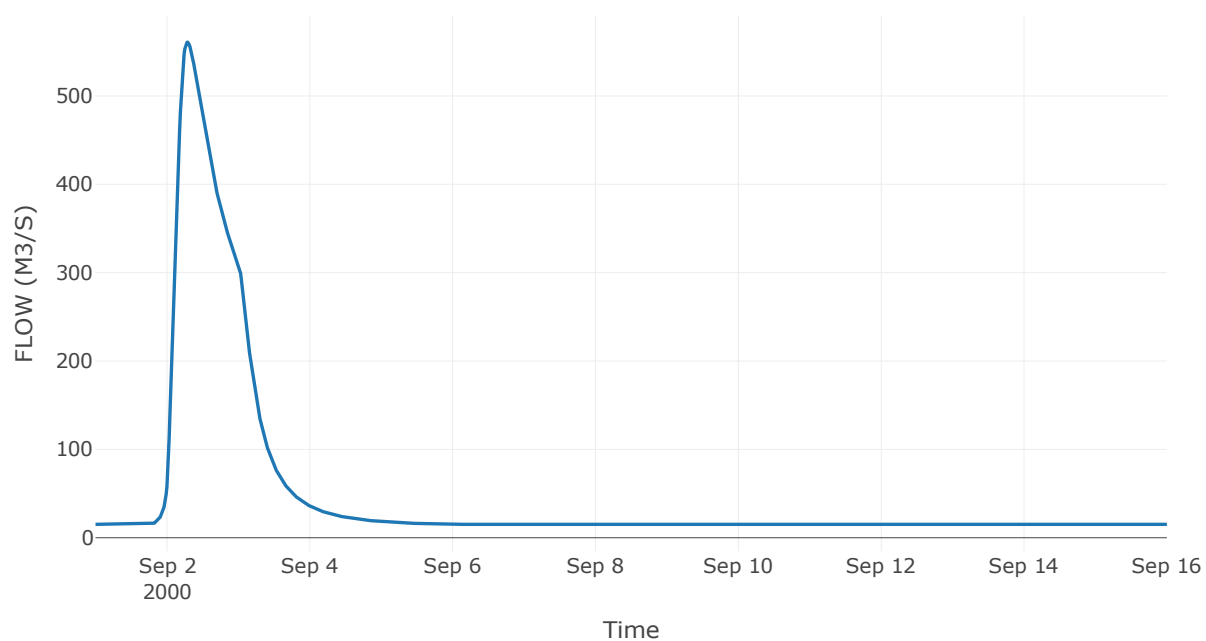
Κόμβος: J10

Κατάντη : R109

Αποτελέσματα: J10

| | |
|-----------------------|------------------|
| Παροχή Αιχμής(M3/S) | 560.74 |
| Χρονική στιγμή αιχμής | 02Sep2000, 06:45 |
| Όγκος(MM) | 102.97 |

Απορροή



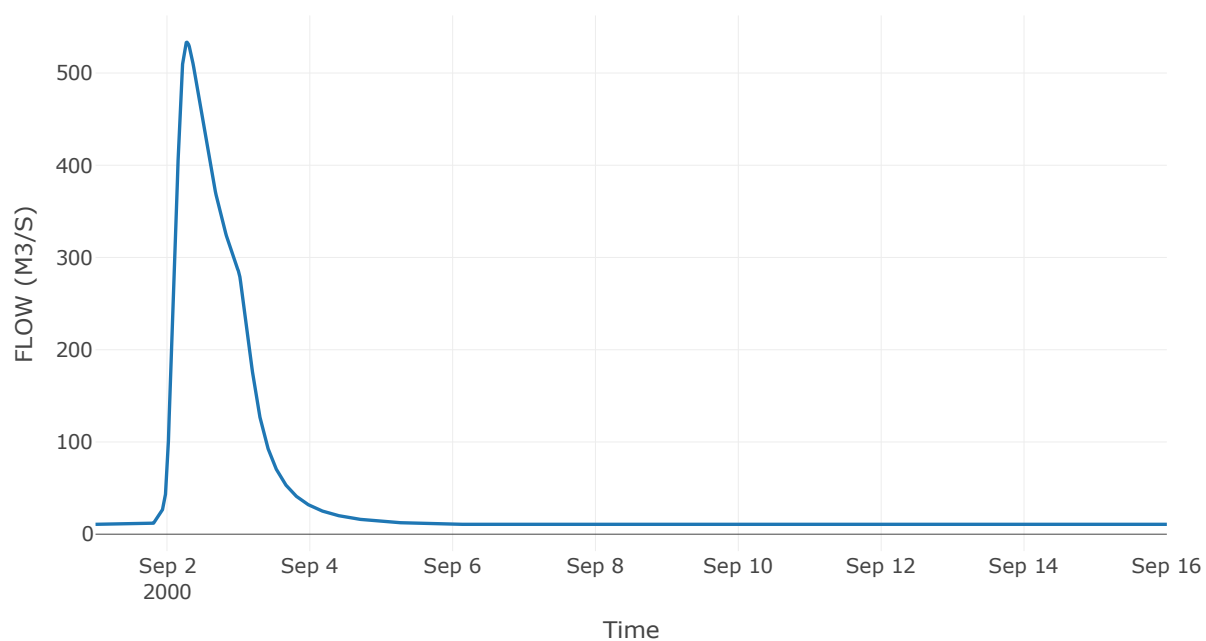
Κόμβος: J11

Κατάντη : R1110

Αποτελέσματα: J11

| | |
|-----------------------|------------------|
| Παροχή Αιχμής(M3/S) | 533.37 |
| Χρονική στιγμή αιχμής | 02Sep2000, 06:45 |
| Όγκος(MM) | 108.1 |

Απορροή



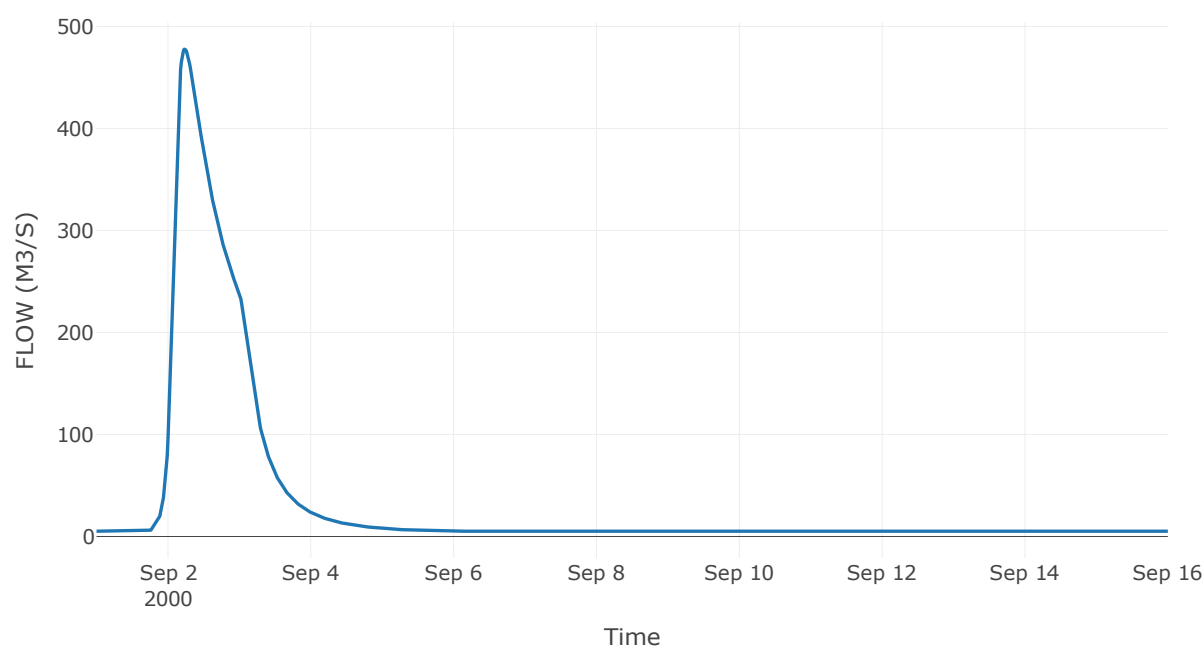
Κόμβος: J12

Κατάντη : R1211

Αποτελέσματα: J12

| | |
|-----------------------|------------------|
| Παροχή Αιχμής(M3/S) | 477.79 |
| Χρονική στιγμή αιχμής | 02Sep2000, 05:45 |
| Όγκος(MM) | 113.31 |

Απορροή



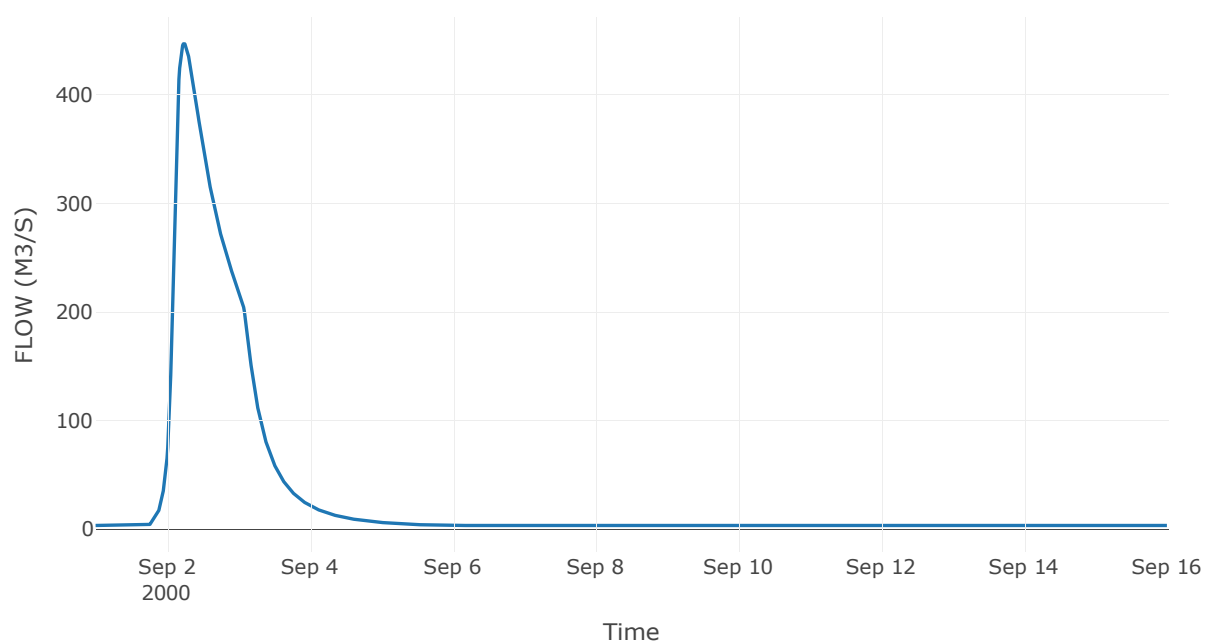
Ταμιευτήρας: J13_RES1

Κατάντη : R1312

Αποτελέσματα: J13_RES1

| | |
|------------------------------|------------------|
| Παροχή Αιχμής(M3/S) | 447.4 |
| Χρονική στιγμή αιχμής | 02Sep2000, 05:45 |
| Όγκος(MM) | 112.34 |
| Παροχή Αιχμής Εισόδου (M3/S) | 1005.05 |
| Time of Peak Inflow | 02Sep2000, 02:15 |
| Όγκος Εισροής (M3) | 3.65E7 |
| Maximum Storage (M3) | 1.63E8 |
| Peak Elevation (M) | 508.03 |
| Discharge Όγκος(M3) | 3.95E7 |

Απορροή



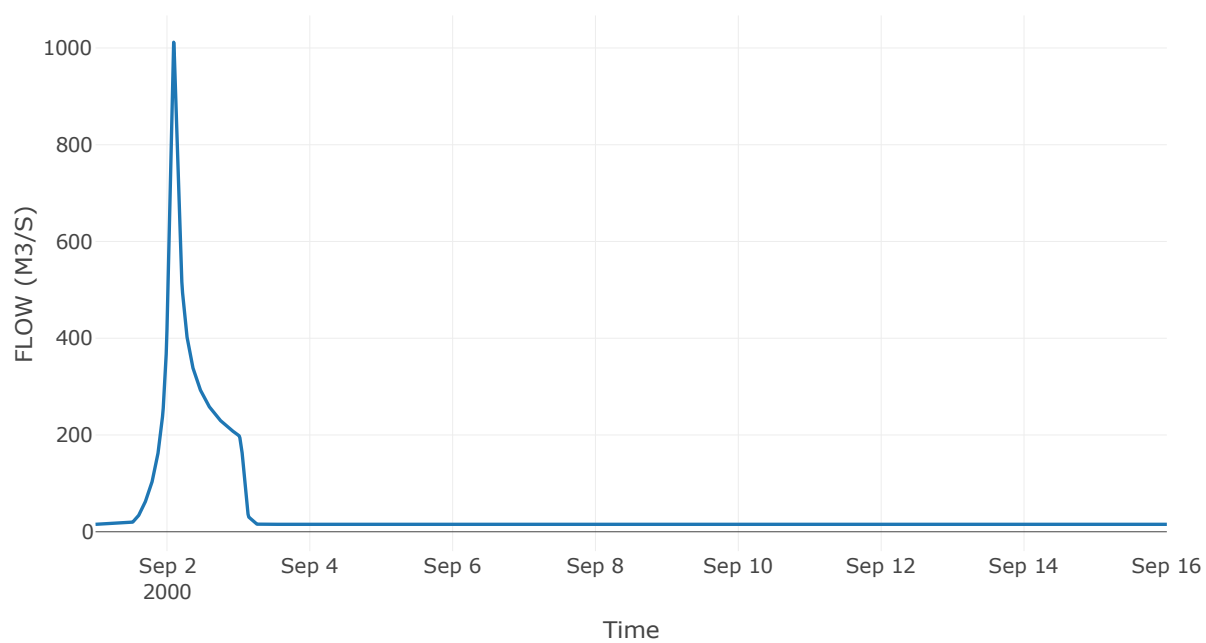
Κόμβος: J14

Κατάντη : R1413

Αποτελέσματα: J14

| | |
|-----------------------|------------------|
| Παροχή Αιχμής(M3/S) | 1011.84 |
| Χρονική στιγμή αιχμής | 02Sep2000, 02:15 |
| Όγκος(MM) | 166.97 |

Απορροή



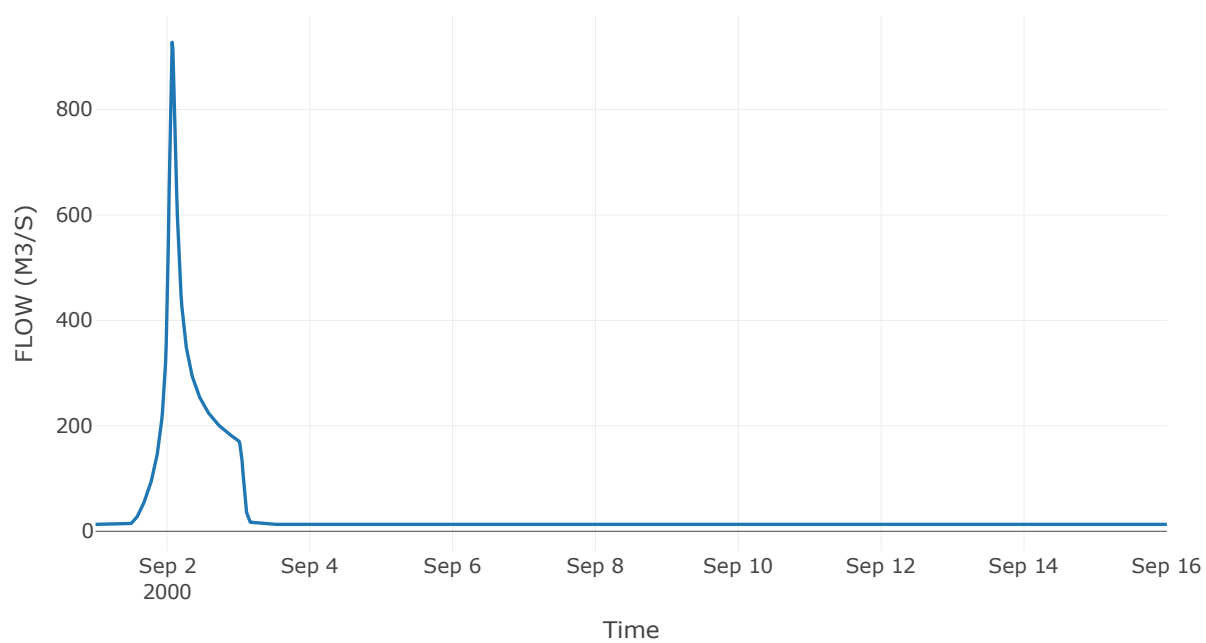
Κόμβος: J15

Κατάντη : R1514

Αποτελέσματα: J15

| | |
|-----------------------|------------------|
| Παροχή Αιχμής(M3/S) | 927.56 |
| Χρονική στιγμή αιχμής | 02Sep2000, 01:45 |
| Όγκος(MM) | 169.82 |

Απορροή



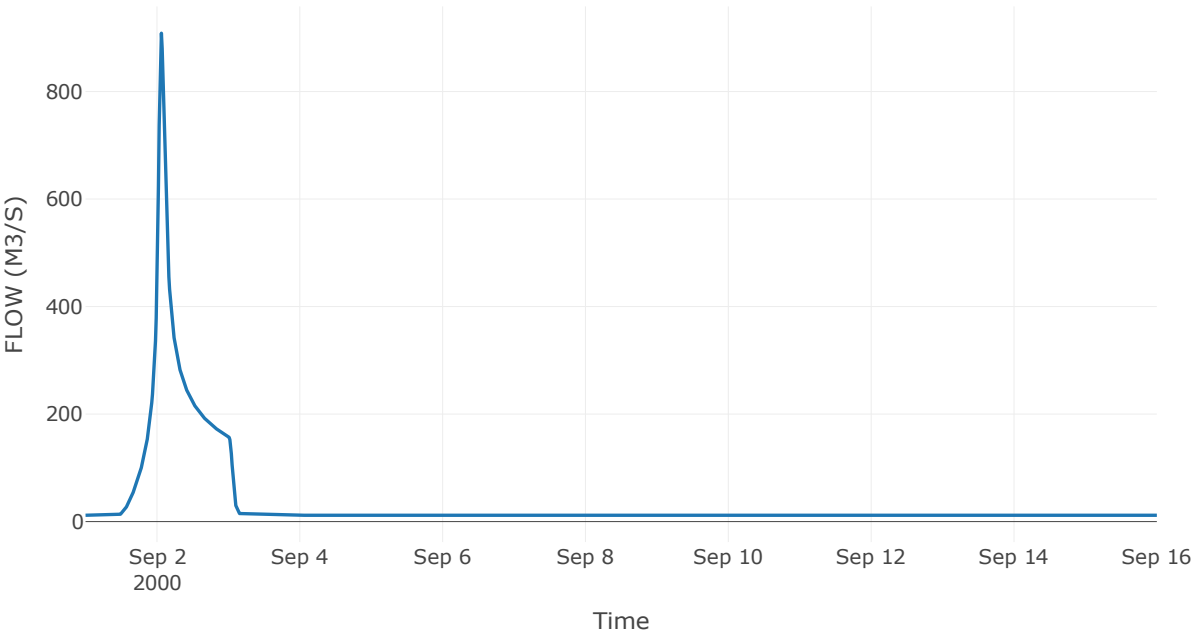
Κόμβος: J16

Κατάντη : R1615

Αποτελέσματα: J16

| | |
|-----------------------|------------------|
| Παροχή Αιχμής(M3/S) | 908.48 |
| Χρονική στιγμή αιχμής | 02Sep2000, 01:30 |
| Όγκος(MM) | 175.63 |

Απορροή



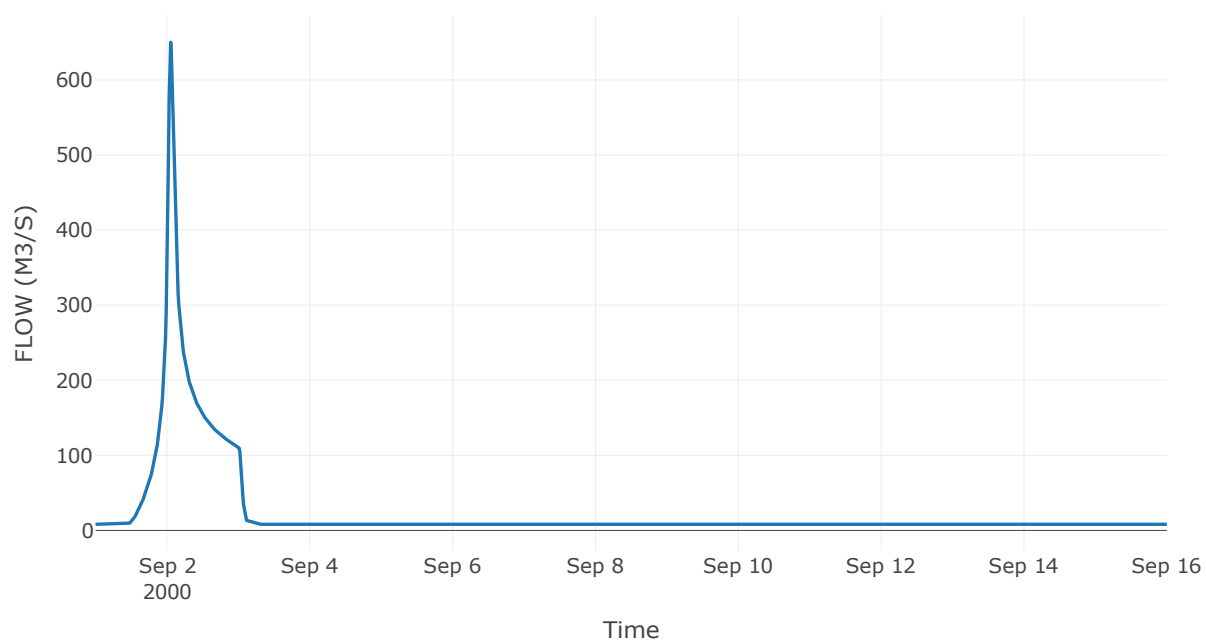
Κόμβος: J17

Κατάντη : R1716

Αποτελέσματα: J17

| | |
|-----------------------|------------------|
| Παροχή Αιχμής(M3/S) | 650.21 |
| Χρονική στιγμή αιχμής | 02Sep2000, 01:15 |
| Όγκος(MM) | 176.61 |

Απορροή



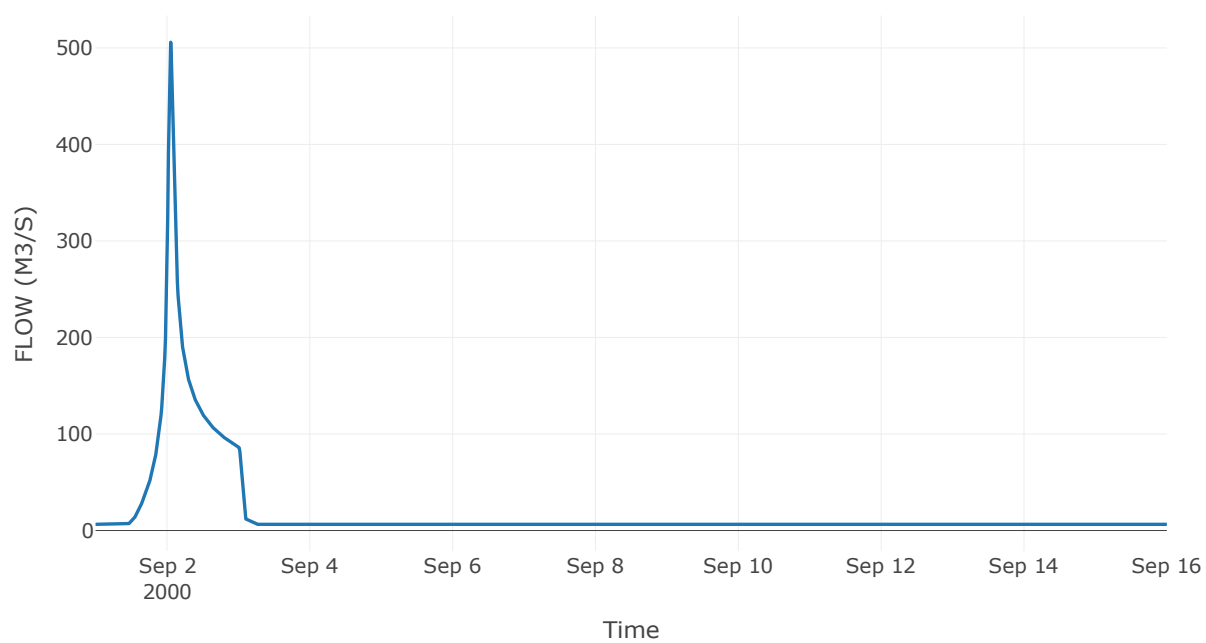
Κόμβος: J18

Κατάντη : R1817

Αποτελέσματα: J18

| | |
|-----------------------|------------------|
| Παροχή Αιχμής(M3/S) | 505.9 |
| Χρονική στιγμή αιχμής | 02Sep2000, 01:15 |
| Όγκος(MM) | 174.96 |

Απορροή



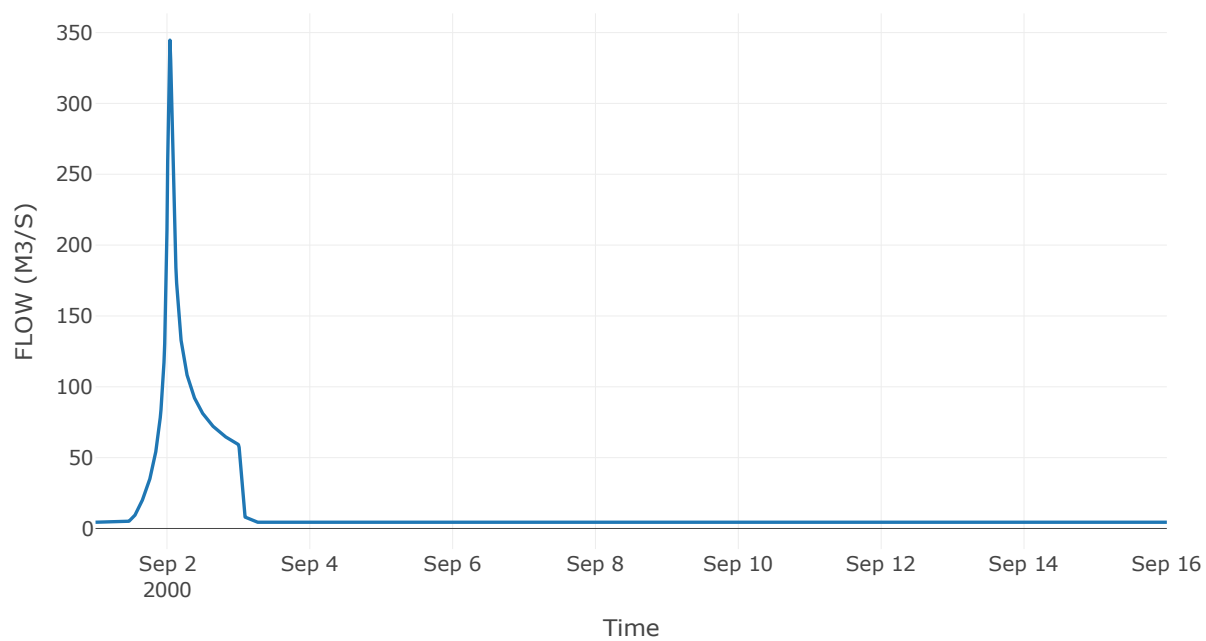
Κόμβος: J19

Κατάντη : R1918

Αποτελέσματα: J19

| | |
|-----------------------|------------------|
| Παροχή Αιχμής(M3/S) | 344.65 |
| Χρονική στιγμή αιχμής | 02Sep2000, 01:00 |
| Όγκος(MM) | 172.45 |

Απορροή



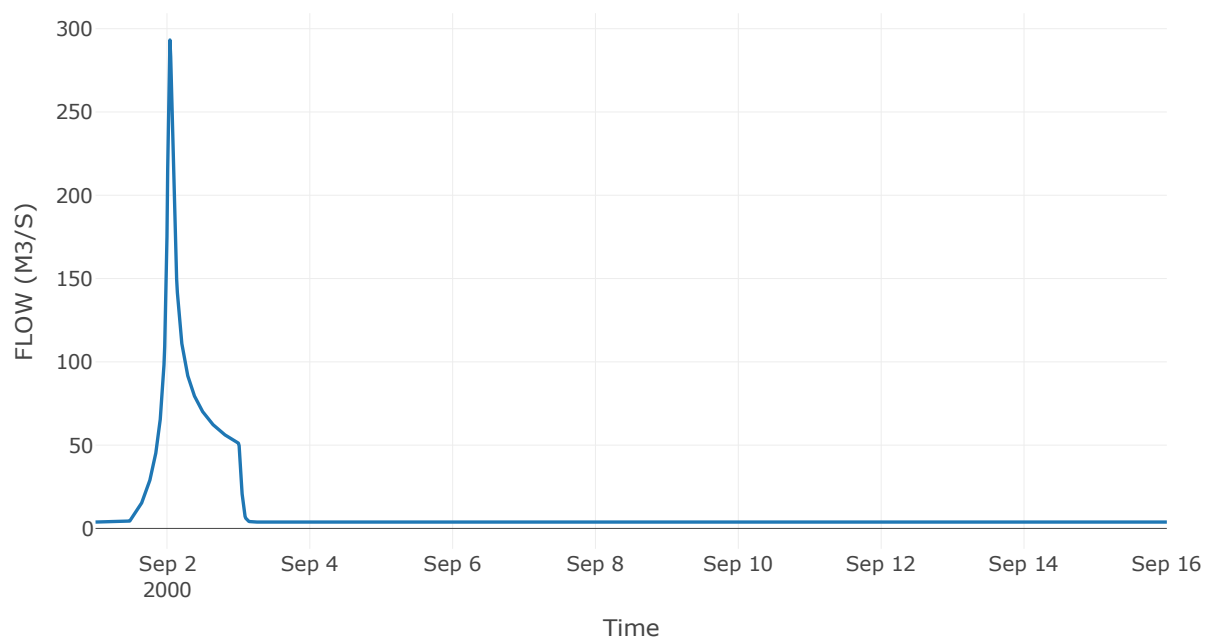
Κόμβος: J20

Κατάντη : R2019

Αποτελέσματα: J20

| | |
|-----------------------|------------------|
| Παροχή Αιχμής(M3/S) | 293.23 |
| Χρονική στιγμή αιχμής | 02Sep2000, 01:00 |
| Όγκος(MM) | 170.93 |

Απορροή



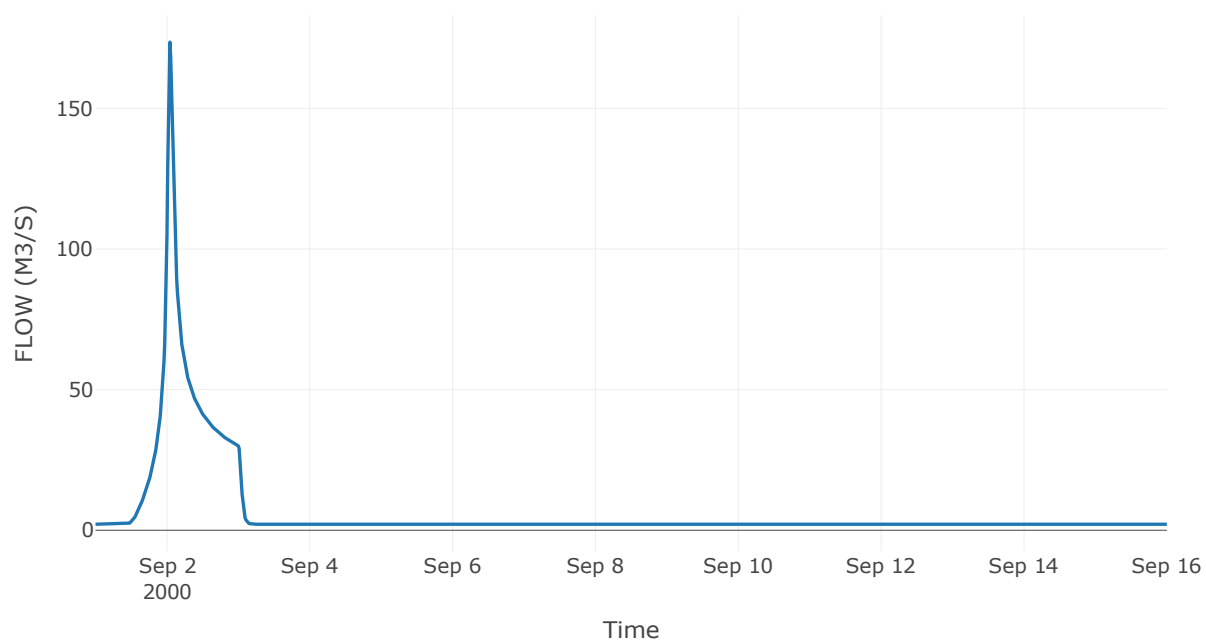
Κόμβος: J21

Κατάντη : R2120

Αποτελέσματα: J21

| | |
|-----------------------|------------------|
| Παροχή Αιχμής(M3/S) | 173.59 |
| Χρονική στιγμή αιχμής | 02Sep2000, 01:00 |
| Όγκος(MM) | 179.14 |

Απορροή



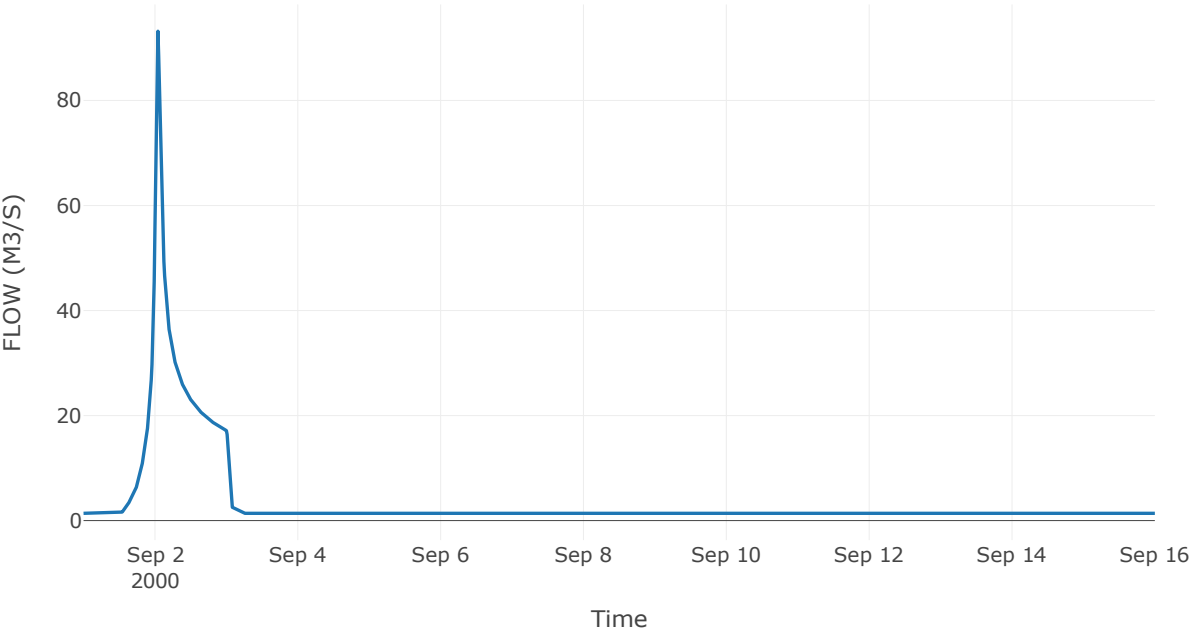
Κόμβος: J22

Κατάντη : R2220

Αποτελέσματα: J22

| | |
|-----------------------|------------------|
| Παροχή Αιχμής(M3/S) | 93.18 |
| Χρονική στιγμή αιχμής | 02Sep2000, 01:00 |
| Όγκος(MM) | 155.45 |

Απορροή



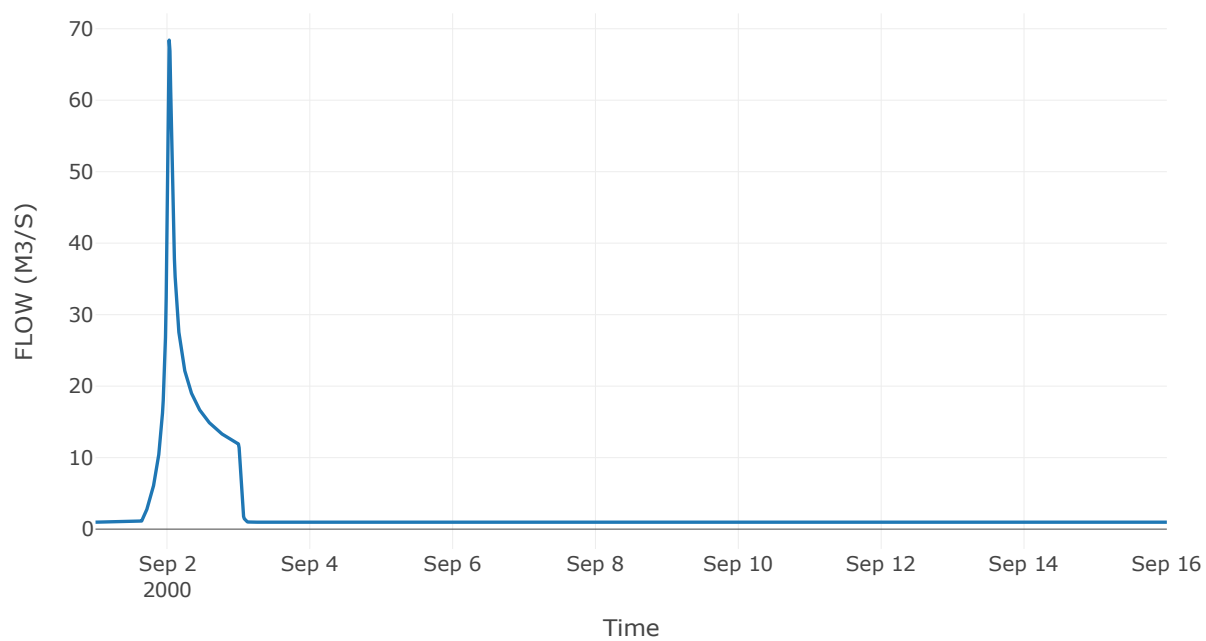
Κόμβος: J23

Κατάντη : R2314

Αποτελέσματα: J23

| | |
|-----------------------|------------------|
| Παροχή Αιχμής(M3/S) | 68.41 |
| Χρονική στιγμή αιχμής | 02Sep2000, 00:45 |
| Όγκος(MM) | 153 |

Απορροή



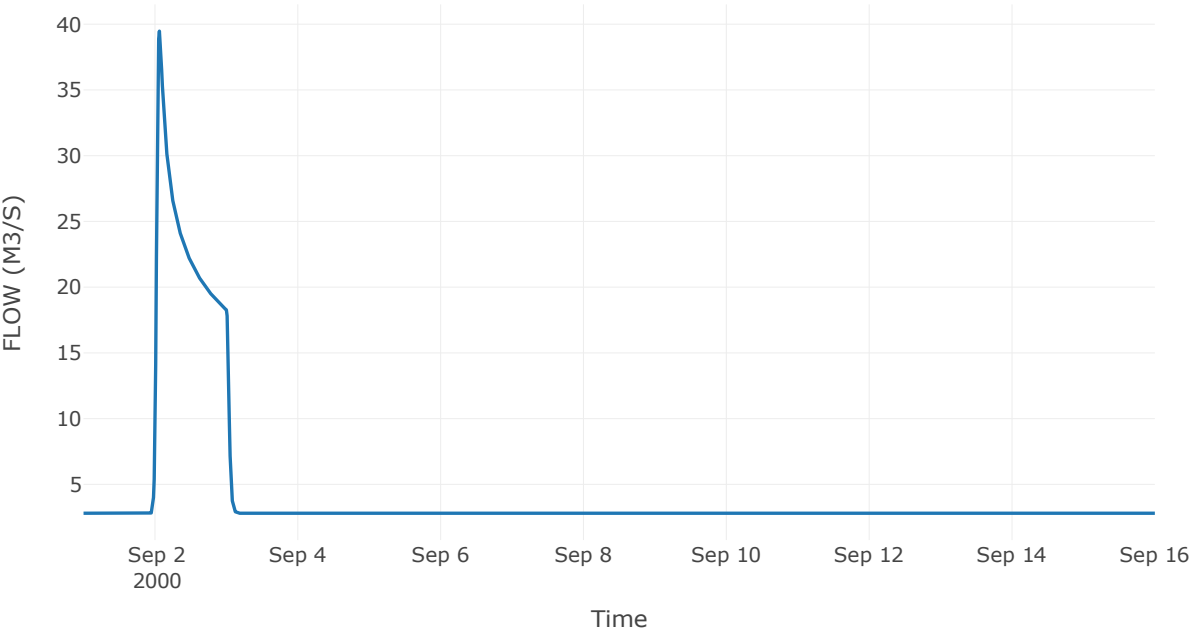
Κόμβος: J24

Κατάντη : R2411

Αποτελέσματα: J24

| | |
|-----------------------|------------------|
| Παροχή Αιχμής(M3/S) | 39.47 |
| Χρονική στιγμή αιχμής | 02Sep2000, 01:30 |
| Όγκος(MM) | 88.11 |

Απορροή



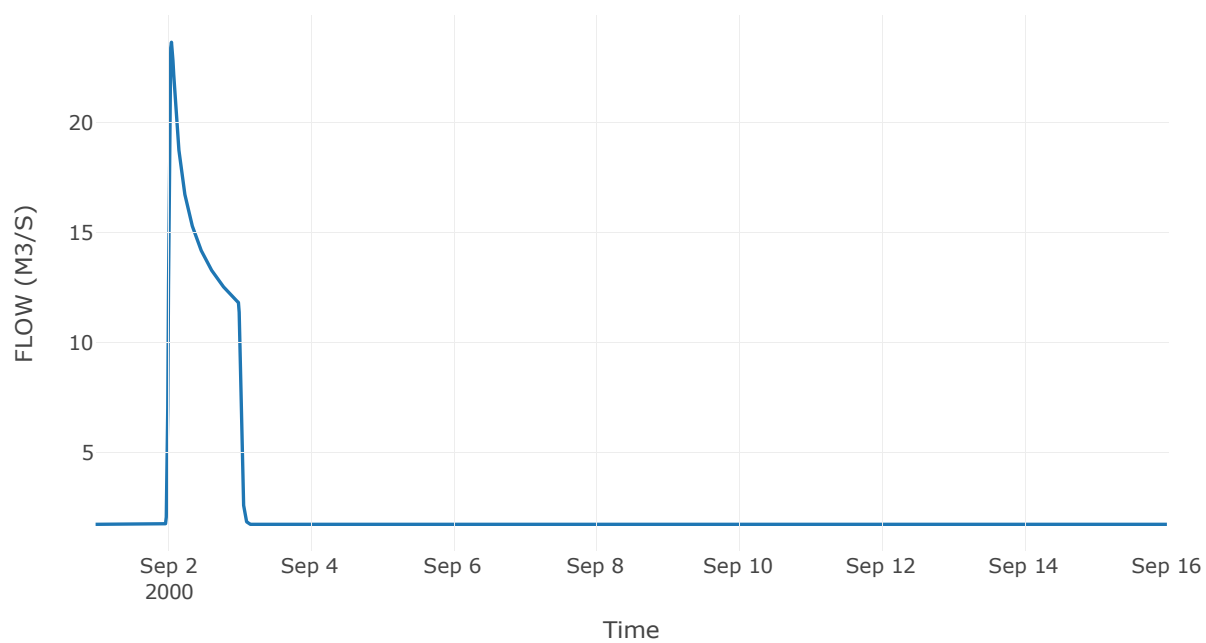
Κόμβος: J25

Κατάντη : R2524

Αποτελέσματα: J25

| | |
|-----------------------|------------------|
| Παροχή Αιχμής(M3/S) | 23.68 |
| Χρονική στιγμή αιχμής | 02Sep2000, 01:30 |
| Όγκος(MM) | 88.38 |

Απορροή



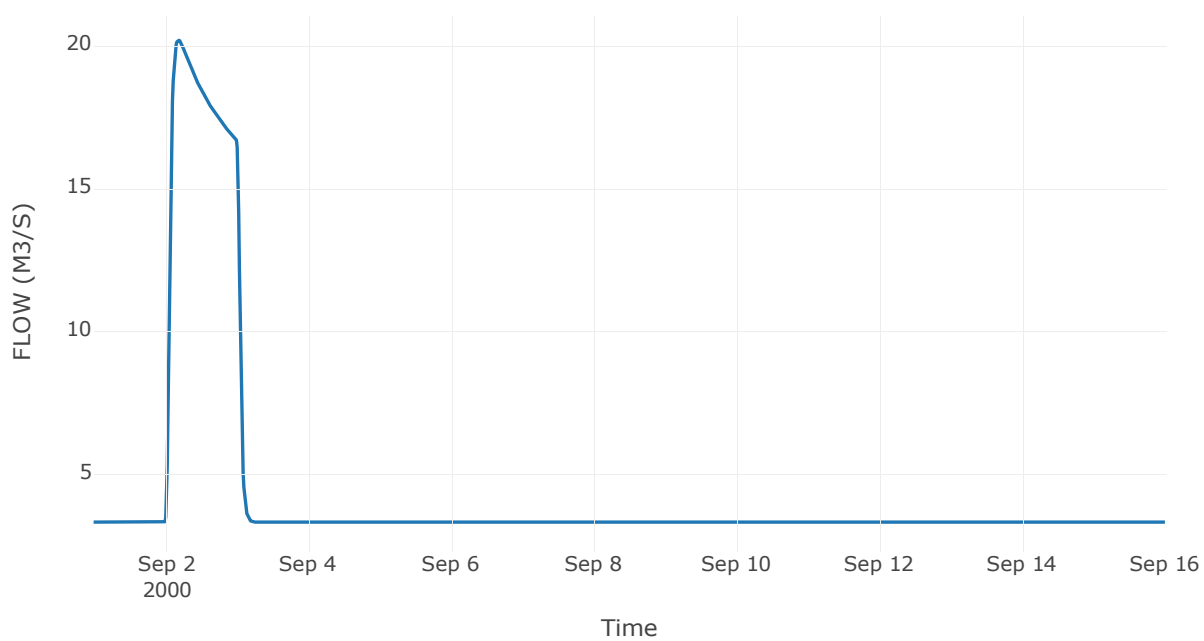
Κόμβος: J26

Κατάντη : R2610

Αποτελέσματα: J26

| | |
|-----------------------|------------------|
| Παροχή Αιχμής(M3/S) | 20.1 |
| Χρονική στιγμή αιχμής | 02Sep2000, 04:30 |
| Όγκος(MM) | 76.23 |

Απορροή



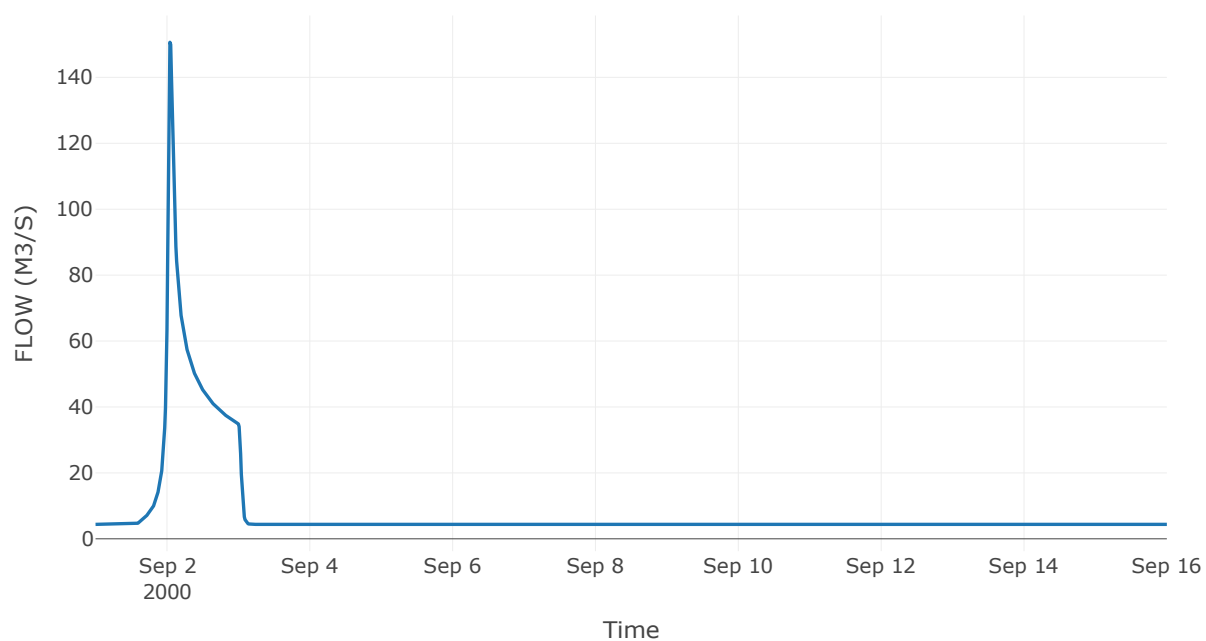
Κόμβος: J27

Κατάντη : R278

Αποτελέσματα: J27

| | |
|-----------------------|------------------|
| Παροχή Αιχμής(M3/S) | 150.65 |
| Χρονική στιγμή αιχμής | 02Sep2000, 01:00 |
| Όγκος(MM) | 108.77 |

Απορροή



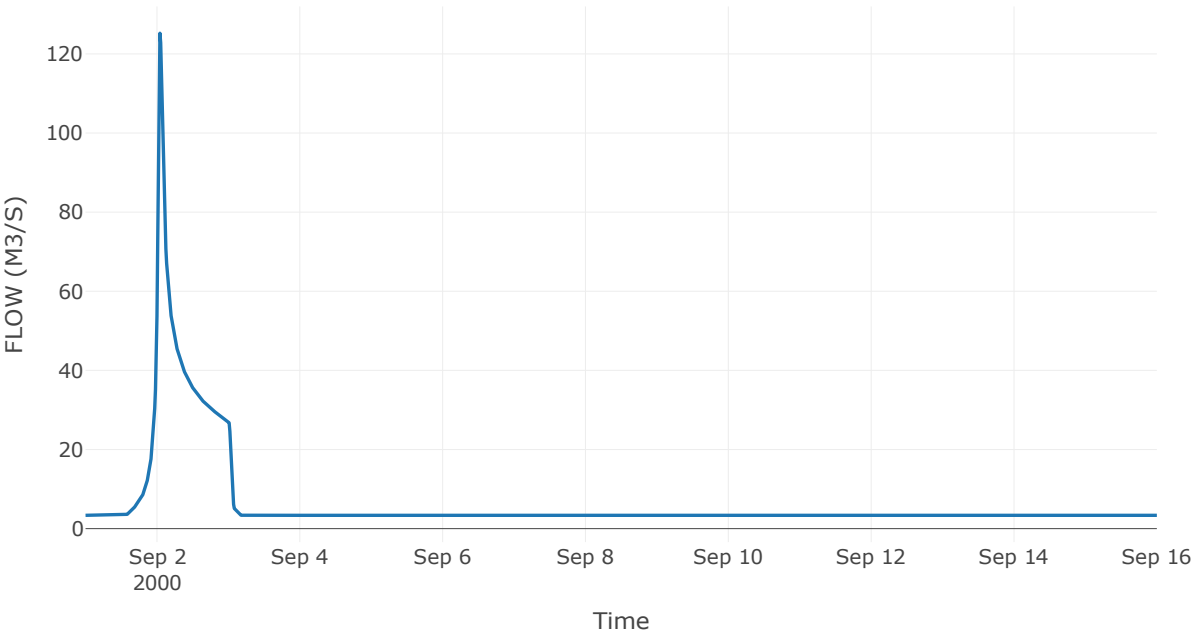
Κόμβος: J28

Κατάντη : R2827

Αποτελέσματα: J28

| | |
|-----------------------|------------------|
| Παροχή Αιχμής(M3/S) | 125.23 |
| Χρονική στιγμή αιχμής | 02Sep2000, 01:00 |
| Όγκος(MM) | 111.45 |

Απορροή



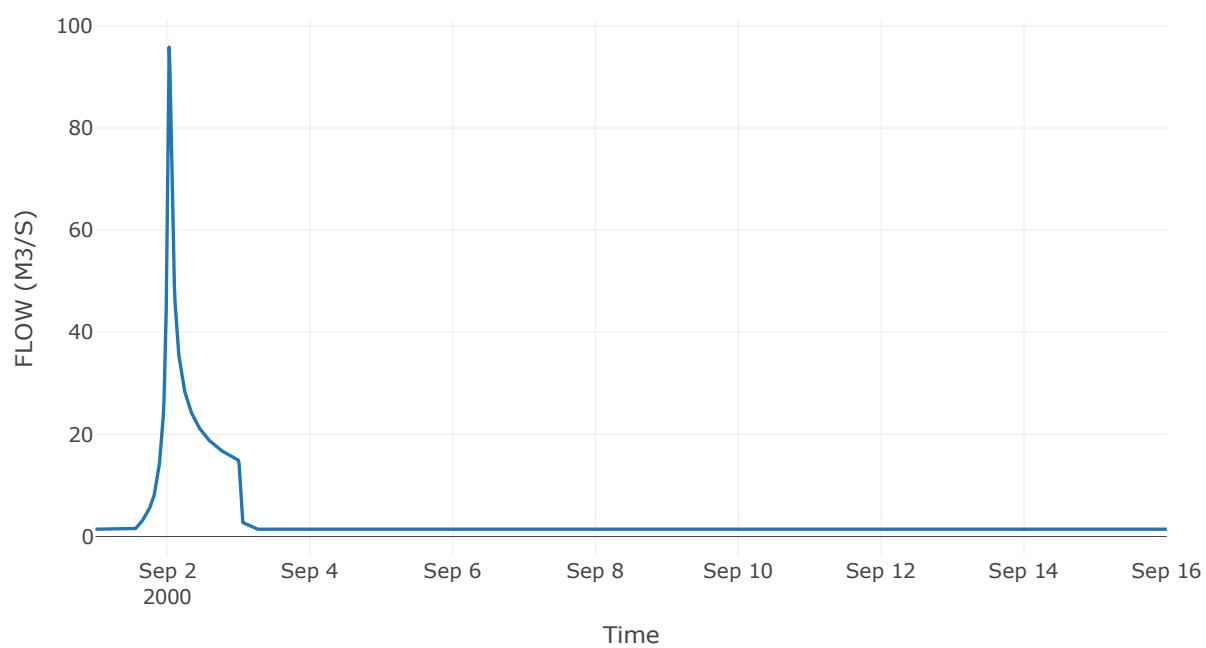
Κόμβος: J29

Κατάντη : R2928

Αποτελέσματα: J29

| | |
|-----------------------|------------------|
| Παροχή Αιχμής(M3/S) | 95.86 |
| Χρονική στιγμή αιχμής | 02Sep2000, 00:45 |
| Όγκος(MM) | 140.9 |

Απορροή



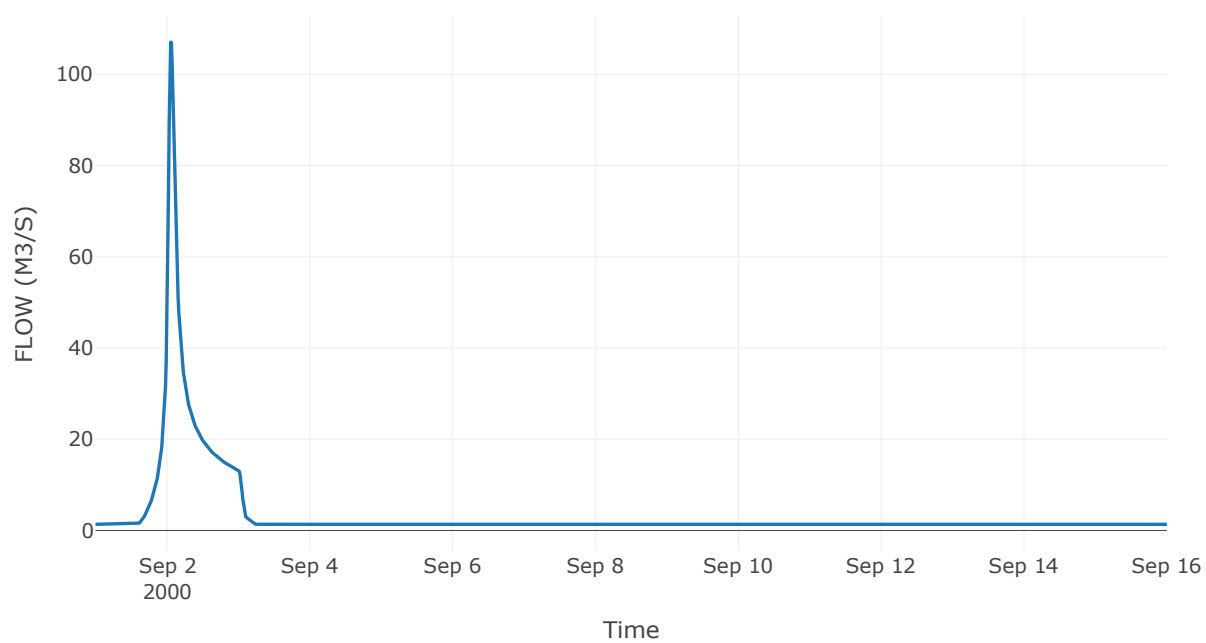
Κόμβος: J30

Κατάντη : R302

Αποτελέσματα: J30

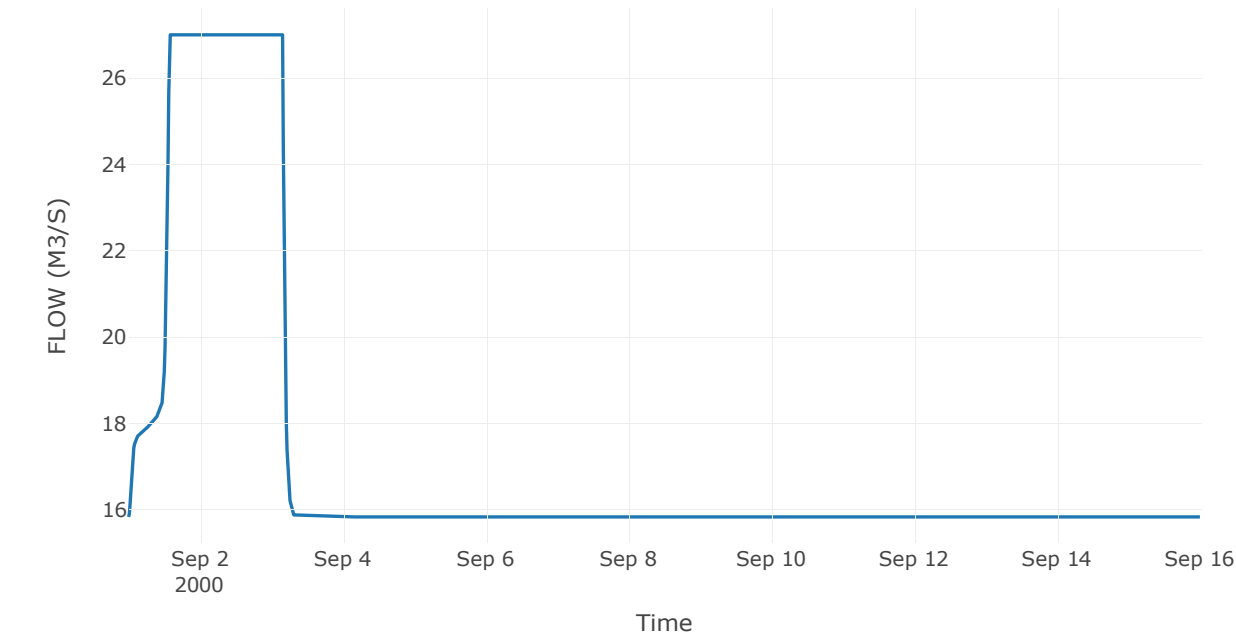
| | |
|-----------------------|------------------|
| Παροχή Αιχμής(M3/S) | 107.01 |
| Χρονική στιγμή αιχμής | 02Sep2000, 01:15 |
| Όγκος(MM) | 154.96 |

Απορροή



| | |
|-----------------------|------------------|
| Παροχή Αιχμής(M3/S) | 27 |
| Χρονική στιγμή αιχμής | 01Sep2000, 13:45 |

Απορροή



4 Δεδομένα εισόδου και αποτελέσματα υδρολογικού σεναρίου T=50U

4.1 Αποτελέσματα, υετογραφήματα και υδρογραφήματα σχεδιασμού υπολεκάνων

Υπολεκάνη: EL0420FR4001

Έκταση (KM2) : 23.03

Κατάνη : J1

Μέθοδος Απωλειών: SCS

| | |
|--------------------------------|-------|
| Ποσοστό αδιαπέρατης επιφάνειας | 0 |
| Αριθμός Καμπύλης Απορροής-CN | 89.31 |
| Αρχικές Απώλειες | 6.08 |

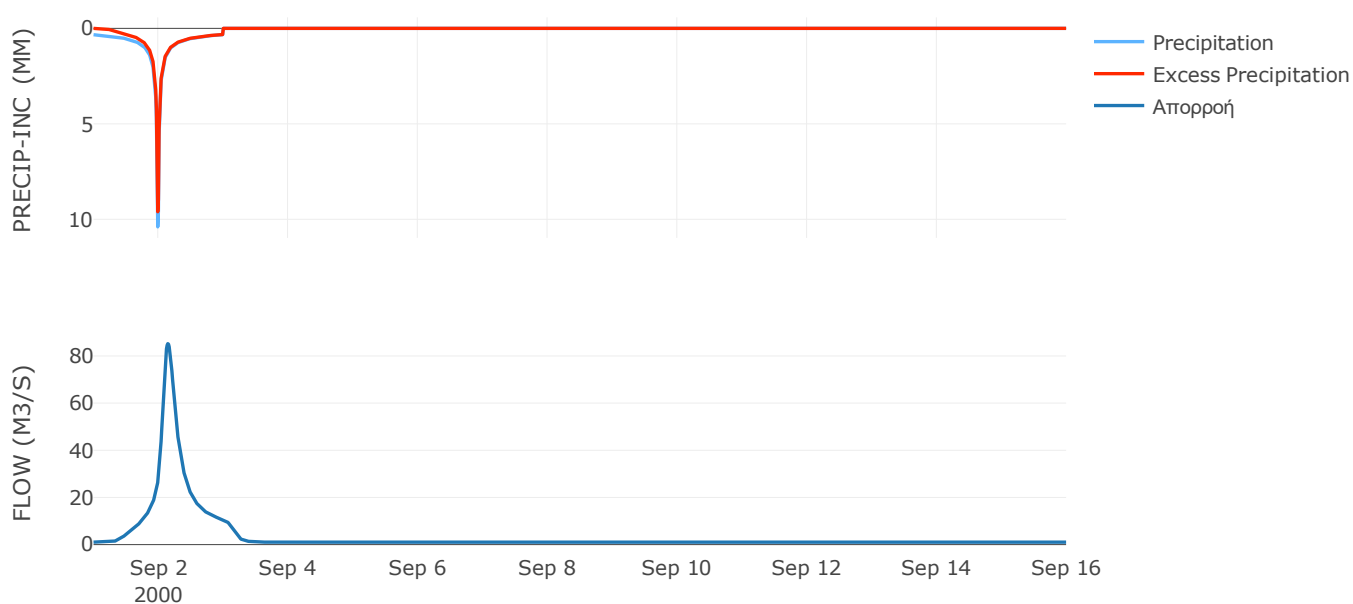
Μέθοδος
Μετασχηματισμού: SCS

| | |
|------------------|--------|
| Χρόνος Υστέρησης | 203.61 |
|------------------|--------|

Αποτελέσματα:
EL0420FR4001

| | |
|-----------------------------|------------------|
| Παροχή αιχμής (M3/S) | 85.22 |
| Χρονική στιγμή αιχμής | 02Sep2000, 03:30 |
| Όγκος (MM) | 204.13 |
| Όγκος βροχόπτωσης (M3) | 4.09E6 |
| Όγκος απωλειών (M3) | 7.35E5 |
| Ενεργός Όγκος (M3) | 3.36E6 |
| Όγκος άμεσης απορροής (M3) | 3.36E6 |
| Όγκος βασικής απορροής (M3) | 1.34E6 |

Βροχόπτωση και Απορροή



Υπολεκάνη: EL0420FR4002

Έκταση (KM2) : 14.69

Κατάντη : J2

Μέθοδος Απωλειών: SCS

| | |
|--------------------------------|-------|
| Ποσοστό αδιαπέρατης επιφάνειας | 0 |
| Αριθμός Καμπύλης Απορροής-CN | 91.07 |
| Αρχικές Απώλειες | 4.98 |

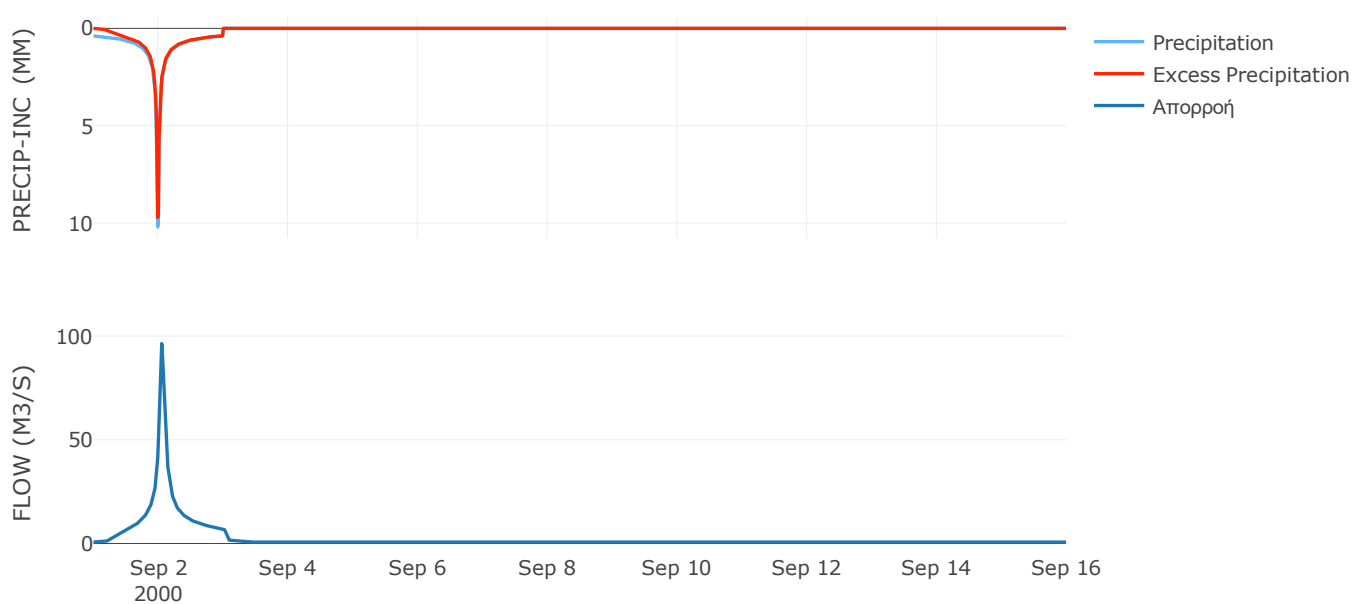
Μέθοδος
Μετασχηματισμού: SCS

| | |
|------------------|-------|
| Χρόνος Υστέρησης | 66.73 |
|------------------|-------|

Αποτελέσματα:
EL0420FR4002

| | |
|-----------------------------|------------------|
| Παροχή αιχμής (M3/S) | 96.39 |
| Χρονική στιγμή αιχμής | 02Sep2000, 01:15 |
| Όγκος (MM) | 226.03 |
| Όγκος βροχόπτωσης (M3) | 2.86E6 |
| Όγκος απωλειών (M3) | 3.97E5 |
| Ενεργός Όγκος (M3) | 2.46E6 |
| Όγκος άμεσης απορροής (M3) | 2.46E6 |
| Όγκος βασικής απορροής (M3) | 8.57E5 |

Βροχόπτωση και Απορροή



Υπολεκάνη: EL0420FR4003

Έκταση (KM2) : 18.27

Κατάντη : J3

Μέθοδος Απωλειών: SCS

| | |
|--------------------------------|-------|
| Ποσοστό αδιαπέρατης επιφάνειας | 0 |
| Αριθμός Καμπύλης Απορροής-CN | 87.53 |
| Αρχικές Απώλειες | 7.24 |

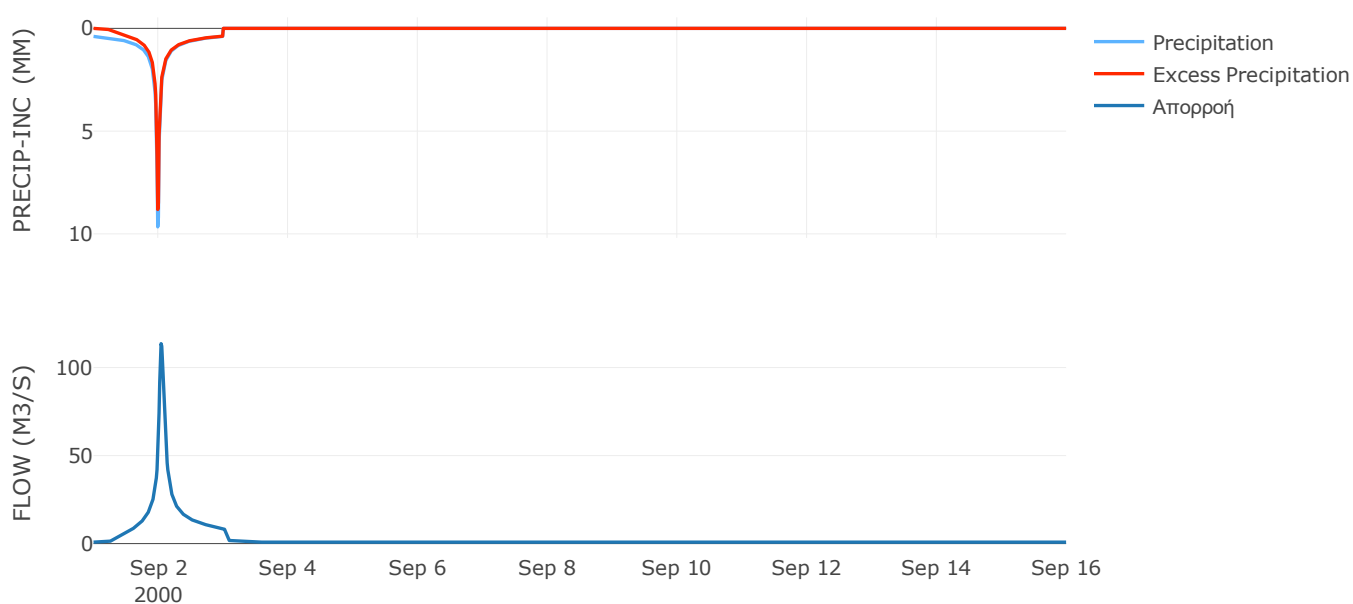
Μέθοδος
Μετασχηματισμού: SCS

| | |
|------------------|-------|
| Χρόνος Υστέρησης | 62.13 |
|------------------|-------|

Αποτελέσματα:
EL0420FR4003

| | |
|-----------------------------|------------------|
| Παροχή αιχμής (M3/S) | 113.58 |
| Χρονική στιγμή αιχμής | 02Sep2000, 01:00 |
| Όγκος (MM) | 213.18 |
| Όγκος βροχόπτωσης (M3) | 3.51E6 |
| Όγκος απωλειών (M3) | 6.85E5 |
| Ενεργός Όγκος (M3) | 2.83E6 |
| Όγκος άμεσης απορροής (M3) | 2.83E6 |
| Όγκος βασικής απορροής (M3) | 1.07E6 |

Βροχόπτωση και Απορροή



Υπολεκάνη: EL0420FR4004

Έκταση (KM2) : 43.51

Κατάντη : J4

Μέθοδος Απωλειών: SCS

| | |
|--------------------------------|-------|
| Ποσοστό αδιαπέρατης επιφάνειας | 0 |
| Αριθμός Καμπύλης Απορροής-CN | 90.69 |
| Αρχικές Απώλειες | 5.22 |

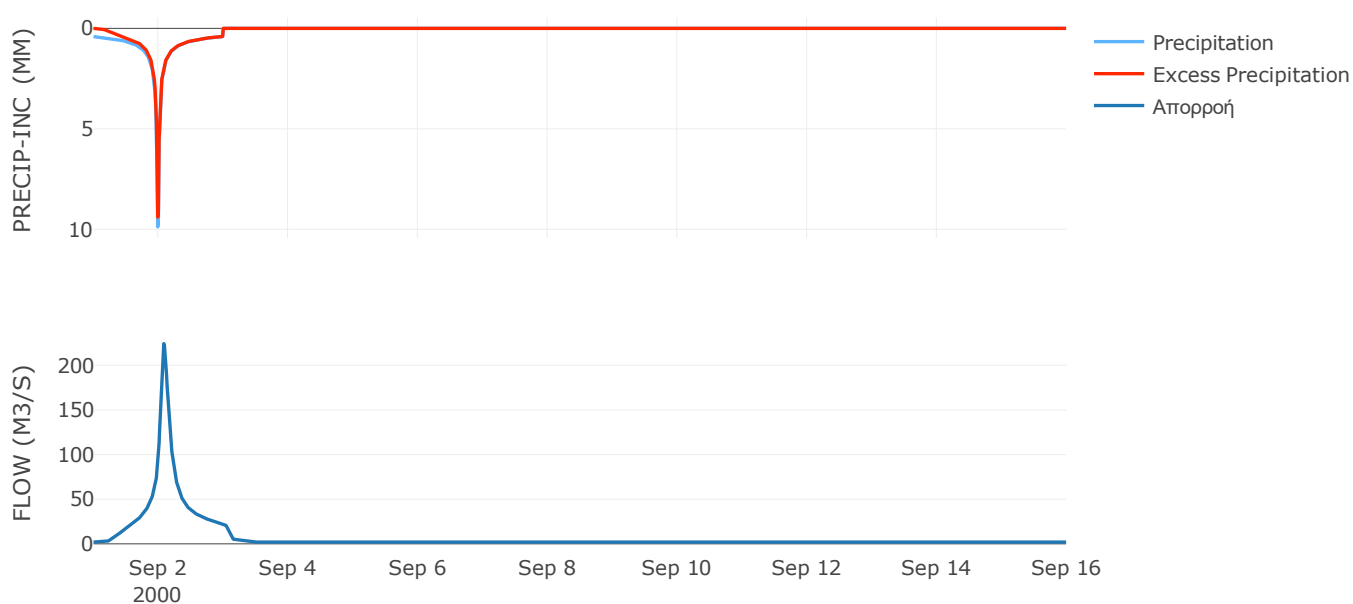
Μέθοδος
Μετασχηματισμού: SCS

| | |
|------------------|--------|
| Χρόνος Υστέρησης | 116.87 |
|------------------|--------|

Αποτελέσματα:
EL0420FR4004

| | |
|-----------------------------|------------------|
| Παροχή αιχμής (M3/S) | 224.28 |
| Χρονική στιγμή αιχμής | 02Sep2000, 02:00 |
| Όγκος (MM) | 229.59 |
| Όγκος βροχόπτωσης (M3) | 8.68E6 |
| Όγκος απωλειών (M3) | 1.23E6 |
| Ενεργός Όγκος (M3) | 7.45E6 |
| Όγκος άμεσης απορροής (M3) | 7.45E6 |
| Όγκος βασικής απορροής (M3) | 2.54E6 |

Βροχόπτωση και Απορροή



Υπολεκάνη: EL0420FR4005

Έκταση (KM2) : 48.87

Κατάντη : J5

Μέθοδος Απωλειών: SCS

| | |
|--------------------------------|-------|
| Ποσοστό αδιαπέρατης επιφάνειας | 0 |
| Αριθμός Καμπύλης Απορροής-CN | 81.52 |
| Αρχικές Απώλειες | 11.52 |

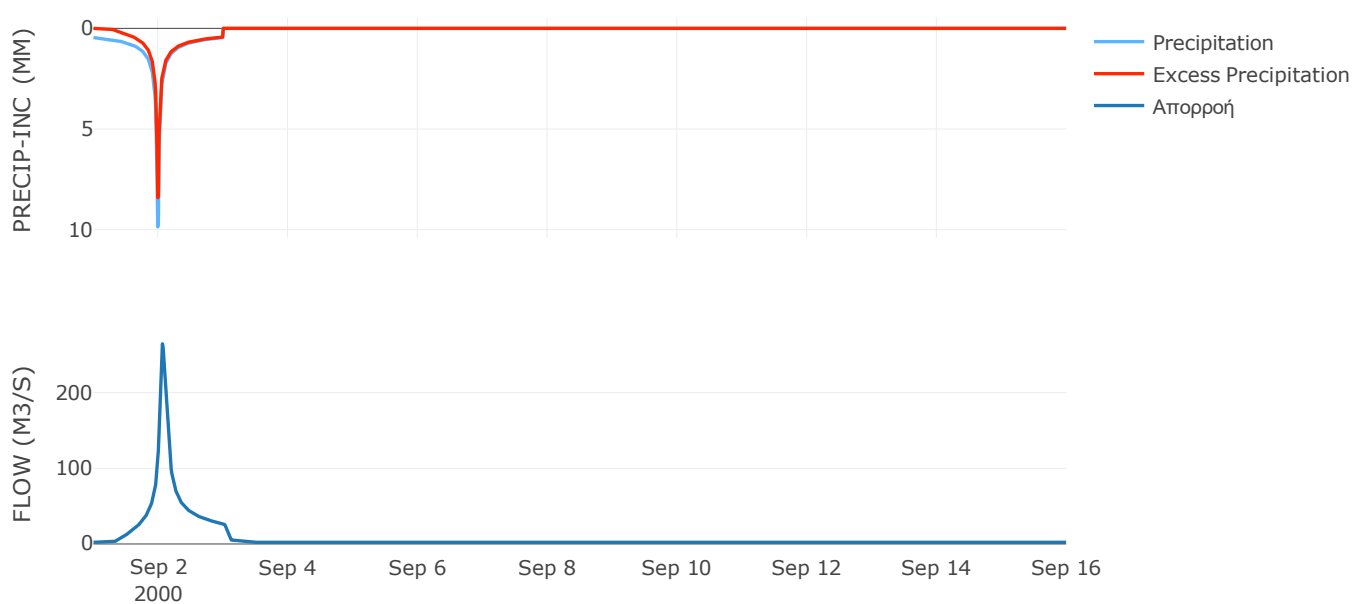
Μέθοδος
Μετασχηματισμού: SCS

| | |
|------------------|-------|
| Χρόνος Υστέρησης | 85.67 |
|------------------|-------|

Αποτελέσματα:
EL0420FR4005

| | |
|-----------------------------|------------------|
| Παροχή αιχμής (M3/S) | 264.47 |
| Χρονική στιγμή αιχμής | 02Sep2000, 01:30 |
| Όγκος (MM) | 216.25 |
| Όγκος βροχόπτωσης (M3) | 1.05E7 |
| Όγκος απωλειών (M3) | 2.75E6 |
| Ενεργός Όγκος (M3) | 7.72E6 |
| Όγκος άμεσης απορροής (M3) | 7.72E6 |
| Όγκος βασικής απορροής (M3) | 2.85E6 |

Βροχόπτωση και Απορροή



Υπολεκάνη: EL0420FR4006

Έκταση (KM2) : 0.82

Κατάνη : J6

Μέθοδος Απωλειών: SCS

| | |
|--------------------------------|-------|
| Ποσοστό αδιαπέρατης επιφάνειας | 0 |
| Αριθμός Καμπύλης Απορροής-CN | 73.67 |
| Αρχικές Απώλειες | 18.16 |

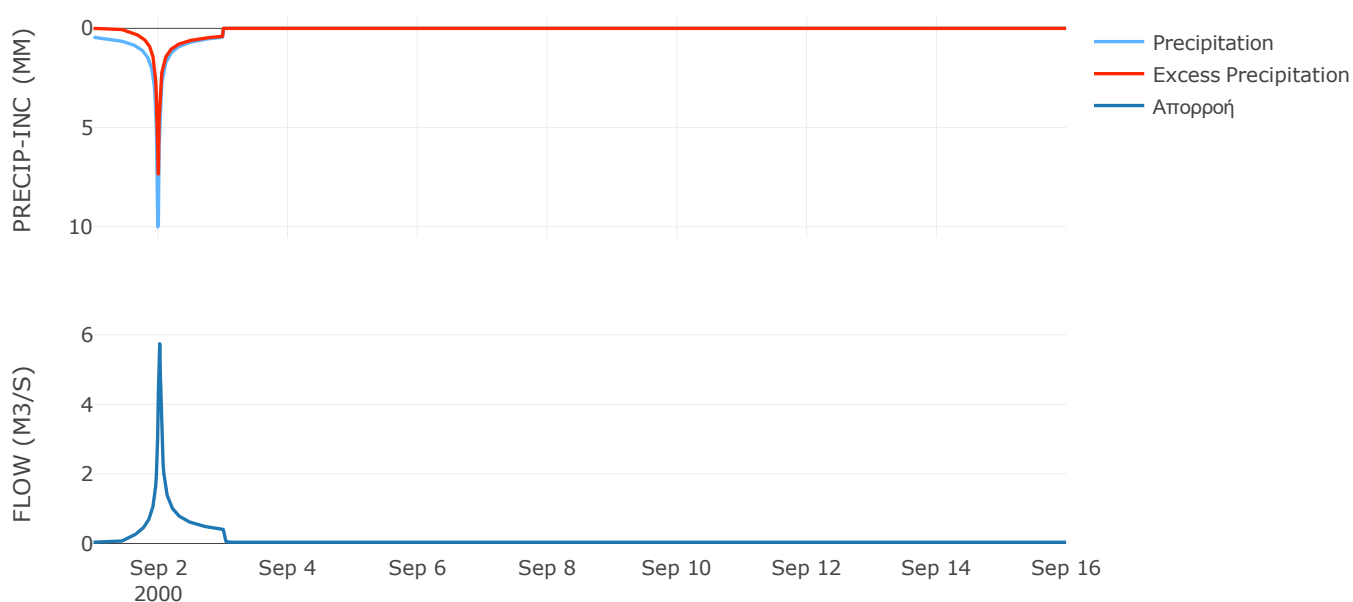
Μέθοδος
Μετασχηματισμού: SCS

| | |
|------------------|-------|
| Χρόνος Υστέρησης | 21.17 |
|------------------|-------|

Αποτελέσματα:
EL0420FR4006

| | |
|-----------------------------|------------------|
| Παροχή αιχμής (M3/S) | 5.74 |
| Χρονική στιγμή αιχμής | 02Sep2000, 00:30 |
| Όγκος (MM) | 191 |
| Όγκος βροχόπτωσης (M3) | 1.74E5 |
| Όγκος απωλειών (M3) | 65464.53 |
| Ενεργός Όγκος (M3) | 1.08E5 |
| Όγκος άμεσης απορροής (M3) | 1.08E5 |
| Όγκος βασικής απορροής (M3) | 47691.5 |

Βροχόπτωση και Απορροή



Υπολεκάνη: EL0420FR4007

Έκταση (KM2) : 16.52

Κατάνη : J7

Μέθοδος Απωλειών: SCS

| | |
|--------------------------------|-------|
| Ποσοστό αδιαπέρατης επιφάνειας | 0 |
| Αριθμός Καμπύλης Απορροής-CN | 78.11 |
| Αρχικές Απώλειες | 14.24 |

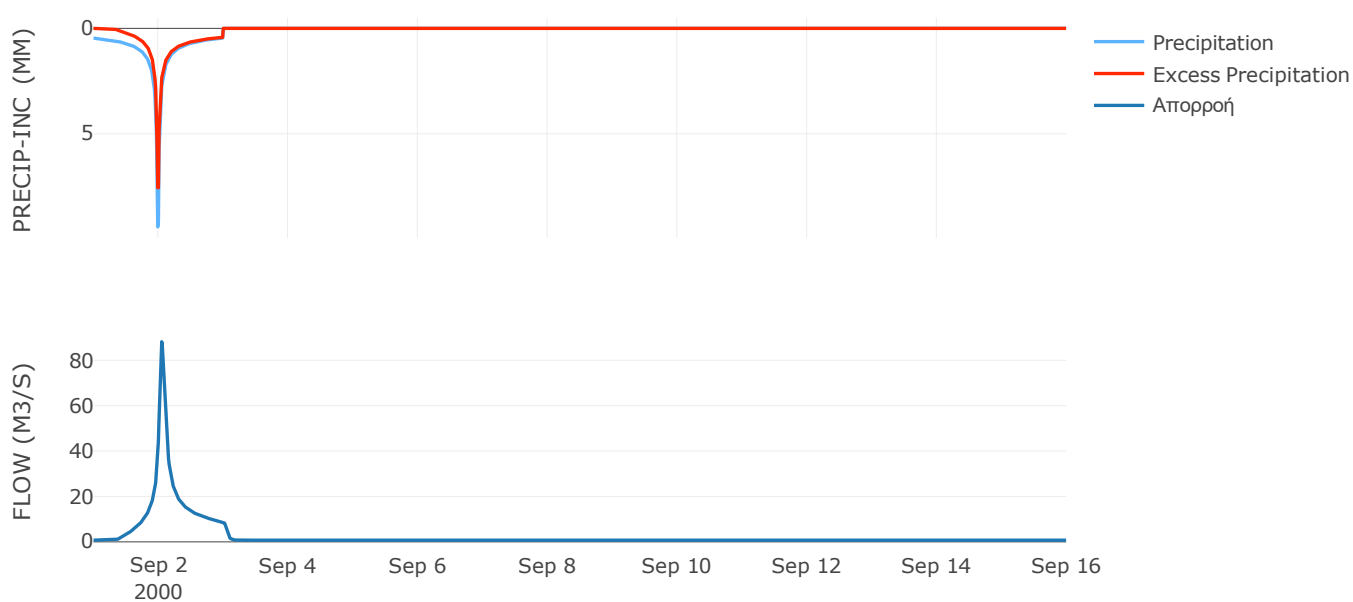
Μέθοδος
Μετασχηματισμού: SCS

| | |
|------------------|-------|
| Χρόνος Υστέρησης | 69.18 |
|------------------|-------|

Αποτελέσματα:
EL0420FR4007

| | |
|-----------------------------|------------------|
| Παροχή αιχμής (M3/S) | 88.2 |
| Χρονική στιγμή αιχμής | 02Sep2000, 01:15 |
| Όγκος (MM) | 203.73 |
| Όγκος βροχόπτωσης (M3) | 3.5E6 |
| Όγκος απωλειών (M3) | 1.1E6 |
| Ενεργός Όγκος (M3) | 2.4E6 |
| Όγκος άμεσης απορροής (M3) | 2.4E6 |
| Όγκος βασικής απορροής (M3) | 9.63E5 |

Βροχόπτωση και Απορροή



Υπολεκάνη: EL0420FR4008

Έκταση (KM2) : 12.7

Κατάντη : J8

Μέθοδος Απωλειών: SCS

| | |
|--------------------------------|-------|
| Ποσοστό αδιαπέρατης επιφάνειας | 0 |
| Αριθμός Καμπύλης Απορροής-CN | 76.84 |
| Αρχικές Απώλειες | 15.31 |

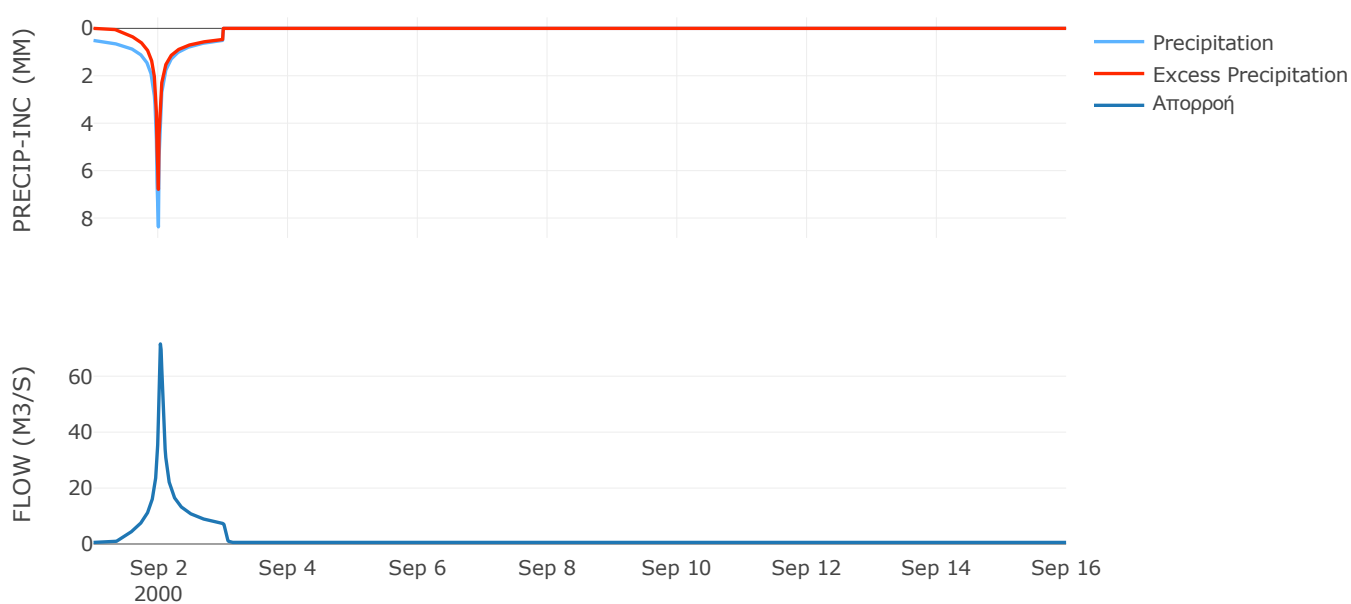
Μέθοδος
Μετασχηματισμού: SCS

| | |
|------------------|-------|
| Χρόνος Υστέρησης | 44.37 |
|------------------|-------|

Αποτελέσματα:
EL0420FR4008

| | |
|-----------------------------|------------------|
| Παροχή αιχμής (M3/S) | 71.55 |
| Χρονική στιγμή αιχμής | 02Sep2000, 00:45 |
| Όγκος (MM) | 205.44 |
| Όγκος βροχόπτωσης (M3) | 2.77E6 |
| Όγκος απωλειών (M3) | 9E5 |
| Ενεργός Όγκος (M3) | 1.87E6 |
| Όγκος άμεσης απορροής (M3) | 1.87E6 |
| Όγκος βασικής απορροής (M3) | 7.41E5 |

Βροχόπτωση και Απορροή



Υπολεκάνη: EL0420FR4009

Έκταση (KM2) : 5.92

Κατάνη : J9

Μέθοδος Απωλειών: SCS

| | |
|--------------------------------|-------|
| Ποσοστό αδιαπέρατης επιφάνειας | 0 |
| Αριθμός Καμπύλης Απορροής-CN | 80.05 |
| Αρχικές Απώλειες | 12.66 |

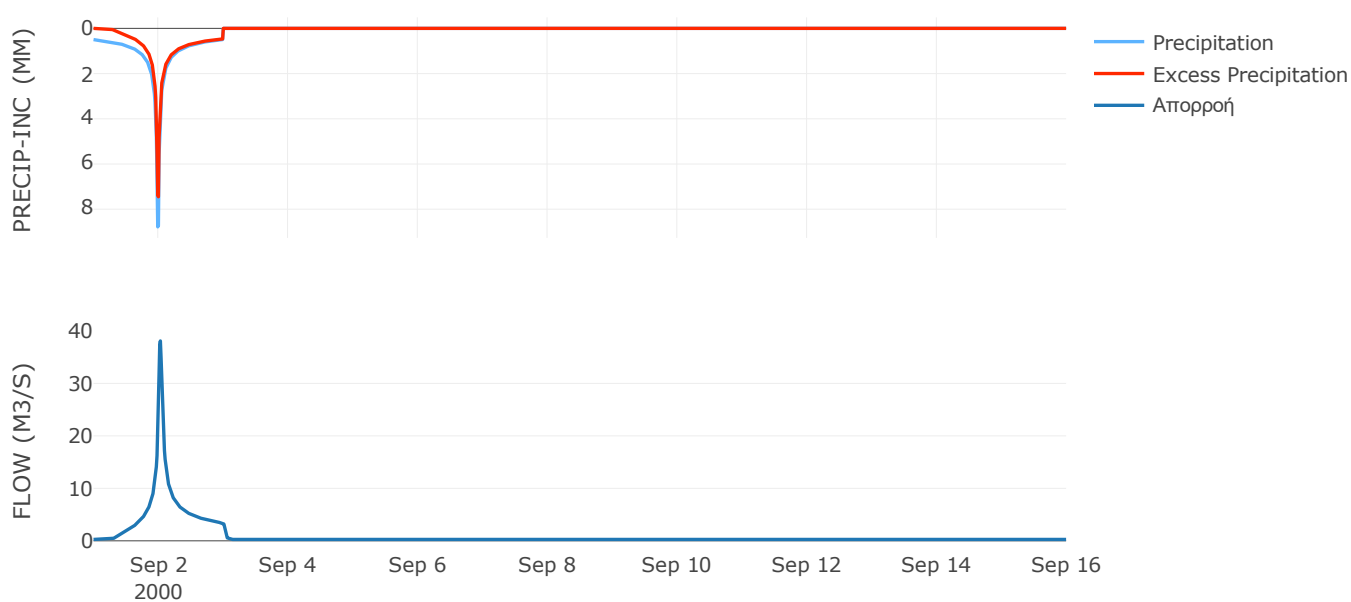
Μέθοδος
Μετασχηματισμού: SCS

| | |
|------------------|-------|
| Χρόνος Υστέρησης | 37.44 |
|------------------|-------|

Αποτελέσματα:
EL0420FR4009

| | |
|-----------------------------|------------------|
| Παροχή αιχμής (M3/S) | 38.1 |
| Χρονική στιγμή αιχμής | 02Sep2000, 00:45 |
| Όγκος (MM) | 215.02 |
| Όγκος βροχόπτωσης (M3) | 1.29E6 |
| Όγκος απωλειών (M3) | 3.61E5 |
| Ενεργός Όγκος (M3) | 9.28E5 |
| Όγκος άμεσης απορροής (M3) | 9.28E5 |
| Όγκος βασικής απορροής (M3) | 3.45E5 |

Βροχόπτωση και Απορροή



Υπολεκάνη: EL0420FR4010

Έκταση (KM2) : 2.67

Κατάντη : J10

Μέθοδος Απωλειών: SCS

| | |
|--------------------------------|-------|
| Ποσοστό αδιαπέρατης επιφάνειας | 0 |
| Αριθμός Καμπύλης Απορροής-CN | 76.34 |
| Αρχικές Απώλειες | 15.74 |

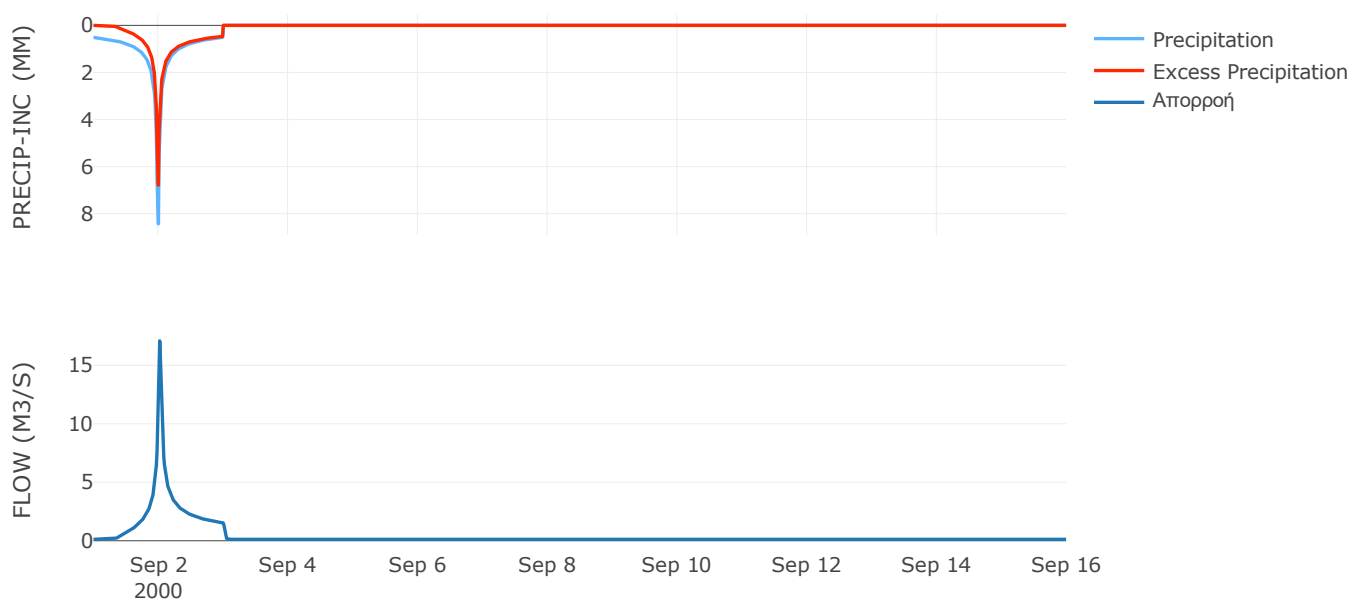
Μέθοδος
Μετασχηματισμού: SCS

| | |
|------------------|-------|
| Χρόνος Υστέρησης | 26.25 |
|------------------|-------|

Αποτελέσματα:
EL0420FR4010

| | |
|-----------------------------|------------------|
| Παροχή αιχμής (M3/S) | 17.09 |
| Χρονική στιγμή αιχμής | 02Sep2000, 00:30 |
| Όγκος (MM) | 204.55 |
| Όγκος βροχόπτωσης (M3) | 5.84E5 |
| Όγκος απωλειών (M3) | 1.93E5 |
| Ενεργός Όγκος (M3) | 3.9E5 |
| Όγκος άμεσης απορροής (M3) | 3.9E5 |
| Όγκος βασικής απορροής (M3) | 1.56E5 |

Βροχόπτωση και Απορροή



Υπολεκάνη: EL0420FR4011

Έκταση (KM2) : 55.39

Κατάνη : J11

Μέθοδος Απωλειών: SCS

| | |
|--------------------------------|-------|
| Ποσοστό αδιαπέρατης επιφάνειας | 0 |
| Αριθμός Καμπύλης Απορροής-CN | 75.17 |
| Αρχικές Απώλειες | 16.78 |

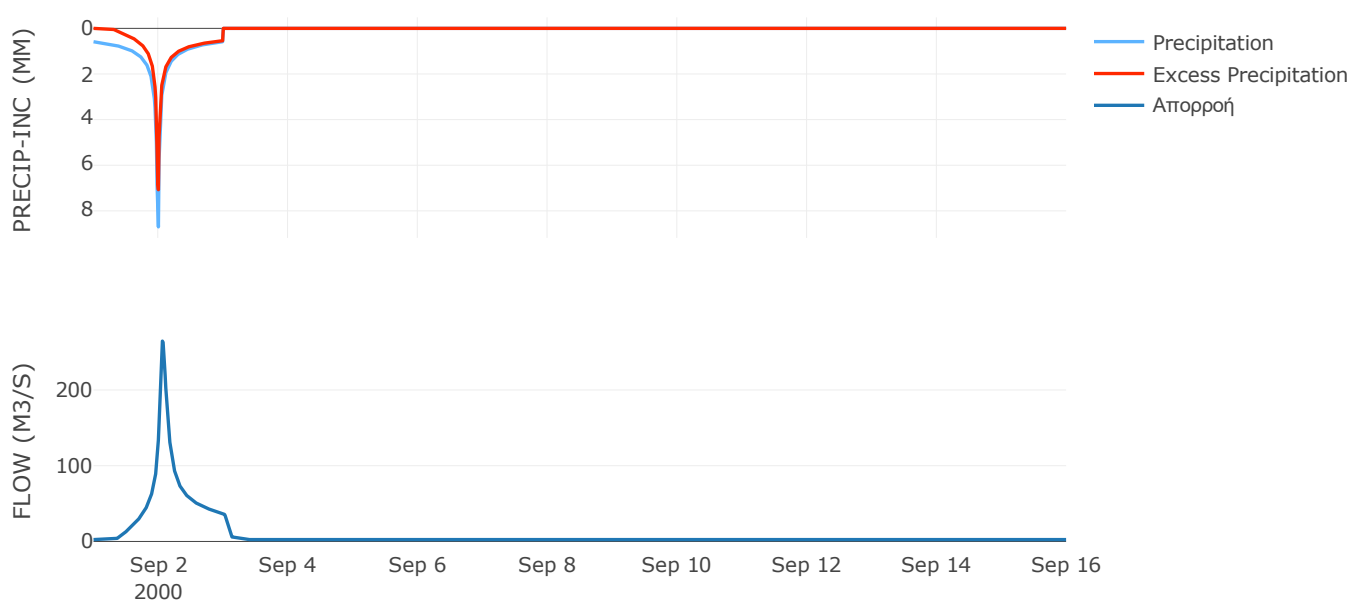
Μέθοδος
Μετασχηματισμού: SCS

| | |
|------------------|------|
| Χρόνος Υστέρησης | 87.1 |
|------------------|------|

Αποτελέσματα:
EL0420FR4011

| | |
|-----------------------------|------------------|
| Παροχή αιχμής (M3/S) | 264.49 |
| Χρονική στιγμή αιχμής | 02Sep2000, 01:30 |
| Όγκος (MM) | 222.15 |
| Όγκος βροχόπτωσης (M3) | 1.34E7 |
| Όγκος απωλειών (M3) | 4.31E6 |
| Ενεργός Όγκος (M3) | 9.07E6 |
| Όγκος άμεσης απορροής (M3) | 9.07E6 |
| Όγκος βασικής απορροής (M3) | 3.23E6 |

Βροχόπτωση και Απορροή



Υπολεκάνη: EL0420FR4012

Έκταση (KM2) : 2.36

Κατάντη : J12

Μέθοδος Απωλειών: SCS

| | |
|--------------------------------|-------|
| Ποσοστό αδιαπέρατης επιφάνειας | 0 |
| Αριθμός Καμπύλης Απορροής-CN | 82.96 |
| Αρχικές Απώλειες | 10.43 |

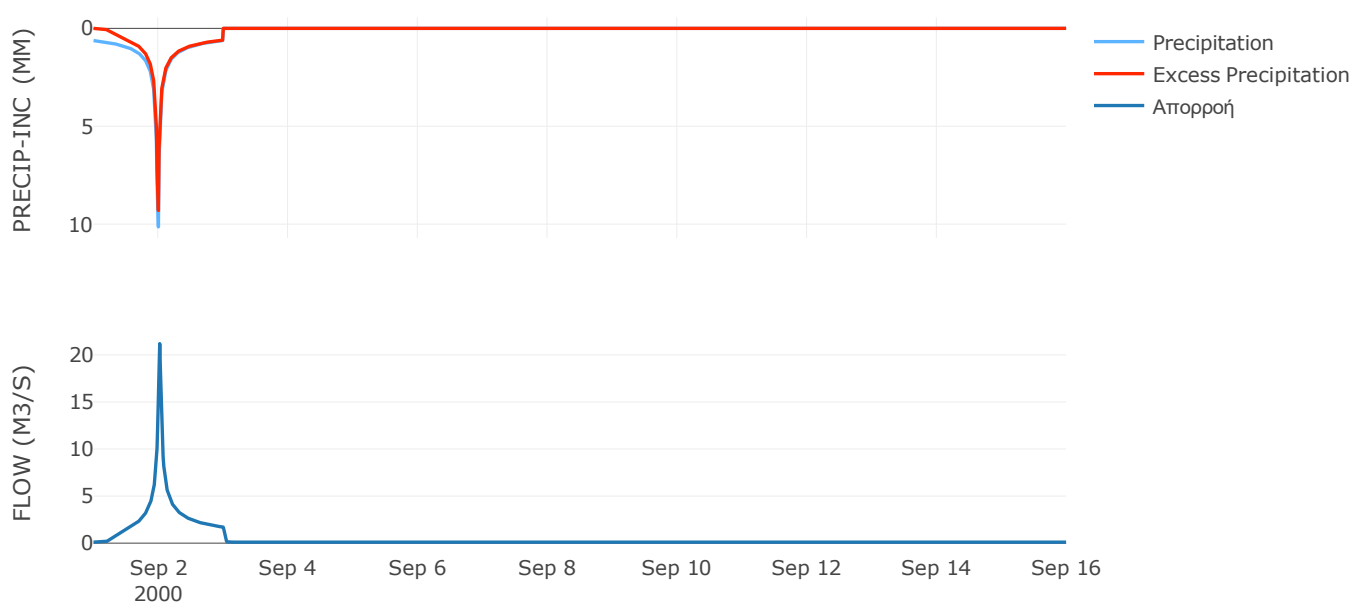
Μέθοδος
Μετασχηματισμού: SCS

| | |
|------------------|-------|
| Χρόνος Υστέρησης | 23.12 |
|------------------|-------|

Αποτελέσματα:
EL0420FR4012

| | |
|-----------------------------|------------------|
| Παροχή αιχμής (M3/S) | 21.2 |
| Χρονική στιγμή αιχμής | 02Sep2000, 00:30 |
| Όγκος (MM) | 270.12 |
| Όγκος βροχόπτωσης (M3) | 6.27E5 |
| Όγκος απωλειών (M3) | 1.27E5 |
| Ενεργός Όγκος (M3) | 5E5 |
| Όγκος άμεσης απορροής (M3) | 5E5 |
| Όγκος βασικής απορροής (M3) | 1.38E5 |

Βροχόπτωση και Απορροή



Υπολεκάνη: EL0420FR4013

Έκταση (KM2) : 1.96

Κατάντη : J14

Μέθοδος Απωλειών: SCS

| | |
|--------------------------------|-------|
| Ποσοστό αδιαπέρατης επιφάνειας | 24 |
| Αριθμός Καμπύλης Απορροής-CN | 92.24 |
| Αρχικές Απώλειες | 4.28 |

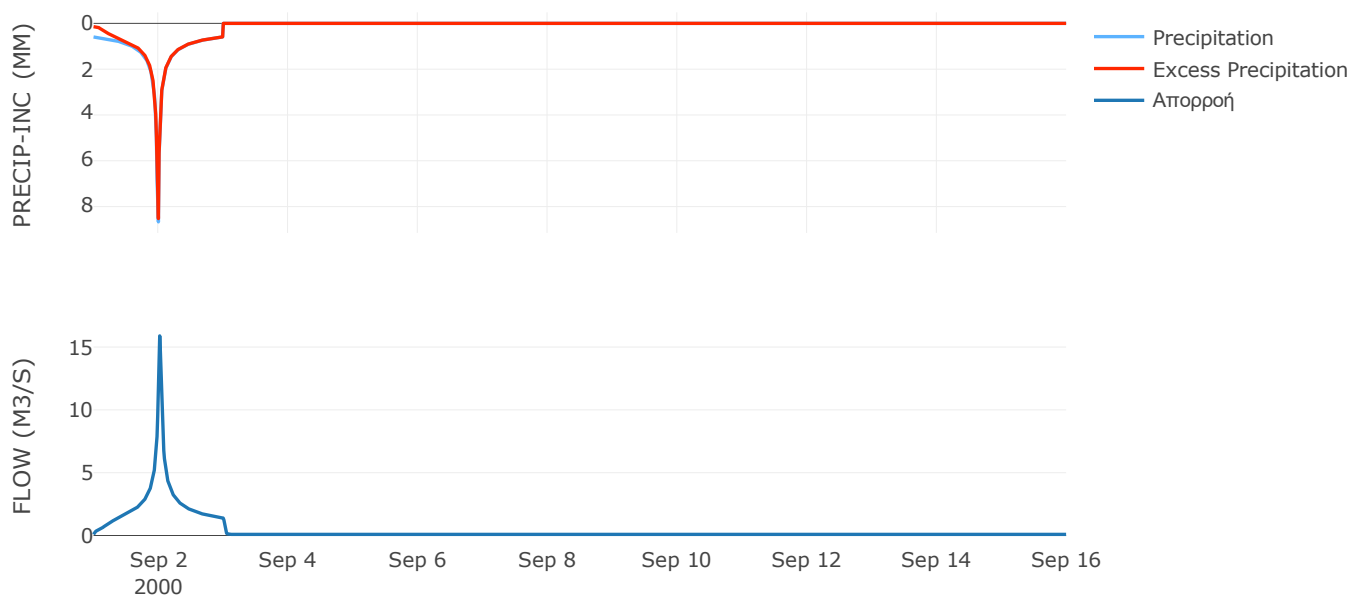
Μέθοδος
Μετασχηματισμού: SCS

| | |
|------------------|-------|
| Χρόνος Υστέρησης | 27.43 |
|------------------|-------|

Αποτελέσματα:
EL0420FR4013

| | |
|-----------------------------|------------------|
| Παροχή αιχμής (M3/S) | 15.89 |
| Χρονική στιγμή αιχμής | 02Sep2000, 00:30 |
| Όγκος (MM) | 283.82 |
| Όγκος βροχόπτωσης (M3) | 4.77E5 |
| Όγκος απωλειών (M3) | 35591.03 |
| Ενεργός Όγκος (M3) | 4.42E5 |
| Όγκος άμεσης απορροής (M3) | 4.42E5 |
| Όγκος βασικής απορροής (M3) | 1.14E5 |

Βροχόπτωση και Απορροή



Υπολεκάνη: EL0420FR4014

Έκταση (KM2) : 27.11

Κατάντη : J14

Μέθοδος Απωλειών: SCS

| | |
|--------------------------------|-------|
| Ποσοστό αδιαπέρατης επιφάνειας | 7 |
| Αριθμός Καμπύλης Απορροής-CN | 83.28 |
| Αρχικές Απώλειες | 10.2 |

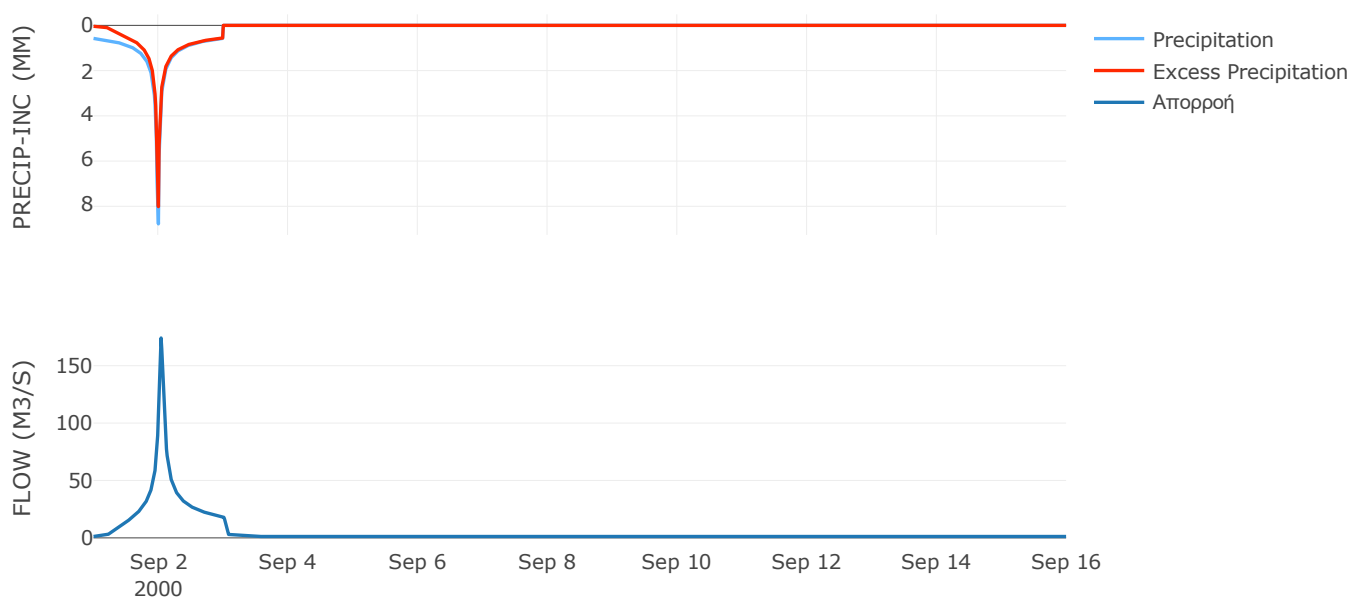
Μέθοδος
Μετασχηματισμού: SCS

| | |
|------------------|-------|
| Χρόνος Υστέρησης | 52.34 |
|------------------|-------|

Αποτελέσματα:
EL0420FR4014

| | |
|-----------------------------|------------------|
| Παροχή αιχμής (M3/S) | 174.11 |
| Χρονική στιγμή αιχμής | 02Sep2000, 01:00 |
| Όγκος (MM) | 250.05 |
| Όγκος βροχόπτωσης (M3) | 6.51E6 |
| Όγκος απωλειών (M3) | 1.31E6 |
| Ενεργός Όγκος (M3) | 5.2E6 |
| Όγκος άμεσης απορροής (M3) | 5.2E6 |
| Όγκος βασικής απορροής (M3) | 1.58E6 |

Βροχόπτωση και Απορροή



Υπολεκάνη: EL0420FR4015

Έκταση (KM2) : 10.07

Κατάνη : J15

Μέθοδος Απωλειών: SCS

| | |
|--------------------------------|-------|
| Ποσοστό αδιαπέρατης επιφάνειας | 0 |
| Αριθμός Καμπύλης Απορροής-CN | 81.05 |
| Αρχικές Απώλειες | 11.88 |

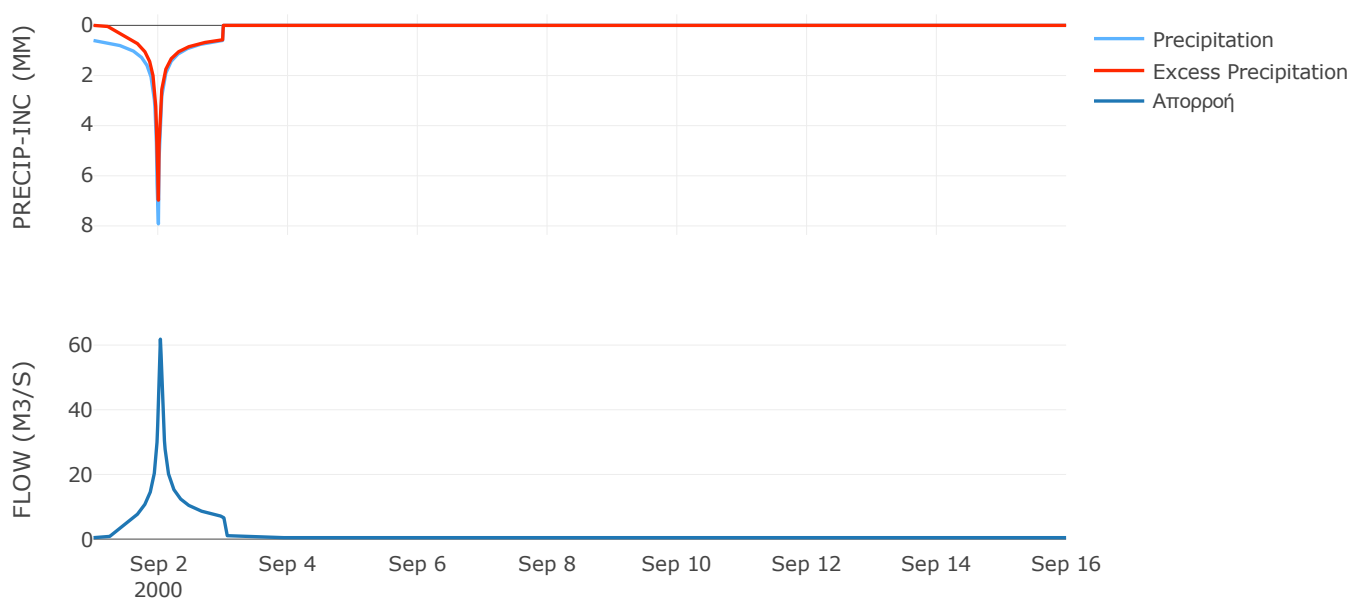
Μέθοδος
Μετασχηματισμού: SCS

| | |
|------------------|-------|
| Χρόνος Υστέρησης | 36.97 |
|------------------|-------|

Αποτελέσματα:
EL0420FR4015

| | |
|-----------------------------|------------------|
| Παροχή αιχμής (M3/S) | 61.84 |
| Χρονική στιγμή αιχμής | 02Sep2000, 00:45 |
| Όγκος (MM) | 237.65 |
| Όγκος βροχόπτωσης (M3) | 2.4E6 |
| Όγκος απωλειών (M3) | 5.93E5 |
| Ενεργός Όγκος (M3) | 1.8E6 |
| Όγκος άμεσης απορροής (M3) | 1.8E6 |
| Όγκος βασικής απορροής (M3) | 5.87E5 |

Βροχόπτωση και Απορροή



Υπολεκάνη: EL0420FR4016

Έκταση (KM2) : 12.09

Κατάνη : J16

Μέθοδος Απωλειών: SCS

| | |
|--------------------------------|-------|
| Ποσοστό αδιαπέρατης επιφάνειας | 0 |
| Αριθμός Καμπύλης Απορροής-CN | 90.43 |
| Αρχικές Απώλειες | 5.38 |

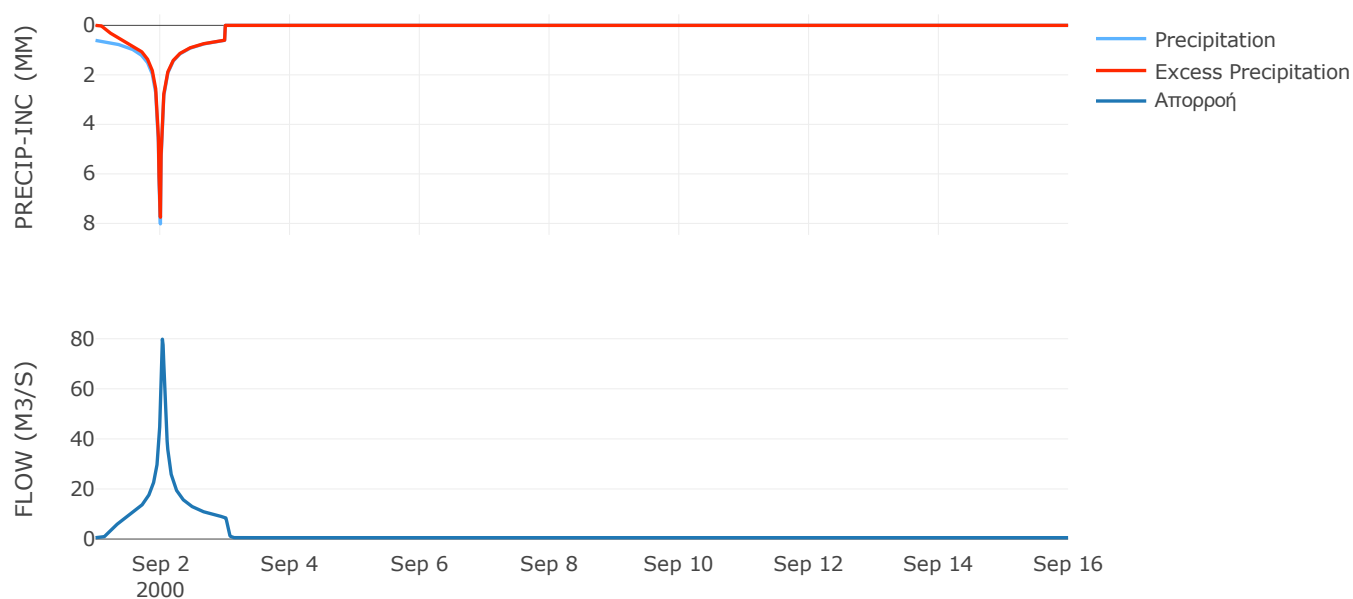
Μέθοδος
Μετασχηματισμού: SCS

| | |
|------------------|-------|
| Χρόνος Υστέρησης | 45.04 |
|------------------|-------|

Αποτελέσματα:
EL0420FR4016

| | |
|-----------------------------|------------------|
| Παροχή αιχμής (M3/S) | 79.82 |
| Χρονική στιγμή αιχμής | 02Sep2000, 00:45 |
| Όγκος (MM) | 269 |
| Όγκος βροχόπτωσης (M3) | 2.9E6 |
| Όγκος απωλειών (M3) | 3.57E5 |
| Ενεργός Όγκος (M3) | 2.55E6 |
| Όγκος άμεσης απορροής (M3) | 2.55E6 |
| Όγκος βασικής απορροής (M3) | 7.05E5 |

Βροχόπτωση και Απορροή



Υπολεκάνη: EL0420FR4017

Έκταση (KM2) : 0.82

Κατάνη : J17

Μέθοδος Απωλειών: SCS

| | |
|--------------------------------|-------|
| Ποσοστό αδιαπέρατης επιφάνειας | 0 |
| Αριθμός Καμπύλης Απορροής-CN | 90.99 |
| Αρχικές Απώλειες | 5.03 |

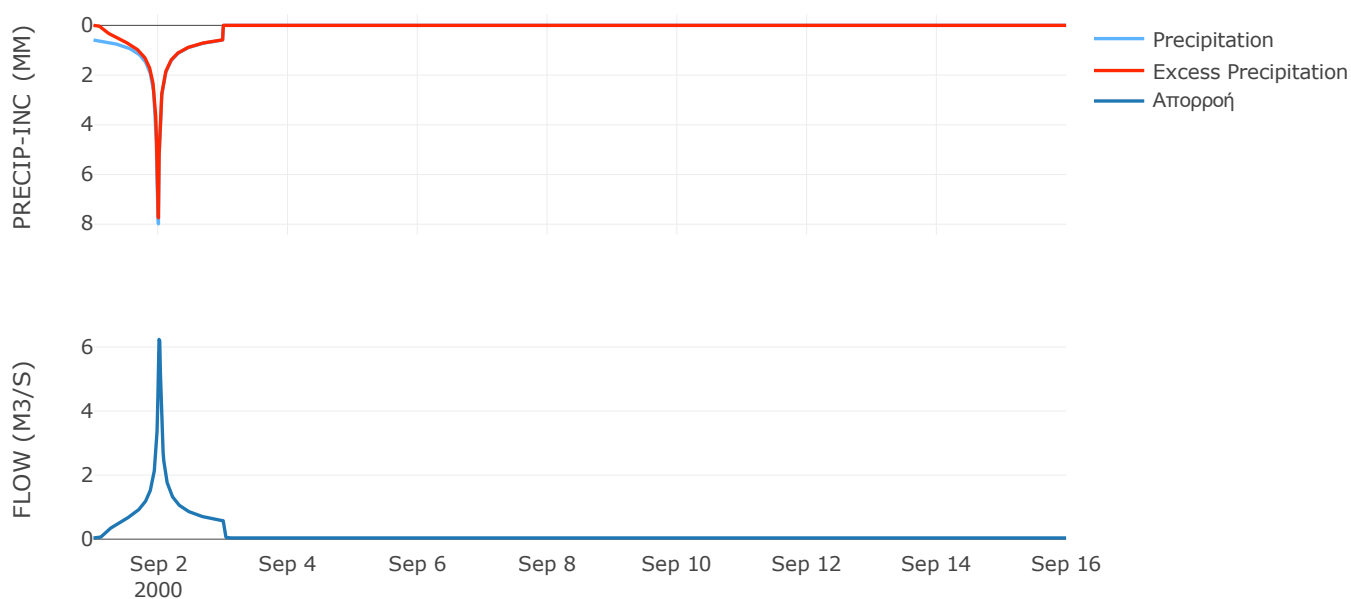
Μέθοδος
Μετασχηματισμού: SCS

| | |
|------------------|-------|
| Χρόνος Υστέρησης | 19.48 |
|------------------|-------|

Αποτελέσματα:
EL0420FR4017

| | |
|-----------------------------|------------------|
| Παροχή αιχμής (M3/S) | 6.24 |
| Χρονική στιγμή αιχμής | 02Sep2000, 00:15 |
| Όγκος (MM) | 266.2 |
| Όγκος βροχόπτωσης (M3) | 1.94E5 |
| Όγκος απωλειών (M3) | 22818.54 |
| Ενεργός Όγκος (M3) | 1.71E5 |
| Όγκος άμεσης απορροής (M3) | 1.71E5 |
| Όγκος βασικής απορροής (M3) | 48007.73 |

Βροχόπτωση και Απορροή



Υπολεκάνη: EL0420FR4018

Έκταση (KM2) : 26.76

Κατάντη : J18

Μέθοδος Απωλειών: SCS

| | |
|--------------------------------|-------|
| Ποσοστό αδιαπέρατης επιφάνειας | 0 |
| Αριθμός Καμπύλης Απορροής-CN | 90.52 |
| Αρχικές Απώλειες | 5.32 |

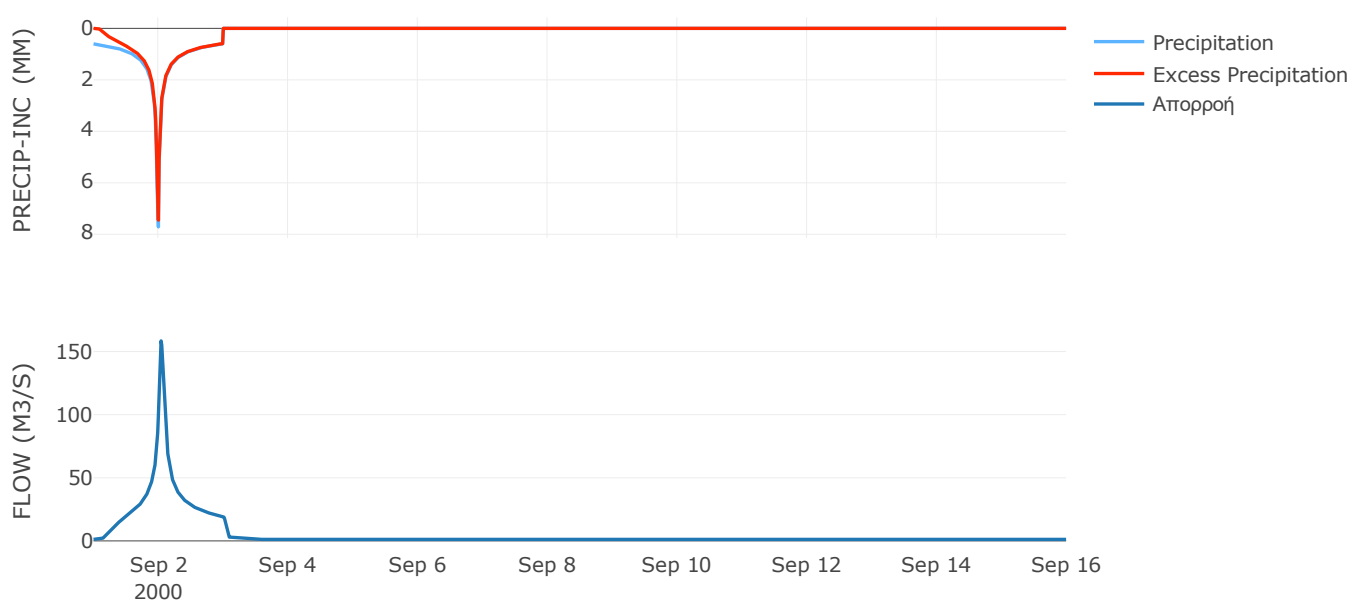
Μέθοδος
Μετασχηματισμού: SCS

| | |
|------------------|-------|
| Χρόνος Υστέρησης | 58.99 |
|------------------|-------|

Αποτελέσματα:
EL0420FR4018

| | |
|-----------------------------|------------------|
| Παροχή αιχμής (M3/S) | 158.45 |
| Χρονική στιγμή αιχμής | 02Sep2000, 01:00 |
| Όγκος (MM) | 264.72 |
| Όγκος βροχόπτωσης (M3) | 6.3E6 |
| Όγκος απωλειών (M3) | 7.8E5 |
| Ενεργός Όγκος (M3) | 5.52E6 |
| Όγκος άμεσης απορροής (M3) | 5.52E6 |
| Όγκος βασικής απορροής (M3) | 1.56E6 |

Βροχόπτωση και Απορροή



Υπολεκάνη: EL0420FR4019

Έκταση (KM2) : 0.87

Κατάντη : J19

Μέθοδος Απωλειών: SCS

| | |
|--------------------------------|-------|
| Ποσοστό αδιαπέρατης επιφάνειας | 0 |
| Αριθμός Καμπύλης Απορροής-CN | 90.96 |
| Αρχικές Απώλειες | 5.05 |

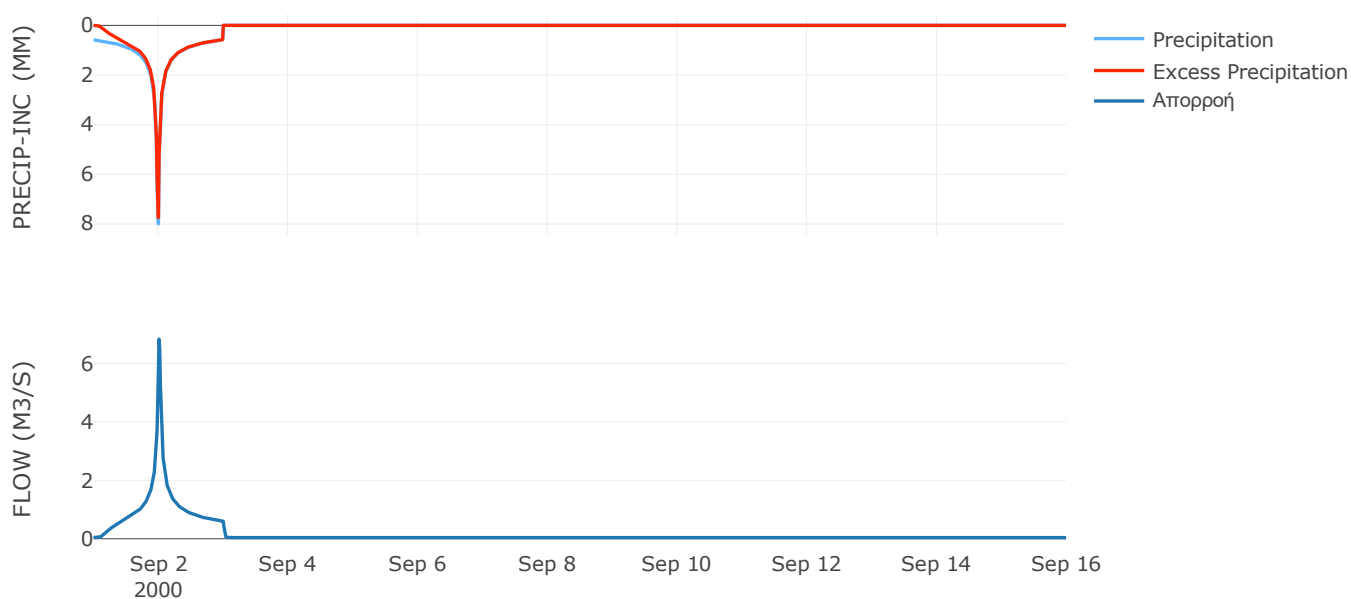
Μέθοδος
Μετασχηματισμού: SCS

| | |
|------------------|-------|
| Χρόνος Υστέρησης | 16.78 |
|------------------|-------|

Αποτελέσματα:
EL0420FR4019

| | |
|-----------------------------|------------------|
| Παροχή αιχμής (M3/S) | 6.84 |
| Χρονική στιγμή αιχμής | 02Sep2000, 00:15 |
| Όγκος (MM) | 263.98 |
| Όγκος βροχόπτωσης (M3) | 2.04E5 |
| Όγκος απωλειών (M3) | 24242.6 |
| Ενεργός Όγκος (M3) | 1.79E5 |
| Όγκος άμεσης απορροής (M3) | 1.79E5 |
| Όγκος βασικής απορροής (M3) | 50877.07 |

Βροχόπτωση και Απορροή



Υπολεκάνη: EL0420FR4020

Έκταση (KM2) : 6.12

Κατάντη : J20

Μέθοδος Απωλειών: SCS

| | |
|--------------------------------|-------|
| Ποσοστό αδιαπέρατης επιφάνειας | 0 |
| Αριθμός Καμπύλης Απορροής-CN | 91.05 |
| Αρχικές Απώλειες | 4.99 |

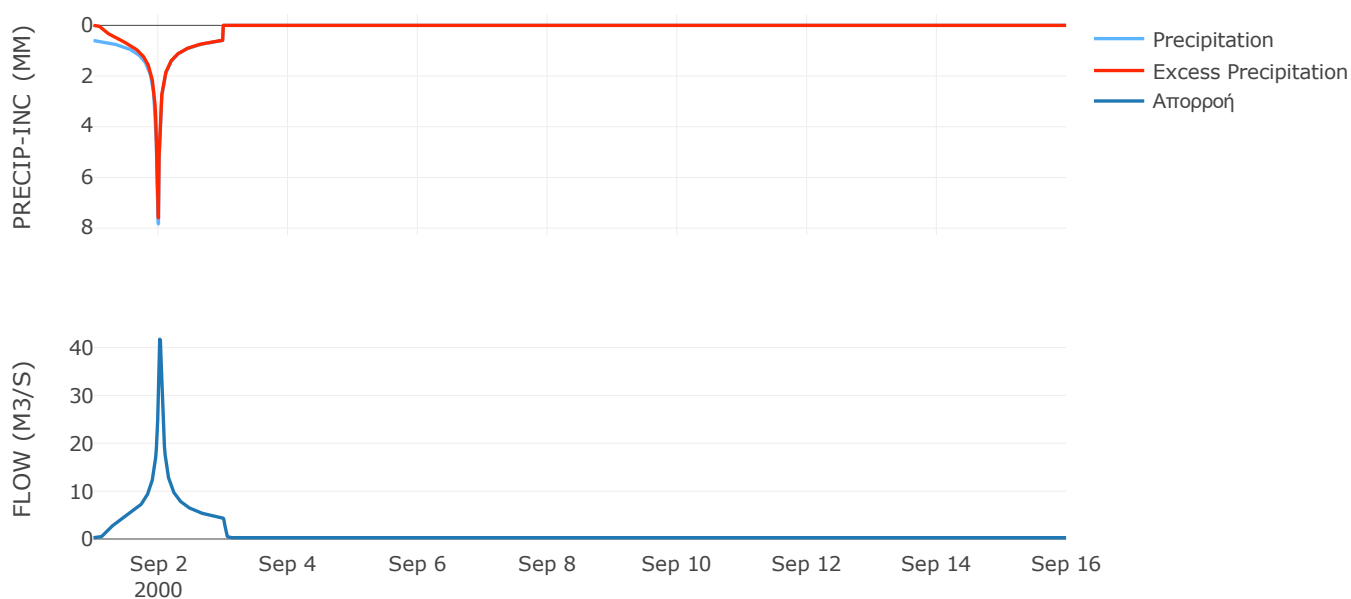
Μέθοδος
Μετασχηματισμού: SCS

| | |
|------------------|-------|
| Χρόνος Υστέρησης | 34.57 |
|------------------|-------|

Αποτελέσματα:
EL0420FR4020

| | |
|-----------------------------|------------------|
| Παροχή αιχμής (M3/S) | 41.73 |
| Χρονική στιγμή αιχμής | 02Sep2000, 00:30 |
| Όγκος (MM) | 266.67 |
| Όγκος βροχόπτωσης (M3) | 1.44E6 |
| Όγκος απωλειών (M3) | 1.69E5 |
| Ενεργός Όγκος (M3) | 1.28E6 |
| Όγκος άμεσης απορροής (M3) | 1.28E6 |
| Όγκος βασικής απορροής (M3) | 3.57E5 |

Βροχόπτωση και Απορροή



Υπολεκάνη: EL0420FR4021

Έκταση (KM2) : 32.13

Κατάντη : J21

Μέθοδος Απωλειών: SCS

| | |
|--------------------------------|-------|
| Ποσοστό αδιαπέρατης επιφάνειας | 0 |
| Αριθμός Καμπύλης Απορροής-CN | 88.87 |
| Αρχικές Απώλειες | 6.36 |

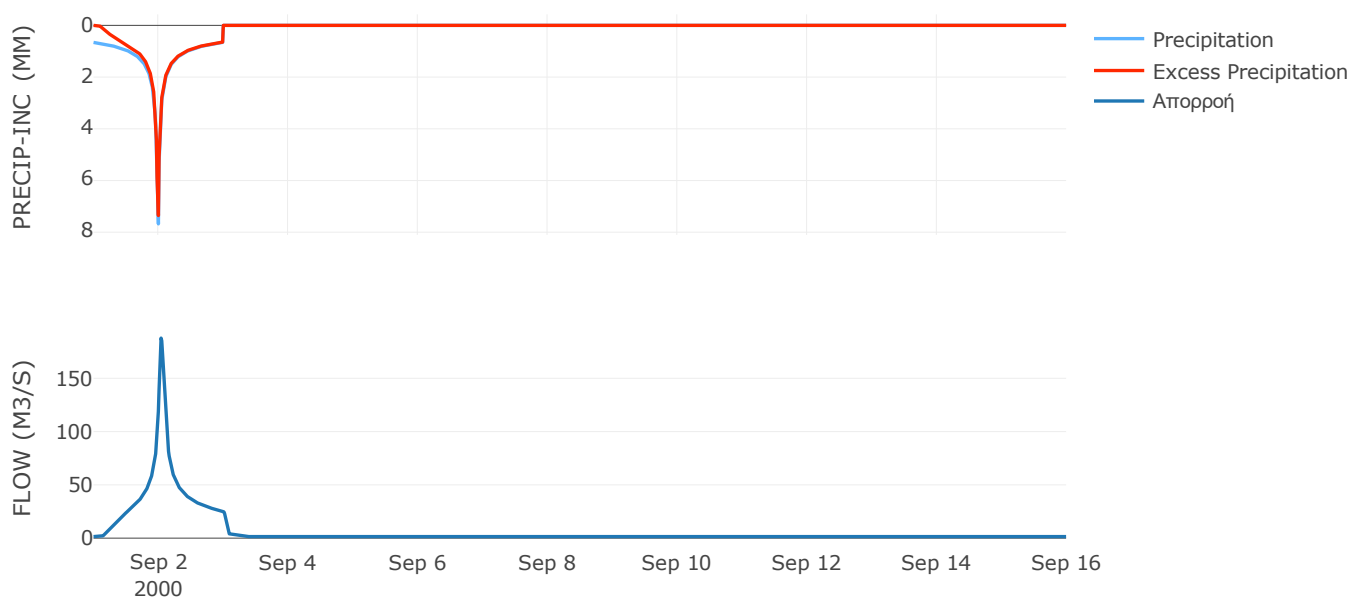
Μέθοδος
Μετασχηματισμού: SCS

| | |
|------------------|-------|
| Χρόνος Υστέρησης | 60.64 |
|------------------|-------|

Αποτελέσματα:
EL0420FR4021

| | |
|-----------------------------|------------------|
| Παροχή αιχμής (M3/S) | 187.77 |
| Χρονική στιγμή αιχμής | 02Sep2000, 01:00 |
| Όγκος (MM) | 273.62 |
| Όγκος βροχόπτωσης (M3) | 8.03E6 |
| Όγκος απωλειών (M3) | 1.11E6 |
| Ενεργός Όγκος (M3) | 6.92E6 |
| Όγκος άμεσης απορροής (M3) | 6.92E6 |
| Όγκος βασικής απορροής (M3) | 1.87E6 |

Βροχόπτωση και Απορροή



Υπολεκάνη: EL0420FR4022

Έκταση (KM2) : 15.31

Κατάνη : J21

Μέθοδος Απωλειών: SCS

| | |
|--------------------------------|-------|
| Ποσοστό αδιαπέρατης επιφάνειας | 0 |
| Αριθμός Καμπύλης Απορροής-CN | 91.04 |
| Αρχικές Απώλειες | 5 |

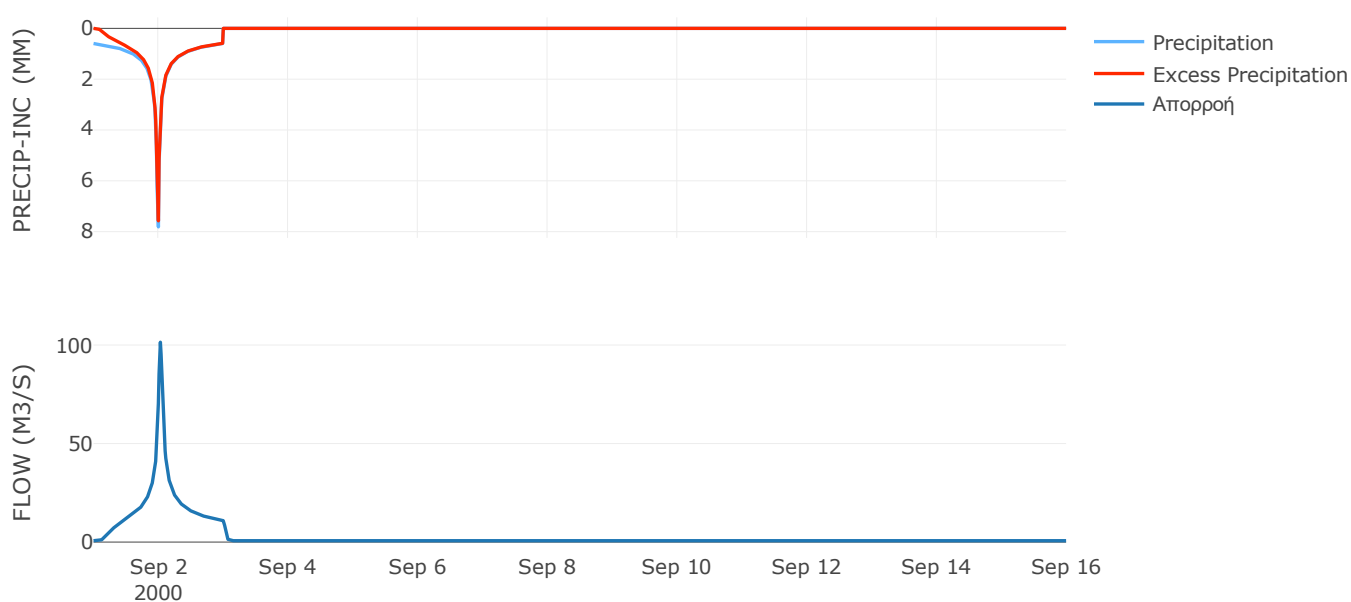
Μέθοδος
Μετασχηματισμού: SCS

| | |
|------------------|-------|
| Χρόνος Υστέρησης | 40.22 |
|------------------|-------|

Αποτελέσματα:
EL0420FR4022

| | |
|-----------------------------|------------------|
| Παροχή αιχμής (M3/S) | 101.42 |
| Χρονική στιγμή αιχμής | 02Sep2000, 00:45 |
| Όγκος (MM) | 265.86 |
| Όγκος βροχόπτωσης (M3) | 3.6E6 |
| Όγκος απωλειών (M3) | 4.21E5 |
| Ενεργός Όγκος (M3) | 3.18E6 |
| Όγκος άμεσης απορροής (M3) | 3.18E6 |
| Όγκος βασικής απορροής (M3) | 8.93E5 |

Βροχόπτωση και Απορροή



Υπολεκάνη: EL0420FR4023

Έκταση (KM2) : 11.12

Κατάντη : J22

Μέθοδος Απωλειών: SCS

| | |
|--------------------------------|-------|
| Ποσοστό αδιαπέρατης επιφάνειας | 0 |
| Αριθμός Καμπύλης Απορροής-CN | 82.66 |
| Αρχικές Απώλειες | 10.65 |

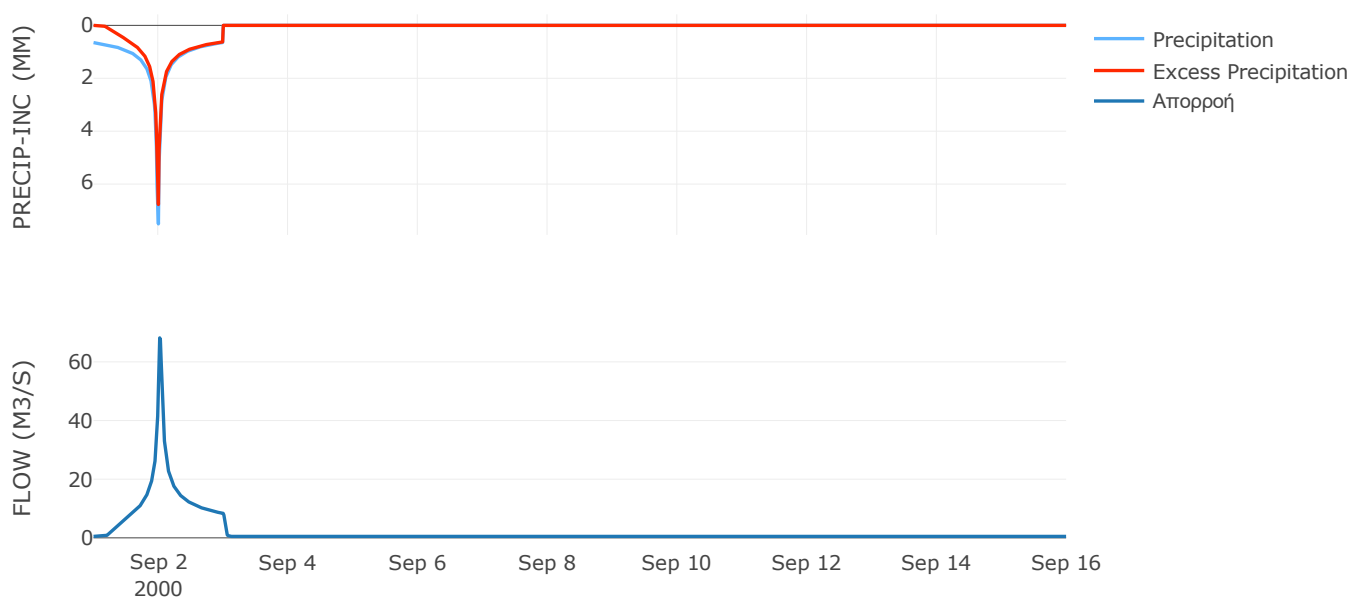
Μέθοδος
Μετασχηματισμού: SCS

| | |
|------------------|-------|
| Χρόνος Υστέρησης | 33.18 |
|------------------|-------|

Αποτελέσματα:
EL0420FR4023

| | |
|-----------------------------|------------------|
| Παροχή αιχμής (M3/S) | 68.19 |
| Χρονική στιγμή αιχμής | 02Sep2000, 00:30 |
| Όγκος (MM) | 250.04 |
| Όγκος βροχόπτωσης (M3) | 2.73E6 |
| Όγκος απωλειών (M3) | 6.01E5 |
| Ενεργός Όγκος (M3) | 2.13E6 |
| Όγκος άμεσης απορροής (M3) | 2.13E6 |
| Όγκος βασικής απορροής (M3) | 6.48E5 |

Βροχόπτωση και Απορροή



Υπολεκάνη: EL0420FR4024

Έκταση (KM2) : 19.63

Κατάντη : J22

Μέθοδος Απωλειών: SCS

| | |
|--------------------------------|-------|
| Ποσοστό αδιαπέρατης επιφάνειας | 0 |
| Αριθμός Καμπύλης Απορροής-CN | 89.22 |
| Αρχικές Απώλειες | 6.14 |

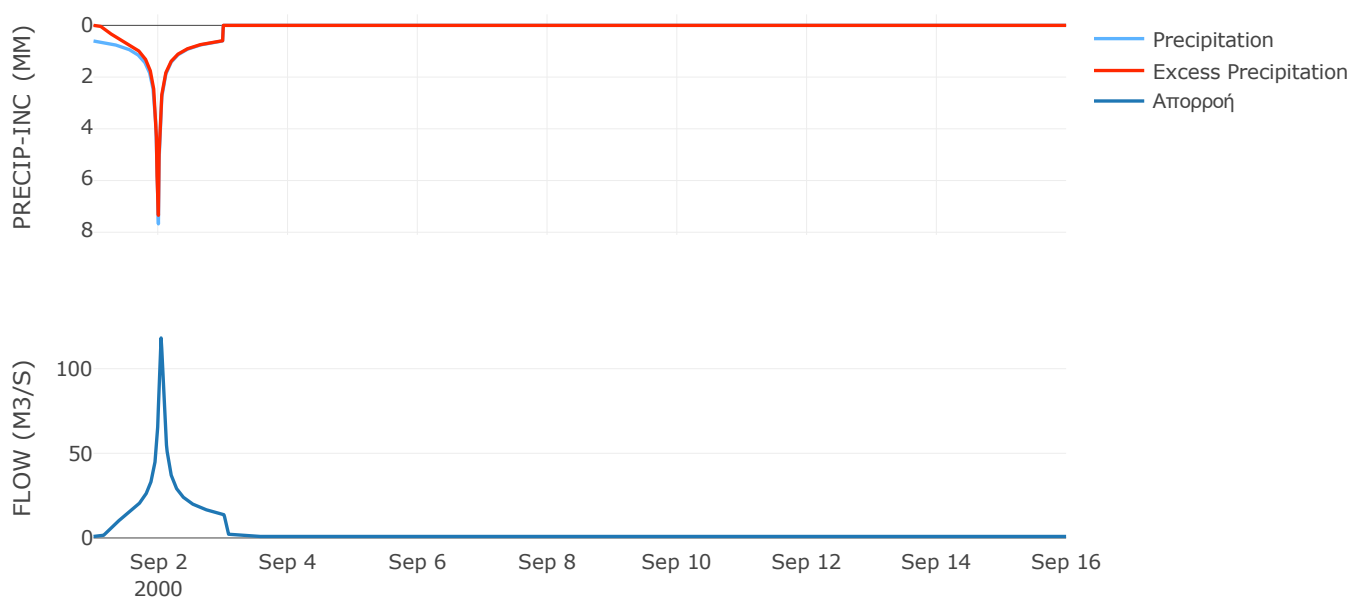
Μέθοδος
Μετασχηματισμού: SCS

| | |
|------------------|-------|
| Χρόνος Υστέρησης | 51.73 |
|------------------|-------|

Αποτελέσματα:
EL0420FR4024

| | |
|-----------------------------|------------------|
| Παροχή αιχμής (M3/S) | 118.17 |
| Χρονική στιγμή αιχμής | 02Sep2000, 01:00 |
| Όγκος (MM) | 261.13 |
| Όγκος βροχόπτωσης (M3) | 4.63E6 |
| Όγκος απωλειών (M3) | 6.52E5 |
| Ενεργός Όγκος (M3) | 3.98E6 |
| Όγκος άμεσης απορροής (M3) | 3.98E6 |
| Όγκος βασικής απορροής (M3) | 1.14E6 |

Βροχόπτωση και Απορροή



Υπολεκάνη: EL0420FR4025

Έκταση (KM2) : 67.33

Κατάντη : J16

Μέθοδος Απωλειών: SCS

| | |
|--------------------------------|-------|
| Ποσοστό αδιαπέρατης επιφάνειας | 0 |
| Αριθμός Καμπύλης Απορροής-CN | 90.07 |
| Αρχικές Απώλειες | 5.6 |

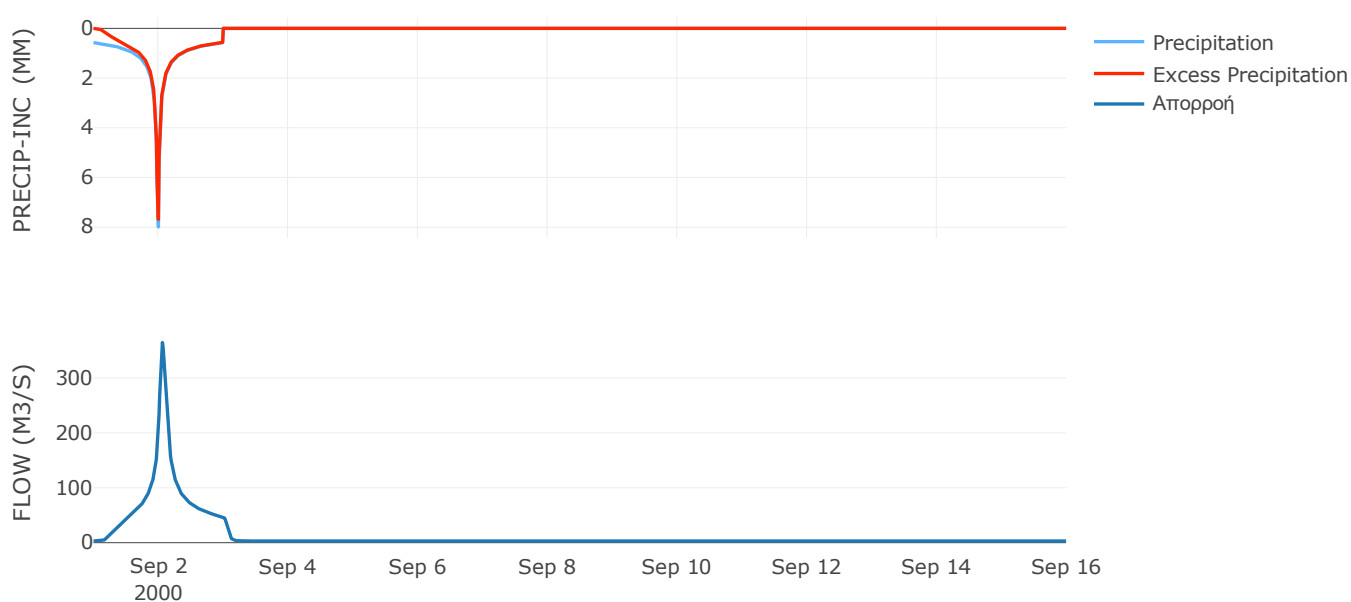
Μέθοδος
Μετασχηματισμού: SCS

| | |
|------------------|-------|
| Χρόνος Υστέρησης | 83.61 |
|------------------|-------|

Αποτελέσματα:
EL0420FR4025

| | |
|-----------------------------|------------------|
| Παροχή αιχμής (M3/S) | 364.42 |
| Χρονική στιγμή αιχμής | 02Sep2000, 01:30 |
| Όγκος (MM) | 258.83 |
| Όγκος βροχόπτωσης (M3) | 1.56E7 |
| Όγκος απωλειών (M3) | 2.05E6 |
| Ενεργός Όγκος (M3) | 1.35E7 |
| Όγκος άμεσης απορροής (M3) | 1.35E7 |
| Όγκος βασικής απορροής (M3) | 3.93E6 |

Βροχόπτωση και Απορροή



Υπολεκάνη: EL0420FR4026

Έκταση (KM2) : 8.76

Κατάνη : J15

Μέθοδος Απωλειών: SCS

| | |
|--------------------------------|-------|
| Ποσοστό αδιαπέρατης επιφάνειας | 0 |
| Αριθμός Καμπύλης Απορροής-CN | 78.8 |
| Αρχικές Απώλειες | 13.67 |

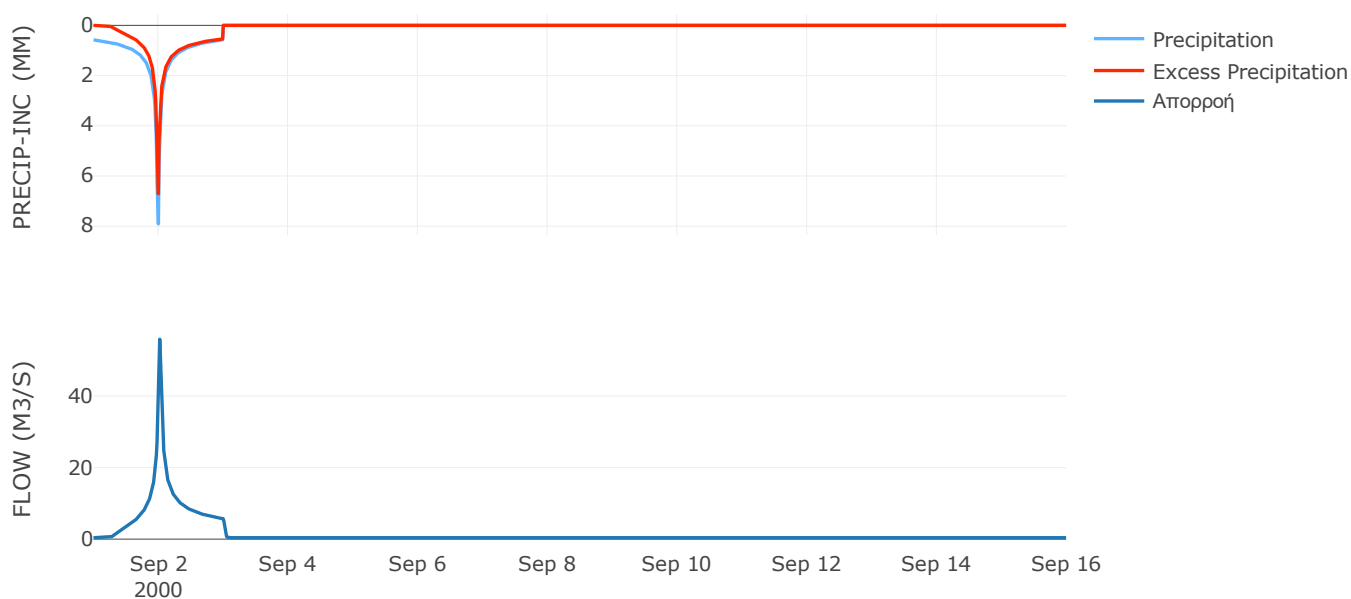
Μέθοδος
Μετασχηματισμού: SCS

| | |
|------------------|------|
| Χρόνος Υστέρησης | 25.9 |
|------------------|------|

Αποτελέσματα:
EL0420FR4026

| | |
|-----------------------------|------------------|
| Παροχή αιχμής (M3/S) | 55.87 |
| Χρονική στιγμή αιχμής | 02Sep2000, 00:30 |
| Όγκος (MM) | 223.31 |
| Όγκος βροχόπτωσης (M3) | 2.02E6 |
| Όγκος απωλειών (M3) | 5.75E5 |
| Ενεργός Όγκος (M3) | 1.44E6 |
| Όγκος άμεσης απορροής (M3) | 1.44E6 |
| Όγκος βασικής απορροής (M3) | 5.11E5 |

Βροχόπτωση και Απορροή



Υπολεκάνη: EL0420FR4027

Έκταση (KM2) : 13.94

Κατάντη : J29

Μέθοδος Απωλειών: SCS

| | |
|--------------------------------|-------|
| Ποσοστό αδιαπέρατης επιφάνειας | 0 |
| Αριθμός Καμπύλης Απορροής-CN | 82.51 |
| Αρχικές Απώλειες | 10.77 |

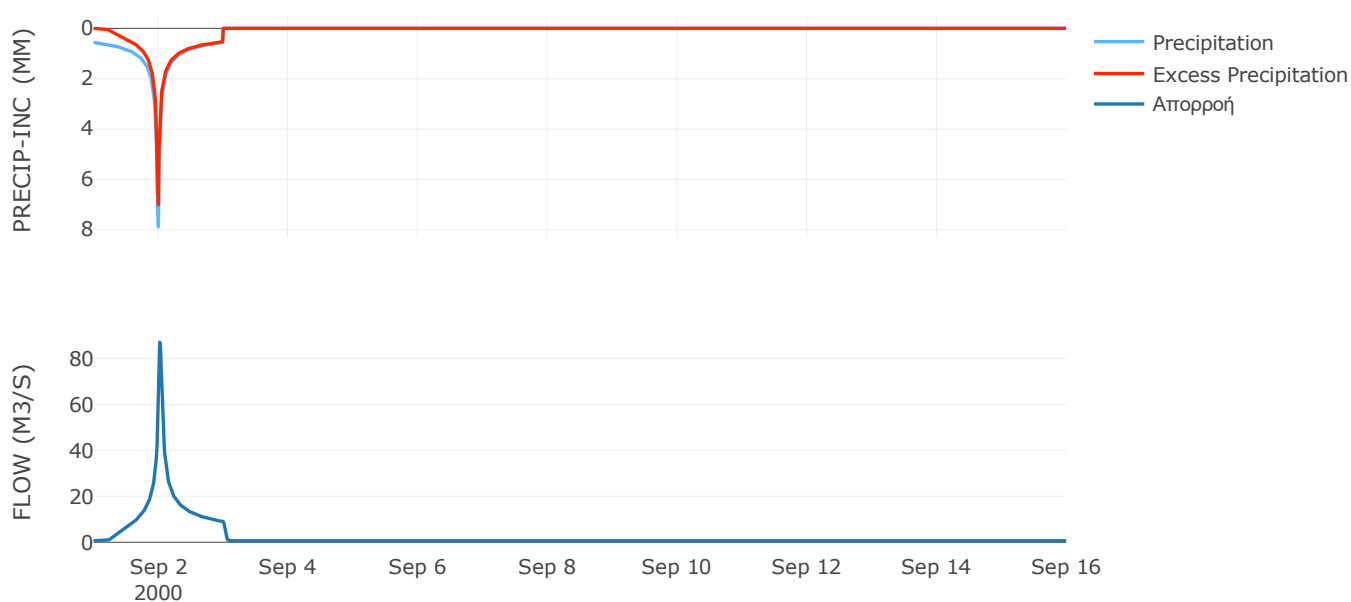
Μέθοδος
Μετασχηματισμού: SCS

| | |
|------------------|-------|
| Χρόνος Υστέρησης | 33.78 |
|------------------|-------|

Αποτελέσματα:
EL0420FR4027

| | |
|-----------------------------|------------------|
| Παροχή αιχμής (M3/S) | 87.05 |
| Χρονική στιγμή αιχμής | 02Sep2000, 00:30 |
| Όγκος (MM) | 230.01 |
| Όγκος βροχόπτωσης (M3) | 3.14E6 |
| Όγκος απωλειών (M3) | 7.5E5 |
| Ενεργός Όγκος (M3) | 2.39E6 |
| Όγκος άμεσης απορροής (M3) | 2.39E6 |
| Όγκος βασικής απορροής (M3) | 8.13E5 |

Βροχόπτωση και Απορροή



Υπολεκάνη: EL0420FR4028

Έκταση (KM2) : 17.93

Κατάντη : J29

Μέθοδος Απωλειών: SCS

| | |
|--------------------------------|-------|
| Ποσοστό αδιαπέρατης επιφάνειας | 0 |
| Αριθμός Καμπύλης Απορροής-CN | 89.57 |
| Αρχικές Απώλειες | 5.91 |

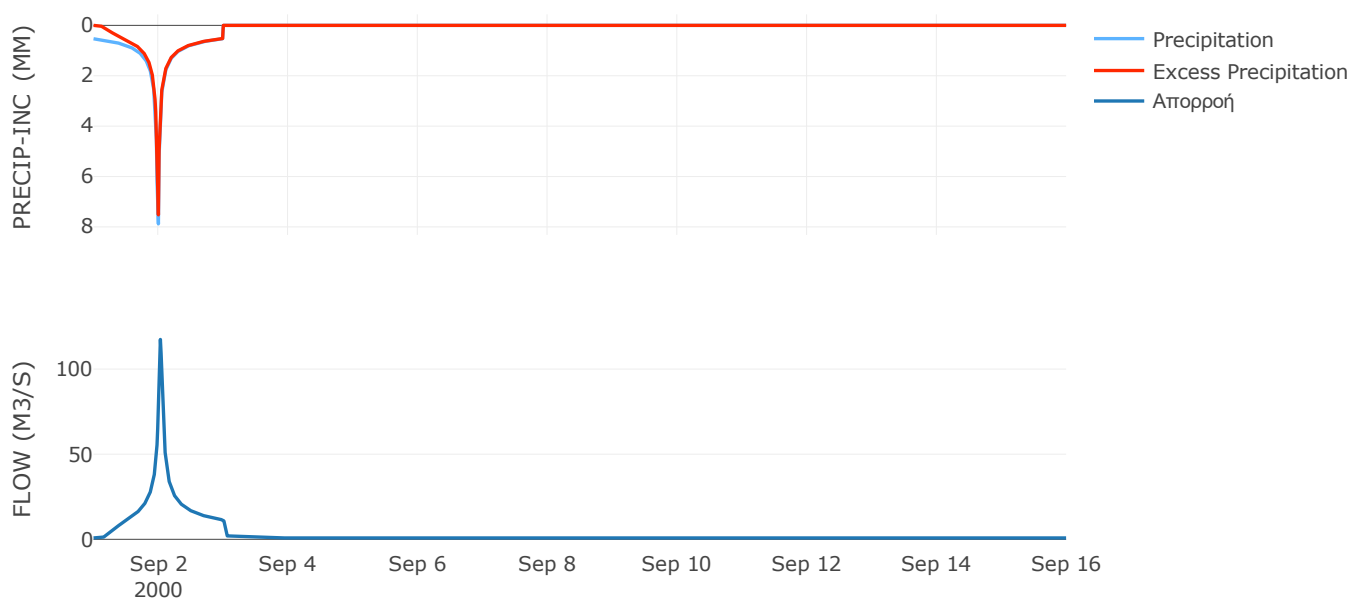
Μέθοδος
Μετασχηματισμού: SCS

| | |
|------------------|-------|
| Χρόνος Υστέρησης | 39.55 |
|------------------|-------|

Αποτελέσματα:
EL0420FR4028

| | |
|-----------------------------|------------------|
| Παροχή αιχμής (M3/S) | 117.41 |
| Χρονική στιγμή αιχμής | 02Sep2000, 00:45 |
| Όγκος (MM) | 245.61 |
| Όγκος βροχόπτωσης (M3) | 3.93E6 |
| Όγκος απωλειών (M3) | 5.71E5 |
| Ενεργός Όγκος (M3) | 3.36E6 |
| Όγκος άμεσης απορροής (M3) | 3.36E6 |
| Όγκος βασικής απορροής (M3) | 1.05E6 |

Βροχόπτωση και Απορροή



Υπολεκάνη: EL0420FR4029

Έκταση (KM2) : 31.51

Κατάντη : J28

Μέθοδος Απωλειών: SCS

| | |
|--------------------------------|-------|
| Ποσοστό αδιαπέρατης επιφάνειας | 0 |
| Αριθμός Καμπύλης Απορροής-CN | 74.1 |
| Αρχικές Απώλειες | 17.76 |

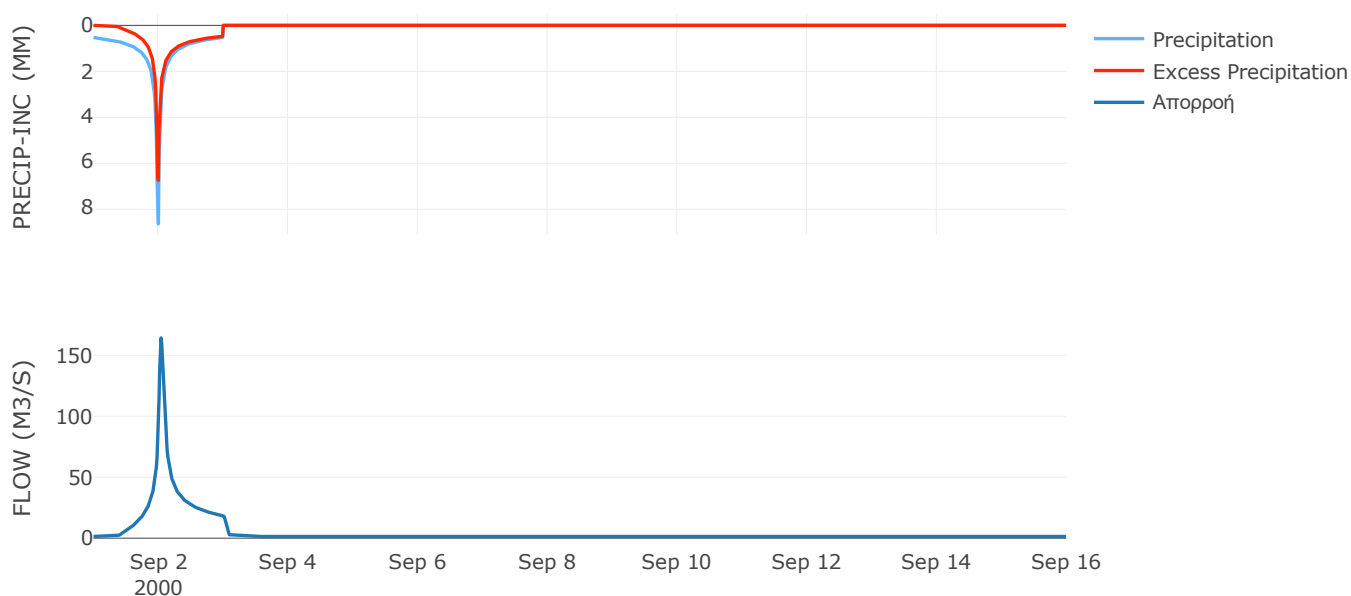
Μέθοδος
Μετασχηματισμού: SCS

| | |
|------------------|-------|
| Χρόνος Υστέρησης | 55.59 |
|------------------|-------|

Αποτελέσματα:
EL0420FR4029

| | |
|-----------------------------|------------------|
| Παροχή αιχμής (M3/S) | 164.28 |
| Χρονική στιγμή αιχμής | 02Sep2000, 01:00 |
| Όγκος (MM) | 203.25 |
| Όγκος βροχόπτωσης (M3) | 7.08E6 |
| Όγκος απωλειών (M3) | 2.52E6 |
| Ενεργός Όγκος (M3) | 4.57E6 |
| Όγκος άμεσης απορροής (M3) | 4.57E6 |
| Όγκος βασικής απορροής (M3) | 1.84E6 |

Βροχόπτωση και Απορροή



Υπολεκάνη: EL0420FR4030

Έκταση (KM2) : 11.42

Κατάντη : J28

Μέθοδος Απωλειών: SCS

| | |
|--------------------------------|-------|
| Ποσοστό αδιαπέρατης επιφάνειας | 0 |
| Αριθμός Καμπύλης Απορροής-CN | 79.07 |
| Αρχικές Απώλειες | 13.44 |

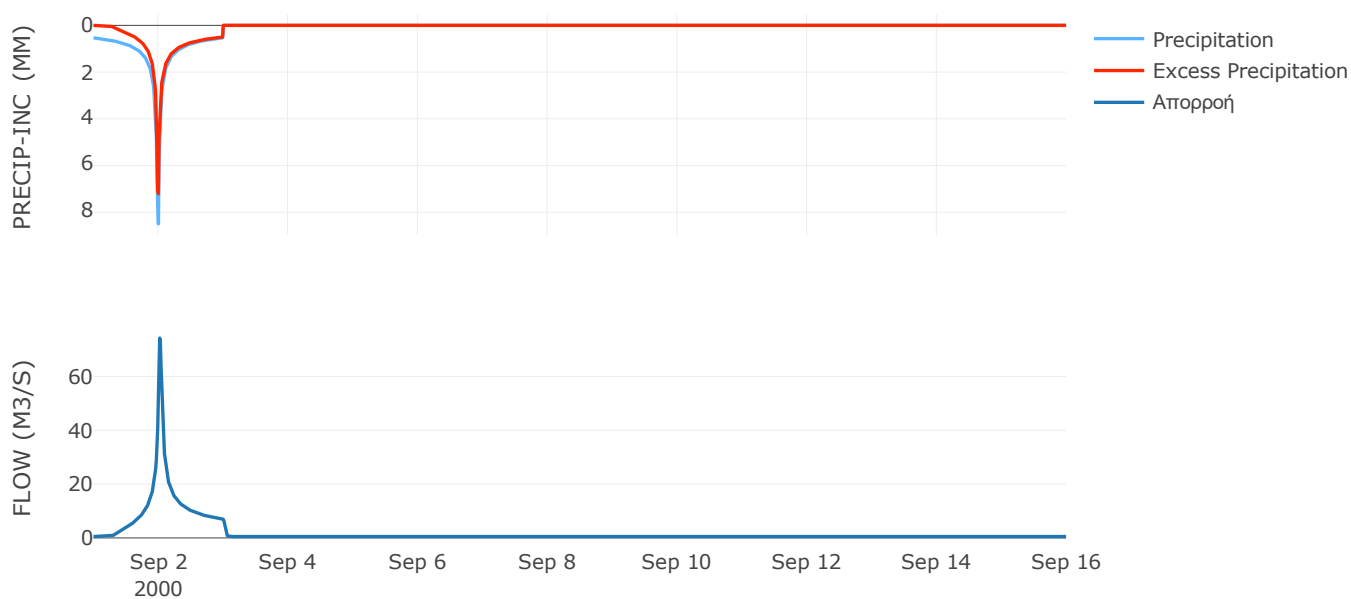
Μέθοδος
Μετασχηματισμού: SCS

| | |
|------------------|-------|
| Χρόνος Υστέρησης | 31.79 |
|------------------|-------|

Αποτελέσματα:
EL0420FR4030

| | |
|-----------------------------|------------------|
| Παροχή αιχμής (M3/S) | 74.3 |
| Χρονική στιγμή αιχμής | 02Sep2000, 00:30 |
| Όγκος (MM) | 219.31 |
| Όγκος βροχόπτωσης (M3) | 2.58E6 |
| Όγκος απωλειών (M3) | 7.37E5 |
| Ενεργός Όγκος (M3) | 1.84E6 |
| Όγκος άμεσης απορροής (M3) | 1.84E6 |
| Όγκος βασικής απορροής (M3) | 6.66E5 |

Βροχόπτωση και Απορροή



Υπολεκάνη: EL0420FR4031

Έκταση (KM2) : 2.28

Κατάντη : J27

Μέθοδος Απωλειών: SCS

| | |
|--------------------------------|-------|
| Ποσοστό αδιαπέρατης επιφάνειας | 0 |
| Αριθμός Καμπύλης Απορροής-CN | 83.99 |
| Αρχικές Απώλειες | 9.69 |

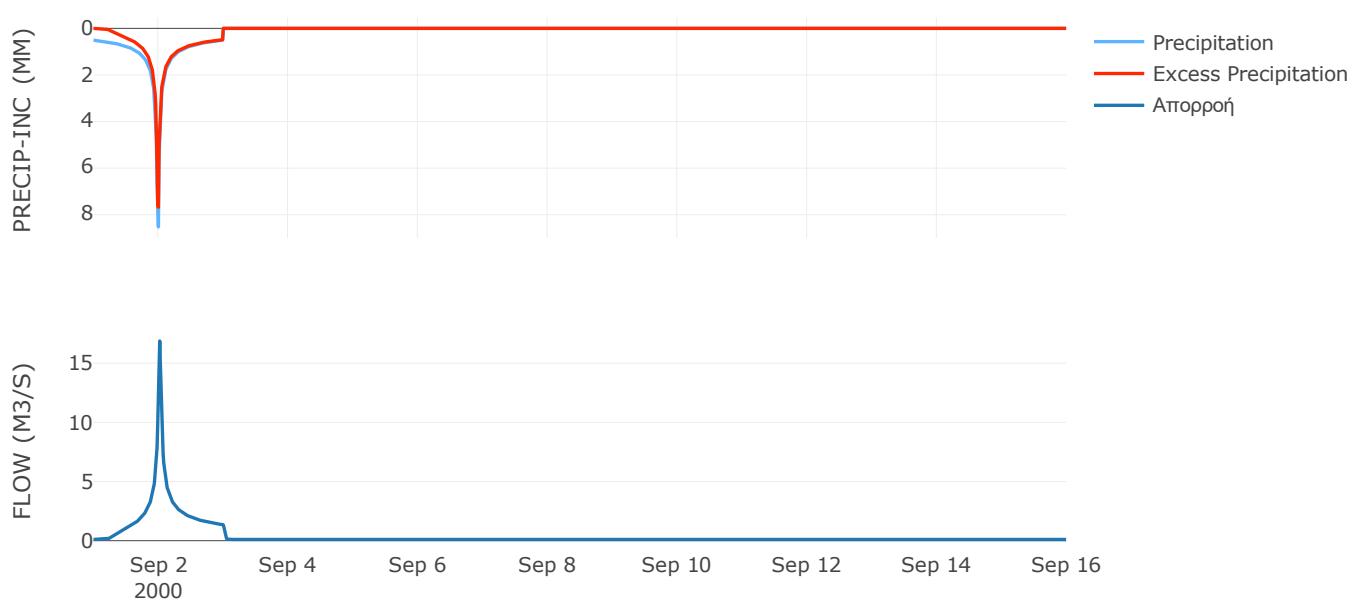
Μέθοδος
Μετασχηματισμού: SCS

| | |
|------------------|------|
| Χρόνος Υστέρησης | 23.9 |
|------------------|------|

Αποτελέσματα:
EL0420FR4031

| | |
|-----------------------------|------------------|
| Παροχή αιχμής (M3/S) | 16.87 |
| Χρονική στιγμή αιχμής | 02Sep2000, 00:30 |
| Όγκος (MM) | 227.83 |
| Όγκος βροχόπτωσης (M3) | 4.99E5 |
| Όγκος απωλειών (M3) | 1.12E5 |
| Ενεργός Όγκος (M3) | 3.87E5 |
| Όγκος άμεσης απορροής (M3) | 3.87E5 |
| Όγκος βασικής απορροής (M3) | 1.33E5 |

Βροχόπτωση και Απορροή



Υπολεκάνη: EL0420FR4032

Έκταση (KM2) : 20.34

Κατάνη : J27

Μέθοδος Απωλειών: SCS

| | |
|--------------------------------|-------|
| Ποσοστό αδιαπέρατης επιφάνειας | 0 |
| Αριθμός Καμπύλης Απορροής-CN | 77.87 |
| Αρχικές Απώλειες | 14.44 |

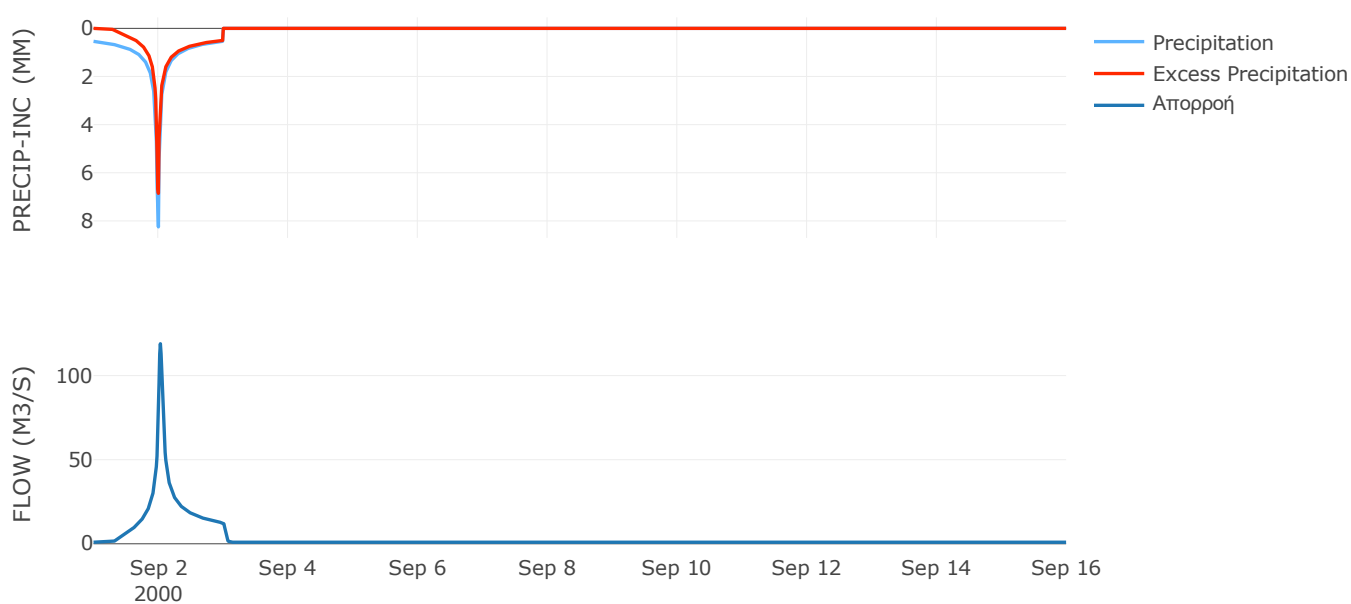
Μέθοδος
Μετασχηματισμού: SCS

| | |
|------------------|------|
| Χρόνος Υστέρησης | 41.1 |
|------------------|------|

Αποτελέσματα:
EL0420FR4032

| | |
|-----------------------------|------------------|
| Παροχή αιχμής (M3/S) | 118.94 |
| Χρονική στιγμή αιχμής | 02Sep2000, 00:45 |
| Όγκος (MM) | 214.76 |
| Όγκος βροχόπτωσης (M3) | 4.57E6 |
| Όγκος απωλειών (M3) | 1.39E6 |
| Ενεργός Όγκος (M3) | 3.18E6 |
| Όγκος άμεσης απορροής (M3) | 3.18E6 |
| Όγκος βασικής απορροής (M3) | 1.19E6 |

Βροχόπτωση και Απορροή



Υπολεκάνη: EL0420FR4033

Έκταση (KM2) : 42.85

Κατάντη : J8

Μέθοδος Απωλειών: SCS

| | |
|--------------------------------|-------|
| Ποσοστό αδιαπέρατης επιφάνειας | 0 |
| Αριθμός Καμπύλης Απορροής-CN | 78.13 |
| Αρχικές Απώλειες | 14.22 |

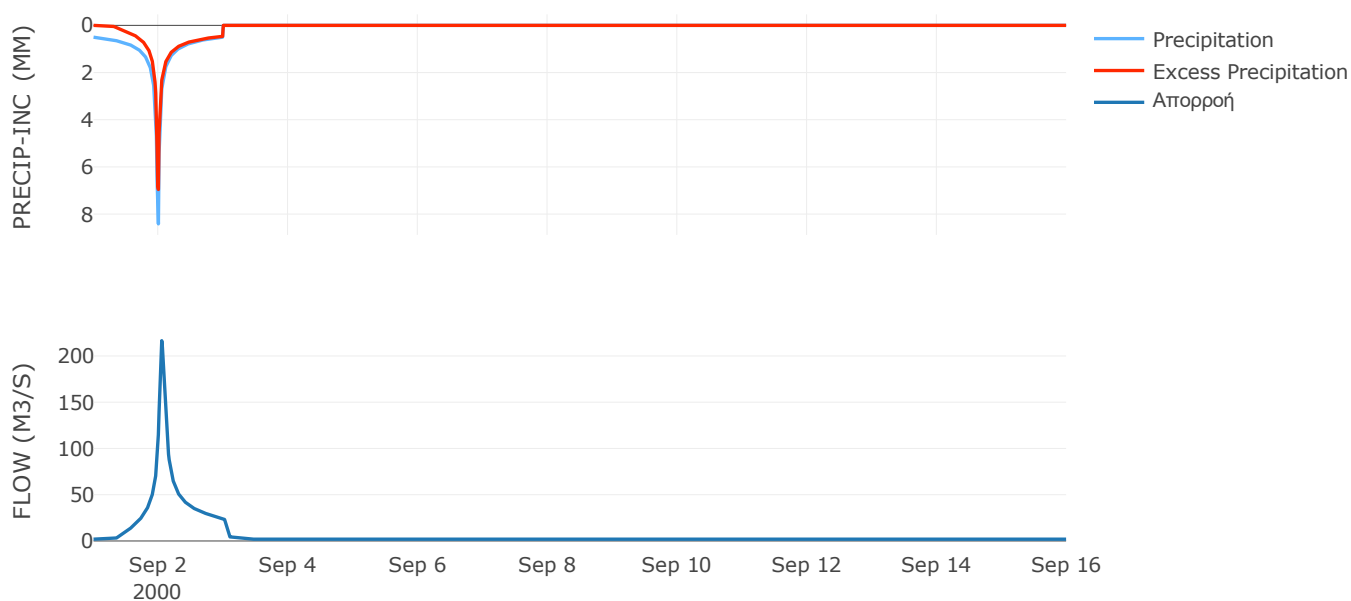
Μέθοδος
Μετασχηματισμού: SCS

| | |
|------------------|-------|
| Χρόνος Υστέρησης | 67.83 |
|------------------|-------|

Αποτελέσματα:
EL0420FR4033

| | |
|-----------------------------|------------------|
| Παροχή αιχμής (M3/S) | 216.55 |
| Χρονική στιγμή αιχμής | 02Sep2000, 01:15 |
| Όγκος (MM) | 207.75 |
| Όγκος βροχόπτωσης (M3) | 9.27E6 |
| Όγκος απωλειών (M3) | 2.86E6 |
| Ενεργός Όγκος (M3) | 6.4E6 |
| Όγκος άμεσης απορροής (M3) | 6.4E6 |
| Όγκος βασικής απορροής (M3) | 2.5E6 |

Βροχόπτωση και Απορροή



Υπολεκάνη: EL0420FR4034

Έκταση (KM2) : 46.4

Κατάντη : J6

Μέθοδος Απωλειών: SCS

| | |
|--------------------------------|-------|
| Ποσοστό αδιαπέρατης επιφάνειας | 0 |
| Αριθμός Καμπύλης Απορροής-CN | 76.76 |
| Αρχικές Απώλειες | 15.38 |

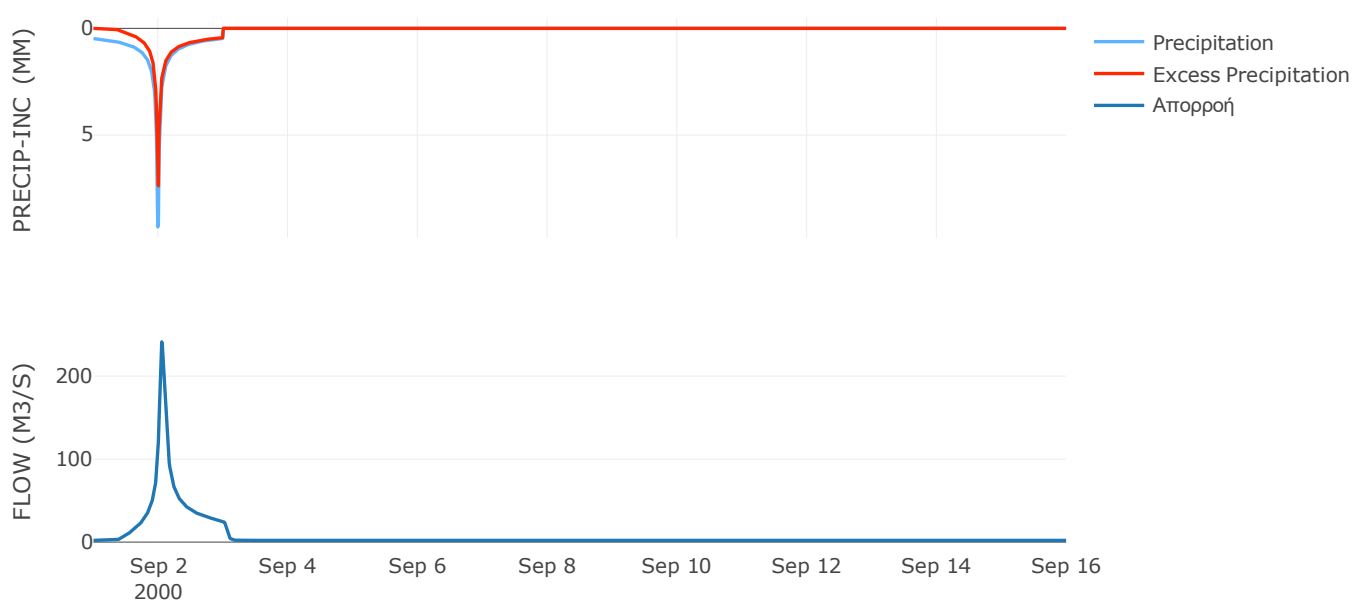
Μέθοδος
Μετασχηματισμού: SCS

| | |
|------------------|-------|
| Χρόνος Υστέρησης | 70.14 |
|------------------|-------|

Αποτελέσματα:
EL0420FR4034

| | |
|-----------------------------|------------------|
| Παροχή αιχμής (M3/S) | 241.28 |
| Χρονική στιγμή αιχμής | 02Sep2000, 01:15 |
| Όγκος (MM) | 203.05 |
| Όγκος βροχόπτωσης (M3) | 1E7 |
| Όγκος απωλειών (M3) | 3.29E6 |
| Ενεργός Όγκος (M3) | 6.72E6 |
| Όγκος άμεσης απορροής (M3) | 6.72E6 |
| Όγκος βασικής απορροής (M3) | 2.71E6 |

Βροχόπτωση και Απορροή



Υπολεκάνη: EL0420FR4035

Έκταση (KM2) : 12.2

Κατάντη : J19

Μέθοδος Απωλειών: SCS

| | |
|--------------------------------|-------|
| Ποσοστό αδιαπέρατης επιφάνειας | 0 |
| Αριθμός Καμπύλης Απορροής-CN | 91.11 |
| Αρχικές Απώλειες | 4.96 |

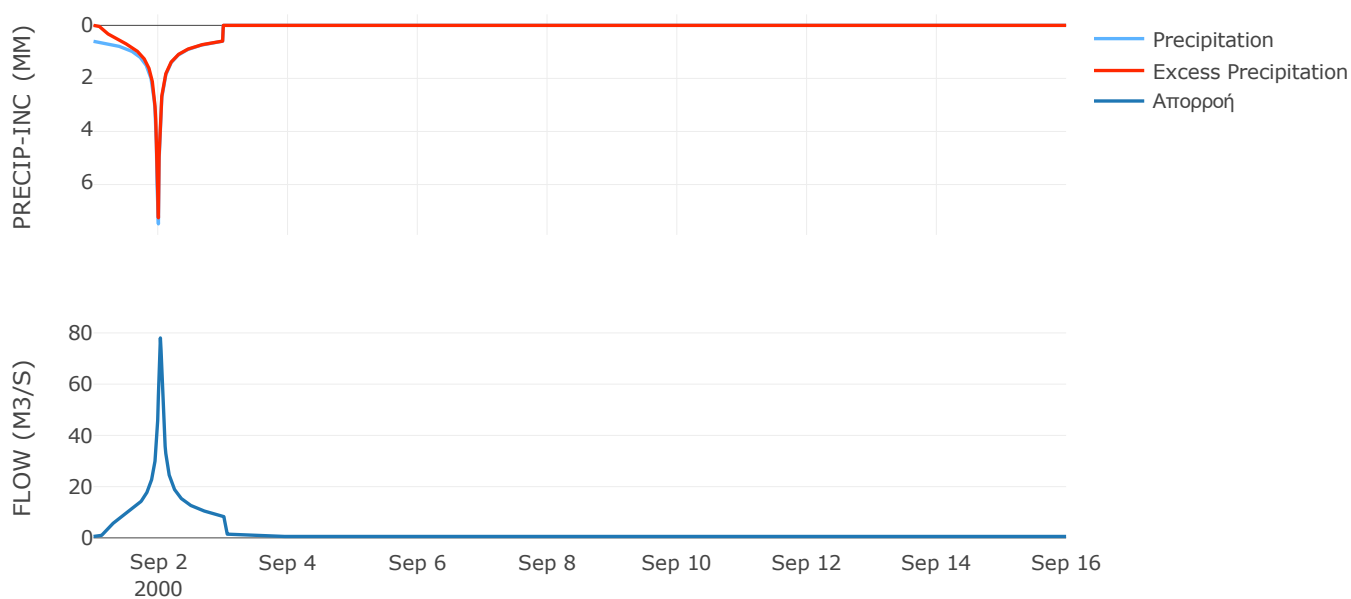
Μέθοδος
Μετασχηματισμού: SCS

| | |
|------------------|-------|
| Χρόνος Υστέρησης | 39.08 |
|------------------|-------|

Αποτελέσματα:
EL0420FR4035

| | |
|-----------------------------|------------------|
| Παροχή αιχμής (M3/S) | 78.04 |
| Χρονική στιγμή αιχμής | 02Sep2000, 00:45 |
| Όγκος (MM) | 264.05 |
| Όγκος βροχόπτωσης (M3) | 2.84E6 |
| Όγκος απωλειών (M3) | 3.33E5 |
| Ενεργός Όγκος (M3) | 2.51E6 |
| Όγκος άμεσης απορροής (M3) | 2.51E6 |
| Όγκος βασικής απορροής (M3) | 7.12E5 |

Βροχόπτωση και Απορροή



Υπολεκάνη: EL0420FR4036

Έκταση (KM2) : 17.89

Κατάντη : J18

Μέθοδος Απωλειών: SCS

| | |
|--------------------------------|-------|
| Ποσοστό αδιαπέρατης επιφάνειας | 0 |
| Αριθμός Καμπύλης Απορροής-CN | 91.03 |
| Αρχικές Απώλειες | 5.01 |

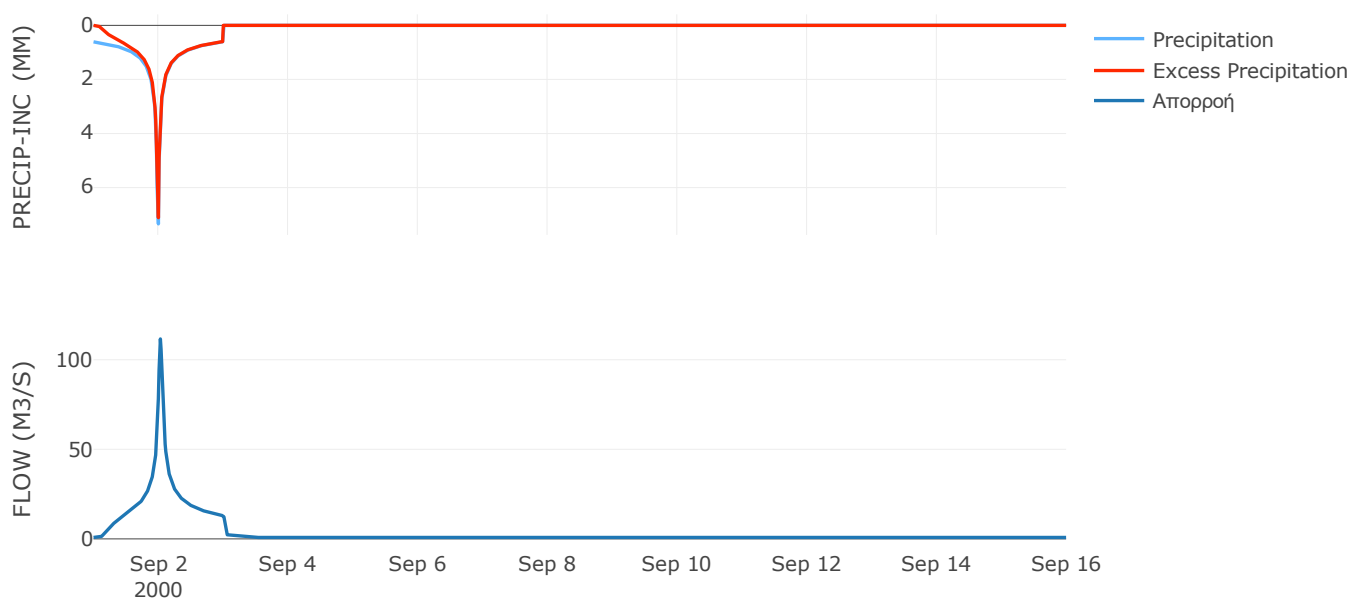
Μέθοδος
Μετασχηματισμού: SCS

| | |
|------------------|-------|
| Χρόνος Υστέρησης | 40.74 |
|------------------|-------|

Αποτελέσματα:
EL0420FR4036

| | |
|-----------------------------|------------------|
| Παροχή αιχμής (M3/S) | 111.61 |
| Χρονική στιγμή αιχμής | 02Sep2000, 00:45 |
| Όγκος (MM) | 264.26 |
| Όγκος βροχόπτωσης (M3) | 4.18E6 |
| Όγκος απωλειών (M3) | 4.93E5 |
| Ενεργός Όγκος (M3) | 3.68E6 |
| Όγκος άμεσης απορροής (M3) | 3.68E6 |
| Όγκος βασικής απορροής (M3) | 1.04E6 |

Βροχόπτωση και Απορροή



Υπολεκάνη: EL0420FR4037

Έκταση (KM2) : 37.96

Κατάντη : J17

Μέθοδος Απωλειών: SCS

| | |
|--------------------------------|-------|
| Ποσοστό αδιαπέρατης επιφάνειας | 0 |
| Αριθμός Καμπύλης Απορροής-CN | 90.55 |
| Αρχικές Απώλειες | 5.3 |

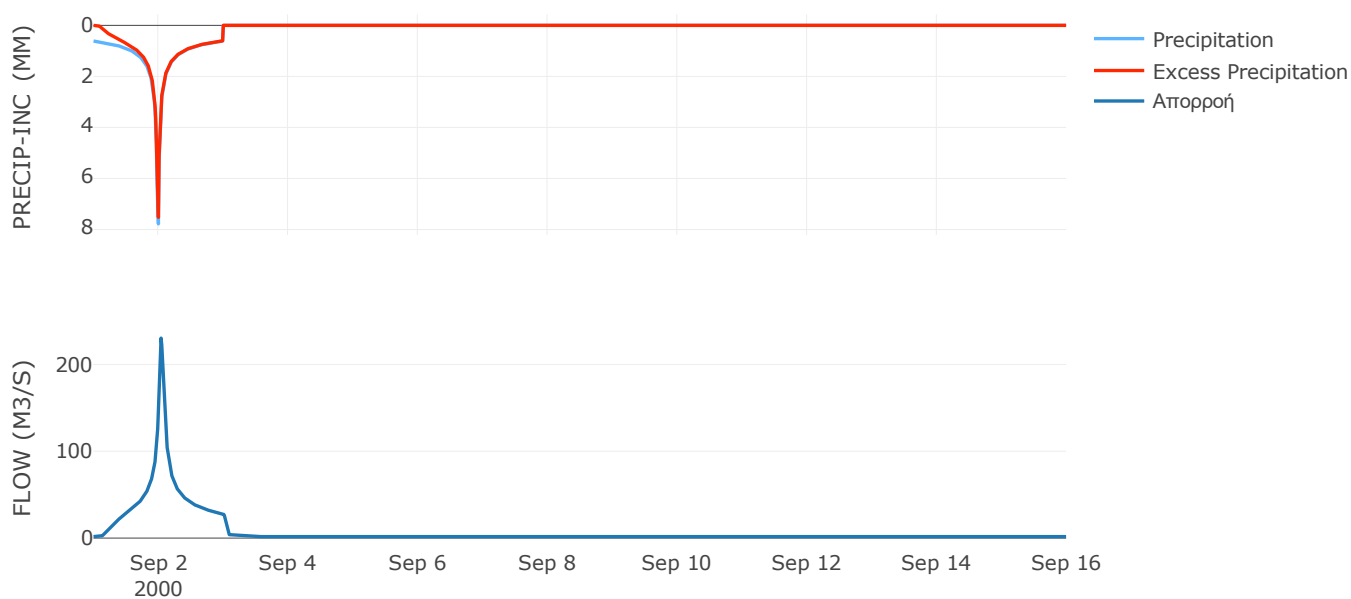
Μέθοδος
Μετασχηματισμού: SCS

| | |
|------------------|------|
| Χρόνος Υστέρησης | 56.2 |
|------------------|------|

Αποτελέσματα:
EL0420FR4037

| | |
|-----------------------------|------------------|
| Παροχή αιχμής (M3/S) | 230.29 |
| Χρονική στιγμή αιχμής | 02Sep2000, 01:00 |
| Όγκος (MM) | 268.49 |
| Όγκος βροχόπτωσης (M3) | 9.08E6 |
| Όγκος απωλειών (M3) | 1.11E6 |
| Ενεργός Όγκος (M3) | 7.98E6 |
| Όγκος άμεσης απορροής (M3) | 7.98E6 |
| Όγκος βασικής απορροής (M3) | 2.21E6 |

Βροχόπτωση και Απορροή



Υπολεκάνη: EL0420FR4038

Έκταση (KM2) : 11.75

Κατάνη : J15

Μέθοδος Απωλειών: SCS

| | |
|--------------------------------|-------|
| Ποσοστό αδιαπέρατης επιφάνειας | 0 |
| Αριθμός Καμπύλης Απορροής-CN | 83.25 |
| Αρχικές Απώλειες | 10.22 |

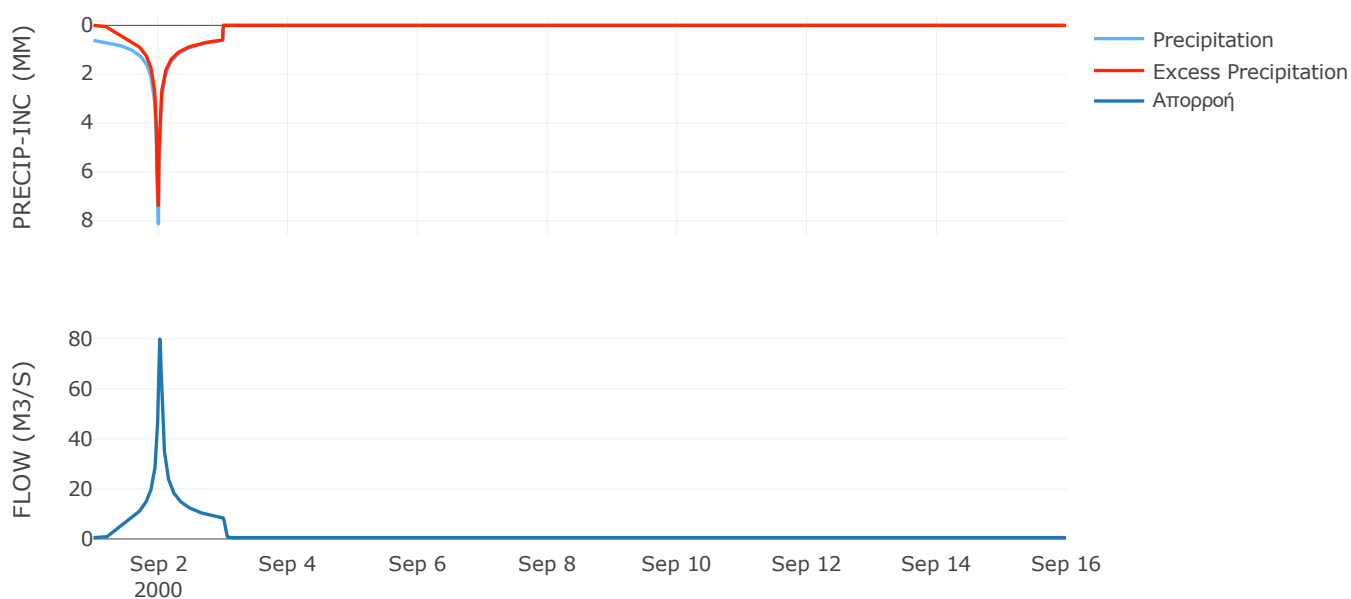
Μέθοδος
Μετασχηματισμού: SCS

| | |
|------------------|-------|
| Χρόνος Υστέρησης | 30.91 |
|------------------|-------|

Αποτελέσματα:
EL0420FR4038

| | |
|-----------------------------|------------------|
| Παροχή αιχμής (M3/S) | 79.82 |
| Χρονική στιγμή αιχμής | 02Sep2000, 00:30 |
| Όγκος (MM) | 249.94 |
| Όγκος βροχόπτωσης (M3) | 2.86E6 |
| Όγκος απωλειών (M3) | 6.13E5 |
| Ενεργός Όγκος (M3) | 2.25E6 |
| Όγκος άμεσης απορροής (M3) | 2.25E6 |
| Όγκος βασικής απορροής (M3) | 6.85E5 |

Βροχόπτωση και Απορροή



Υπολεκάνη: EL0420FR4039

Έκταση (KM2) : 21.53

Κατάντη : J23

Μέθοδος Απωλειών: SCS

| | |
|--------------------------------|-------|
| Ποσοστό αδιαπέρατης επιφάνειας | 0 |
| Αριθμός Καμπύλης Απορροής-CN | 85.67 |
| Αρχικές Απώλειες | 8.5 |

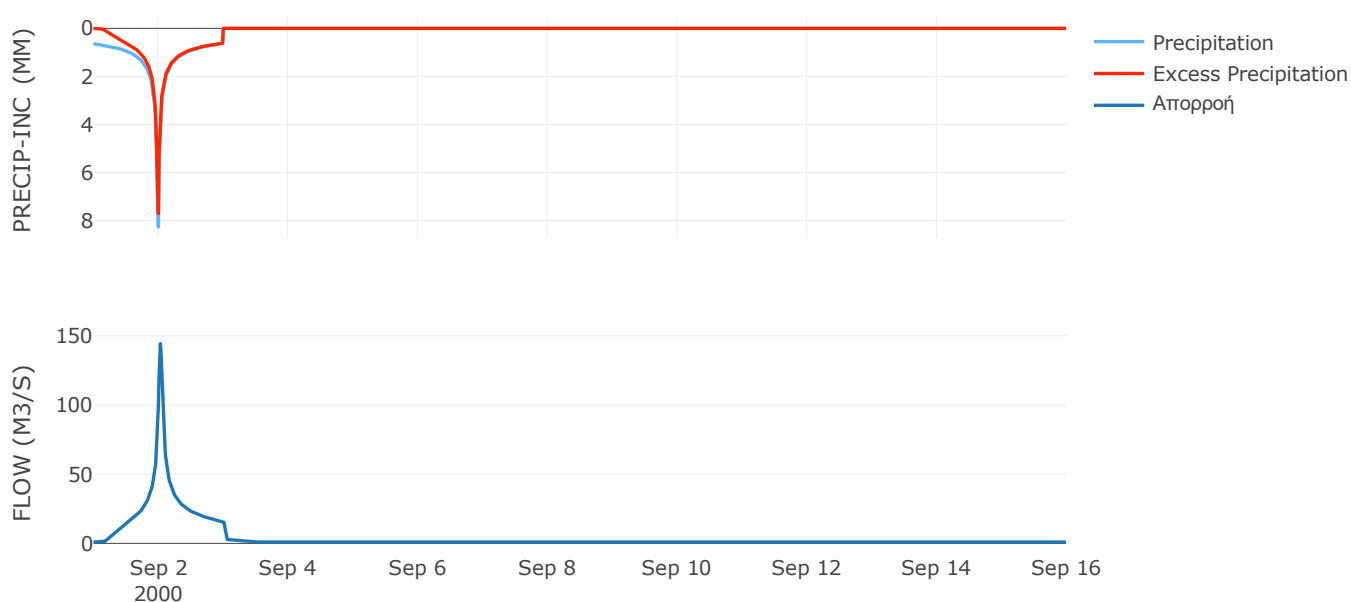
Μέθοδος
Μετασχηματισμού: SCS

| | |
|------------------|-------|
| Χρόνος Υστέρησης | 40.79 |
|------------------|-------|

Αποτελέσματα:
EL0420FR4039

| | |
|-----------------------------|------------------|
| Παροχή αιχμής (M3/S) | 144.4 |
| Χρονική στιγμή αιχμής | 02Sep2000, 00:45 |
| Όγκος (MM) | 263.39 |
| Όγκος βροχόπτωσης (M3) | 5.38E6 |
| Όγκος απωλειών (M3) | 9.61E5 |
| Ενεργός Όγκος (M3) | 4.41E6 |
| Όγκος άμεσης απορροής (M3) | 4.41E6 |
| Όγκος βασικής απορροής (M3) | 1.26E6 |

Βροχόπτωση και Απορροή



Υπολεκάνη: EL0420FR4040

Έκταση (KM2) : 34.79

Κατάντη : J12

Μέθοδος Απωλειών: SCS

| | |
|--------------------------------|-------|
| Ποσοστό αδιαπέρατης επιφάνειας | 0 |
| Αριθμός Καμπύλης Απορροής-CN | 77.01 |
| Αρχικές Απώλειες | 15.16 |

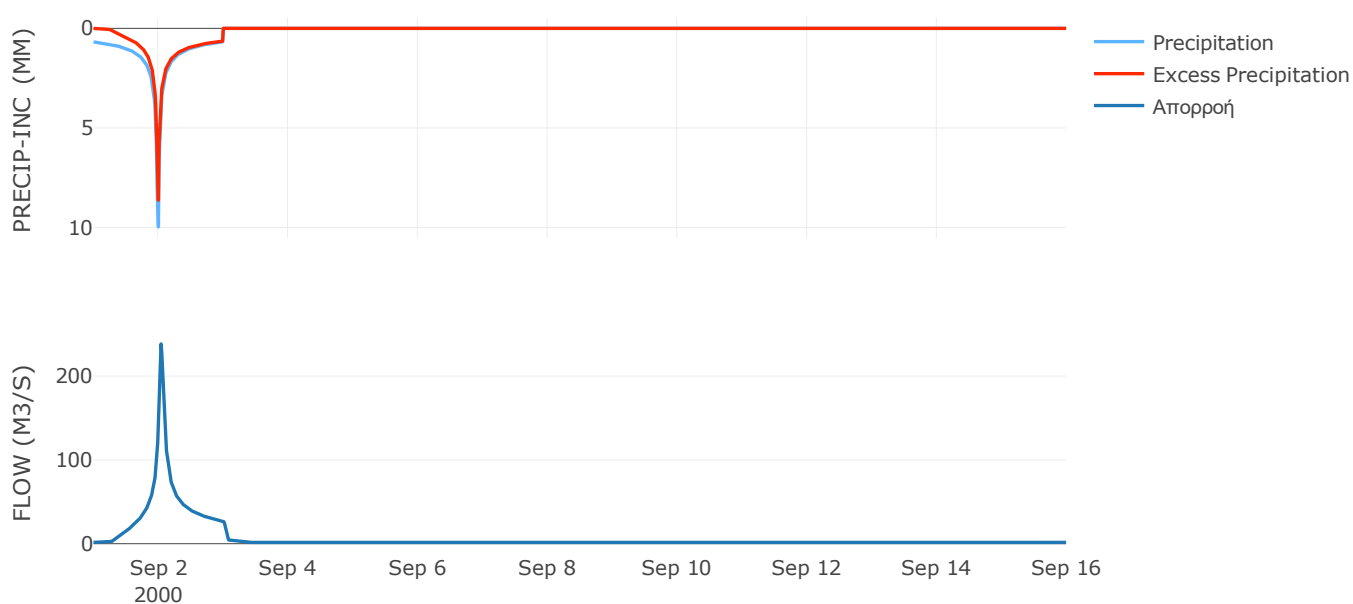
Μέθοδος
Μετασχηματισμού: SCS

| | |
|------------------|-------|
| Χρόνος Υστέρησης | 53.93 |
|------------------|-------|

Αποτελέσματα:
EL0420FR4040

| | |
|-----------------------------|------------------|
| Παροχή αιχμής (M3/S) | 238.44 |
| Χρονική στιγμή αιχμής | 02Sep2000, 01:00 |
| Όγκος (MM) | 262.85 |
| Όγκος βροχόπτωσης (M3) | 9.69E6 |
| Όγκος απωλειών (M3) | 2.58E6 |
| Ενεργός Όγκος (M3) | 7.12E6 |
| Όγκος άμεσης απορροής (M3) | 7.12E6 |
| Όγκος βασικής απορροής (M3) | 2.03E6 |

Βροχόπτωση και Απορροή



Υπολεκάνη: EL0420FR4041

Έκταση (KM2) : 17.22

Κατάντη : J25

Μέθοδος Απωλειών: SCS

| | |
|--------------------------------|-------|
| Ποσοστό αδιαπέρατης επιφάνειας | 0 |
| Αριθμός Καμπύλης Απορροής-CN | 71.25 |
| Αρχικές Απώλειες | 20.5 |

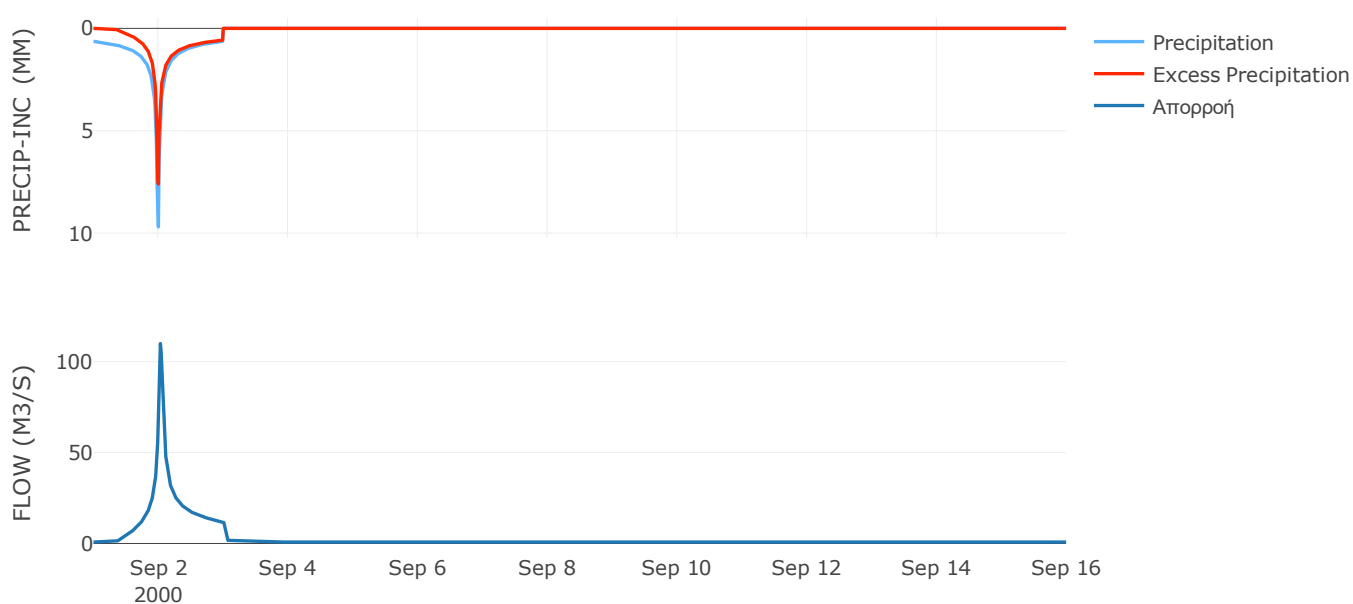
Μέθοδος
Μετασχηματισμού: SCS

| | |
|------------------|-------|
| Χρόνος Υστέρησης | 42.72 |
|------------------|-------|

Αποτελέσματα:
EL0420FR4041

| | |
|-----------------------------|------------------|
| Παροχή αιχμής (M3/S) | 109.98 |
| Χρονική στιγμή αιχμής | 02Sep2000, 00:45 |
| Όγκος (MM) | 229.52 |
| Όγκος βροχόπτωσης (M3) | 4.54E6 |
| Όγκος απωλειών (M3) | 1.6E6 |
| Ενεργός Όγκος (M3) | 2.95E6 |
| Όγκος άμεσης απορροής (M3) | 2.95E6 |
| Όγκος βασικής απορροής (M3) | 1E6 |

Βροχόπτωση και Απορροή



Υπολεκάνη: EL0420FR4042

Έκταση (KM2) : 21.68

Κατάντη : J25

Μέθοδος Απωλειών: SCS

| | |
|--------------------------------|-------|
| Ποσοστό αδιαπέρατης επιφάνειας | 0 |
| Αριθμός Καμπύλης Απορροής-CN | 70.35 |
| Αρχικές Απώλειες | 21.41 |

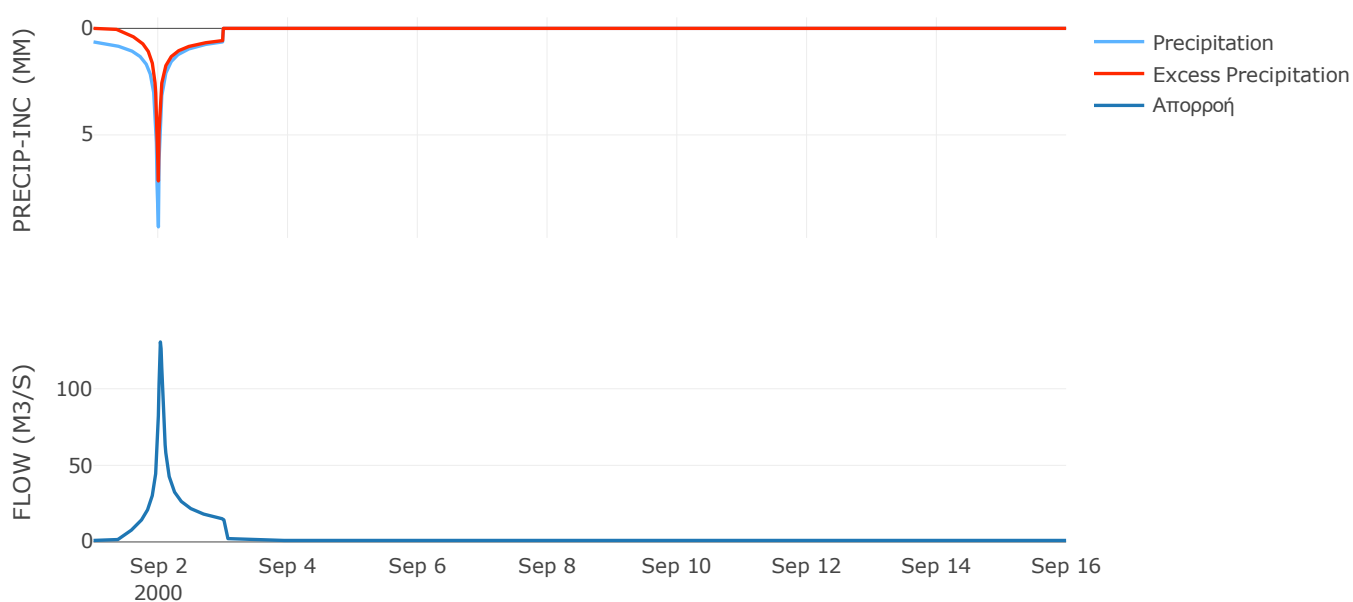
Μέθοδος
Μετασχηματισμού: SCS

| | |
|------------------|-------|
| Χρόνος Υστέρησης | 42.76 |
|------------------|-------|

Αποτελέσματα:
EL0420FR4042

| | |
|-----------------------------|------------------|
| Παροχή αιχμής (M3/S) | 130.56 |
| Χρονική στιγμή αιχμής | 02Sep2000, 00:45 |
| Όγκος (MM) | 223.98 |
| Όγκος βροχόπτωσης (M3) | 5.66E6 |
| Όγκος απωλειών (M3) | 2.07E6 |
| Ενεργός Όγκος (M3) | 3.59E6 |
| Όγκος άμεσης απορροής (M3) | 3.59E6 |
| Όγκος βασικής απορροής (M3) | 1.26E6 |

Βροχόπτωση και Απορροή



Υπολεκάνη: EL0420FR4043

Έκταση (KM2) : 13.12

Κατάντη : J24

Μέθοδος Απωλειών: SCS

| | |
|--------------------------------|-------|
| Ποσοστό αδιαπέρατης επιφάνειας | 0 |
| Αριθμός Καμπύλης Απορροής-CN | 75.66 |
| Αρχικές Απώλειες | 16.34 |

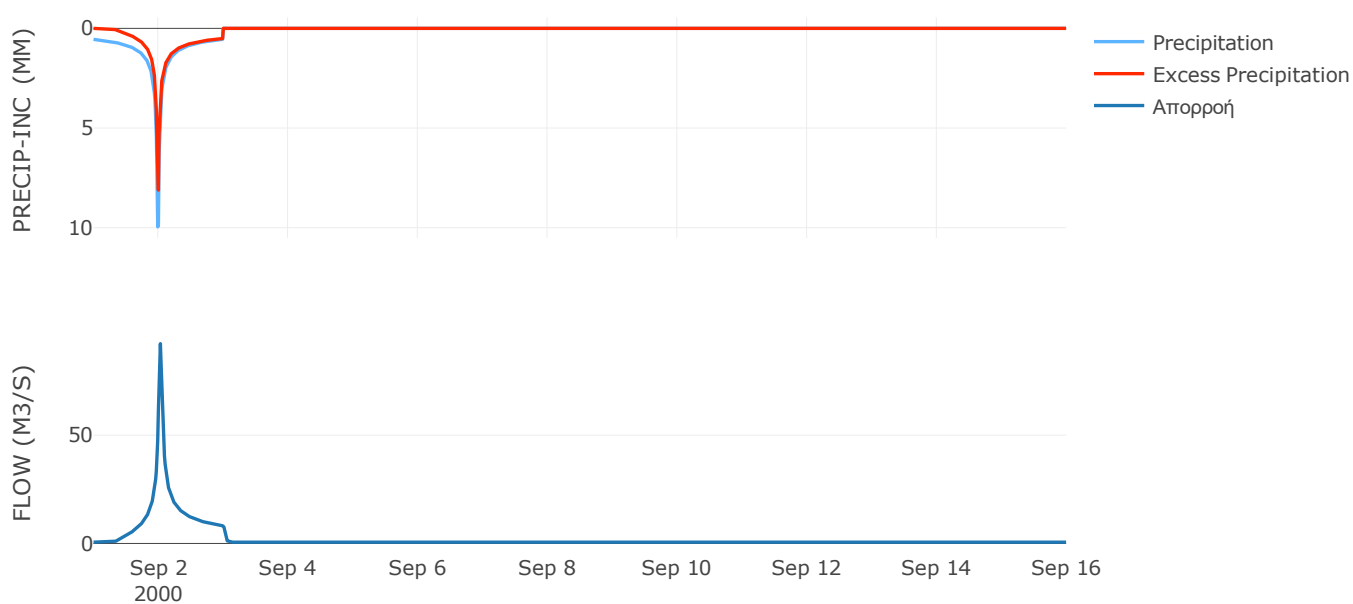
Μέθοδος
Μετασχηματισμού: SCS

| | |
|------------------|-------|
| Χρόνος Υστέρησης | 35.48 |
|------------------|-------|

Αποτελέσματα:
EL0420FR4043

| | |
|-----------------------------|------------------|
| Παροχή αιχμής (M3/S) | 92.29 |
| Χρονική στιγμή αιχμής | 02Sep2000, 00:45 |
| Όγκος (MM) | 225.08 |
| Όγκος βροχόπτωσης (M3) | 3.19E6 |
| Όγκος απωλειών (M3) | 1E6 |
| Ενεργός Όγκος (M3) | 2.19E6 |
| Όγκος άμεσης απορροής (M3) | 2.19E6 |
| Όγκος βασικής απορροής (M3) | 7.65E5 |

Βροχόπτωση και Απορροή



Υπολεκάνη: EL0420FR4044

Έκταση (KM2) : 10.33

Κατάνη : J24

Μέθοδος Απωλειών: SCS

| | |
|--------------------------------|-------|
| Ποσοστό αδιαπέρατης επιφάνειας | 0 |
| Αριθμός Καμπύλης Απορροής-CN | 67.98 |
| Αρχικές Απώλειες | 23.93 |

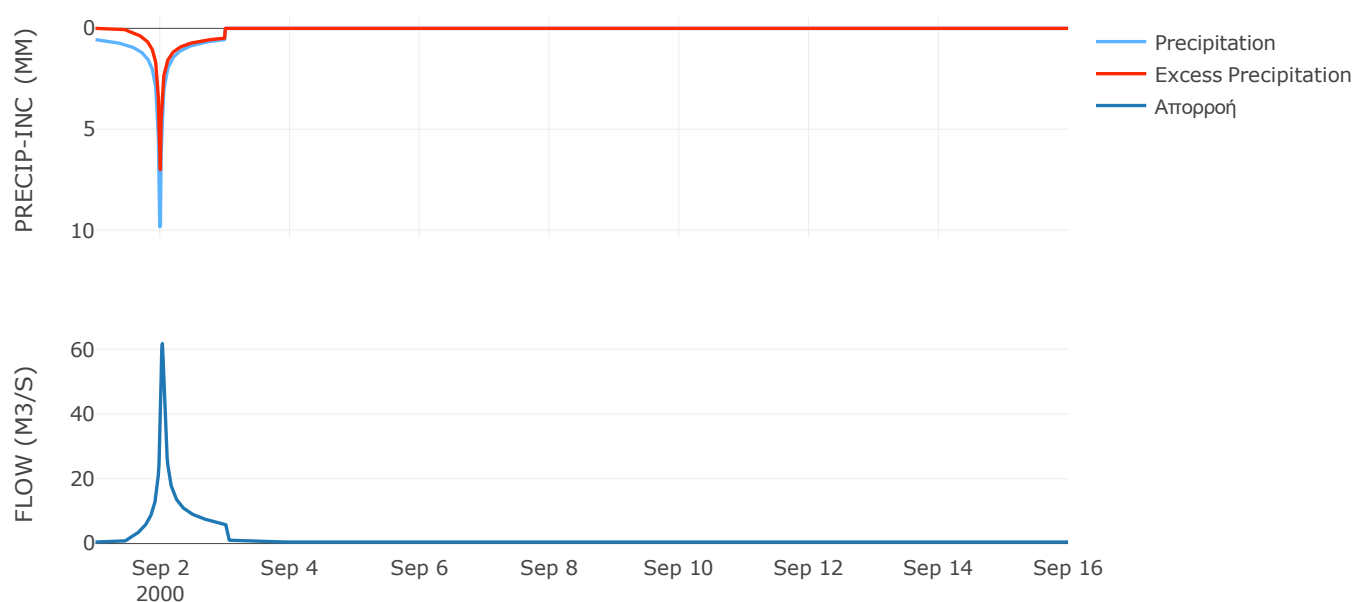
Μέθοδος
Μετασχηματισμού: SCS

| | |
|------------------|-------|
| Χρόνος Υστέρησης | 37.82 |
|------------------|-------|

Αποτελέσματα:
EL0420FR4044

| | |
|-----------------------------|------------------|
| Παροχή αιχμής (M3/S) | 61.74 |
| Χρονική στιγμή αιχμής | 02Sep2000, 00:45 |
| Όγκος (MM) | 201.2 |
| Όγκος βροχόπτωσης (M3) | 2.53E6 |
| Όγκος απωλειών (M3) | 1.05E6 |
| Ενεργός Όγκος (M3) | 1.48E6 |
| Όγκος άμεσης απορροής (M3) | 1.48E6 |
| Όγκος βασικής απορροής (M3) | 6.03E5 |

Βροχόπτωση και Απορροή



Υπολεκάνη: EL0420FR4045

Έκταση (KM2) : 5.32

Κατάνη : J11

Μέθοδος Απωλειών: SCS

| | |
|--------------------------------|-------|
| Ποσοστό αδιαπέρατης επιφάνειας | 0 |
| Αριθμός Καμπύλης Απορροής-CN | 76.73 |
| Αρχικές Απώλειες | 15.41 |

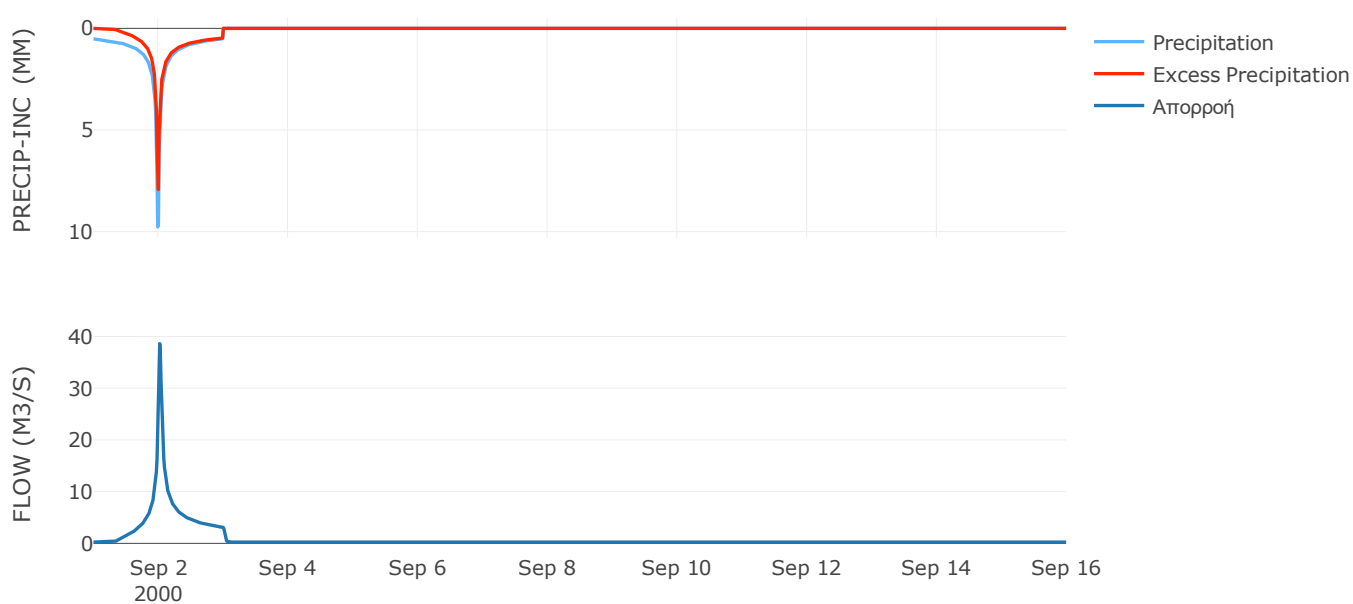
Μέθοδος
Μετασχηματισμού: SCS

| | |
|------------------|-------|
| Χρόνος Υστέρησης | 29.53 |
|------------------|-------|

Αποτελέσματα:
EL0420FR4045

| | |
|-----------------------------|------------------|
| Παροχή αιχμής (M3/S) | 38.62 |
| Χρονική στιγμή αιχμής | 02Sep2000, 00:30 |
| Όγκος (MM) | 217.06 |
| Όγκος βροχόπτωσης (M3) | 1.23E6 |
| Όγκος απωλειών (M3) | 3.84E5 |
| Ενεργός Όγκος (M3) | 8.44E5 |
| Όγκος άμεσης απορροής (M3) | 8.44E5 |
| Όγκος βασικής απορροής (M3) | 3.1E5 |

Βροχόπτωση και Απορροή



Υπολεκάνη: EL0420FR4046

Έκταση (KM2) : 24.57

Κατάνη : J10

Μέθοδος Απωλειών: SCS

| | |
|--------------------------------|-------|
| Ποσοστό αδιαπέρατης επιφάνειας | 0 |
| Αριθμός Καμπύλης Απορροής-CN | 72.06 |
| Αρχικές Απώλειες | 19.7 |

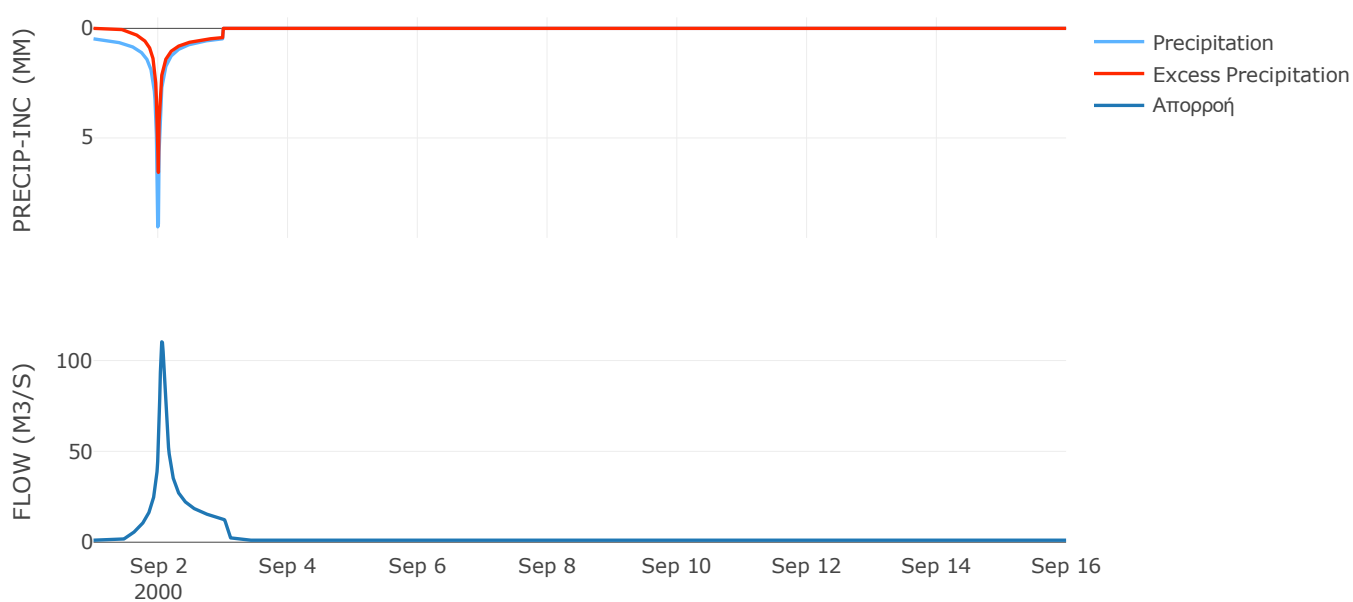
Μέθοδος
Μετασχηματισμού: SCS

| | |
|------------------|-------|
| Χρόνος Υστέρησης | 74.69 |
|------------------|-------|

Αποτελέσματα:
EL0420FR4046

| | |
|-----------------------------|------------------|
| Παροχή αιχμής (M3/S) | 110.29 |
| Χρονική στιγμή αιχμής | 02Sep2000, 01:15 |
| Όγκος (MM) | 187.37 |
| Όγκος βροχόπτωσης (M3) | 5.26E6 |
| Όγκος απωλειών (M3) | 2.09E6 |
| Ενεργός Όγκος (M3) | 3.17E6 |
| Όγκος άμεσης απορροής (M3) | 3.17E6 |
| Όγκος βασικής απορροής (M3) | 1.43E6 |

Βροχόπτωση και Απορροή



Υπολεκάνη: EL0420FR4047

Έκταση (KM2) : 37.25

Κατάνη : J26

Μέθοδος Απωλειών: SCS

| | |
|--------------------------------|-------|
| Ποσοστό αδιαπέρατης επιφάνειας | 0 |
| Αριθμός Καμπύλης Απορροής-CN | 69.84 |
| Αρχικές Απώλειες | 21.93 |

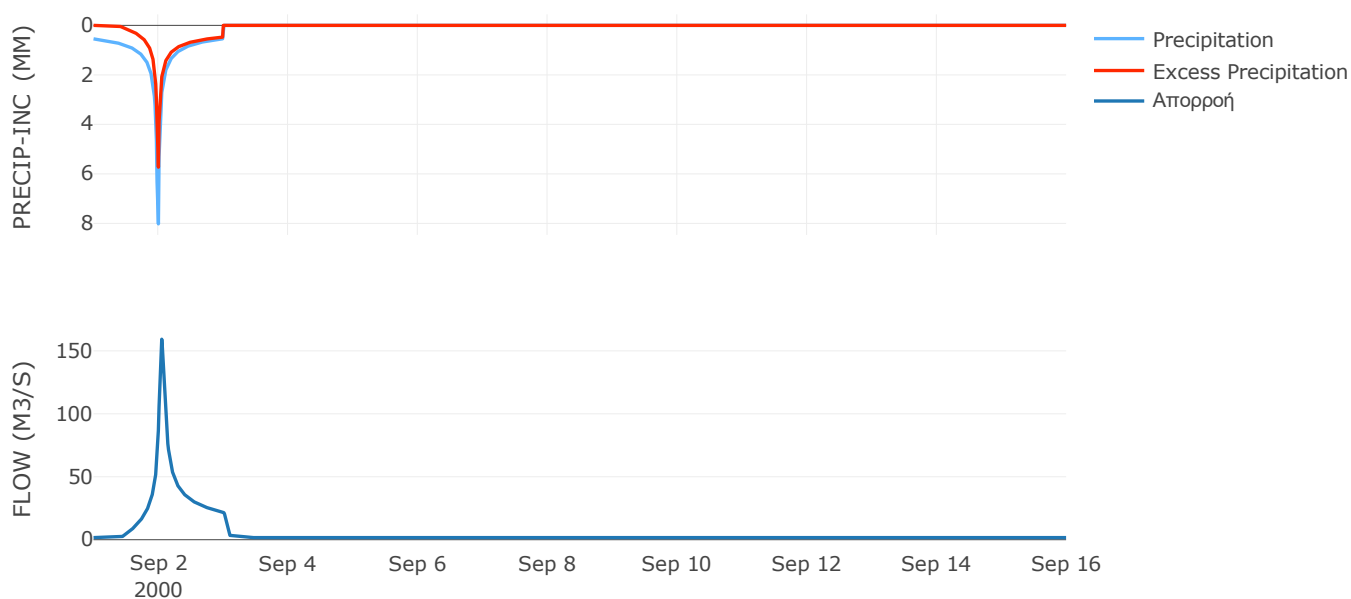
Μέθοδος
Μετασχηματισμού: SCS

| | |
|------------------|-------|
| Χρόνος Υστέρησης | 62.89 |
|------------------|-------|

Αποτελέσματα:
EL0420FR4047

| | |
|-----------------------------|------------------|
| Παροχή αιχμής (M3/S) | 159.24 |
| Χρονική στιγμή αιχμής | 02Sep2000, 01:15 |
| Όγκος (MM) | 189.24 |
| Όγκος βροχόπτωσης (M3) | 8.34E6 |
| Όγκος απωλειών (M3) | 3.46E6 |
| Ενεργός Όγκος (M3) | 4.88E6 |
| Όγκος άμεσης απορροής (M3) | 4.88E6 |
| Όγκος βασικής απορροής (M3) | 2.17E6 |

Βροχόπτωση και Απορροή



Υπολεκάνη: EL0420FR4048

Έκταση (KM2) : 34.69

Κατάντη : J26

Μέθοδος Απωλειών: SCS

| | |
|--------------------------------|-------|
| Ποσοστό αδιαπέρατης επιφάνειας | 0 |
| Αριθμός Καμπύλης Απορροής-CN | 70.38 |
| Αρχικές Απώλειες | 21.38 |

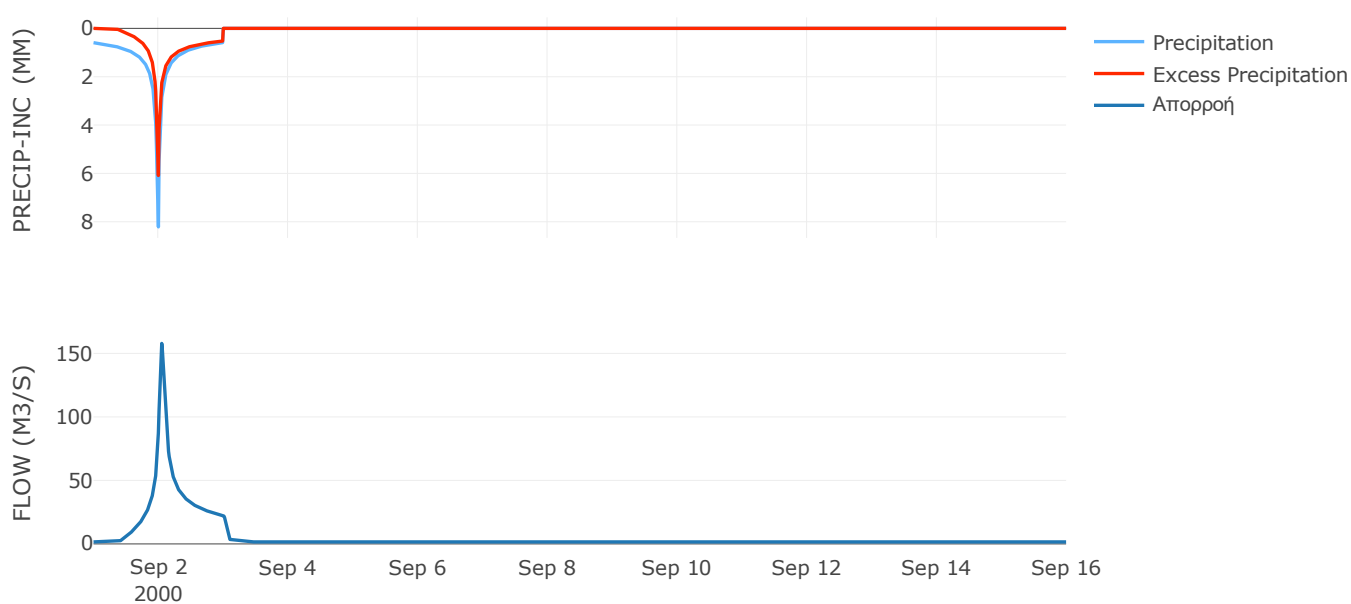
Μέθοδος
Μετασχηματισμού: SCS

| | |
|------------------|-------|
| Χρόνος Υστέρησης | 64.77 |
|------------------|-------|

Αποτελέσματα:
EL0420FR4048

| | |
|-----------------------------|------------------|
| Παροχή αιχμής (M3/S) | 157.87 |
| Χρονική στιγμή αιχμής | 02Sep2000, 01:15 |
| Όγκος (MM) | 203.44 |
| Όγκος βροχόπτωσης (M3) | 8.26E6 |
| Όγκος απωλειών (M3) | 3.23E6 |
| Ενεργός Όγκος (M3) | 5.03E6 |
| Όγκος άμεσης απορροής (M3) | 5.03E6 |
| Όγκος βασικής απορροής (M3) | 2.02E6 |

Βροχόπτωση και Απορροή



Υπολεκάνη: EL0420FR4049

Έκταση (KM2) : 11.77

Κατάντη : J9

Μέθοδος Απωλειών: SCS

| | |
|--------------------------------|-------|
| Ποσοστό αδιαπέρατης επιφάνειας | 0 |
| Αριθμός Καμπύλης Απορροής-CN | 75.61 |
| Αρχικές Απώλειες | 16.39 |

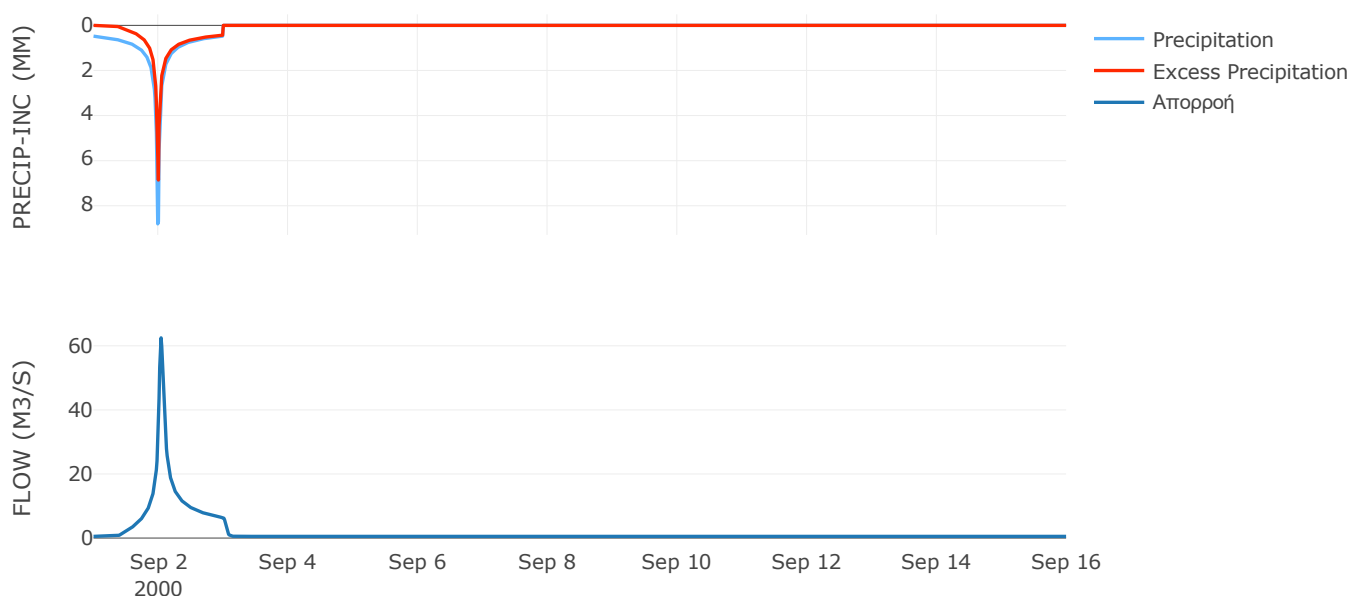
Μέθοδος
Μετασχηματισμού: SCS

| | |
|------------------|-------|
| Χρόνος Υστέρησης | 53.94 |
|------------------|-------|

Αποτελέσματα:
EL0420FR4049

| | |
|-----------------------------|------------------|
| Παροχή αιχμής (M3/S) | 62.49 |
| Χρονική στιγμή αιχμής | 02Sep2000, 01:00 |
| Όγκος (MM) | 196.81 |
| Όγκος βροχόπτωσης (M3) | 2.5E6 |
| Όγκος απωλειών (M3) | 8.73E5 |
| Ενεργός Όγκος (M3) | 1.63E6 |
| Όγκος άμεσης απορροής (M3) | 1.63E6 |
| Όγκος βασικής απορροής (M3) | 6.86E5 |

Βροχόπτωση και Απορροή



Υπολεκάνη: EL0420FR4050

Έκταση (KM2) : 19.25

Κατάντη : J7

Μέθοδος Απωλειών: SCS

| | |
|--------------------------------|-------|
| Ποσοστό αδιαπέρατης επιφάνειας | 0 |
| Αριθμός Καμπύλης Απορροής-CN | 74.47 |
| Αρχικές Απώλειες | 17.41 |

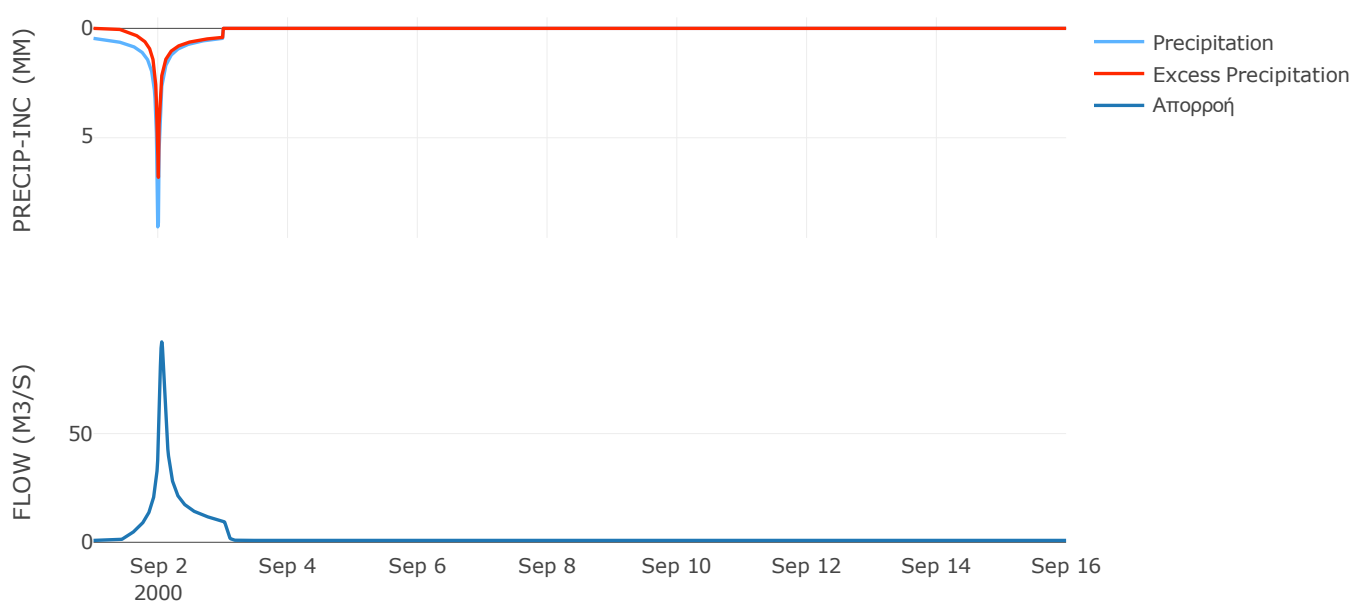
Μέθοδος
Μετασχηματισμού: SCS

| | |
|------------------|-------|
| Χρόνος Υστέρησης | 69.49 |
|------------------|-------|

Αποτελέσματα:
EL0420FR4050

| | |
|-----------------------------|------------------|
| Παροχή αιχμής (M3/S) | 92.18 |
| Χρονική στιγμή αιχμής | 02Sep2000, 01:15 |
| Όγκος (MM) | 189.7 |
| Όγκος βροχόπτωσης (M3) | 4.02E6 |
| Όγκος απωλειών (M3) | 1.49E6 |
| Ενεργός Όγκος (M3) | 2.53E6 |
| Όγκος άμεσης απορροής (M3) | 2.53E6 |
| Όγκος βασικής απορροής (M3) | 1.12E6 |

Βροχόπτωση και Απορροή



Υπολεκάνη: EL0420FR4051

Έκταση (KM2) : 32.45

Κατάντη : J4

Μέθοδος Απωλειών: SCS

| | |
|--------------------------------|-------|
| Ποσοστό αδιαπέρατης επιφάνειας | 0 |
| Αριθμός Καμπύλης Απορροής-CN | 90.49 |
| Αρχικές Απώλειες | 5.34 |

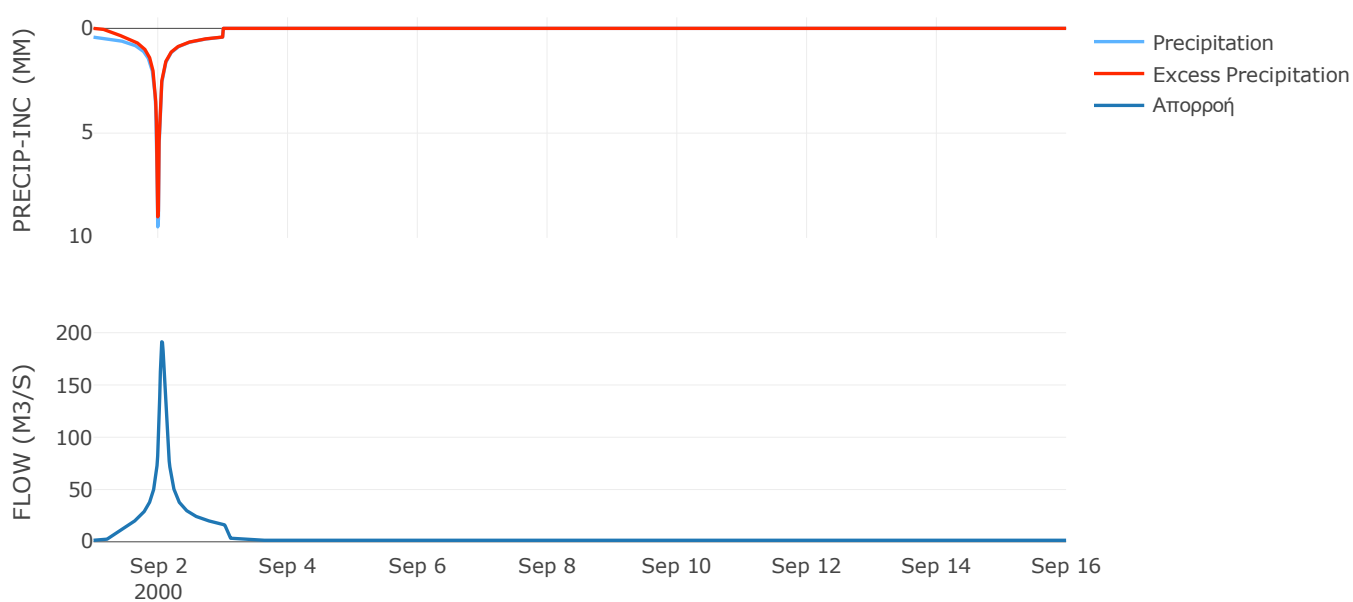
Μέθοδος
Μετασχηματισμού: SCS

| | |
|------------------|-------|
| Χρόνος Υστέρησης | 78.92 |
|------------------|-------|

Αποτελέσματα:
EL0420FR4051

| | |
|-----------------------------|------------------|
| Παροχή αιχμής (M3/S) | 191.32 |
| Χρονική στιγμή αιχμής | 02Sep2000, 01:15 |
| Όγκος (MM) | 229.68 |
| Όγκος βροχόπτωσης (M3) | 6.5E6 |
| Όγκος απωλειών (M3) | 9.35E5 |
| Ενεργός Όγκος (M3) | 5.56E6 |
| Όγκος άμεσης απορροής (M3) | 5.56E6 |
| Όγκος βασικής απορροής (M3) | 1.89E6 |

Βροχόπτωση και Απορροή



Υπολεκάνη: EL0420FR4052

Έκταση (KM2) : 29.83

Κατάντη : J30

Μέθοδος Απωλειών: SCS

| | |
|--------------------------------|-------|
| Ποσοστό αδιαπέρατης επιφάνειας | 0 |
| Αριθμός Καμπύλης Απορροής-CN | 90.53 |
| Αρχικές Απώλειες | 5.31 |

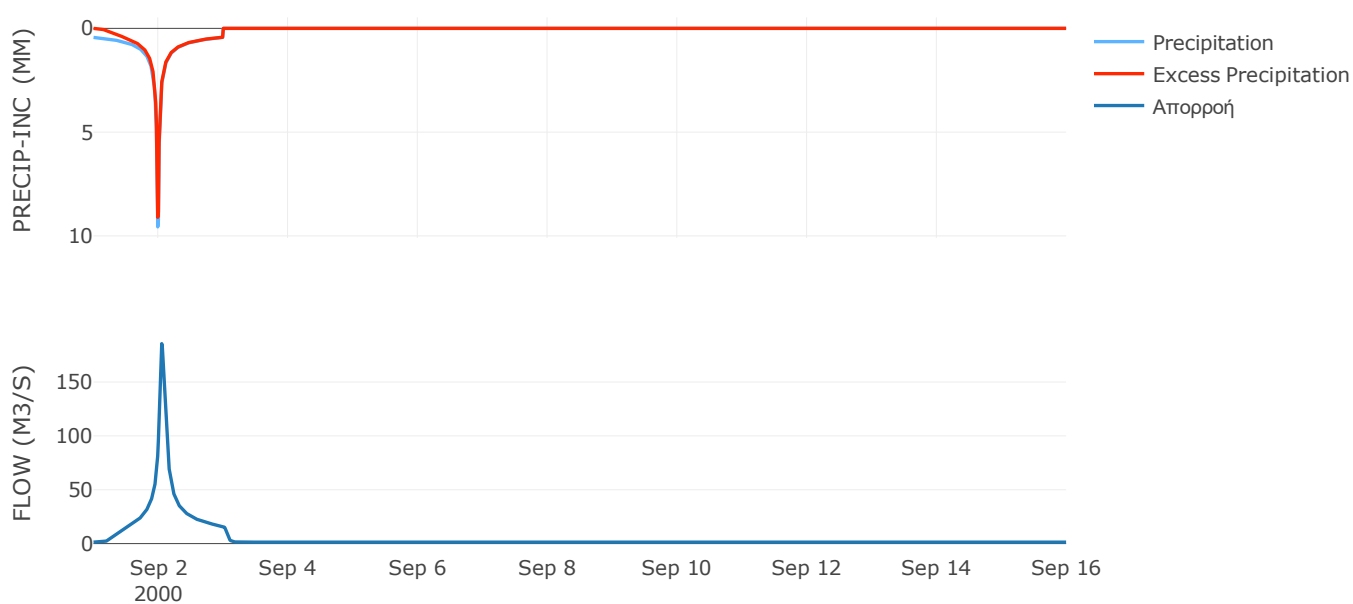
Μέθοδος
Μετασχηματισμού: SCS

| | |
|------------------|-------|
| Χρόνος Υστέρησης | 72.85 |
|------------------|-------|

Αποτελέσματα:
EL0420FR4052

| | |
|-----------------------------|------------------|
| Παροχή αιχμής (M3/S) | 185.63 |
| Χρονική στιγμή αιχμής | 02Sep2000, 01:15 |
| Όγκος (MM) | 235.02 |
| Όγκος βροχόπτωσης (M3) | 6.13E6 |
| Όγκος απωλειών (M3) | 8.58E5 |
| Ενεργός Όγκος (M3) | 5.27E6 |
| Όγκος άμεσης απορροής (M3) | 5.27E6 |
| Όγκος βασικής απορροής (M3) | 1.74E6 |

Βροχόπτωση και Απορροή



Υπολεκάνη: EL0420FR4053

Έκταση (KM2) : 0.54

Κατάντη : J20

Μέθοδος Απωλειών: SCS

| | |
|--------------------------------|-------|
| Ποσοστό αδιαπέρατης επιφάνειας | 0 |
| Αριθμός Καμπύλης Απορροής-CN | 90.83 |
| Αρχικές Απώλειες | 5.13 |

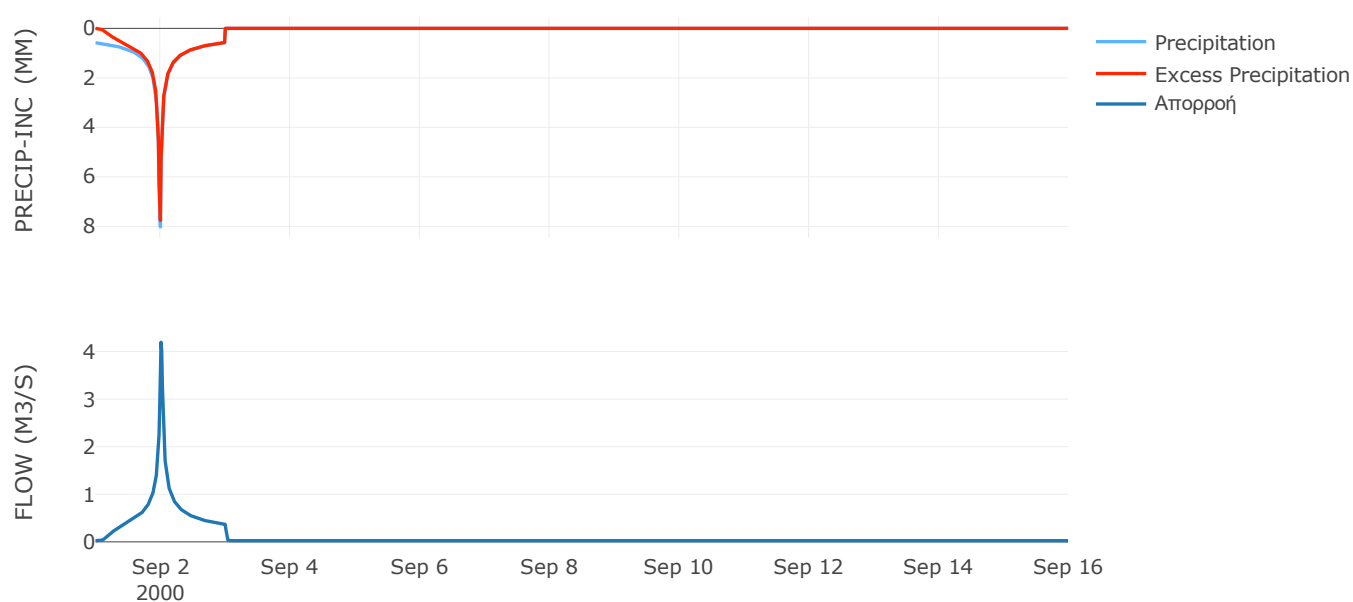
Μέθοδος
Μετασχηματισμού: SCS

| | |
|------------------|-------|
| Χρόνος Υστέρησης | 17.19 |
|------------------|-------|

Αποτελέσματα:
EL0420FR4053

| | |
|-----------------------------|------------------|
| Παροχή αιχμής (M3/S) | 4.2 |
| Χρονική στιγμή αιχμής | 02Sep2000, 00:15 |
| Όγκος (MM) | 263.15 |
| Όγκος βροχόπτωσης (M3) | 1.25E5 |
| Όγκος απωλειών (M3) | 15114.54 |
| Ενεργός Όγκος (M3) | 1.1E5 |
| Όγκος άμεσης απορροής (M3) | 1.1E5 |
| Όγκος βασικής απορροής (M3) | 31289.33 |

Βροχόπτωση και Απορροή



Υπολεκάνη: EL0420FR4054

Έκταση (KM2) : 4.72

Κατάντη : J2

Μέθοδος Απωλειών: SCS

| | |
|--------------------------------|-------|
| Ποσοστό αδιαπέρατης επιφάνειας | 0 |
| Αριθμός Καμπύλης Απορροής-CN | 90.53 |
| Αρχικές Απώλειες | 5.31 |

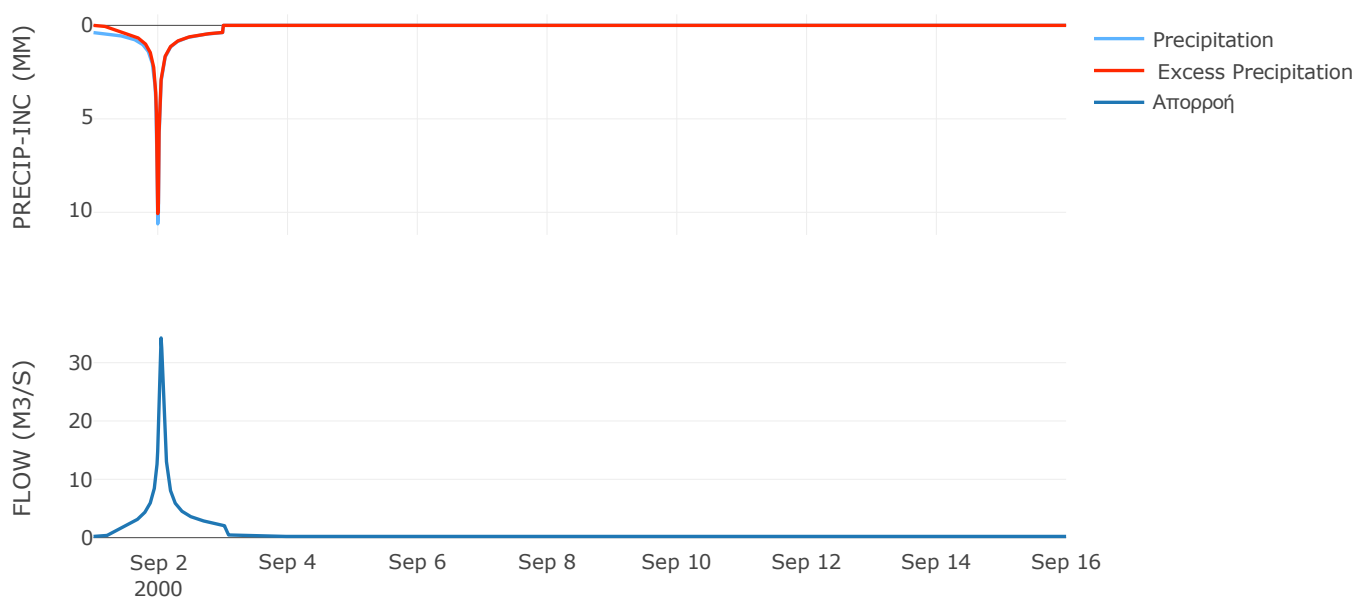
Μέθοδος
Μετασχηματισμού: SCS

| | |
|------------------|-------|
| Χρόνος Υστέρησης | 55.42 |
|------------------|-------|

Αποτελέσματα:
EL0420FR4054

| | |
|-----------------------------|------------------|
| Παροχή αιχμής (M3/S) | 34.24 |
| Χρονική στιγμή αιχμής | 02Sep2000, 01:00 |
| Όγκος (MM) | 227.04 |
| Όγκος βροχόπτωσης (M3) | 9.31E5 |
| Όγκος απωλειών (M3) | 1.35E5 |
| Ενεργός Όγκος (M3) | 7.96E5 |
| Όγκος άμεσης απορροής (M3) | 7.96E5 |
| Όγκος βασικής απορροής (M3) | 2.75E5 |

Βροχόπτωση και Απορροή



Υπολεκάνη: EL0420FR4055

Έκταση (KM2) : 10.12

Κατάντη : Diversion - 1

Μέθοδος Απωλειών: SCS

| | |
|--------------------------------|-------|
| Ποσοστό αδιαπέρατης επιφάνειας | 4.1 |
| Αριθμός Καμπύλης Απορροής-CN | 85.92 |
| Αρχικές Απώλειες | 8.33 |

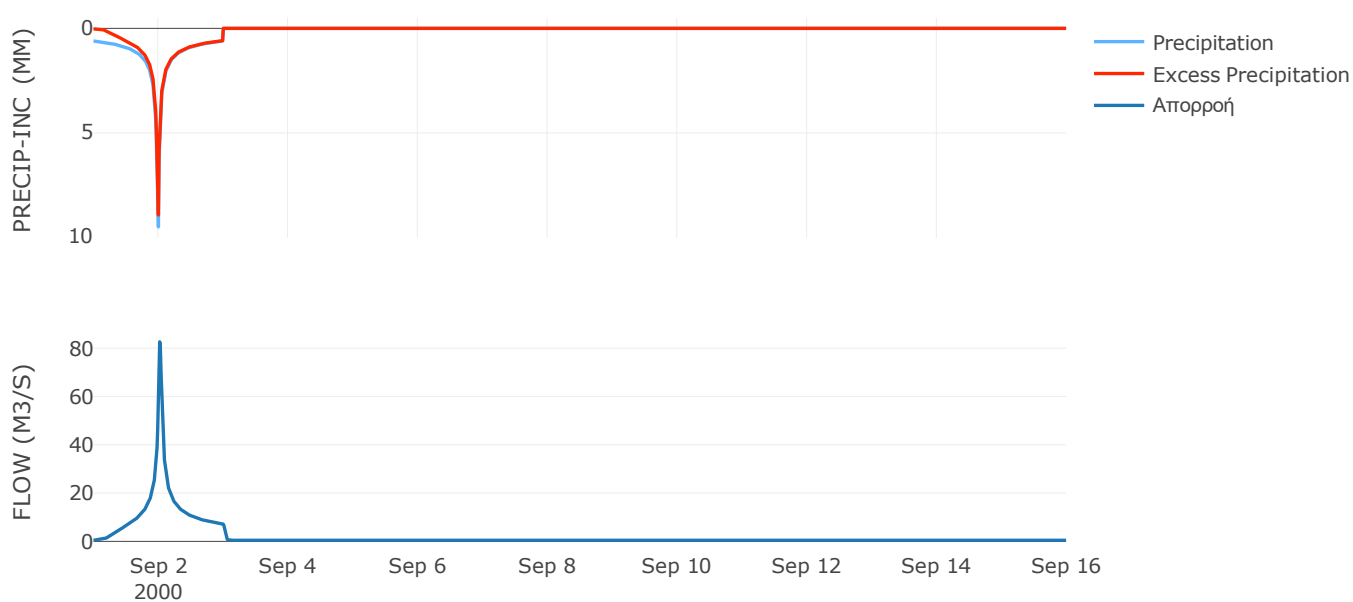
Μέθοδος
Μετασχηματισμού: SCS

| | |
|------------------|-------|
| Χρόνος Υστέρησης | 31.52 |
|------------------|-------|

Αποτελέσματα:
EL0420FR4055

| | |
|-----------------------------|------------------|
| Παροχή αιχμής (M3/S) | 82.64 |
| Χρονική στιγμή αιχμής | 02Sep2000, 00:30 |
| Όγκος (MM) | 270.04 |
| Όγκος βροχόπτωσης (M3) | 2.57E6 |
| Όγκος απωλειών (M3) | 4.26E5 |
| Ενεργός Όγκος (M3) | 2.14E6 |
| Όγκος άμεσης απορροής (M3) | 2.14E6 |
| Όγκος βασικής απορροής (M3) | 5.9E5 |

Βροχόπτωση και Απορροή



Υπολεκάνη: EL0420FR4056

Έκταση (KM2) : 13.8

Κατάντη : J5

Μέθοδος Απωλειών: SCS

| | |
|--------------------------------|-------|
| Ποσοστό αδιαπέρατης επιφάνειας | 0 |
| Αριθμός Καμπύλης Απορροής-CN | 90.47 |
| Αρχικές Απώλειες | 5.35 |

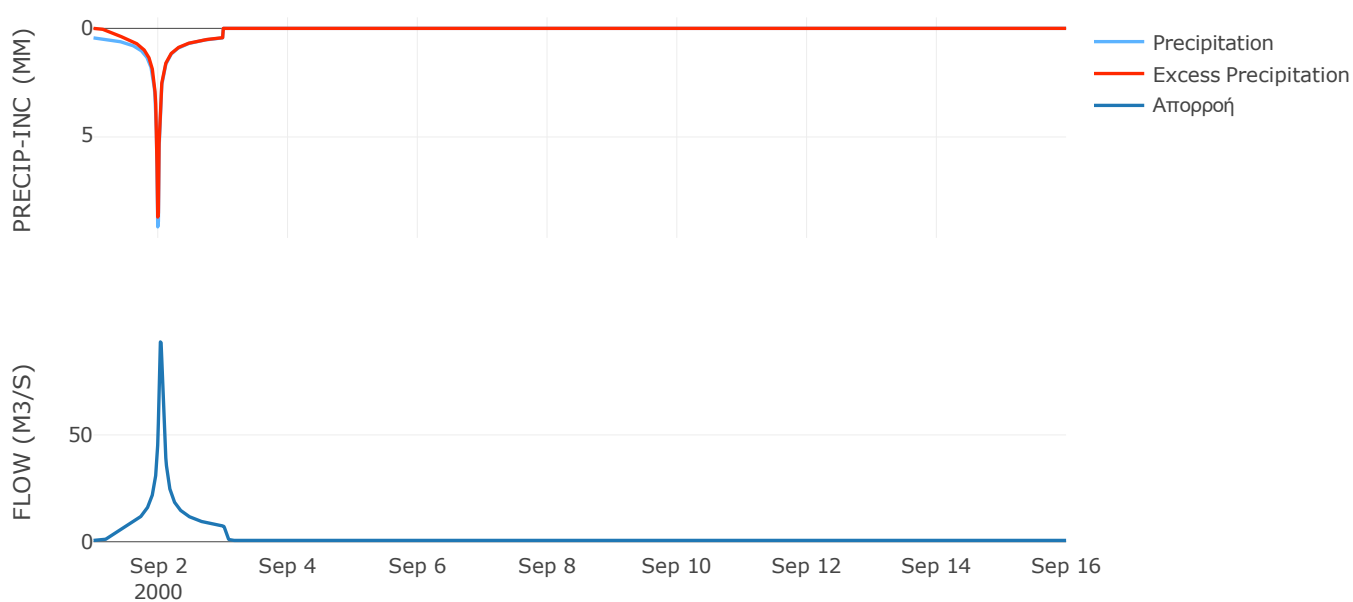
Μέθοδος
Μετασχηματισμού: SCS

| | |
|------------------|-------|
| Χρόνος Υστέρησης | 49.87 |
|------------------|-------|

Αποτελέσματα:
EL0420FR4056

| | |
|-----------------------------|------------------|
| Παροχή αιχμής (M3/S) | 93.53 |
| Χρονική στιγμή αιχμής | 02Sep2000, 00:45 |
| Όγκος (MM) | 232.6 |
| Όγκος βροχόπτωσης (M3) | 2.8E6 |
| Όγκος απωλειών (M3) | 3.99E5 |
| Ενεργός Όγκος (M3) | 2.4E6 |
| Όγκος άμεσης απορροής (M3) | 2.4E6 |
| Όγκος βασικής απορροής (M3) | 8.05E5 |

Βροχόπτωση και Απορροή



4.2 Δεδομένα και Υδρογραφήματα Σχεδιασμού Κλάδων Υδρογραφικού Δικτύου

Κλάδος: R21

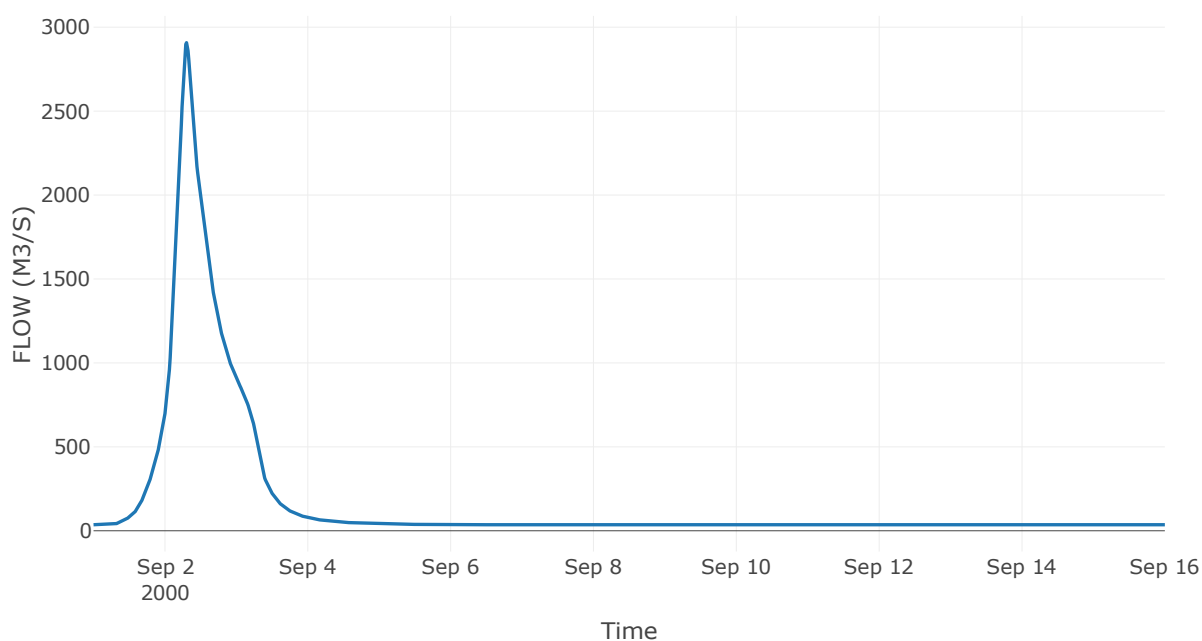
Κατάντη : J1

| | |
|----------------------|-----------------|
| Μέθοδος Διόδευσης | Muskingum |
| Αρχική Μεταβλητή | Combined Inflow |
| Χρόνος Ροής K | 1.74 |
| Συντελεστής βάρους x | 0.2 |
| Πλήθος Υποκλάδων | 7 |

Αποτελέσματα: R21

| | |
|------------------------------|------------------|
| Παροχή Αιχμής(M3/S) | 2907.81 |
| Χρονική στιγμή αιχμής | 02Sep2000, 07:15 |
| Όγκος(MM) | 213.17 |
| Παροχή Αιχμής Εισόδου (M3/S) | 2963.77 |
| Όγκος Εισροής(M3) | 2.28E8 |

Απορροή



Κλάδος: R32

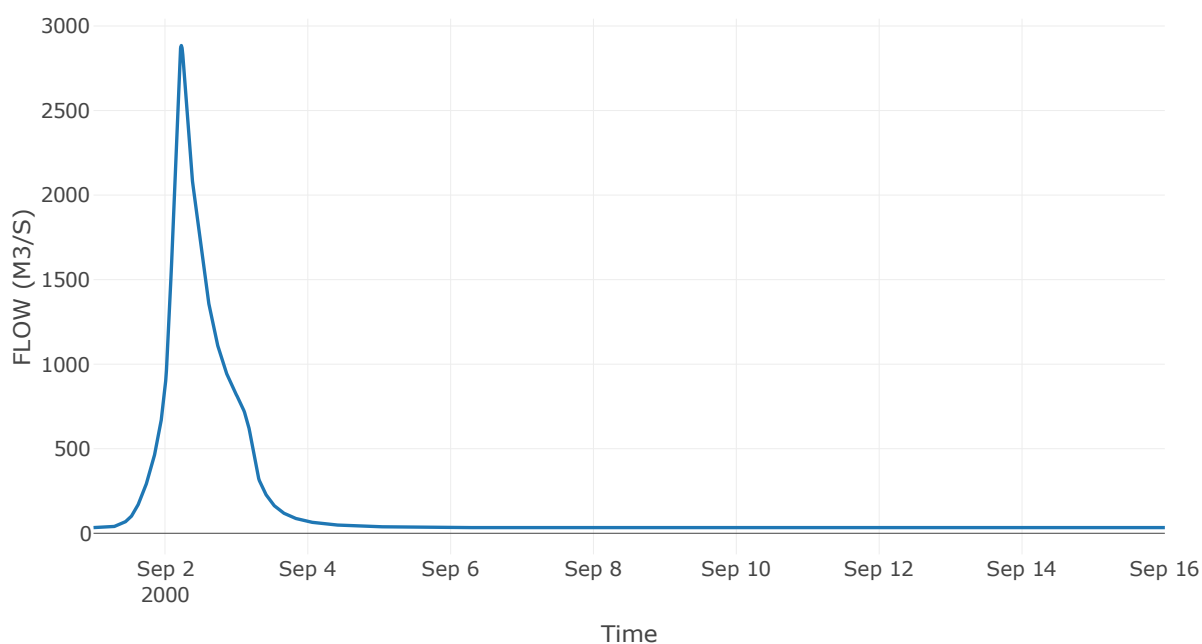
Κατάντη : J2

| | |
|----------------------|-----------------|
| Μέθοδος Διόδευσης | Muskingum |
| Αρχική Μεταβλητή | Combined Inflow |
| Χρόνος Ροής K | 0.42 |
| Συντελεστής βάρους x | 0.2 |
| Πλήθος Υποκλάδων | 2 |

Αποτελέσματα: R32

| | |
|------------------------------|------------------|
| Παροχή Αιχμής(M3/S) | 2884.53 |
| Χρονική στιγμή αιχμής | 02Sep2000, 05:30 |
| Όγκος(MM) | 212.29 |
| Παροχή Αιχμής Εισόδου (M3/S) | 2896.37 |
| Όγκος Εισροής(M3) | 2.17E8 |

Απορροή



Κλάδος: R43

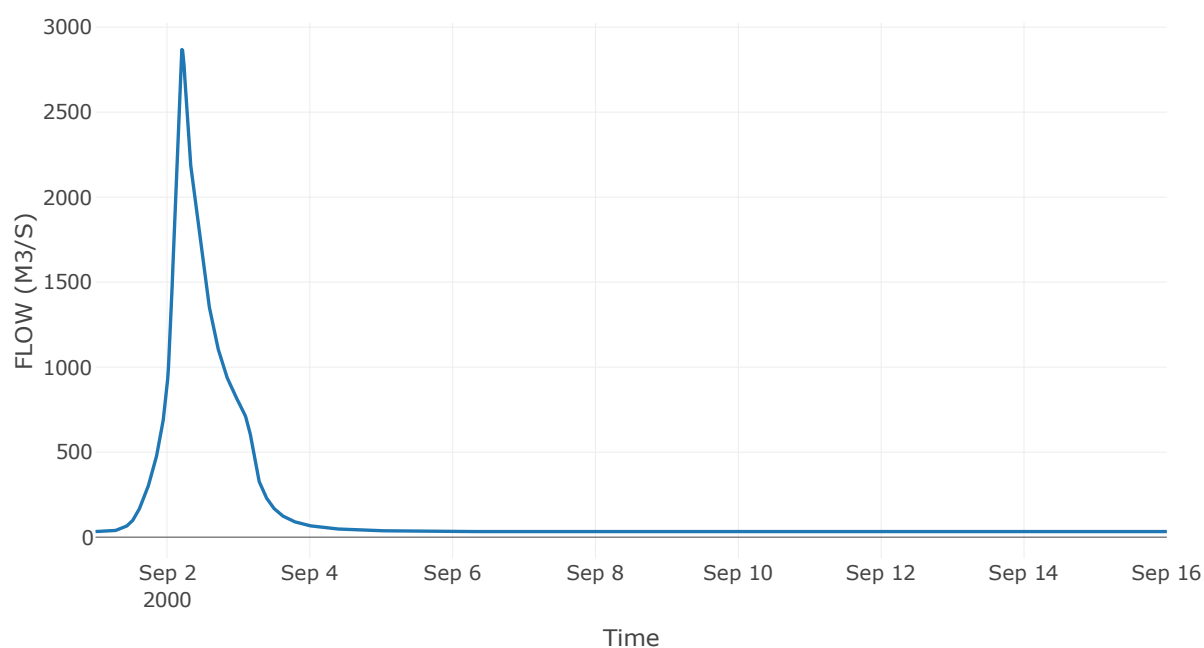
Κατάντη : J3

| | |
|----------------------|-----------------|
| Μέθοδος Διόδευσης | Muskingum |
| Αρχική Μεταβλητή | Combined Inflow |
| Χρόνος Ροής K | 0.52 |
| Συντελεστής βάρους x | 0.2 |
| Πλήθος Υποκλάδων | 2 |

Αποτελέσματα: R43

| | |
|------------------------------|------------------|
| Παροχή Αιχμής(M3/S) | 2868.39 |
| Χρονική στιγμή αιχμής | 02Sep2000, 05:00 |
| Όγκος(MM) | 212.27 |
| Παροχή Αιχμής Εισόδου (M3/S) | 2891.08 |
| Όγκος Εισροής(M3) | 2.13E8 |

Απορροή



Κλάδος: R54

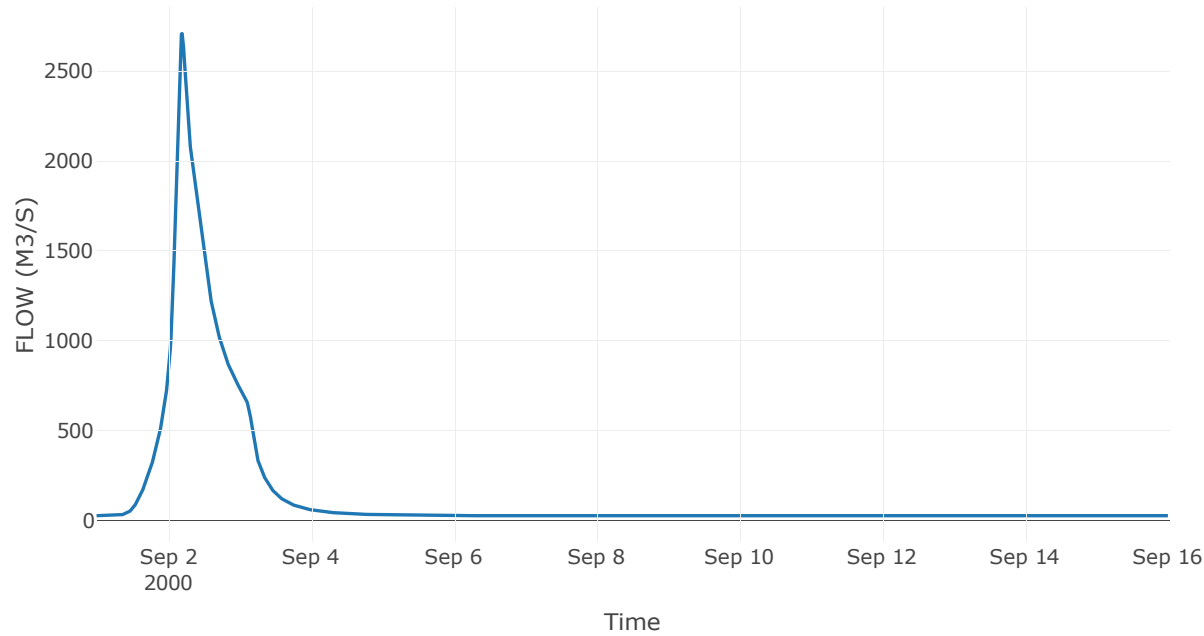
Κατάντη : J4

| | |
|----------------------|-----------------|
| Μέθοδος Διόδευσης | Muskingum |
| Αρχική Μεταβλητή | Combined Inflow |
| Χρόνος Ροής K | 1.24 |
| Συντελεστής βάρους x | 0.2 |
| Πλήθος Υποκλάδων | 5 |

Αποτελέσματα: R54

| | |
|------------------------------|------------------|
| Παροχή Αιχμής(M3/S) | 2707.85 |
| Χρονική στιγμή αιχμής | 02Sep2000, 04:45 |
| Όγκος(MM) | 210.85 |
| Παροχή Αιχμής Εισόδου (M3/S) | 2764.59 |
| Όγκος Εισροής(M3) | 1.96E8 |

Απορροή



Κλάδος: R65

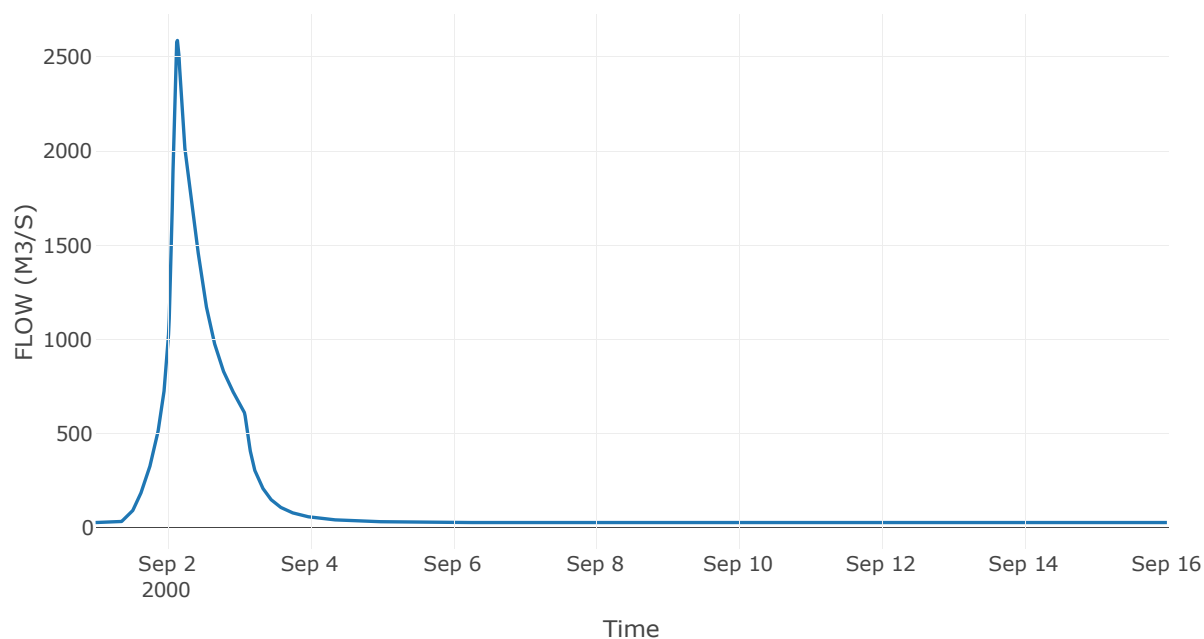
Κατάντη : J5

| | |
|----------------------|-----------------|
| Μέθοδος Διόδευσης | Muskingum |
| Αρχική Μεταβλητή | Combined Inflow |
| Χρόνος Ροής K | 0.96 |
| Συντελεστής βάρους x | 0.2 |
| Πλήθος Υποκλάδων | 4 |

Αποτελέσματα: R65

| | |
|------------------------------|------------------|
| Παροχή Αιχμής(M3/S) | 2587.59 |
| Χρονική στιγμή αιχμής | 02Sep2000, 03:30 |
| Όγκος(MM) | 210.2 |
| Παροχή Αιχμής Εισόδου (M3/S) | 2637.35 |
| Όγκος Εισροής(M3) | 1.82E8 |

Απορροή



Κλάδος: R76

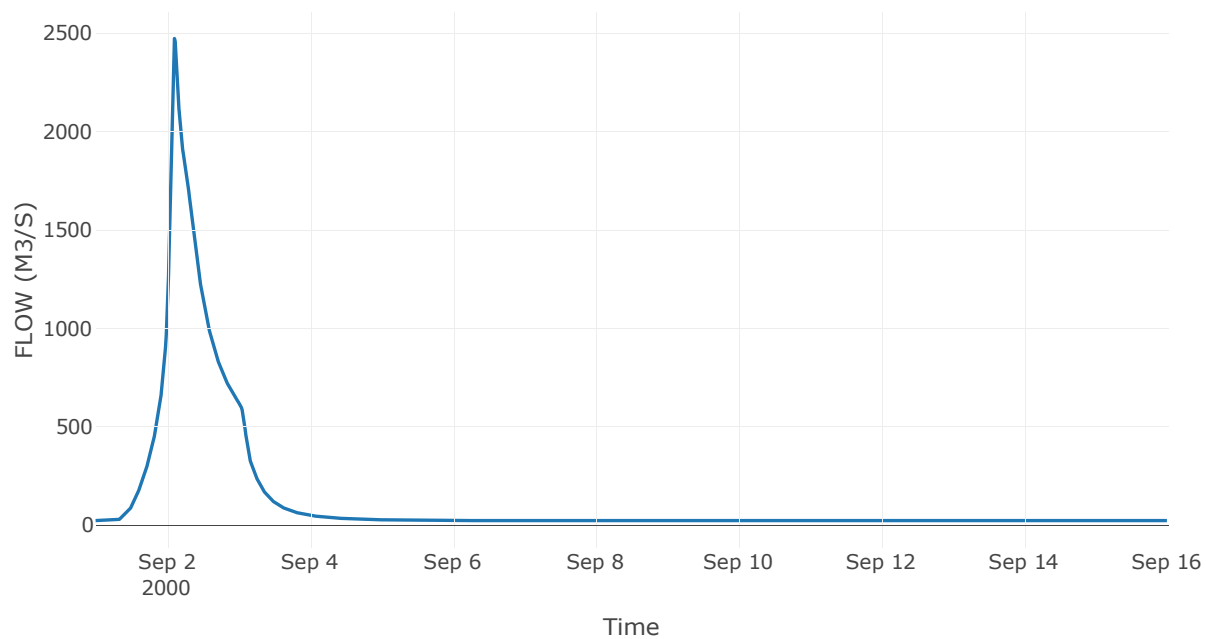
Κατάντη : J6

| | |
|-------------------|------------------|
| Μέθοδος Διόδευσης | Χρόνος Υστέρησης |
| Αρχική Μεταβλητή | Combined Inflow |
| Χρόνος Υστέρησης | 4.38 |

Αποτελέσματα: R76

| | |
|------------------------------|------------------|
| Παροχή Αιχμής(M3/S) | 2473.56 |
| Χρονική στιγμή αιχμής | 02Sep2000, 02:30 |
| Όγκος(MM) | 210.62 |
| Παροχή Αιχμής Εισόδου (M3/S) | 2477.45 |
| Όγκος Εισροής(M3) | 1.72E8 |

Απορροή



Κλάδος: R87

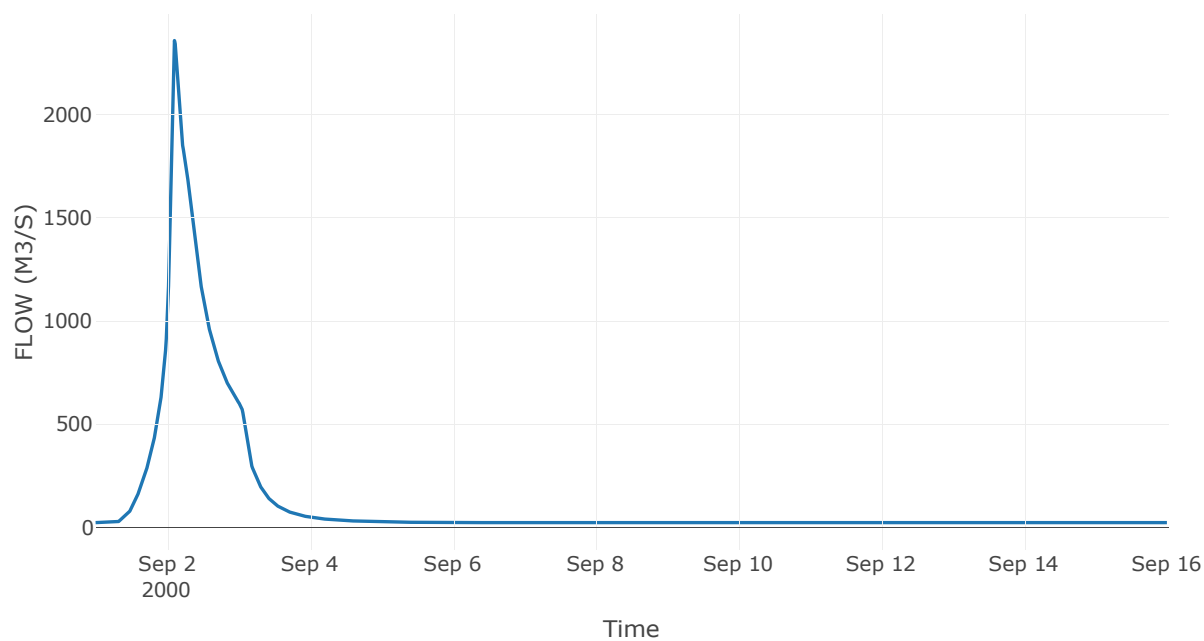
Κατάντη : J7

| | |
|----------------------|-----------------|
| Μέθοδος Διόδευσης | Muskingum |
| Αρχική Μεταβλητή | Combined Inflow |
| Χρόνος Ροής K | 0.6 |
| Συντελεστής βάρους x | 0.2 |
| Πλήθος Υποκλάδων | 2 |

Αποτελέσματα: R87

| | |
|------------------------------|------------------|
| Παροχή Αιχμής(M3/S) | 2357.53 |
| Χρονική στιγμή αιχμής | 02Sep2000, 02:30 |
| Όγκος(MM) | 211.28 |
| Παροχή Αιχμής Εισόδου (M3/S) | 2401.31 |
| Όγκος Εισροής(M3) | 1.65E8 |

Απορροή



Κλάδος: R98

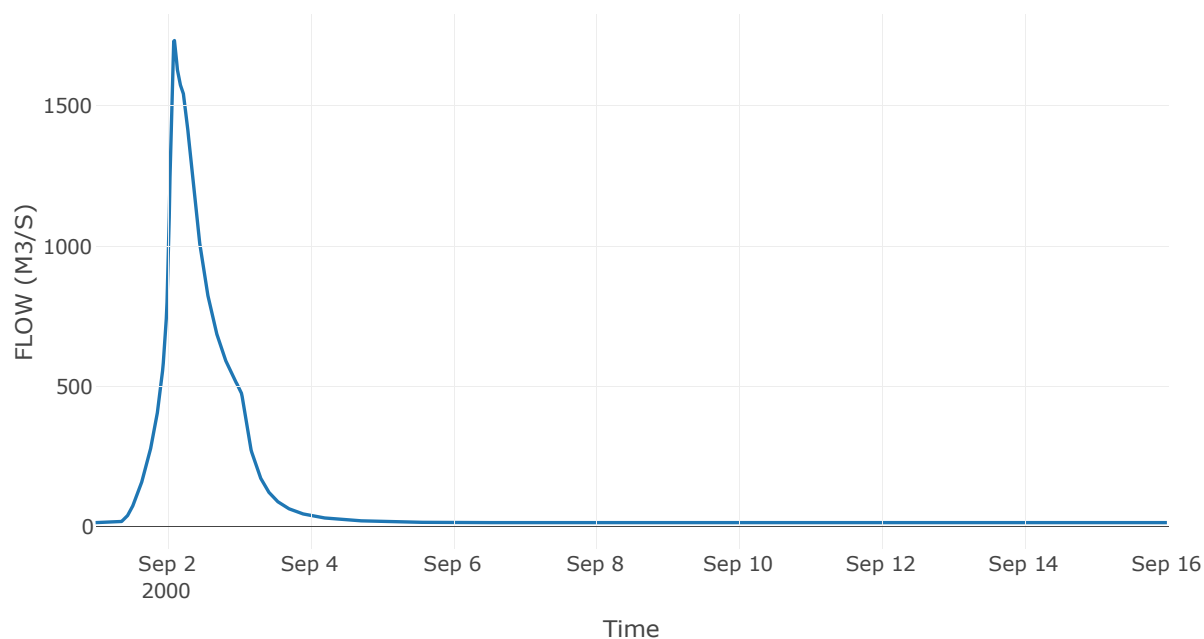
Κατάντη : J8

| | |
|----------------------|-----------------|
| Μέθοδος Διόδευσης | Muskingum |
| Αρχική Μεταβλητή | Combined Inflow |
| Χρόνος Ροής K | 0.31 |
| Συντελεστής βάρους x | 0.2 |
| Πλήθος Υποκλάδων | 1 |

Αποτελέσματα: R98

| | |
|------------------------------|------------------|
| Παροχή Αιχμής(M3/S) | 1732.42 |
| Χρονική στιγμή αιχμής | 02Sep2000, 02:30 |
| Όγκος(MM) | 210.33 |
| Παροχή Αιχμής Εισόδου (M3/S) | 1747 |
| Όγκος Εισροής(M3) | 1.32E8 |

Απορροή



Κλάδος: R109

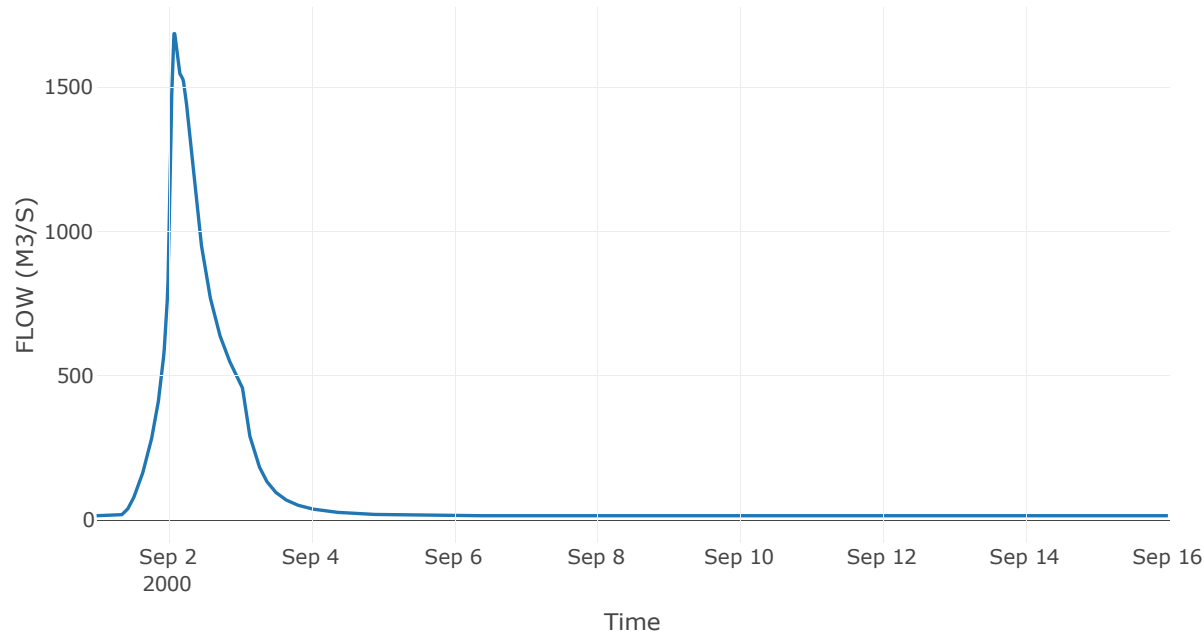
Κατάντη : J9

| | |
|----------------------|-----------------|
| Μέθοδος Διόδευσης | Muskingum |
| Αρχική Μεταβλητή | Combined Inflow |
| Χρόνος Ροής K | 0.25 |
| Συντελεστής βάρους x | 0.2 |
| Πλήθος Υποκλάδων | 1 |

Αποτελέσματα: R109

| | |
|------------------------------|------------------|
| Παροχή Αιχμής(M3/S) | 1685.28 |
| Χρονική στιγμή αιχμής | 02Sep2000, 02:15 |
| Όγκος(MM) | 210.55 |
| Παροχή Αιχμής Εισόδου (M3/S) | 1695.32 |
| Όγκος Εισροής(M3) | 1.29E8 |

Απορροή



Κλάδος: R1110

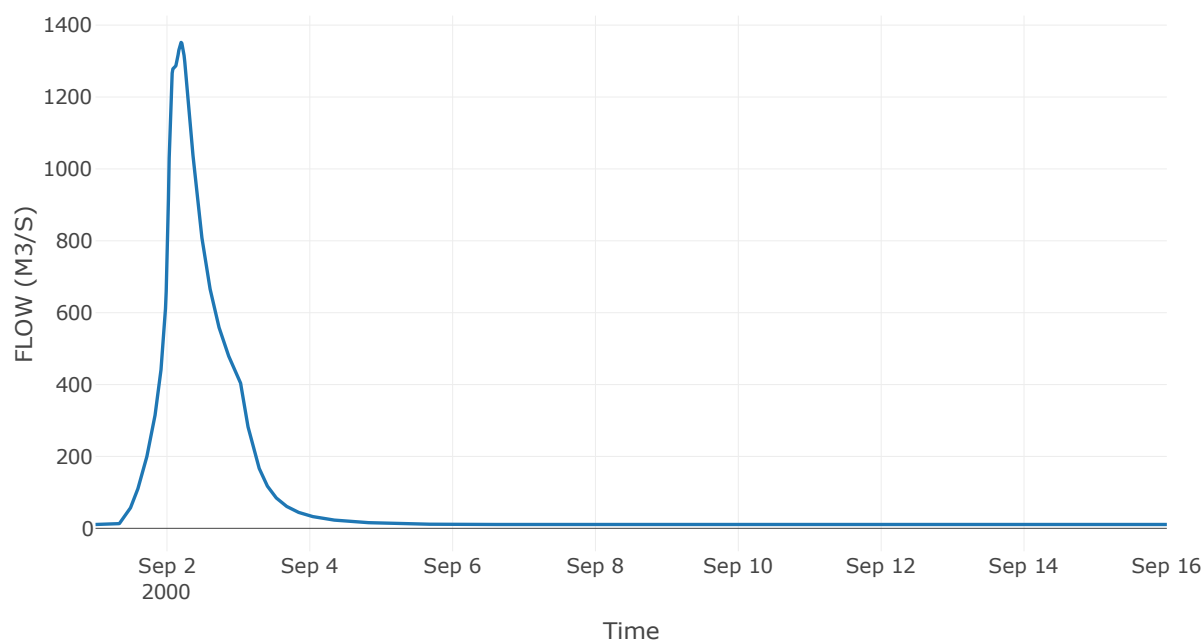
Κατάντη : J10

| | |
|----------------------|-----------------|
| Μέθοδος Διόδευσης | Muskingum |
| Αρχική Μεταβλητή | Combined Inflow |
| Χρόνος Ροής K | 0.21 |
| Συντελεστής βάρους x | 0.2 |
| Πλήθος Υποκλάδων | 1 |

Αποτελέσματα: R1110

| | |
|------------------------------|------------------|
| Παροχή Αιχμής(M3/S) | 1351.94 |
| Χρονική στιγμή αιχμής | 02Sep2000, 04:45 |
| Όγκος(MM) | 213.72 |
| Παροχή Αιχμής Εισόδου (M3/S) | 1352.94 |
| Όγκος Εισροής(M3) | 1.09E8 |

Απορροή



Κλάδος: R1211

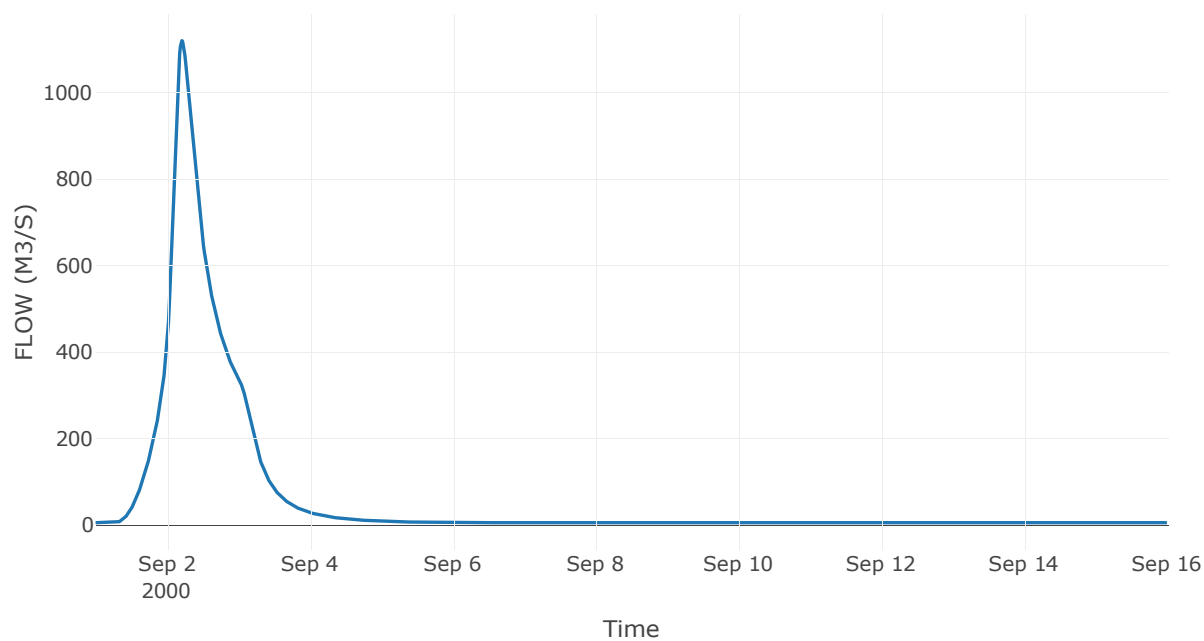
Κατάντη : J11

| | |
|----------------------|-----------------|
| Μέθοδος Διόδευσης | Muskingum |
| Αρχική Μεταβλητή | Combined Inflow |
| Χρόνος Ροής K | 1.19 |
| Συντελεστής βάρους x | 0.2 |
| Πλήθος Υποκλάδων | 5 |

Αποτελέσματα: R1211

| | |
|------------------------------|------------------|
| Παροχή Αιχμής(M3/S) | 1120.26 |
| Χρονική στιγμή αιχμής | 02Sep2000, 05:00 |
| Όγκος(MM) | 211.16 |
| Παροχή Αιχμής Εισόδου (M3/S) | 1128.35 |
| Όγκος Εισροής(M3) | 8.22E7 |

Απορροή



Κλάδος: R1312

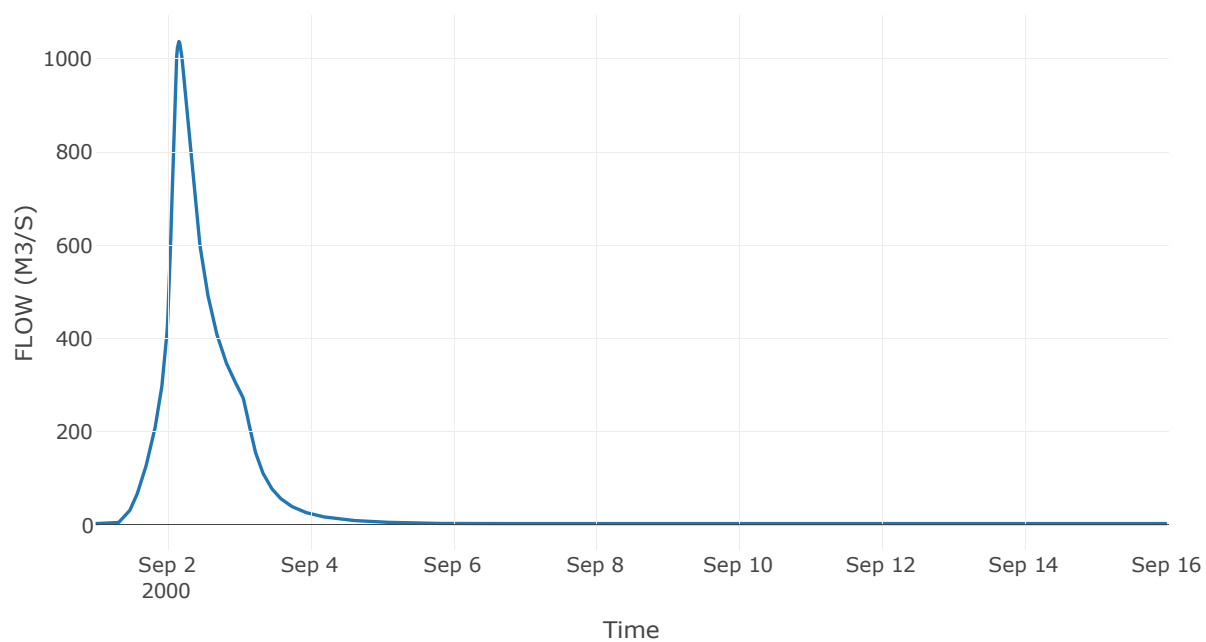
Κατάντη : J12

| | |
|-------------------|------------------|
| Μέθοδος Διόδευσης | Χρόνος Υστέρησης |
| Αρχική Μεταβλητή | Combined Inflow |
| Χρόνος Υστέρησης | 4.81 |

Αποτελέσματα: R1312

| | |
|------------------------------|------------------|
| Παροχή Αιχμής(M3/S) | 1036.61 |
| Χρονική στιγμή αιχμής | 02Sep2000, 04:00 |
| Όγκος(MM) | 205.65 |
| Παροχή Αιχμής Εισόδου (M3/S) | 1037 |
| Όγκος Εισροής(M3) | 7.24E7 |

Απορροή



Κλάδος: R1413

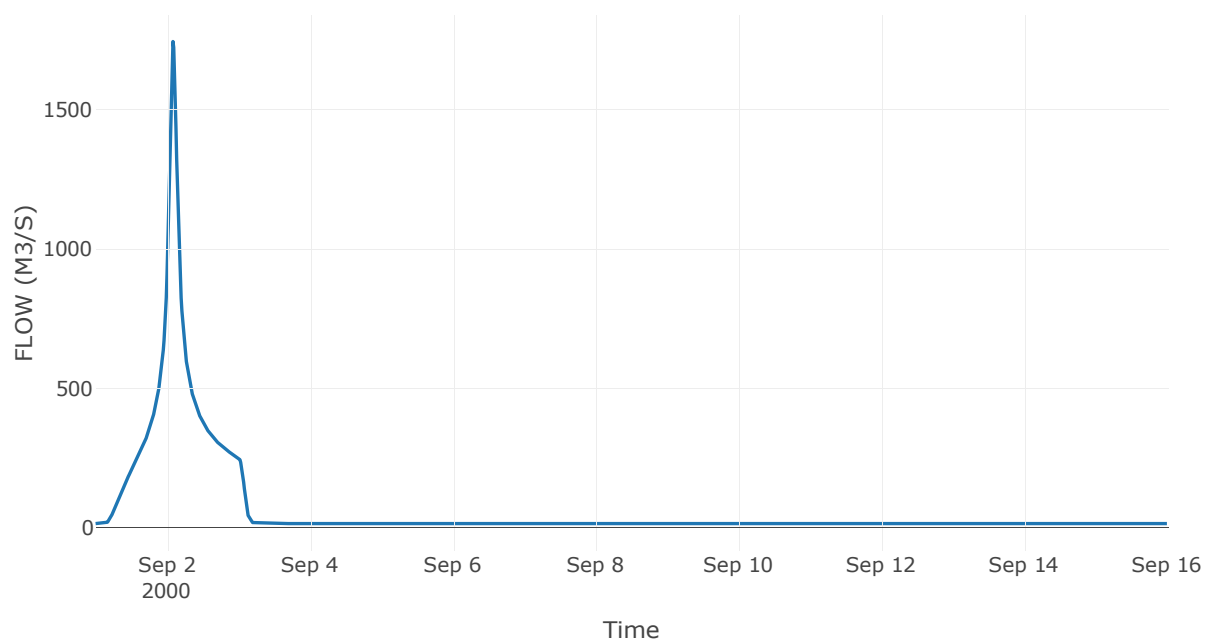
Κατάντη : Diversion - 1

| | |
|-------------------|------------------|
| Μέθοδος Διόδευσης | Χρόνος Υστέρησης |
| Αρχική Μεταβλητή | Combined Inflow |
| Χρόνος Υστέρησης | 5.06 |

Αποτελέσματα: R1413

| | |
|------------------------------|------------------|
| Παροχή Αιχμής(M3/S) | 1744.38 |
| Χρονική στιγμή αιχμής | 02Sep2000, 02:00 |
| Όγκος(MM) | 260.82 |
| Παροχή Αιχμής Εισόδου (M3/S) | 1748.52 |
| Όγκος Εισροής(M3) | 8.92E7 |

Απορροή



Κλάδος: R1514

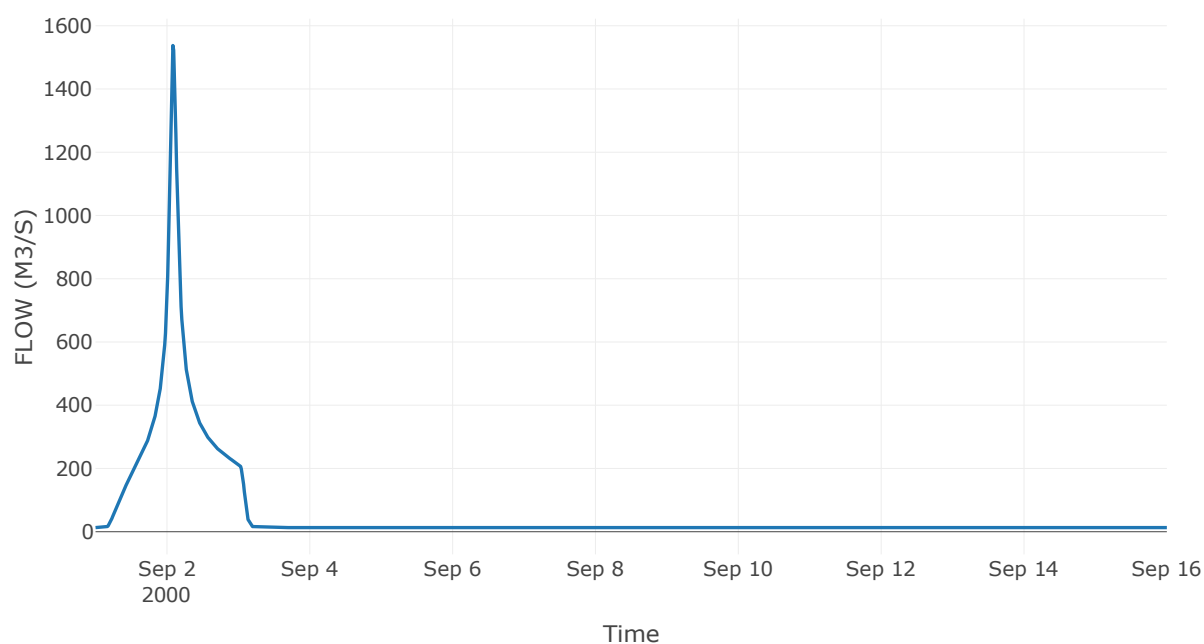
Κατάντη : J14

| | |
|----------------------|-----------------|
| Μέθοδος Διόδευσης | Muskingum |
| Αρχική Μεταβλητή | Combined Inflow |
| Χρόνος Ροής K | 0.4 |
| Συντελεστής βάρους x | 0.2 |
| Πλήθος Υποκλάδων | 2 |

Αποτελέσματα: R1514

| | |
|------------------------------|------------------|
| Παροχή Αιχμής(M3/S) | 1537.46 |
| Χρονική στιγμή αιχμής | 02Sep2000, 02:00 |
| Όγκος(MM) | 261.47 |
| Παροχή Αιχμής Εισόδου (M3/S) | 1556.52 |
| Όγκος Εισροής(M3) | 7.62E7 |

Απορροή



Κλάδος: R1615

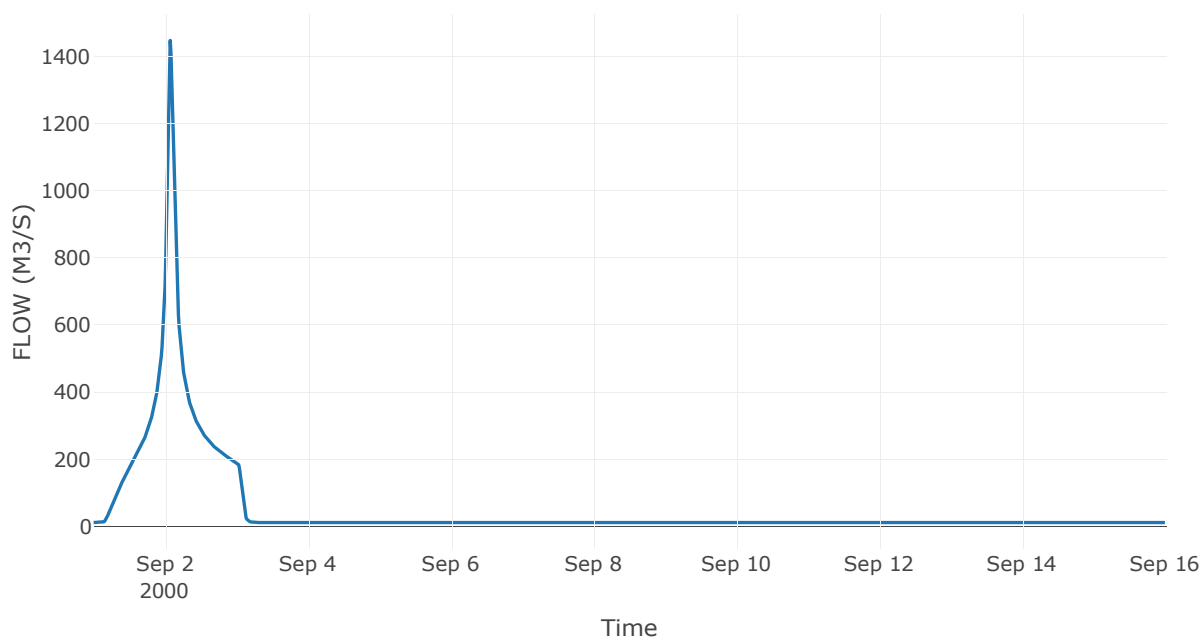
Κατάντη : J15

| | |
|----------------------|-----------------|
| Μέθοδος Διόδευσης | Muskingum |
| Αρχική Μεταβλητή | Combined Inflow |
| Χρόνος Ροής K | 0.35 |
| Συντελεστής βάρους x | 0.2 |
| Πλήθος Υποκλάδων | 1 |

Αποτελέσματα: R1615

| | |
|------------------------------|------------------|
| Παροχή Αιχμής(M3/S) | 1447.29 |
| Χρονική στιγμή αιχμής | 02Sep2000, 01:45 |
| Όγκος(MM) | 264.2 |
| Παροχή Αιχμής Εισόδου (M3/S) | 1481.32 |
| Όγκος Εισροής(M3) | 6.89E7 |

Απορροή



Κλάδος: R1716

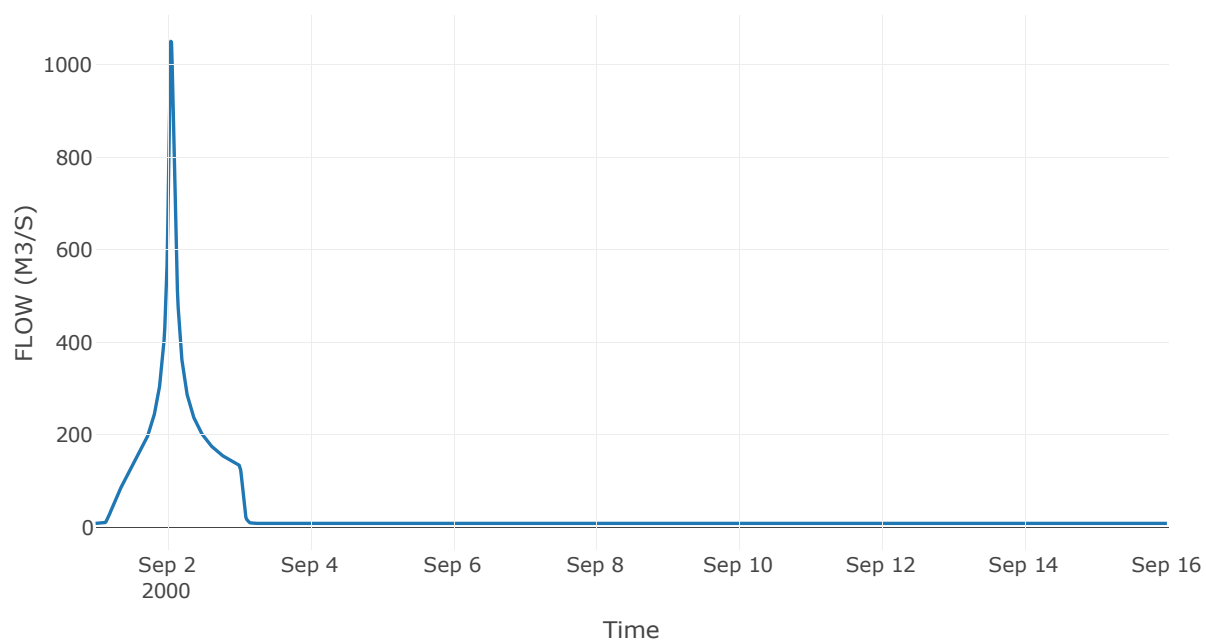
Κατάντη : J16

| | |
|-------------------|------------------|
| Μέθοδος Διόδευσης | Χρόνος Υστέρησης |
| Αρχική Μεταβλητή | Combined Inflow |
| Χρόνος Υστέρησης | 12.31 |

Αποτελέσματα: R1716

| | |
|------------------------------|------------------|
| Παροχή Αιχμής(M3/S) | 1050.92 |
| Χρονική στιγμή αιχμής | 02Sep2000, 01:15 |
| Όγκος(MM) | 265.87 |
| Παροχή Αιχμής Εισόδου (M3/S) | 1058.52 |
| Όγκος Εισροής(M3) | 4.82E7 |

Απορροή



Κλάδος: R1817

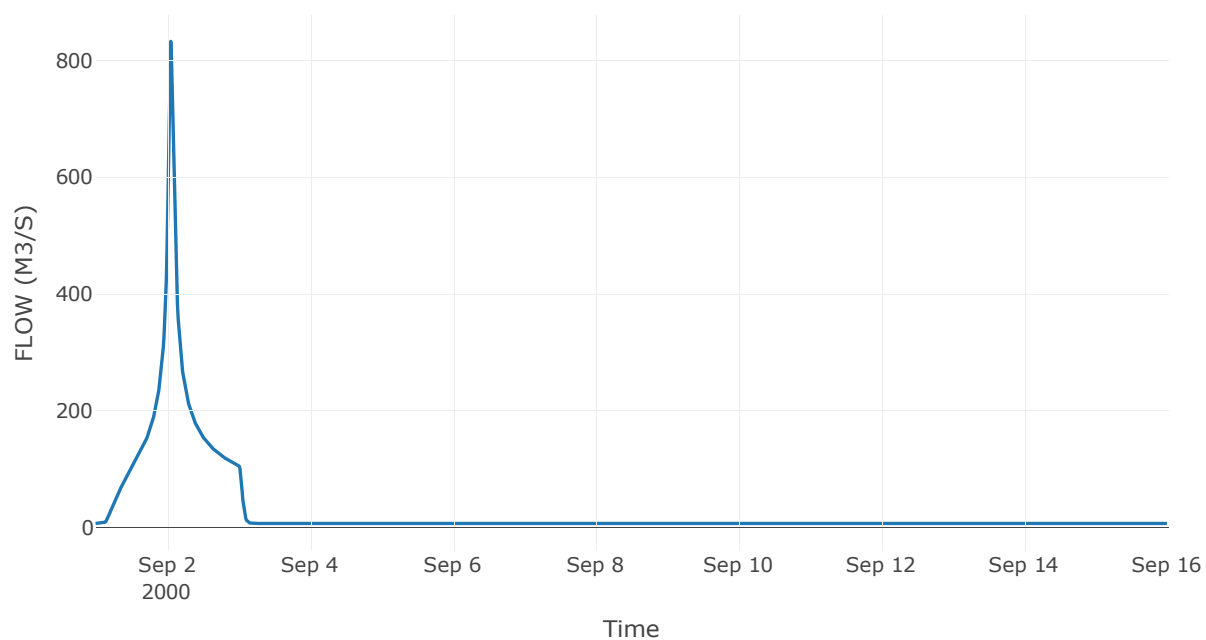
Κατάντη : J17

| | |
|-------------------|------------------|
| Μέθοδος Διόδευσης | Χρόνος Υστέρησης |
| Αρχική Μεταβλητή | Combined Inflow |
| Χρόνος Υστέρησης | 5.08 |

Αποτελέσματα: R1817

| | |
|------------------------------|------------------|
| Παροχή Αιχμής(M3/S) | 832.5 |
| Χρονική στιγμή αιχμής | 02Sep2000, 01:15 |
| Όγκος(MM) | 265.17 |
| Παροχή Αιχμής Εισόδου (M3/S) | 832.58 |
| Όγκος Εισροής(M3) | 3.78E7 |

Απορροή



Κλάδος: R1918

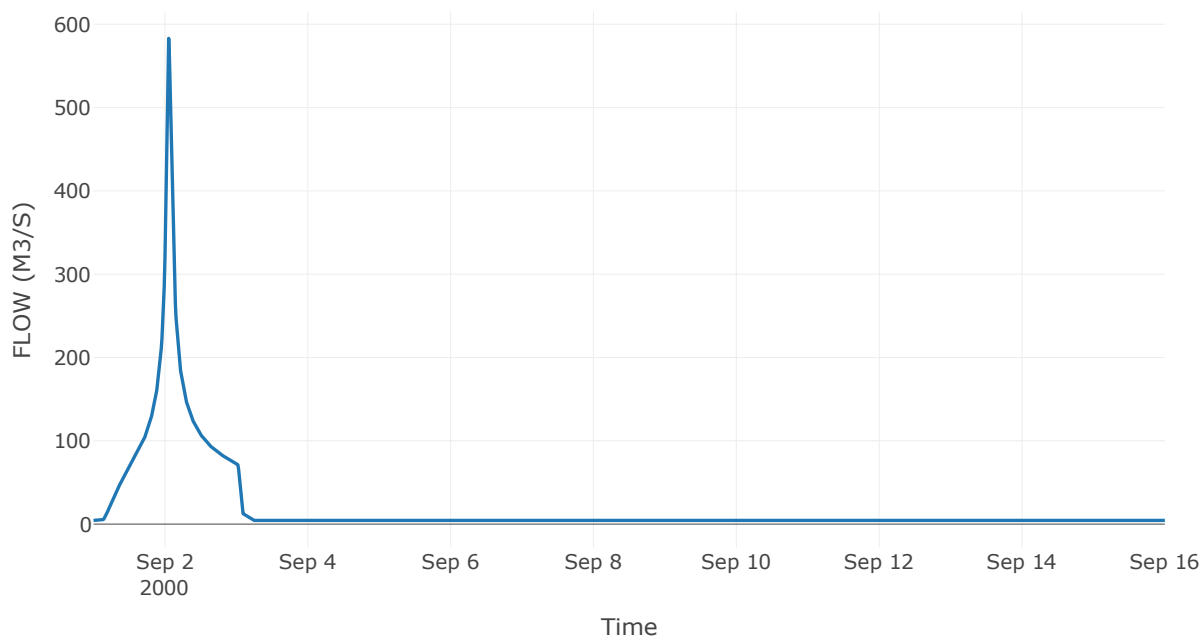
Κατάντη : J18

| | |
|-------------------|------------------|
| Μέθοδος Διόδευσης | Χρόνος Υστέρησης |
| Αρχική Μεταβλητή | Combined Inflow |
| Χρόνος Υστέρησης | 21.25 |

Αποτελέσματα: R1918

| | |
|------------------------------|------------------|
| Παροχή Αιχμής(M3/S) | 583.07 |
| Χρονική στιγμή αιχμής | 02Sep2000, 01:15 |
| Όγκος(MM) | 265.46 |
| Παροχή Αιχμής Εισόδου (M3/S) | 584.41 |
| Όγκος Εισροής(M3) | 2.6E7 |

Απορροή



Κλάδος: R2019

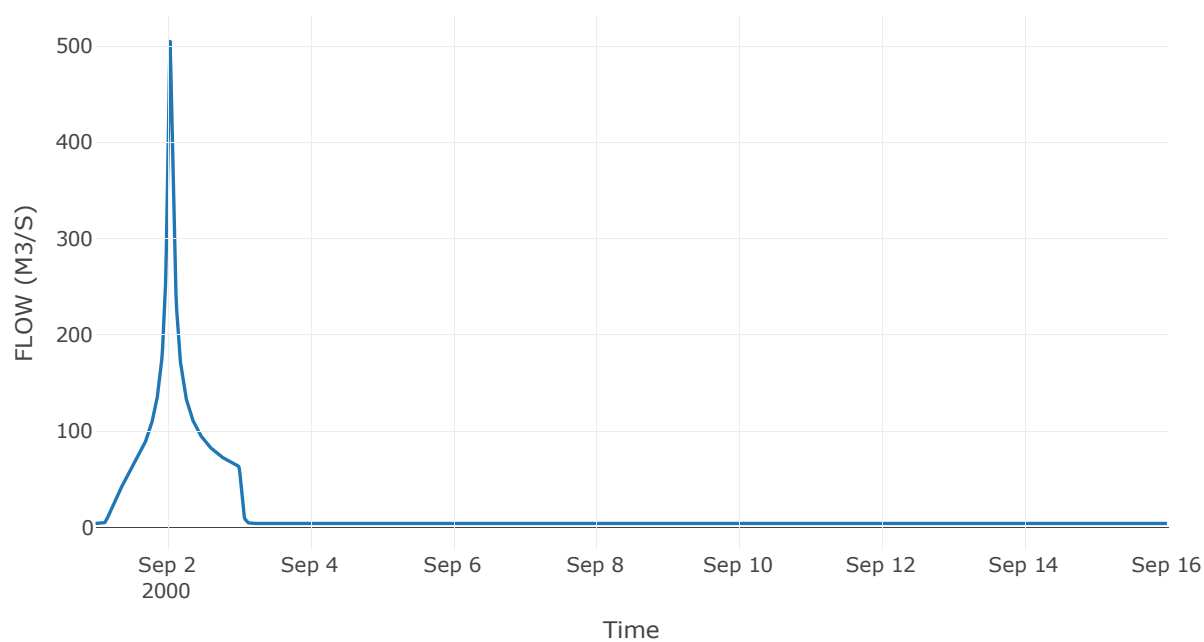
Κατάντη : J19

| | |
|-------------------|------------------|
| Μέθοδος Διόδευσης | Χρόνος Υστέρησης |
| Αρχική Μεταβλητή | Combined Inflow |
| Χρόνος Υστέρησης | 1.94 |

Αποτελέσματα: R2019

| | |
|------------------------------|------------------|
| Παροχή Αιχμής(M3/S) | 504.96 |
| Χρονική στιγμή αιχμής | 02Sep2000, 01:00 |
| Όγκος(MM) | 265.67 |
| Παροχή Αιχμής Εισόδου (M3/S) | 505.05 |
| Όγκος Εισροής(M3) | 2.25E7 |

Απορροή



Κλάδος: R2120

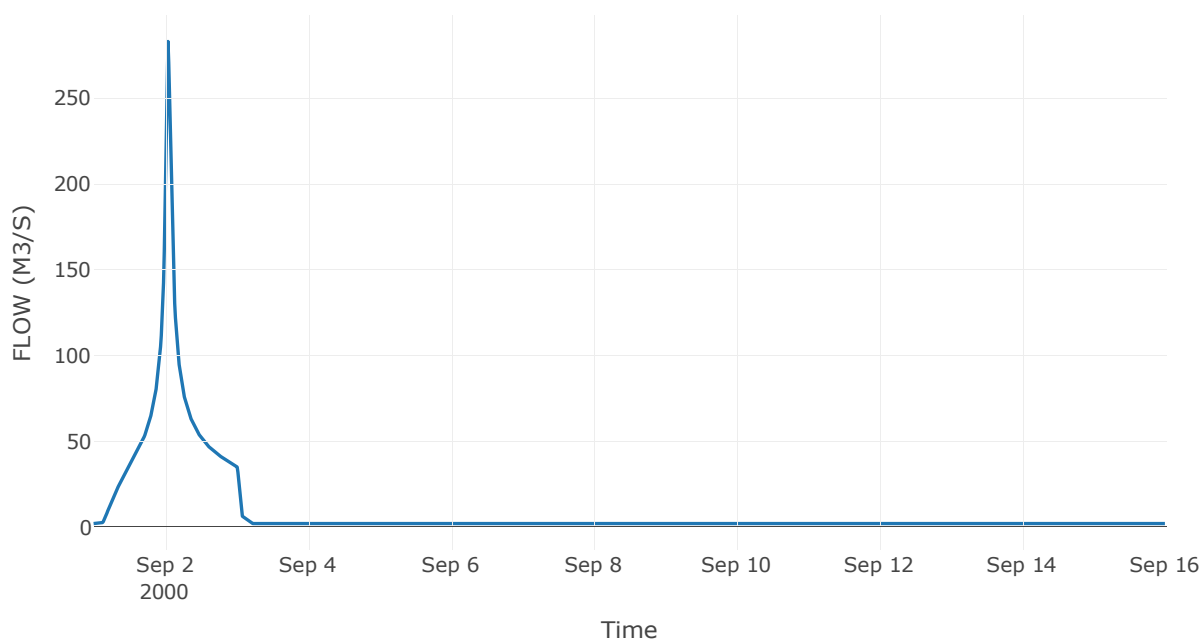
Κατάντη : J20

| | |
|-------------------|------------------|
| Μέθοδος Διόδευσης | Χρόνος Υστέρησης |
| Αρχική Μεταβλητή | Combined Inflow |
| Χρόνος Υστέρησης | 1.93 |

Αποτελέσματα: R2120

| | |
|------------------------------|------------------|
| Παροχή Αιχμής(M3/S) | 282.99 |
| Χρονική στιγμή αιχμής | 02Sep2000, 01:00 |
| Όγκος(MM) | 271.12 |
| Παροχή Αιχμής Εισόδου (M3/S) | 283.14 |
| Όγκος Εισροής(M3) | 1.29E7 |

Απορροή



Κλάδος: R2220

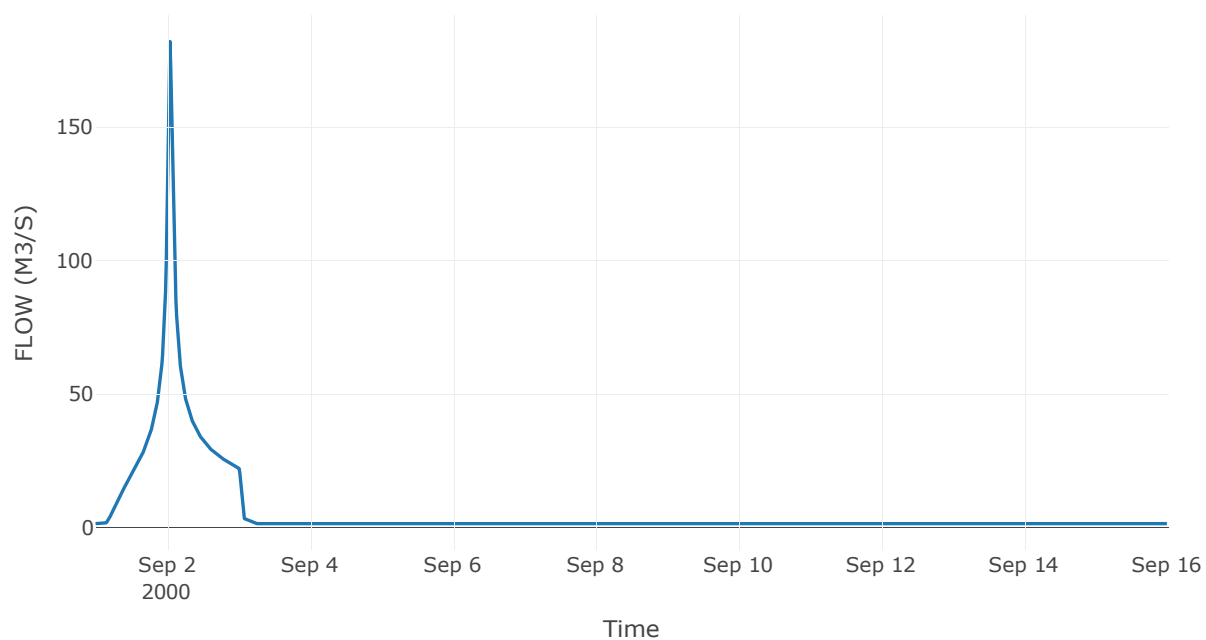
Κατάντη : J20

| | |
|-------------------|------------------|
| Μέθοδος Διόδευσης | Χρόνος Υστέρησης |
| Αρχική Μεταβλητή | Combined Inflow |
| Χρόνος Υστέρησης | 8.09 |

Αποτελέσματα: R2220

| | |
|------------------------------|------------------|
| Παροχή Αιχμής(M3/S) | 182.02 |
| Χρονική στιγμή αιχμής | 02Sep2000, 01:00 |
| Όγκος(MM) | 257.12 |
| Παροχή Αιχμής Εισόδου (M3/S) | 184.54 |
| Όγκος Εισροής(M3) | 7.91E6 |

Απορροή



Κλάδος: R2314

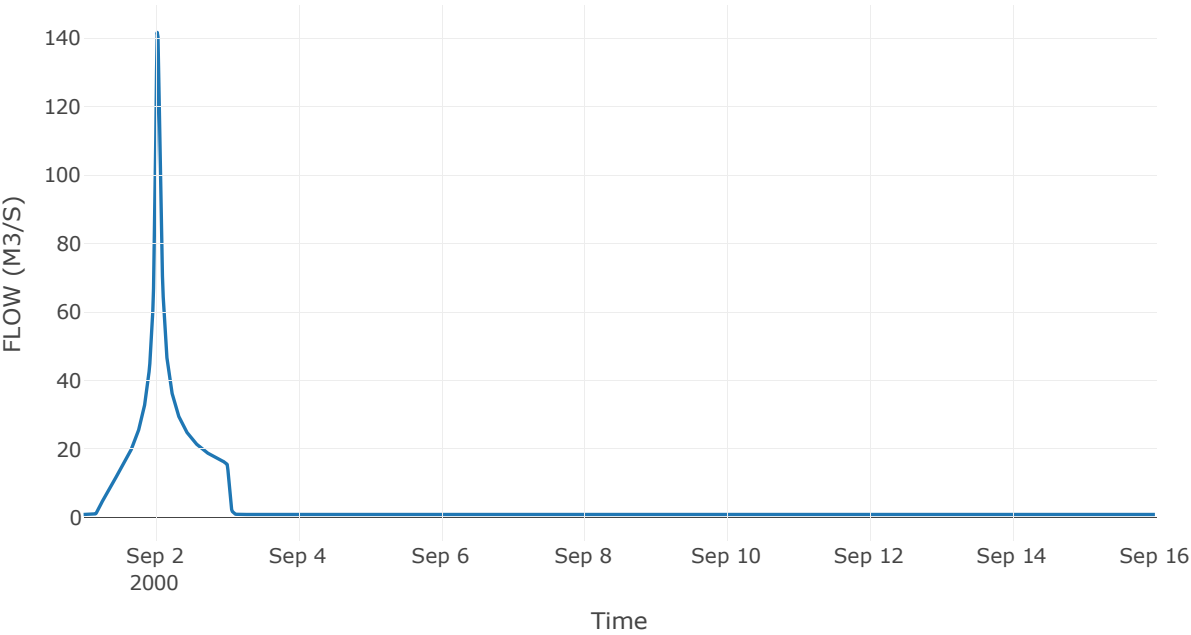
Κατάντη : J14

| | |
|-------------------|------------------|
| Μέθοδος Διόδευσης | Χρόνος Υστέρησης |
| Αρχική Μεταβλητή | Combined Inflow |
| Χρόνος Υστέρησης | 7.07 |

Αποτελέσματα: R2314

| | |
|------------------------------|------------------|
| Παροχή Αιχμής(M3/S) | 141.7 |
| Χρονική στιγμή αιχμής | 02Sep2000, 00:45 |
| Όγκος(MM) | 263.39 |
| Παροχή Αιχμής Εισόδου (M3/S) | 144.4 |
| Όγκος Εισροής(M3) | 5.67E6 |

Απορροή



Κλάδος: R2411

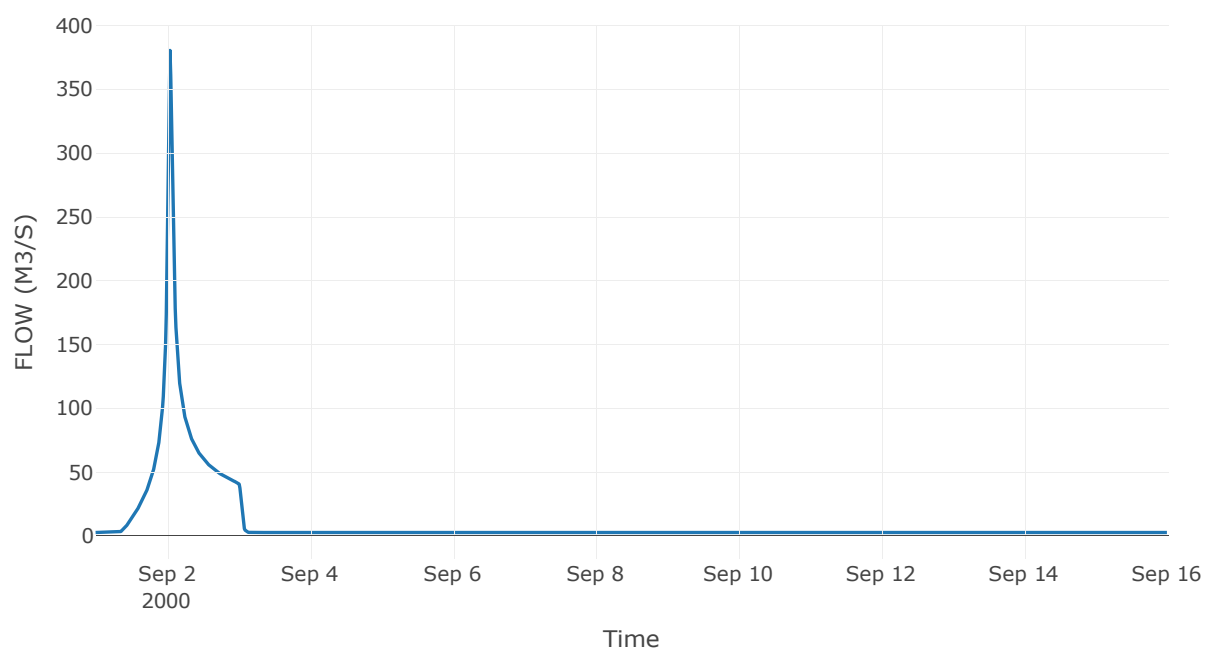
Κατάντη : J11

| | |
|-------------------|------------------|
| Μέθοδος Διόδευσης | Χρόνος Υστέρησης |
| Αρχική Μεταβλητή | Combined Inflow |
| Χρόνος Υστέρησης | 6.38 |

Αποτελέσματα: R2411

| | |
|------------------------------|------------------|
| Παροχή Αιχμής(M3/S) | 380.35 |
| Χρονική στιγμή αιχμής | 02Sep2000, 01:00 |
| Όγκος(MM) | 221.97 |
| Παροχή Αιχμής Εισόδου (M3/S) | 382.15 |
| Όγκος Εισροής(M3) | 1.38E7 |

Απορροή



Κλάδος: R2524

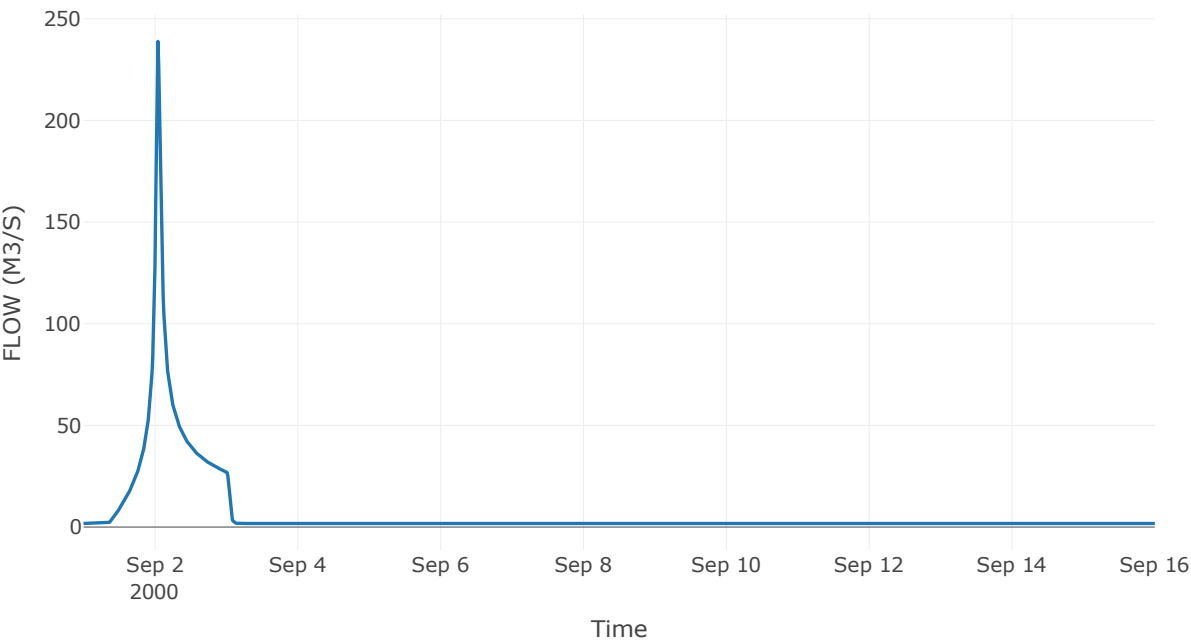
Κατάντη : J24

| | |
|-------------------|------------------|
| Μέθοδος Διόδευσης | Χρόνος Υστέρησης |
| Αρχική Μεταβλητή | Combined Inflow |
| Χρόνος Υστέρησης | 12.96 |

Αποτελέσματα: R2524

| | |
|------------------------------|------------------|
| Παροχή Αιχμής(M3/S) | 238.86 |
| Χρονική στιγμή αιχμής | 02Sep2000, 01:00 |
| Όγκος(MM) | 226.43 |
| Παροχή Αιχμής Εισόδου (M3/S) | 240.54 |
| Όγκος Εισροής(M3) | 8.81E6 |

Απορροή



Κλάδος: R2610

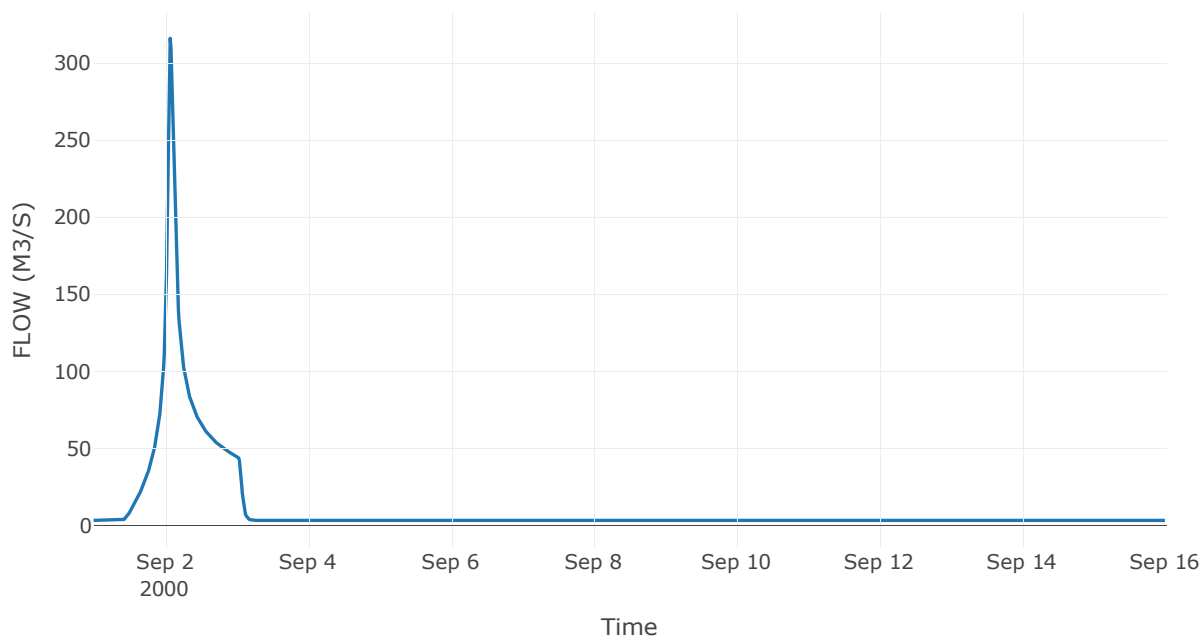
Κατάντη : J10

| | |
|-------------------|------------------|
| Μέθοδος Διόδευσης | Χρόνος Υστέρησης |
| Αρχική Μεταβλητή | Combined Inflow |
| Χρόνος Υστέρησης | 36.78 |

Αποτελέσματα: R2610

| | |
|------------------------------|------------------|
| Παροχή Αιχμής(M3/S) | 315.84 |
| Χρονική στιγμή αιχμής | 02Sep2000, 01:45 |
| Όγκος(MM) | 196.08 |
| Παροχή Αιχμής Εισόδου (M3/S) | 317.11 |
| Όγκος Εισροής(M3) | 1.41E7 |

Απορροή



Κλάδος: R278

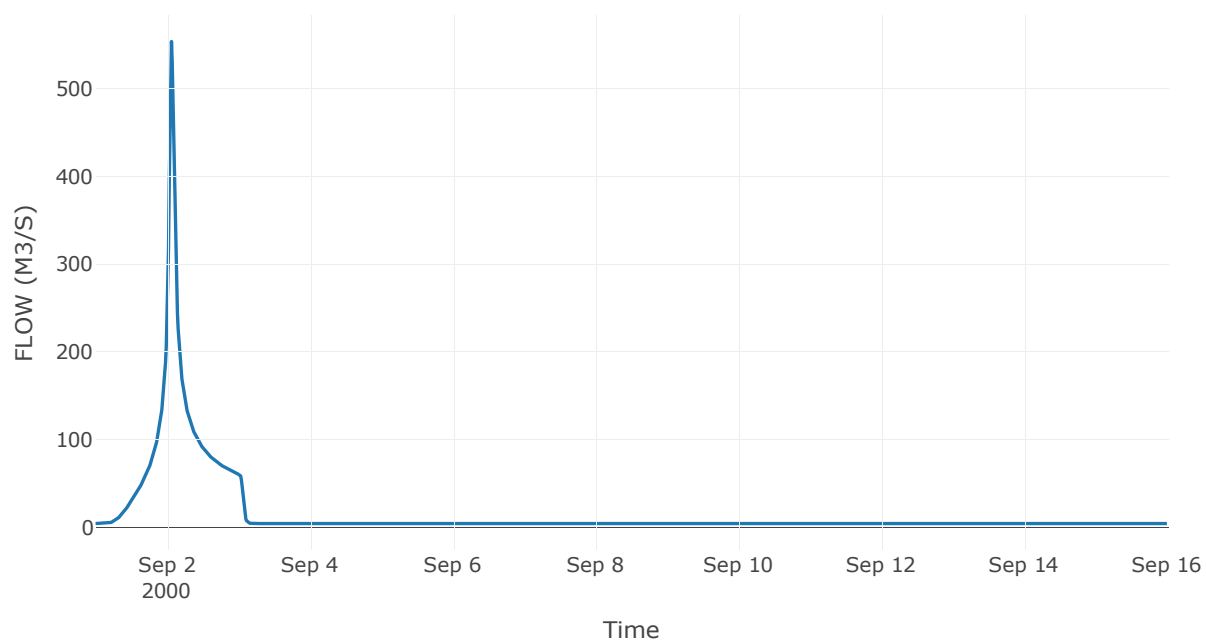
Κατάντη : J8

| | |
|-------------------|------------------|
| Μέθοδος Διόδευσης | Χρόνος Υστέρησης |
| Αρχική Μεταβλητή | Combined Inflow |
| Χρόνος Υστέρησης | 34.21 |

Αποτελέσματα: R278

| | |
|------------------------------|------------------|
| Παροχή Αιχμής(M3/S) | 553.73 |
| Χρονική στιγμή αιχμής | 02Sep2000, 01:30 |
| Όγκος(MM) | 219.74 |
| Παροχή Αιχμής Εισόδου (M3/S) | 555.24 |
| Όγκος Εισροής(M3) | 2.14E7 |

Απορροή



Κλάδος: R2827

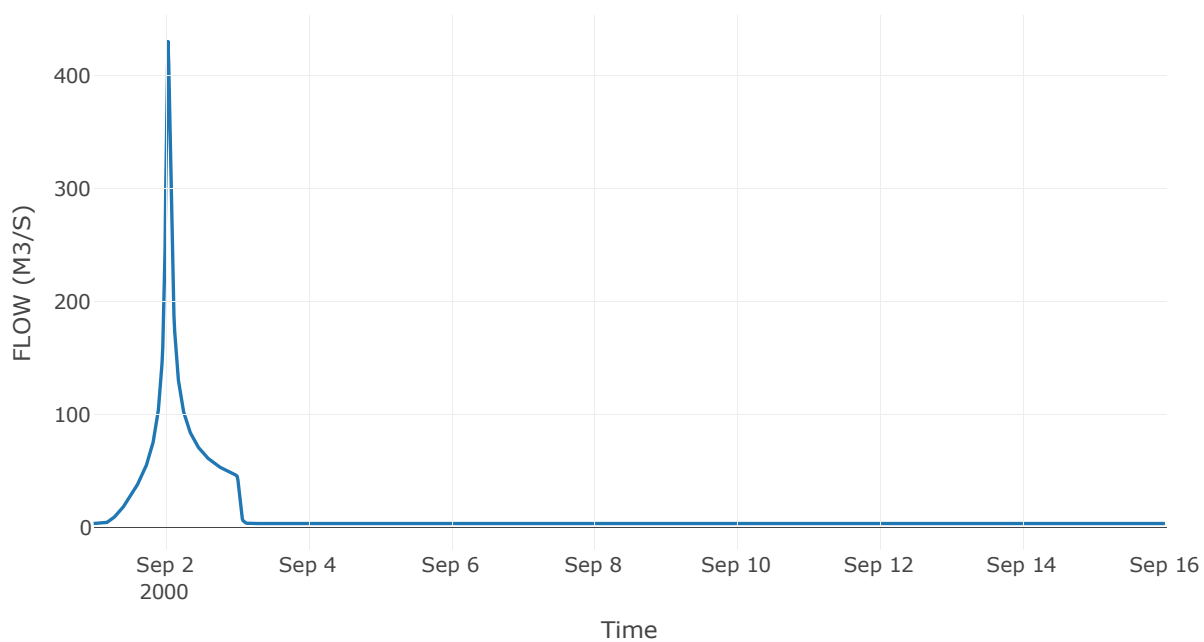
Κατάντη : J27

| | |
|-------------------|------------------|
| Μέθοδος Διόδευσης | Χρόνος Υστέρησης |
| Αρχική Μεταβλητή | Combined Inflow |
| Χρόνος Υστέρησης | 4.09 |

Αποτελέσματα: R2827

| | |
|------------------------------|------------------|
| Παροχή Αιχμής(M3/S) | 430.13 |
| Χρονική στιγμή αιχμής | 02Sep2000, 01:00 |
| Όγκος(MM) | 220.84 |
| Παροχή Αιχμής Εισόδου (M3/S) | 431.11 |
| Όγκος Εισροής(M3) | 1.65E7 |

Απορροή



Κλάδος: R2928

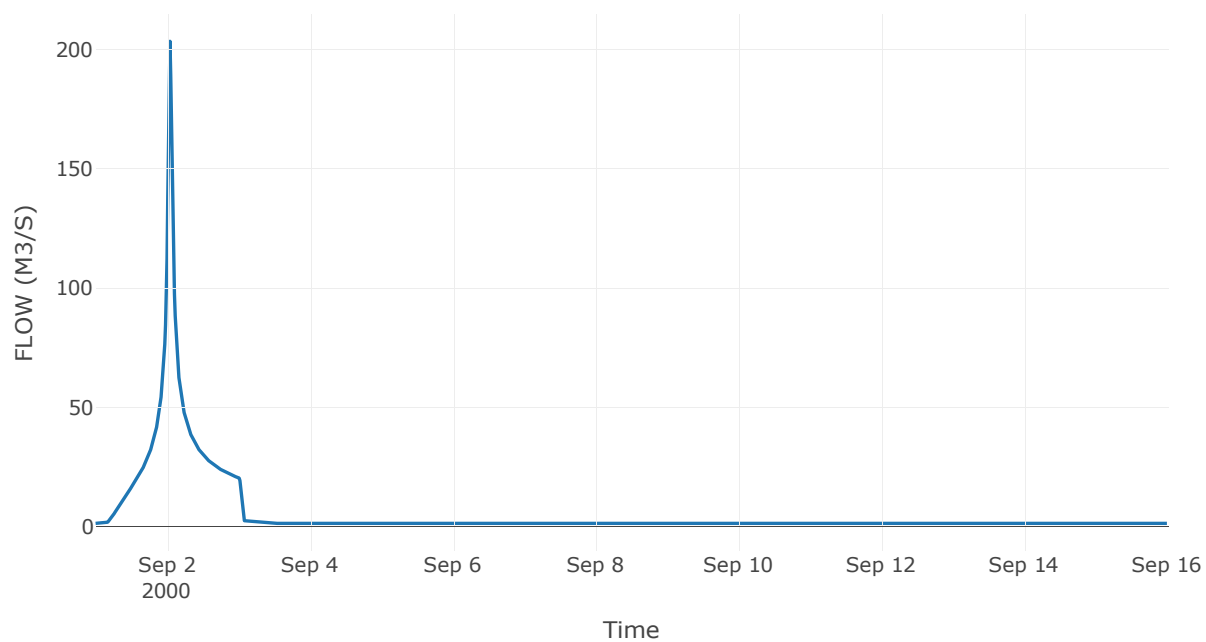
Κατάντη : J28

| | |
|-------------------|------------------|
| Μέθοδος Διόδευσης | Χρόνος Υστέρησης |
| Αρχική Μεταβλητή | Combined Inflow |
| Χρόνος Υστέρησης | 17.96 |

Αποτελέσματα: R2928

| | |
|------------------------------|------------------|
| Παροχή Αιχμής(M3/S) | 203.36 |
| Χρονική στιγμή αιχμής | 02Sep2000, 01:00 |
| Όγκος(MM) | 238.78 |
| Παροχή Αιχμής Εισόδου (M3/S) | 203.75 |
| Όγκος Εισροής(M3) | 7.61E6 |

Απορροή



Κλάδος: R302

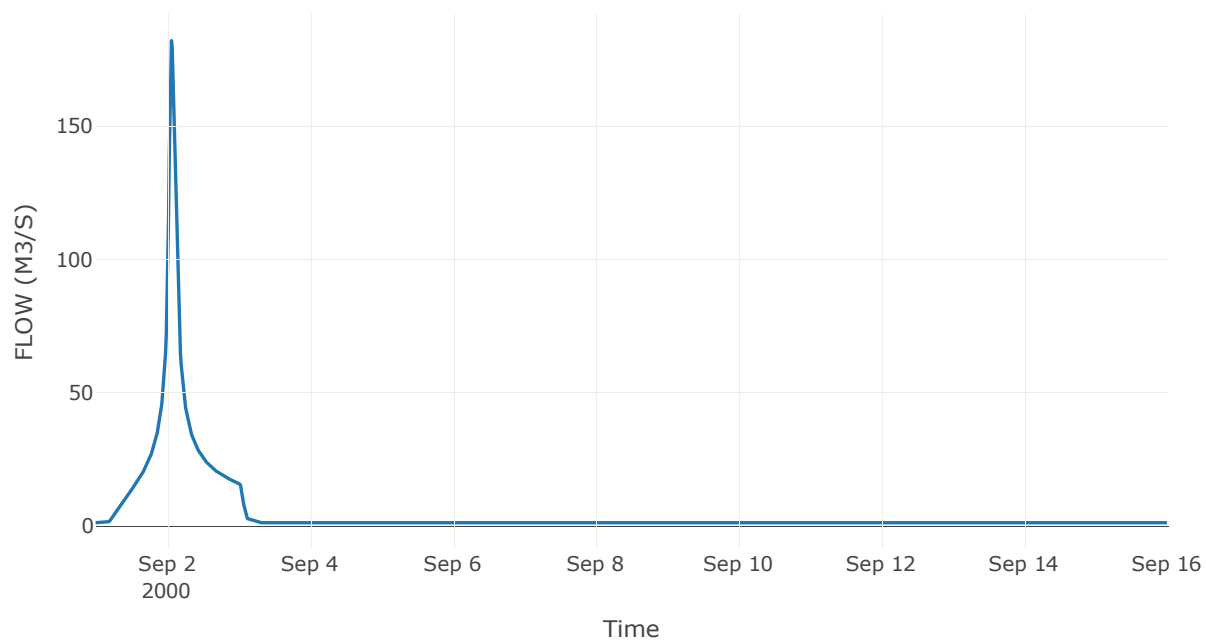
Κατάντη : J2

| | |
|----------------------|-----------------|
| Μέθοδος Διόδευσης | Muskingum |
| Αρχική Μεταβλητή | Combined Inflow |
| Χρόνος Ροής K | 0.27 |
| Συντελεστής βάρους x | 0.2 |
| Πλήθος Υποκλάδων | 1 |

Αποτελέσματα: R302

| | |
|------------------------------|------------------|
| Παροχή Αιχμής(M3/S) | 182.01 |
| Χρονική στιγμή αιχμής | 02Sep2000, 01:30 |
| Όγκος(MM) | 235.02 |
| Παροχή Αιχμής Εισόδου (M3/S) | 185.63 |
| Όγκος Εισροής(M3) | 7.01E6 |

Απορροή



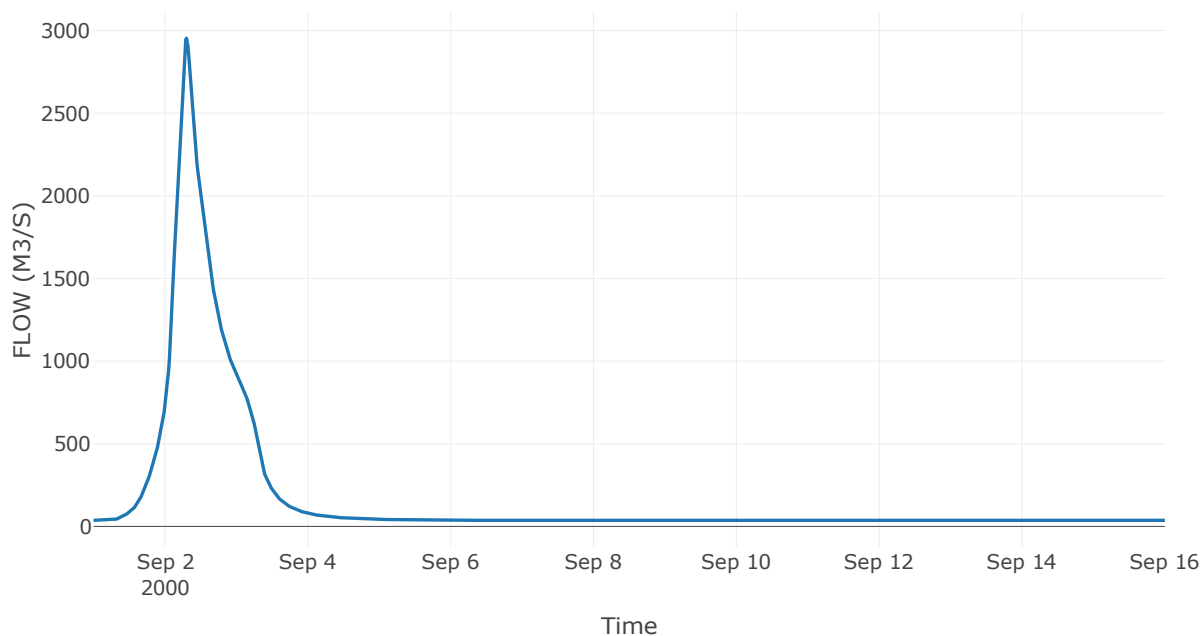
4.3 Δεδομένα και Υδρογραφήματα Σχεδιασμού Κλάδων Υδρογραφικού Δικτύου

Κόμβος εξόδου: J1

Αποτελέσματ
α: J1

| | |
|-----------------------|------------------|
| Παροχή αιχμής (M3/S) | 2953.47 |
| Χρονική στιγμή αιχμής | 02Sep2000, 07:15 |
| Όγκος (MM) | 212.98 |

Απορροή



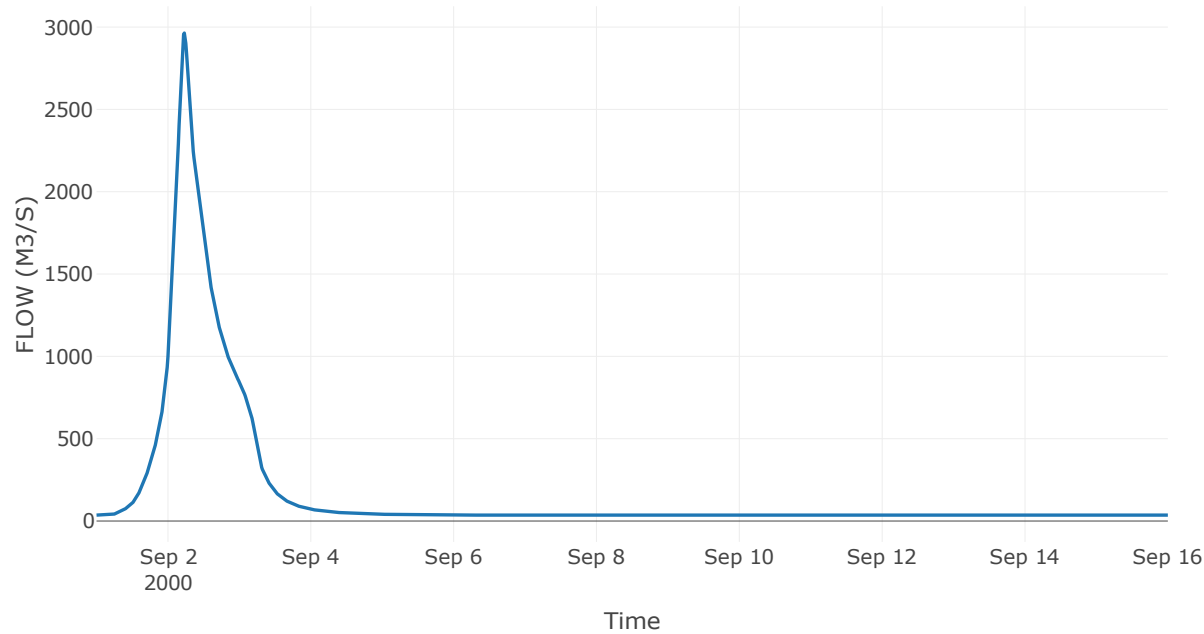
Κόμβος: J2

Κατάντη : R21

Αποτελέσματα: J2

| | |
|-----------------------|------------------|
| Παροχή Αιχμής(M3/S) | 2963.77 |
| Χρονική στιγμή αιχμής | 02Sep2000, 05:30 |
| Όγκος(MM) | 213.17 |

Απορροή



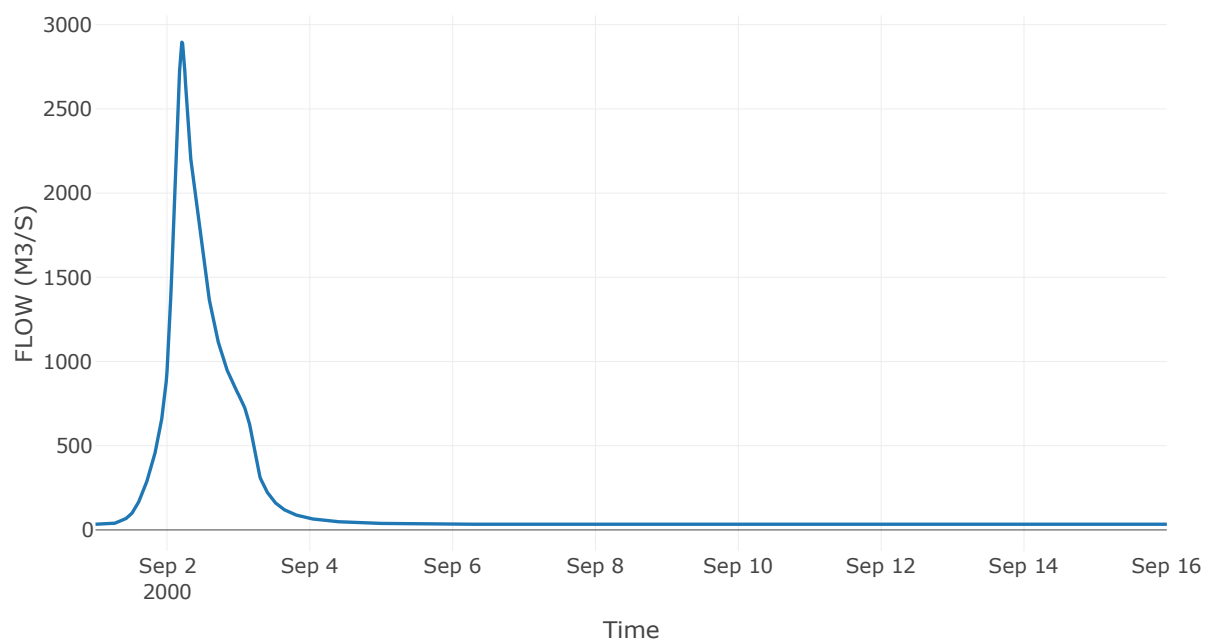
Κόμβος: J3

Κατάντη : R32

Αποτελέσματα: J3

| | |
|-----------------------|------------------|
| Παροχή Αιχμής(M3/S) | 2896.37 |
| Χρονική στιγμή αιχμής | 02Sep2000, 05:00 |
| Όγκος(MM) | 212.29 |

Απορροή



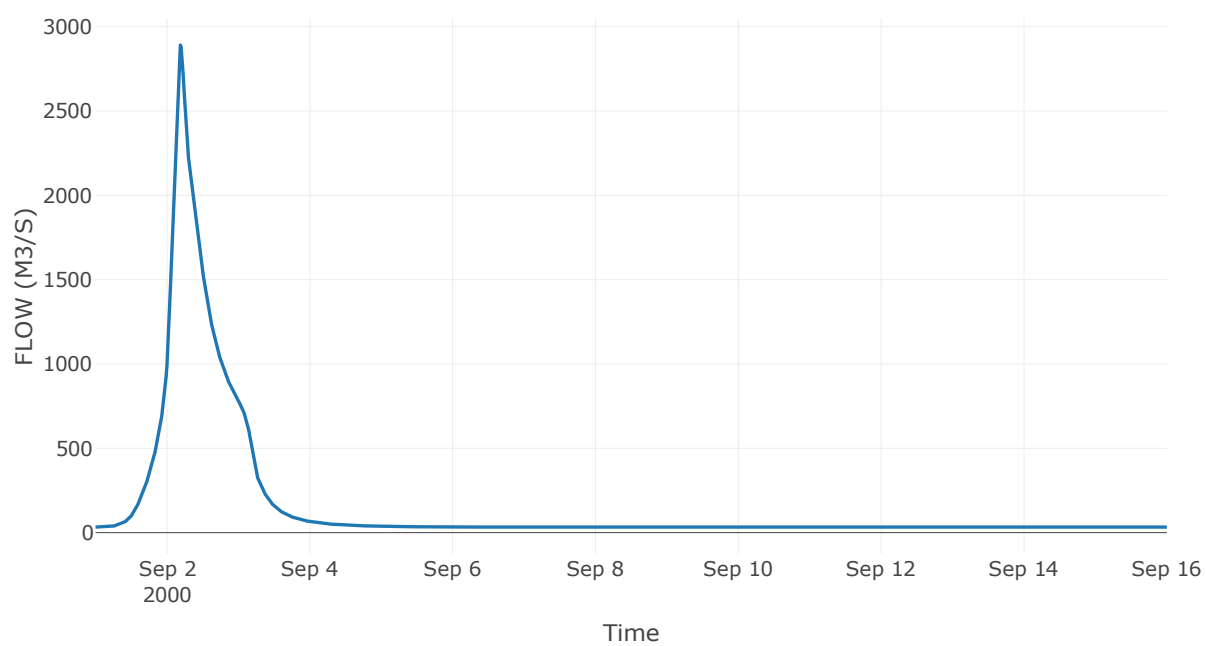
Κόμβος: J4

Κατάντη : R43

Αποτελέσματα: J4

| | |
|-----------------------|------------------|
| Παροχή Αιχμής(M3/S) | 2891.08 |
| Χρονική στιγμή αιχμής | 02Sep2000, 04:30 |
| Όγκος(MM) | 212.27 |

Απορροή



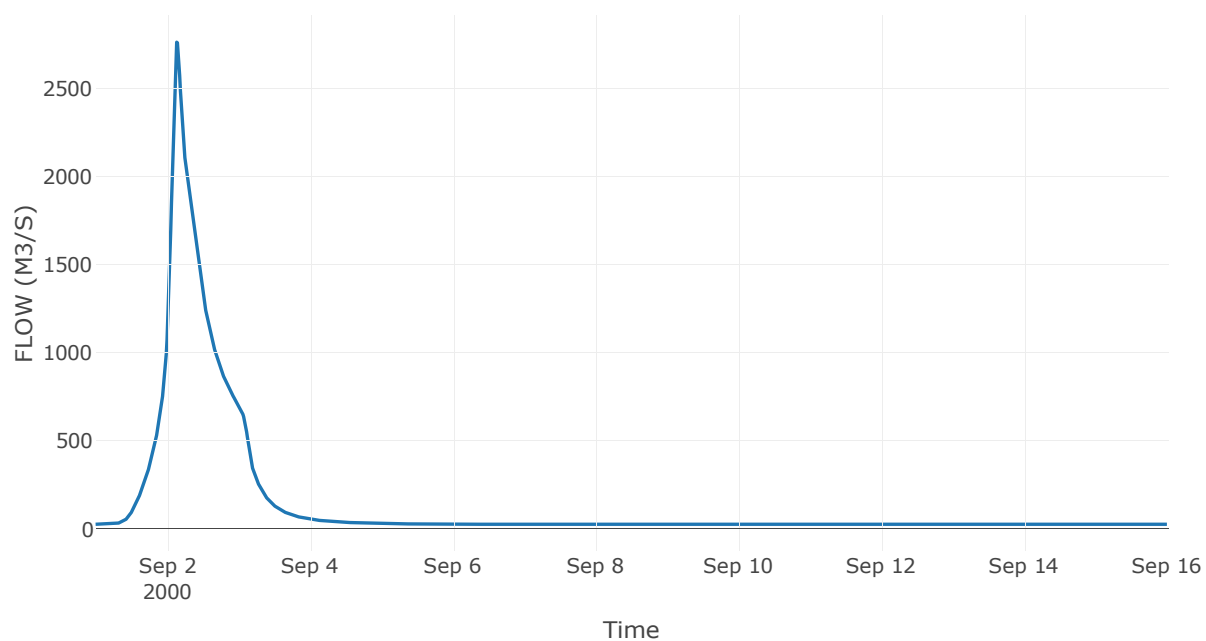
Κόμβος: J5

Κατάντη : R54

Αποτελέσματα: J5

| | |
|-----------------------|------------------|
| Παροχή Αιχμής(M3/S) | 2764.59 |
| Χρονική στιγμή αιχμής | 02Sep2000, 03:15 |
| Όγκος(MM) | 210.85 |

Απορροή



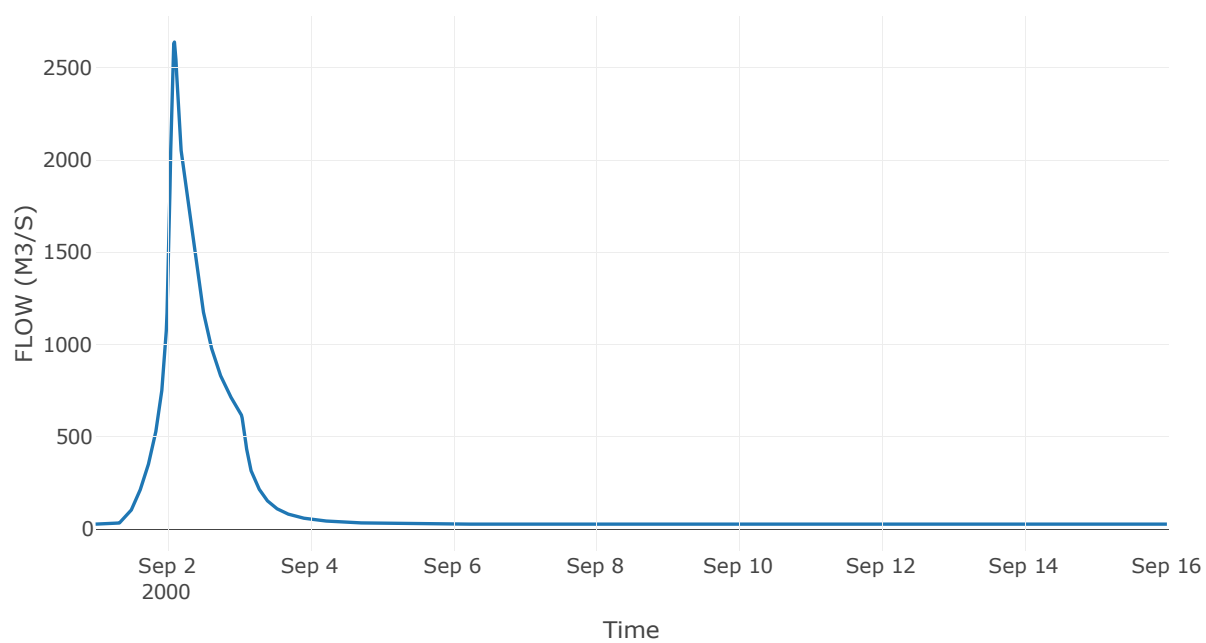
Κόμβος: J6

Κατάντη : R65

Αποτελέσματα: J6

| | |
|-----------------------|------------------|
| Παροχή Αιχμής(M3/S) | 2637.35 |
| Χρονική στιγμή αιχμής | 02Sep2000, 02:30 |
| Όγκος(MM) | 210.2 |

Απορροή



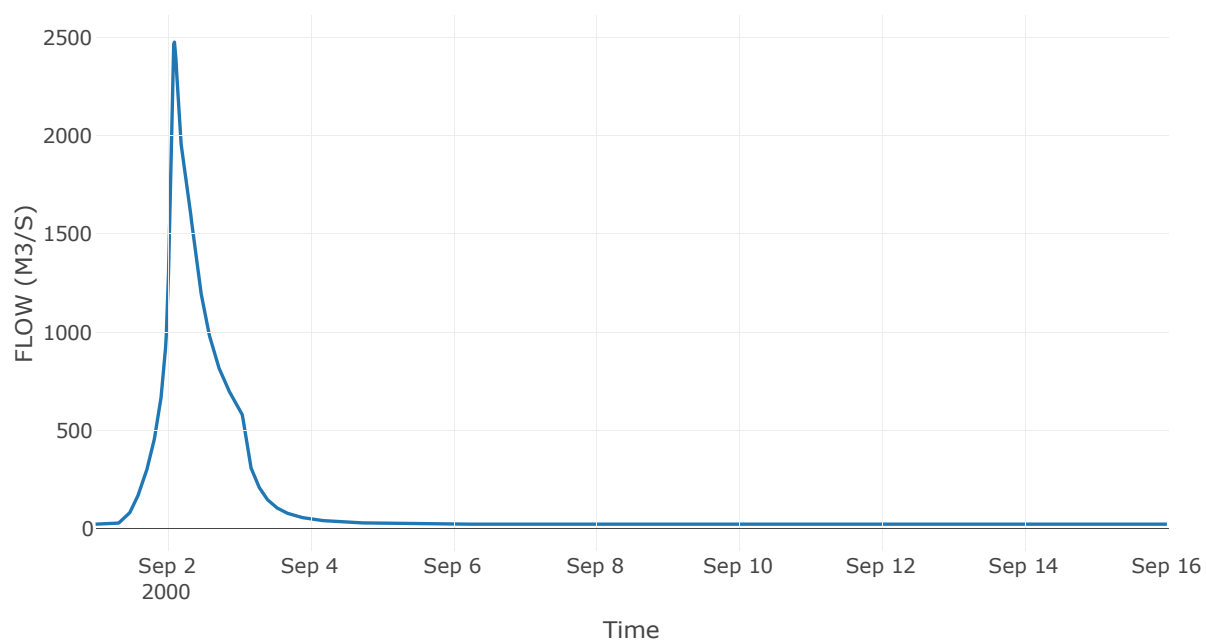
Κόμβος: J7

Κατάντη : R76

Αποτελέσματα: J7

| | |
|-----------------------|------------------|
| Παροχή Αιχμής(M3/S) | 2477.45 |
| Χρονική στιγμή αιχμής | 02Sep2000, 02:30 |
| Όγκος(MM) | 210.62 |

Απορροή



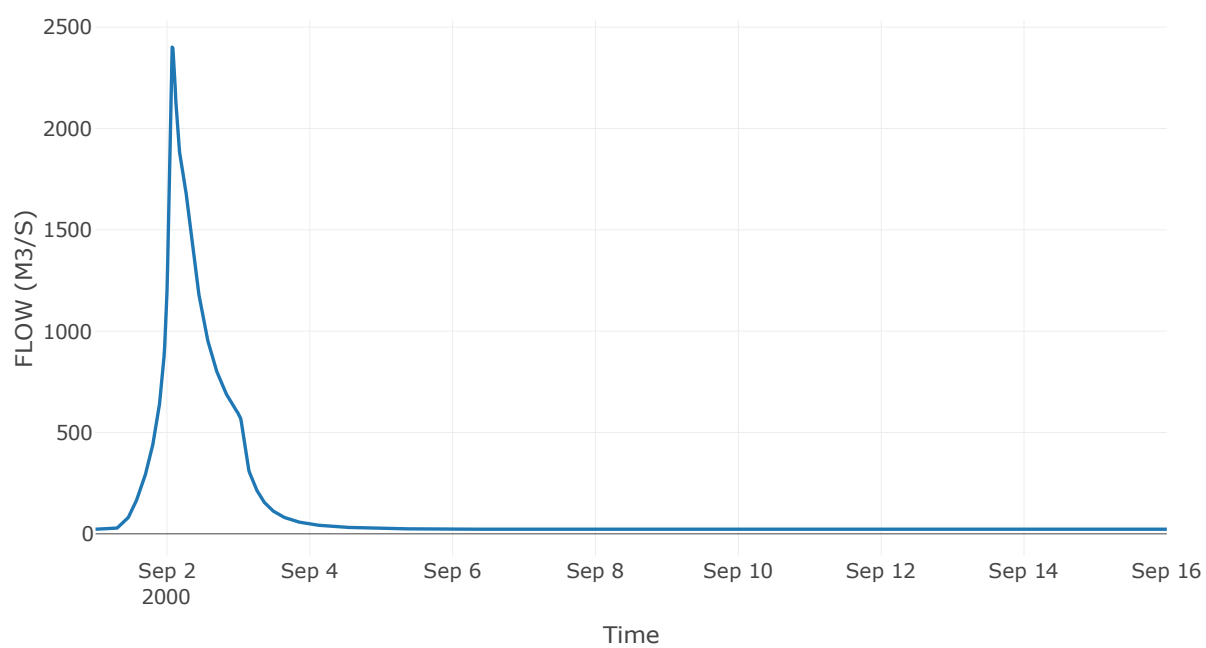
Κόμβος: J8

Κατάντη : R87

Αποτελέσματα: J8

| | |
|-----------------------|------------------|
| Παροχή Αιχμής(M3/S) | 2401.31 |
| Χρονική στιγμή αιχμής | 02Sep2000, 01:45 |
| Όγκος(MM) | 211.28 |

Απορροή



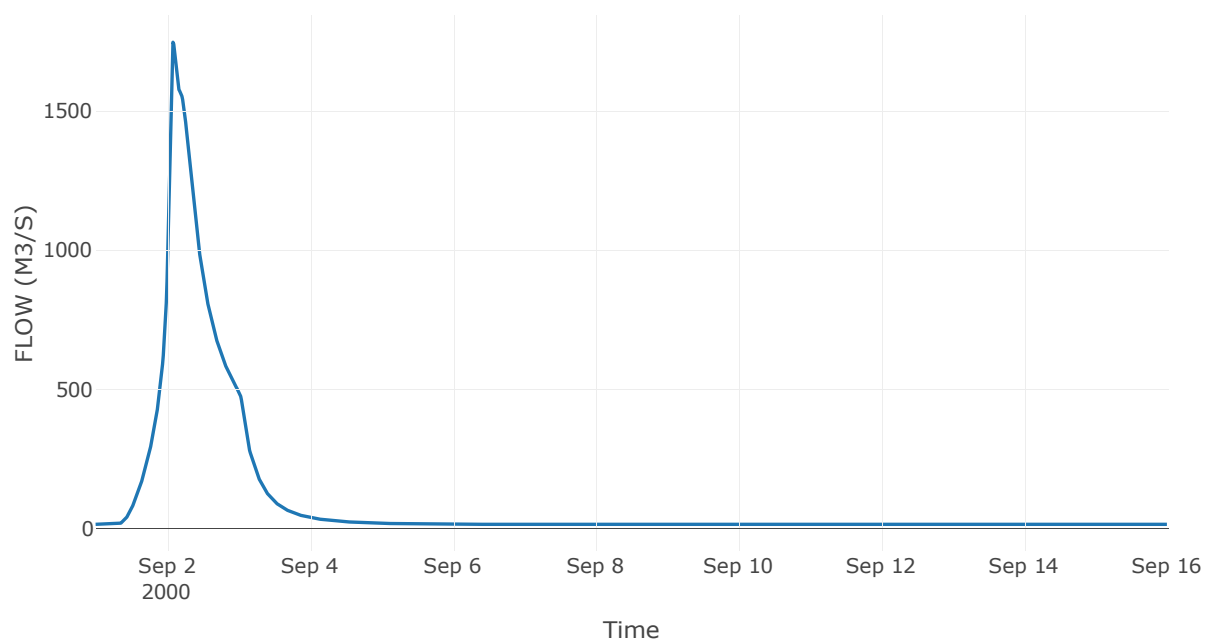
Κόμβος: J9

Κατάντη : R98

Αποτελέσματα: J9

| | |
|-----------------------|------------------|
| Παροχή Αιχμής(M3/S) | 1747 |
| Χρονική στιγμή αιχμής | 02Sep2000, 02:00 |
| Όγκος(MM) | 210.33 |

Απορροή



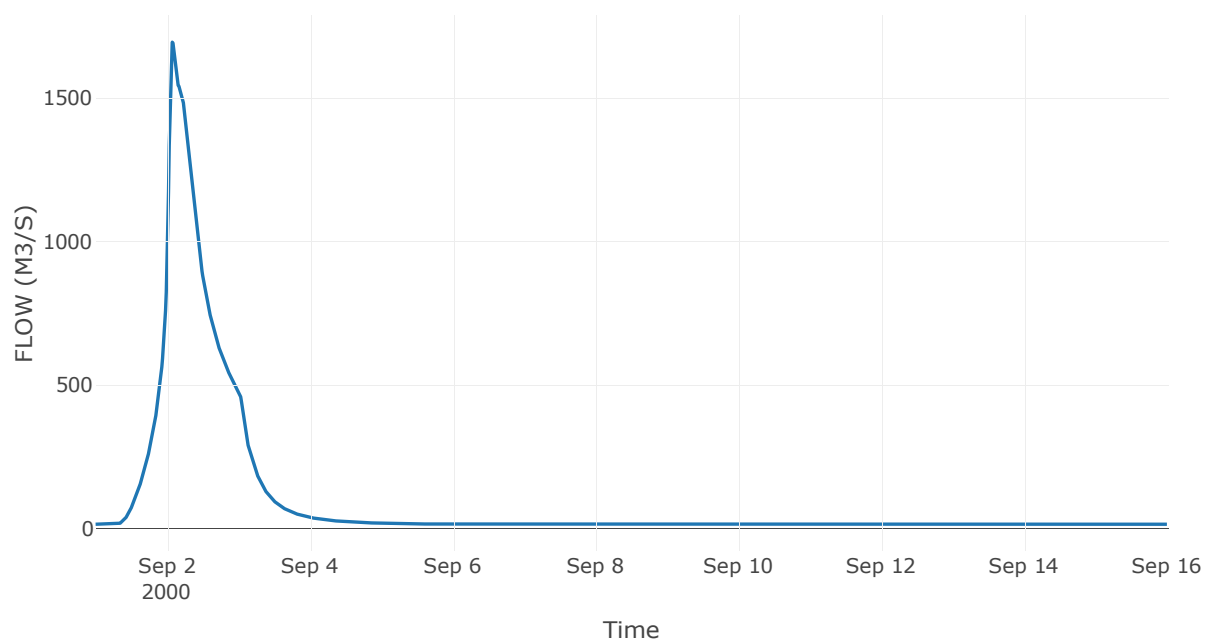
Κόμβος: J10

Κατάντη : R109

Αποτελέσματα: J10

| | |
|-----------------------|------------------|
| Παροχή Αιχμής(M3/S) | 1695.32 |
| Χρονική στιγμή αιχμής | 02Sep2000, 01:45 |
| Όγκος(MM) | 210.55 |

Απορροή



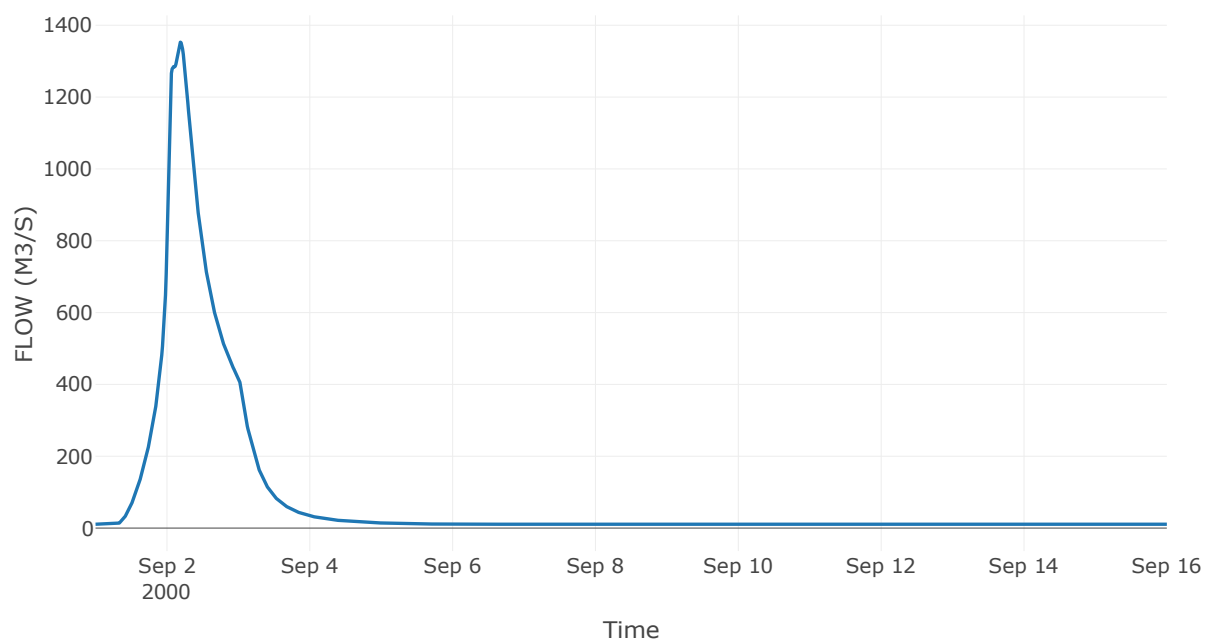
Κόμβος: J11

Κατάντη : R1110

Αποτελέσματα: J11

| | |
|-----------------------|------------------|
| Παροχή Αιχμής(M3/S) | 1352.94 |
| Χρονική στιγμή αιχμής | 02Sep2000, 04:30 |
| Όγκος(MM) | 213.72 |

Απορροή



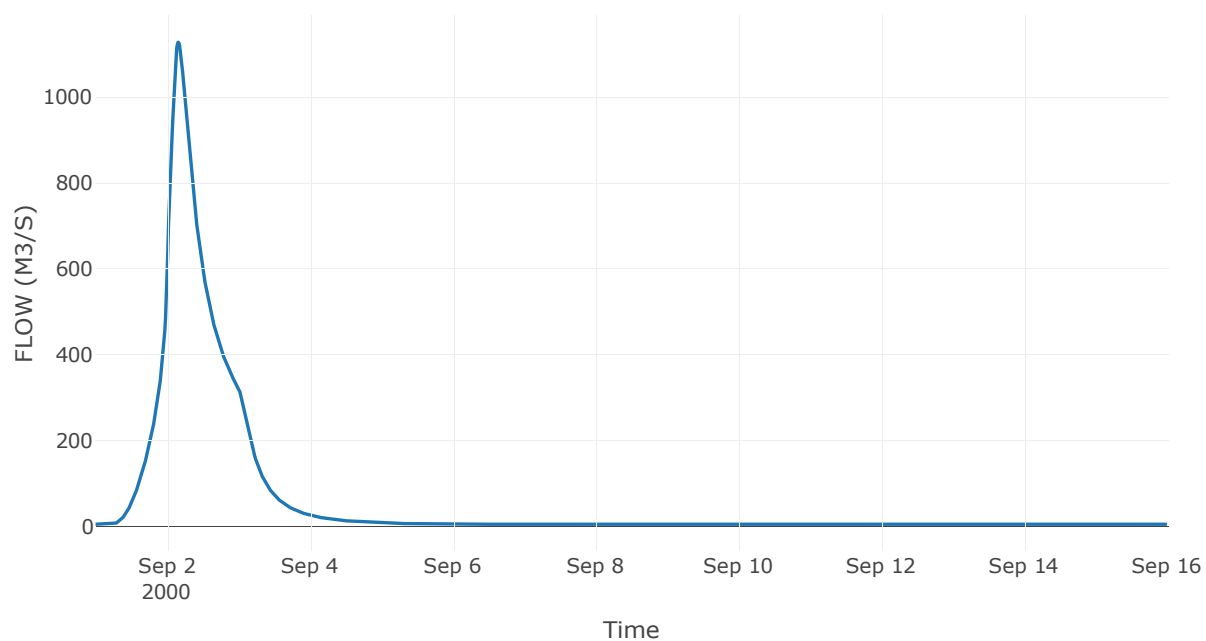
Κόμβος: J12

Κατάντη : R1211

Αποτελέσματα: J12

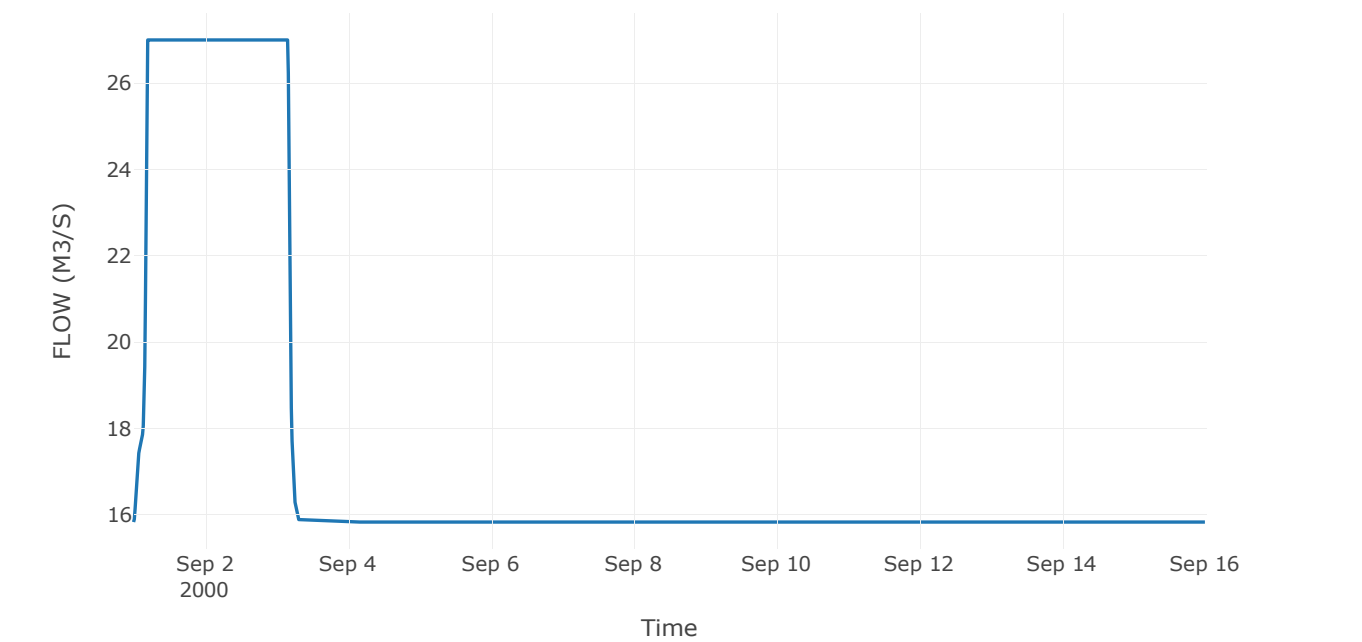
| | |
|-----------------------|------------------|
| Παροχή Αιχμής(M3/S) | 1128.35 |
| Χρονική στιγμή αιχμής | 02Sep2000, 03:45 |
| Όγκος(MM) | 211.16 |

Απορροή



| | |
|-----------------------|------------------|
| Παροχή Αιχμής(M3/S) | 27 |
| Χρονική στιγμή αιχμής | 01Sep2000, 04:30 |

Απορροή



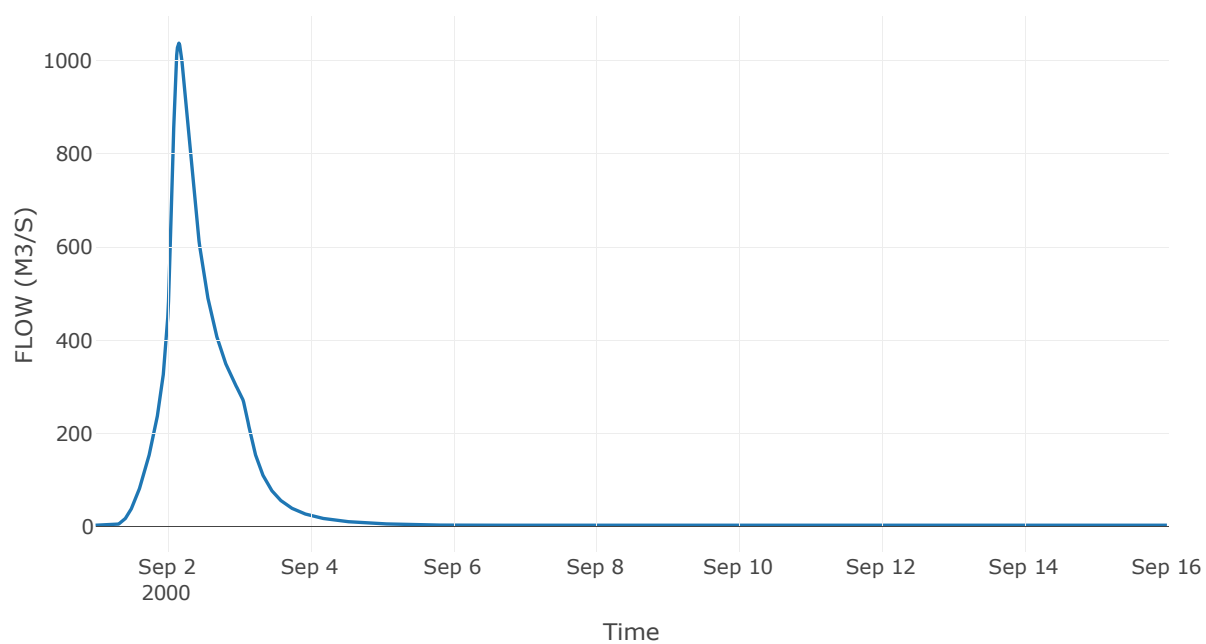
Ταμιευτήρας: J13_RES1

Κατάντη : R1312

Αποτελέσματα: J13_RES1

| | |
|------------------------------|------------------|
| Παροχή Αιχμής(M3/S) | 1037 |
| Χρονική στιγμή αιχμής | 02Sep2000, 04:00 |
| Όγκος(MM) | 205.65 |
| Παροχή Αιχμής Εισόδου (M3/S) | 1755.03 |
| Time of Peak Inflow | 02Sep2000, 02:00 |
| Όγκος Εισροής (M3) | 6.94E7 |
| Maximum Storage (M3) | 1.72E8 |
| Peak Elevation (M) | 510.33 |
| Discharge Όγκος(M3) | 7.24E7 |

Απορροή



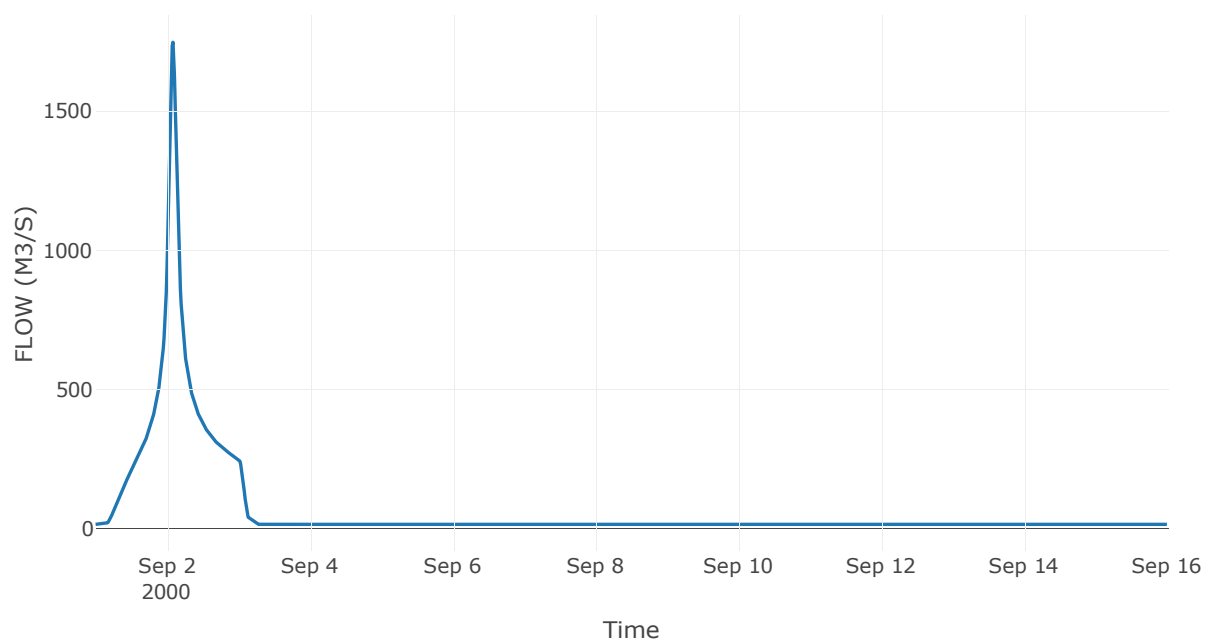
Κόμβος: J14

Κατάντη : R1413

Αποτελέσματα: J14

| | |
|-----------------------|------------------|
| Παροχή Αιχμής(M3/S) | 1748.52 |
| Χρονική στιγμή αιχμής | 02Sep2000, 02:00 |
| Όγκος(MM) | 260.82 |

Απορροή



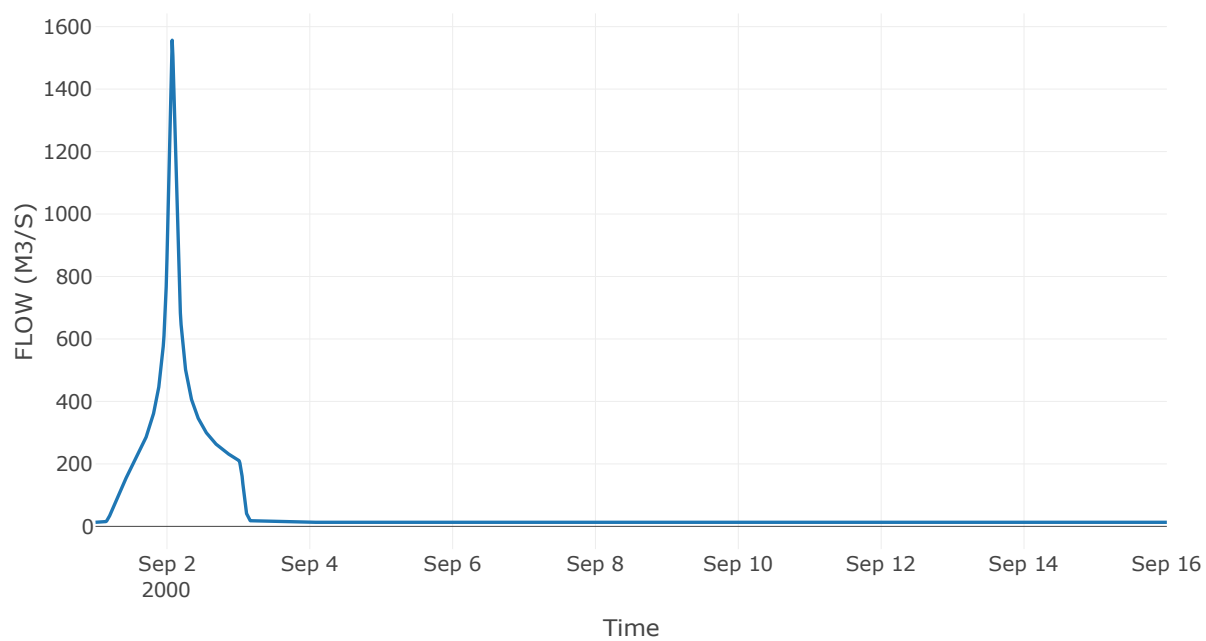
Κόμβος: J15

Κατάντη : R1514

Αποτελέσματα: J15

| | |
|-----------------------|------------------|
| Παροχή Αιχμής(M3/S) | 1556.52 |
| Χρονική στιγμή αιχμής | 02Sep2000, 01:45 |
| Όγκος(MM) | 261.47 |

Απορροή



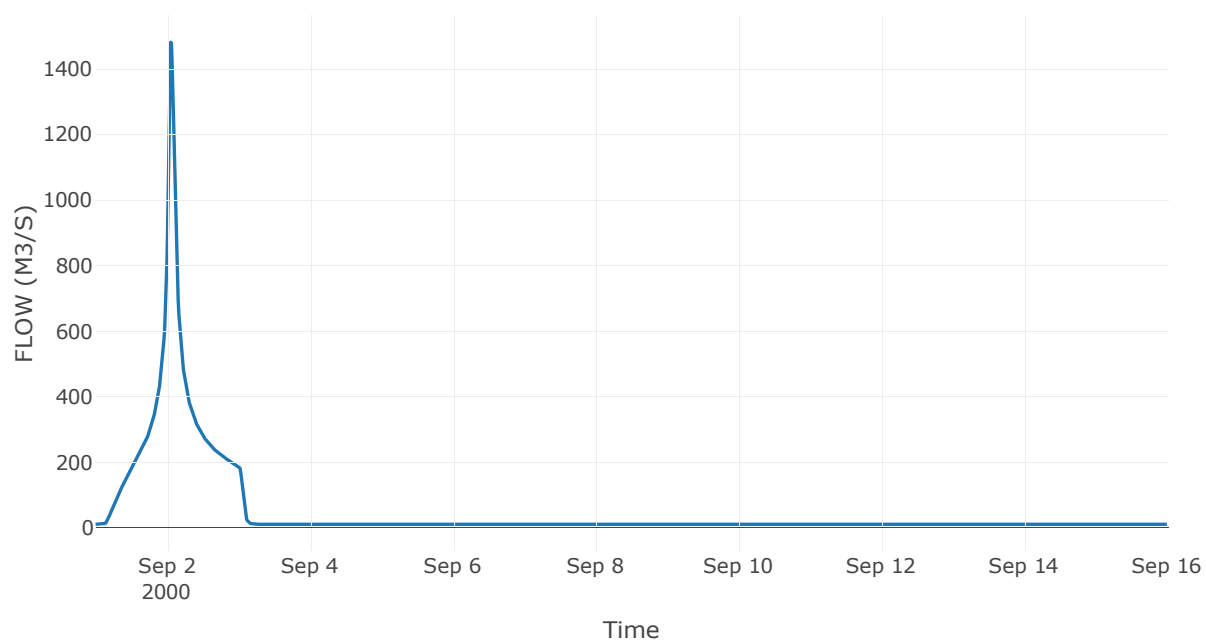
Κόμβος: J16

Κατάντη : R1615

Αποτελέσματα: J16

| | |
|-----------------------|------------------|
| Παροχή Αιχμής(M3/S) | 1481.32 |
| Χρονική στιγμή αιχμής | 02Sep2000, 01:15 |
| Όγκος(MM) | 264.2 |

Απορροή



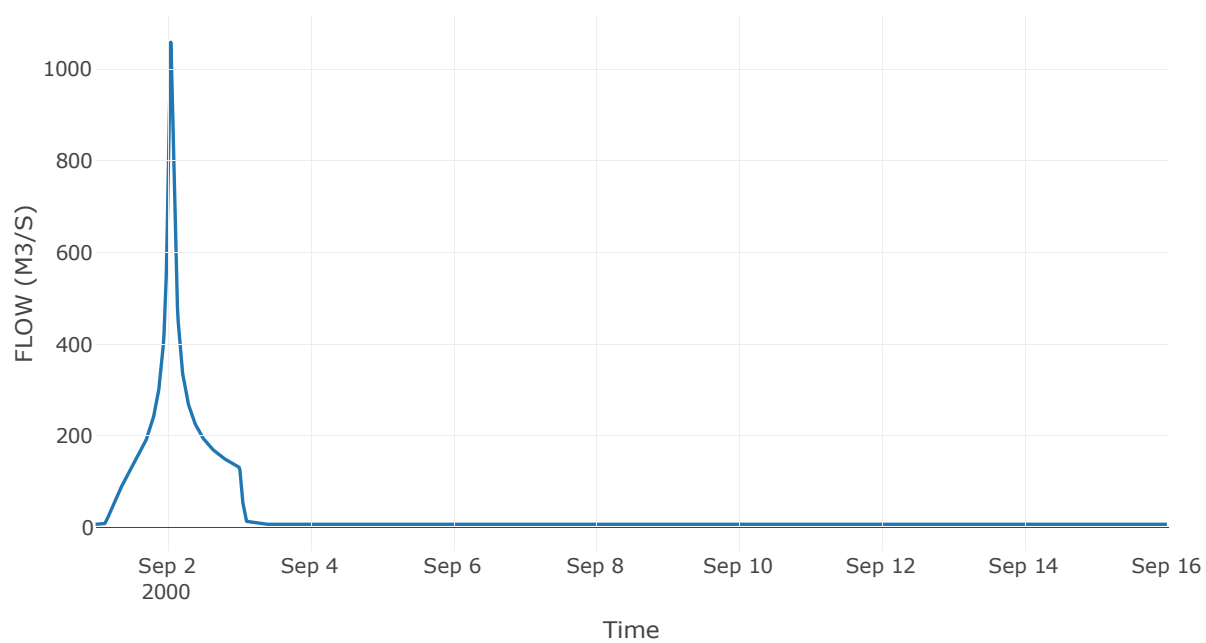
Κόμβος: J17

Κατάντη : R1716

Αποτελέσματα: J17

| | |
|-----------------------|------------------|
| Παροχή Αιχμής(M3/S) | 1058.52 |
| Χρονική στιγμή αιχμής | 02Sep2000, 01:15 |
| Όγκος(MM) | 265.87 |

Απορροή



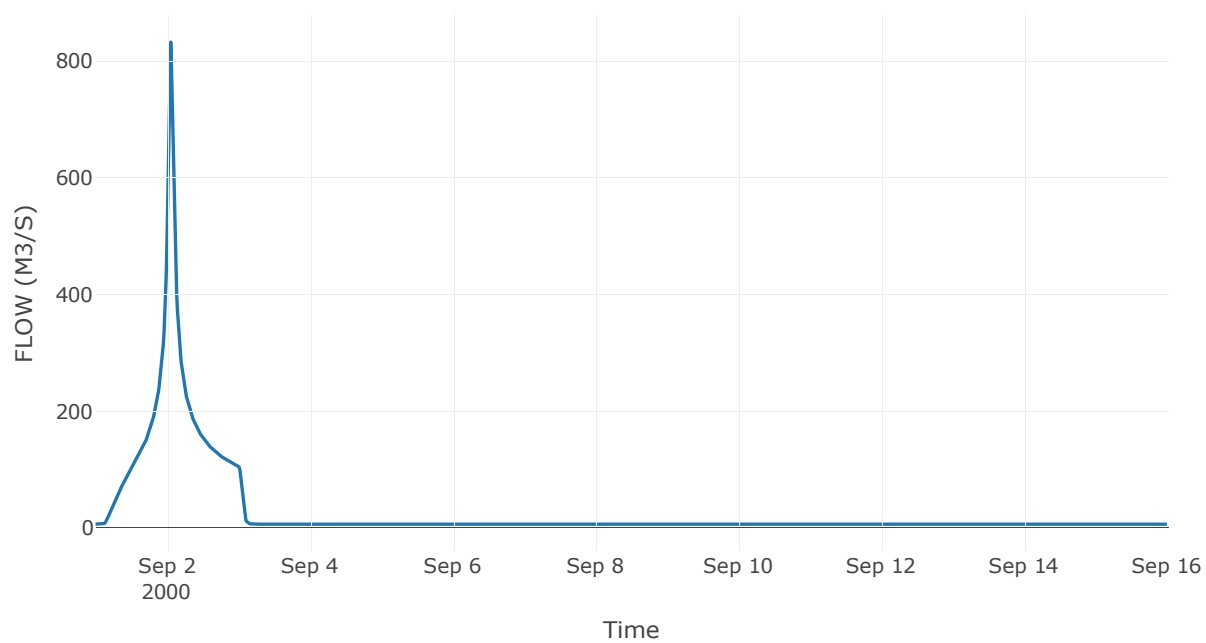
Κόμβος: J18

Κατάντη : R1817

Αποτελέσματα: J18

| | |
|-----------------------|------------------|
| Παροχή Αιχμής(M3/S) | 832.58 |
| Χρονική στιγμή αιχμής | 02Sep2000, 01:15 |
| Όγκος(MM) | 265.17 |

Απορροή



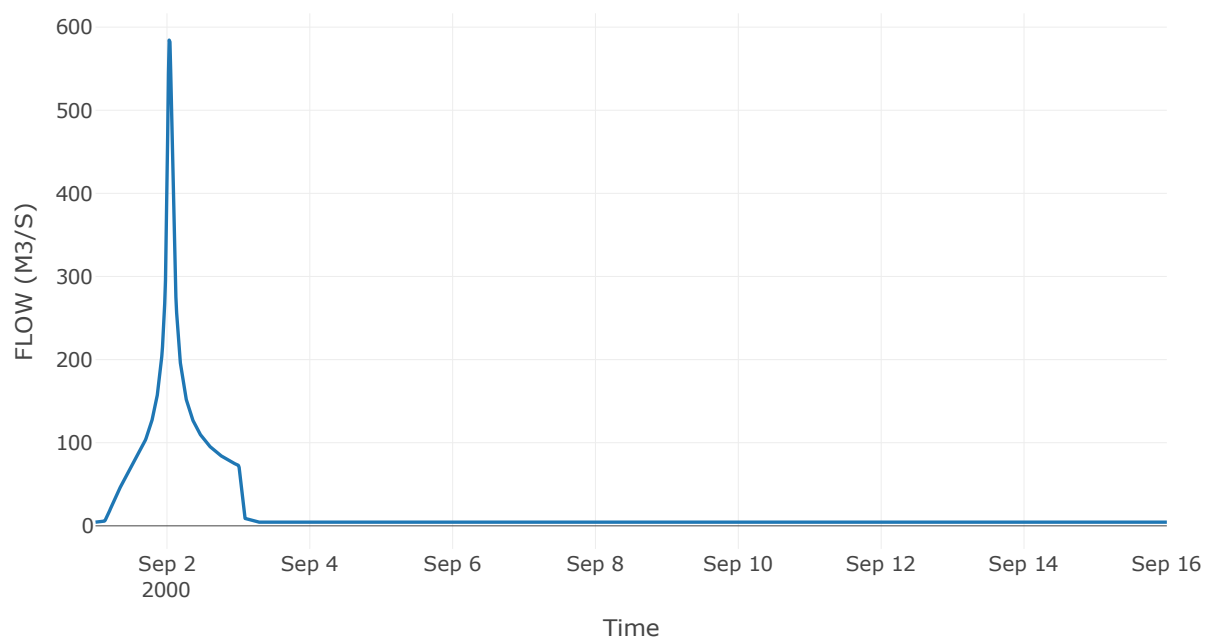
Κόμβος: J19

Κατάντη : R1918

Αποτελέσματα: J19

| | |
|-----------------------|------------------|
| Παροχή Αιχμής(M3/S) | 584.41 |
| Χρονική στιγμή αιχμής | 02Sep2000, 00:45 |
| Όγκος(MM) | 265.46 |

Απορροή



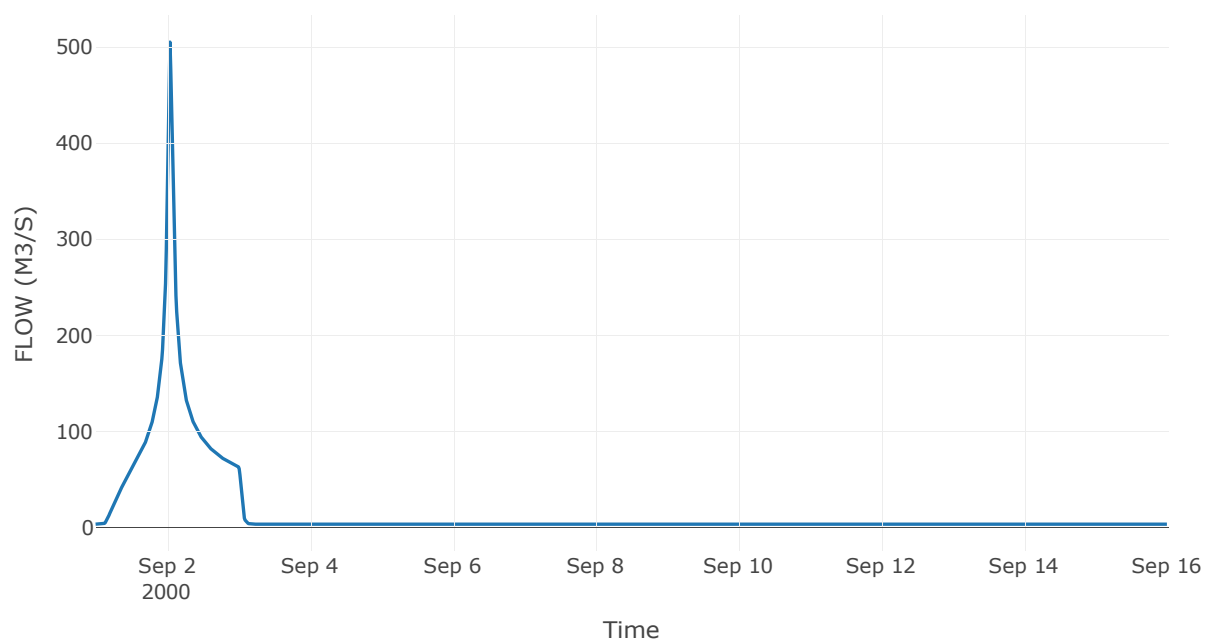
Κόμβος: J20

Κατάντη : R2019

Αποτελέσματα: J20

| | |
|-----------------------|------------------|
| Παροχή Αιχμής(M3/S) | 505.05 |
| Χρονική στιγμή αιχμής | 02Sep2000, 01:00 |
| Όγκος(MM) | 265.67 |

Απορροή



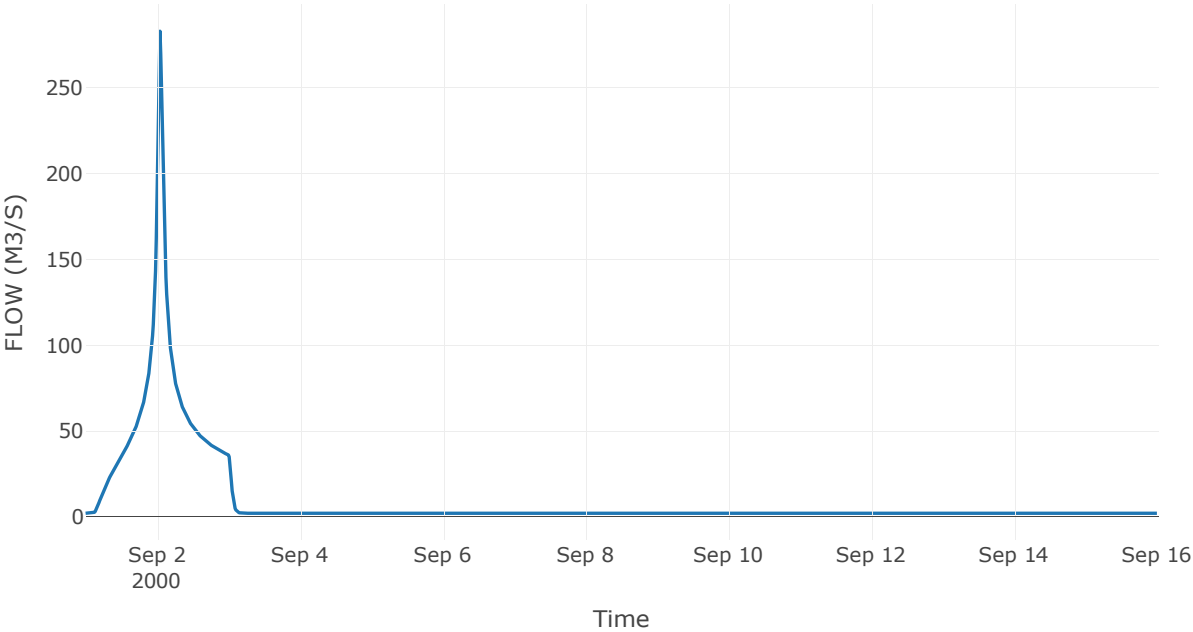
Κόμβος: J21

Κατάντη : R2120

Αποτελέσματα: J21

| | |
|-----------------------|------------------|
| Παροχή Αιχμής(M3/S) | 283.14 |
| Χρονική στιγμή αιχμής | 02Sep2000, 01:00 |
| Όγκος(MM) | 271.12 |

Απορροή



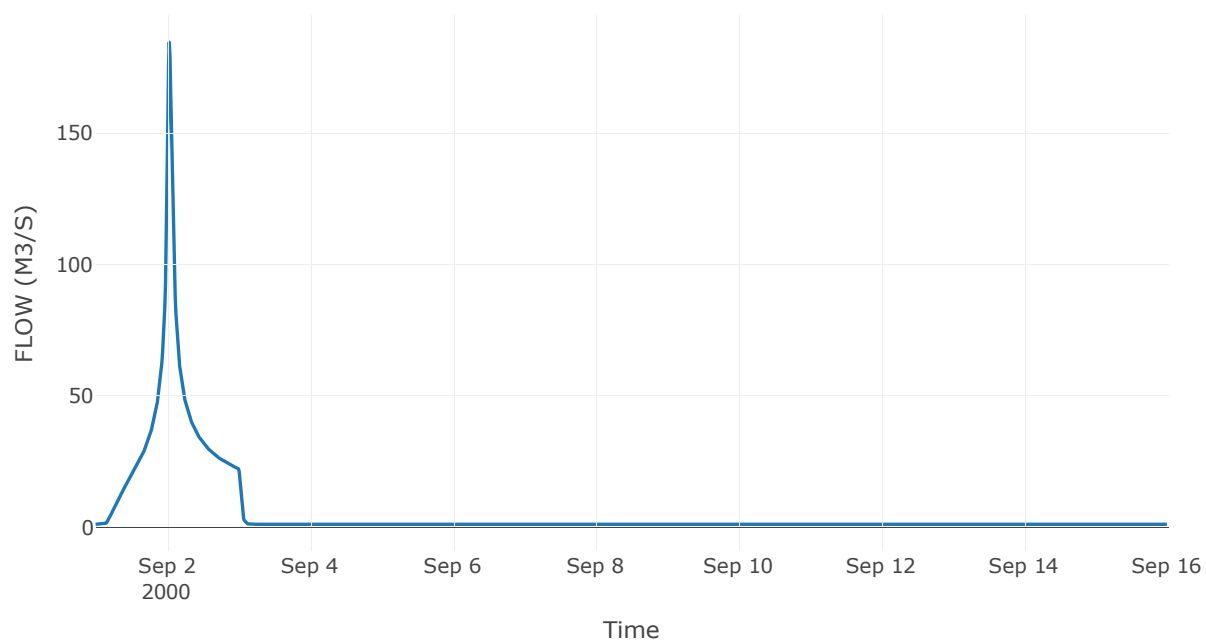
Κόμβος: J22

Κατάντη : R2220

Αποτελέσματα: J22

| | |
|-----------------------|------------------|
| Παροχή Αιχμής(M3/S) | 184.54 |
| Χρονική στιγμή αιχμής | 02Sep2000, 00:45 |
| Όγκος(MM) | 257.12 |

Απορροή



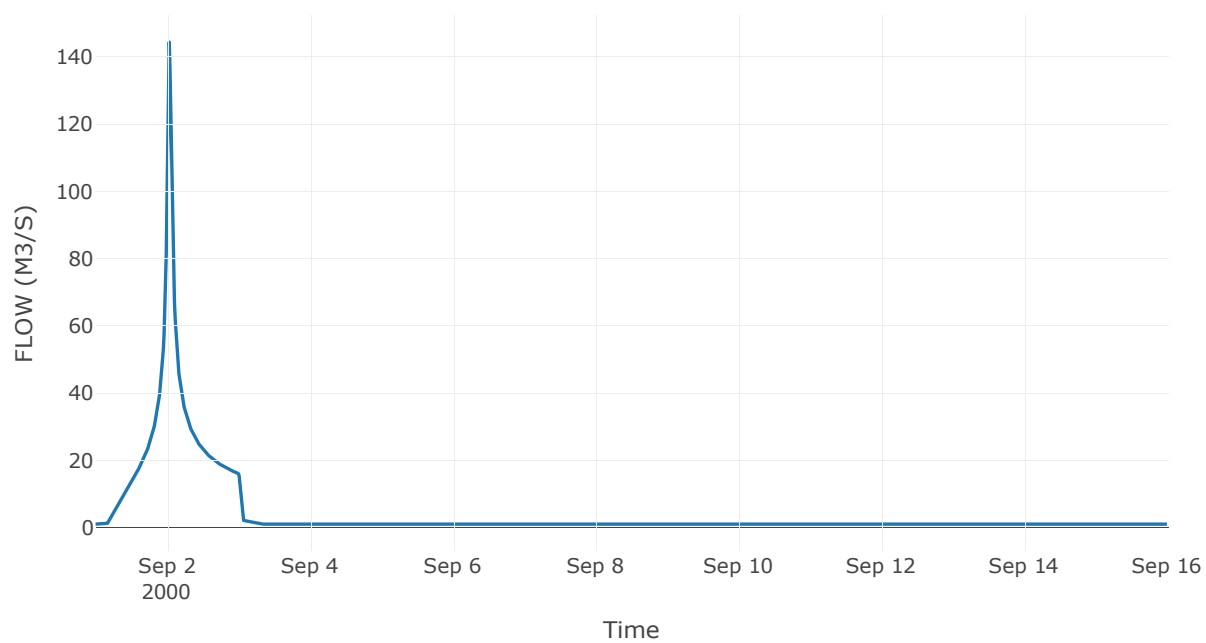
Κόμβος: J23

Κατάντη : R2314

Αποτελέσματα: J23

| | |
|-----------------------|------------------|
| Παροχή Αιχμής(M3/S) | 144.4 |
| Χρονική στιγμή αιχμής | 02Sep2000, 00:45 |
| Όγκος(MM) | 263.39 |

Απορροή



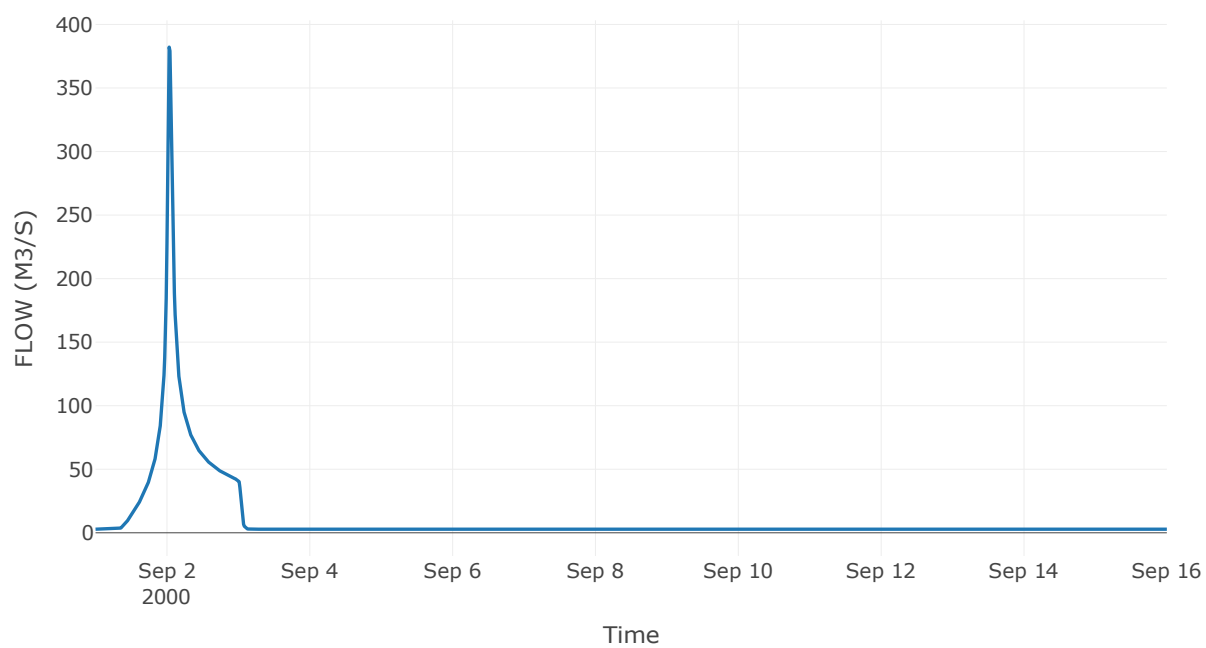
Κόμβος: J24

Κατάντη : R2411

Αποτελέσματα: J24

| | |
|-----------------------|------------------|
| Παροχή Αιχμής(M3/S) | 382.15 |
| Χρονική στιγμή αιχμής | 02Sep2000, 00:45 |
| Όγκος(MM) | 221.97 |

Απορροή



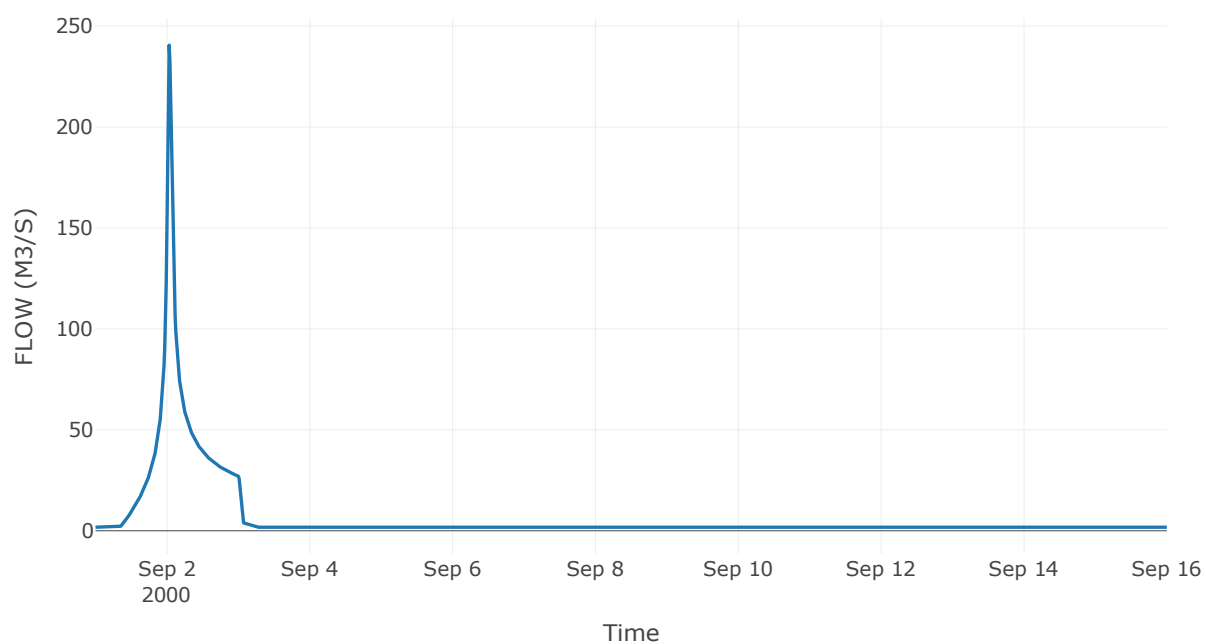
Κόμβος: J25

Κατάντη : R2524

Αποτελέσματα: J25

| | |
|-----------------------|------------------|
| Παροχή Αιχμής(M3/S) | 240.54 |
| Χρονική στιγμή αιχμής | 02Sep2000, 00:45 |
| Όγκος(MM) | 226.43 |

Απορροή



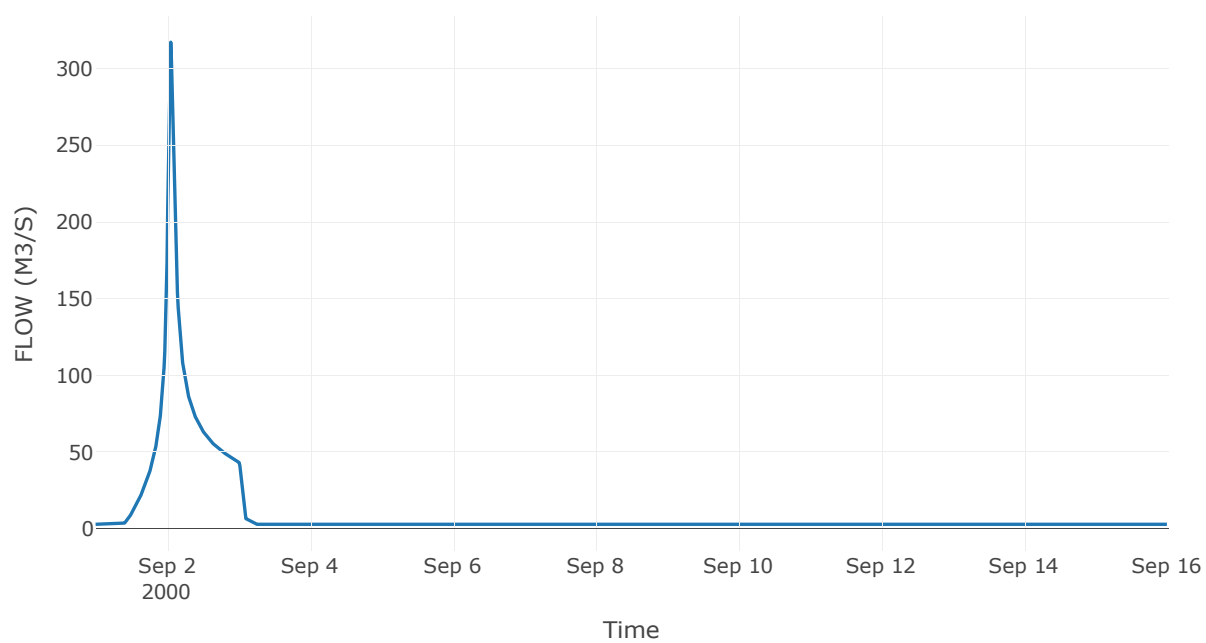
Κόμβος: J26

Κατάντη : R2610

Αποτελέσματα: J26

| | |
|-----------------------|------------------|
| Παροχή Αιχμής(M3/S) | 317.11 |
| Χρονική στιγμή αιχμής | 02Sep2000, 01:15 |
| Όγκος(MM) | 196.08 |

Απορροή



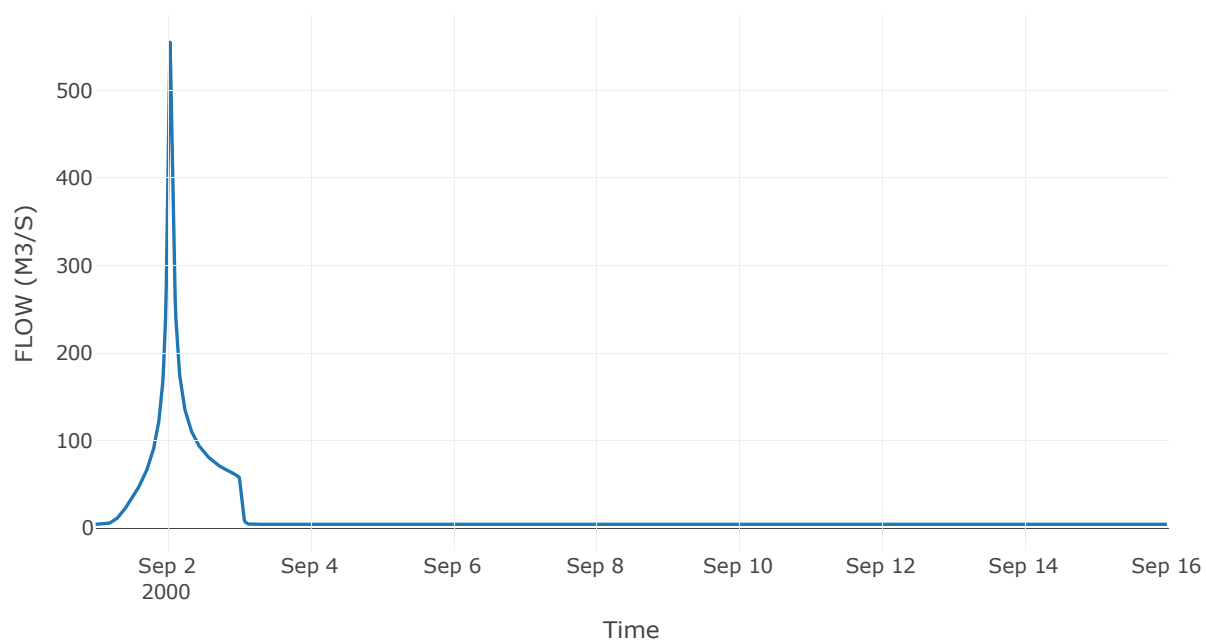
Κόμβος: J27

Κατάντη : R278

Αποτελέσματα: J27

| | |
|-----------------------|------------------|
| Παροχή Αιχμής(M3/S) | 555.24 |
| Χρονική στιγμή αιχμής | 02Sep2000, 01:00 |
| Όγκος(MM) | 219.74 |

Απορροή



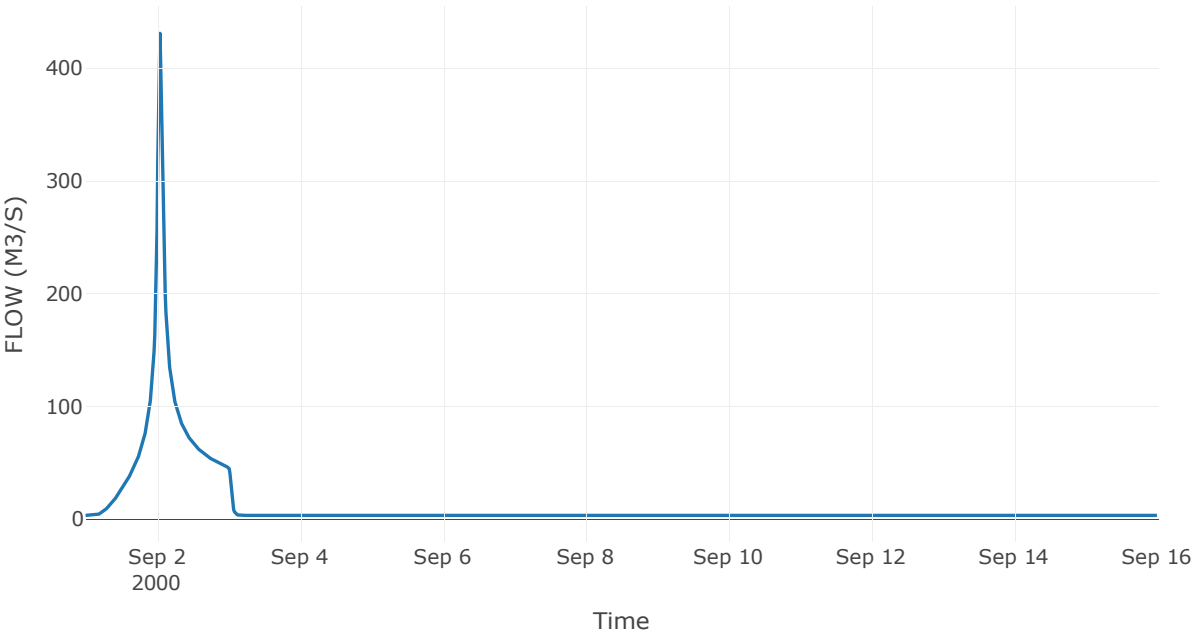
Κόμβος: J28

Κατάντη : R2827

Αποτελέσματα: J28

| | |
|-----------------------|------------------|
| Παροχή Αιχμής(M3/S) | 431.11 |
| Χρονική στιγμή αιχμής | 02Sep2000, 01:00 |
| Όγκος(MM) | 220.84 |

Απορροή



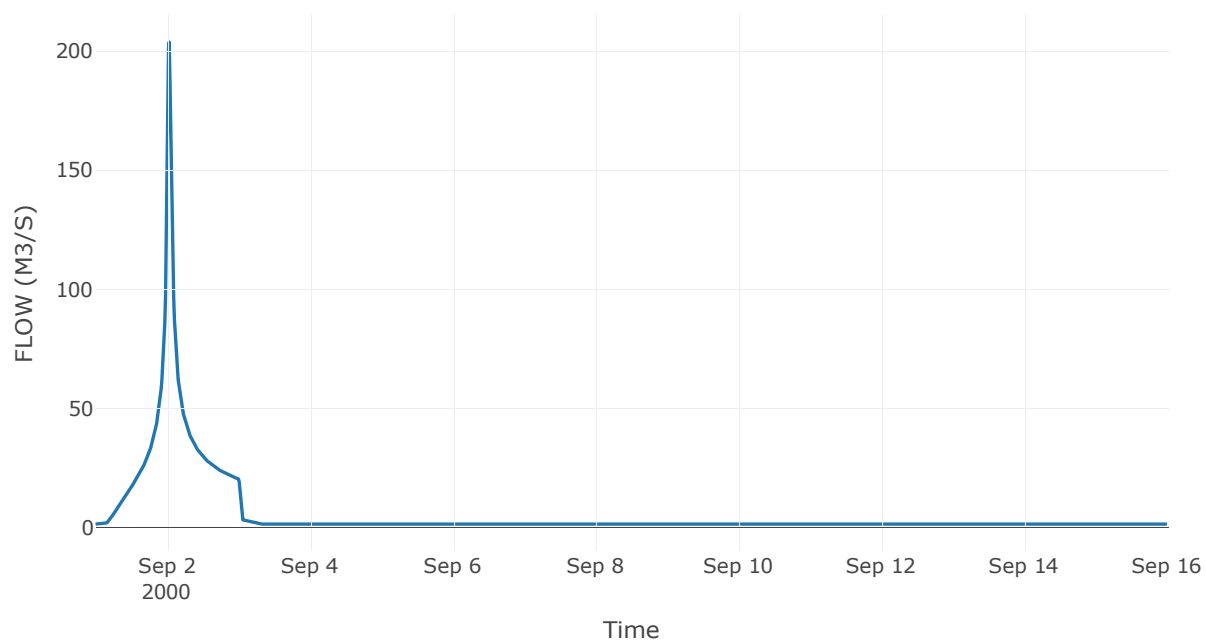
Κόμβος: J29

Κατάντη : R2928

Αποτελέσματα: J29

| | |
|-----------------------|------------------|
| Παροχή Αιχμής(M3/S) | 203.75 |
| Χρονική στιγμή αιχμής | 02Sep2000, 00:45 |
| Όγκος(MM) | 238.78 |

Απορροή



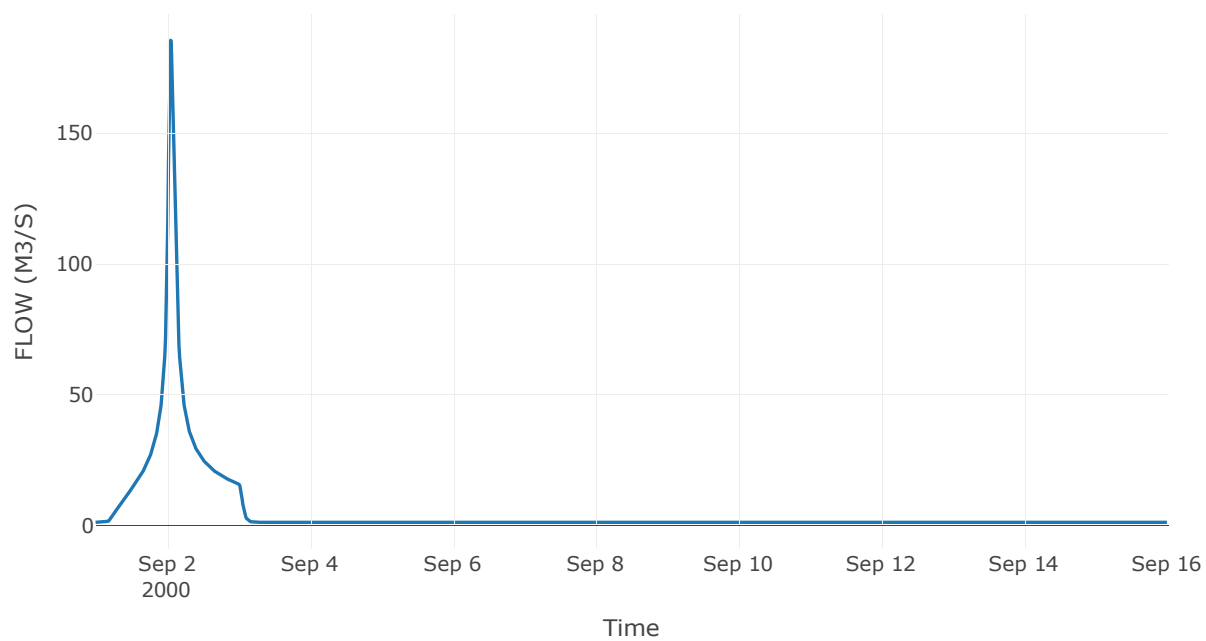
Κόμβος: J30

Κατάντη : R302

Αποτελέσματα: J30

| | |
|-----------------------|------------------|
| Παροχή Αιχμής(M3/S) | 185.63 |
| Χρονική στιγμή αιχμής | 02Sep2000, 01:15 |
| Όγκος(MM) | 235.02 |

Απορροή



5 Δεδομένα εισόδου και αποτελέσματα υδρολογικού σεναρίου T=100

5.1 Αποτελέσματα, υετογραφήματα και υδρογραφήματα σχεδιασμού υπολεκάνων

Υπολεκάνη: EL0420FR4001

Έκταση (KM2) : 23.03

Κατάντη : J1

Μέθοδος Απωλειών: SCS

| | |
|--------------------------------|-------|
| Ποσοστό αδιαπέρατης επιφάνειας | 0 |
| Αριθμός Καμπύλης Απορροής-CN | 78.41 |
| Αρχικές Απώλειες | 13.99 |

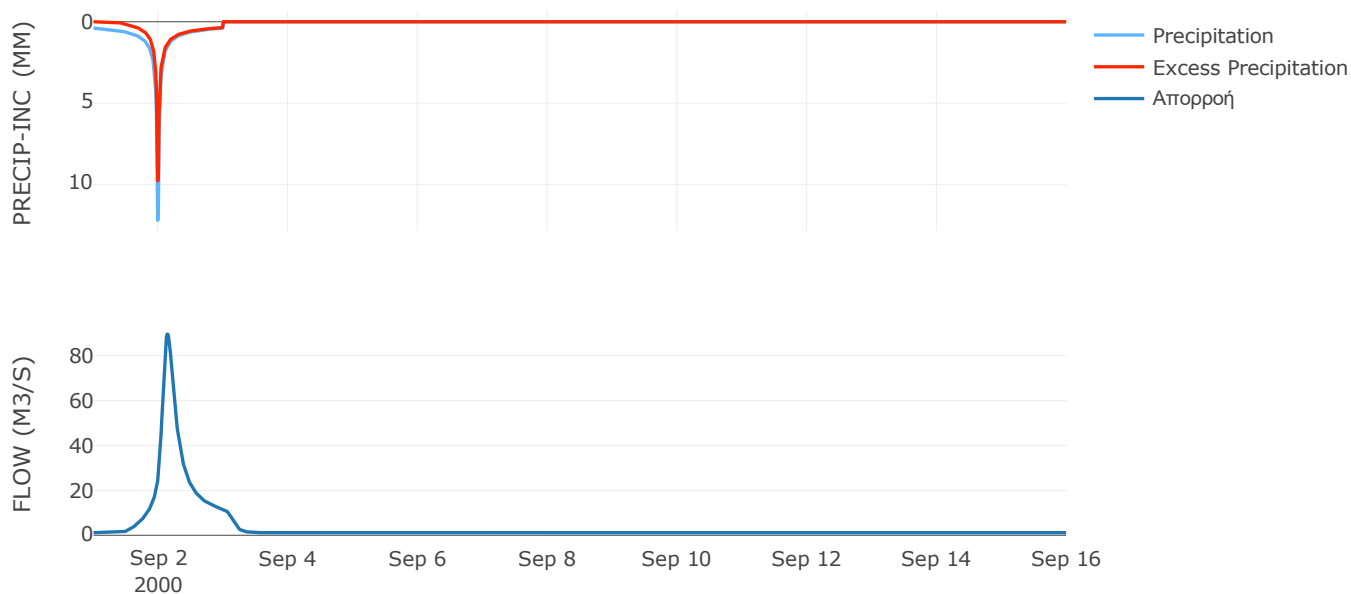
Μέθοδος Μετασχηματισμού: SCS

| | |
|------------------|--------|
| Χρόνος Υστέρησης | 188.08 |
|------------------|--------|

Αποτελέσματα:
EL0420FR4001

| | |
|-----------------------------|------------------|
| Παροχή αιχμής (M3/S) | 89.61 |
| Χρονική στιγμή αιχμής | 02Sep2000, 03:15 |
| Όγκος (MM) | 207.66 |
| Όγκος βροχόπτωσης (M3) | 4.8E6 |
| Όγκος απωλειών (M3) | 1.51E6 |
| Ενεργός Όγκος (M3) | 3.29E6 |
| Όγκος άμεσης απορροής (M3) | 3.29E6 |
| Όγκος βασικής απορροής (M3) | 1.49E6 |

Βροχόπτωση και Απορροή



Υπολεκάνη: EL0420FR4002

Έκταση (KM2) : 14.69

Κατάντη : J2

Μέθοδος Απωλειών: SCS

| | |
|--------------------------------|-------|
| Ποσοστό αδιαπέρατης επιφάνειας | 0 |
| Αριθμός Καμπύλης Απορροής-CN | 81.59 |
| Αρχικές Απώλειες | 11.46 |

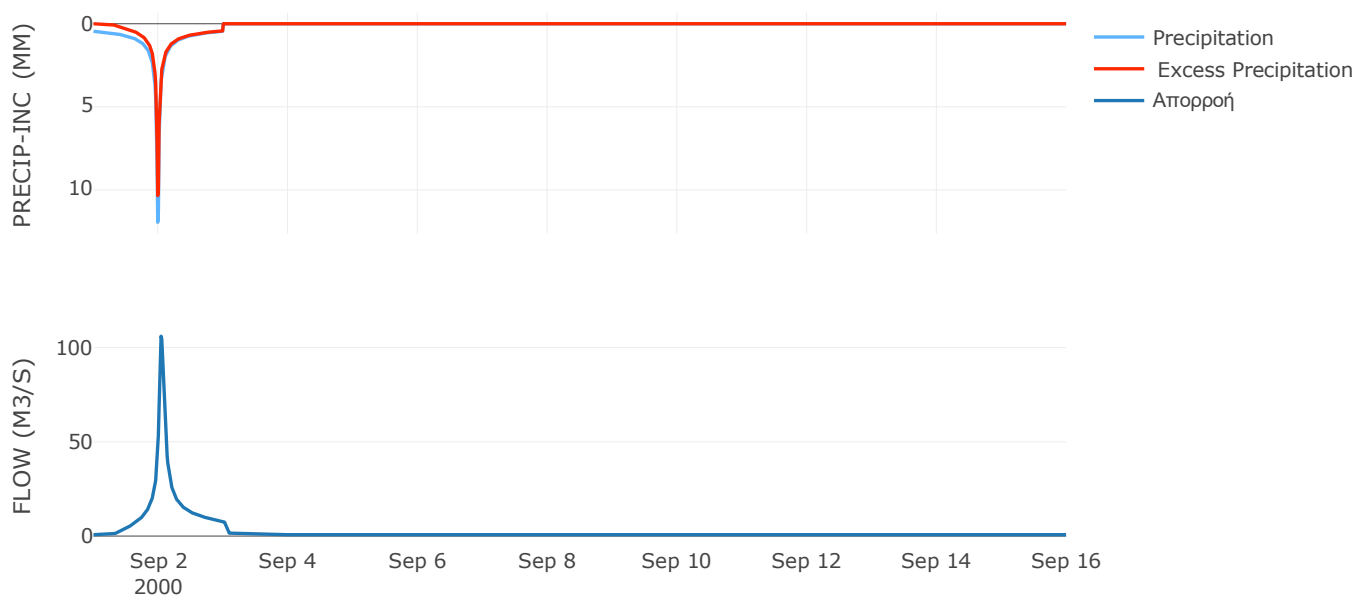
Μέθοδος Μετασχηματισμού: SCS

| | |
|------------------|-------|
| Χρόνος Υστέρησης | 61.66 |
|------------------|-------|

Αποτελέσματα:
EL0420FR4002

| | |
|-----------------------------|------------------|
| Παροχή αιχμής (M3/S) | 106.04 |
| Χρονική στιγμή αιχμής | 02Sep2000, 01:00 |
| Όγκος (MM) | 236.14 |
| Όγκος βροχόπτωσης (M3) | 3.35E6 |
| Όγκος απωλειών (M3) | 8.34E5 |
| Ενεργός Όγκος (M3) | 2.52E6 |
| Όγκος άμεσης απορροής (M3) | 2.52E6 |
| Όγκος βασικής απορροής (M3) | 9.52E5 |

Βροχόπτωση και Απορροή



Υπολεκάνη: EL0420FR4003

Έκταση (KM2) : 18.27

Κατάντη : J3

Μέθοδος Απωλειών: SCS

| | |
|--------------------------------|-------|
| Ποσοστό αδιαπέρατης επιφάνειας | 0 |
| Αριθμός Καμπύλης Απορροής-CN | 75.32 |
| Αρχικές Απώλειες | 16.65 |

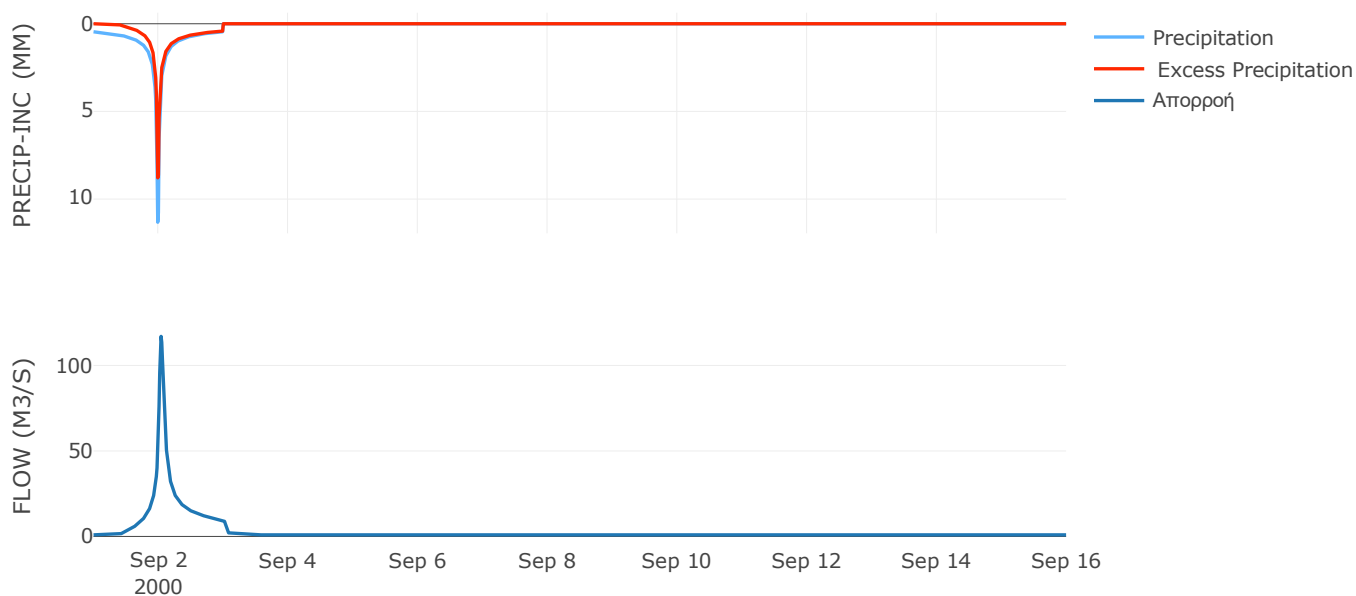
Μέθοδος Μετασχηματισμού: SCS

| | |
|------------------|------|
| Χρόνος Υστέρησης | 57.4 |
|------------------|------|

Αποτελέσματα:
EL0420FR4003

| | |
|-----------------------------|------------------|
| Παροχή αιχμής (M3/S) | 117.04 |
| Χρονική στιγμή αιχμής | 02Sep2000, 01:00 |
| Όγκος (MM) | 214.03 |
| Όγκος βροχόπτωσης (M3) | 4.12E6 |
| Όγκος απωλειών (M3) | 1.39E6 |
| Ενεργός Όγκος (M3) | 2.73E6 |
| Όγκος άμεσης απορροής (M3) | 2.73E6 |
| Όγκος βασικής απορροής (M3) | 1.18E6 |

Βροχόπτωση και Απορροή



Υπολεκάνη: EL0420FR4004

Έκταση (KM2) : 43.51

Κατάντη : J4

Μέθοδος Απωλειών: SCS

| | |
|--------------------------------|-------|
| Ποσοστό αδιαπέρατης επιφάνειας | 0 |
| Αριθμός Καμπύλης Απορροής-CN | 80.89 |
| Αρχικές Απώλειες | 12 |

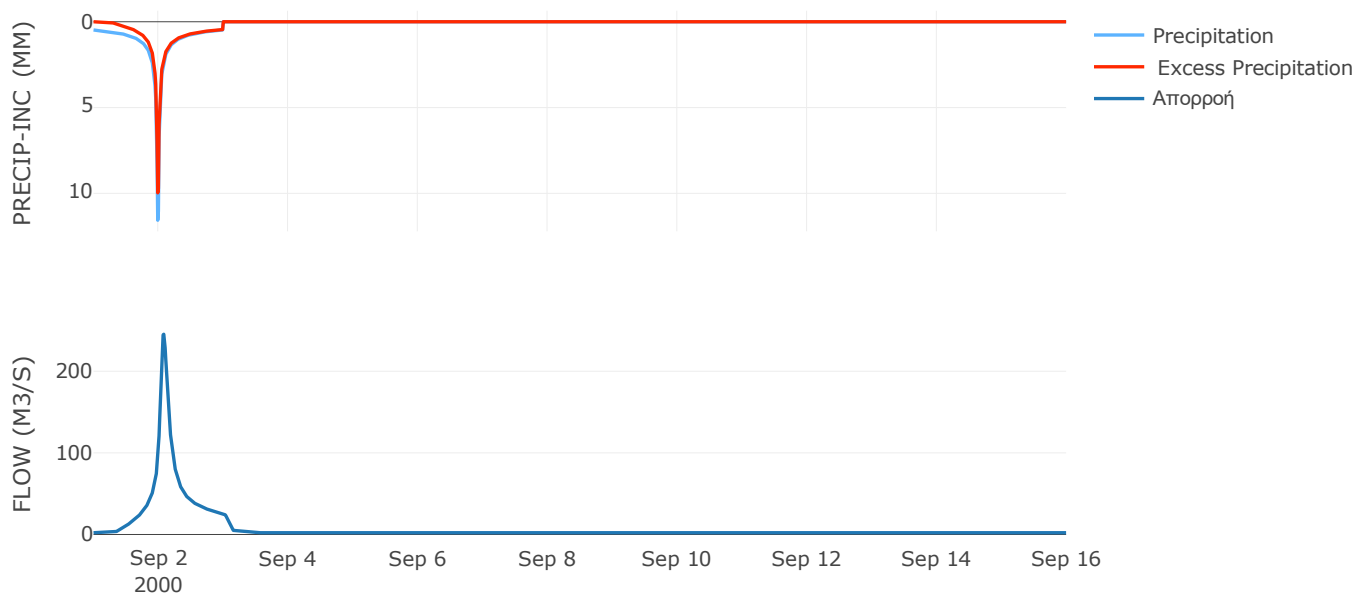
Μέθοδος Μετασχηματισμού: SCS

| | |
|------------------|--------|
| Χρόνος Υστέρησης | 107.99 |
|------------------|--------|

Αποτελέσματα:
EL0420FR4004

| | |
|-----------------------------|------------------|
| Παροχή αιχμής (M3/S) | 245.36 |
| Χρονική στιγμή αιχμής | 02Sep2000, 02:00 |
| Όγκος (MM) | 239.22 |
| Όγκος βροχόπτωσης (M3) | 1.02E7 |
| Όγκος απωλειών (M3) | 2.58E6 |
| Ενεργός Όγκος (M3) | 7.59E6 |
| Όγκος άμεσης απορροής (M3) | 7.59E6 |
| Όγκος βασικής απορροής (M3) | 2.82E6 |

Βροχόπτωση και Απορροή



Υπολεκάνη: EL0420FR4005

Έκταση (KM2) : 48.87

Κατάντη : J5

Μέθοδος Απωλειών: SCS

| | |
|--------------------------------|-------|
| Ποσοστό αδιαπέρατης επιφάνειας | 0 |
| Αριθμός Καμπύλης Απορροής-CN | 65.72 |
| Αρχικές Απώλειες | 26.49 |

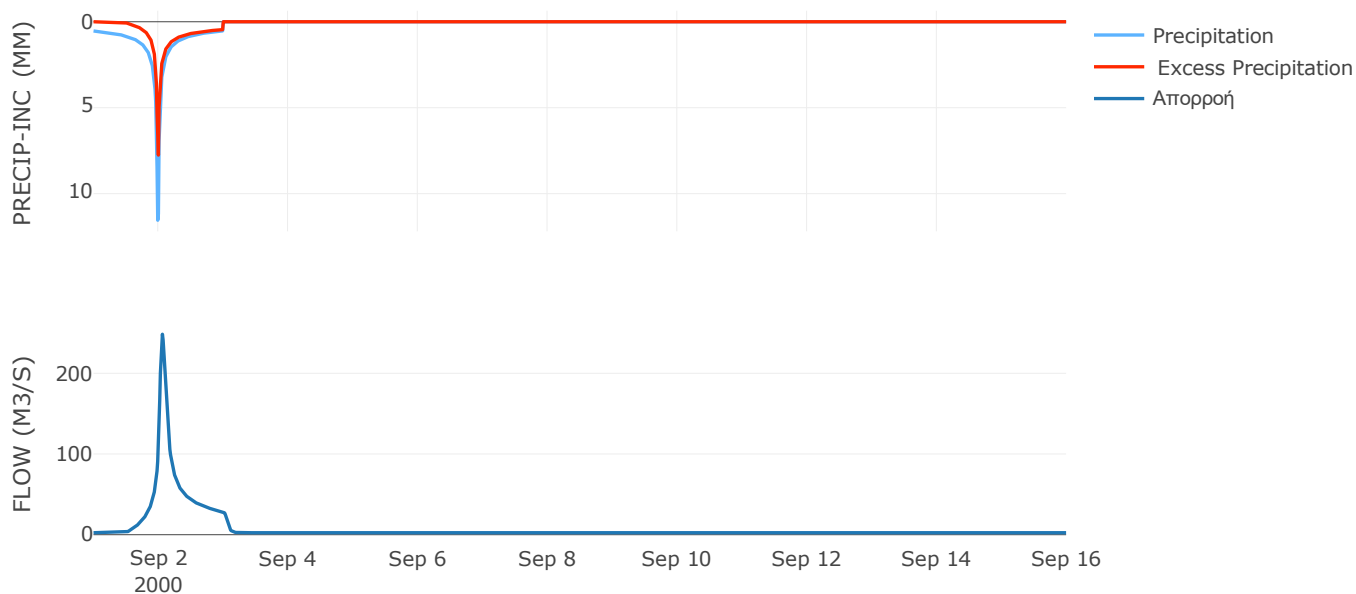
Μέθοδος Μετασχηματισμού: SCS

| | |
|------------------|-------|
| Χρόνος Υστέρησης | 79.18 |
|------------------|-------|

Αποτελέσματα:
EL0420FR4005

| | |
|-----------------------------|------------------|
| Παροχή αιχμής (M3/S) | 248.41 |
| Χρονική στιγμή αιχμής | 02Sep2000, 01:30 |
| Όγκος (MM) | 205.89 |
| Όγκος βροχόπτωσης (M3) | 1.23E7 |
| Όγκος απωλειών (M3) | 5.37E6 |
| Ενεργός Όγκος (M3) | 6.9E6 |
| Όγκος άμεσης απορροής (M3) | 6.9E6 |
| Όγκος βασικής απορροής (M3) | 3.17E6 |

Βροχόπτωση και Απορροή



Υπολεκάνη: EL0420FR4006

Έκταση (KM2) : 0.82

Κατάντη : J6

Μέθοδος Απωλειών: SCS

| | |
|--------------------------------|-------|
| Ποσοστό αδιαπέρατης επιφάνειας | 0 |
| Αριθμός Καμπύλης Απορροής-CN | 54.88 |
| Αρχικές Απώλειες | 41.76 |

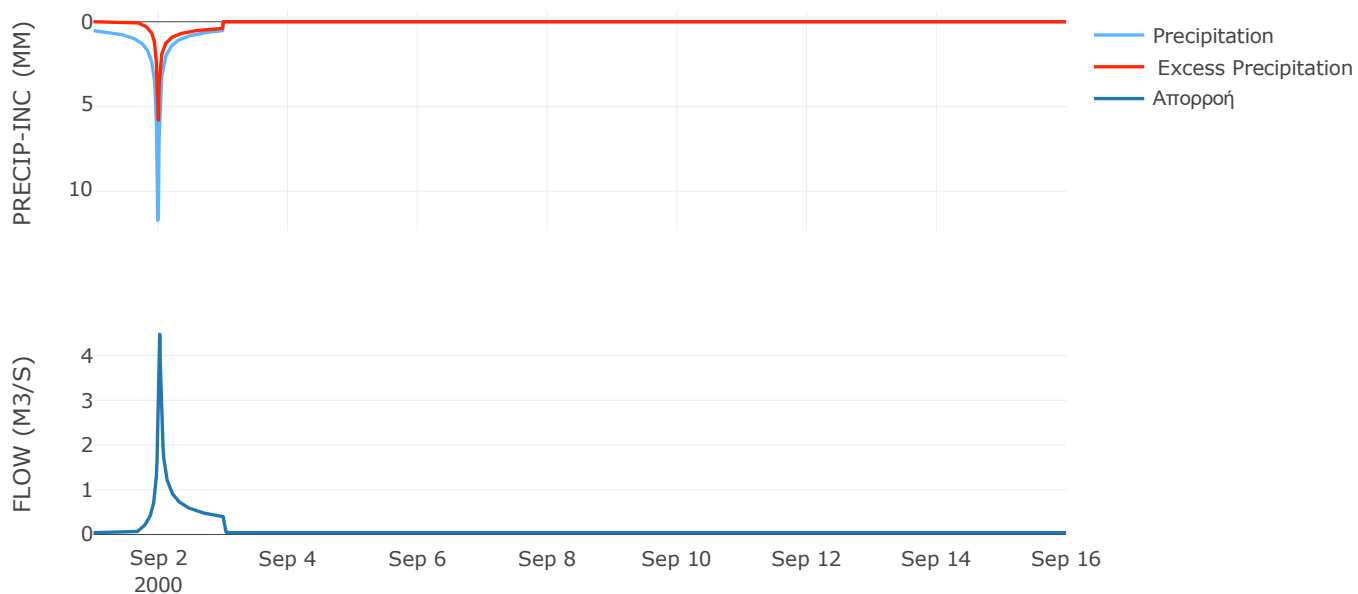
Μέθοδος Μετασχηματισμού: SCS

| | |
|------------------|-------|
| Χρόνος Υστέρησης | 19.57 |
|------------------|-------|

Αποτελέσματα:
EL0420FR4006

| | |
|-----------------------------|------------------|
| Παροχή αιχμής (M3/S) | 4.48 |
| Χρονική στιγμή αιχμής | 02Sep2000, 00:30 |
| Όγκος (MM) | 168.01 |
| Όγκος βροχόπτωσης (M3) | 2.04E5 |
| Όγκος απωλειών (M3) | 1.19E5 |
| Ενεργός Όγκος (M3) | 84404.85 |
| Όγκος άμεσης απορροής (M3) | 84404.85 |
| Όγκος βασικής απορροής (M3) | 52990.85 |

Βροχόπτωση και Απορροή



Υπολεκάνη: EL0420FR4007

Έκταση (KM2) : 16.52

Κατάντη : J7

Μέθοδος Απωλειών: SCS

| | |
|--------------------------------|-------|
| Ποσοστό αδιαπέρατης επιφάνειας | 0 |
| Αριθμός Καμπύλης Απορροής-CN | 60.81 |
| Αρχικές Απώλειες | 32.74 |

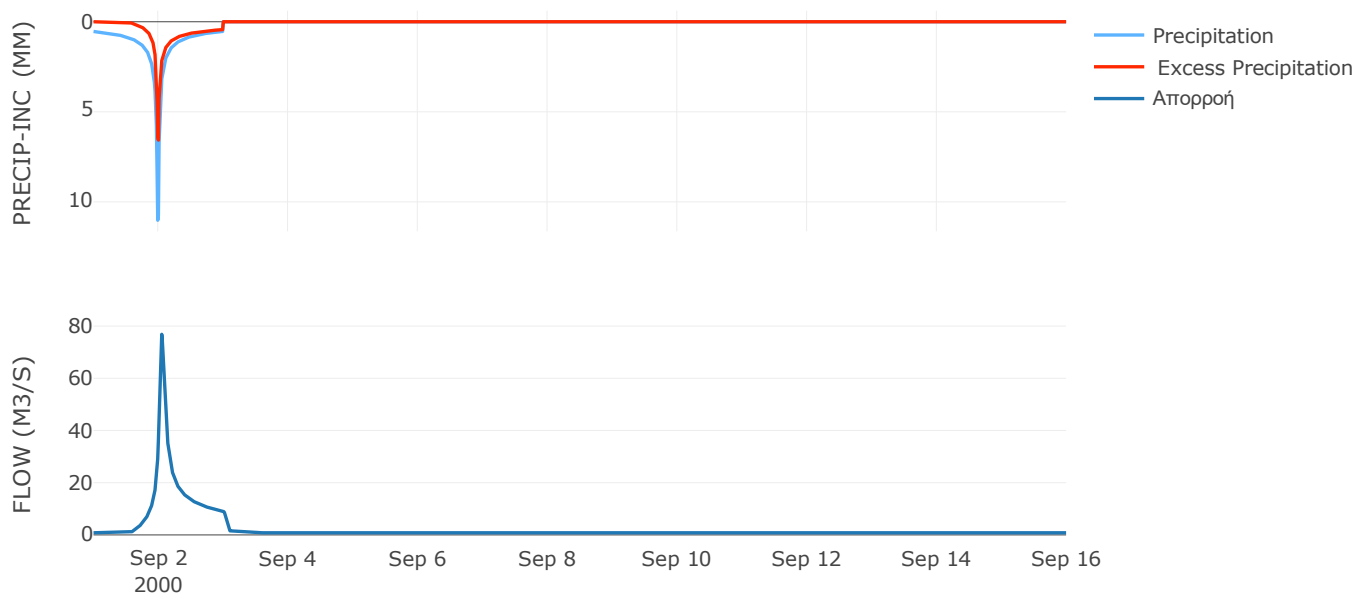
Μέθοδος Μετασχηματισμού: SCS

| | |
|------------------|-------|
| Χρόνος Υστέρησης | 63.93 |
|------------------|-------|

Αποτελέσματα:
EL0420FR4007

| | |
|-----------------------------|------------------|
| Παροχή αιχμής (M3/S) | 76.86 |
| Χρονική στιγμή αιχμής | 02Sep2000, 01:15 |
| Όγκος (MM) | 187.21 |
| Όγκος βροχόπτωσης (M3) | 4.1E6 |
| Όγκος απωλειών (M3) | 2.08E6 |
| Ενεργός Όγκος (M3) | 2.02E6 |
| Όγκος άμεσης απορροής (M3) | 2.02E6 |
| Όγκος βασικής απορροής (M3) | 1.07E6 |

Βροχόπτωση και Απορροή



Υπολεκάνη: EL0420FR4008

Έκταση (KM2) : 12.7

Κατάντη : J8

Μέθοδος Απωλειών: SCS

| | |
|--------------------------------|-------|
| Ποσοστό αδιαπέρατης επιφάνειας | 0 |
| Αριθμός Καμπύλης Απορροής-CN | 59.06 |
| Αρχικές Απώλειες | 35.21 |

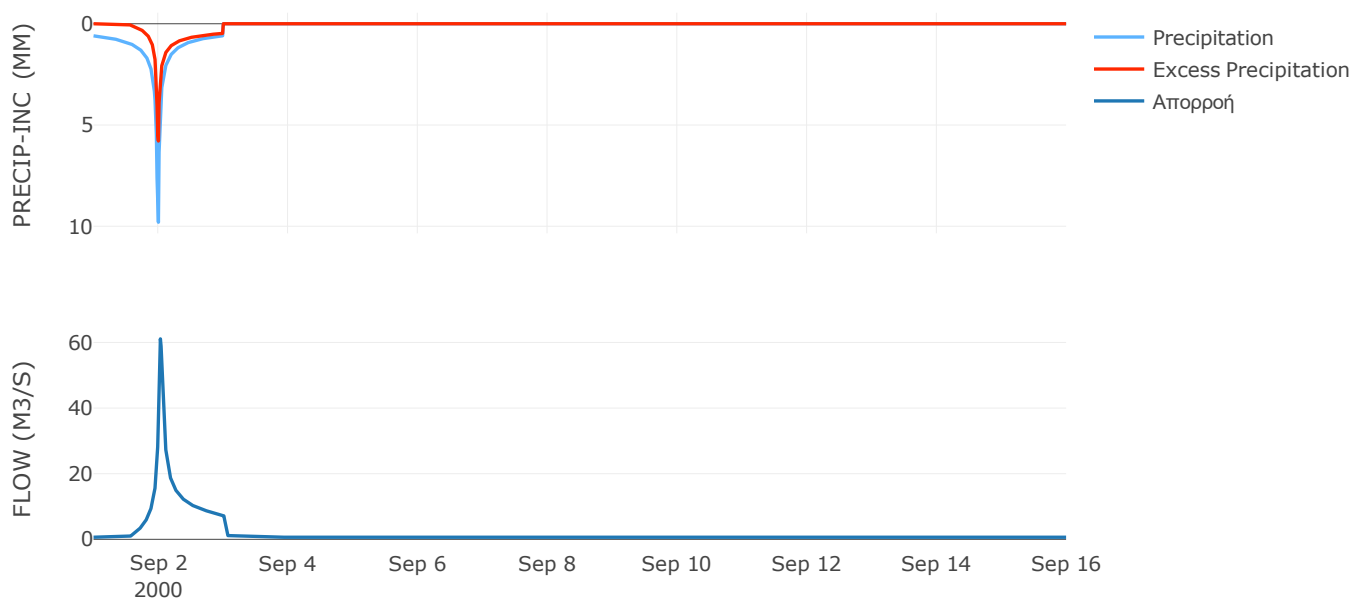
Μέθοδος Μετασχηματισμού: SCS

| | |
|------------------|-------|
| Χρόνος Υστέρησης | 41.01 |
|------------------|-------|

Αποτελέσματα:
EL0420FR4008

| | |
|-----------------------------|------------------|
| Παροχή αιχμής (M3/S) | 61.1 |
| Χρονική στιγμή αιχμής | 02Sep2000, 00:45 |
| Όγκος (MM) | 187.02 |
| Όγκος βροχόπτωσης (M3) | 3.24E6 |
| Όγκος απωλειών (M3) | 1.69E6 |
| Ενεργός Όγκος (M3) | 1.55E6 |
| Όγκος άμεσης απορροής (M3) | 1.55E6 |
| Όγκος βασικής απορροής (M3) | 8.23E5 |

Βροχόπτωση και Απορροή



Υπολεκάνη: EL0420FR4009

Έκταση (KM2) : 5.92

Κατάντη : J9

Μέθοδος Απωλειών: SCS

| | |
|--------------------------------|-------|
| Ποσοστό αδιαπέρατης επιφάνειας | 0 |
| Αριθμός Καμπύλης Απορροής-CN | 63.56 |
| Αρχικές Απώλειες | 29.13 |

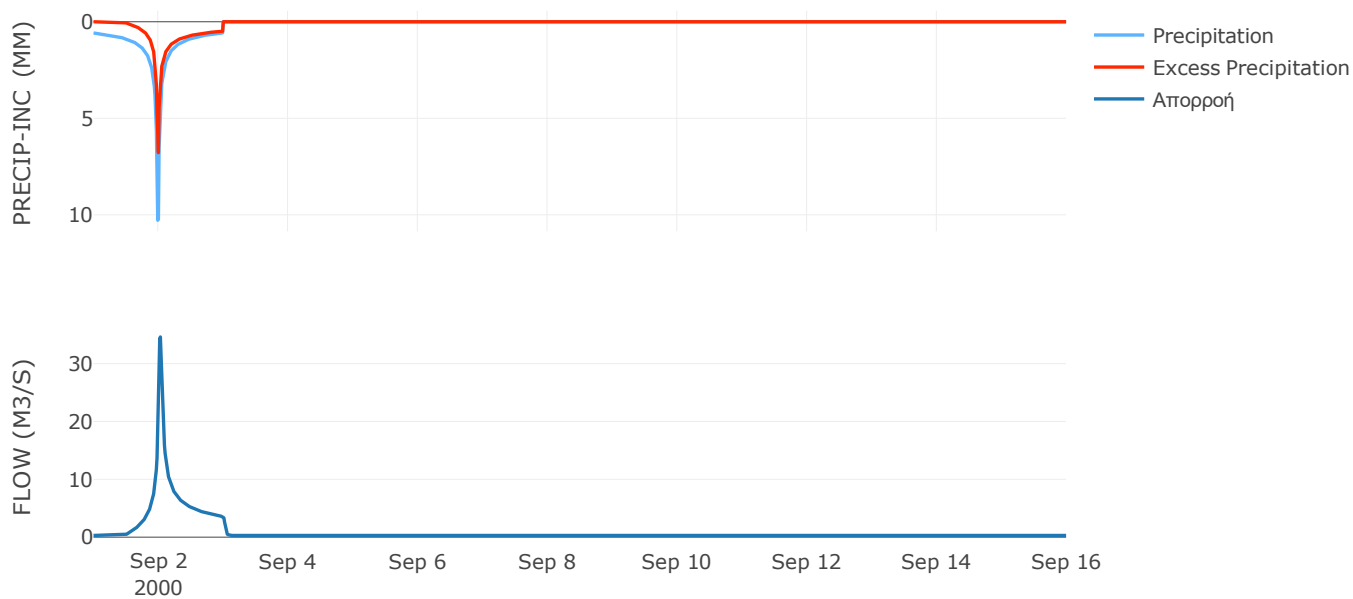
Μέθοδος Μετασχηματισμού: SCS

| | |
|------------------|------|
| Χρόνος Υστέρησης | 34.6 |
|------------------|------|

Αποτελέσματα:
EL0420FR4009

| | |
|-----------------------------|------------------|
| Παροχή αιχμής (M3/S) | 34.61 |
| Χρονική στιγμή αιχμής | 02Sep2000, 00:45 |
| Όγκος (MM) | 202.08 |
| Όγκος βροχόπτωσης (M3) | 1.51E6 |
| Όγκος απωλειών (M3) | 6.97E5 |
| Ενεργός Όγκος (M3) | 8.13E5 |
| Όγκος άμεσης απορροής (M3) | 8.13E5 |
| Όγκος βασικής απορροής (M3) | 3.84E5 |

Βροχόπτωση και Απορροή



Υπολεκάνη: EL0420FR4010

Έκταση (KM2) : 2.67

Κατάντη : J10

Μέθοδος Απωλειών: SCS

| | |
|--------------------------------|-------|
| Ποσοστό αδιαπέρατης επιφάνειας | 0 |
| Αριθμός Καμπύλης Απορροής-CN | 58.38 |
| Αρχικές Απώλειες | 36.21 |

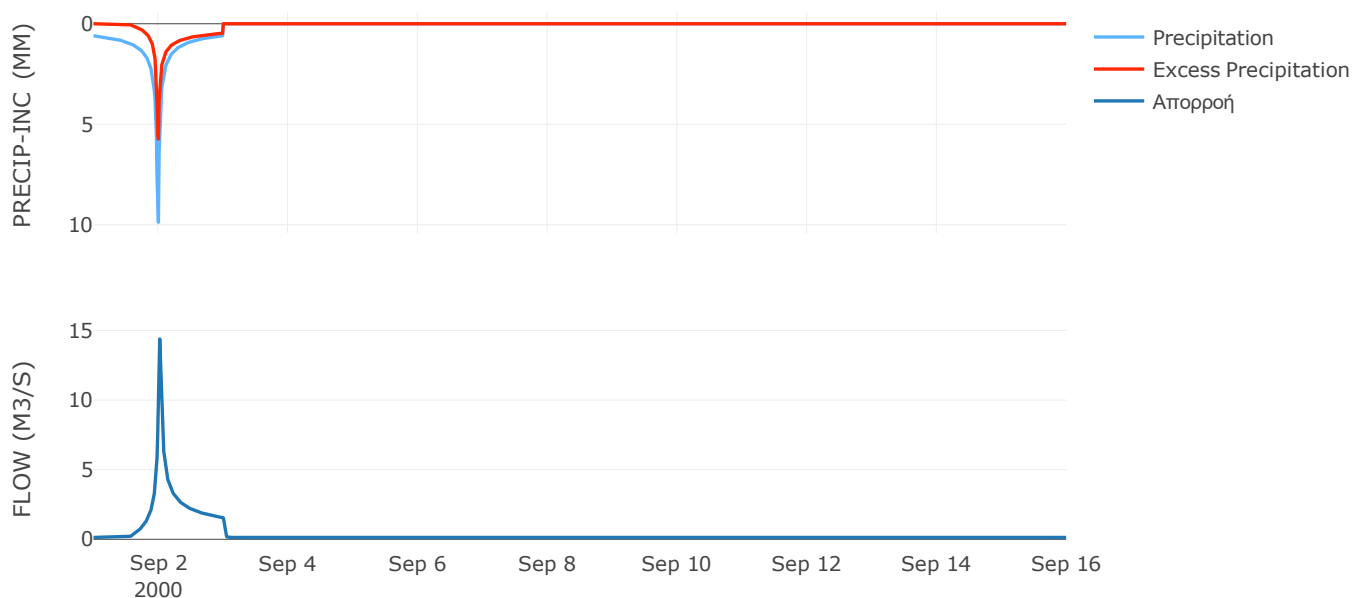
Μέθοδος Μετασχηματισμού: SCS

| | |
|------------------|-------|
| Χρόνος Υστέρησης | 24.26 |
|------------------|-------|

Αποτελέσματα:
EL0420FR4010

| | |
|-----------------------------|------------------|
| Παροχή αιχμής (M3/S) | 14.39 |
| Χρονική στιγμή αιχμής | 02Sep2000, 00:30 |
| Όγκος (MM) | 185.36 |
| Όγκος βροχόπτωσης (M3) | 6.84E5 |
| Όγκος απωλειών (M3) | 3.62E5 |
| Ενεργός Όγκος (M3) | 3.22E5 |
| Όγκος άμεσης απορροής (M3) | 3.22E5 |
| Όγκος βασικής απορροής (M3) | 1.73E5 |

Βροχόπτωση και Απορροή



Υπολεκάνη: EL0420FR4011

Έκταση (KM2) : 55.39

Κατάντη : J11

Μέθοδος Απωλειών: SCS

| | |
|--------------------------------|-------|
| Ποσοστό αδιαπέρατης επιφάνειας | 0 |
| Αριθμός Καμπύλης Απορροής-CN | 56.82 |
| Αρχικές Απώλειες | 38.6 |

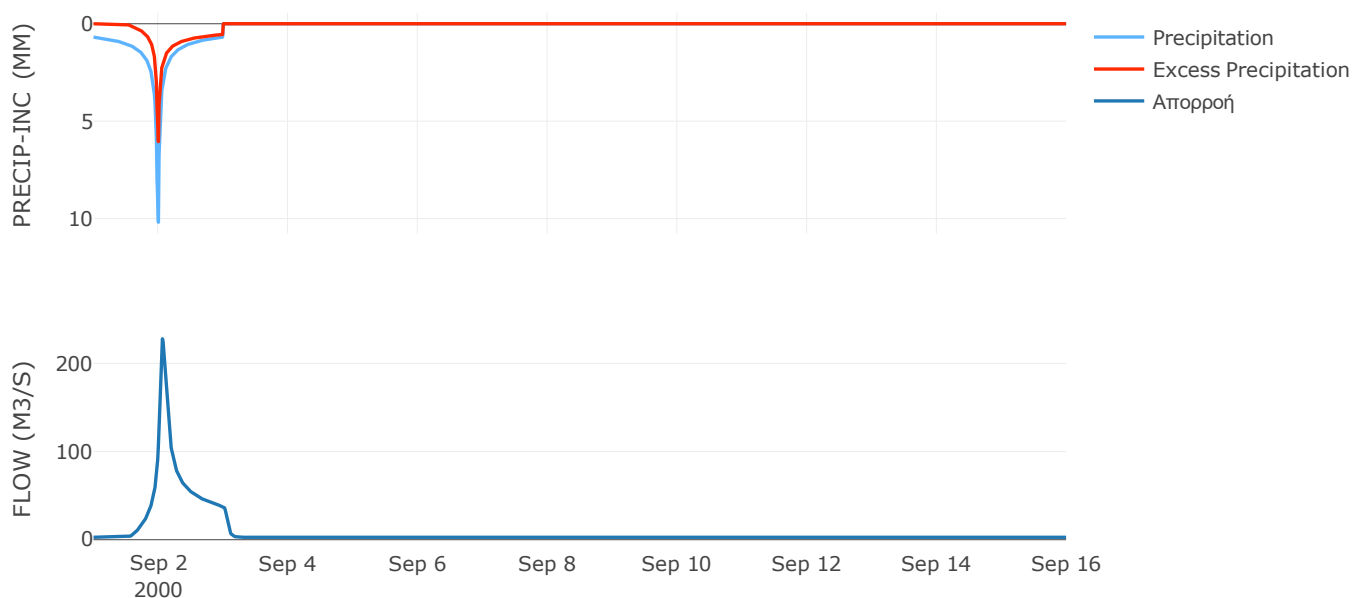
Μέθοδος Μετασχηματισμού: SCS

| | |
|------------------|-------|
| Χρόνος Υστέρησης | 80.49 |
|------------------|-------|

Αποτελέσματα:
EL0420FR4011

| | |
|-----------------------------|------------------|
| Παροχή αιχμής (M3/S) | 227.94 |
| Χρονική στιγμή αιχμής | 02Sep2000, 01:30 |
| Όγκος (MM) | 201.4 |
| Όγκος βροχόπτωσης (M3) | 1.57E7 |
| Όγκος απωλειών (M3) | 8.11E6 |
| Ενεργός Όγκος (M3) | 7.57E6 |
| Όγκος άμεσης απορροής (M3) | 7.57E6 |
| Όγκος βασικής απορροής (M3) | 3.59E6 |

Βροχόπτωση και Απορροή



Υπολεκάνη: EL0420FR4012

Έκταση (KM2) : 2.36

Κατάντη : J12

Μέθοδος Απωλειών: SCS

| | |
|--------------------------------|-------|
| Ποσοστό αδιαπέρατης επιφάνειας | 0 |
| Αριθμός Καμπύλης Απορροής-CN | 67.92 |
| Αρχικές Απώλειες | 24 |

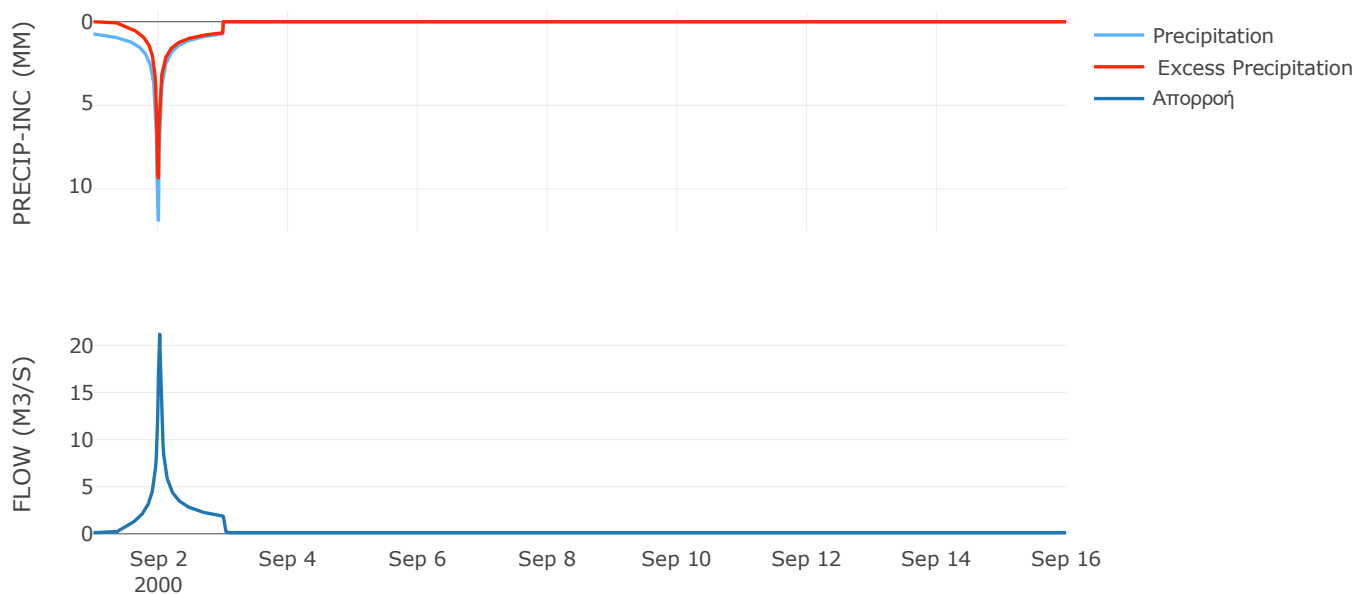
Μέθοδος Μετασχηματισμού: SCS

| | |
|------------------|-------|
| Χρόνος Υστέρησης | 21.36 |
|------------------|-------|

Αποτελέσματα:
EL0420FR4012

| | |
|-----------------------------|------------------|
| Παροχή αιχμής (M3/S) | 21.19 |
| Χρονική στιγμή αιχμής | 02Sep2000, 00:30 |
| Όγκος (MM) | 267.23 |
| Όγκος βροχόπτωσης (M3) | 7.34E5 |
| Όγκος απωλειών (M3) | 2.56E5 |
| Ενεργός Όγκος (M3) | 4.78E5 |
| Όγκος άμεσης απορροής (M3) | 4.78E5 |
| Όγκος βασικής απορροής (M3) | 1.53E5 |

Βροχόπτωση και Απορροή



Υπολεκάνη: EL0420FR4013

Έκταση (KM2) : 1.96

Κατάντη : J14

Μέθοδος Απωλειών: SCS

| | |
|--------------------------------|-------|
| Ποσοστό αδιαπέρατης επιφάνειας | 24 |
| Αριθμός Καμπύλης Απορροής-CN | 83.78 |
| Αρχικές Απώλειες | 9.84 |

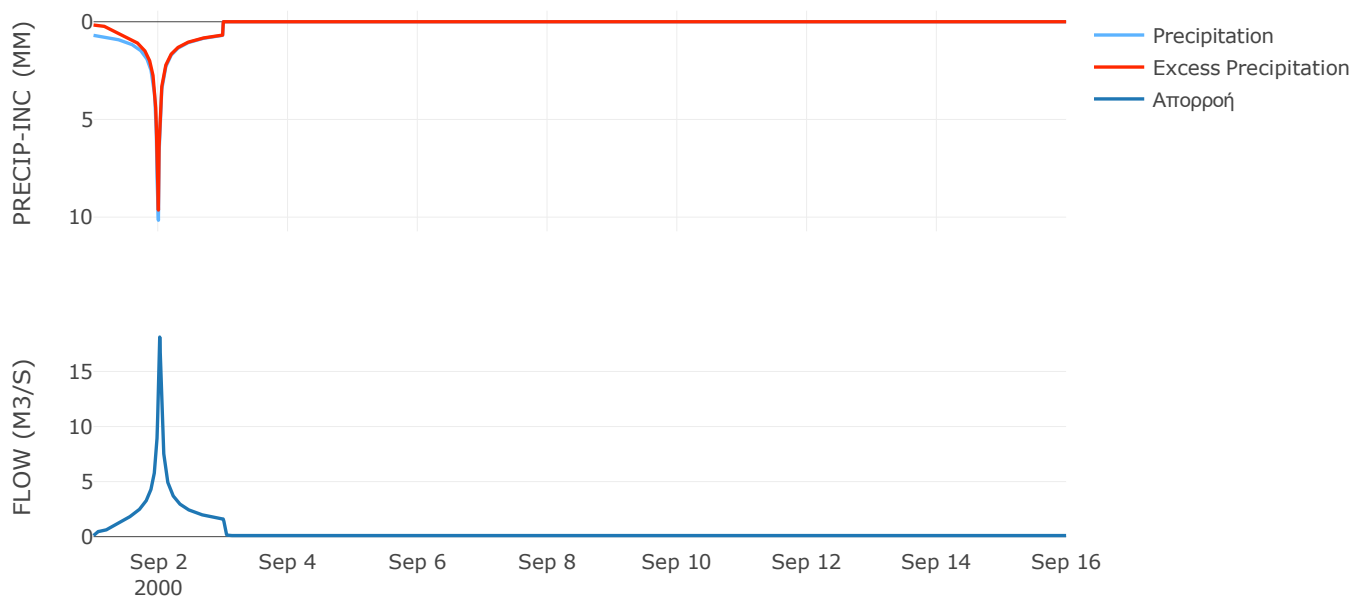
Μέθοδος Μετασχηματισμού: SCS

| | |
|------------------|-------|
| Χρόνος Υστέρησης | 25.34 |
|------------------|-------|

Αποτελέσματα:
EL0420FR4013

| | |
|-----------------------------|------------------|
| Παροχή αιχμής (M3/S) | 18.12 |
| Χρονική στιγμή αιχμής | 02Sep2000, 00:30 |
| Όγκος (MM) | 311.14 |
| Όγκος βροχόπτωσης (M3) | 5.59E5 |
| Όγκος απωλειών (M3) | 76779.49 |
| Ενεργός Όγκος (M3) | 4.83E5 |
| Όγκος άμεσης απορροής (M3) | 4.83E5 |
| Όγκος βασικής απορροής (M3) | 1.27E5 |

Βροχόπτωση και Απορροή



Υπολεκάνη: EL0420FR4014

Έκταση (KM2) : 27.11

Κατάντη : J14

Μέθοδος Απωλειών: SCS

| | |
|--------------------------------|-------|
| Ποσοστό αδιαπέρατης επιφάνειας | 7 |
| Αριθμός Καμπύλης Απορροής-CN | 68.41 |
| Αρχικές Απώλειες | 23.46 |

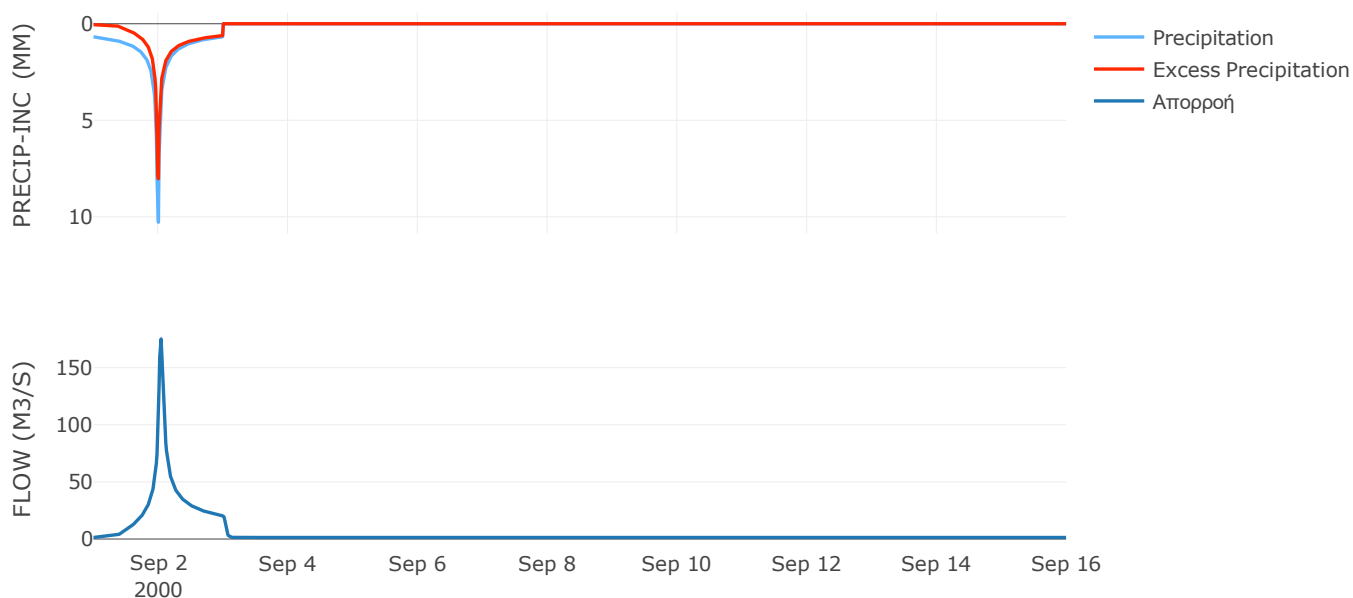
Μέθοδος Μετασχηματισμού: SCS

| | |
|------------------|-------|
| Χρόνος Υστέρησης | 48.35 |
|------------------|-------|

Αποτελέσματα:
EL0420FR4014

| | |
|-----------------------------|------------------|
| Παροχή αιχμής (M3/S) | 175.08 |
| Χρονική στιγμή αιχμής | 02Sep2000, 01:00 |
| Όγκος (MM) | 249.24 |
| Όγκος βροχόπτωσης (M3) | 7.62E6 |
| Όγκος απωλειών (M3) | 2.62E6 |
| Ενεργός Όγκος (M3) | 5E6 |
| Όγκος άμεσης απορροής (M3) | 5E6 |
| Όγκος βασικής απορροής (M3) | 1.76E6 |

Βροχόπτωση και Απορροή



Υπολεκάνη: EL0420FR4015

Έκταση (KM2) : 10.07

Κατάντη : J15

Μέθοδος Απωλειών: SCS

| | |
|--------------------------------|-------|
| Ποσοστό αδιαπέρατης επιφάνειας | 0 |
| Αριθμός Καμπύλης Απορροής-CN | 65.03 |
| Αρχικές Απώλειες | 27.32 |

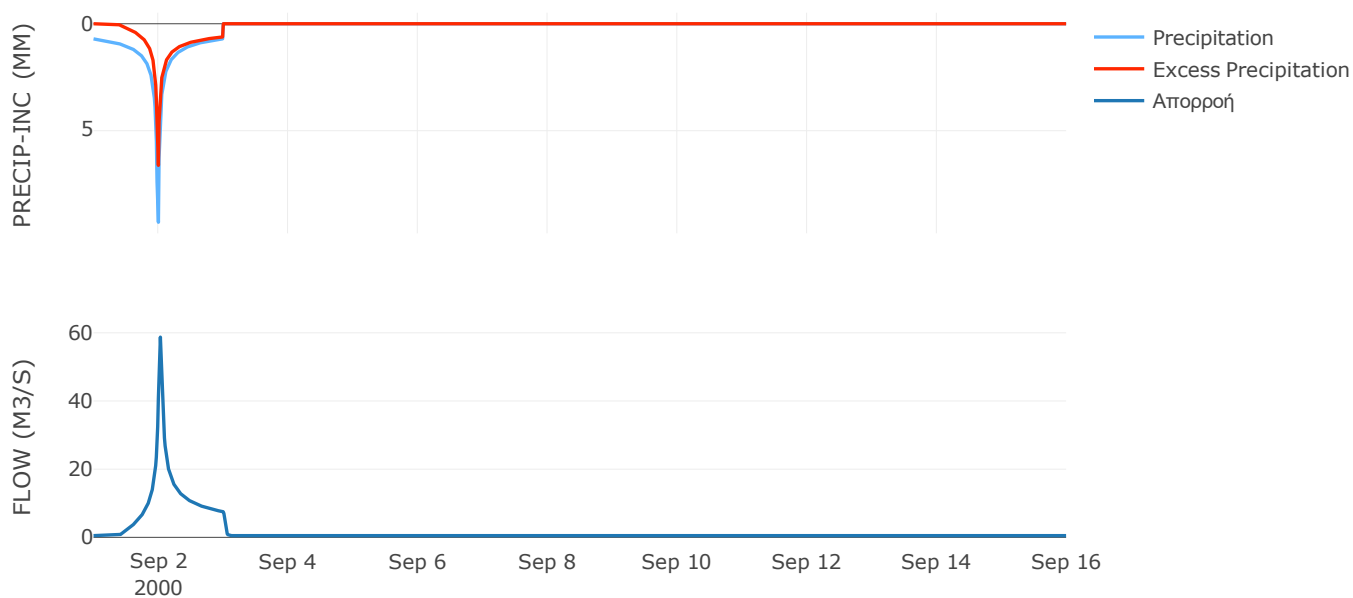
Μέθοδος Μετασχηματισμού: SCS

| | |
|------------------|-------|
| Χρόνος Υστέρησης | 34.15 |
|------------------|-------|

Αποτελέσματα:
EL0420FR4015

| | |
|-----------------------------|------------------|
| Παροχή αιχμής (M3/S) | 58.74 |
| Χρονική στιγμή αιχμής | 02Sep2000, 00:45 |
| Όγκος (MM) | 228.12 |
| Όγκος βροχόπτωσης (M3) | 2.81E6 |
| Όγκος απωλειών (M3) | 1.17E6 |
| Ενεργός Όγκος (M3) | 1.64E6 |
| Όγκος άμεσης απορροής (M3) | 1.64E6 |
| Όγκος βασικής απορροής (M3) | 6.52E5 |

Βροχόπτωση και Απορροή



Υπολεκάνη: EL0420FR4016

Έκταση (KM2) : 12.09

Κατάντη : J16

Μέθοδος Απωλειών: SCS

| | |
|--------------------------------|-------|
| Ποσοστό αδιαπέρατης επιφάνειας | 0 |
| Αριθμός Καμπύλης Απορροής-CN | 80.42 |
| Αρχικές Απώλειες | 12.37 |

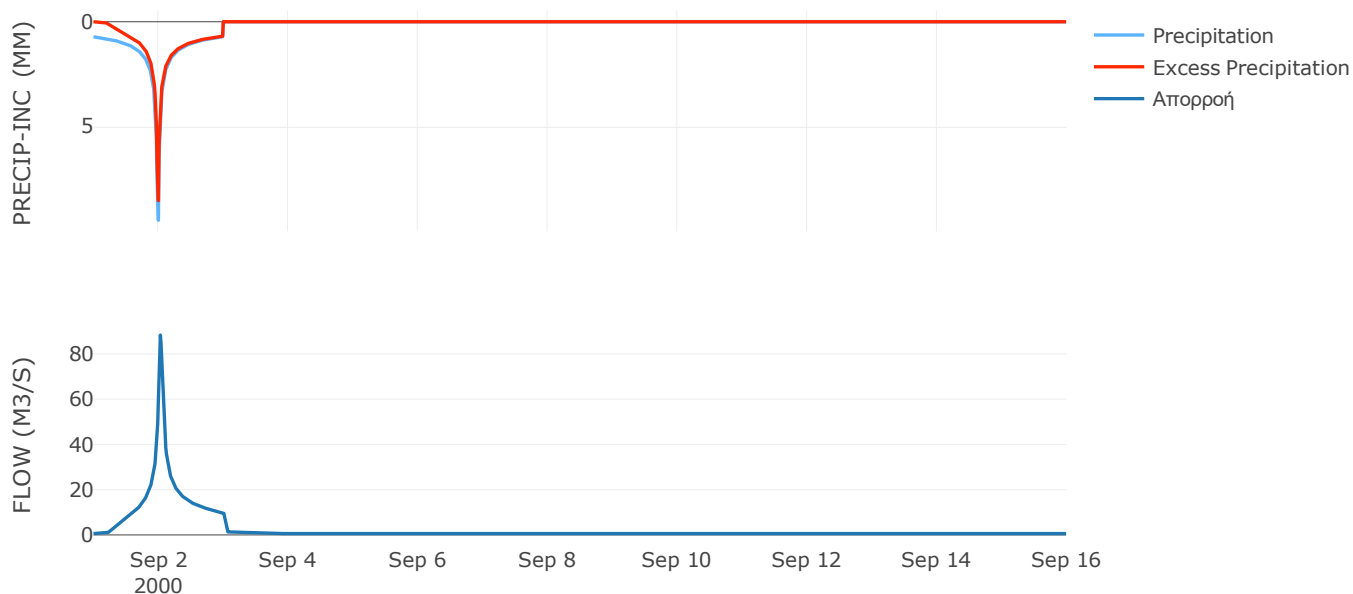
Μέθοδος Μετασχηματισμού: SCS

| | |
|------------------|-------|
| Χρόνος Υστέρησης | 41.61 |
|------------------|-------|

Αποτελέσματα:
EL0420FR4016

| | |
|-----------------------------|------------------|
| Παροχή αιχμής (M3/S) | 88.31 |
| Χρονική στιγμή αιχμής | 02Sep2000, 00:45 |
| Όγκος (MM) | 283.63 |
| Όγκος βροχόπτωσης (M3) | 3.4E6 |
| Όγκος απωλειών (M3) | 7.57E5 |
| Ενεργός Όγκος (M3) | 2.64E6 |
| Όγκος άμεσης απορροής (M3) | 2.64E6 |
| Όγκος βασικής απορροής (M3) | 7.83E5 |

Βροχόπτωση και Απορροή



Υπολεκάνη: EL0420FR4017

Έκταση (KM2) : 0.82

Κατάντη : J17

Μέθοδος Απωλειών: SCS

| | |
|--------------------------------|-------|
| Ποσοστό αδιαπέρατης επιφάνειας | 0 |
| Αριθμός Καμπύλης Απορροής-CN | 81.44 |
| Αρχικές Απώλειες | 11.57 |

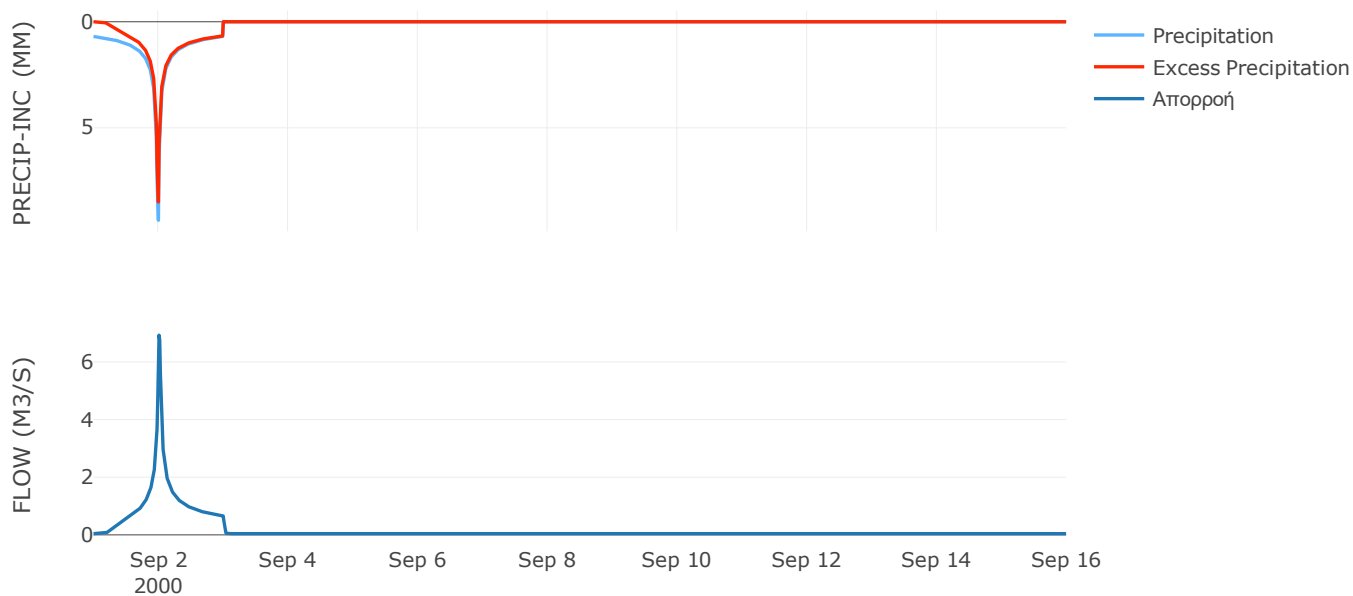
Μέθοδος Μετασχηματισμού: SCS

| | |
|------------------|----|
| Χρόνος Υστέρησης | 18 |
|------------------|----|

Αποτελέσματα:
EL0420FR4017

| | |
|-----------------------------|------------------|
| Παροχή αιχμής (M3/S) | 6.93 |
| Χρονική στιγμή αιχμής | 02Sep2000, 00:15 |
| Όγκος (MM) | 281.85 |
| Όγκος βροχόπτωσης (M3) | 2.27E5 |
| Όγκος απωλειών (M3) | 48617.04 |
| Ενεργός Όγκος (M3) | 1.79E5 |
| Όγκος άμεσης απορροής (M3) | 1.79E5 |
| Όγκος βασικής απορροής (M3) | 53342.06 |

Βροχόπτωση και Απορροή



Υπολεκάνη: EL0420FR4018

Έκταση (KM2) : 26.76

Κατάντη : J18

Μέθοδος Απωλειών: SCS

| | |
|--------------------------------|-------|
| Ποσοστό αδιαπέρατης επιφάνειας | 0 |
| Αριθμός Καμπύλης Απορροής-CN | 80.6 |
| Αρχικές Απώλειες | 12.23 |

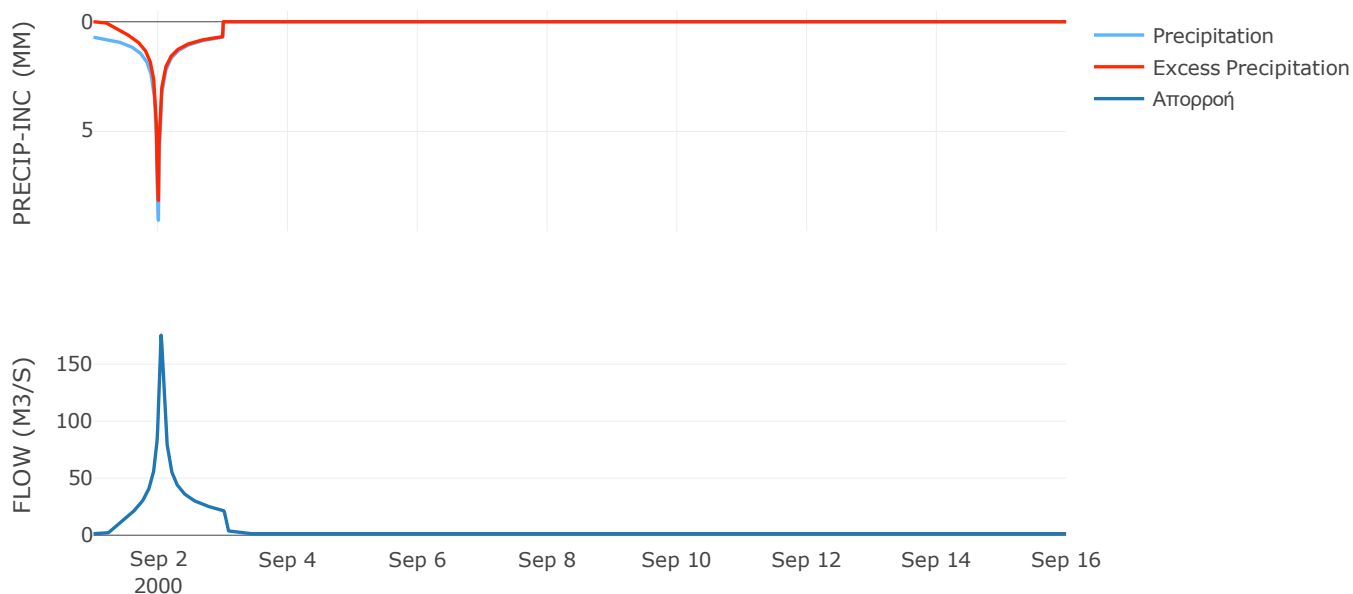
Μέθοδος Μετασχηματισμού: SCS

| | |
|------------------|-------|
| Χρόνος Υστέρησης | 54.49 |
|------------------|-------|

Αποτελέσματα:
EL0420FR4018

| | |
|-----------------------------|------------------|
| Παροχή αιχμής (M3/S) | 175.39 |
| Χρονική στιγμή αιχμής | 02Sep2000, 01:00 |
| Όγκος (MM) | 278.96 |
| Όγκος βροχόπτωσης (M3) | 7.39E6 |
| Όγκος απωλειών (M3) | 1.66E6 |
| Ενεργός Όγκος (M3) | 5.73E6 |
| Όγκος άμεσης απορροής (M3) | 5.73E6 |
| Όγκος βασικής απορροής (M3) | 1.73E6 |

Βροχόπτωση και Απορροή



Υπολεκάνη: EL0420FR4019

Έκταση (KM2) : 0.87

Κατάντη : J19

Μέθοδος Απωλειών: SCS

| | |
|--------------------------------|-------|
| Ποσοστό αδιαπέρατης επιφάνειας | 0 |
| Αριθμός Καμπύλης Απορροής-CN | 81.39 |
| Αρχικές Απώλειες | 11.62 |

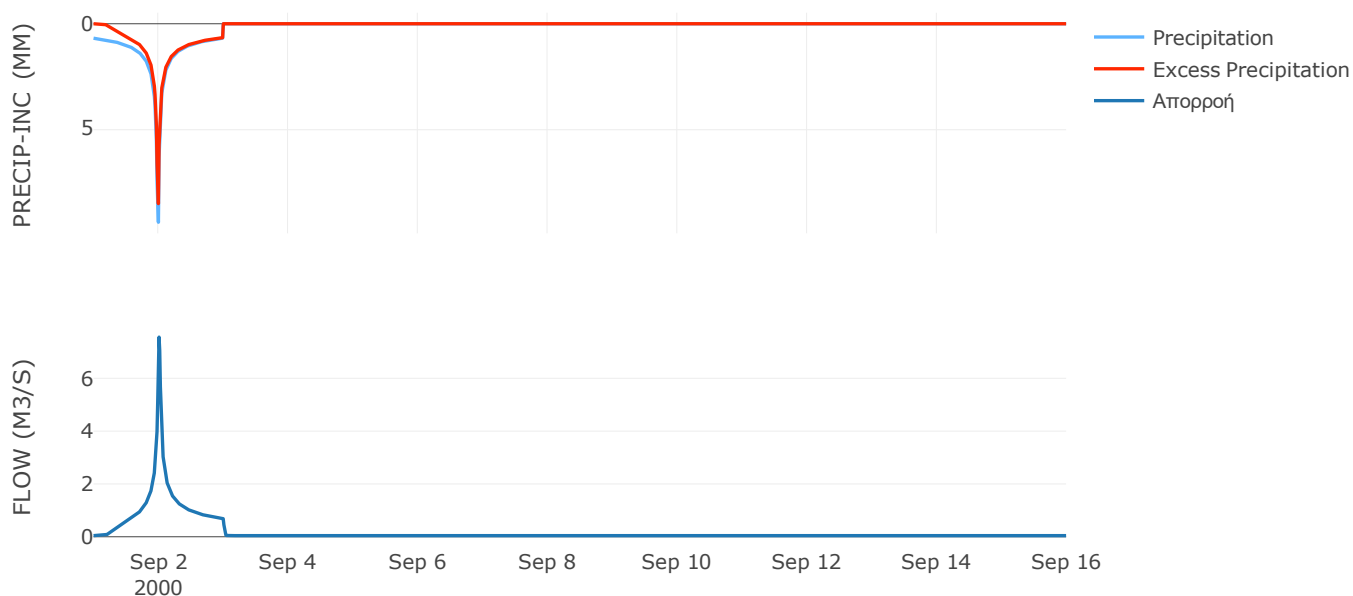
Μέθοδος Μετασχηματισμού: SCS

| | |
|------------------|------|
| Χρόνος Υστέρησης | 15.5 |
|------------------|------|

Αποτελέσματα:
EL0420FR4019

| | |
|-----------------------------|------------------|
| Παροχή αιχμής (M3/S) | 7.56 |
| Χρονική στιγμή αιχμής | 02Sep2000, 00:15 |
| Όγκος (MM) | 279.24 |
| Όγκος βροχόπτωσης (M3) | 2.39E5 |
| Όγκος απωλειών (M3) | 51607.23 |
| Ενεργός Όγκος (M3) | 1.87E5 |
| Όγκος άμεσης απορροής (M3) | 1.87E5 |
| Όγκος βασικής απορροής (M3) | 56528.93 |

Βροχόπτωση και Απορροή



Υπολεκάνη: EL0420FR4020

Έκταση (KM2) : 6.12

Κατάντη : J20

Μέθοδος Απωλειών: SCS

| | |
|--------------------------------|-------|
| Ποσοστό αδιαπέρατης επιφάνειας | 0 |
| Αριθμός Καμπύλης Απορροής-CN | 81.56 |
| Αρχικές Απώλειες | 11.49 |

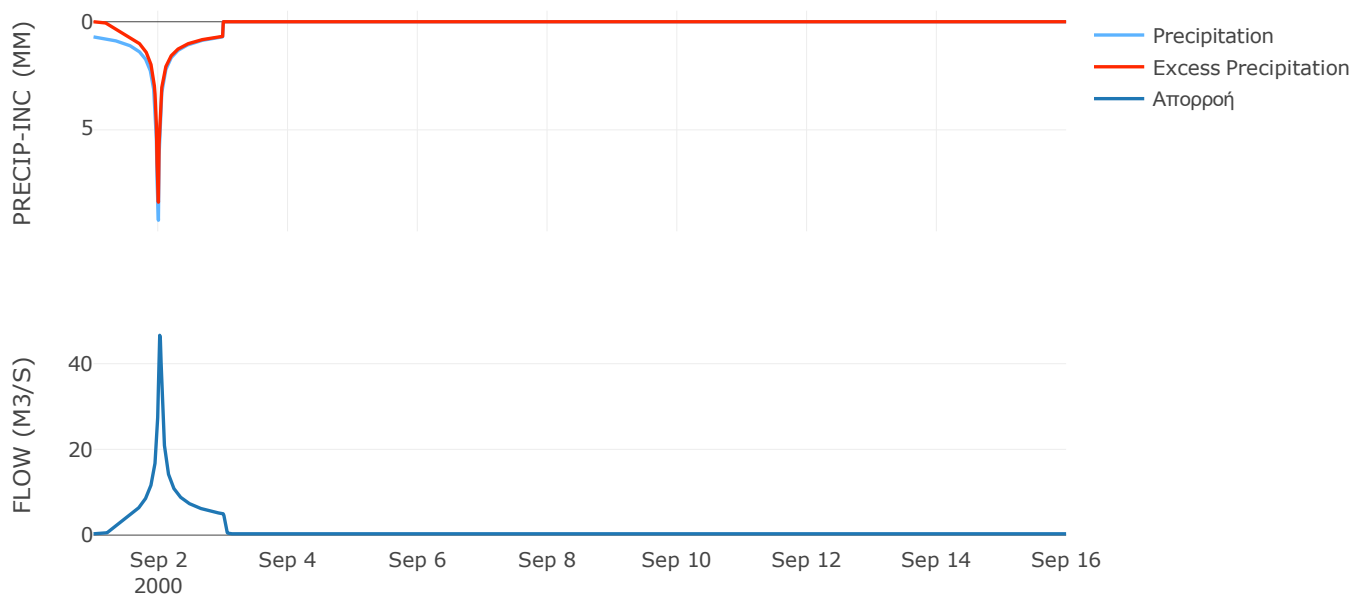
Μέθοδος Μετασχηματισμού: SCS

| | |
|------------------|-------|
| Χρόνος Υστέρησης | 31.93 |
|------------------|-------|

Αποτελέσματα:
EL0420FR4020

| | |
|-----------------------------|------------------|
| Παροχή αιχμής (M3/S) | 46.62 |
| Χρονική στιγμή αιχμής | 02Sep2000, 00:30 |
| Όγκος (MM) | 282.55 |
| Όγκος βροχόπτωσης (M3) | 1.69E6 |
| Όγκος απωλειών (M3) | 3.59E5 |
| Ενεργός Όγκος (M3) | 1.33E6 |
| Όγκος άμεσης απορροής (M3) | 1.33E6 |
| Όγκος βασικής απορροής (M3) | 3.97E5 |

Βροχόπτωση και Απορροή



Υπολεκάνη: EL0420FR4021

Έκταση (KM2) : 32.13

Κατάντη : J21

Μέθοδος Απωλειών: SCS

| | |
|--------------------------------|-------|
| Ποσοστό αδιαπέρατης επιφάνειας | 0 |
| Αριθμός Καμπύλης Απορροής-CN | 77.63 |
| Αρχικές Απώλειες | 14.63 |

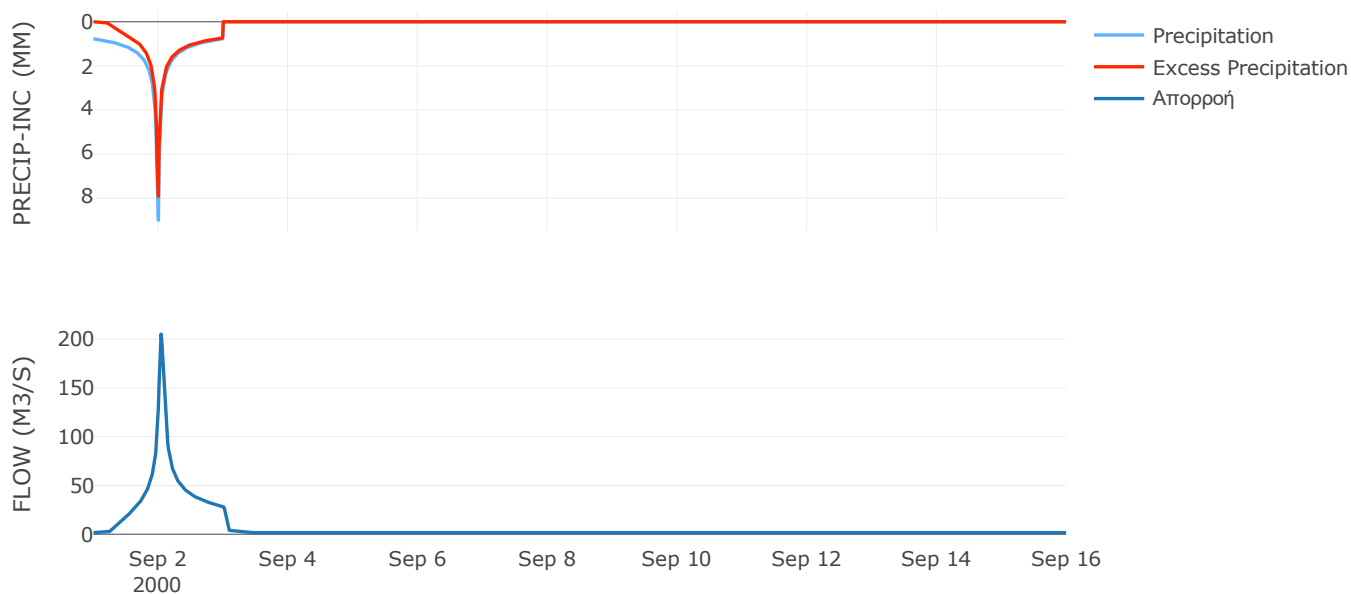
Μέθοδος Μετασχηματισμού: SCS

| | |
|------------------|-------|
| Χρόνος Υστέρησης | 56.02 |
|------------------|-------|

Αποτελέσματα:
EL0420FR4021

| | |
|-----------------------------|------------------|
| Παροχή αιχμής (M3/S) | 205.13 |
| Χρονική στιγμή αιχμής | 02Sep2000, 01:00 |
| Όγκος (MM) | 284.98 |
| Όγκος βροχόπτωσης (M3) | 9.41E6 |
| Όγκος απωλειών (M3) | 2.33E6 |
| Ενεργός Όγκος (M3) | 7.07E6 |
| Όγκος άμεσης απορροής (M3) | 7.07E6 |
| Όγκος βασικής απορροής (M3) | 2.08E6 |

Βροχόπτωση και Απορροή



Υπολεκάνη: EL0420FR4022

Έκταση (KM2) : 15.31

Κατάντη : J21

Μέθοδος Απωλειών: SCS

| | |
|--------------------------------|-------|
| Ποσοστό αδιαπέρατης επιφάνειας | 0 |
| Αριθμός Καμπύλης Απορροής-CN | 81.55 |
| Αρχικές Απώλειες | 11.49 |

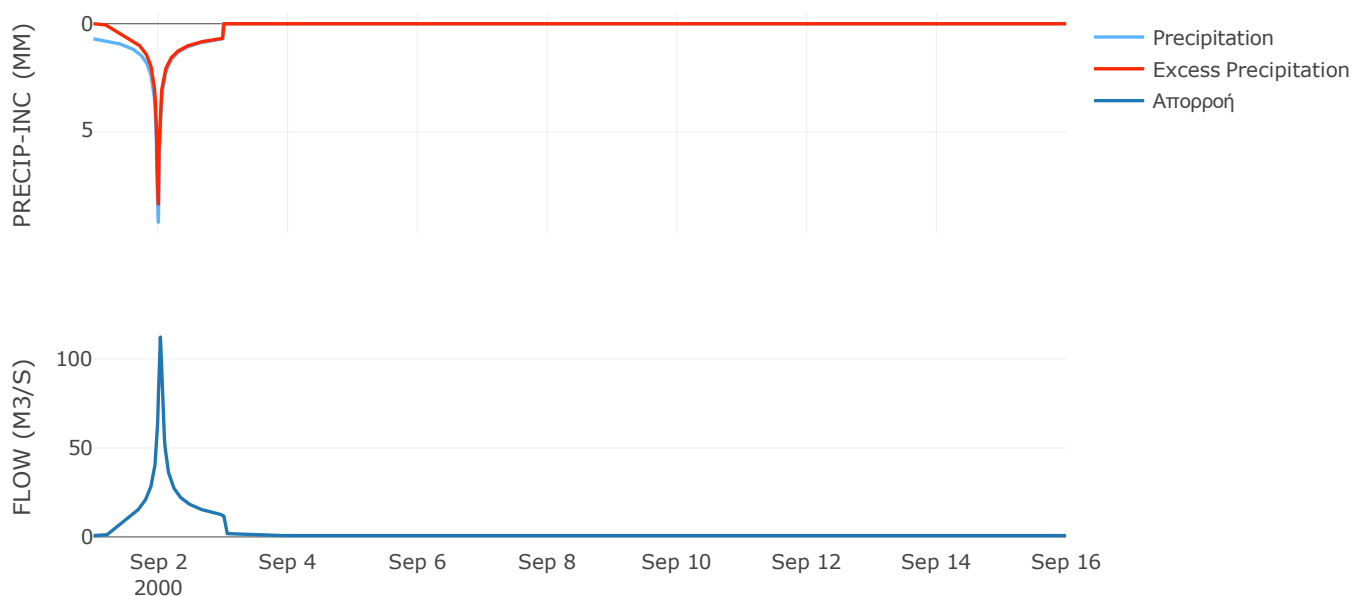
Μέθοδος Μετασχηματισμού: SCS

| | |
|------------------|-------|
| Χρόνος Υστέρησης | 37.15 |
|------------------|-------|

Αποτελέσματα:
EL0420FR4022

| | |
|-----------------------------|------------------|
| Παροχή αιχμής (M3/S) | 112.26 |
| Χρονική στιγμή αιχμής | 02Sep2000, 00:45 |
| Όγκος (MM) | 281.64 |
| Όγκος βροχόπτωσης (M3) | 4.22E6 |
| Όγκος απωλειών (M3) | 8.98E5 |
| Ενεργός Όγκος (M3) | 3.32E6 |
| Όγκος άμεσης απορροής (M3) | 3.32E6 |
| Όγκος βασικής απορροής (M3) | 9.92E5 |

Βροχόπτωση και Απορροή



Υπολεκάνη: EL0420FR4023

Έκταση (KM2) : 11.12

Κατάντη : J22

Μέθοδος Απωλειών: SCS

| | |
|--------------------------------|-------|
| Ποσοστό αδιαπέρατης επιφάνειας | 0 |
| Αριθμός Καμπύλης Απορροής-CN | 67.46 |
| Αρχικές Απώλειες | 24.5 |

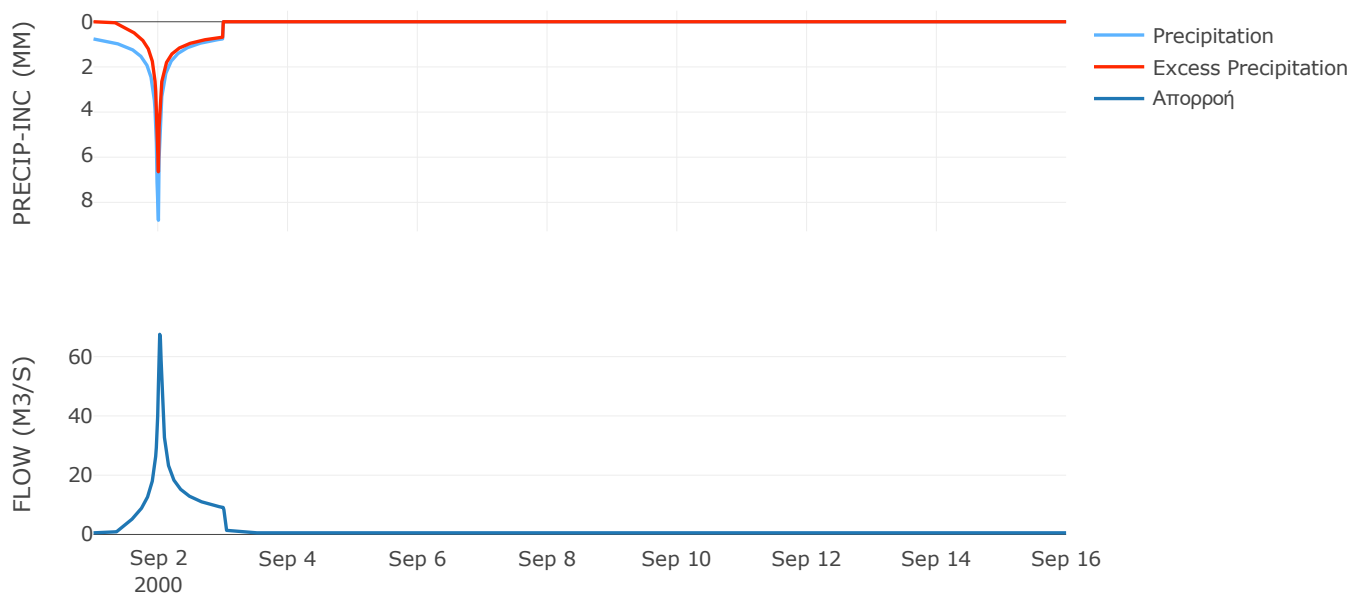
Μέθοδος Μετασχηματισμού: SCS

| | |
|------------------|-------|
| Χρόνος Υστέρησης | 30.65 |
|------------------|-------|

Αποτελέσματα:
EL0420FR4023

| | |
|-----------------------------|------------------|
| Παροχή αιχμής (M3/S) | 67.53 |
| Χρονική στιγμή αιχμής | 02Sep2000, 00:30 |
| Όγκος (MM) | 244.69 |
| Όγκος βροχόπτωσης (M3) | 3.2E6 |
| Όγκος απωλειών (M3) | 1.2E6 |
| Ενεργός Όγκος (M3) | 2E6 |
| Όγκος άμεσης απορροής (M3) | 2E6 |
| Όγκος βασικής απορροής (M3) | 7.2E5 |

Βροχόπτωση και Απορροή



Υπολεκάνη: EL0420FR4024

Έκταση (KM2) : 19.63

Κατάντη : J22

Μέθοδος Απωλειών: SCS

| | |
|--------------------------------|-------|
| Ποσοστό αδιαπέρατης επιφάνειας | 0 |
| Αριθμός Καμπύλης Απορροής-CN | 78.26 |
| Αρχικές Απώλειες | 14.11 |

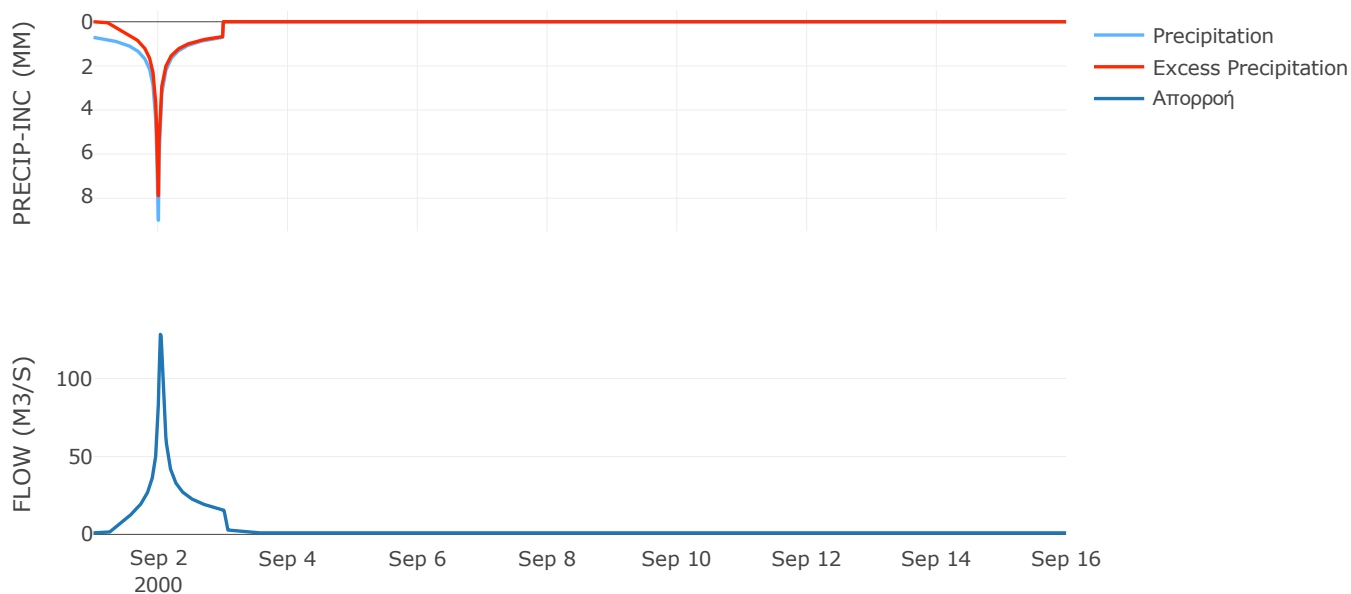
Μέθοδος Μετασχηματισμού: SCS

| | |
|------------------|-------|
| Χρόνος Υστέρησης | 47.79 |
|------------------|-------|

Αποτελέσματα:
EL0420FR4024

| | |
|-----------------------------|------------------|
| Παροχή αιχμής (M3/S) | 128.36 |
| Χρονική στιγμή αιχμής | 02Sep2000, 00:45 |
| Όγκος (MM) | 271.64 |
| Όγκος βροχόπτωσης (M3) | 5.43E6 |
| Όγκος απωλειών (M3) | 1.37E6 |
| Ενεργός Όγκος (M3) | 4.06E6 |
| Όγκος άμεσης απορροής (M3) | 4.06E6 |
| Όγκος βασικής απορροής (M3) | 1.27E6 |

Βροχόπτωση και Απορροή



Υπολεκάνη: EL0420FR4025

Έκταση (KM2) : 67.33

Κατάντη : J16

Μέθοδος Απωλειών: SCS

| | |
|--------------------------------|-------|
| Ποσοστό αδιαπέρατης επιφάνειας | 0 |
| Αριθμός Καμπύλης Απορροής-CN | 79.77 |
| Αρχικές Απώλειες | 12.88 |

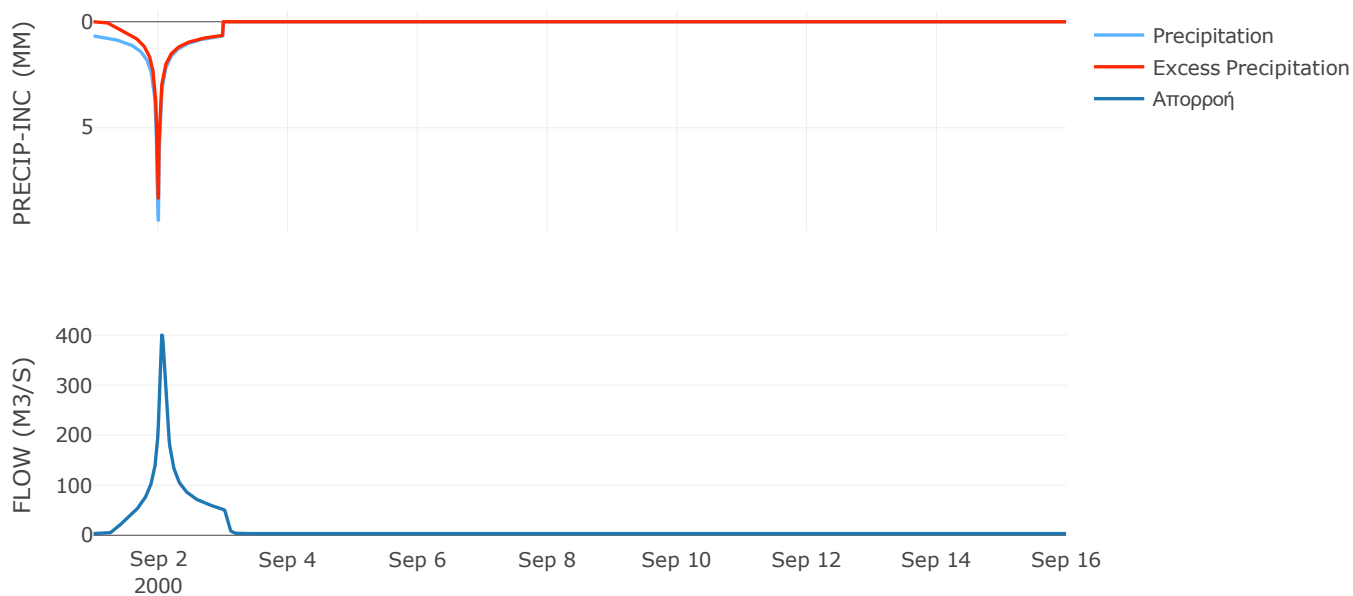
Μέθοδος Μετασχηματισμού: SCS

| | |
|------------------|-------|
| Χρόνος Υστέρησης | 77.24 |
|------------------|-------|

Αποτελέσματα:
EL0420FR4025

| | |
|-----------------------------|------------------|
| Παροχή αιχμής (M3/S) | 400.03 |
| Χρονική στιγμή αιχμής | 02Sep2000, 01:15 |
| Όγκος (MM) | 271.08 |
| Όγκος βροχόπτωσης (M3) | 1.82E7 |
| Όγκος απωλειών (M3) | 4.34E6 |
| Ενεργός Όγκος (M3) | 1.39E7 |
| Όγκος άμεσης απορροής (M3) | 1.39E7 |
| Όγκος βασικής απορροής (M3) | 4.36E6 |

Βροχόπτωση και Απορροή



Υπολεκάνη: EL0420FR4026

Έκταση (KM2) : 8.76

Κατάντη : J15

Μέθοδος Απωλειών: SCS

| | |
|--------------------------------|-------|
| Ποσοστό αδιαπέρατης επιφάνειας | 0 |
| Αριθμός Καμπύλης Απορροής-CN | 61.78 |
| Αρχικές Απώλειες | 31.43 |

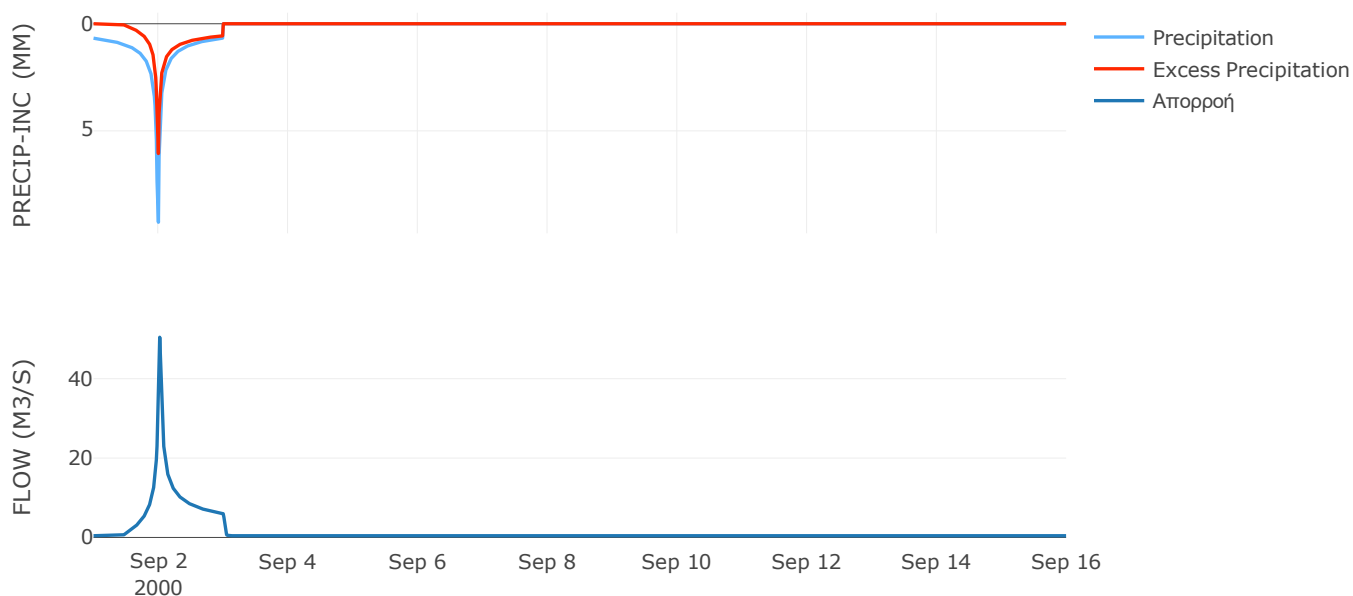
Μέθοδος Μετασχηματισμού: SCS

| | |
|------------------|-------|
| Χρόνος Υστέρησης | 23.92 |
|------------------|-------|

Αποτελέσματα:
EL0420FR4026

| | |
|-----------------------------|------------------|
| Παροχή αιχμής (M3/S) | 50.45 |
| Χρονική στιγμή αιχμής | 02Sep2000, 00:30 |
| Όγκος (MM) | 208.83 |
| Όγκος βροχόπτωσης (M3) | 2.37E6 |
| Όγκος απωλειών (M3) | 1.11E6 |
| Ενεργός Όγκος (M3) | 1.26E6 |
| Όγκος άμεσης απορροής (M3) | 1.26E6 |
| Όγκος βασικής απορροής (M3) | 5.67E5 |

Βροχόπτωση και Απορροή



Υπολεκάνη: EL0420FR4027

Έκταση (KM2) : 13.94

Κατάντη : J29

Μέθοδος Απωλειών: SCS

| | |
|--------------------------------|-------|
| Ποσοστό αδιαπέρατης επιφάνειας | 0 |
| Αριθμός Καμπύλης Απορροής-CN | 67.22 |
| Αρχικές Απώλειες | 24.77 |

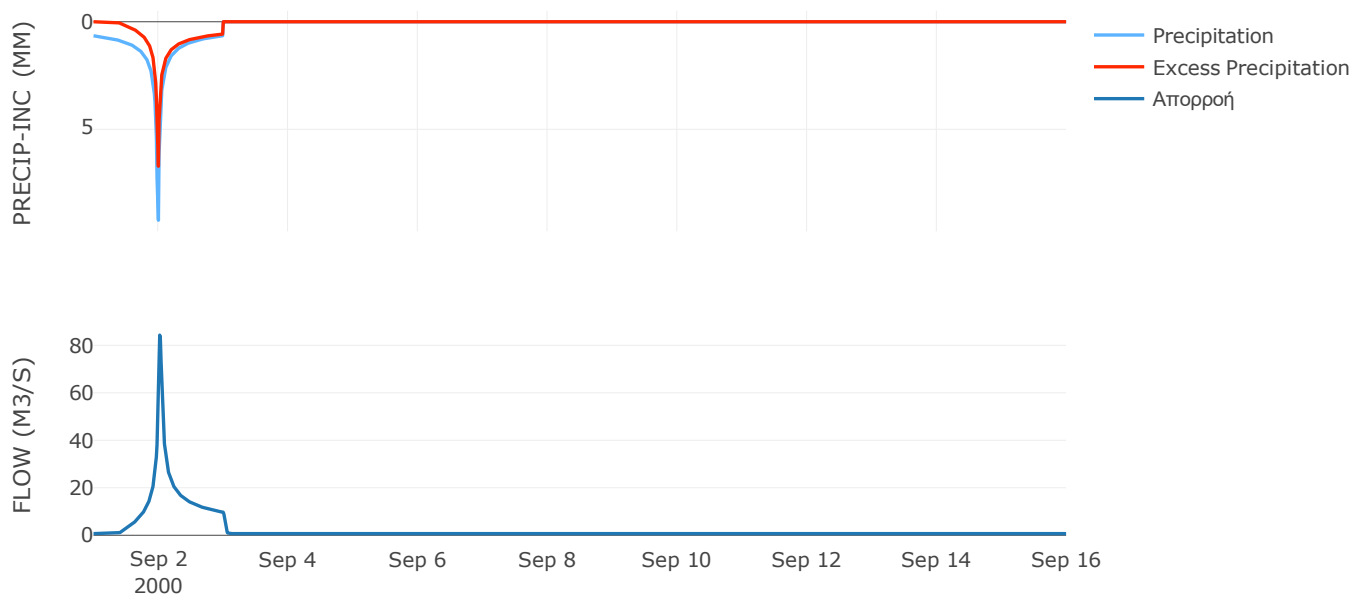
Μέθοδος Μετασχηματισμού: SCS

| | |
|------------------|-------|
| Χρόνος Υστέρησης | 31.21 |
|------------------|-------|

Αποτελέσματα:
EL0420FR4027

| | |
|-----------------------------|------------------|
| Παροχή αιχμής (M3/S) | 84.29 |
| Χρονική στιγμή αιχμής | 02Sep2000, 00:30 |
| Όγκος (MM) | 222.63 |
| Όγκος βροχόπτωσης (M3) | 3.68E6 |
| Όγκος απωλειών (M3) | 1.48E6 |
| Ενεργός Όγκος (M3) | 2.2E6 |
| Όγκος άμεσης απορροής (M3) | 2.2E6 |
| Όγκος βασικής απορροής (M3) | 9.03E5 |

Βροχόπτωση και Απορροή



Υπολεκάνη: EL0420FR4028

Έκταση (KM2) : 17.93

Κατάντη : J29

Μέθοδος Απωλειών: SCS

| | |
|--------------------------------|-------|
| Ποσοστό αδιαπέρατης επιφάνειας | 0 |
| Αριθμός Καμπύλης Απορροής-CN | 78.88 |
| Αρχικές Απώλειες | 13.6 |

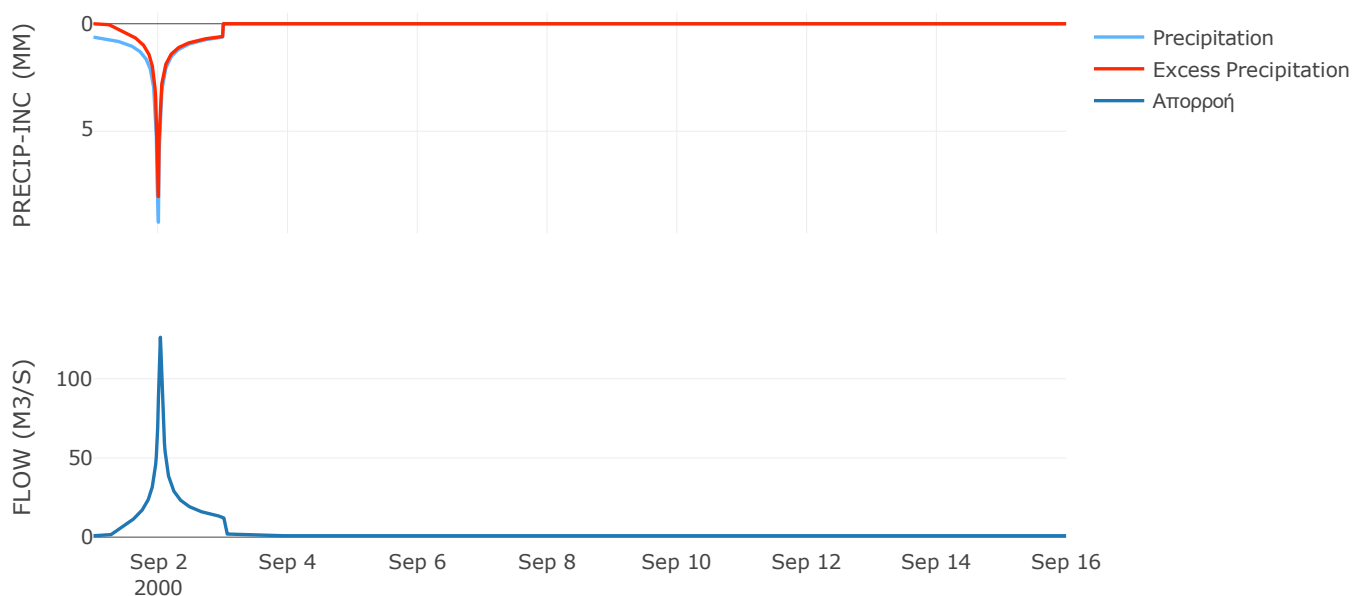
Μέθοδος Μετασχηματισμού: SCS

| | |
|------------------|-------|
| Χρόνος Υστέρησης | 36.54 |
|------------------|-------|

Αποτελέσματα:
EL0420FR4028

| | |
|-----------------------------|------------------|
| Παροχή αιχμής (M3/S) | 126.21 |
| Χρονική στιγμή αιχμής | 02Sep2000, 00:45 |
| Όγκος (MM) | 254.83 |
| Όγκος βροχόπτωσης (M3) | 4.6E6 |
| Όγκος απωλειών (M3) | 1.2E6 |
| Ενεργός Όγκος (M3) | 3.41E6 |
| Όγκος άμεσης απορροής (M3) | 3.41E6 |
| Όγκος βασικής απορροής (M3) | 1.16E6 |

Βροχόπτωση και Απορροή



Υπολεκάνη: EL0420FR4029

Έκταση (KM2) : 31.51

Κατάντη : J28

Μέθοδος Απωλειών: SCS

| | |
|--------------------------------|-------|
| Ποσοστό αδιαπέρατης επιφάνειας | 0 |
| Αριθμός Καμπύλης Απορροής-CN | 55.43 |
| Αρχικές Απώλειες | 40.85 |

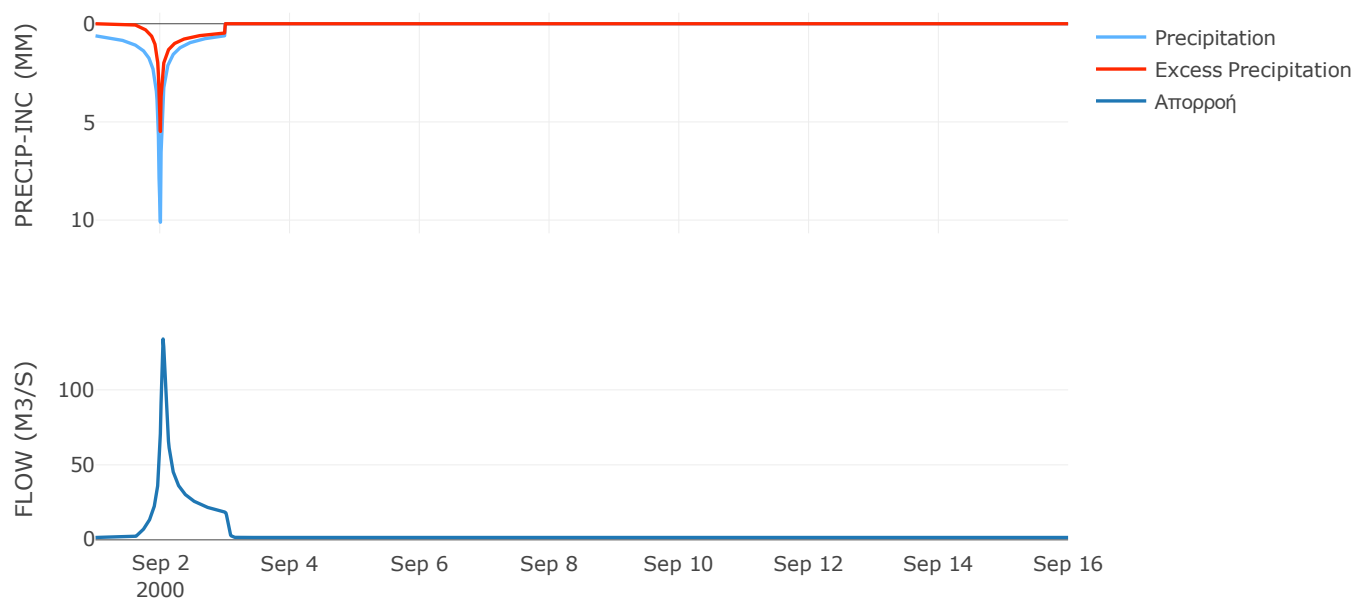
Μέθοδος Μετασχηματισμού: SCS

| | |
|------------------|-------|
| Χρόνος Υστέρησης | 51.37 |
|------------------|-------|

Αποτελέσματα:
EL0420FR4029

| | |
|-----------------------------|------------------|
| Παροχή αιχμής (M3/S) | 133.94 |
| Χρονική στιγμή αιχμής | 02Sep2000, 01:00 |
| Όγκος (MM) | 180.84 |
| Όγκος βροχόπτωσης (M3) | 8.3E6 |
| Όγκος απωλειών (M3) | 4.64E6 |
| Ενεργός Όγκος (M3) | 3.66E6 |
| Όγκος άμεσης απορροής (M3) | 3.66E6 |
| Όγκος βασικής απορροής (M3) | 2.04E6 |

Βροχόπτωση και Απορροή



Υπολεκάνη: EL0420FR4030

Έκταση (KM2) : 11.42

Κατάντη : J28

Μέθοδος Απωλειών: SCS

| | |
|--------------------------------|-------|
| Ποσοστό αδιαπέρατης επιφάνειας | 0 |
| Αριθμός Καμπύλης Απορροής-CN | 62.16 |
| Αρχικές Απώλειες | 30.92 |

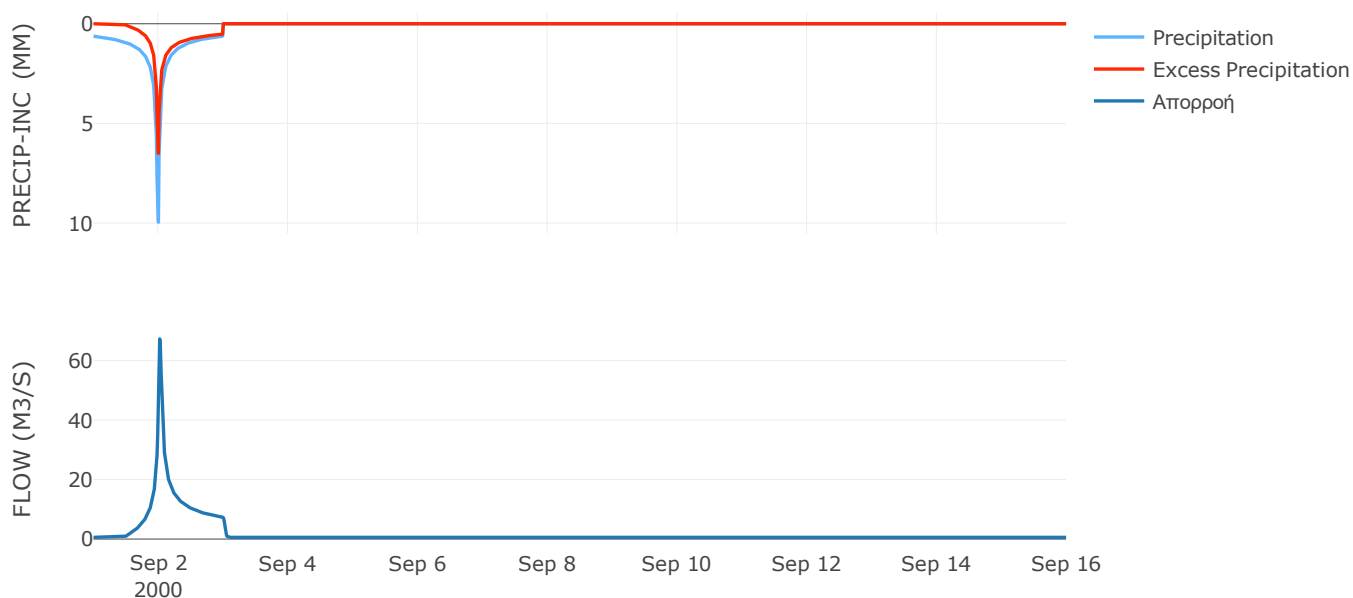
Μέθοδος Μετασχηματισμού: SCS

| | |
|------------------|-------|
| Χρόνος Υστέρησης | 29.38 |
|------------------|-------|

Αποτελέσματα:
EL0420FR4030

| | |
|-----------------------------|------------------|
| Παροχή αιχμής (M3/S) | 67.31 |
| Χρονική στιγμή αιχμής | 02Sep2000, 00:30 |
| Όγκος (MM) | 204.99 |
| Όγκος βροχόπτωσης (M3) | 3.02E6 |
| Όγκος απωλειών (M3) | 1.41E6 |
| Ενεργός Όγκος (M3) | 1.6E6 |
| Όγκος άμεσης απορροής (M3) | 1.6E6 |
| Όγκος βασικής απορροής (M3) | 7.4E5 |

Βροχόπτωση και Απορροή



Υπολεκάνη: EL0420FR4031

Έκταση (KM2) : 2.28

Κατάντη : J27

Μέθοδος Απωλειών: SCS

| | |
|--------------------------------|-------|
| Ποσοστό αδιαπέρατης επιφάνειας | 0 |
| Αριθμός Καμπύλης Απορροής-CN | 69.51 |
| Αρχικές Απώλειες | 22.28 |

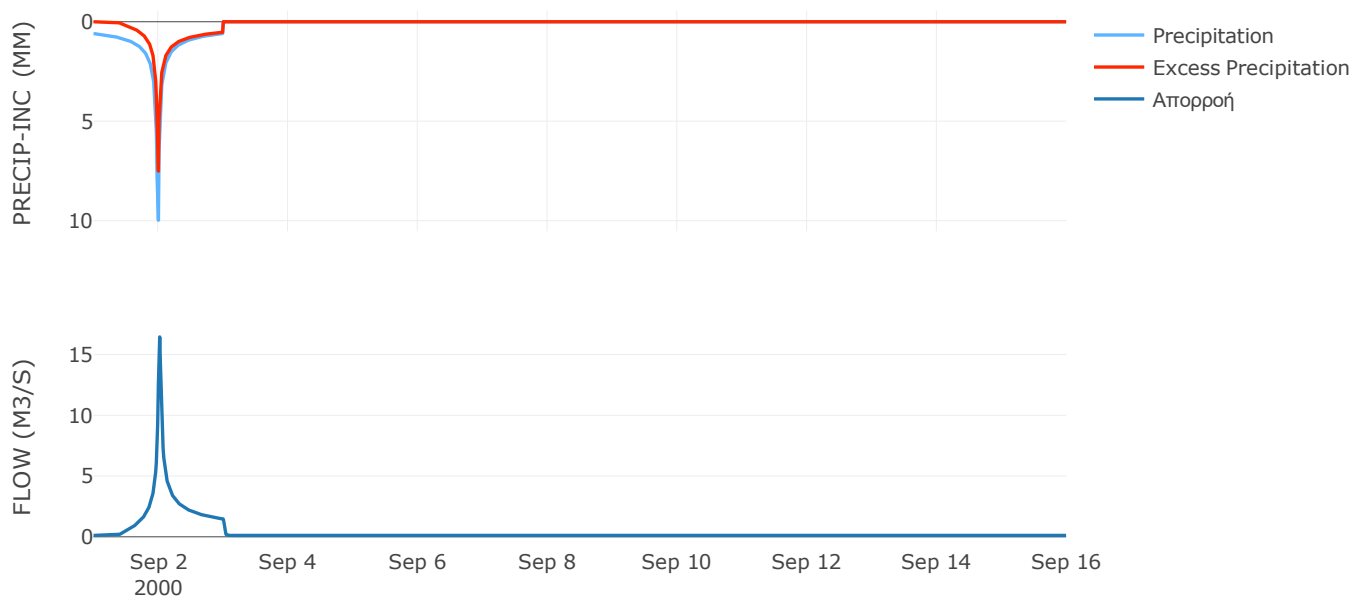
Μέθοδος Μετασχηματισμού: SCS

| | |
|------------------|-------|
| Χρόνος Υστέρησης | 22.09 |
|------------------|-------|

Αποτελέσματα:
EL0420FR4031

| | |
|-----------------------------|------------------|
| Παροχή αιχμής (M3/S) | 16.45 |
| Χρονική στιγμή αιχμής | 02Sep2000, 00:30 |
| Όγκος (MM) | 223 |
| Όγκος βροχόπτωσης (M3) | 5.84E5 |
| Όγκος απωλειών (M3) | 2.23E5 |
| Ενεργός Όγκος (M3) | 3.61E5 |
| Όγκος άμεσης απορροής (M3) | 3.61E5 |
| Όγκος βασικής απορροής (M3) | 1.48E5 |

Βροχόπτωση και Απορροή



Υπολεκάνη: EL0420FR4032

Έκταση (KM2) : 20.34

Κατάντη : J27

Μέθοδος Απωλειών: SCS

| | |
|--------------------------------|-------|
| Ποσοστό αδιαπέρατης επιφάνειας | 0 |
| Αριθμός Καμπύλης Απορροής-CN | 60.47 |
| Αρχικές Απώλειες | 33.21 |

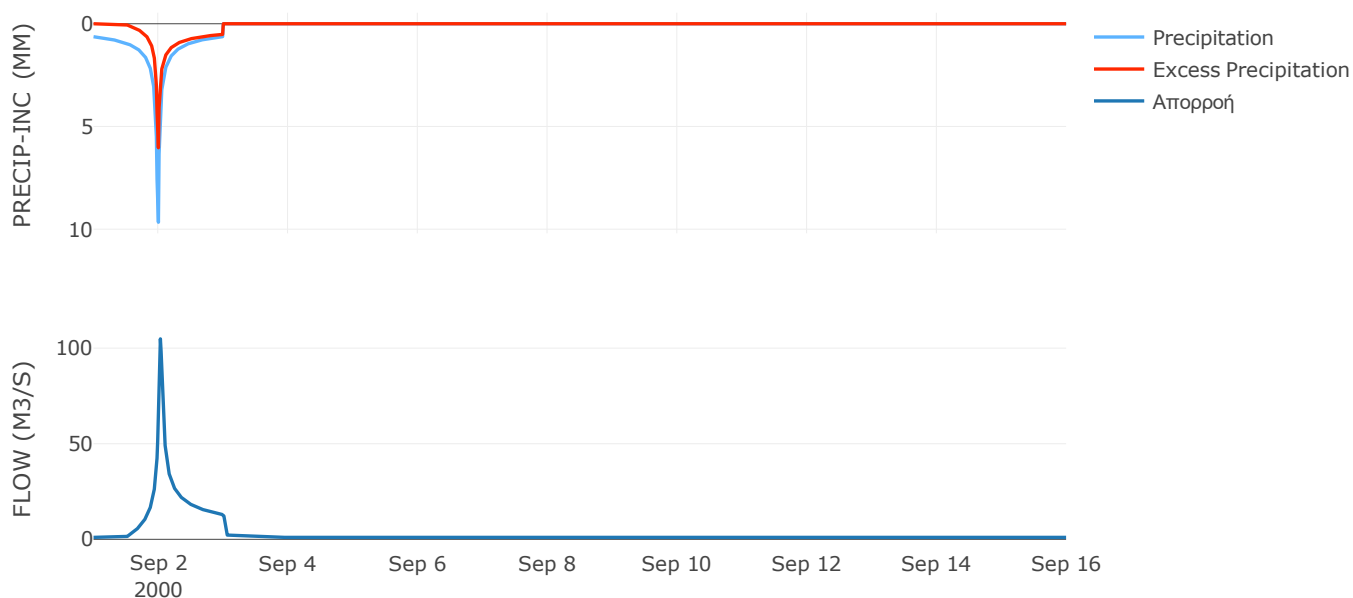
Μέθοδος Μετασχηματισμού: SCS

| | |
|------------------|-------|
| Χρόνος Υστέρησης | 37.97 |
|------------------|-------|

Αποτελέσματα:
EL0420FR4032

| | |
|-----------------------------|------------------|
| Παροχή αιχμής (M3/S) | 104.85 |
| Χρονική στιγμή αιχμής | 02Sep2000, 00:45 |
| Όγκος (MM) | 198.28 |
| Όγκος βροχόπτωσης (M3) | 5.35E6 |
| Όγκος απωλειών (M3) | 2.64E6 |
| Ενεργός Όγκος (M3) | 2.72E6 |
| Όγκος άμεσης απορροής (M3) | 2.72E6 |
| Όγκος βασικής απορροής (M3) | 1.32E6 |

Βροχόπτωση και Απορροή



Υπολεκάνη: EL0420FR4033

Έκταση (KM2) : 42.85

Κατάντη : J8

Μέθοδος Απωλειών: SCS

| | |
|--------------------------------|-------|
| Ποσοστό αδιαπέρατης επιφάνειας | 0 |
| Αριθμός Καμπύλης Απορροής-CN | 60.83 |
| Αρχικές Απώλειες | 32.71 |

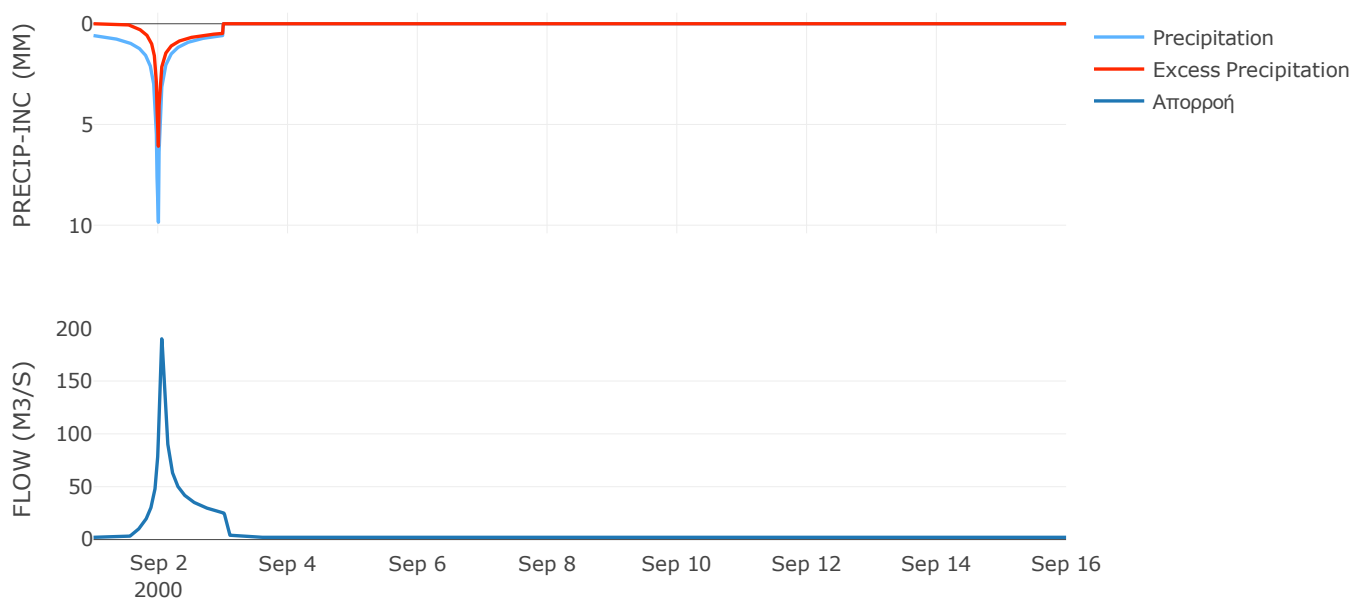
Μέθοδος Μετασχηματισμού: SCS

| | |
|------------------|-------|
| Χρόνος Υστέρησης | 62.68 |
|------------------|-------|

Αποτελέσματα:
EL0420FR4033

| | |
|-----------------------------|------------------|
| Παροχή αιχμής (M3/S) | 189.92 |
| Χρονική στιγμή αιχμής | 02Sep2000, 01:15 |
| Όγκος (MM) | 191.41 |
| Όγκος βροχόπτωσης (M3) | 1.08E7 |
| Όγκος απωλειών (M3) | 5.42E6 |
| Ενεργός Όγκος (M3) | 5.42E6 |
| Όγκος άμεσης απορροής (M3) | 5.42E6 |
| Όγκος βασικής απορροής (M3) | 2.78E6 |

Βροχόπτωση και Απορροή



Υπολεκάνη: EL0420FR4034

Έκταση (KM2) : 46.4

Κατάντη : J6

Μέθοδος Απωλειών: SCS

| | |
|--------------------------------|-------|
| Ποσοστό αδιαπέρατης επιφάνειας | 0 |
| Αριθμός Καμπύλης Απορροής-CN | 58.95 |
| Αρχικές Απώλειες | 35.37 |

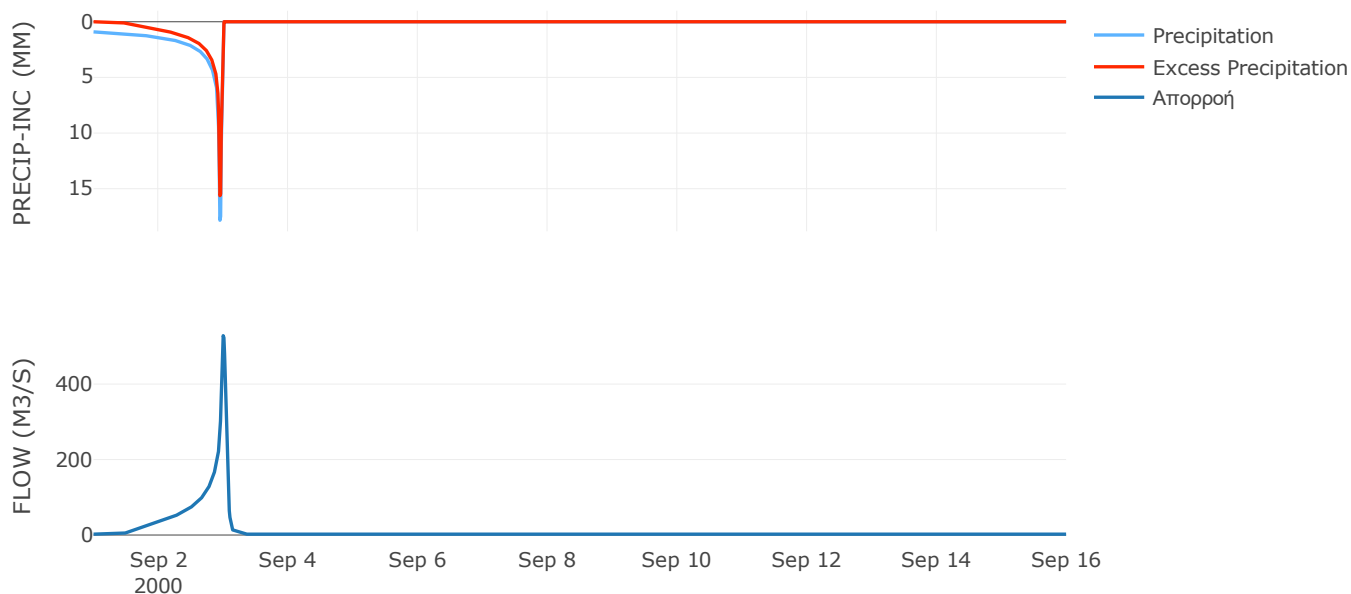
Μέθοδος Μετασχηματισμού: SCS

| | |
|------------------|-------|
| Χρόνος Υστέρησης | 64.83 |
|------------------|-------|

Αποτελέσματα:
EL0420FR4034

| | |
|-----------------------------|------------------|
| Παροχή αιχμής (M3/S) | 528.27 |
| Χρονική στιγμή αιχμής | 02Sep2000, 24:00 |
| Όγκος (MM) | 322.53 |
| Όγκος βροχόπτωσης (M3) | 1.92E7 |
| Όγκος απωλειών (M3) | 7.23E6 |
| Ενεργός Όγκος (M3) | 1.2E7 |
| Όγκος άμεσης απορροής (M3) | 1.2E7 |
| Όγκος βασικής απορροής (M3) | 3.01E6 |

Βροχόπτωση και Απορροή



Υπολεκάνη: EL0420FR4035

Έκταση (KM2) : 12.2

Κατάντη : J19

Μέθοδος Απωλειών: SCS

| | |
|--------------------------------|-------|
| Ποσοστό αδιαπέρατης επιφάνειας | 0 |
| Αριθμός Καμπύλης Απορροής-CN | 81.66 |
| Αρχικές Απώλειες | 11.41 |

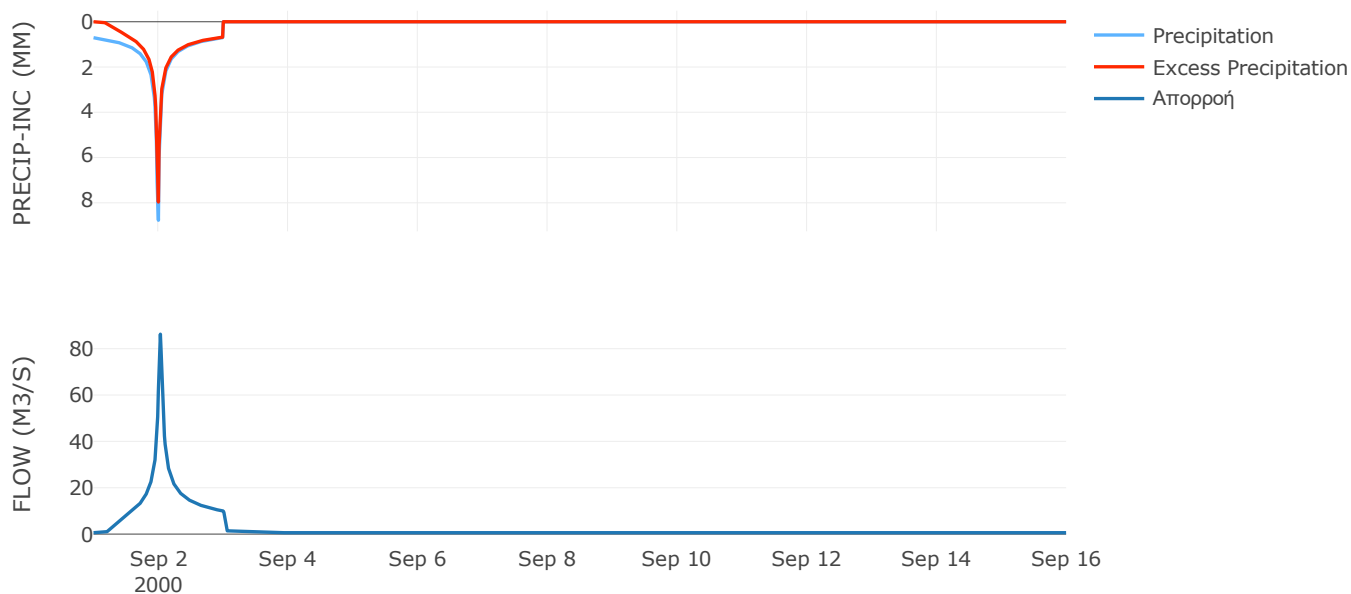
Μέθοδος Μετασχηματισμού: SCS

| | |
|------------------|------|
| Χρόνος Υστέρησης | 36.1 |
|------------------|------|

Αποτελέσματα:
EL0420FR4035

| | |
|-----------------------------|------------------|
| Παροχή αιχμής (M3/S) | 86.25 |
| Χρονική στιγμή αιχμής | 02Sep2000, 00:45 |
| Όγκος (MM) | 279.71 |
| Όγκος βροχόπτωσης (M3) | 3.33E6 |
| Όγκος απωλειών (M3) | 7.11E5 |
| Ενεργός Όγκος (M3) | 2.62E6 |
| Όγκος άμεσης απορροής (M3) | 2.62E6 |
| Όγκος βασικής απορροής (M3) | 7.91E5 |

Βροχόπτωση και Απορροή



Υπολεκάνη: EL0420FR4036

Έκταση (KM2) : 17.89

Κατάντη : J18

Μέθοδος Απωλειών: SCS

| | |
|--------------------------------|-------|
| Ποσοστό αδιαπέρατης επιφάνειας | 0 |
| Αριθμός Καμπύλης Απορροής-CN | 81.52 |
| Αρχικές Απώλειες | 11.52 |

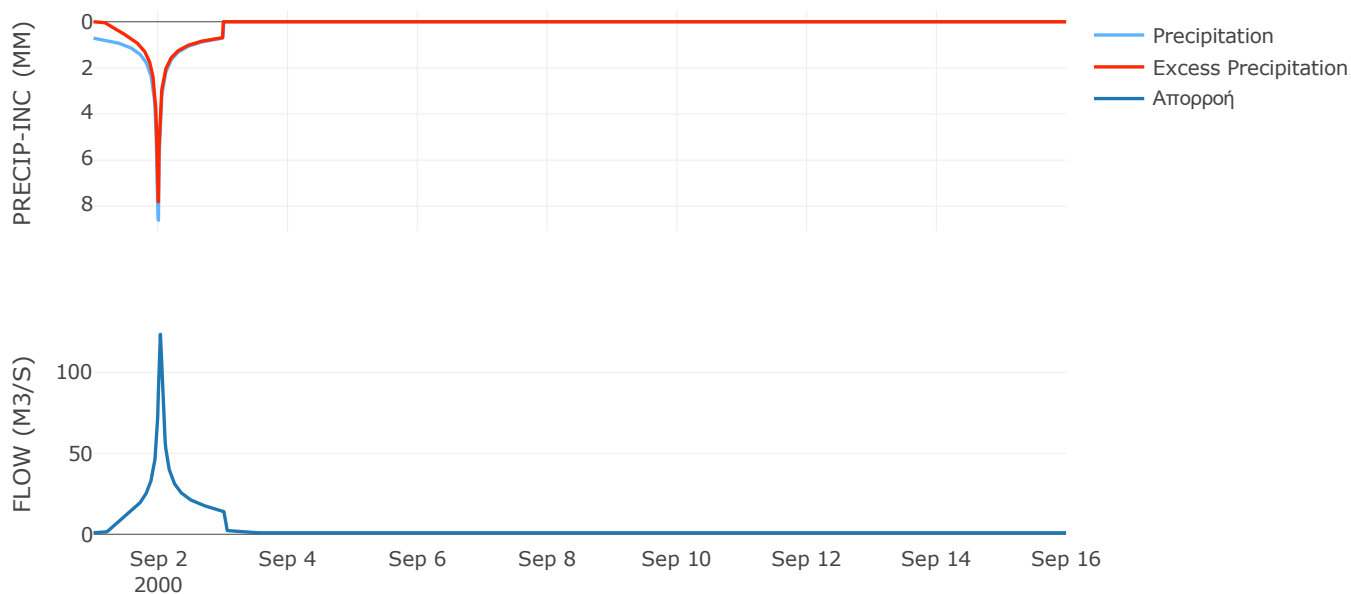
Μέθοδος Μετασχηματισμού: SCS

| | |
|------------------|-------|
| Χρόνος Υστέρησης | 37.63 |
|------------------|-------|

Αποτελέσματα:
EL0420FR4036

| | |
|-----------------------------|------------------|
| Παροχή αιχμής (M3/S) | 123.45 |
| Χρονική στιγμή αιχμής | 02Sep2000, 00:45 |
| Όγκος (MM) | 279.74 |
| Όγκος βροχόπτωσης (M3) | 4.89E6 |
| Όγκος απωλειών (M3) | 1.05E6 |
| Ενεργός Όγκος (M3) | 3.84E6 |
| Όγκος άμεσης απορροής (M3) | 3.84E6 |
| Όγκος βασικής απορροής (M3) | 1.16E6 |

Βροχόπτωση και Απορροή



Υπολεκάνη: EL0420FR4037

Έκταση (KM2) : 37.96

Κατάνη : J17

Μέθοδος Απωλειών: SCS

| | |
|--------------------------------|-------|
| Ποσοστό αδιαπέρατης επιφάνειας | 0 |
| Αριθμός Καμπύλης Απορροής-CN | 80.64 |
| Αρχικές Απώλειες | 12.2 |

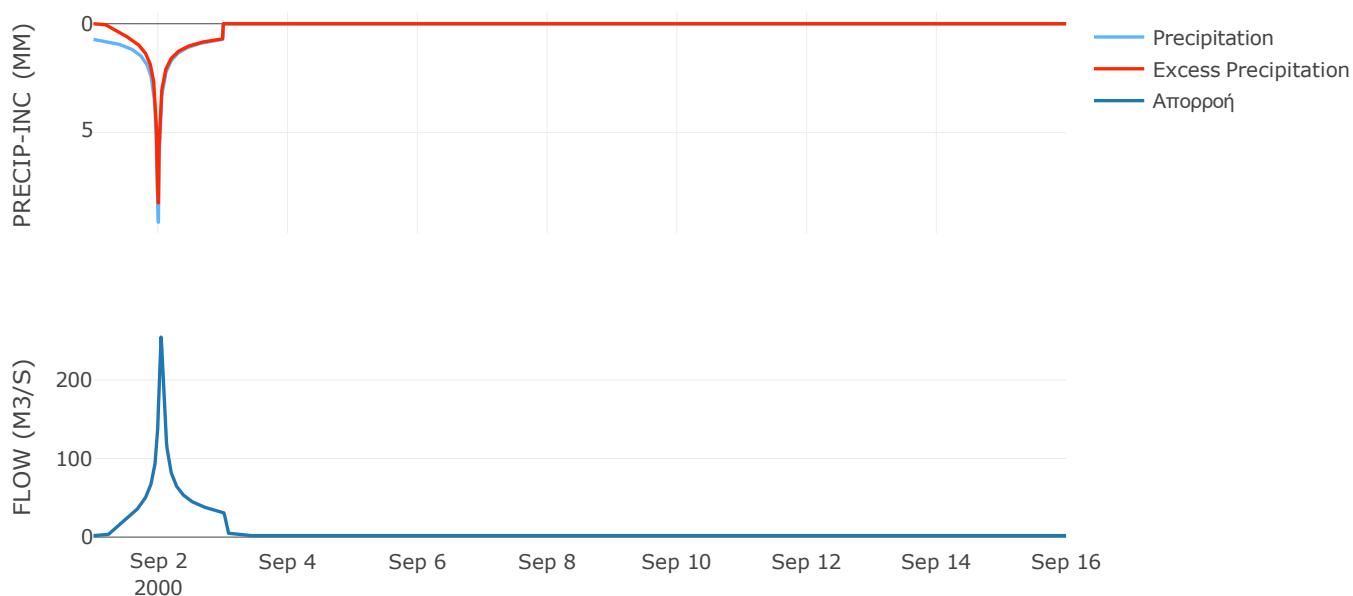
Μέθοδος Μετασχηματισμού: SCS

| | |
|------------------|-------|
| Χρόνος Υστέρησης | 51.91 |
|------------------|-------|

Αποτελέσματα:
EL0420FR4037

| | |
|-----------------------------|------------------|
| Παροχή αιχμής (M3/S) | 254.6 |
| Χρονική στιγμή αιχμής | 02Sep2000, 01:00 |
| Όγκος (MM) | 283.37 |
| Όγκος βροχόπτωσης (M3) | 1.06E7 |
| Όγκος απωλειών (M3) | 2.35E6 |
| Ενεργός Όγκος (M3) | 8.3E6 |
| Όγκος άμεσης απορροής (M3) | 8.3E6 |
| Όγκος βασικής απορροής (M3) | 2.46E6 |

Βροχόπτωση και Απορροή



Υπολεκάνη: EL0420FR4038

Έκταση (KM2) : 11.75

Κατάντη : J15

Μέθοδος Απωλειών: SCS

| | |
|--------------------------------|-------|
| Ποσοστό αδιαπέρατης επιφάνειας | 0 |
| Αριθμός Καμπύλης Απορροής-CN | 68.37 |
| Αρχικές Απώλειες | 23.5 |

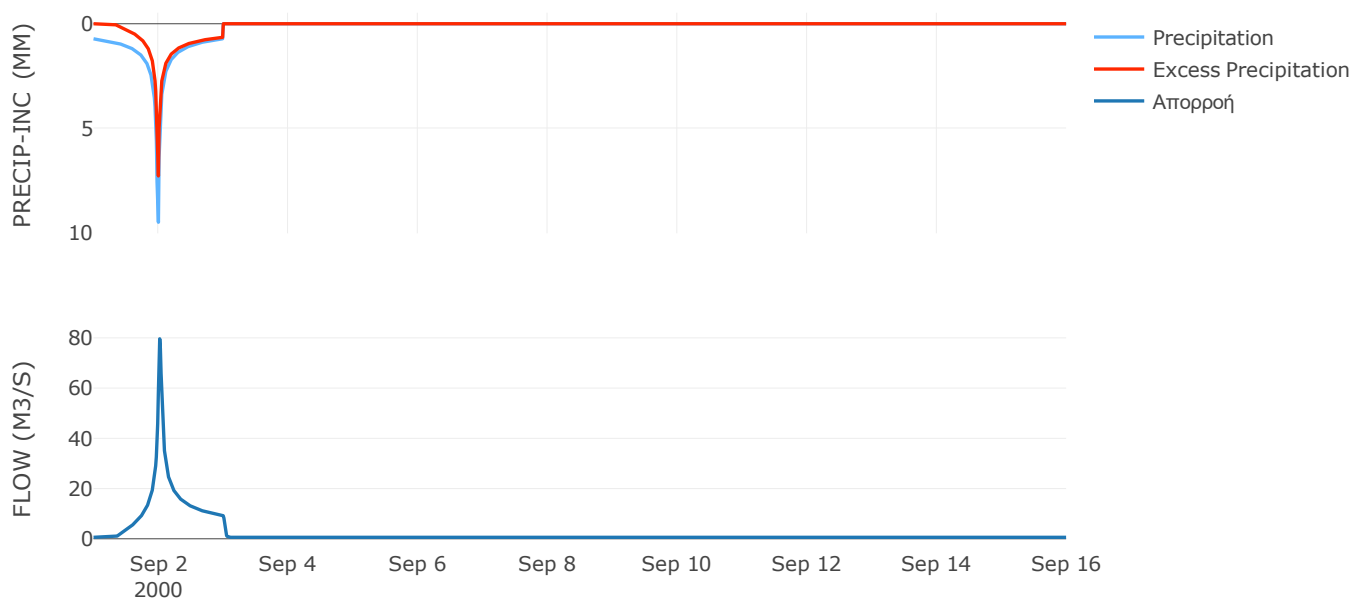
Μέθοδος Μετασχηματισμού: SCS

| | |
|------------------|-------|
| Χρόνος Υστέρησης | 28.55 |
|------------------|-------|

Αποτελέσματα:
EL0420FR4038

| | |
|-----------------------------|------------------|
| Παροχή αιχμής (M3/S) | 79.62 |
| Χρονική στιγμή αιχμής | 02Sep2000, 00:30 |
| Όγκος (MM) | 245.83 |
| Όγκος βροχόπτωσης (M3) | 3.36E6 |
| Όγκος απωλειών (M3) | 1.23E6 |
| Ενεργός Όγκος (M3) | 2.13E6 |
| Όγκος άμεσης απορροής (M3) | 2.13E6 |
| Όγκος βασικής απορροής (M3) | 7.62E5 |

Βροχόπτωση και Απορροή



Υπολεκάνη: EL0420FR4039

Έκταση (KM2) : 21.53

Κατάντη : J23

Μέθοδος Απωλειών: SCS

| | |
|--------------------------------|-------|
| Ποσοστό αδιαπέρατης επιφάνειας | 0 |
| Αριθμός Καμπύλης Απορροής-CN | 72.21 |
| Αρχικές Απώλειες | 19.55 |

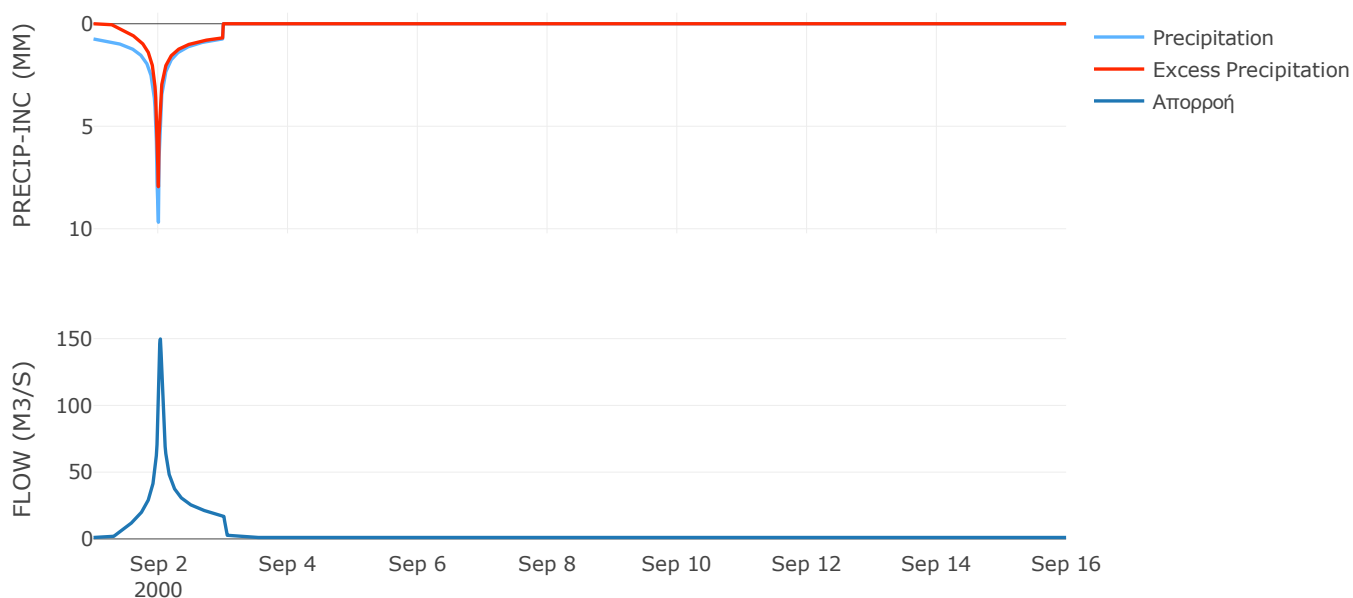
Μέθοδος Μετασχηματισμού: SCS

| | |
|------------------|-------|
| Χρόνος Υστέρησης | 37.68 |
|------------------|-------|

Αποτελέσματα:
EL0420FR4039

| | |
|-----------------------------|------------------|
| Παροχή αιχμής (M3/S) | 149.75 |
| Χρονική στιγμή αιχμής | 02Sep2000, 00:45 |
| Όγκος (MM) | 265.86 |
| Όγκος βροχόπτωσης (M3) | 6.3E6 |
| Όγκος απωλειών (M3) | 1.97E6 |
| Ενεργός Όγκος (M3) | 4.33E6 |
| Όγκος άμεσης απορροής (M3) | 4.33E6 |
| Όγκος βασικής απορροής (M3) | 1.4E6 |

Βροχόπτωση και Απορροή



Υπολεκάνη: EL0420FR4040

Έκταση (KM2) : 34.79

Κατάντη : J12

Μέθοδος Απωλειών: SCS

| | |
|--------------------------------|-------|
| Ποσοστό αδιαπέρατης επιφάνειας | 0 |
| Αριθμός Καμπύλης Απορροής-CN | 59.29 |
| Αρχικές Απώλειες | 34.88 |

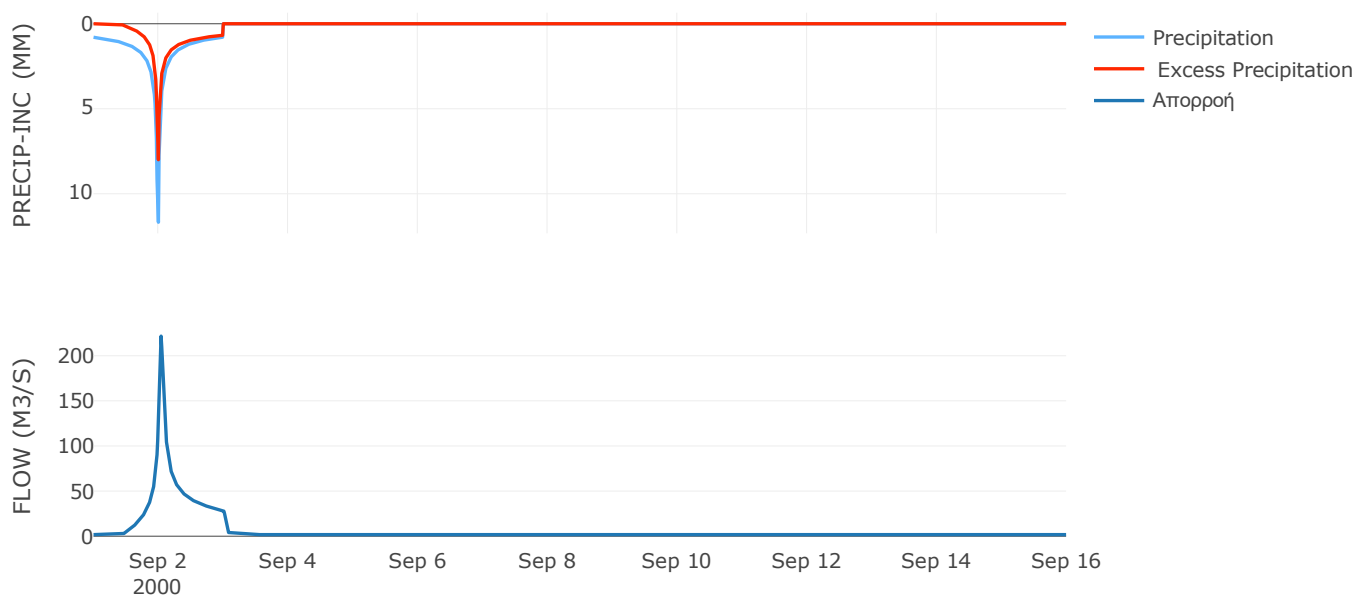
Μέθοδος Μετασχηματισμού: SCS

| | |
|------------------|-------|
| Χρόνος Υστέρησης | 49.83 |
|------------------|-------|

Αποτελέσματα:
EL0420FR4040

| | |
|-----------------------------|------------------|
| Παροχή αιχμής (M3/S) | 221.73 |
| Χρονική στιγμή αιχμής | 02Sep2000, 01:00 |
| Όγκος (MM) | 247.15 |
| Όγκος βροχόπτωσης (M3) | 1.14E7 |
| Όγκος απωλειών (M3) | 5.01E6 |
| Ενεργός Όγκος (M3) | 6.34E6 |
| Όγκος άμεσης απορροής (M3) | 6.34E6 |
| Όγκος βασικής απορροής (M3) | 2.25E6 |

Βροχόπτωση και Απορροή



Υπολεκάνη: EL0420FR4041

Έκταση (KM2) : 17.22

Κατάντη : J25

Μέθοδος Απωλειών: SCS

| | |
|--------------------------------|-------|
| Ποσοστό αδιαπέρατης επιφάνειας | 0 |
| Αριθμός Καμπύλης Απορροής-CN | 51.86 |
| Αρχικές Απώλειες | 47.15 |

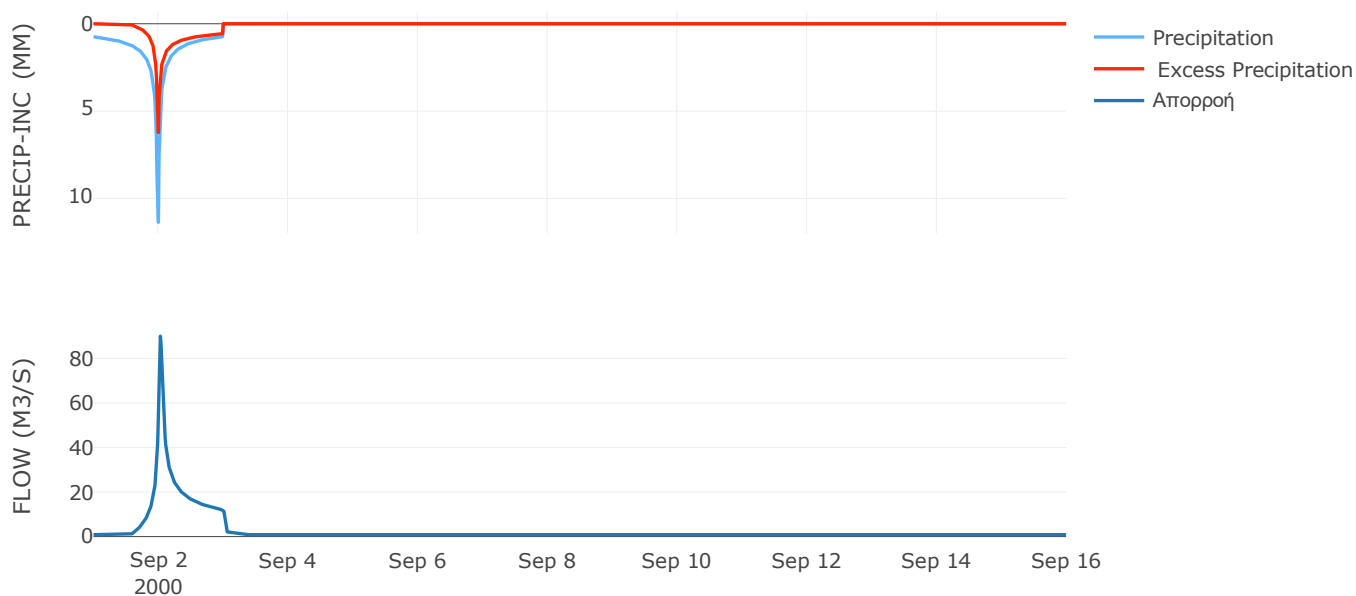
Μέθοδος Μετασχηματισμού: SCS

| | |
|------------------|-------|
| Χρόνος Υστέρησης | 39.48 |
|------------------|-------|

Αποτελέσματα:
EL0420FR4041

| | |
|-----------------------------|------------------|
| Παροχή αιχμής (M3/S) | 90.02 |
| Χρονική στιγμή αιχμής | 02Sep2000, 00:45 |
| Όγκος (MM) | 202.53 |
| Όγκος βροχόπτωσης (M3) | 5.32E6 |
| Όγκος απωλειών (M3) | 2.95E6 |
| Ενεργός Όγκος (M3) | 2.37E6 |
| Όγκος άμεσης απορροής (M3) | 2.37E6 |
| Όγκος βασικής απορροής (M3) | 1.12E6 |

Βροχόπτωση και Απορροή



Υπολεκάνη: EL0420FR4042

Έκταση (KM2) : 21.68

Κατάντη : J25

Μέθοδος Απωλειών: SCS

| | |
|--------------------------------|-------|
| Ποσοστό αδιαπέρατης επιφάνειας | 0 |
| Αριθμός Καμπύλης Απορροής-CN | 50.78 |
| Αρχικές Απώλειες | 49.23 |

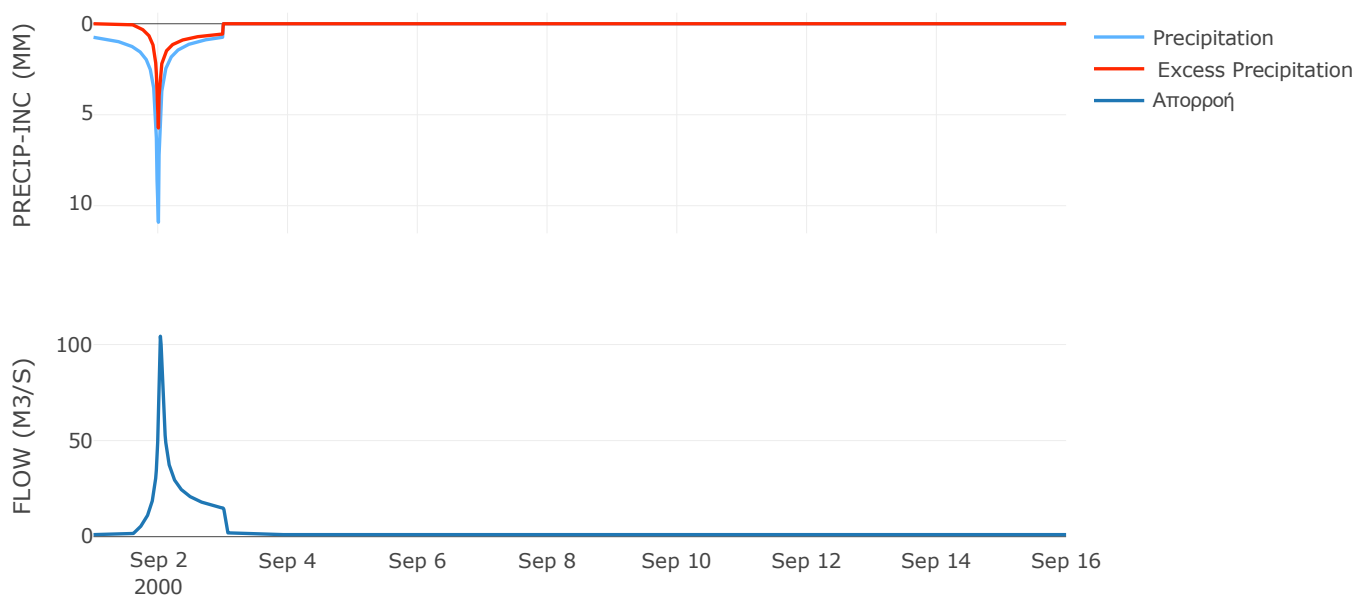
Μέθοδος Μετασχηματισμού: SCS

| | |
|------------------|-------|
| Χρόνος Υστέρησης | 39.52 |
|------------------|-------|

Αποτελέσματα:
EL0420FR4042

| | |
|-----------------------------|------------------|
| Παροχή αιχμής (M3/S) | 104.31 |
| Χρονική στιγμή αιχμής | 02Sep2000, 00:45 |
| Όγκος (MM) | 195.61 |
| Όγκος βροχόπτωσης (M3) | 6.63E6 |
| Όγκος απωλειών (M3) | 3.79E6 |
| Ενεργός Όγκος (M3) | 2.84E6 |
| Όγκος άμεσης απορροής (M3) | 2.84E6 |
| Όγκος βασικής απορροής (M3) | 1.4E6 |

Βροχόπτωση και Απορροή



Υπολεκάνη: EL0420FR4043

Έκταση (KM2) : 13.12

Κατάντη : J24

Μέθοδος Απωλειών: SCS

| | |
|--------------------------------|-------|
| Ποσοστό αδιαπέρατης επιφάνειας | 0 |
| Αριθμός Καμπύλης Απορροής-CN | 57.47 |
| Αρχικές Απώλειες | 37.59 |

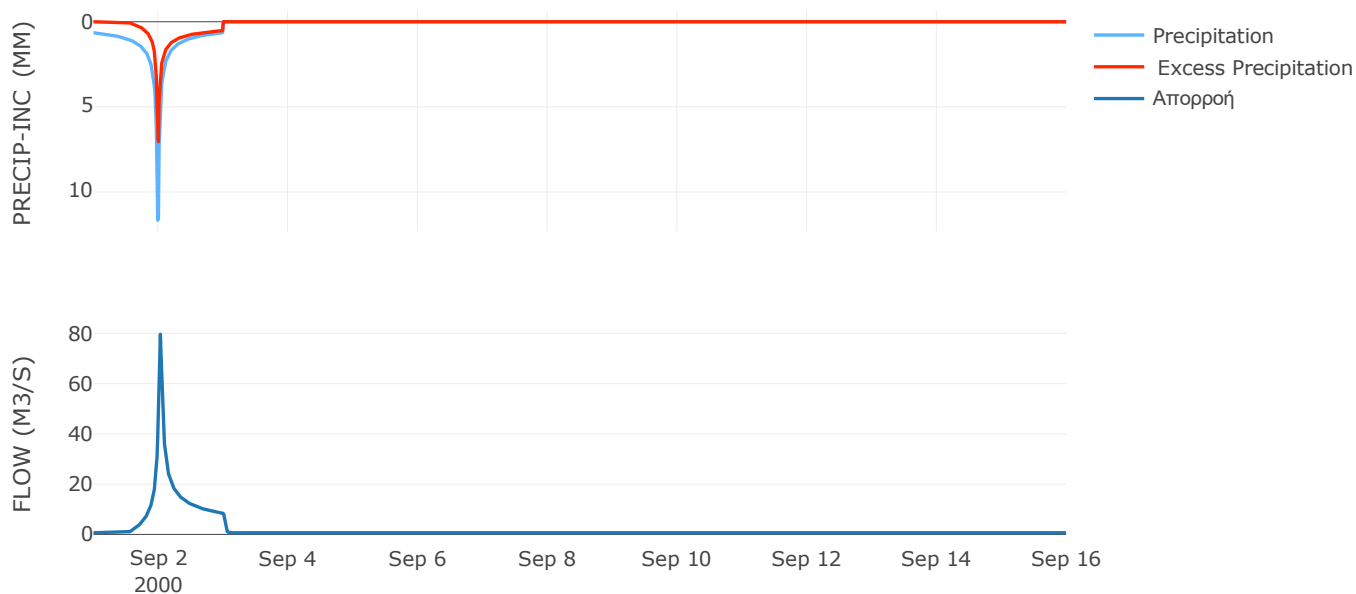
Μέθοδος Μετασχηματισμού: SCS

| | |
|------------------|-------|
| Χρόνος Υστέρησης | 32.79 |
|------------------|-------|

Αποτελέσματα:
EL0420FR4043

| | |
|-----------------------------|------------------|
| Παροχή αιχμής (M3/S) | 79.64 |
| Χρονική στιγμή αιχμής | 02Sep2000, 00:45 |
| Όγκος (MM) | 205.17 |
| Όγκος βροχόπτωσης (M3) | 3.74E6 |
| Όγκος απωλειών (M3) | 1.89E6 |
| Ενεργός Όγκος (M3) | 1.84E6 |
| Όγκος άμεσης απορροής (M3) | 1.84E6 |
| Όγκος βασικής απορροής (M3) | 8.5E5 |

Βροχόπτωση και Απορροή



Υπολεκάνη: EL0420FR4044

Έκταση (KM2) : 10.33

Κατάντη : J24

Μέθοδος Απωλειών: SCS

| | |
|--------------------------------|-------|
| Ποσοστό αδιαπέρατης επιφάνειας | 0 |
| Αριθμός Καμπύλης Απορροής-CN | 48 |
| Αρχικές Απώλειες | 55.04 |

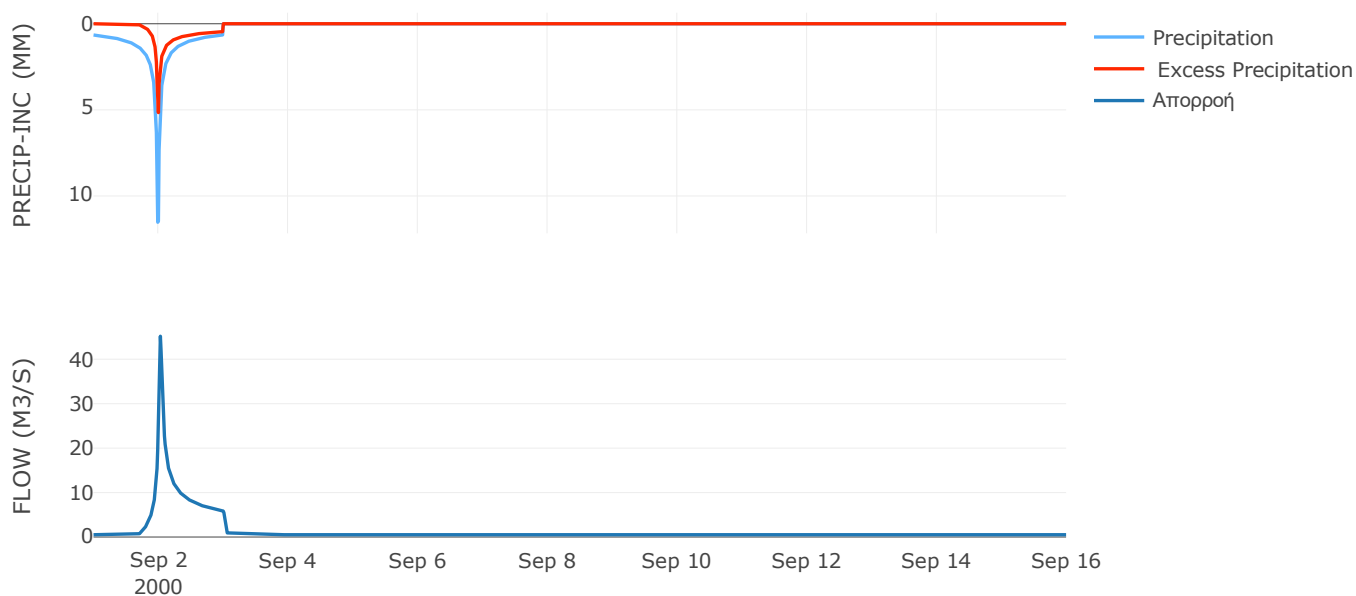
Μέθοδος Μετασχηματισμού: SCS

| | |
|------------------|-------|
| Χρόνος Υστέρησης | 34.95 |
|------------------|-------|

Αποτελέσματα:
EL0420FR4044

| | |
|-----------------------------|------------------|
| Παροχή αιχμής (M3/S) | 45.18 |
| Χρονική στιγμή αιχμής | 02Sep2000, 00:45 |
| Όγκος (MM) | 170.27 |
| Όγκος βροχόπτωσης (M3) | 2.96E6 |
| Όγκος απωλειών (M3) | 1.87E6 |
| Ενεργός Όγκος (M3) | 1.09E6 |
| Όγκος άμεσης απορροής (M3) | 1.09E6 |
| Όγκος βασικής απορροής (M3) | 6.7E5 |

Βροχόπτωση και Απορροή



Υπολεκάνη: EL0420FR4045

Έκταση (KM2) : 5.32

Κατάντη : J11

Μέθοδος Απωλειών: SCS

| | |
|--------------------------------|-------|
| Ποσοστό αδιαπέρατης επιφάνειας | 0 |
| Αριθμός Καμπύλης Απορροής-CN | 58.91 |
| Αρχικές Απώλειες | 35.44 |

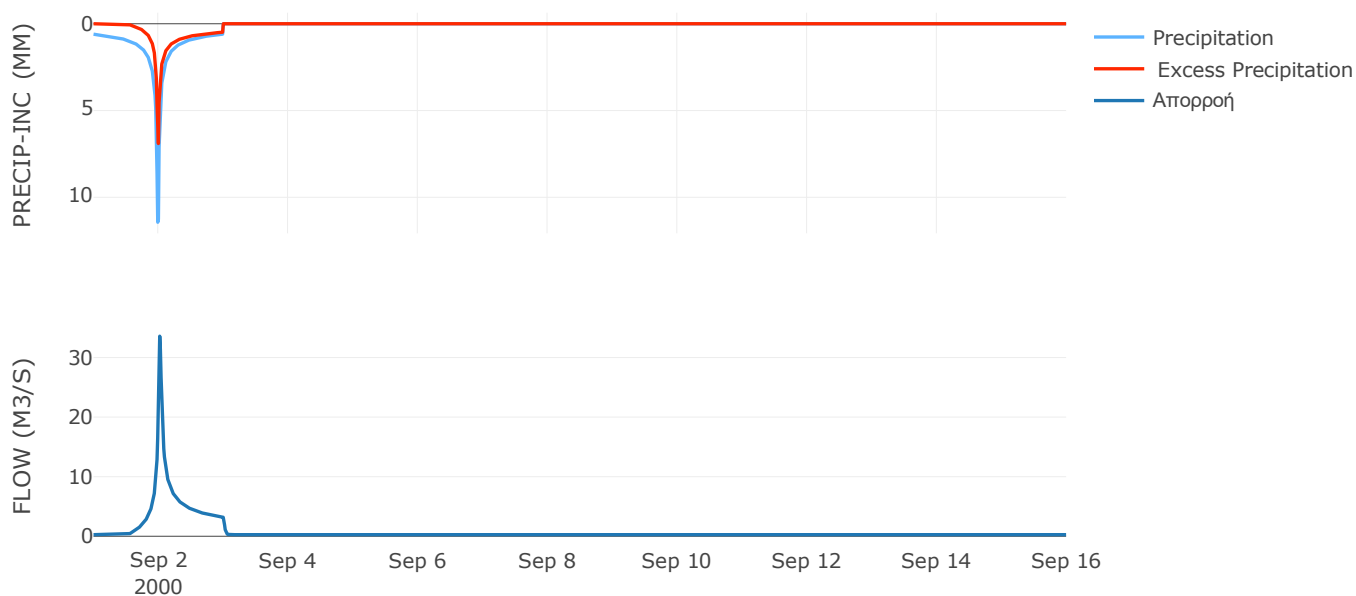
Μέθοδος Μετασχηματισμού: SCS

| | |
|------------------|-------|
| Χρόνος Υστέρησης | 27.29 |
|------------------|-------|

Αποτελέσματα:
EL0420FR4045

| | |
|-----------------------------|------------------|
| Παροχή αιχμής (M3/S) | 33.58 |
| Χρονική στιγμή αιχμής | 02Sep2000, 00:30 |
| Όγκος (MM) | 198.7 |
| Όγκος βροχόπτωσης (M3) | 1.44E6 |
| Όγκος απωλειών (M3) | 7.25E5 |
| Ενεργός Όγκος (M3) | 7.12E5 |
| Όγκος άμεσης απορροής (M3) | 7.12E5 |
| Όγκος βασικής απορροής (M3) | 3.44E5 |

Βροχόπτωση και Απορροή



Υπολεκάνη: EL0420FR4046

Έκταση (KM2) : 24.57

Κατάντη : J10

Μέθοδος Απωλειών: SCS

| | |
|--------------------------------|-------|
| Ποσοστό αδιαπέρατης επιφάνειας | 0 |
| Αριθμός Καμπύλης Απορροής-CN | 52.86 |
| Αρχικές Απώλειες | 45.31 |

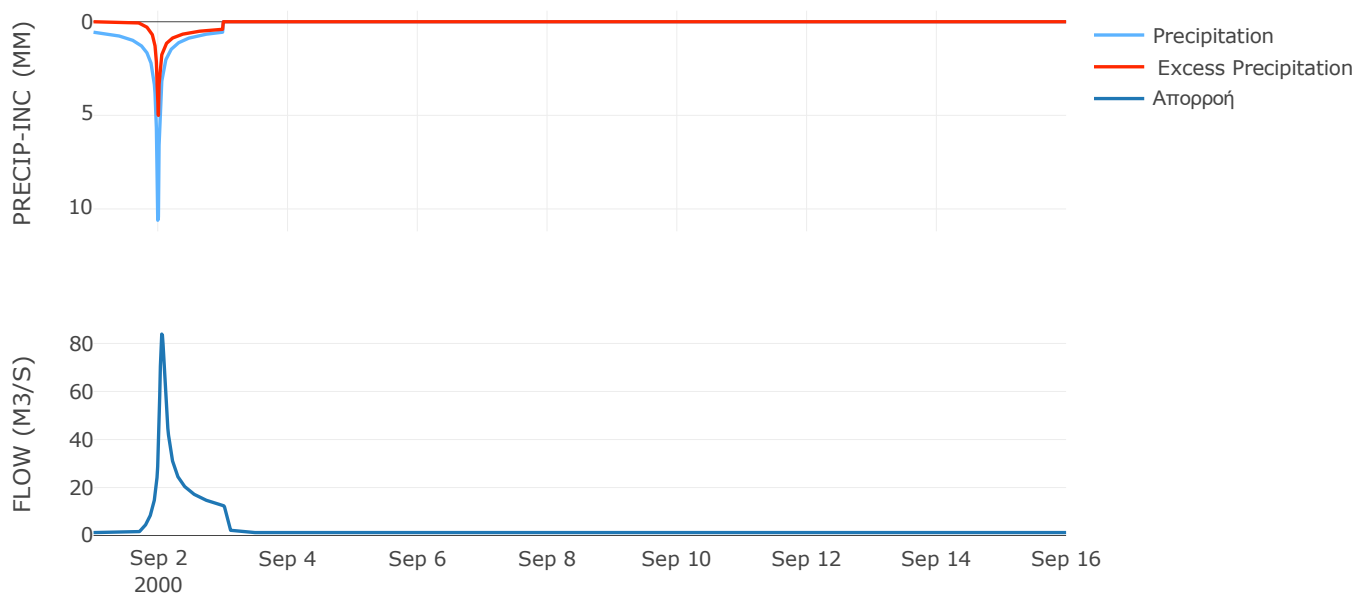
Μέθοδος Μετασχηματισμού: SCS

| | |
|------------------|-------|
| Χρόνος Υστέρησης | 69.03 |
|------------------|-------|

Αποτελέσματα:
EL0420FR4046

| | |
|-----------------------------|------------------|
| Παροχή αιχμής (M3/S) | 83.93 |
| Χρονική στιγμή αιχμής | 02Sep2000, 01:15 |
| Όγκος (MM) | 162.47 |
| Όγκος βροχόπτωσης (M3) | 6.16E6 |
| Όγκος απωλειών (M3) | 3.76E6 |
| Ενεργός Όγκος (M3) | 2.4E6 |
| Όγκος άμεσης απορροής (M3) | 2.4E6 |
| Όγκος βασικής απορροής (M3) | 1.59E6 |

Βροχόπτωση και Απορροή



Υπολεκάνη: EL0420FR4047

Έκταση (KM2) : 37.25

Κατάντη : J26

Μέθοδος Απωλειών: SCS

| | |
|--------------------------------|-------|
| Ποσοστό αδιαπέρατης επιφάνειας | 0 |
| Αριθμός Καμπύλης Απορροής-CN | 50.17 |
| Αρχικές Απώλειες | 50.45 |

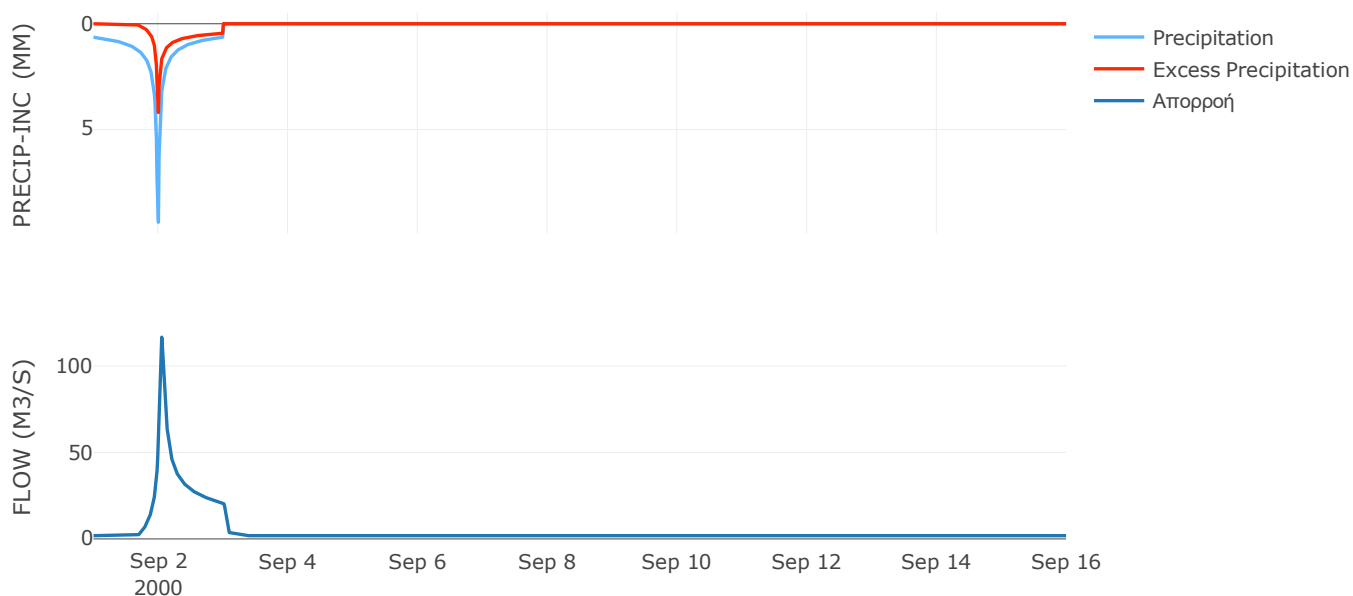
Μέθοδος Μετασχηματισμού: SCS

| | |
|------------------|-------|
| Χρόνος Υστέρησης | 58.12 |
|------------------|-------|

Αποτελέσματα:
EL0420FR4047

| | |
|-----------------------------|------------------|
| Παροχή αιχμής (M3/S) | 116.66 |
| Χρονική στιγμή αιχμής | 02Sep2000, 01:15 |
| Όγκος (MM) | 161.42 |
| Όγκος βροχόπτωσης (M3) | 9.77E6 |
| Όγκος απωλειών (M3) | 6.17E6 |
| Ενεργός Όγκος (M3) | 3.6E6 |
| Όγκος άμεσης απορροής (M3) | 3.6E6 |
| Όγκος βασικής απορροής (M3) | 2.41E6 |

Βροχόπτωση και Απορροή



Υπολεκάνη: EL0420FR4048

Έκταση (KM2) : 34.69

Κατάντη : J26

Μέθοδος Απωλειών: SCS

| | |
|--------------------------------|-------|
| Ποσοστό αδιαπέρατης επιφάνειας | 0 |
| Αριθμός Καμπύλης Απορροής-CN | 50.81 |
| Αρχικές Απώλειες | 49.18 |

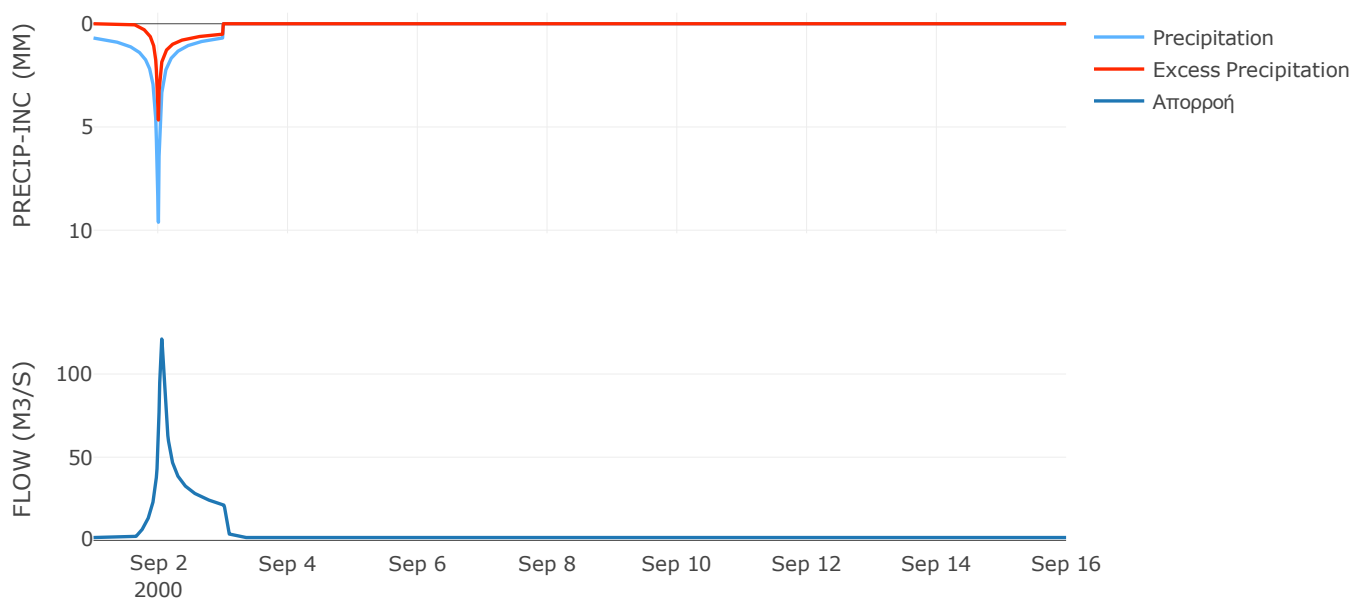
Μέθοδος Μετασχηματισμού: SCS

| | |
|------------------|-------|
| Χρόνος Υστέρησης | 59.86 |
|------------------|-------|

Αποτελέσματα:
EL0420FR4048

| | |
|-----------------------------|------------------|
| Παροχή αιχμής (M3/S) | 121.07 |
| Χρονική στιγμή αιχμής | 02Sep2000, 01:15 |
| Όγκος (MM) | 175.63 |
| Όγκος βροχόπτωσης (M3) | 9.67E6 |
| Όγκος απωλειών (M3) | 5.83E6 |
| Ενεργός Όγκος (M3) | 3.85E6 |
| Όγκος άμεσης απορροής (M3) | 3.85E6 |
| Όγκος βασικής απορροής (M3) | 2.25E6 |

Βροχόπτωση και Απορροή



Υπολεκάνη: EL0420FR4049

Έκταση (KM2) : 11.77

Κατάντη : J9

Μέθοδος Απωλειών: SCS

| | |
|--------------------------------|-------|
| Ποσοστό αδιαπέρατης επιφάνειας | 0 |
| Αριθμός Καμπύλης Απορροής-CN | 57.41 |
| Αρχικές Απώλειες | 37.69 |

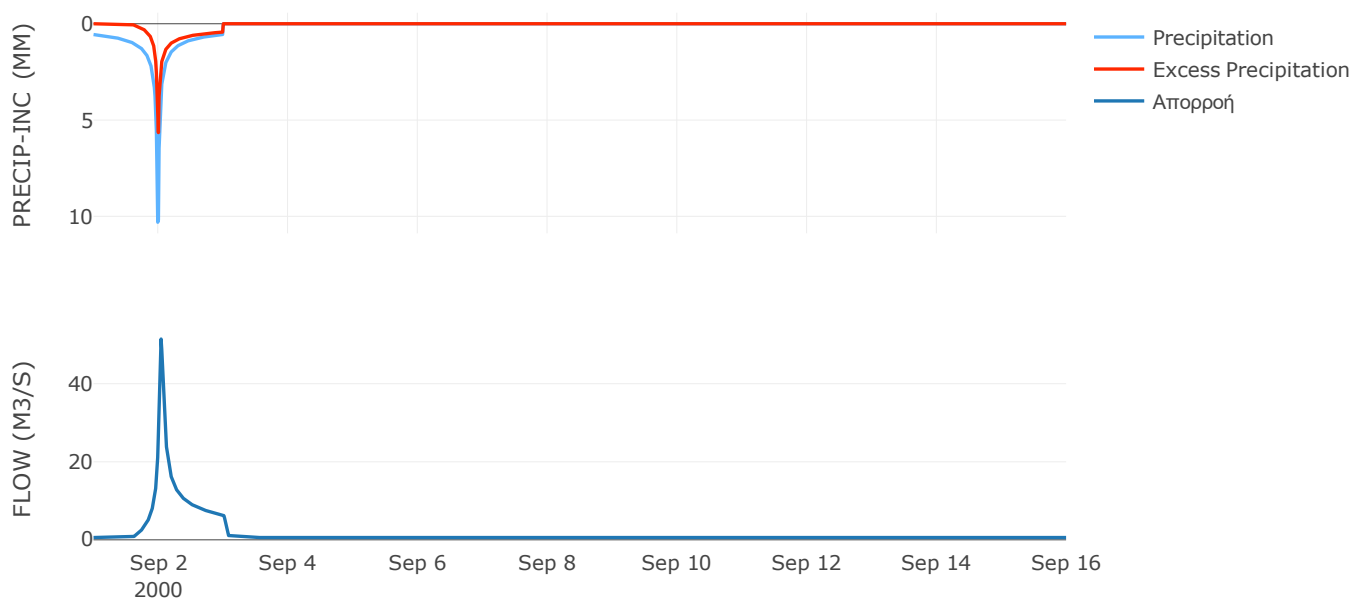
Μέθοδος Μετασχηματισμού: SCS

| | |
|------------------|-------|
| Χρόνος Υστέρησης | 49.85 |
|------------------|-------|

Αποτελέσματα:
EL0420FR4049

| | |
|-----------------------------|------------------|
| Παροχή αιχμής (M3/S) | 51.45 |
| Χρονική στιγμή αιχμής | 02Sep2000, 01:00 |
| Όγκος (MM) | 176.51 |
| Όγκος βροχόπτωσης (M3) | 2.93E6 |
| Όγκος απωλειών (M3) | 1.62E6 |
| Ενεργός Όγκος (M3) | 1.31E6 |
| Όγκος άμεσης απορροής (M3) | 1.31E6 |
| Όγκος βασικής απορροής (M3) | 7.63E5 |

Βροχόπτωση και Απορροή



Υπολεκάνη: EL0420FR4050

Έκταση (KM2) : 19.25

Κατάντη : J7

Μέθοδος Απωλειών: SCS

| | |
|--------------------------------|-------|
| Ποσοστό αδιαπέρατης επιφάνειας | 0 |
| Αριθμός Καμπύλης Απορροής-CN | 55.91 |
| Αρχικές Απώλειες | 40.05 |

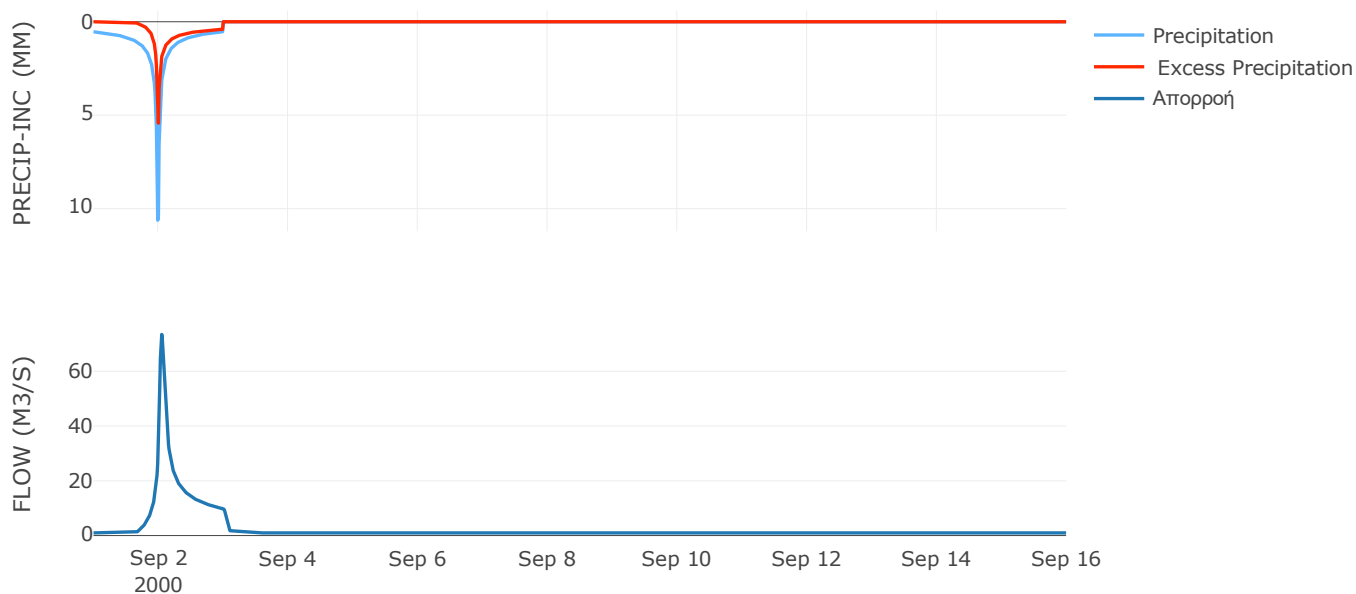
Μέθοδος Μετασχηματισμού: SCS

| | |
|------------------|-------|
| Χρόνος Υστέρησης | 64.23 |
|------------------|-------|

Αποτελέσματα:
EL0420FR4050

| | |
|-----------------------------|------------------|
| Παροχή αιχμής (M3/S) | 73.46 |
| Χρονική στιγμή αιχμής | 02Sep2000, 01:15 |
| Όγκος (MM) | 167.83 |
| Όγκος βροχόπτωσης (M3) | 4.7E6 |
| Όγκος απωλειών (M3) | 2.72E6 |
| Ενεργός Όγκος (M3) | 1.98E6 |
| Όγκος άμεσης απορροής (M3) | 1.98E6 |
| Όγκος βασικής απορροής (M3) | 1.25E6 |

Βροχόπτωση και Απορροή



Υπολεκάνη: EL0420FR4051

Έκταση (KM2) : 32.45

Κατάντη : J4

Μέθοδος Απωλειών: SCS

| | |
|--------------------------------|-------|
| Ποσοστό αδιαπέρατης επιφάνειας | 0 |
| Αριθμός Καμπύλης Απορροής-CN | 80.53 |
| Αρχικές Απώλειες | 12.28 |

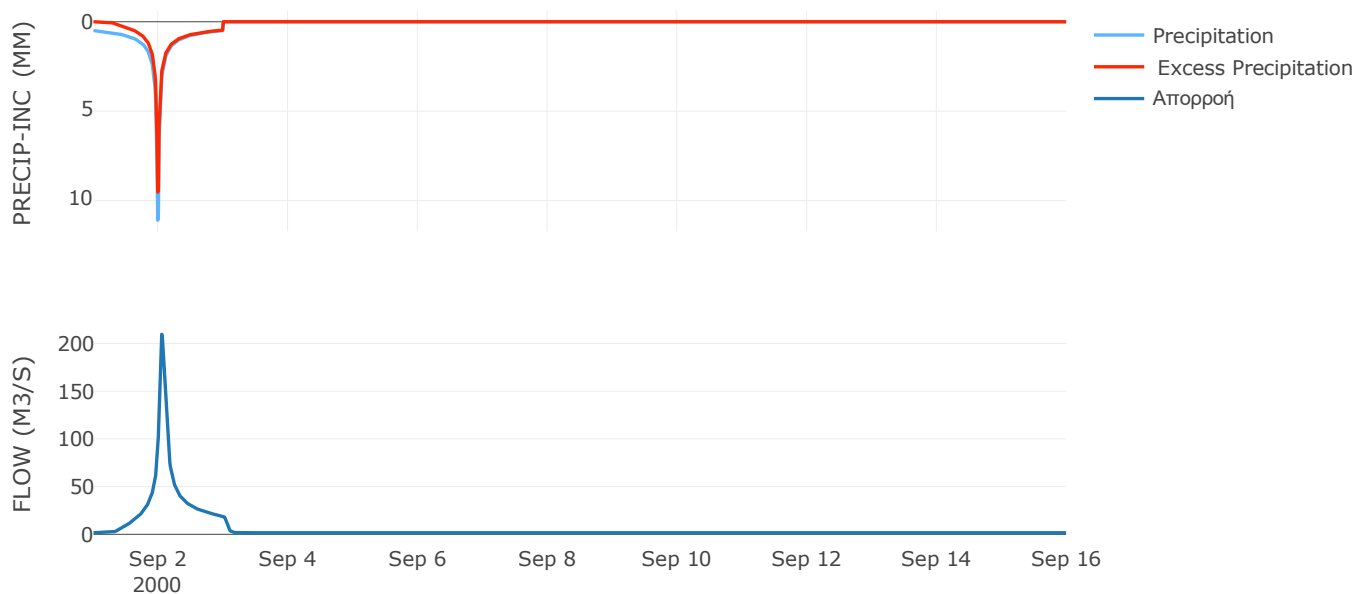
Μέθοδος Μετασχηματισμού: SCS

| | |
|------------------|-------|
| Χρόνος Υστέρησης | 72.92 |
|------------------|-------|

Αποτελέσματα:
EL0420FR4051

| | |
|-----------------------------|------------------|
| Παροχή αιχμής (M3/S) | 209.72 |
| Χρονική στιγμή αιχμής | 02Sep2000, 01:15 |
| Όγκος (MM) | 238.9 |
| Όγκος βροχόπτωσης (M3) | 7.61E6 |
| Όγκος απωλειών (M3) | 1.96E6 |
| Ενεργός Όγκος (M3) | 5.65E6 |
| Όγκος άμεσης απορροής (M3) | 5.65E6 |
| Όγκος βασικής απορροής (M3) | 2.1E6 |

Βροχόπτωση και Απορροή



Υπολεκάνη: EL0420FR4052

Έκταση (KM2) : 29.83

Κατάντη : J30

Μέθοδος Απωλειών: SCS

| | |
|--------------------------------|-------|
| Ποσοστό αδιαπέρατης επιφάνειας | 0 |
| Αριθμός Καμπύλης Απορροής-CN | 80.61 |
| Αρχικές Απώλειες | 12.22 |

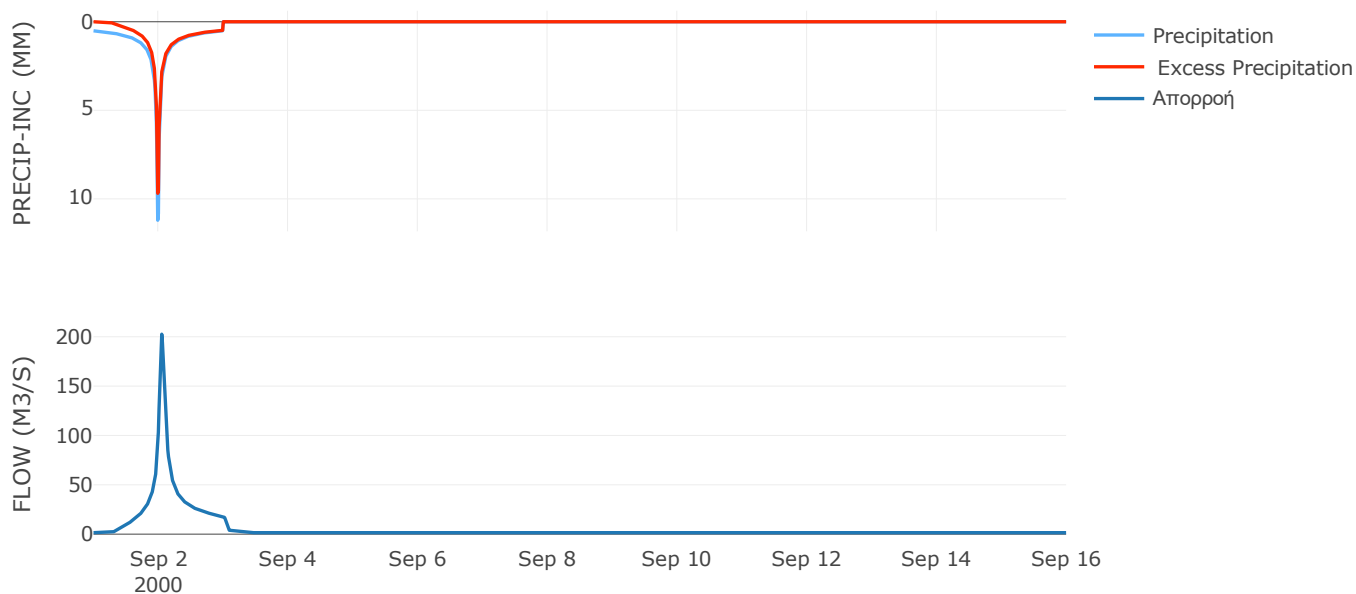
Μέθοδος Μετασχηματισμού: SCS

| | |
|------------------|-------|
| Χρόνος Υστέρησης | 67.31 |
|------------------|-------|

Αποτελέσματα:
EL0420FR4052

| | |
|-----------------------------|------------------|
| Παροχή αιχμής (M3/S) | 202.62 |
| Χρονική στιγμή αιχμής | 02Sep2000, 01:15 |
| Όγκος (MM) | 245.09 |
| Όγκος βροχόπτωσης (M3) | 7.18E6 |
| Όγκος απωλειών (M3) | 1.8E6 |
| Ενεργός Όγκος (M3) | 5.38E6 |
| Όγκος άμεσης απορροής (M3) | 5.38E6 |
| Όγκος βασικής απορροής (M3) | 1.93E6 |

Βροχόπτωση και Απορροή



Υπολεκάνη: EL0420FR4053

Έκταση (KM2) : 0.54

Κατάντη : J20

Μέθοδος Απωλειών: SCS

| | |
|--------------------------------|-------|
| Ποσοστό αδιαπέρατης επιφάνειας | 0 |
| Αριθμός Καμπύλης Απορροής-CN | 81.16 |
| Αρχικές Απώλειες | 11.79 |

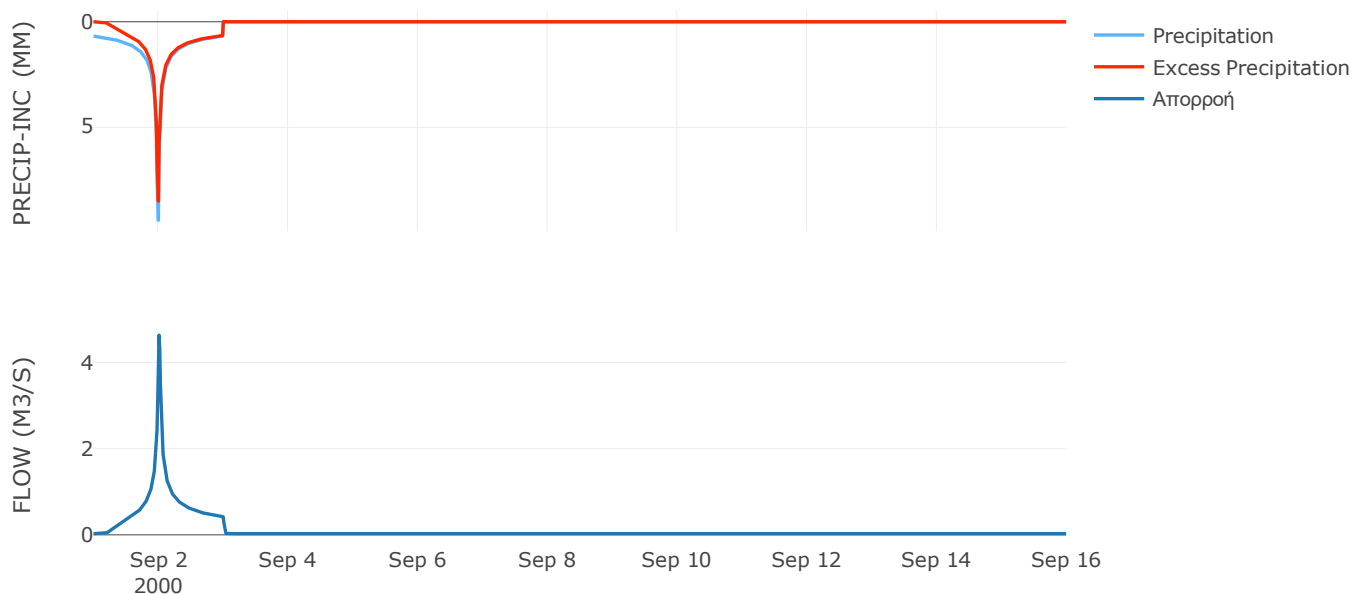
Μέθοδος Μετασχηματισμού: SCS

| | |
|------------------|-------|
| Χρόνος Υστέρησης | 15.88 |
|------------------|-------|

Αποτελέσματα:
EL0420FR4053

| | |
|-----------------------------|------------------|
| Παροχή αιχμής (M3/S) | 4.63 |
| Χρονική στιγμή αιχμής | 02Sep2000, 00:15 |
| Όγκος (MM) | 277.97 |
| Όγκος βροχόπτωσης (M3) | 1.47E5 |
| Όγκος απωλειών (M3) | 32137.7 |
| Ενεργός Όγκος (M3) | 1.14E5 |
| Όγκος άμεσης απορροής (M3) | 1.14E5 |
| Όγκος βασικής απορροής (M3) | 34766.5 |

Βροχόπτωση και Απορροή



Υπολεκάνη: EL0420FR4054

Έκταση (KM2) : 4.72

Κατάντη : J2

Μέθοδος Απωλειών: SCS

| | |
|--------------------------------|-------|
| Ποσοστό αδιαπέρατης επιφάνειας | 0 |
| Αριθμός Καμπύλης Απορροής-CN | 80.61 |
| Αρχικές Απώλειες | 12.22 |

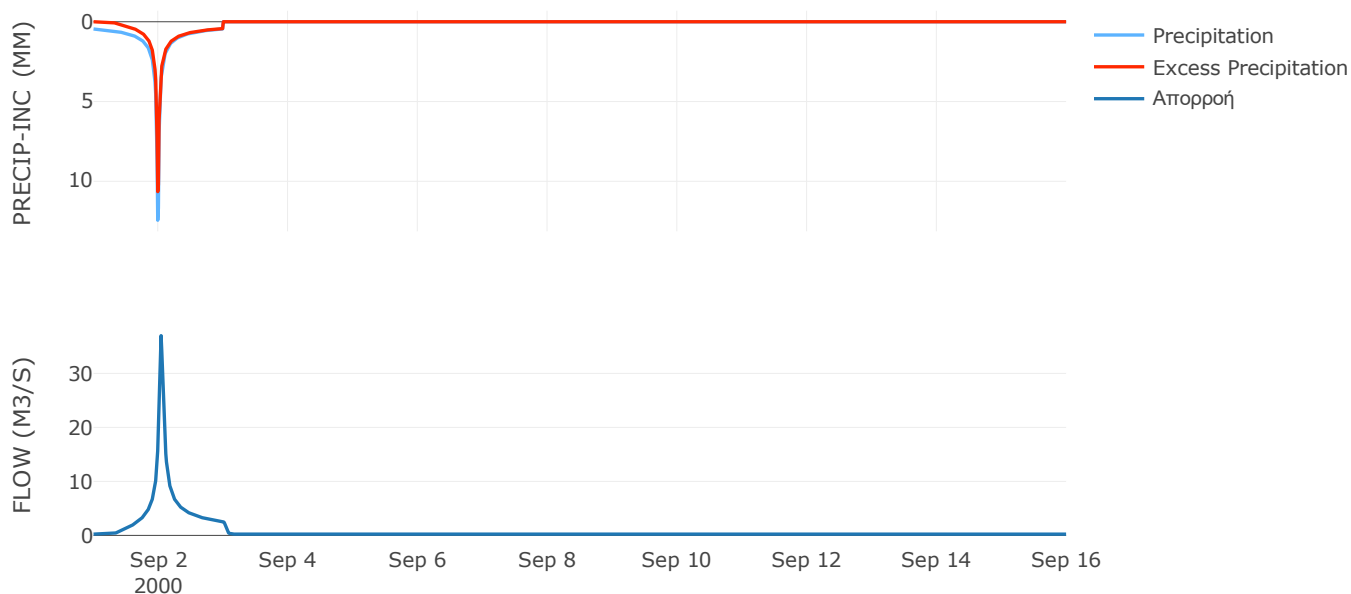
Μέθοδος Μετασχηματισμού: SCS

| | |
|------------------|------|
| Χρόνος Υστέρησης | 51.2 |
|------------------|------|

Αποτελέσματα:
EL0420FR4054

| | |
|-----------------------------|------------------|
| Παροχή αιχμής (M3/S) | 37 |
| Χρονική στιγμή αιχμής | 02Sep2000, 01:00 |
| Όγκος (MM) | 236.07 |
| Όγκος βροχόπτωσης (M3) | 1.09E6 |
| Όγκος απωλειών (M3) | 2.83E5 |
| Ενεργός Όγκος (M3) | 8.08E5 |
| Όγκος άμεσης απορροής (M3) | 8.08E5 |
| Όγκος βασικής απορροής (M3) | 3.06E5 |

Βροχόπτωση και Απορροή



Υπολεκάνη: EL0420FR4055

Έκταση (KM2) : 10.12

Κατάντη : Diversion - 1

Μέθοδος Απωλειών: SCS

| | |
|--------------------------------|-------|
| Ποσοστό αδιαπέρατης επιφάνειας | 4.1 |
| Αριθμός Καμπύλης Απορροής-CN | 72.62 |
| Αρχικές Απώλειες | 19.15 |

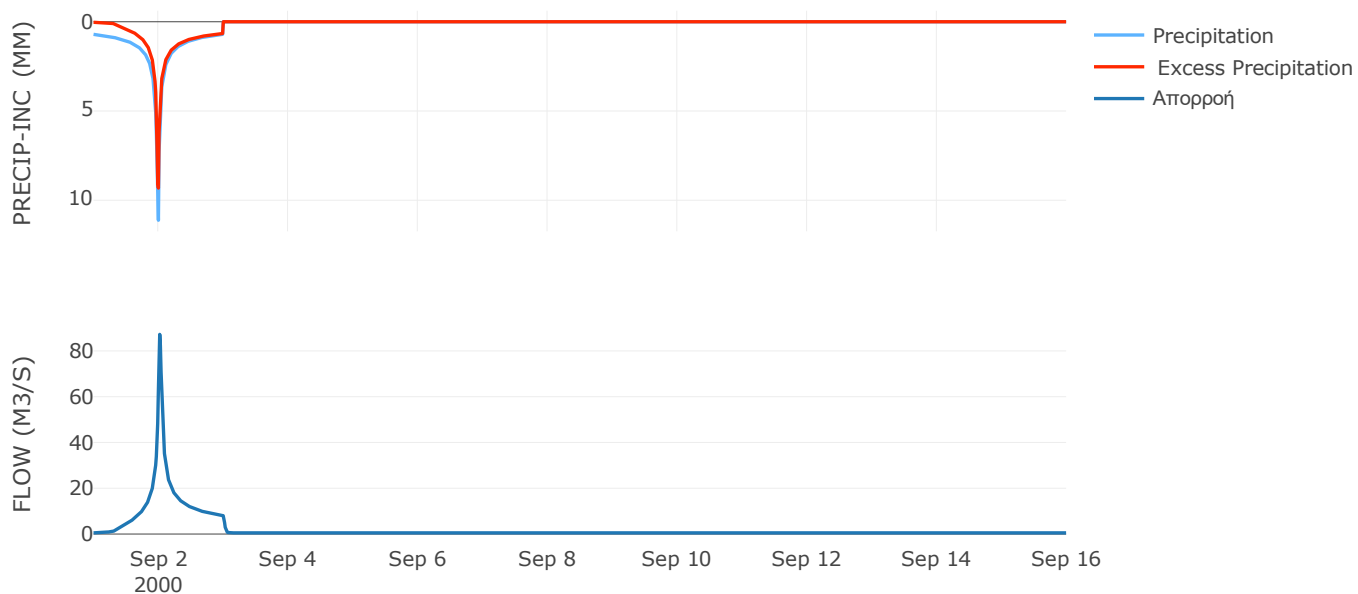
Μέθοδος Μετασχηματισμού: SCS

| | |
|------------------|-------|
| Χρόνος Υστέρησης | 29.12 |
|------------------|-------|

Αποτελέσματα:
EL0420FR4055

| | |
|-----------------------------|------------------|
| Παροχή αιχμής (M3/S) | 87.23 |
| Χρονική στιγμή αιχμής | 02Sep2000, 00:30 |
| Όγκος (MM) | 275.48 |
| Όγκος βροχόπτωσης (M3) | 3.01E6 |
| Όγκος απωλειών (M3) | 8.78E5 |
| Ενεργός Όγκος (M3) | 2.13E6 |
| Όγκος άμεσης απορροής (M3) | 2.13E6 |
| Όγκος βασικής απορροής (M3) | 6.56E5 |

Βροχόπτωση και Απορροή



Υπολεκάνη: EL0420FR4056

Έκταση (KM2) : 13.8

Κατάνη : J5

Μέθοδος Απωλειών: SCS

| | |
|--------------------------------|------|
| Ποσοστό αδιαπέρατης επιφάνειας | 0 |
| Αριθμός Καμπύλης Απορροής-CN | 80.5 |
| Αρχικές Απώλειες | 12.3 |

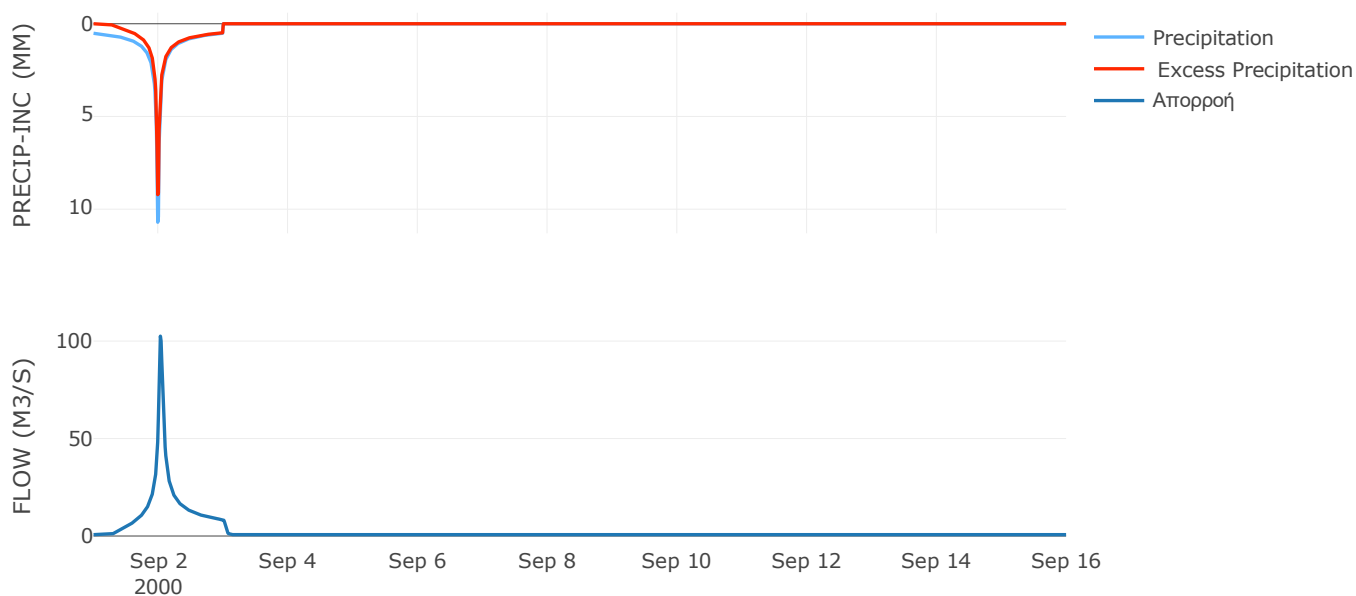
Μέθοδος Μετασχηματισμού: SCS

| | |
|------------------|-------|
| Χρόνος Υστέρησης | 46.09 |
|------------------|-------|

Αποτελέσματα:
EL0420FR4056

| | |
|-----------------------------|------------------|
| Παροχή αιχμής (M3/S) | 102.51 |
| Χρονική στιγμή αιχμής | 02Sep2000, 00:45 |
| Όγκος (MM) | 242.1 |
| Όγκος βροχόπτωσης (M3) | 3.28E6 |
| Όγκος απωλειών (M3) | 8.37E5 |
| Ενεργός Όγκος (M3) | 2.45E6 |
| Όγκος άμεσης απορροής (M3) | 2.45E6 |
| Όγκος βασικής απορροής (M3) | 8.94E5 |

Βροχόπτωση και Απορροή



5.2 Δεδομένα και Υδρογραφήματα Σχεδιασμού Κλάδων Υδρογραφικού Δικτύου

Κλάδος: R21

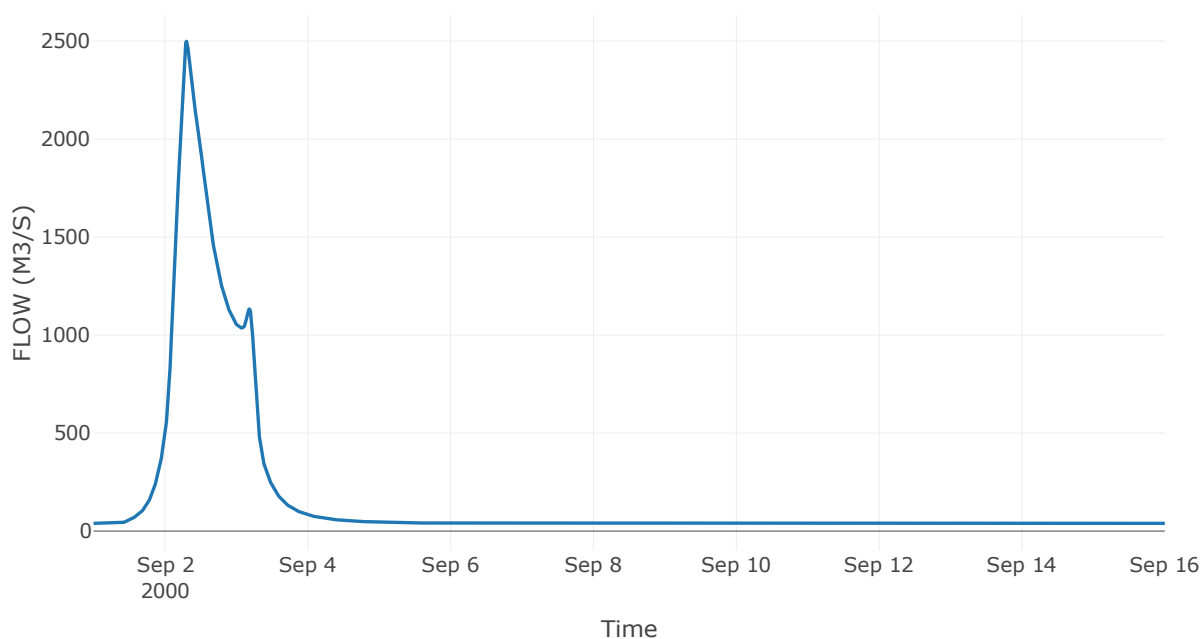
Κατάντη : J1

| | |
|----------------------|-----------------|
| Μέθοδος Διόδευσης | Muskingum |
| Αρχική Μεταβλητή | Combined Inflow |
| Χρόνος Ροής K | 1.67 |
| Συντελεστής βάρους x | 0.2 |
| Πλήθος Υποκλάδων | 7 |

Αποτελέσματα: R21

| | |
|------------------------------|------------------|
| Παροχή Αιχμής(M3/S) | 2499 |
| Χρονική στιγμή αιχμής | 02Sep2000, 07:15 |
| Όγκος(MM) | 211.67 |
| Παροχή Αιχμής Εισόδου (M3/S) | 2539.2 |
| Όγκος Εισροής(M3) | 2.27E8 |

Απορροή



Κλάδος: R32

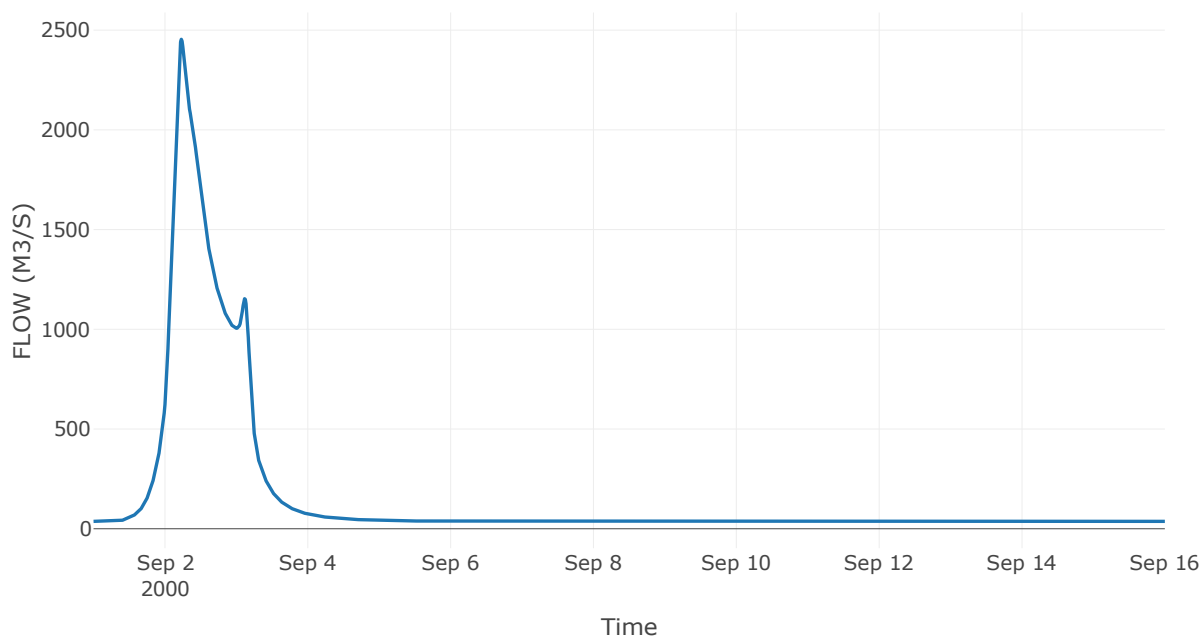
Κατάντη : J2

| | |
|----------------------|-----------------|
| Μέθοδος Διόδευσης | Muskingum |
| Αρχική Μεταβλητή | Combined Inflow |
| Χρόνος Ροής K | 0.4 |
| Συντελεστής βάρους x | 0.2 |
| Πλήθος Υποκλάδων | 2 |

Αποτελέσματα: R32

| | |
|------------------------------|------------------|
| Παροχή Αιχμής(M3/S) | 2454 |
| Χρονική στιγμή αιχμής | 02Sep2000, 05:30 |
| Όγκος(MM) | 210.23 |
| Παροχή Αιχμής Εισόδου (M3/S) | 2461.45 |
| Όγκος Εισροής(M3) | 2.15E8 |

Απορροή



Κλάδος: R43

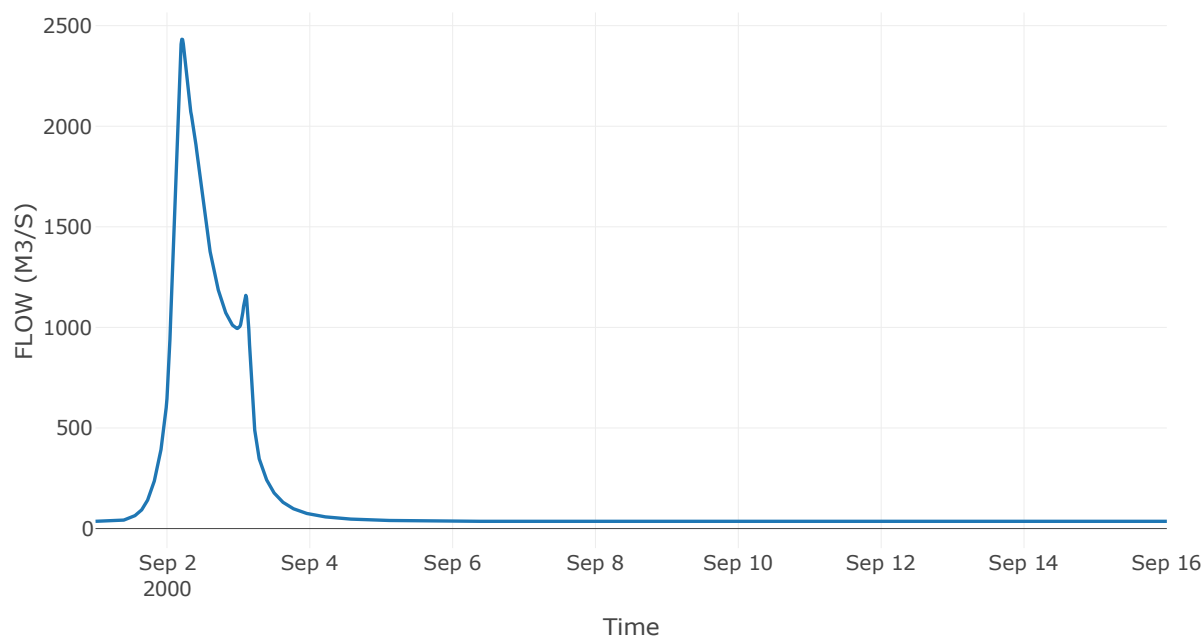
Κατάντη : J3

| | |
|----------------------|-----------------|
| Μέθοδος Διόδευσης | Muskingum |
| Αρχική Μεταβλητή | Combined Inflow |
| Χρόνος Ροής K | 0.5 |
| Συντελεστής βάρους x | 0.2 |
| Πλήθος Υποκλάδων | 2 |

Αποτελέσματα: R43

| | |
|------------------------------|------------------|
| Παροχή Αιχμής(M3/S) | 2432.39 |
| Χρονική στιγμή αιχμής | 02Sep2000, 05:00 |
| Όγκος(MM) | 210.16 |
| Παροχή Αιχμής Εισόδου (M3/S) | 2448.98 |
| Όγκος Εισροής(M3) | 2.11E8 |

Απορροή



Κλάδος: R54

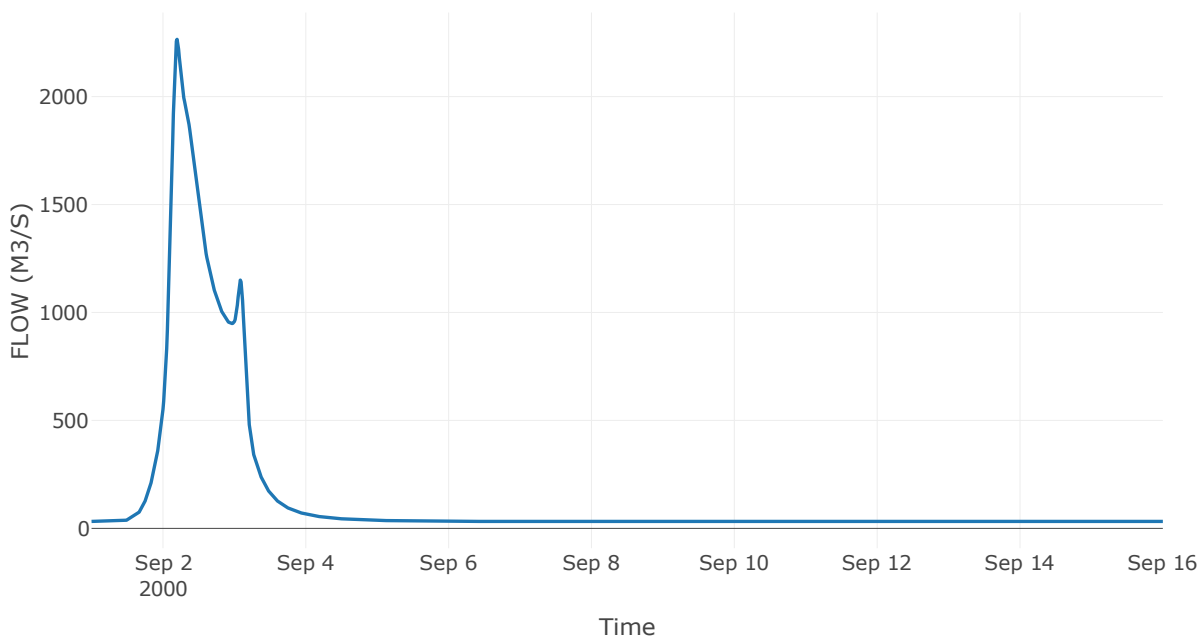
Κατάντη : J4

| | |
|----------------------|-----------------|
| Μέθοδος Διόδευσης | Muskingum |
| Αρχική Μεταβλητή | Combined Inflow |
| Χρόνος Ροής K | 1.19 |
| Συντελεστής βάρους x | 0.2 |
| Πλήθος Υποκλάδων | 5 |

Αποτελέσματα: R54

| | |
|------------------------------|------------------|
| Παροχή Αιχμής(M3/S) | 2265.15 |
| Χρονική στιγμή αιχμής | 02Sep2000, 04:45 |
| Όγκος(MM) | 207.8 |
| Παροχή Αιχμής Εισόδου (M3/S) | 2304.17 |
| Όγκος Εισροής(M3) | 1.93E8 |

Απορροή



Κλάδος: R65

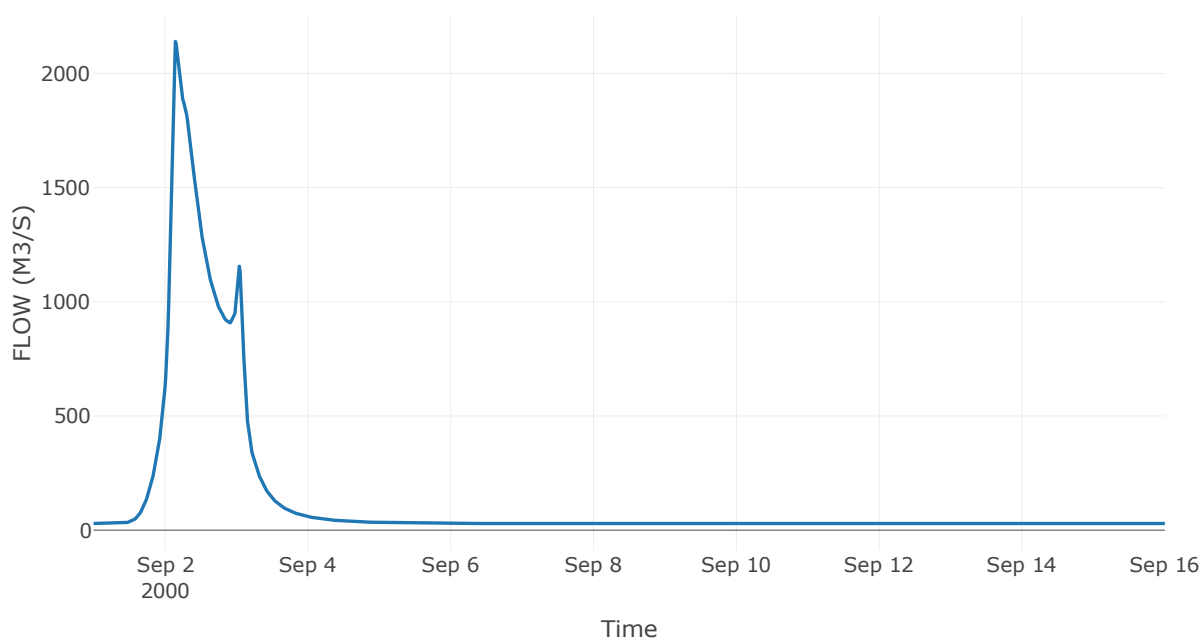
Κατάντη : J5

| | |
|----------------------|-----------------|
| Μέθοδος Διόδευσης | Muskingum |
| Αρχική Μεταβλητή | Combined Inflow |
| Χρόνος Ροής K | 0.92 |
| Συντελεστής βάρους x | 0.2 |
| Πλήθος Υποκλάδων | 4 |

Αποτελέσματα: R65

| | |
|------------------------------|------------------|
| Παροχή Αιχμής(M3/S) | 2140.29 |
| Χρονική στιγμή αιχμής | 02Sep2000, 03:30 |
| Όγκος(MM) | 207.36 |
| Παροχή Αιχμής Εισόδου (M3/S) | 2174.68 |
| Όγκος Εισροής(M3) | 1.79E8 |

Απορροή



Κλάδος: R76

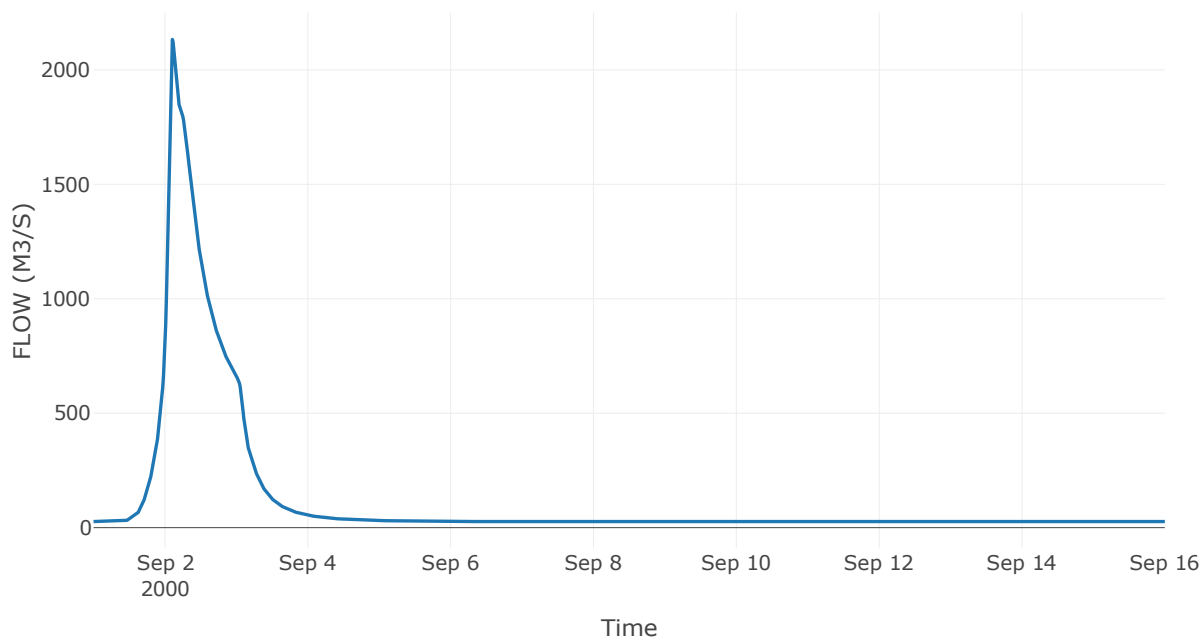
Κατάντη : J6

| | |
|-------------------|------------------|
| Μέθοδος Διόδευσης | Χρόνος Υστέρησης |
| Αρχική Μεταβλητή | Combined Inflow |
| Χρόνος Υστέρησης | 4.2 |

Αποτελέσματα: R76

| | |
|------------------------------|------------------|
| Παροχή Αιχμής(M3/S) | 2132.96 |
| Χρονική στιγμή αιχμής | 02Sep2000, 02:30 |
| Όγκος(MM) | 200.86 |
| Παροχή Αιχμής Εισόδου (M3/S) | 2135.69 |
| Όγκος Εισροής(M3) | 1.64E8 |

Απορροή



Κλάδος: R87

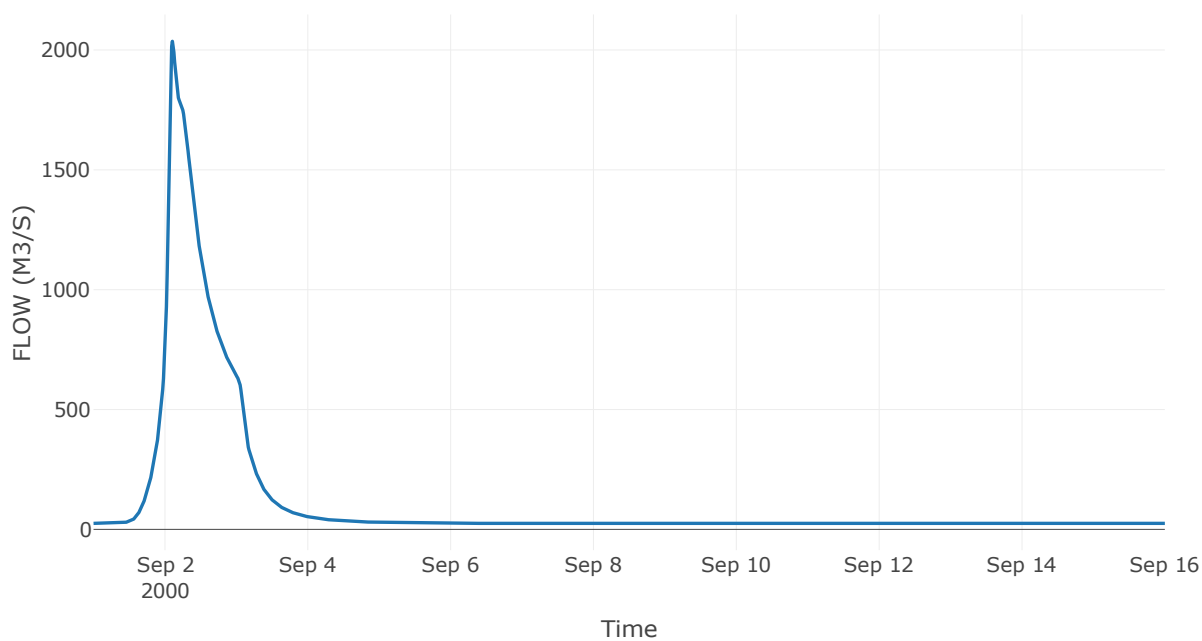
Κατάντη : J7

| | |
|----------------------|-----------------|
| Μέθοδος Διόδευσης | Muskingum |
| Αρχική Μεταβλητή | Combined Inflow |
| Χρόνος Ροής K | 0.58 |
| Συντελεστής βάρους x | 0.2 |
| Πλήθος Υποκλάδων | 2 |

Αποτελέσματα: R87

| | |
|------------------------------|------------------|
| Παροχή Αιχμής(M3/S) | 2036.38 |
| Χρονική στιγμή αιχμής | 02Sep2000, 02:30 |
| Όγκος(MM) | 201.96 |
| Παροχή Αιχμής Εισόδου (M3/S) | 2068.02 |
| Όγκος Εισροής(M3) | 1.58E8 |

Απορροή



Κλάδος: R98

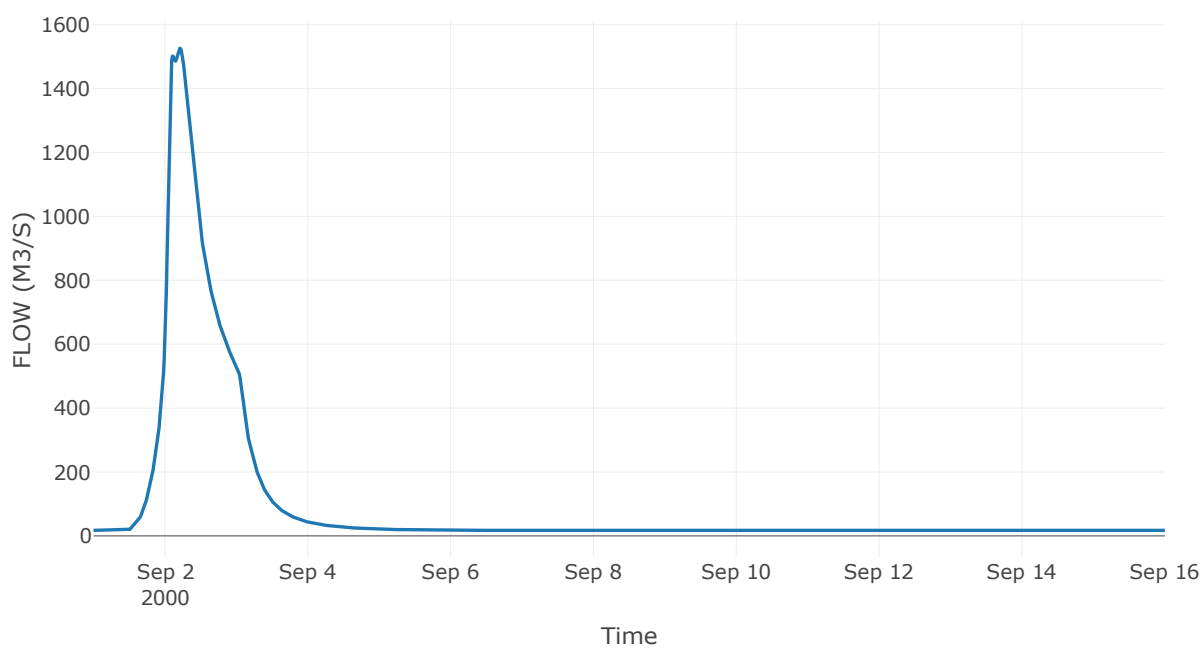
Κατάντη : J8

| | |
|----------------------|-----------------|
| Μέθοδος Διόδευσης | Muskingum |
| Αρχική Μεταβλητή | Combined Inflow |
| Χρόνος Ροής K | 0.3 |
| Συντελεστής βάρους x | 0.2 |
| Πλήθος Υποκλάδων | 1 |

Αποτελέσματα: R98

| | |
|------------------------------|------------------|
| Παροχή Αιχμής(M3/S) | 1526.28 |
| Χρονική στιγμή αιχμής | 02Sep2000, 05:00 |
| Όγκος(MM) | 202.06 |
| Παροχή Αιχμής Εισόδου (M3/S) | 1528.39 |
| Όγκος Εισροής(M3) | 1.27E8 |

Απορροή



Κλάδος: R109

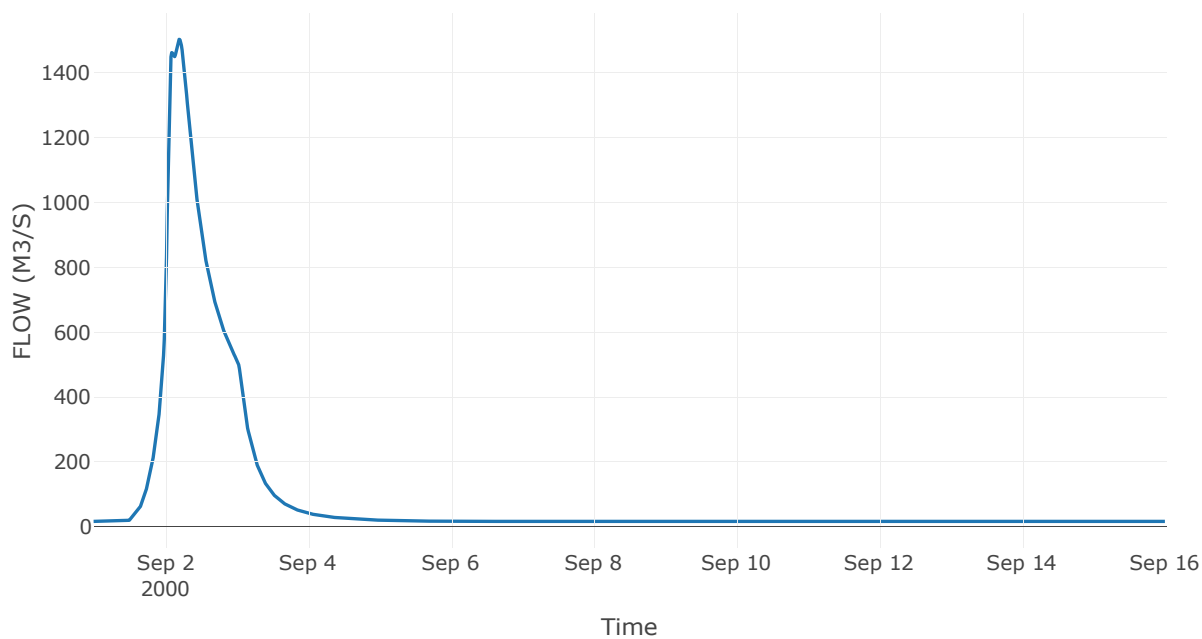
Κατάντη : J9

| | |
|----------------------|-----------------|
| Μέθοδος Διόδευσης | Muskingum |
| Αρχική Μεταβλητή | Combined Inflow |
| Χρόνος Ροής K | 0.24 |
| Συντελεστής βάρους x | 0.2 |
| Πλήθος Υποκλάδων | 1 |

Αποτελέσματα: R109

| | |
|------------------------------|------------------|
| Παροχή Αιχμής(M3/S) | 1503.29 |
| Χρονική στιγμή αιχμής | 02Sep2000, 04:45 |
| Όγκος(MM) | 202.56 |
| Παροχή Αιχμής Εισόδου (M3/S) | 1504.67 |
| Όγκος Εισροής(M3) | 1.24E8 |

Απορροή



Κλάδος: R1110

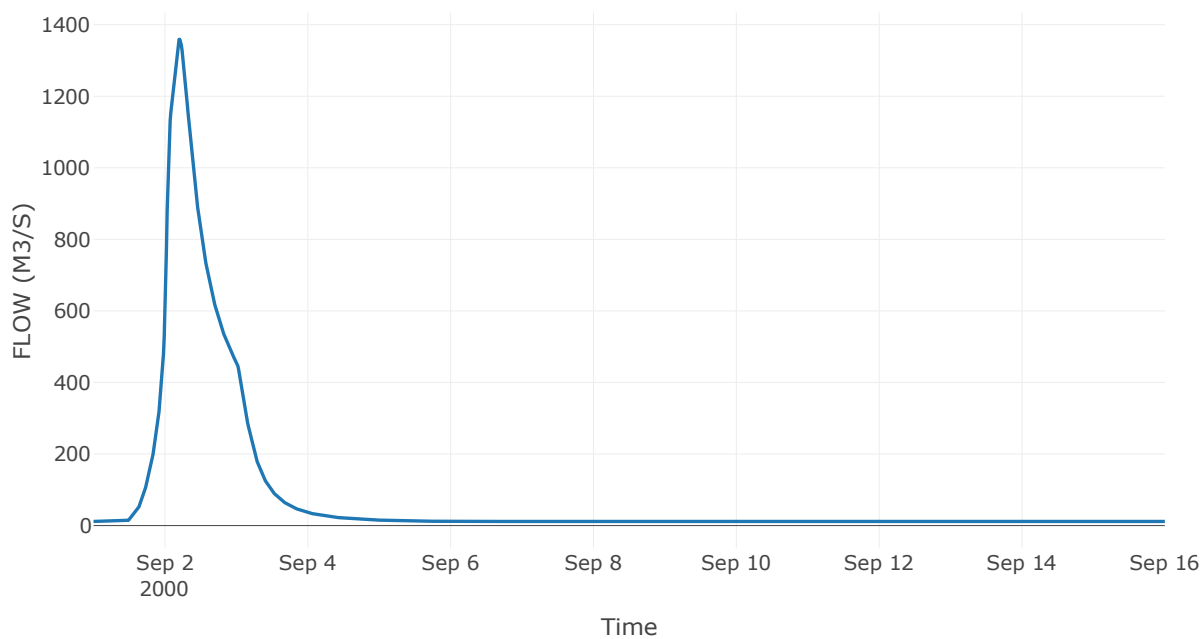
Κατάντη : J10

| | |
|----------------------|-----------------|
| Μέθοδος Διόδευσης | Muskingum |
| Αρχική Μεταβλητή | Combined Inflow |
| Χρόνος Ροής K | 0.2 |
| Συντελεστής βάρους x | 0.2 |
| Πλήθος Υποκλάδων | 1 |

Αποτελέσματα: R1110

| | |
|------------------------------|------------------|
| Παροχή Αιχμής(M3/S) | 1359.03 |
| Χρονική στιγμή αιχμής | 02Sep2000, 04:45 |
| Όγκος(MM) | 209.38 |
| Παροχή Αιχμής Εισόδου (M3/S) | 1360.51 |
| Όγκος Εισροής(M3) | 1.07E8 |

Απορροή



Κλάδος: R1211

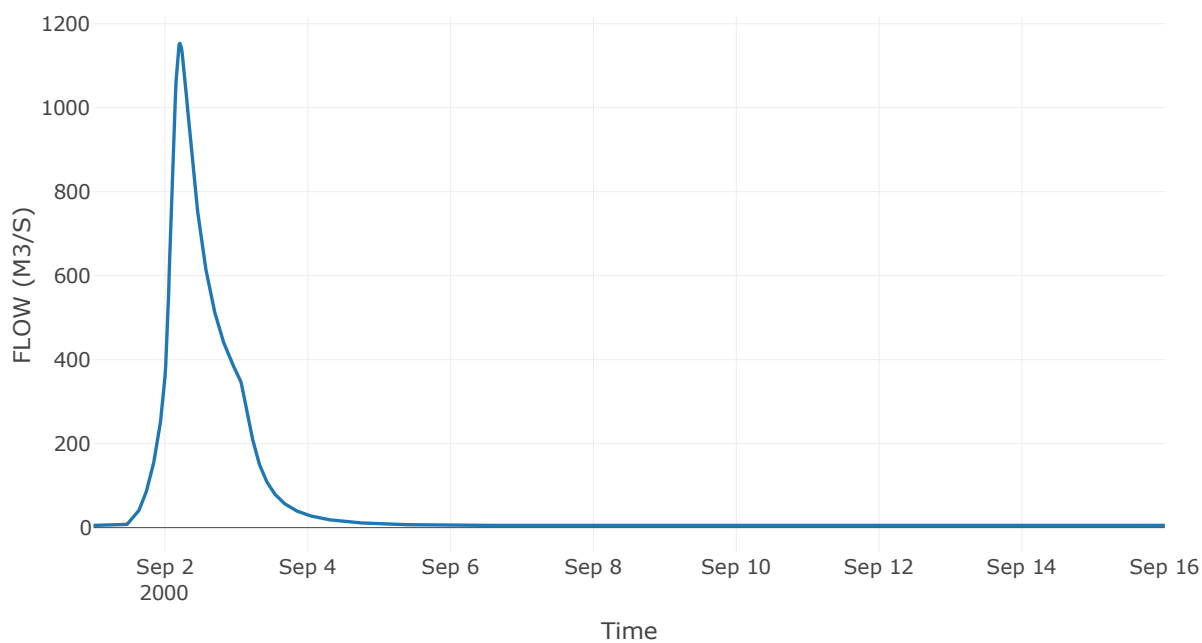
Κατάντη : J11

| | |
|----------------------|-----------------|
| Μέθοδος Διόδευσης | Muskingum |
| Αρχική Μεταβλητή | Combined Inflow |
| Χρόνος Ροής K | 1.14 |
| Συντελεστής βάρους x | 0.2 |
| Πλήθος Υποκλάδων | 5 |

Αποτελέσματα: R1211

| | |
|------------------------------|------------------|
| Παροχή Αιχμής(M3/S) | 1153.25 |
| Χρονική στιγμή αιχμής | 02Sep2000, 05:00 |
| Όγκος(MM) | 212.92 |
| Παροχή Αιχμής Εισόδου (M3/S) | 1160.76 |
| Όγκος Εισροής(M3) | 8.29E7 |

Απορροή



Κλάδος: R1312

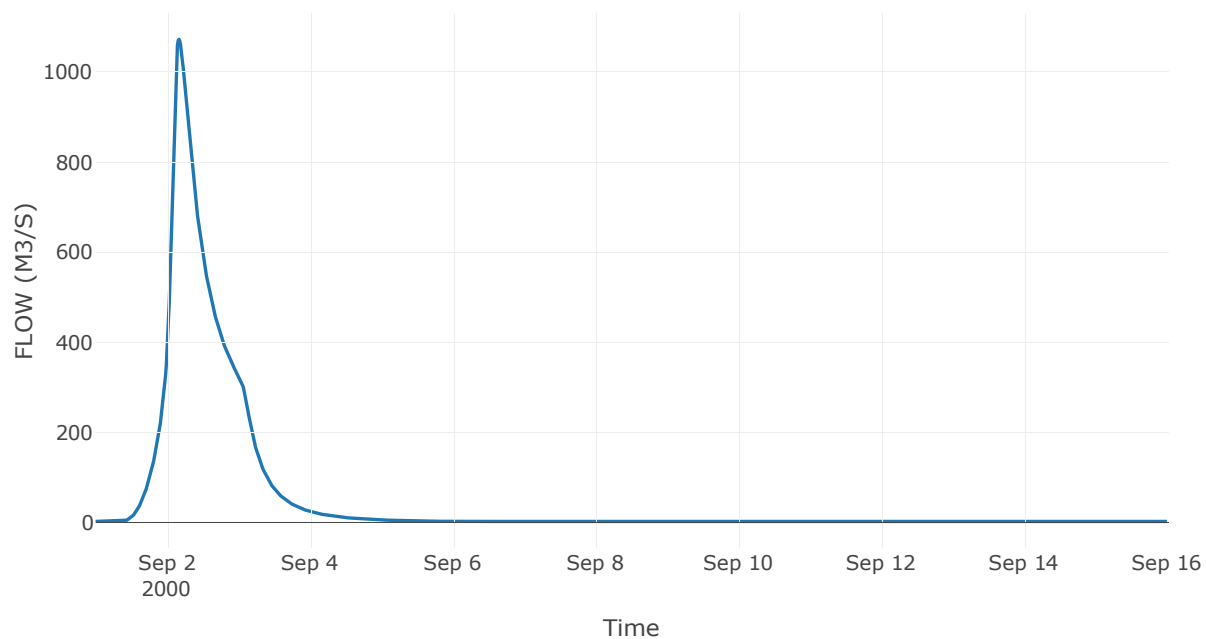
Κατάντη : J12

| | |
|-------------------|------------------|
| Μέθοδος Διόδευσης | Χρόνος Υστέρησης |
| Αρχική Μεταβλητή | Combined Inflow |
| Χρόνος Υστέρησης | 4.61 |

Αποτελέσματα: R1312

| | |
|------------------------------|------------------|
| Παροχή Αιχμής(M3/S) | 1072.21 |
| Χρονική στιγμή αιχμής | 02Sep2000, 04:00 |
| Όγκος(MM) | 209.17 |
| Παροχή Αιχμής Εισόδου (M3/S) | 1072.52 |
| Όγκος Εισροής(M3) | 7.36E7 |

Απορροή



Κλάδος: R1413

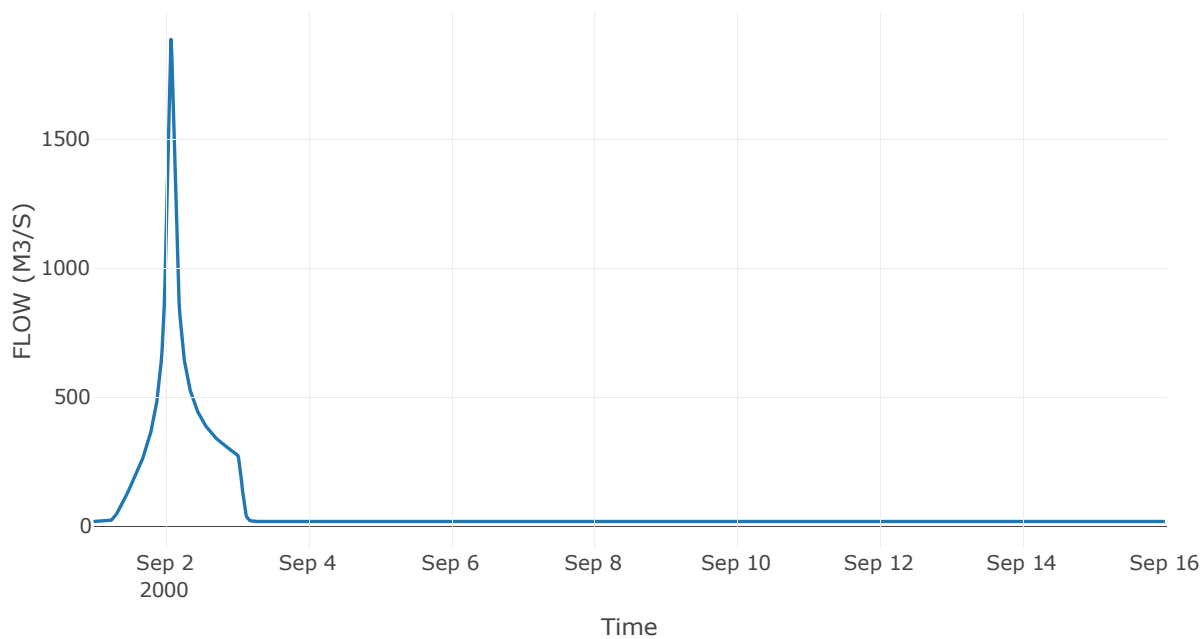
Κατάντη : Diversion - 1

| | |
|-------------------|------------------|
| Μέθοδος Διόδευσης | Χρόνος Υστέρησης |
| Αρχική Μεταβλητή | Combined Inflow |
| Χρόνος Υστέρησης | 4.85 |

Αποτελέσματα: R1413

| | |
|------------------------------|------------------|
| Παροχή Αιχμής(M3/S) | 1887.76 |
| Χρονική στιγμή αιχμής | 02Sep2000, 02:00 |
| Όγκος(MM) | 269.92 |
| Παροχή Αιχμής Εισόδου (M3/S) | 1892.36 |
| Όγκος Εισροής(M3) | 9.23E7 |

Απορροή



Κλάδος: R1514

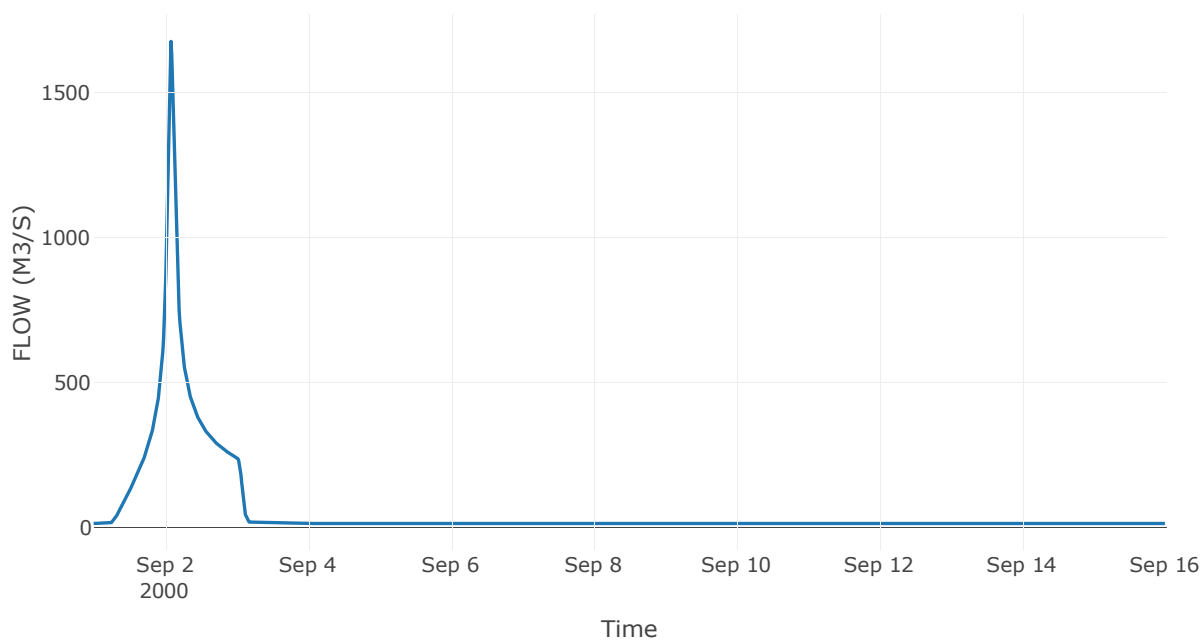
Κατάντη : J14

| | |
|----------------------|-----------------|
| Μέθοδος Διόδευσης | Muskingum |
| Αρχική Μεταβλητή | Combined Inflow |
| Χρόνος Ροής K | 0.39 |
| Συντελεστής βάρους x | 0.2 |
| Πλήθος Υποκλάδων | 2 |

Αποτελέσματα: R1514

| | |
|------------------------------|------------------|
| Παροχή Αιχμής(M3/S) | 1676.23 |
| Χρονική στιγμή αιχμής | 02Sep2000, 02:00 |
| Όγκος(MM) | 271.87 |
| Παροχή Αιχμής Εισόδου (M3/S) | 1701.41 |
| Όγκος Εισροής(M3) | 7.92E7 |

Απορροή



Κλάδος: R1615

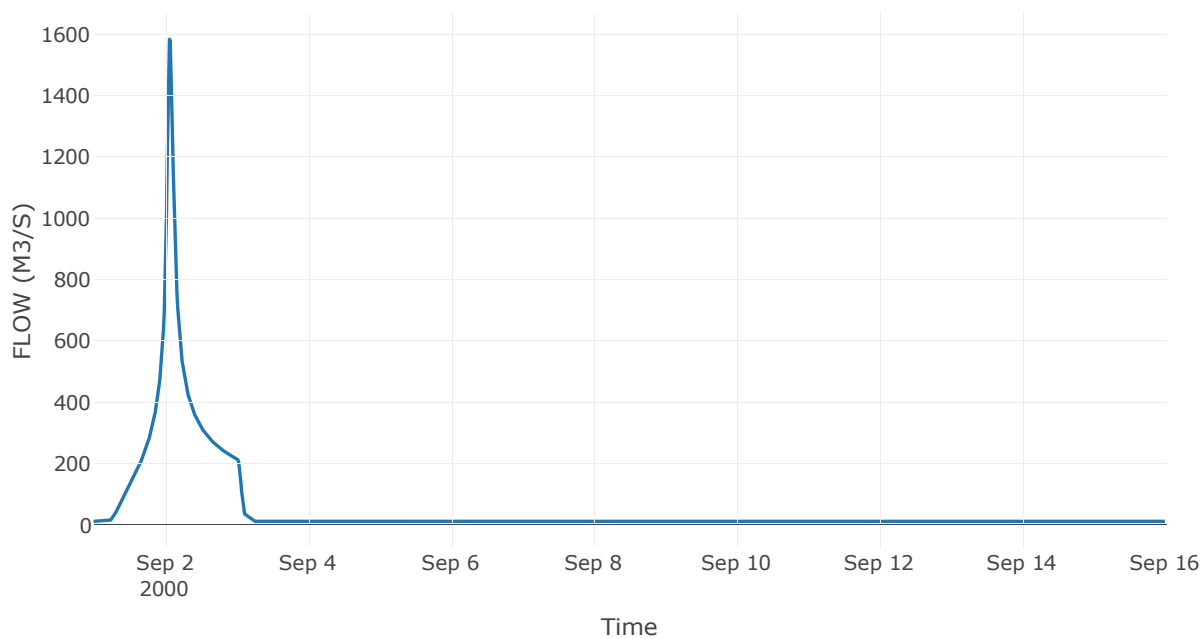
Κατάντη : J15

| | |
|----------------------|-----------------|
| Μέθοδος Διόδευσης | Muskingum |
| Αρχική Μεταβλητή | Combined Inflow |
| Χρόνος Ροής K | 0.34 |
| Συντελεστής βάρους x | 0.2 |
| Πλήθος Υποκλάδων | 1 |

Αποτελέσματα: R1615

| | |
|------------------------------|------------------|
| Παροχή Αιχμής(M3/S) | 1583.29 |
| Χρονική στιγμή αιχμής | 02Sep2000, 01:30 |
| Όγκος(MM) | 276.85 |
| Παροχή Αιχμής Εισόδου (M3/S) | 1634.21 |
| Όγκος Εισροής(M3) | 7.22E7 |

Απορροή



Κλάδος: R1716

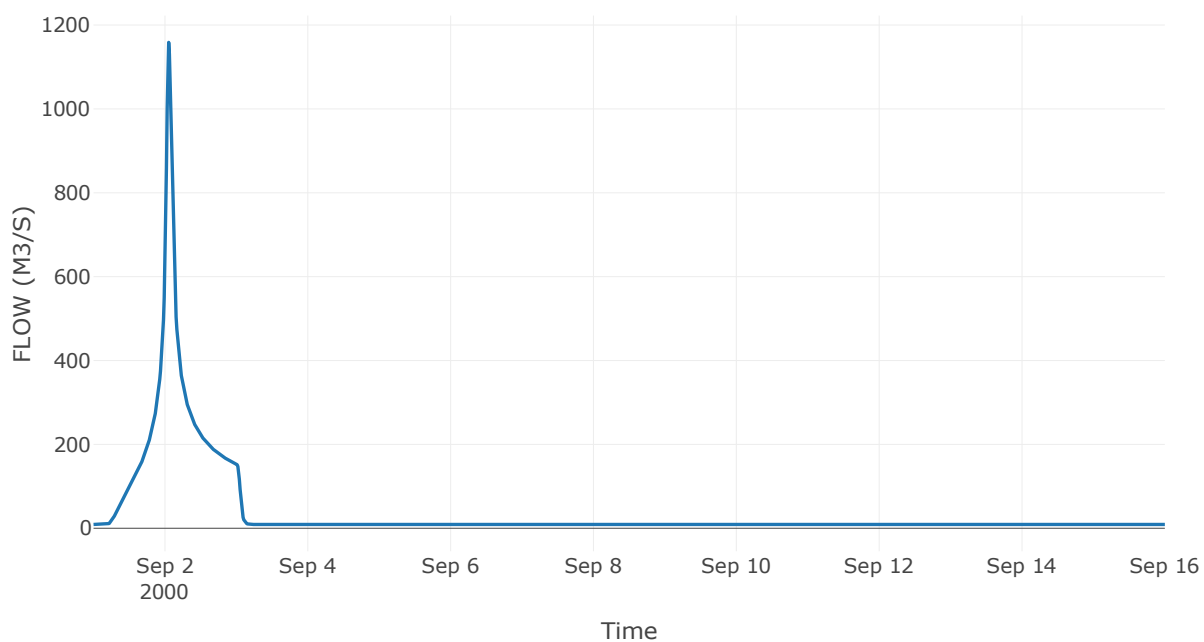
Κατάντη : J16

| | |
|-------------------|------------------|
| Μέθοδος Διόδευσης | Χρόνος Υστέρησης |
| Αρχική Μεταβλητή | Combined Inflow |
| Χρόνος Υστέρησης | 11.8 |

Αποτελέσματα: R1716

| | |
|------------------------------|------------------|
| Παροχή Αιχμής(M3/S) | 1158.63 |
| Χρονική στιγμή αιχμής | 02Sep2000, 01:15 |
| Όγκος(MM) | 278.54 |
| Παροχή Αιχμής Εισόδου (M3/S) | 1161.8 |
| Όγκος Εισροής(M3) | 5.05E7 |

Απορροή



Κλάδος: R1817

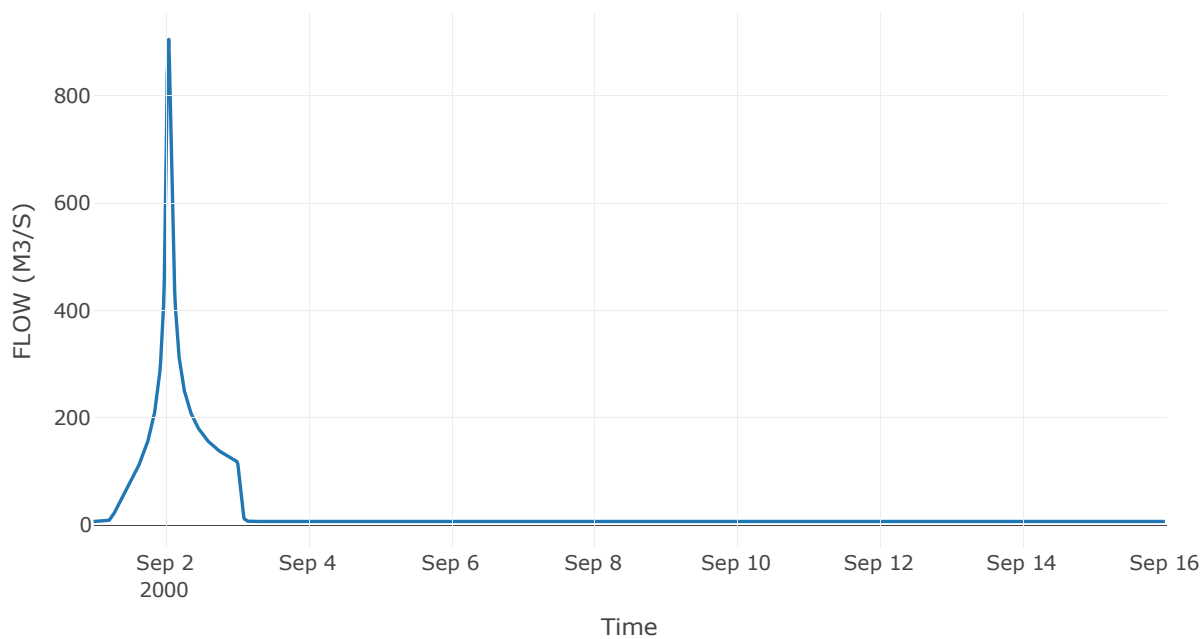
Κατάντη : J17

| | |
|-------------------|------------------|
| Μέθοδος Διόδευσης | Χρόνος Υστέρησης |
| Αρχική Μεταβλητή | Combined Inflow |
| Χρόνος Υστέρησης | 4.87 |

Αποτελέσματα: R1817

| | |
|------------------------------|------------------|
| Παροχή Αιχμής(M3/S) | 904.25 |
| Χρονική στιγμή αιχμής | 02Sep2000, 01:15 |
| Όγκος(MM) | 277.24 |
| Παροχή Αιχμής Εισόδου (M3/S) | 915.5 |
| Όγκος Εισροής(M3) | 3.95E7 |

Απορροή



Κλάδος: R1918

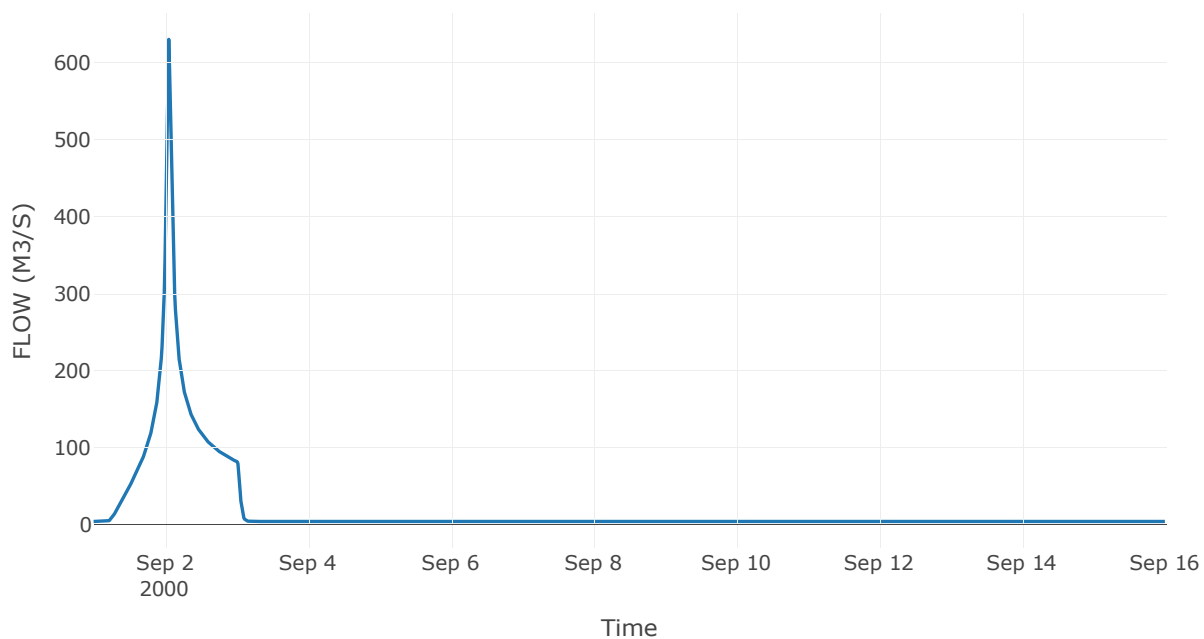
Κατάντη : J18

| | |
|-------------------|------------------|
| Μέθοδος Διόδευσης | Χρόνος Υστέρησης |
| Αρχική Μεταβλητή | Combined Inflow |
| Χρόνος Υστέρησης | 20.37 |

Αποτελέσματα: R1918

| | |
|------------------------------|------------------|
| Παροχή Αιχμής(M3/S) | 630.27 |
| Χρονική στιγμή αιχμής | 02Sep2000, 01:15 |
| Όγκος(MM) | 276.31 |
| Παροχή Αιχμής Εισόδου (M3/S) | 638.12 |
| Όγκος Εισροής(M3) | 2.71E7 |

Απορροή



Κλάδος: R2019

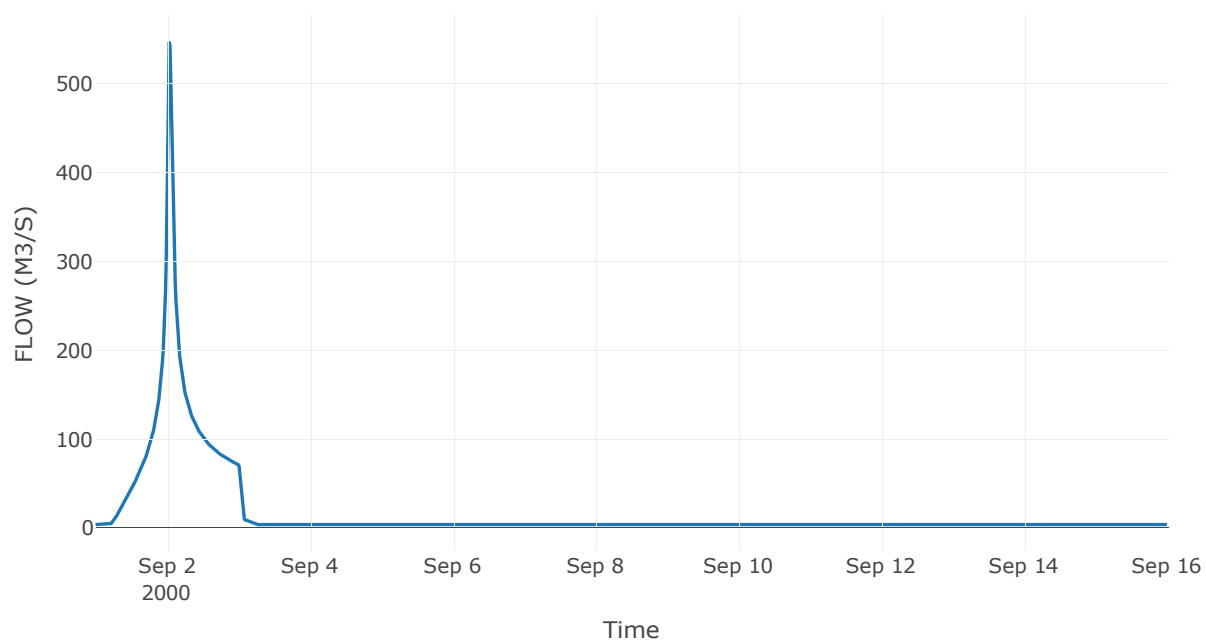
Κατάντη : J19

| | |
|-------------------|------------------|
| Μέθοδος Διόδευσης | Χρόνος Υστέρησης |
| Αρχική Μεταβλητή | Combined Inflow |
| Χρόνος Υστέρησης | 1.86 |

Αποτελέσματα: R2019

| | |
|------------------------------|------------------|
| Παροχή Αιχμής(M3/S) | 546.19 |
| Χρονική στιγμή αιχμής | 02Sep2000, 00:45 |
| Όγκος(MM) | 275.79 |
| Παροχή Αιχμής Εισόδου (M3/S) | 548.63 |
| Όγκος Εισροής(M3) | 2.34E7 |

Απορροή



Κλάδος: R2120

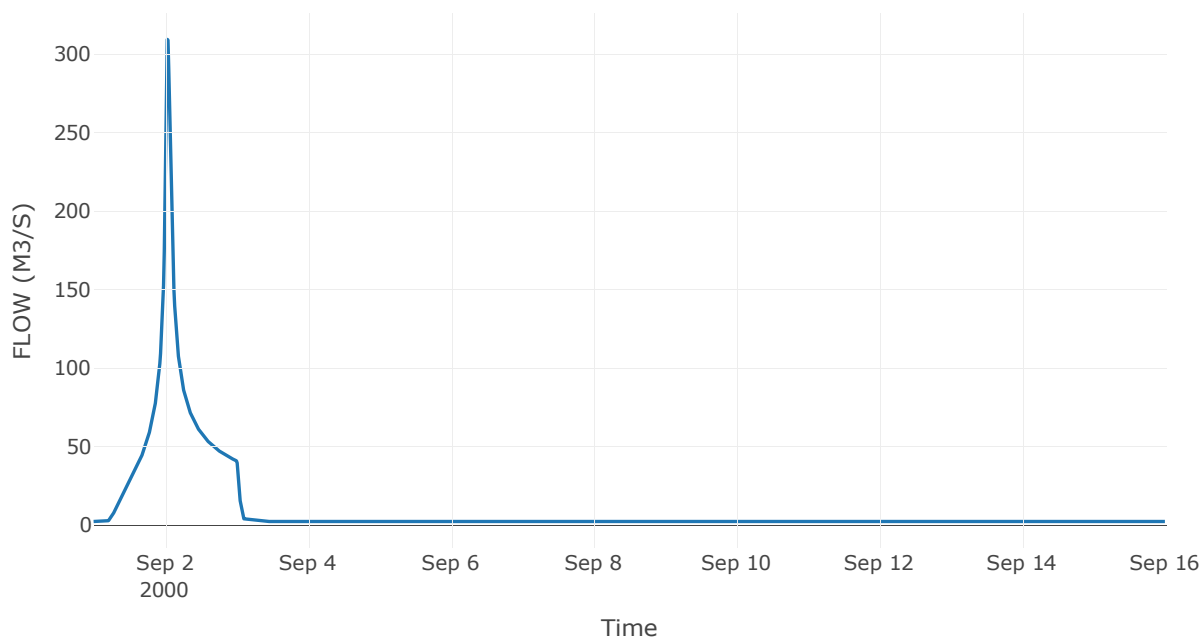
Κατάντη : J20

| | |
|-------------------|------------------|
| Μέθοδος Διόδευσης | Χρόνος Υστέρησης |
| Αρχική Μεταβλητή | Combined Inflow |
| Χρόνος Υστέρησης | 1.85 |

Αποτελέσματα: R2120

| | |
|------------------------------|------------------|
| Παροχή Αιχμής(M3/S) | 309.23 |
| Χρονική στιγμή αιχμής | 02Sep2000, 00:45 |
| Όγκος(MM) | 283.9 |
| Παροχή Αιχμής Εισόδου (M3/S) | 310.67 |
| Όγκος Εισροής(M3) | 1.35E7 |

Απορροή



Κλάδος: R2220

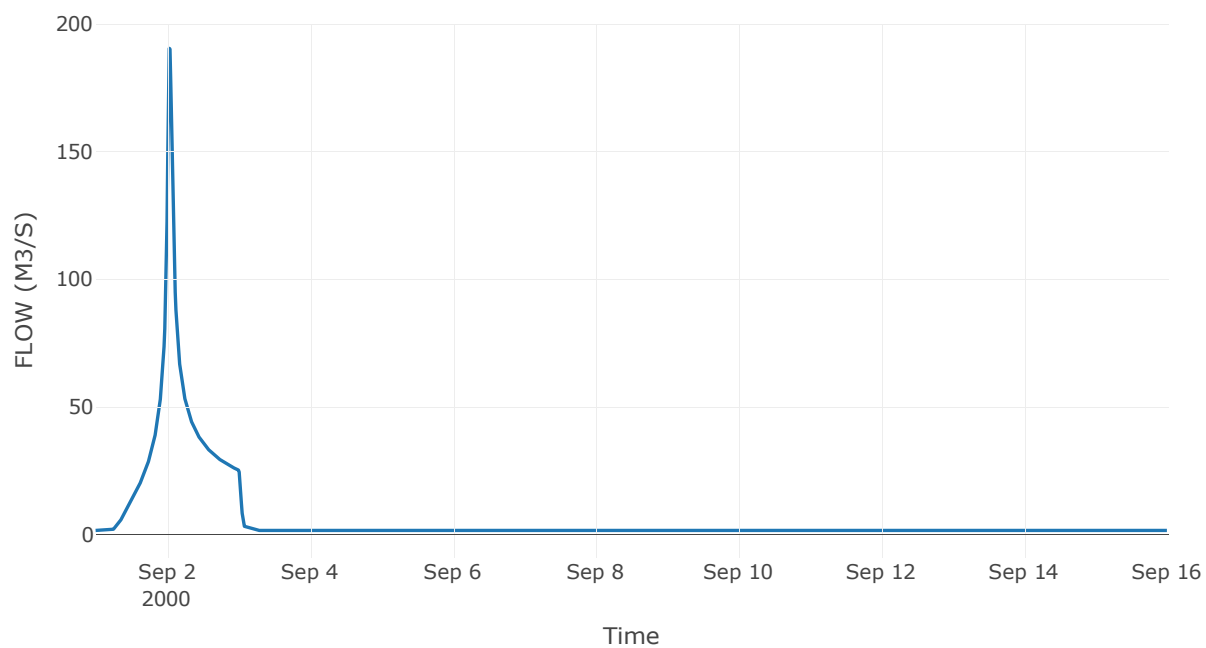
Κατάντη : J20

| | |
|-------------------|------------------|
| Μέθοδος Διόδευσης | Χρόνος Υστέρησης |
| Αρχική Μεταβλητή | Combined Inflow |
| Χρόνος Υστέρησης | 7.76 |

Αποτελέσματα: R2220

| | |
|------------------------------|------------------|
| Παροχή Αιχμής(M3/S) | 190.38 |
| Χρονική στιγμή αιχμής | 02Sep2000, 00:45 |
| Όγκος(MM) | 261.89 |
| Παροχή Αιχμής Εισόδου (M3/S) | 194.34 |
| Όγκος Εισροής(M3) | 8.05E6 |

Απορροή



Κλάδος: R2314

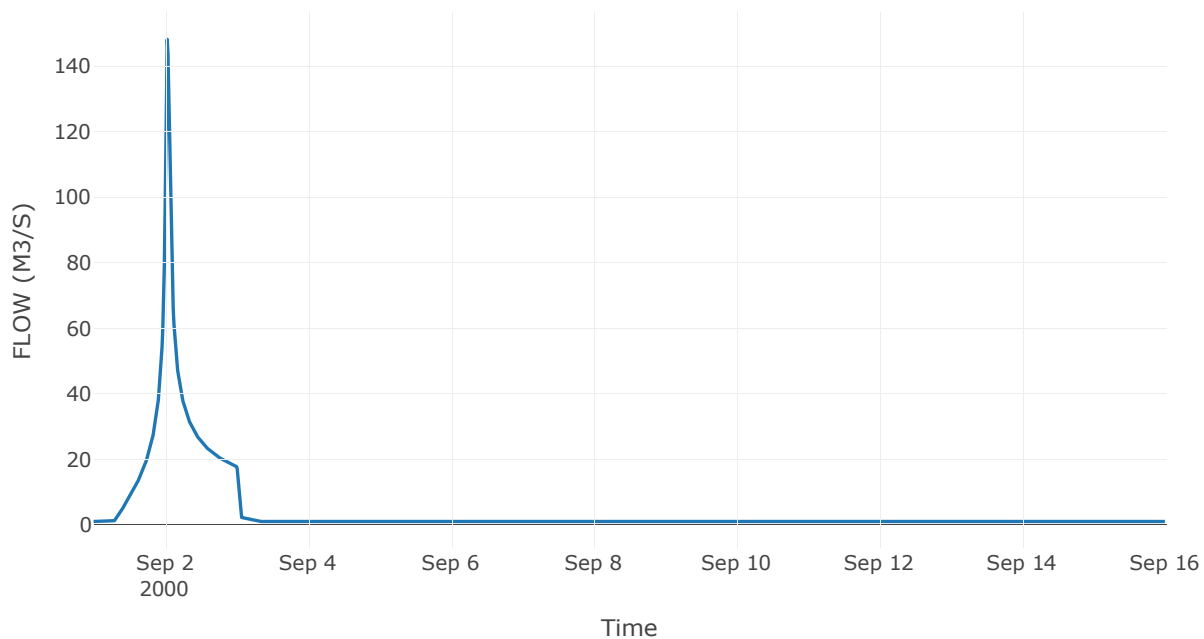
Κατάντη : J14

| | |
|-------------------|------------------|
| Μέθοδος Διόδευσης | Χρόνος Υστέρησης |
| Αρχική Μεταβλητή | Combined Inflow |
| Χρόνος Υστέρησης | 6.78 |

Αποτελέσματα: R2314

| | |
|------------------------------|------------------|
| Παροχή Αιχμής(M3/S) | 148.15 |
| Χρονική στιγμή αιχμής | 02Sep2000, 00:45 |
| Όγκος(MM) | 265.86 |
| Παροχή Αιχμής Εισόδου (M3/S) | 149.75 |
| Όγκος Εισροής(M3) | 5.72E6 |

Απορροή



Κλάδος: R2411

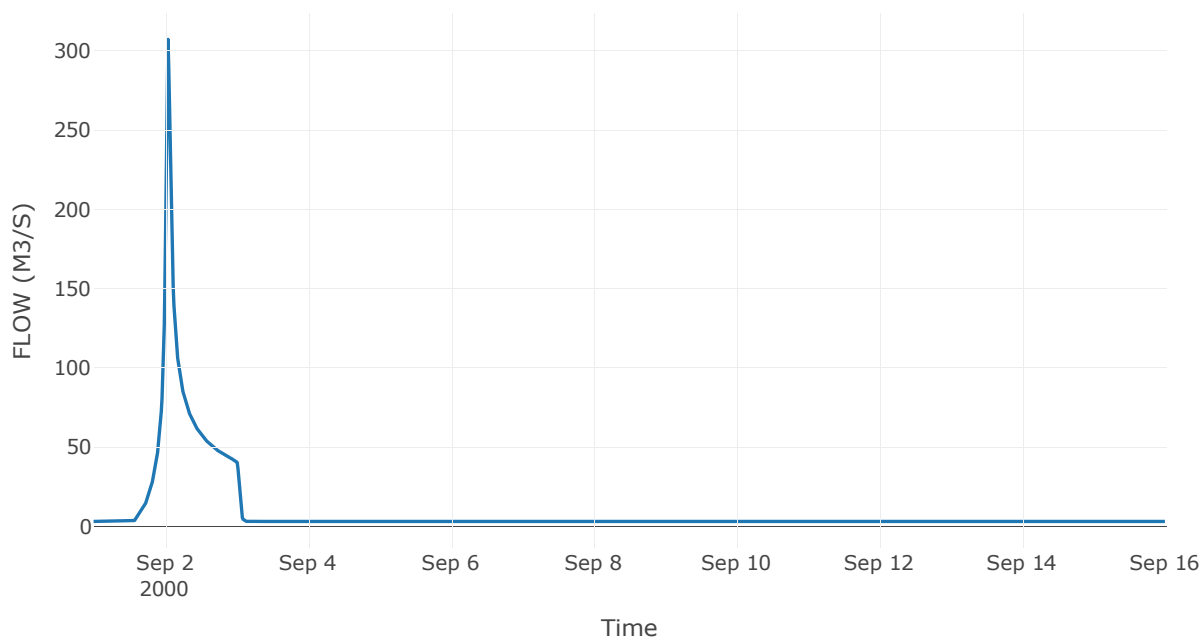
Κατάντη : J11

| | |
|-------------------|------------------|
| Μέθοδος Διόδευσης | Χρόνος Υστέρησης |
| Αρχική Μεταβλητή | Combined Inflow |
| Χρόνος Υστέρησης | 6.12 |

Αποτελέσματα: R2411

| | |
|------------------------------|------------------|
| Παροχή Αιχμής(M3/S) | 307.2 |
| Χρονική στιγμή αιχμής | 02Sep2000, 01:00 |
| Όγκος(MM) | 195.33 |
| Παροχή Αιχμής Εισόδου (M3/S) | 309.5 |
| Όγκος Εισροής(M3) | 1.22E7 |

Απορροή



Κλάδος: R2524

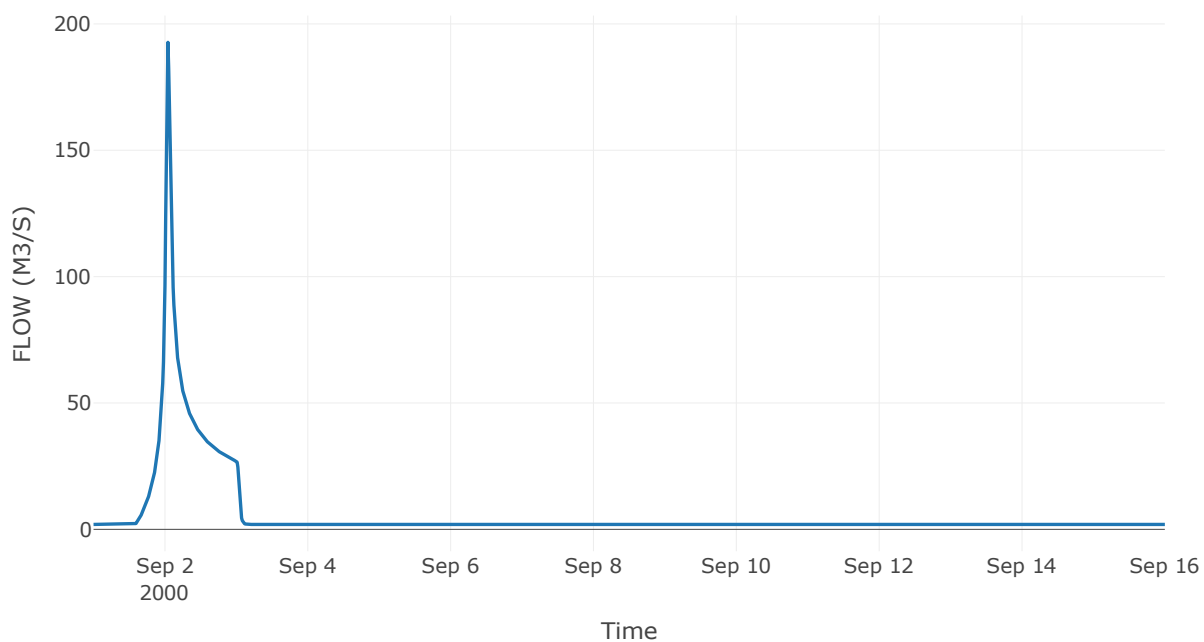
Κατάντη : J24

| | |
|-------------------|------------------|
| Μέθοδος Διόδευσης | Χρόνος Υστέρησης |
| Αρχική Μεταβλητή | Combined Inflow |
| Χρόνος Υστέρησης | 12.43 |

Αποτελέσματα: R2524

| | |
|------------------------------|------------------|
| Παροχή Αιχμής(M3/S) | 192.7 |
| Χρονική στιγμή αιχμής | 02Sep2000, 01:00 |
| Όγκος(MM) | 198.67 |
| Παροχή Αιχμής Εισόδου (M3/S) | 194.33 |
| Όγκος Εισροής(M3) | 7.73E6 |

Απορροή



Κλάδος: R2610

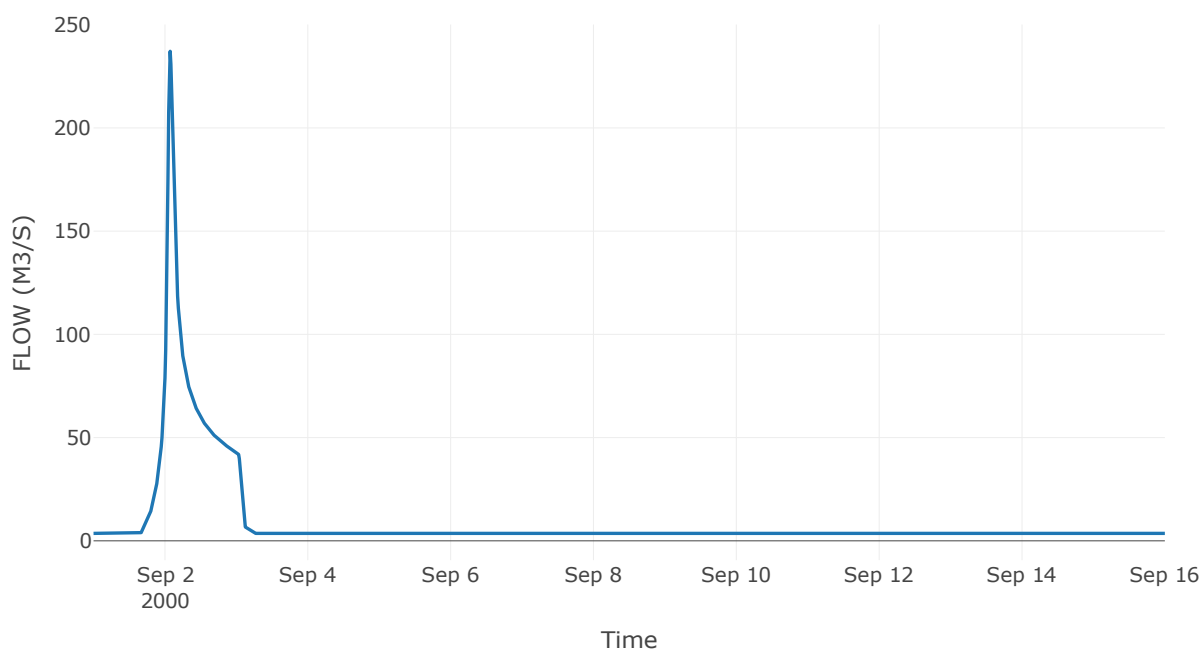
Κατάντη : J10

| | |
|-------------------|------------------|
| Μέθοδος Διόδευσης | Χρόνος Υστέρησης |
| Αρχική Μεταβλητή | Combined Inflow |
| Χρόνος Υστέρησης | 35.27 |

Αποτελέσματα: R2610

| | |
|------------------------------|------------------|
| Παροχή Αιχμής(M3/S) | 237.11 |
| Χρονική στιγμή αιχμής | 02Sep2000, 01:45 |
| Όγκος(MM) | 168.28 |
| Παροχή Αιχμής Εισόδου (M3/S) | 237.73 |
| Όγκος Εισροής(M3) | 1.21E7 |

Απορροή



Κλάδος: R278

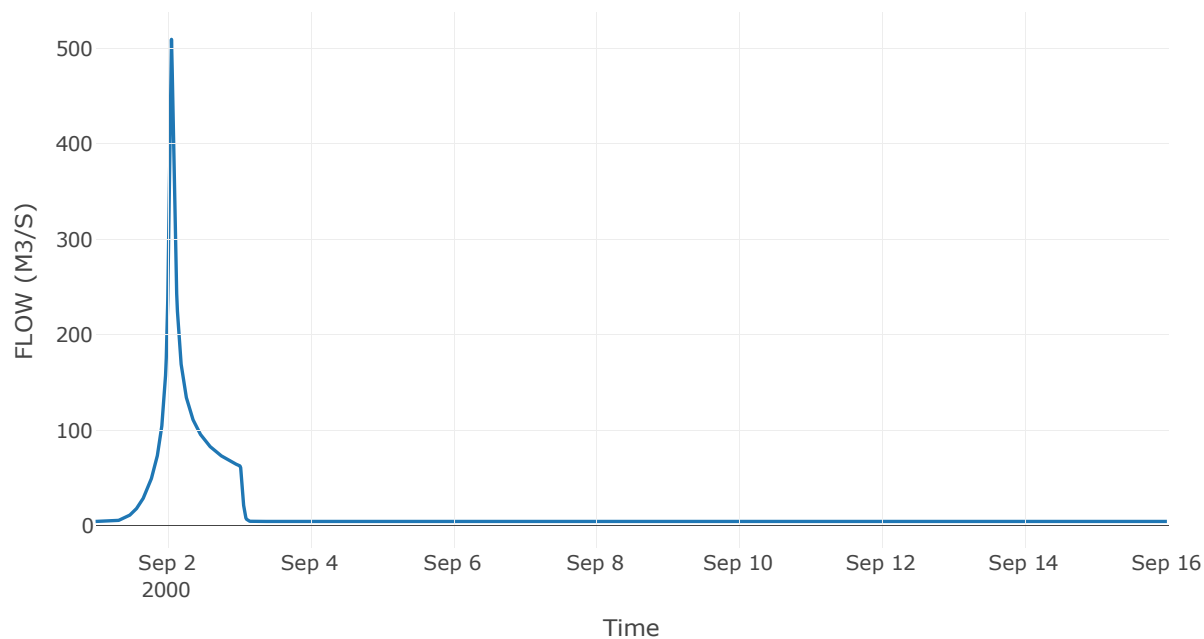
Κατάντη : J8

| | |
|-------------------|------------------|
| Μέθοδος Διόδευσης | Χρόνος Υστέρησης |
| Αρχική Μεταβλητή | Combined Inflow |
| Χρόνος Υστέρησης | 32.8 |

Αποτελέσματα: R278

| | |
|------------------------------|------------------|
| Παροχή Αιχμής(M3/S) | 509.18 |
| Χρονική στιγμή αιχμής | 02Sep2000, 01:30 |
| Όγκος(MM) | 207.9 |
| Παροχή Αιχμής Εισόδου (M3/S) | 509.82 |
| Όγκος Εισροής(M3) | 2.03E7 |

Απορροή



Κλάδος: R2827

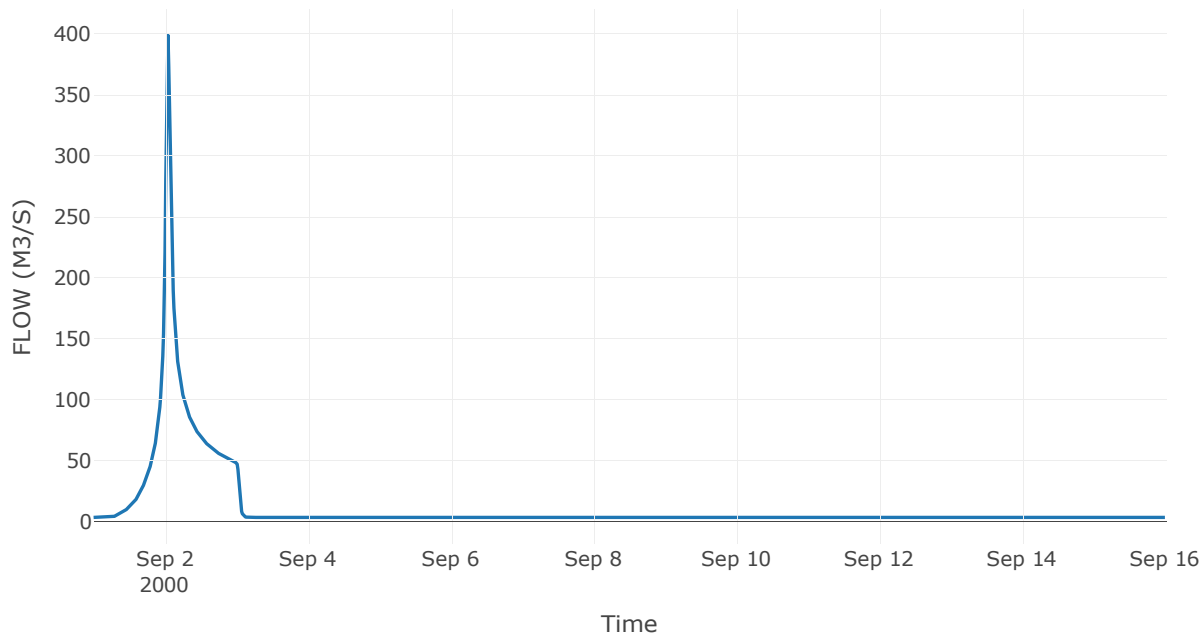
Κατάντη : J27

| | |
|-------------------|------------------|
| Μέθοδος Διόδευσης | Χρόνος Υστέρησης |
| Αρχική Μεταβλητή | Combined Inflow |
| Χρόνος Υστέρησης | 3.92 |

Αποτελέσματα: R2827

| | |
|------------------------------|------------------|
| Παροχή Αιχμής(M3/S) | 398.94 |
| Χρονική στιγμή αιχμής | 02Sep2000, 01:00 |
| Όγκος(MM) | 210.05 |
| Παροχή Αιχμής Εισόδου (M3/S) | 398.96 |
| Όγκος Εισροής(M3) | 1.57E7 |

Απορροή



Κλάδος: R2928

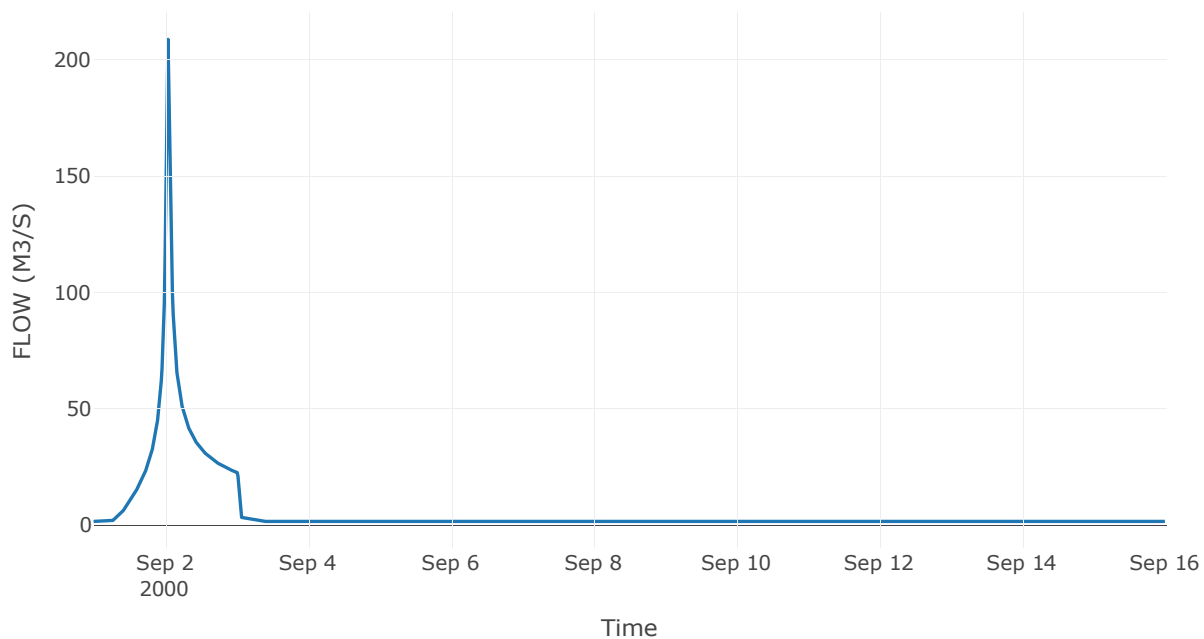
Κατάντη : J28

| | |
|-------------------|------------------|
| Μέθοδος Διόδευσης | Χρόνος Υστέρησης |
| Αρχική Μεταβλητή | Combined Inflow |
| Χρόνος Υστέρησης | 17.22 |

Αποτελέσματα: R2928

| | |
|------------------------------|------------------|
| Παροχή Αιχμής(M3/S) | 208.7 |
| Χρονική στιγμή αιχμής | 02Sep2000, 01:00 |
| Όγκος(MM) | 240.74 |
| Παροχή Αιχμής Εισόδου (M3/S) | 208.71 |
| Όγκος Εισροής(M3) | 7.67E6 |

Απορροή



Κλάδος: R302

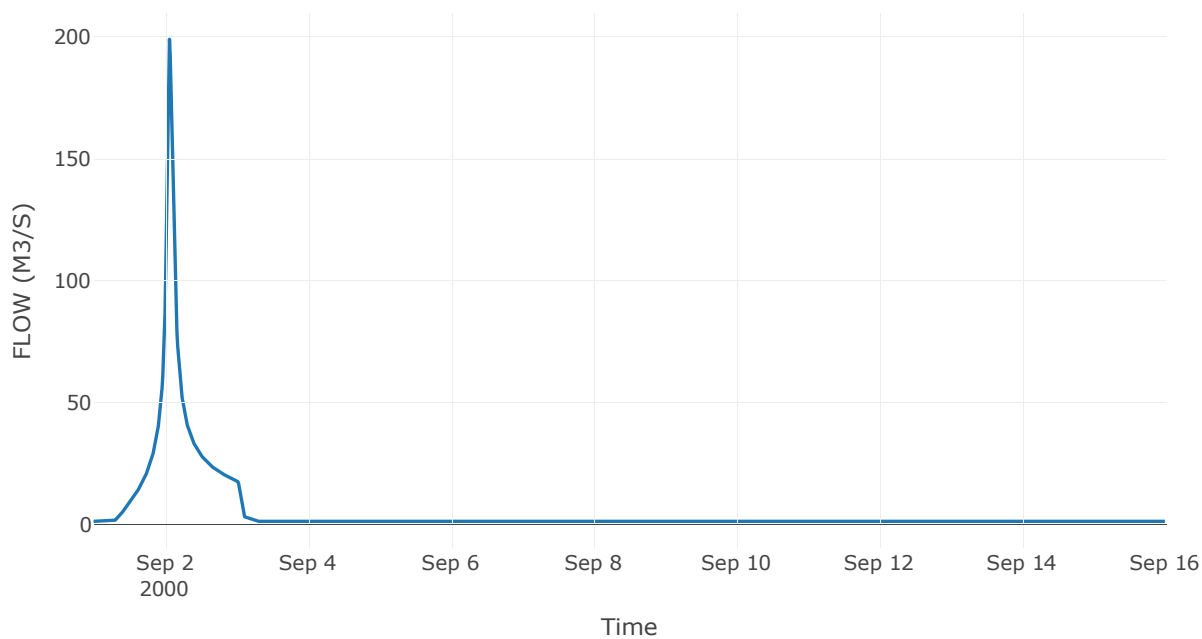
Κατάντη : J2

| | |
|----------------------|-----------------|
| Μέθοδος Διόδευσης | Muskingum |
| Αρχική Μεταβλητή | Combined Inflow |
| Χρόνος Ροής K | 0.26 |
| Συντελεστής βάρους x | 0.2 |
| Πλήθος Υποκλάδων | 1 |

Αποτελέσματα: R302

| | |
|------------------------------|------------------|
| Παροχή Αιχμής(M3/S) | 198.95 |
| Χρονική στιγμή αιχμής | 02Sep2000, 01:30 |
| Όγκος(MM) | 245.09 |
| Παροχή Αιχμής Εισόδου (M3/S) | 202.62 |
| Όγκος Εισροής(M3) | 7.31E6 |

Απορροή



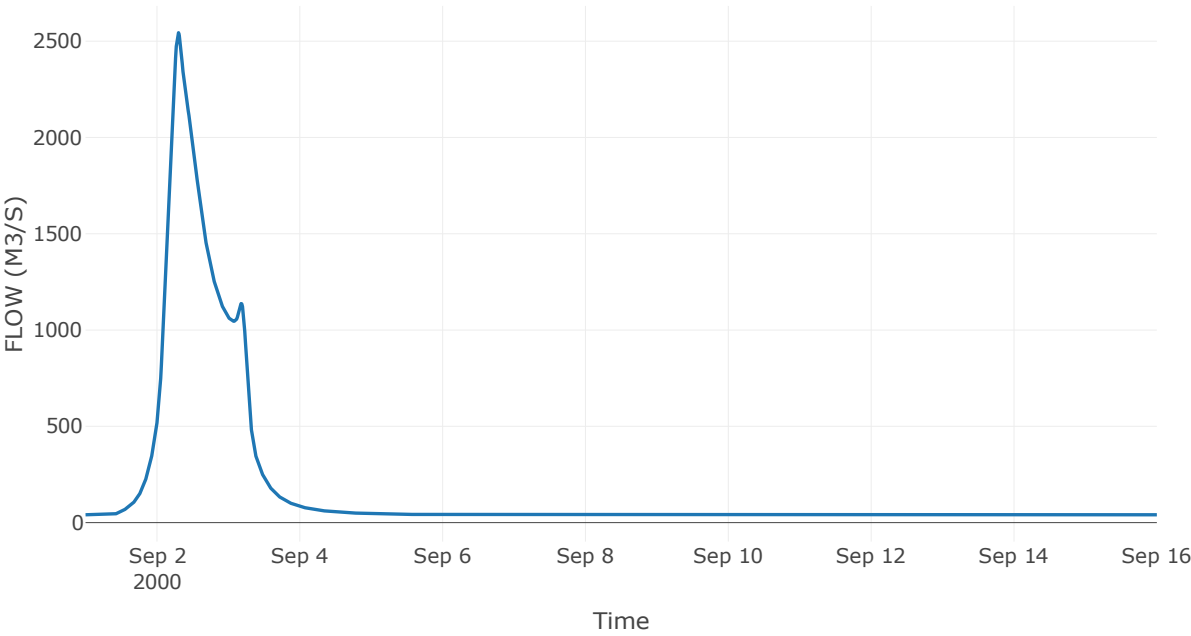
5.3 Δεδομένα και Υδρογραφήματα Σχεδιασμού Κόμβων Υδρογραφικού Δικτύου

Κόμβος εξόδου: J1

Αποτέλεσμα
τα: J1

| | |
|-----------------------|------------------|
| Παροχή αιχμής (M3/S) | 2544.19 |
| Χρονική στιγμή αιχμής | 02Sep2000, 07:15 |
| Όγκος (MM) | 211.59 |

Απορροή



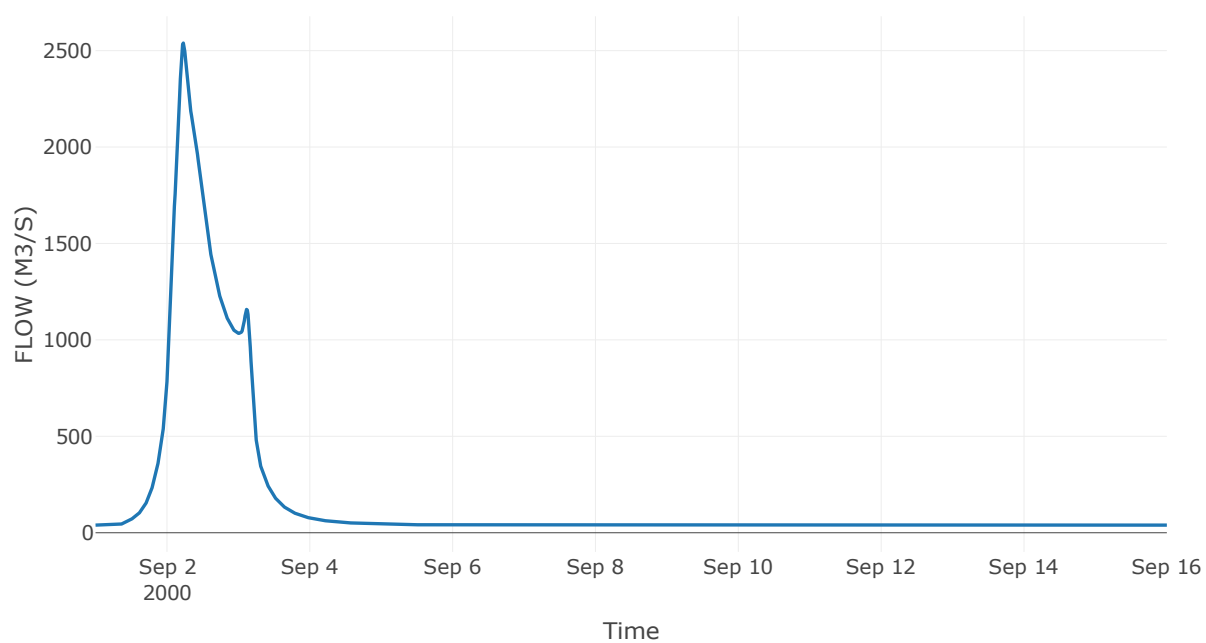
Κόμβος: J2

Κατάντη : R21

Αποτελέσματα: J2

| | |
|-----------------------|------------------|
| Παροχή Αιχμής(M3/S) | 2539.2 |
| Χρονική στιγμή αιχμής | 02Sep2000, 05:30 |
| Όγκος(MM) | 211.67 |

Απορροή



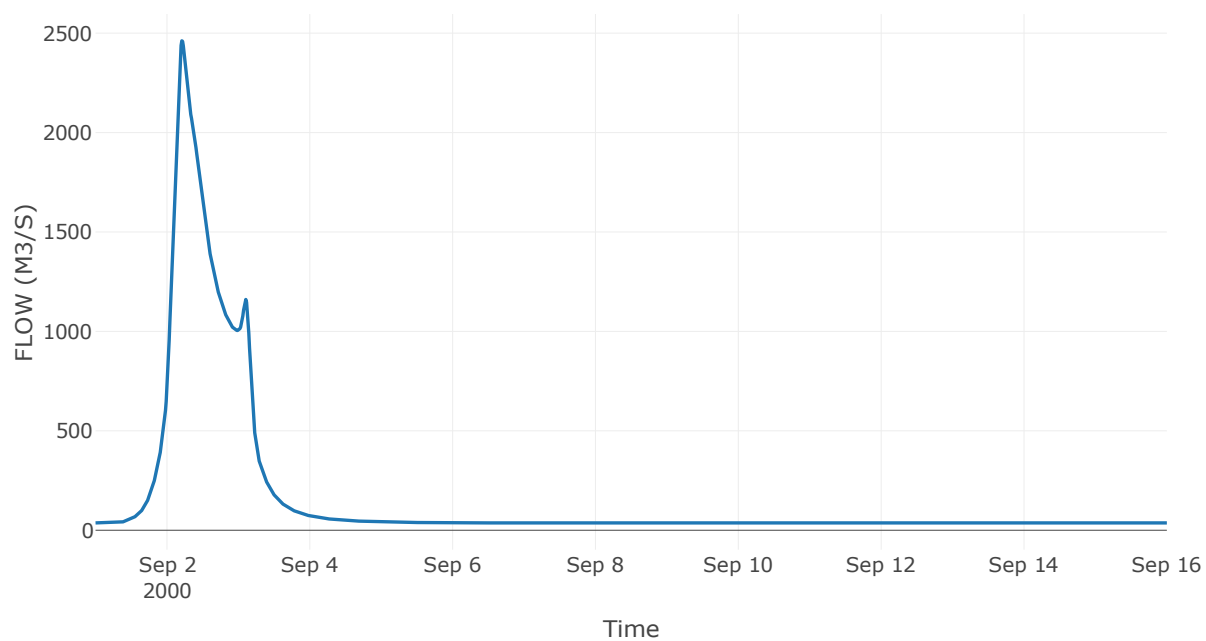
Κόμβος: J3

Κατάντη : R32

Αποτελέσματα: J3

| | |
|-----------------------|------------------|
| Παροχή Αιχμής(M3/S) | 2461.45 |
| Χρονική στιγμή αιχμής | 02Sep2000, 05:00 |
| Όγκος(MM) | 210.23 |

Απορροή



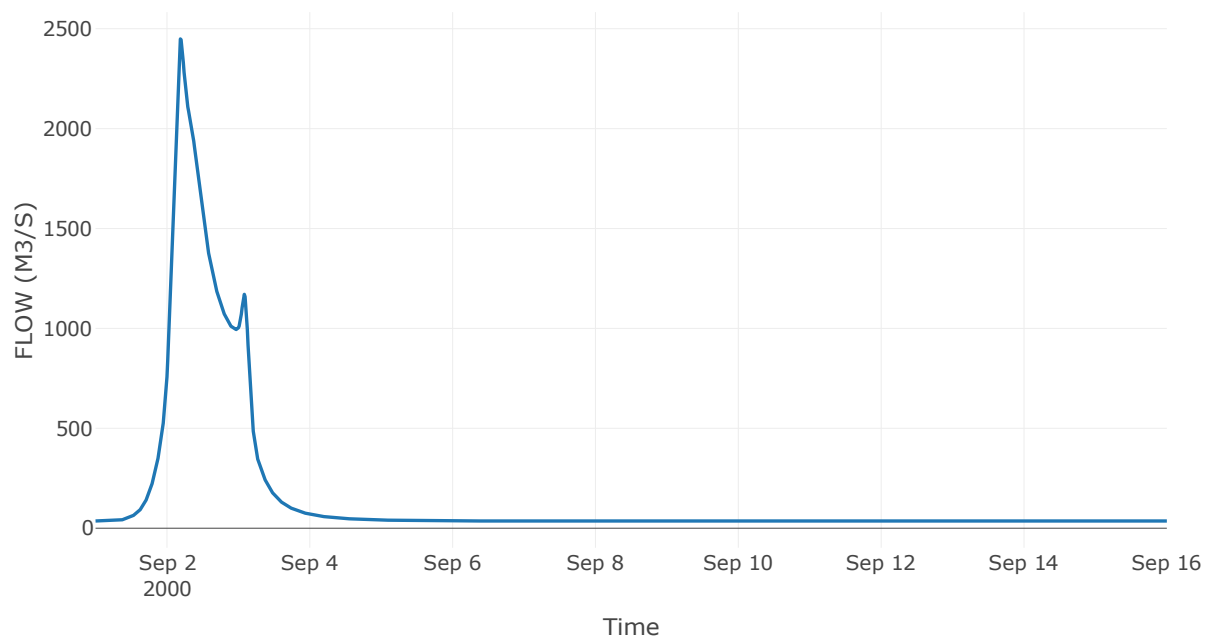
Κόμβος: J4

Κατάντη : R43

Αποτελέσματα: J4

| | |
|-----------------------|------------------|
| Παροχή Αιχμής(M3/S) | 2448.98 |
| Χρονική στιγμή αιχμής | 02Sep2000, 04:30 |
| Όγκος(MM) | 210.16 |

Απορροή



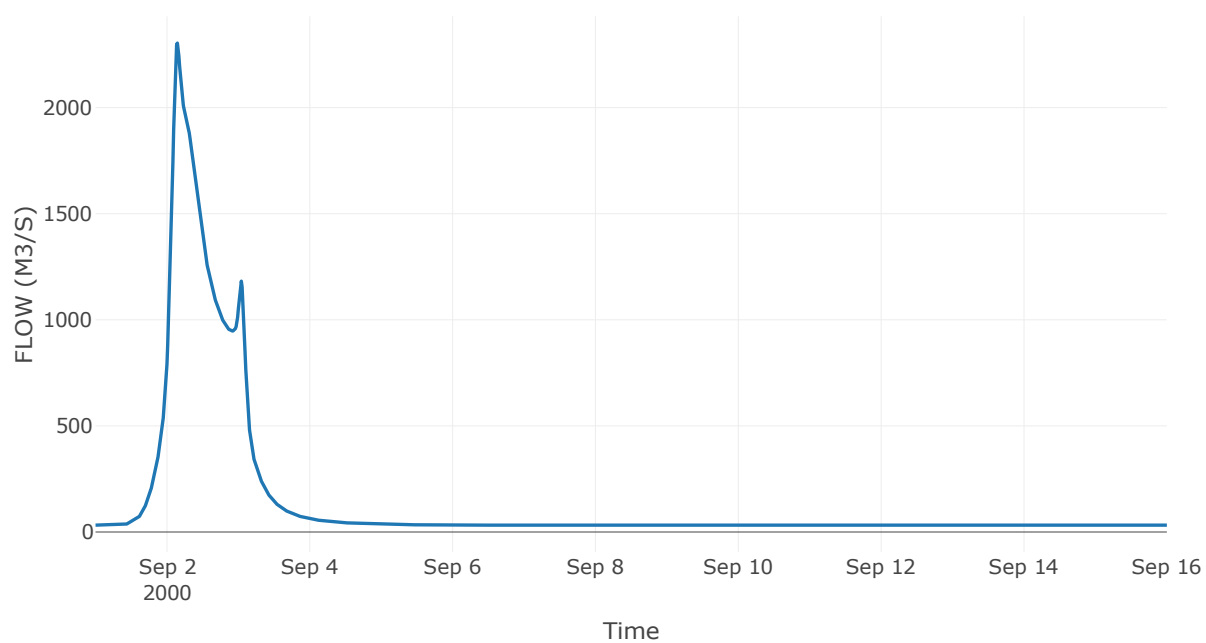
Κόμβος: J5

Κατάντη : R54

Αποτελέσματα: J5

| | |
|-----------------------|------------------|
| Παροχή Αιχμής(M3/S) | 2304.17 |
| Χρονική στιγμή αιχμής | 02Sep2000, 03:30 |
| Όγκος(MM) | 207.8 |

Απορροή



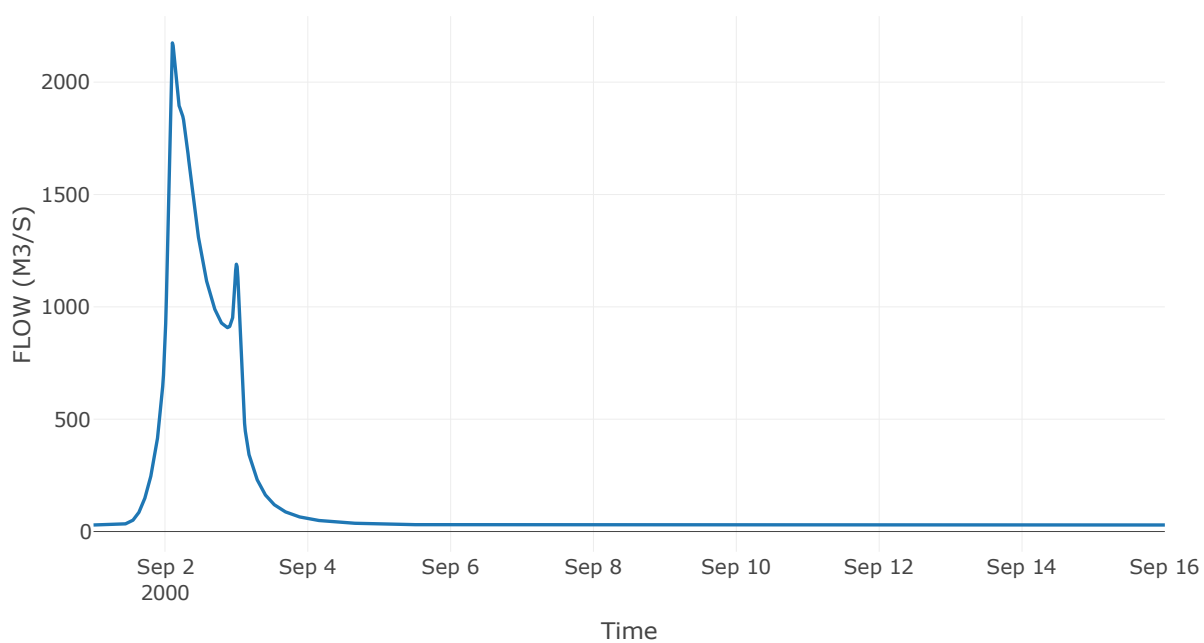
Κόμβος: J6

Κατάντη : R65

Αποτελέσματα: J6

| | |
|-----------------------|------------------|
| Παροχή Αιχμής(M3/S) | 2174.68 |
| Χρονική στιγμή αιχμής | 02Sep2000, 02:30 |
| Όγκος(MM) | 207.36 |

Απορροή



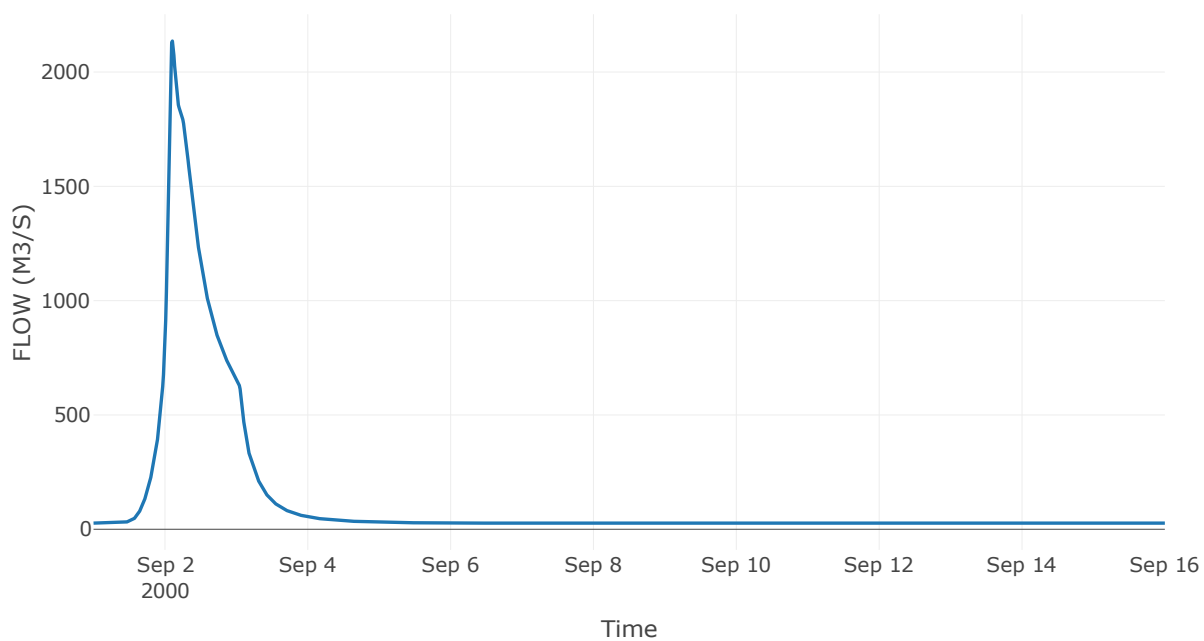
Κόμβος: J7

Κατάντη : R76

Αποτελέσματα: J7

| | |
|-----------------------|------------------|
| Παροχή Αιχμής(M3/S) | 2135.69 |
| Χρονική στιγμή αιχμής | 02Sep2000, 02:30 |
| Όγκος(MM) | 200.86 |

Απορροή



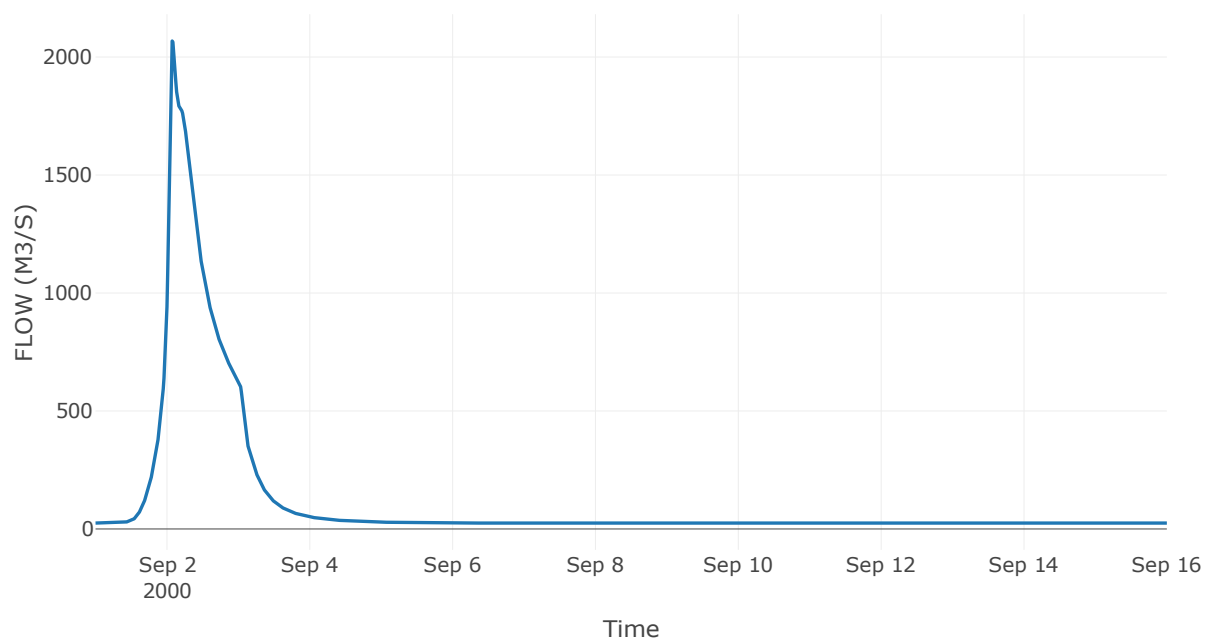
Κόμβος: J8

Κατάντη : R87

Αποτελέσματα: J8

| | |
|-----------------------|------------------|
| Παροχή Αιχμής(M3/S) | 2068.02 |
| Χρονική στιγμή αιχμής | 02Sep2000, 01:45 |
| Όγκος(MM) | 201.96 |

Απορροή



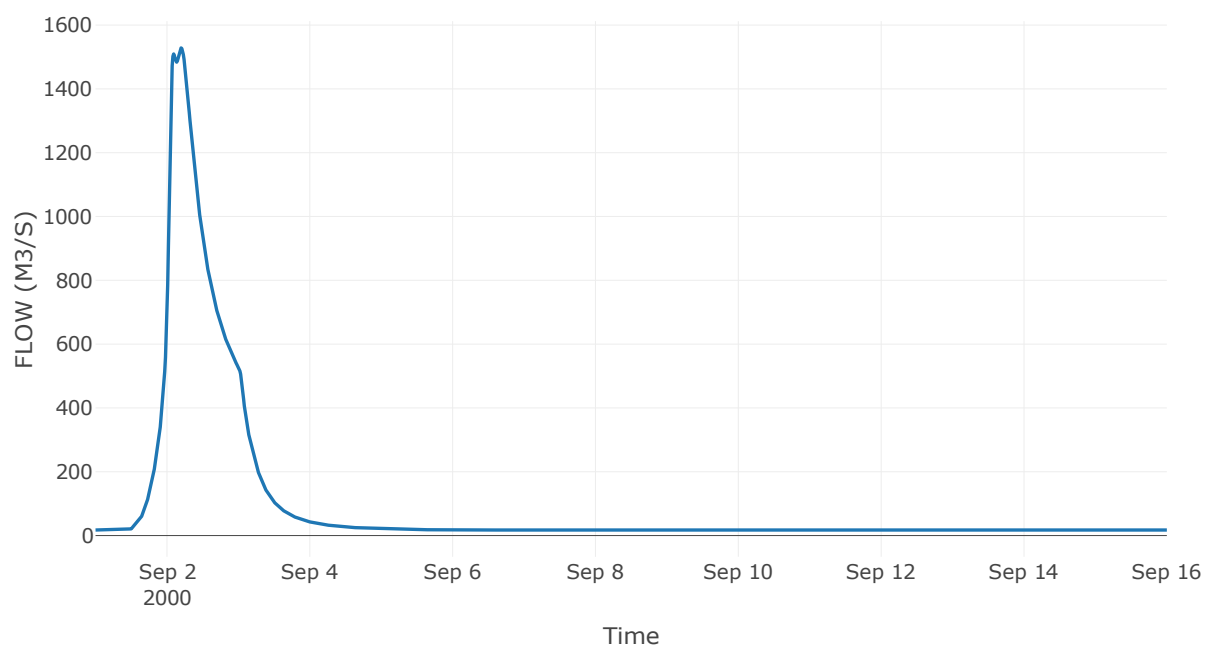
Κόμβος: J9

Κατάντη : R98

Αποτελέσματα: J9

| | |
|-----------------------|------------------|
| Παροχή Αιχμής(M3/S) | 1528.39 |
| Χρονική στιγμή αιχμής | 02Sep2000, 04:45 |
| Όγκος(MM) | 202.06 |

Απορροή



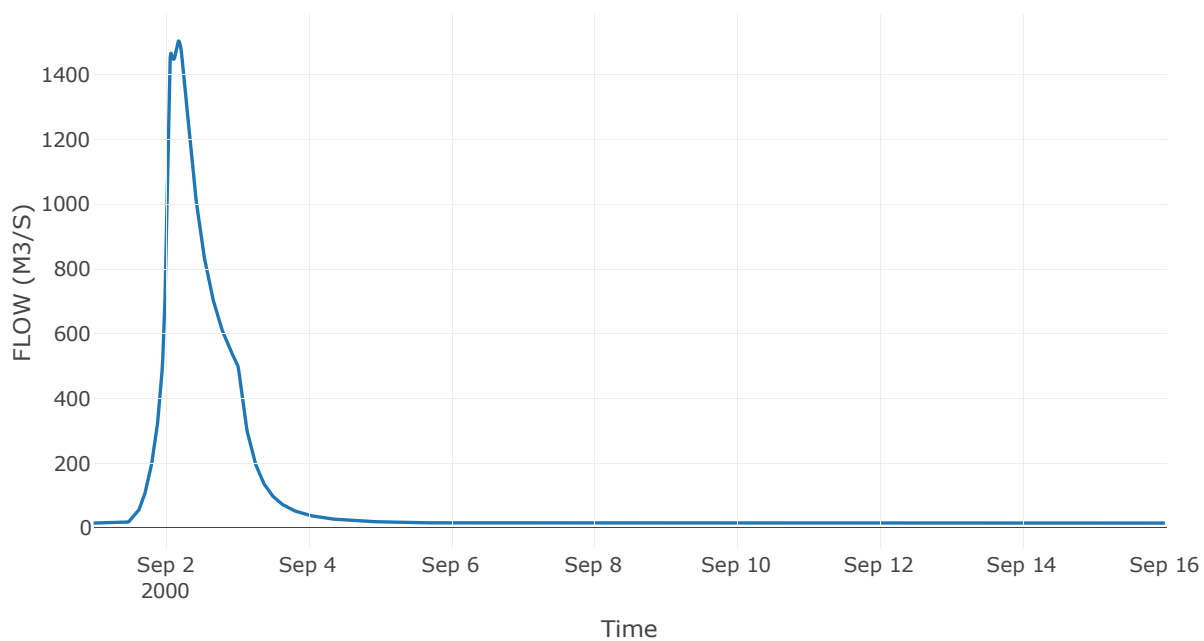
Κόμβος: J10

Κατάντη : R109

Αποτελέσματα: J10

| | |
|-----------------------|------------------|
| Παροχή Αιχμής(M3/S) | 1504.67 |
| Χρονική στιγμή αιχμής | 02Sep2000, 04:30 |
| Όγκος(MM) | 202.56 |

Απορροή



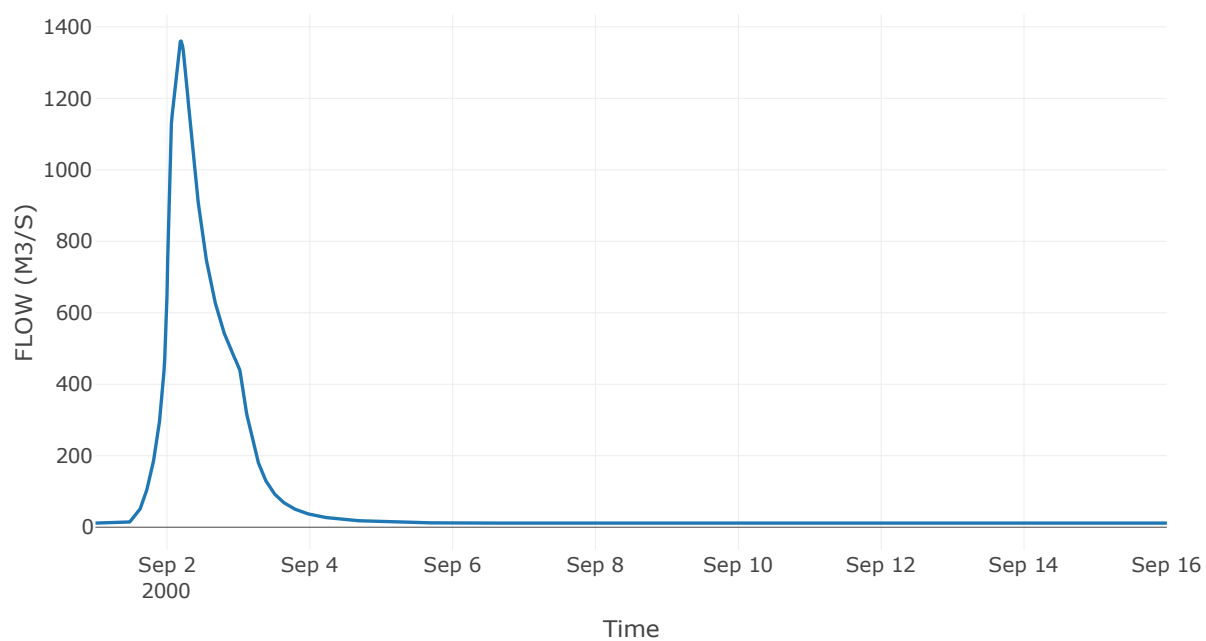
Κόμβος: J11

Κατάντη : R1110

Αποτελέσματα: J11

| | |
|-----------------------|------------------|
| Παροχή Αιχμής(M3/S) | 1360.51 |
| Χρονική στιγμή αιχμής | 02Sep2000, 04:45 |
| Όγκος(MM) | 209.38 |

Απορροή



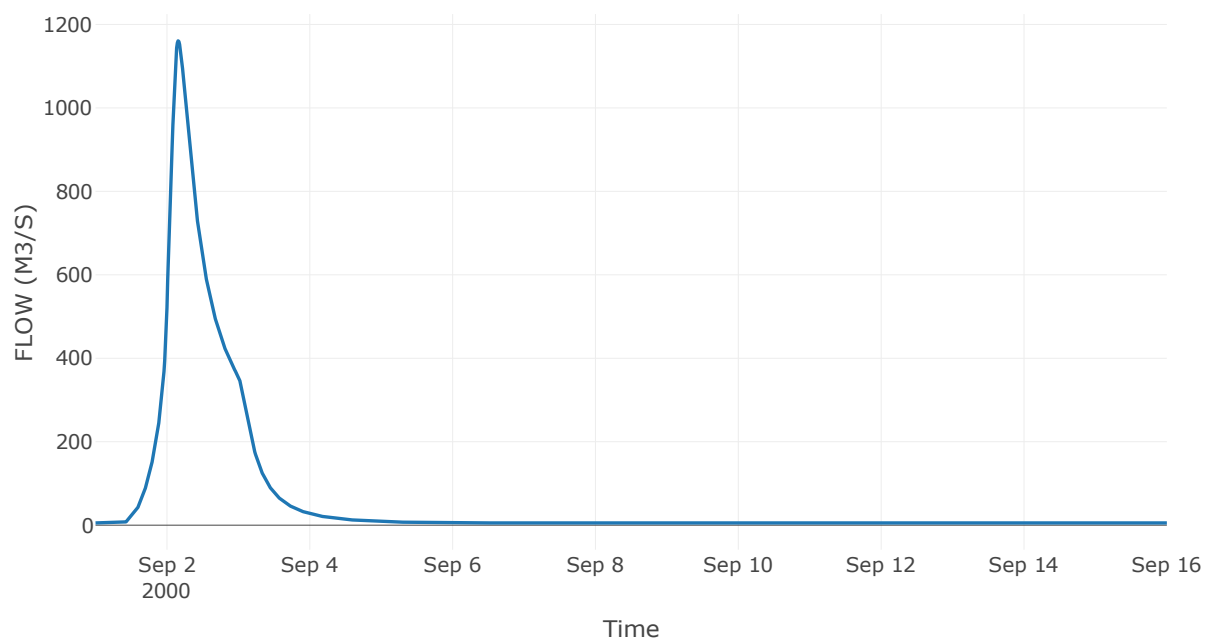
Κόμβος: J12

Κατάντη : R1211

Αποτελέσματα: J12

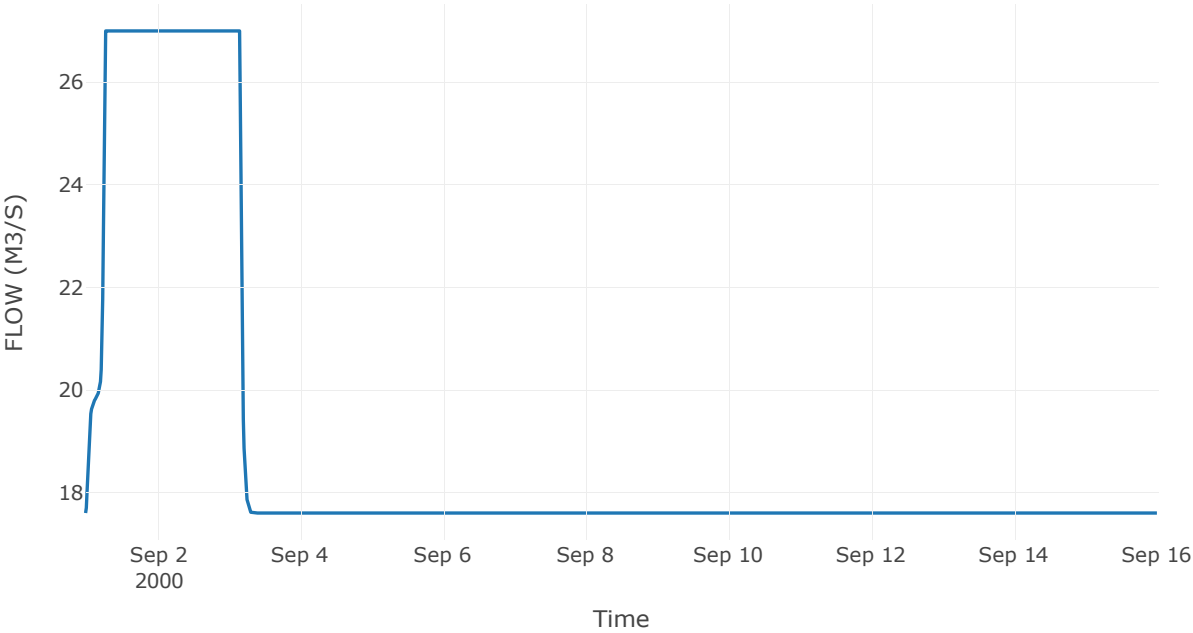
| | |
|-----------------------|------------------|
| Παροχή Αιχμής(M3/S) | 1160.76 |
| Χρονική στιγμή αιχμής | 02Sep2000, 03:45 |
| Όγκος(MM) | 212.92 |

Απορροή



| | |
|-----------------------|------------------|
| Παροχή Αιχμής(M3/S) | 27 |
| Χρονική στιγμή αιχμής | 01Sep2000, 06:30 |

Απορροή



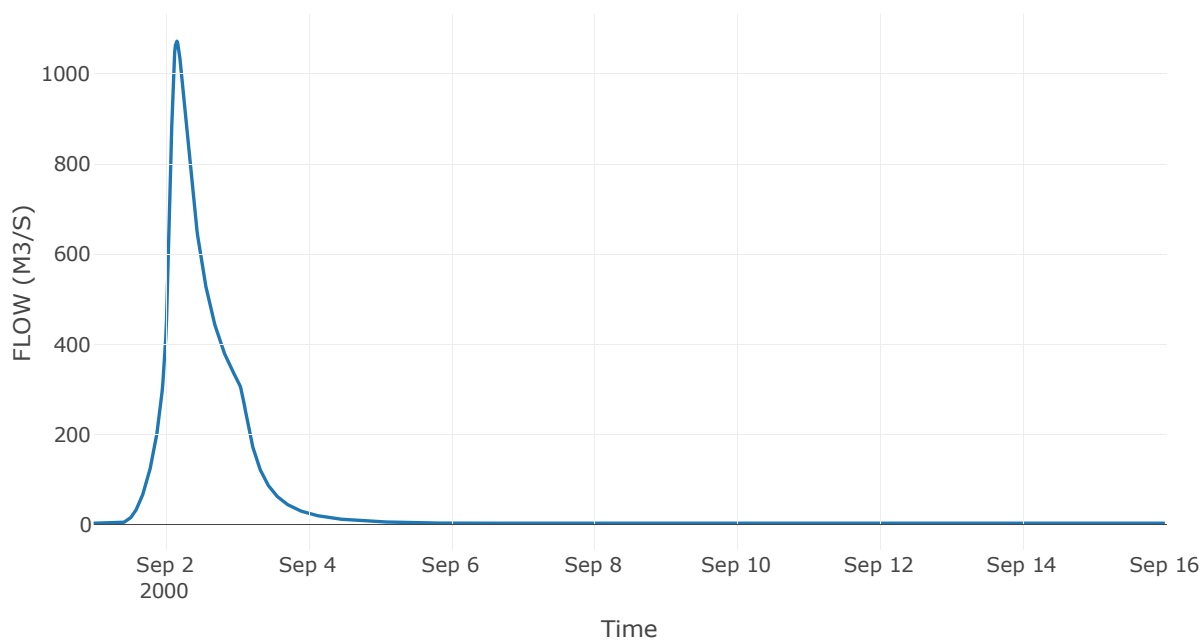
Ταμιευτήρας: J13_RES1

Κατάντη : R1312

Αποτελέσματα: J13_RES1

| | |
|------------------------------|------------------|
| Παροχή Αιχμής(M3/S) | 1072.52 |
| Χρονική στιγμή αιχμής | 02Sep2000, 04:00 |
| Όγκος(MM) | 209.17 |
| Παροχή Αιχμής Εισόδου (M3/S) | 1899.75 |
| Time of Peak Inflow | 02Sep2000, 02:00 |
| Όγκος Εισροής (M3) | 7.07E7 |
| Maximum Storage (M3) | 1.72E8 |
| Peak Elevation (M) | 510.45 |
| Discharge Όγκος(M3) | 7.36E7 |

Απορροή



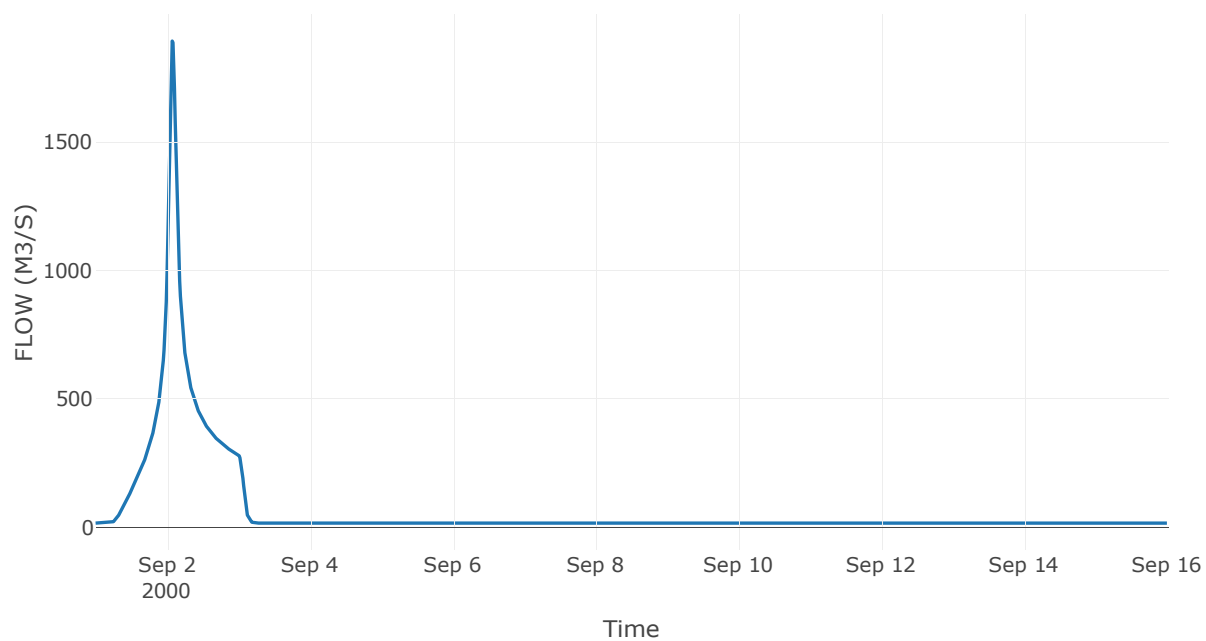
Κόμβος: J14

Κατάντη : R1413

Αποτελέσματα: J14

| | |
|-----------------------|------------------|
| Παροχή Αιχμής(M3/S) | 1892.36 |
| Χρονική στιγμή αιχμής | 02Sep2000, 01:45 |
| Όγκος(MM) | 269.92 |

Απορροή



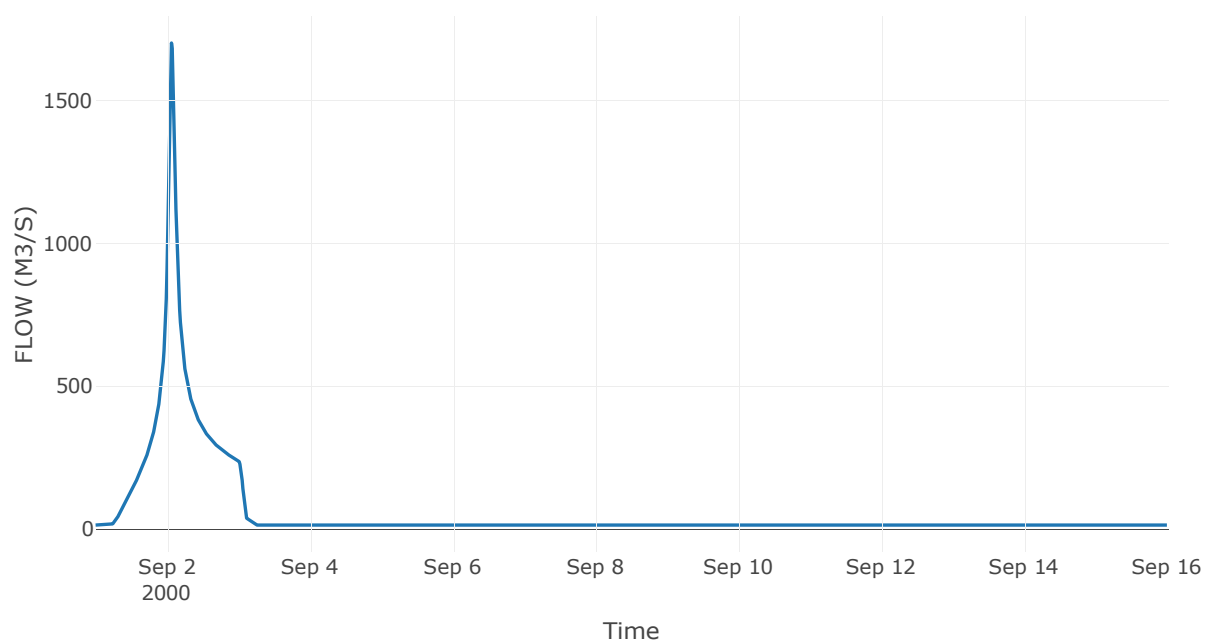
Κόμβος: J15

Κατάντη : R1514

Αποτελέσματα: J15

| | |
|-----------------------|------------------|
| Παροχή Αιχμής(M3/S) | 1701.41 |
| Χρονική στιγμή αιχμής | 02Sep2000, 01:30 |
| Όγκος(MM) | 271.87 |

Απορροή



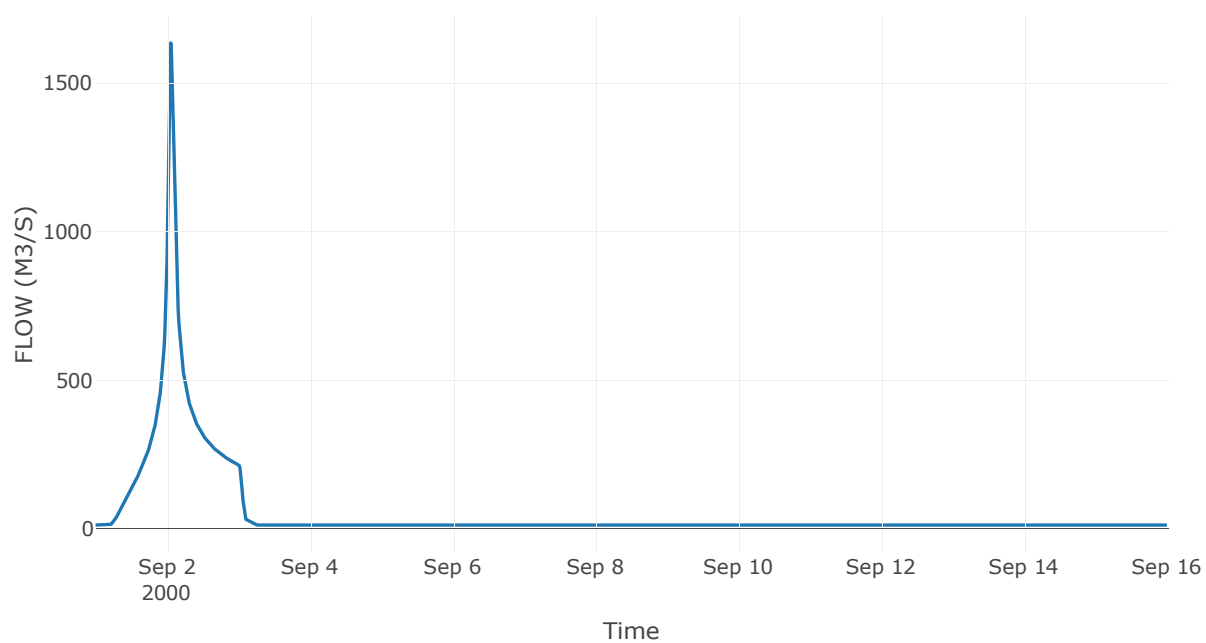
Κόμβος: J16

Κατάντη : R1615

Αποτελέσματα: J16

| | |
|-----------------------|------------------|
| Παροχή Αιχμής(M3/S) | 1634.21 |
| Χρονική στιγμή αιχμής | 02Sep2000, 01:15 |
| Όγκος(MM) | 276.85 |

Απορροή



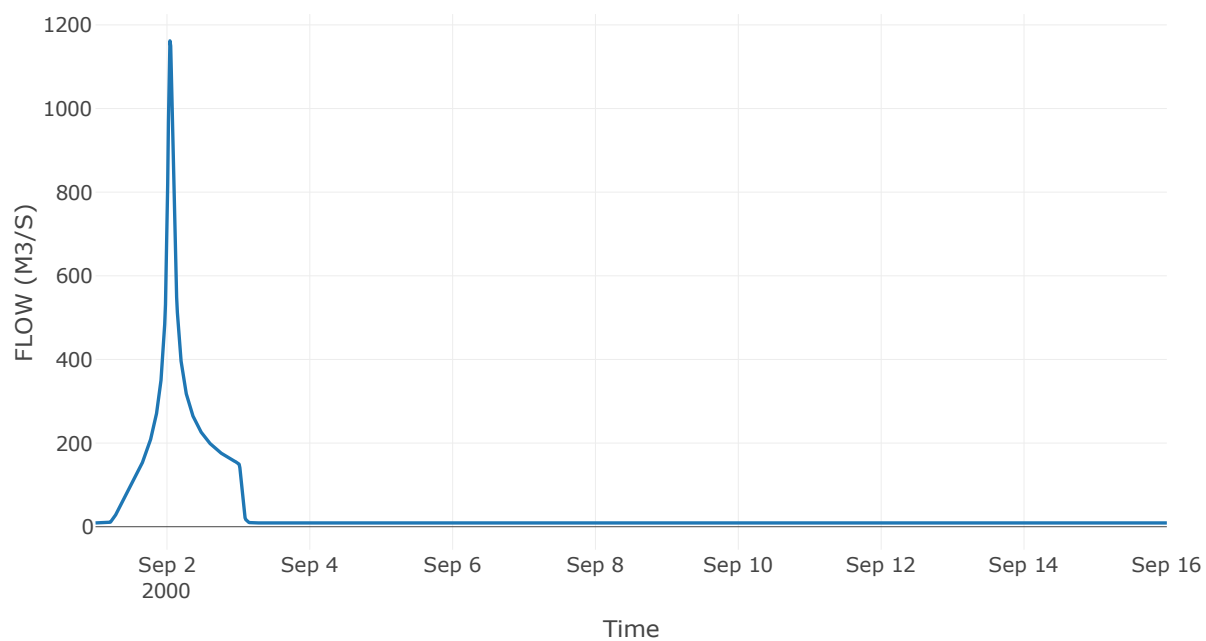
Κόμβος: J17

Κατάντη : R1716

Αποτελέσματα: J17

| | |
|-----------------------|------------------|
| Παροχή Αιχμής(M3/S) | 1161.8 |
| Χρονική στιγμή αιχμής | 02Sep2000, 01:00 |
| Όγκος(MM) | 278.54 |

Απορροή



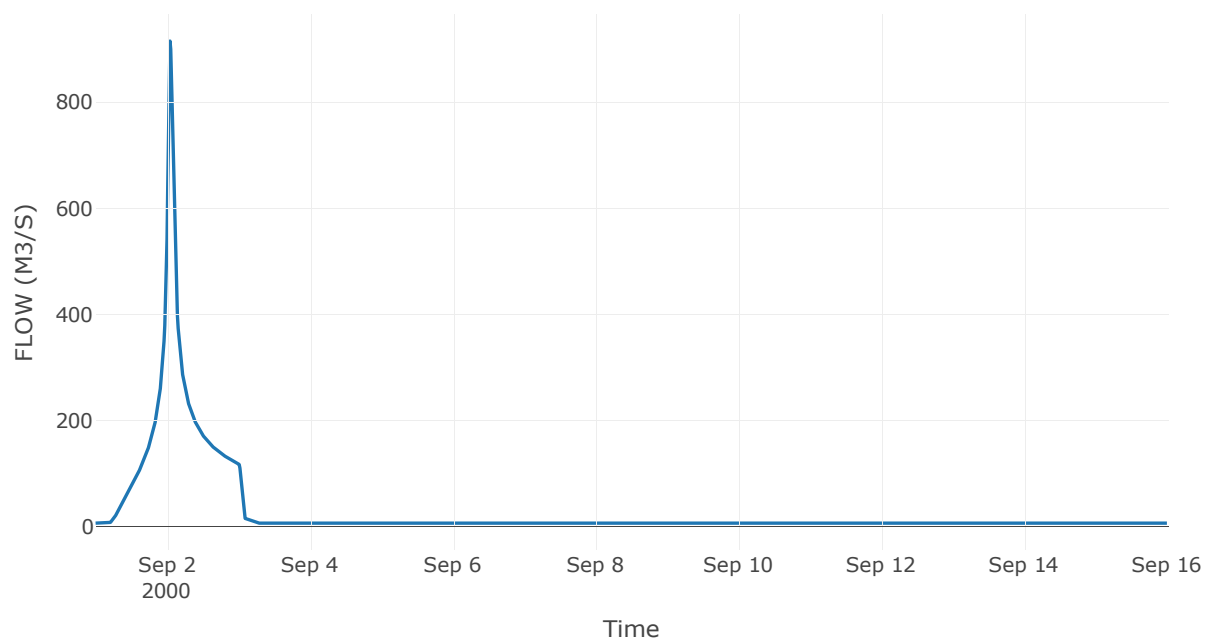
Κόμβος: J18

Κατάντη : R1817

Αποτελέσματα: J18

| | |
|-----------------------|------------------|
| Παροχή Αιχμής(M3/S) | 915.5 |
| Χρονική στιγμή αιχμής | 02Sep2000, 01:00 |
| Όγκος(MM) | 277.24 |

Απορροή



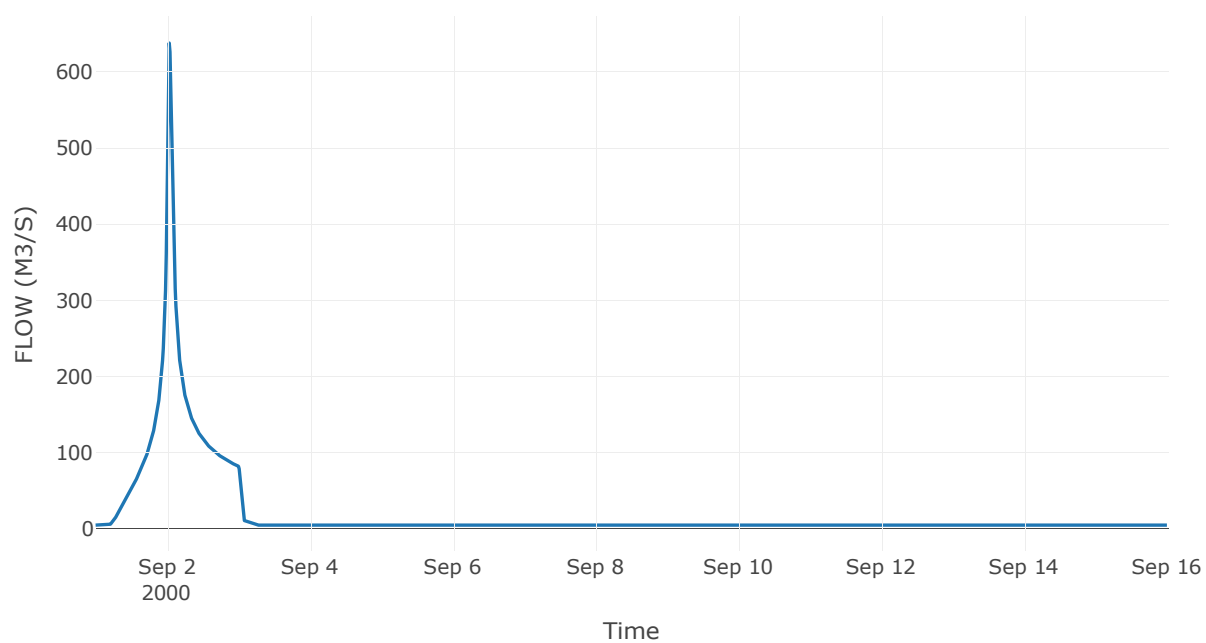
Κόμβος: J19

Κατάντη : R1918

Αποτελέσματα: J19

| | |
|-----------------------|------------------|
| Παροχή Αιχμής(M3/S) | 638.12 |
| Χρονική στιγμή αιχμής | 02Sep2000, 00:45 |
| Όγκος(MM) | 276.31 |

Απορροή



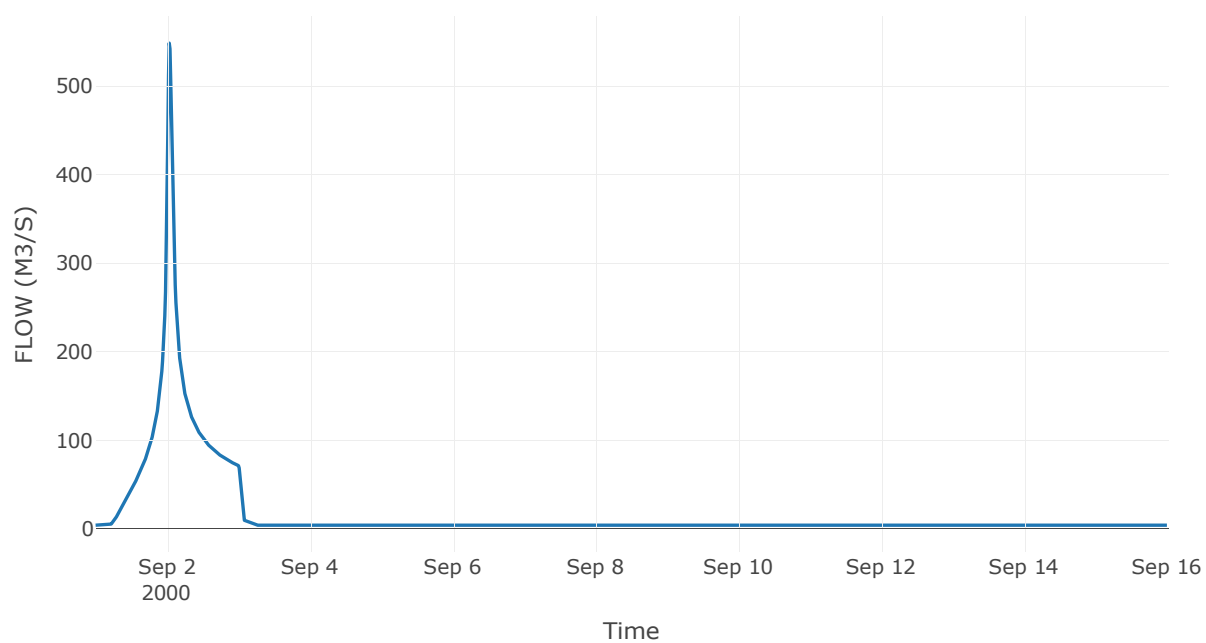
Κόμβος: J20

Κατάντη : R2019

Αποτελέσματα: J20

| | |
|-----------------------|------------------|
| Παροχή Αιχμής(M3/S) | 548.63 |
| Χρονική στιγμή αιχμής | 02Sep2000, 00:45 |
| Όγκος(MM) | 275.79 |

Απορροή



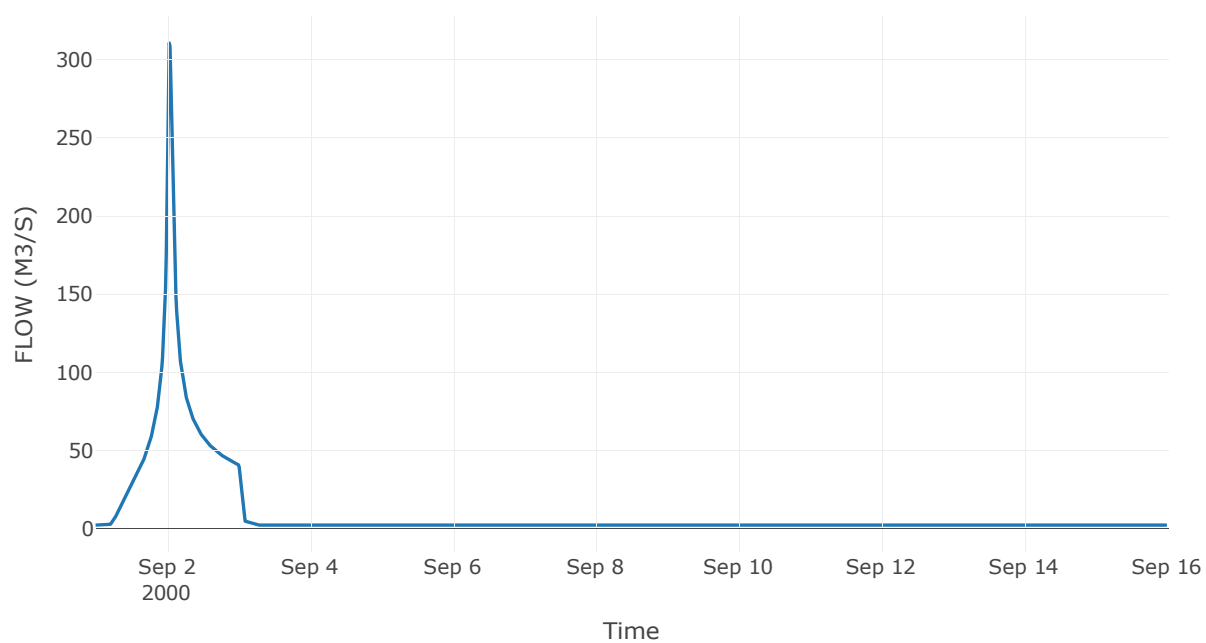
Κόμβος: J21

Κατάντη : R2120

Αποτελέσματα: J21

| | |
|-----------------------|------------------|
| Παροχή Αιχμής(M3/S) | 310.67 |
| Χρονική στιγμή αιχμής | 02Sep2000, 00:45 |
| Όγκος(MM) | 283.9 |

Απορροή



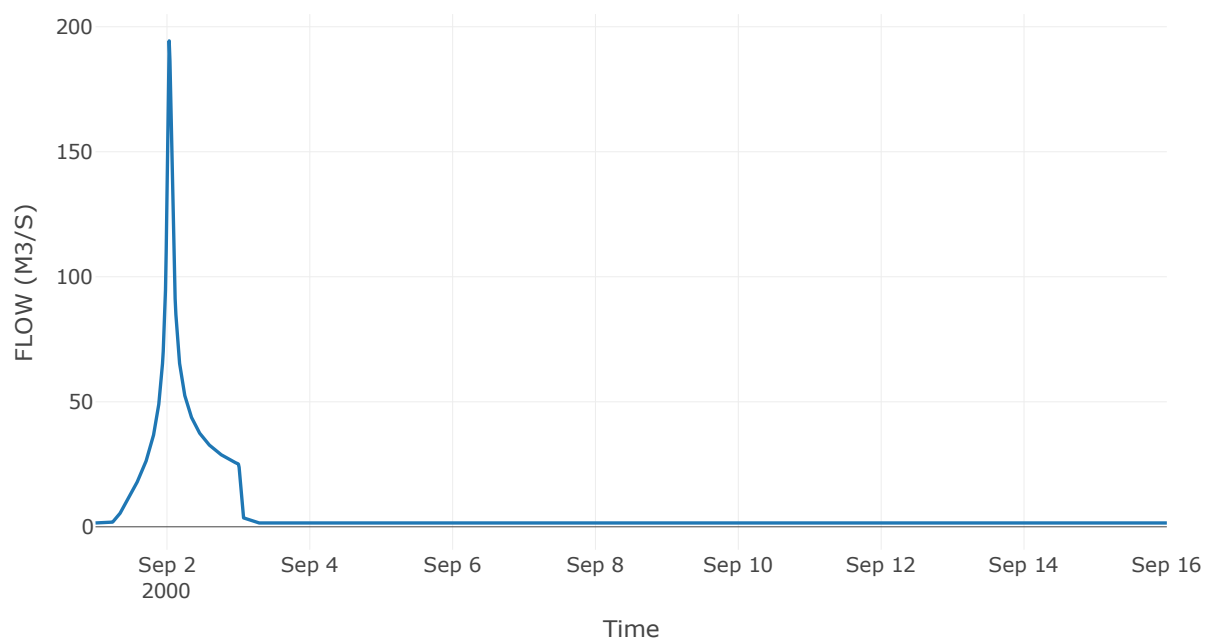
Κόμβος: J22

Κατάντη : R2220

Αποτελέσματα: J22

| | |
|-----------------------|------------------|
| Παροχή Αιχμής(M3/S) | 194.34 |
| Χρονική στιγμή αιχμής | 02Sep2000, 00:45 |
| Όγκος(MM) | 261.89 |

Απορροή



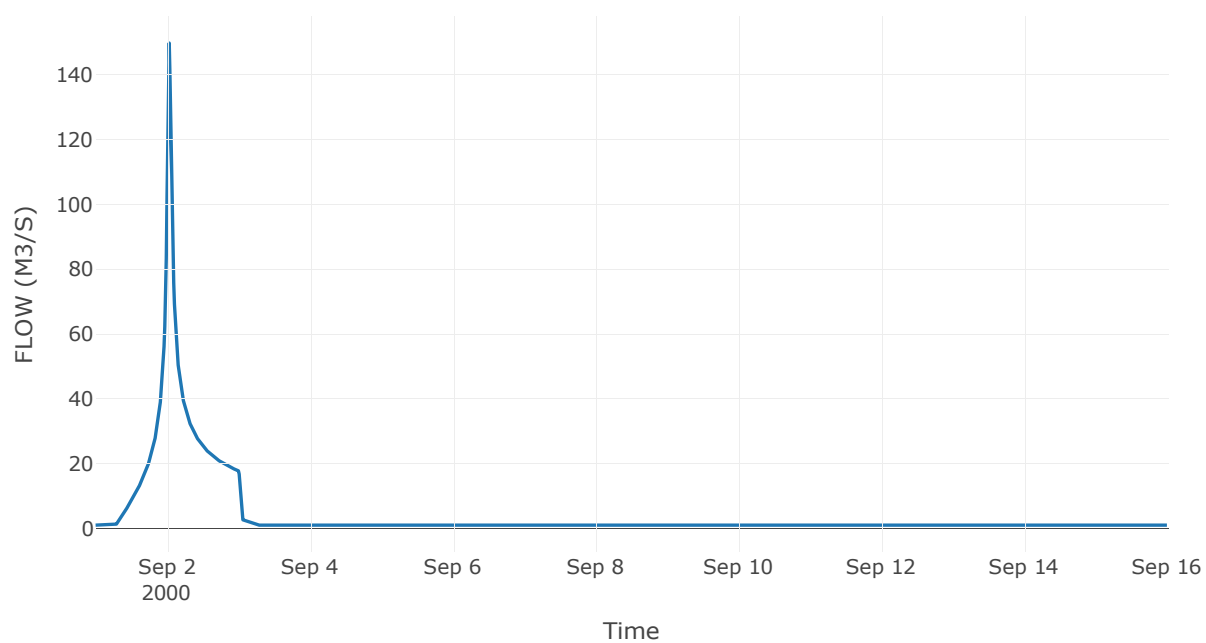
Κόμβος: J23

Κατάντη : R2314

Αποτελέσματα: J23

| | |
|-----------------------|------------------|
| Παροχή Αιχμής(M3/S) | 149.75 |
| Χρονική στιγμή αιχμής | 02Sep2000, 00:45 |
| Όγκος(MM) | 265.86 |

Απορροή



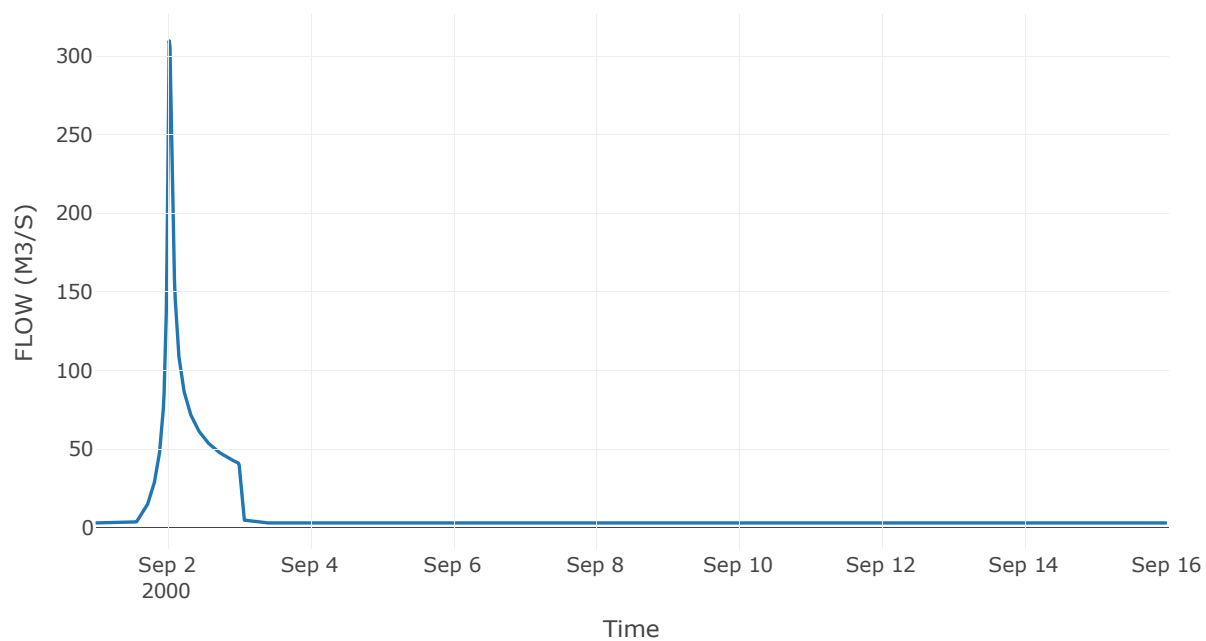
Κόμβος: J24

Κατάντη : R2411

Αποτελέσματα: J24

| | |
|-----------------------|------------------|
| Παροχή Αιχμής(M3/S) | 309.5 |
| Χρονική στιγμή αιχμής | 02Sep2000, 00:45 |
| Όγκος(MM) | 195.33 |

Απορροή



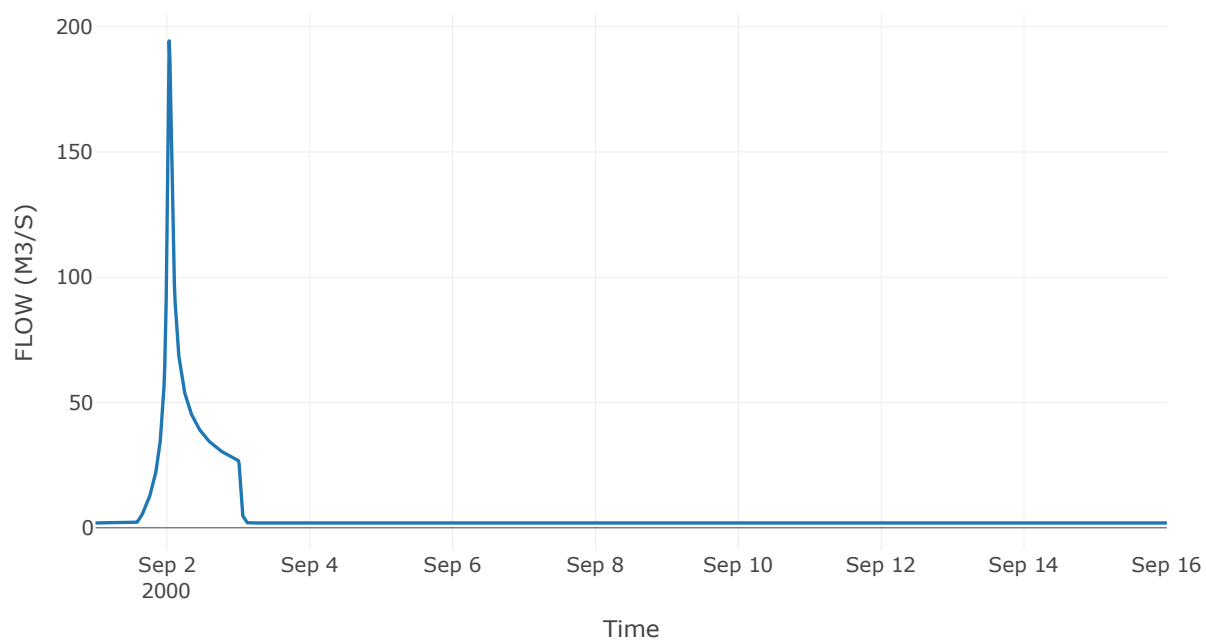
Κόμβος: J25

Κατάντη : R2524

Αποτελέσματα: J25

| | |
|-----------------------|------------------|
| Παροχή Αιχμής(M3/S) | 194.33 |
| Χρονική στιγμή αιχμής | 02Sep2000, 00:45 |
| Όγκος(MM) | 198.67 |

Απορροή



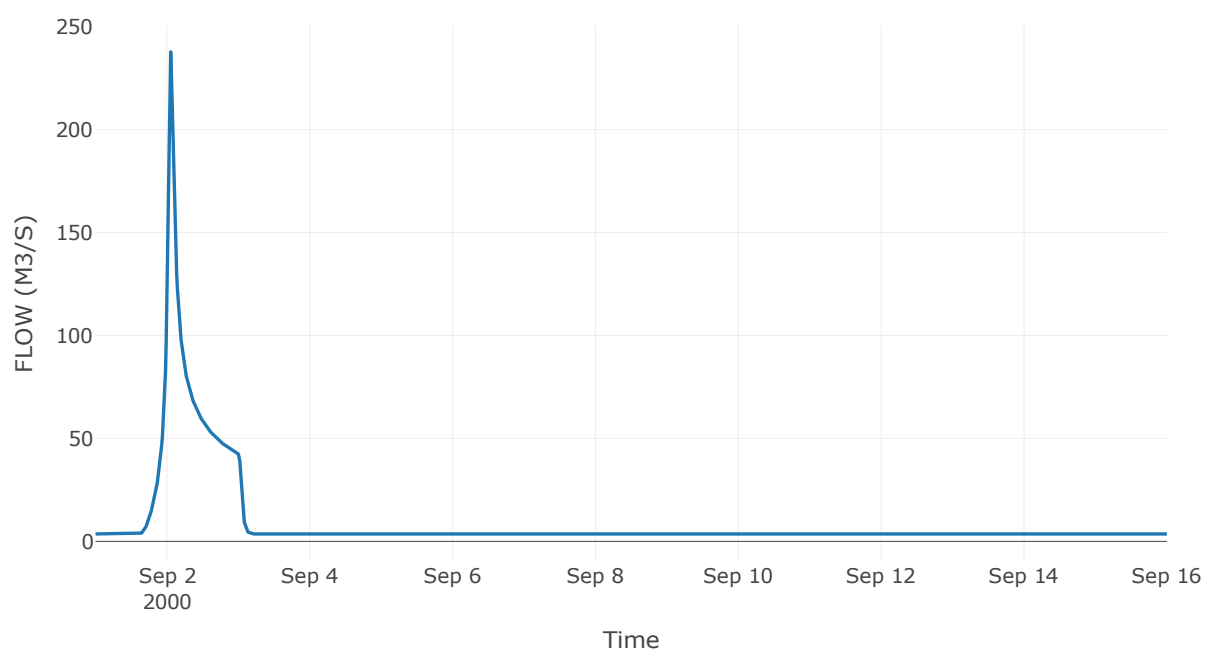
Κόμβος: J26

Κατάντη : R2610

Αποτελέσματα: J26

| | |
|-----------------------|------------------|
| Παροχή Αιχμής(M3/S) | 237.73 |
| Χρονική στιγμή αιχμής | 02Sep2000, 01:15 |
| Όγκος(MM) | 168.28 |

Απορροή



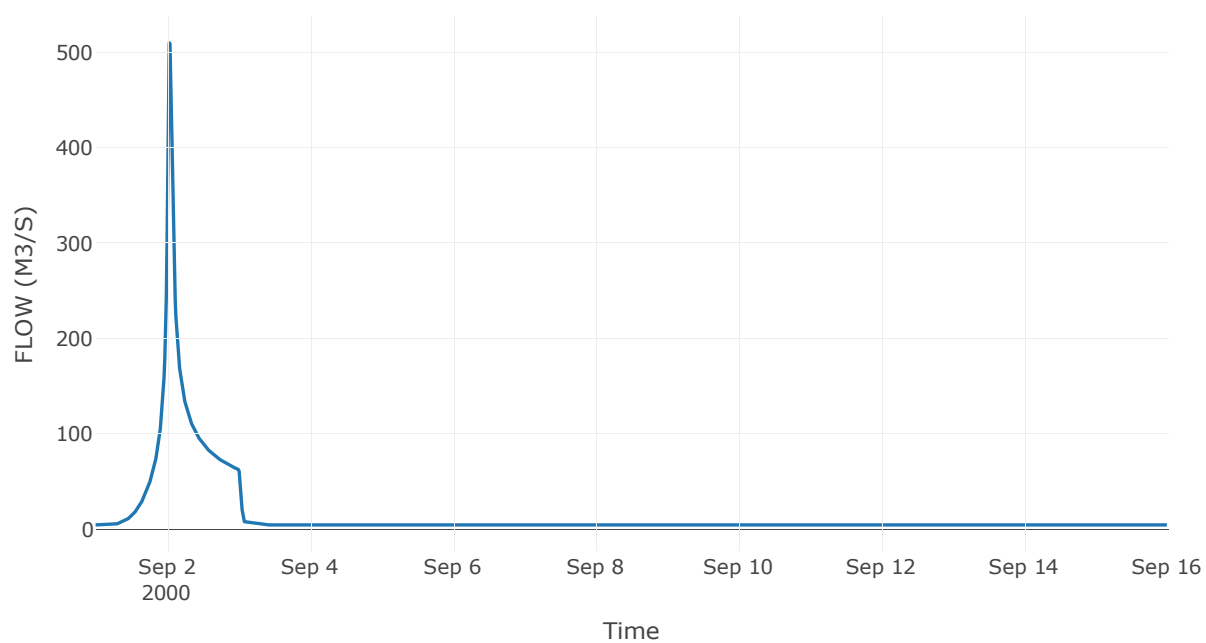
Κόμβος: J27

Κατάντη : R278

Αποτελέσματα: J27

| | |
|-----------------------|------------------|
| Παροχή Αιχμής(M3/S) | 509.82 |
| Χρονική στιγμή αιχμής | 02Sep2000, 00:45 |
| Όγκος(MM) | 207.9 |

Απορροή



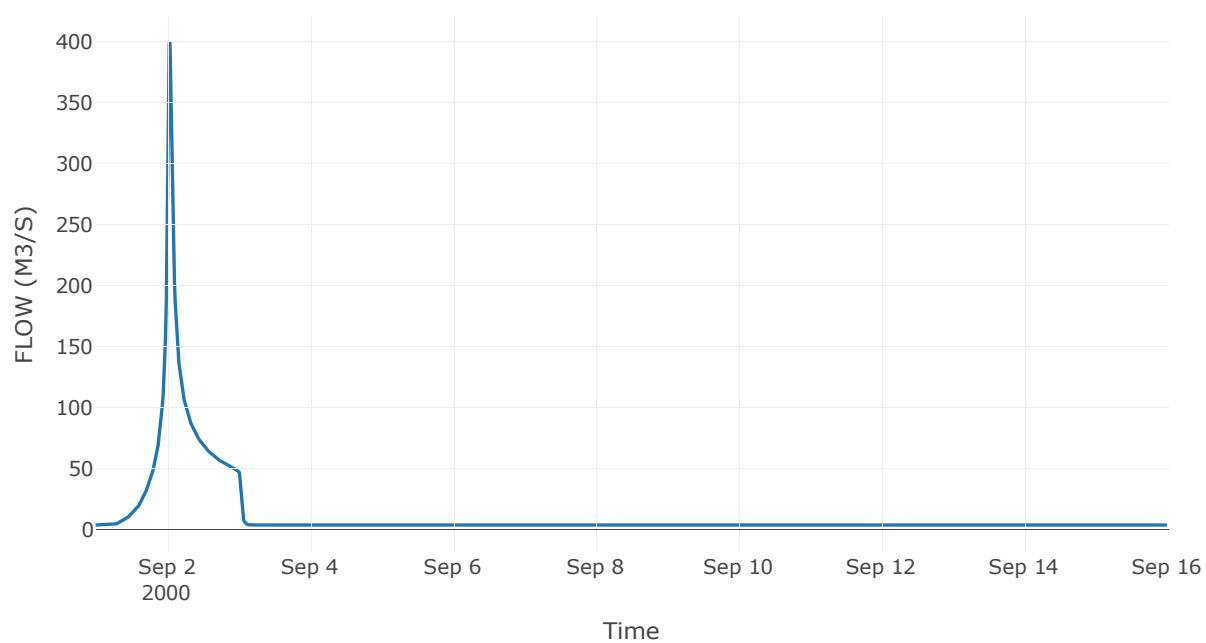
Κόμβος: J28

Κατάντη : R2827

Αποτελέσματα: J28

| | |
|-----------------------|------------------|
| Παροχή Αιχμής(M3/S) | 398.96 |
| Χρονική στιγμή αιχμής | 02Sep2000, 00:45 |
| Όγκος(MM) | 210.05 |

Απορροή



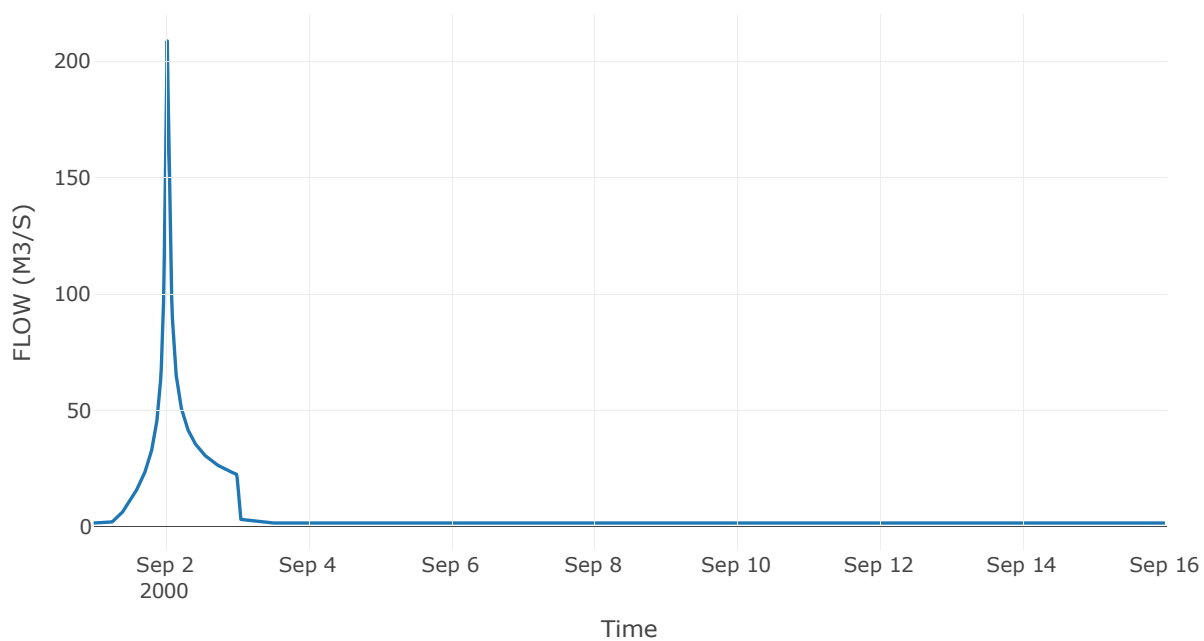
Κόμβος: J29

Κατάντη : R2928

Αποτελέσματα: J29

| | |
|-----------------------|------------------|
| Παροχή Αιχμής(M3/S) | 208.71 |
| Χρονική στιγμή αιχμής | 02Sep2000, 00:45 |
| Όγκος(MM) | 240.74 |

Απορροή



6 Δεδομένα εισόδου και αποτελέσματα υδρολογικού σεναρίου T=100L

6.1 Αποτελέσματα, υετογραφήματα και υδρογραφήματα σχεδιασμού υπολεκάνων

Υπολεκάνη: EL0420FR4001

Έκταση (KM2) : 23.03

Κατάντη : J1

Μέθοδος Απωλειών: SCS

| | |
|--------------------------------|------|
| Ποσοστό αδιαπέρατης επιφάνειας | 0 |
| Αριθμός Καμπύλης Απορροής-CN | 60.4 |
| Αρχικές Απώλειες | 33.3 |

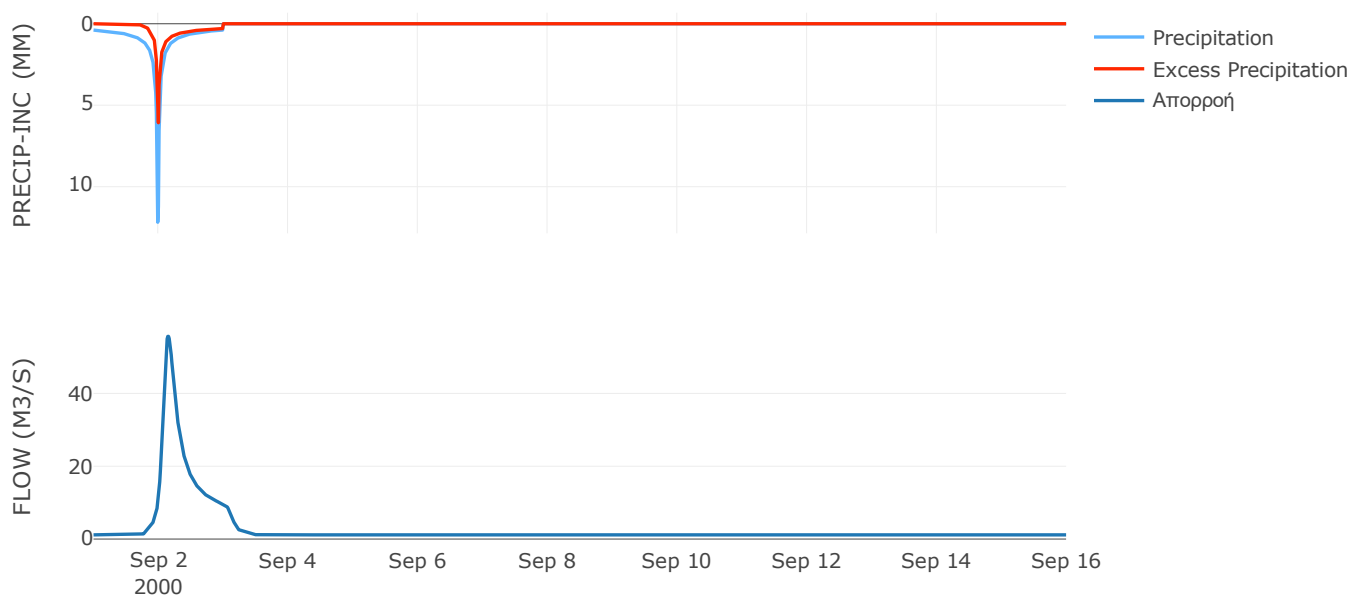
Μέθοδος Μετασχηματισμού: SCS

| | |
|------------------|--------|
| Χρόνος Υστέρησης | 188.08 |
|------------------|--------|

Αποτελέσματα:
EL0420FR4001

| | |
|-----------------------------|------------------|
| Παροχή αιχμής (M3/S) | 55.68 |
| Χρονική στιγμή αιχμής | 02Sep2000, 03:30 |
| Όγκος (MM) | 154.45 |
| Όγκος βροχόπτωσης (M3) | 4.8E6 |
| Όγκος απωλειών (M3) | 2.73E6 |
| Ενεργός Όγκος (M3) | 2.06E6 |
| Όγκος άμεσης απορροής (M3) | 2.06E6 |
| Όγκος βασικής απορροής (M3) | 1.49E6 |

Βροχόπτωση και Απορροή



Υπολεκάνη: EL0420FR4002

Έκταση (KM2) : 14.69

Κατάντη : J2

Μέθοδος Απωλειών: SCS

| | |
|--------------------------------|-------|
| Ποσοστό αδιαπέρατης επιφάνειας | 0 |
| Αριθμός Καμπύλης Απορροής-CN | 65.06 |
| Αρχικές Απώλειες | 27.28 |

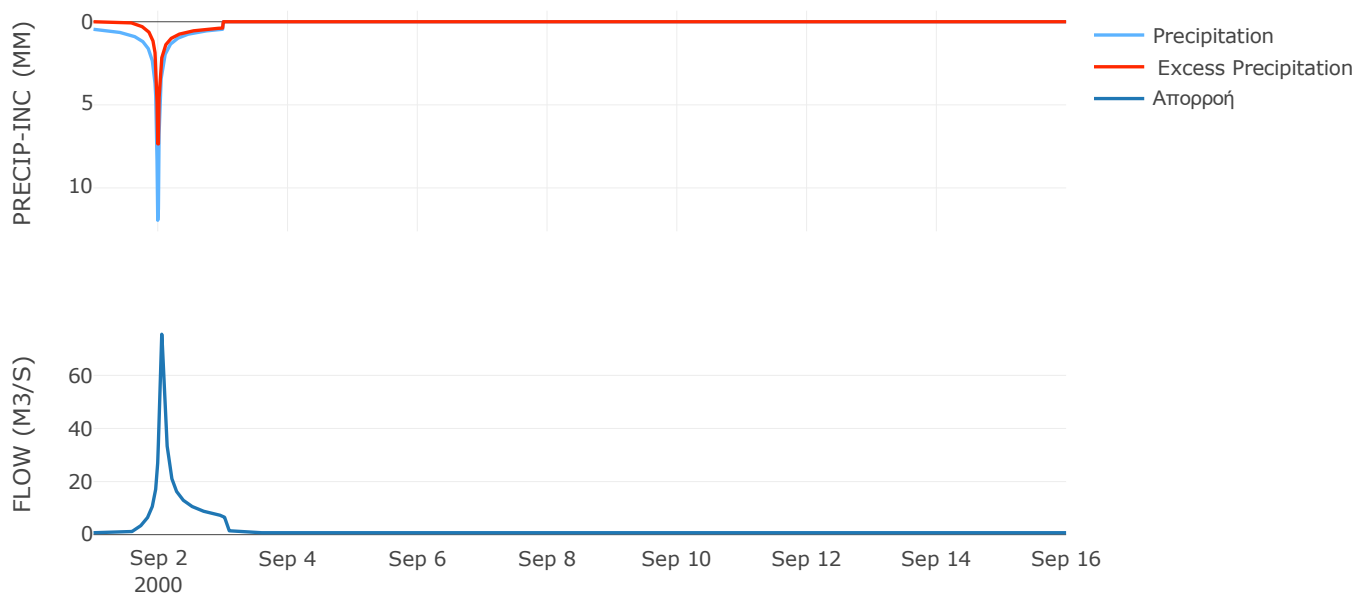
Μέθοδος Μετασχηματισμού: SCS

| | |
|------------------|-------|
| Χρόνος Υστέρησης | 61.66 |
|------------------|-------|

Αποτελέσματα:
EL0420FR4002

| | |
|-----------------------------|------------------|
| Παροχή αιχμής (M3/S) | 75.51 |
| Χρονική στιγμή αιχμής | 02Sep2000, 01:15 |
| Όγκος (MM) | 184.39 |
| Όγκος βροχόπτωσης (M3) | 3.35E6 |
| Όγκος απωλειών (M3) | 1.59E6 |
| Ενεργός Όγκος (M3) | 1.76E6 |
| Όγκος άμεσης απορροής (M3) | 1.76E6 |
| Όγκος βασικής απορροής (M3) | 9.52E5 |

Βροχόπτωση και Απορροή



Υπολεκάνη: EL0420FR4003

Έκταση (KM2) : 18.27

Κατάντη : J3

Μέθοδος Απωλειών: SCS

| | |
|--------------------------------|-------|
| Ποσοστό αδιαπέρατης επιφάνειας | 0 |
| Αριθμός Καμπύλης Απορροής-CN | 56.17 |
| Αρχικές Απώλειες | 39.63 |

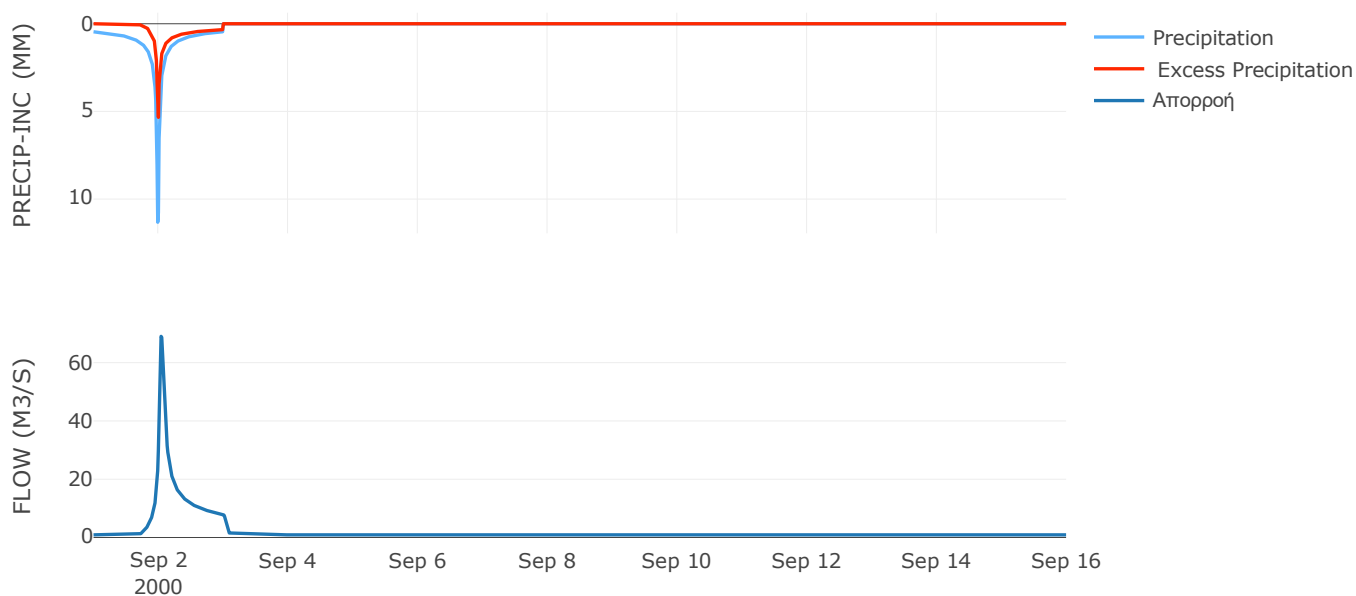
Μέθοδος Μετασχηματισμού: SCS

| | |
|------------------|------|
| Χρόνος Υστέρησης | 57.4 |
|------------------|------|

Αποτελέσματα:
EL0420FR4003

| | |
|-----------------------------|------------------|
| Παροχή αιχμής (M3/S) | 69.02 |
| Χρονική στιγμή αιχμής | 02Sep2000, 01:00 |
| Όγκος (MM) | 154.67 |
| Όγκος βροχόπτωσης (M3) | 4.12E6 |
| Όγκος απωλειών (M3) | 2.48E6 |
| Ενεργός Όγκος (M3) | 1.64E6 |
| Όγκος άμεσης απορροής (M3) | 1.64E6 |
| Όγκος βασικής απορροής (M3) | 1.18E6 |

Βροχόπτωση και Απορροή



Υπολεκάνη: EL0420FR4004

Έκταση (KM2) : 43.51

Κατάντη : J4

Μέθοδος Απωλειών: SCS

| | |
|--------------------------------|-------|
| Ποσοστό αδιαπέρατης επιφάνειας | 0 |
| Αριθμός Καμπύλης Απορροής-CN | 64 |
| Αρχικές Απώλειες | 28.57 |

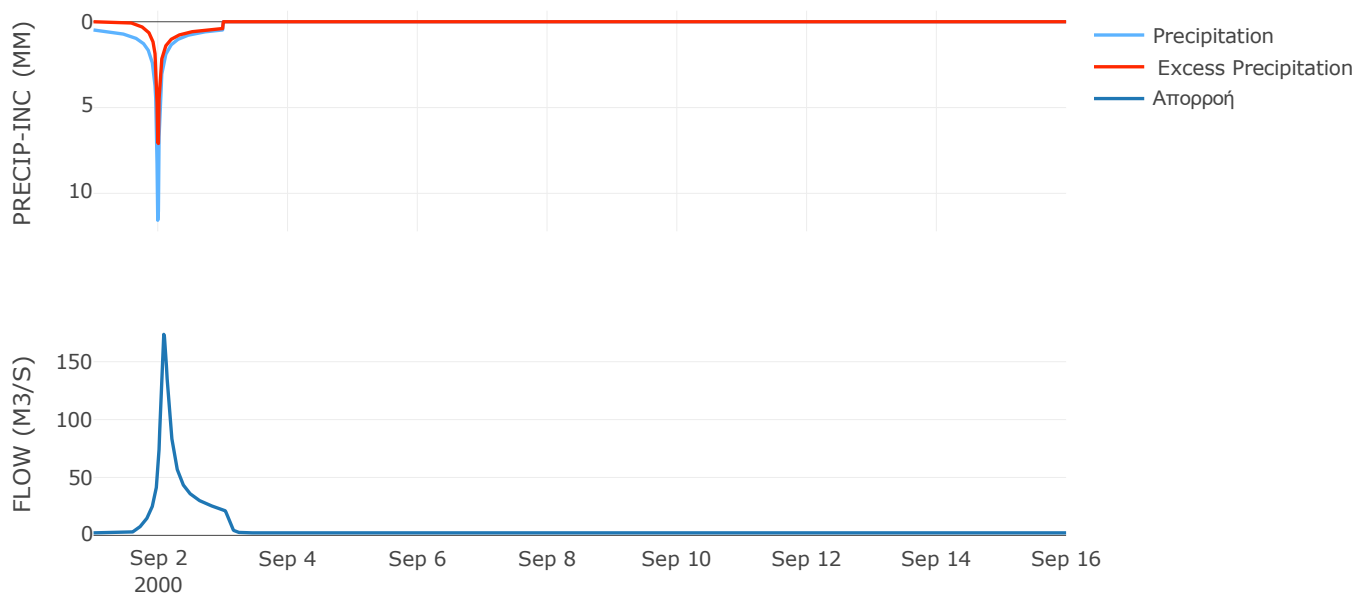
Μέθοδος Μετασχηματισμού: SCS

| | |
|------------------|--------|
| Χρόνος Υστέρησης | 107.99 |
|------------------|--------|

Αποτελέσματα:
EL0420FR4004

| | |
|-----------------------------|------------------|
| Παροχή αιχμής (M3/S) | 173.61 |
| Χρονική στιγμή αιχμής | 02Sep2000, 02:00 |
| Όγκος (MM) | 185.66 |
| Όγκος βροχόπτωσης (M3) | 1.02E7 |
| Όγκος απωλειών (M3) | 4.91E6 |
| Ενεργός Όγκος (M3) | 5.26E6 |
| Όγκος άμεσης απορροής (M3) | 5.26E6 |
| Όγκος βασικής απορροής (M3) | 2.82E6 |

Βροχόπτωση και Απορροή



Υπολεκάνη: EL0420FR4005

Έκταση (KM2) : 48.87

Κατάντη : J5

Μέθοδος Απωλειών: SCS

| | |
|--------------------------------|-------|
| Ποσοστό αδιαπέρατης επιφάνειας | 0 |
| Αριθμός Καμπύλης Απορροής-CN | 44.61 |
| Αρχικές Απώλειες | 63.08 |

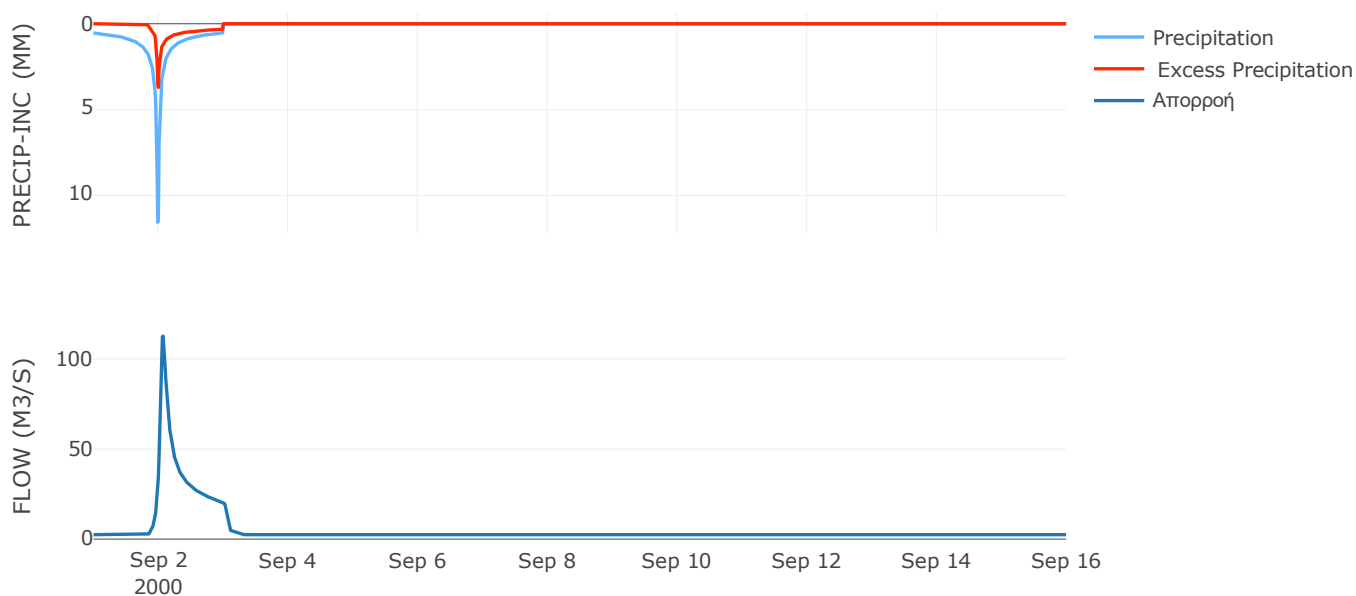
Μέθοδος Μετασχηματισμού: SCS

| | |
|------------------|-------|
| Χρόνος Υστέρησης | 79.18 |
|------------------|-------|

Αποτελέσματα:
EL0420FR4005

| | |
|-----------------------------|------------------|
| Παροχή αιχμής (M3/S) | 112.65 |
| Χρονική στιγμή αιχμής | 02Sep2000, 01:45 |
| Όγκος (MM) | 134.89 |
| Όγκος βροχόπτωσης (M3) | 1.23E7 |
| Όγκος απωλειών (M3) | 8.84E6 |
| Ενεργός Όγκος (M3) | 3.43E6 |
| Όγκος άμεσης απορροής (M3) | 3.43E6 |
| Όγκος βασικής απορροής (M3) | 3.17E6 |

Βροχόπτωση και Απορροή



Υπολεκάνη: EL0420FR4006

Έκταση (KM2) : 0.82

Κατάντη : J6

Μέθοδος Απωλειών: SCS

| | |
|--------------------------------|-------|
| Ποσοστό αδιαπέρατης επιφάνειας | 0 |
| Αριθμός Καμπύλης Απορροής-CN | 33.82 |
| Αρχικές Απώλειες | 99.42 |

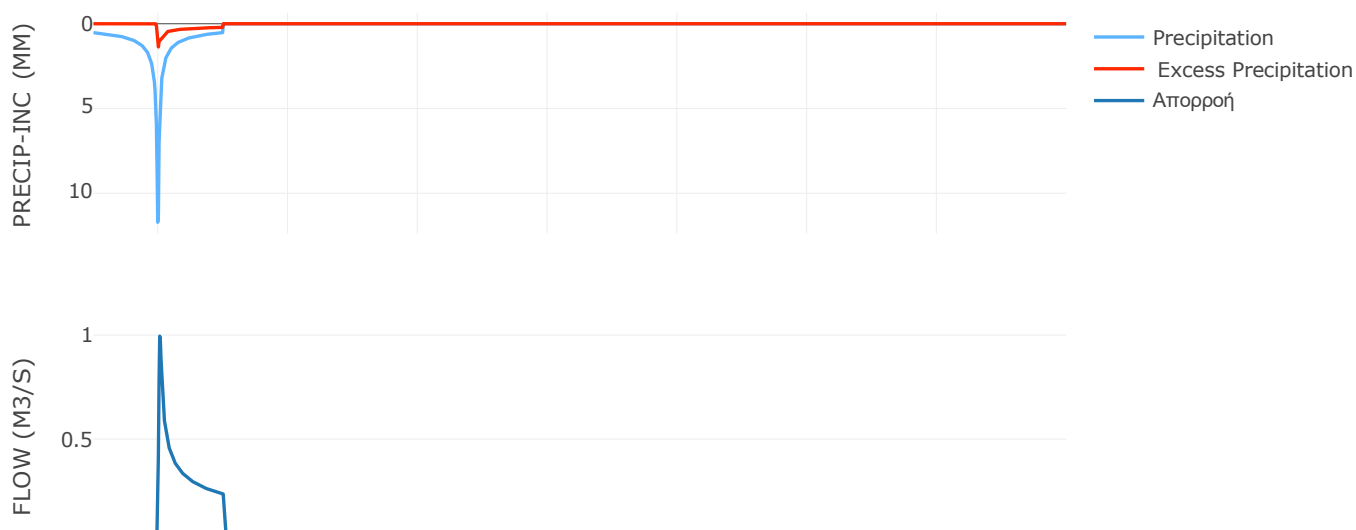
Μέθοδος Μετασχηματισμού: SCS

| | |
|------------------|-------|
| Χρόνος Υστέρησης | 19.57 |
|------------------|-------|

Αποτελέσματα:
EL0420FR4006

| | |
|-----------------------------|------------------|
| Παροχή αιχμής (M3/S) | 0.99 |
| Χρονική στιγμή αιχμής | 02Sep2000, 00:30 |
| Όγκος (MM) | 99.39 |
| Όγκος βροχόπτωσης (M3) | 2.04E5 |
| Όγκος απωλειών (M3) | 1.75E5 |
| Ενεργός Όγκος (M3) | 28282.82 |
| Όγκος άμεσης απορροής (M3) | 28282.82 |
| Όγκος βασικής απορροής (M3) | 52990.85 |

Βροχόπτωση και Απορροή



Υπολεκάνη: EL0420FR4007

Έκταση (KM2) : 16.52

Κατάντη : J7

Μέθοδος Απωλειών: SCS

| | |
|--------------------------------|-------|
| Ποσοστό αδιαπέρατης επιφάνειας | 0 |
| Αριθμός Καμπύλης Απορροής-CN | 39.45 |
| Αρχικές Απώλειες | 77.96 |

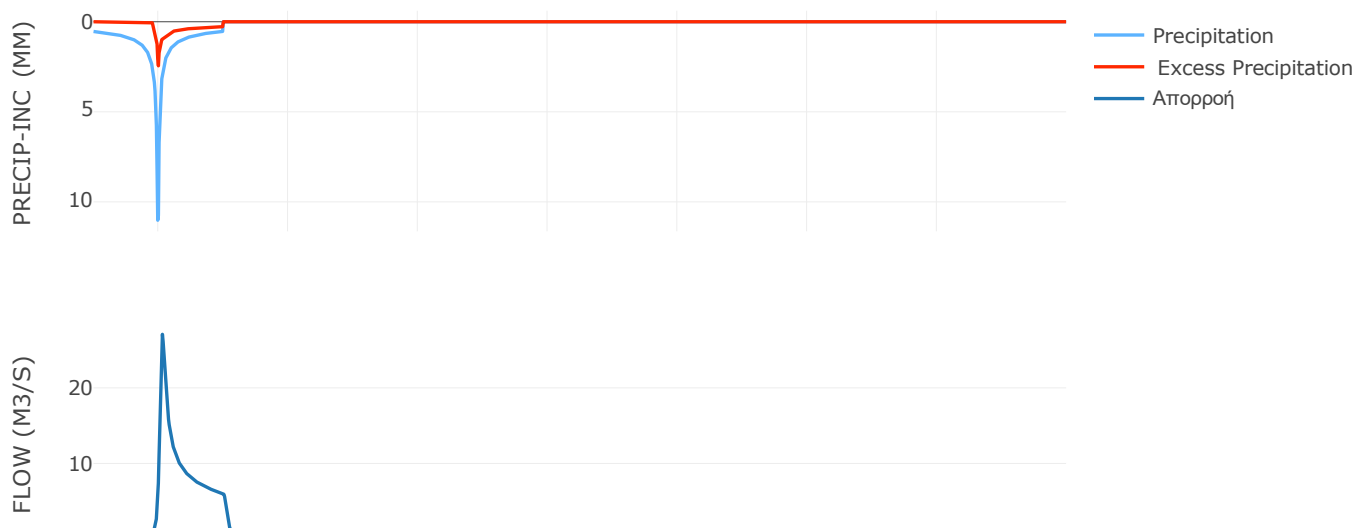
Μέθοδος Μετασχηματισμού: SCS

| | |
|------------------|-------|
| Χρόνος Υστέρησης | 63.93 |
|------------------|-------|

Αποτελέσματα:
EL0420FR4007

| | |
|-----------------------------|------------------|
| Παροχή αιχμής (M3/S) | 27.08 |
| Χρονική στιγμή αιχμής | 02Sep2000, 01:30 |
| Όγκος (MM) | 116.54 |
| Όγκος βροχόπτωσης (M3) | 4.1E6 |
| Όγκος απωλειών (M3) | 3.24E6 |
| Ενεργός Όγκος (M3) | 8.55E5 |
| Όγκος άμεσης απορροής (M3) | 8.55E5 |
| Όγκος βασικής απορροής (M3) | 1.07E6 |

Βροχόπτωση και Απορροή



Υπολεκάνη: EL0420FR4008

Έκταση (KM2) : 12.7

Κατάντη : J8

Μέθοδος Απωλειών: SCS

| | |
|--------------------------------|-------|
| Ποσοστό αδιαπέρατης επιφάνειας | 0 |
| Αριθμός Καμπύλης Απορροής-CN | 37.73 |
| Αρχικές Απώλειες | 83.83 |

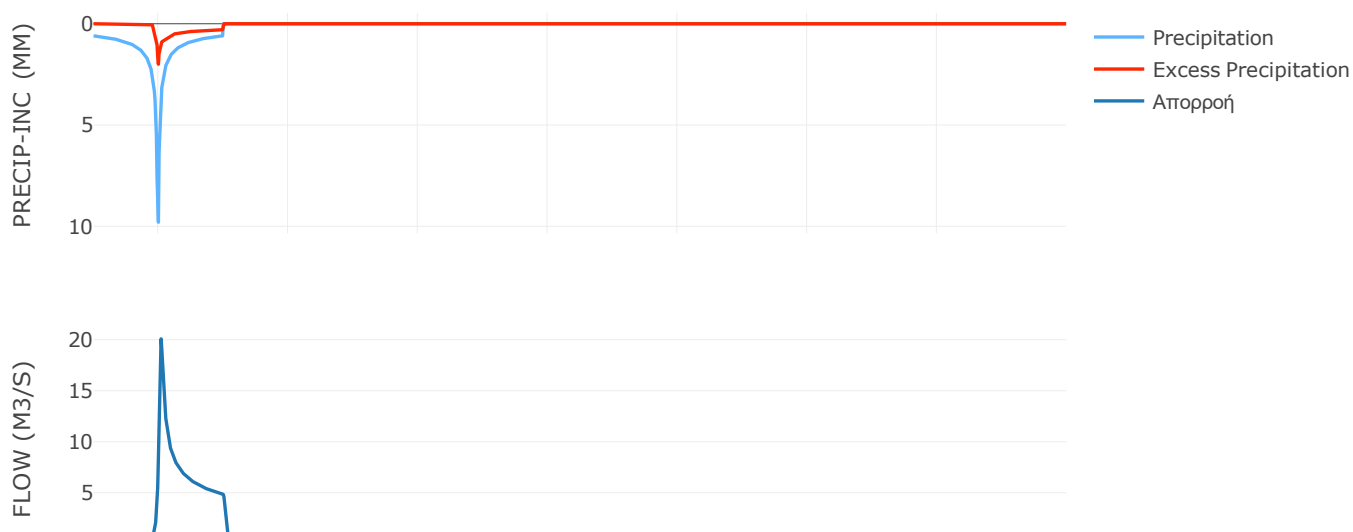
Μέθοδος Μετασχηματισμού: SCS

| | |
|------------------|-------|
| Χρόνος Υστέρησης | 41.01 |
|------------------|-------|

Αποτελέσματα:
EL0420FR4008

| | |
|-----------------------------|------------------|
| Παροχή αιχμής (M3/S) | 20.08 |
| Χρονική στιγμή αιχμής | 02Sep2000, 01:00 |
| Όγκος (MM) | 114.54 |
| Όγκος βροχόπτωσης (M3) | 3.24E6 |
| Όγκος απωλειών (M3) | 2.61E6 |
| Ενεργός Όγκος (M3) | 6.32E5 |
| Όγκος άμεσης απορροής (M3) | 6.32E5 |
| Όγκος βασικής απορροής (M3) | 8.23E5 |

Βροχόπτωση και Απορροή



Υπολεκάνη: EL0420FR4009

Έκταση (KM2) : 5.92

Κατάντη : J9

Μέθοδος Απωλειών: SCS

| | |
|--------------------------------|-------|
| Ποσοστό αδιαπέρατης επιφάνειας | 0 |
| Αριθμός Καμπύλης Απορροής-CN | 42.28 |
| Αρχικές Απώλειες | 69.35 |

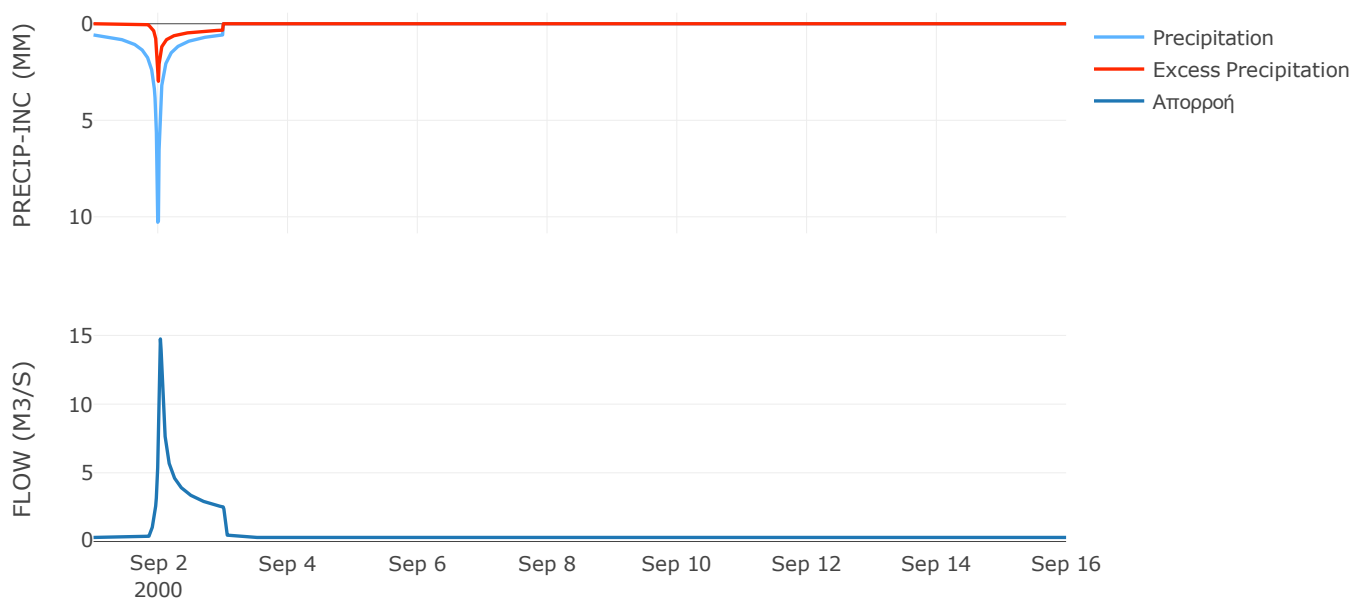
Μέθοδος Μετασχηματισμού: SCS

| | |
|------------------|------|
| Χρόνος Υστέρησης | 34.6 |
|------------------|------|

Αποτελέσματα:
EL0420FR4009

| | |
|-----------------------------|------------------|
| Παροχή αιχμής (M3/S) | 14.74 |
| Χρονική στιγμή αιχμής | 02Sep2000, 00:45 |
| Όγκος (MM) | 129.51 |
| Όγκος βροχόπτωσης (M3) | 1.51E6 |
| Όγκος απωλειών (M3) | 1.13E6 |
| Ενεργός Όγκος (M3) | 3.83E5 |
| Όγκος άμεσης απορροής (M3) | 3.83E5 |
| Όγκος βασικής απορροής (M3) | 3.84E5 |

Βροχόπτωση και Απορροή



Υπολεκάνη: EL0420FR4010

Έκταση (KM2) : 2.67

Κατάνη : J10

Μέθοδος Απωλειών: SCS

| | |
|--------------------------------|-------|
| Ποσοστό αδιαπέρατης επιφάνειας | 0 |
| Αριθμός Καμπύλης Απορροής-CN | 37.08 |
| Αρχικές Απώλειες | 86.22 |

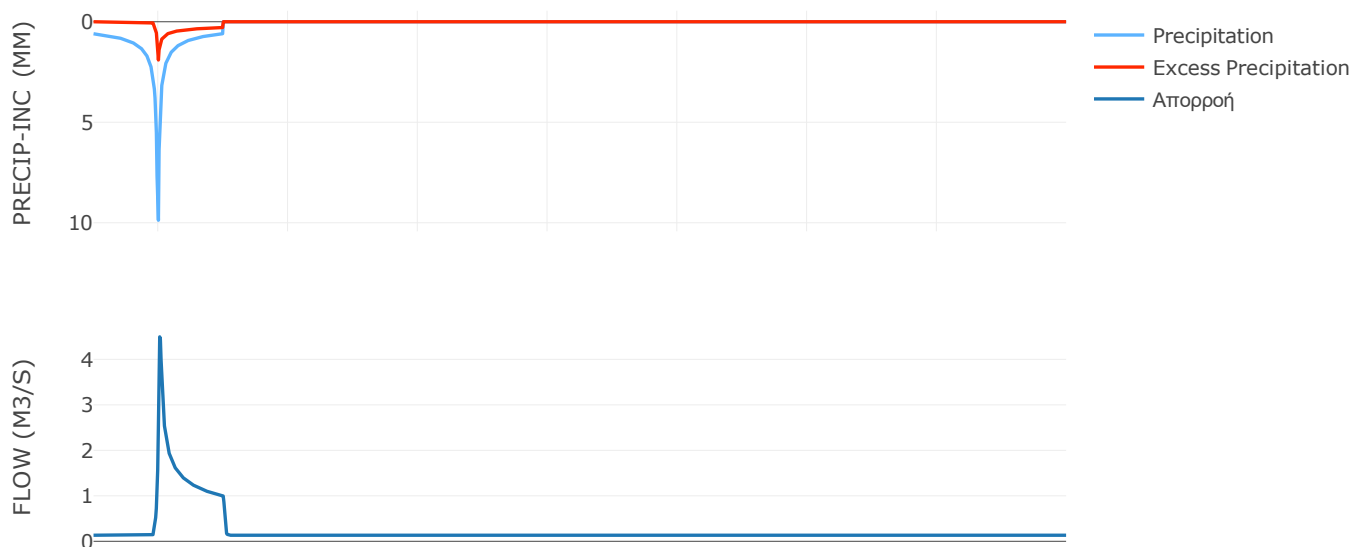
Μέθοδος Μετασχηματισμού: SCS

| | |
|------------------|-------|
| Χρόνος Υστέρησης | 24.26 |
|------------------|-------|

Αποτελέσματα:
EL0420FR4010

| | |
|-----------------------------|------------------|
| Παροχή αιχμής (M3/S) | 4.5 |
| Χρονική στιγμή αιχμής | 02Sep2000, 00:30 |
| Όγκος (MM) | 112.8 |
| Όγκος βροχόπτωσης (M3) | 6.84E5 |
| Όγκος απωλειών (M3) | 5.55E5 |
| Ενεργός Όγκος (M3) | 1.28E5 |
| Όγκος άμεσης απορροής (M3) | 1.28E5 |
| Όγκος βασικής απορροής (M3) | 1.73E5 |

Βροχόπτωση και Απορροή



Υπολεκάνη: EL0420FR4011

Έκταση (KM2) : 55.39

Κατάντη : J11

Μέθοδος Απωλειών: SCS

| | |
|--------------------------------|------|
| Ποσοστό αδιαπέρατης επιφάνειας | 0 |
| Αριθμός Καμπύλης Απορροής-CN | 35.6 |
| Αρχικές Απώλειες | 91.9 |

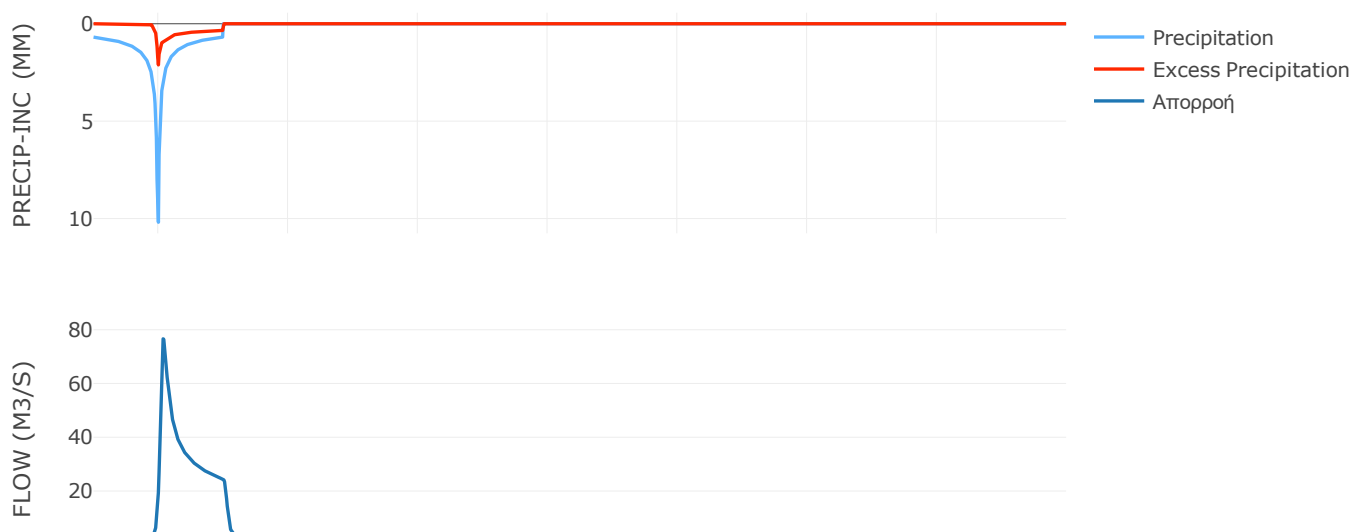
Μέθοδος Μετασχηματισμού: SCS

| | |
|------------------|-------|
| Χρόνος Υστέρησης | 80.49 |
|------------------|-------|

Αποτελέσματα:
EL0420FR4011

| | |
|-----------------------------|------------------|
| Παροχή αιχμής (M3/S) | 76.63 |
| Χρονική στιγμή αιχμής | 02Sep2000, 01:45 |
| Όγκος (MM) | 120.95 |
| Όγκος βροχόπτωσης (M3) | 1.57E7 |
| Όγκος απωλειών (M3) | 1.26E7 |
| Ενεργός Όγκος (M3) | 3.11E6 |
| Όγκος άμεσης απορροής (M3) | 3.11E6 |
| Όγκος βασικής απορροής (M3) | 3.59E6 |

Βροχόπτωση και Απορροή



Υπολεκάνη: EL0420FR4012

Έκταση (KM2) : 2.36

Κατάντη : J12

Μέθοδος Απωλειών: SCS

| | |
|--------------------------------|-------|
| Ποσοστό αδιαπέρατης επιφάνειας | 0 |
| Αριθμός Καμπύλης Απορροής-CN | 47.06 |
| Αρχικές Απώλειες | 57.14 |

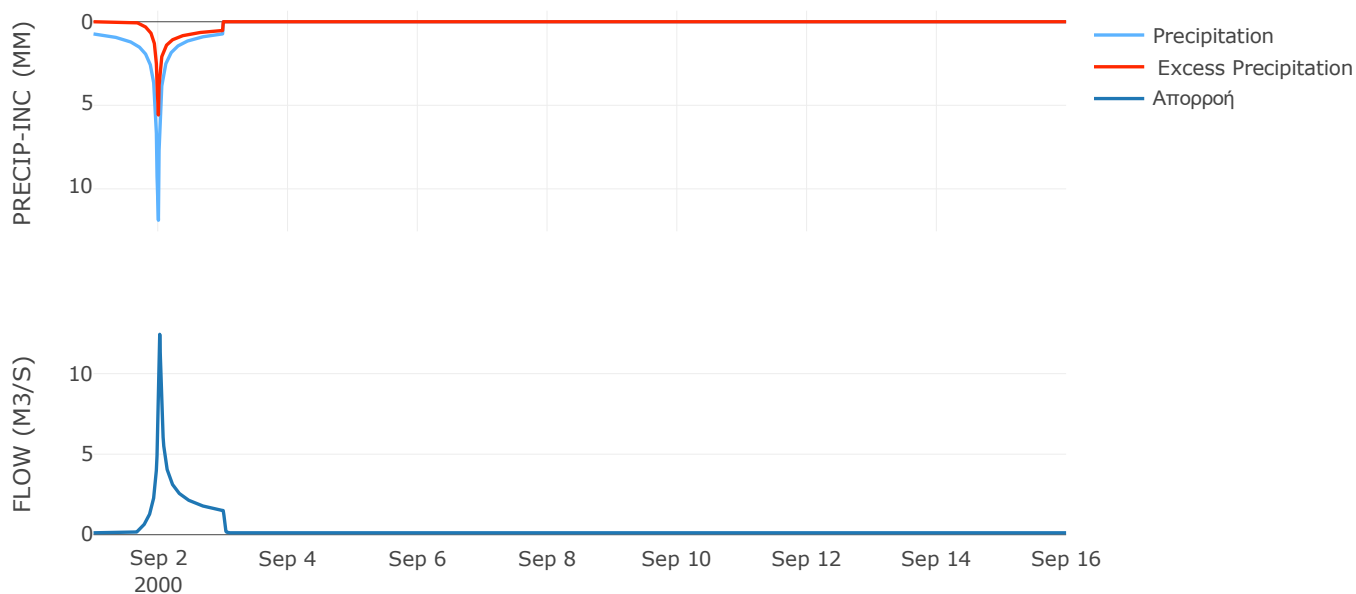
Μέθοδος Μετασχηματισμού: SCS

| | |
|------------------|-------|
| Χρόνος Υστέρησης | 21.36 |
|------------------|-------|

Αποτελέσματα:
EL0420FR4012

| | |
|-----------------------------|------------------|
| Παροχή αιχμής (M3/S) | 12.44 |
| Χρονική στιγμή αιχμής | 02Sep2000, 00:30 |
| Όγκος (MM) | 184.28 |
| Όγκος βροχόπτωσης (M3) | 7.34E5 |
| Όγκος απωλειών (M3) | 4.52E5 |
| Ενεργός Όγκος (M3) | 2.82E5 |
| Όγκος άμεσης απορροής (M3) | 2.82E5 |
| Όγκος βασικής απορροής (M3) | 1.53E5 |

Βροχόπτωση και Απορροή



Υπολεκάνη: EL0420FR4013

Έκταση (KM2) : 1.96

Κατάντη : J14

Μέθοδος Απωλειών: SCS

| | |
|--------------------------------|-------|
| Ποσοστό αδιαπέρατης επιφάνειας | 24 |
| Αριθμός Καμπύλης Απορροής-CN | 68.45 |
| Αρχικές Απώλειες | 23.42 |

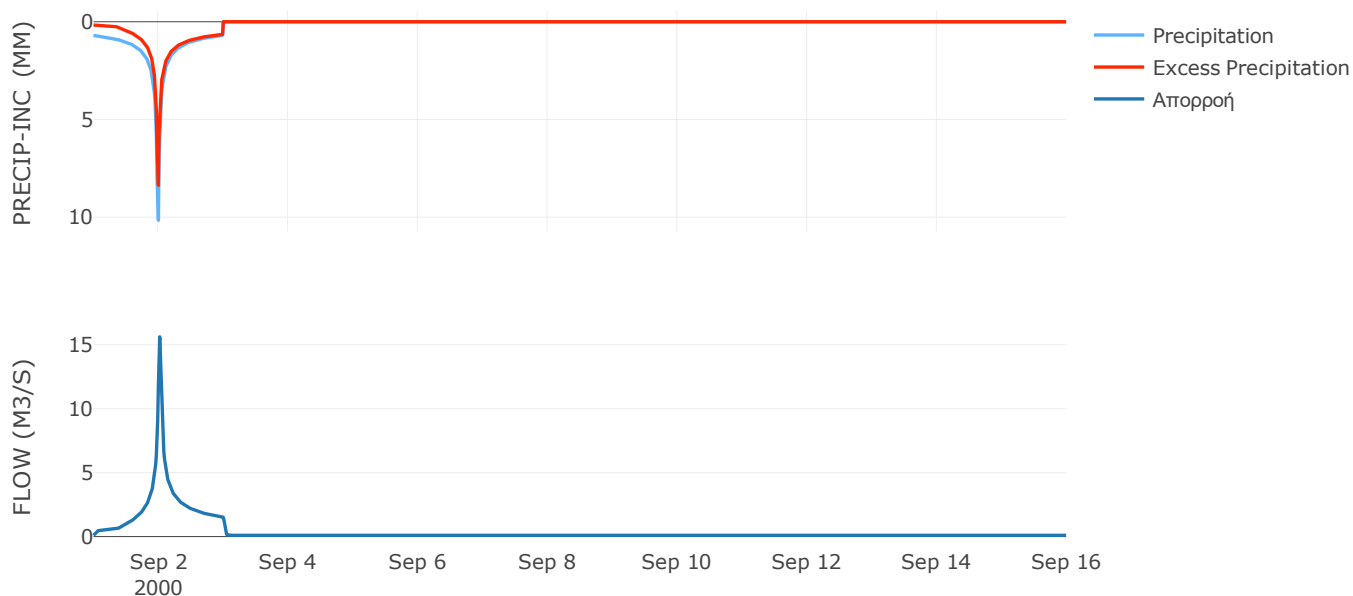
Μέθοδος Μετασχηματισμού: SCS

| | |
|------------------|-------|
| Χρόνος Υστέρησης | 25.34 |
|------------------|-------|

Αποτελέσματα:
EL0420FR4013

| | |
|-----------------------------|------------------|
| Παροχή αιχμής (M3/S) | 15.62 |
| Χρονική στιγμή αιχμής | 02Sep2000, 00:30 |
| Όγκος (MM) | 271.03 |
| Όγκος βροχόπτωσης (M3) | 5.59E5 |
| Όγκος απωλειών (M3) | 1.55E5 |
| Ενεργός Όγκος (M3) | 4.04E5 |
| Όγκος άμεσης απορροής (M3) | 4.04E5 |
| Όγκος βασικής απορροής (M3) | 1.27E5 |

Βροχόπτωση και Απορροή



Υπολεκάνη: EL0420FR4014

Έκταση (KM2) : 27.11

Κατάντη : J14

Μέθοδος Απωλειών: SCS

| | |
|--------------------------------|-------|
| Ποσοστό αδιαπέρατης επιφάνειας | 7 |
| Αριθμός Καμπύλης Απορροής-CN | 47.63 |
| Αρχικές Απώλειες | 55.86 |

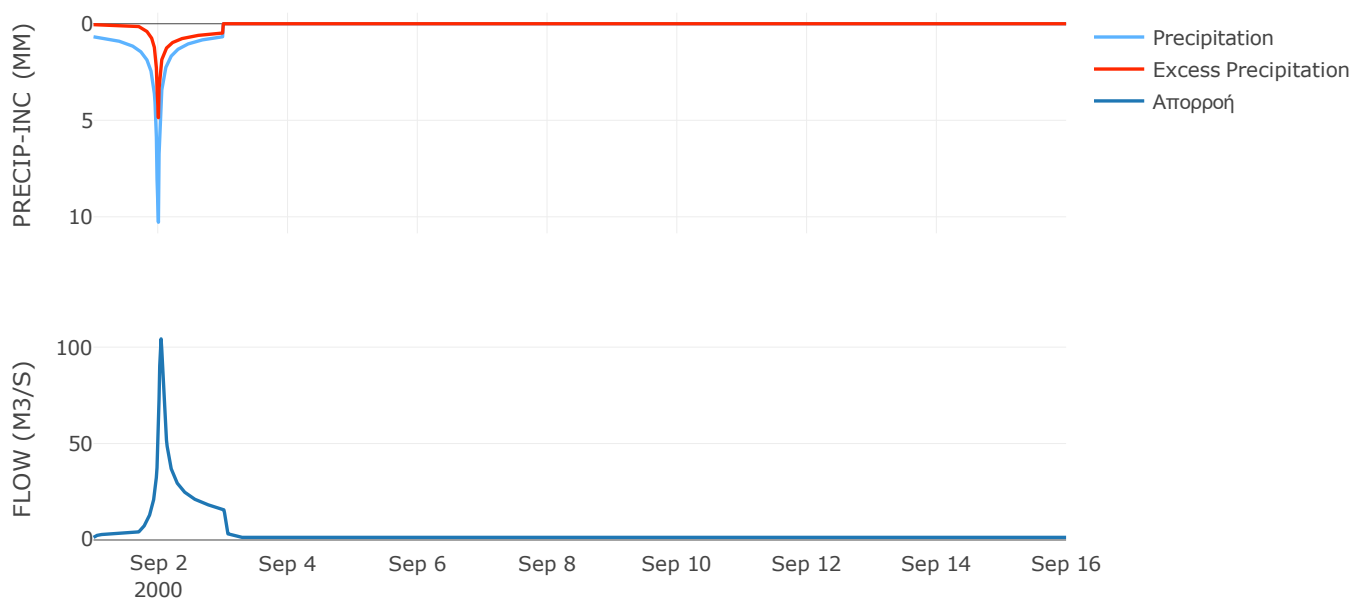
Μέθοδος Μετασχηματισμού: SCS

| | |
|------------------|-------|
| Χρόνος Υστέρησης | 48.35 |
|------------------|-------|

Αποτελέσματα:
EL0420FR4014

| | |
|-----------------------------|------------------|
| Παροχή αιχμής (M3/S) | 104.28 |
| Χρονική στιγμή αιχμής | 02Sep2000, 01:00 |
| Όγκος (MM) | 178.09 |
| Όγκος βροχόπτωσης (M3) | 7.62E6 |
| Όγκος απωλειών (M3) | 4.55E6 |
| Ενεργός Όγκος (M3) | 3.07E6 |
| Όγκος άμεσης απορροής (M3) | 3.07E6 |
| Όγκος βασικής απορροής (M3) | 1.76E6 |

Βροχόπτωση και Απορροή



Υπολεκάνη: EL0420FR4015

Έκταση (KM2) : 10.07

Κατάνη : J15

Μέθοδος Απωλειών: SCS

| | |
|--------------------------------|-------|
| Ποσοστό αδιαπέρατης επιφάνειας | 0 |
| Αριθμός Καμπύλης Απορροής-CN | 43.85 |
| Αρχικές Απώλειες | 65.05 |

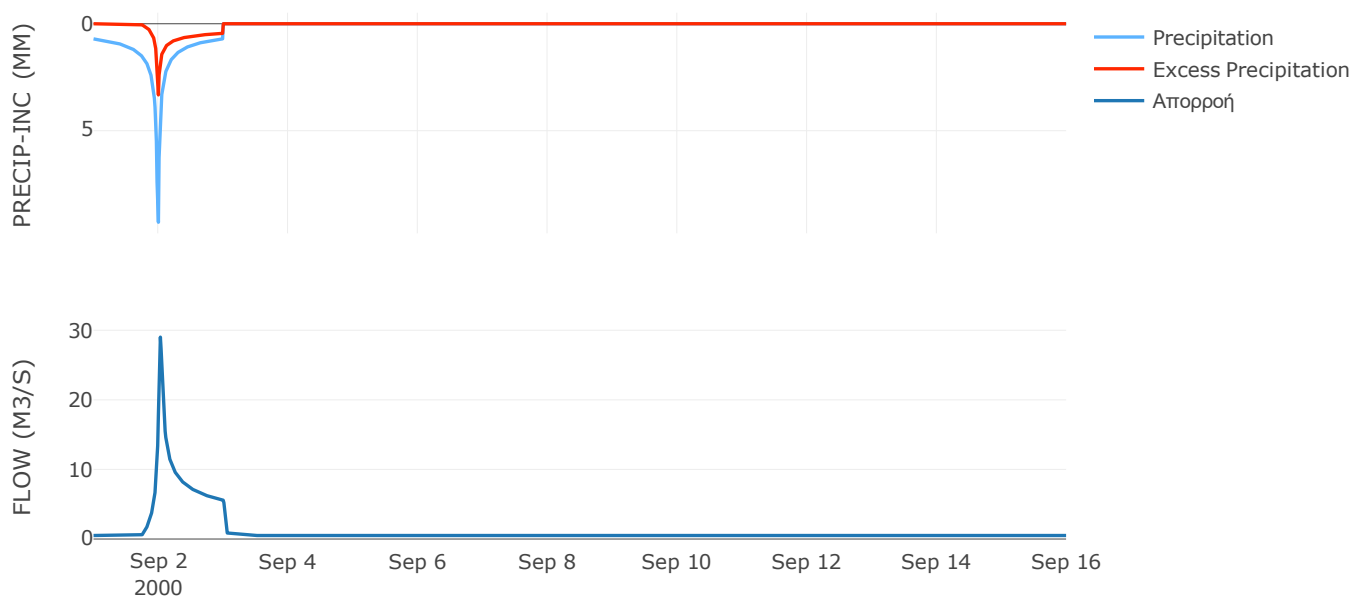
Μέθοδος Μετασχηματισμού: SCS

| | |
|------------------|-------|
| Χρόνος Υστέρησης | 34.15 |
|------------------|-------|

Αποτελέσματα:
EL0420FR4015

| | |
|-----------------------------|------------------|
| Παροχή αιχμής (M3/S) | 29.01 |
| Χρονική στιγμή αιχμής | 02Sep2000, 00:45 |
| Όγκος (MM) | 149.83 |
| Όγκος βροχόπτωσης (M3) | 2.81E6 |
| Όγκος απωλειών (M3) | 1.95E6 |
| Ενεργός Όγκος (M3) | 8.56E5 |
| Όγκος άμεσης απορροής (M3) | 8.56E5 |
| Όγκος βασικής απορροής (M3) | 6.52E5 |

Βροχόπτωση και Απορροή



Υπολεκάνη: EL0420FR4016

Έκταση (KM2) : 12.09

Κατάντη : J16

Μέθοδος Απωλειών: SCS

| | |
|--------------------------------|-------|
| Ποσοστό αδιαπέρατης επιφάνειας | 0 |
| Αριθμός Καμπύλης Απορροής-CN | 63.3 |
| Αρχικές Απώλειες | 29.45 |

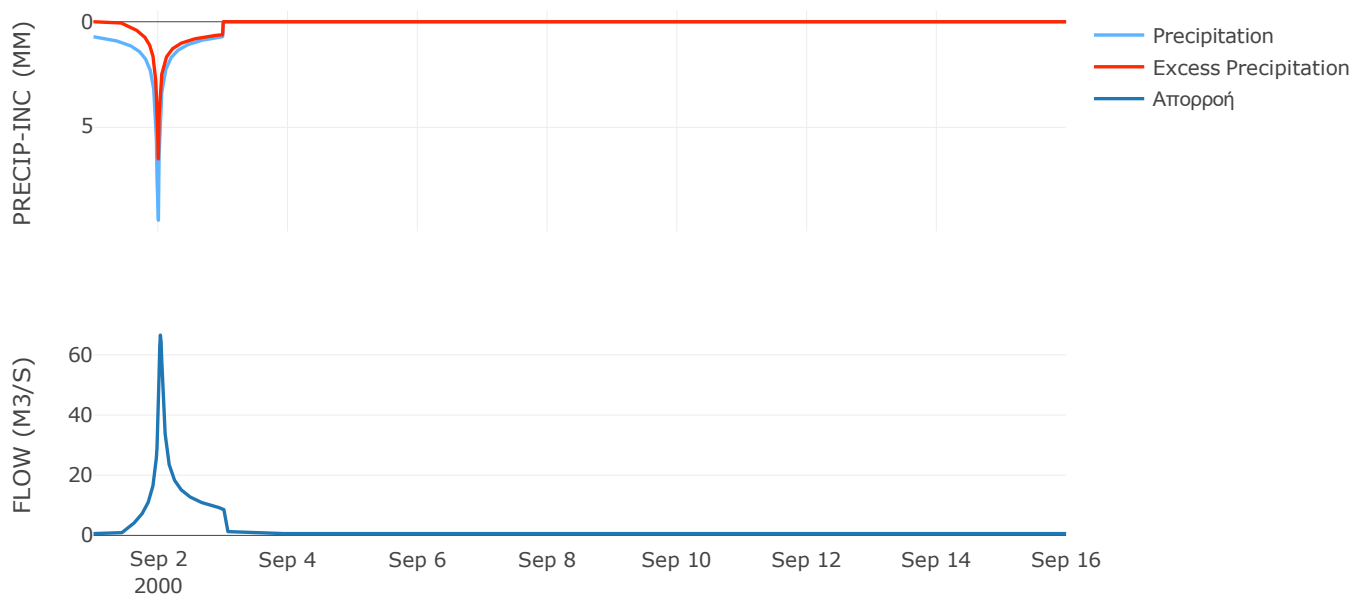
Μέθοδος Μετασχηματισμού: SCS

| | |
|------------------|-------|
| Χρόνος Υστέρησης | 41.61 |
|------------------|-------|

Αποτελέσματα:
EL0420FR4016

| | |
|-----------------------------|------------------|
| Παροχή αιχμής (M3/S) | 66.57 |
| Χρονική στιγμή αιχμής | 02Sep2000, 00:45 |
| Όγκος (MM) | 223.89 |
| Όγκος βροχόπτωσης (M3) | 3.4E6 |
| Όγκος απωλειών (M3) | 1.48E6 |
| Ενεργός Όγκος (M3) | 1.92E6 |
| Όγκος άμεσης απορροής (M3) | 1.92E6 |
| Όγκος βασικής απορροής (M3) | 7.83E5 |

Βροχόπτωση και Απορροή



Υπολεκάνη: EL0420FR4017

Έκταση (KM2) : 0.82

Κατάντη : J17

Μέθοδος Απωλειών: SCS

| | |
|--------------------------------|-------|
| Ποσοστό αδιαπέρατης επιφάνειας | 0 |
| Αριθμός Καμπύλης Απορροής-CN | 64.83 |
| Αρχικές Απώλειες | 27.56 |

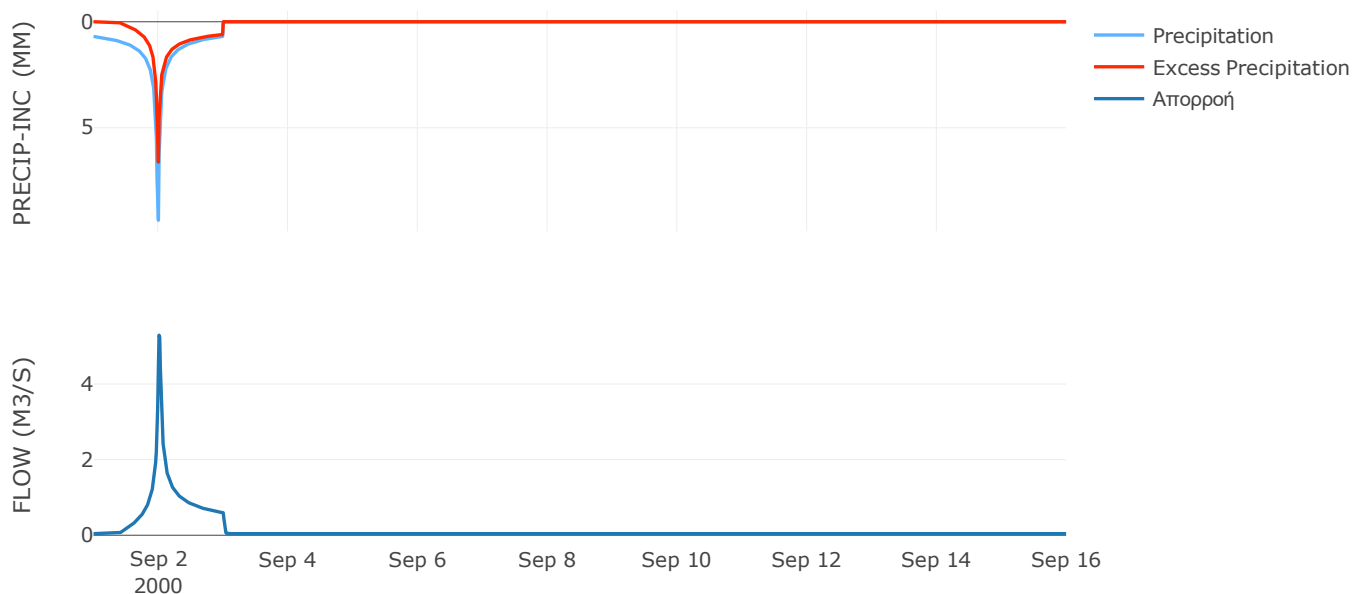
Μέθοδος Μετασχηματισμού: SCS

| | |
|------------------|----|
| Χρόνος Υστέρησης | 18 |
|------------------|----|

Αποτελέσματα:
EL0420FR4017

| | |
|-----------------------------|------------------|
| Παροχή αιχμής (M3/S) | 5.29 |
| Χρονική στιγμή αιχμής | 02Sep2000, 00:15 |
| Όγκος (MM) | 224.7 |
| Όγκος βροχόπτωσης (M3) | 2.27E5 |
| Όγκος απωλειών (M3) | 95658.51 |
| Ενεργός Όγκος (M3) | 1.32E5 |
| Όγκος άμεσης απορροής (M3) | 1.32E5 |
| Όγκος βασικής απορροής (M3) | 53342.06 |

Βροχόπτωση και Απορροή



Υπολεκάνη: EL0420FR4018

Έκταση (KM2) : 26.76

Κατάνη : J18

Μέθοδος Απωλειών: SCS

| | |
|--------------------------------|-------|
| Ποσοστό αδιαπέρατης επιφάνειας | 0 |
| Αριθμός Καμπύλης Απορροής-CN | 63.56 |
| Αρχικές Απώλειες | 29.12 |

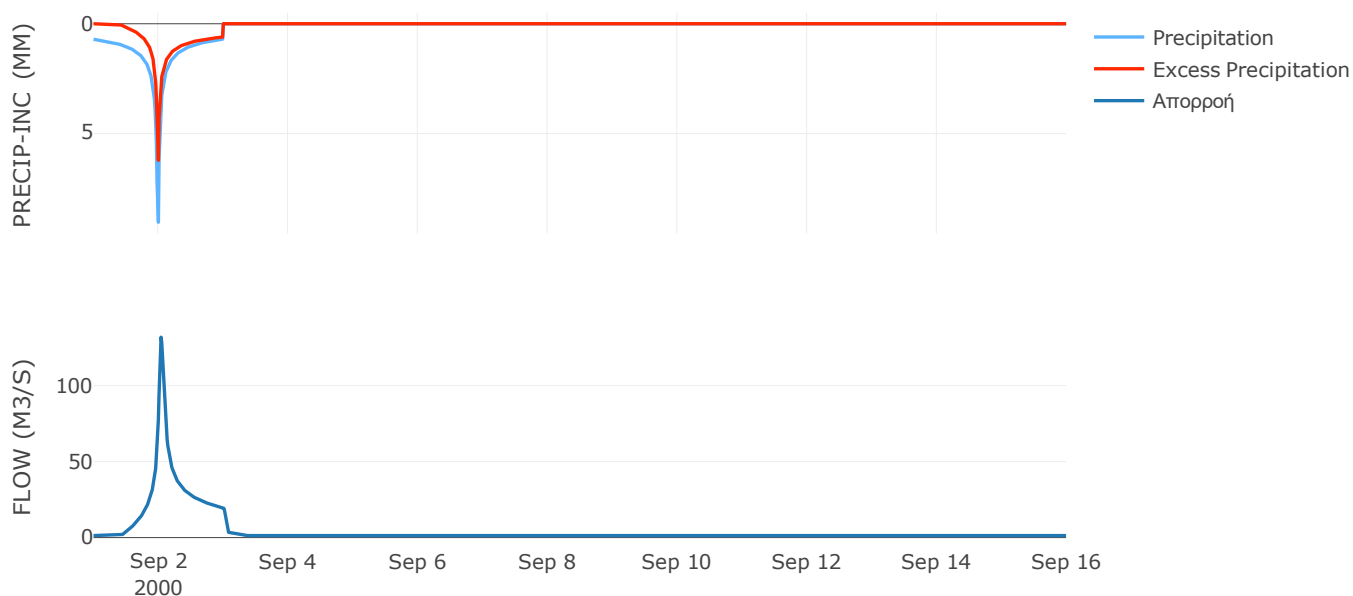
Μέθοδος Μετασχηματισμού: SCS

| | |
|------------------|-------|
| Χρόνος Υστέρησης | 54.49 |
|------------------|-------|

Αποτελέσματα:
EL0420FR4018

| | |
|-----------------------------|------------------|
| Παροχή αιχμής (M3/S) | 131.82 |
| Χρονική στιγμή αιχμής | 02Sep2000, 01:00 |
| Όγκος (MM) | 220.13 |
| Όγκος βροχόπτωσης (M3) | 7.39E6 |
| Όγκος απωλειών (M3) | 3.23E6 |
| Ενεργός Όγκος (M3) | 4.16E6 |
| Όγκος άμεσης απορροής (M3) | 4.16E6 |
| Όγκος βασικής απορροής (M3) | 1.73E6 |

Βροχόπτωση και Απορροή



Υπολεκάνη: EL0420FR4019

Έκταση (KM2) : 0.87

Κατάντη : J19

Μέθοδος Απωλειών: SCS

| | |
|--------------------------------|-------|
| Ποσοστό αδιαπέρατης επιφάνειας | 0 |
| Αριθμός Καμπύλης Απορροής-CN | 64.75 |
| Αρχικές Απώλειες | 27.66 |

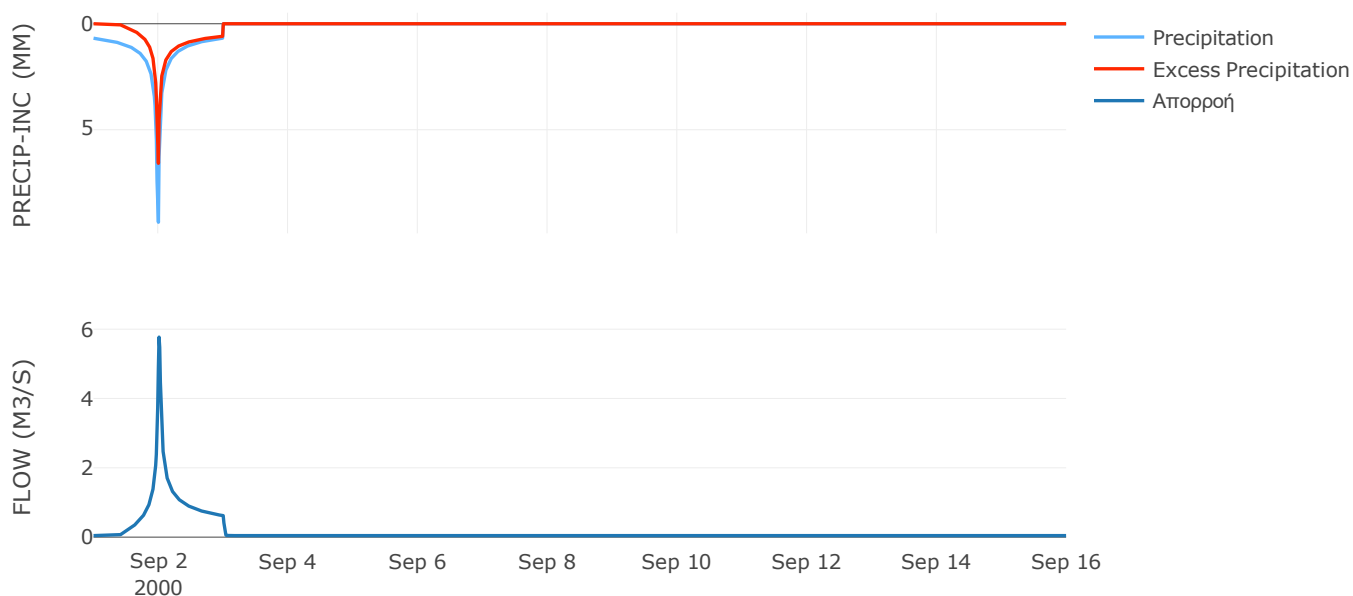
Μέθοδος Μετασχηματισμού: SCS

| | |
|------------------|------|
| Χρόνος Υστέρησης | 15.5 |
|------------------|------|

Αποτελέσματα:
EL0420FR4019

| | |
|-----------------------------|------------------|
| Παροχή αιχμής (M3/S) | 5.77 |
| Χρονική στιγμή αιχμής | 02Sep2000, 00:15 |
| Όγκος (MM) | 222.22 |
| Όγκος βροχόπτωσης (M3) | 2.39E5 |
| Όγκος απωλειών (M3) | 1.01E5 |
| Ενεργός Όγκος (M3) | 1.37E5 |
| Όγκος άμεσης απορροής (M3) | 1.37E5 |
| Όγκος βασικής απορροής (M3) | 56528.93 |

Βροχόπτωση και Απορροή



Υπολεκάνη: EL0420FR4020

Έκταση (KM2) : 6.12

Κατάντη : J20

Μέθοδος Απωλειών: SCS

| | |
|--------------------------------|-------|
| Ποσοστό αδιαπέρατης επιφάνειας | 0 |
| Αριθμός Καμπύλης Απορροής-CN | 65 |
| Αρχικές Απώλειες | 27.35 |

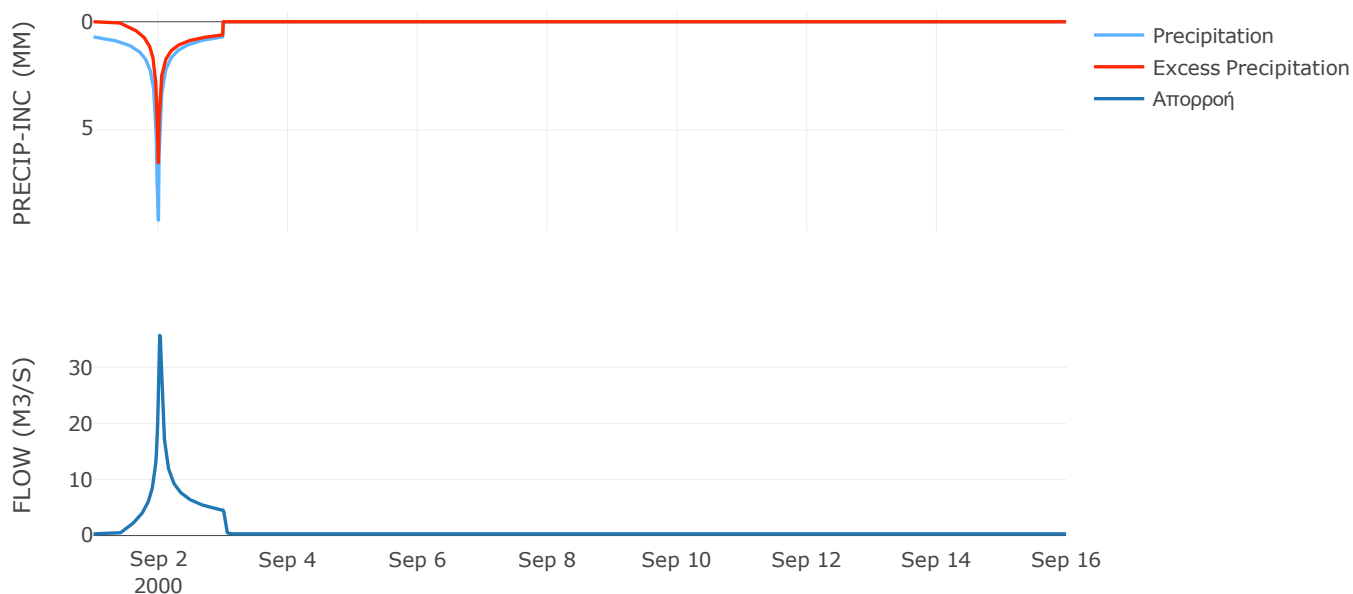
Μέθοδος Μετασχηματισμού: SCS

| | |
|------------------|-------|
| Χρόνος Υστέρησης | 31.93 |
|------------------|-------|

Αποτελέσματα:
EL0420FR4020

| | |
|-----------------------------|------------------|
| Παροχή αιχμής (M3/S) | 35.69 |
| Χρονική στιγμή αιχμής | 02Sep2000, 00:30 |
| Όγκος (MM) | 225.61 |
| Όγκος βροχόπτωσης (M3) | 1.69E6 |
| Όγκος απωλειών (M3) | 7.08E5 |
| Ενεργός Όγκος (M3) | 9.85E5 |
| Όγκος άμεσης απορροής (M3) | 9.85E5 |
| Όγκος βασικής απορροής (M3) | 3.97E5 |

Βροχόπτωση και Απορροή



Υπολεκάνη: EL0420FR4021

Έκταση (KM2) : 32.13

Κατάντη : J21

Μέθοδος Απωλειών: SCS

| | |
|--------------------------------|-------|
| Ποσοστό αδιαπέρατης επιφάνειας | 0 |
| Αριθμός Καμπύλης Απορροής-CN | 59.31 |
| Αρχικές Απώλειες | 34.85 |

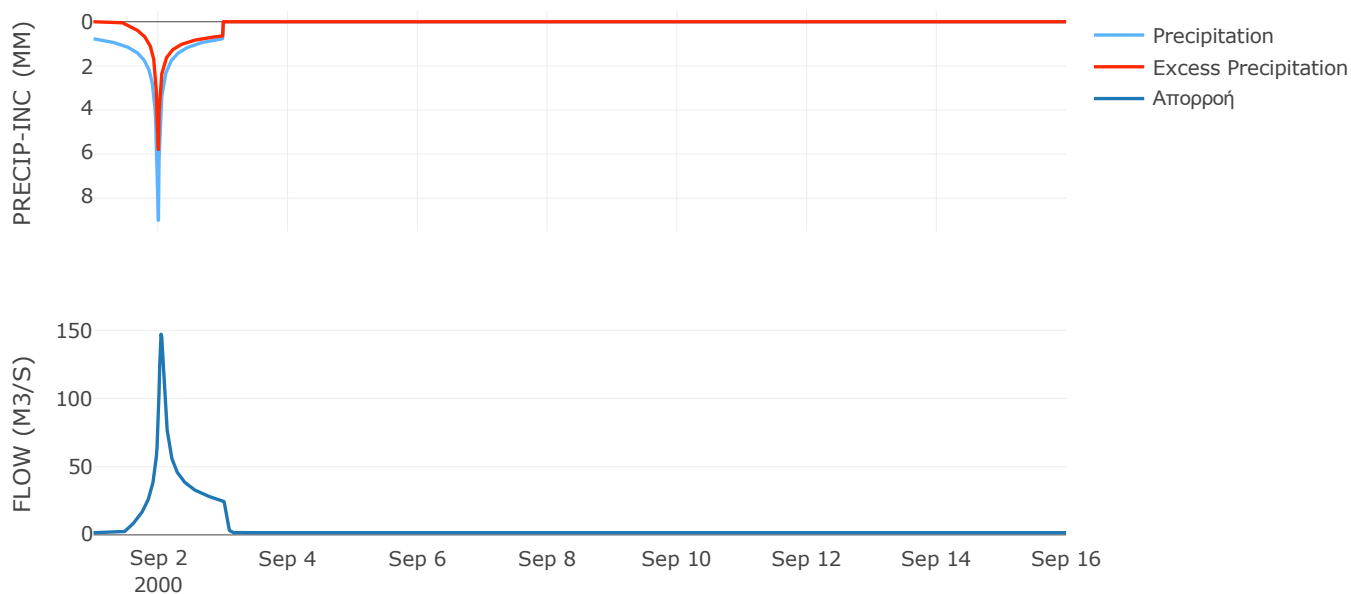
Μέθοδος Μετασχηματισμού: SCS

| | |
|------------------|-------|
| Χρόνος Υστέρησης | 56.02 |
|------------------|-------|

Αποτελέσματα:
EL0420FR4021

| | |
|-----------------------------|------------------|
| Παροχή αιχμής (M3/S) | 147.17 |
| Χρονική στιγμή αιχμής | 02Sep2000, 01:00 |
| Όγκος (MM) | 218.72 |
| Όγκος βροχόπτωσης (M3) | 9.41E6 |
| Όγκος απωλειών (M3) | 4.46E6 |
| Ενεργός Όγκος (M3) | 4.95E6 |
| Όγκος άμεσης απορροής (M3) | 4.95E6 |
| Όγκος βασικής απορροής (M3) | 2.08E6 |

Βροχόπτωση και Απορροή



Υπολεκάνη: EL0420FR4022

Έκταση (KM2) : 15.31

Κατάντη : J21

Μέθοδος Απωλειών: SCS

| | |
|--------------------------------|-------|
| Ποσοστό αδιαπέρατης επιφάνειας | 0 |
| Αριθμός Καμπύλης Απορροής-CN | 64.99 |
| Αρχικές Απώλειες | 27.37 |

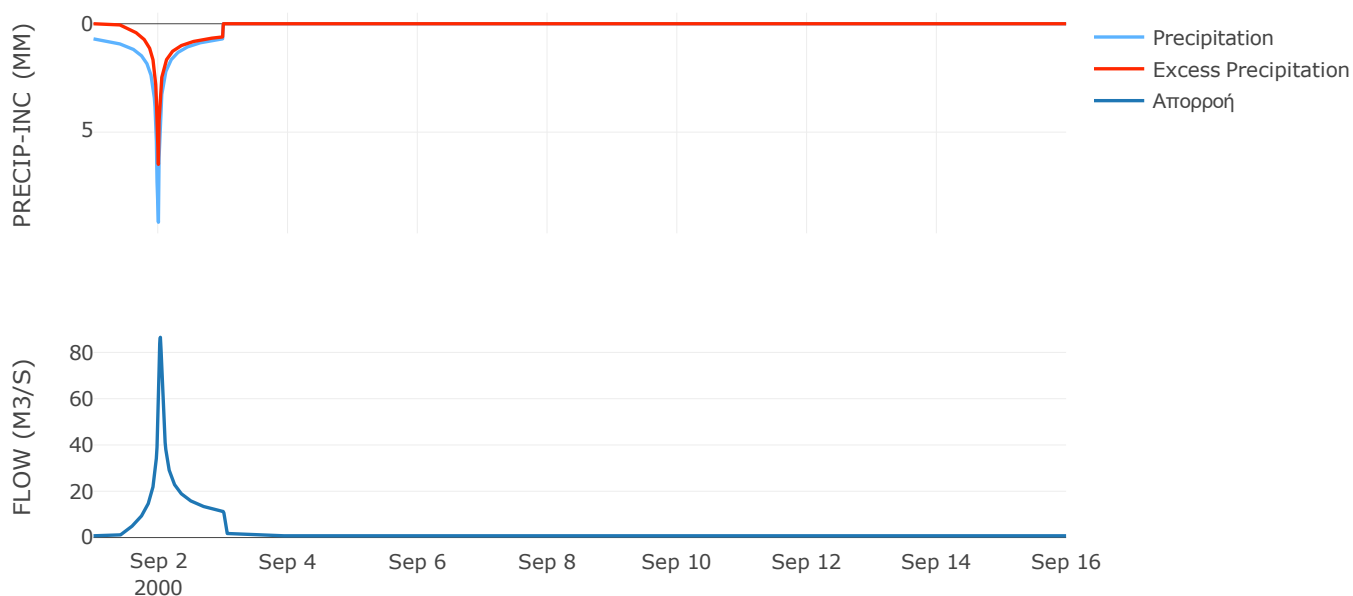
Μέθοδος Μετασχηματισμού: SCS

| | |
|------------------|-------|
| Χρόνος Υστέρησης | 37.15 |
|------------------|-------|

Αποτελέσματα:
EL0420FR4022

| | |
|-----------------------------|------------------|
| Παροχή αιχμής (M3/S) | 86.53 |
| Χρονική στιγμή αιχμής | 02Sep2000, 00:45 |
| Όγκος (MM) | 224.76 |
| Όγκος βροχόπτωσης (M3) | 4.22E6 |
| Όγκος απωλειών (M3) | 1.77E6 |
| Ενεργός Όγκος (M3) | 2.45E6 |
| Όγκος άμεσης απορροής (M3) | 2.45E6 |
| Όγκος βασικής απορροής (M3) | 9.92E5 |

Βροχόπτωση και Απορροή



Υπολεκάνη: EL0420FR4023

Έκταση (KM2) : 11.12

Κατάνη : J22

Μέθοδος Απωλειών: SCS

| | |
|--------------------------------|-------|
| Ποσοστό αδιαπέρατης επιφάνειας | 0 |
| Αριθμός Καμπύλης Απορροής-CN | 46.54 |
| Αρχικές Απώλειες | 58.34 |

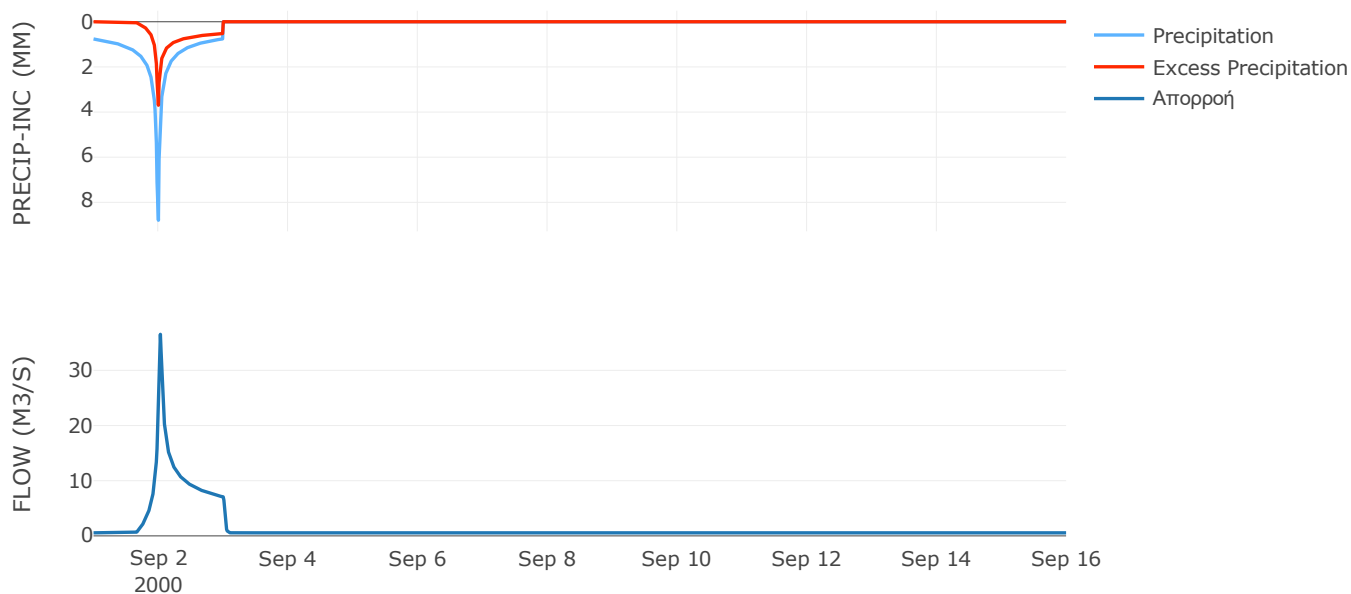
Μέθοδος Μετασχηματισμού: SCS

| | |
|------------------|-------|
| Χρόνος Υστέρησης | 30.65 |
|------------------|-------|

Αποτελέσματα:
EL0420FR4023

| | |
|-----------------------------|------------------|
| Παροχή αιχμής (M3/S) | 36.53 |
| Χρονική στιγμή αιχμής | 02Sep2000, 00:45 |
| Όγκος (MM) | 165.98 |
| Όγκος βροχόπτωσης (M3) | 3.2E6 |
| Όγκος απωλειών (M3) | 2.08E6 |
| Ενεργός Όγκος (M3) | 1.12E6 |
| Όγκος άμεσης απορροής (M3) | 1.12E6 |
| Όγκος βασικής απορροής (M3) | 7.2E5 |

Βροχόπτωση και Απορροή



Υπολεκάνη: EL0420FR4024

Έκταση (KM2) : 19.63

Κατάντη : J22

Μέθοδος Απωλειών: SCS

| | |
|--------------------------------|-------|
| Ποσοστό αδιαπέρατης επιφάνειας | 0 |
| Αριθμός Καμπύλης Απορροής-CN | 60.19 |
| Αρχικές Απώλειες | 33.6 |

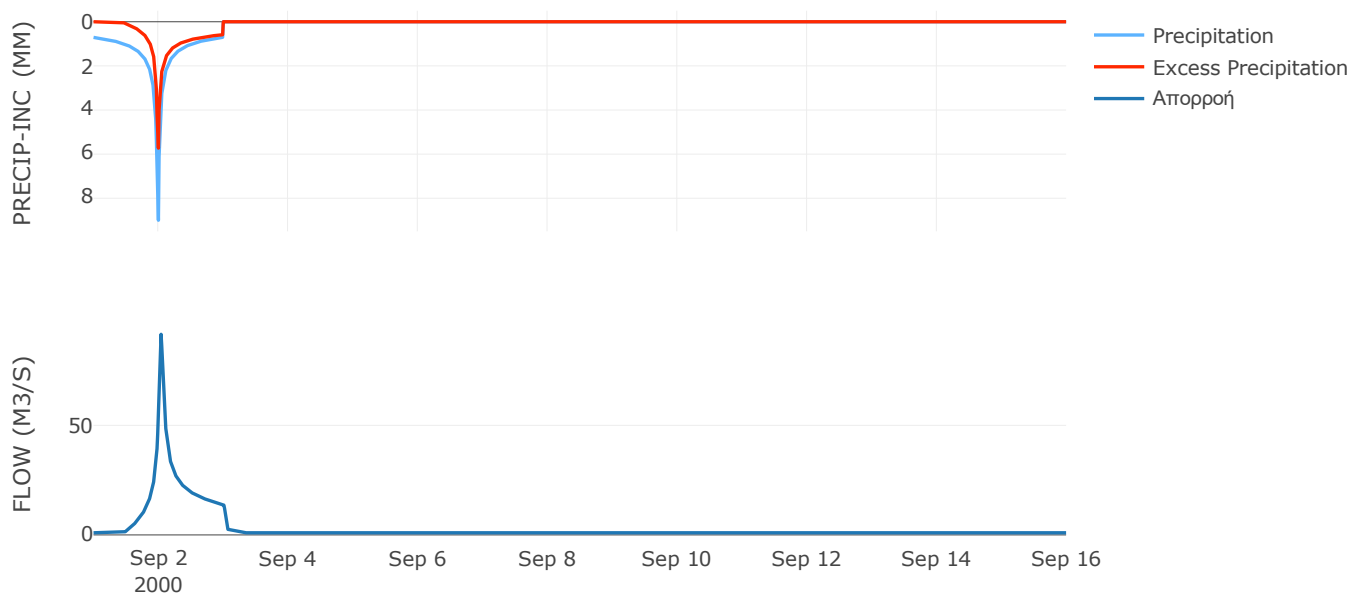
Μέθοδος Μετασχηματισμού: SCS

| | |
|------------------|-------|
| Χρόνος Υστέρησης | 47.79 |
|------------------|-------|

Αποτελέσματα:
EL0420FR4024

| | |
|-----------------------------|------------------|
| Παροχή αιχμής (M3/S) | 91.55 |
| Χρονική στιγμή αιχμής | 02Sep2000, 01:00 |
| Όγκος (MM) | 208.43 |
| Όγκος βροχόπτωσης (M3) | 5.43E6 |
| Όγκος απωλειών (M3) | 2.61E6 |
| Ενεργός Όγκος (M3) | 2.82E6 |
| Όγκος άμεσης απορροής (M3) | 2.82E6 |
| Όγκος βασικής απορροής (M3) | 1.27E6 |

Βροχόπτωση και Απορροή



Υπολεκάνη: EL0420FR4025

Έκταση (KM2) : 67.33

Κατάντη : J16

Μέθοδος Απωλειών: SCS

| | |
|--------------------------------|-------|
| Ποσοστό αδιαπέρατης επιφάνειας | 0 |
| Αριθμός Καμπύλης Απορροής-CN | 62.35 |
| Αρχικές Απώλειες | 30.68 |

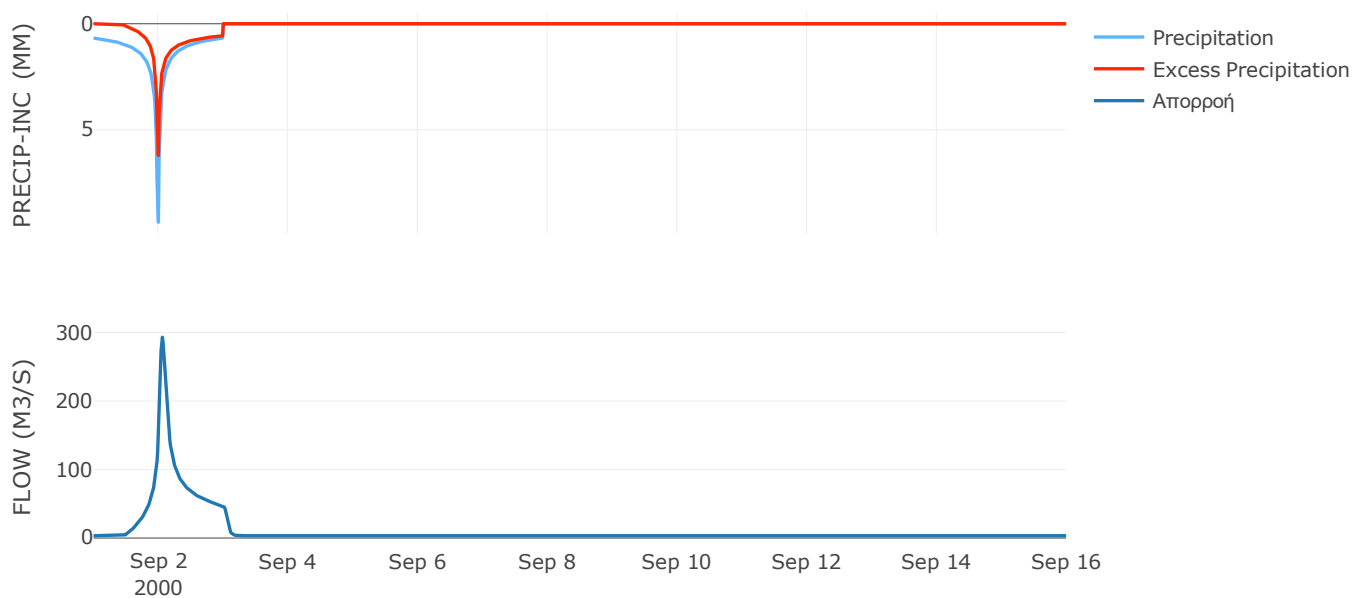
Μέθοδος Μετασχηματισμού: SCS

| | |
|------------------|-------|
| Χρόνος Υστέρησης | 77.24 |
|------------------|-------|

Αποτελέσματα:
EL0420FR4025

| | |
|-----------------------------|------------------|
| Παροχή αιχμής (M3/S) | 293.17 |
| Χρονική στιγμή αιχμής | 02Sep2000, 01:30 |
| Όγκος (MM) | 211.24 |
| Όγκος βροχόπτωσης (M3) | 1.82E7 |
| Όγκος απωλειών (M3) | 8.37E6 |
| Ενεργός Όγκος (M3) | 9.86E6 |
| Όγκος άμεσης απορροής (M3) | 9.86E6 |
| Όγκος βασικής απορροής (M3) | 4.36E6 |

Βροχόπτωση και Απορροή



Υπολεκάνη: EL0420FR4026

Έκταση (KM2) : 8.76

Κατάντη : J15

Μέθοδος Απωλειών: SCS

| | |
|--------------------------------|-------|
| Ποσοστό αδιαπέρατης επιφάνειας | 0 |
| Αριθμός Καμπύλης Απορροής-CN | 40.43 |
| Αρχικές Απώλειες | 74.84 |

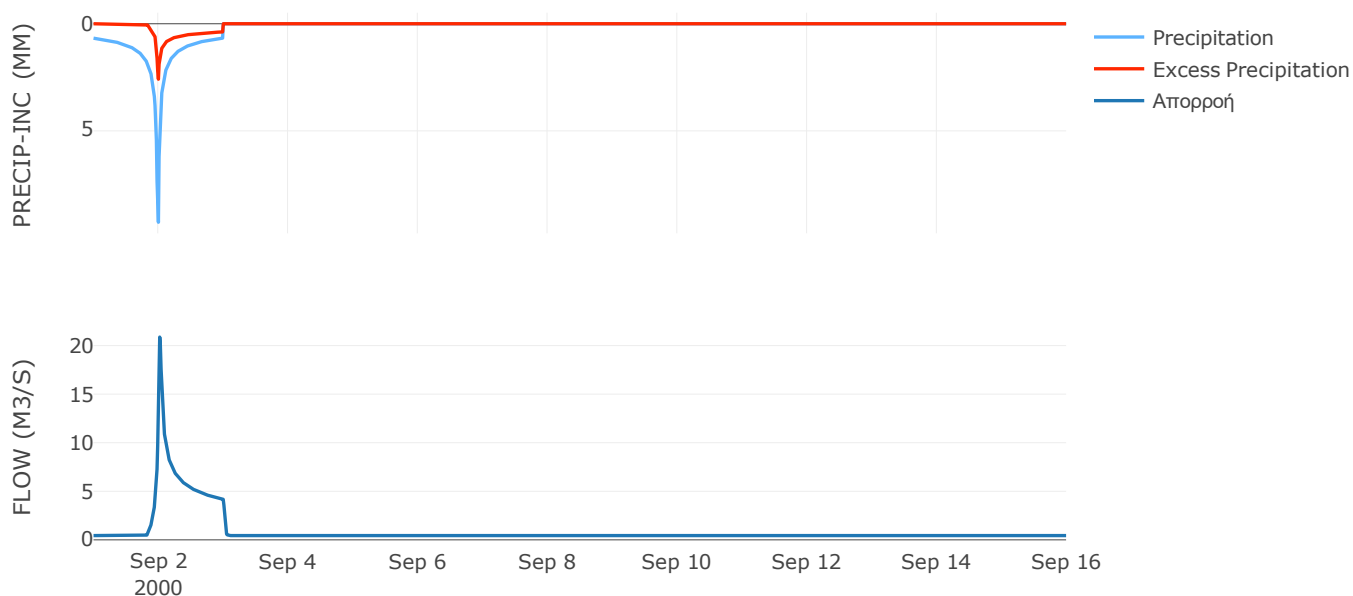
Μέθοδος Μετασχηματισμού: SCS

| | |
|------------------|-------|
| Χρόνος Υστέρησης | 23.92 |
|------------------|-------|

Αποτελέσματα:
EL0420FR4026

| | |
|-----------------------------|------------------|
| Παροχή αιχμής (M3/S) | 20.87 |
| Χρονική στιγμή αιχμής | 02Sep2000, 00:30 |
| Όγκος (MM) | 131.83 |
| Όγκος βροχόπτωσης (M3) | 2.37E6 |
| Όγκος απωλειών (M3) | 1.78E6 |
| Ενεργός Όγκος (M3) | 5.87E5 |
| Όγκος άμεσης απορροής (M3) | 5.87E5 |
| Όγκος βασικής απορροής (M3) | 5.67E5 |

Βροχόπτωση και Απορροή



Υπολεκάνη: EL0420FR4027

Έκταση (KM2) : 13.94

Κατάντη : J29

Μέθοδος Απωλειών: SCS

| | |
|--------------------------------|-------|
| Ποσοστό αδιαπέρατης επιφάνειας | 0 |
| Αριθμός Καμπύλης Απορροής-CN | 46.27 |
| Αρχικές Απώλειες | 58.99 |

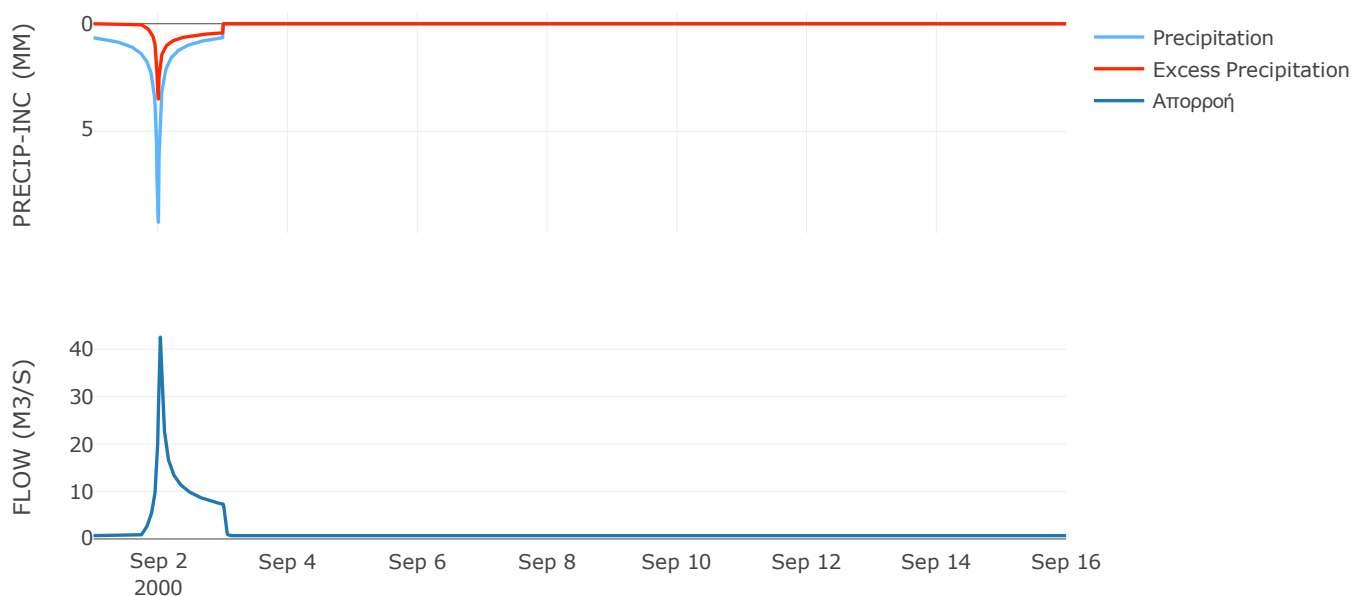
Μέθοδος Μετασχηματισμού: SCS

| | |
|------------------|-------|
| Χρόνος Υστέρησης | 31.21 |
|------------------|-------|

Αποτελέσματα:
EL0420FR4027

| | |
|-----------------------------|------------------|
| Παροχή αιχμής (M3/S) | 42.56 |
| Χρονική στιγμή αιχμής | 02Sep2000, 00:45 |
| Όγκος (MM) | 149.03 |
| Όγκος βροχόπτωσης (M3) | 3.68E6 |
| Όγκος απωλειών (M3) | 2.51E6 |
| Ενεργός Όγκος (M3) | 1.17E6 |
| Όγκος άμεσης απορροής (M3) | 1.17E6 |
| Όγκος βασικής απορροής (M3) | 9.03E5 |

Βροχόπτωση και Απορροή



Υπολεκάνη: EL0420FR4028

Έκταση (KM2) : 17.93

Κατάντη : J29

Μέθοδος Απωλειών: SCS

| | |
|--------------------------------|-------|
| Ποσοστό αδιαπέρατης επιφάνειας | 0 |
| Αριθμός Καμπύλης Απορροής-CN | 61.07 |
| Αρχικές Απώλειες | 32.38 |

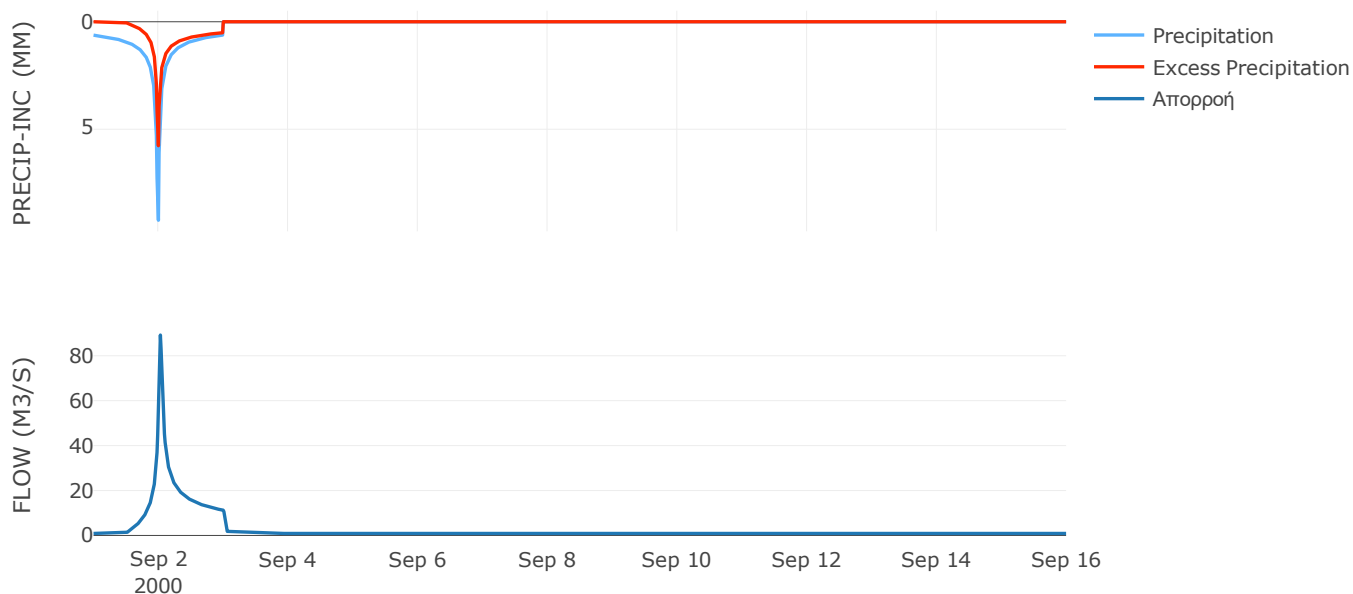
Μέθοδος Μετασχηματισμού: SCS

| | |
|------------------|-------|
| Χρόνος Υστέρησης | 36.54 |
|------------------|-------|

Αποτελέσματα:
EL0420FR4028

| | |
|-----------------------------|------------------|
| Παροχή αιχμής (M3/S) | 89.2 |
| Χρονική στιγμή αιχμής | 02Sep2000, 00:45 |
| Όγκος (MM) | 195.14 |
| Όγκος βροχόπτωσης (M3) | 4.6E6 |
| Όγκος απωλειών (M3) | 2.27E6 |
| Ενεργός Όγκος (M3) | 2.34E6 |
| Όγκος άμεσης απορροής (M3) | 2.34E6 |
| Όγκος βασικής απορροής (M3) | 1.16E6 |

Βροχόπτωση και Απορροή



Υπολεκάνη: EL0420FR4029

Έκταση (KM2) : 31.51

Κατάντη : J28

Μέθοδος Απωλειών: SCS

| | |
|--------------------------------|-------|
| Ποσοστό αδιαπέρατης επιφάνειας | 0 |
| Αριθμός Καμπύλης Απορροής-CN | 34.31 |
| Αρχικές Απώλειες | 97.25 |

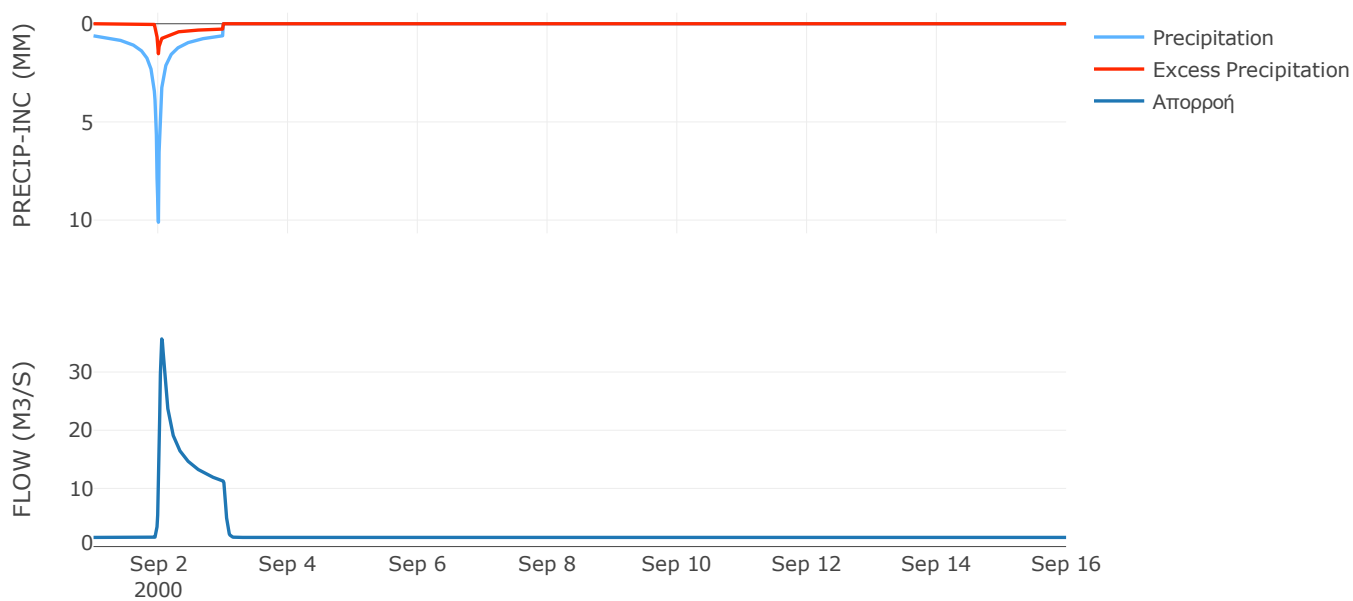
Μέθοδος Μετασχηματισμού: SCS

| | |
|------------------|-------|
| Χρόνος Υστέρησης | 51.37 |
|------------------|-------|

Αποτελέσματα:
EL0420FR4029

| | |
|-----------------------------|------------------|
| Παροχή αιχμής (M3/S) | 35.7 |
| Χρονική στιγμή αιχμής | 02Sep2000, 01:15 |
| Όγκος (MM) | 107.11 |
| Όγκος βροχόπτωσης (M3) | 8.3E6 |
| Όγκος απωλειών (M3) | 6.97E6 |
| Ενεργός Όγκος (M3) | 1.33E6 |
| Όγκος άμεσης απορροής (M3) | 1.33E6 |
| Όγκος βασικής απορροής (M3) | 2.04E6 |

Βροχόπτωση και Απορροή



Υπολεκάνη: EL0420FR4030

Έκταση (KM2) : 11.42

Κατάντη : J28

Μέθοδος Απωλειών: SCS

| | |
|--------------------------------|-------|
| Ποσοστό αδιαπέρατης επιφάνειας | 0 |
| Αριθμός Καμπύλης Απορροής-CN | 40.83 |
| Αρχικές Απώλειες | 73.62 |

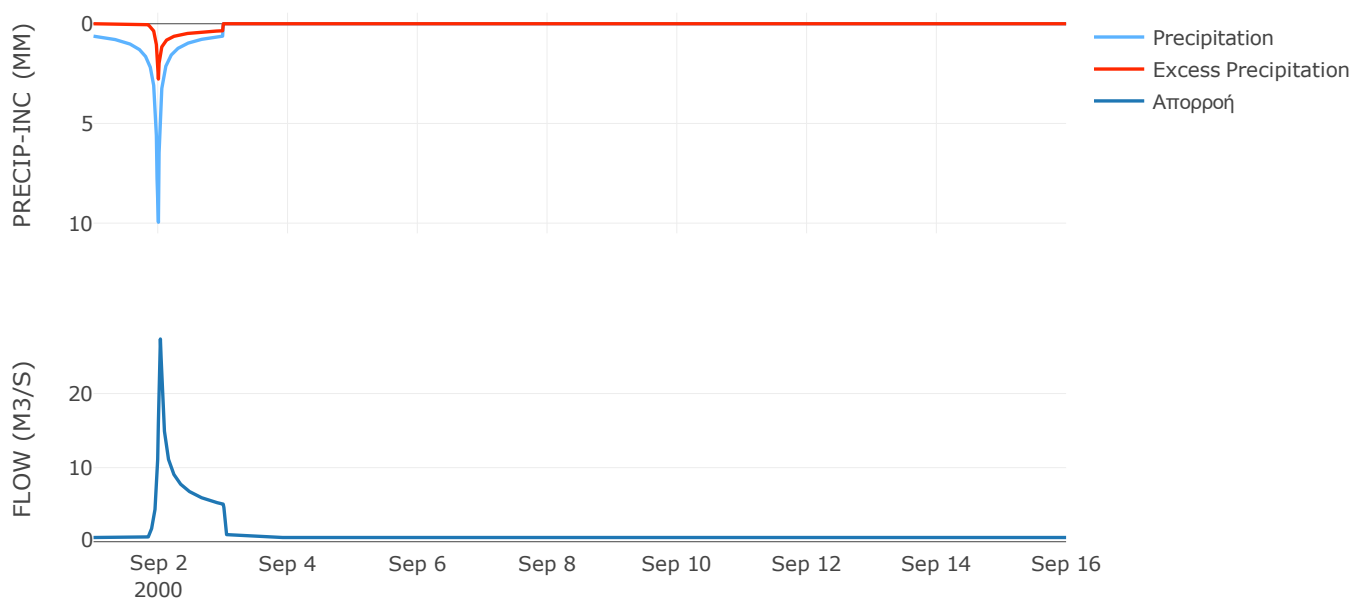
Μέθοδος Μετασχηματισμού: SCS

| | |
|------------------|-------|
| Χρόνος Υστέρησης | 29.38 |
|------------------|-------|

Αποτελέσματα:
EL0420FR4030

| | |
|-----------------------------|------------------|
| Παροχή αιχμής (M3/S) | 27.36 |
| Χρονική στιγμή αιχμής | 02Sep2000, 00:45 |
| Όγκος (MM) | 129.74 |
| Όγκος βροχόπτωσης (M3) | 3.02E6 |
| Όγκος απωλειών (M3) | 2.27E6 |
| Ενεργός Όγκος (M3) | 7.42E5 |
| Όγκος άμεσης απορροής (M3) | 7.42E5 |
| Όγκος βασικής απορροής (M3) | 7.4E5 |

Βροχόπτωση και Απορροή



Υπολεκάνη: EL0420FR4031

Έκταση (KM2) : 2.28

Κατάντη : J27

Μέθοδος Απωλειών: SCS

| | |
|--------------------------------|-------|
| Ποσοστό αδιαπέρατης επιφάνειας | 0 |
| Αριθμός Καμπύλης Απορροής-CN | 48.92 |
| Αρχικές Απώλειες | 53.05 |

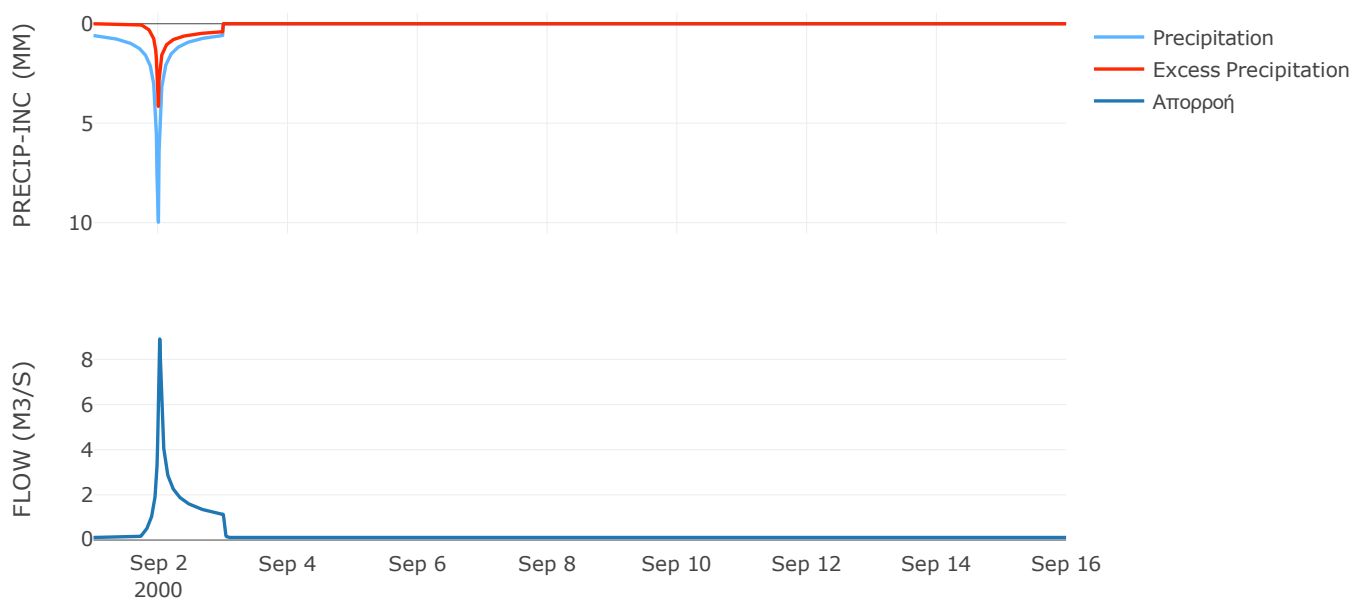
Μέθοδος Μετασχηματισμού: SCS

| | |
|------------------|-------|
| Χρόνος Υστέρησης | 22.09 |
|------------------|-------|

Αποτελέσματα:
EL0420FR4031

| | |
|-----------------------------|------------------|
| Παροχή αιχμής (M3/S) | 8.9 |
| Χρονική στιγμή αιχμής | 02Sep2000, 00:30 |
| Όγκος (MM) | 152.72 |
| Όγκος βροχόπτωσης (M3) | 5.84E5 |
| Όγκος απωλειών (M3) | 3.84E5 |
| Ενεργός Όγκος (M3) | 2.01E5 |
| Όγκος άμεσης απορροής (M3) | 2.01E5 |
| Όγκος βασικής απορροής (M3) | 1.48E5 |

Βροχόπτωση και Απορροή



Υπολεκάνη: EL0420FR4032

Έκταση (KM2) : 20.34

Κατάντη : J27

Μέθοδος Απωλειών: SCS

| | |
|--------------------------------|-------|
| Ποσοστό αδιαπέρατης επιφάνειας | 0 |
| Αριθμός Καμπύλης Απορροής-CN | 39.12 |
| Αρχικές Απώλειες | 79.07 |

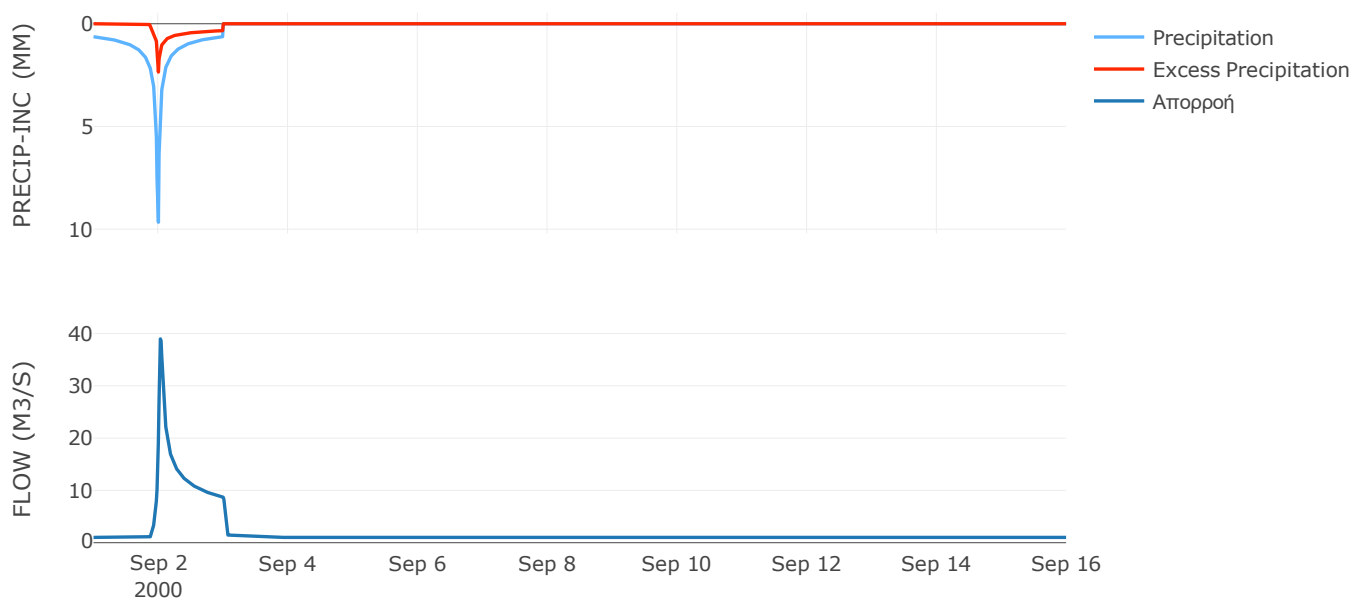
Μέθοδος Μετασχηματισμού: SCS

| | |
|------------------|-------|
| Χρόνος Υστέρησης | 37.97 |
|------------------|-------|

Αποτελέσματα:
EL0420FR4032

| | |
|-----------------------------|------------------|
| Παροχή αιχμής (M3/S) | 38.97 |
| Χρονική στιγμή αιχμής | 02Sep2000, 00:45 |
| Όγκος (MM) | 123.25 |
| Όγκος βροχόπτωσης (M3) | 5.35E6 |
| Όγκος απωλειών (M3) | 4.16E6 |
| Ενεργός Όγκος (M3) | 1.19E6 |
| Όγκος άμεσης απορροής (M3) | 1.19E6 |
| Όγκος βασικής απορροής (M3) | 1.32E6 |

Βροχόπτωση και Απορροή



Υπολεκάνη: EL0420FR4033

Έκταση (KM2) : 42.85

Κατάντη : J8

Μέθοδος Απωλειών: SCS

| | |
|--------------------------------|-------|
| Ποσοστό αδιαπέρατης επιφάνειας | 0 |
| Αριθμός Καμπύλης Απορροής-CN | 39.48 |
| Αρχικές Απώλειες | 77.88 |

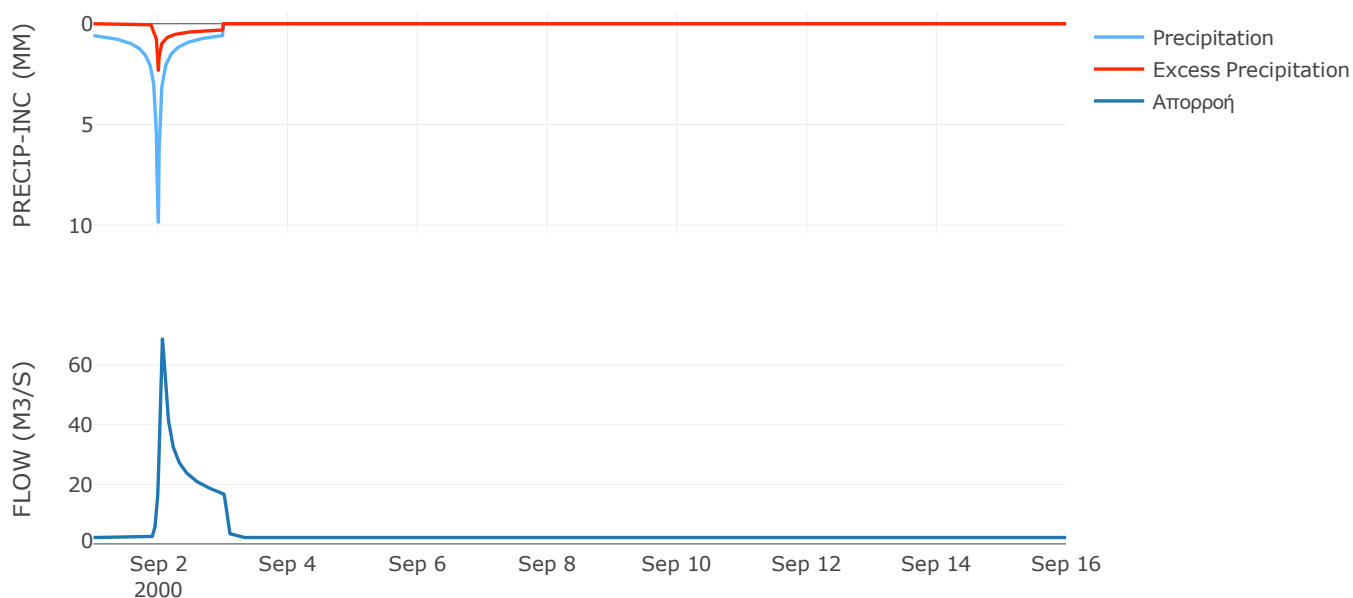
Μέθοδος Μετασχηματισμού: SCS

| | |
|------------------|-------|
| Χρόνος Υστέρησης | 62.68 |
|------------------|-------|

Αποτελέσματα:
EL0420FR4033

| | |
|-----------------------------|------------------|
| Παροχή αιχμής (M3/S) | 68.84 |
| Χρονική στιγμή αιχμής | 02Sep2000, 01:30 |
| Όγκος (MM) | 119.24 |
| Όγκος βροχόπτωσης (M3) | 1.08E7 |
| Όγκος απωλειών (M3) | 8.52E6 |
| Ενεργός Όγκος (M3) | 2.33E6 |
| Όγκος άμεσης απορροής (M3) | 2.33E6 |
| Όγκος βασικής απορροής (M3) | 2.78E6 |

Βροχόπτωση και Απορροή



Υπολεκάνη: EL0420FR4034

Έκταση (KM2) : 46.4

Κατάντη : J6

Μέθοδος Απωλειών: SCS

| | |
|--------------------------------|-------|
| Ποσοστό αδιαπέρατης επιφάνειας | 0 |
| Αριθμός Καμπύλης Απορροής-CN | 37.63 |
| Αρχικές Απώλειες | 84.22 |

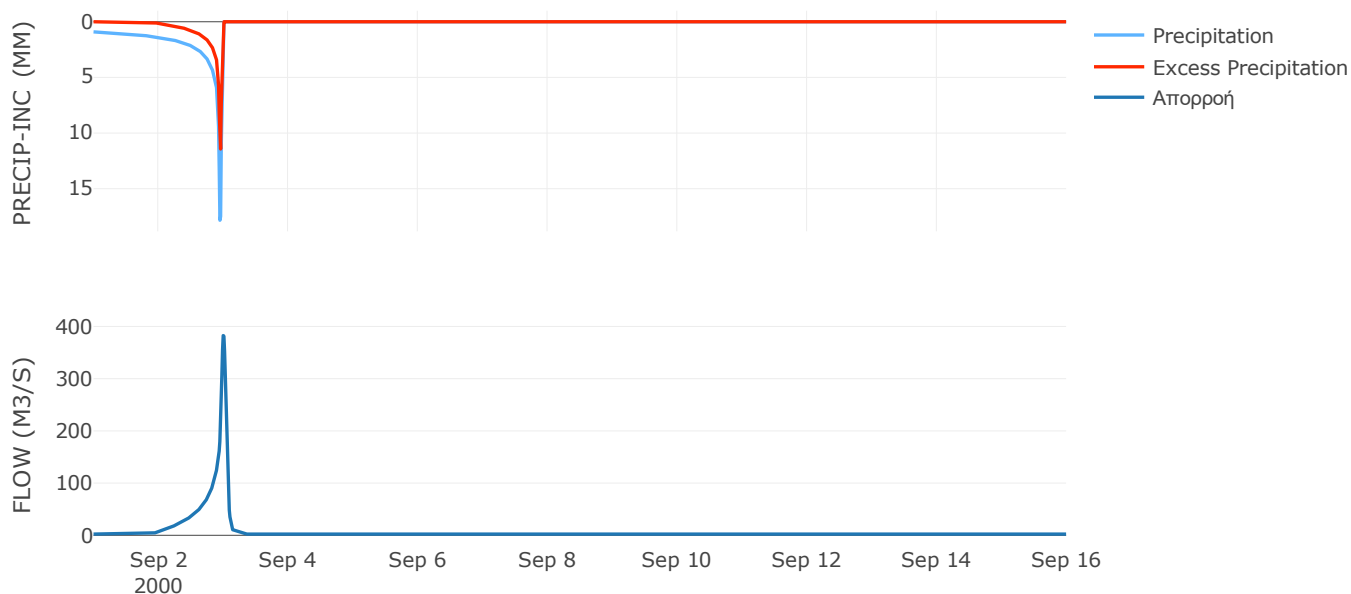
Μέθοδος Μετασχηματισμού: SCS

| | |
|------------------|-------|
| Χρόνος Υστέρησης | 64.83 |
|------------------|-------|

Αποτελέσματα:
EL0420FR4034

| | |
|-----------------------------|------------------|
| Παροχή αιχμής (M3/S) | 382.56 |
| Χρονική στιγμή αιχμής | 02Sep2000, 24:00 |
| Όγκος (MM) | 209.37 |
| Όγκος βροχόπτωσης (M3) | 1.92E7 |
| Όγκος απωλειών (M3) | 1.25E7 |
| Ενεργός Όγκος (M3) | 6.71E6 |
| Όγκος άμεσης απορροής (M3) | 6.71E6 |
| Όγκος βασικής απορροής (M3) | 3.01E6 |

Βροχόπτωση και Απορροή



Υπολεκάνη: EL0420FR4035

Έκταση (KM2) : 12.2

Κατάντη : J19

Μέθοδος Απωλειών: SCS

| | |
|--------------------------------|-------|
| Ποσοστό αδιαπέρατης επιφάνειας | 0 |
| Αριθμός Καμπύλης Απορροής-CN | 65.16 |
| Αρχικές Απώλειες | 27.16 |

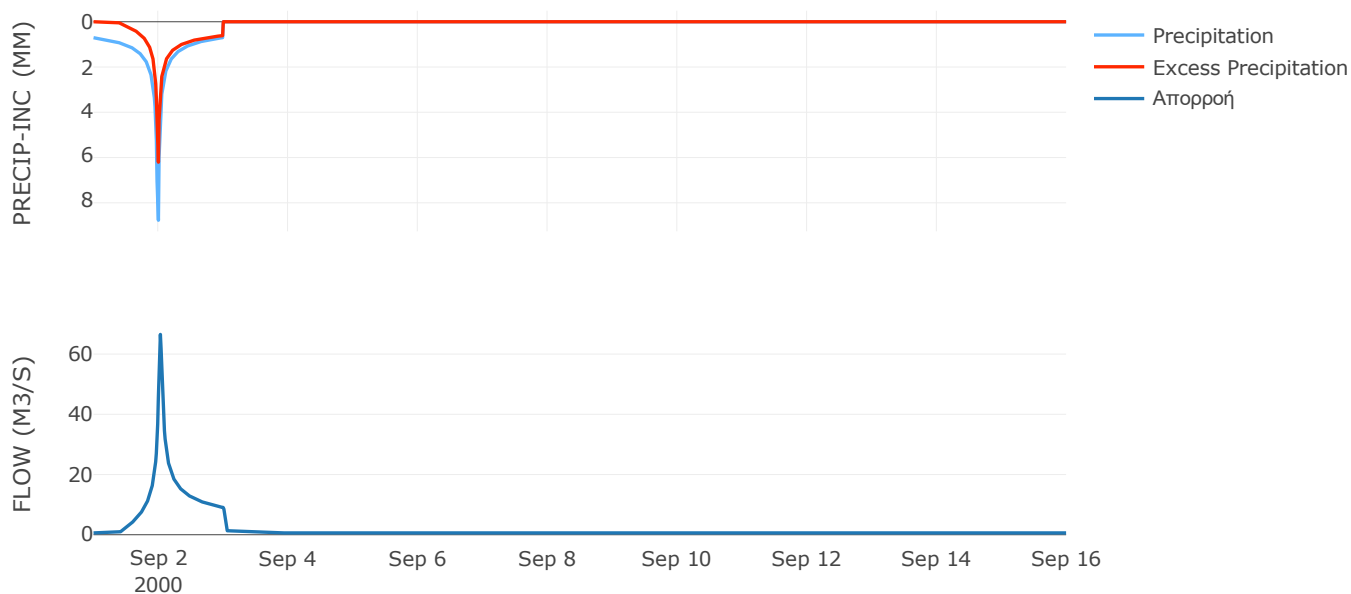
Μέθοδος Μετασχηματισμού: SCS

| | |
|------------------|------|
| Χρόνος Υστέρησης | 36.1 |
|------------------|------|

Αποτελέσματα:
EL0420FR4035

| | |
|-----------------------------|------------------|
| Παροχή αιχμής (M3/S) | 66.53 |
| Χρονική στιγμή αιχμής | 02Sep2000, 00:45 |
| Όγκος (MM) | 223.3 |
| Όγκος βροχόπτωσης (M3) | 3.33E6 |
| Όγκος απωλειών (M3) | 1.4E6 |
| Ενεργός Όγκος (M3) | 1.93E6 |
| Όγκος άμεσης απορροής (M3) | 1.93E6 |
| Όγκος βασικής απορροής (M3) | 7.91E5 |

Βροχόπτωση και Απορροή



Υπολεκάνη: EL0420FR4036

Έκταση (KM2) : 17.89

Κατάντη : J18

Μέθοδος Απωλειών: SCS

| | |
|--------------------------------|-------|
| Ποσοστό αδιαπέρατης επιφάνειας | 0 |
| Αριθμός Καμπύλης Απορροής-CN | 64.94 |
| Αρχικές Απώλειες | 27.43 |

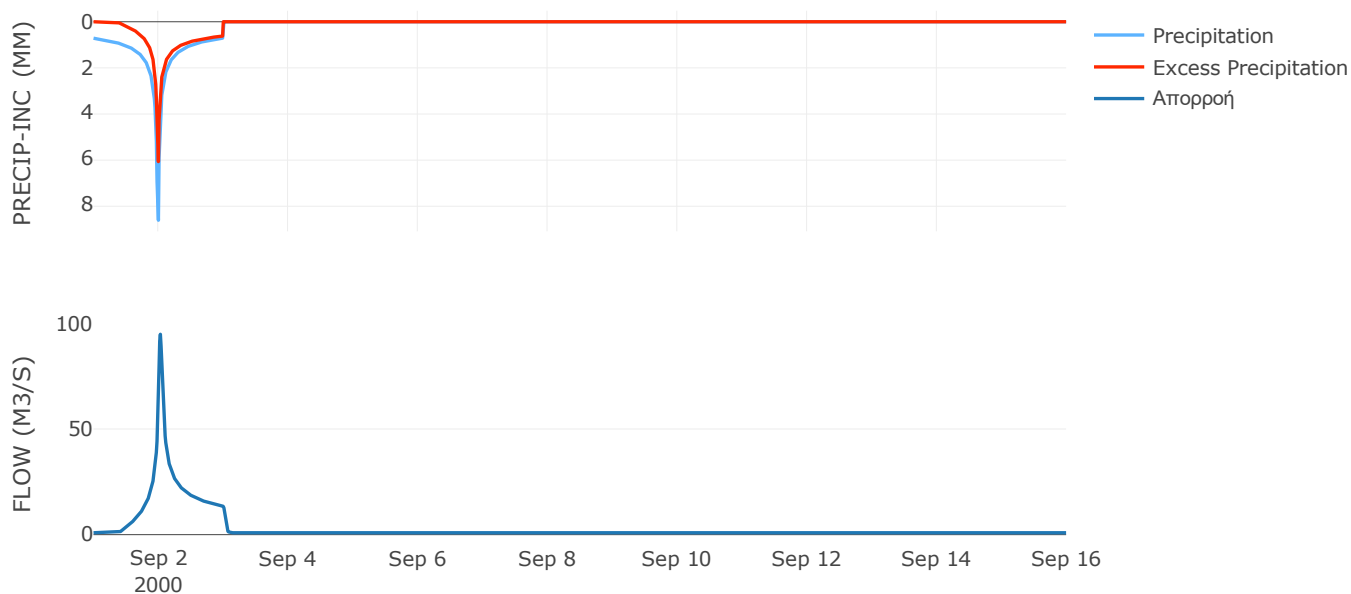
Μέθοδος Μετασχηματισμού: SCS

| | |
|------------------|-------|
| Χρόνος Υστέρησης | 37.63 |
|------------------|-------|

Αποτελέσματα:
EL0420FR4036

| | |
|-----------------------------|------------------|
| Παροχή αιχμής (M3/S) | 94.84 |
| Χρονική στιγμή αιχμής | 02Sep2000, 00:45 |
| Όγκος (MM) | 222.97 |
| Όγκος βροχόπτωσης (M3) | 4.89E6 |
| Όγκος απωλειών (M3) | 2.07E6 |
| Ενεργός Όγκος (M3) | 2.83E6 |
| Όγκος άμεσης απορροής (M3) | 2.83E6 |
| Όγκος βασικής απορροής (M3) | 1.16E6 |

Βροχόπτωση και Απορροή



Υπολεκάνη: EL0420FR4037

Έκταση (KM2) : 37.96

Κατάντη : J17

Μέθοδος Απωλειών: SCS

| | |
|--------------------------------|-------|
| Ποσοστό αδιαπέρατης επιφάνειας | 0 |
| Αριθμός Καμπύλης Απορροής-CN | 63.62 |
| Αρχικές Απώλειες | 29.05 |

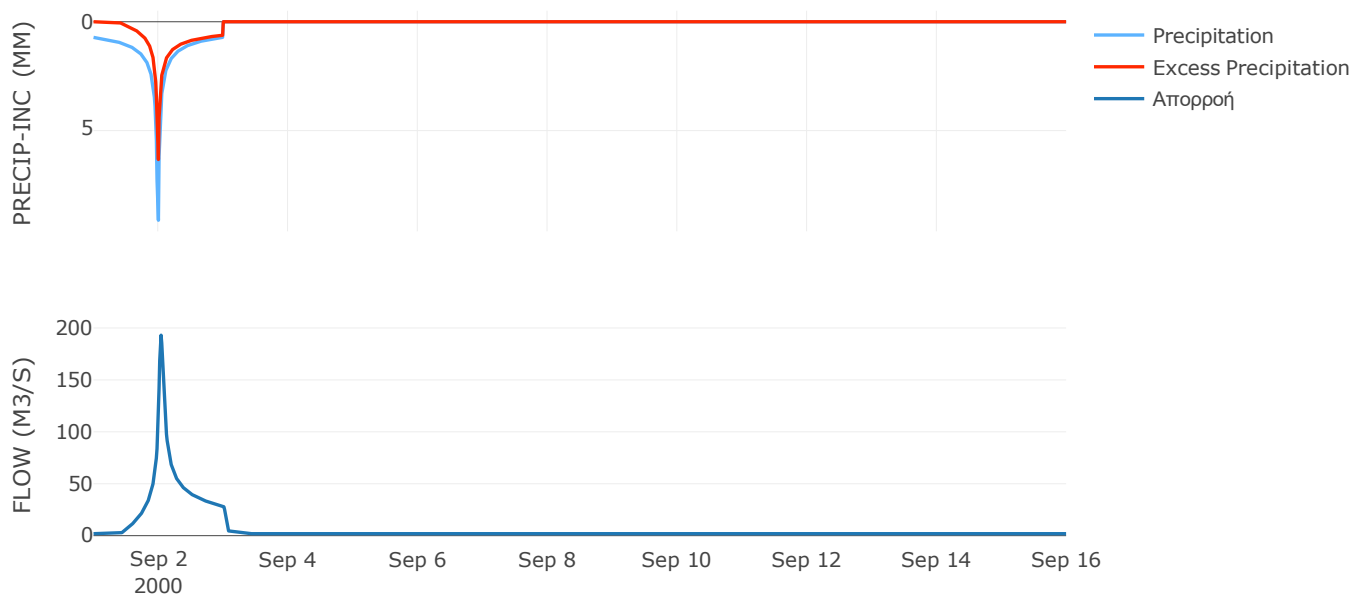
Μέθοδος Μετασχηματισμού: SCS

| | |
|------------------|-------|
| Χρόνος Υστέρησης | 51.91 |
|------------------|-------|

Αποτελέσματα:
EL0420FR4037

| | |
|-----------------------------|------------------|
| Παροχή αιχμής (M3/S) | 193.04 |
| Χρονική στιγμή αιχμής | 02Sep2000, 01:00 |
| Όγκος (MM) | 224.17 |
| Όγκος βροχόπτωσης (M3) | 1.06E7 |
| Όγκος απωλειών (M3) | 4.6E6 |
| Ενεργός Όγκος (M3) | 6.05E6 |
| Όγκος άμεσης απορροής (M3) | 6.05E6 |
| Όγκος βασικής απορροής (M3) | 2.46E6 |

Βροχόπτωση και Απορροή



Υπολεκάνη: EL0420FR4038

Έκταση (KM2) : 11.75

Κατάντη : J15

Μέθοδος Απωλειών: SCS

| | |
|--------------------------------|-------|
| Ποσοστό αδιαπέρατης επιφάνειας | 0 |
| Αριθμός Καμπύλης Απορροής-CN | 47.59 |
| Αρχικές Απώλειες | 55.95 |

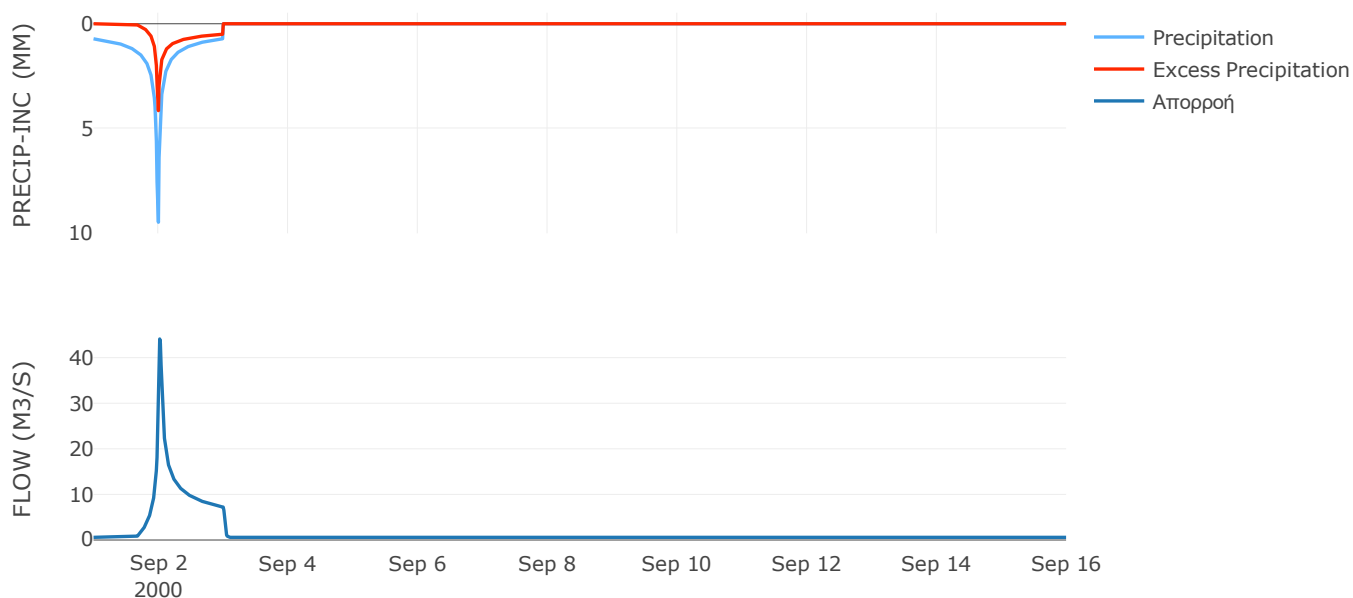
Μέθοδος Μετασχηματισμού: SCS

| | |
|------------------|-------|
| Χρόνος Υστέρησης | 28.55 |
|------------------|-------|

Αποτελέσματα:
EL0420FR4038

| | |
|-----------------------------|------------------|
| Παροχή αιχμής (M3/S) | 44.09 |
| Χρονική στιγμή αιχμής | 02Sep2000, 00:30 |
| Όγκος (MM) | 168.37 |
| Όγκος βροχόπτωσης (M3) | 3.36E6 |
| Όγκος απωλειών (M3) | 2.14E6 |
| Ενεργός Όγκος (M3) | 1.22E6 |
| Όγκος άμεσης απορροής (M3) | 1.22E6 |
| Όγκος βασικής απορροής (M3) | 7.62E5 |

Βροχόπτωση και Απορροή



Υπολεκάνη: EL0420FR4039

Έκταση (KM2) : 21.53

Κατάντη : J23

Μέθοδος Απωλειών: SCS

| | |
|--------------------------------|-------|
| Ποσοστό αδιαπέρατης επιφάνειας | 0 |
| Αριθμός Καμπύλης Απορροής-CN | 52.18 |
| Αρχικές Απώλειες | 46.55 |

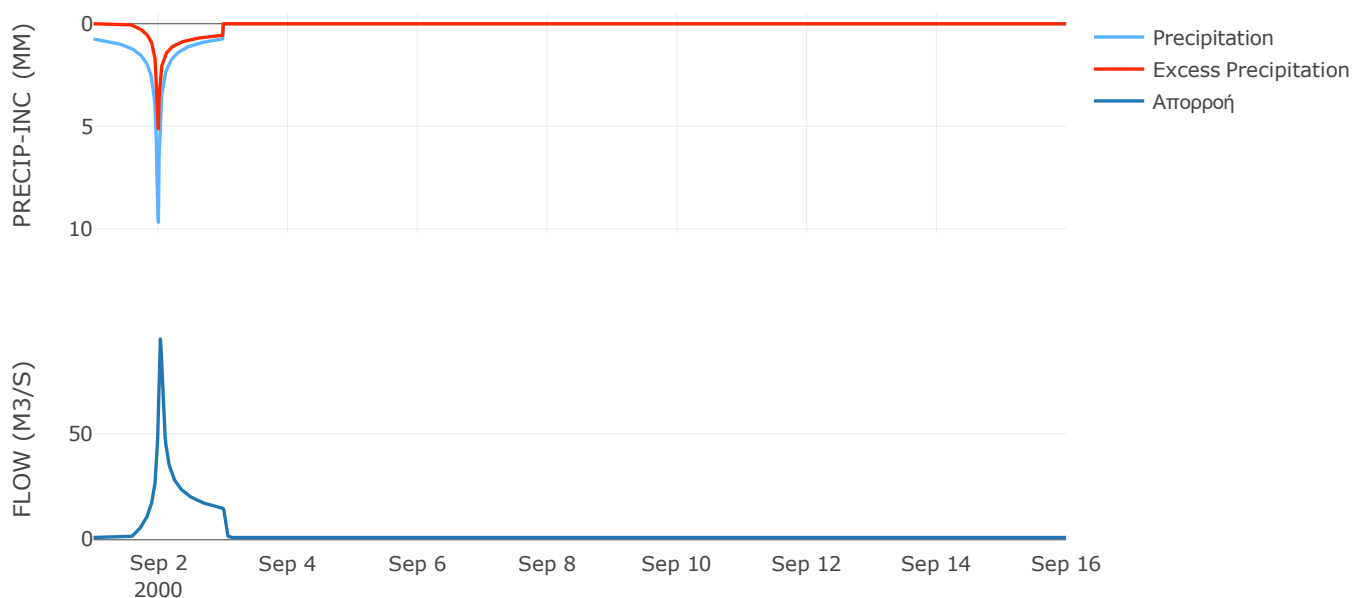
Μέθοδος Μετασχηματισμού: SCS

| | |
|------------------|-------|
| Χρόνος Υστέρησης | 37.68 |
|------------------|-------|

Αποτελέσματα:
EL0420FR4039

| | |
|-----------------------------|------------------|
| Παροχή αιχμής (M3/S) | 94.69 |
| Χρονική στιγμή αιχμής | 02Sep2000, 00:45 |
| Όγκος (MM) | 191.23 |
| Όγκος βροχόπτωσης (M3) | 6.3E6 |
| Όγκος απωλειών (M3) | 3.58E6 |
| Ενεργός Όγκος (M3) | 2.72E6 |
| Όγκος άμεσης απορροής (M3) | 2.72E6 |
| Όγκος βασικής απορροής (M3) | 1.4E6 |

Βροχόπτωση και Απορροή



Υπολεκάνη: EL0420FR4040

Έκταση (KM2) : 34.79

Κατάντη : J12

Μέθοδος Απωλειών: SCS

| | |
|--------------------------------|-------|
| Ποσοστό αδιαπέρατης επιφάνειας | 0 |
| Αριθμός Καμπύλης Απορροής-CN | 37.96 |
| Αρχικές Απώλειες | 83.03 |

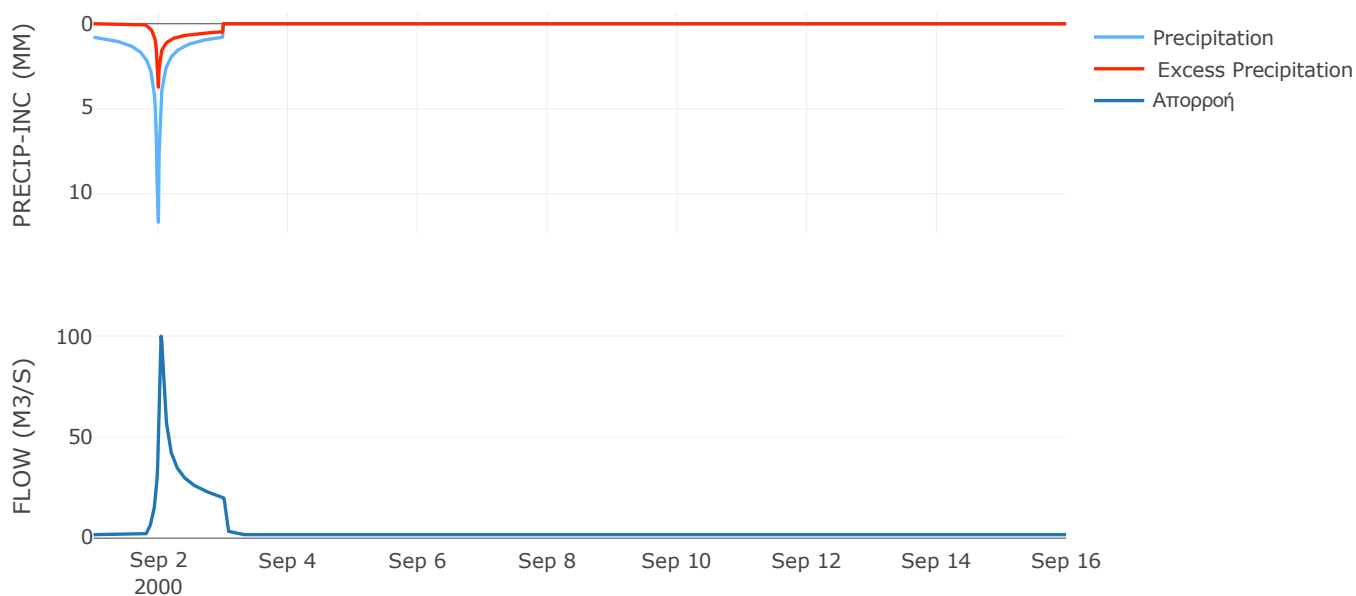
Μέθοδος Μετασχηματισμού: SCS

| | |
|------------------|-------|
| Χρόνος Υστέρησης | 49.83 |
|------------------|-------|

Αποτελέσματα:
EL0420FR4040

| | |
|-----------------------------|------------------|
| Παροχή αιχμής (M3/S) | 99.98 |
| Χρονική στιγμή αιχμής | 02Sep2000, 01:00 |
| Όγκος (MM) | 154.69 |
| Όγκος βροχόπτωσης (M3) | 1.14E7 |
| Όγκος απωλειών (M3) | 8.23E6 |
| Ενεργός Όγκος (M3) | 3.13E6 |
| Όγκος άμεσης απορροής (M3) | 3.13E6 |
| Όγκος βασικής απορροής (M3) | 2.25E6 |

Βροχόπτωση και Απορροή



Υπολεκάνη: EL0420FR4041

Έκταση (KM2) : 17.22

Κατάντη : J25

Μέθοδος Απωλειών: SCS

| | |
|--------------------------------|--------|
| Ποσοστό αδιαπέρατης επιφάνειας | 0 |
| Αριθμός Καμπύλης Απορροής-CN | 31.15 |
| Αρχικές Απώλειες | 112.26 |

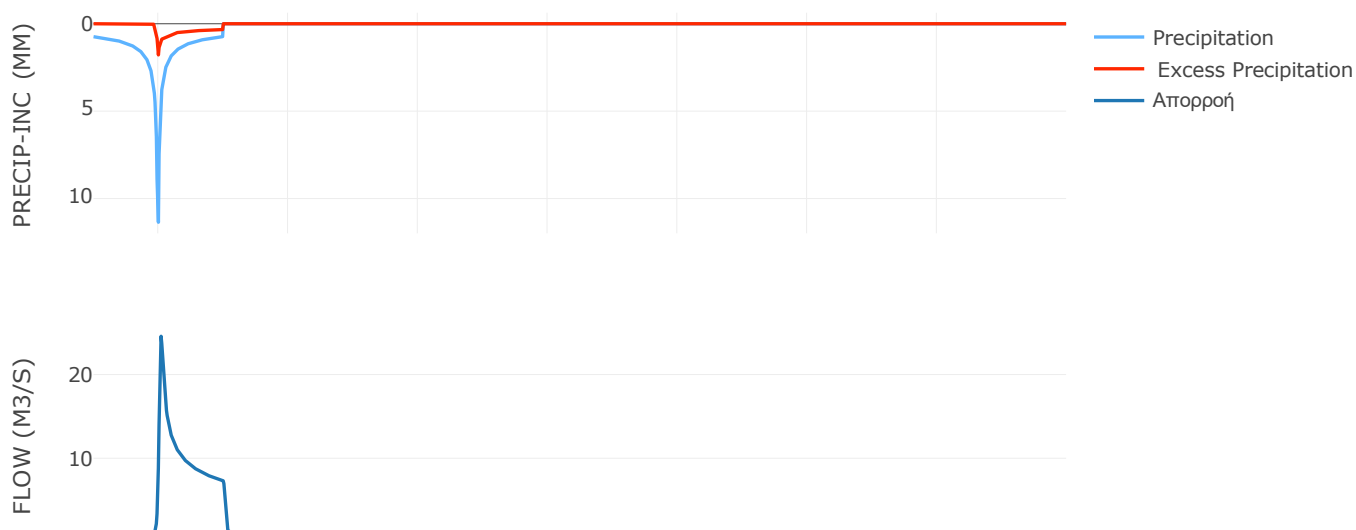
Μέθοδος Μετασχηματισμού: SCS

| | |
|------------------|-------|
| Χρόνος Υστέρησης | 39.48 |
|------------------|-------|

Αποτελέσματα:
EL0420FR4041

| | |
|-----------------------------|------------------|
| Παροχή αιχμής (M3/S) | 24.57 |
| Χρονική στιγμή αιχμής | 02Sep2000, 01:00 |
| Όγκος (MM) | 115.82 |
| Όγκος βροχόπτωσης (M3) | 5.32E6 |
| Όγκος απωλειών (M3) | 4.44E6 |
| Ενεργός Όγκος (M3) | 8.79E5 |
| Όγκος άμεσης απορροής (M3) | 8.79E5 |
| Όγκος βασικής απορροής (M3) | 1.12E6 |

Βροχόπτωση και Απορροή



Υπολεκάνη: EL0420FR4042

Έκταση (KM2) : 21.68
Κατάντη : J25

Μέθοδος Απωλειών: SCS

| | |
|--------------------------------|--------|
| Ποσοστό αδιαπέρατης επιφάνειας | 0 |
| Αριθμός Καμπύλης Απορροής-CN | 30.23 |
| Αρχικές Απώλειες | 117.23 |

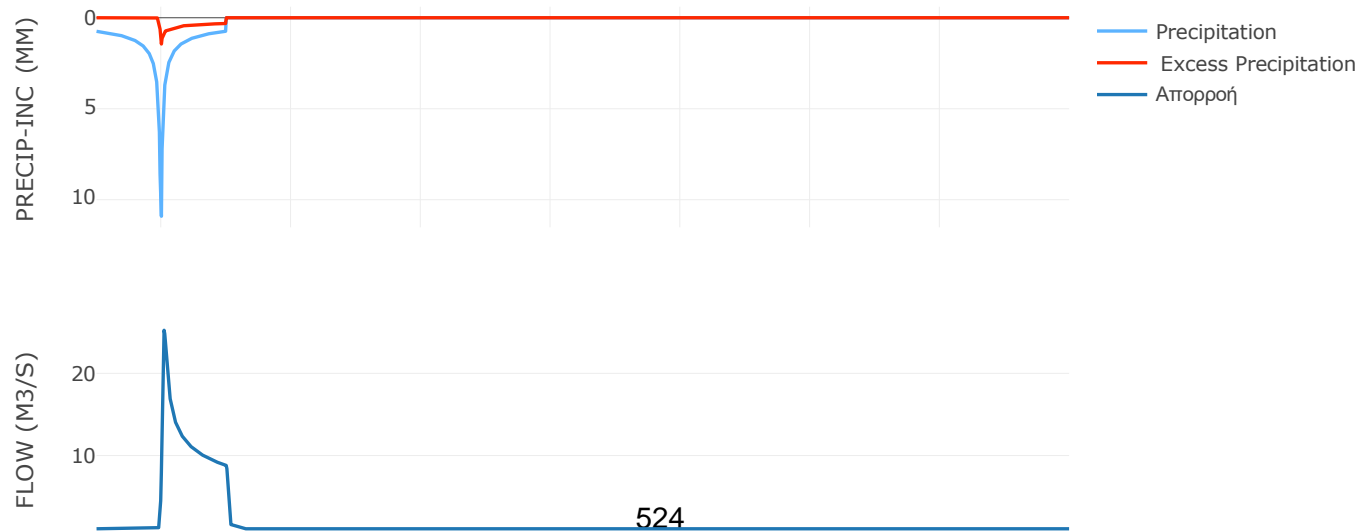
Μέθοδος Μετασχηματισμού: SCS

| | |
|------------------|-------|
| Χρόνος Υστέρησης | 39.52 |
|------------------|-------|

Αποτελέσματα:
EL0420FR4042

| | |
|-----------------------------|------------------|
| Παροχή αιχμής (M3/S) | 25.24 |
| Χρονική στιγμή αιχμής | 02Sep2000, 01:00 |
| Όγκος (MM) | 110.63 |
| Όγκος βροχόπτωσης (M3) | 6.63E6 |
| Όγκος απωλειών (M3) | 5.63E6 |
| Ενεργός Όγκος (M3) | 9.94E5 |
| Όγκος άμεσης απορροής (M3) | 9.94E5 |
| Όγκος βασικής απορροής (M3) | 1.4E6 |

Βροχόπτωση και Απορροή



Υπολεκάνη: EL0420FR4043

Έκταση (KM2) : 13.12

Κατάντη : J24

Μέθοδος Απωλειών: SCS

| | |
|--------------------------------|-------|
| Ποσοστό αδιαπέρατης επιφάνειας | 0 |
| Αριθμός Καμπύλης Απορροής-CN | 36.21 |
| Αρχικές Απώλειες | 89.5 |

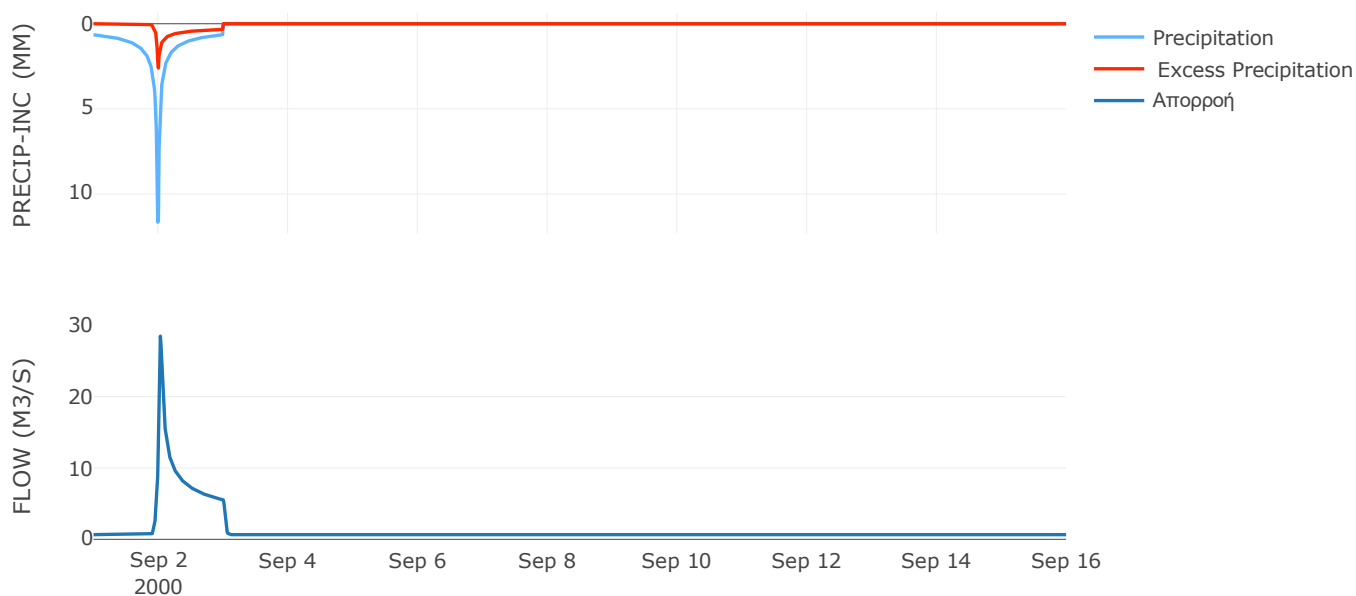
Μέθοδος Μετασχηματισμού: SCS

| | |
|------------------|-------|
| Χρόνος Υστέρησης | 32.79 |
|------------------|-------|

Αποτελέσματα:
EL0420FR4043

| | |
|-----------------------------|------------------|
| Παροχή αιχμής (M3/S) | 28.47 |
| Χρονική στιγμή αιχμής | 02Sep2000, 00:45 |
| Όγκος (MM) | 124.1 |
| Όγκος βροχόπτωσης (M3) | 3.74E6 |
| Όγκος απωλειών (M3) | 2.96E6 |
| Ενεργός Όγκος (M3) | 7.78E5 |
| Όγκος άμεσης απορροής (M3) | 7.78E5 |
| Όγκος βασικής απορροής (M3) | 8.5E5 |

Βροχόπτωση και Απορροή



Υπολεκάνη: EL0420FR4044

Έκταση (KM2) : 10.33

Κατάντη : J24

Μέθοδος Απωλειών: SCS

| | |
|--------------------------------|--------|
| Ποσοστό αδιαπέρατης επιφάνειας | 0 |
| Αριθμός Καμπύλης Απορροής-CN | 27.93 |
| Αρχικές Απώλειες | 131.06 |

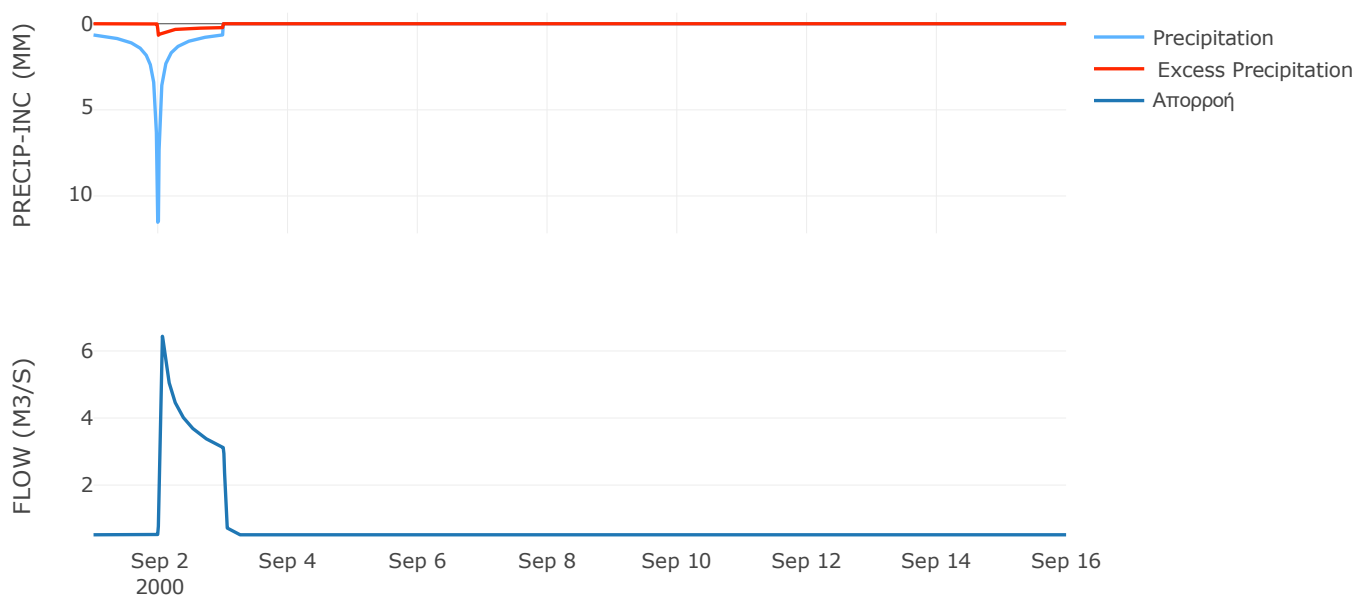
Μέθοδος Μετασχηματισμού: SCS

| | |
|------------------|-------|
| Χρόνος Υστέρησης | 34.95 |
|------------------|-------|

Αποτελέσματα:
EL0420FR4044

| | |
|-----------------------------|------------------|
| Παροχή αιχμής (M3/S) | 6.44 |
| Χρονική στιγμή αιχμής | 02Sep2000, 01:30 |
| Όγκος (MM) | 94.47 |
| Όγκος βροχόπτωσης (M3) | 2.96E6 |
| Όγκος απωλειών (M3) | 2.65E6 |
| Ενεργός Όγκος (M3) | 3.07E5 |
| Όγκος άμεσης απορροής (M3) | 3.07E5 |
| Όγκος βασικής απορροής (M3) | 6.7E5 |

Βροχόπτωση και Απορροή



Υπολεκάνη: EL0420FR4045

Έκταση (KM2) : 5.32

Κατάνη : J11

Μέθοδος Απωλειών: SCS

| | |
|--------------------------------|-------|
| Ποσοστό αδιαπέρατης επιφάνειας | 0 |
| Αριθμός Καμπύλης Απορροής-CN | 37.58 |
| Αρχικές Απώλειες | 84.37 |

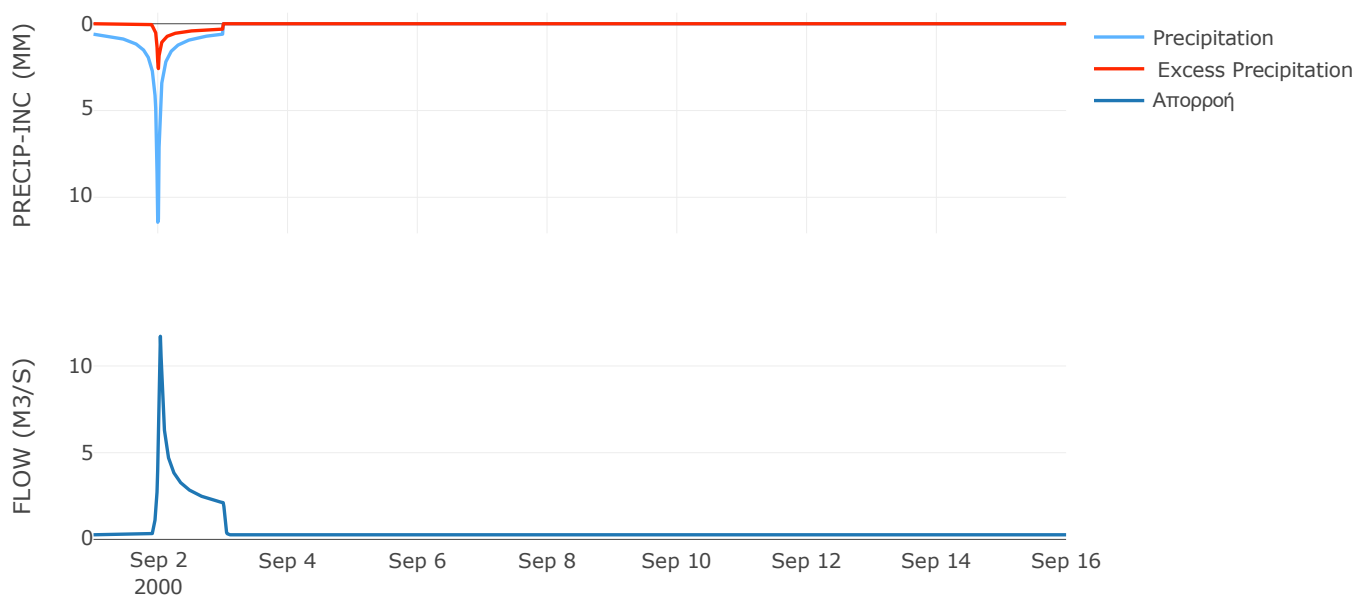
Μέθοδος Μετασχηματισμού: SCS

| | |
|------------------|-------|
| Χρόνος Υστέρησης | 27.29 |
|------------------|-------|

Αποτελέσματα:
EL0420FR4045

| | |
|-----------------------------|------------------|
| Παροχή αιχμής (M3/S) | 11.71 |
| Χρονική στιγμή αιχμής | 02Sep2000, 00:45 |
| Όγκος (MM) | 121.7 |
| Όγκος βροχόπτωσης (M3) | 1.44E6 |
| Όγκος απωλειών (M3) | 1.13E6 |
| Ενεργός Όγκος (M3) | 3.02E5 |
| Όγκος άμεσης απορροής (M3) | 3.02E5 |
| Όγκος βασικής απορροής (M3) | 3.44E5 |

Βροχόπτωση και Απορροή



Υπολεκάνη: EL0420FR4046

Έκταση (KM2) : 24.57

Κατάντη : J10

Μέθοδος Απωλειών: SCS

| | |
|--------------------------------|--------|
| Ποσοστό αδιαπέρατης επιφάνειας | 0 |
| Αριθμός Καμπύλης Απορροής-CN | 32.02 |
| Αρχικές Απώλειες | 107.87 |

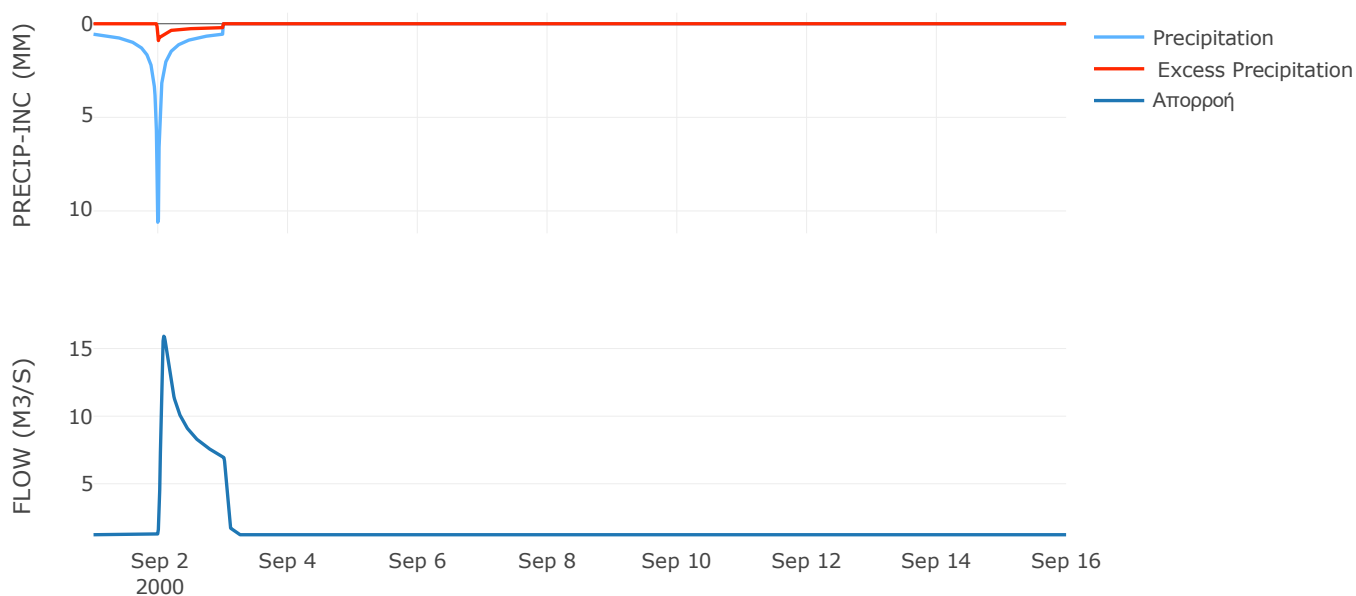
Μέθοδος Μετασχηματισμού: SCS

| | |
|------------------|-------|
| Χρόνος Υστέρησης | 69.03 |
|------------------|-------|

Αποτελέσματα:
EL0420FR4046

| | |
|-----------------------------|------------------|
| Παροχή αιχμής (M3/S) | 15.91 |
| Χρονική στιγμή αιχμής | 02Sep2000, 02:00 |
| Όγκος (MM) | 94.7 |
| Όγκος βροχόπτωσης (M3) | 6.16E6 |
| Όγκος απωλειών (M3) | 5.43E6 |
| Ενεργός Όγκος (M3) | 7.35E5 |
| Όγκος άμεσης απορροής (M3) | 7.35E5 |
| Όγκος βασικής απορροής (M3) | 1.59E6 |

Βροχόπτωση και Απορροή



Υπολεκάνη: EL0420FR4047

Έκταση (KM2) : 37.25

Κατάντη : J26

Μέθοδος Απωλειών: SCS

| | |
|--------------------------------|--------|
| Ποσοστό αδιαπέρατης επιφάνειας | 0 |
| Αριθμός Καμπύλης Απορροής-CN | 29.72 |
| Αρχικές Απώλειες | 120.11 |

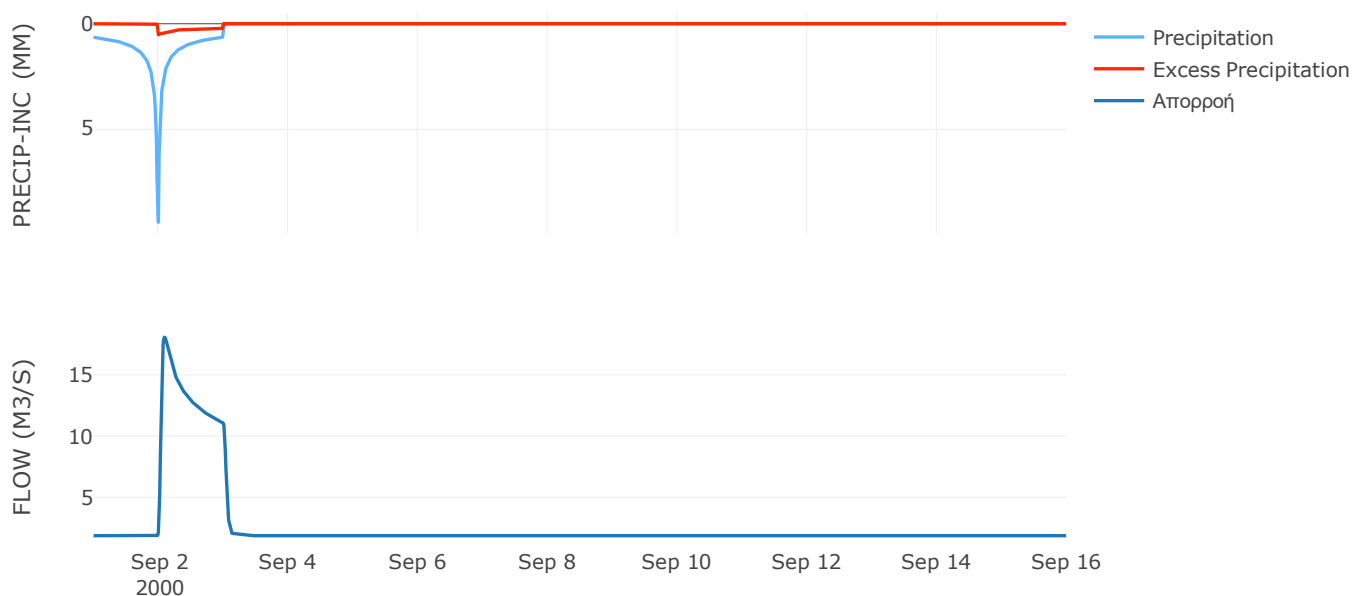
Μέθοδος Μετασχηματισμού: SCS

| | |
|------------------|-------|
| Χρόνος Υστέρησης | 58.12 |
|------------------|-------|

Αποτελέσματα:
EL0420FR4047

| | |
|-----------------------------|------------------|
| Παροχή αιχμής (M3/S) | 18.08 |
| Χρονική στιγμή αιχμής | 02Sep2000, 02:15 |
| Όγκος (MM) | 91.98 |
| Όγκος βροχόπτωσης (M3) | 9.77E6 |
| Όγκος απωλειών (M3) | 8.75E6 |
| Ενεργός Όγκος (M3) | 1.01E6 |
| Όγκος άμεσης απορροής (M3) | 1.01E6 |
| Όγκος βασικής απορροής (M3) | 2.41E6 |

Βροχόπτωση και Απορροή



Υπολεκάνη: EL0420FR4048

Έκταση (KM2) : 34.69

Κατάντη : J26

Μέθοδος Απωλειών: SCS

| | |
|--------------------------------|-------|
| Ποσοστό αδιαπέρατης επιφάνειας | 0 |
| Αριθμός Καμπύλης Απορροής-CN | 30.26 |
| Αρχικές Απώλειες | 117.1 |

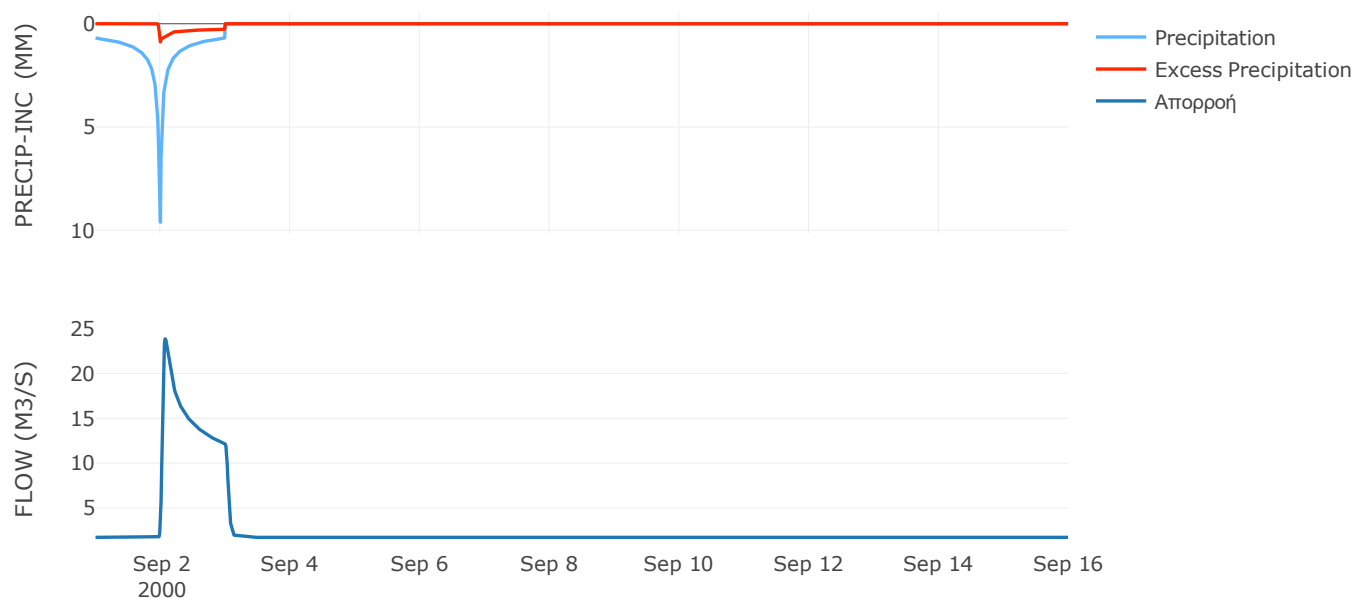
Μέθοδος Μετασχηματισμού: SCS

| | |
|------------------|-------|
| Χρόνος Υστέρησης | 59.86 |
|------------------|-------|

Αποτελέσματα:
EL0420FR4048

| | |
|-----------------------------|------------------|
| Παροχή αιχμής (M3/S) | 23.84 |
| Χρονική στιγμή αιχμής | 02Sep2000, 01:45 |
| Όγκος (MM) | 99.77 |
| Όγκος βροχόπτωσης (M3) | 9.67E6 |
| Όγκος απωλειών (M3) | 8.46E6 |
| Ενεργός Όγκος (M3) | 1.21E6 |
| Όγκος άμεσης απορροής (M3) | 1.21E6 |
| Όγκος βασικής απορροής (M3) | 2.25E6 |

Βροχόπτωση και Απορροή



Υπολεκάνη: EL0420FR4049

Έκταση (KM2) : 11.77

Κατάντη : J9

Μέθοδος Απωλειών: SCS

| | |
|--------------------------------|-------|
| Ποσοστό αδιαπέρατης επιφάνειας | 0 |
| Αριθμός Καμπύλης Απορροής-CN | 36.15 |
| Αρχικές Απώλειες | 89.74 |

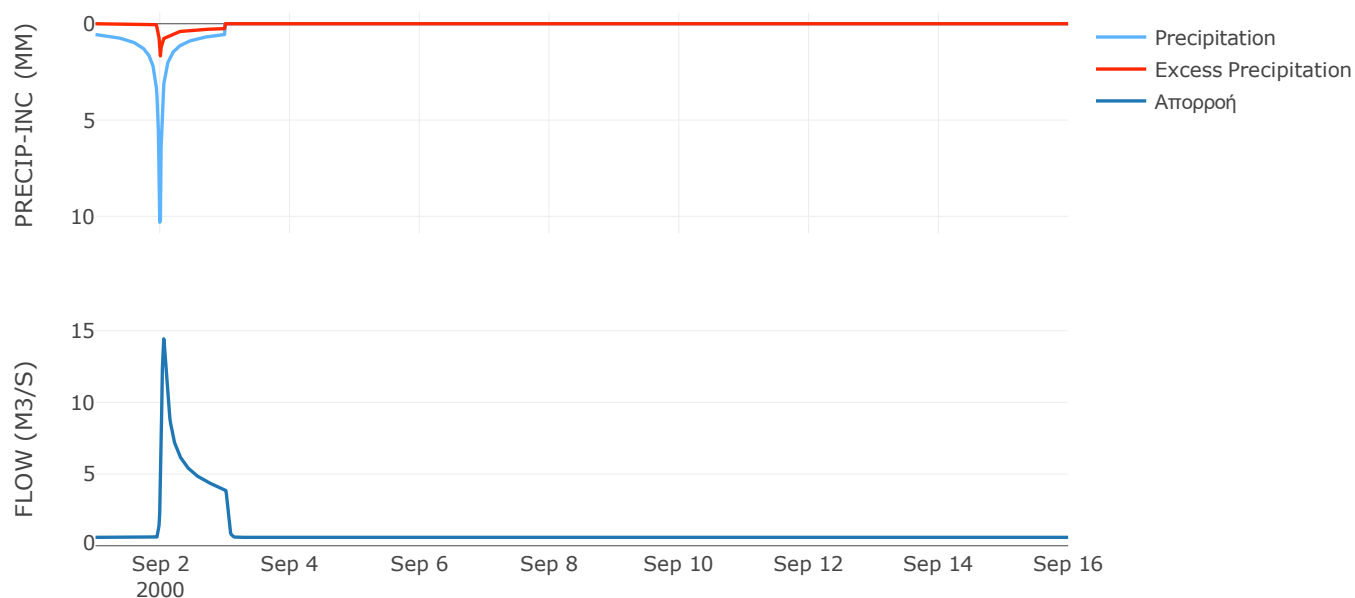
Μέθοδος Μετασχηματισμού: SCS

| | |
|------------------|-------|
| Χρόνος Υστέρησης | 49.85 |
|------------------|-------|

Αποτελέσματα:
EL0420FR4049

| | |
|-----------------------------|------------------|
| Παροχή αιχμής (M3/S) | 14.43 |
| Χρονική στιγμή αιχμής | 02Sep2000, 01:15 |
| Όγκος (MM) | 106.53 |
| Όγκος βροχόπτωσης (M3) | 2.93E6 |
| Όγκος απωλειών (M3) | 2.44E6 |
| Ενεργός Όγκος (M3) | 4.91E5 |
| Όγκος άμεσης απορροής (M3) | 4.91E5 |
| Όγκος βασικής απορροής (M3) | 7.63E5 |

Βροχόπτωση και Απορροή



Υπολεκάνη: EL0420FR4050

Έκταση (KM2) : 19.25

Κατάντη : J7

Μέθοδος Απωλειών: SCS

| | |
|--------------------------------|-------|
| Ποσοστό αδιαπέρατης επιφάνειας | 0 |
| Αριθμός Καμπύλης Απορροής-CN | 34.75 |
| Αρχικές Απώλειες | 95.37 |

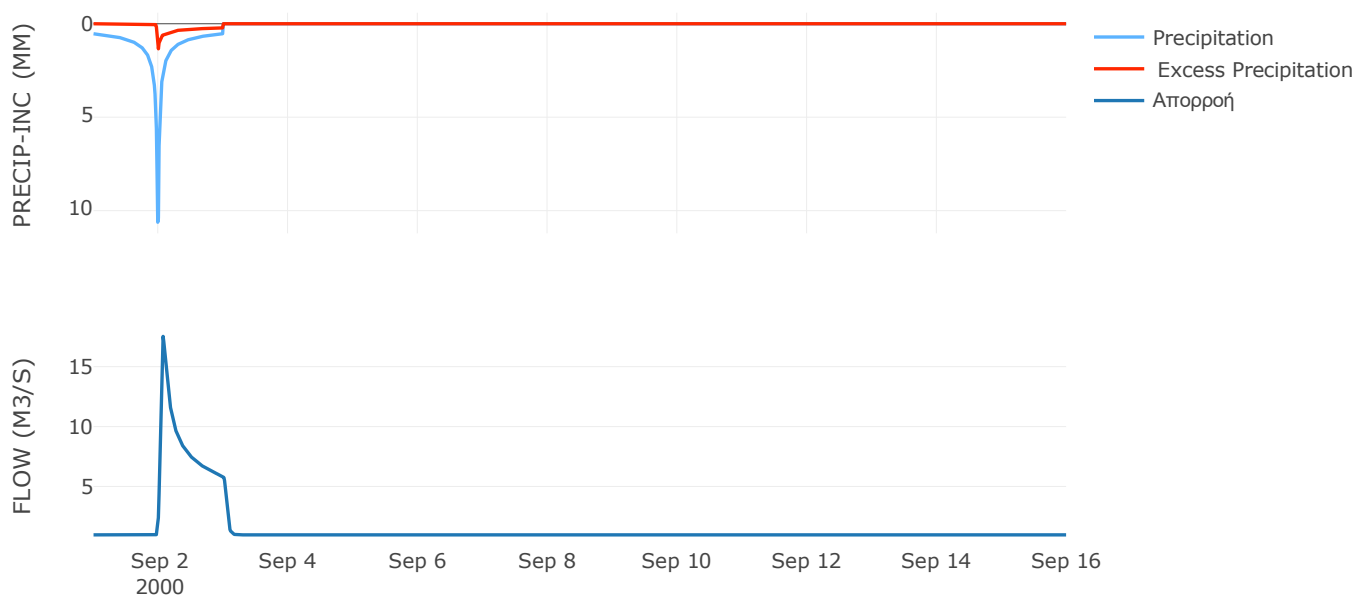
Μέθοδος Μετασχηματισμού: SCS

| | |
|------------------|-------|
| Χρόνος Υστέρησης | 64.23 |
|------------------|-------|

Αποτελέσματα:
EL0420FR4050

| | |
|-----------------------------|------------------|
| Παροχή αιχμής (M3/S) | 17.53 |
| Χρονική στιγμή αιχμής | 02Sep2000, 01:45 |
| Όγκος (MM) | 100.19 |
| Όγκος βροχόπτωσης (M3) | 4.7E6 |
| Όγκος απωλειών (M3) | 4.02E6 |
| Ενεργός Όγκος (M3) | 6.81E5 |
| Όγκος άμεσης απορροής (M3) | 6.81E5 |
| Όγκος βασικής απορροής (M3) | 1.25E6 |

Βροχόπτωση και Απορροή



Υπολεκάνη: EL0420FR4051

Έκταση (KM2) : 32.45

Κατάντη : J4

Μέθοδος Απωλειών: SCS

| | |
|--------------------------------|-------|
| Ποσοστό αδιαπέρατης επιφάνειας | 0 |
| Αριθμός Καμπύλης Απορροής-CN | 63.47 |
| Αρχικές Απώλειες | 29.23 |

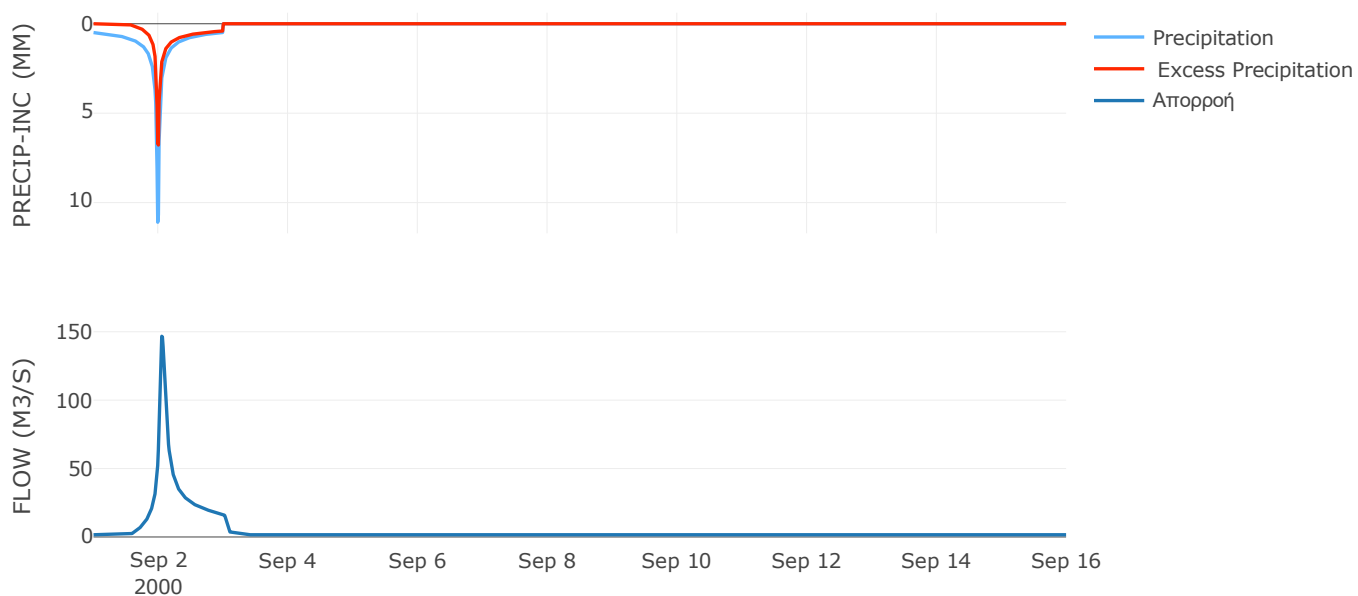
Μέθοδος Μετασχηματισμού: SCS

| | |
|------------------|-------|
| Χρόνος Υστέρησης | 72.92 |
|------------------|-------|

Αποτελέσματα:
EL0420FR4051

| | |
|-----------------------------|------------------|
| Παροχή αιχμής (M3/S) | 146.71 |
| Χρονική στιγμή αιχμής | 02Sep2000, 01:15 |
| Όγκος (MM) | 184.68 |
| Όγκος βροχόπτωσης (M3) | 7.61E6 |
| Όγκος απωλειών (M3) | 3.72E6 |
| Ενεργός Όγκος (M3) | 3.89E6 |
| Όγκος άμεσης απορροής (M3) | 3.89E6 |
| Όγκος βασικής απορροής (M3) | 2.1E6 |

Βροχόπτωση και Απορροή



Υπολεκάνη: EL0420FR4052

Έκταση (KM2) : 29.83

Κατάντη : J30

Μέθοδος Απωλειών: SCS

| | |
|--------------------------------|-------|
| Ποσοστό αδιαπέρατης επιφάνειας | 0 |
| Αριθμός Καμπύλης Απορροής-CN | 63.58 |
| Αρχικές Απώλειες | 29.1 |

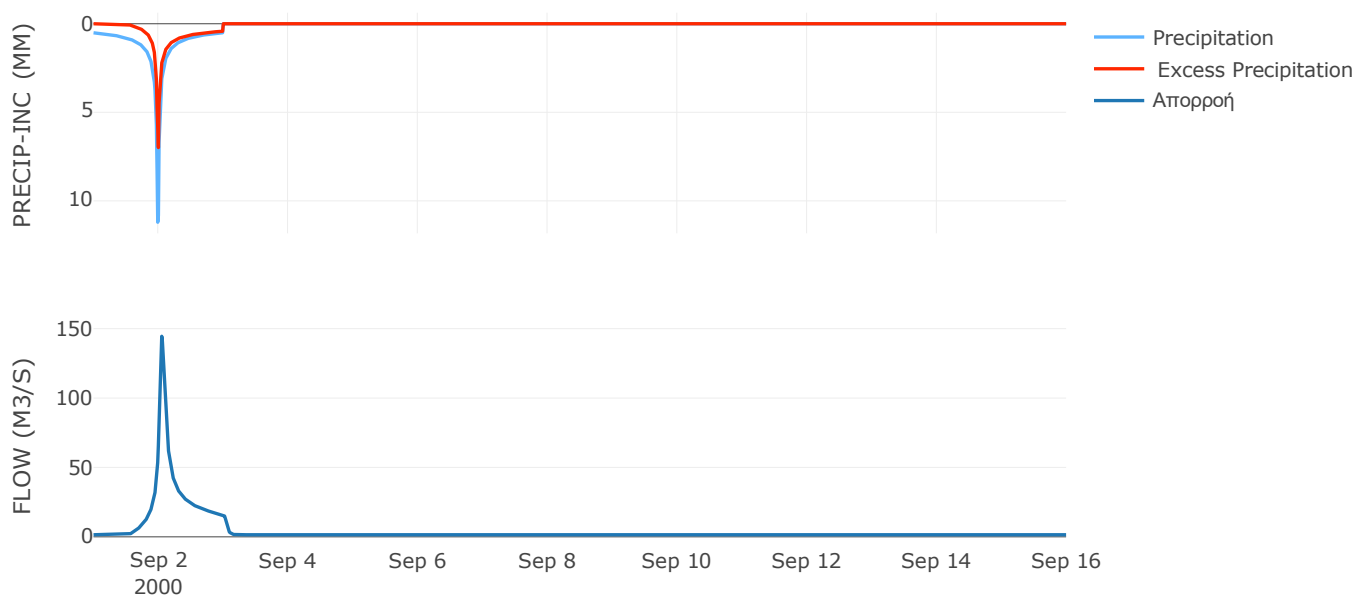
Μέθοδος Μετασχηματισμού: SCS

| | |
|------------------|-------|
| Χρόνος Υστέρησης | 67.31 |
|------------------|-------|

Αποτελέσματα:
EL0420FR4052

| | |
|-----------------------------|------------------|
| Παροχή αιχμής (M3/S) | 144.52 |
| Χρονική στιγμή αιχμής | 02Sep2000, 01:15 |
| Όγκος (MM) | 190.2 |
| Όγκος βροχόπτωσης (M3) | 7.18E6 |
| Όγκος απωλειών (M3) | 3.44E6 |
| Ενεργός Όγκος (M3) | 3.74E6 |
| Όγκος άμεσης απορροής (M3) | 3.74E6 |
| Όγκος βασικής απορροής (M3) | 1.93E6 |

Βροχόπτωση και Απορροή



Υπολεκάνη: EL0420FR4053

Έκταση (KM2) : 0.54

Κατάντη : J20

Μέθοδος Απωλειών: SCS

| | |
|--------------------------------|-------|
| Ποσοστό αδιαπέρατης επιφάνειας | 0 |
| Αριθμός Καμπύλης Απορροής-CN | 64.4 |
| Αρχικές Απώλειες | 28.08 |

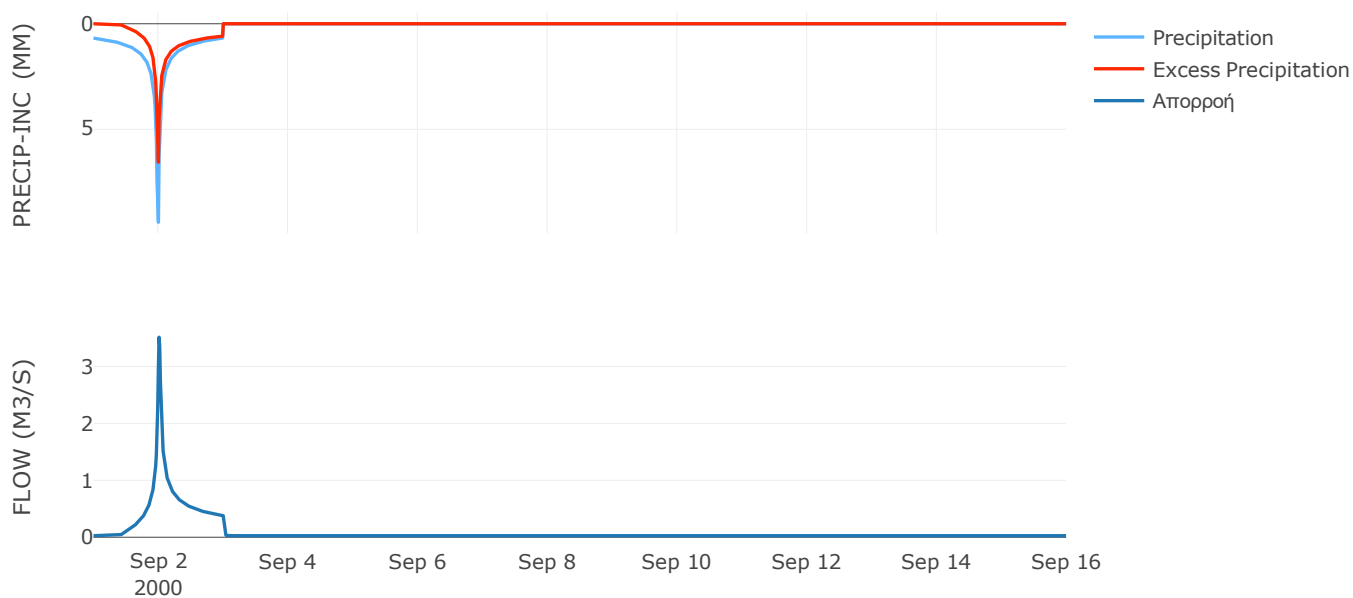
Μέθοδος Μετασχηματισμού: SCS

| | |
|------------------|-------|
| Χρόνος Υστέρησης | 15.88 |
|------------------|-------|

Αποτελέσματα:
EL0420FR4053

| | |
|-----------------------------|------------------|
| Παροχή αιχμής (M3/S) | 3.52 |
| Χρονική στιγμή αιχμής | 02Sep2000, 00:15 |
| Όγκος (MM) | 220.54 |
| Όγκος βροχόπτωσης (M3) | 1.47E5 |
| Όγκος απωλειών (M3) | 62948.25 |
| Ενεργός Όγκος (M3) | 83554.64 |
| Όγκος άμεσης απορροής (M3) | 83554.64 |
| Όγκος βασικής απορροής (M3) | 34766.5 |

Βροχόπτωση και Απορροή



Υπολεκάνη: EL0420FR4054

Έκταση (KM2) : 4.72

Κατάντη : J2

Μέθοδος Απωλειών: SCS

| | |
|--------------------------------|-------|
| Ποσοστό αδιαπέρατης επιφάνειας | 0 |
| Αριθμός Καμπύλης Απορροής-CN | 63.58 |
| Αρχικές Απώλειες | 29.1 |

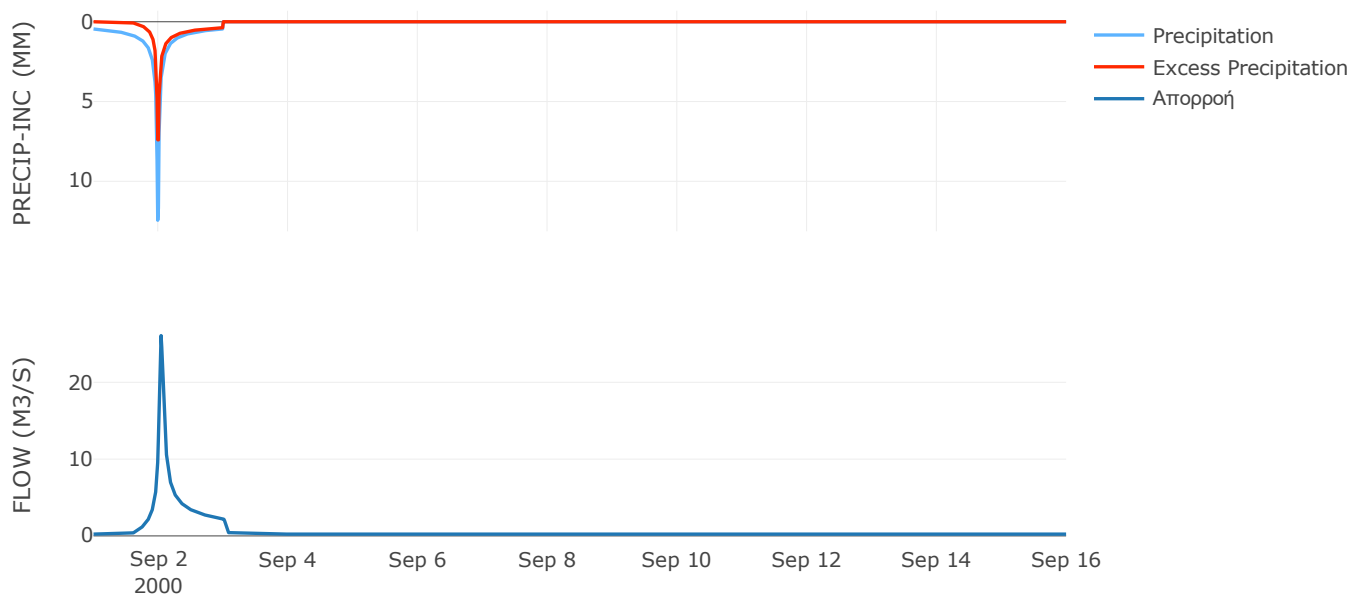
Μέθοδος Μετασχηματισμού: SCS

| | |
|------------------|------|
| Χρόνος Υστέρησης | 51.2 |
|------------------|------|

Αποτελέσματα:
EL0420FR4054

| | |
|-----------------------------|------------------|
| Παροχή αιχμής (M3/S) | 26.08 |
| Χρονική στιγμή αιχμής | 02Sep2000, 01:00 |
| Όγκος (MM) | 182.37 |
| Όγκος βροχόπτωσης (M3) | 1.09E6 |
| Όγκος απωλειών (M3) | 5.36E5 |
| Ενεργός Όγκος (M3) | 5.54E5 |
| Όγκος άμεσης απορροής (M3) | 5.54E5 |
| Όγκος βασικής απορροής (M3) | 3.06E5 |

Βροχόπτωση και Απορροή



Υπολεκάνη: EL0420FR4055

Έκταση (KM2) : 10.12

Κατάντη : Diversion - 1

Μέθοδος Απωλειών: SCS

| | |
|--------------------------------|-------|
| Ποσοστό αδιαπέρατης επιφάνειας | 4.1 |
| Αριθμός Καμπύλης Απορροής-CN | 52.69 |
| Αρχικές Απώλειες | 45.61 |

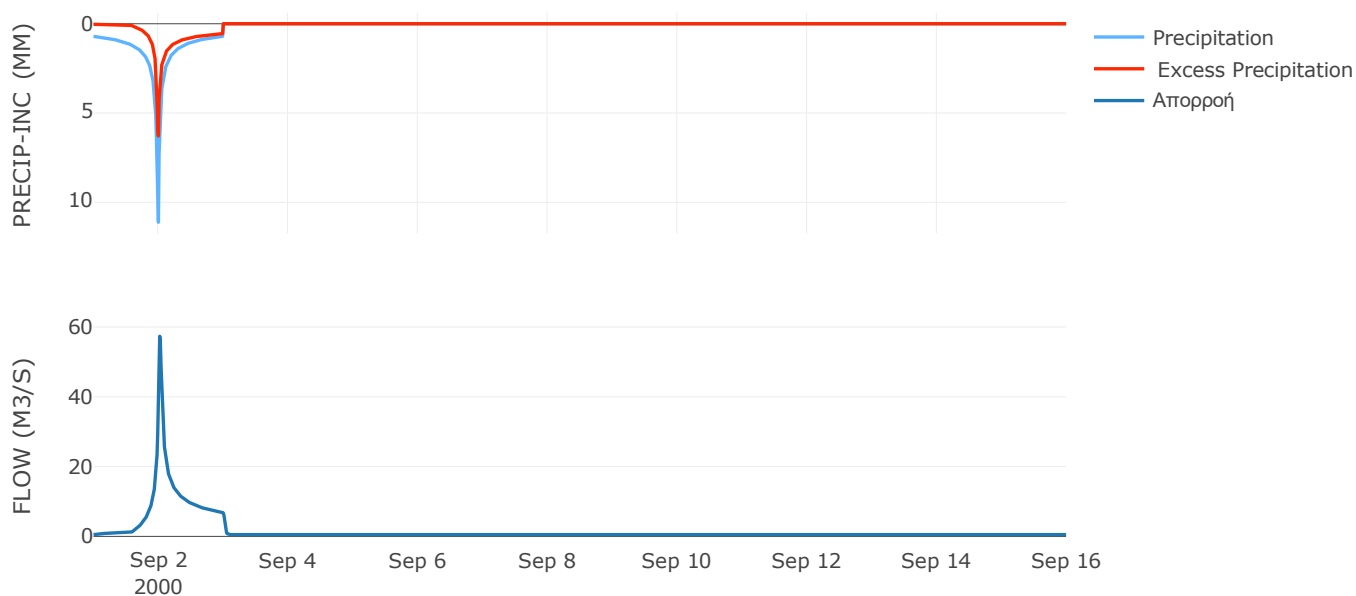
Μέθοδος Μετασχηματισμού: SCS

| | |
|------------------|-------|
| Χρόνος Υστέρησης | 29.12 |
|------------------|-------|

Αποτελέσματα:
EL0420FR4055

| | |
|-----------------------------|------------------|
| Παροχή αιχμής (M3/S) | 57.35 |
| Χρονική στιγμή αιχμής | 02Sep2000, 00:30 |
| Όγκος (MM) | 203.69 |
| Όγκος βροχόπτωσης (M3) | 3.01E6 |
| Όγκος απωλειών (M3) | 1.6E6 |
| Ενεργός Όγκος (M3) | 1.41E6 |
| Όγκος άμεσης απορροής (M3) | 1.41E6 |
| Όγκος βασικής απορροής (M3) | 6.56E5 |

Βροχόπτωση και Απορροή



Υπολεκάνη: EL0420FR4056

Έκταση (KM2) : 13.8

Κατάντη : J5

Μέθοδος Απωλειών: SCS

| | |
|--------------------------------|-------|
| Ποσοστό αδιαπέρατης επιφάνειας | 0 |
| Αριθμός Καμπύλης Απορροής-CN | 63.43 |
| Αρχικές Απώλειες | 29.29 |

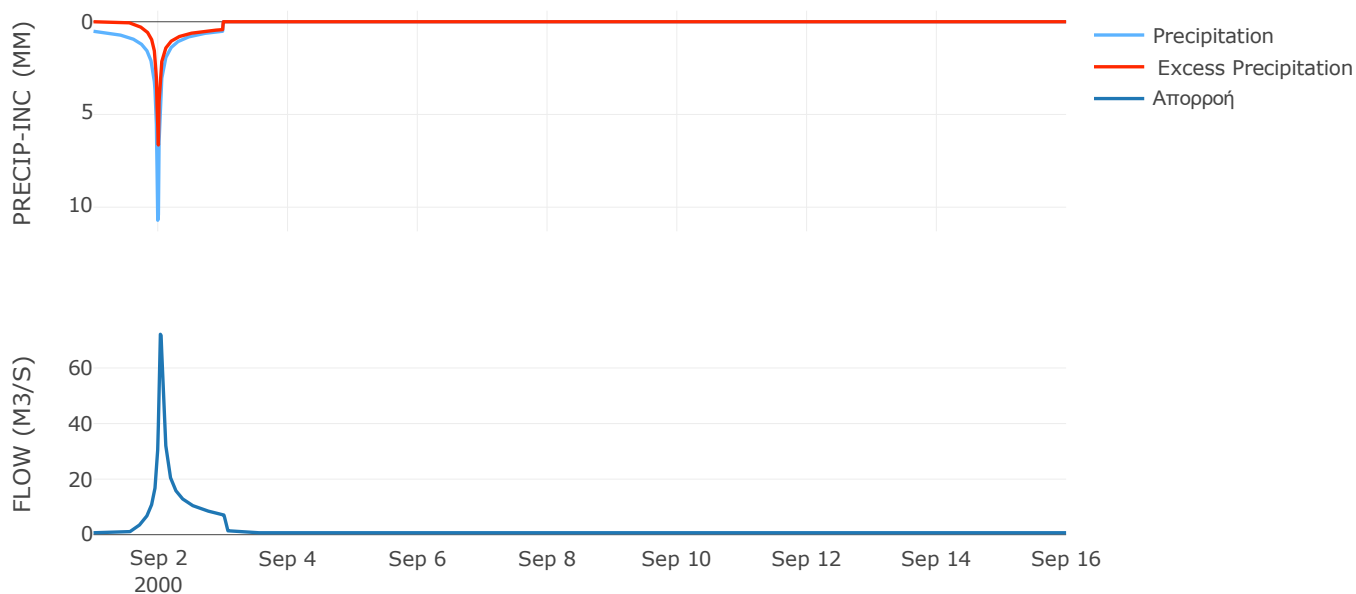
Μέθοδος Μετασχηματισμού: SCS

| | |
|------------------|-------|
| Χρόνος Υστέρησης | 46.09 |
|------------------|-------|

Αποτελέσματα:
EL0420FR4056

| | |
|-----------------------------|------------------|
| Παροχή αιχμής (M3/S) | 72.15 |
| Χρονική στιγμή αιχμής | 02Sep2000, 00:45 |
| Όγκος (MM) | 187.39 |
| Όγκος βροχόπτωσης (M3) | 3.28E6 |
| Όγκος απωλειών (M3) | 1.59E6 |
| Ενεργός Όγκος (M3) | 1.69E6 |
| Όγκος άμεσης απορροής (M3) | 1.69E6 |
| Όγκος βασικής απορροής (M3) | 8.94E5 |

Βροχόπτωση και Απορροή



6.2 Δεδομένα και Υδρογραφήματα Σχεδιασμού Κλάδων Υδρογραφικού Δικτύου

Κλάδος: R21

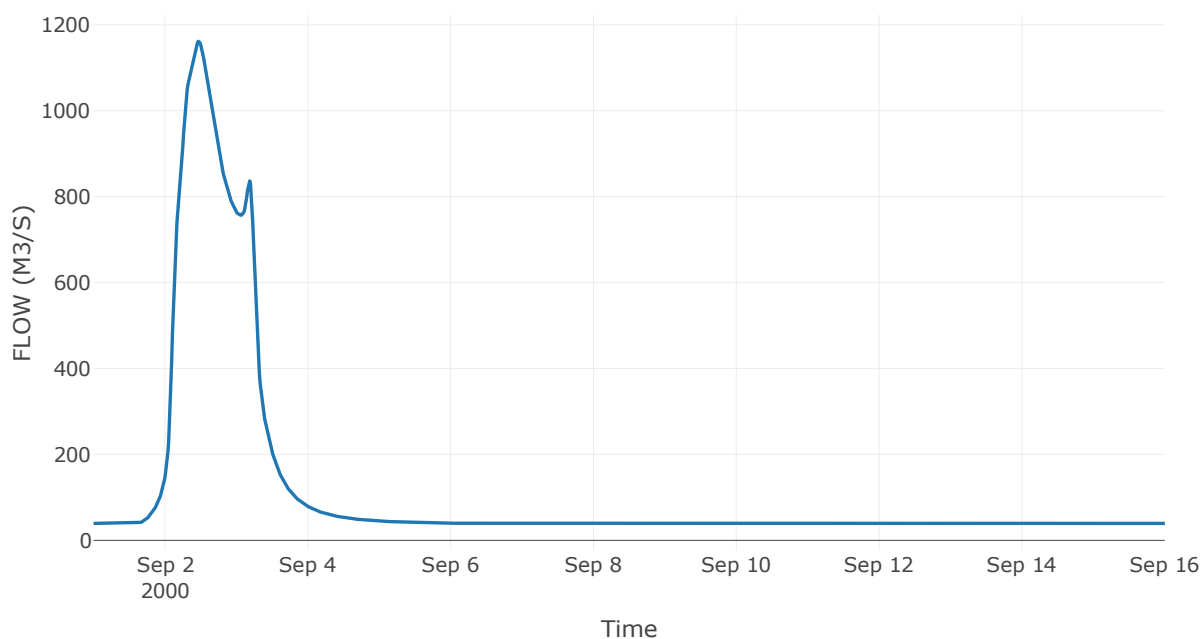
Κατάντη : J1

| | |
|----------------------|-----------------|
| Μέθοδος Διόδευσης | Muskingum |
| Αρχική Μεταβλητή | Combined Inflow |
| Χρόνος Ροής K | 1.67 |
| Συντελεστής βάρους x | 0.2 |
| Πλήθος Υποκλάδων | 7 |

Αποτελέσματα: R21

| | |
|------------------------------|------------------|
| Παροχή Αιχμής(M3/S) | 1161.46 |
| Χρονική στιγμή αιχμής | 02Sep2000, 11:15 |
| Όγκος(MM) | 141.63 |
| Παροχή Αιχμής Εισόδου (M3/S) | 1165.39 |
| Όγκος Εισροής(M3) | 1.52E8 |

Απορροή



Κλάδος: R32

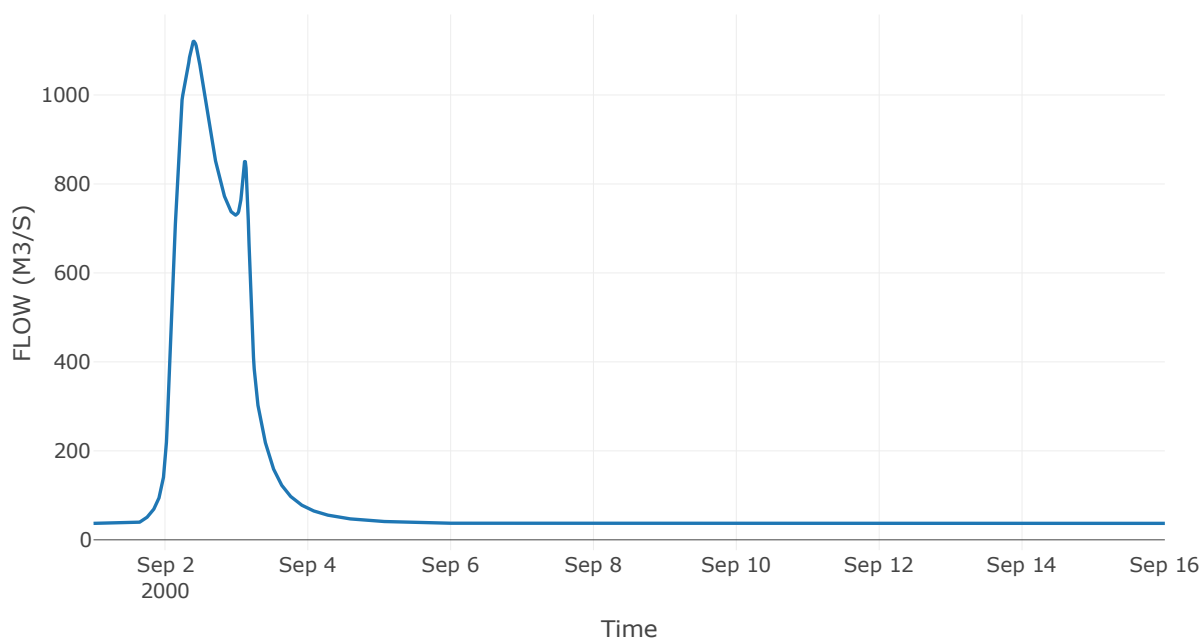
Κατάντη : J2

| | |
|----------------------|-----------------|
| Μέθοδος Διόδευσης | Muskingum |
| Αρχική Μεταβλητή | Combined Inflow |
| Χρόνος Ροής K | 0.4 |
| Συντελεστής βάρους x | 0.2 |
| Πλήθος Υποκλάδων | 2 |

Αποτελέσματα: R32

| | |
|------------------------------|------------------|
| Παροχή Αιχμής(M3/S) | 1120.64 |
| Χρονική στιγμή αιχμής | 02Sep2000, 09:45 |
| Όγκος(MM) | 139.4 |
| Παροχή Αιχμής Εισόδου (M3/S) | 1121.57 |
| Όγκος Εισροής(M3) | 1.42E8 |

Απορροή



Κλάδος: R43

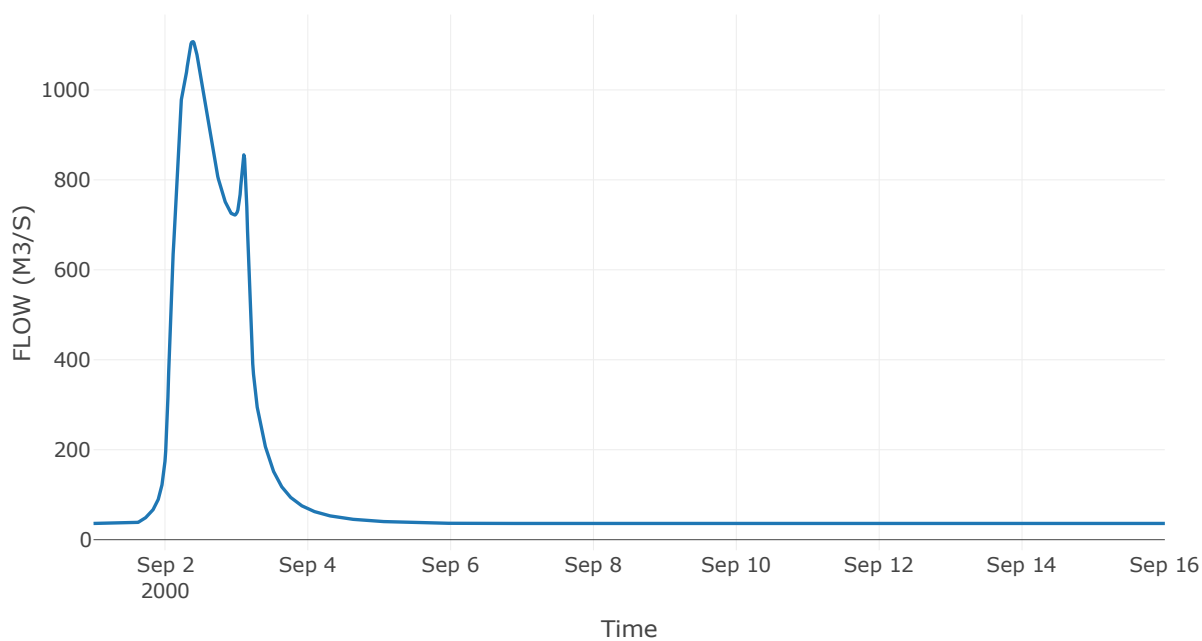
Κατάντη : J3

| | |
|----------------------|-----------------|
| Μέθοδος Διόδευσης | Muskingum |
| Αρχική Μεταβλητή | Combined Inflow |
| Χρόνος Ροής K | 0.5 |
| Συντελεστής βάρους x | 0.2 |
| Πλήθος Υποκλάδων | 2 |

Αποτελέσματα: R43

| | |
|------------------------------|------------------|
| Παροχή Αιχμής(M3/S) | 1107.93 |
| Χρονική στιγμή αιχμής | 02Sep2000, 09:15 |
| Όγκος(MM) | 139.13 |
| Παροχή Αιχμής Εισόδου (M3/S) | 1109.33 |
| Όγκος Εισροής(M3) | 1.4E8 |

Απορροή



Κλάδος: R54

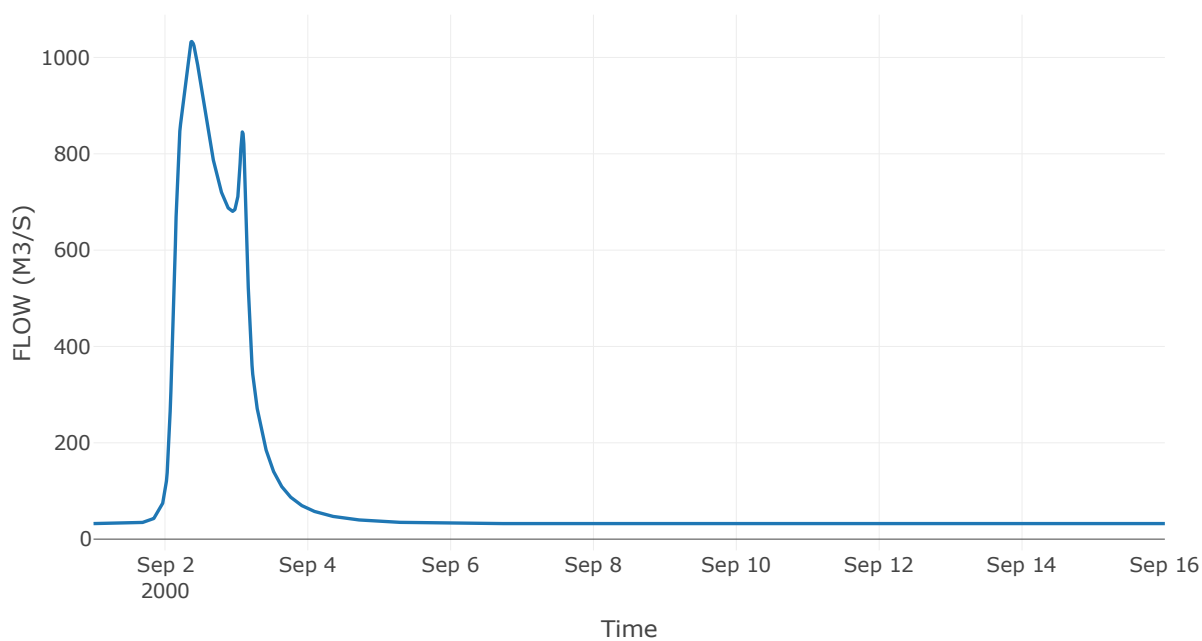
Κατάντη : J4

| | |
|----------------------|-----------------|
| Μέθοδος Διόδευσης | Muskingum |
| Αρχική Μεταβλητή | Combined Inflow |
| Χρόνος Ροής K | 1.19 |
| Συντελεστής βάρους x | 0.2 |
| Πλήθος Υποκλάδων | 5 |

Αποτελέσματα: R54

| | |
|------------------------------|------------------|
| Παροχή Αιχμής(M3/S) | 1033.23 |
| Χρονική στιγμή αιχμής | 02Sep2000, 09:00 |
| Όγκος(MM) | 135.35 |
| Παροχή Αιχμής Εισόδου (M3/S) | 1036.42 |
| Όγκος Εισροής(M3) | 1.26E8 |

Απορροή



Κλάδος: R65

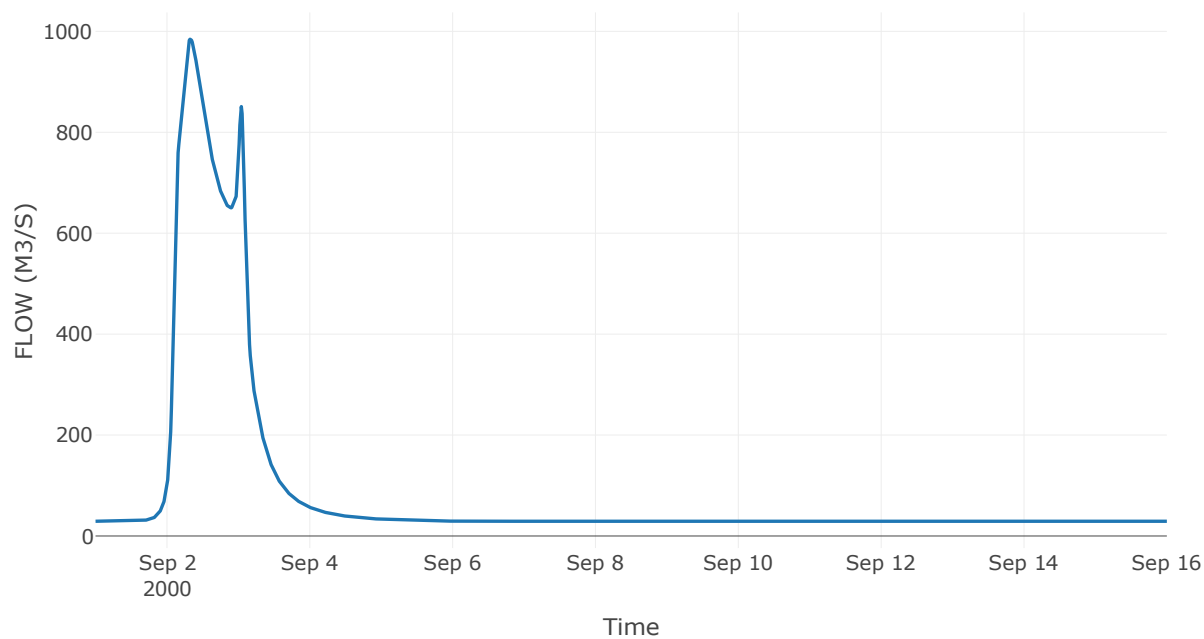
Κατάντη : J5

| | |
|----------------------|-----------------|
| Μέθοδος Διόδευσης | Muskingum |
| Αρχική Μεταβλητή | Combined Inflow |
| Χρόνος Ροής K | 0.92 |
| Συντελεστής βάρους x | 0.2 |
| Πλήθος Υποκλάδων | 4 |

Αποτελέσματα: R65

| | |
|------------------------------|------------------|
| Παροχή Αιχμής(M3/S) | 984.52 |
| Χρονική στιγμή αιχμής | 02Sep2000, 07:45 |
| Όγκος(MM) | 134.55 |
| Παροχή Αιχμής Εισόδου (M3/S) | 987.04 |
| Όγκος Εισροής(M3) | 1.16E8 |

Απορροή



Κλάδος: R76

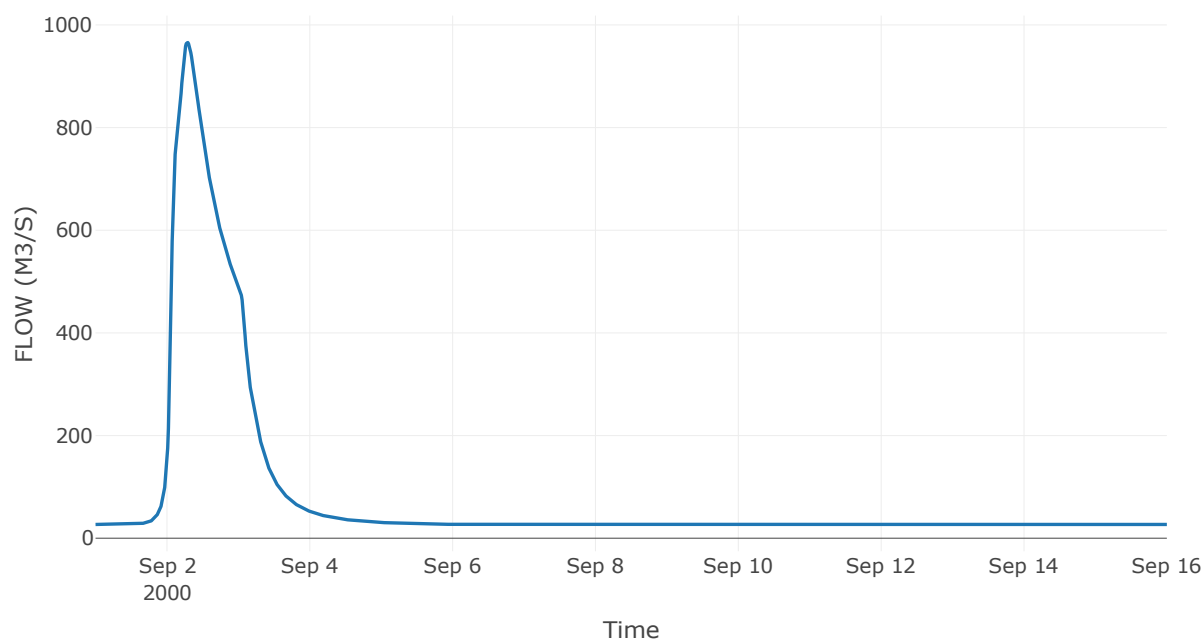
Κατάντη : J6

| | |
|-------------------|------------------|
| Μέθοδος Διόδευσης | Χρόνος Υστέρησης |
| Αρχική Μεταβλητή | Combined Inflow |
| Χρόνος Υστέρησης | 4.2 |

Αποτελέσματα: R76

| | |
|------------------------------|------------------|
| Παροχή Αιχμής(M3/S) | 965.98 |
| Χρονική στιγμή αιχμής | 02Sep2000, 06:45 |
| Όγκος(MM) | 130.34 |
| Παροχή Αιχμής Εισόδου (M3/S) | 966.41 |
| Όγκος Εισροής(M3) | 1.07E8 |

Απορροή



Κλάδος: R87

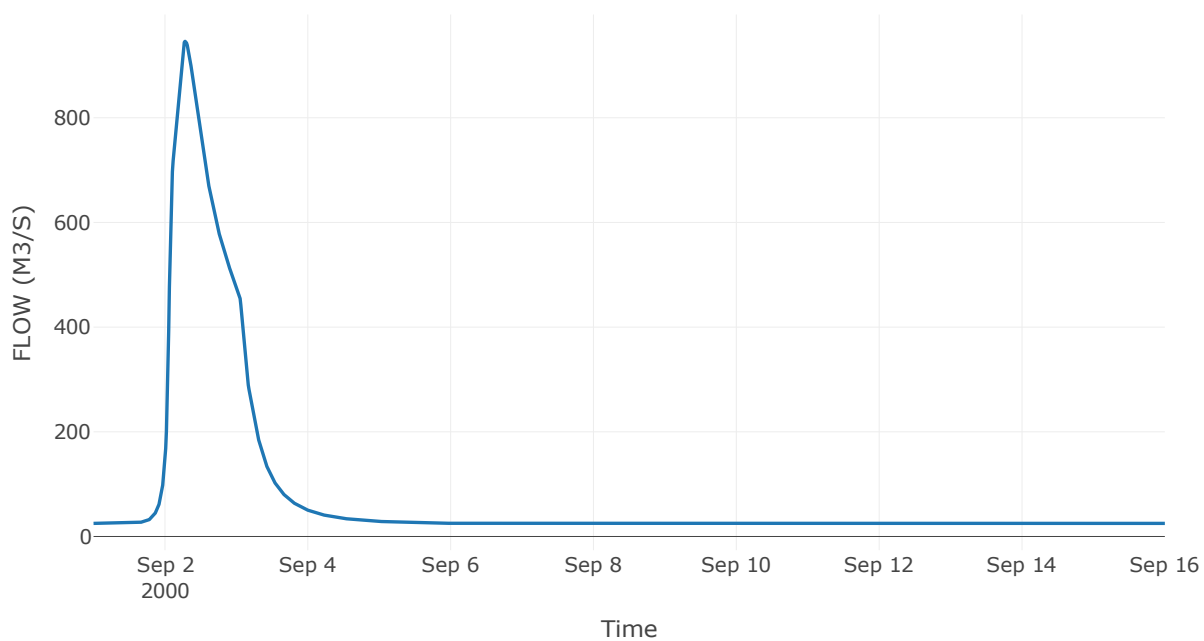
Κατάντη : J7

| | |
|----------------------|-----------------|
| Μέθοδος Διόδευσης | Muskingum |
| Αρχική Μεταβλητή | Combined Inflow |
| Χρόνος Ροής K | 0.58 |
| Συντελεστής βάρους x | 0.2 |
| Πλήθος Υποκλάδων | 2 |

Αποτελέσματα: R87

| | |
|------------------------------|------------------|
| Παροχή Αιχμής(M3/S) | 946.11 |
| Χρονική στιγμή αιχμής | 02Sep2000, 06:45 |
| Όγκος(MM) | 131.37 |
| Παροχή Αιχμής Εισόδου (M3/S) | 948.24 |
| Όγκος Εισροής(M3) | 1.03E8 |

Απορροή



Κλάδος: R98

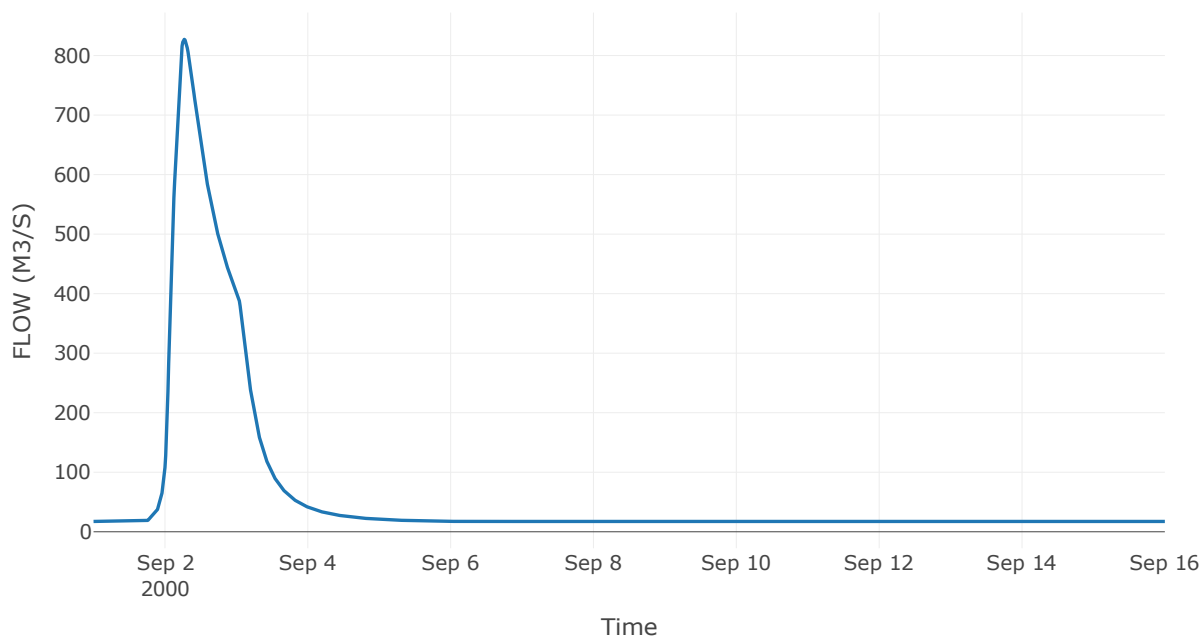
Κατάντη : J8

| | |
|----------------------|-----------------|
| Μέθοδος Διόδευσης | Muskingum |
| Αρχική Μεταβλητή | Combined Inflow |
| Χρόνος Ροής K | 0.3 |
| Συντελεστής βάρους x | 0.2 |
| Πλήθος Υποκλάδων | 1 |

Αποτελέσματα: R98

| | |
|------------------------------|------------------|
| Παροχή Αιχμής(M3/S) | 827.17 |
| Χρονική στιγμή αιχμής | 02Sep2000, 06:30 |
| Όγκος(MM) | 131.76 |
| Παροχή Αιχμής Εισόδου (M3/S) | 828.08 |
| Όγκος Εισροής(M3) | 8.29E7 |

Απορροή



Κλάδος: R109

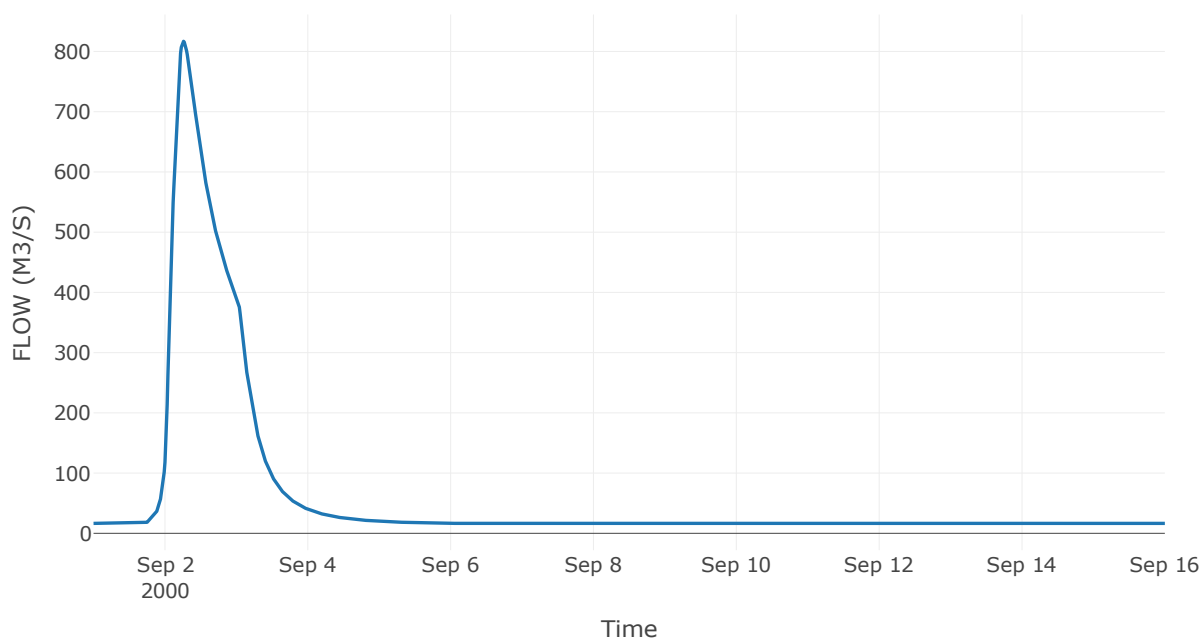
Κατάντη : J9

| | |
|----------------------|-----------------|
| Μέθοδος Διόδευσης | Muskingum |
| Αρχική Μεταβλητή | Combined Inflow |
| Χρόνος Ροής K | 0.24 |
| Συντελεστής βάρους x | 0.2 |
| Πλήθος Υποκλάδων | 1 |

Αποτελέσματα: R109

| | |
|------------------------------|------------------|
| Παροχή Αιχμής(M3/S) | 816.91 |
| Χρονική στιγμή αιχμής | 02Sep2000, 06:15 |
| Όγκος(MM) | 132.27 |
| Παροχή Αιχμής Εισόδου (M3/S) | 817.56 |
| Όγκος Εισροής(M3) | 8.09E7 |

Απορροή



Κλάδος: R1110

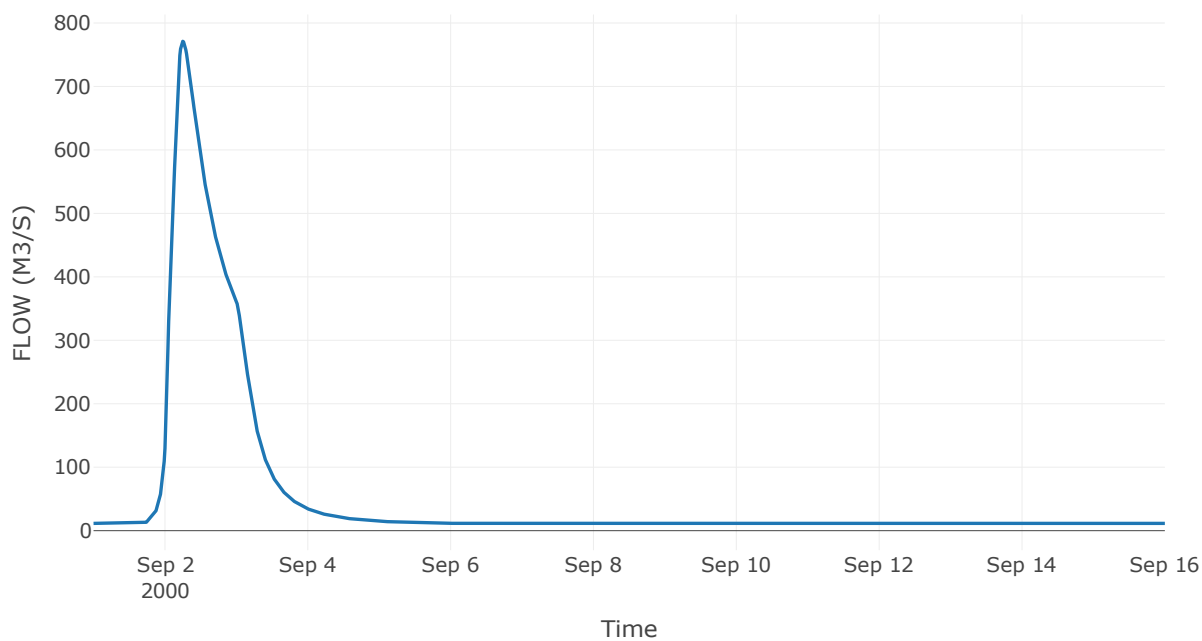
Κατάντη : J10

| | |
|----------------------|-----------------|
| Μέθοδος Διόδευσης | Muskingum |
| Αρχική Μεταβλητή | Combined Inflow |
| Χρόνος Ροής K | 0.2 |
| Συντελεστής βάρους x | 0.2 |
| Πλήθος Υποκλάδων | 1 |

Αποτελέσματα: R1110

| | |
|------------------------------|------------------|
| Παροχή Αιχμής(M3/S) | 771.17 |
| Χρονική στιγμή αιχμής | 02Sep2000, 06:00 |
| Όγκος(MM) | 139.3 |
| Παροχή Αιχμής Εισόδου (M3/S) | 771.58 |
| Όγκος Εισροής(M3) | 7.14E7 |

Απορροή



Κλάδος: R1211

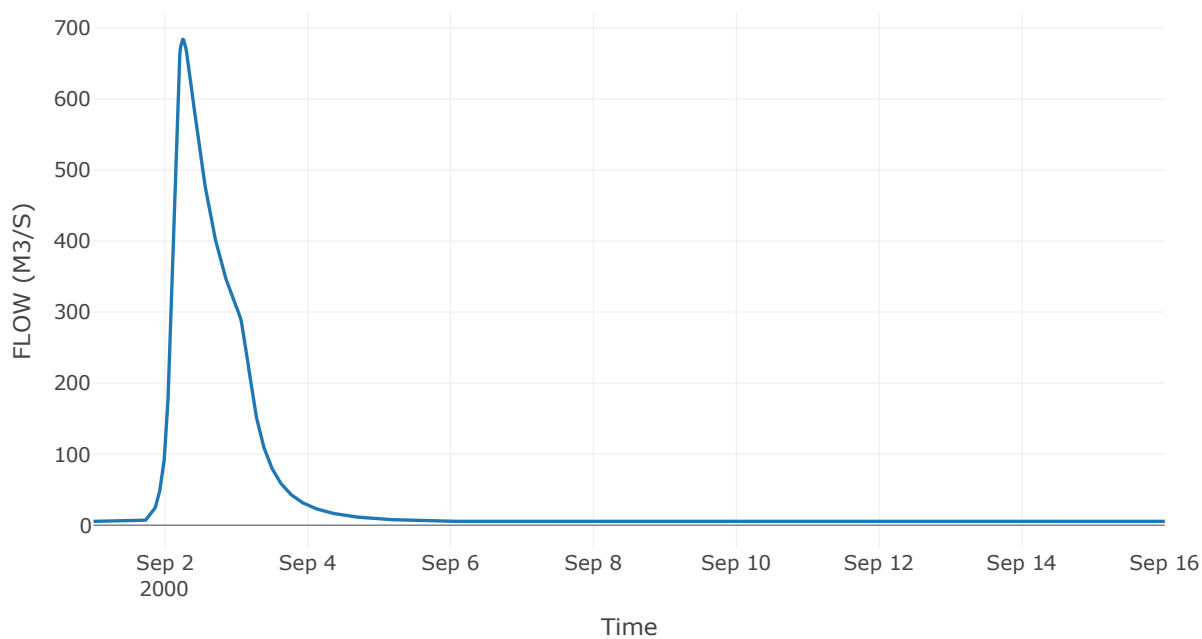
Κατάντη : J11

| | |
|----------------------|-----------------|
| Μέθοδος Διόδευσης | Muskingum |
| Αρχική Μεταβλητή | Combined Inflow |
| Χρόνος Ροής K | 1.14 |
| Συντελεστής βάρους x | 0.2 |
| Πλήθος Υποκλάδων | 5 |

Αποτελέσματα: R1211

| | |
|------------------------------|------------------|
| Παροχή Αιχμής(M3/S) | 684 |
| Χρονική στιγμή αιχμής | 02Sep2000, 06:00 |
| Όγκος(MM) | 146.49 |
| Παροχή Αιχμής Εισόδου (M3/S) | 686.51 |
| Όγκος Εισροής(M3) | 5.7E7 |

Απορροή



Κλάδος: R1312

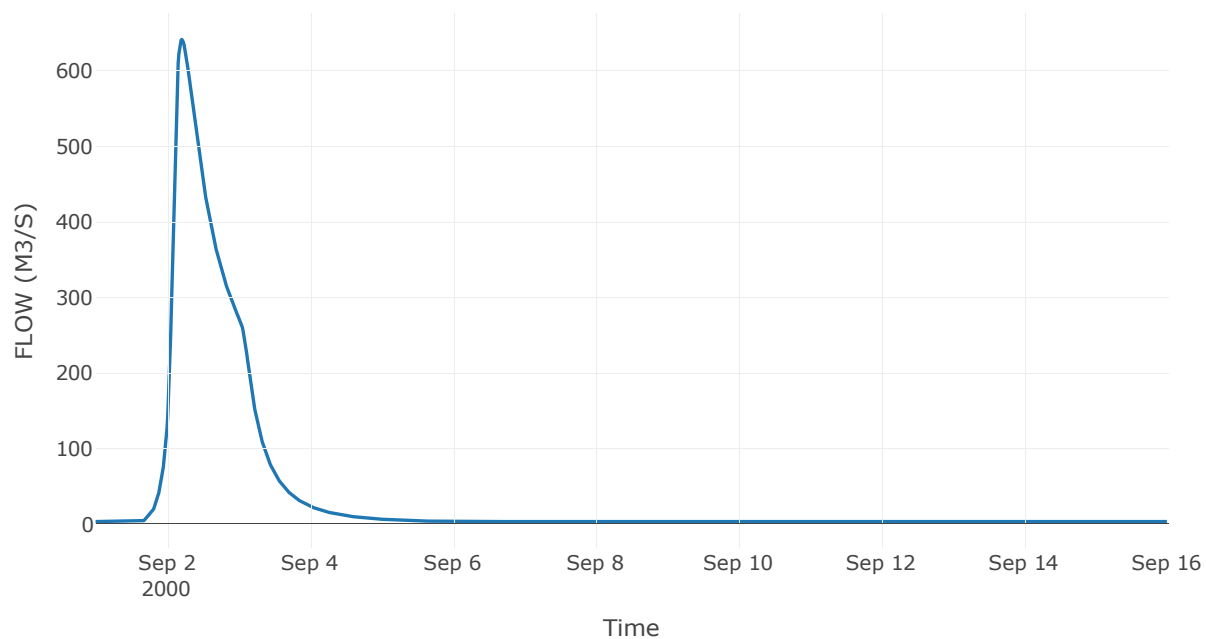
Κατάντη : J12

| | |
|-------------------|------------------|
| Μέθοδος Διόδευσης | Χρόνος Υστέρησης |
| Αρχική Μεταβλητή | Combined Inflow |
| Χρόνος Υστέρησης | 4.61 |

Αποτελέσματα: R1312

| | |
|------------------------------|------------------|
| Παροχή Αιχμής(M3/S) | 641.61 |
| Χρονική στιγμή αιχμής | 02Sep2000, 05:00 |
| Όγκος(MM) | 145.43 |
| Παροχή Αιχμής Εισόδου (M3/S) | 641.67 |
| Όγκος Εισροής(M3) | 5.12E7 |

Απορροή



Κλάδος: R1413

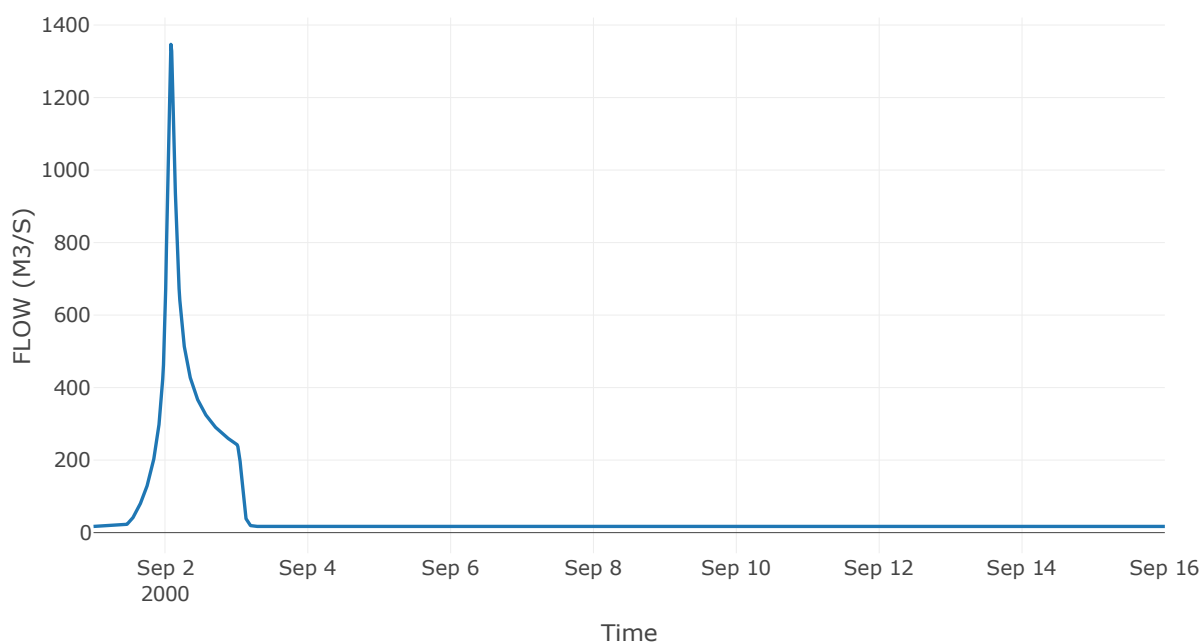
Κατάντη : Diversion - 1

| | |
|-------------------|------------------|
| Μέθοδος Διόδευσης | Χρόνος Υστέρησης |
| Αρχική Μεταβλητή | Combined Inflow |
| Χρόνος Υστέρησης | 4.85 |

Αποτελέσματα: R1413

| | |
|------------------------------|------------------|
| Παροχή Αιχμής(M3/S) | 1346.74 |
| Χρονική στιγμή αιχμής | 02Sep2000, 02:00 |
| Όγκος(MM) | 206.01 |
| Παροχή Αιχμής Εισόδου (M3/S) | 1351.01 |
| Όγκος Εισροής(M3) | 7.05E7 |

Απορροή



Κλάδος: R1514

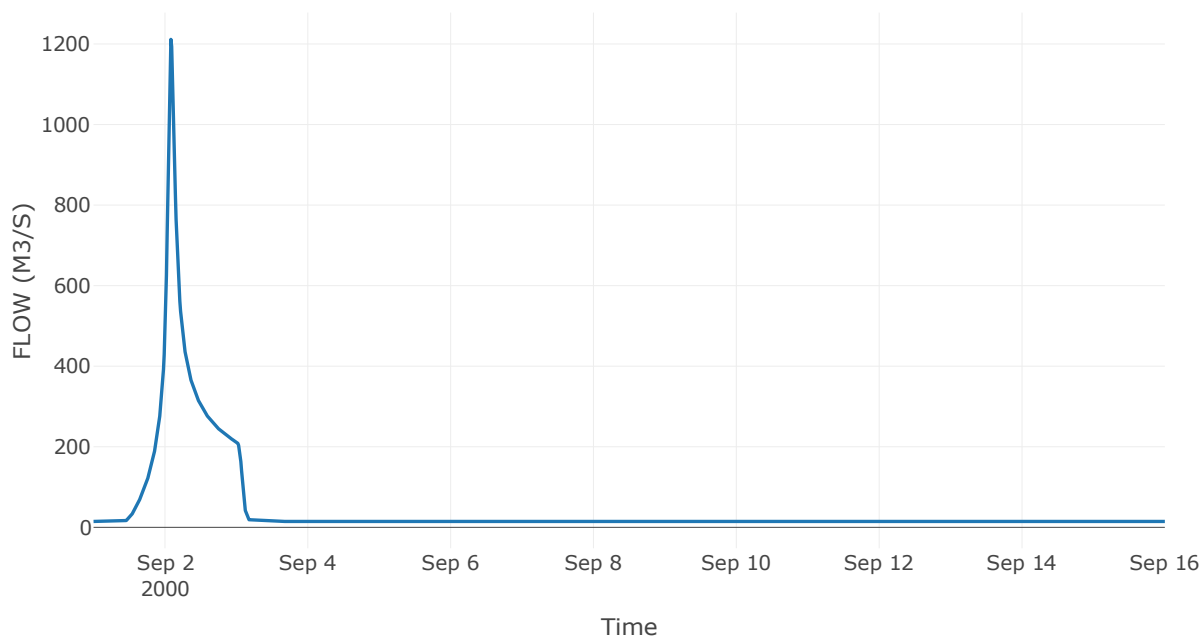
Κατάντη : J14

| | |
|----------------------|-----------------|
| Μέθοδος Διόδευσης | Muskingum |
| Αρχική Μεταβλητή | Combined Inflow |
| Χρόνος Ροής K | 0.39 |
| Συντελεστής βάρους x | 0.2 |
| Πλήθος Υποκλάδων | 2 |

Αποτελέσματα: R1514

| | |
|------------------------------|------------------|
| Παροχή Αιχμής(M3/S) | 1211.37 |
| Χρονική στιγμή αιχμής | 02Sep2000, 02:00 |
| Όγκος(MM) | 209.26 |
| Παροχή Αιχμής Εισόδου (M3/S) | 1224.18 |
| Όγκος Εισροής(M3) | 6.1E7 |

Απορροή



Κλάδος: R1615

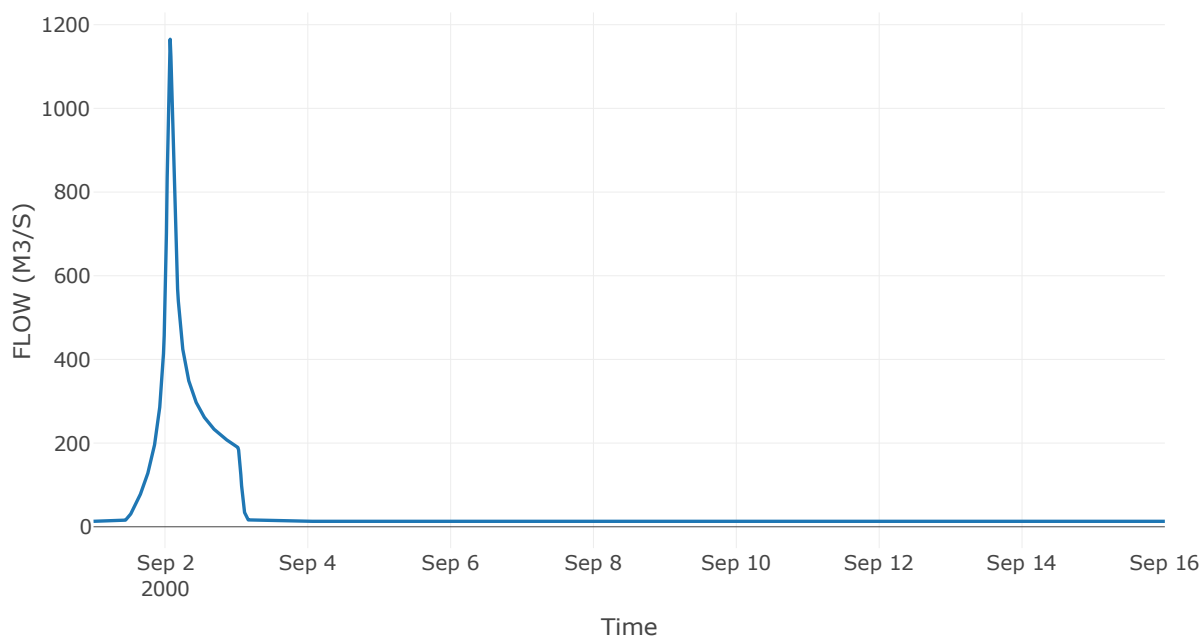
Κατάντη : J15

| | |
|----------------------|-----------------|
| Μέθοδος Διόδευσης | Muskingum |
| Αρχική Μεταβλητή | Combined Inflow |
| Χρόνος Ροής K | 0.34 |
| Συντελεστής βάρους x | 0.2 |
| Πλήθος Υποκλάδων | 1 |

Αποτελέσματα: R1615

| | |
|------------------------------|------------------|
| Παροχή Αιχμής(M3/S) | 1165.29 |
| Χρονική στιγμή αιχμής | 02Sep2000, 01:45 |
| Όγκος(MM) | 216 |
| Παροχή Αιχμής Εισόδου (M3/S) | 1199.6 |
| Όγκος Εισροής(M3) | 5.63E7 |

Απορροή



Κλάδος: R1716

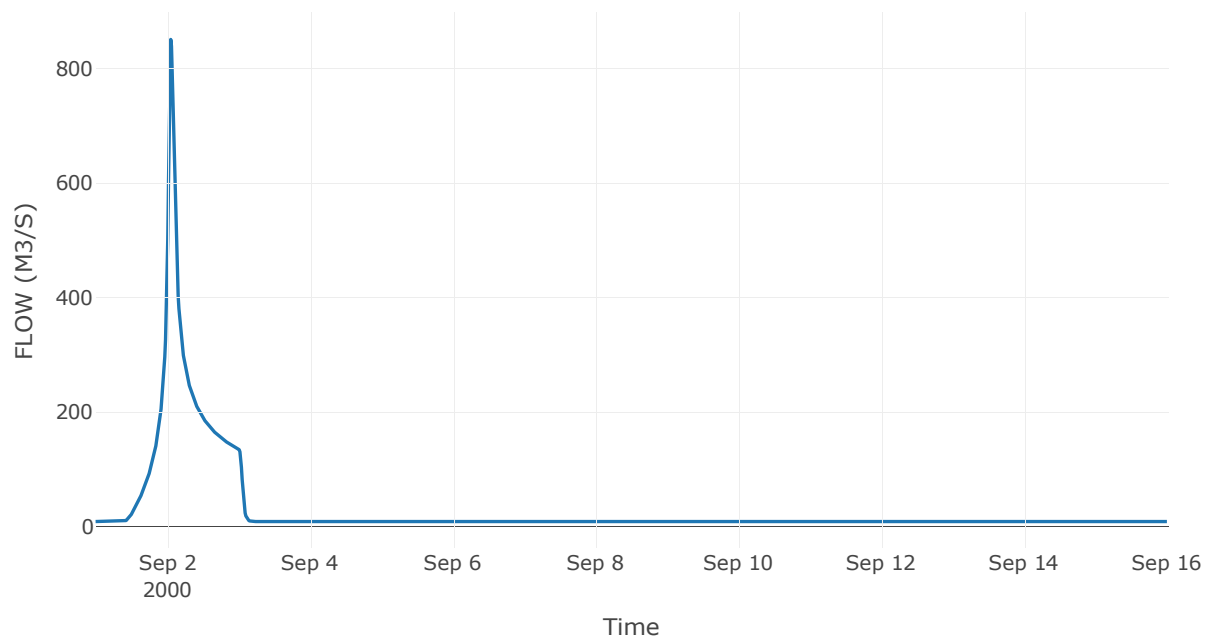
Κατάντη : J16

| | |
|-------------------|------------------|
| Μέθοδος Διόδευσης | Χρόνος Υστέρησης |
| Αρχική Μεταβλητή | Combined Inflow |
| Χρόνος Υστέρησης | 11.8 |

Αποτελέσματα: R1716

| | |
|------------------------------|------------------|
| Παροχή Αιχμής(M3/S) | 851.15 |
| Χρονική στιγμή αιχμής | 02Sep2000, 01:15 |
| Όγκος(MM) | 217.24 |
| Παροχή Αιχμής Εισόδου (M3/S) | 851.4 |
| Όγκος Εισροής(M3) | 3.94E7 |

Απορροή



Κλάδος: R1817

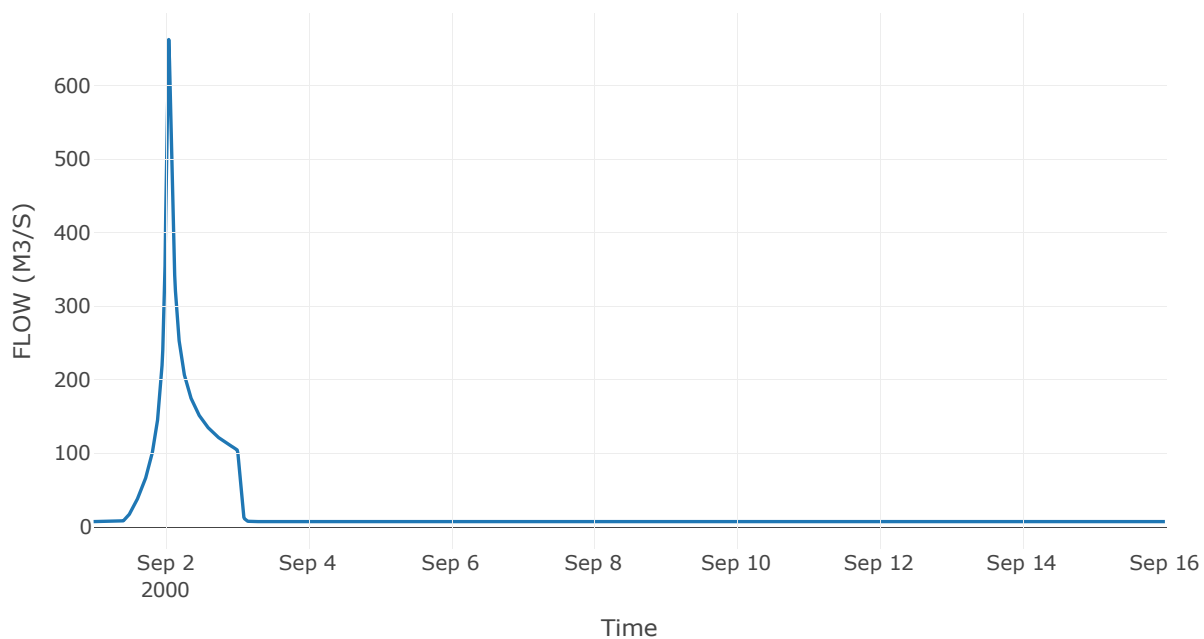
Κατάντη : J17

| | |
|-------------------|------------------|
| Μέθοδος Διόδευσης | Χρόνος Υστέρησης |
| Αρχική Μεταβλητή | Combined Inflow |
| Χρόνος Υστέρησης | 4.87 |

Αποτελέσματα: R1817

| | |
|------------------------------|------------------|
| Παροχή Αιχμής(M3/S) | 662.94 |
| Χρονική στιγμή αιχμής | 02Sep2000, 01:15 |
| Όγκος(MM) | 215.35 |
| Παροχή Αιχμής Εισόδου (M3/S) | 665.79 |
| Όγκος Εισροής(M3) | 3.07E7 |

Απορροή



Κλάδος: R1918

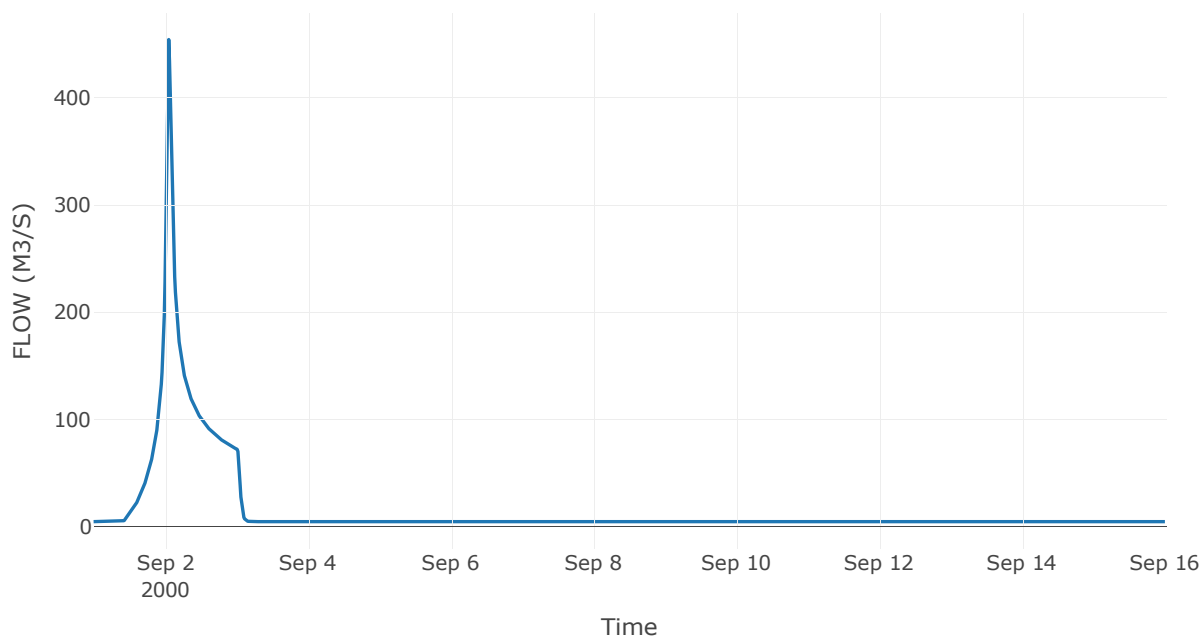
Κατάντη : J18

| | |
|-------------------|------------------|
| Μέθοδος Διόδευσης | Χρόνος Υστέρησης |
| Αρχική Μεταβλητή | Combined Inflow |
| Χρόνος Υστέρησης | 20.37 |

Αποτελέσματα: R1918

| | |
|------------------------------|------------------|
| Παροχή Αιχμής(M3/S) | 454.19 |
| Χρονική στιγμή αιχμής | 02Sep2000, 01:15 |
| Όγκος(MM) | 212.66 |
| Παροχή Αιχμής Εισόδου (M3/S) | 455.96 |
| Όγκος Εισροής(M3) | 2.08E7 |

Απορροή



Κλάδος: R2019

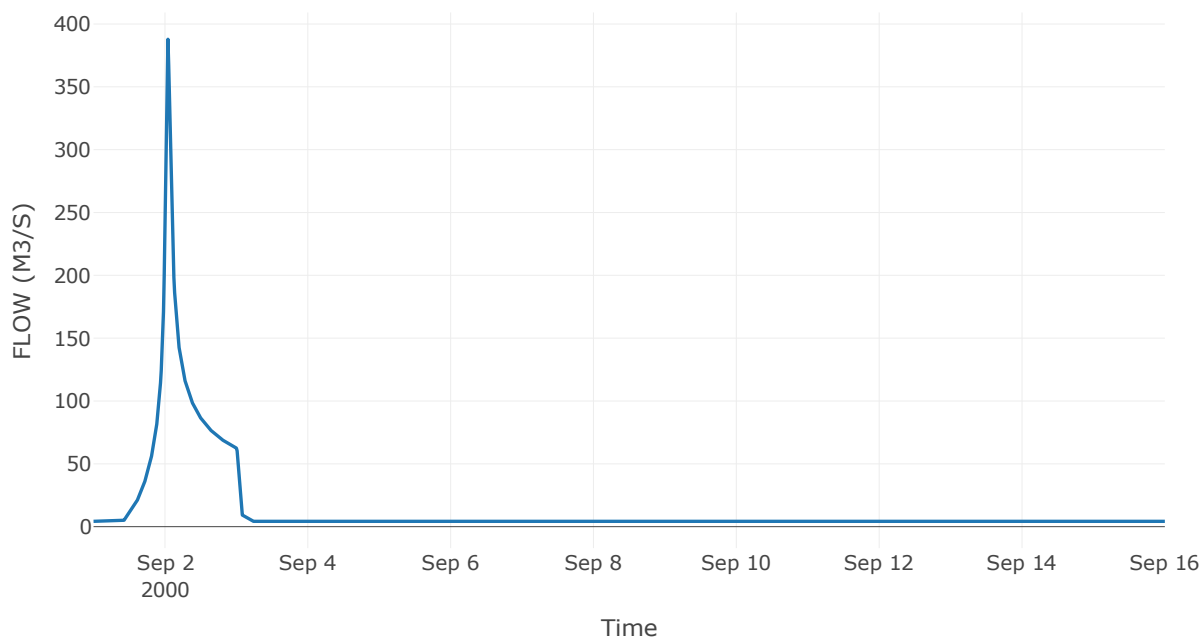
Κατάντη : J19

| | |
|-------------------|------------------|
| Μέθοδος Διόδευσης | Χρόνος Υστέρησης |
| Αρχική Μεταβλητή | Combined Inflow |
| Χρόνος Υστέρησης | 1.86 |

Αποτελέσματα: R2019

| | |
|------------------------------|------------------|
| Παροχή Αιχμής(M3/S) | 387.86 |
| Χρονική στιγμή αιχμής | 02Sep2000, 01:00 |
| Όγκος(MM) | 211.03 |
| Παροχή Αιχμής Εισόδου (M3/S) | 387.91 |
| Όγκος Εισροής(M3) | 1.79E7 |

Απορροή



Κλάδος: R2120

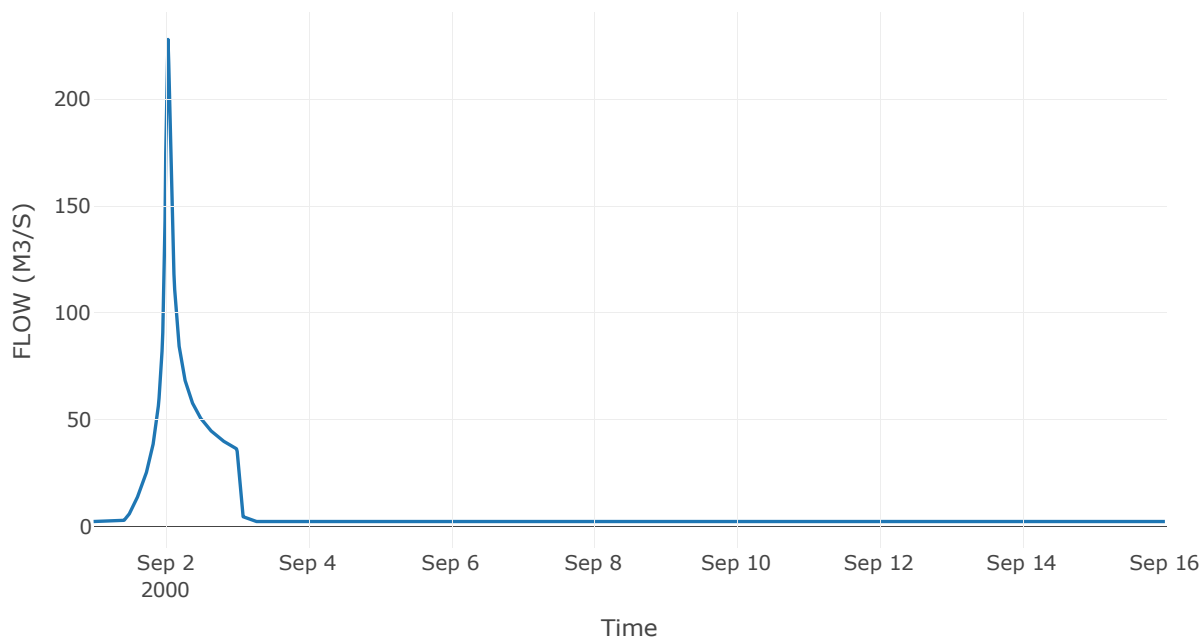
Κατάντη : J20

| | |
|-------------------|------------------|
| Μέθοδος Διόδευσης | Χρόνος Υστέρησης |
| Αρχική Μεταβλητή | Combined Inflow |
| Χρόνος Υστέρησης | 1.85 |

Αποτελέσματα: R2120

| | |
|------------------------------|------------------|
| Παροχή Αιχμής(M3/S) | 227.88 |
| Χρονική στιγμή αιχμής | 02Sep2000, 01:00 |
| Όγκος(MM) | 220.67 |
| Παροχή Αιχμής Εισόδου (M3/S) | 227.95 |
| Όγκος Εισροής(M3) | 1.05E7 |

Απορροή



Κλάδος: R2220

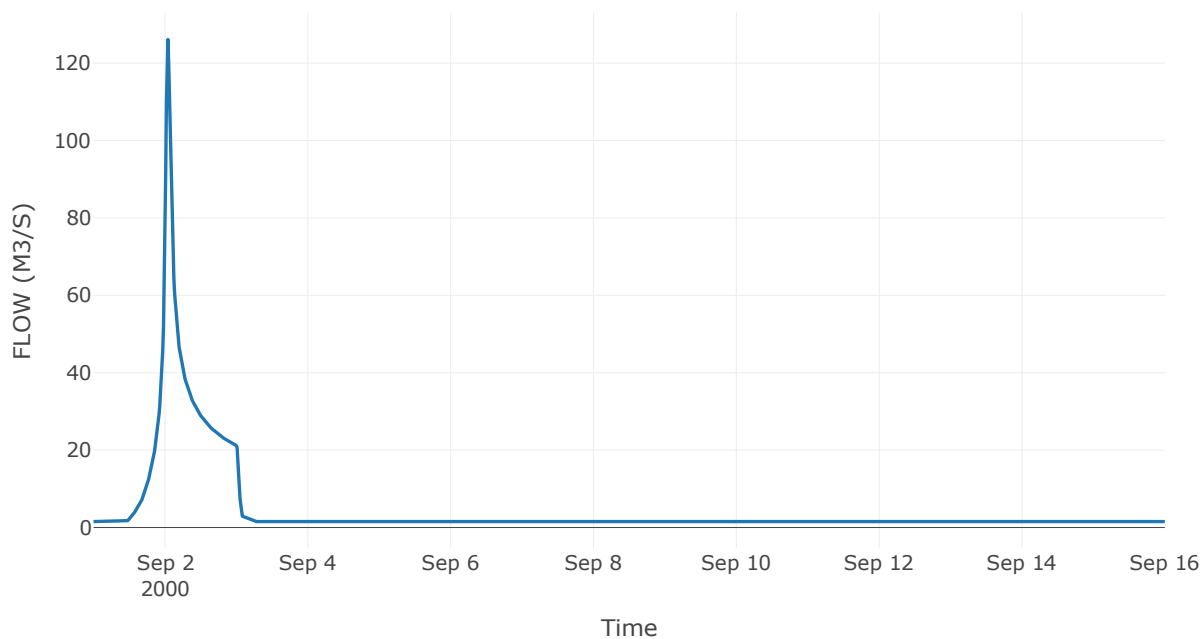
Κατάντη : J20

| | |
|-------------------|------------------|
| Μέθοδος Διόδευσης | Χρόνος Υστέρησης |
| Αρχική Μεταβλητή | Combined Inflow |
| Χρόνος Υστέρησης | 7.76 |

Αποτελέσματα: R2220

| | |
|------------------------------|------------------|
| Παροχή Αιχμής(M3/S) | 126.1 |
| Χρονική στιγμή αιχμής | 02Sep2000, 01:00 |
| Όγκος(MM) | 193.09 |
| Παροχή Αιχμής Εισόδου (M3/S) | 127.37 |
| Όγκος Εισροής(M3) | 5.94E6 |

Απορροή



Κλάδος: R2314

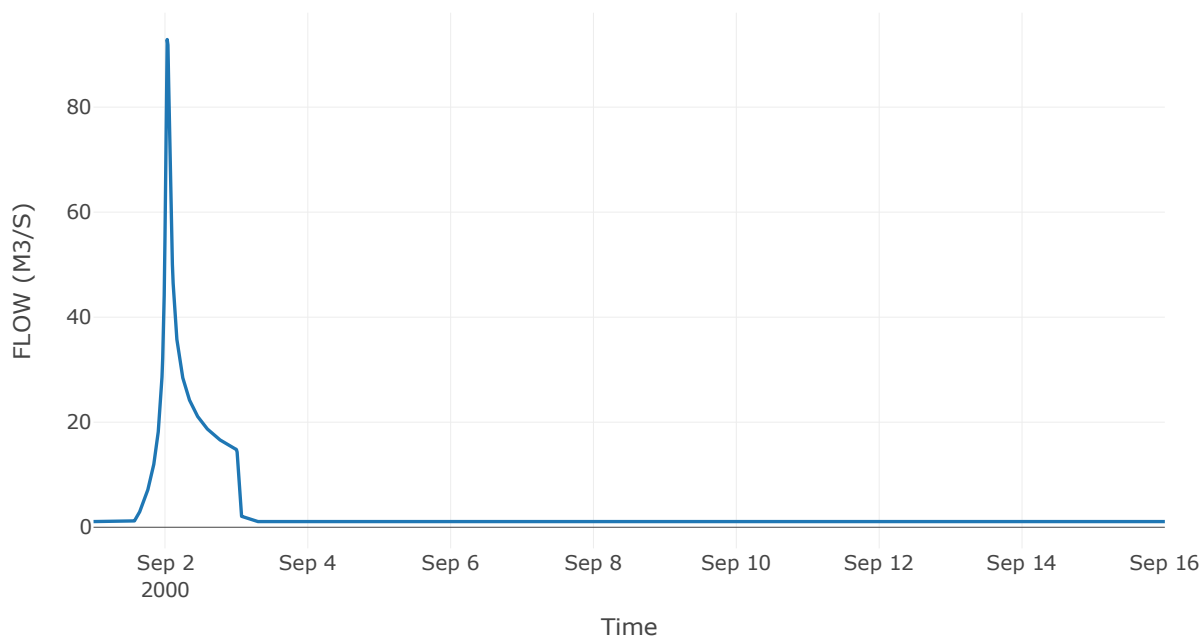
Κατάντη : J14

| | |
|-------------------|------------------|
| Μέθοδος Διόδευσης | Χρόνος Υστέρησης |
| Αρχική Μεταβλητή | Combined Inflow |
| Χρόνος Υστέρησης | 6.78 |

Αποτελέσματα: R2314

| | |
|------------------------------|------------------|
| Παροχή Αιχμής(M3/S) | 92.88 |
| Χρονική στιγμή αιχμής | 02Sep2000, 00:45 |
| Όγκος(MM) | 191.23 |
| Παροχή Αιχμής Εισόδου (M3/S) | 94.69 |
| Όγκος Εισροής(M3) | 4.12E6 |

Απορροή



Κλάδος: R2411

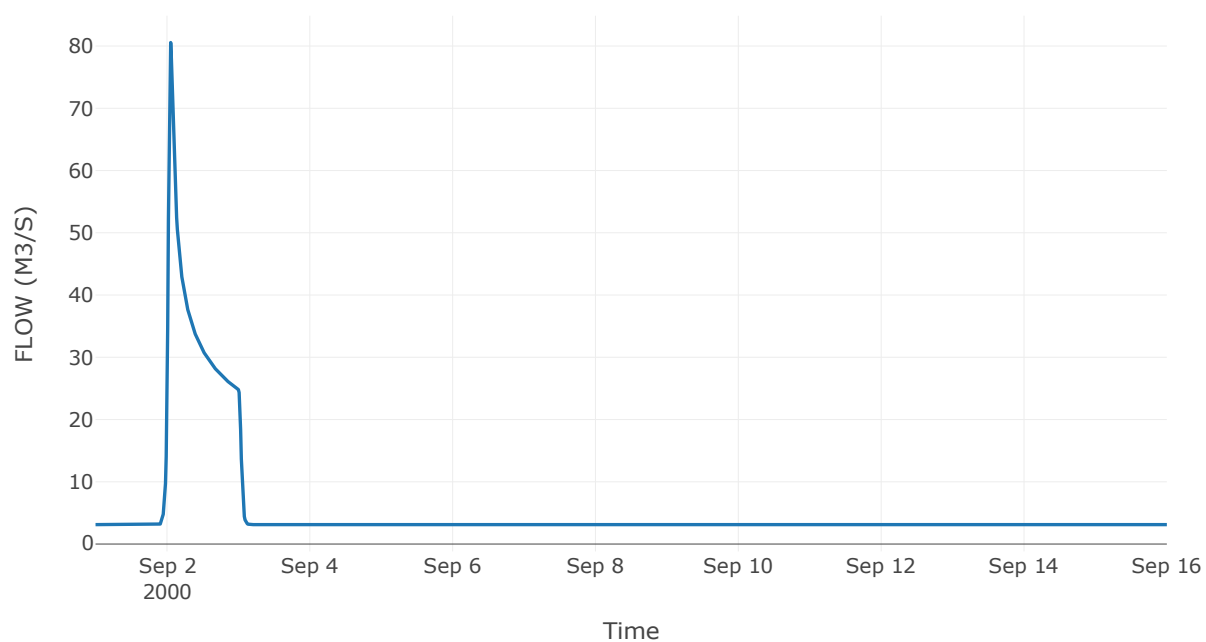
Κατάντη : J11

| | |
|-------------------|------------------|
| Μέθοδος Διόδευσης | Χρόνος Υστέρησης |
| Αρχική Μεταβλητή | Combined Inflow |
| Χρόνος Υστέρησης | 6.12 |

Αποτελέσματα: R2411

| | |
|------------------------------|------------------|
| Παροχή Αιχμής(M3/S) | 80.56 |
| Χρονική στιγμή αιχμής | 02Sep2000, 01:15 |
| Όγκος(MM) | 112.22 |
| Παροχή Αιχμής Εισόδου (M3/S) | 80.9 |
| Όγκος Εισροής(M3) | 7E6 |

Απορροή



Κλάδος: R2524

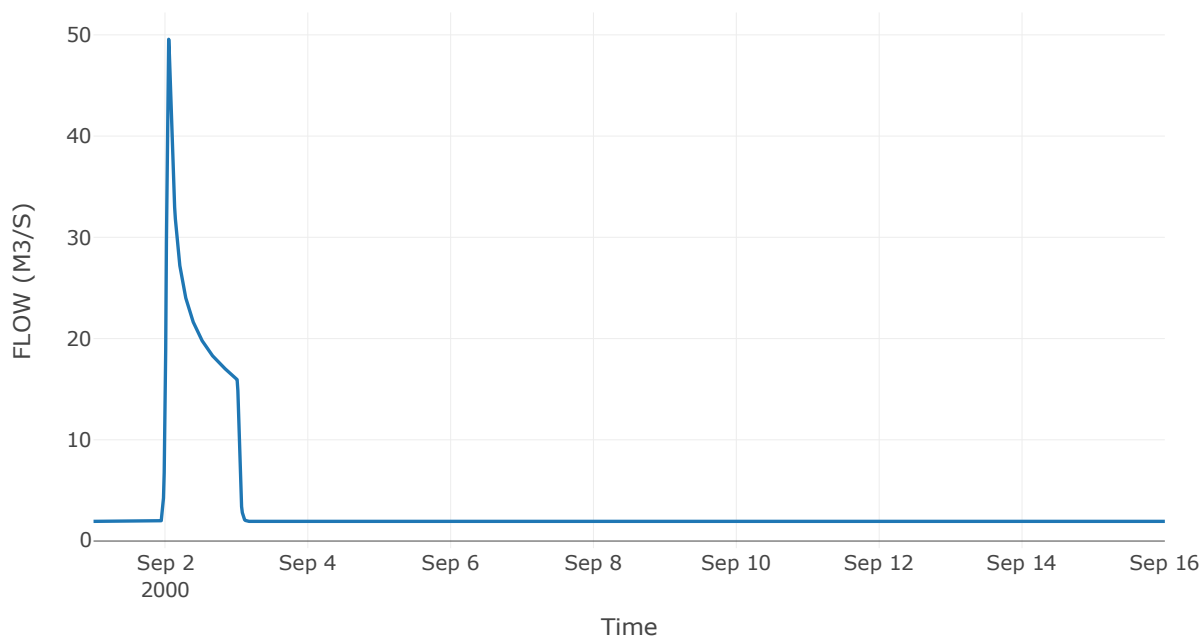
Κατάντη : J24

| | |
|-------------------|------------------|
| Μέθοδος Διόδευσης | Χρόνος Υστέρησης |
| Αρχική Μεταβλητή | Combined Inflow |
| Χρόνος Υστέρησης | 12.43 |

Αποτελέσματα: R2524

| | |
|------------------------------|------------------|
| Παροχή Αιχμής(M3/S) | 49.56 |
| Χρονική στιγμή αιχμής | 02Sep2000, 01:15 |
| Όγκος(MM) | 112.93 |
| Παροχή Αιχμής Εισόδου (M3/S) | 49.82 |
| Όγκος Εισροής(M3) | 4.39E6 |

Απορροή



Κλάδος: R2610

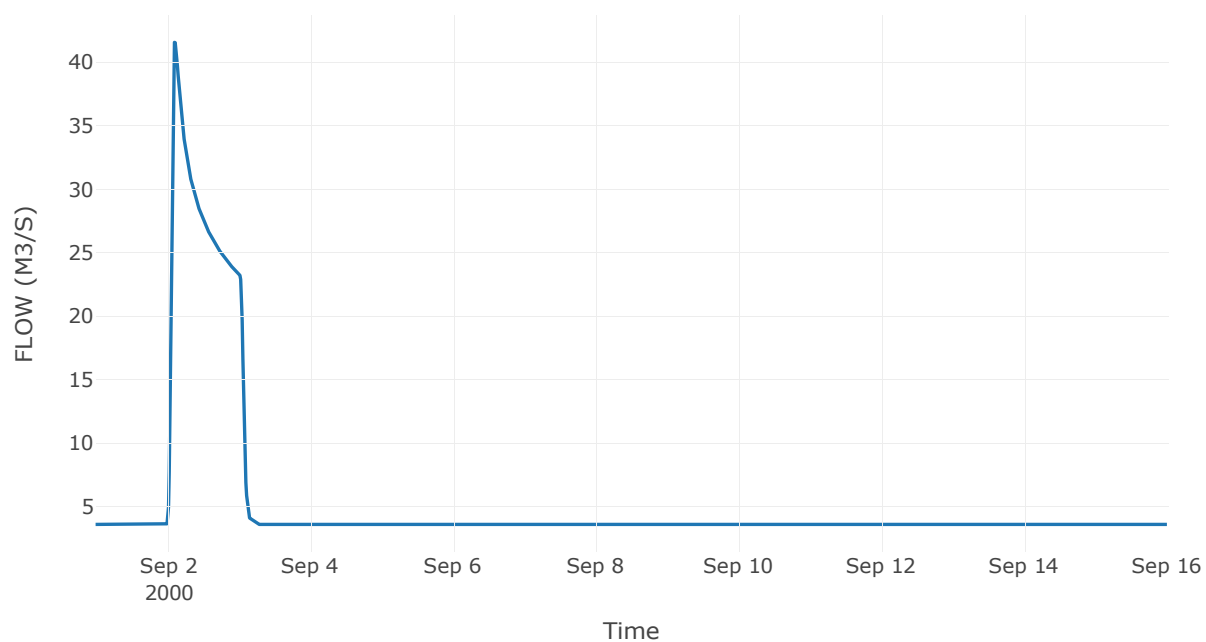
Κατάντη : J10

| | |
|-------------------|------------------|
| Μέθοδος Διόδευσης | Χρόνος Υστέρησης |
| Αρχική Μεταβλητή | Combined Inflow |
| Χρόνος Υστέρησης | 35.27 |

Αποτελέσματα: R2610

| | |
|------------------------------|------------------|
| Παροχή Αιχμής(M3/S) | 41.56 |
| Χρονική στιγμή αιχμής | 02Sep2000, 02:30 |
| Όγκος(MM) | 95.74 |
| Παροχή Αιχμής Εισόδου (M3/S) | 41.68 |
| Όγκος Εισροής(M3) | 6.89E6 |

Απορροή



Κλάδος: R278

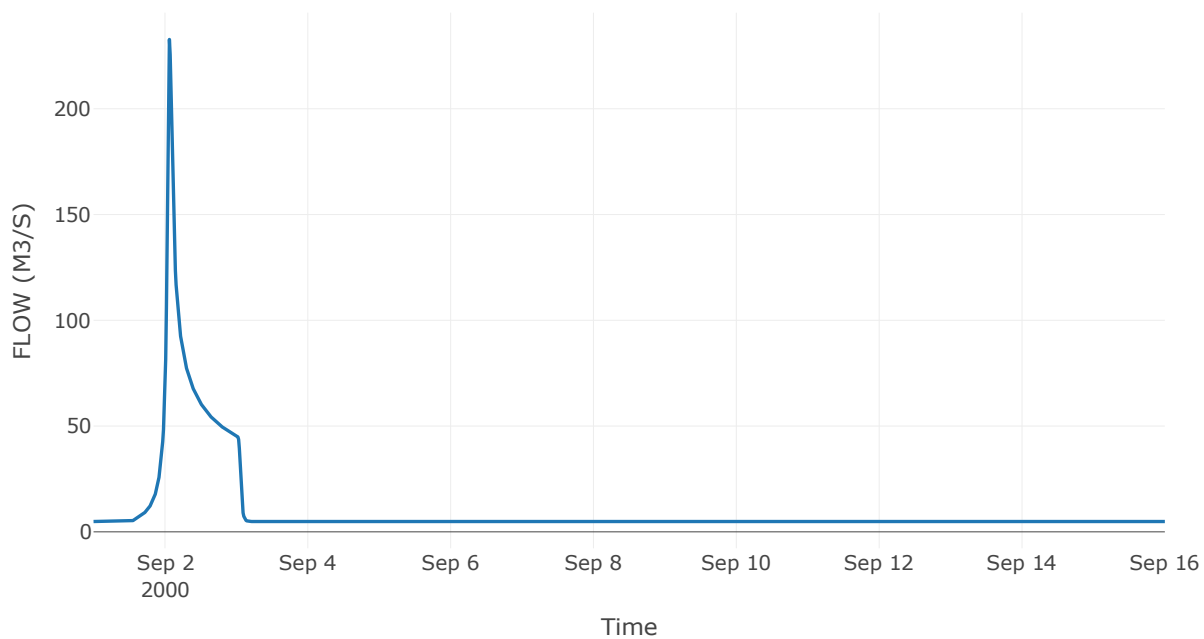
Κατάντη : J8

| | |
|-------------------|------------------|
| Μέθοδος Διόδευσης | Χρόνος Υστέρησης |
| Αρχική Μεταβλητή | Combined Inflow |
| Χρόνος Υστέρησης | 32.8 |

Αποτελέσματα: R278

| | |
|------------------------------|------------------|
| Παροχή Αιχμής(M3/S) | 232.76 |
| Χρονική στιγμή αιχμής | 02Sep2000, 01:30 |
| Όγκος(MM) | 136.4 |
| Παροχή Αιχμής Εισόδου (M3/S) | 234.09 |
| Όγκος Εισροής(M3) | 1.33E7 |

Απορροή



Κλάδος: R2827

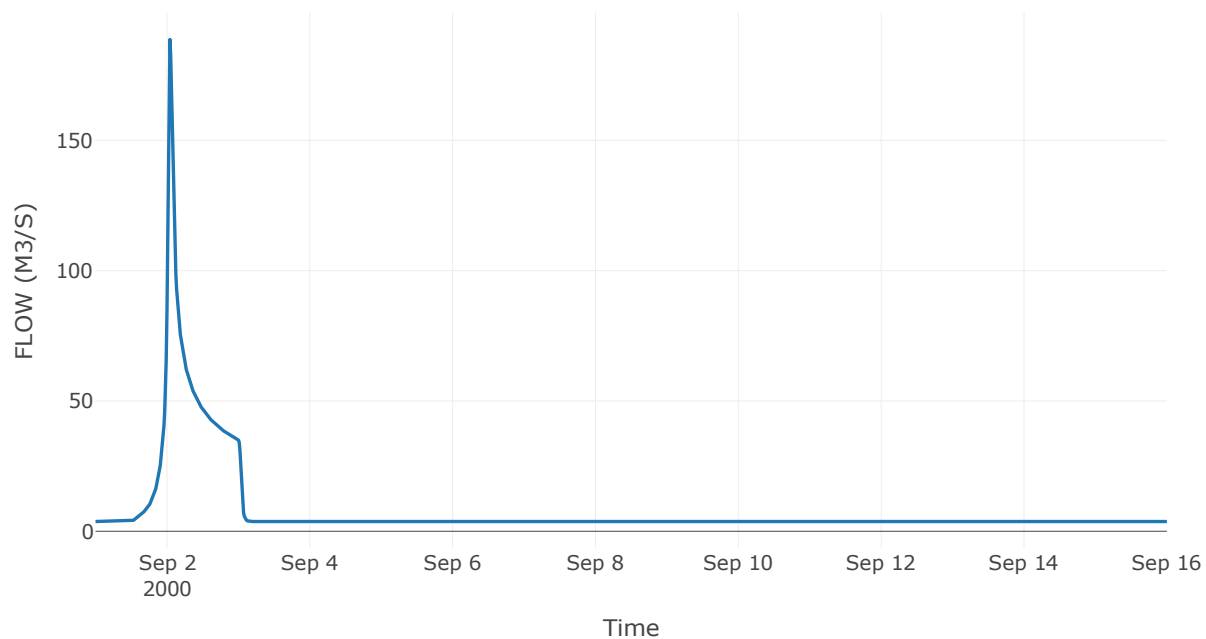
Κατάντη : J27

| | |
|-------------------|------------------|
| Μέθοδος Διόδευσης | Χρόνος Υστέρησης |
| Αρχική Μεταβλητή | Combined Inflow |
| Χρόνος Υστέρησης | 3.92 |

Αποτελέσματα: R2827

| | |
|------------------------------|------------------|
| Παροχή Αιχμής(M3/S) | 188.77 |
| Χρονική στιγμή αιχμής | 02Sep2000, 01:00 |
| Όγκος(MM) | 139.48 |
| Παροχή Αιχμής Εισόδου (M3/S) | 190.31 |
| Όγκος Εισροής(M3) | 1.04E7 |

Απορροή



Κλάδος: R2928

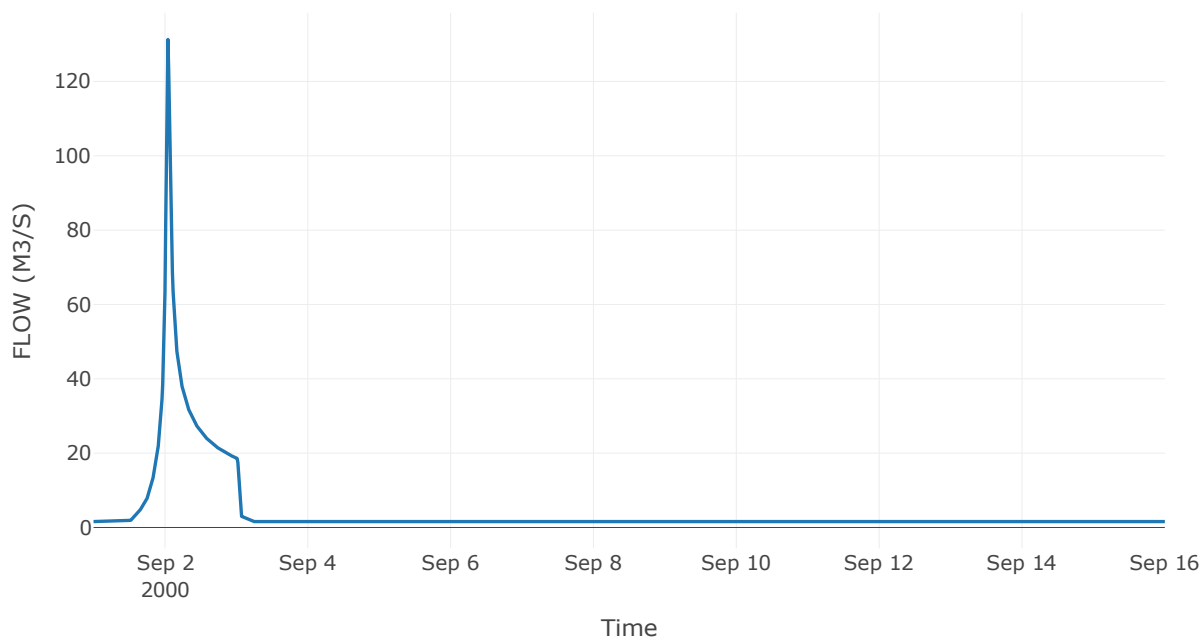
Κατάντη : J28

| | |
|-------------------|------------------|
| Μέθοδος Διόδευσης | Χρόνος Υστέρησης |
| Αρχική Μεταβλητή | Combined Inflow |
| Χρόνος Υστέρησης | 17.22 |

Αποτελέσματα: R2928

| | |
|------------------------------|------------------|
| Παροχή Αιχμής(M3/S) | 131.29 |
| Χρονική στιγμή αιχμής | 02Sep2000, 01:00 |
| Όγκος(MM) | 174.97 |
| Παροχή Αιχμής Εισόδου (M3/S) | 131.75 |
| Όγκος Εισροής(M3) | 5.58E6 |

Απορροή



Κλάδος: R302

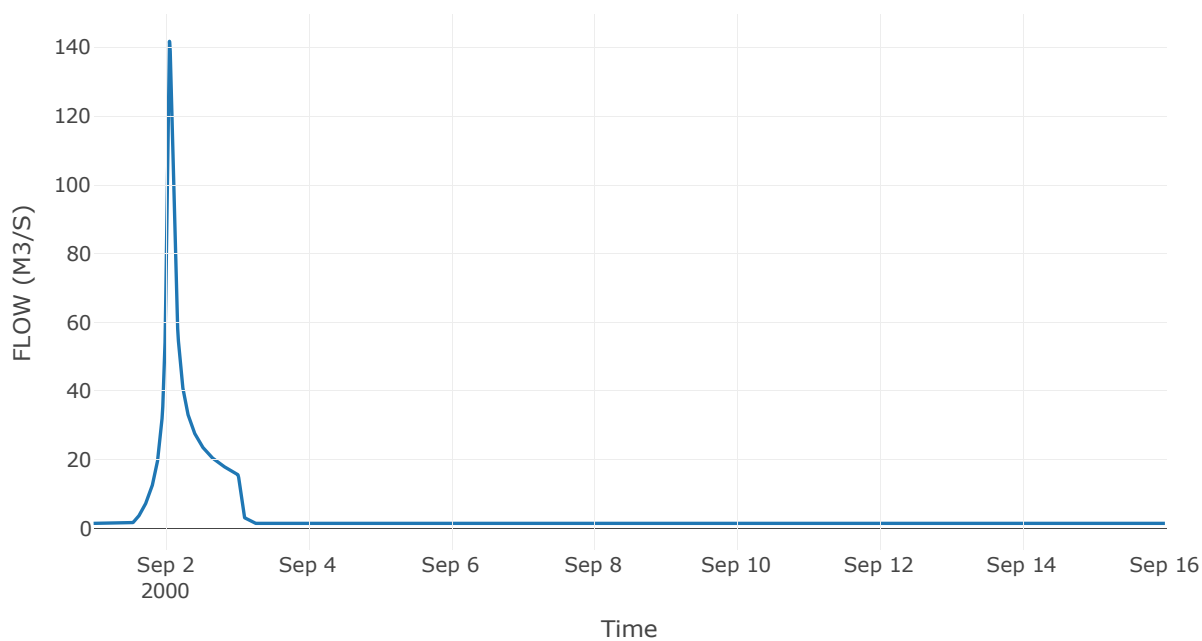
Κατάντη : J2

| | |
|----------------------|-----------------|
| Μέθοδος Διόδευσης | Muskingum |
| Αρχική Μεταβλητή | Combined Inflow |
| Χρόνος Ροής K | 0.26 |
| Συντελεστής βάρους x | 0.2 |
| Πλήθος Υποκλάδων | 1 |

Αποτελέσματα: R302

| | |
|------------------------------|------------------|
| Παροχή Αιχμής(M3/S) | 141.74 |
| Χρονική στιγμή αιχμής | 02Sep2000, 01:30 |
| Όγκος(MM) | 190.2 |
| Παροχή Αιχμής Εισόδου (M3/S) | 144.52 |
| Όγκος Εισροής(M3) | 5.67E6 |

Απορροή



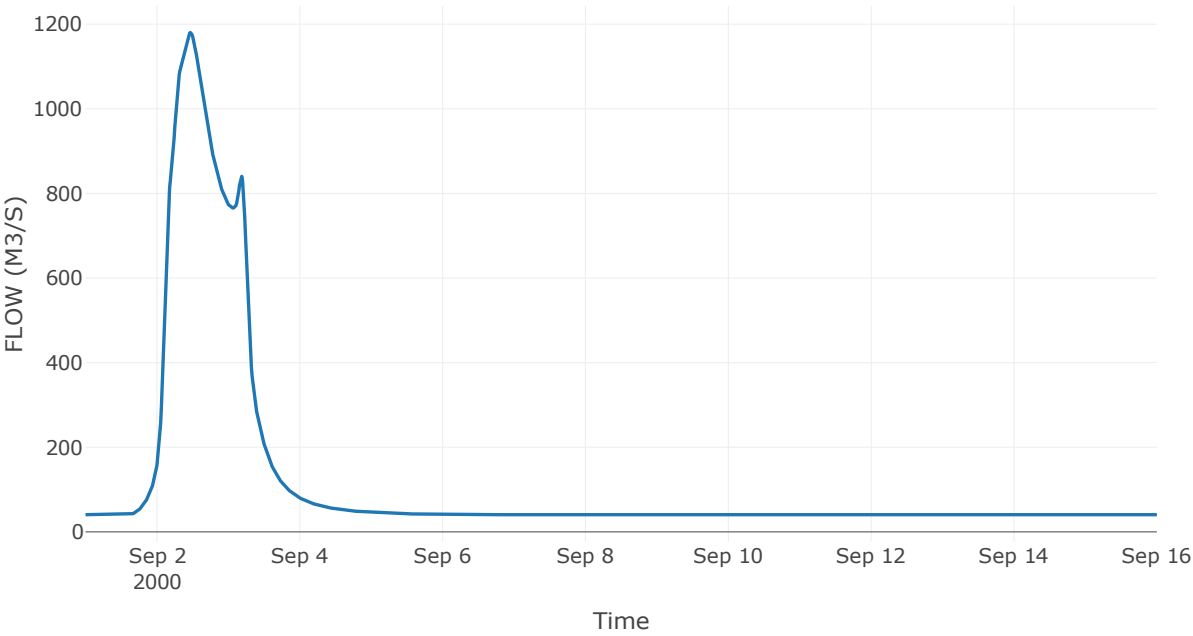
6.3 Δεδομένα και Υδρογραφήματα Σχεδιασμού Κόμβων Υδρογραφικού Δικτύου

Κόμβος εξόδου: J1

Αποτέλεσμα
τα: J1

| | |
|-----------------------|------------------|
| Παροχή αιχμής (M3/S) | 1180.15 |
| Χρονική στιγμή αιχμής | 02Sep2000, 11:15 |
| Όγκος (MM) | 141.9 |

Απορροή



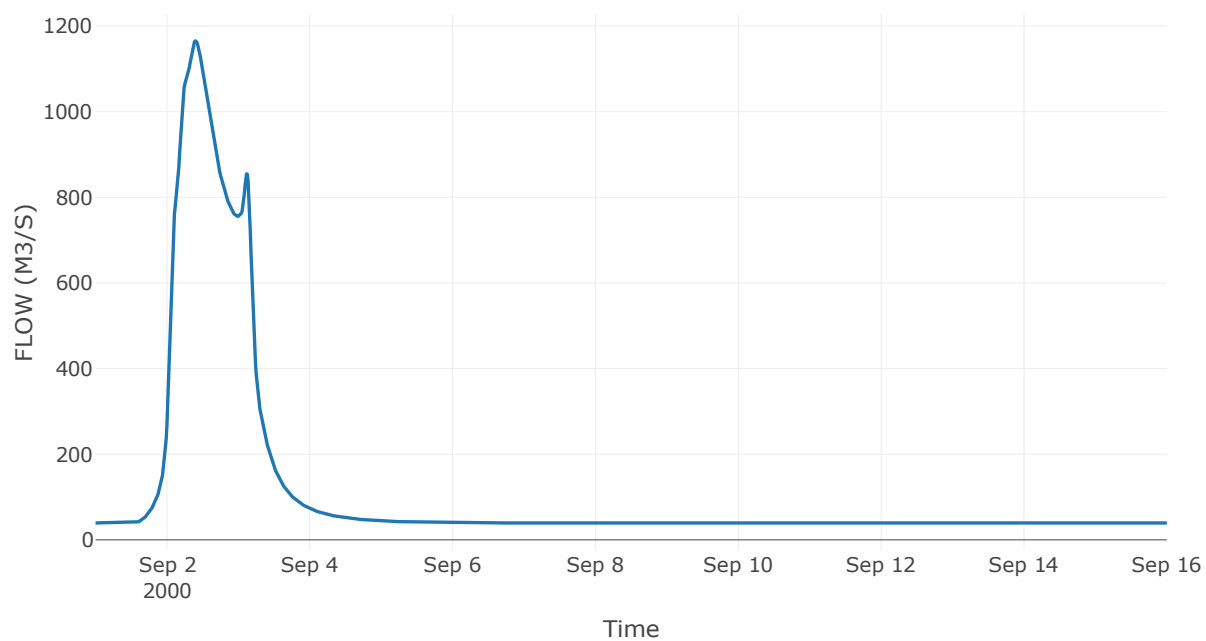
Κόμβος: J2

Κατάντη : R21

Αποτελέσματα: J2

| | |
|-----------------------|------------------|
| Παροχή Αιχμής(M3/S) | 1165.39 |
| Χρονική στιγμή αιχμής | 02Sep2000, 09:30 |
| Όγκος(MM) | 141.63 |

Απορροή



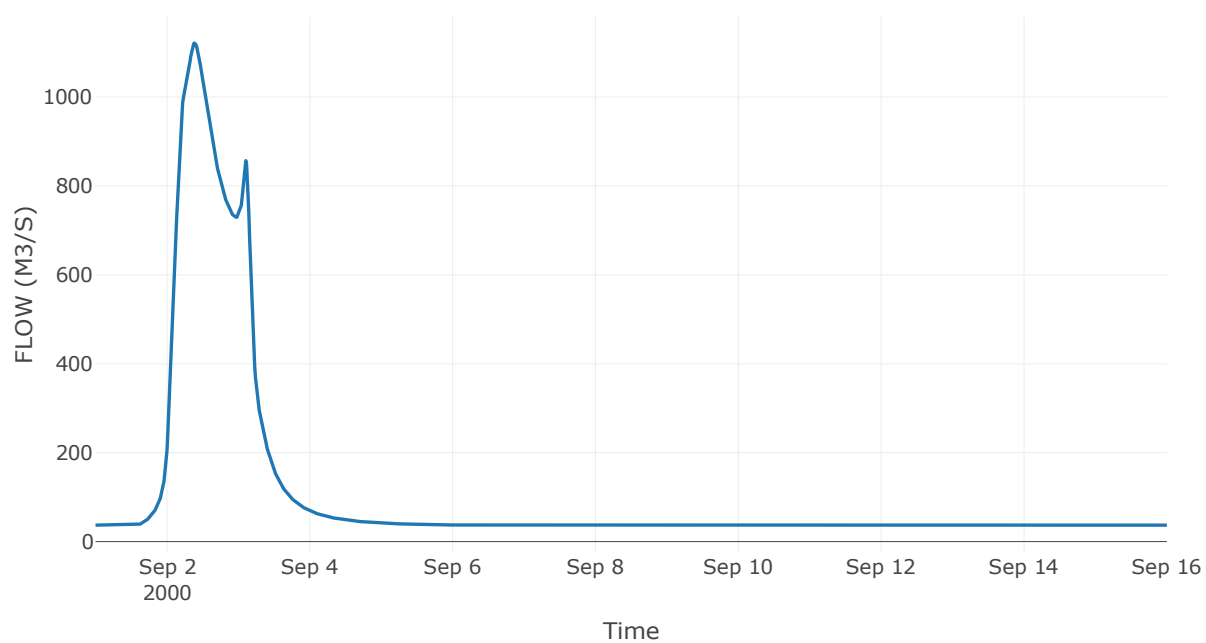
Κόμβος: J3

Κατάντη : R32

Αποτελέσματα: J3

| | |
|-----------------------|------------------|
| Παροχή Αιχμής(M3/S) | 1121.57 |
| Χρονική στιγμή αιχμής | 02Sep2000, 09:15 |
| Όγκος(MM) | 139.4 |

Απορροή



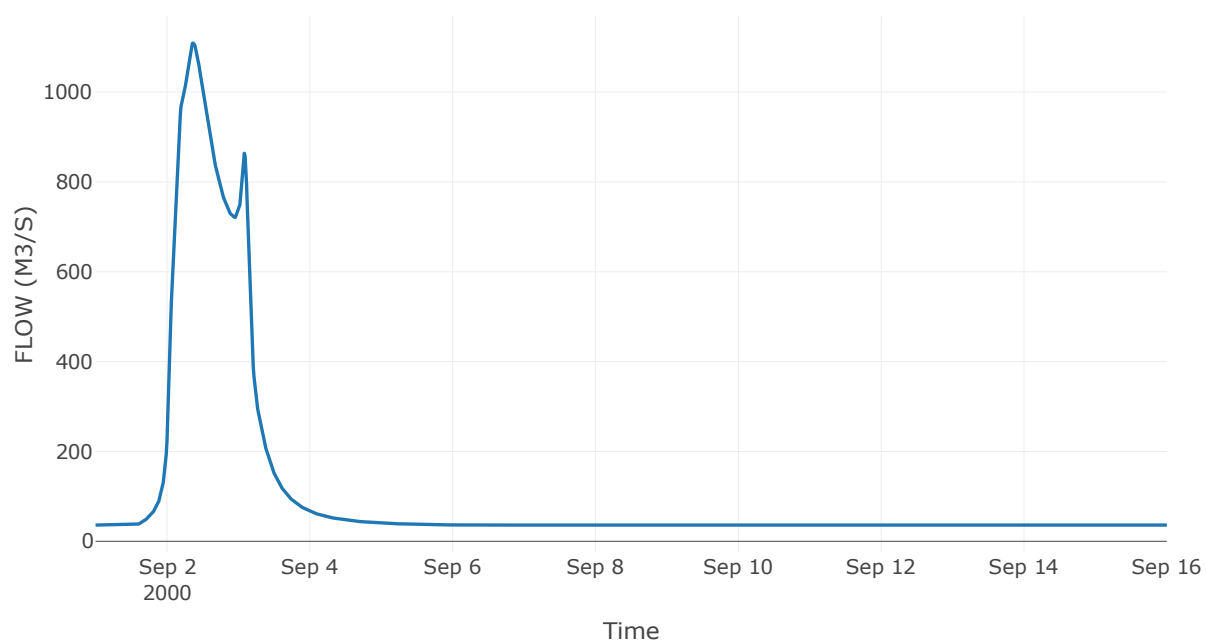
Κόμβος: J4

Κατάντη : R43

Αποτελέσματα: J4

| | |
|-----------------------|------------------|
| Παροχή Αιχμής(M3/S) | 1109.33 |
| Χρονική στιγμή αιχμής | 02Sep2000, 08:45 |
| Όγκος(MM) | 139.13 |

Απορροή



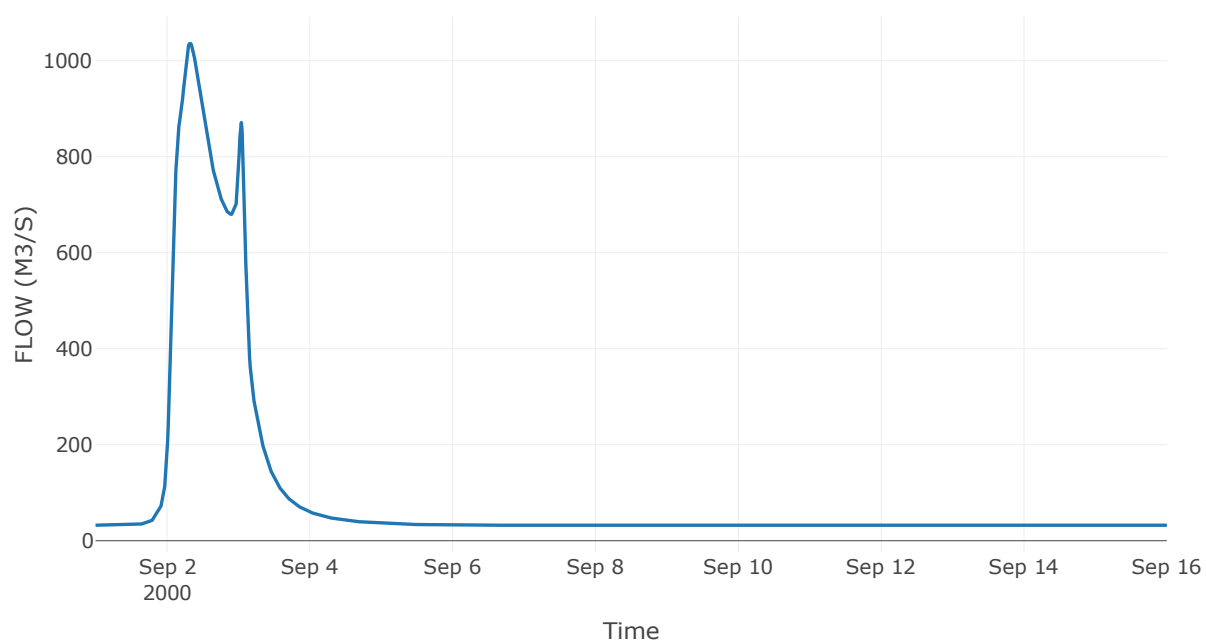
Κόμβος: J5

Κατάντη : R54

Αποτελέσματα: J5

| | |
|-----------------------|------------------|
| Παροχή Αιχμής(M3/S) | 1036.42 |
| Χρονική στιγμή αιχμής | 02Sep2000, 07:45 |
| Όγκος(MM) | 135.35 |

Απορροή



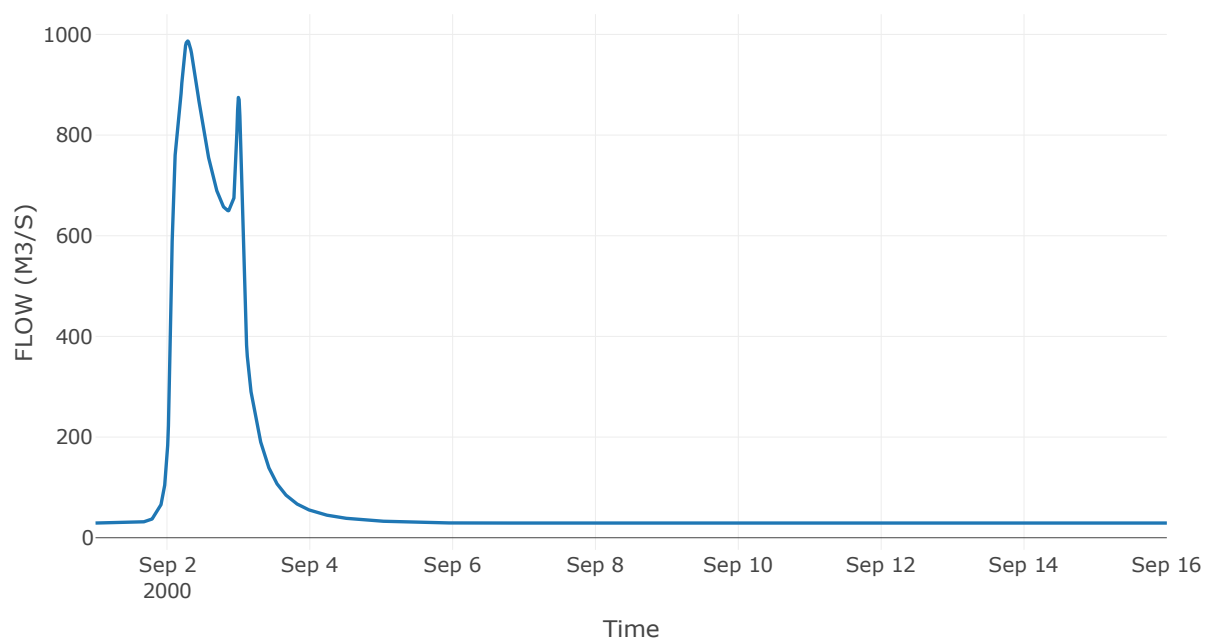
Κόμβος: J6

Κατάντη : R65

Αποτελέσματα: J6

| | |
|-----------------------|------------------|
| Παροχή Αιχμής(M3/S) | 987.04 |
| Χρονική στιγμή αιχμής | 02Sep2000, 07:00 |
| Όγκος(MM) | 134.55 |

Απορροή



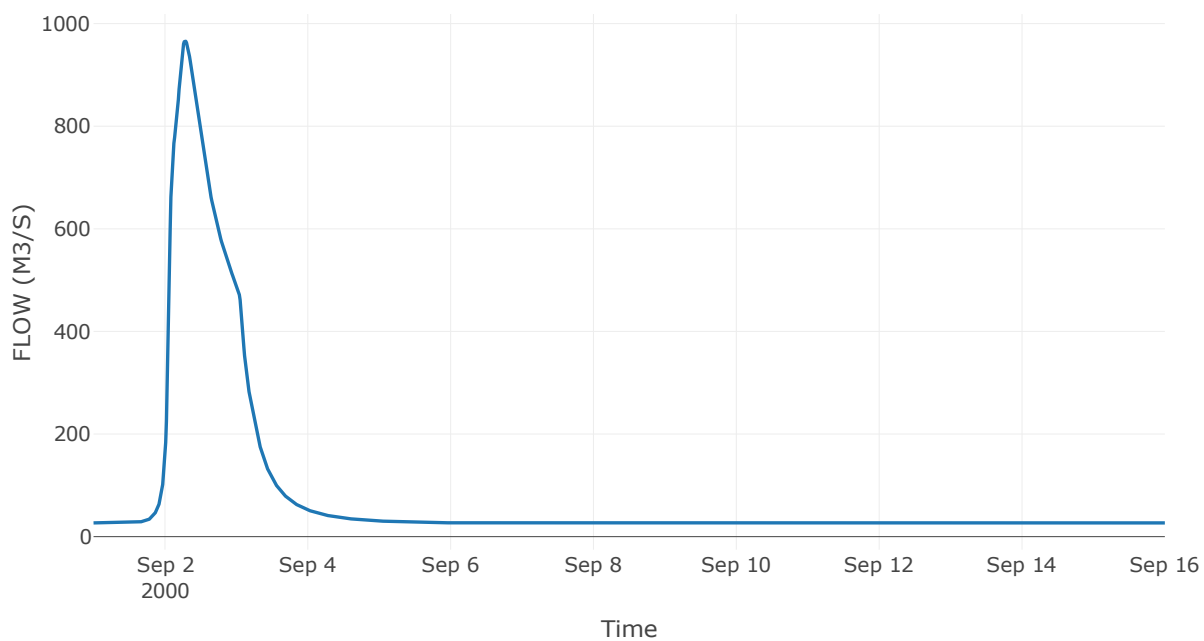
Κόμβος: J7

Κατάντη : R76

Αποτελέσματα: J7

| | |
|-----------------------|------------------|
| Παροχή Αιχμής(M3/S) | 966.41 |
| Χρονική στιγμή αιχμής | 02Sep2000, 06:45 |
| Όγκος(MM) | 130.34 |

Απορροή



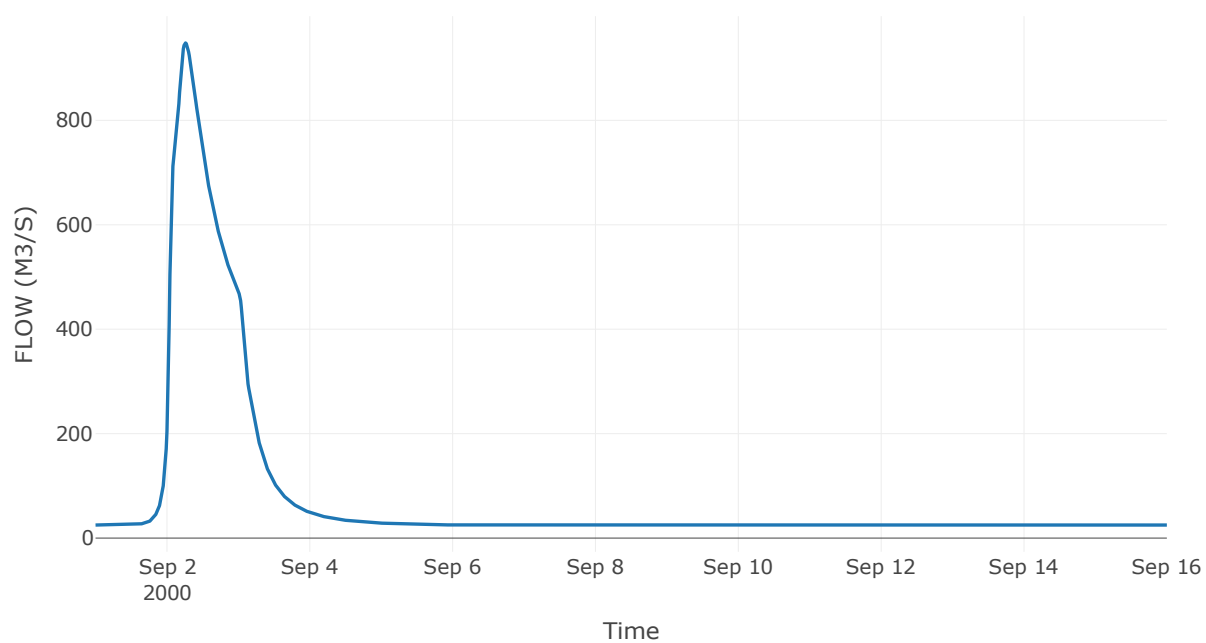
Κόμβος: J8

Κατάντη : R87

Αποτελέσματα: J8

| | |
|-----------------------|------------------|
| Παροχή Αιχμής(M3/S) | 948.24 |
| Χρονική στιγμή αιχμής | 02Sep2000, 06:15 |
| Όγκος(MM) | 131.37 |

Απορροή



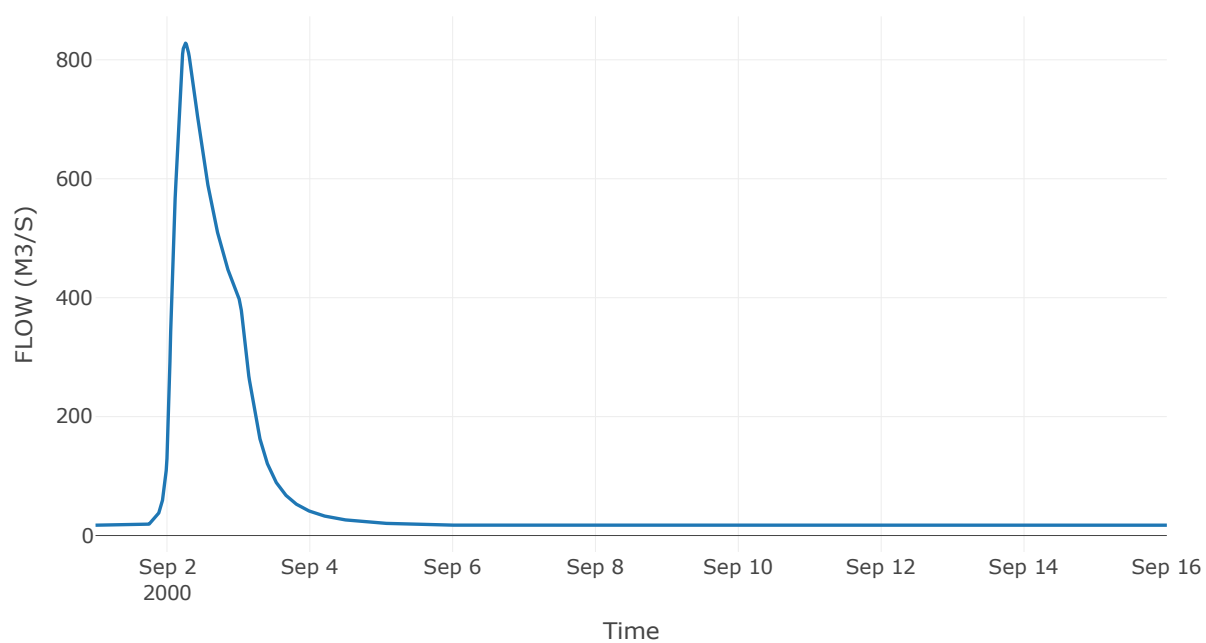
Κόμβος: J9

Κατάντη : R98

Αποτελέσματα: J9

| | |
|-----------------------|------------------|
| Παροχή Αιχμής(M3/S) | 828.08 |
| Χρονική στιγμή αιχμής | 02Sep2000, 06:15 |
| Όγκος(MM) | 131.76 |

Απορροή



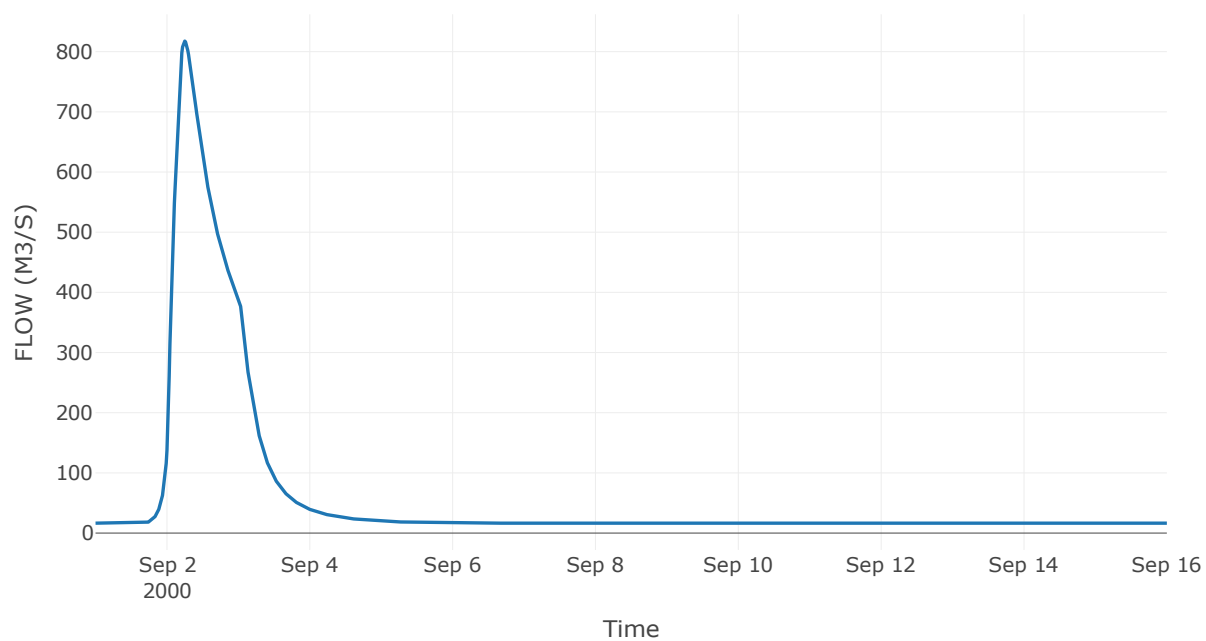
Κόμβος: J10

Κατάντη : R109

Αποτελέσματα: J10

| | |
|-----------------------|------------------|
| Παροχή Αιχμής(M3/S) | 817.56 |
| Χρονική στιγμή αιχμής | 02Sep2000, 06:00 |
| Όγκος(MM) | 132.27 |

Απορροή



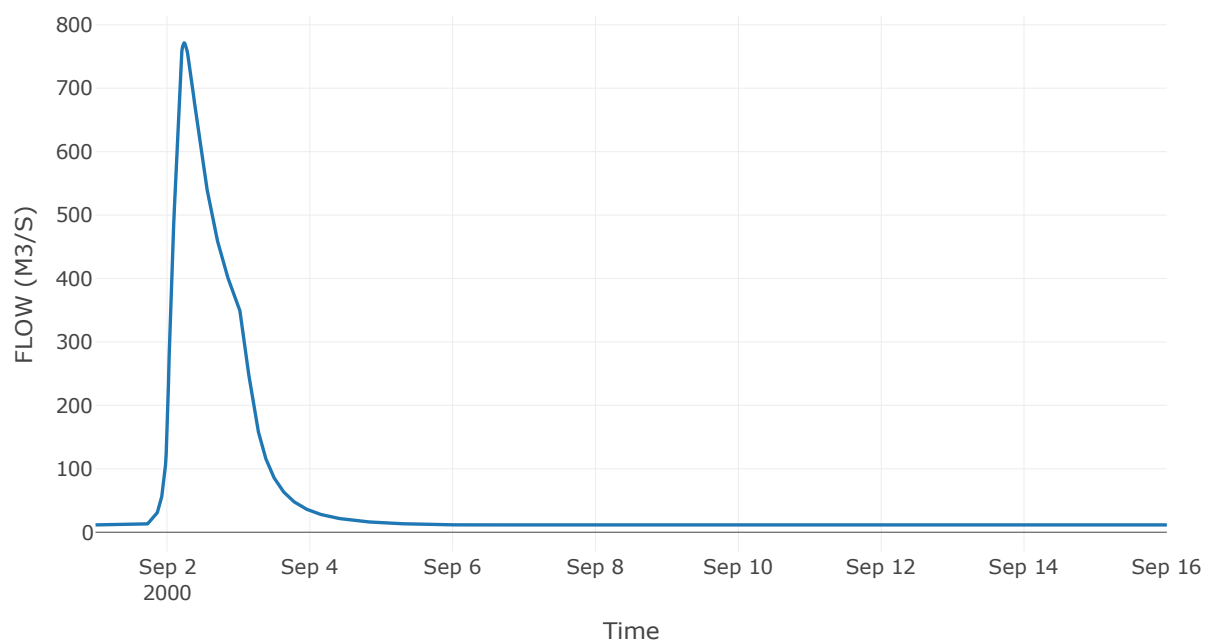
Κόμβος: J11

Κατάντη : R1110

Αποτελέσματα: J11

| | |
|-----------------------|------------------|
| Παροχή Αιχμής(M3/S) | 771.58 |
| Χρονική στιγμή αιχμής | 02Sep2000, 05:45 |
| Όγκος(MM) | 139.3 |

Απορροή



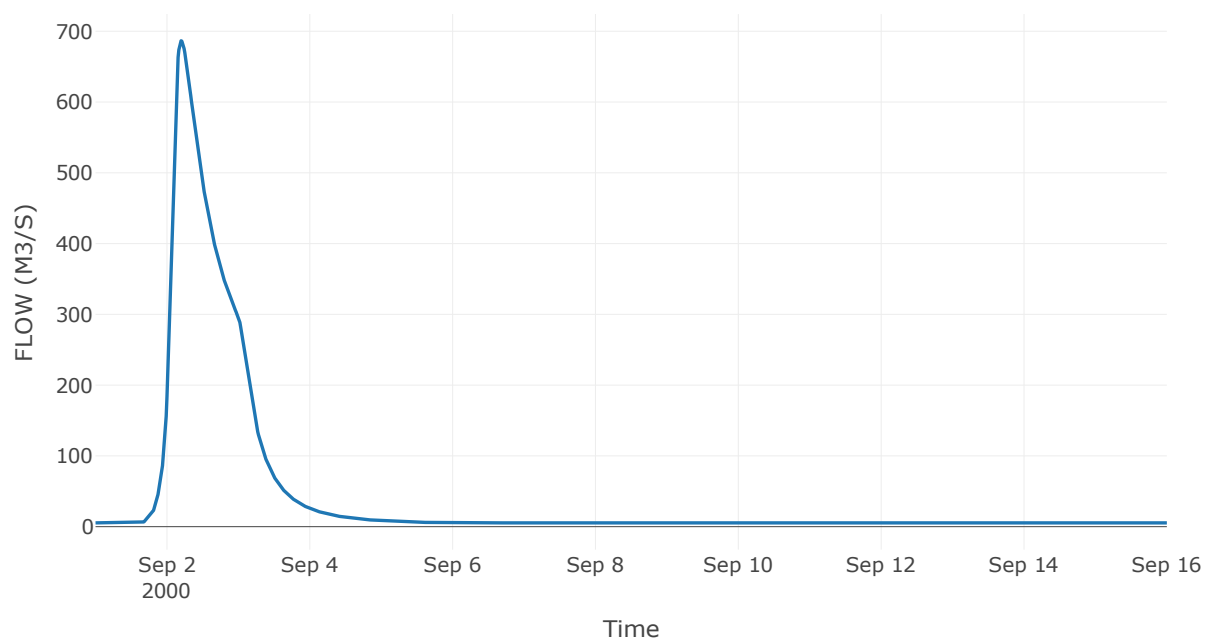
Κόμβος: J12

Κατάντη : R1211

Αποτελέσματα: J12

| | |
|-----------------------|------------------|
| Παροχή Αιχμής(M3/S) | 686.51 |
| Χρονική στιγμή αιχμής | 02Sep2000, 04:45 |
| Όγκος(MM) | 146.49 |

Απορροή



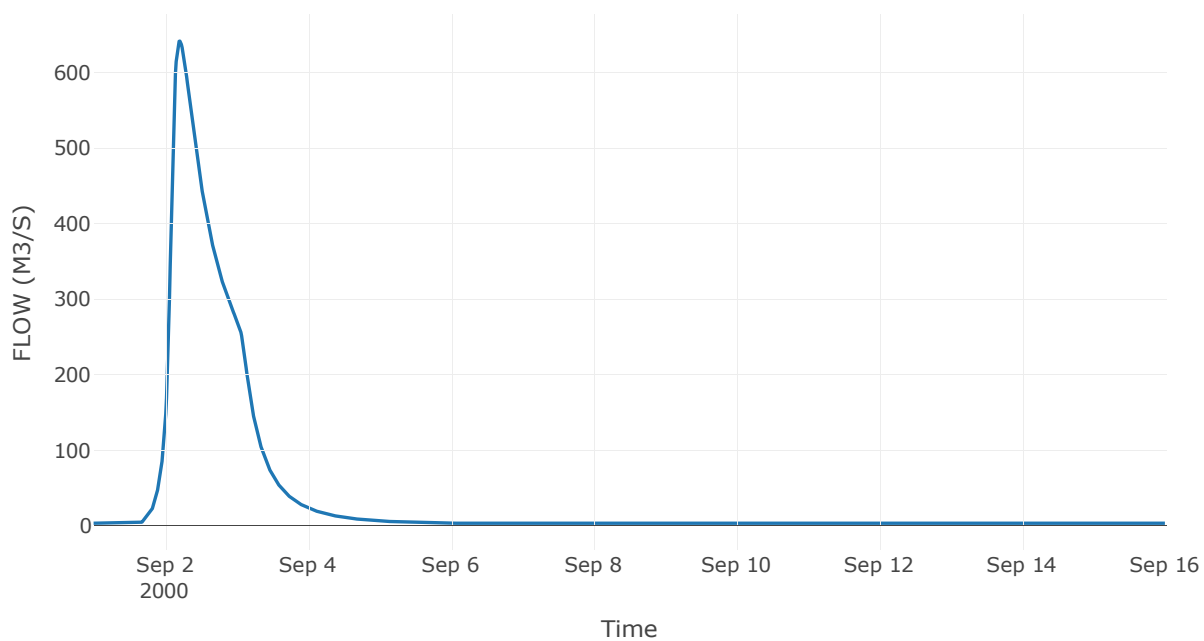
Ταμιευτήρας: J13_RES1

Κατάντη : R1312

Αποτελέσματα: J13_RES1

| | |
|------------------------------|------------------|
| Παροχή Αιχμής(M3/S) | 641.67 |
| Χρονική στιγμή αιχμής | 02Sep2000, 05:00 |
| Όγκος(MM) | 145.43 |
| Παροχή Αιχμής Εισόδου (M3/S) | 1347.89 |
| Time of Peak Inflow | 02Sep2000, 02:00 |
| Όγκος Εισροής (M3) | 4.82E7 |
| Maximum Storage (M3) | 1.66E8 |
| Peak Elevation (M) | 508.86 |
| Discharge Όγκος(M3) | 5.12E7 |

Απορροή



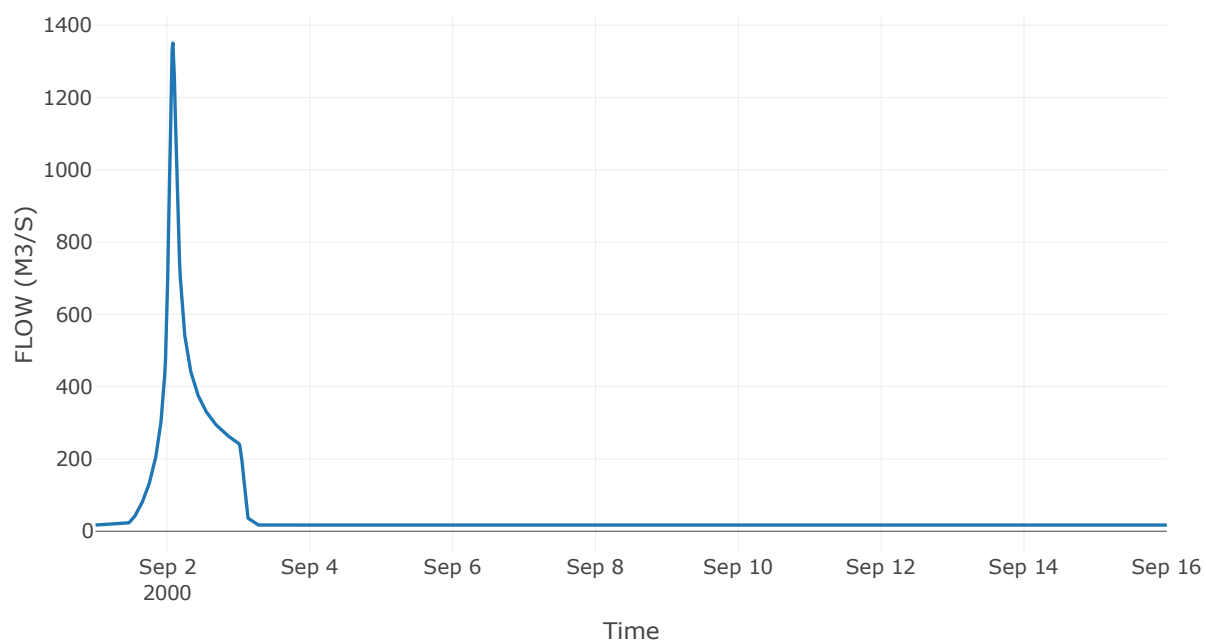
Κόμβος: J14

Κατάντη : R1413

Αποτελέσματα: J14

| | |
|-----------------------|------------------|
| Παροχή Αιχμής(M3/S) | 1351.01 |
| Χρονική στιγμή αιχμής | 02Sep2000, 02:00 |
| Όγκος(MM) | 206.01 |

Απορροή



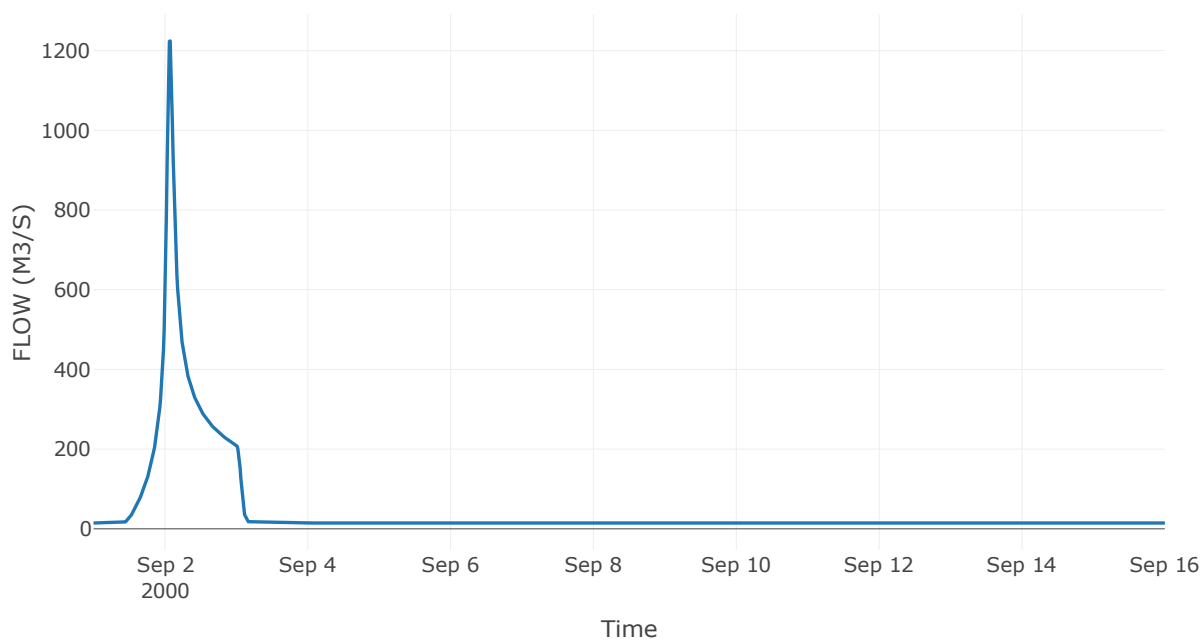
Κόμβος: J15

Κατάντη : R1514

Αποτελέσματα: J15

| | |
|-----------------------|------------------|
| Παροχή Αιχμής(M3/S) | 1224.18 |
| Χρονική στιγμή αιχμής | 02Sep2000, 01:45 |
| Όγκος(MM) | 209.26 |

Απορροή



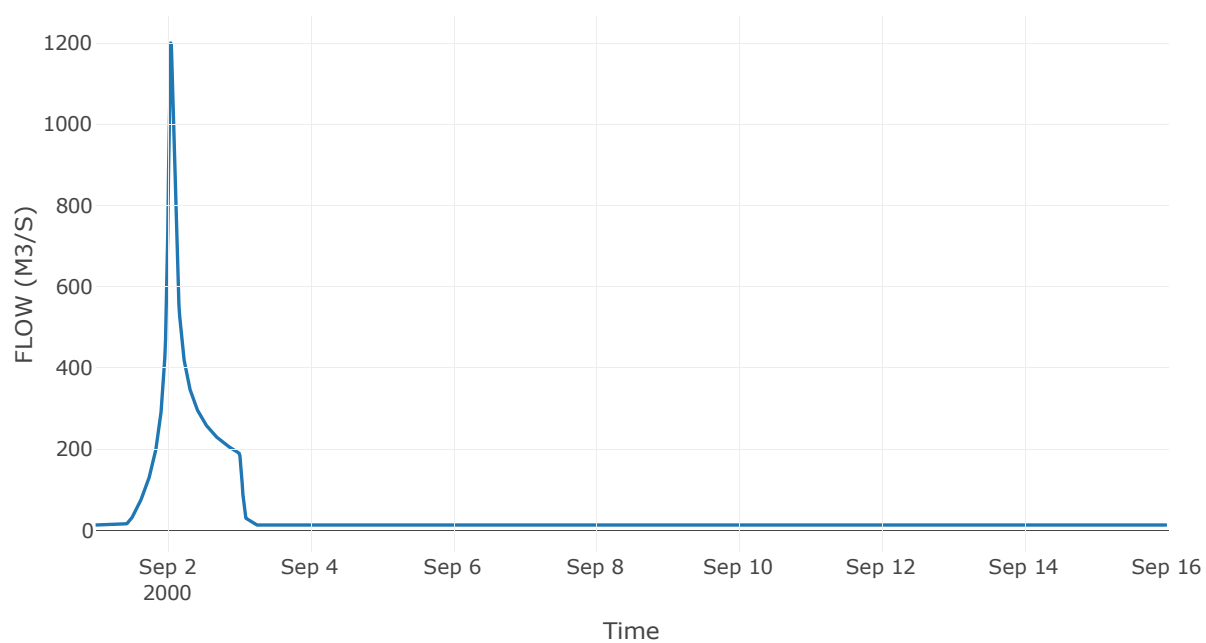
Κόμβος: J16

Κατάντη : R1615

Αποτελέσματα: J16

| | |
|-----------------------|------------------|
| Παροχή Αιχμής(M3/S) | 1199.6 |
| Χρονική στιγμή αιχμής | 02Sep2000, 01:15 |
| Όγκος(MM) | 216 |

Απορροή



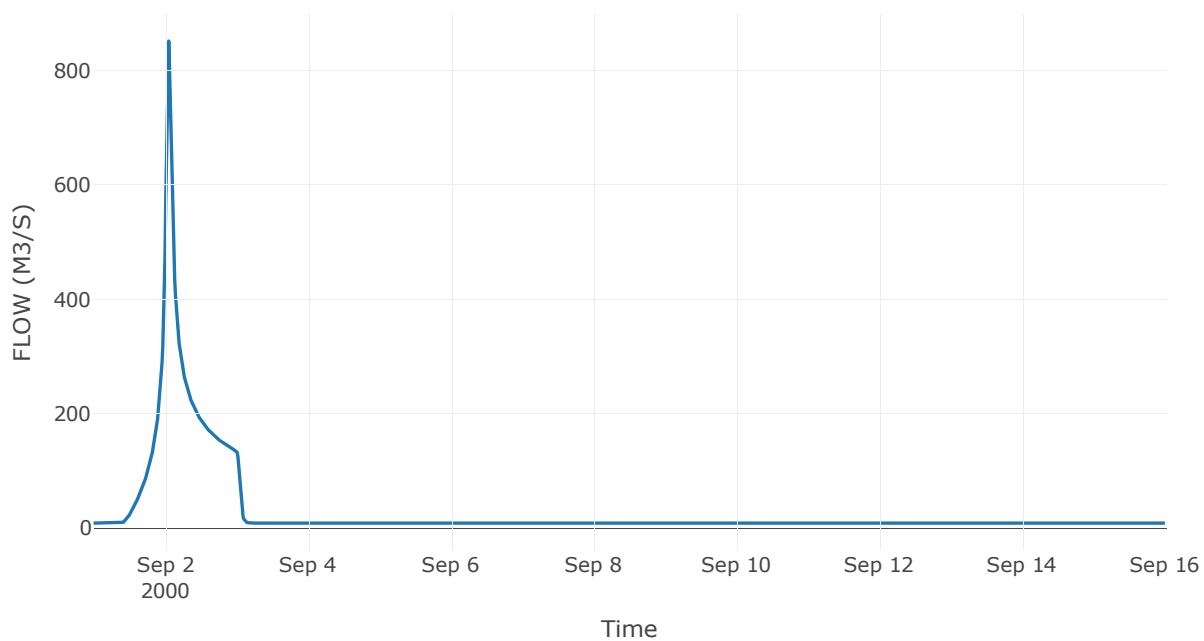
Κόμβος: J17

Κατάντη : R1716

Αποτελέσματα: J17

| | |
|-----------------------|------------------|
| Παροχή Αιχμής(M3/S) | 851.4 |
| Χρονική στιγμή αιχμής | 02Sep2000, 01:15 |
| Όγκος(MM) | 217.24 |

Απορροή



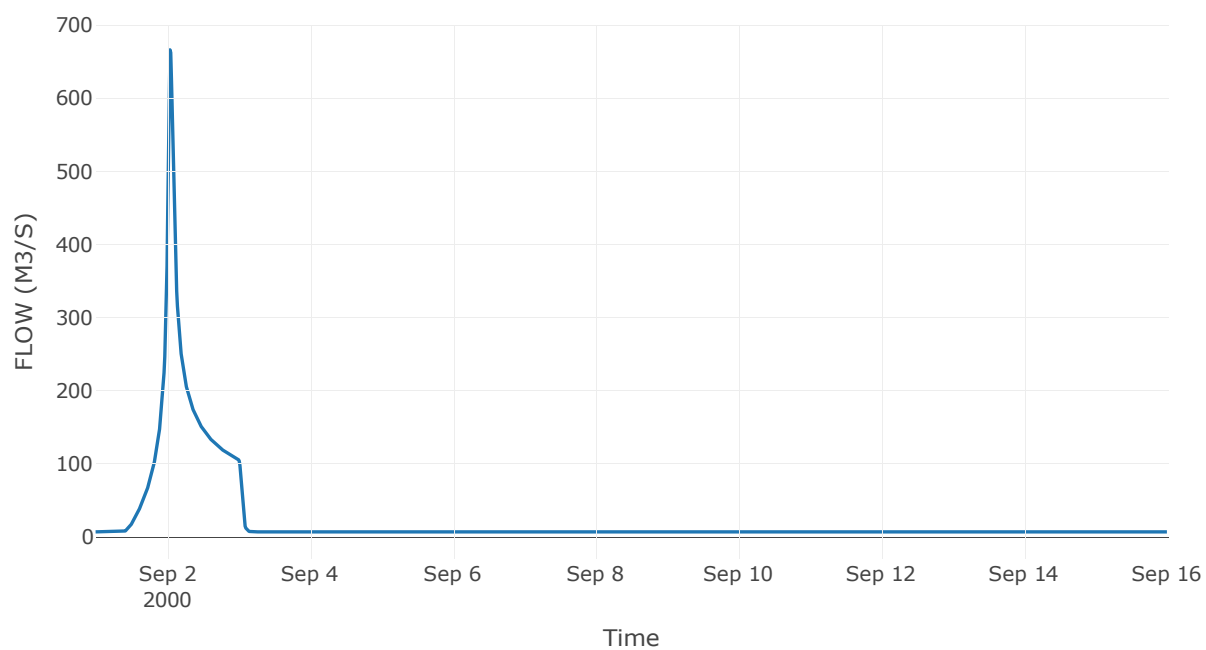
Κόμβος: J18

Κατάντη : R1817

Αποτελέσματα: J18

| | |
|-----------------------|------------------|
| Παροχή Αιχμής(M3/S) | 665.79 |
| Χρονική στιγμή αιχμής | 02Sep2000, 01:00 |
| Όγκος(MM) | 215.35 |

Απορροή



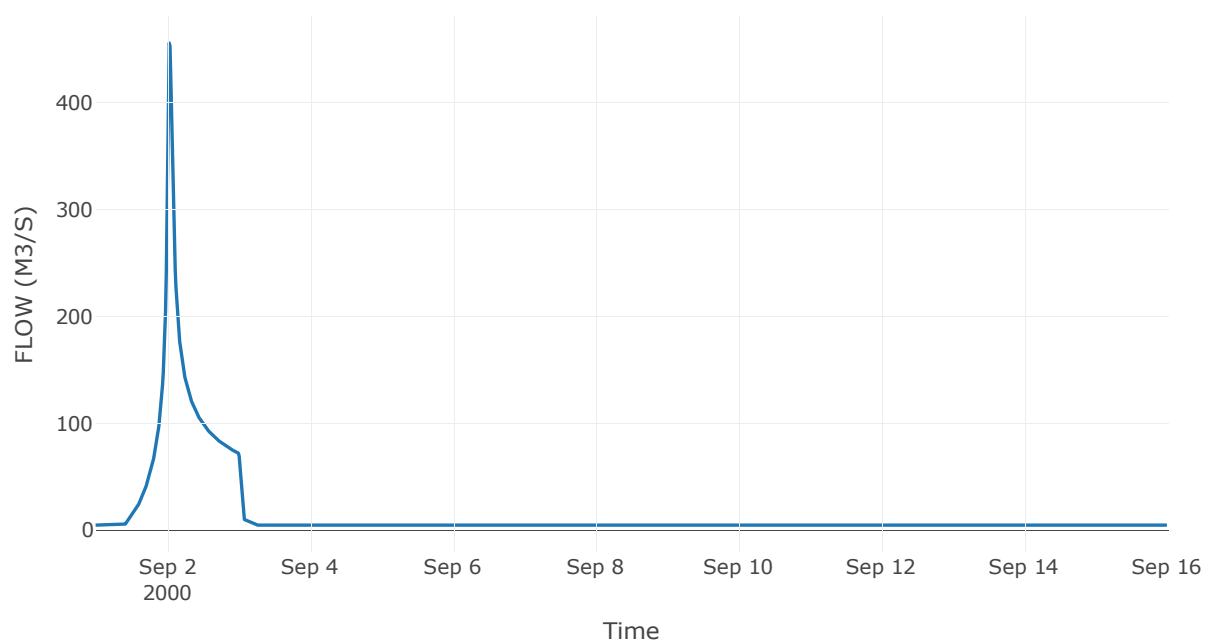
Κόμβος: J19

Κατάντη : R1918

Αποτελέσματα: J19

| | |
|-----------------------|------------------|
| Παροχή Αιχμής(M3/S) | 455.96 |
| Χρονική στιγμή αιχμής | 02Sep2000, 00:45 |
| Όγκος(MM) | 212.66 |

Απορροή



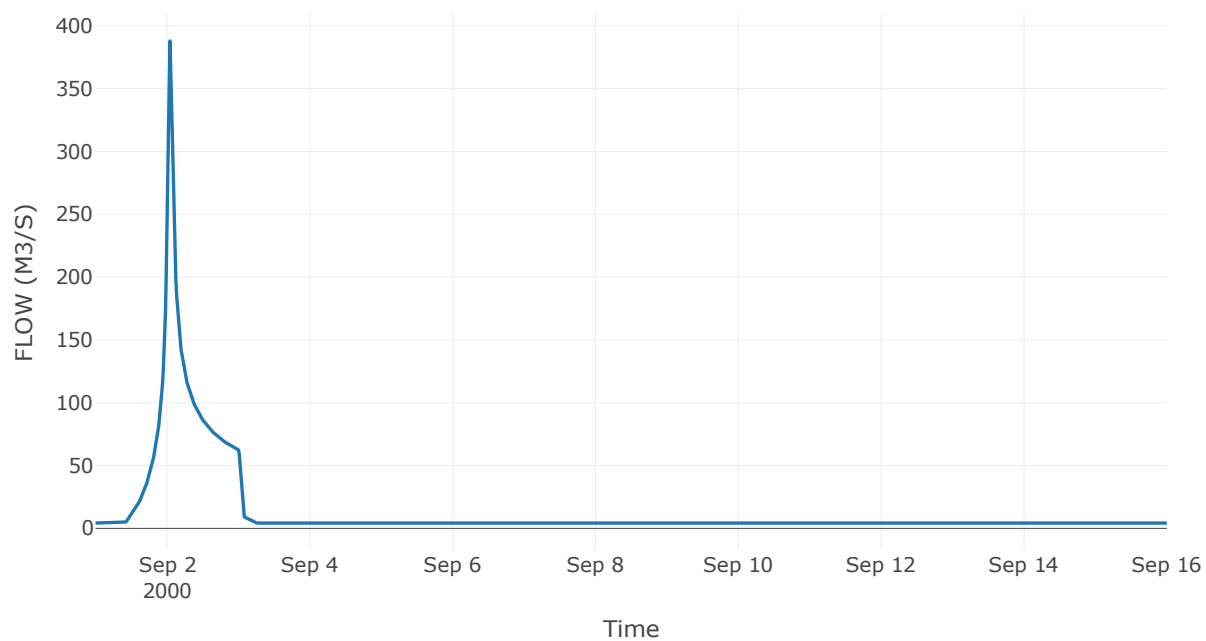
Κόμβος: J20

Κατάντη : R2019

Αποτελέσματα: J20

| | |
|-----------------------|------------------|
| Παροχή Αιχμής(M3/S) | 387.91 |
| Χρονική στιγμή αιχμής | 02Sep2000, 01:00 |
| Όγκος(MM) | 211.03 |

Απορροή



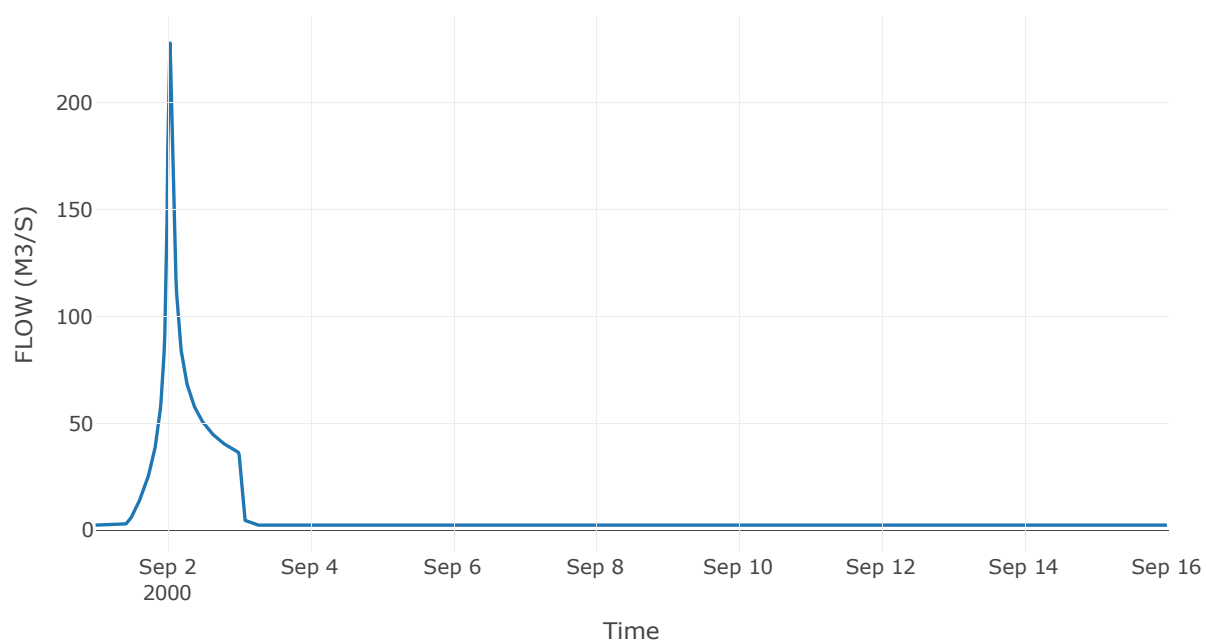
Κόμβος: J21

Κατάντη : R2120

Αποτελέσματα: J21

| | |
|-----------------------|------------------|
| Παροχή Αιχμής(M3/S) | 227.95 |
| Χρονική στιγμή αιχμής | 02Sep2000, 01:00 |
| Όγκος(MM) | 220.67 |

Απορροή



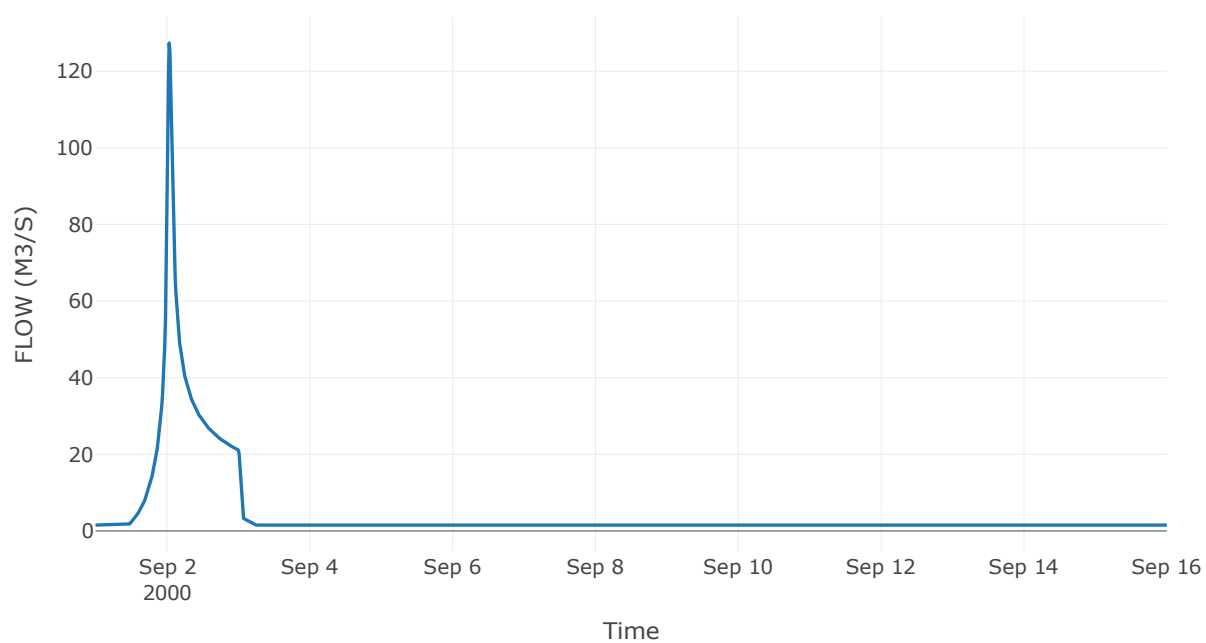
Κόμβος: J22

Κατάντη : R2220

Αποτελέσματα: J22

| | |
|-----------------------|------------------|
| Παροχή Αιχμής(M3/S) | 127.37 |
| Χρονική στιγμή αιχμής | 02Sep2000, 00:45 |
| Όγκος(MM) | 193.09 |

Απορροή



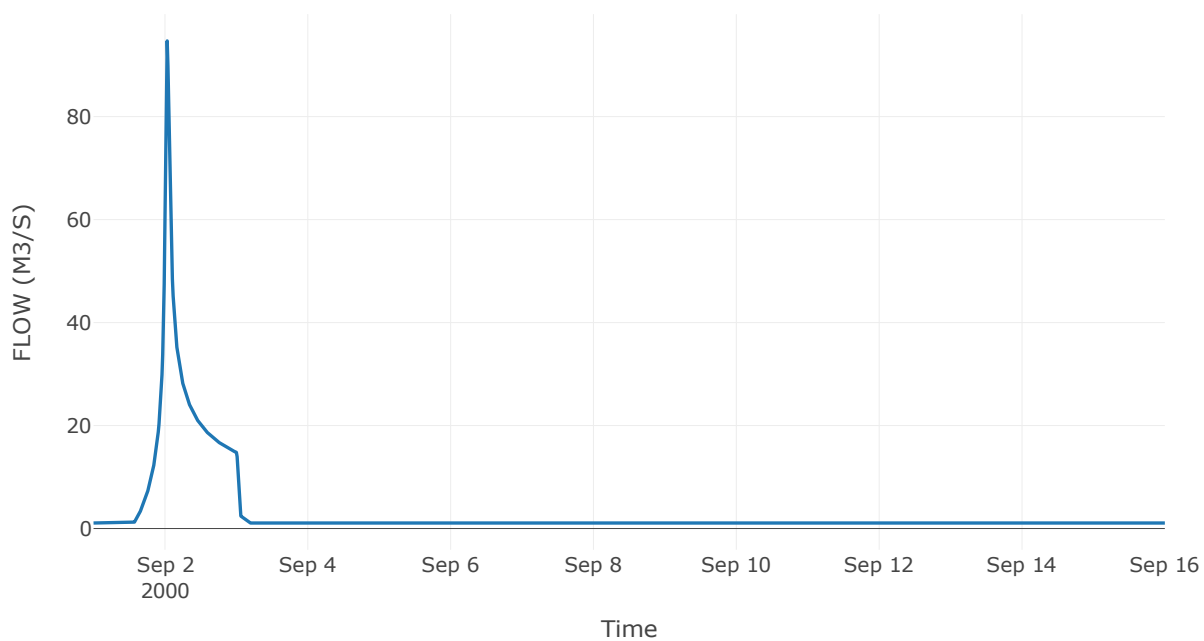
Κόμβος: J23

Κατάντη : R2314

Αποτελέσματα: J23

| | |
|-----------------------|------------------|
| Παροχή Αιχμής(M3/S) | 94.69 |
| Χρονική στιγμή αιχμής | 02Sep2000, 00:45 |
| Όγκος(MM) | 191.23 |

Απορροή



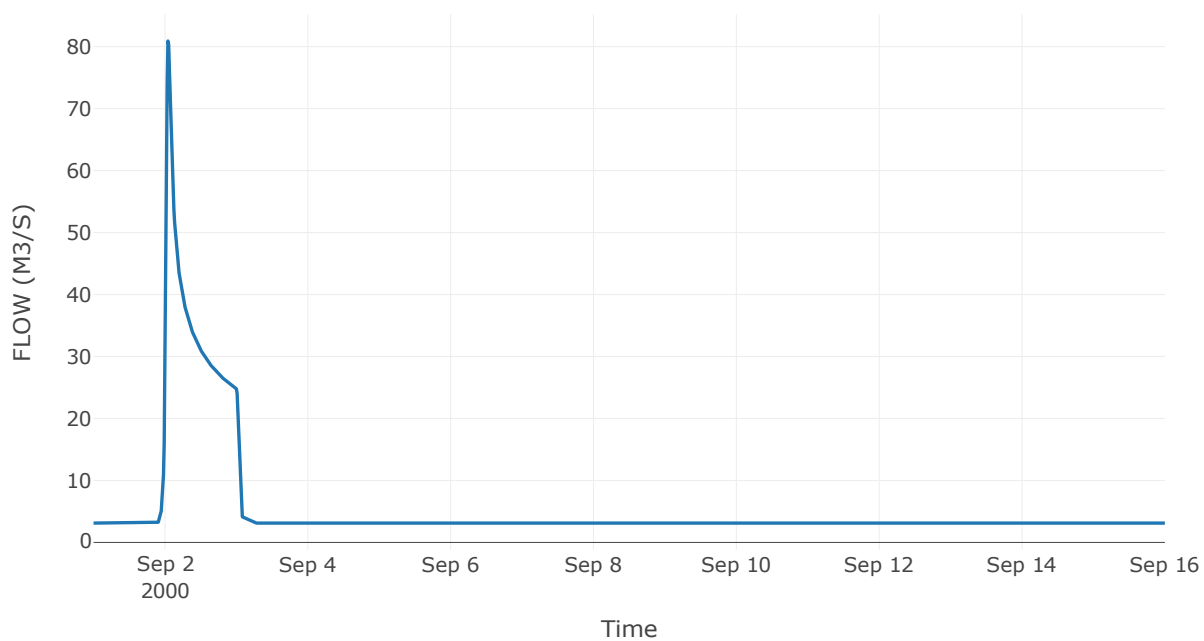
Κόμβος: J24

Κατάντη : R2411

Αποτελέσματα: J24

| | |
|-----------------------|------------------|
| Παροχή Αιχμής(M3/S) | 80.9 |
| Χρονική στιγμή αιχμής | 02Sep2000, 01:00 |
| Όγκος(MM) | 112.22 |

Απορροή



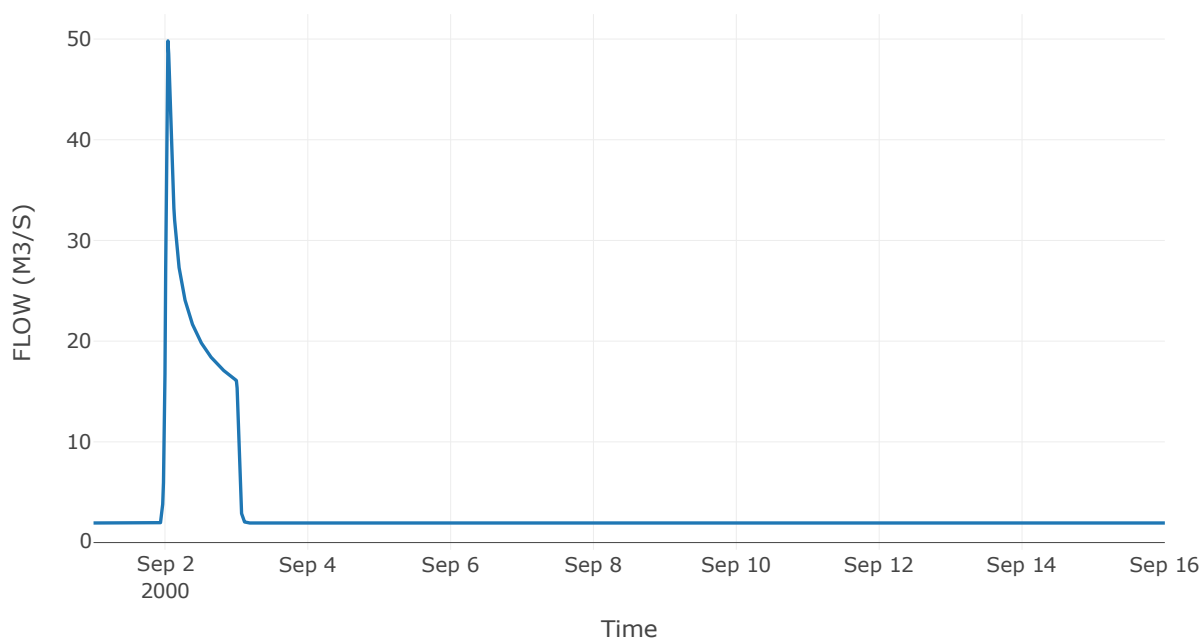
Κόμβος: J25

Κατάντη : R2524

Αποτελέσματα: J25

| | |
|-----------------------|------------------|
| Παροχή Αιχμής(M3/S) | 49.82 |
| Χρονική στιγμή αιχμής | 02Sep2000, 01:00 |
| Όγκος(MM) | 112.93 |

Απορροή



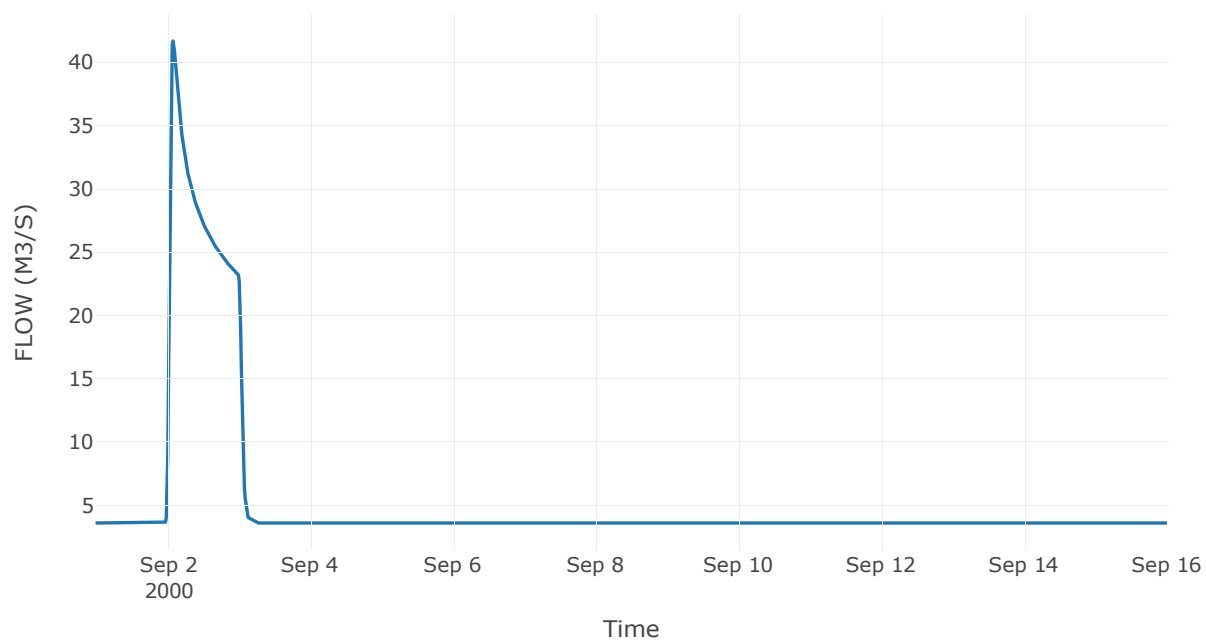
Κόμβος: J26

Κατάντη : R2610

Αποτελέσματα: J26

| | |
|-----------------------|------------------|
| Παροχή Αιχμής(M3/S) | 41.68 |
| Χρονική στιγμή αιχμής | 02Sep2000, 02:00 |
| Όγκος(MM) | 95.74 |

Απορροή



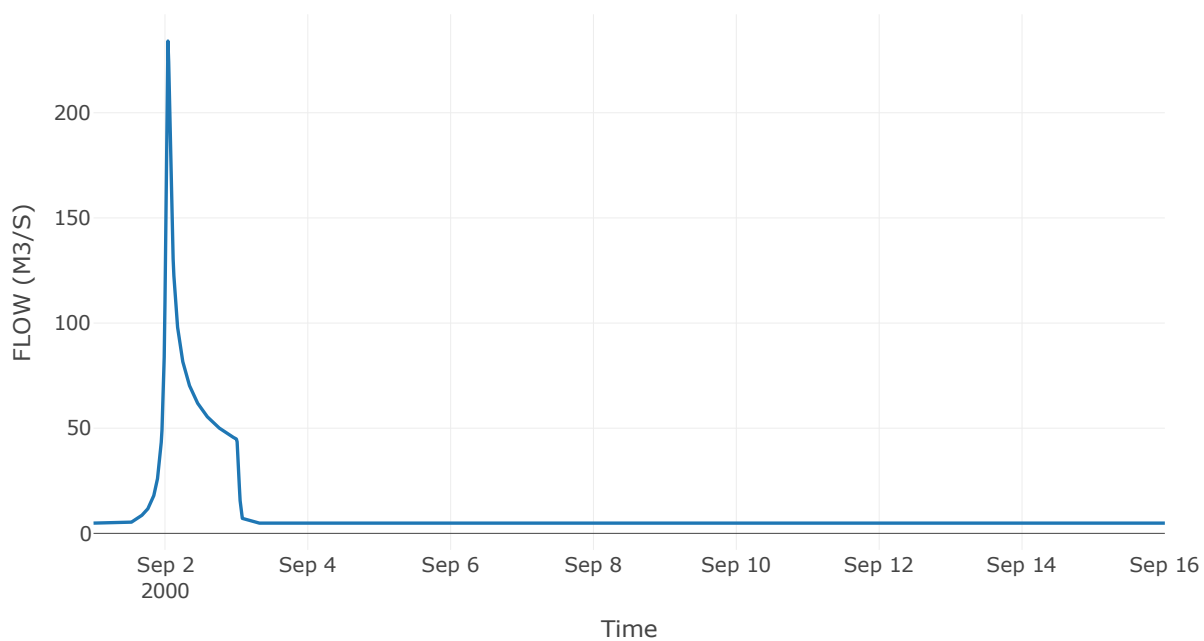
Κόμβος: J27

Κατάντη : R278

Αποτελέσματα: J27

| | |
|-----------------------|------------------|
| Παροχή Αιχμής(M3/S) | 234.09 |
| Χρονική στιγμή αιχμής | 02Sep2000, 01:00 |
| Όγκος(MM) | 136.4 |

Απορροή



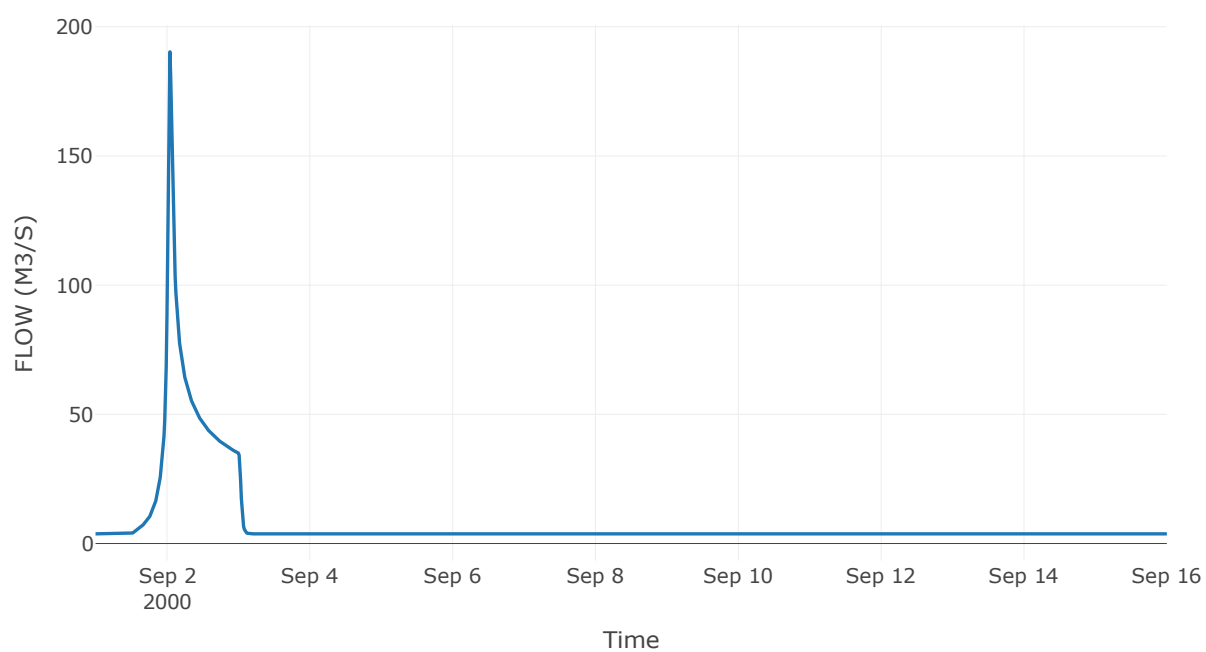
Κόμβος: J28

Κατάντη : R2827

Αποτελέσματα: J28

| | |
|-----------------------|------------------|
| Παροχή Αιχμής(M3/S) | 190.31 |
| Χρονική στιγμή αιχμής | 02Sep2000, 01:00 |
| Όγκος(MM) | 139.48 |

Απορροή



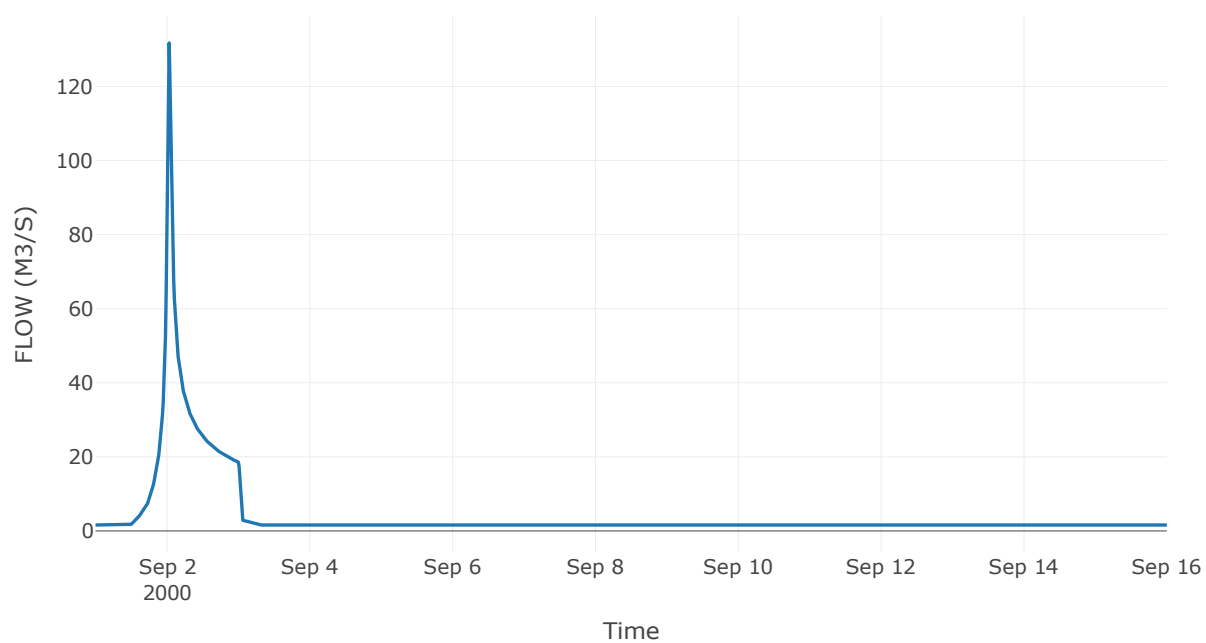
Κόμβος: J29

Κατάντη : R2928

Αποτελέσματα: J29

| | |
|-----------------------|------------------|
| Παροχή Αιχμής(M3/S) | 131.75 |
| Χρονική στιγμή αιχμής | 02Sep2000, 00:45 |
| Όγκος(MM) | 174.97 |

Απορροή



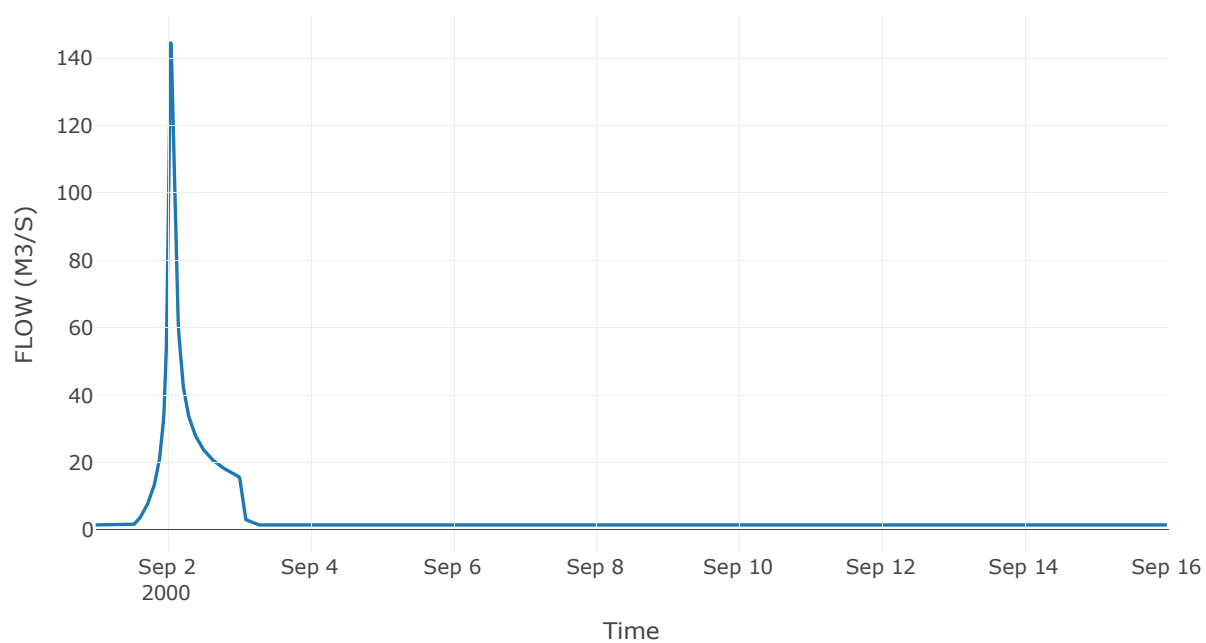
Κόμβος: J30

Κατάντη : R302

Αποτελέσματα: J30

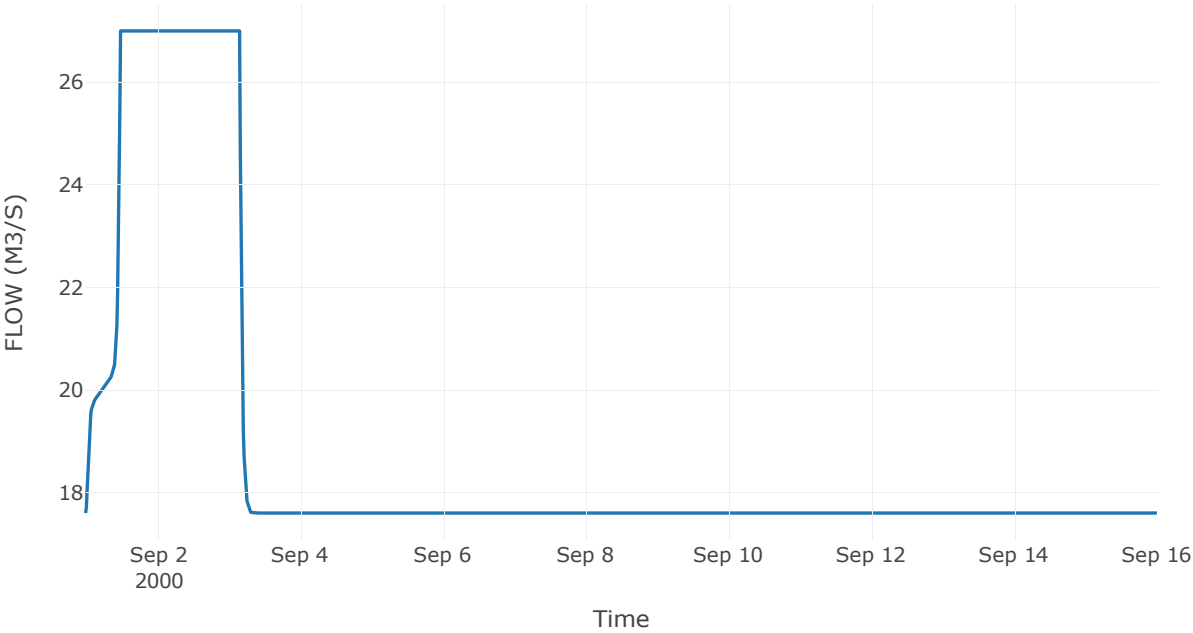
| | |
|-----------------------|------------------|
| Παροχή Αιχμής(M3/S) | 144.52 |
| Χρονική στιγμή αιχμής | 02Sep2000, 01:15 |
| Όγκος(MM) | 190.2 |

Απορροή



| | |
|-----------------------|------------------|
| Παροχή Αιχμής(M3/S) | 27 |
| Χρονική στιγμή αιχμής | 01Sep2000, 11:45 |

Απορροή



7 Δεδομένα εισόδου και αποτελέσματα υδρολογικού σεναρίου T=100U

7.1 Αποτελέσματα, υετογραφήματα και υδρογραφήματα σχεδιασμού υπολεκάνων

Υπολεκάνη: EL0420FR4001

Έκταση (KM2) : 23.03

Κατάντη : J1

Μέθοδος Απωλειών: SCS

| | |
|--------------------------------|-------|
| Ποσοστό αδιαπέρατης επιφάνειας | 0 |
| Αριθμός Καμπύλης Απορροής-CN | 89.31 |
| Αρχικές Απώλειες | 6.08 |

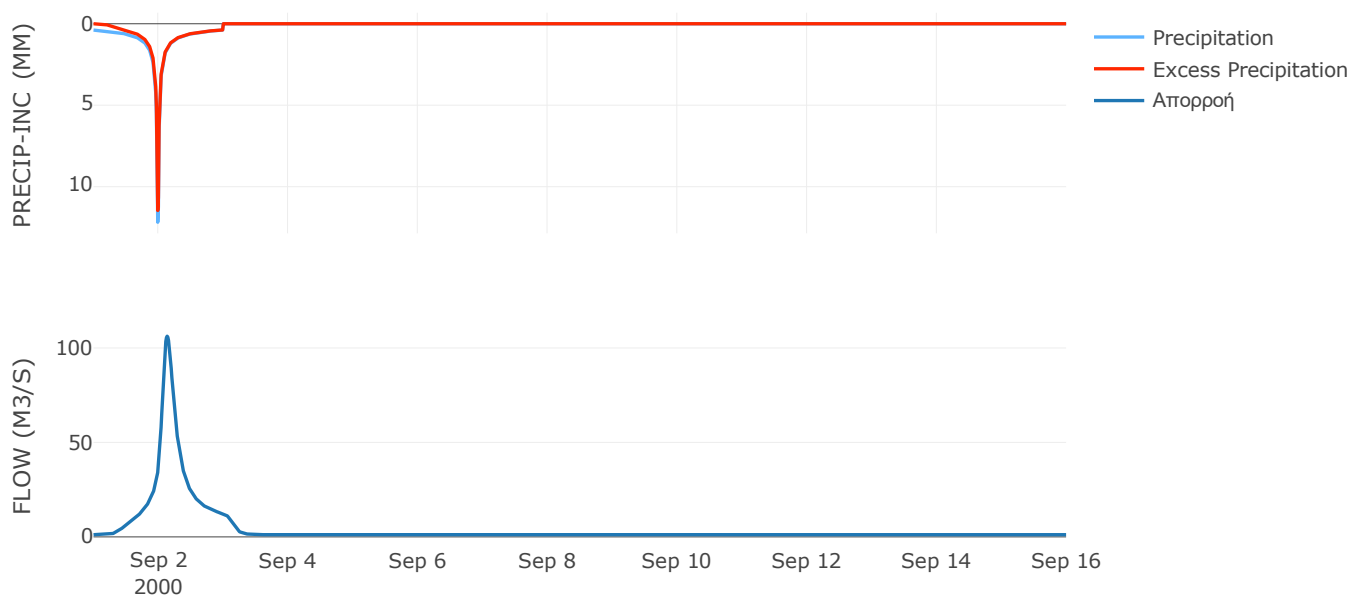
Μέθοδος Μετασχηματισμού: SCS

| | |
|------------------|--------|
| Χρόνος Υστέρησης | 188.08 |
|------------------|--------|

Αποτελέσματα:
EL0420FR4001

| | |
|-----------------------------|------------------|
| Παροχή αιχμής (M3/S) | 106.23 |
| Χρονική στιγμή αιχμής | 02Sep2000, 03:15 |
| Όγκος (MM) | 240.56 |
| Όγκος βροχόπτωσης (M3) | 4.8E6 |
| Όγκος απωλειών (M3) | 7.49E5 |
| Ενεργός Όγκος (M3) | 4.05E6 |
| Όγκος άμεσης απορροής (M3) | 4.05E6 |
| Όγκος βασικής απορροής (M3) | 1.49E6 |

Βροχόπτωση και Απορροή



Υπολεκάνη: EL0420FR4002

Έκταση (KM2) : 14.69

Κατάντη : J2

Μέθοδος Απωλειών: SCS

| | |
|--------------------------------|-------|
| Ποσοστό αδιαπέρατης επιφάνειας | 0 |
| Αριθμός Καμπύλης Απορροής-CN | 91.07 |
| Αρχικές Απώλειες | 4.98 |

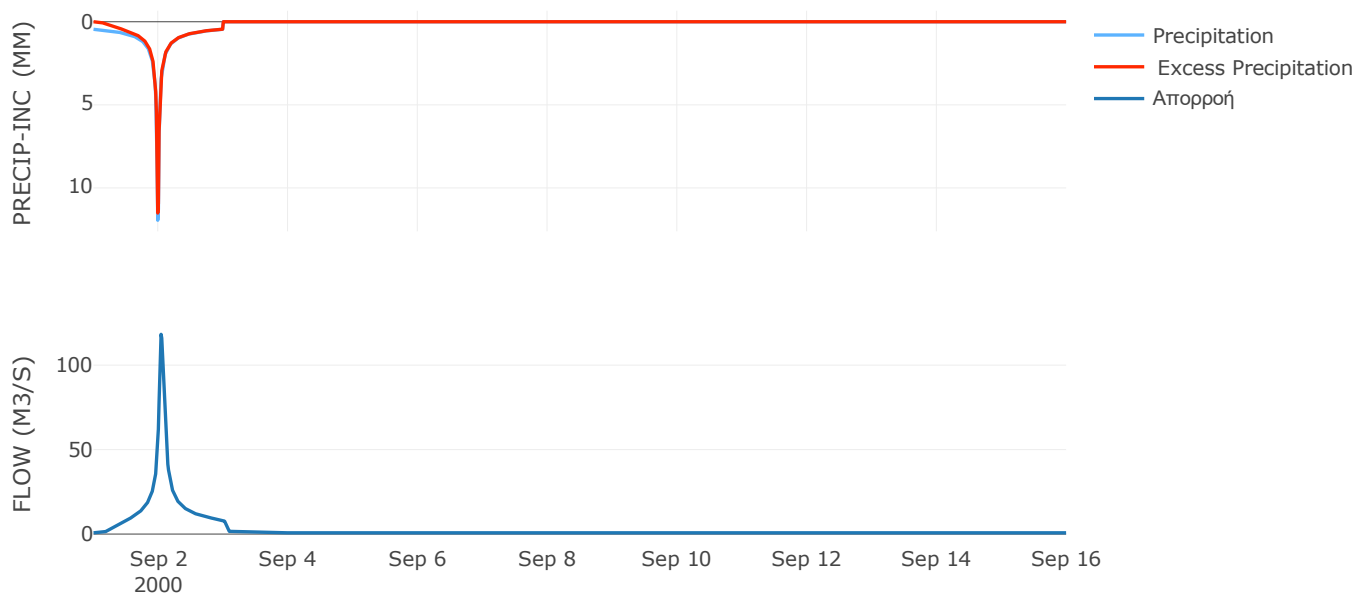
Μέθοδος Μετασχηματισμού: SCS

| | |
|------------------|-------|
| Χρόνος Υστέρησης | 61.66 |
|------------------|-------|

Αποτελέσματα:
EL0420FR4002

| | |
|-----------------------------|------------------|
| Παροχή αιχμής (M3/S) | 118.24 |
| Χρονική στιγμή αιχμής | 02Sep2000, 01:00 |
| Όγκος (MM) | 265.52 |
| Όγκος βροχόπτωσης (M3) | 3.35E6 |
| Όγκος απωλειών (M3) | 4.02E5 |
| Ενεργός Όγκος (M3) | 2.95E6 |
| Όγκος άμεσης απορροής (M3) | 2.95E6 |
| Όγκος βασικής απορροής (M3) | 9.52E5 |

Βροχόπτωση και Απορροή



Υπολεκάνη: EL0420FR4003

Έκταση (KM2) : 18.27

Κατάντη : J3

Μέθοδος Απωλειών: SCS

| | |
|--------------------------------|-------|
| Ποσοστό αδιαπέρατης επιφάνειας | 0 |
| Αριθμός Καμπύλης Απορροής-CN | 87.53 |
| Αρχικές Απώλειες | 7.24 |

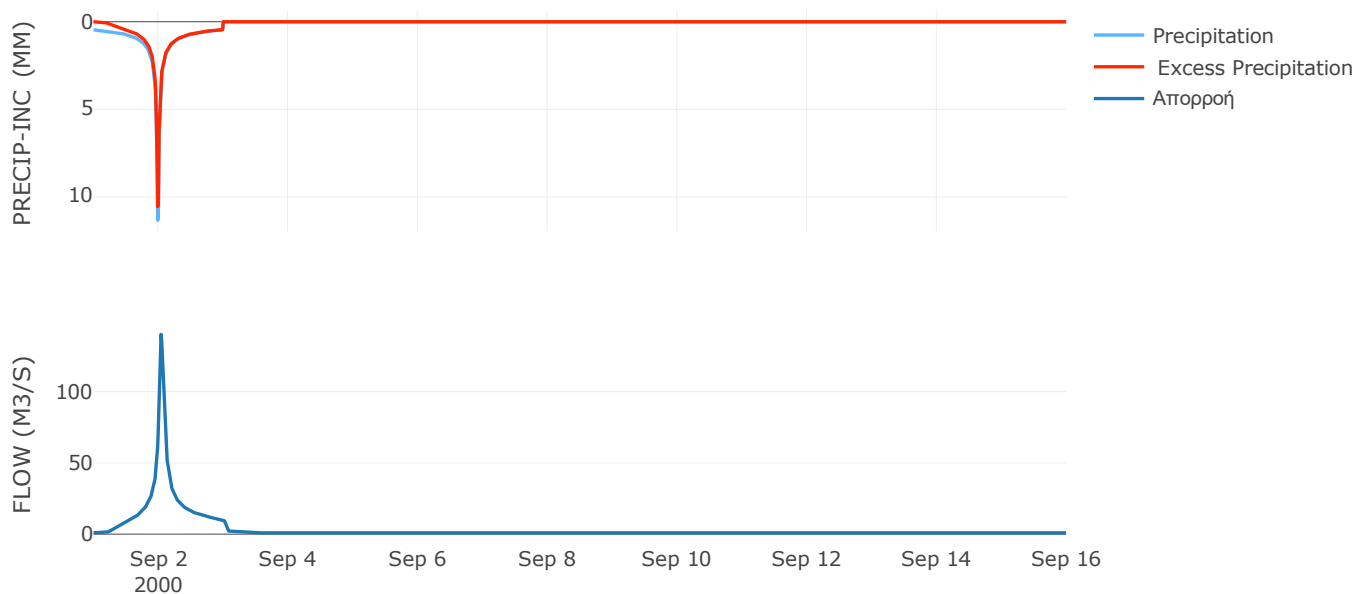
Μέθοδος Μετασχηματισμού: SCS

| | |
|------------------|------|
| Χρόνος Υστέρησης | 57.4 |
|------------------|------|

Αποτελέσματα:
EL0420FR4003

| | |
|-----------------------------|------------------|
| Παροχή αιχμής (M3/S) | 140.25 |
| Χρονική στιγμή αιχμής | 02Sep2000, 01:00 |
| Όγκος (MM) | 251.9 |
| Όγκος βροχόπτωσης (M3) | 4.12E6 |
| Όγκος απωλειών (M3) | 6.99E5 |
| Ενεργός Όγκος (M3) | 3.42E6 |
| Όγκος άμεσης απορροής (M3) | 3.42E6 |
| Όγκος βασικής απορροής (M3) | 1.18E6 |

Βροχόπτωση και Απορροή



Υπολεκάνη: EL0420FR4004

Έκταση (KM2) : 43.51

Κατάντη : J4

Μέθοδος Απωλειών: SCS

| | |
|--------------------------------|-------|
| Ποσοστό αδιαπέρατης επιφάνειας | 0 |
| Αριθμός Καμπύλης Απορροής-CN | 90.69 |
| Αρχικές Απώλειες | 5.22 |

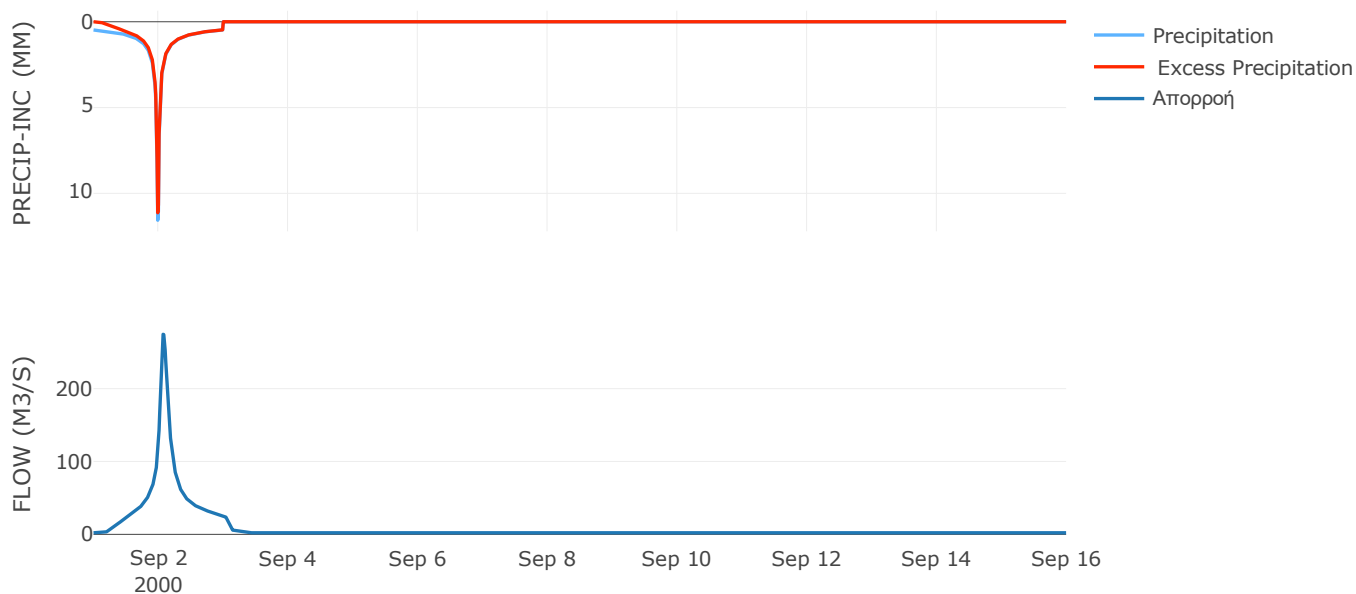
Μέθοδος Μετασχηματισμού: SCS

| | |
|------------------|--------|
| Χρόνος Υστέρησης | 107.99 |
|------------------|--------|

Αποτελέσματα:
EL0420FR4004

| | |
|-----------------------------|------------------|
| Παροχή αιχμής (M3/S) | 274.53 |
| Χρονική στιγμή αιχμής | 02Sep2000, 01:45 |
| Όγκος (MM) | 269.8 |
| Όγκος βροχόπτωσης (M3) | 1.02E7 |
| Όγκος απωλειών (M3) | 1.25E6 |
| Ενεργός Όγκος (M3) | 8.92E6 |
| Όγκος άμεσης απορροής (M3) | 8.92E6 |
| Όγκος βασικής απορροής (M3) | 2.82E6 |

Βροχόπτωση και Απορροή



Υπολεκάνη: EL0420FR4005

Έκταση (KM2) : 48.87

Κατάντη : J5

Μέθοδος Απωλειών: SCS

| | |
|--------------------------------|-------|
| Ποσοστό αδιαπέρατης επιφάνειας | 0 |
| Αριθμός Καμπύλης Απορροής-CN | 81.52 |
| Αρχικές Απώλειες | 11.52 |

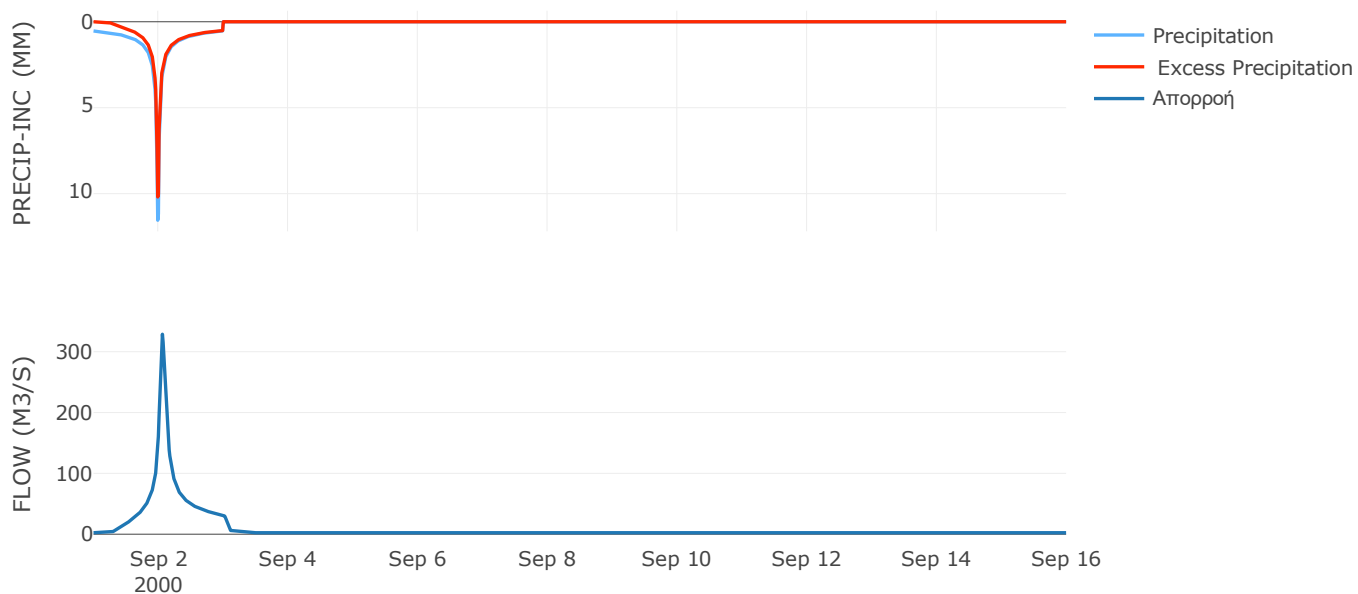
Μέθοδος Μετασχηματισμού: SCS

| | |
|------------------|-------|
| Χρόνος Υστέρησης | 79.18 |
|------------------|-------|

Αποτελέσματα:
EL0420FR4005

| | |
|-----------------------------|------------------|
| Παροχή αιχμής (M3/S) | 328.76 |
| Χρονική στιγμή αιχμής | 02Sep2000, 01:30 |
| Όγκος (MM) | 257.74 |
| Όγκος βροχόπτωσης (M3) | 1.23E7 |
| Όγκος απωλειών (M3) | 2.83E6 |
| Ενεργός Όγκος (M3) | 9.43E6 |
| Όγκος άμεσης απορροής (M3) | 9.43E6 |
| Όγκος βασικής απορροής (M3) | 3.17E6 |

Βροχόπτωση και Απορροή



Υπολεκάνη: EL0420FR4006

Έκταση (KM2) : 0.82

Κατάντη : J6

Μέθοδος Απωλειών: SCS

| | |
|--------------------------------|-------|
| Ποσοστό αδιαπέρατης επιφάνειας | 0 |
| Αριθμός Καμπύλης Απορροής-CN | 73.67 |
| Αρχικές Απώλειες | 18.16 |

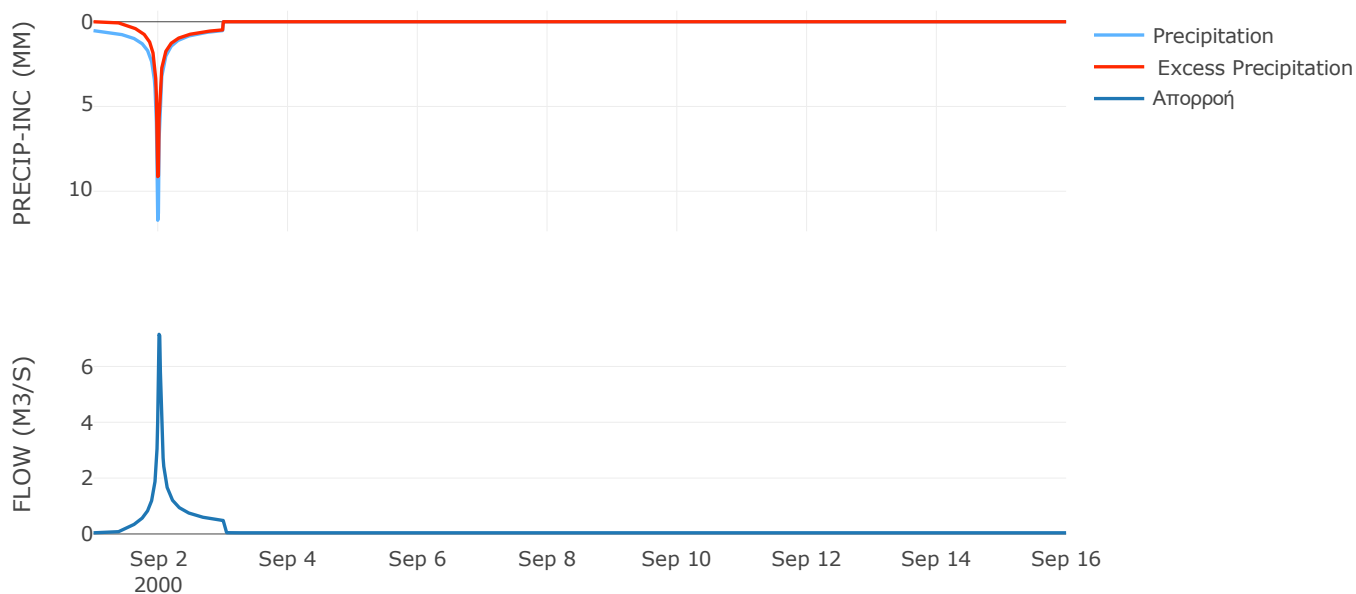
Μέθοδος Μετασχηματισμού: SCS

| | |
|------------------|-------|
| Χρόνος Υστέρησης | 19.57 |
|------------------|-------|

Αποτελέσματα:
EL0420FR4006

| | |
|-----------------------------|------------------|
| Παροχή αιχμής (M3/S) | 7.15 |
| Χρονική στιγμή αιχμής | 02Sep2000, 00:15 |
| Όγκος (MM) | 230.46 |
| Όγκος βροχόπτωσης (M3) | 2.04E5 |
| Όγκος απωλειών (M3) | 68125.59 |
| Ενεργός Όγκος (M3) | 1.35E5 |
| Όγκος άμεσης απορροής (M3) | 1.35E5 |
| Όγκος βασικής απορροής (M3) | 52990.85 |

Βροχόπτωση και Απορροή



Υπολεκάνη: EL0420FR4007

Έκταση (KM2) : 16.52

Κατάντη : J7

Μέθοδος Απωλειών: SCS

| | |
|--------------------------------|-------|
| Ποσοστό αδιαπέρατης επιφάνειας | 0 |
| Αριθμός Καμπύλης Απορροής-CN | 78.11 |
| Αρχικές Απώλειες | 14.24 |

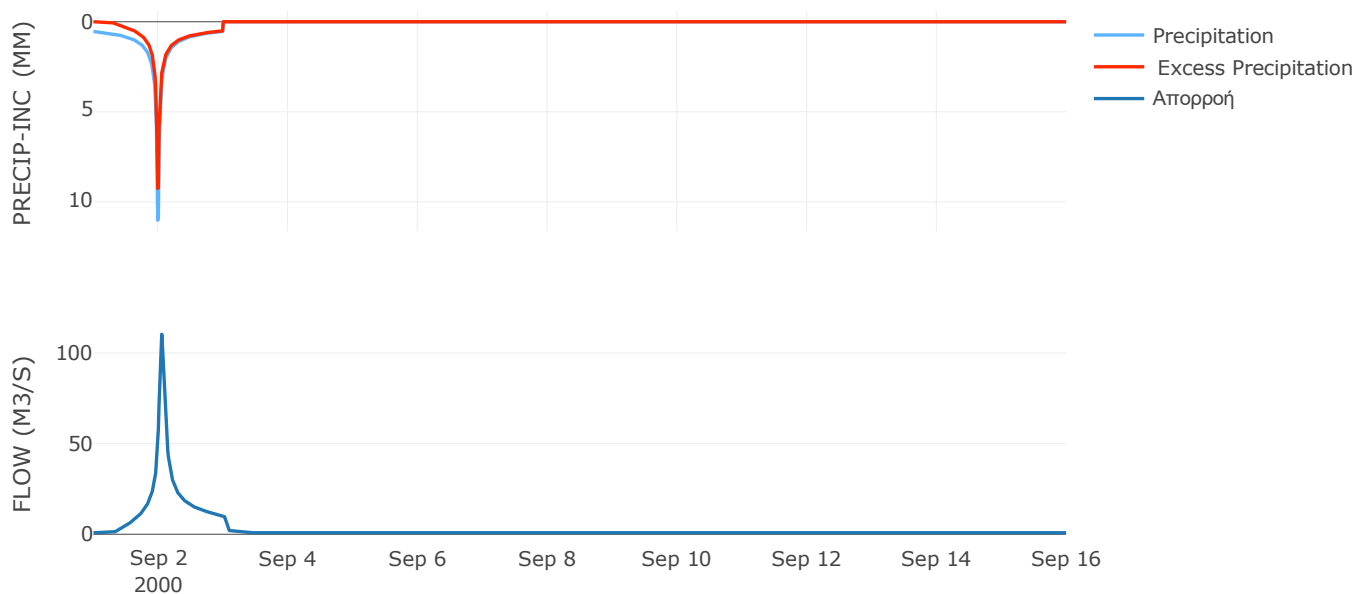
Μέθοδος Μετασχηματισμού: SCS

| | |
|------------------|-------|
| Χρόνος Υστέρησης | 63.93 |
|------------------|-------|

Αποτελέσματα:
EL0420FR4007

| | |
|-----------------------------|------------------|
| Παροχή αιχμής (M3/S) | 110.35 |
| Χρονική στιγμή αιχμής | 02Sep2000, 01:15 |
| Όγκος (MM) | 244.17 |
| Όγκος βροχόπτωσης (M3) | 4.1E6 |
| Όγκος απωλειών (M3) | 1.14E6 |
| Ενεργός Όγκος (M3) | 2.96E6 |
| Όγκος άμεσης απορροής (M3) | 2.96E6 |
| Όγκος βασικής απορροής (M3) | 1.07E6 |

Βροχόπτωση και Απορροή



Υπολεκάνη: EL0420FR4008

Έκταση (KM2) : 12.7

Κατάντη : J8

Μέθοδος Απωλειών: SCS

| | |
|--------------------------------|-------|
| Ποσοστό αδιαπέρατης επιφάνειας | 0 |
| Αριθμός Καμπύλης Απορροής-CN | 76.84 |
| Αρχικές Απώλειες | 15.31 |

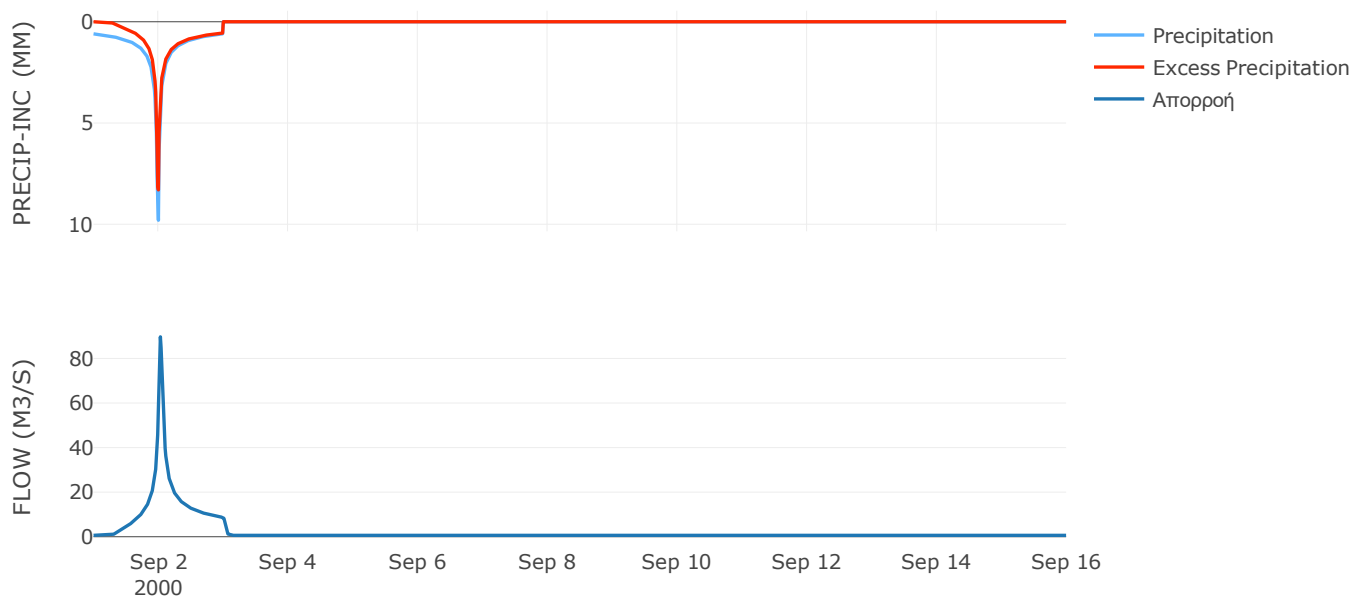
Μέθοδος Μετασχηματισμού: SCS

| | |
|------------------|-------|
| Χρόνος Υστέρησης | 41.01 |
|------------------|-------|

Αποτελέσματα:
EL0420FR4008

| | |
|-----------------------------|------------------|
| Παροχή αιχμής (M3/S) | 89.7 |
| Χρονική στιγμή αιχμής | 02Sep2000, 00:45 |
| Όγκος (MM) | 246.69 |
| Όγκος βροχόπτωσης (M3) | 3.24E6 |
| Όγκος απωλειών (M3) | 9.32E5 |
| Ενεργός Όγκος (M3) | 2.31E6 |
| Όγκος άμεσης απορροής (M3) | 2.31E6 |
| Όγκος βασικής απορροής (M3) | 8.23E5 |

Βροχόπτωση και Απορροή



Υπολεκάνη: EL0420FR4009

Έκταση (KM2) : 5.92

Κατάντη : J9

Μέθοδος Απωλειών: SCS

| | |
|--------------------------------|-------|
| Ποσοστό αδιαπέρατης επιφάνειας | 0 |
| Αριθμός Καμπύλης Απορροής-CN | 80.05 |
| Αρχικές Απώλειες | 12.66 |

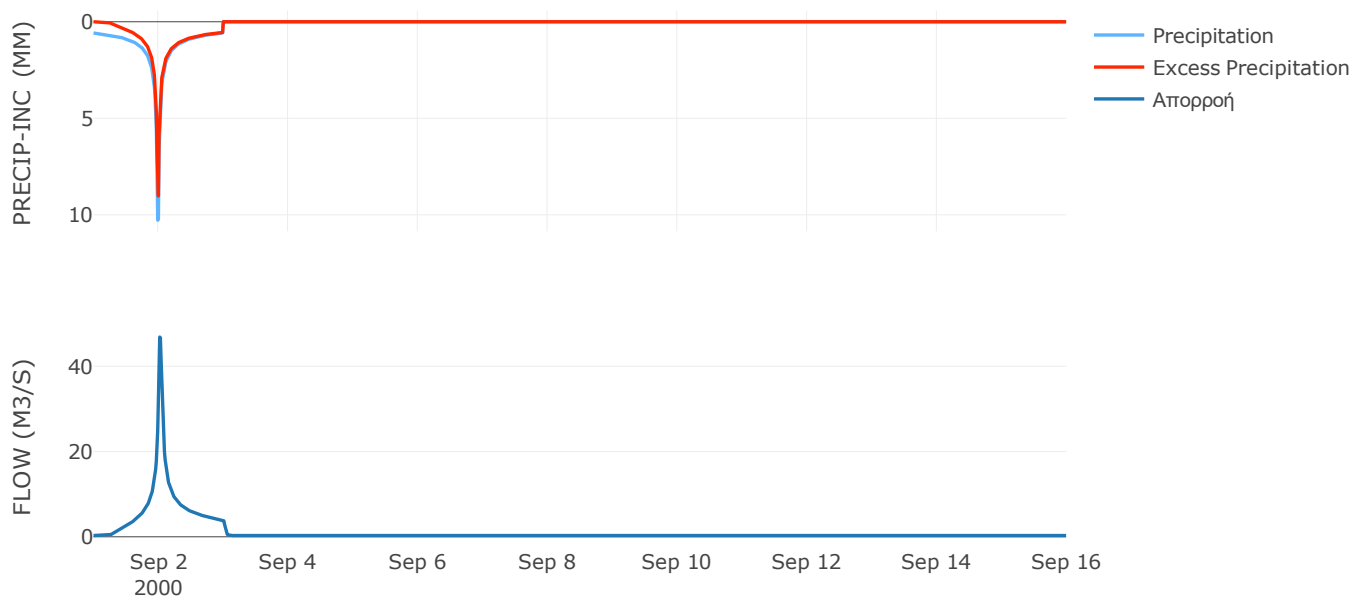
Μέθοδος Μετασχηματισμού: SCS

| | |
|------------------|------|
| Χρόνος Υστέρησης | 34.6 |
|------------------|------|

Αποτελέσματα:
EL0420FR4009

| | |
|-----------------------------|------------------|
| Παροχή αιχμής (M3/S) | 46.86 |
| Χρονική στιγμή αιχμής | 02Sep2000, 00:30 |
| Όγκος (MM) | 256.88 |
| Όγκος βροχόπτωσης (M3) | 1.51E6 |
| Όγκος απωλειών (M3) | 3.72E5 |
| Ενεργός Όγκος (M3) | 1.14E6 |
| Όγκος άμεσης απορροής (M3) | 1.14E6 |
| Όγκος βασικής απορροής (M3) | 3.84E5 |

Βροχόπτωση και Απορροή



Υπολεκάνη: EL0420FR4010

Έκταση (KM2) : 2.67

Κατάντη : J10

Μέθοδος Απωλειών: SCS

| | |
|--------------------------------|-------|
| Ποσοστό αδιαπέρατης επιφάνειας | 0 |
| Αριθμός Καμπύλης Απορροής-CN | 76.34 |
| Αρχικές Απώλειες | 15.74 |

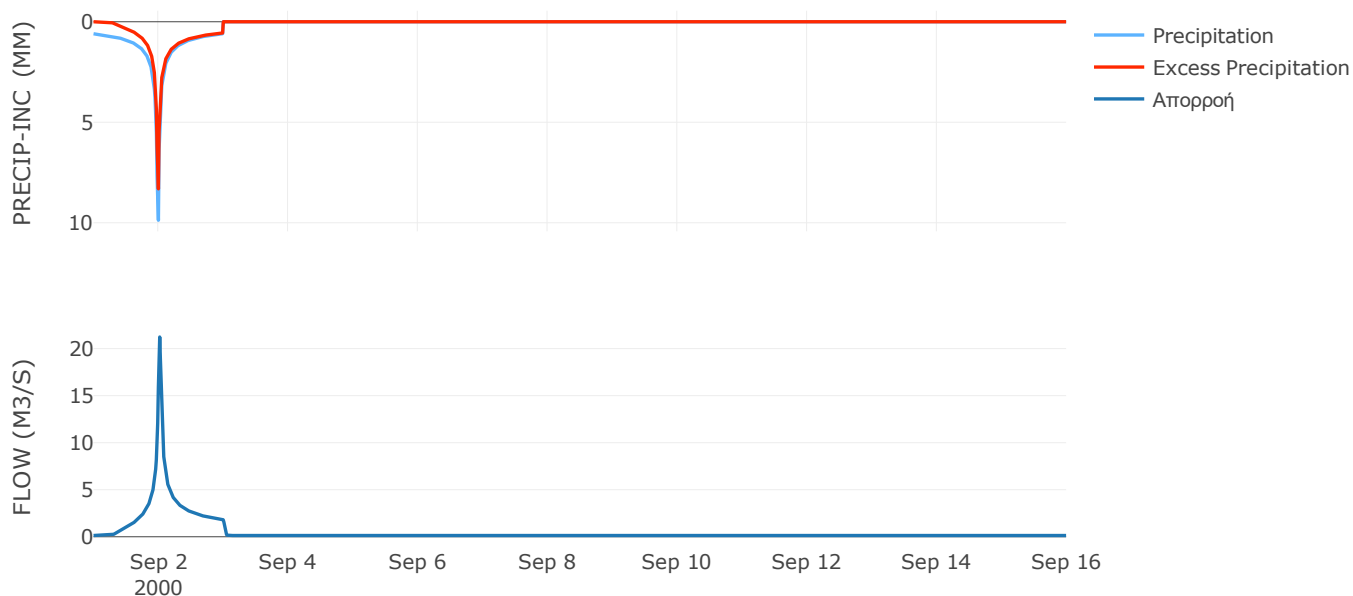
Μέθοδος Μετασχηματισμού: SCS

| | |
|------------------|-------|
| Χρόνος Υστέρησης | 24.26 |
|------------------|-------|

Αποτελέσματα:
EL0420FR4010

| | |
|-----------------------------|------------------|
| Παροχή αιχμής (M3/S) | 21.23 |
| Χρονική στιγμή αιχμής | 02Sep2000, 00:30 |
| Όγκος (MM) | 245.82 |
| Όγκος βροχόπτωσης (M3) | 6.84E5 |
| Όγκος απωλειών (M3) | 2E5 |
| Ενεργός Όγκος (M3) | 4.83E5 |
| Όγκος άμεσης απορροής (M3) | 4.83E5 |
| Όγκος βασικής απορροής (M3) | 1.73E5 |

Βροχόπτωση και Απορροή



Υπολεκάνη: EL0420FR4011

Έκταση (KM2) : 55.39

Κατάντη : J11

Μέθοδος Απωλειών: SCS

| | |
|--------------------------------|-------|
| Ποσοστό αδιαπέρατης επιφάνειας | 0 |
| Αριθμός Καμπύλης Απορροής-CN | 75.17 |
| Αρχικές Απώλειες | 16.78 |

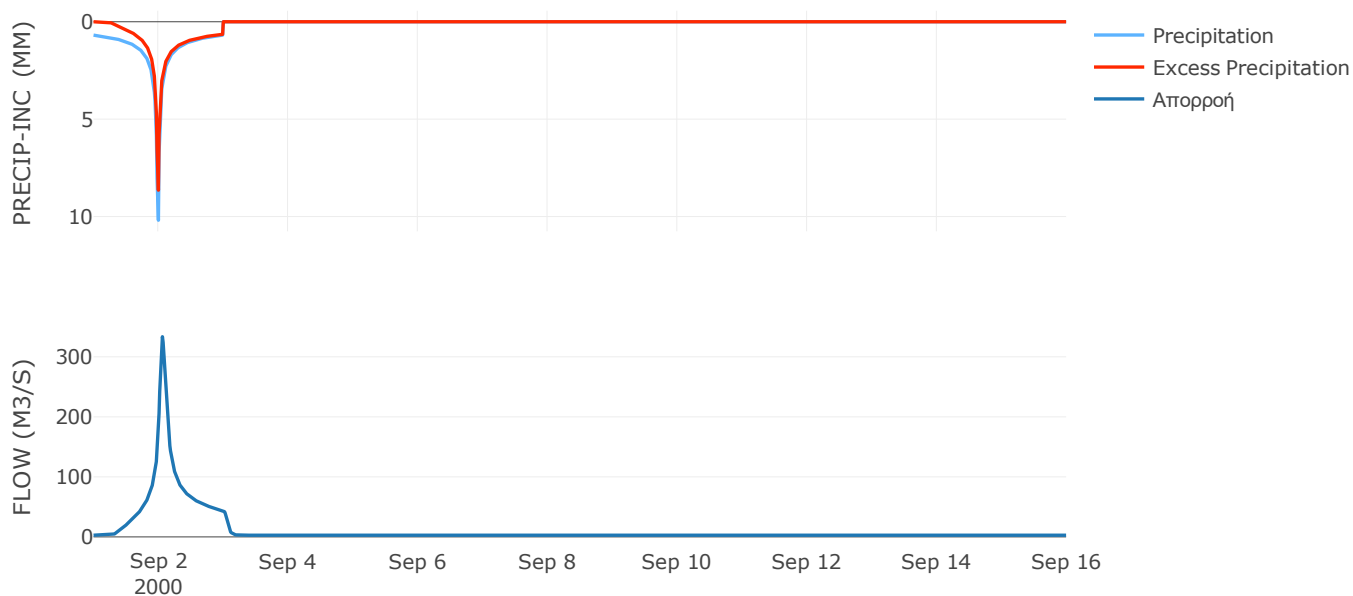
Μέθοδος Μετασχηματισμού: SCS

| | |
|------------------|-------|
| Χρόνος Υστέρησης | 80.49 |
|------------------|-------|

Αποτελέσματα:
EL0420FR4011

| | |
|-----------------------------|------------------|
| Παροχή αιχμής (M3/S) | 333.5 |
| Χρονική στιγμή αιχμής | 02Sep2000, 01:30 |
| Όγκος (MM) | 267.26 |
| Όγκος βροχόπτωσης (M3) | 1.57E7 |
| Όγκος απωλειών (M3) | 4.46E6 |
| Ενεργός Όγκος (M3) | 1.12E7 |
| Όγκος άμεσης απορροής (M3) | 1.12E7 |
| Όγκος βασικής απορροής (M3) | 3.59E6 |

Βροχόπτωση και Απορροή



Υπολεκάνη: EL0420FR4012

Έκταση (KM2) : 2.36

Κατάνη : J12

Μέθοδος Απωλειών: SCS

| | |
|--------------------------------|-------|
| Ποσοστό αδιαπέρατης επιφάνειας | 0 |
| Αριθμός Καμπύλης Απορροής-CN | 82.96 |
| Αρχικές Απώλειες | 10.43 |

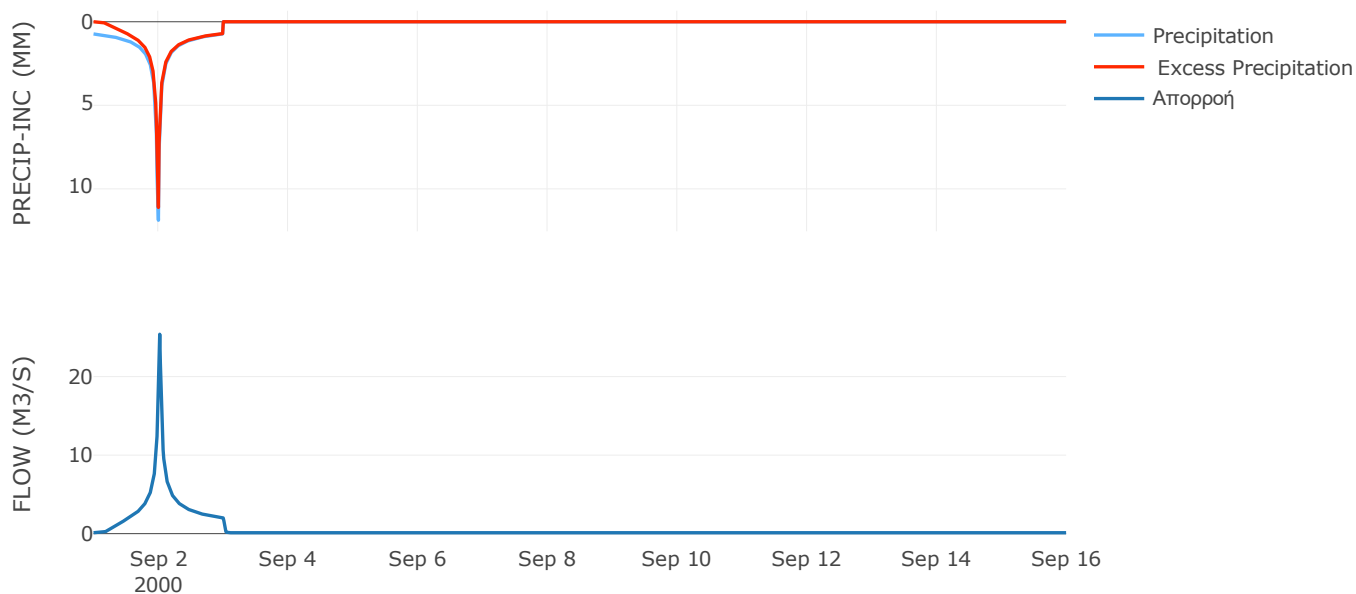
Μέθοδος Μετασχηματισμού: SCS

| | |
|------------------|-------|
| Χρόνος Υστέρησης | 21.36 |
|------------------|-------|

Αποτελέσματα:
EL0420FR4012

| | |
|-----------------------------|------------------|
| Παροχή αιχμής (M3/S) | 25.39 |
| Χρονική στιγμή αιχμής | 02Sep2000, 00:30 |
| Όγκος (MM) | 320.96 |
| Όγκος βροχόπτωσης (M3) | 7.34E5 |
| Όγκος απωλειών (M3) | 1.3E5 |
| Ενεργός Όγκος (M3) | 6.05E5 |
| Όγκος άμεσης απορροής (M3) | 6.05E5 |
| Όγκος βασικής απορροής (M3) | 1.53E5 |

Βροχόπτωση και Απορροή



Υπολεκάνη: EL0420FR4013

Έκταση (KM2) : 1.96

Κατάντη : J14

Μέθοδος Απωλειών: SCS

| | |
|--------------------------------|-------|
| Ποσοστό αδιαπέρατης επιφάνειας | 24 |
| Αριθμός Καμπύλης Απορροής-CN | 92.24 |
| Αρχικές Απώλειες | 4.28 |

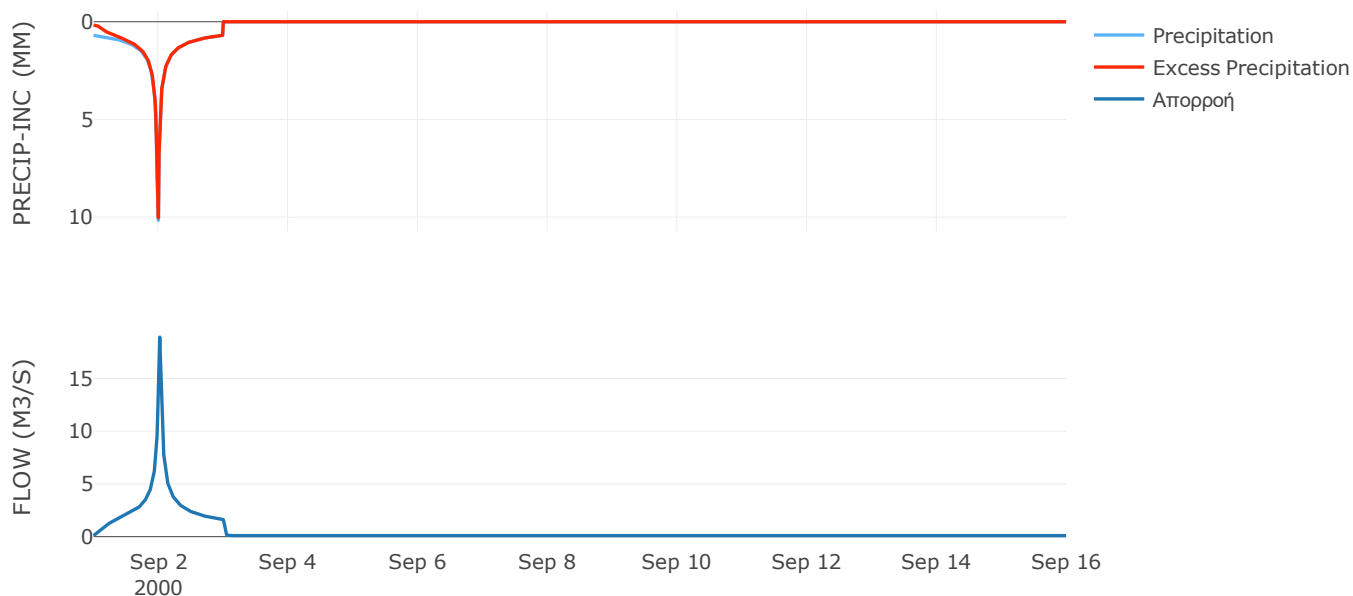
Μέθοδος Μετασχηματισμού: SCS

| | |
|------------------|-------|
| Χρόνος Υστέρησης | 25.34 |
|------------------|-------|

Αποτελέσματα:
EL0420FR4013

| | |
|-----------------------------|------------------|
| Παροχή αιχμής (M3/S) | 18.92 |
| Χρονική στιγμή αιχμής | 02Sep2000, 00:30 |
| Όγκος (MM) | 331.98 |
| Όγκος βροχόπτωσης (M3) | 5.59E5 |
| Όγκος απωλειών (M3) | 35952.12 |
| Ενεργός Όγκος (M3) | 5.23E5 |
| Όγκος άμεσης απορροής (M3) | 5.23E5 |
| Όγκος βασικής απορροής (M3) | 1.27E5 |

Βροχόπτωση και Απορροή



Υπολεκάνη: EL0420FR4014

Έκταση (KM2) : 27.11

Κατάντη : J14

Μέθοδος Απωλειών: SCS

| | |
|--------------------------------|-------|
| Ποσοστό αδιαπέρατης επιφάνειας | 7 |
| Αριθμός Καμπύλης Απορροής-CN | 83.28 |
| Αρχικές Απώλειες | 10.2 |

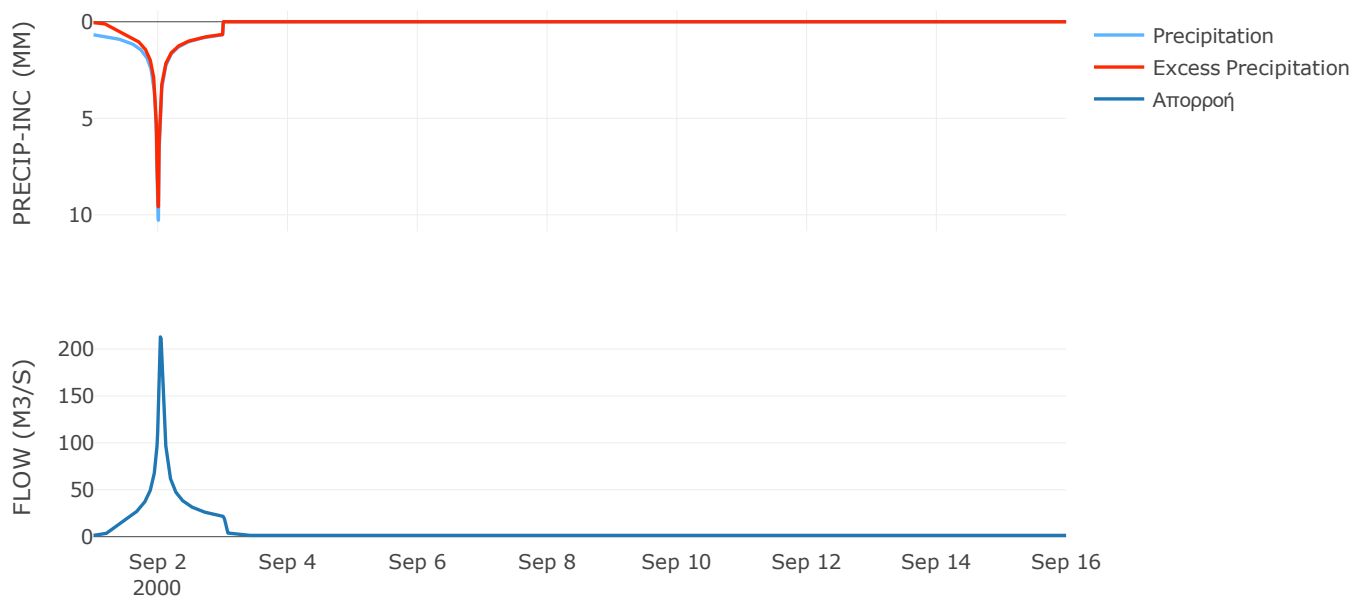
Μέθοδος Μετασχηματισμού: SCS

| | |
|------------------|-------|
| Χρόνος Υστέρησης | 48.35 |
|------------------|-------|

Αποτελέσματα:
EL0420FR4014

| | |
|-----------------------------|------------------|
| Παροχή αιχμής (M3/S) | 212.93 |
| Χρονική στιγμή αιχμής | 02Sep2000, 00:45 |
| Όγκος (MM) | 296.63 |
| Όγκος βροχόπτωσης (M3) | 7.62E6 |
| Όγκος απωλειών (M3) | 1.34E6 |
| Ενεργός Όγκος (M3) | 6.28E6 |
| Όγκος άμεσης απορροής (M3) | 6.28E6 |
| Όγκος βασικής απορροής (M3) | 1.76E6 |

Βροχόπτωση και Απορροή



Υπολεκάνη: EL0420FR4015

Έκταση (KM2) : 10.07

Κατάντη : J15

Μέθοδος Απωλειών: SCS

| | |
|--------------------------------|-------|
| Ποσοστό αδιαπέρατης επιφάνειας | 0 |
| Αριθμός Καμπύλης Απορροής-CN | 81.05 |
| Αρχικές Απώλειες | 11.88 |

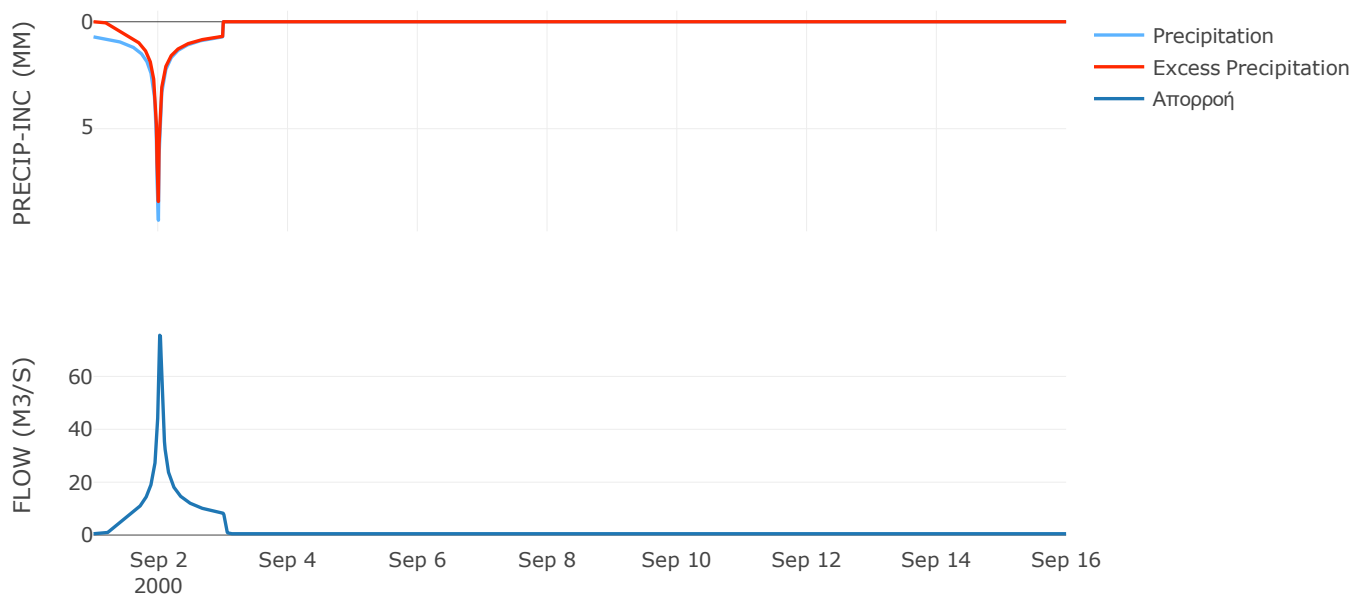
Μέθοδος Μετασχηματισμού: SCS

| | |
|------------------|-------|
| Χρόνος Υστέρησης | 34.15 |
|------------------|-------|

Αποτελέσματα:
EL0420FR4015

| | |
|-----------------------------|------------------|
| Παροχή αιχμής (M3/S) | 75.57 |
| Χρονική στιγμή αιχμής | 02Sep2000, 00:30 |
| Όγκος (MM) | 283.54 |
| Όγκος βροχόπτωσης (M3) | 2.81E6 |
| Όγκος απωλειών (M3) | 6.09E5 |
| Ενεργός Όγκος (M3) | 2.2E6 |
| Όγκος άμεσης απορροής (M3) | 2.2E6 |
| Όγκος βασικής απορροής (M3) | 6.52E5 |

Βροχόπτωση και Απορροή



| | |
|--------------------------------|-------|
| Ποσοστό αδιαπέρατης επιφάνειας | 0 |
| Αριθμός Καμπύλης Απορροής-CN | 90.43 |
| Αρχικές Απώλειες | 5.38 |

| | |
|------------------|-------|
| Χρόνος Υστέρησης | 41.61 |
|------------------|-------|

| | |
|-----------------------------|------------------|
| Παροχή αιχμής (M3/S) | 96.18 |
| Χρονική στιγμή αιχμής | 02Sep2000, 00:45 |
| Όγκος (MM) | 316.41 |
| Όγκος βροχόπτωσης (M3) | 3.4E6 |
| Όγκος απωλειών (M3) | 3.61E5 |
| Ενεργός Όγκος (M3) | 3.04E6 |
| Όγκος άμεσης απορροής (M3) | 3.04E6 |
| Όγκος βασικής απορροής (M3) | 7.83E5 |

The figure consists of two vertically stacked line graphs sharing a common x-axis representing time from September 1 to September 16, 2000.

The top graph displays precipitation data in millimeters (mm). The y-axis is labeled 'PRECIP-INC (MM)' and ranges from 0 to 5. The legend indicates three series: 'Precipitation' (light blue line), 'Excess Precipitation' (red line), and 'Απορροή' (dark blue line). The 'Precipitation' series shows a sharp peak of approximately 5 mm on September 1. The 'Excess Precipitation' series shows a sharp peak of approximately 5 mm on September 1, followed by a rapid decline to near zero by September 2. The 'Απορροή' series remains at zero throughout the period.

The bottom graph displays flow data in cubic meters per second (M3/S). The y-axis is labeled 'FLOW (M3/S)' and ranges from 0 to 100. The legend indicates three series: 'Precipitation' (light blue line), 'Excess Precipitation' (red line), and 'Απορροή' (dark blue line). The 'Απορροή' series shows a sharp peak of approximately 100 M3/S on September 1, followed by a rapid decline to near zero by September 2. The 'Precipitation' and 'Excess Precipitation' series remain at zero throughout the period.

Υπολεκάνη: EL0420FR4017

Έκταση (KM2) : 0.82

Κατάντη : J17

Μέθοδος Απωλειών: SCS

| | |
|--------------------------------|-------|
| Ποσοστό αδιαπέρατης επιφάνειας | 0 |
| Αριθμός Καμπύλης Απορροής-CN | 90.99 |
| Αρχικές Απώλειες | 5.03 |

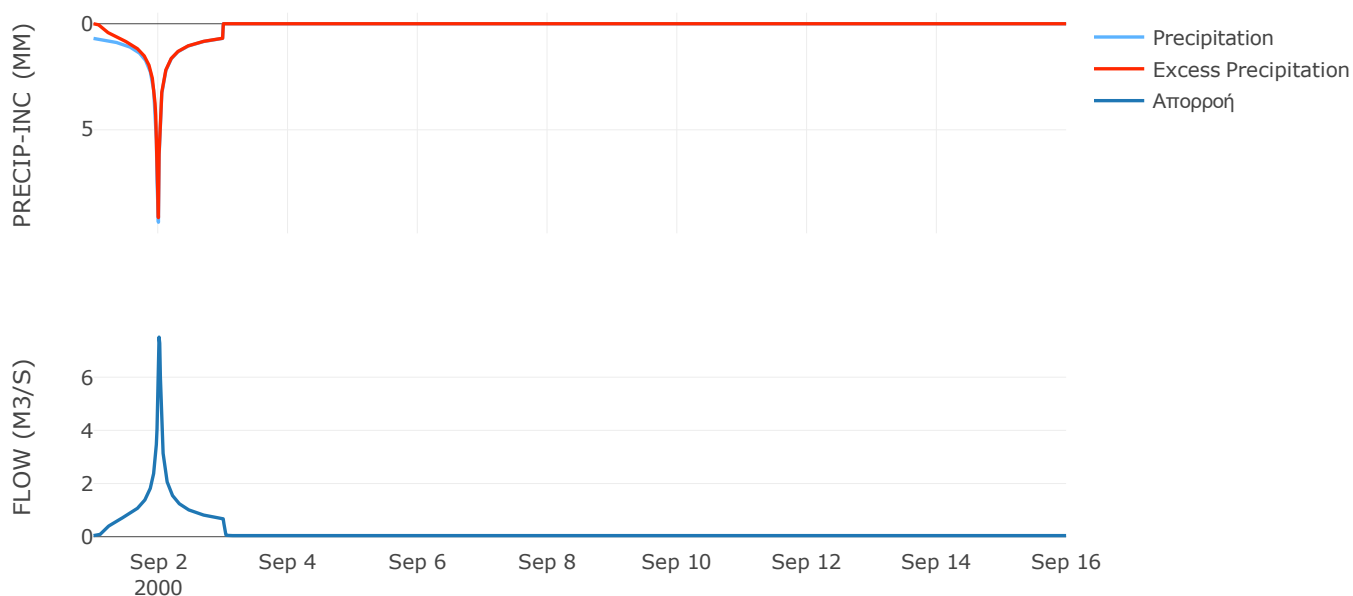
Μέθοδος Μετασχηματισμού: SCS

| | |
|------------------|----|
| Χρόνος Υστέρησης | 18 |
|------------------|----|

Αποτελέσματα:
EL0420FR4017

| | |
|-----------------------------|------------------|
| Παροχή αιχμής (M3/S) | 7.51 |
| Χρονική στιγμή αιχμής | 02Sep2000, 00:15 |
| Όγκος (MM) | 312.85 |
| Όγκος βροχόπτωσης (M3) | 2.27E5 |
| Όγκος απωλειών (M3) | 23097.27 |
| Ενεργός Όγκος (M3) | 2.04E5 |
| Όγκος άμεσης απορροής (M3) | 2.04E5 |
| Όγκος βασικής απορροής (M3) | 53342.06 |

Βροχόπτωση και Απορροή



Υπολεκάνη: EL0420FR4018

Έκταση (KM2) : 26.76

Κατάντη : J18

Μέθοδος Απωλειών: SCS

| | |
|--------------------------------|-------|
| Ποσοστό αδιαπέρατης επιφάνειας | 0 |
| Αριθμός Καμπύλης Απορροής-CN | 90.52 |
| Αρχικές Απώλειες | 5.32 |

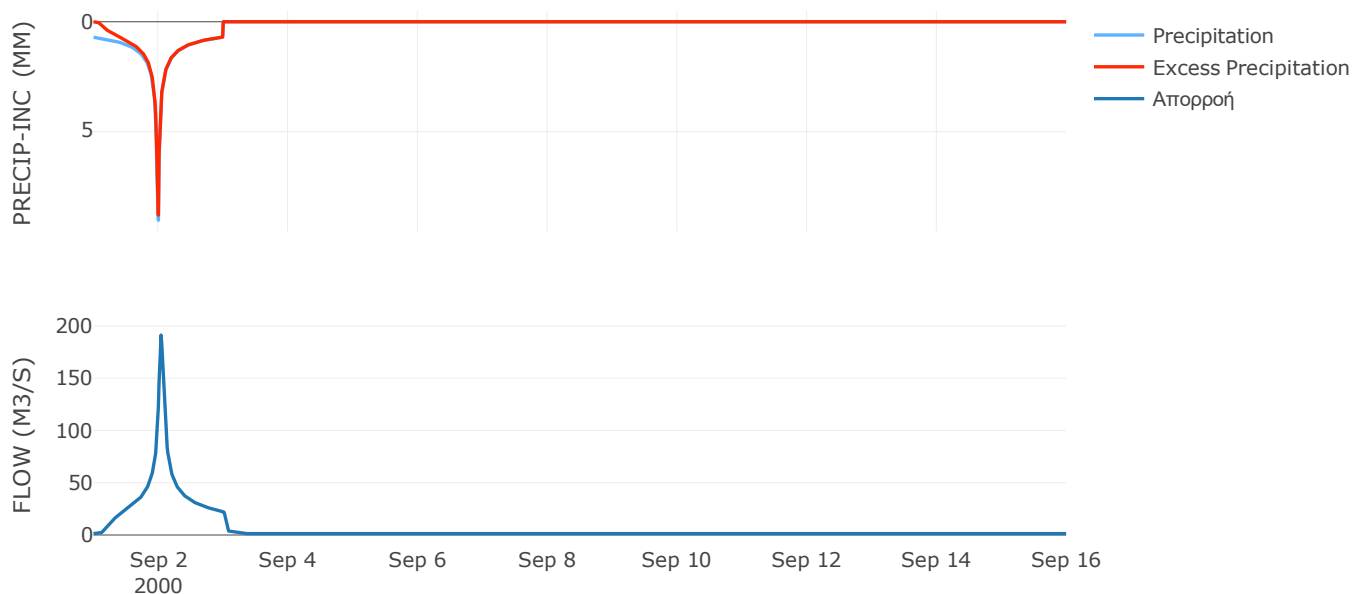
Μέθοδος Μετασχηματισμού: SCS

| | |
|------------------|-------|
| Χρόνος Υστέρησης | 54.49 |
|------------------|-------|

Αποτελέσματα:
EL0420FR4018

| | |
|-----------------------------|------------------|
| Παροχή αιχμής (M3/S) | 191.25 |
| Χρονική στιγμή αιχμής | 02Sep2000, 01:00 |
| Όγκος (MM) | 311.31 |
| Όγκος βροχόπτωσης (M3) | 7.39E6 |
| Όγκος απωλειών (M3) | 7.9E5 |
| Ενεργός Όγκος (M3) | 6.6E6 |
| Όγκος άμεσης απορροής (M3) | 6.6E6 |
| Όγκος βασικής απορροής (M3) | 1.73E6 |

Βροχόπτωση και Απορροή



Υπολεκάνη: EL0420FR4019

Έκταση (KM2) : 0.87

Κατάντη : J19

Μέθοδος Απωλειών: SCS

| | |
|--------------------------------|-------|
| Ποσοστό αδιαπέρατης επιφάνειας | 0 |
| Αριθμός Καμπύλης Απορροής-CN | 90.96 |
| Αρχικές Απώλειες | 5.05 |

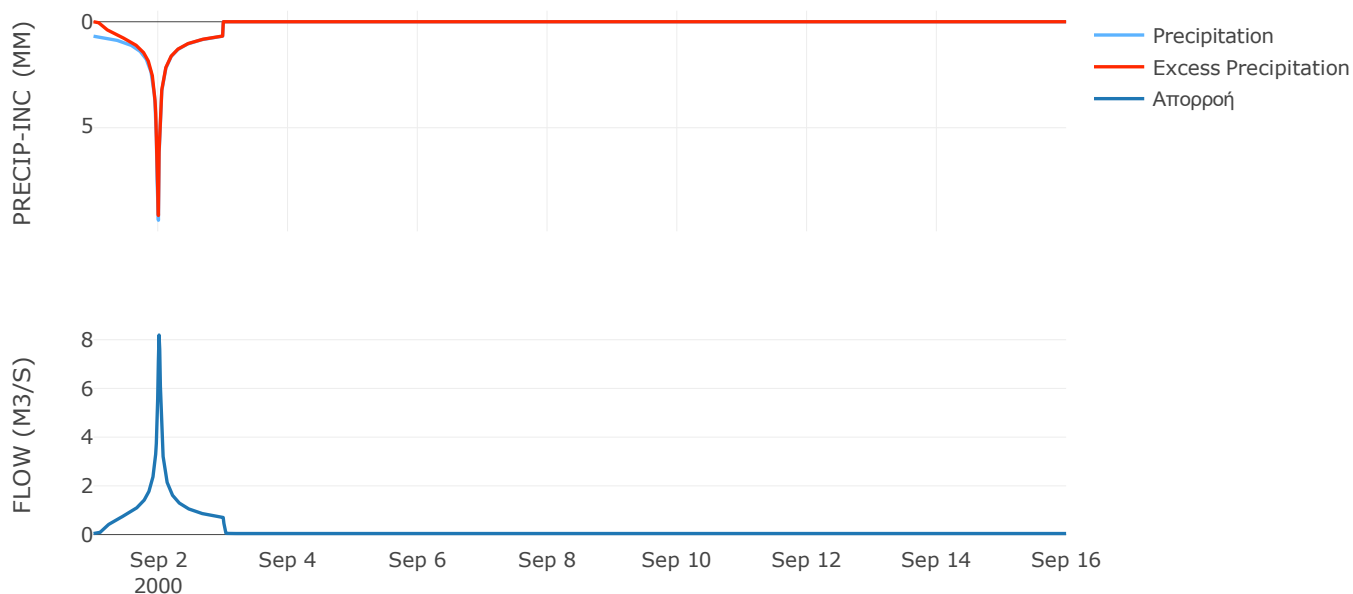
Μέθοδος Μετασχηματισμού: SCS

| | |
|------------------|------|
| Χρόνος Υστέρησης | 15.5 |
|------------------|------|

Αποτελέσματα:
EL0420FR4019

| | |
|-----------------------------|------------------|
| Παροχή αιχμής (M3/S) | 8.19 |
| Χρονική στιγμή αιχμής | 02Sep2000, 00:15 |
| Όγκος (MM) | 310.26 |
| Όγκος βροχόπτωσης (M3) | 2.39E5 |
| Όγκος απωλειών (M3) | 24542.29 |
| Ενεργός Όγκος (M3) | 2.14E5 |
| Όγκος άμεσης απορροής (M3) | 2.14E5 |
| Όγκος βασικής απορροής (M3) | 56528.93 |

Βροχόπτωση και Απορροή



Υπολεκάνη: EL0420FR4020

Έκταση (KM2) : 6.12

Κατάντη : J20

Μέθοδος Απωλειών: SCS

| | |
|--------------------------------|-------|
| Ποσοστό αδιαπέρατης επιφάνειας | 0 |
| Αριθμός Καμπύλης Απορροής-CN | 91.05 |
| Αρχικές Απώλειες | 4.99 |

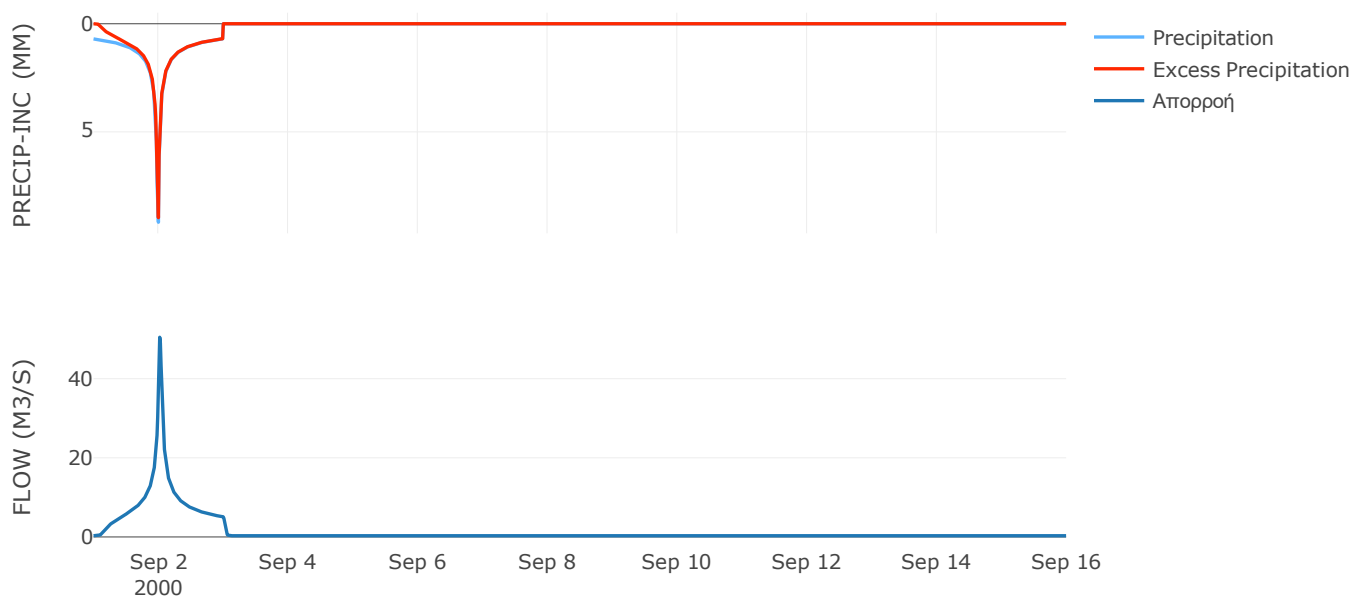
Μέθοδος Μετασχηματισμού: SCS

| | |
|------------------|-------|
| Χρόνος Υστέρησης | 31.93 |
|------------------|-------|

Αποτελέσματα:
EL0420FR4020

| | |
|-----------------------------|------------------|
| Παροχή αιχμής (M3/S) | 50.49 |
| Χρονική στιγμή αιχμής | 02Sep2000, 00:30 |
| Όγκος (MM) | 313.37 |
| Όγκος βροχόπτωσης (M3) | 1.69E6 |
| Όγκος απωλειών (M3) | 1.71E5 |
| Ενεργός Όγκος (M3) | 1.52E6 |
| Όγκος άμεσης απορροής (M3) | 1.52E6 |
| Όγκος βασικής απορροής (M3) | 3.97E5 |

Βροχόπτωση και Απορροή



Υπολεκάνη: EL0420FR4021

Έκταση (KM2) : 32.13

Κατάντη : J21

Μέθοδος Απωλειών: SCS

| | |
|--------------------------------|-------|
| Ποσοστό αδιαπέρατης επιφάνειας | 0 |
| Αριθμός Καμπύλης Απορροής-CN | 88.87 |
| Αρχικές Απώλειες | 6.36 |

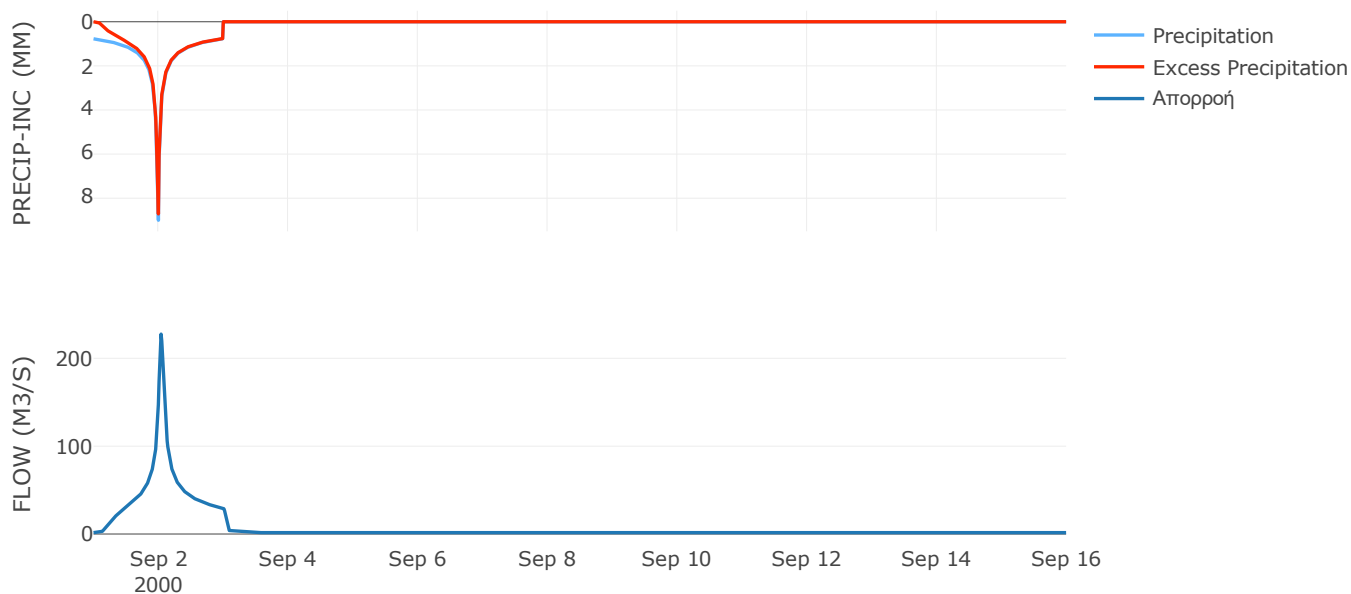
Μέθοδος Μετασχηματισμού: SCS

| | |
|------------------|-------|
| Χρόνος Υστέρησης | 56.02 |
|------------------|-------|

Αποτελέσματα:
EL0420FR4021

| | |
|-----------------------------|------------------|
| Παροχή αιχμής (M3/S) | 227.58 |
| Χρονική στιγμή αιχμής | 02Sep2000, 01:00 |
| Όγκος (MM) | 322.55 |
| Όγκος βροχόπτωσης (M3) | 9.41E6 |
| Όγκος απωλειών (M3) | 1.12E6 |
| Ενεργός Όγκος (M3) | 8.28E6 |
| Όγκος άμεσης απορροής (M3) | 8.28E6 |
| Όγκος βασικής απορροής (M3) | 2.08E6 |

Βροχόπτωση και Απορροή



Υπολεκάνη: EL0420FR4022

Έκταση (KM2) : 15.31

Κατάντη : J21

Μέθοδος Απωλειών: SCS

| | |
|--------------------------------|-------|
| Ποσοστό αδιαπέρατης επιφάνειας | 0 |
| Αριθμός Καμπύλης Απορροής-CN | 91.04 |
| Αρχικές Απώλειες | 5 |

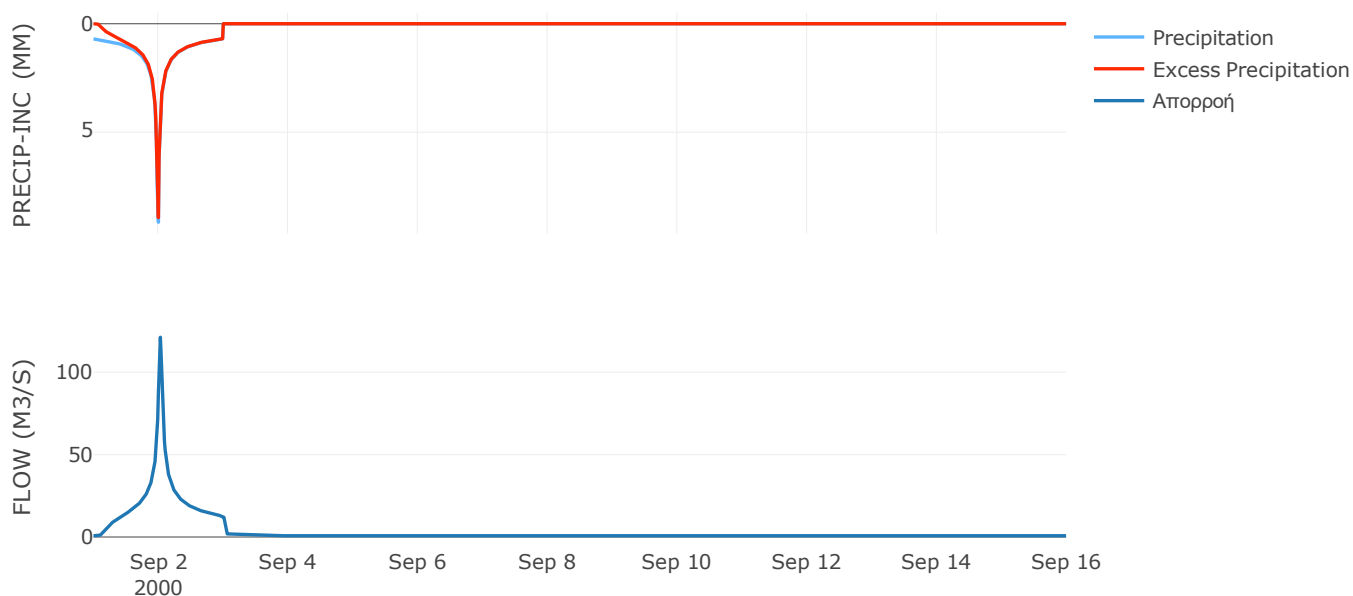
Μέθοδος Μετασχηματισμού: SCS

| | |
|------------------|-------|
| Χρόνος Υστέρησης | 37.15 |
|------------------|-------|

Αποτελέσματα:
EL0420FR4022

| | |
|-----------------------------|------------------|
| Παροχή αιχμής (M3/S) | 121.27 |
| Χρονική στιγμή αιχμής | 02Sep2000, 00:45 |
| Όγκος (MM) | 312.45 |
| Όγκος βροχόπτωσης (M3) | 4.22E6 |
| Όγκος απωλειών (M3) | 4.27E5 |
| Ενεργός Όγκος (M3) | 3.79E6 |
| Όγκος άμεσης απορροής (M3) | 3.79E6 |
| Όγκος βασικής απορροής (M3) | 9.92E5 |

Βροχόπτωση και Απορροή



Υπολεκάνη: EL0420FR4023

Έκταση (KM2) : 11.12

Κατάντη : J22

Μέθοδος Απωλειών: SCS

| | |
|--------------------------------|-------|
| Ποσοστό αδιαπέρατης επιφάνειας | 0 |
| Αριθμός Καμπύλης Απορροής-CN | 82.66 |
| Αρχικές Απώλειες | 10.65 |

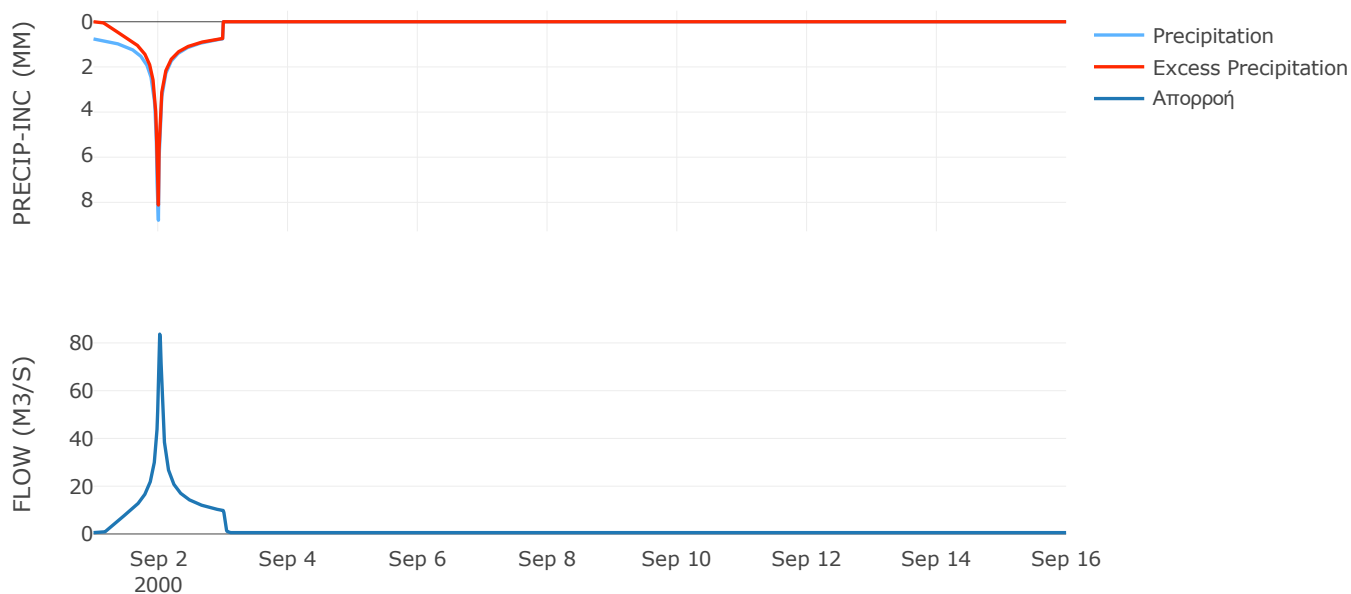
Μέθοδος Μετασχηματισμού: SCS

| | |
|------------------|-------|
| Χρόνος Υστέρησης | 30.65 |
|------------------|-------|

Αποτελέσματα:
EL0420FR4023

| | |
|-----------------------------|------------------|
| Παροχή αιχμής (M3/S) | 83.69 |
| Χρονική στιγμή αιχμής | 02Sep2000, 00:30 |
| Όγκος (MM) | 297.49 |
| Όγκος βροχόπτωσης (M3) | 3.2E6 |
| Όγκος απωλειών (M3) | 6.15E5 |
| Ενεργός Όγκος (M3) | 2.59E6 |
| Όγκος άμεσης απορροής (M3) | 2.59E6 |
| Όγκος βασικής απορροής (M3) | 7.2E5 |

Βροχόπτωση και Απορροή



Υπολεκάνη: EL0420FR4024

Έκταση (KM2) : 19.63

Κατάντη : J22

Μέθοδος Απωλειών: SCS

| | |
|--------------------------------|-------|
| Ποσοστό αδιαπέρατης επιφάνειας | 0 |
| Αριθμός Καμπύλης Απορροής-CN | 89.22 |
| Αρχικές Απώλειες | 6.14 |

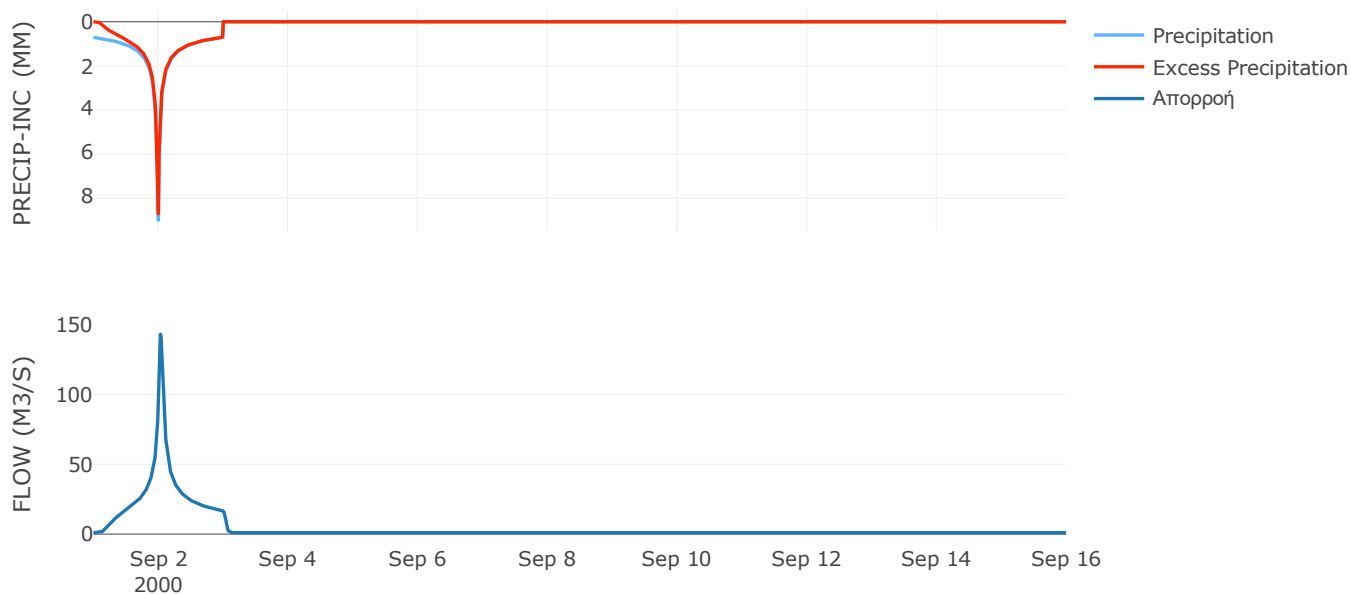
Μέθοδος Μετασχηματισμού: SCS

| | |
|------------------|-------|
| Χρόνος Υστέρησης | 47.79 |
|------------------|-------|

Αποτελέσματα:
EL0420FR4024

| | |
|-----------------------------|------------------|
| Παροχή αιχμής (M3/S) | 143.14 |
| Χρονική στιγμή αιχμής | 02Sep2000, 00:45 |
| Όγκος (MM) | 307.67 |
| Όγκος βροχόπτωσης (M3) | 5.43E6 |
| Όγκος απωλειών (M3) | 6.61E5 |
| Ενεργός Όγκος (M3) | 4.77E6 |
| Όγκος άμεσης απορροής (M3) | 4.77E6 |
| Όγκος βασικής απορροής (M3) | 1.27E6 |

Βροχόπτωση και Απορροή



Υπολεκάνη: EL0420FR4025

Έκταση (KM2) : 67.33

Κατάντη : J16

Μέθοδος Απωλειών: SCS

| | |
|--------------------------------|-------|
| Ποσοστό αδιαπέρατης επιφάνειας | 0 |
| Αριθμός Καμπύλης Απορροής-CN | 90.07 |
| Αρχικές Απώλειες | 5.6 |

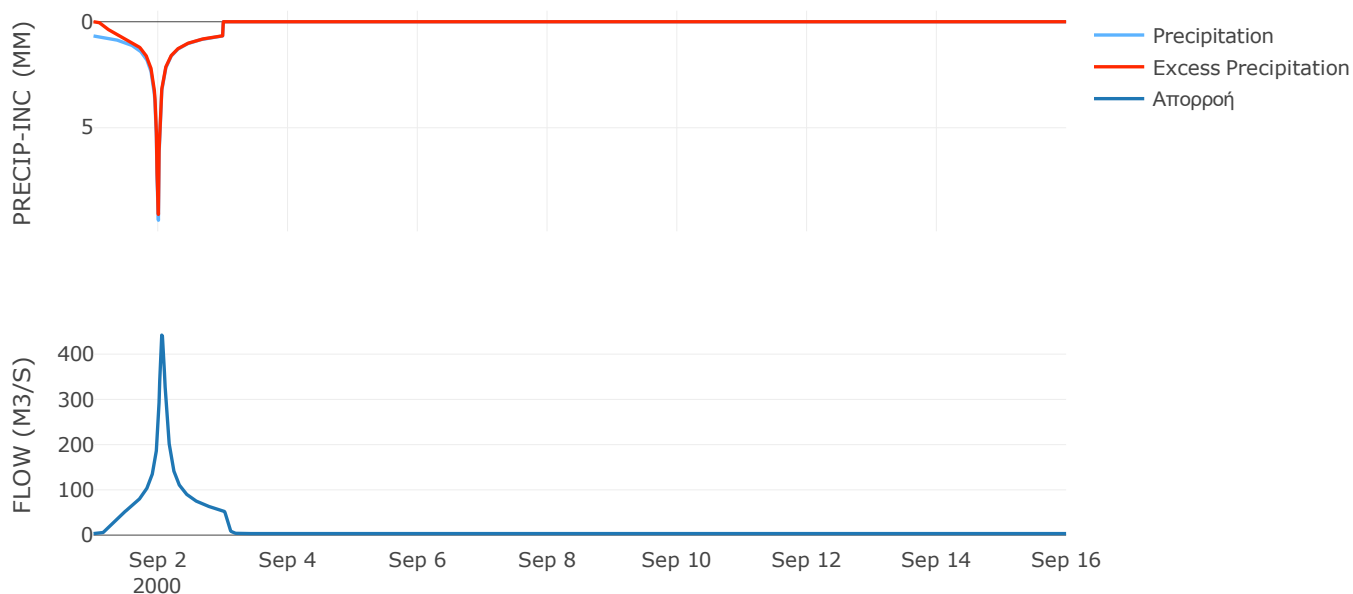
Μέθοδος Μετασχηματισμού: SCS

| | |
|------------------|-------|
| Χρόνος Υστέρησης | 77.24 |
|------------------|-------|

Αποτελέσματα:
EL0420FR4025

| | |
|-----------------------------|------------------|
| Παροχή αιχμής (M3/S) | 442.21 |
| Χρονική στιγμή αιχμής | 02Sep2000, 01:15 |
| Όγκος (MM) | 304.57 |
| Όγκος βροχόπτωσης (M3) | 1.82E7 |
| Όγκος απωλειών (M3) | 2.08E6 |
| Ενεργός Όγκος (M3) | 1.61E7 |
| Όγκος άμεσης απορροής (M3) | 1.61E7 |
| Όγκος βασικής απορροής (M3) | 4.36E6 |

Βροχόπτωση και Απορροή



Υπολεκάνη: EL0420FR4026

Έκταση (KM2) : 8.76

Κατάντη : J15

Μέθοδος Απωλειών: SCS

| | |
|--------------------------------|-------|
| Ποσοστό αδιαπέρατης επιφάνειας | 0 |
| Αριθμός Καμπύλης Απορροής-CN | 78.8 |
| Αρχικές Απώλειες | 13.67 |

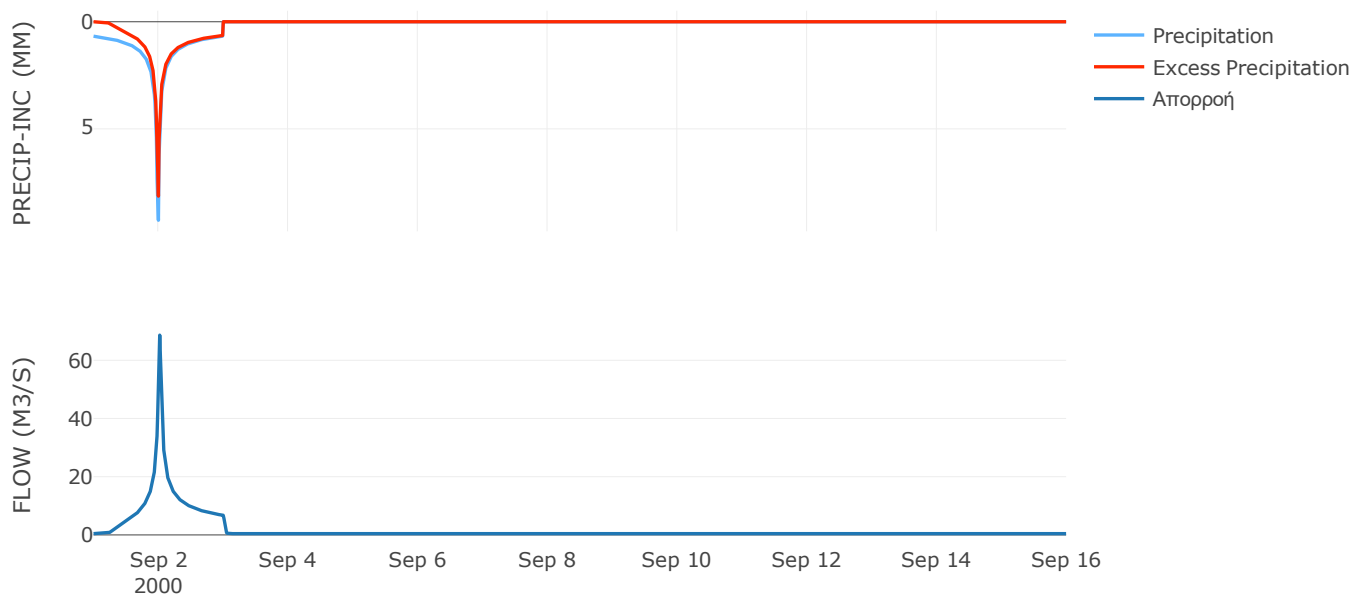
Μέθοδος Μετασχηματισμού: SCS

| | |
|------------------|-------|
| Χρόνος Υστέρησης | 23.92 |
|------------------|-------|

Αποτελέσματα:
EL0420FR4026

| | |
|-----------------------------|------------------|
| Παροχή αιχμής (M3/S) | 68.64 |
| Χρονική στιγμή αιχμής | 02Sep2000, 00:30 |
| Όγκος (MM) | 267.41 |
| Όγκος βροχόπτωσης (M3) | 2.37E6 |
| Όγκος απωλειών (M3) | 5.92E5 |
| Ενεργός Όγκος (M3) | 1.77E6 |
| Όγκος άμεσης απορροής (M3) | 1.77E6 |
| Όγκος βασικής απορροής (M3) | 5.67E5 |

Βροχόπτωση και Απορροή



Υπολεκάνη: EL0420FR4027

Έκταση (KM2) : 13.94

Κατάντη : J29

Μέθοδος Απωλειών: SCS

| | |
|--------------------------------|-------|
| Ποσοστό αδιαπέρατης επιφάνειας | 0 |
| Αριθμός Καμπύλης Απορροής-CN | 82.51 |
| Αρχικές Απώλειες | 10.77 |

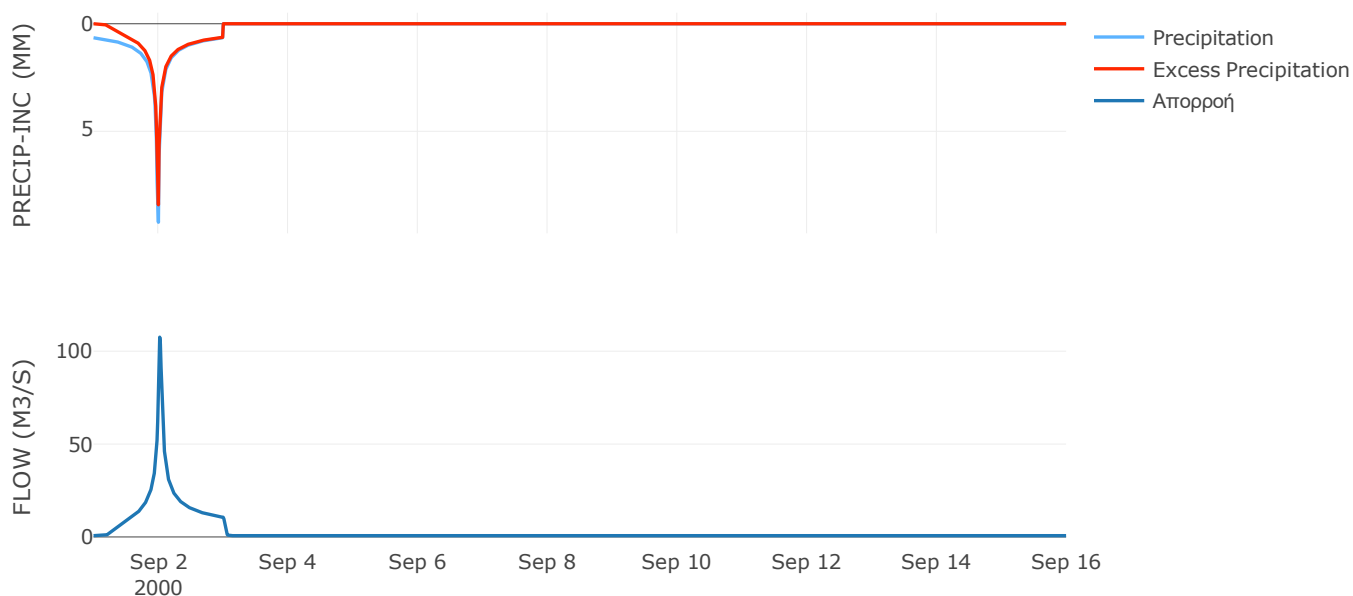
Μέθοδος Μετασχηματισμού: SCS

| | |
|------------------|-------|
| Χρόνος Υστέρησης | 31.21 |
|------------------|-------|

Αποτελέσματα:
EL0420FR4027

| | |
|-----------------------------|------------------|
| Παροχή αιχμής (M3/S) | 107.56 |
| Χρονική στιγμή αιχμής | 02Sep2000, 00:30 |
| Όγκος (MM) | 273.85 |
| Όγκος βροχόπτωσης (M3) | 3.68E6 |
| Όγκος απωλειών (M3) | 7.69E5 |
| Ενεργός Όγκος (M3) | 2.91E6 |
| Όγκος άμεσης απορροής (M3) | 2.91E6 |
| Όγκος βασικής απορροής (M3) | 9.03E5 |

Βροχόπτωση και Απορροή



Υπολεκάνη: EL0420FR4028

Έκταση (KM2) : 17.93

Κατάντη : J29

Μέθοδος Απωλειών: SCS

| | |
|--------------------------------|-------|
| Ποσοστό αδιαπέρατης επιφάνειας | 0 |
| Αριθμός Καμπύλης Απορροής-CN | 89.57 |
| Αρχικές Απώλειες | 5.91 |

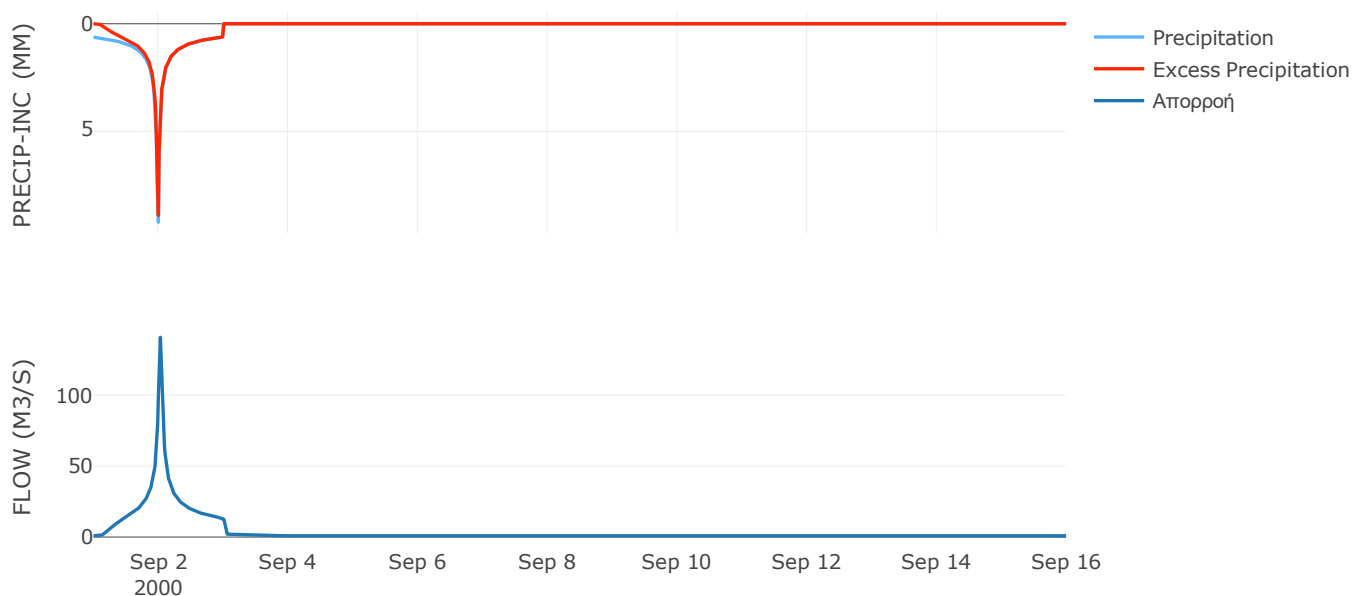
Μέθοδος Μετασχηματισμού: SCS

| | |
|------------------|-------|
| Χρόνος Υστέρησης | 36.54 |
|------------------|-------|

Αποτελέσματα:
EL0420FR4028

| | |
|-----------------------------|------------------|
| Παροχή αιχμής (M3/S) | 140.81 |
| Χρονική στιγμή αιχμής | 02Sep2000, 00:45 |
| Όγκος (MM) | 289.21 |
| Όγκος βροχόπτωσης (M3) | 4.6E6 |
| Όγκος απωλειών (M3) | 5.8E5 |
| Ενεργός Όγκος (M3) | 4.02E6 |
| Όγκος άμεσης απορροής (M3) | 4.02E6 |
| Όγκος βασικής απορροής (M3) | 1.16E6 |

Βροχόπτωση και Απορροή



Υπολεκάνη: EL0420FR4029

Έκταση (KM2) : 31.51

Κατάντη : J28

Μέθοδος Απωλειών: SCS

| | |
|--------------------------------|-------|
| Ποσοστό αδιαπέρατης επιφάνειας | 0 |
| Αριθμός Καμπύλης Απορροής-CN | 74.1 |
| Αρχικές Απώλειες | 17.76 |

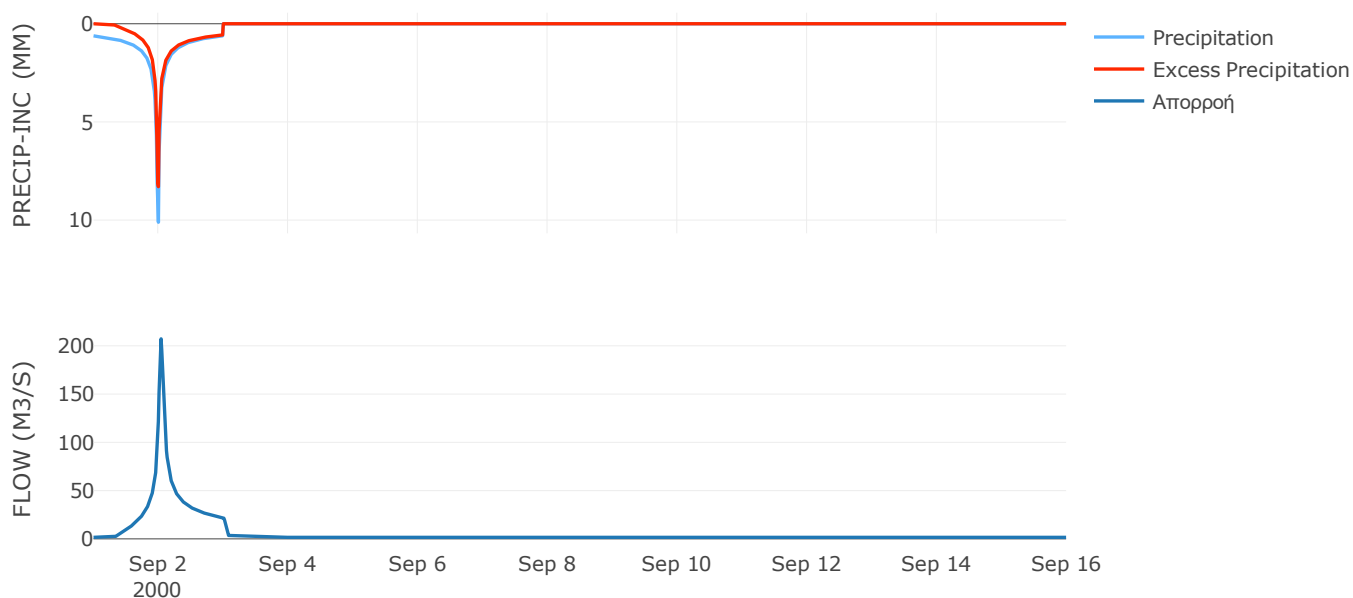
Μέθοδος Μετασχηματισμού: SCS

| | |
|------------------|-------|
| Χρόνος Υστέρησης | 51.37 |
|------------------|-------|

Αποτελέσματα:
EL0420FR4029

| | |
|-----------------------------|------------------|
| Παροχή αιχμής (M3/S) | 207.22 |
| Χρονική στιγμή αιχμής | 02Sep2000, 01:00 |
| Όγκος (MM) | 245.21 |
| Όγκος βροχόπτωσης (M3) | 8.3E6 |
| Όγκος απωλειών (M3) | 2.61E6 |
| Ενεργός Όγκος (M3) | 5.68E6 |
| Όγκος άμεσης απορροής (M3) | 5.68E6 |
| Όγκος βασικής απορροής (M3) | 2.04E6 |

Βροχόπτωση και Απορροή



Υπολεκάνη: EL0420FR4030

Έκταση (KM2) : 11.42

Κατάντη : J28

Μέθοδος Απωλειών: SCS

| | |
|--------------------------------|-------|
| Ποσοστό αδιαπέρατης επιφάνειας | 0 |
| Αριθμός Καμπύλης Απορροής-CN | 79.07 |
| Αρχικές Απώλειες | 13.44 |

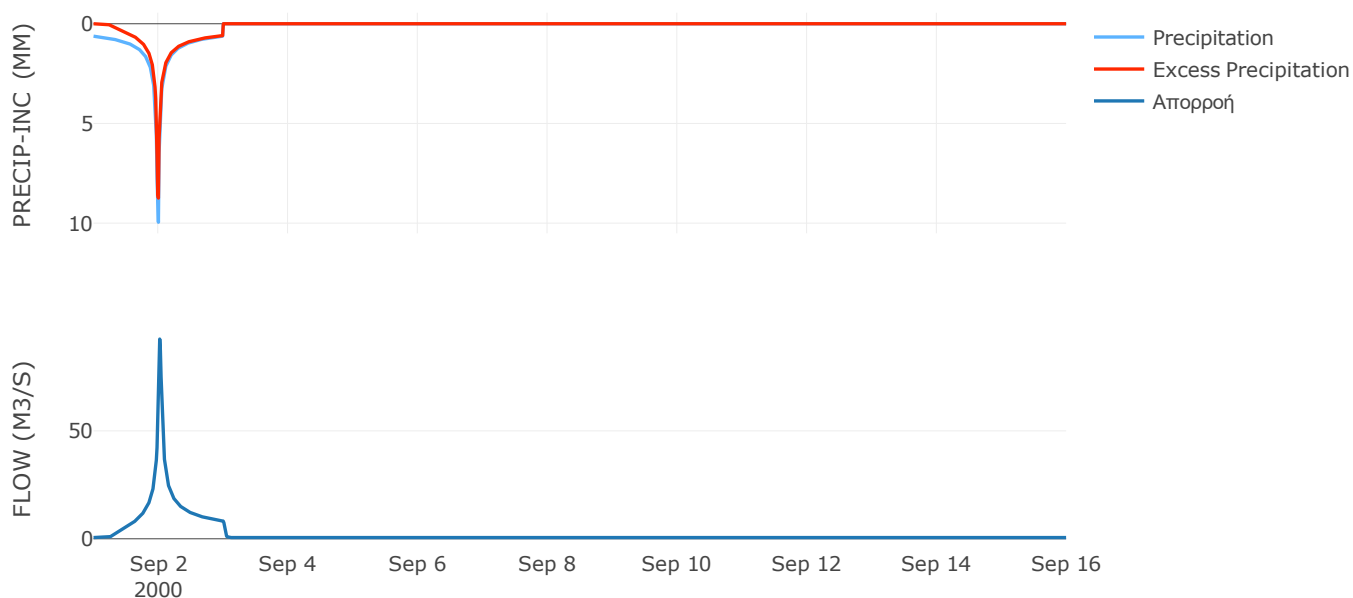
Μέθοδος Μετασχηματισμού: SCS

| | |
|------------------|-------|
| Χρόνος Υστέρησης | 29.38 |
|------------------|-------|

Αποτελέσματα:
EL0420FR4030

| | |
|-----------------------------|------------------|
| Παροχή αιχμής (M3/S) | 92.5 |
| Χρονική στιγμή αιχμής | 02Sep2000, 00:30 |
| Όγκος (MM) | 262.42 |
| Όγκος βροχόπτωσης (M3) | 3.02E6 |
| Όγκος απωλειών (M3) | 7.59E5 |
| Ενεργός Όγκος (M3) | 2.26E6 |
| Όγκος άμεσης απορροής (M3) | 2.26E6 |
| Όγκος βασικής απορροής (M3) | 7.4E5 |

Βροχόπτωση και Απορροή



Υπολεκάνη: EL0420FR4031

Έκταση (KM2) : 2.28

Κατάντη : J27

Μέθοδος Απωλειών: SCS

| | |
|--------------------------------|-------|
| Ποσοστό αδιαπέρατης επιφάνειας | 0 |
| Αριθμός Καμπύλης Απορροής-CN | 83.99 |
| Αρχικές Απώλειες | 9.69 |

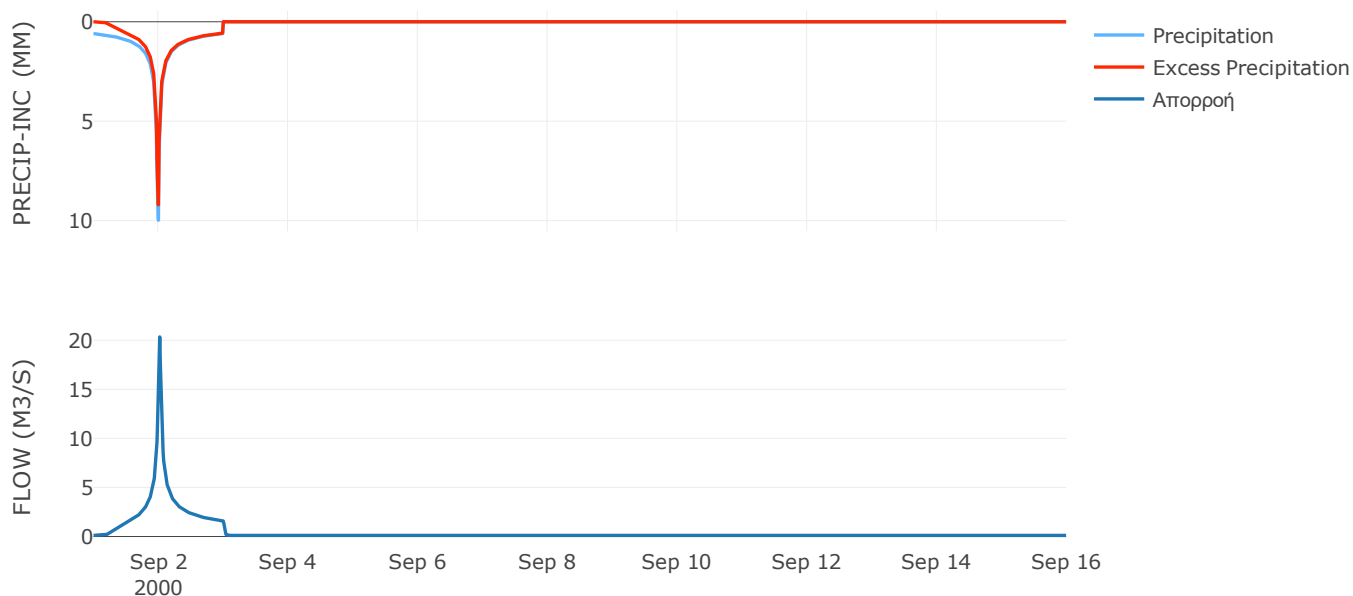
Μέθοδος Μετασχηματισμού: SCS

| | |
|------------------|-------|
| Χρόνος Υστέρησης | 22.09 |
|------------------|-------|

Αποτελέσματα:
EL0420FR4031

| | |
|-----------------------------|------------------|
| Παροχή αιχμής (M3/S) | 20.34 |
| Χρονική στιγμή αιχμής | 02Sep2000, 00:30 |
| Όγκος (MM) | 270.55 |
| Όγκος βροχόπτωσης (M3) | 5.84E5 |
| Όγκος απωλειών (M3) | 1.15E5 |
| Ενεργός Όγκος (M3) | 4.7E5 |
| Όγκος άμεσης απορροής (M3) | 4.7E5 |
| Όγκος βασικής απορροής (M3) | 1.48E5 |

Βροχόπτωση και Απορροή



Υπολεκάνη: EL0420FR4032

Έκταση (KM2) : 20.34

Κατάντη : J27

Μέθοδος Απωλειών: SCS

| | |
|--------------------------------|-------|
| Ποσοστό αδιαπέρατης επιφάνειας | 0 |
| Αριθμός Καμπύλης Απορροής-CN | 77.87 |
| Αρχικές Απώλειες | 14.44 |

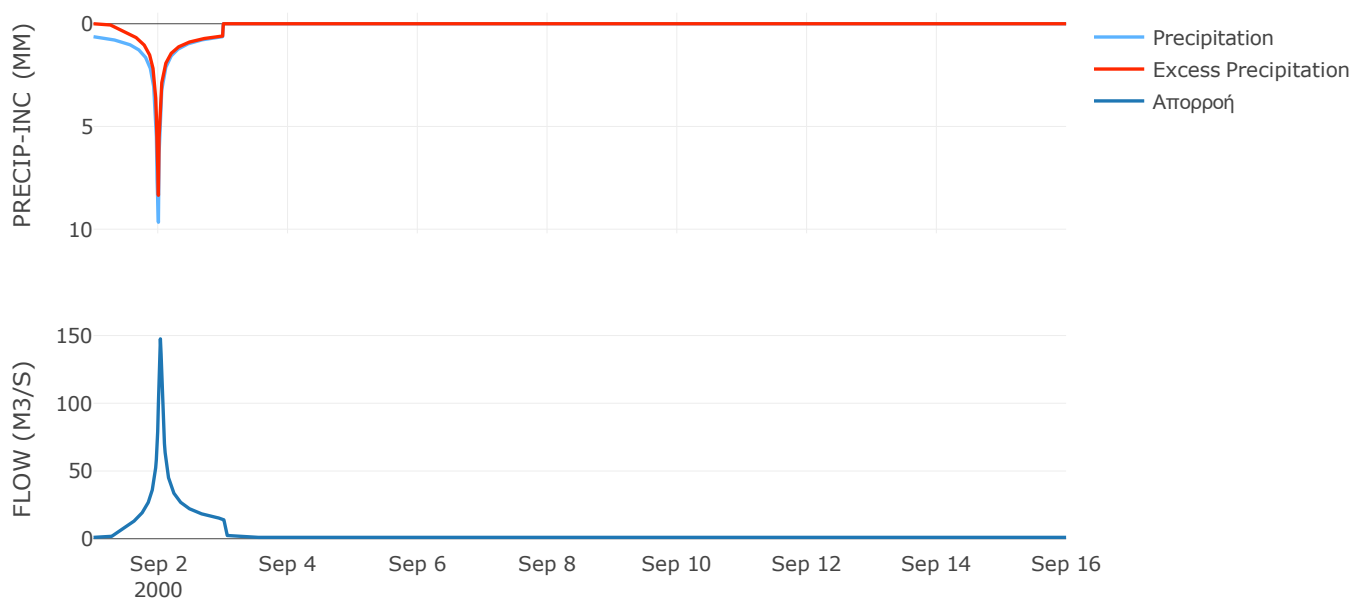
Μέθοδος Μετασχηματισμού: SCS

| | |
|------------------|-------|
| Χρόνος Υστέρησης | 37.97 |
|------------------|-------|

Αποτελέσματα:
EL0420FR4032

| | |
|-----------------------------|------------------|
| Παροχή αιχμής (M3/S) | 147.54 |
| Χρονική στιγμή αιχμής | 02Sep2000, 00:45 |
| Όγκος (MM) | 257.51 |
| Όγκος βροχόπτωσης (M3) | 5.35E6 |
| Όγκος απωλειών (M3) | 1.43E6 |
| Ενεργός Όγκος (M3) | 3.92E6 |
| Όγκος άμεσης απορροής (M3) | 3.92E6 |
| Όγκος βασικής απορροής (M3) | 1.32E6 |

Βροχόπτωση και Απορροή



Υπολεκάνη: EL0420FR4033

Έκταση (KM2) : 42.85

Κατάντη : J8

Μέθοδος Απωλειών: SCS

| | |
|--------------------------------|-------|
| Ποσοστό αδιαπέρατης επιφάνειας | 0 |
| Αριθμός Καμπύλης Απορροής-CN | 78.13 |
| Αρχικές Απώλειες | 14.22 |

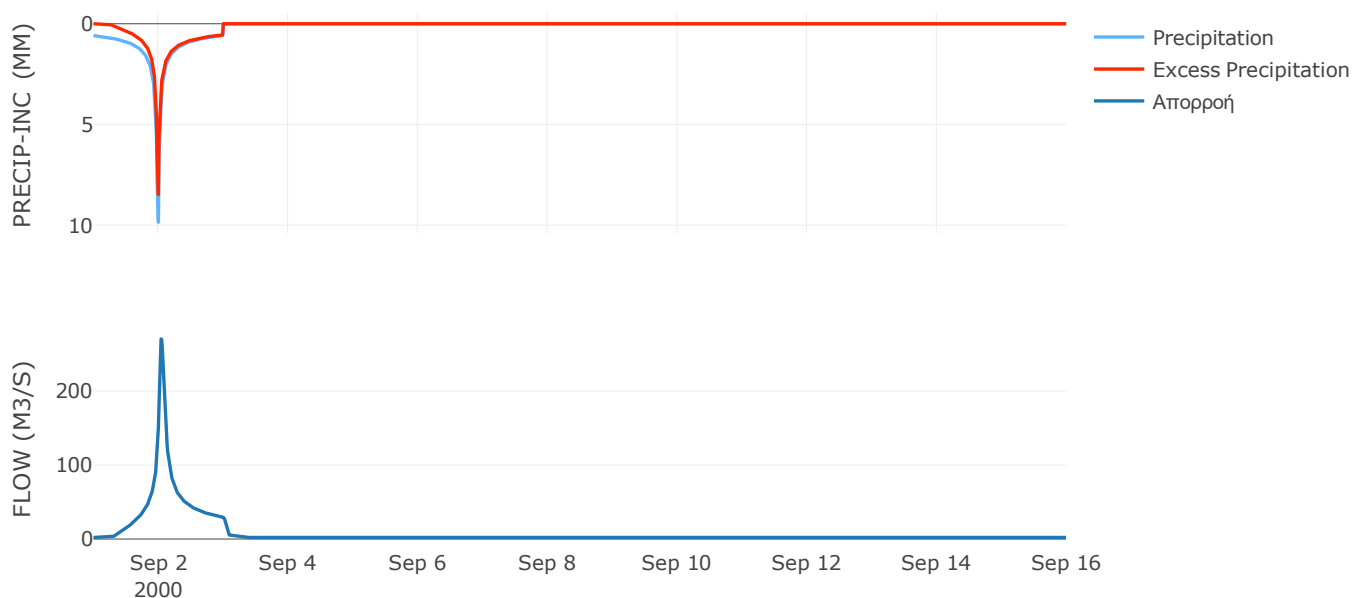
Μέθοδος Μετασχηματισμού: SCS

| | |
|------------------|-------|
| Χρόνος Υστέρησης | 62.68 |
|------------------|-------|

Αποτελέσματα:
EL0420FR4033

| | |
|-----------------------------|------------------|
| Παροχή αιχμής (M3/S) | 270.65 |
| Χρονική στιγμή αιχμής | 02Sep2000, 01:00 |
| Όγκος (MM) | 249 |
| Όγκος βροχόπτωσης (M3) | 1.08E7 |
| Όγκος απωλειών (M3) | 2.96E6 |
| Ενεργός Όγκος (M3) | 7.89E6 |
| Όγκος άμεσης απορροής (M3) | 7.89E6 |
| Όγκος βασικής απορροής (M3) | 2.78E6 |

Βροχόπτωση και Απορροή



Υπολεκάνη: EL0420FR4034

Έκταση (KM2) : 46.4

Κατάντη : J6

Μέθοδος Απωλειών: SCS

| | |
|--------------------------------|-------|
| Ποσοστό αδιαπέρατης επιφάνειας | 0 |
| Αριθμός Καμπύλης Απορροής-CN | 76.76 |
| Αρχικές Απώλειες | 15.38 |

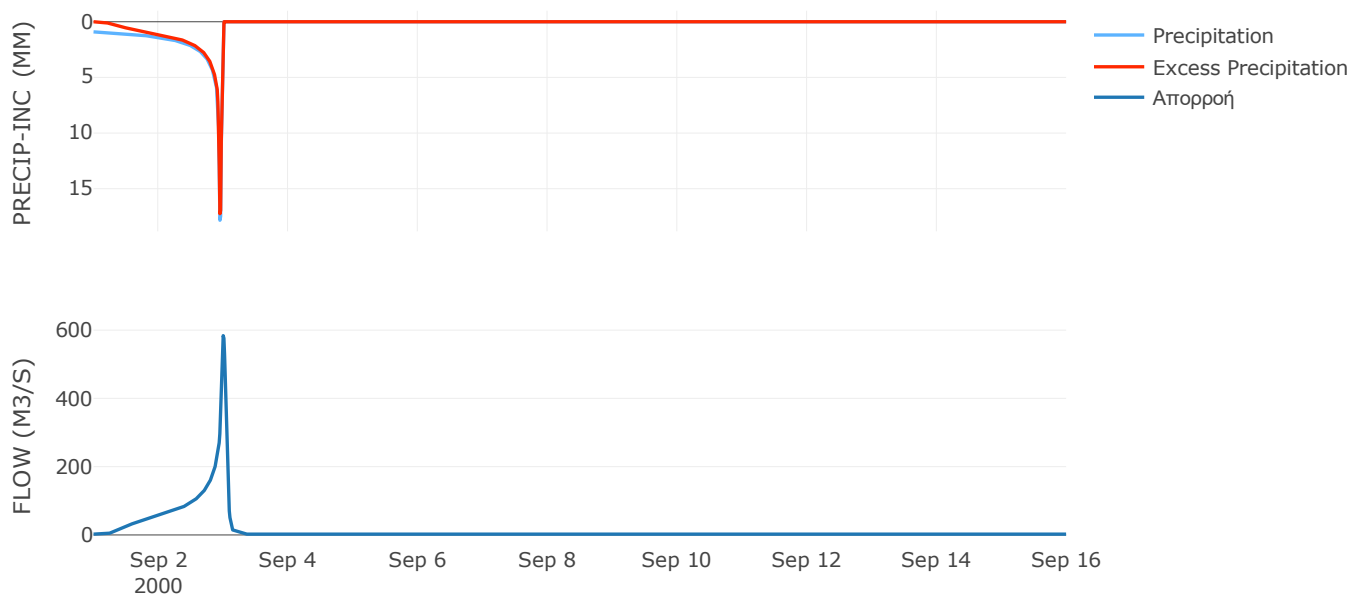
Μέθοδος Μετασχηματισμού: SCS

| | |
|------------------|-------|
| Χρόνος Υστέρησης | 64.83 |
|------------------|-------|

Αποτελέσματα:
EL0420FR4034

| | |
|-----------------------------|------------------|
| Παροχή αιχμής (M3/S) | 583.8 |
| Χρονική στιγμή αιχμής | 02Sep2000, 24:00 |
| Όγκος (MM) | 398.58 |
| Όγκος βροχόπτωσης (M3) | 1.92E7 |
| Όγκος απωλειών (M3) | 3.7E6 |
| Ενεργός Όγκος (M3) | 1.55E7 |
| Όγκος άμεσης απορροής (M3) | 1.55E7 |
| Όγκος βασικής απορροής (M3) | 3.01E6 |

Βροχόπτωση και Απορροή



Υπολεκάνη: EL0420FR4035

Έκταση (KM2) : 12.2

Κατάνη : J19

Μέθοδος Απωλειών: SCS

| | |
|--------------------------------|-------|
| Ποσοστό αδιαπέρατης επιφάνειας | 0 |
| Αριθμός Καμπύλης Απορροής-CN | 91.11 |
| Αρχικές Απώλειες | 4.96 |

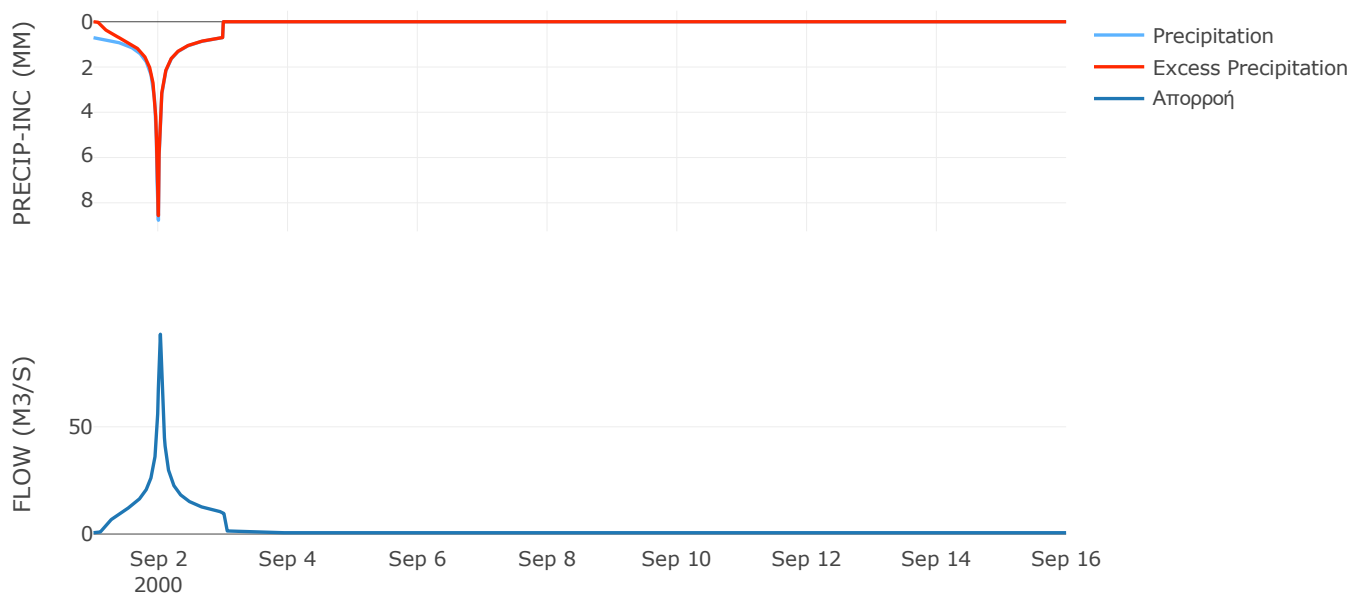
Μέθοδος Μετασχηματισμού: SCS

| | |
|------------------|------|
| Χρόνος Υστέρησης | 36.1 |
|------------------|------|

Αποτελέσματα:
EL0420FR4035

| | |
|-----------------------------|------------------|
| Παροχή αιχμής (M3/S) | 93.15 |
| Χρονική στιγμή αιχμής | 02Sep2000, 00:45 |
| Όγκος (MM) | 310.3 |
| Όγκος βροχόπτωσης (M3) | 3.33E6 |
| Όγκος απωλειών (M3) | 3.37E5 |
| Ενεργός Όγκος (M3) | 3E6 |
| Όγκος άμεσης απορροής (M3) | 3E6 |
| Όγκος βασικής απορροής (M3) | 7.91E5 |

Βροχόπτωση και Απορροή



Υπολεκάνη: EL0420FR4036

Έκταση (KM2) : 17.89

Κατάντη : J18

Μέθοδος Απωλειών: SCS

| | |
|--------------------------------|-------|
| Ποσοστό αδιαπέρατης επιφάνειας | 0 |
| Αριθμός Καμπύλης Απορροής-CN | 91.03 |
| Αρχικές Απώλειες | 5.01 |

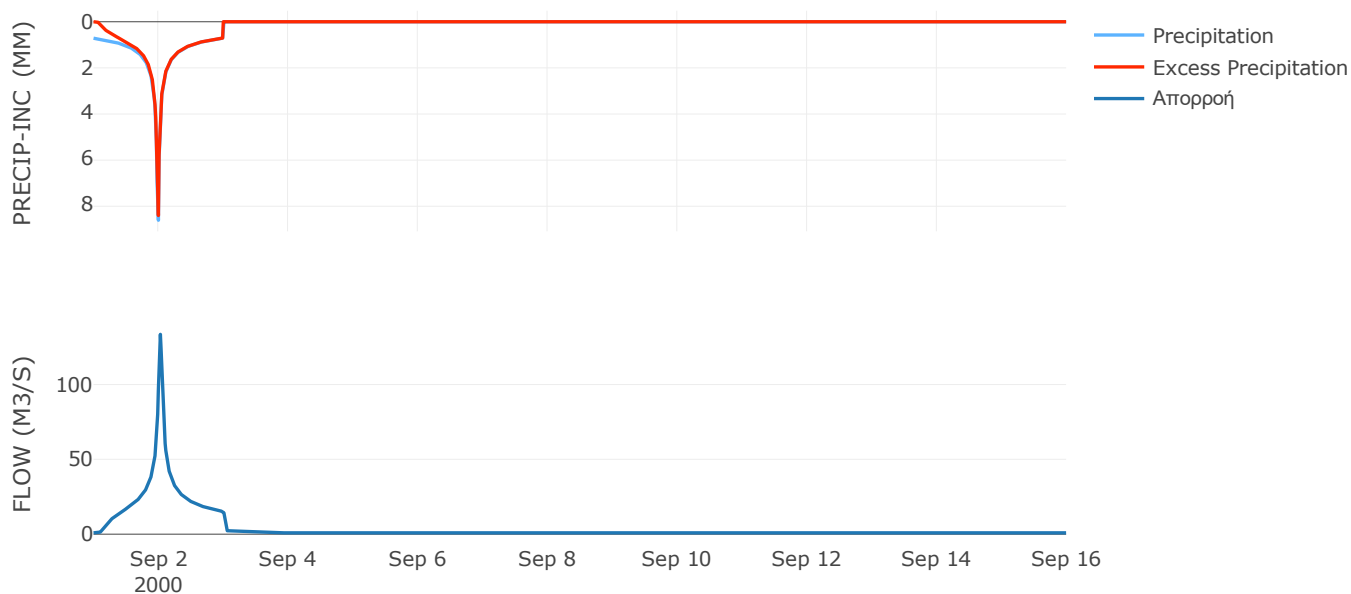
Μέθοδος Μετασχηματισμού: SCS

| | |
|------------------|-------|
| Χρόνος Υστέρησης | 37.63 |
|------------------|-------|

Αποτελέσματα:
EL0420FR4036

| | |
|-----------------------------|------------------|
| Παροχή αιχμής (M3/S) | 133.52 |
| Χρονική στιγμή αιχμής | 02Sep2000, 00:45 |
| Όγκος (MM) | 310.57 |
| Όγκος βροχόπτωσης (M3) | 4.89E6 |
| Όγκος απωλειών (M3) | 4.99E5 |
| Ενεργός Όγκος (M3) | 4.4E6 |
| Όγκος άμεσης απορροής (M3) | 4.4E6 |
| Όγκος βασικής απορροής (M3) | 1.16E6 |

Βροχόπτωση και Απορροή



Υπολεκάνη: EL0420FR4037

Έκταση (KM2) : 37.96

Κατάνη : J17

Μέθοδος Απωλειών: SCS

| | |
|--------------------------------|-------|
| Ποσοστό αδιαπέρατης επιφάνειας | 0 |
| Αριθμός Καμπύλης Απορροής-CN | 90.55 |
| Αρχικές Απώλειες | 5.3 |

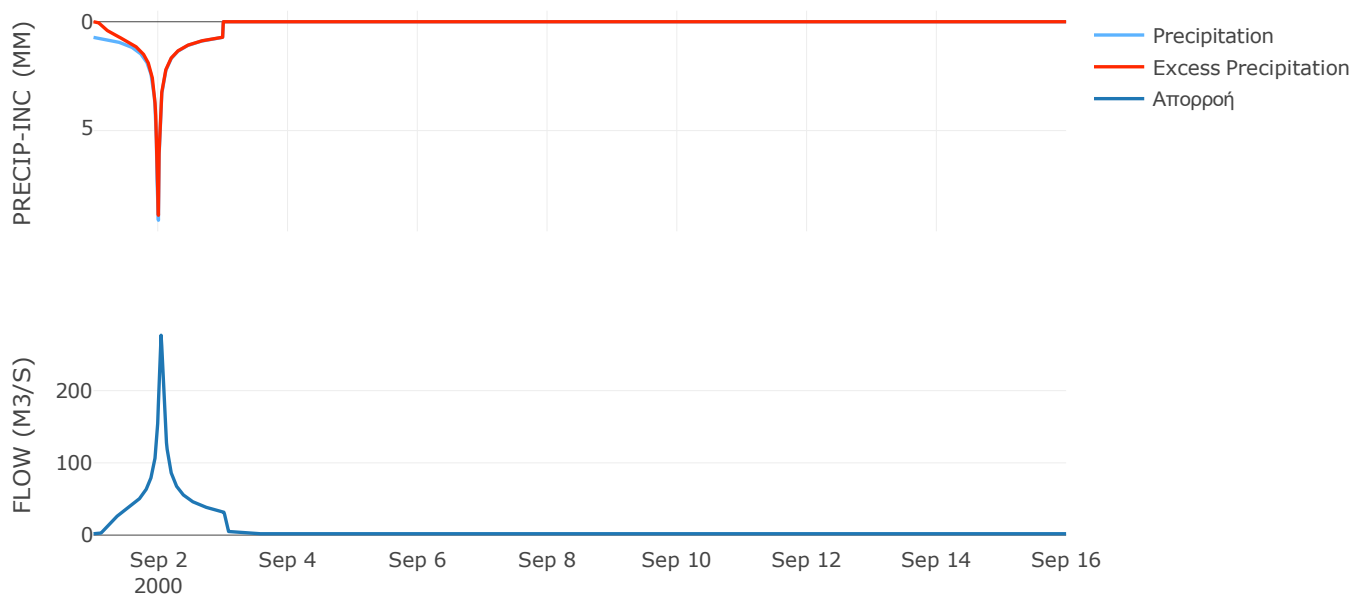
Μέθοδος Μετασχηματισμού: SCS

| | |
|------------------|-------|
| Χρόνος Υστέρησης | 51.91 |
|------------------|-------|

Αποτελέσματα:
EL0420FR4037

| | |
|-----------------------------|------------------|
| Παροχή αιχμής (M3/S) | 276.72 |
| Χρονική στιγμή αιχμής | 02Sep2000, 01:00 |
| Όγκος (MM) | 315.78 |
| Όγκος βροχόπτωσης (M3) | 1.06E7 |
| Όγκος απωλειών (M3) | 1.12E6 |
| Ενεργός Όγκος (M3) | 9.53E6 |
| Όγκος άμεσης απορροής (M3) | 9.53E6 |
| Όγκος βασικής απορροής (M3) | 2.46E6 |

Βροχόπτωση και Απορροή



Υπολεκάνη: EL0420FR4038

Έκταση (KM2) : 11.75

Κατάντη : J15

Μέθοδος Απωλειών: SCS

| | |
|--------------------------------|-------|
| Ποσοστό αδιαπέρατης επιφάνειας | 0 |
| Αριθμός Καμπύλης Απορροής-CN | 83.25 |
| Αρχικές Απώλειες | 10.22 |

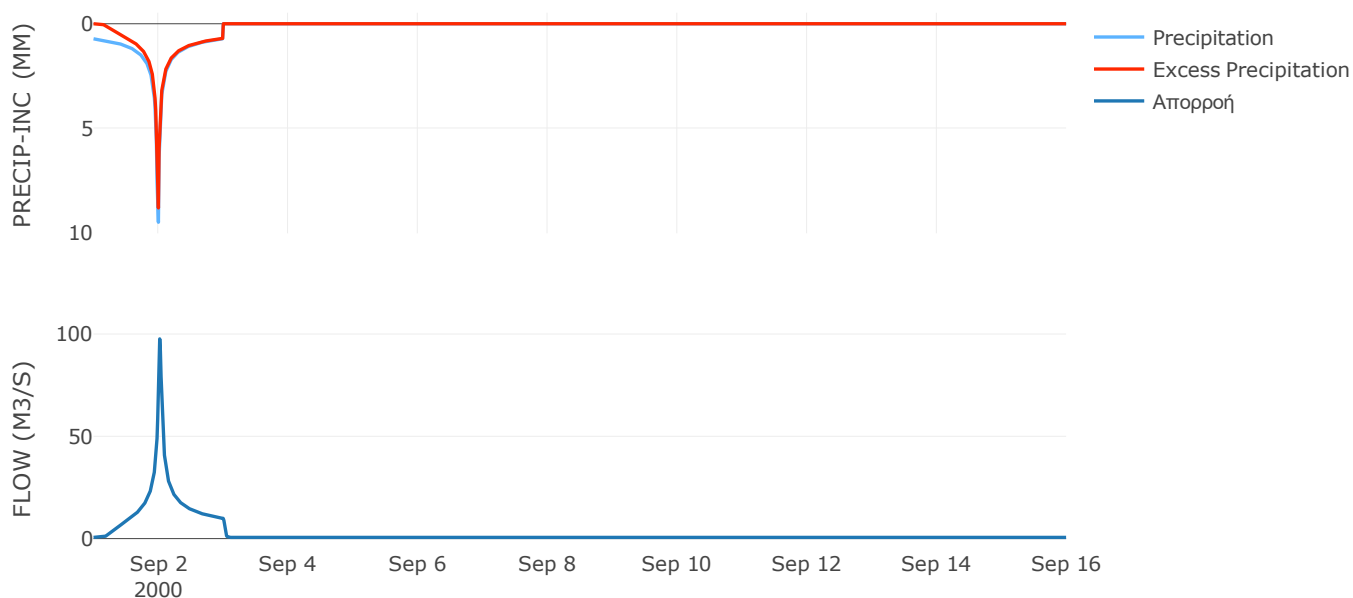
Μέθοδος Μετασχηματισμού: SCS

| | |
|------------------|-------|
| Χρόνος Υστέρησης | 28.55 |
|------------------|-------|

Αποτελέσματα:
EL0420FR4038

| | |
|-----------------------------|------------------|
| Παροχή αιχμής (M3/S) | 97.62 |
| Χρονική στιγμή αιχμής | 02Sep2000, 00:30 |
| Όγκος (MM) | 297.15 |
| Όγκος βροχόπτωσης (M3) | 3.36E6 |
| Όγκος απωλειών (M3) | 6.27E5 |
| Ενεργός Όγκος (M3) | 2.73E6 |
| Όγκος άμεσης απορροής (M3) | 2.73E6 |
| Όγκος βασικής απορροής (M3) | 7.62E5 |

Βροχόπτωση και Απορροή



Υπολεκάνη: EL0420FR4039

Έκταση (KM2) : 21.53

Κατάντη : J23

Μέθοδος Απωλειών: SCS

| | |
|--------------------------------|-------|
| Ποσοστό αδιαπέρατης επιφάνειας | 0 |
| Αριθμός Καμπύλης Απορροής-CN | 85.67 |
| Αρχικές Απώλειες | 8.5 |

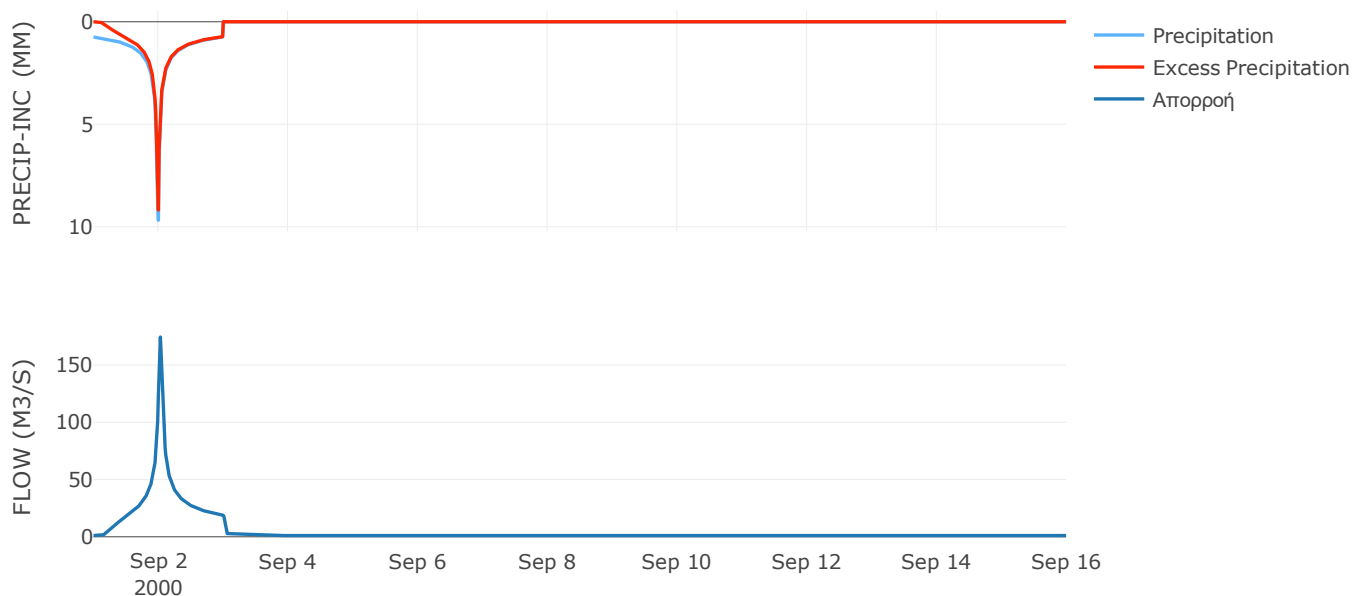
Μέθοδος Μετασχηματισμού: SCS

| | |
|------------------|-------|
| Χρόνος Υστέρησης | 37.68 |
|------------------|-------|

Αποτελέσματα:
EL0420FR4039

| | |
|-----------------------------|------------------|
| Παροχή αιχμής (M3/S) | 174.4 |
| Χρονική στιγμή αιχμής | 02Sep2000, 00:45 |
| Όγκος (MM) | 311.92 |
| Όγκος βροχόπτωσης (M3) | 6.3E6 |
| Όγκος απωλειών (M3) | 9.79E5 |
| Ενεργός Όγκος (M3) | 5.32E6 |
| Όγκος άμεσης απορροής (M3) | 5.32E6 |
| Όγκος βασικής απορροής (M3) | 1.4E6 |

Βροχόπτωση και Απορροή



Υπολεκάνη: EL0420FR4040

Έκταση (KM2) : 34.79

Κατάνη : J12

Μέθοδος Απωλειών: SCS

| | |
|--------------------------------|-------|
| Ποσοστό αδιαπέρατης επιφάνειας | 0 |
| Αριθμός Καμπύλης Απορροής-CN | 77.01 |
| Αρχικές Απώλειες | 15.16 |

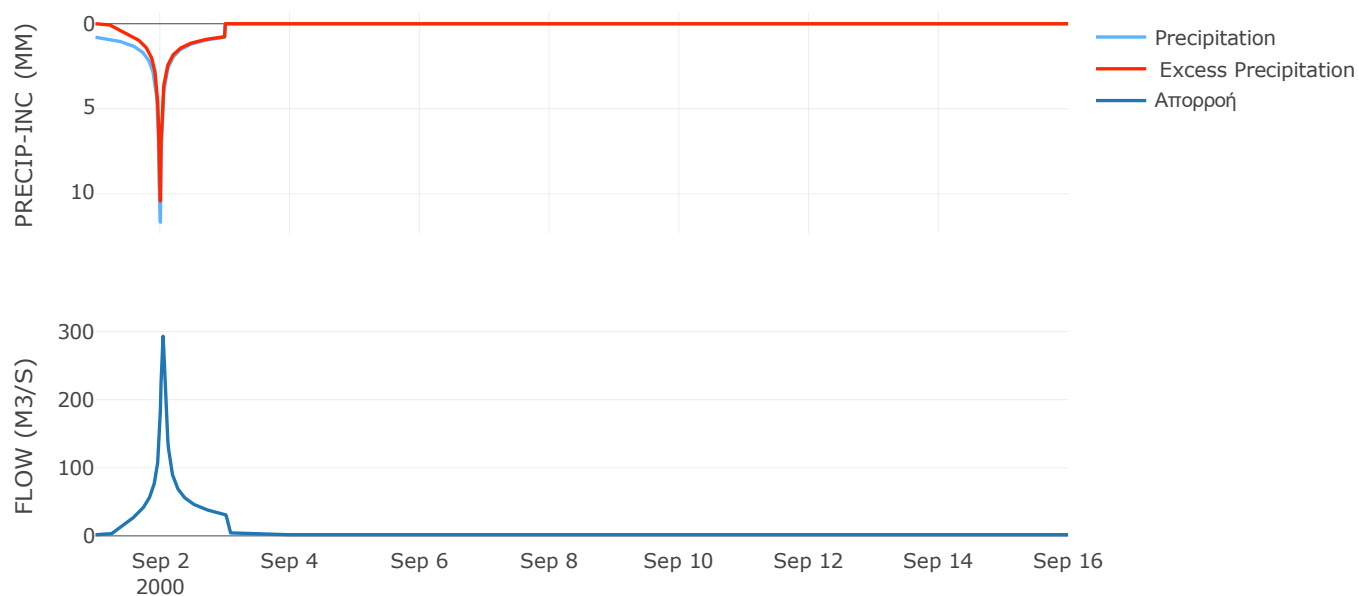
Μέθοδος Μετασχηματισμού: SCS

| | |
|------------------|-------|
| Χρόνος Υστέρησης | 49.83 |
|------------------|-------|

Αποτελέσματα:
EL0420FR4040

| | |
|-----------------------------|------------------|
| Παροχή αιχμής (M3/S) | 293.28 |
| Χρονική στιγμή αιχμής | 02Sep2000, 01:00 |
| Όγκος (MM) | 315 |
| Όγκος βροχόπτωσης (M3) | 1.14E7 |
| Όγκος απωλειών (M3) | 2.65E6 |
| Ενεργός Όγκος (M3) | 8.7E6 |
| Όγκος άμεσης απορροής (M3) | 8.7E6 |
| Όγκος βασικής απορροής (M3) | 2.25E6 |

Βροχόπτωση και Απορροή



Υπολεκάνη: EL0420FR4041

Έκταση (KM2) : 17.22

Κατάντη : J25

Μέθοδος Απωλειών: SCS

| | |
|--------------------------------|-------|
| Ποσοστό αδιαπέρατης επιφάνειας | 0 |
| Αριθμός Καμπύλης Απορροής-CN | 71.25 |
| Αρχικές Απώλειες | 20.5 |

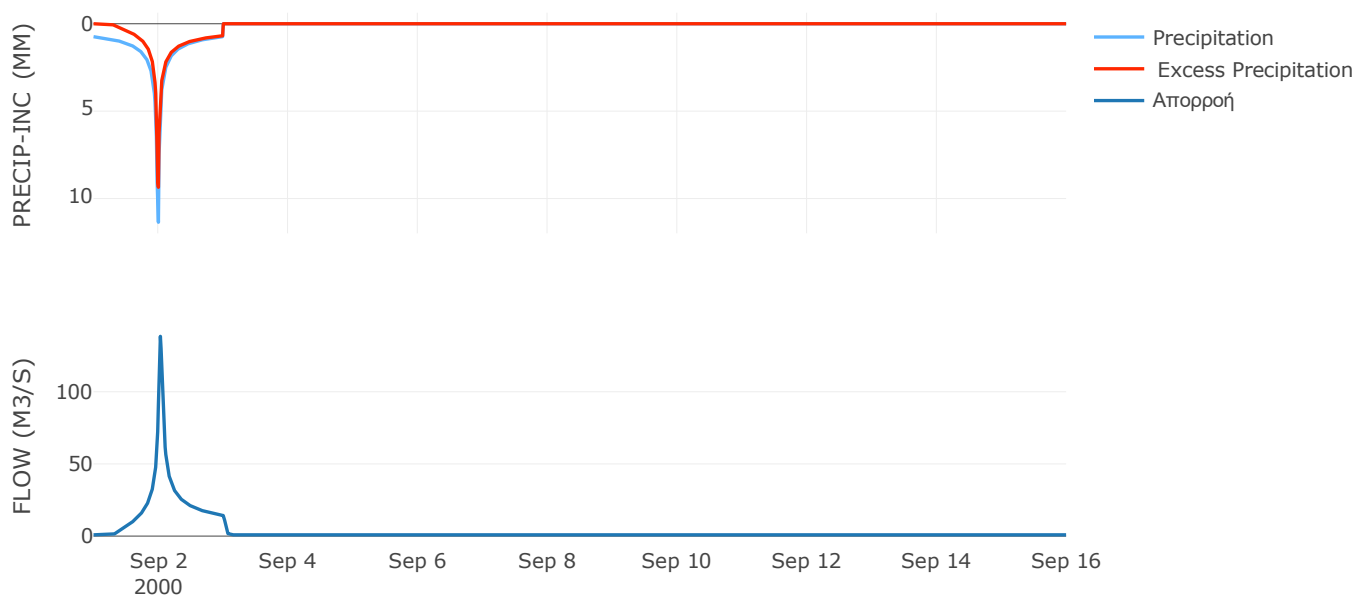
Μέθοδος Μετασχηματισμού: SCS

| | |
|------------------|-------|
| Χρόνος Υστέρησης | 39.48 |
|------------------|-------|

Αποτελέσματα:
EL0420FR4041

| | |
|-----------------------------|------------------|
| Παροχή αιχμής (M3/S) | 138.37 |
| Χρονική στιγμή αιχμής | 02Sep2000, 00:45 |
| Όγκος (MM) | 277.59 |
| Όγκος βροχόπτωσης (M3) | 5.32E6 |
| Όγκος απωλειών (M3) | 1.66E6 |
| Ενεργός Όγκος (M3) | 3.67E6 |
| Όγκος άμεσης απορροής (M3) | 3.67E6 |
| Όγκος βασικής απορροής (M3) | 1.12E6 |

Βροχόπτωση και Απορροή



Υπολεκάνη: EL0420FR4042

Έκταση (KM2) : 21.68

Κατάντη : J25

Μέθοδος Απωλειών: SCS

| | |
|--------------------------------|-------|
| Ποσοστό αδιαπέρατης επιφάνειας | 0 |
| Αριθμός Καμπύλης Απορροής-CN | 70.35 |
| Αρχικές Απώλειες | 21.41 |

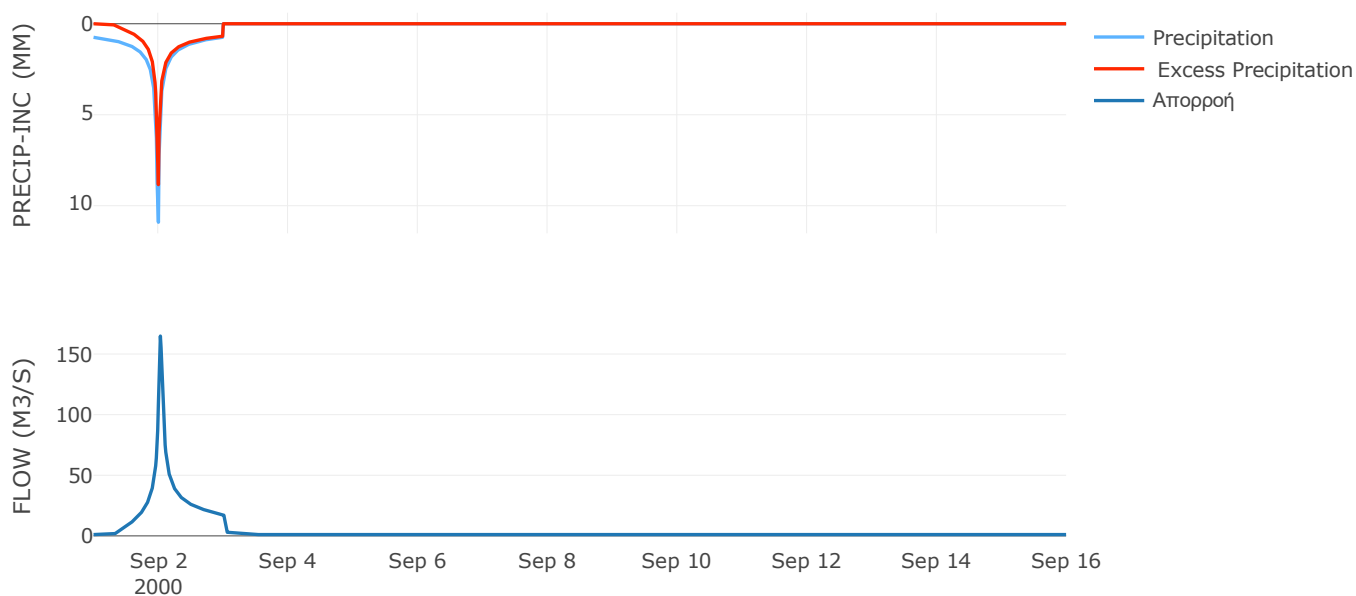
Μέθοδος Μετασχηματισμού: SCS

| | |
|------------------|-------|
| Χρόνος Υστέρησης | 39.52 |
|------------------|-------|

Αποτελέσματα:
EL0420FR4042

| | |
|-----------------------------|------------------|
| Παροχή αιχμής (M3/S) | 164.82 |
| Χρονική στιγμή αιχμής | 02Sep2000, 00:45 |
| Όγκος (MM) | 271.27 |
| Όγκος βροχόπτωσης (M3) | 6.63E6 |
| Όγκος απωλειών (M3) | 2.15E6 |
| Ενεργός Όγκος (M3) | 4.48E6 |
| Όγκος άμεσης απορροής (M3) | 4.48E6 |
| Όγκος βασικής απορροής (M3) | 1.4E6 |

Βροχόπτωση και Απορροή



Υπολεκάνη: EL0420FR4043

Έκταση (KM2) : 13.12

Κατάντη : J24

Μέθοδος Απωλειών: SCS

| | |
|--------------------------------|-------|
| Ποσοστό αδιαπέρατης επιφάνειας | 0 |
| Αριθμός Καμπύλης Απορροής-CN | 75.66 |
| Αρχικές Απώλειες | 16.34 |

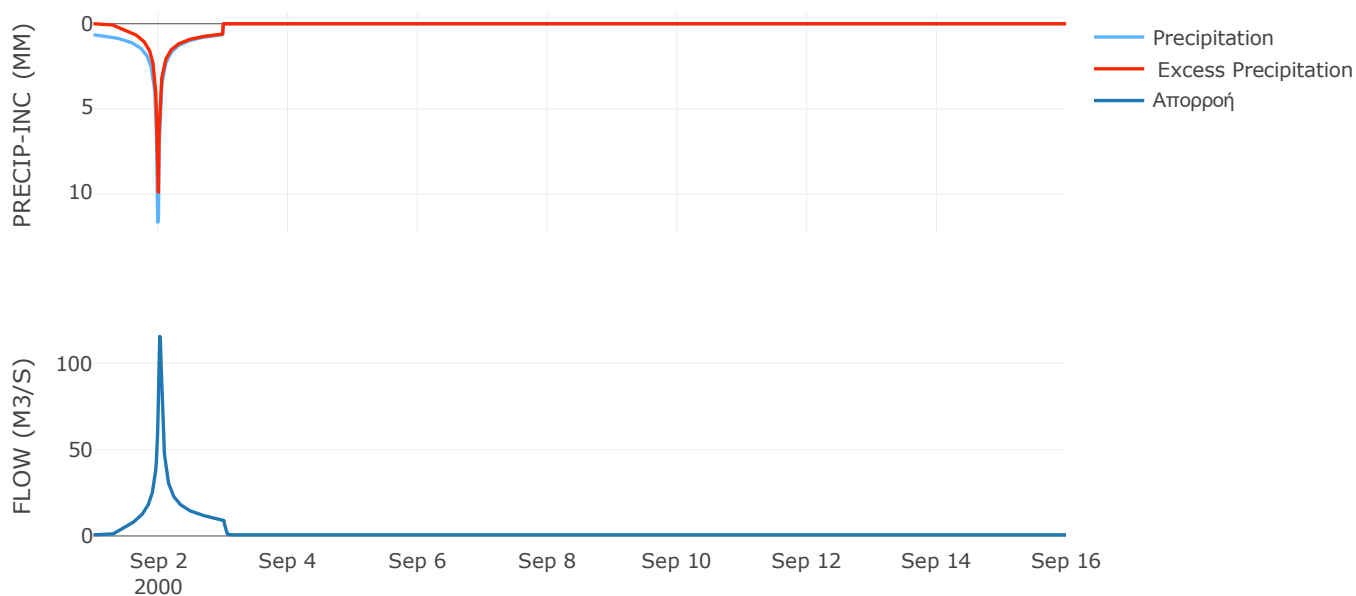
Μέθοδος Μετασχηματισμού: SCS

| | |
|------------------|-------|
| Χρόνος Υστέρησης | 32.79 |
|------------------|-------|

Αποτελέσματα:
EL0420FR4043

| | |
|-----------------------------|------------------|
| Παροχή αιχμής (M3/S) | 115.59 |
| Χρονική στιγμή αιχμής | 02Sep2000, 00:30 |
| Όγκος (MM) | 270.53 |
| Όγκος βροχόπτωσης (M3) | 3.74E6 |
| Όγκος απωλειών (M3) | 1.04E6 |
| Ενεργός Όγκος (M3) | 2.7E6 |
| Όγκος άμεσης απορροής (M3) | 2.7E6 |
| Όγκος βασικής απορροής (M3) | 8.5E5 |

Βροχόπτωση και Απορροή



Υπολεκάνη: EL0420FR4044

Έκταση (KM2) : 10.33

Κατάντη : J24

Μέθοδος Απωλειών: SCS

| | |
|--------------------------------|-------|
| Ποσοστό αδιαπέρατης επιφάνειας | 0 |
| Αριθμός Καμπύλης Απορροής-CN | 67.98 |
| Αρχικές Απώλειες | 23.93 |

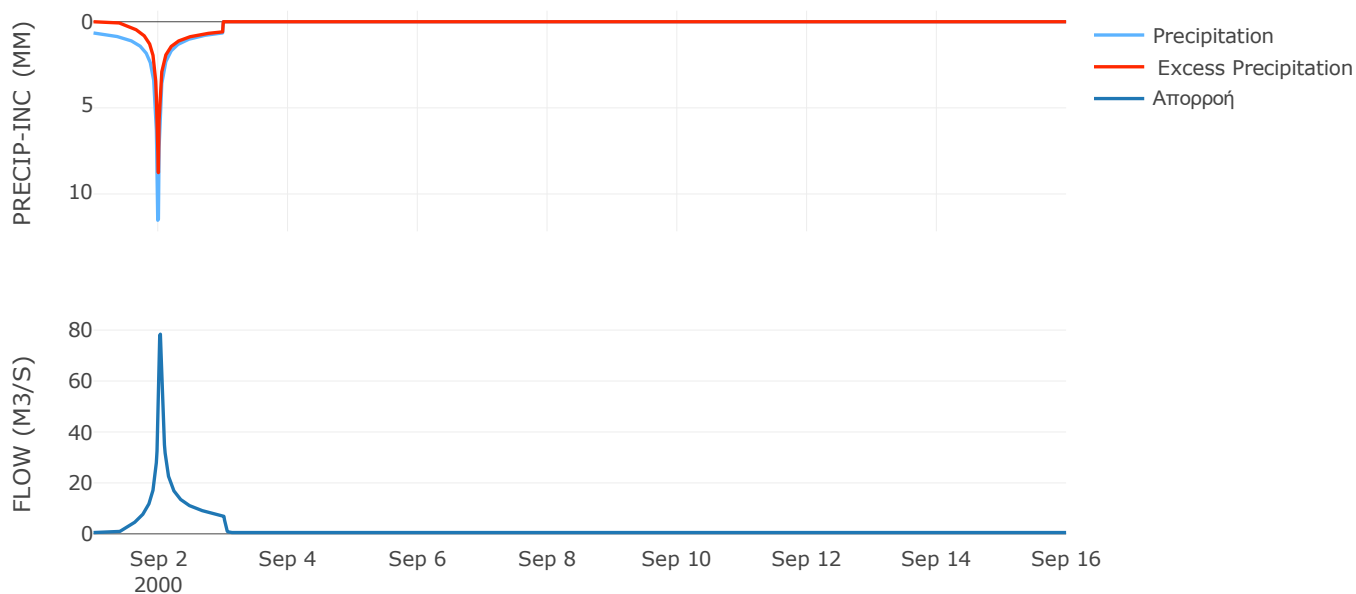
Μέθοδος Μετασχηματισμού: SCS

| | |
|------------------|-------|
| Χρόνος Υστέρησης | 34.95 |
|------------------|-------|

Αποτελέσματα:
EL0420FR4044

| | |
|-----------------------------|------------------|
| Παροχή αιχμής (M3/S) | 78.39 |
| Χρονική στιγμή αιχμής | 02Sep2000, 00:45 |
| Όγκος (MM) | 244.82 |
| Όγκος βροχόπτωσης (M3) | 2.96E6 |
| Όγκος απωλειών (M3) | 1.1E6 |
| Ενεργός Όγκος (M3) | 1.86E6 |
| Όγκος άμεσης απορροής (M3) | 1.86E6 |
| Όγκος βασικής απορροής (M3) | 6.7E5 |

Βροχόπτωση και Απορροή



Υπολεκάνη: EL0420FR4045

Έκταση (KM2) : 5.32

Κατάντη : J11

Μέθοδος Απωλειών: SCS

| | |
|--------------------------------|-------|
| Ποσοστό αδιαπέρατης επιφάνειας | 0 |
| Αριθμός Καμπύλης Απορροής-CN | 76.73 |
| Αρχικές Απώλειες | 15.41 |

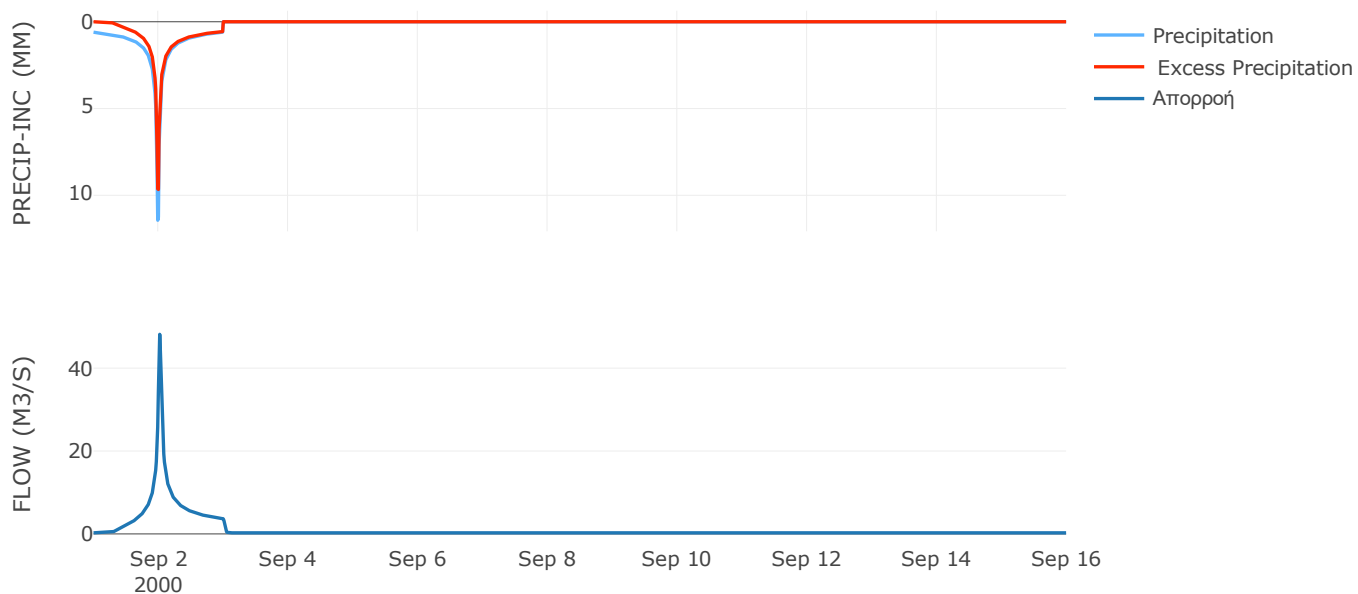
Μέθοδος Μετασχηματισμού: SCS

| | |
|------------------|-------|
| Χρόνος Υστέρησης | 27.29 |
|------------------|-------|

Αποτελέσματα:
EL0420FR4045

| | |
|-----------------------------|------------------|
| Παροχή αιχμής (M3/S) | 48.16 |
| Χρονική στιγμή αιχμής | 02Sep2000, 00:30 |
| Όγκος (MM) | 260.58 |
| Όγκος βροχόπτωσης (M3) | 1.44E6 |
| Όγκος απωλειών (M3) | 3.96E5 |
| Ενεργός Όγκος (M3) | 1.04E6 |
| Όγκος άμεσης απορροής (M3) | 1.04E6 |
| Όγκος βασικής απορροής (M3) | 3.44E5 |

Βροχόπτωση και Απορροή



Υπολεκάνη: EL0420FR4046

Έκταση (KM2) : 24.57

Κατάνη : J10

Μέθοδος Απωλειών: SCS

| | |
|--------------------------------|-------|
| Ποσοστό αδιαπέρατης επιφάνειας | 0 |
| Αριθμός Καμπύλης Απορροής-CN | 72.06 |
| Αρχικές Απώλειες | 19.7 |

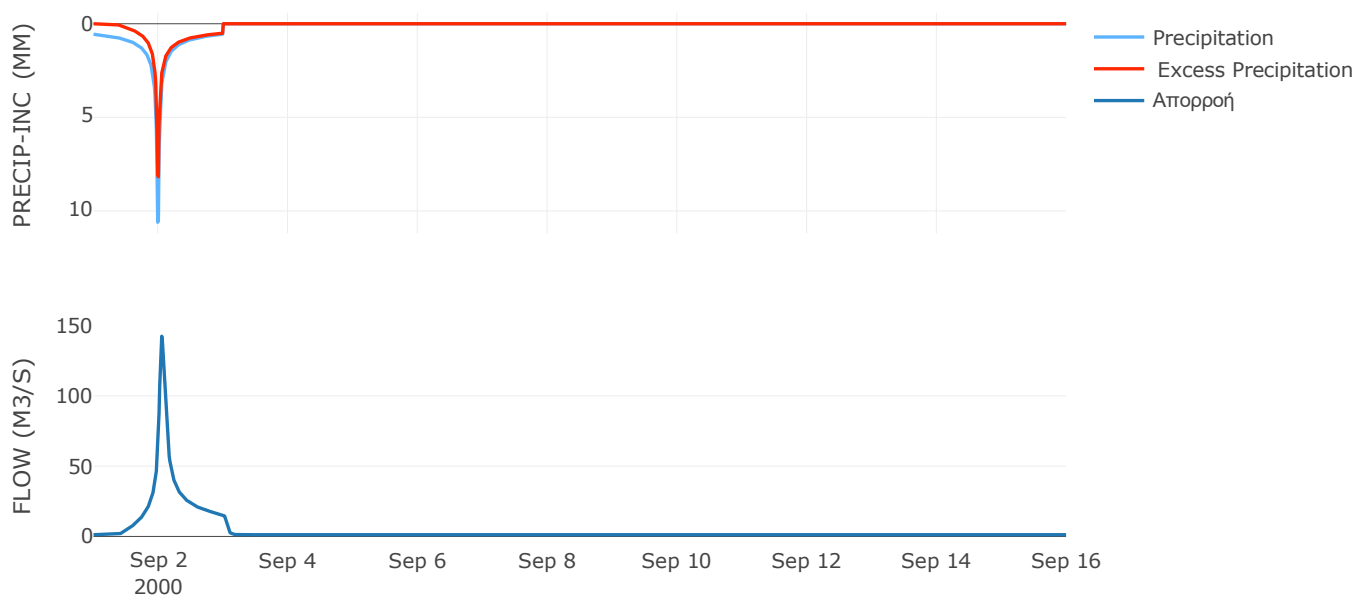
Μέθοδος Μετασχηματισμού: SCS

| | |
|------------------|-------|
| Χρόνος Υστέρησης | 69.03 |
|------------------|-------|

Αποτελέσματα:
EL0420FR4046

| | |
|-----------------------------|------------------|
| Παροχή αιχμής (M3/S) | 142.41 |
| Χρονική στιγμή αιχμής | 02Sep2000, 01:15 |
| Όγκος (MM) | 226.75 |
| Όγκος βροχόπτωσης (M3) | 6.16E6 |
| Όγκος απωλειών (M3) | 2.18E6 |
| Ενεργός Όγκος (M3) | 3.98E6 |
| Όγκος άμεσης απορροής (M3) | 3.98E6 |
| Όγκος βασικής απορροής (M3) | 1.59E6 |

Βροχόπτωση και Απορροή



Υπολεκάνη: EL0420FR4047

Έκταση (KM2) : 37.25

Κατάντη : J26

Μέθοδος Απωλειών: SCS

| | |
|--------------------------------|-------|
| Ποσοστό αδιαπέρατης επιφάνειας | 0 |
| Αριθμός Καμπύλης Απορροής-CN | 69.84 |
| Αρχικές Απώλειες | 21.93 |

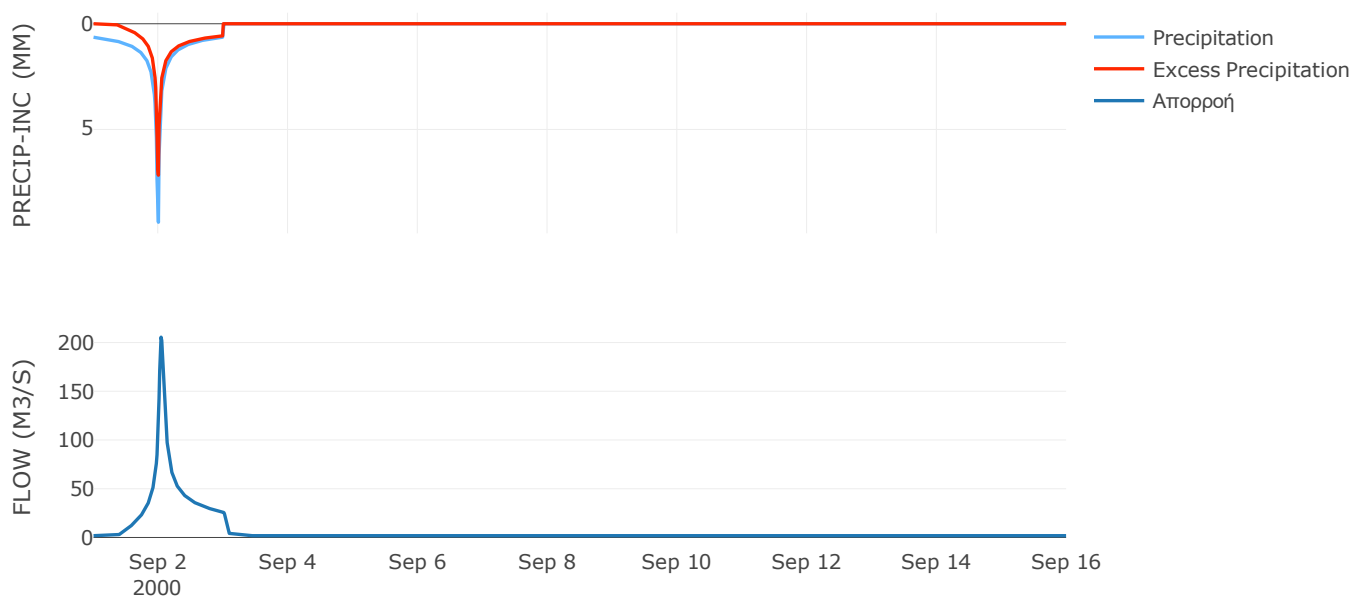
Μέθοδος Μετασχηματισμού: SCS

| | |
|------------------|-------|
| Χρόνος Υστέρησης | 58.12 |
|------------------|-------|

Αποτελέσματα:
EL0420FR4047

| | |
|-----------------------------|------------------|
| Παροχή αιχμής (M3/S) | 205.47 |
| Χρονική στιγμή αιχμής | 02Sep2000, 01:00 |
| Όγκος (MM) | 229.75 |
| Όγκος βροχόπτωσης (M3) | 9.77E6 |
| Όγκος απωλειών (M3) | 3.62E6 |
| Ενεργός Όγκος (M3) | 6.14E6 |
| Όγκος άμεσης απορροής (M3) | 6.14E6 |
| Όγκος βασικής απορροής (M3) | 2.41E6 |

Βροχόπτωση και Απορροή



Υπολεκάνη: EL0420FR4048

Έκταση (KM2) : 34.69

Κατάντη : J26

Μέθοδος Απωλειών: SCS

| | |
|--------------------------------|-------|
| Ποσοστό αδιαπέρατης επιφάνειας | 0 |
| Αριθμός Καμπύλης Απορροής-CN | 70.38 |
| Αρχικές Απώλειες | 21.38 |

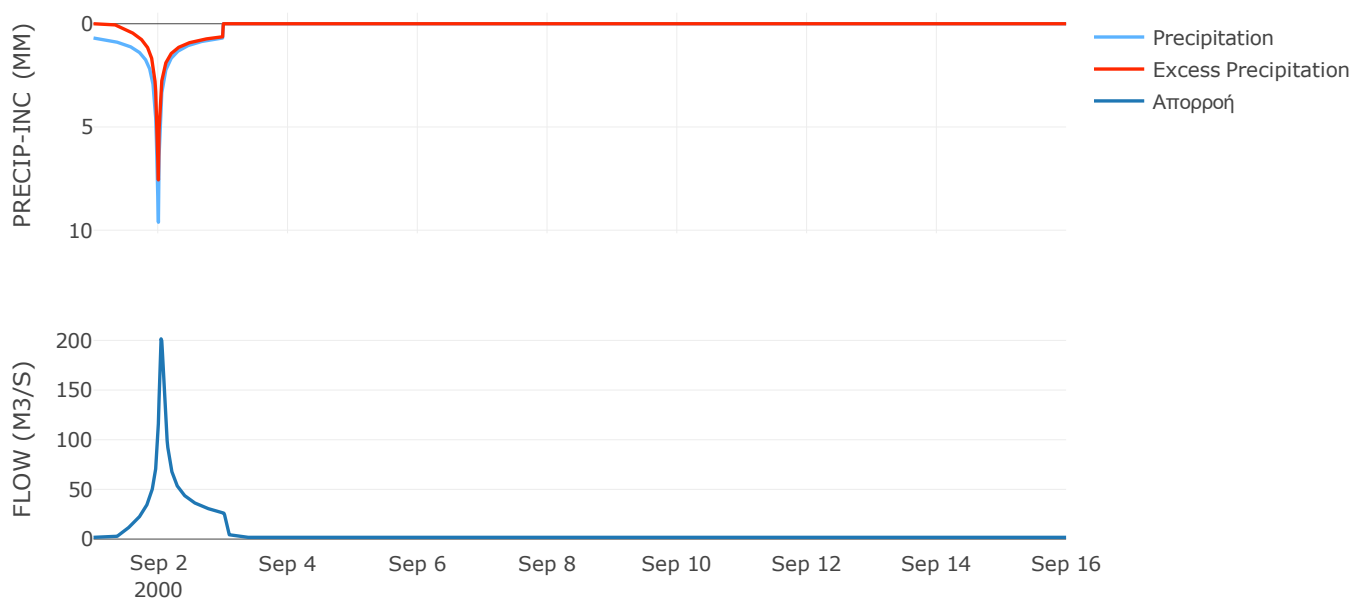
Μέθοδος Μετασχηματισμού: SCS

| | |
|------------------|-------|
| Χρόνος Υστέρησης | 59.86 |
|------------------|-------|

Αποτελέσματα:
EL0420FR4048

| | |
|-----------------------------|------------------|
| Παροχή αιχμής (M3/S) | 201.55 |
| Χρονική στιγμή αιχμής | 02Sep2000, 01:00 |
| Όγκος (MM) | 246.63 |
| Όγκος βροχόπτωσης (M3) | 9.67E6 |
| Όγκος απωλειών (M3) | 3.36E6 |
| Ενεργός Όγκος (M3) | 6.31E6 |
| Όγκος άμεσης απορροής (M3) | 6.31E6 |
| Όγκος βασικής απορροής (M3) | 2.25E6 |

Βροχόπτωση και Απορροή



Υπολεκάνη: EL0420FR4049

Έκταση (KM2) : 11.77

Κατάντη : J9

Μέθοδος Απωλειών: SCS

| | |
|--------------------------------|-------|
| Ποσοστό αδιαπέρατης επιφάνειας | 0 |
| Αριθμός Καμπύλης Απορροής-CN | 75.61 |
| Αρχικές Απώλειες | 16.39 |

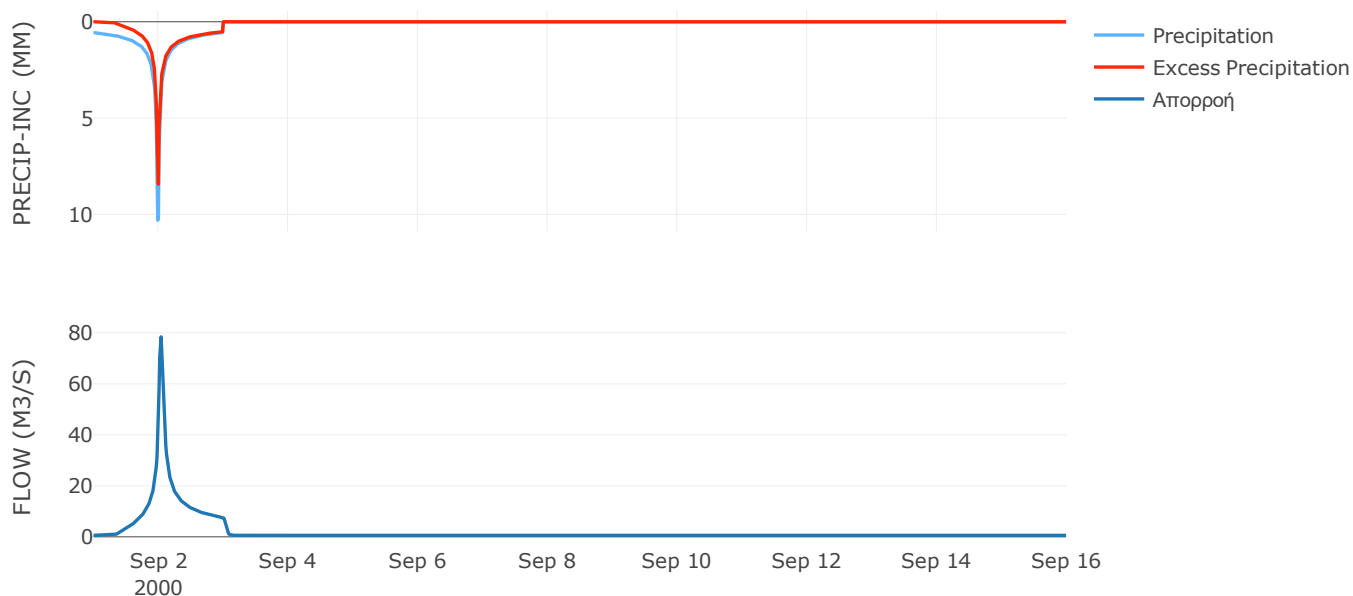
Μέθοδος Μετασχηματισμού: SCS

| | |
|------------------|-------|
| Χρόνος Υστέρησης | 49.85 |
|------------------|-------|

Αποτελέσματα:
EL0420FR4049

| | |
|-----------------------------|------------------|
| Παροχή αιχμής (M3/S) | 78.44 |
| Χρονική στιγμή αιχμής | 02Sep2000, 01:00 |
| Όγκος (MM) | 236.84 |
| Όγκος βροχόπτωσης (M3) | 2.93E6 |
| Όγκος απωλειών (M3) | 9.06E5 |
| Ενεργός Όγκος (M3) | 2.02E6 |
| Όγκος άμεσης απορροής (M3) | 2.02E6 |
| Όγκος βασικής απορροής (M3) | 7.63E5 |

Βροχόπτωση και Απορροή



Υπολεκάνη: EL0420FR4050

Έκταση (KM2) : 19.25

Κατάντη : J7

Μέθοδος Απωλειών: SCS

| | |
|--------------------------------|-------|
| Ποσοστό αδιαπέρατης επιφάνειας | 0 |
| Αριθμός Καμπύλης Απορροής-CN | 74.47 |
| Αρχικές Απώλειες | 17.41 |

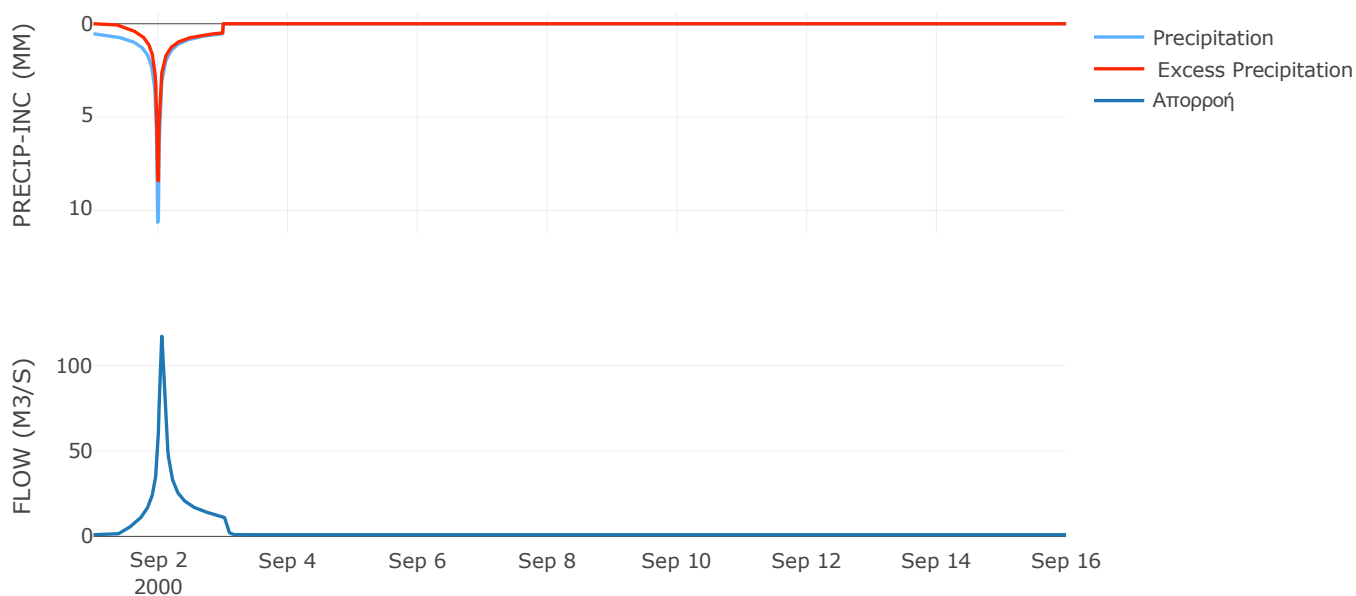
Μέθοδος Μετασχηματισμού: SCS

| | |
|------------------|-------|
| Χρόνος Υστέρησης | 64.23 |
|------------------|-------|

Αποτελέσματα:
EL0420FR4050

| | |
|-----------------------------|------------------|
| Παροχή αιχμής (M3/S) | 117.05 |
| Χρονική στιγμή αιχμής | 02Sep2000, 01:15 |
| Όγκος (MM) | 228.64 |
| Όγκος βροχόπτωσης (M3) | 4.7E6 |
| Όγκος απωλειών (M3) | 1.55E6 |
| Ενεργός Όγκος (M3) | 3.15E6 |
| Όγκος άμεσης απορροής (M3) | 3.15E6 |
| Όγκος βασικής απορροής (M3) | 1.25E6 |

Βροχόπτωση και Απορροή



Υπολεκάνη: EL0420FR4051

Έκταση (KM2) : 32.45

Κατάντη : J4

Μέθοδος Απωλειών: SCS

| | |
|--------------------------------|-------|
| Ποσοστό αδιαπέρατης επιφάνειας | 0 |
| Αριθμός Καμπύλης Απορροής-CN | 90.49 |
| Αρχικές Απώλειες | 5.34 |

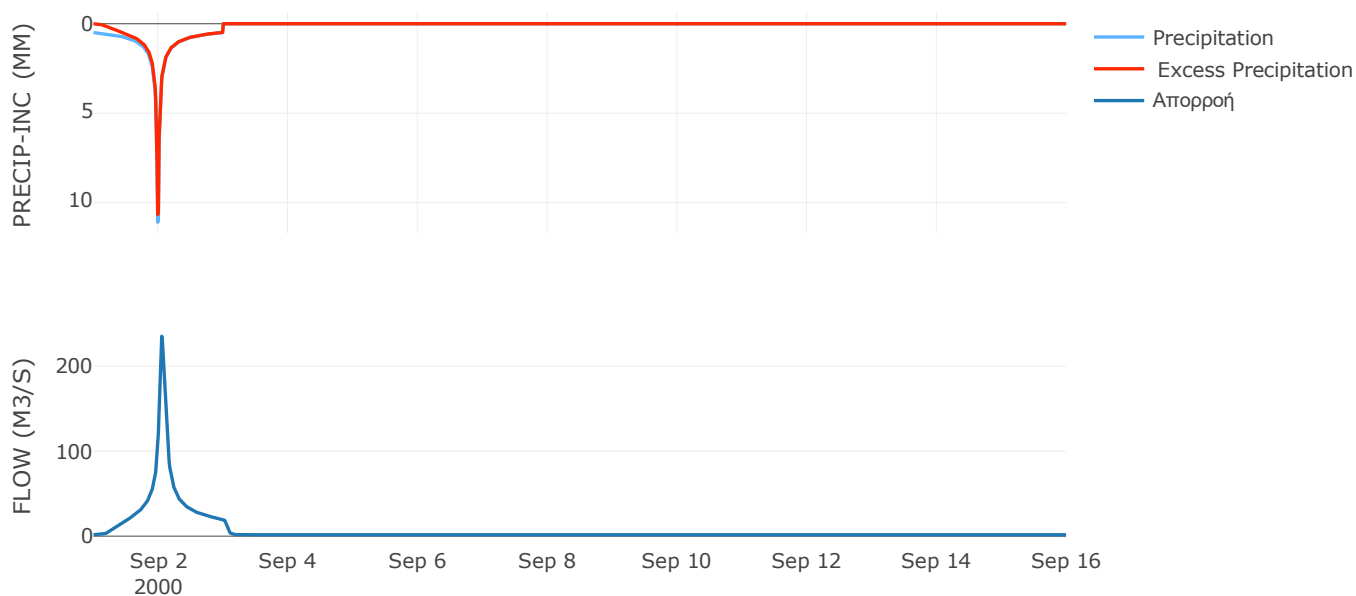
Μέθοδος Μετασχηματισμού: SCS

| | |
|------------------|-------|
| Χρόνος Υστέρησης | 72.92 |
|------------------|-------|

Αποτελέσματα:
EL0420FR4051

| | |
|-----------------------------|------------------|
| Παροχή αιχμής (M3/S) | 235.12 |
| Χρονική στιγμή αιχμής | 02Sep2000, 01:15 |
| Όγκος (MM) | 270.04 |
| Όγκος βροχόπτωσης (M3) | 7.61E6 |
| Όγκος απωλειών (M3) | 9.49E5 |
| Ενεργός Όγκος (M3) | 6.66E6 |
| Όγκος άμεσης απορροής (M3) | 6.66E6 |
| Όγκος βασικής απορροής (M3) | 2.1E6 |

Βροχόπτωση και Απορροή



Υπολεκάνη: EL0420FR4052

Έκταση (KM2) : 29.83

Κατάντη : J30

Μέθοδος Απωλειών: SCS

| | |
|--------------------------------|-------|
| Ποσοστό αδιαπέρατης επιφάνειας | 0 |
| Αριθμός Καμπύλης Απορροής-CN | 90.53 |
| Αρχικές Απώλειες | 5.31 |

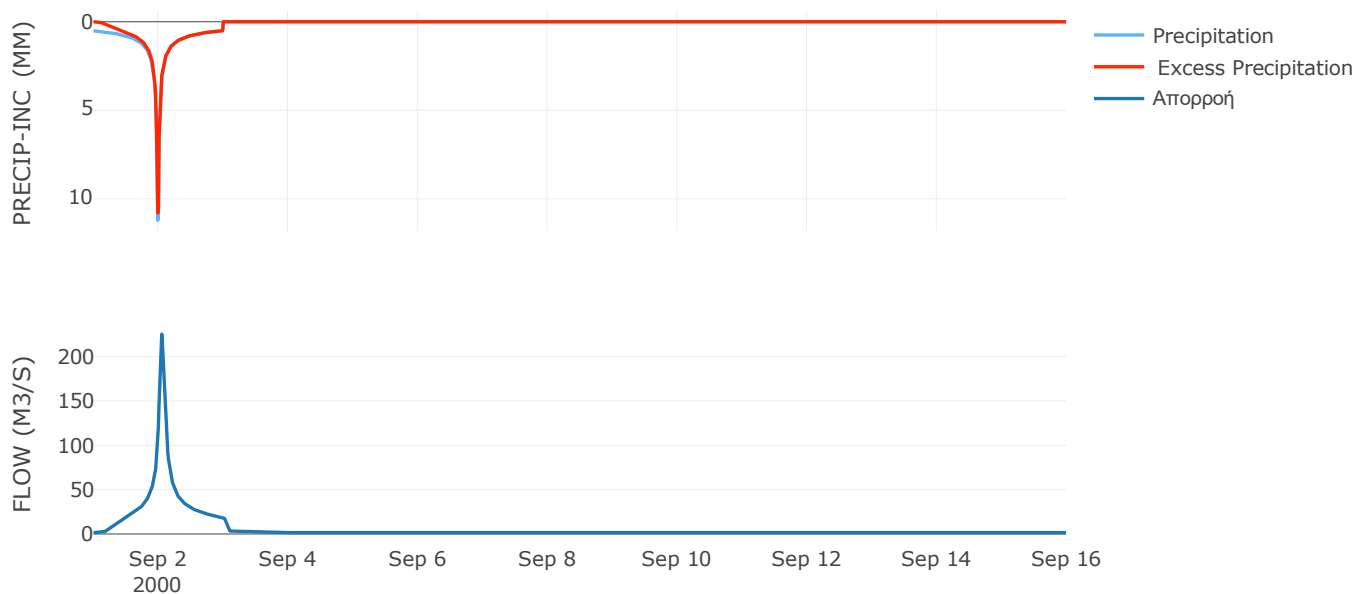
Μέθοδος Μετασχηματισμού: SCS

| | |
|------------------|-------|
| Χρόνος Υστέρησης | 67.31 |
|------------------|-------|

Αποτελέσματα:
EL0420FR4052

| | |
|-----------------------------|------------------|
| Παροχή αιχμής (M3/S) | 225.45 |
| Χρονική στιγμή αιχμής | 02Sep2000, 01:15 |
| Όγκος (MM) | 276.34 |
| Όγκος βροχόπτωσης (M3) | 7.18E6 |
| Όγκος απωλειών (M3) | 8.71E5 |
| Ενεργός Όγκος (M3) | 6.31E6 |
| Όγκος άμεσης απορροής (M3) | 6.31E6 |
| Όγκος βασικής απορροής (M3) | 1.93E6 |

Βροχόπτωση και Απορροή



Υπολεκάνη: EL0420FR4053

Έκταση (KM2) : 0.54

Κατάντη : J20

Μέθοδος Απωλειών: SCS

| | |
|--------------------------------|-------|
| Ποσοστό αδιαπέρατης επιφάνειας | 0 |
| Αριθμός Καμπύλης Απορροής-CN | 90.83 |
| Αρχικές Απώλειες | 5.13 |

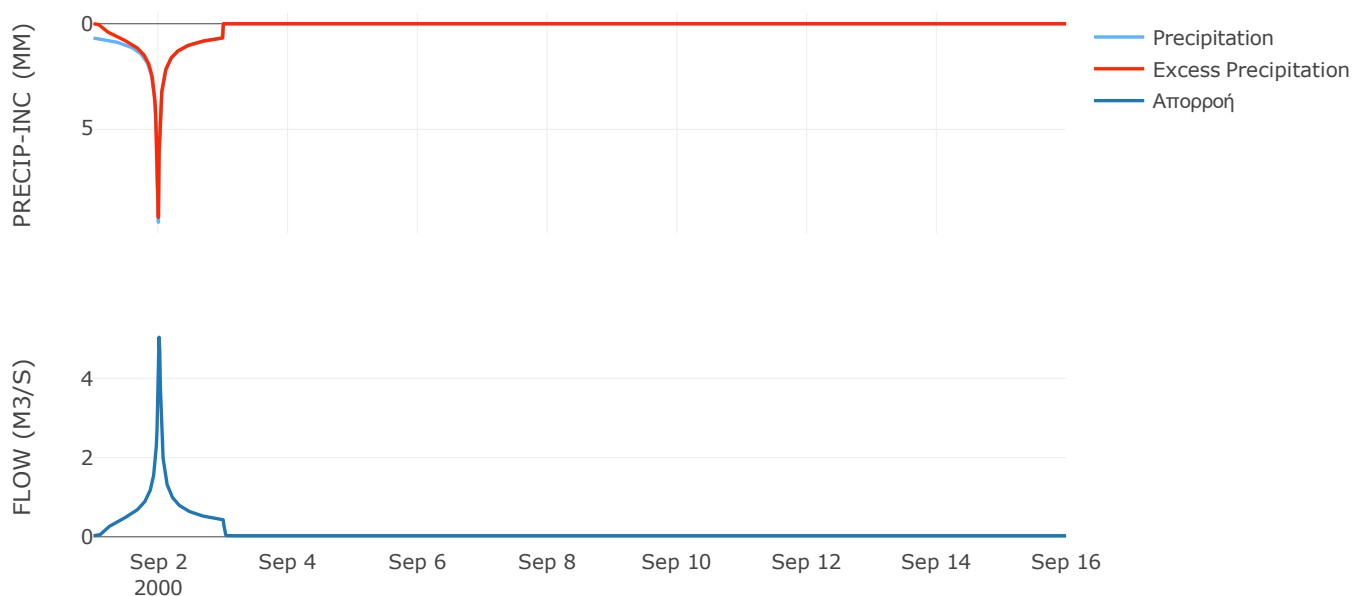
Μέθοδος Μετασχηματισμού: SCS

| | |
|------------------|-------|
| Χρόνος Υστέρησης | 15.88 |
|------------------|-------|

Αποτελέσματα:
EL0420FR4053

| | |
|-----------------------------|------------------|
| Παροχή αιχμής (M3/S) | 5.03 |
| Χρονική στιγμή αιχμής | 02Sep2000, 00:15 |
| Όγκος (MM) | 309.34 |
| Όγκος βροχόπτωσης (M3) | 1.47E5 |
| Όγκος απωλειών (M3) | 15304.39 |
| Ενεργός Όγκος (M3) | 1.31E5 |
| Όγκος άμεσης απορροής (M3) | 1.31E5 |
| Όγκος βασικής απορροής (M3) | 34766.5 |

Βροχόπτωση και Απορροή



Υπολεκάνη: EL0420FR4054

Έκταση (KM2) : 4.72

Κατάντη : J2

Μέθοδος Απωλειών: SCS

| | |
|--------------------------------|-------|
| Ποσοστό αδιαπέρατης επιφάνειας | 0 |
| Αριθμός Καμπύλης Απορροής-CN | 90.53 |
| Αρχικές Απώλειες | 5.31 |

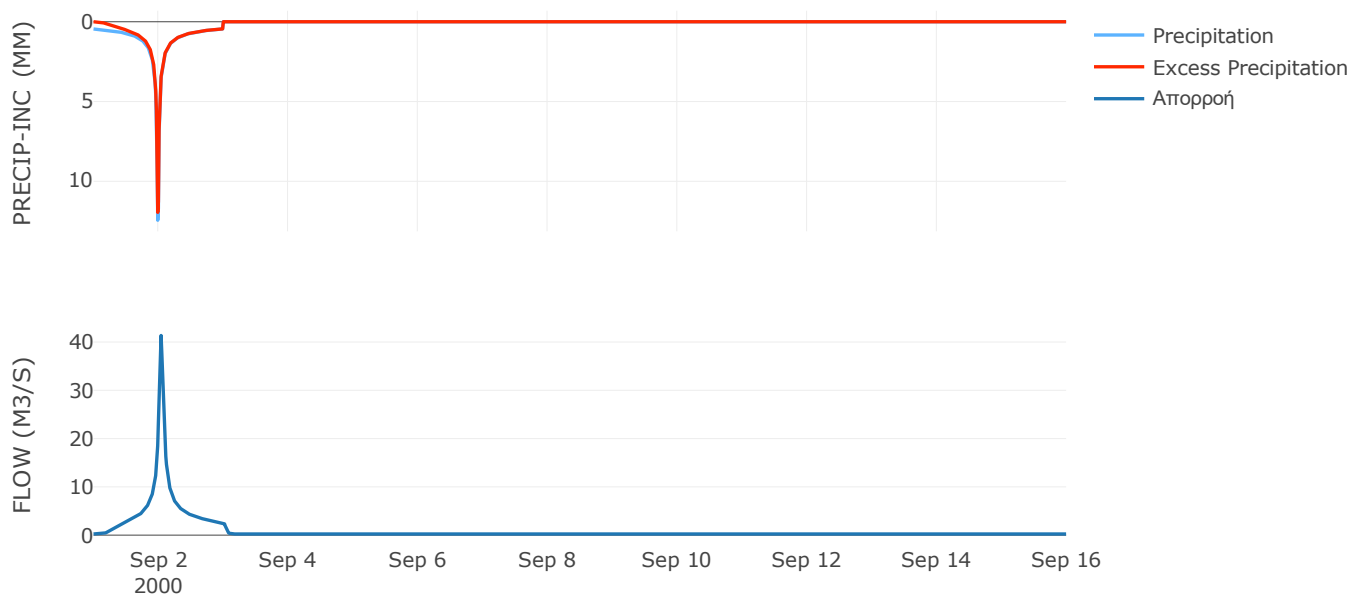
Μέθοδος Μετασχηματισμού: SCS

| | |
|------------------|------|
| Χρόνος Υστέρησης | 51.2 |
|------------------|------|

Αποτελέσματα:
EL0420FR4054

| | |
|-----------------------------|------------------|
| Παροχή αιχμής (M3/S) | 41.35 |
| Χρονική στιγμή αιχμής | 02Sep2000, 01:00 |
| Όγκος (MM) | 266.98 |
| Όγκος βροχόπτωσης (M3) | 1.09E6 |
| Όγκος απωλειών (M3) | 1.37E5 |
| Ενεργός Όγκος (M3) | 9.54E5 |
| Όγκος άμεσης απορροής (M3) | 9.54E5 |
| Όγκος βασικής απορροής (M3) | 3.06E5 |

Βροχόπτωση και Απορροή



Υπολεκάνη: EL0420FR4055

Έκταση (KM2) : 10.12

Κατάντη : Diversion - 1

Μέθοδος Απωλειών: SCS

| | |
|--------------------------------|-------|
| Ποσοστό αδιαπέρατης επιφάνειας | 4.1 |
| Αριθμός Καμπύλης Απορροής-CN | 85.92 |
| Αρχικές Απώλειες | 8.33 |

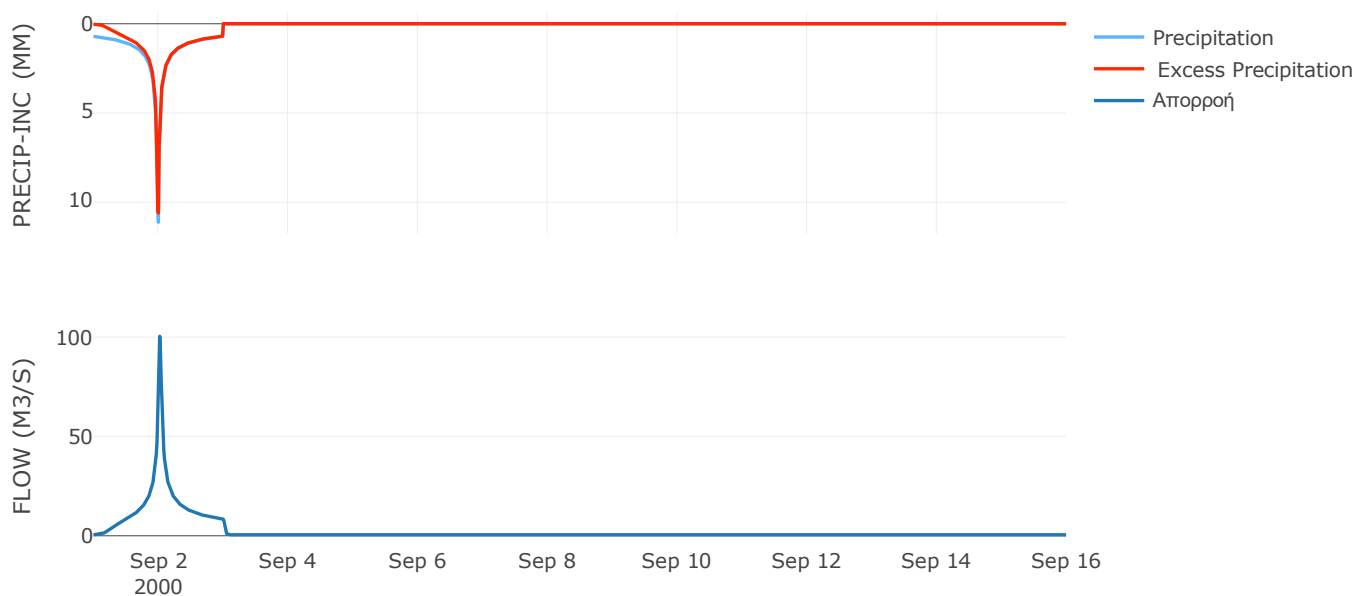
Μέθοδος Μετασχηματισμού: SCS

| | |
|------------------|-------|
| Χρόνος Υστέρησης | 29.12 |
|------------------|-------|

Αποτελέσματα:
EL0420FR4055

| | |
|-----------------------------|------------------|
| Παροχή αιχμής (M3/S) | 100.43 |
| Χρονική στιγμή αιχμής | 02Sep2000, 00:30 |
| Όγκος (MM) | 319.28 |
| Όγκος βροχόπτωσης (M3) | 3.01E6 |
| Όγκος απωλειών (M3) | 4.34E5 |
| Ενεργός Όγκος (M3) | 2.58E6 |
| Όγκος άμεσης απορροής (M3) | 2.58E6 |
| Όγκος βασικής απορροής (M3) | 6.56E5 |

Βροχόπτωση και Απορροή



Υπολεκάνη: EL0420FR4056

Έκταση (KM2) : 13.8

Κατάντη : J5

Μέθοδος Απωλειών: SCS

| | |
|--------------------------------|-------|
| Ποσοστό αδιαπέρατης επιφάνειας | 0 |
| Αριθμός Καμπύλης Απορροής-CN | 90.47 |
| Αρχικές Απώλειες | 5.35 |

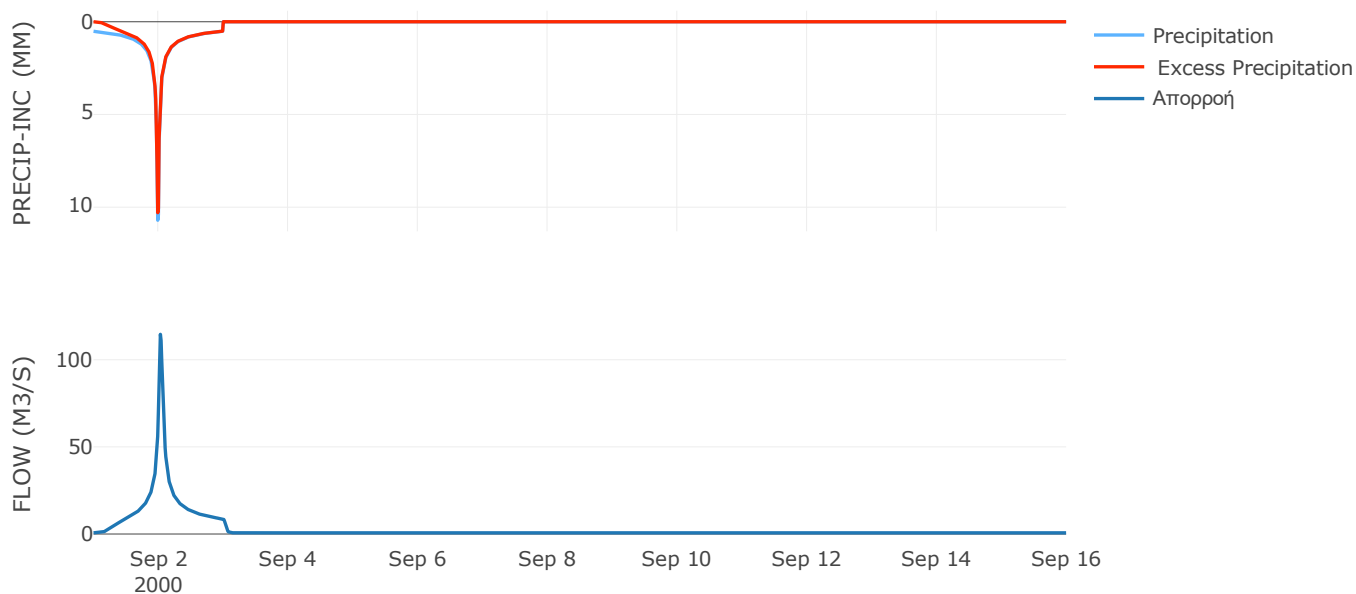
Μέθοδος Μετασχηματισμού: SCS

| | |
|------------------|-------|
| Χρόνος Υστέρησης | 46.09 |
|------------------|-------|

Αποτελέσματα:
EL0420FR4056

| | |
|-----------------------------|------------------|
| Παροχή αιχμής (M3/S) | 114.59 |
| Χρονική στιγμή αιχμής | 02Sep2000, 00:45 |
| Όγκος (MM) | 273.4 |
| Όγκος βροχόπτωσης (M3) | 3.28E6 |
| Όγκος απωλειών (M3) | 4.05E5 |
| Ενεργός Όγκος (M3) | 2.88E6 |
| Όγκος άμεσης απορροής (M3) | 2.88E6 |
| Όγκος βασικής απορροής (M3) | 8.94E5 |

Βροχόπτωση και Απορροή



7.2 Δεδομένα και Υδρογραφήματα Σχεδιασμού Κλάδων Υδρογραφικού Δικτύου

Κλάδος: R21

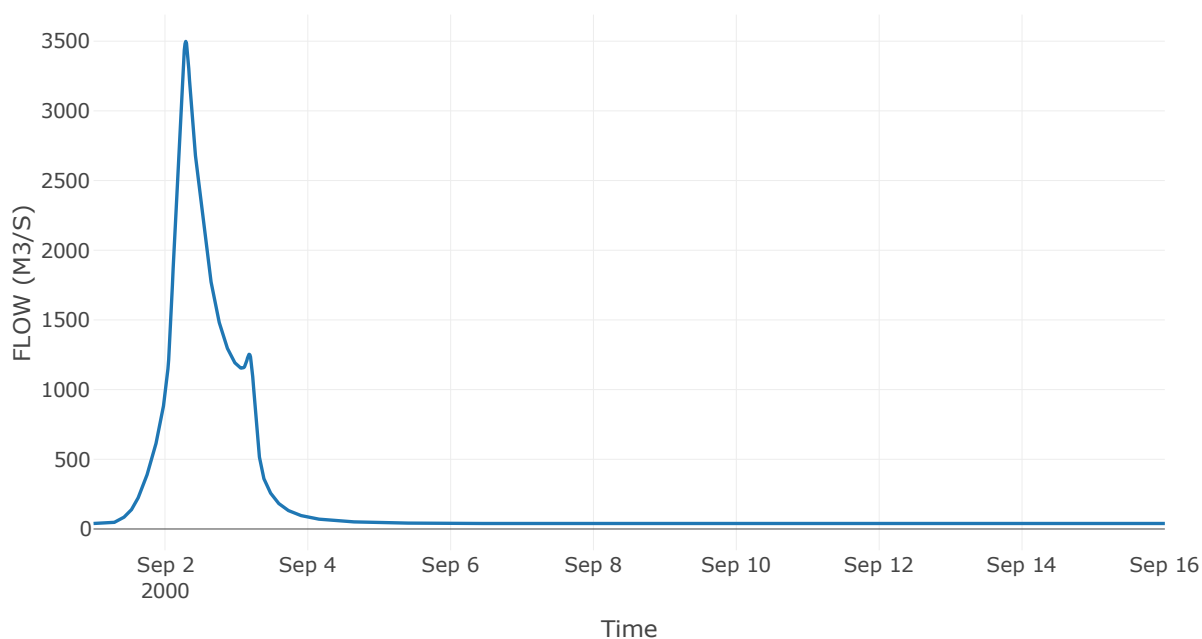
Κατάντη : J1

| | |
|----------------------|-----------------|
| Μέθοδος Διόδευσης | Muskingum |
| Αρχική Μεταβλητή | Combined Inflow |
| Χρόνος Ροής K | 1.67 |
| Συντελεστής βάρους x | 0.2 |
| Πλήθος Υποκλάδων | 7 |

Αποτελέσματα: R21

| | |
|------------------------------|------------------|
| Παροχή Αιχμής(M3/S) | 3498.48 |
| Χρονική στιγμή αιχμής | 02Sep2000, 07:00 |
| Όγκος(MM) | 261.92 |
| Παροχή Αιχμής Εισόδου (M3/S) | 3563.94 |
| Όγκος Εισροής(M3) | 2.81E8 |

Απορροή



Κλάδος: R32

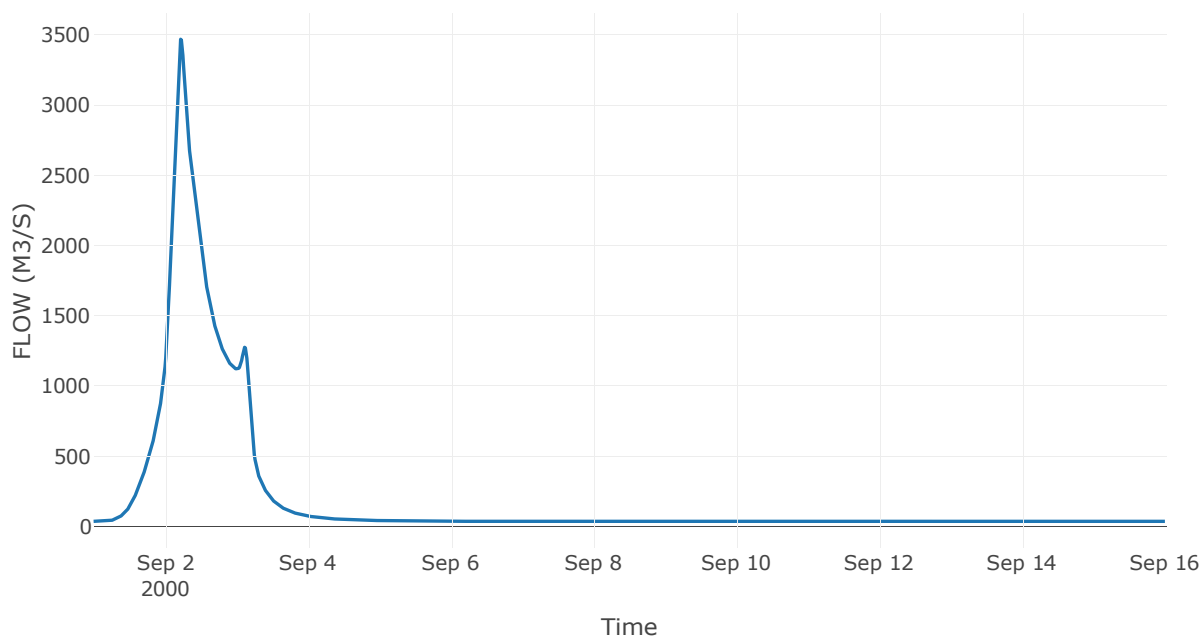
Κατάντη : J2

| | |
|----------------------|-----------------|
| Μέθοδος Διόδευσης | Muskingum |
| Αρχική Μεταβλητή | Combined Inflow |
| Χρόνος Ροής K | 0.4 |
| Συντελεστής βάρους x | 0.2 |
| Πλήθος Υποκλάδων | 2 |

Αποτελέσματα: R32

| | |
|------------------------------|------------------|
| Παροχή Αιχμής(M3/S) | 3469.11 |
| Χρονική στιγμή αιχμής | 02Sep2000, 05:15 |
| Όγκος(MM) | 261.43 |
| Παροχή Αιχμής Εισόδου (M3/S) | 3484.99 |
| Όγκος Εισροής(M3) | 2.67E8 |

Απορροή



Κλάδος: R43

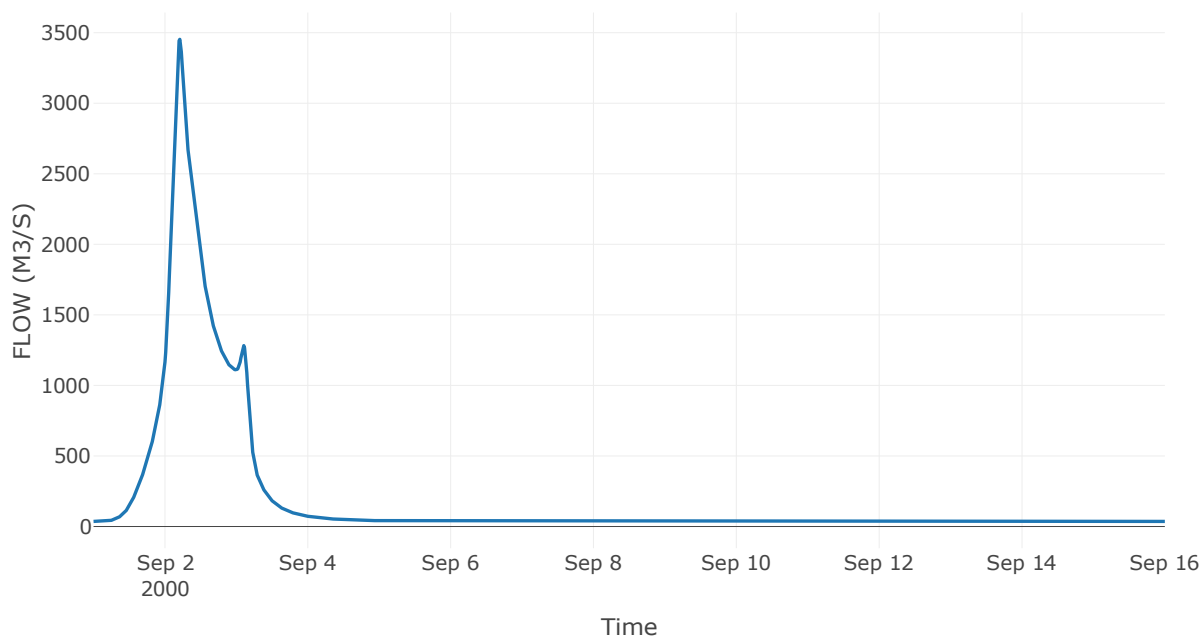
Κατάντη : J3

| | |
|----------------------|-----------------|
| Μέθοδος Διόδευσης | Muskingum |
| Αρχική Μεταβλητή | Combined Inflow |
| Χρόνος Ροής K | 0.5 |
| Συντελεστής βάρους x | 0.2 |
| Πλήθος Υποκλάδων | 2 |

Αποτελέσματα: R43

| | |
|------------------------------|------------------|
| Παροχή Αιχμής(M3/S) | 3452.84 |
| Χρονική στιγμή αιχμής | 02Sep2000, 05:00 |
| Όγκος(MM) | 261.6 |
| Παροχή Αιχμής Εισόδου (M3/S) | 3477.99 |
| Όγκος Εισροής(M3) | 2.63E8 |

Απορροή



Κλάδος: R54

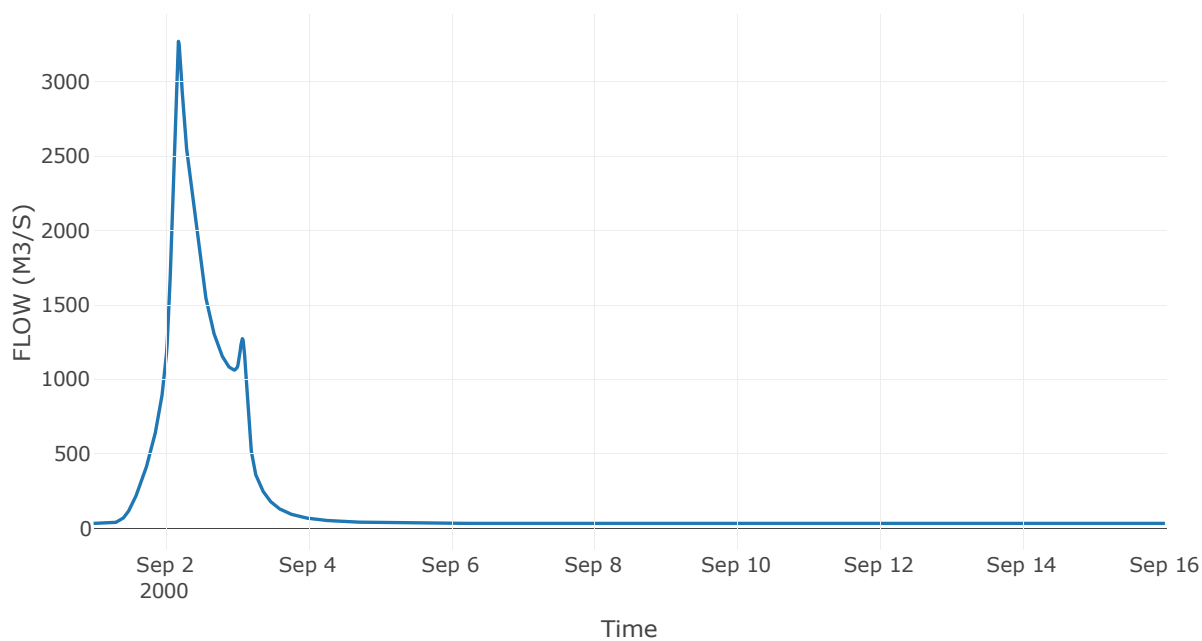
Κατάντη : J4

| | |
|----------------------|-----------------|
| Μέθοδος Διόδευσης | Muskingum |
| Αρχική Μεταβλητή | Combined Inflow |
| Χρόνος Ροής K | 1.19 |
| Συντελεστής βάρους x | 0.2 |
| Πλήθος Υποκλάδων | 5 |

Αποτελέσματα: R54

| | |
|------------------------------|------------------|
| Παροχή Αιχμής(M3/S) | 3270.9 |
| Χρονική στιγμή αιχμής | 02Sep2000, 04:30 |
| Όγκος(MM) | 260.92 |
| Παροχή Αιχμής Εισόδου (M3/S) | 3339.5 |
| Όγκος Εισροής(M3) | 2.42E8 |

Απορροή



Κλάδος: R65

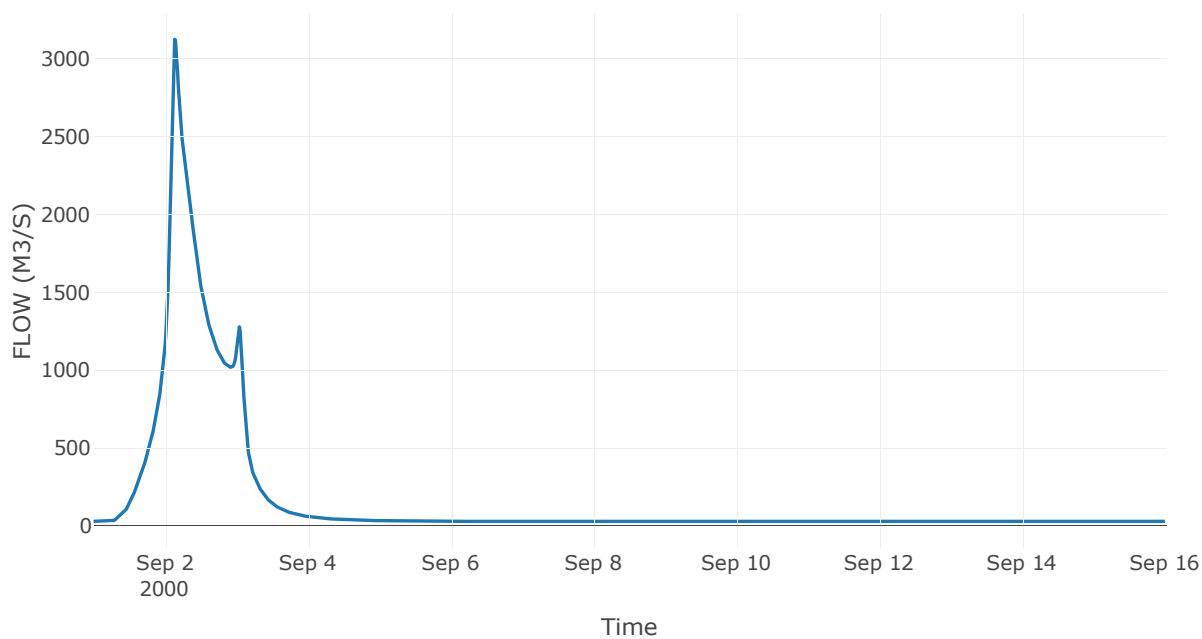
Κατάντη : J5

| | |
|----------------------|-----------------|
| Μέθοδος Διόδευσης | Muskingum |
| Αρχική Μεταβλητή | Combined Inflow |
| Χρόνος Ροής K | 0.92 |
| Συντελεστής βάρους x | 0.2 |
| Πλήθος Υποκλάδων | 4 |

Αποτελέσματα: R65

| | |
|------------------------------|------------------|
| Παροχή Αιχμής(M3/S) | 3124.15 |
| Χρονική στιγμή αιχμής | 02Sep2000, 03:15 |
| Όγκος(MM) | 260.9 |
| Παροχή Αιχμής Εισόδου (M3/S) | 3182.19 |
| Όγκος Εισροής(M3) | 2.26E8 |

Απορροή



Κλάδος: R76

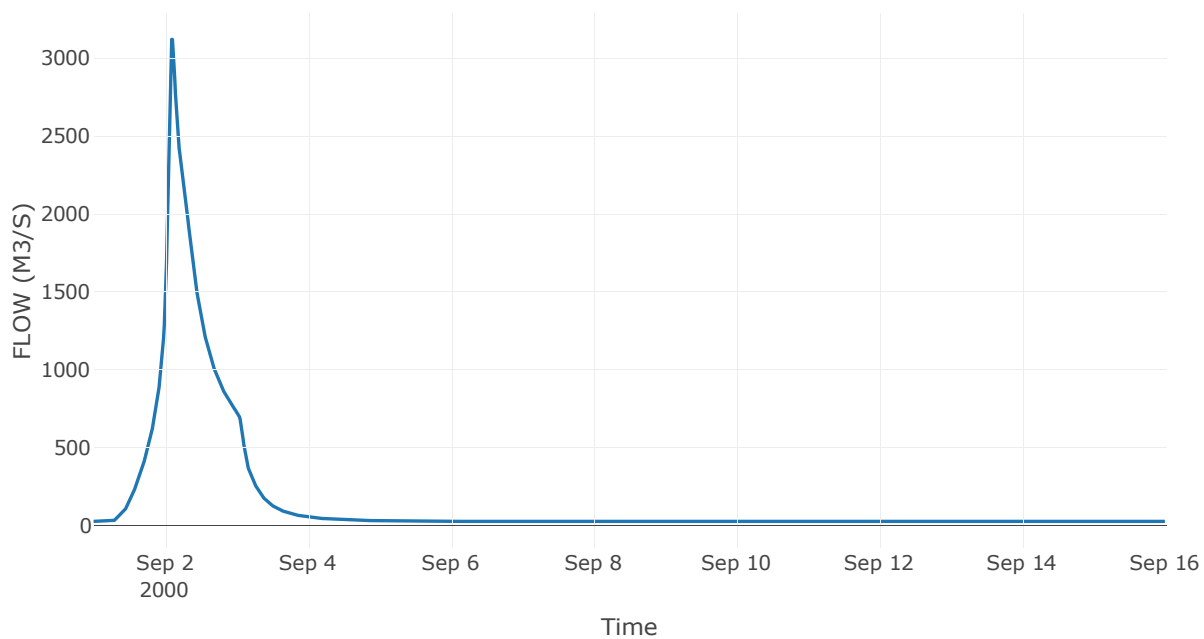
Κατάντη : J6

| | |
|-------------------|------------------|
| Μέθοδος Διόδευσης | Χρόνος Υστέρησης |
| Αρχική Μεταβλητή | Combined Inflow |
| Χρόνος Υστέρησης | 4.2 |

Αποτελέσματα: R76

| | |
|------------------------------|------------------|
| Παροχή Αιχμής(M3/S) | 3118.92 |
| Χρονική στιγμή αιχμής | 02Sep2000, 02:15 |
| Όγκος(MM) | 253.12 |
| Παροχή Αιχμής Εισόδου (M3/S) | 3131.93 |
| Όγκος Εισροής(M3) | 2.07E8 |

Απορροή



Κλάδος: R87

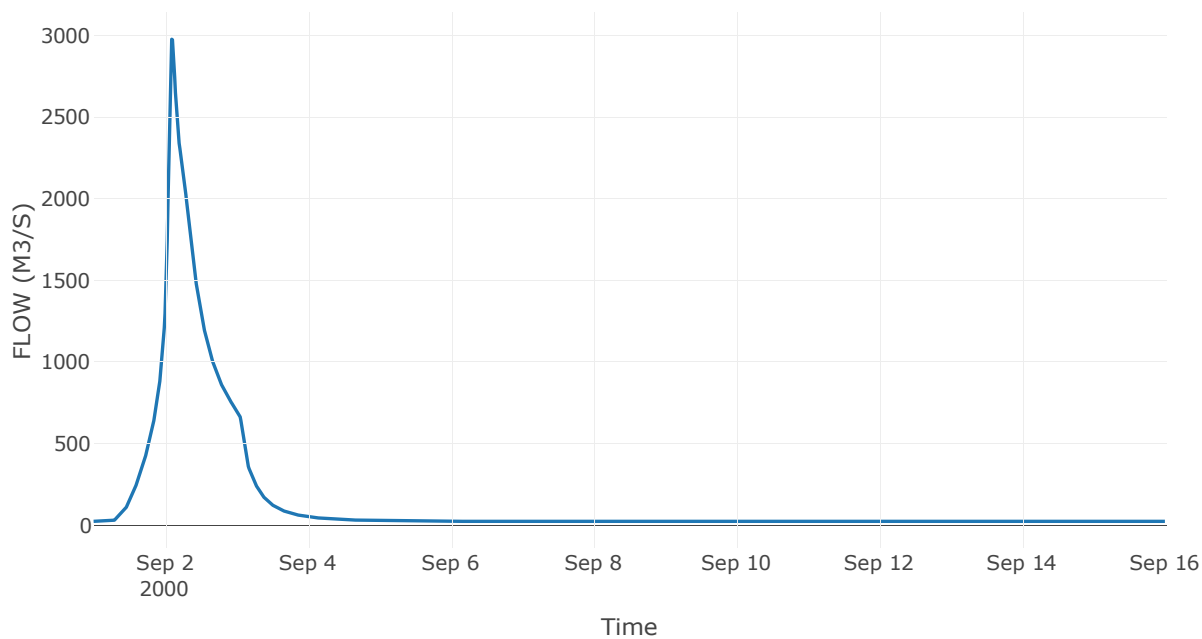
Κατάντη : J7

| | |
|----------------------|-----------------|
| Μέθοδος Διόδευσης | Muskingum |
| Αρχική Μεταβλητή | Combined Inflow |
| Χρόνος Ροής K | 0.58 |
| Συντελεστής βάρους x | 0.2 |
| Πλήθος Υποκλάδων | 2 |

Αποτελέσματα: R87

| | |
|------------------------------|------------------|
| Παροχή Αιχμής(M3/S) | 2975.44 |
| Χρονική στιγμή αιχμής | 02Sep2000, 02:15 |
| Όγκος(MM) | 253.91 |
| Παροχή Αιχμής Εισόδου (M3/S) | 3042.06 |
| Όγκος Εισροής(M3) | 1.99E8 |

Απορροή



Κλάδος: R98

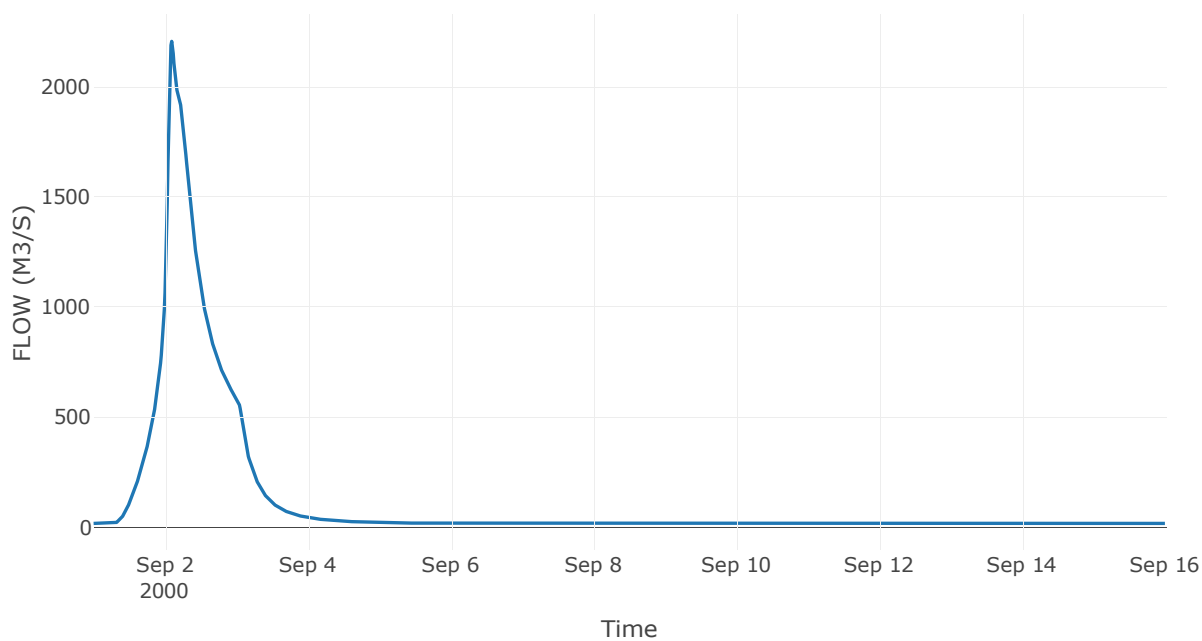
Κατάντη : J8

| | |
|----------------------|-----------------|
| Μέθοδος Διόδευσης | Muskingum |
| Αρχική Μεταβλητή | Combined Inflow |
| Χρόνος Ροής K | 0.3 |
| Συντελεστής βάρους x | 0.2 |
| Πλήθος Υποκλάδων | 1 |

Αποτελέσματα: R98

| | |
|------------------------------|------------------|
| Παροχή Αιχμής(M3/S) | 2206.82 |
| Χρονική στιγμή αιχμής | 02Sep2000, 02:15 |
| Όγκος(MM) | 253.05 |
| Παροχή Αιχμής Εισόδου (M3/S) | 2222.19 |
| Όγκος Εισροής(M3) | 1.59E8 |

Απορροή



Κλάδος: R109

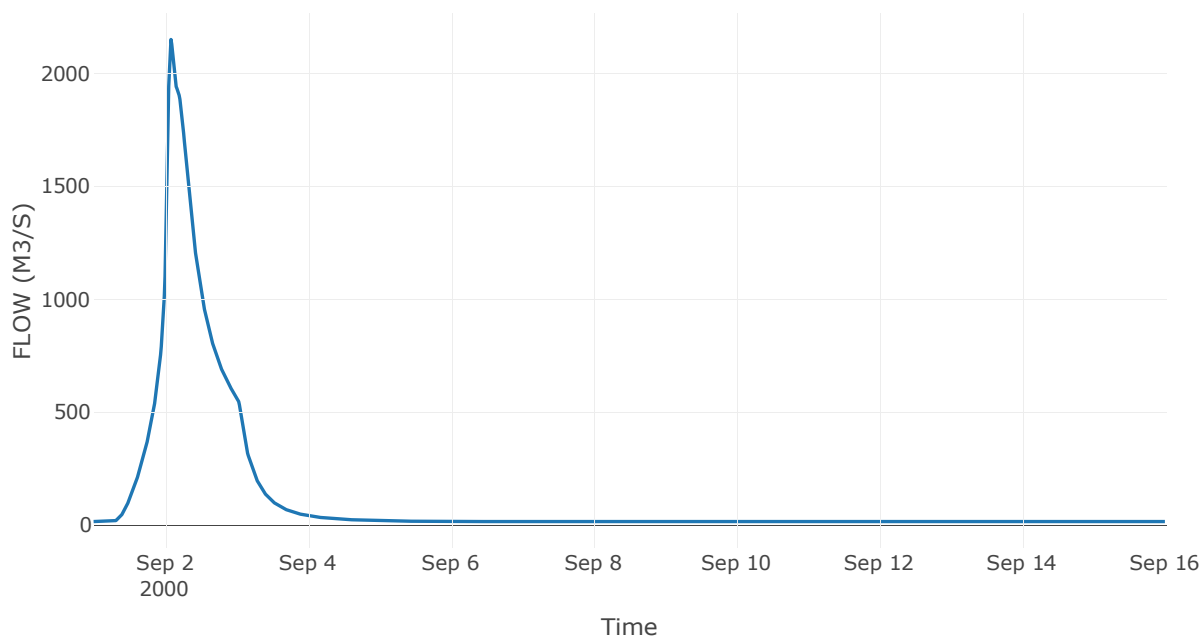
Κατάντη : J9

| | |
|----------------------|-----------------|
| Μέθοδος Διόδευσης | Muskingum |
| Αρχική Μεταβλητή | Combined Inflow |
| Χρόνος Ροής K | 0.24 |
| Συντελεστής βάρους x | 0.2 |
| Πλήθος Υποκλάδων | 1 |

Αποτελέσματα: R109

| | |
|------------------------------|------------------|
| Παροχή Αιχμής(M3/S) | 2149.71 |
| Χρονική στιγμή αιχμής | 02Sep2000, 02:00 |
| Όγκος(MM) | 253.32 |
| Παροχή Αιχμής Εισόδου (M3/S) | 2161.18 |
| Όγκος Εισροής(M3) | 1.55E8 |

Απορροή



Κλάδος: R1110

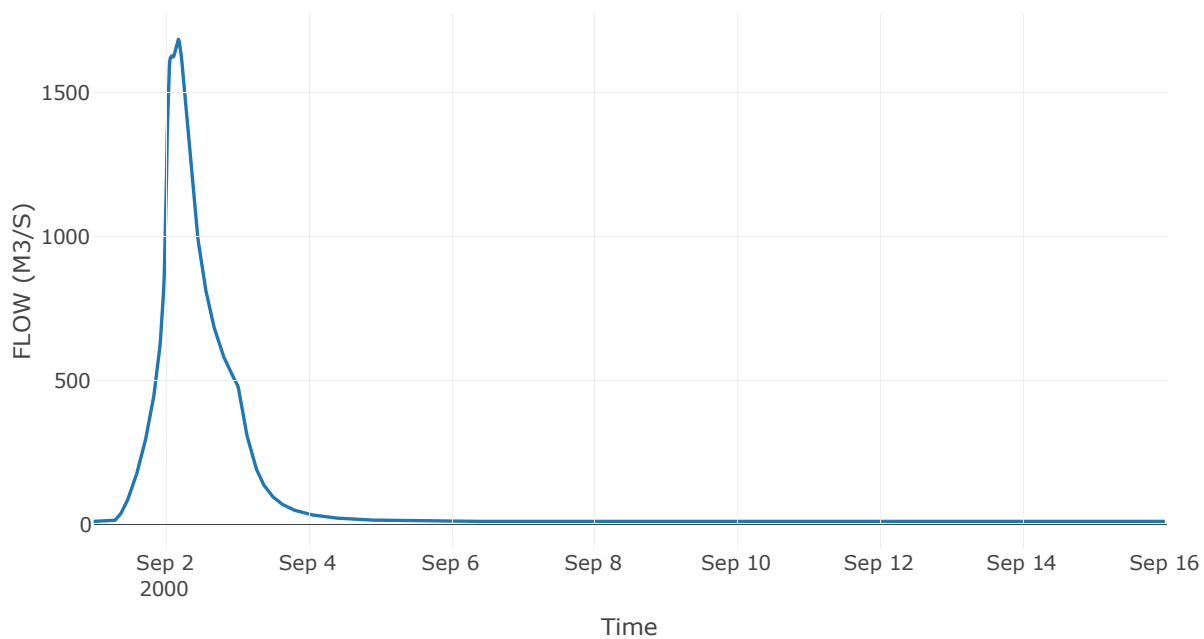
Κατάντη : J10

| | |
|----------------------|-----------------|
| Μέθοδος Διόδευσης | Muskingum |
| Αρχική Μεταβλητή | Combined Inflow |
| Χρόνος Ροής K | 0.2 |
| Συντελεστής βάρους x | 0.2 |
| Πλήθος Υποκλάδων | 1 |

Αποτελέσματα: R1110

| | |
|------------------------------|------------------|
| Παροχή Αιχμής(M3/S) | 1684.24 |
| Χρονική στιγμή αιχμής | 02Sep2000, 04:30 |
| Όγκος(MM) | 256.81 |
| Παροχή Αιχμής Εισόδου (M3/S) | 1685.99 |
| Όγκος Εισροής(M3) | 1.32E8 |

Απορροή



Κλάδος: R1211

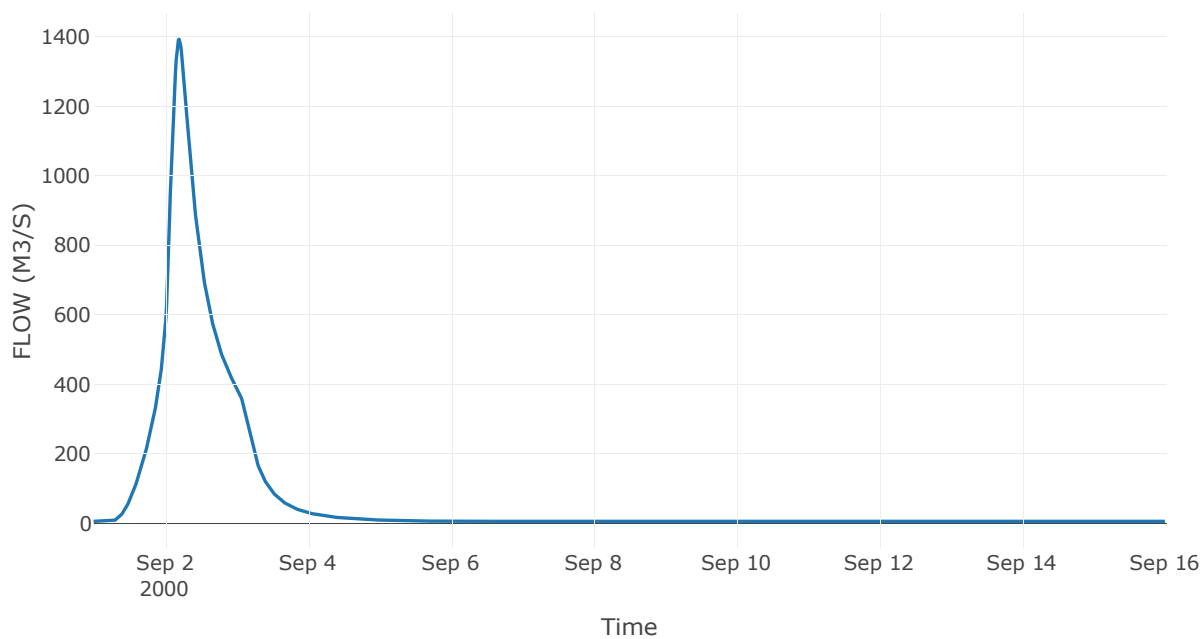
Κατάντη : J11

| | |
|----------------------|-----------------|
| Μέθοδος Διόδευσης | Muskingum |
| Αρχική Μεταβλητή | Combined Inflow |
| Χρόνος Ροής K | 1.14 |
| Συντελεστής βάρους x | 0.2 |
| Πλήθος Υποκλάδων | 5 |

Αποτελέσματα: R1211

| | |
|------------------------------|------------------|
| Παροχή Αιχμής(M3/S) | 1392.74 |
| Χρονική στιγμή αιχμής | 02Sep2000, 04:45 |
| Όγκος(MM) | 253.4 |
| Παροχή Αιχμής Εισόδου (M3/S) | 1403.56 |
| Όγκος Εισροής(M3) | 9.86E7 |

Απορροή



Κλάδος: R1312

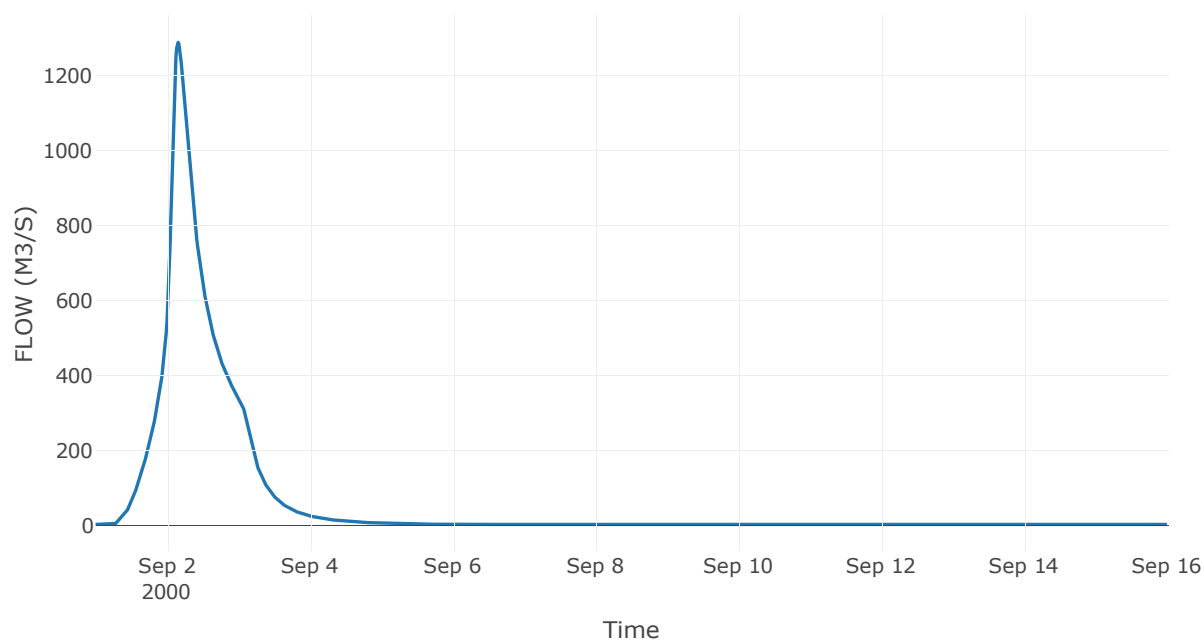
Κατάντη : J12

| | |
|-------------------|------------------|
| Μέθοδος Διόδευσης | Χρόνος Υστέρησης |
| Αρχική Μεταβλητή | Combined Inflow |
| Χρόνος Υστέρησης | 4.61 |

Αποτελέσματα: R1312

| | |
|------------------------------|------------------|
| Παροχή Αιχμής(M3/S) | 1288.6 |
| Χρονική στιγμή αιχμής | 02Sep2000, 03:45 |
| Όγκος(MM) | 246.86 |
| Παροχή Αιχμής Εισόδου (M3/S) | 1288.65 |
| Όγκος Εισροής(M3) | 8.69E7 |

Απορροή



Κλάδος: R1413

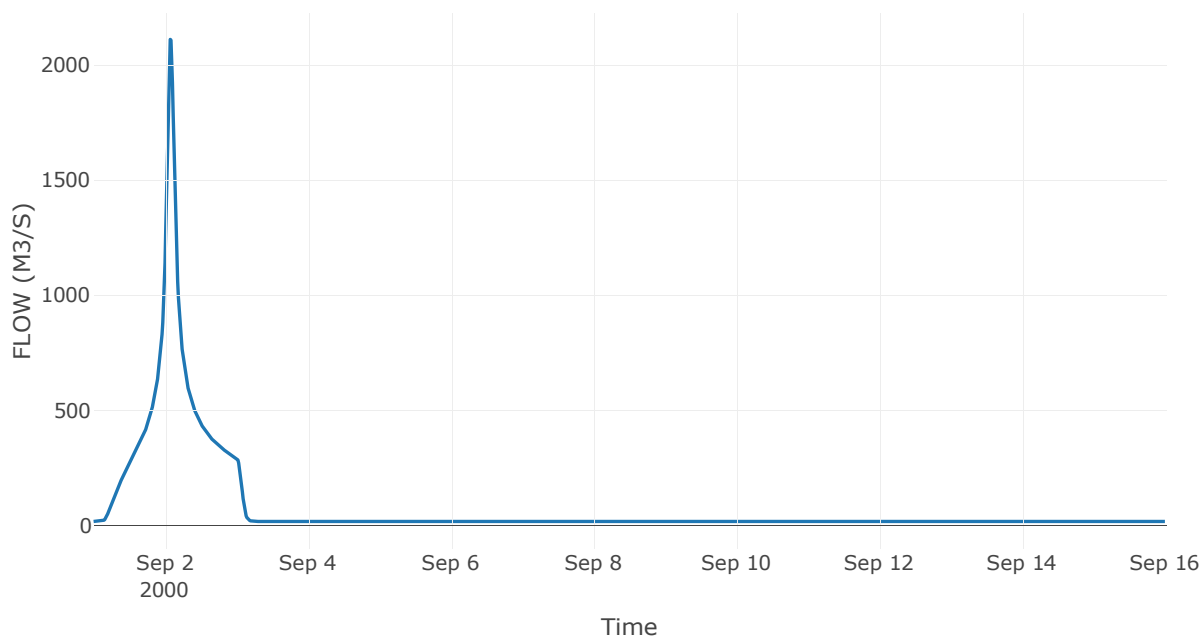
Κατάντη : Diversion - 1

| | |
|-------------------|------------------|
| Μέθοδος Διόδευσης | Χρόνος Υστέρησης |
| Αρχική Μεταβλητή | Combined Inflow |
| Χρόνος Υστέρησης | 4.85 |

Αποτελέσματα: R1413

| | |
|------------------------------|------------------|
| Παροχή Αιχμής(M3/S) | 2110.05 |
| Χρονική στιγμή αιχμής | 02Sep2000, 01:45 |
| Όγκος(MM) | 307.63 |
| Παροχή Αιχμής Εισόδου (M3/S) | 2121.78 |
| Όγκος Εισροής(M3) | 1.05E8 |

Απορροή



Κλάδος: R1514

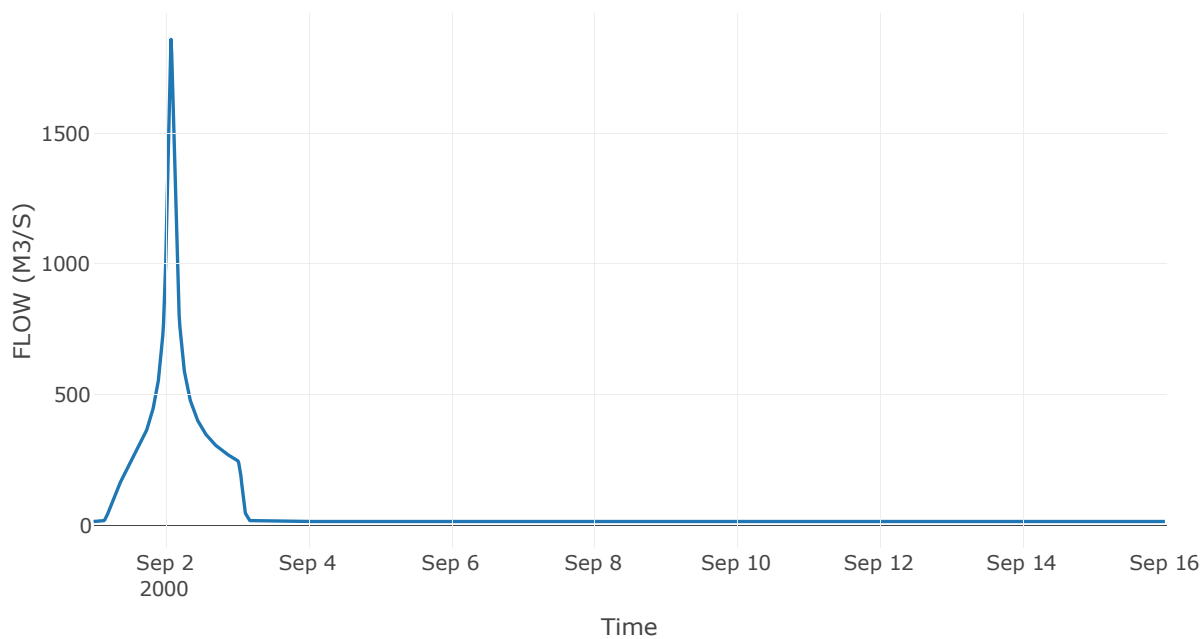
Κατάντη : J14

| | |
|----------------------|-----------------|
| Μέθοδος Διόδευσης | Muskingum |
| Αρχική Μεταβλητή | Combined Inflow |
| Χρόνος Ροής K | 0.39 |
| Συντελεστής βάρους x | 0.2 |
| Πλήθος Υποκλάδων | 2 |

Αποτελέσματα: R1514

| | |
|------------------------------|------------------|
| Παροχή Αιχμής(M3/S) | 1860.5 |
| Χρονική στιγμή αιχμής | 02Sep2000, 02:00 |
| Όγκος(MM) | 308.18 |
| Παροχή Αιχμής Εισόδου (M3/S) | 1892.27 |
| Όγκος Εισροής(M3) | 8.98E7 |

Απορροή



Κλάδος: R1615

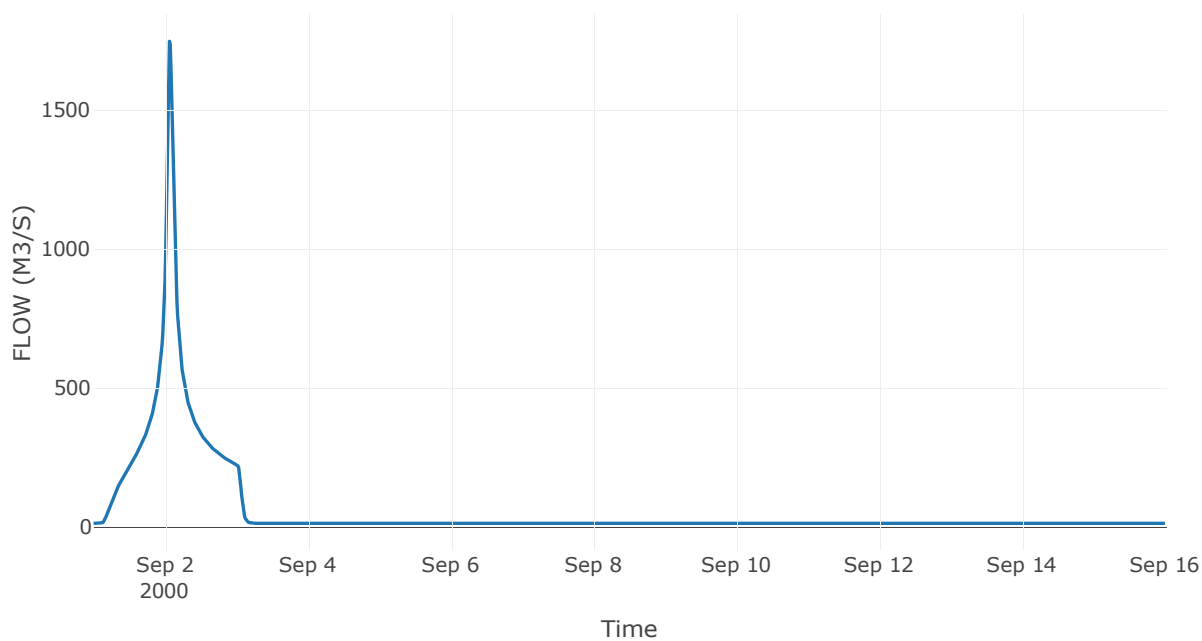
Κατάντη : J15

| | |
|----------------------|-----------------|
| Μέθοδος Διόδευσης | Muskingum |
| Αρχική Μεταβλητή | Combined Inflow |
| Χρόνος Ροής K | 0.34 |
| Συντελεστής βάρους x | 0.2 |
| Πλήθος Υποκλάδων | 1 |

Αποτελέσματα: R1615

| | |
|------------------------------|------------------|
| Παροχή Αιχμής(M3/S) | 1747.12 |
| Χρονική στιγμή αιχμής | 02Sep2000, 01:30 |
| Όγκος(MM) | 310.99 |
| Παροχή Αιχμής Εισόδου (M3/S) | 1800.56 |
| Όγκος Εισροής(M3) | 8.11E7 |

Απορροή



Κλάδος: R1716

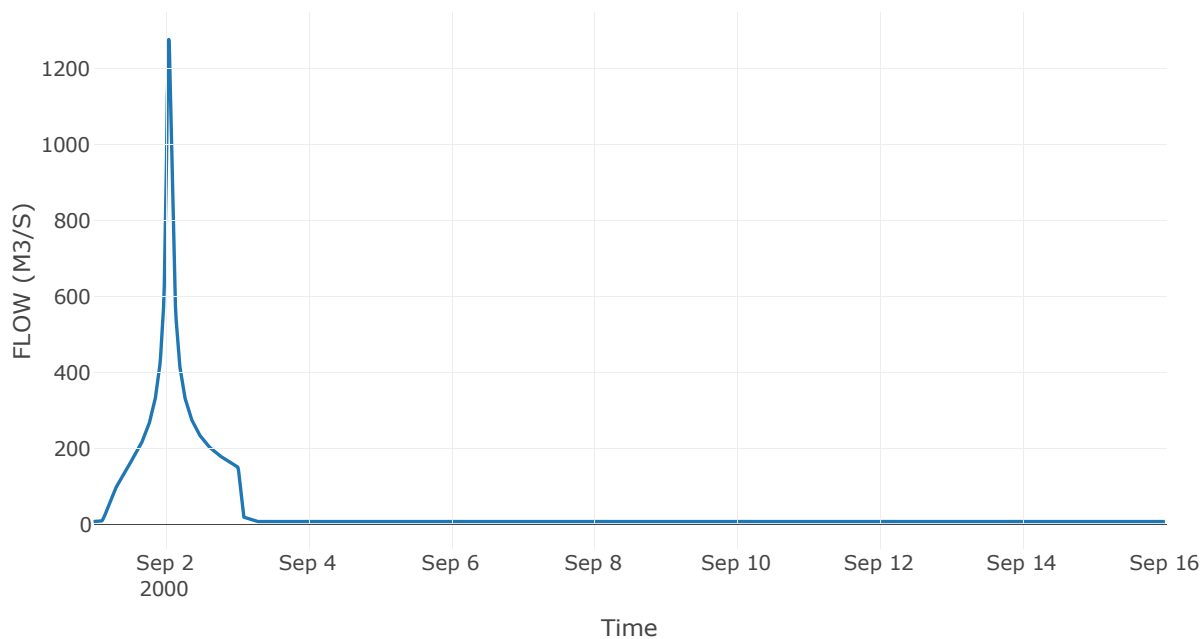
Κατάντη : J16

| | |
|-------------------|------------------|
| Μέθοδος Διόδευσης | Χρόνος Υστέρησης |
| Αρχική Μεταβλητή | Combined Inflow |
| Χρόνος Υστέρησης | 11.8 |

Αποτελέσματα: R1716

| | |
|------------------------------|------------------|
| Παροχή Αιχμής(M3/S) | 1276.78 |
| Χρονική στιγμή αιχμής | 02Sep2000, 01:15 |
| Όγκος(MM) | 313.02 |
| Παροχή Αιχμής Εισόδου (M3/S) | 1281.67 |
| Όγκος Εισροής(M3) | 5.68E7 |

Απορροή



Κλάδος: R1817

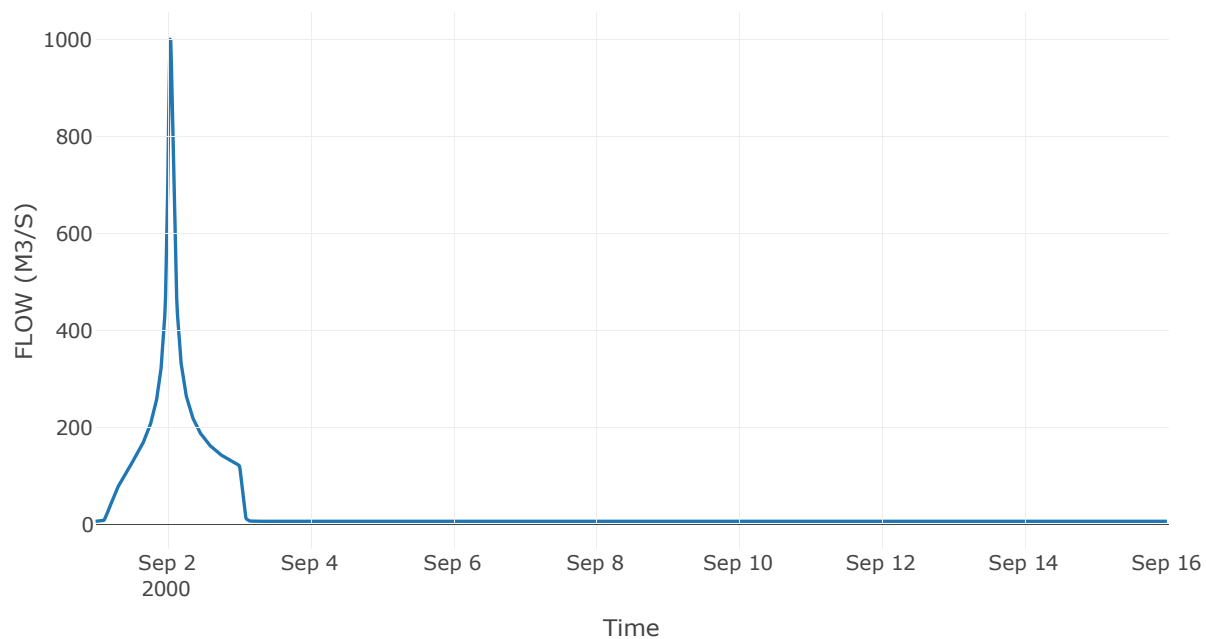
Κατάντη : J17

| | |
|-------------------|------------------|
| Μέθοδος Διόδευσης | Χρόνος Υστέρησης |
| Αρχική Μεταβλητή | Combined Inflow |
| Χρόνος Υστέρησης | 4.87 |

Αποτελέσματα: R1817

| | |
|------------------------------|------------------|
| Παροχή Αιχμής(M3/S) | 1000.06 |
| Χρονική στιγμή αιχμής | 02Sep2000, 01:00 |
| Όγκος(MM) | 312.28 |
| Παροχή Αιχμής Εισόδου (M3/S) | 1013.08 |
| Όγκος Εισροής(M3) | 4.45E7 |

Απορροή



Κλάδος: R1918

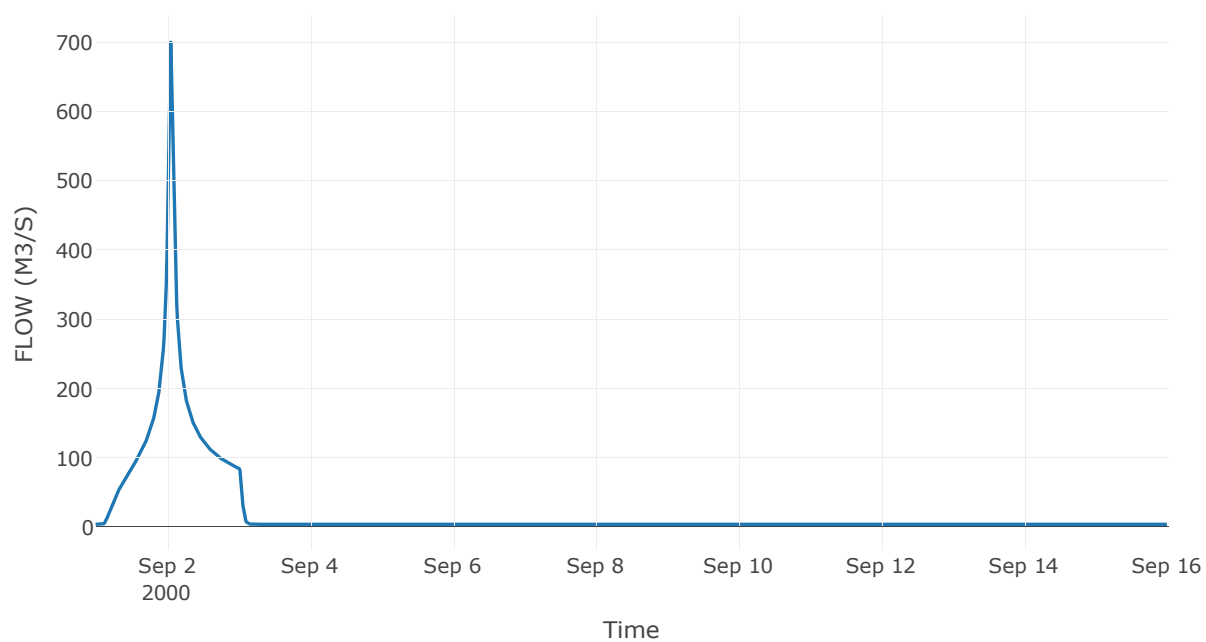
Κατάντη : J18

| | |
|-------------------|------------------|
| Μέθοδος Διόδευσης | Χρόνος Υστέρησης |
| Αρχική Μεταβλητή | Combined Inflow |
| Χρόνος Υστέρησης | 20.37 |

Αποτελέσματα: R1918

| | |
|------------------------------|------------------|
| Παροχή Αιχμής(M3/S) | 700.06 |
| Χρονική στιγμή αιχμής | 02Sep2000, 01:15 |
| Όγκος(MM) | 312.86 |
| Παροχή Αιχμής Εισόδου (M3/S) | 711.17 |
| Όγκος Εισροής(M3) | 3.06E7 |

Απορροή



Κλάδος: R2019

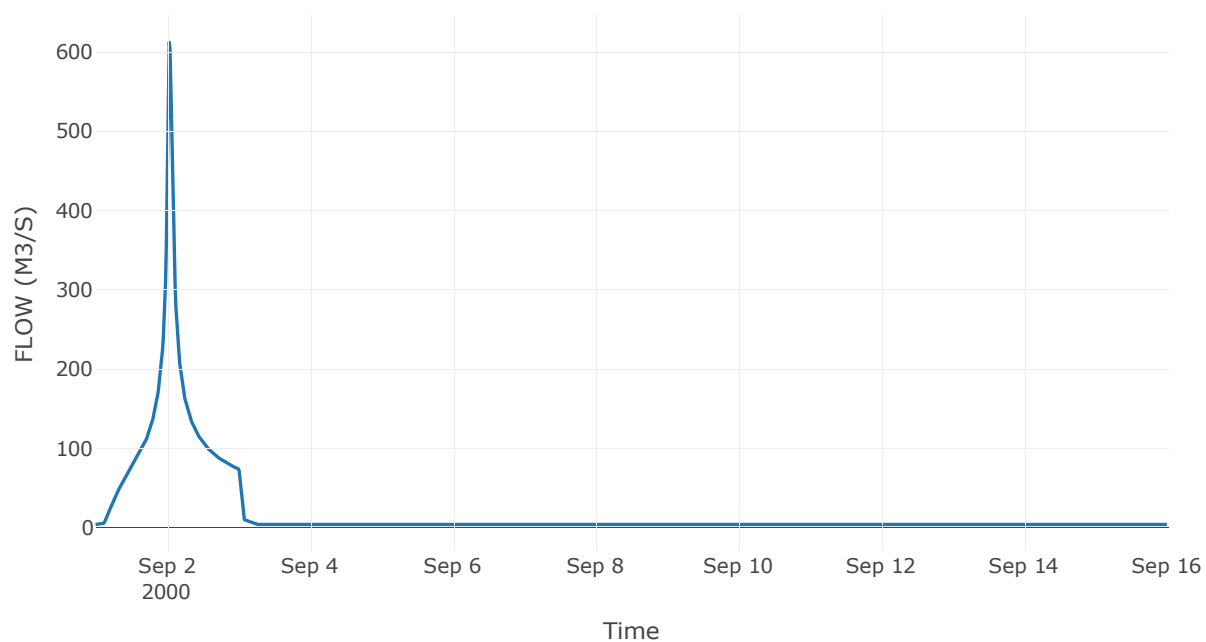
Κατάντη : J19

| | |
|-------------------|------------------|
| Μέθοδος Διόδευσης | Χρόνος Υστέρησης |
| Αρχική Μεταβλητή | Combined Inflow |
| Χρόνος Υστέρησης | 1.86 |

Αποτελέσματα: R2019

| | |
|------------------------------|------------------|
| Παροχή Αιχμής(M3/S) | 611.93 |
| Χρονική στιγμή αιχμής | 02Sep2000, 00:45 |
| Όγκος(MM) | 313.26 |
| Παροχή Αιχμής Εισόδου (M3/S) | 614.42 |
| Όγκος Εισροής(M3) | 2.66E7 |

Απορροή



Κλάδος: R2120

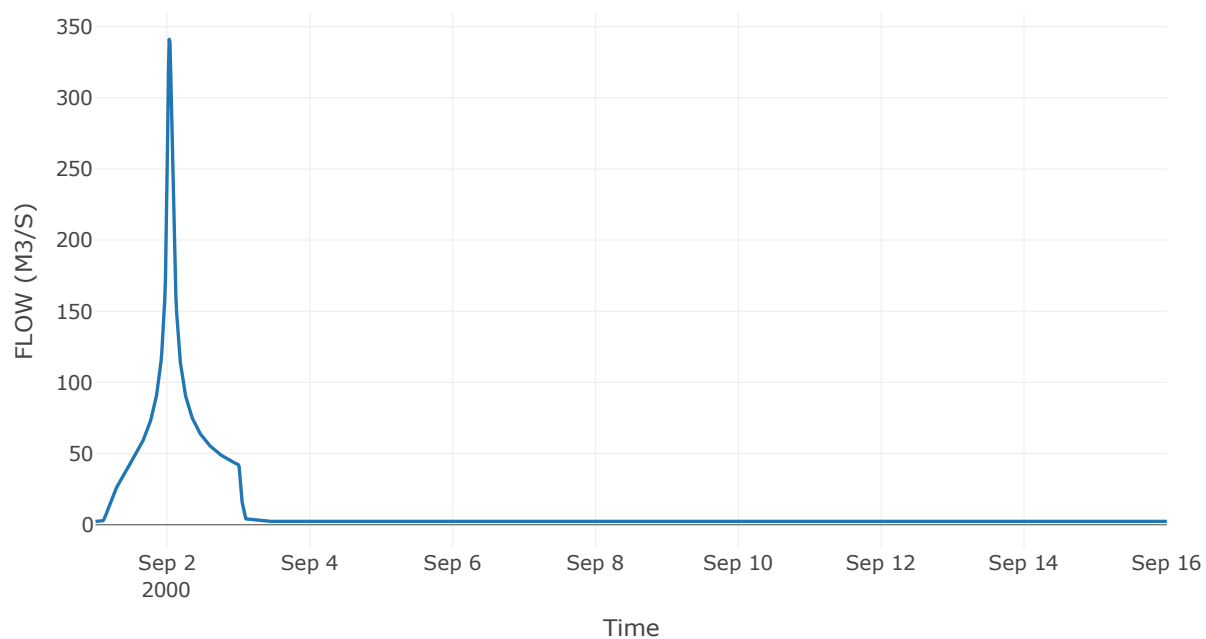
Κατάντη : J20

| | |
|-------------------|------------------|
| Μέθοδος Διόδευσης | Χρόνος Υστέρησης |
| Αρχική Μεταβλητή | Combined Inflow |
| Χρόνος Υστέρησης | 1.85 |

Αποτελέσματα: R2120

| | |
|------------------------------|------------------|
| Παροχή Αιχμής(M3/S) | 341.08 |
| Χρονική στιγμή αιχμής | 02Sep2000, 00:45 |
| Όγκος(MM) | 319.29 |
| Παροχή Αιχμής Εισόδου (M3/S) | 342.56 |
| Όγκος Εισροής(M3) | 1.51E7 |

Απορροή



Κλάδος: R2220

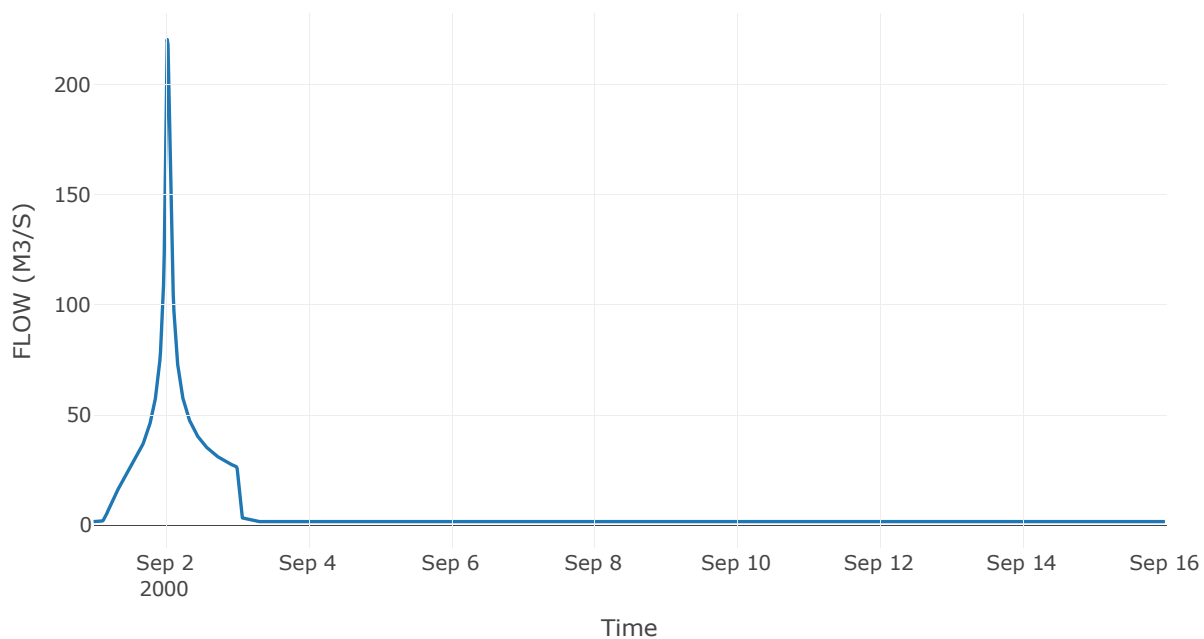
Κατάντη : J20

| | |
|-------------------|------------------|
| Μέθοδος Διόδευσης | Χρόνος Υστέρησης |
| Αρχική Μεταβλητή | Combined Inflow |
| Χρόνος Υστέρησης | 7.76 |

Αποτελέσματα: R2220

| | |
|------------------------------|------------------|
| Παροχή Αιχμής(M3/S) | 220.53 |
| Χρονική στιγμή αιχμής | 02Sep2000, 00:45 |
| Όγκος(MM) | 303.99 |
| Παροχή Αιχμής Εισόδου (M3/S) | 224.06 |
| Όγκος Εισροής(M3) | 9.35E6 |

Απορροή



Κλάδος: R2314

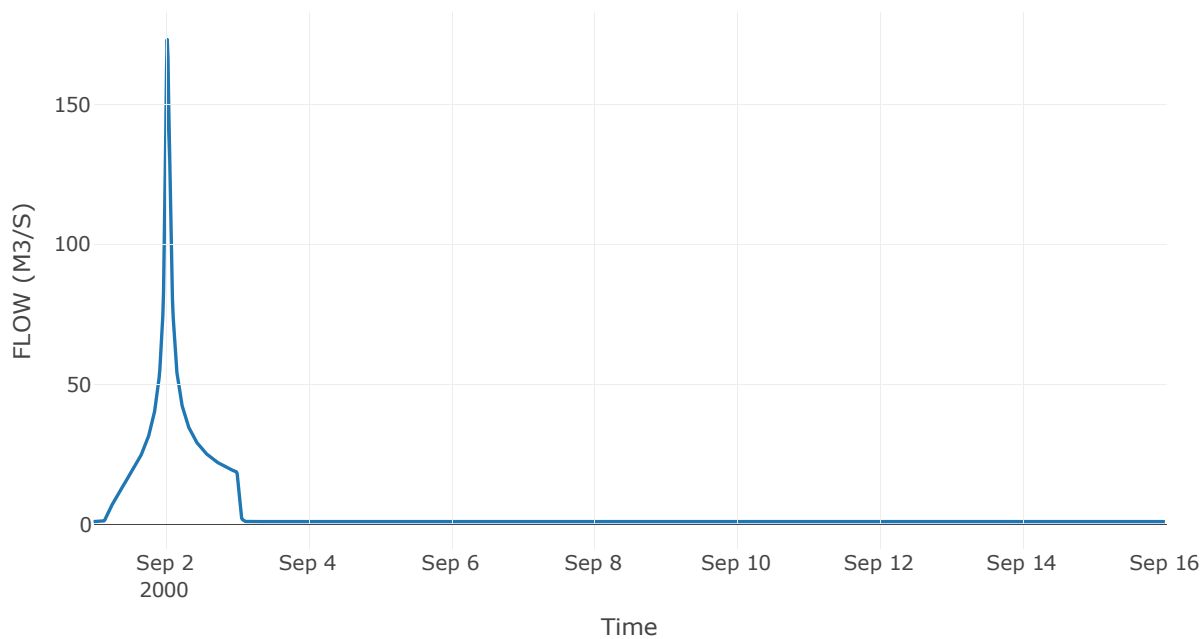
Κατάντη : J14

| | |
|-------------------|------------------|
| Μέθοδος Διόδευσης | Χρόνος Υστέρησης |
| Αρχική Μεταβλητή | Combined Inflow |
| Χρόνος Υστέρησης | 6.78 |

Αποτελέσματα: R2314

| | |
|------------------------------|------------------|
| Παροχή Αιχμής(M3/S) | 173.14 |
| Χρονική στιγμή αιχμής | 02Sep2000, 00:45 |
| Όγκος(MM) | 311.92 |
| Παροχή Αιχμής Εισόδου (M3/S) | 174.4 |
| Όγκος Εισροής(M3) | 6.72E6 |

Απορροή



Κλάδος: R2411

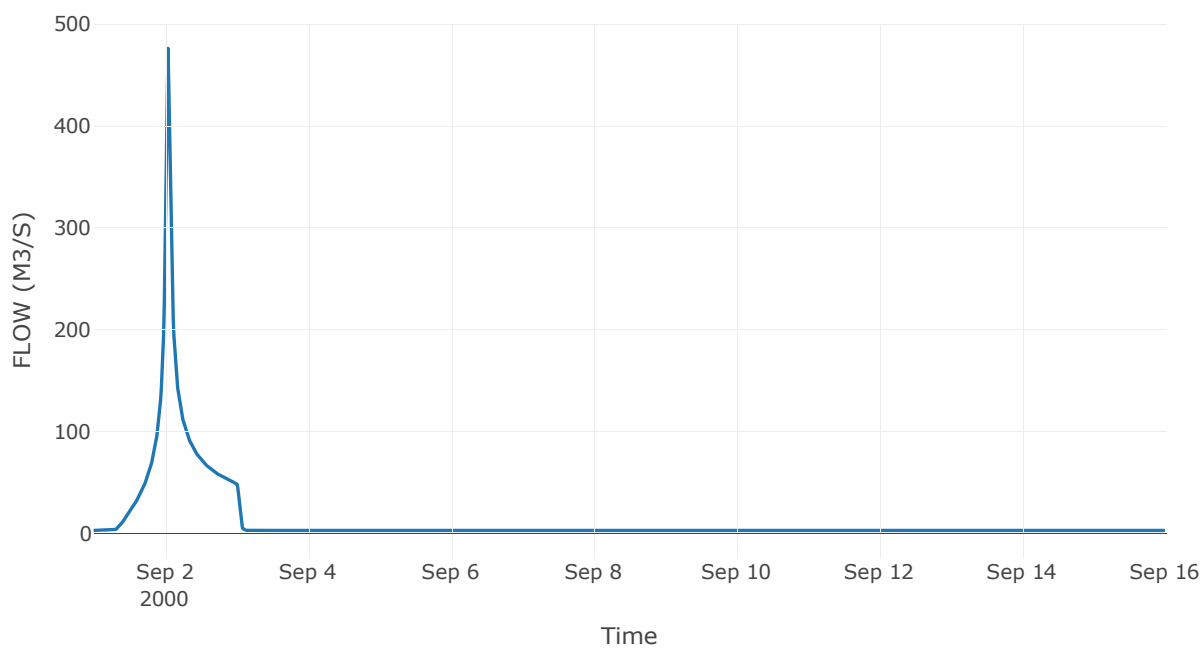
Κατάντη : J11

| | |
|-------------------|------------------|
| Μέθοδος Διόδευσης | Χρόνος Υστέρησης |
| Αρχική Μεταβλητή | Combined Inflow |
| Χρόνος Υστέρησης | 6.12 |

Αποτελέσματα: R2411

| | |
|------------------------------|------------------|
| Παροχή Αιχμής(M3/S) | 475.81 |
| Χρονική στιγμή αιχμής | 02Sep2000, 01:00 |
| Όγκος(MM) | 268.48 |
| Παροχή Αιχμής Εισόδου (M3/S) | 485.1 |
| Όγκος Εισροής(M3) | 1.67E7 |

Απορροή



Κλάδος: R2524

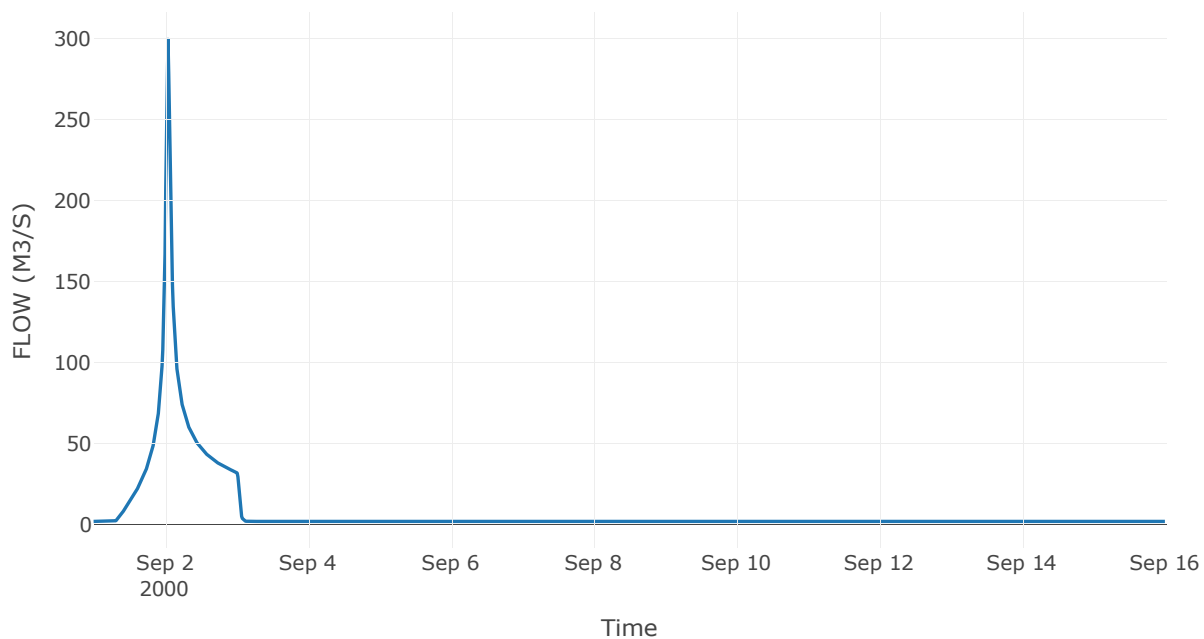
Κατάντη : J24

| | |
|-------------------|------------------|
| Μέθοδος Διόδευσης | Χρόνος Υστέρησης |
| Αρχική Μεταβλητή | Combined Inflow |
| Χρόνος Υστέρησης | 12.43 |

Αποτελέσματα: R2524

| | |
|------------------------------|------------------|
| Παροχή Αιχμής(M3/S) | 299.5 |
| Χρονική στιγμή αιχμής | 02Sep2000, 01:00 |
| Όγκος(MM) | 274.07 |
| Παροχή Αιχμής Εισόδου (M3/S) | 303.18 |
| Όγκος Εισροής(M3) | 1.07E7 |

Απορροή



Κλάδος: R2610

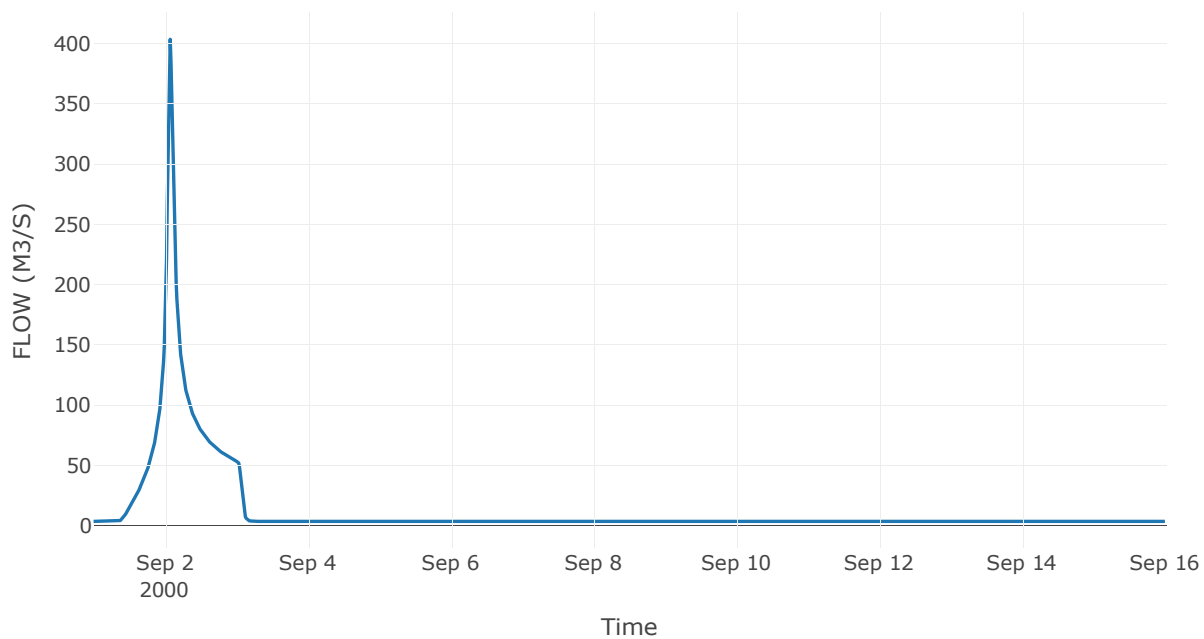
Κατάντη : J10

| | |
|-------------------|------------------|
| Μέθοδος Διόδευσης | Χρόνος Υστέρησης |
| Αρχική Μεταβλητή | Combined Inflow |
| Χρόνος Υστέρησης | 35.27 |

Αποτελέσματα: R2610

| | |
|------------------------------|------------------|
| Παροχή Αιχμής(M3/S) | 403.42 |
| Χρονική στιγμή αιχμής | 02Sep2000, 01:45 |
| Όγκος(MM) | 237.89 |
| Παροχή Αιχμής Εισόδου (M3/S) | 407.02 |
| Όγκος Εισροής(M3) | 1.71E7 |

Απορροή



Κλάδος: R278

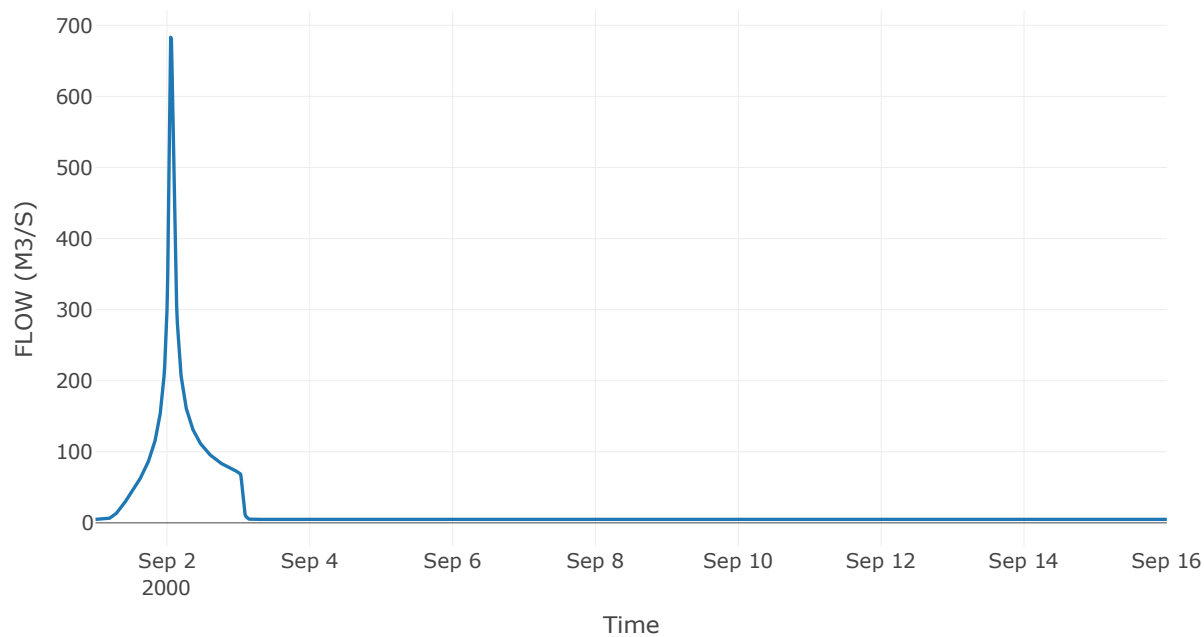
Κατάντη : J8

| | |
|-------------------|------------------|
| Μέθοδος Διόδευσης | Χρόνος Υστέρησης |
| Αρχική Μεταβλητή | Combined Inflow |
| Χρόνος Υστέρησης | 32.8 |

Αποτελέσματα: R278

| | |
|------------------------------|------------------|
| Παροχή Αιχμής(M3/S) | 683.2 |
| Χρονική στιγμή αιχμής | 02Sep2000, 01:15 |
| Όγκος(MM) | 262.58 |
| Παροχή Αιχμής Εισόδου (M3/S) | 690.47 |
| Όγκος Εισροής(M3) | 2.56E7 |

Απορροή



Κλάδος: R2827

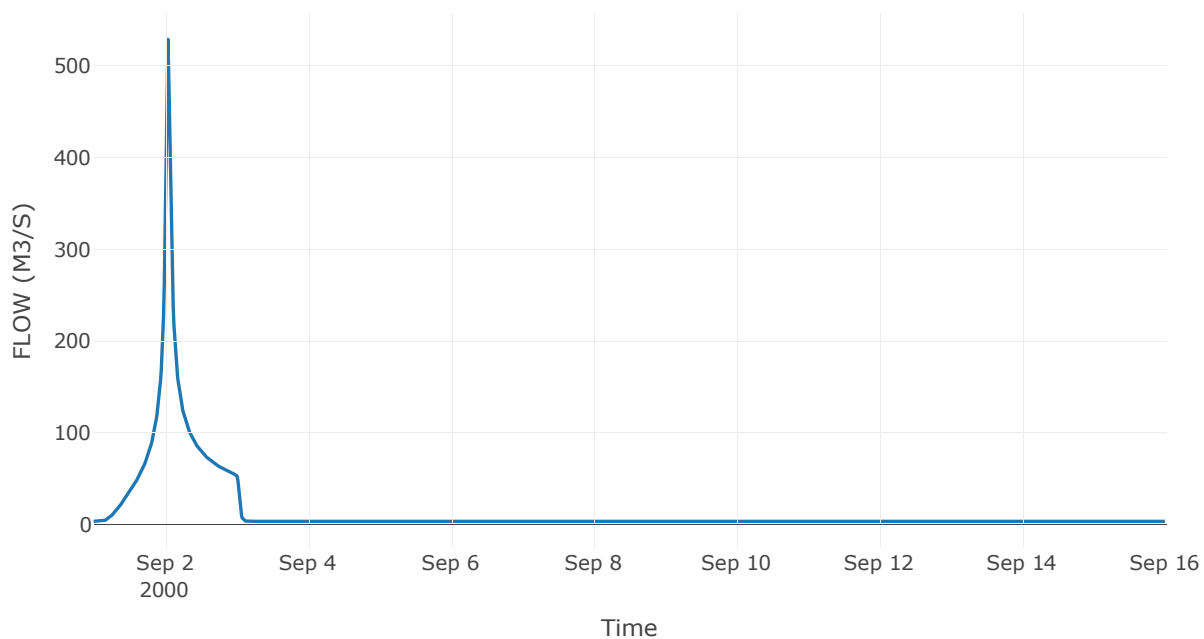
Κατάντη : J27

| | |
|-------------------|------------------|
| Μέθοδος Διόδευσης | Χρόνος Υστέρησης |
| Αρχική Μεταβλητή | Combined Inflow |
| Χρόνος Υστέρησης | 3.92 |

Αποτελέσματα: R2827

| | |
|------------------------------|------------------|
| Παροχή Αιχμής(M3/S) | 528.74 |
| Χρονική στιγμή αιχμής | 02Sep2000, 01:00 |
| Όγκος(MM) | 263.72 |
| Παροχή Αιχμής Εισόδου (M3/S) | 534.79 |
| Όγκος Εισροής(M3) | 1.97E7 |

Απορροή



Κλάδος: R2928

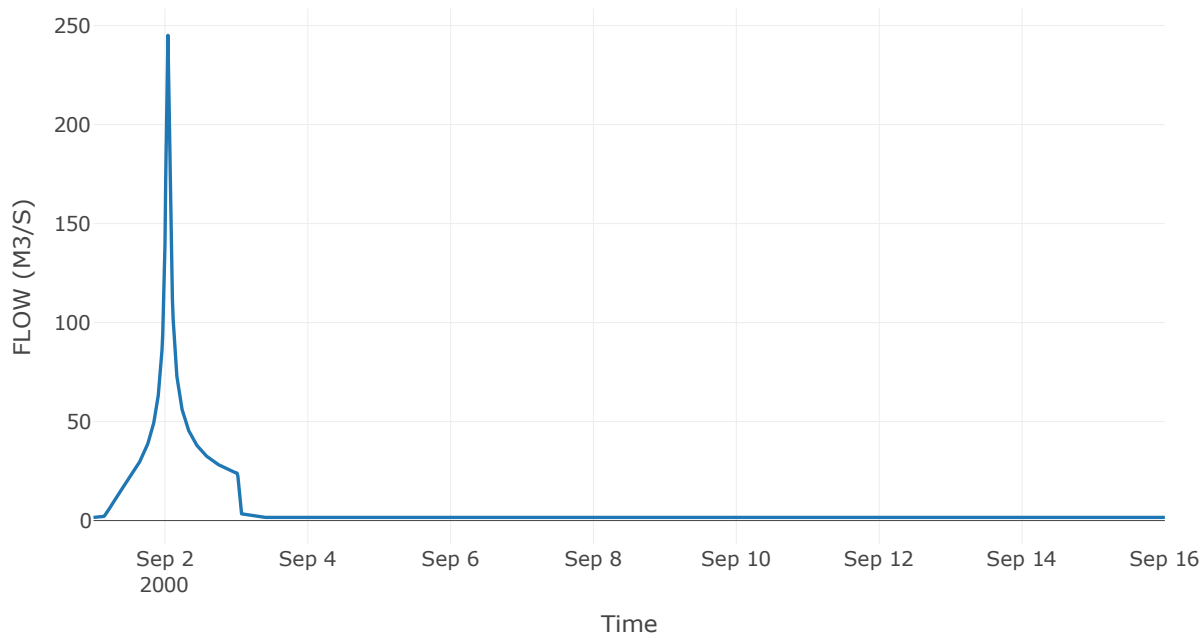
Κατάντη : J28

| | |
|-------------------|------------------|
| Μέθοδος Διόδευσης | Χρόνος Υστέρησης |
| Αρχική Μεταβλητή | Combined Inflow |
| Χρόνος Υστέρησης | 17.22 |

Αποτελέσματα: R2928

| | |
|------------------------------|------------------|
| Παροχή Αιχμής(M3/S) | 245.08 |
| Χρονική στιγμή αιχμής | 02Sep2000, 01:00 |
| Όγκος(MM) | 282.49 |
| Παροχή Αιχμής Εισόδου (M3/S) | 247.29 |
| Όγκος Εισροής(M3) | 9E6 |

Απορροή



Κλάδος: R302

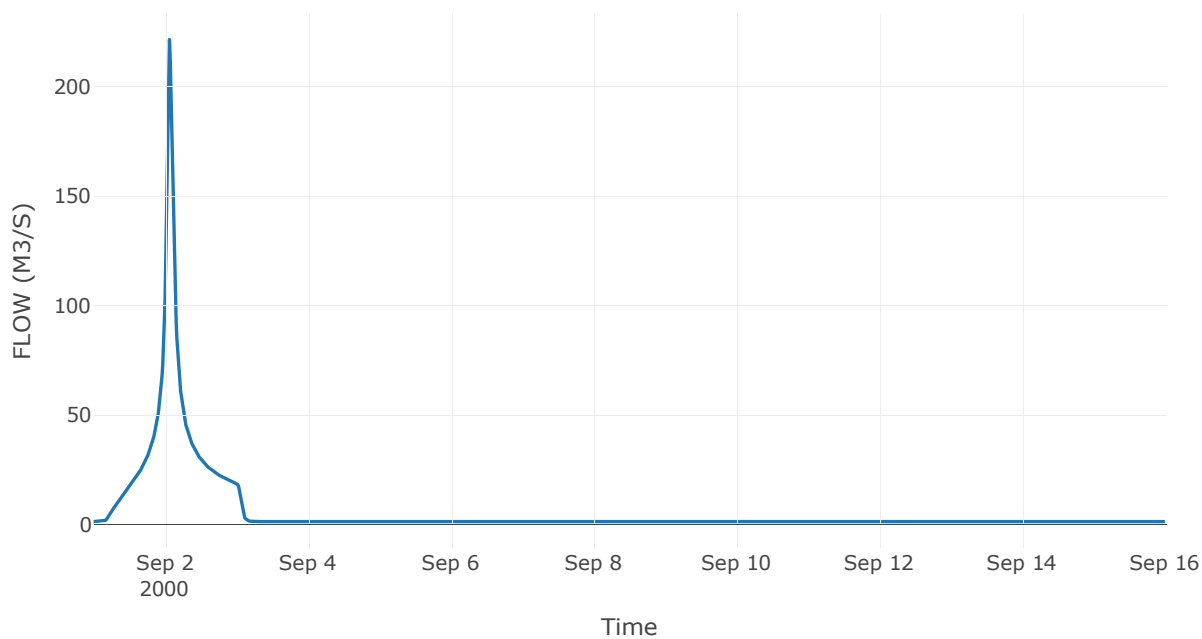
Κατάντη : J2

| | |
|----------------------|-----------------|
| Μέθοδος Διόδευσης | Muskingum |
| Αρχική Μεταβλητή | Combined Inflow |
| Χρόνος Ροής K | 0.26 |
| Συντελεστής βάρους x | 0.2 |
| Πλήθος Υποκλάδων | 1 |

Αποτελέσματα: R302

| | |
|------------------------------|------------------|
| Παροχή Αιχμής(M3/S) | 221.47 |
| Χρονική στιγμή αιχμής | 02Sep2000, 01:30 |
| Όγκος(MM) | 276.34 |
| Παροχή Αιχμής Εισόδου (M3/S) | 225.45 |
| Όγκος Εισροής(M3) | 8.24E6 |

Απορροή



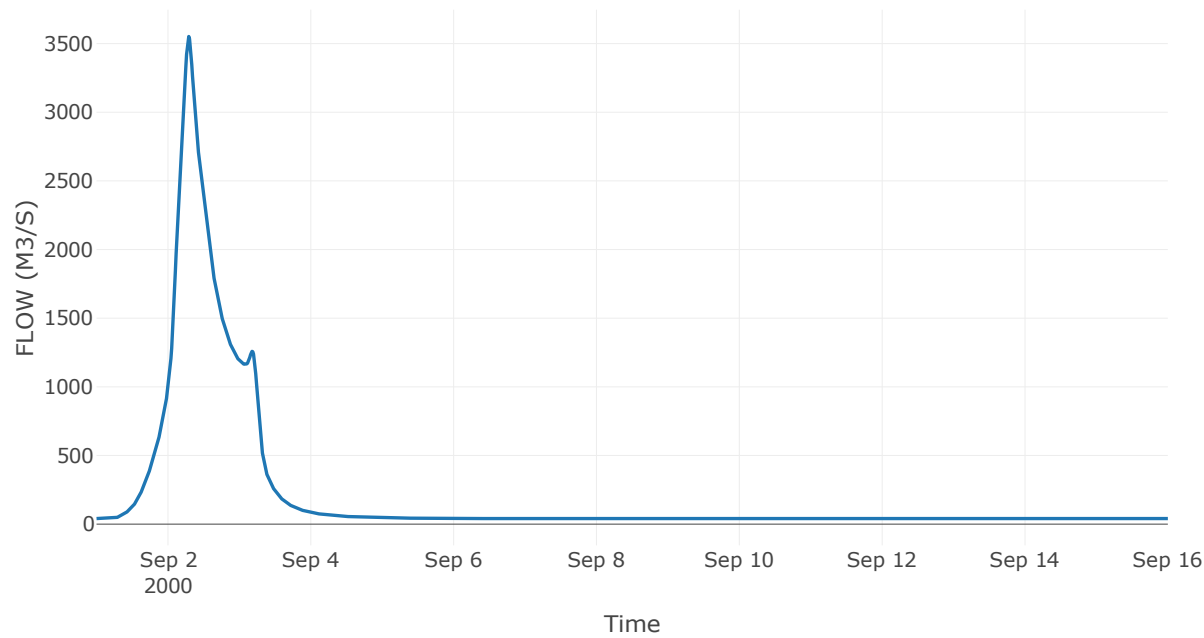
7.3 Δεδομένα και Υδρογραφήματα Σχεδιασμού Κόμβων Υδρογραφικού Δικτύου

Κόμβος εξόδου: J1

Αποτέλεσμα
τα: J1

| | |
|-----------------------|------------------|
| Παροχή αιχμής (M3/S) | 3551.82 |
| Χρονική στιγμή αιχμής | 02Sep2000, 07:00 |
| Όγκος (MM) | 261.47 |

Απορροή



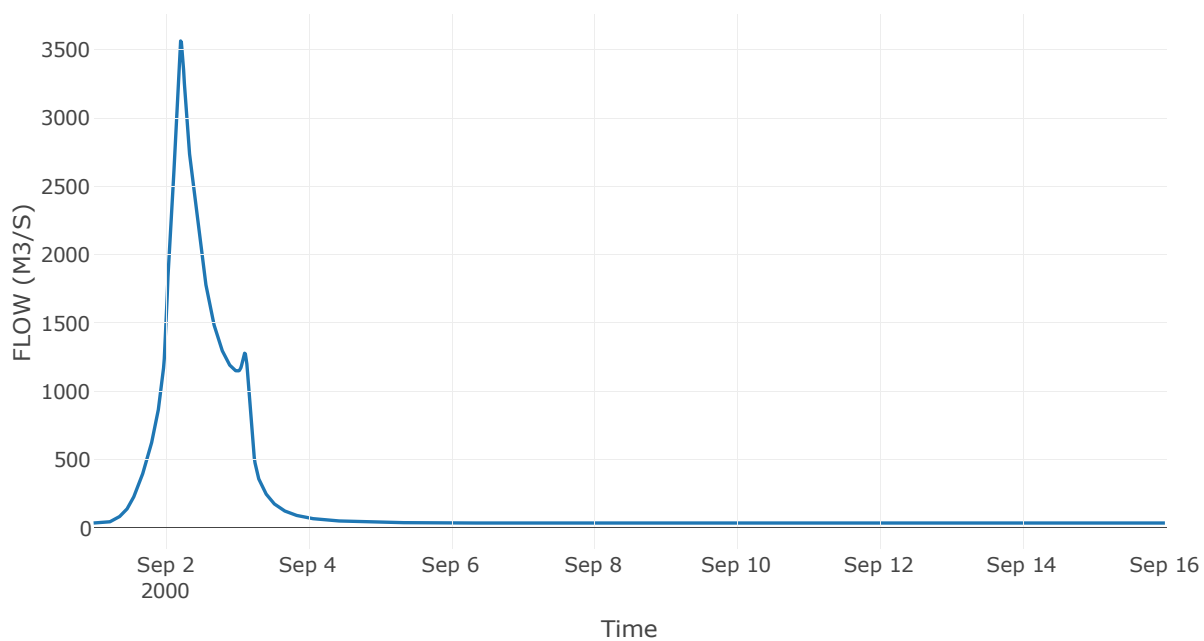
Κόμβος: J2

Κατάντη : R21

Αποτελέσματα: J2

| | |
|-----------------------|------------------|
| Παροχή Αιχμής(M3/S) | 3563.94 |
| Χρονική στιγμή αιχμής | 02Sep2000, 05:15 |
| Όγκος(MM) | 261.92 |

Απορροή



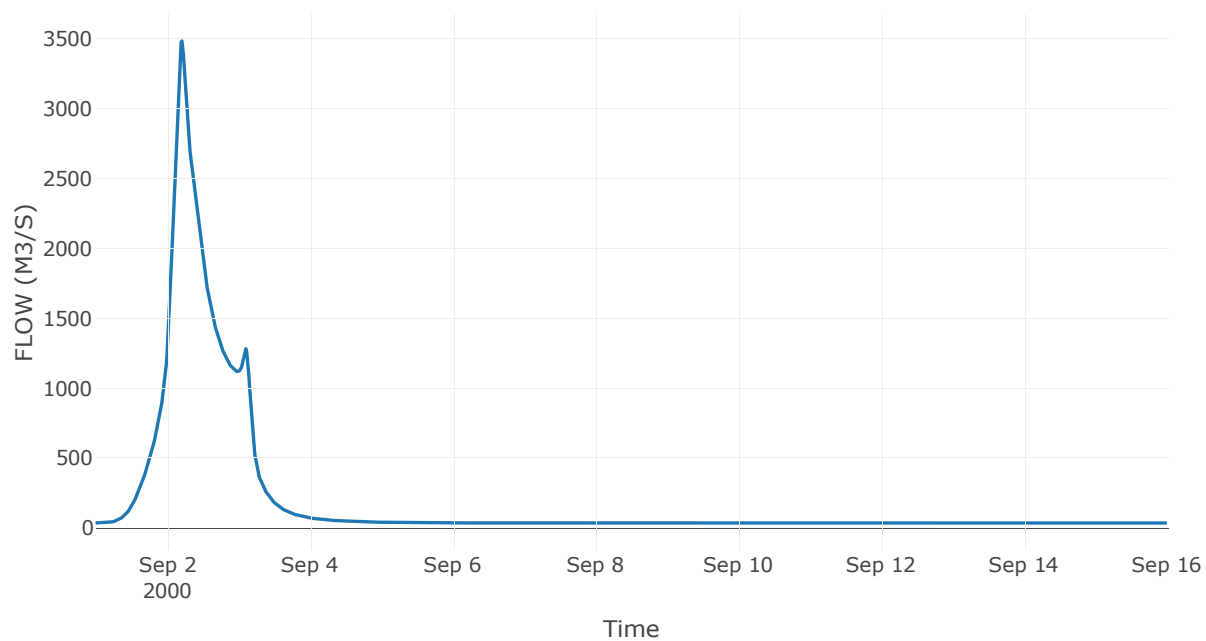
Κόμβος: J3

Κατάντη : R32

Αποτελέσματα: J3

| | |
|-----------------------|------------------|
| Παροχή Αιχμής(M3/S) | 3484.99 |
| Χρονική στιγμή αιχμής | 02Sep2000, 05:00 |
| Όγκος(MM) | 261.43 |

Απορροή



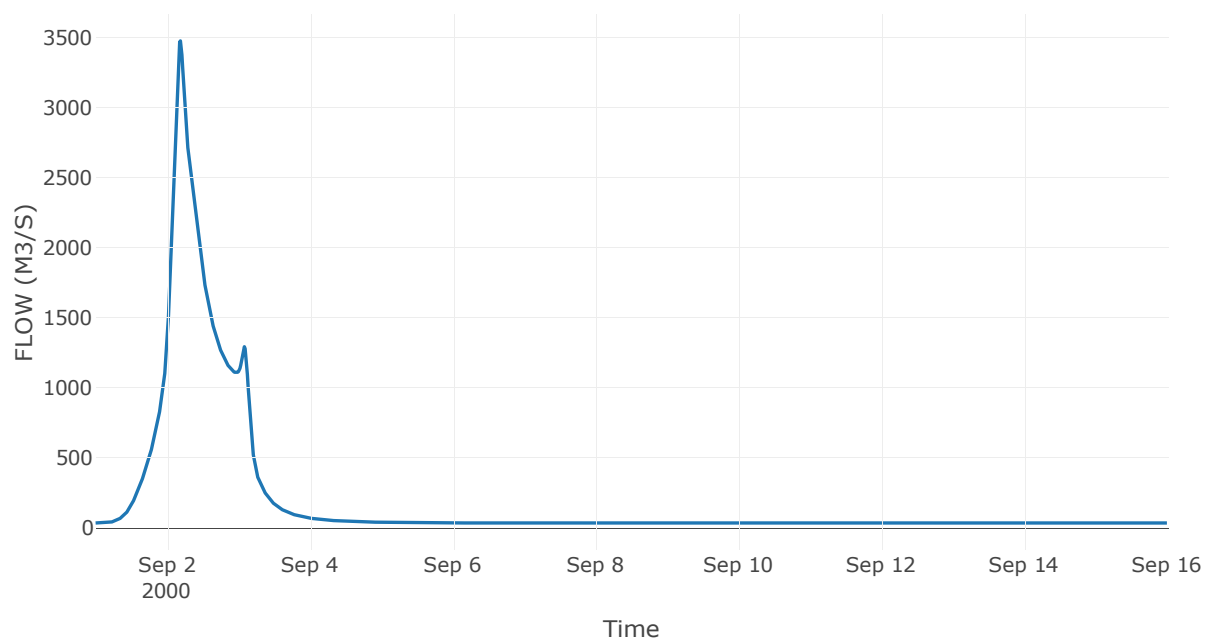
Κόμβος: J4

Κατάντη : R43

Αποτελέσματα: J4

| | |
|-----------------------|------------------|
| Παροχή Αιχμής(M3/S) | 3477.99 |
| Χρονική στιγμή αιχμής | 02Sep2000, 04:30 |
| Όγκος(MM) | 261.6 |

Απορροή



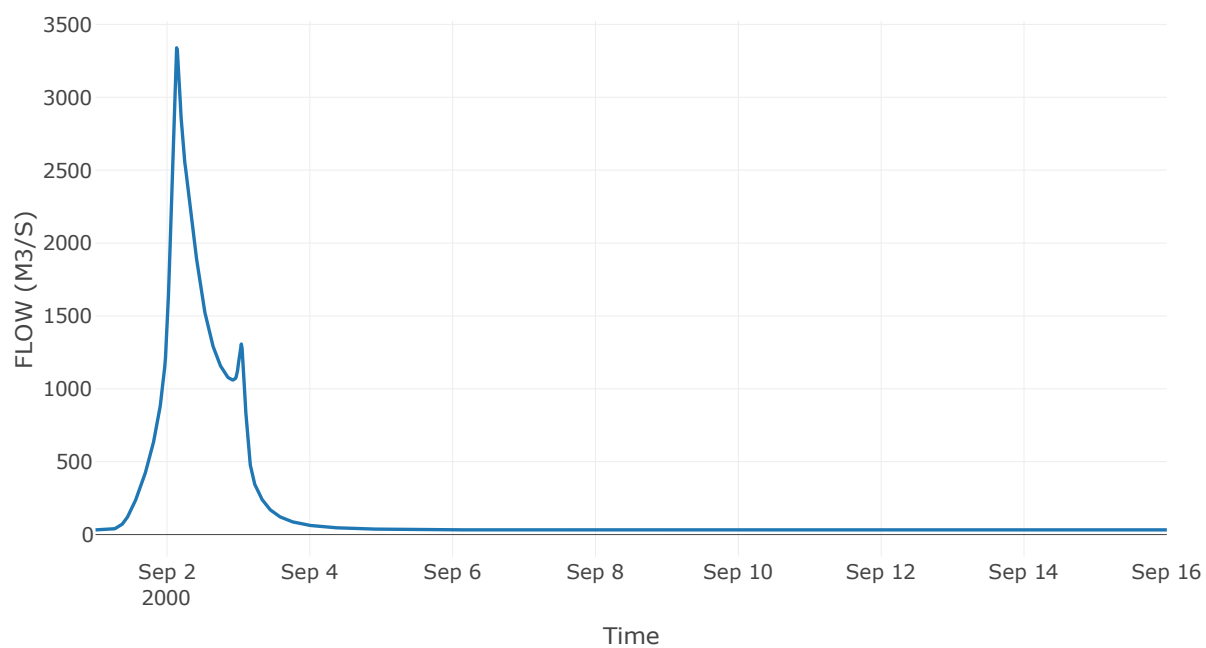
Κόμβος: J5

Κατάντη : R54

Αποτελέσματα: J5

| | |
|-----------------------|------------------|
| Παροχή Αιχμής(M3/S) | 3339.5 |
| Χρονική στιγμή αιχμής | 02Sep2000, 03:15 |
| Όγκος(MM) | 260.92 |

Απορροή



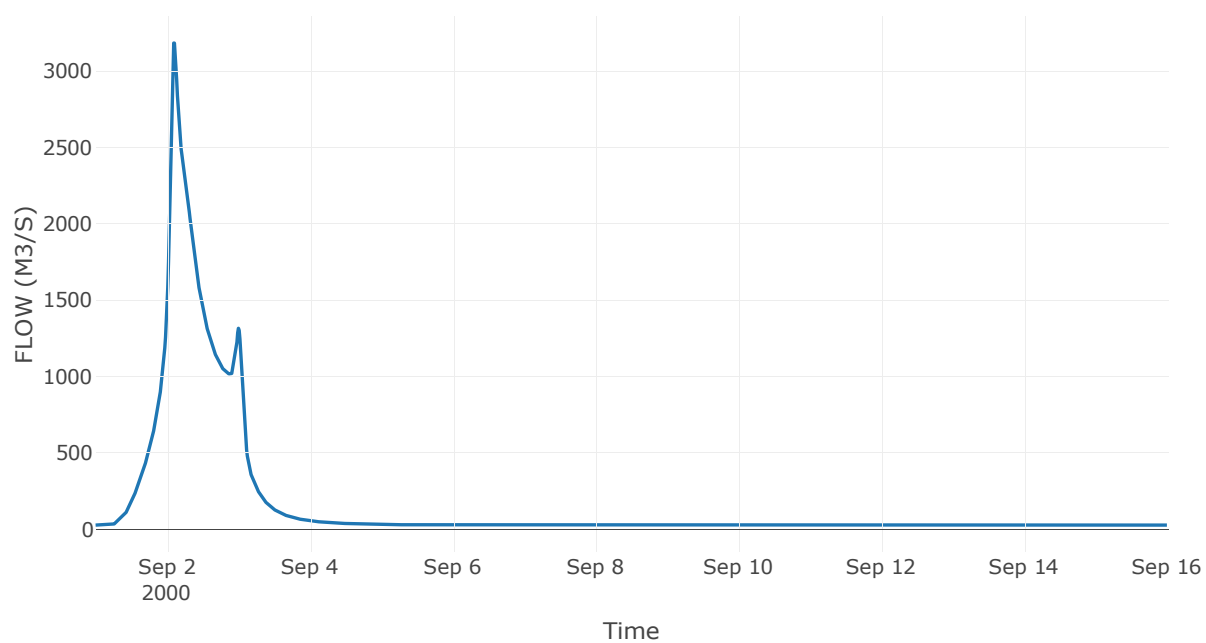
Κόμβος: J6

Κατάντη : R65

Αποτελέσματα: J6

| | |
|-----------------------|------------------|
| Παροχή Αιχμής(M3/S) | 3182.19 |
| Χρονική στιγμή αιχμής | 02Sep2000, 02:15 |
| Όγκος(MM) | 260.9 |

Απορροή



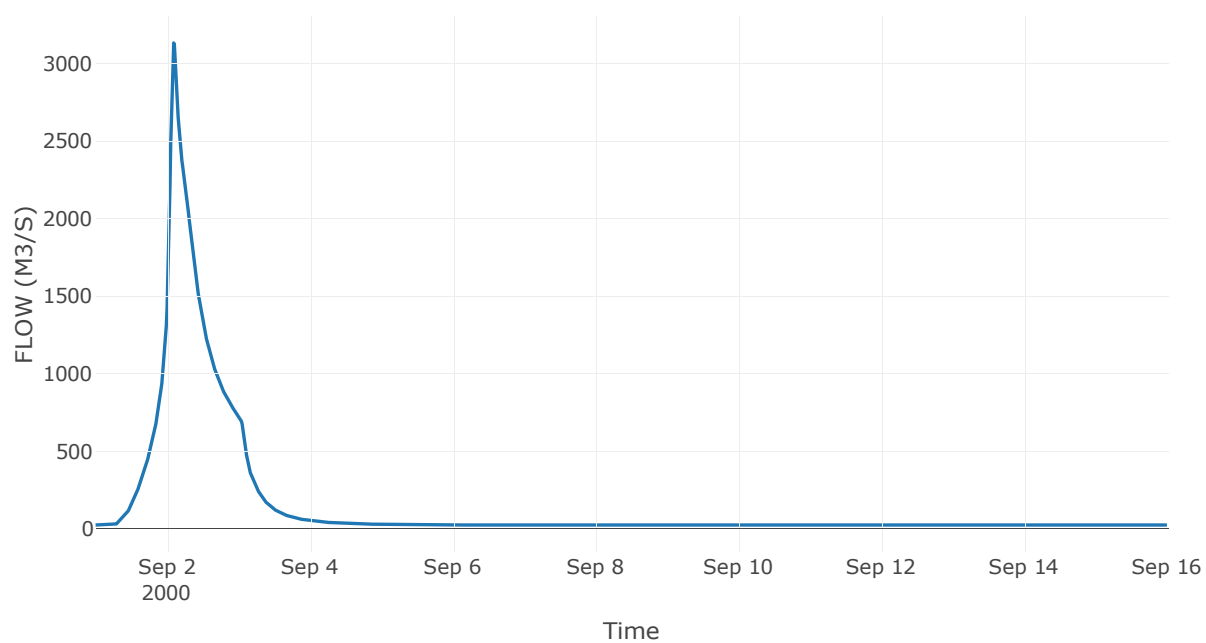
Κόμβος: J7

Κατάντη : R76

Αποτελέσματα: J7

| | |
|-----------------------|------------------|
| Παροχή Αιχμής(M3/S) | 3131.93 |
| Χρονική στιγμή αιχμής | 02Sep2000, 02:15 |
| Όγκος(MM) | 253.12 |

Απορροή



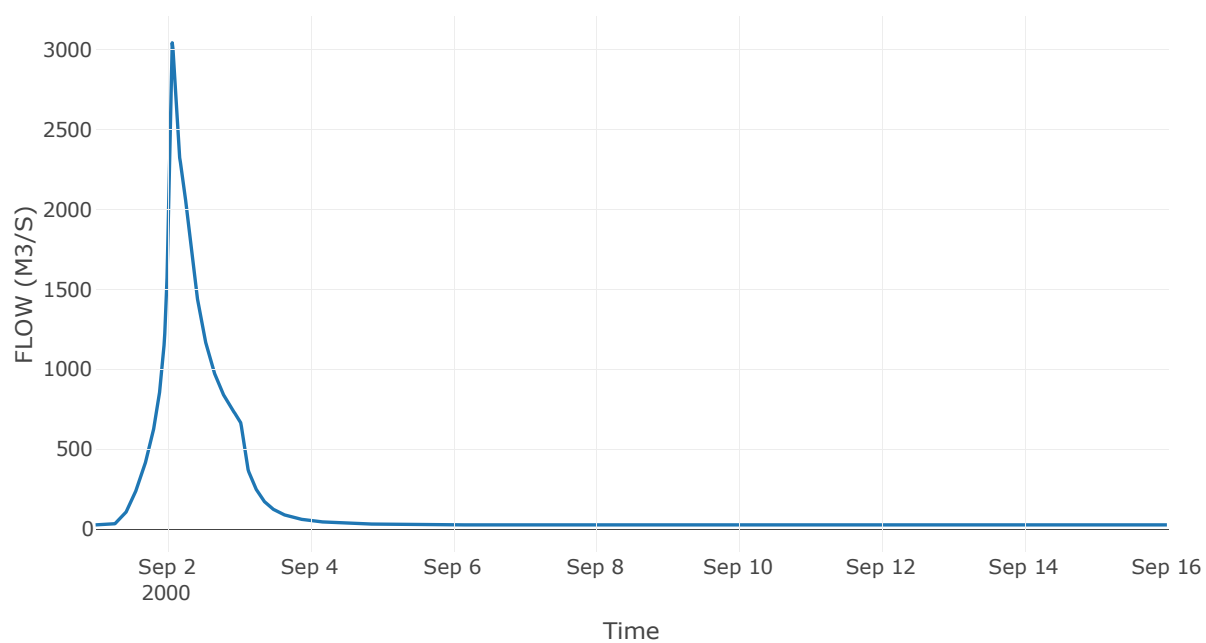
Κόμβος: J8

Κατάντη : R87

Αποτελέσματα: J8

| | |
|-----------------------|------------------|
| Παροχή Αιχμής(M3/S) | 3042.06 |
| Χρονική στιγμή αιχμής | 02Sep2000, 01:45 |
| Όγκος(MM) | 253.91 |

Απορροή



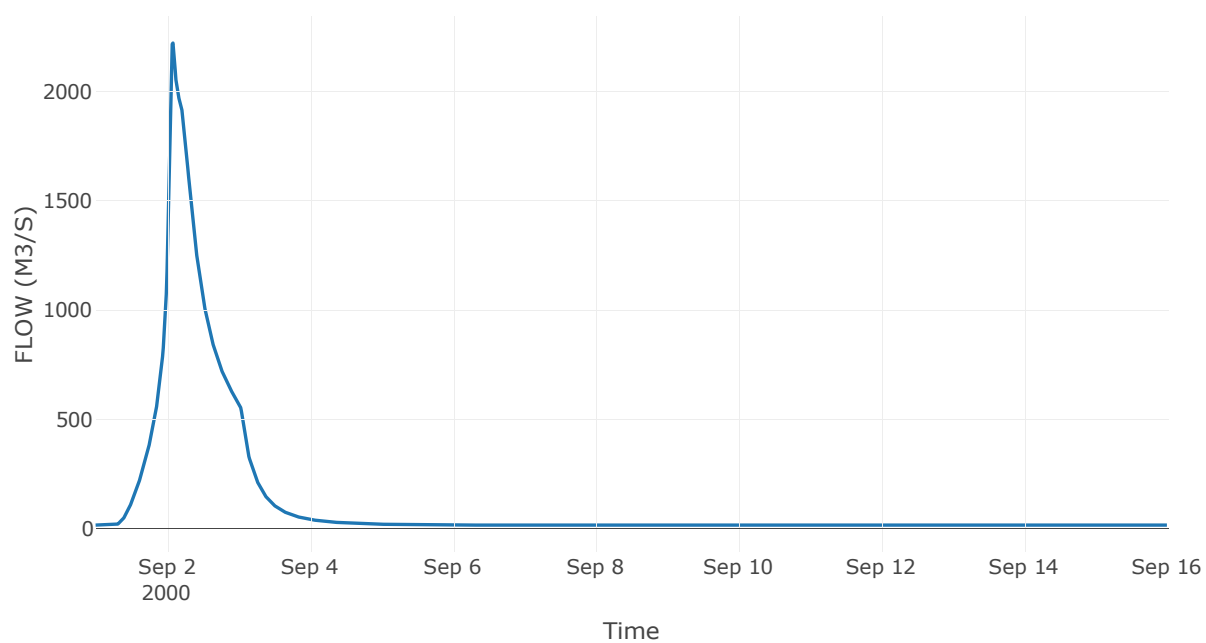
Κόμβος: J9

Κατάντη : R98

Αποτελέσματα: J9

| | |
|-----------------------|------------------|
| Παροχή Αιχμής(M3/S) | 2222.19 |
| Χρονική στιγμή αιχμής | 02Sep2000, 02:00 |
| Όγκος(MM) | 253.05 |

Απορροή



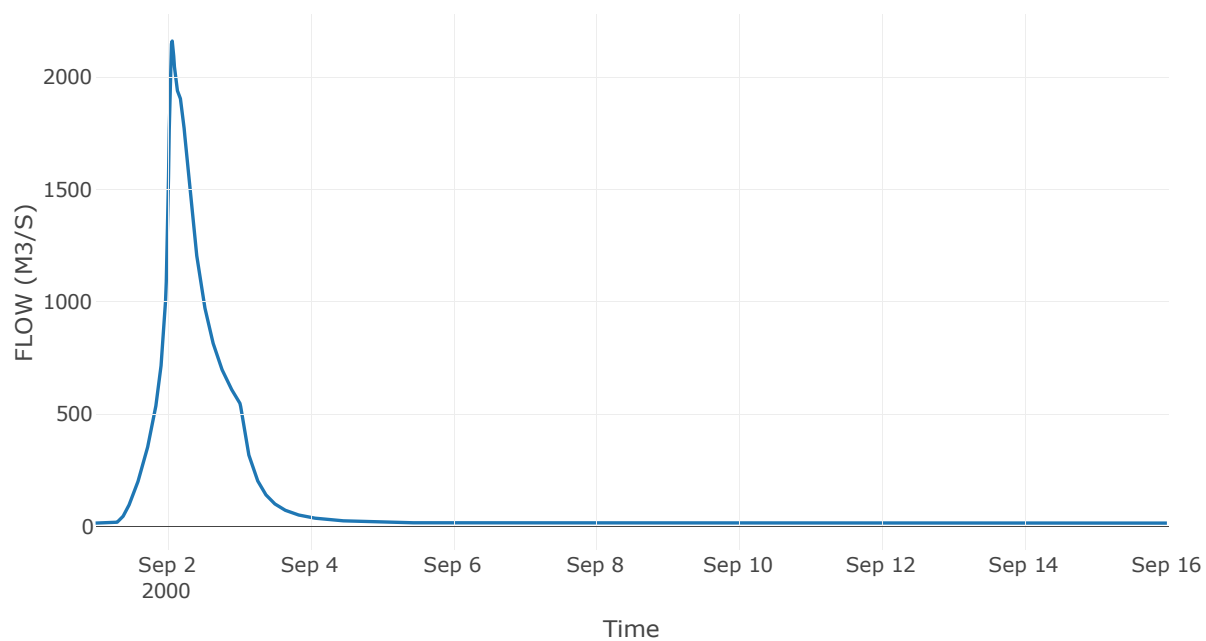
Κόμβος: J10

Κατάντη : R109

Αποτελέσματα: J10

| | |
|-----------------------|------------------|
| Παροχή Αιχμής(M3/S) | 2161.18 |
| Χρονική στιγμή αιχμής | 02Sep2000, 01:45 |
| Όγκος(MM) | 253.32 |

Απορροή



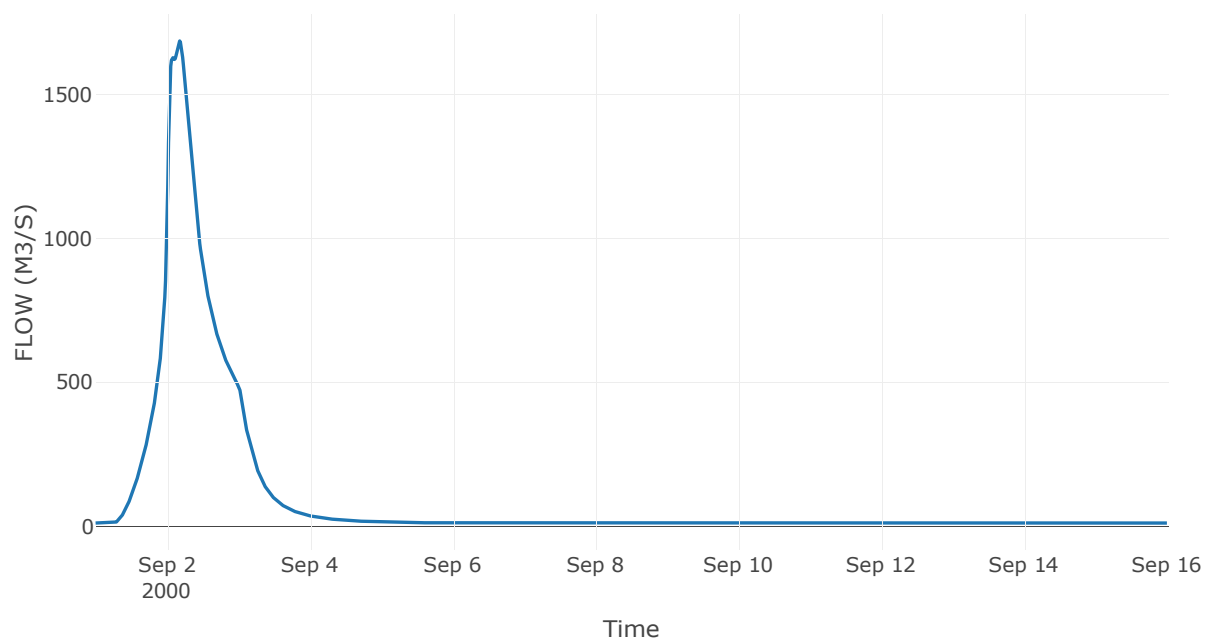
Κόμβος: J11

Κατάντη : R1110

Αποτελέσματα: J11

| | |
|-----------------------|------------------|
| Παροχή Αιχμής(M3/S) | 1685.99 |
| Χρονική στιγμή αιχμής | 02Sep2000, 04:15 |
| Όγκος(MM) | 256.81 |

Απορροή



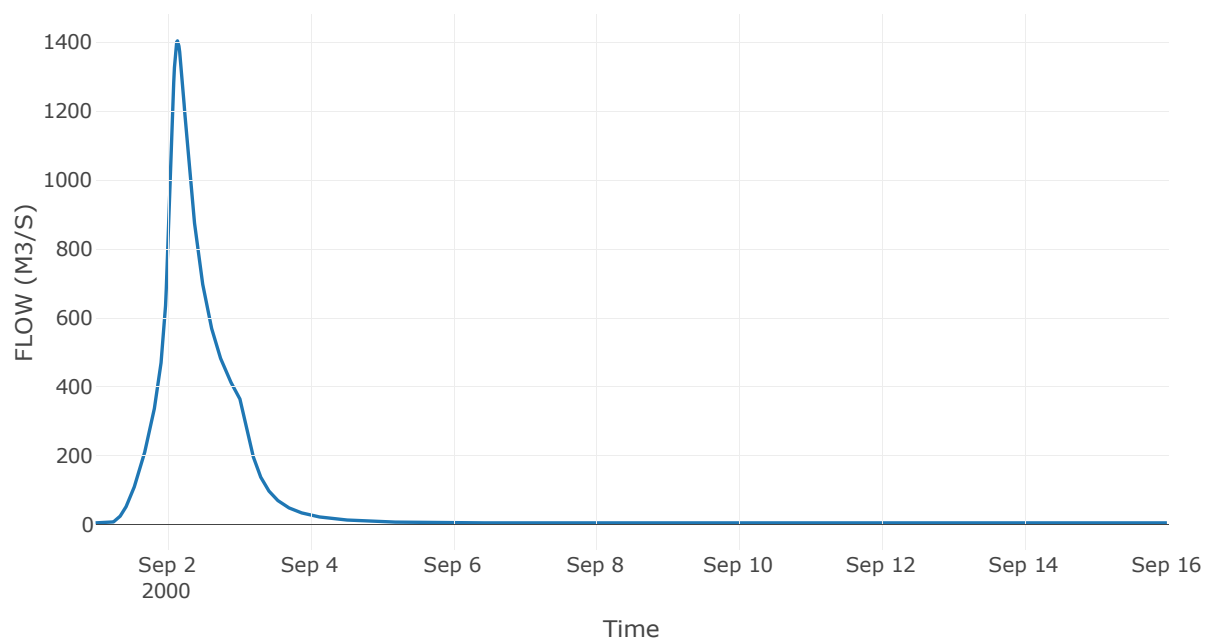
Κόμβος: J12

Κατάντη : R1211

Αποτελέσματα: J12

| | |
|-----------------------|------------------|
| Παροχή Αιχμής(M3/S) | 1403.56 |
| Χρονική στιγμή αιχμής | 02Sep2000, 03:30 |
| Όγκος(MM) | 253.4 |

Απορροή



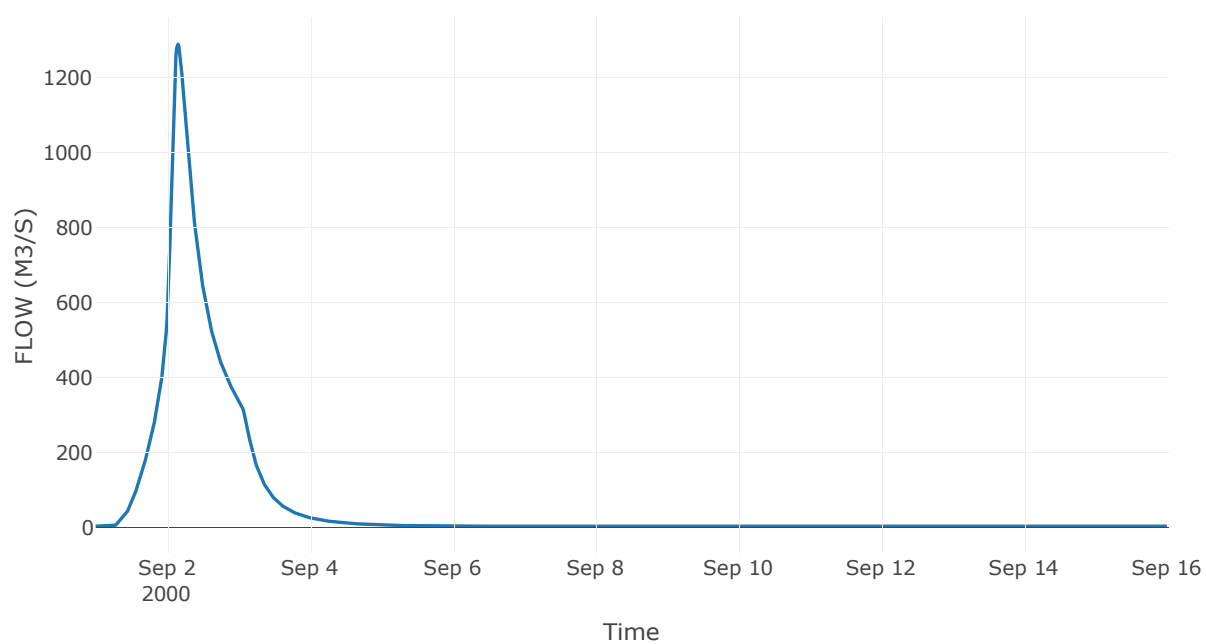
Ταμιευτήρας: J13_RES1

Κατάντη : R1312

Αποτελέσματα: J13_RES1

| | |
|------------------------------|------------------|
| Παροχή Αιχμής(M3/S) | 1288.65 |
| Χρονική στιγμή αιχμής | 02Sep2000, 03:45 |
| Όγκος(MM) | 246.86 |
| Παροχή Αιχμής Εισόδου (M3/S) | 2132.11 |
| Time of Peak Inflow | 02Sep2000, 01:45 |
| Όγκος Εισροής (M3) | 8.39E7 |
| Maximum Storage (M3) | 1.75E8 |
| Peak Elevation (M) | 511.16 |
| Discharge Όγκος(M3) | 8.69E7 |

Απορροή



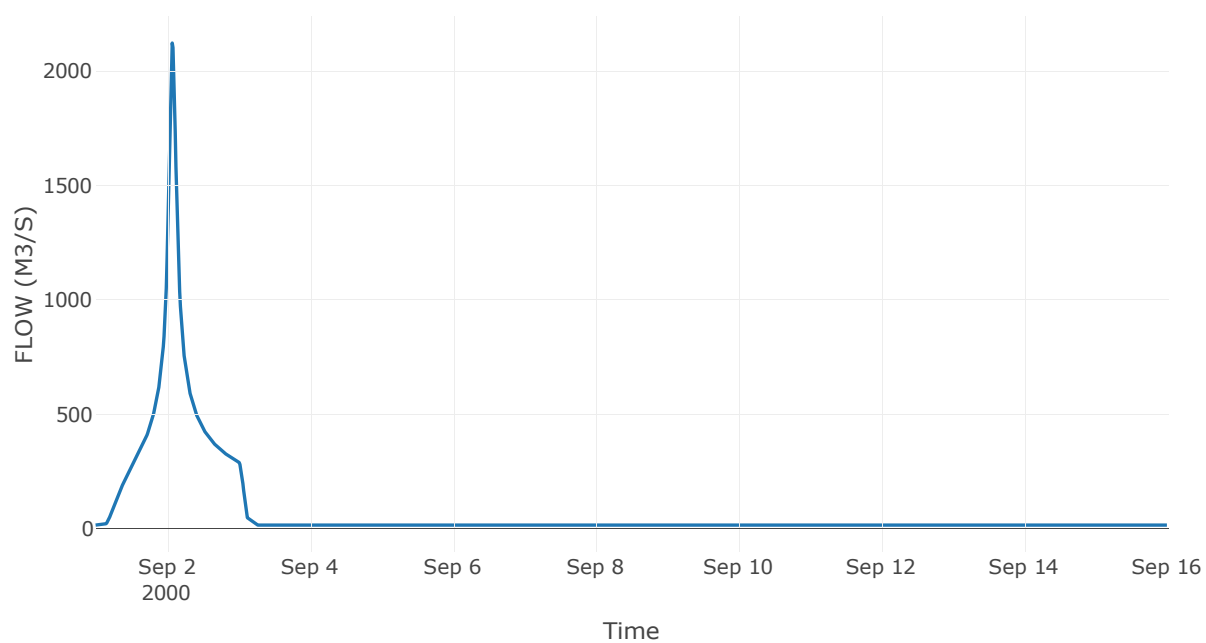
Κόμβος: J14

Κατάντη : R1413

Αποτελέσματα: J14

| | |
|-----------------------|------------------|
| Παροχή Αιχμής(M3/S) | 2121.78 |
| Χρονική στιγμή αιχμής | 02Sep2000, 01:45 |
| Όγκος(MM) | 307.63 |

Απορροή



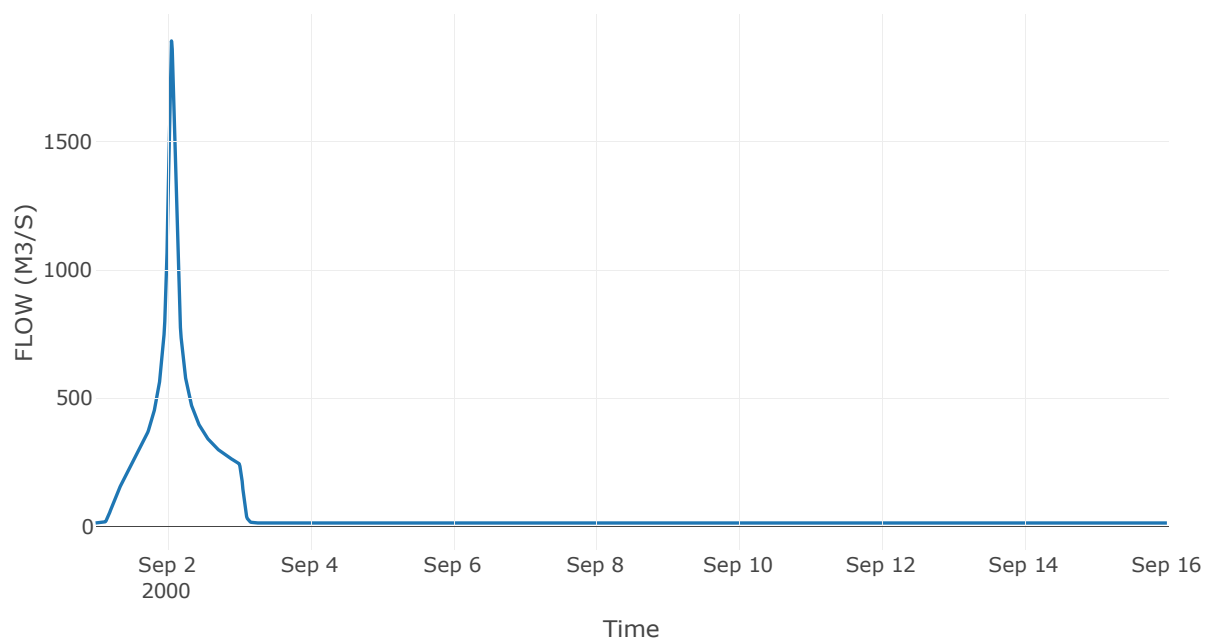
Κόμβος: J15

Κατάντη : R1514

Αποτελέσματα: J15

| | |
|-----------------------|------------------|
| Παροχή Αιχμής(M3/S) | 1892.27 |
| Χρονική στιγμή αιχμής | 02Sep2000, 01:30 |
| Όγκος(MM) | 308.18 |

Απορροή



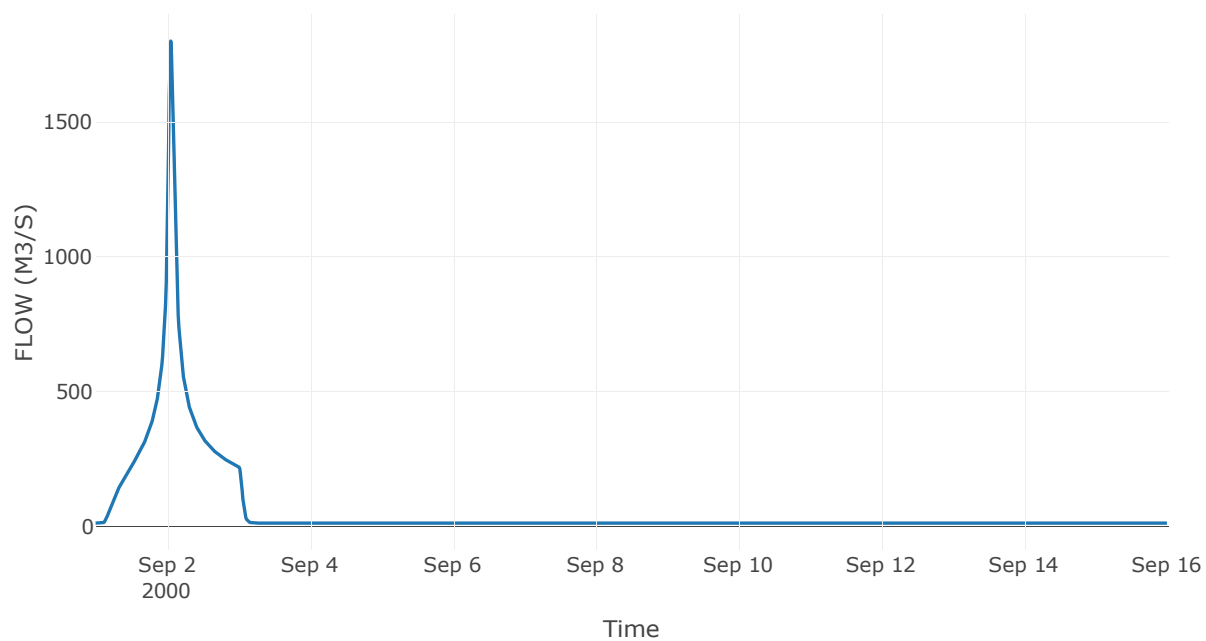
Κόμβος: J16

Κατάντη : R1615

Αποτελέσματα: J16

| | |
|-----------------------|------------------|
| Παροχή Αιχμής(M3/S) | 1800.56 |
| Χρονική στιγμή αιχμής | 02Sep2000, 01:15 |
| Όγκος(MM) | 310.99 |

Απορροή



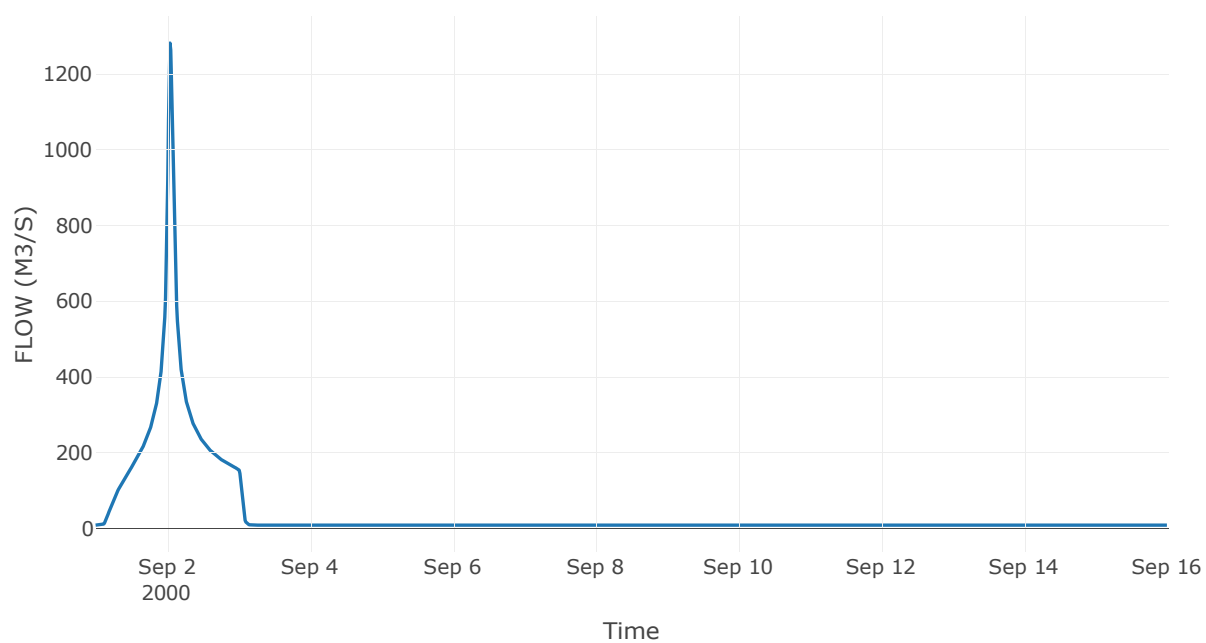
Κόμβος: J17

Κατάντη : R1716

Αποτελέσματα: J17

| | |
|-----------------------|------------------|
| Παροχή Αιχμής(M3/S) | 1281.67 |
| Χρονική στιγμή αιχμής | 02Sep2000, 01:00 |
| Όγκος(MM) | 313.02 |

Απορροή



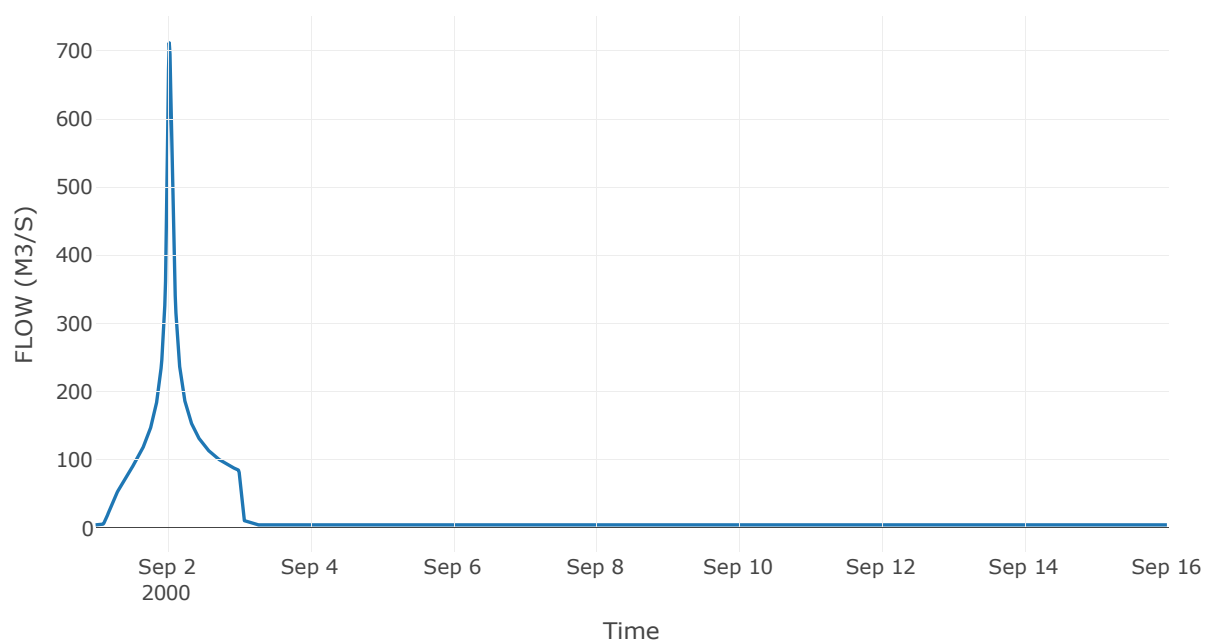
Κόμβος: J19

Κατάντη : R1918

Αποτελέσματα: J19

| | |
|-----------------------|------------------|
| Παροχή Αιχμής(M3/S) | 711.17 |
| Χρονική στιγμή αιχμής | 02Sep2000, 00:45 |
| Όγκος(MM) | 312.86 |

Απορροή



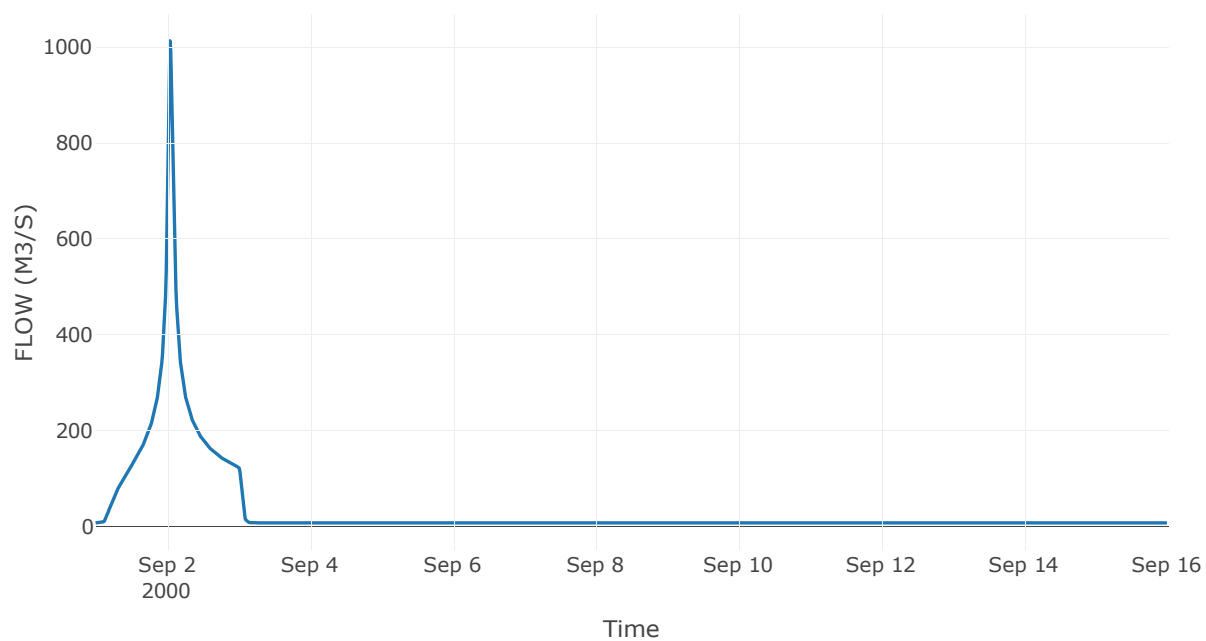
Κόμβος: J18

Κατάντη : R1817

Αποτελέσματα: J18

| | |
|-----------------------|------------------|
| Παροχή Αιχμής(M3/S) | 1013.08 |
| Χρονική στιγμή αιχμής | 02Sep2000, 01:00 |
| Όγκος(MM) | 312.28 |

Απορροή



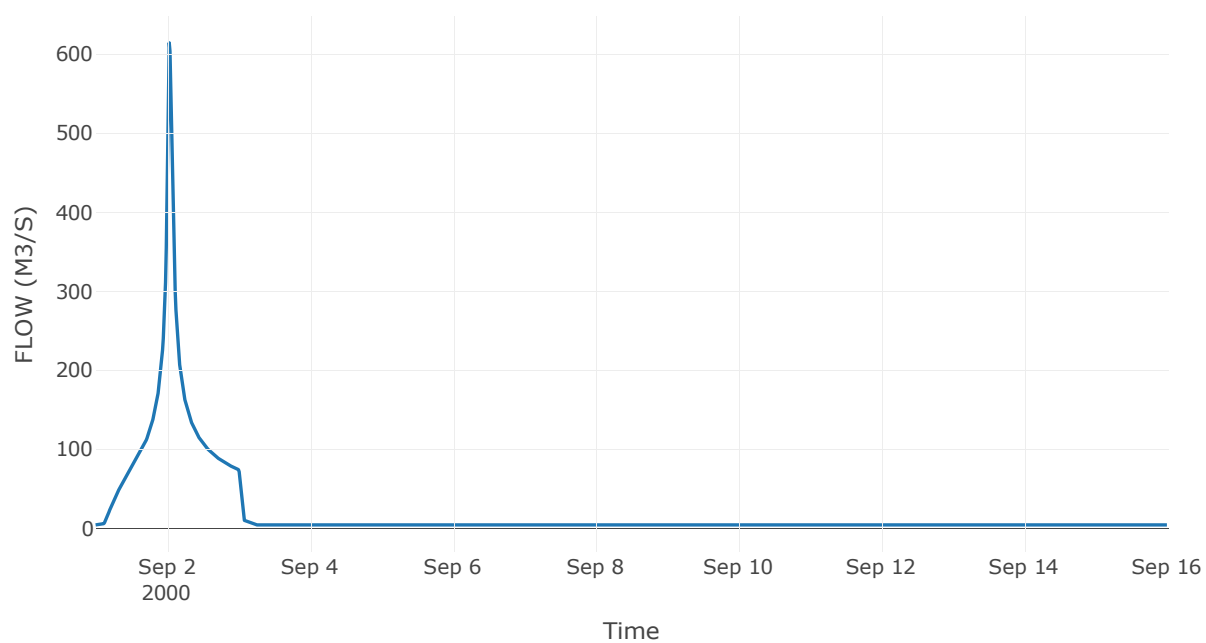
Κόμβος: J20

Κατάντη : R2019

Αποτελέσματα: J20

| | |
|-----------------------|------------------|
| Παροχή Αιχμής(M3/S) | 614.42 |
| Χρονική στιγμή αιχμής | 02Sep2000, 00:45 |
| Όγκος(MM) | 313.26 |

Απορροή



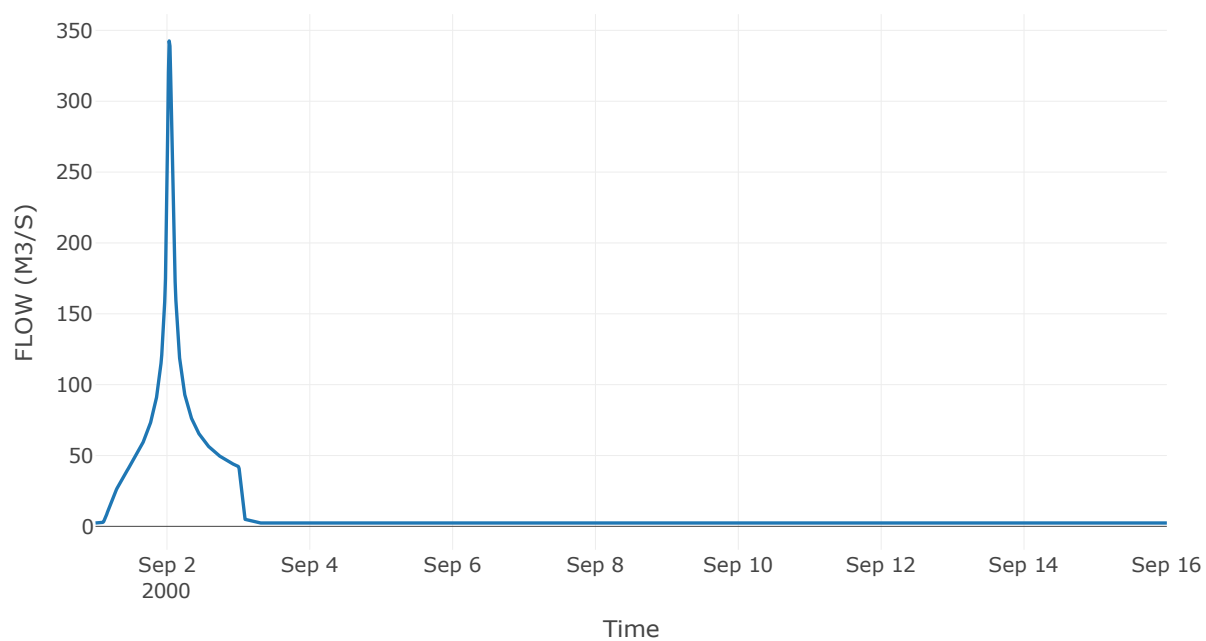
Κόμβος: J21

Κατάντη : R2120

Αποτελέσματα: J21

| | |
|-----------------------|------------------|
| Παροχή Αιχμής(M3/S) | 342.56 |
| Χρονική στιγμή αιχμής | 02Sep2000, 00:45 |
| Όγκος(MM) | 319.29 |

Απορροή



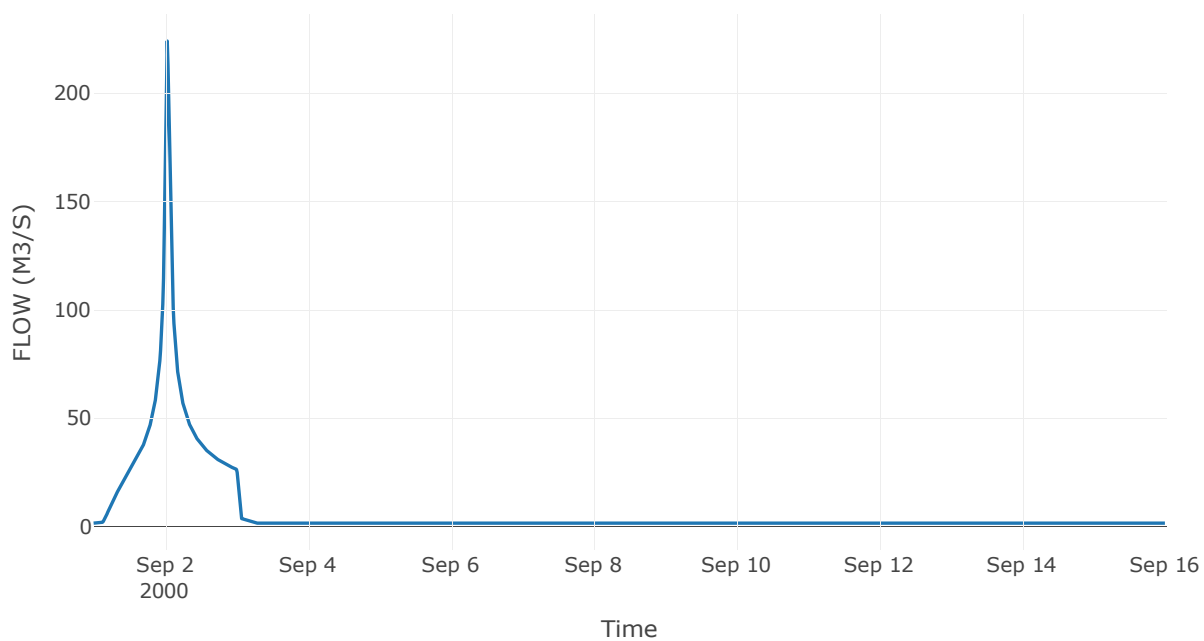
Κόμβος: J22

Κατάντη : R2220

Αποτελέσματα: J22

| | |
|-----------------------|------------------|
| Παροχή Αιχμής(M3/S) | 224.06 |
| Χρονική στιγμή αιχμής | 02Sep2000, 00:45 |
| Όγκος(MM) | 303.99 |

Απορροή



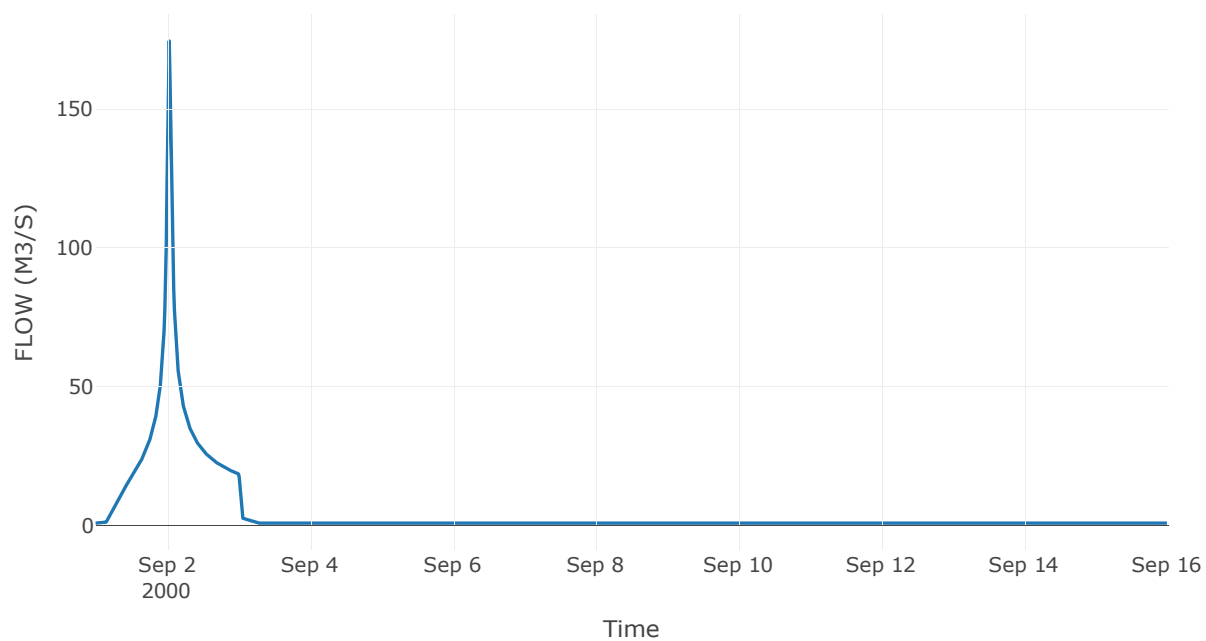
Κόμβος: J23

Κατάντη : R2314

Αποτελέσματα: J23

| | |
|-----------------------|------------------|
| Παροχή Αιχμής(M3/S) | 174.4 |
| Χρονική στιγμή αιχμής | 02Sep2000, 00:45 |
| Όγκος(MM) | 311.92 |

Απορροή



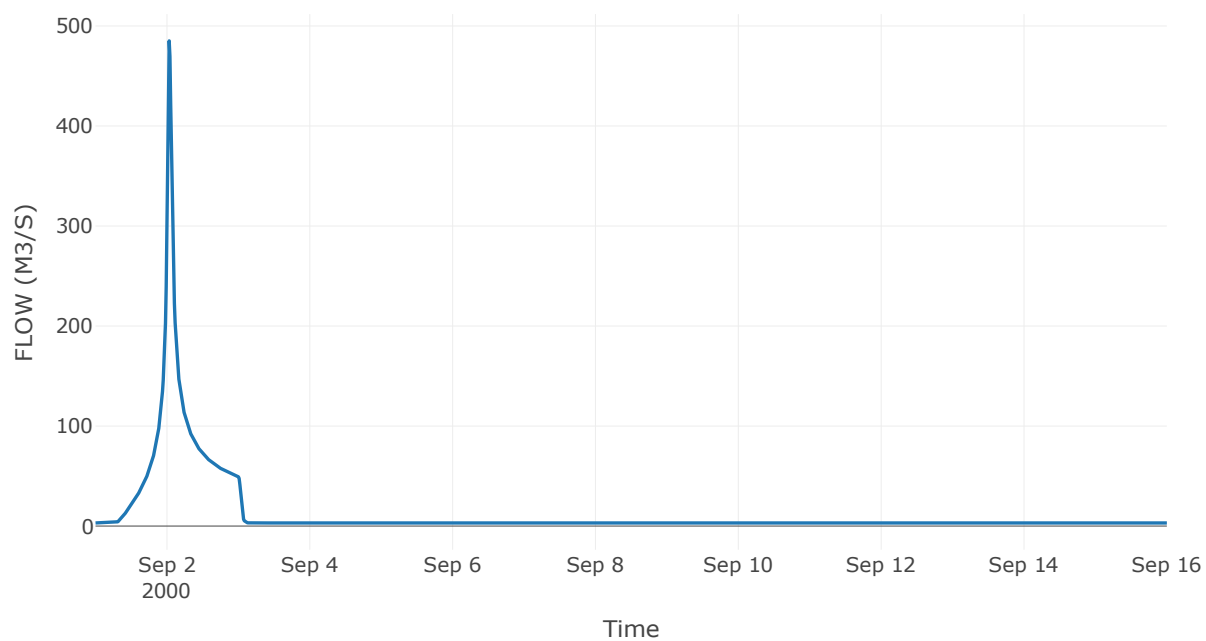
Κόμβος: J24

Κατάντη : R2411

Αποτελέσματα: J24

| | |
|-----------------------|------------------|
| Παροχή Αιχμής(M3/S) | 485.1 |
| Χρονική στιγμή αιχμής | 02Sep2000, 00:45 |
| Όγκος(MM) | 268.48 |

Απορροή



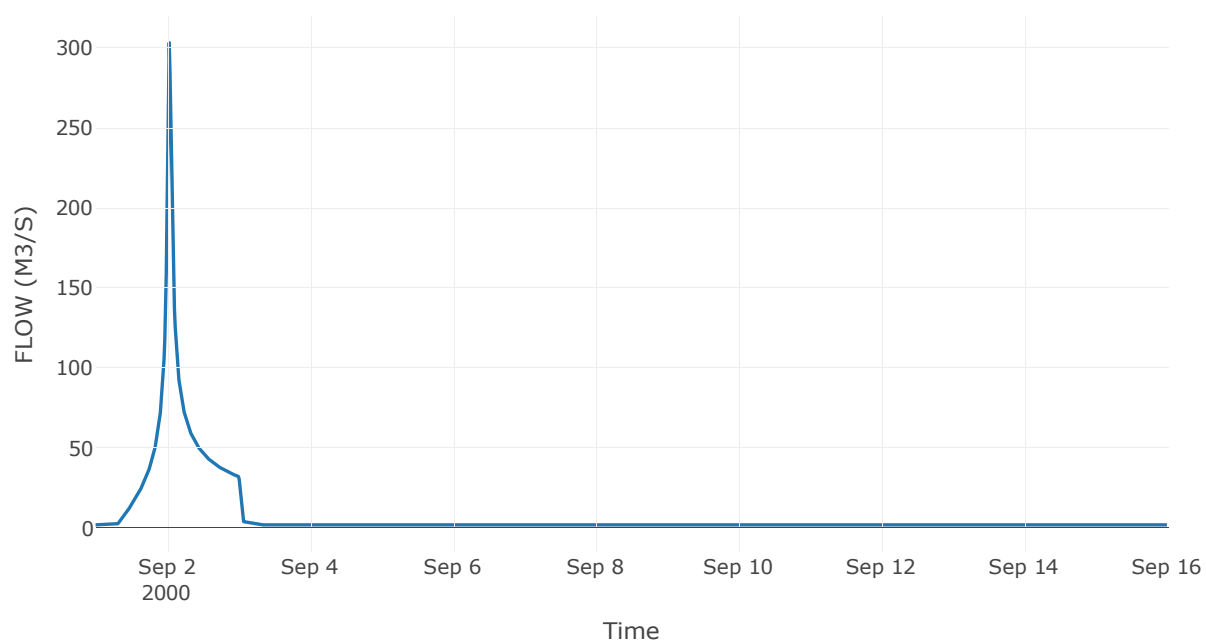
Κόμβος: J25

Κατάντη : R2524

Αποτελέσματα: J25

| | |
|-----------------------|------------------|
| Παροχή Αιχμής(M3/S) | 303.18 |
| Χρονική στιγμή αιχμής | 02Sep2000, 00:45 |
| Όγκος(MM) | 274.07 |

Απορροή



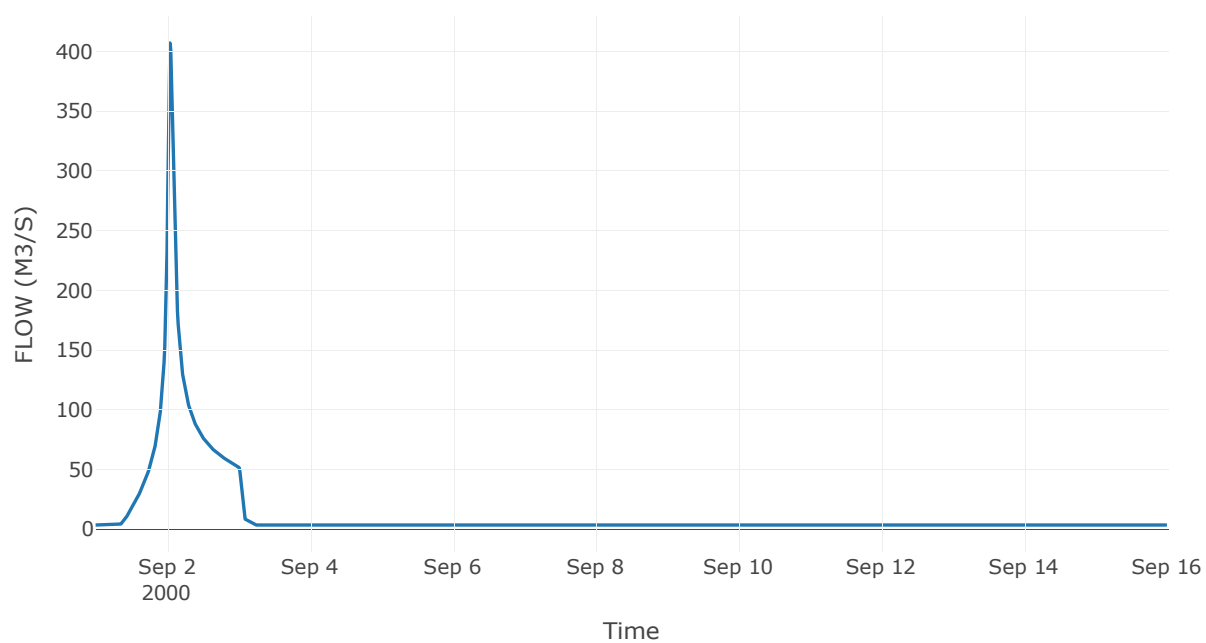
Κόμβος: J26

Κατάντη : R2610

Αποτελέσματα: J26

| | |
|-----------------------|------------------|
| Παροχή Αιχμής(M3/S) | 407.02 |
| Χρονική στιγμή αιχμής | 02Sep2000, 01:00 |
| Όγκος(MM) | 237.89 |

Απορροή



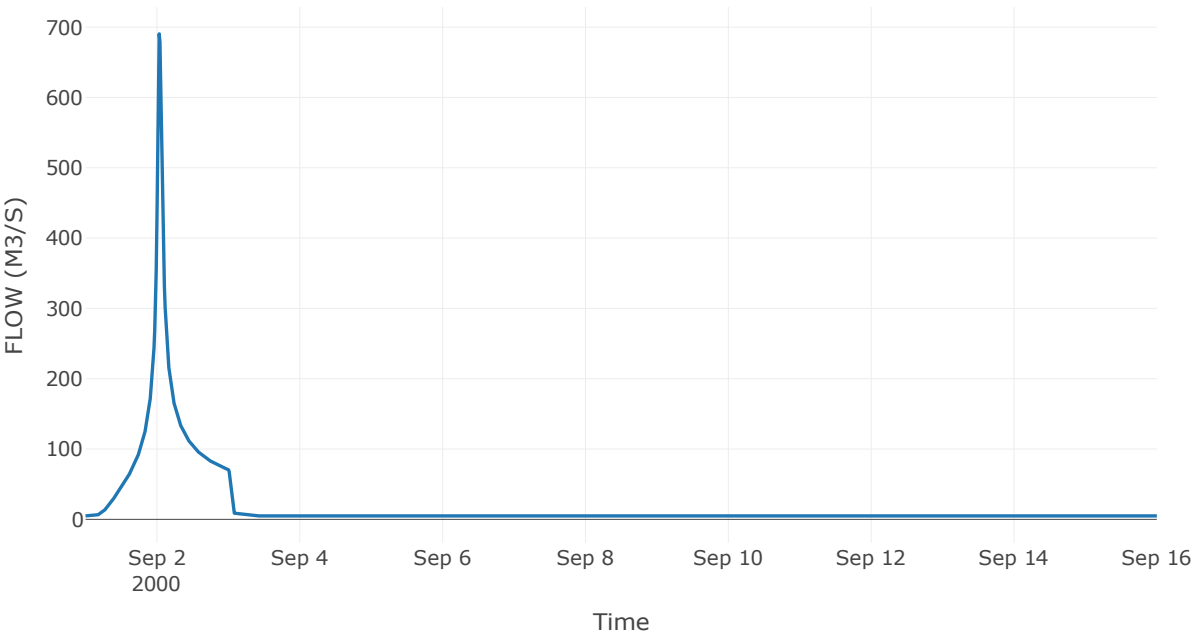
Κόμβος: J27

Κατάντη : R278

Αποτελέσματα: J27

| | |
|-----------------------|------------------|
| Παροχή Αιχμής(M3/S) | 690.47 |
| Χρονική στιγμή αιχμής | 02Sep2000, 00:45 |
| Όγκος(MM) | 262.58 |

Απορροή



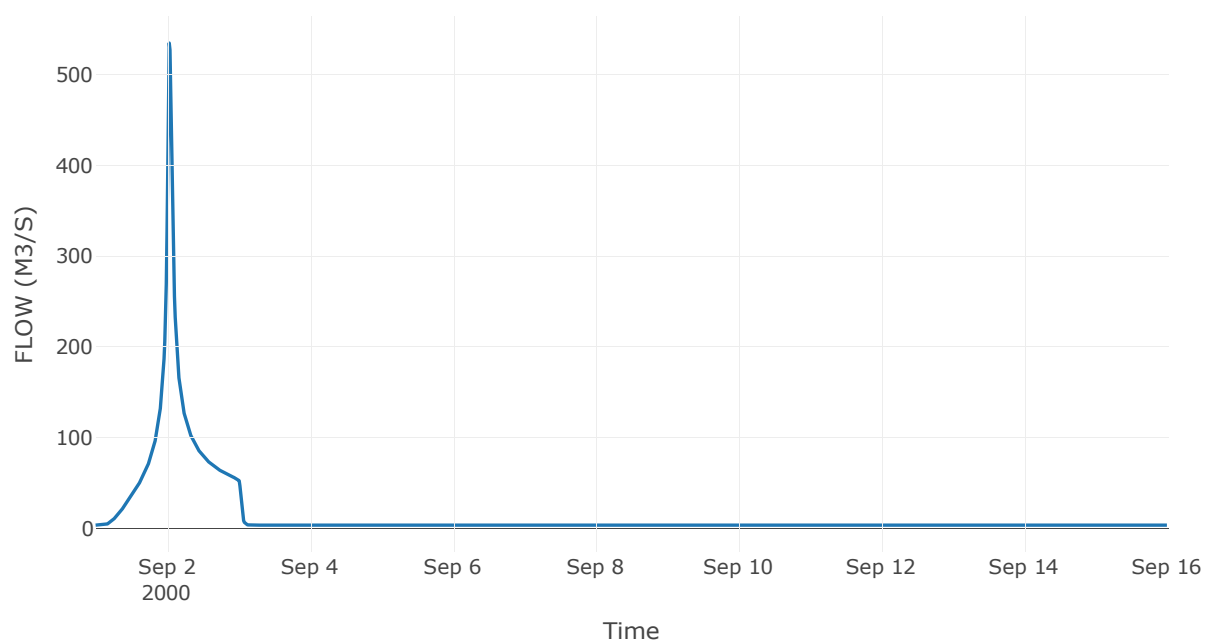
Κόμβος: J28

Κατάντη : R2827

Αποτελέσματα: J28

| | |
|-----------------------|------------------|
| Παροχή Αιχμής(M3/S) | 534.79 |
| Χρονική στιγμή αιχμής | 02Sep2000, 00:45 |
| Όγκος(MM) | 263.72 |

Απορροή



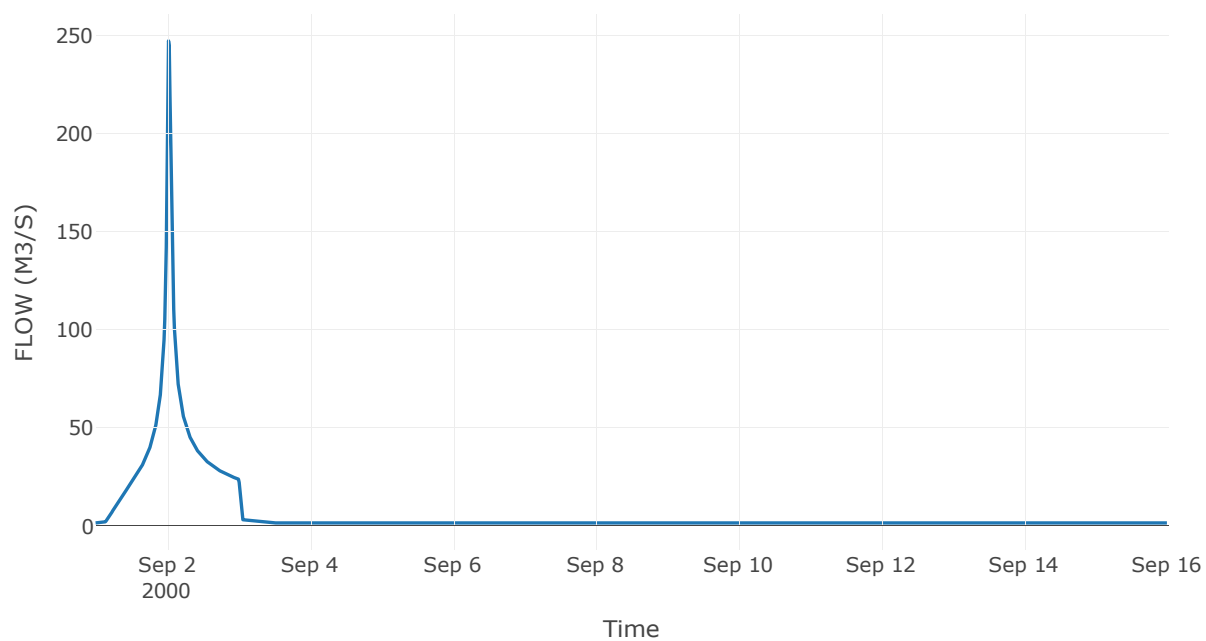
Κόμβος: J29

Κατάντη : R2928

Αποτελέσματα: J29

| | |
|-----------------------|------------------|
| Παροχή Αιχμής(M3/S) | 247.29 |
| Χρονική στιγμή αιχμής | 02Sep2000, 00:30 |
| Όγκος(MM) | 282.49 |

Απορροή



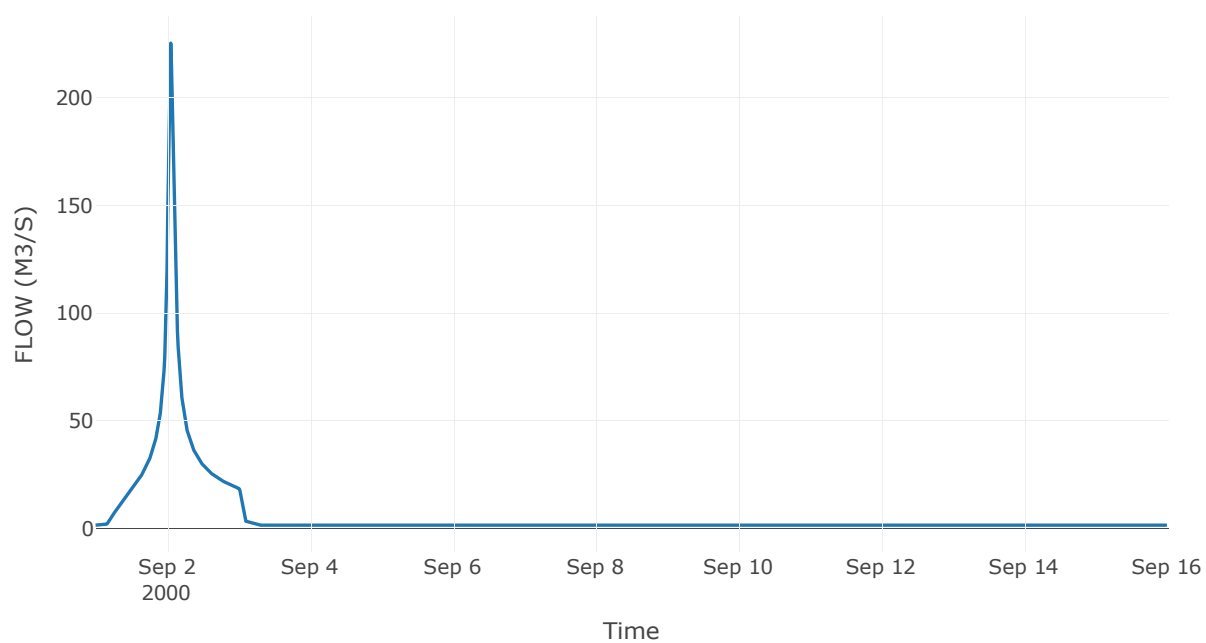
Κόμβος: J30

Κατάντη : R302

Αποτελέσματα: J30

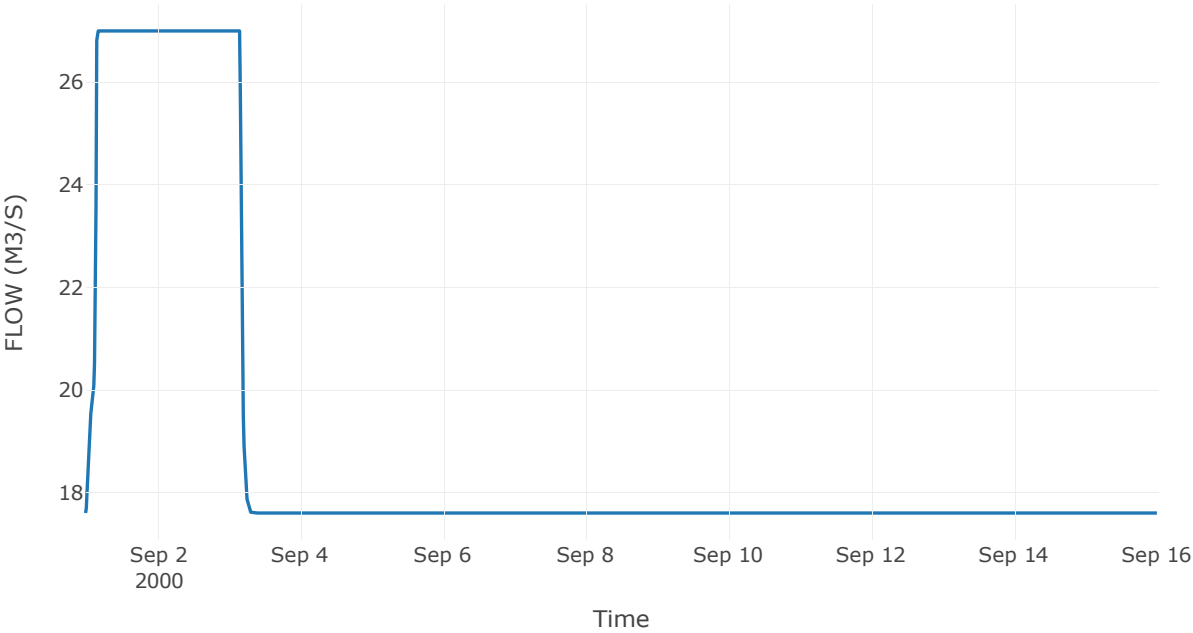
| | |
|-----------------------|------------------|
| Παροχή Αιχμής(M3/S) | 225.45 |
| Χρονική στιγμή αιχμής | 02Sep2000, 01:15 |
| Όγκος(MM) | 276.34 |

Απορροή



| | |
|-----------------------|------------------|
| Παροχή Αιχμής(M3/S) | 27 |
| Χρονική στιγμή αιχμής | 01Sep2000, 04:00 |

Απορροή



8 Δεδομένα εισόδου και αποτελέσματα υδρολογικού σεναρίου T=1000

8.1 Αποτελέσματα, υετογραφήματα και υδρογραφήματα σχεδιασμού υπολεκάνων

Υπολεκάνη: EL0420FR4001

Έκταση (KM2) : 23.03

Κατάνη : J1

Μέθοδος Απωλειών: SCS

| | |
|--------------------------------|-------|
| Ποσοστό αδιαπέρατης επιφάνειας | 0 |
| Αριθμός Καμπύλης Απορροής-CN | 78.41 |
| Αρχικές Απώλειες | 13.99 |

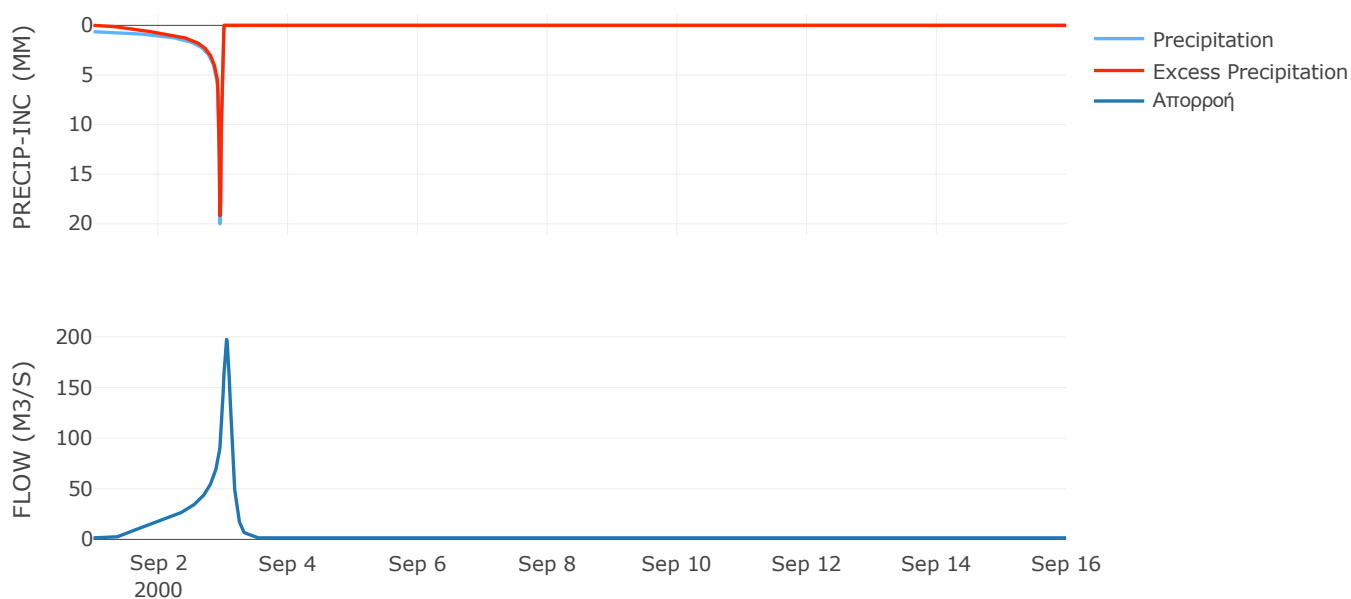
Μέθοδος
Μετασχηματισμού: SCS

| | |
|------------------|--------|
| Χρόνος Υστέρησης | 146.76 |
|------------------|--------|

Αποτελέσματα:
EL0420FR4001

| | |
|-----------------------------|------------------|
| Παροχή αιχμής (M3/S) | 197.49 |
| Χρονική στιγμή αιχμής | 03Sep2000, 01:15 |
| Όγκος (MM) | 354.68 |
| Όγκος βροχόπτωσης (M3) | 7.88E6 |
| Όγκος απωλειών (M3) | 1.65E6 |
| Ενεργός Όγκος (M3) | 6.23E6 |
| Όγκος άμεσης απορροής (M3) | 6.23E6 |
| Όγκος βασικής απορροής (M3) | 1.94E6 |

Βροχόπτωση και Απορροή



Υπολεκάνη: EL0420FR4002

Έκταση (KM2) : 14.69

Κατάντη : J2

Μέθοδος Απωλειών: SCS

| | |
|--------------------------------|-------|
| Ποσοστό αδιαπέρατης επιφάνειας | 0 |
| Αριθμός Καμπύλης Απορροής-CN | 81.59 |
| Αρχικές Απώλειες | 11.46 |

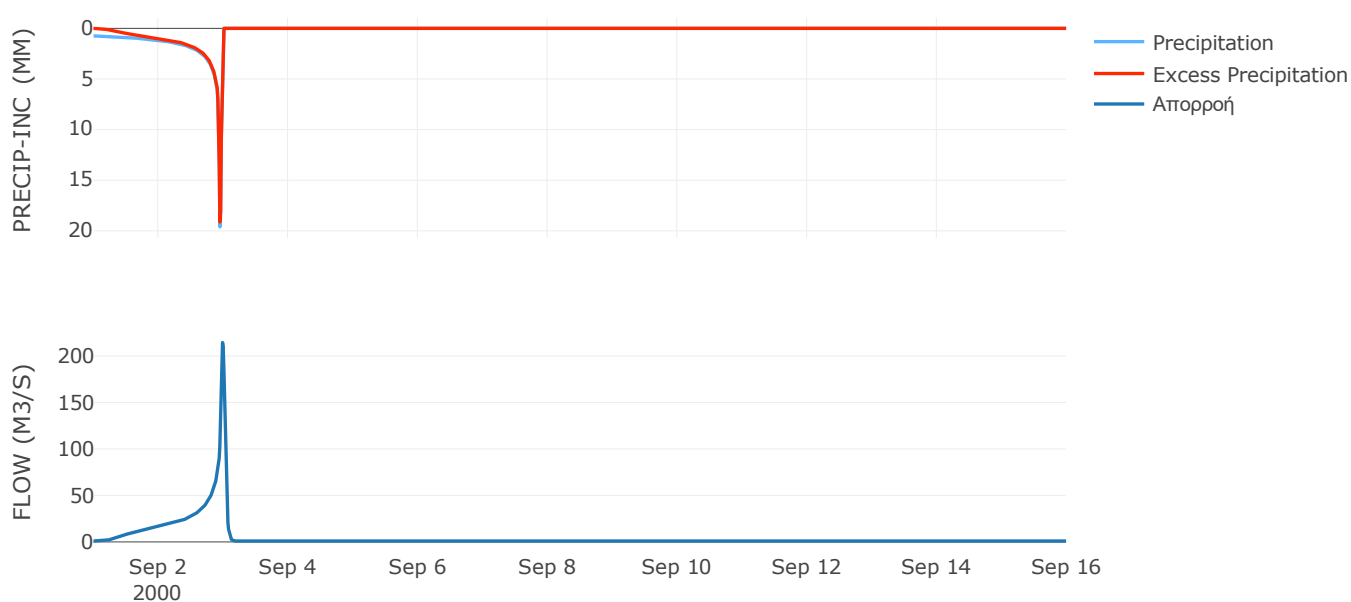
Μέθοδος
Μετασχηματισμού: SCS

| | |
|------------------|-------|
| Χρόνος Υστέρησης | 48.13 |
|------------------|-------|

Αποτελέσματα:
EL0420FR4002

| | |
|-----------------------------|------------------|
| Παροχή αιχμής (M3/S) | 214.52 |
| Χρονική στιγμή αιχμής | 02Sep2000, 23:45 |
| Όγκος (MM) | 397.66 |
| Όγκος βροχόπτωσης (M3) | 5.5E6 |
| Όγκος απωλειών (M3) | 8.95E5 |
| Ενεργός Όγκος (M3) | 4.6E6 |
| Όγκος άμεσης απορροής (M3) | 4.6E6 |
| Όγκος βασικής απορροής (M3) | 1.24E6 |

Βροχόπτωση και Απορροή



Υπολεκάνη: EL0420FR4003

Έκταση (KM2) : 18.27

Κατάντη : J3

Μέθοδος Απωλειών: SCS

| | |
|--------------------------------|-------|
| Ποσοστό αδιαπέρατης επιφάνειας | 0 |
| Αριθμός Καμπύλης Απορροής-CN | 75.32 |
| Αρχικές Απώλειες | 16.65 |

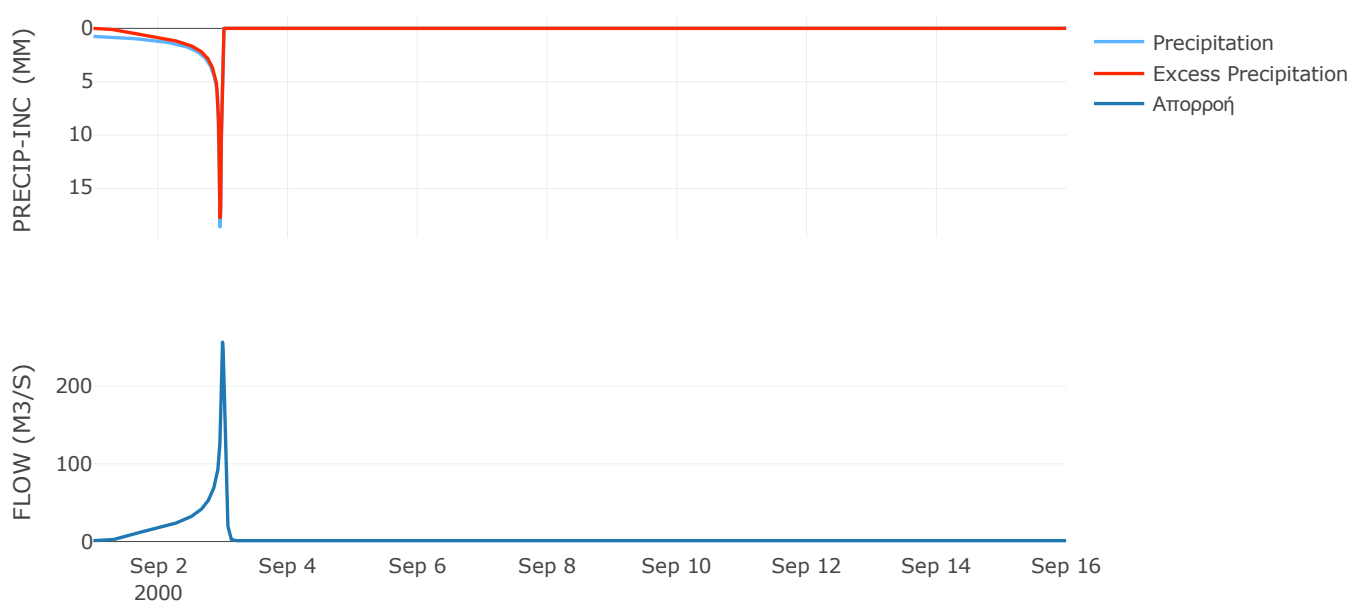
Μέθοδος
Μετασχηματισμού: SCS

| | |
|------------------|------|
| Χρόνος Υστέρησης | 44.8 |
|------------------|------|

Αποτελέσματα:
EL0420FR4003

| | |
|-----------------------------|------------------|
| Παροχή αιχμής (M3/S) | 256.49 |
| Χρονική στιγμή αιχμής | 02Sep2000, 23:45 |
| Όγκος (MM) | 370.15 |
| Όγκος βροχόπτωσης (M3) | 6.76E6 |
| Όγκος απωλειών (M3) | 1.53E6 |
| Ενεργός Όγκος (M3) | 5.22E6 |
| Όγκος άμεσης απορροής (M3) | 5.22E6 |
| Όγκος βασικής απορροής (M3) | 1.54E6 |

Βροχόπτωση και Απορροή



Υπολεκάνη: EL0420FR4004

Έκταση (KM2) : 43.51

Κατάντη : J4

Μέθοδος Απωλειών: SCS

| | |
|--------------------------------|-------|
| Ποσοστό αδιαπέρατης επιφάνειας | 0 |
| Αριθμός Καμπύλης Απορροής-CN | 80.89 |
| Αρχικές Απώλειες | 12 |

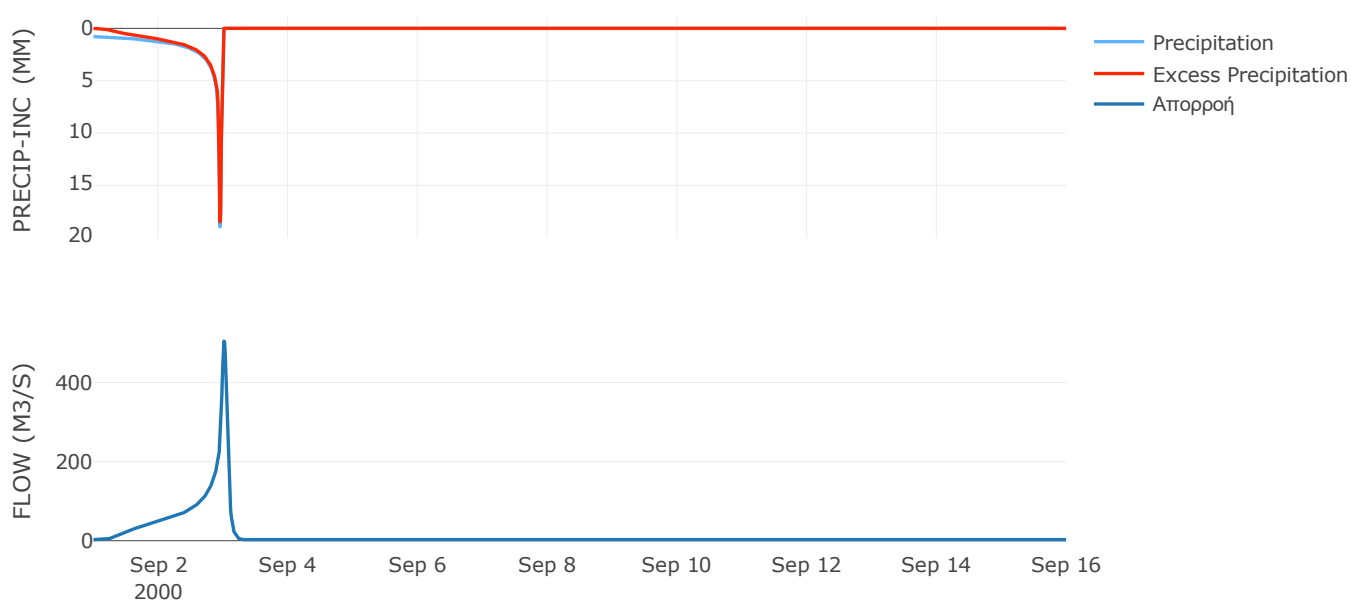
Μέθοδος
Μετασχηματισμού: SCS

| | |
|------------------|-------|
| Χρόνος Υστέρησης | 84.33 |
|------------------|-------|

Αποτελέσματα:
EL0420FR4004

| | |
|-----------------------------|------------------|
| Παροχή αιχμής (M3/S) | 504.9 |
| Χρονική στιγμή αιχμής | 03Sep2000, 00:15 |
| Όγκος (MM) | 403.74 |
| Όγκος βροχόπτωσης (M3) | 1.67E7 |
| Όγκος απωλειών (M3) | 2.77E6 |
| Ενεργός Όγκος (M3) | 1.39E7 |
| Όγκος άμεσης απορροής (M3) | 1.39E7 |
| Όγκος βασικής απορροής (M3) | 3.67E6 |

Βροχόπτωση και Απορροή



Υπολεκάνη: EL0420FR4005

Έκταση (KM2) : 48.87

Κατάντη : J5

Μέθοδος Απωλειών: SCS

| | |
|--------------------------------|-------|
| Ποσοστό αδιαπέρατης επιφάνειας | 0 |
| Αριθμός Καμπύλης Απορροής-CN | 65.72 |
| Αρχικές Απώλειες | 26.49 |

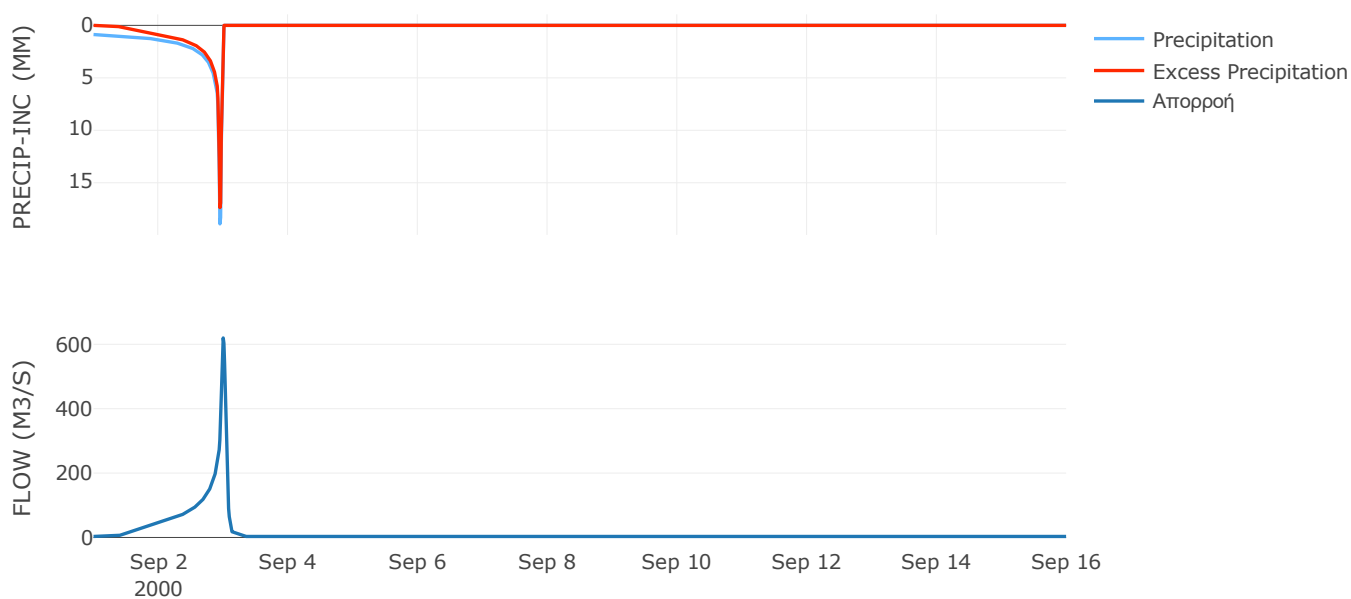
Μέθοδος
Μετασχηματισμού: SCS

| | |
|------------------|-------|
| Χρόνος Υστέρησης | 61.85 |
|------------------|-------|

Αποτελέσματα:
EL0420FR4005

| | |
|-----------------------------|------------------|
| Παροχή αιχμής (M3/S) | 619.78 |
| Χρονική στιγμή αιχμής | 02Sep2000, 24:00 |
| Όγκος (MM) | 370.28 |
| Όγκος βροχόπτωσης (M3) | 2.01E7 |
| Όγκος απωλειών (M3) | 6.11E6 |
| Ενεργός Όγκος (M3) | 1.4E7 |
| Όγκος άμεσης απορροής (M3) | 1.4E7 |
| Όγκος βασικής απορροής (M3) | 4.12E6 |

Βροχόπτωση και Απορροή



Υπολεκάνη: EL0420FR4006

Έκταση (KM2) : 0.82

Κατάντη : J6

Μέθοδος Απωλειών: SCS

| | |
|--------------------------------|-------|
| Ποσοστό αδιαπέρατης επιφάνειας | 0 |
| Αριθμός Καμπύλης Απορροής-CN | 54.88 |
| Αρχικές Απώλειες | 41.76 |

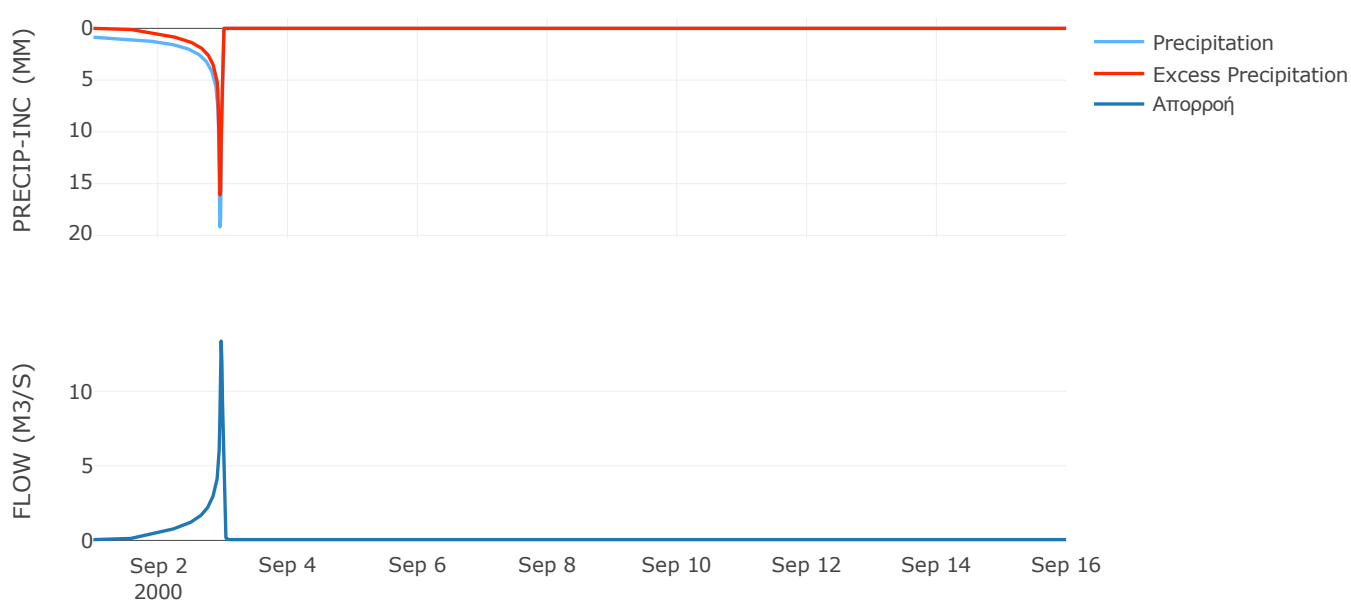
Μέθοδος
Μετασχηματισμού: SCS

| | |
|------------------|-------|
| Χρόνος Υστέρησης | 15.29 |
|------------------|-------|

Αποτελέσματα:
EL0420FR4006

| | |
|-----------------------------|------------------|
| Παροχή αιχμής (M3/S) | 13.36 |
| Χρονική στιγμή αιχμής | 02Sep2000, 23:15 |
| Όγκος (MM) | 317.19 |
| Όγκος βροχόπτωσης (M3) | 3.33E5 |
| Όγκος απωλειών (M3) | 1.43E5 |
| Ενεργός Όγκος (M3) | 1.9E5 |
| Όγκος άμεσης απορροής (M3) | 1.9E5 |
| Όγκος βασικής απορροής (M3) | 68887.58 |

Βροχόπτωση και Απορροή



Υπολεκάνη: EL0420FR4007

Έκταση (KM2) : 16.52

Κατάντη : J7

Μέθοδος Απωλειών: SCS

| | |
|--------------------------------|-------|
| Ποσοστό αδιαπέρατης επιφάνειας | 0 |
| Αριθμός Καμπύλης Απορροής-CN | 60.81 |
| Αρχικές Απώλειες | 32.74 |

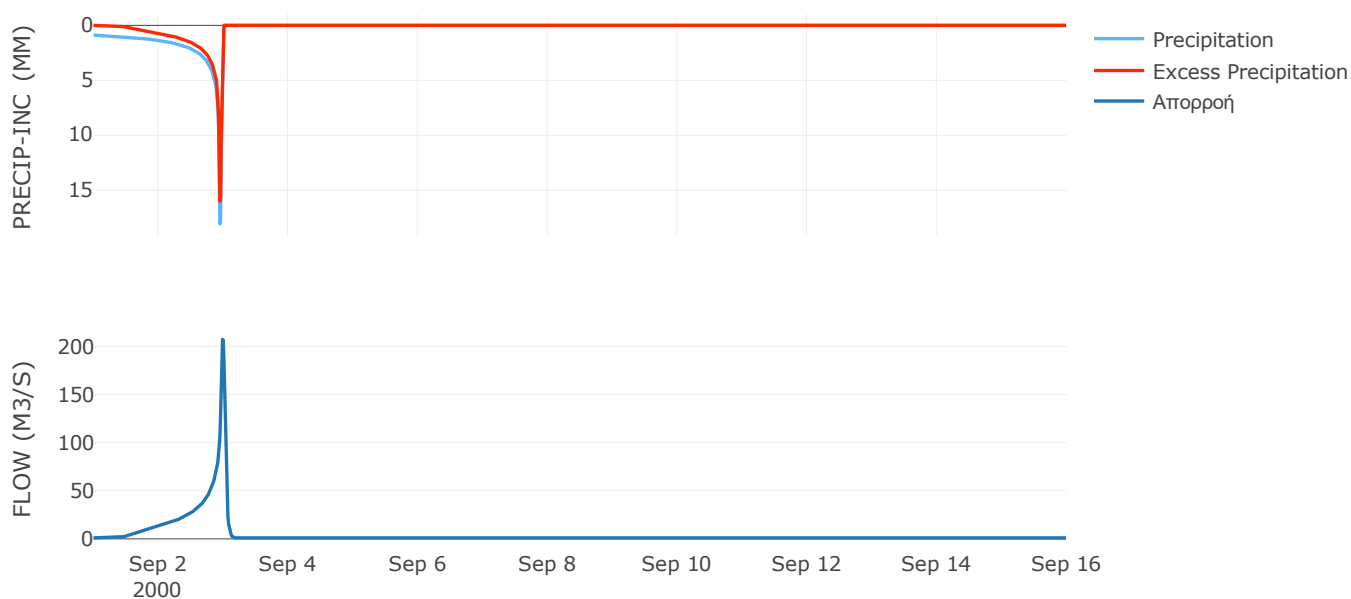
Μέθοδος
Μετασχηματισμού: SCS

| | |
|------------------|-------|
| Χρόνος Υστέρησης | 49.94 |
|------------------|-------|

Αποτελέσματα:
EL0420FR4007

| | |
|-----------------------------|------------------|
| Παροχή αιχμής (M3/S) | 207.39 |
| Χρονική στιγμή αιχμής | 02Sep2000, 23:45 |
| Όγκος (MM) | 344.3 |
| Όγκος βροχόπτωσης (M3) | 6.72E6 |
| Όγκος απωλειών (M3) | 2.42E6 |
| Ενεργός Όγκος (M3) | 4.3E6 |
| Όγκος άμεσης απορροής (M3) | 4.3E6 |
| Όγκος βασικής απορροής (M3) | 1.39E6 |

Βροχόπτωση και Απορροή



Υπολεκάνη: EL0420FR4008

Έκταση (KM2) : 12.7

Κατάντη : J8

Μέθοδος Απωλειών: SCS

| | |
|--------------------------------|-------|
| Ποσοστό αδιαπέρατης επιφάνειας | 0 |
| Αριθμός Καμπύλης Απορροής-CN | 59.06 |
| Αρχικές Απώλειες | 35.21 |

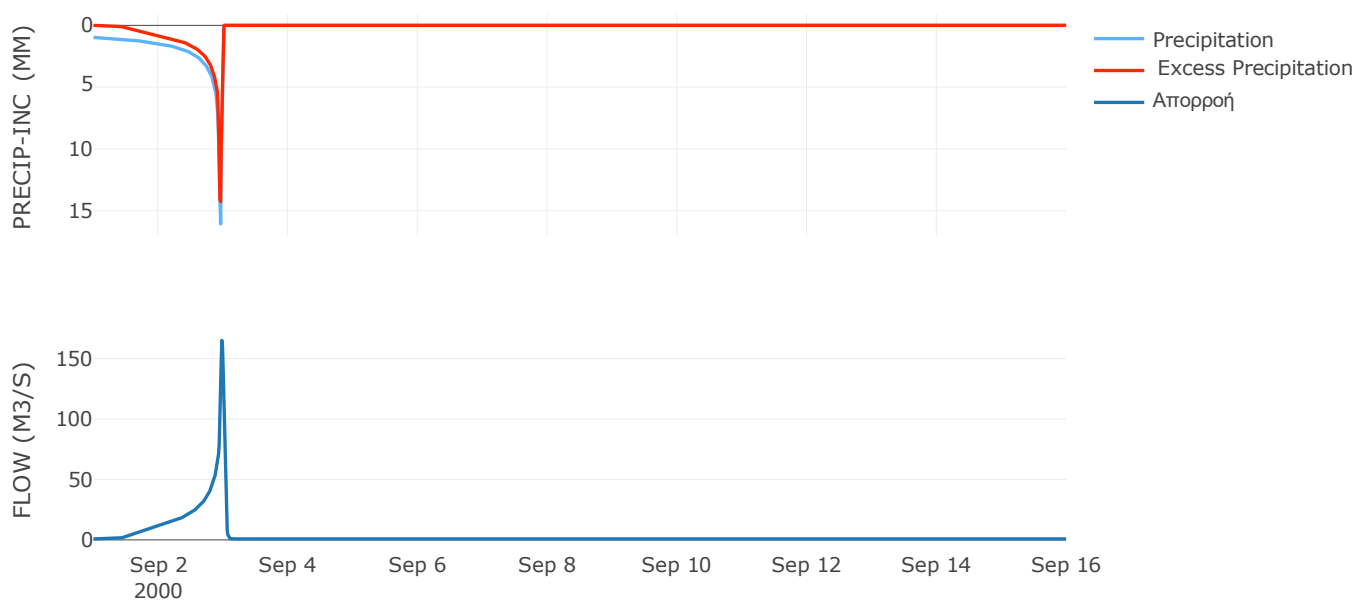
Μέθοδος
Μετασχηματισμού: SCS

| | |
|------------------|-------|
| Χρόνος Υστέρησης | 32.03 |
|------------------|-------|

Αποτελέσματα:
EL0420FR4008

| | |
|-----------------------------|------------------|
| Παροχή αιχμής (M3/S) | 164.99 |
| Χρονική στιγμή αιχμής | 02Sep2000, 23:30 |
| Όγκος (MM) | 346.69 |
| Όγκος βροχόπτωσης (M3) | 5.31E6 |
| Όγκος απωλειών (M3) | 1.98E6 |
| Ενεργός Όγκος (M3) | 3.33E6 |
| Όγκος άμεσης απορροής (M3) | 3.33E6 |
| Όγκος βασικής απορροής (M3) | 1.07E6 |

Βροχόπτωση και Απορροή



Υπολεκάνη: EL0420FR4009

Έκταση (KM2) : 5.92

Κατάντη : J9

Μέθοδος Απωλειών: SCS

| | |
|--------------------------------|-------|
| Ποσοστό αδιαπέρατης επιφάνειας | 0 |
| Αριθμός Καμπύλης Απορροής-CN | 63.56 |
| Αρχικές Απώλειες | 29.13 |

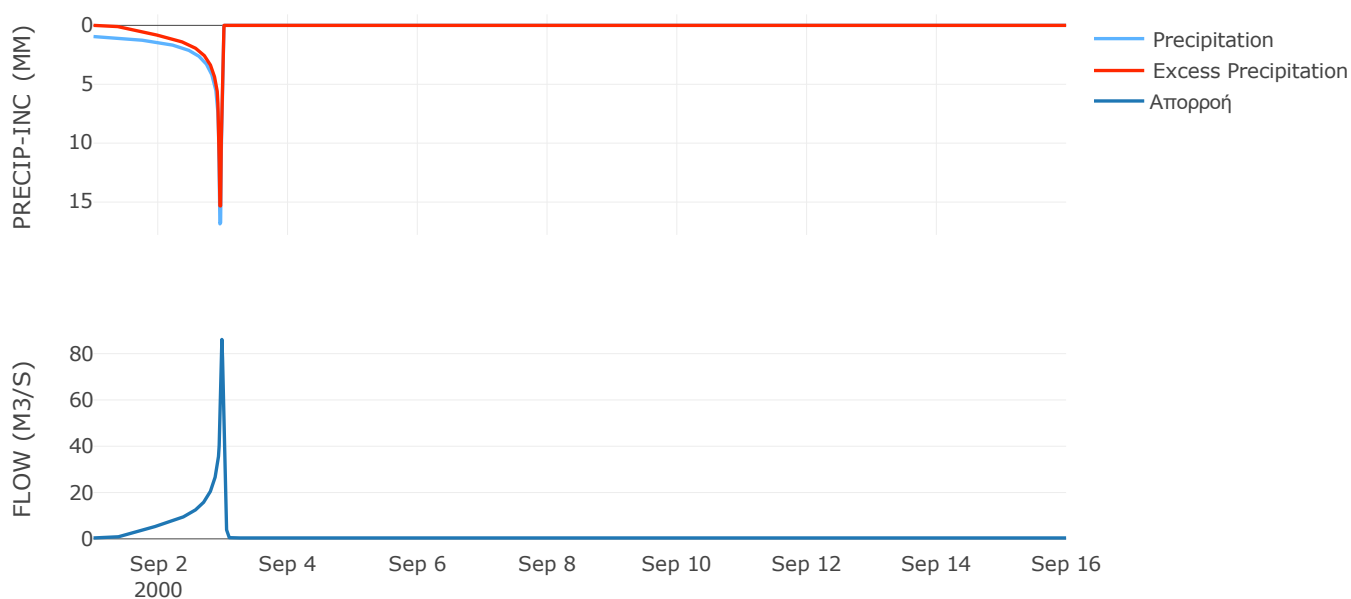
Μέθοδος
Μετασχηματισμού: SCS

| | |
|------------------|-------|
| Χρόνος Υστέρησης | 27.03 |
|------------------|-------|

Αποτελέσματα:
EL0420FR4009

| | |
|-----------------------------|------------------|
| Παροχή αιχμής (M3/S) | 86.13 |
| Χρονική στιγμή αιχμής | 02Sep2000, 23:30 |
| Όγκος (MM) | 366.99 |
| Όγκος βροχόπτωσης (M3) | 2.47E6 |
| Όγκος απωλειών (M3) | 8E5 |
| Ενεργός Όγκος (M3) | 1.67E6 |
| Όγκος άμεσης απορροής (M3) | 1.67E6 |
| Όγκος βασικής απορροής (M3) | 4.99E5 |

Βροχόπτωση και Απορροή



Υπολεκάνη: EL0420FR4010

Έκταση (KM2) : 2.67

Κατάντη : J10

Μέθοδος Απωλειών: SCS

| | |
|--------------------------------|-------|
| Ποσοστό αδιαπέρατης επιφάνειας | 0 |
| Αριθμός Καμπύλης Απορροής-CN | 58.38 |
| Αρχικές Απώλειες | 36.21 |

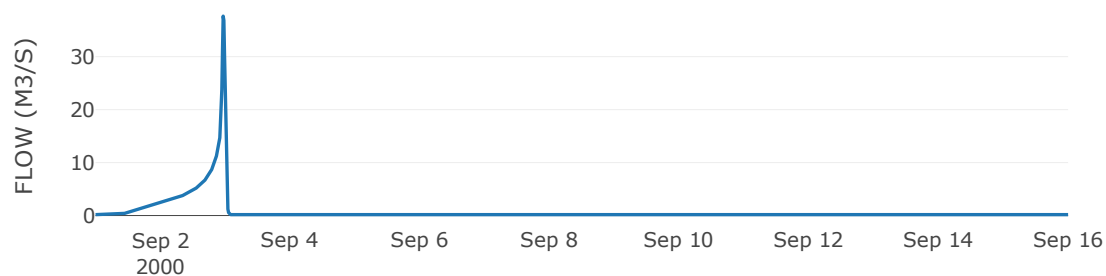
Μέθοδος
Μετασχηματισμού: SCS

| | |
|------------------|-------|
| Χρόνος Υστέρησης | 18.95 |
|------------------|-------|

Αποτελέσματα:
EL0420FR4010

| | |
|-----------------------------|------------------|
| Παροχή αιχμής (M3/S) | 37.65 |
| Χρονική στιγμή αιχμής | 02Sep2000, 23:15 |
| Όγκος (MM) | 344.68 |
| Όγκος βροχόπτωσης (M3) | 1.12E6 |
| Όγκος απωλειών (M3) | 4.25E5 |
| Ενεργός Όγκος (M3) | 6.95E5 |
| Όγκος άμεσης απορροής (M3) | 6.95E5 |
| Όγκος βασικής απορροής (M3) | 2.25E5 |

Βροχόπτωση και Απορροή



Υπολεκάνη: EL0420FR4011

Έκταση (KM2) : 55.39

Κατάληξη : J11

Μέθοδος Απωλειών: SCS

| | |
|--------------------------------|-------|
| Ποσοστό αδιαπέρατης επιφάνειας | 0 |
| Αριθμός Καμπύλης Απορροής-CN | 56.82 |
| Αρχικές Απώλειες | 38.6 |

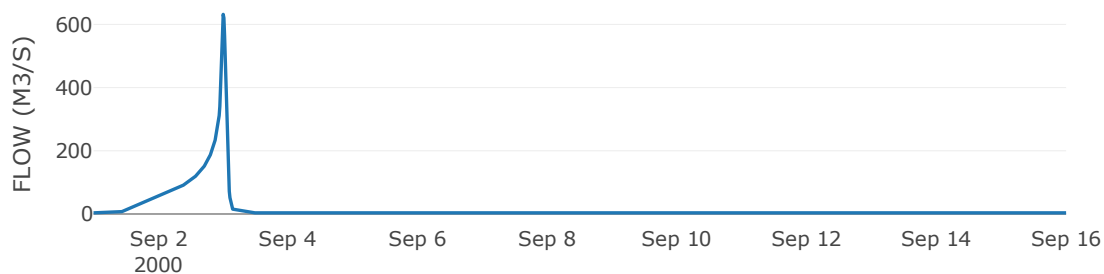
Μέθοδος
Μετασχηματισμού: SCS

| | |
|------------------|-------|
| Χρόνος Υστέρησης | 62.87 |
|------------------|-------|

Αποτελέσματα:
EL0420FR4011

| | |
|-----------------------------|------------------|
| Παροχή αιχμής (M3/S) | 631.84 |
| Χρονική στιγμή αιχμής | 02Sep2000, 24:00 |
| Όγκος (MM) | 376.84 |
| Όγκος βροχόπτωσης (M3) | 2.57E7 |
| Όγκος απωλειών (M3) | 9.49E6 |
| Ενεργός Όγκος (M3) | 1.62E7 |
| Όγκος άμεσης απορροής (M3) | 1.62E7 |
| Όγκος βασικής απορροής (M3) | 4.67E6 |

Βροχόπτωση και Απορροή



Υπολεκάνη: EL0420FR4012

Έκταση (KM2) : 2.36

Κατάντη : J12

Μέθοδος Απωλειών: SCS

| | |
|--------------------------------|-------|
| Ποσοστό αδιαπέρατης επιφάνειας | 0 |
| Αριθμός Καμπύλης Απορροής-CN | 67.92 |
| Αρχικές Απώλειες | 24 |

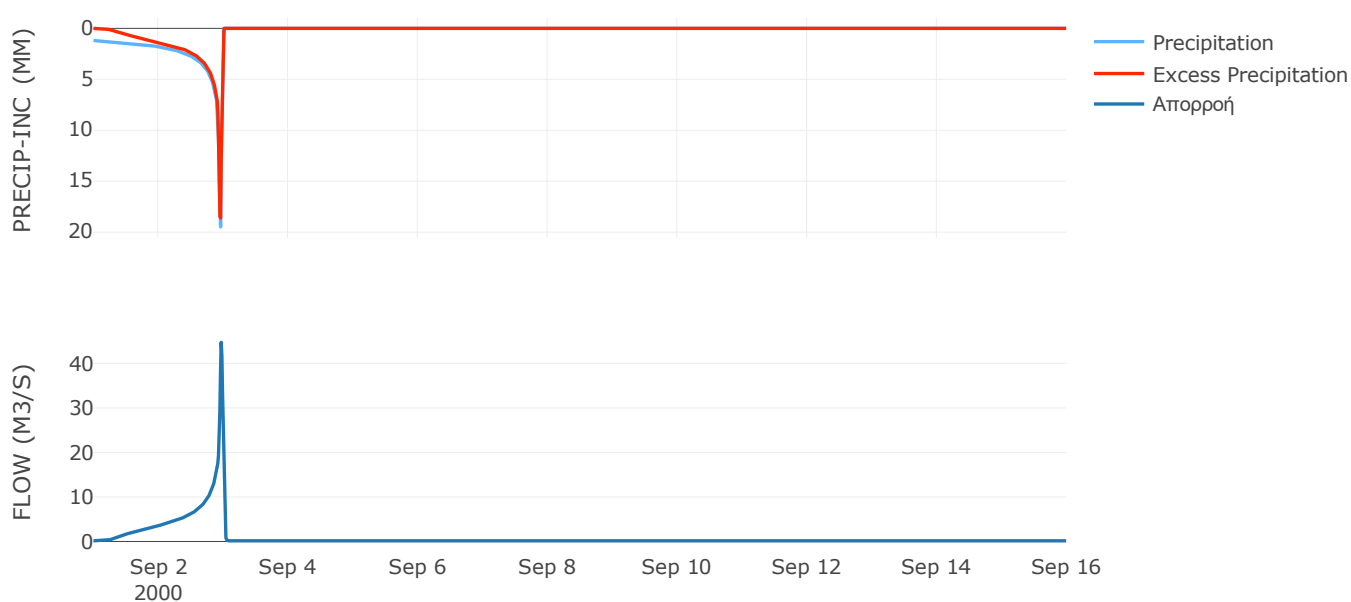
Μέθοδος
Μετασχηματισμού: SCS

| | |
|------------------|-------|
| Χρόνος Υστέρησης | 16.68 |
|------------------|-------|

Αποτελέσματα:
EL0420FR4012

| | |
|-----------------------------|------------------|
| Παροχή αιχμής (M3/S) | 44.75 |
| Χρονική στιγμή αιχμής | 02Sep2000, 23:15 |
| Όγκος (MM) | 474.29 |
| Όγκος βροχόπτωσης (M3) | 1.2E6 |
| Όγκος απωλειών (M3) | 2.84E5 |
| Ενεργός Όγκος (M3) | 9.21E5 |
| Όγκος άμεσης απορροής (M3) | 9.21E5 |
| Όγκος βασικής απορροής (M3) | 1.99E5 |

Βροχόπτωση και Απορροή



Υπολεκάνη: EL0420FR4013

Έκταση (KM2) : 1.96

Κατάντη : J14

Μέθοδος Απωλειών: SCS

| | |
|--------------------------------|-------|
| Ποσοστό αδιαπέρατης επιφάνειας | 24 |
| Αριθμός Καμπύλης Απορροής-CN | 83.78 |
| Αρχικές Απώλειες | 9.84 |

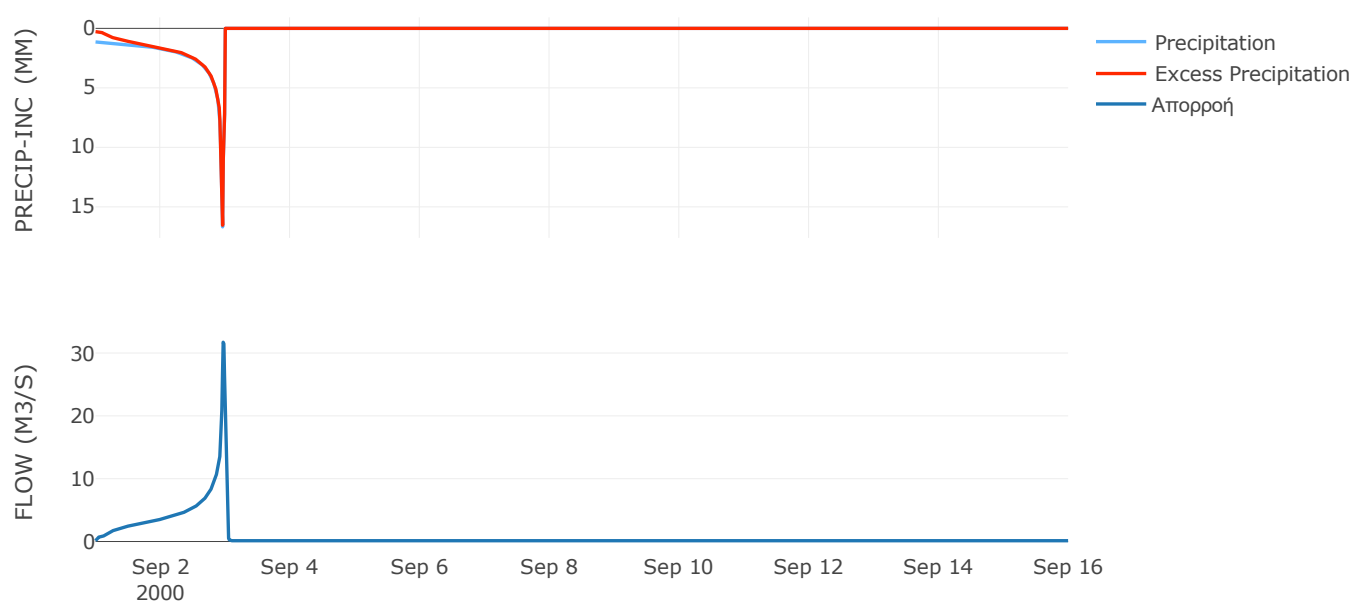
Μέθοδος
Μετασχηματισμού: SCS

| | |
|------------------|-------|
| Χρόνος Υστέρησης | 19.77 |
|------------------|-------|

Αποτελέσματα:
EL0420FR4013

| | |
|-----------------------------|------------------|
| Παροχή αιχμής (M3/S) | 31.72 |
| Χρονική στιγμή αιχμής | 02Sep2000, 23:15 |
| Όγκος (MM) | 511.85 |
| Όγκος βροχόπτωσης (M3) | 9.19E5 |
| Όγκος απωλειών (M3) | 80777.3 |
| Ενεργός Όγκος (M3) | 8.38E5 |
| Όγκος άμεσης απορροής (M3) | 8.38E5 |
| Όγκος βασικής απορροής (M3) | 1.65E5 |

Βροχόπτωση και Απορροή



Υπολεκάνη: EL0420FR4014

Έκταση (KM2) : 27.11

Κατάνη : J14

Μέθοδος Απωλειών: SCS

| | |
|--------------------------------|-------|
| Ποσοστό αδιαπέρατης επιφάνειας | 7 |
| Αριθμός Καμπύλης Απορροής-CN | 68.41 |
| Αρχικές Απώλειες | 23.46 |

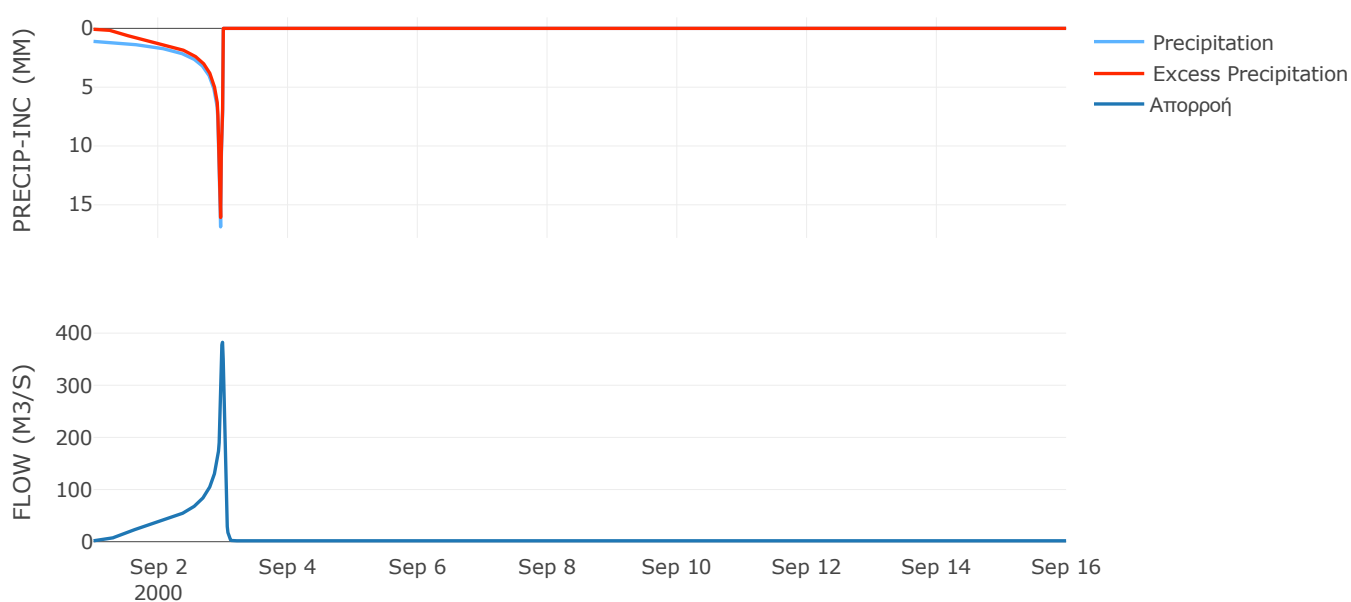
Μέθοδος
Μετασχηματισμού: SCS

| | |
|------------------|-------|
| Χρόνος Υστέρησης | 37.74 |
|------------------|-------|

Αποτελέσματα:
EL0420FR4014

| | |
|-----------------------------|------------------|
| Παροχή αιχμής (M3/S) | 382.41 |
| Χρονική στιγμή αιχμής | 02Sep2000, 23:45 |
| Όγκος (MM) | 437.99 |
| Όγκος βροχόπτωσης (M3) | 1.25E7 |
| Όγκος απωλειών (M3) | 2.92E6 |
| Ενεργός Όγκος (M3) | 9.59E6 |
| Όγκος άμεσης απορροής (M3) | 9.59E6 |
| Όγκος βασικής απορροής (M3) | 2.28E6 |

Βροχόπτωση και Απορροή



Υπολεκάνη: EL0420FR4015

Έκταση (KM2) : 10.07

Κατάνη : J15

Μέθοδος Απωλειών: SCS

| | |
|--------------------------------|-------|
| Ποσοστό αδιαπέρατης επιφάνειας | 0 |
| Αριθμός Καμπύλης Απορροής-CN | 65.03 |
| Αρχικές Απώλειες | 27.32 |

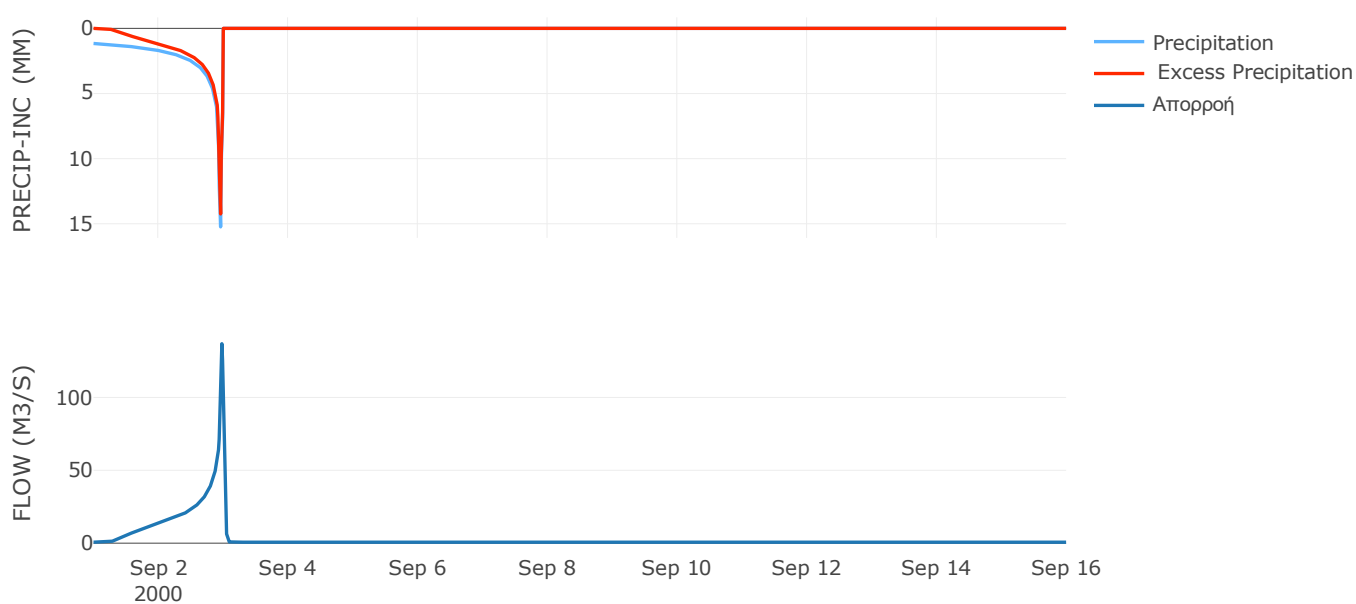
Μέθοδος
Μετασχηματισμού: SCS

| | |
|------------------|-------|
| Χρόνος Υστέρησης | 26.65 |
|------------------|-------|

Αποτελέσματα:
EL0420FR4015

| | |
|-----------------------------|------------------|
| Παροχή αιχμής (M3/S) | 136.92 |
| Χρονική στιγμή αιχμής | 02Sep2000, 23:30 |
| Όγκος (MM) | 411.73 |
| Όγκος βροχόπτωσης (M3) | 4.62E6 |
| Όγκος απωλειών (M3) | 1.32E6 |
| Ενεργός Όγκος (M3) | 3.3E6 |
| Όγκος άμεσης απορροής (M3) | 3.3E6 |
| Όγκος βασικής απορροής (M3) | 8.48E5 |

Βροχόπτωση και Απορροή



Υπολεκάνη: EL0420FR4016

Έκταση (KM2) : 12.09

Κατάντη : J16

Μέθοδος Απωλειών: SCS

| | |
|--------------------------------|-------|
| Ποσοστό αδιαπέρατης επιφάνειας | 0 |
| Αριθμός Καμπύλης Απορροής-CN | 80.42 |
| Αρχικές Απώλειες | 12.37 |

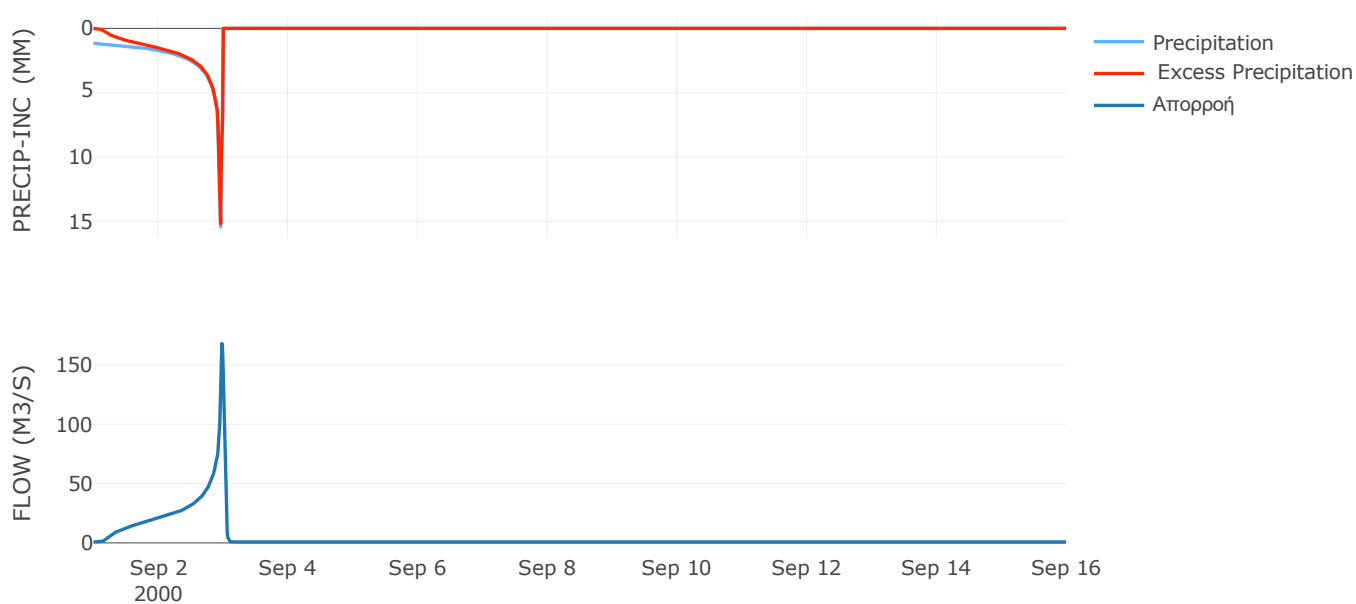
Μέθοδος
Μετασχηματισμού: SCS

| | |
|------------------|-------|
| Χρόνος Υστέρησης | 32.47 |
|------------------|-------|

Αποτελέσματα:
EL0420FR4016

| | |
|-----------------------------|------------------|
| Παροχή αιχμής (M3/S) | 168.13 |
| Χρονική στιγμή αιχμής | 02Sep2000, 23:30 |
| Όγκος (MM) | 479.81 |
| Όγκος βροχόπτωσης (M3) | 5.59E6 |
| Όγκος απωλειών (M3) | 8.07E5 |
| Ενεργός Όγκος (M3) | 4.78E6 |
| Όγκος άμεσης απορροής (M3) | 4.78E6 |
| Όγκος βασικής απορροής (M3) | 1.02E6 |

Βροχόπτωση και Απορροή



Υπολεκάνη: EL0420FR4017

Έκταση (KM2) : 0.82

Κατάληξη : J17

Μέθοδος Απωλειών: SCS

| | |
|--------------------------------|-------|
| Ποσοστό αδιαπέρατης επιφάνειας | 0 |
| Αριθμός Καμπύλης Απορροής-CN | 81.44 |
| Αρχικές Απώλειες | 11.57 |

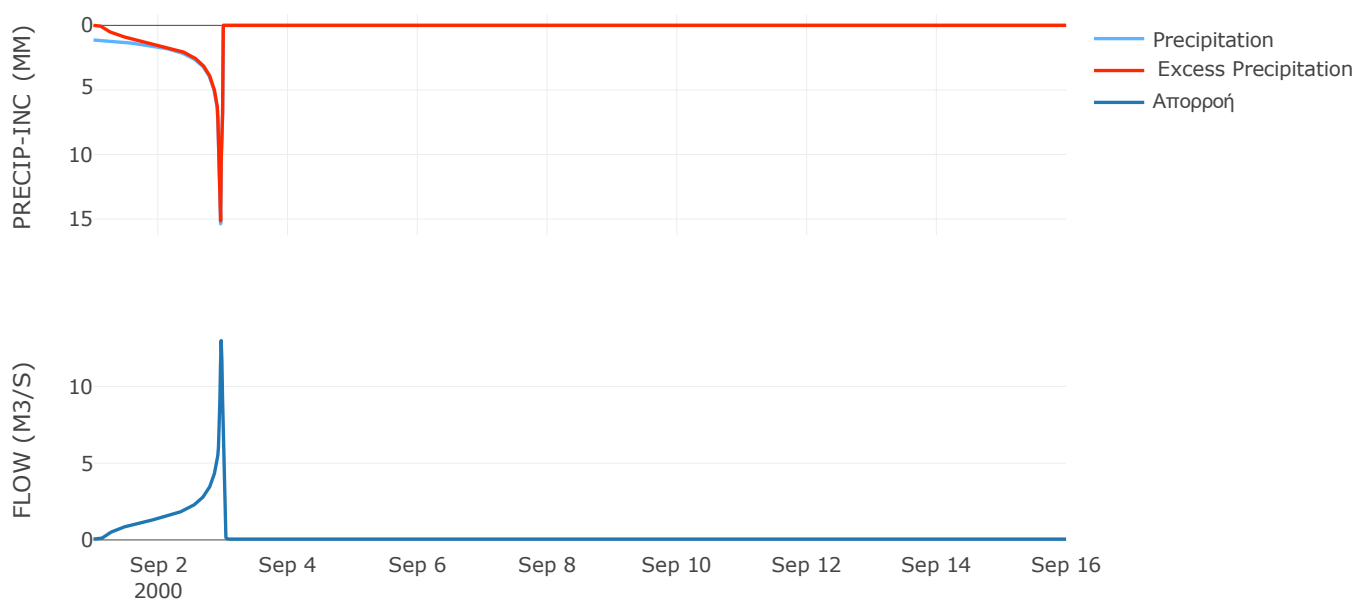
Μέθοδος
Μετασχηματισμού: SCS

| | |
|------------------|-------|
| Χρόνος Υστέρησης | 14.04 |
|------------------|-------|

Αποτελέσματα:
EL0420FR4017

| | |
|-----------------------------|------------------|
| Παροχή αιχμής (M3/S) | 12.98 |
| Χρονική στιγμή αιχμής | 02Sep2000, 23:15 |
| Όγκος (MM) | 474.97 |
| Όγκος βροχόπτωσης (M3) | 3.73E5 |
| Όγκος απωλειών (M3) | 51652.03 |
| Ενεργός Όγκος (M3) | 3.22E5 |
| Όγκος άμεσης απορροής (M3) | 3.22E5 |
| Όγκος βασικής απορροής (M3) | 69343.78 |

Βροχόπτωση και Απορροή



Υπολεκάνη: EL0420FR4018

Έκταση (KM2) : 26.76

Κατάνη : J18

Μέθοδος Απωλειών: SCS

| | |
|--------------------------------|-------|
| Ποσοστό αδιαπέρατης επιφάνειας | 0 |
| Αριθμός Καμπύλης Απορροής-CN | 80.6 |
| Αρχικές Απώλειες | 12.23 |

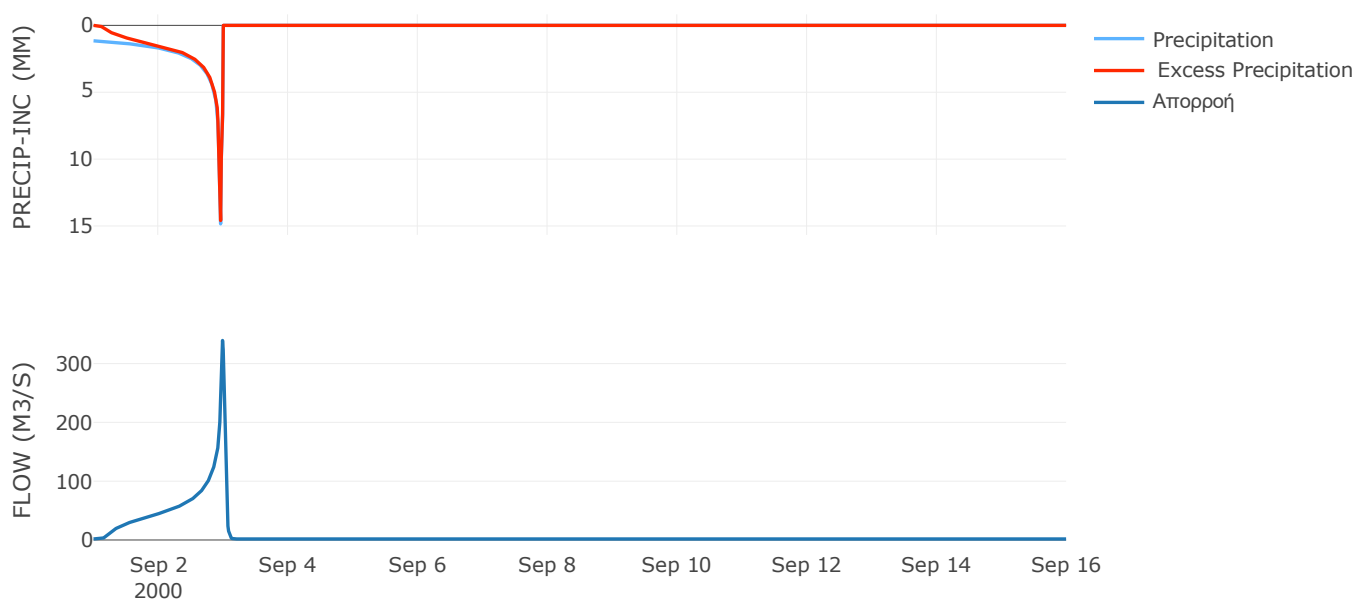
Μέθοδος
Μετασχηματισμού: SCS

| | |
|------------------|-------|
| Χρόνος Υστέρησης | 42.52 |
|------------------|-------|

Αποτελέσματα:
EL0420FR4018

| | |
|-----------------------------|------------------|
| Παροχή αιχμής (M3/S) | 339.32 |
| Χρονική στιγμή αιχμής | 02Sep2000, 23:45 |
| Όγκος (MM) | 471.6 |
| Όγκος βροχόπτωσης (M3) | 1.21E7 |
| Όγκος απωλειών (M3) | 1.76E6 |
| Ενεργός Όγκος (M3) | 1.04E7 |
| Όγκος άμεσης απορροής (M3) | 1.04E7 |
| Όγκος βασικής απορροής (M3) | 2.25E6 |

Βροχόπτωση και Απορροή



Υπολεκάνη: EL0420FR4019

Έκταση (KM2) : 0.87

Κατάντη : J19

Μέθοδος Απωλειών: SCS

| | |
|--------------------------------|-------|
| Ποσοστό αδιαπέρατης επιφάνειας | 0 |
| Αριθμός Καμπύλης Απορροής-CN | 81.39 |
| Αρχικές Απώλειες | 11.62 |

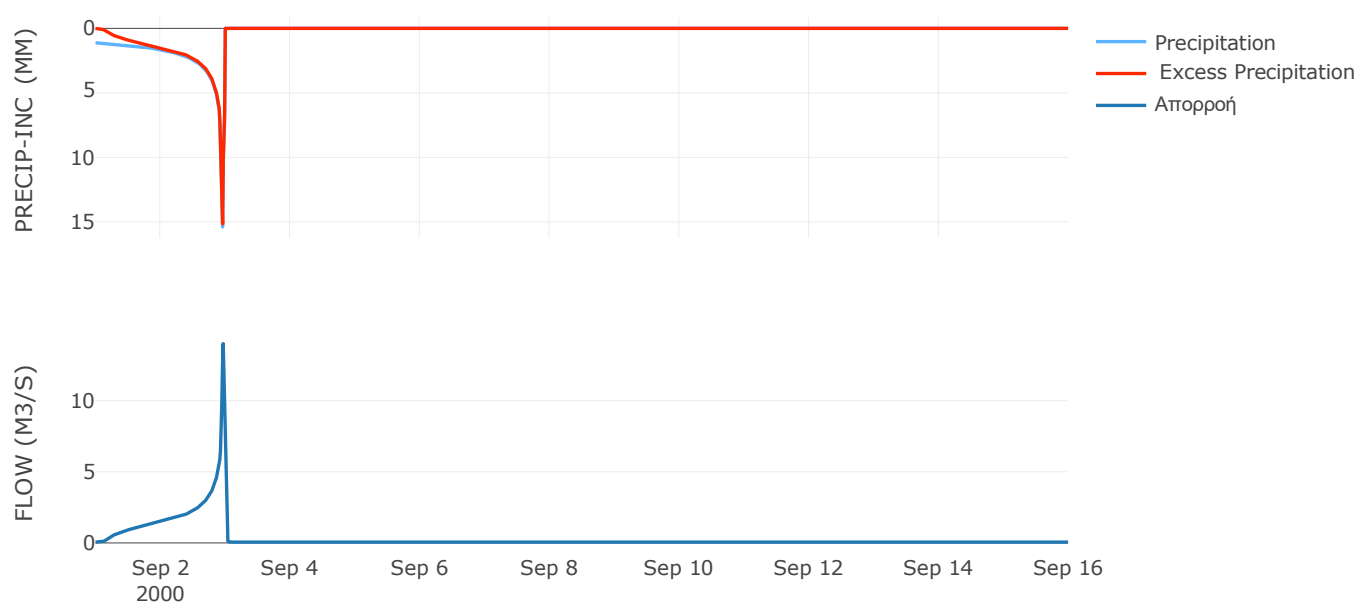
Μέθοδος
Μετασχηματισμού: SCS

| | |
|------------------|------|
| Χρόνος Υστέρησης | 12.1 |
|------------------|------|

Αποτελέσματα:
EL0420FR4019

| | |
|-----------------------------|------------------|
| Παροχή αιχμής (M3/S) | 14.01 |
| Χρονική στιγμή αιχμής | 02Sep2000, 23:15 |
| Όγκος (MM) | 470.72 |
| Όγκος βροχόπτωσης (M3) | 3.92E5 |
| Όγκος απωλειών (M3) | 54866.75 |
| Ενεργός Όγκος (M3) | 3.37E5 |
| Όγκος άμεσης απορροής (M3) | 3.37E5 |
| Όγκος βασικής απορροής (M3) | 73488.38 |

Βροχόπτωση και Απορροή



Υπολεκάνη: EL0420FR4020

Έκταση (KM2) : 6.12

Κατάντη : J20

Μέθοδος Απωλειών: SCS

| | |
|--------------------------------|-------|
| Ποσοστό αδιαπέρατης επιφάνειας | 0 |
| Αριθμός Καμπύλης Απορροής-CN | 81.56 |
| Αρχικές Απώλειες | 11.49 |

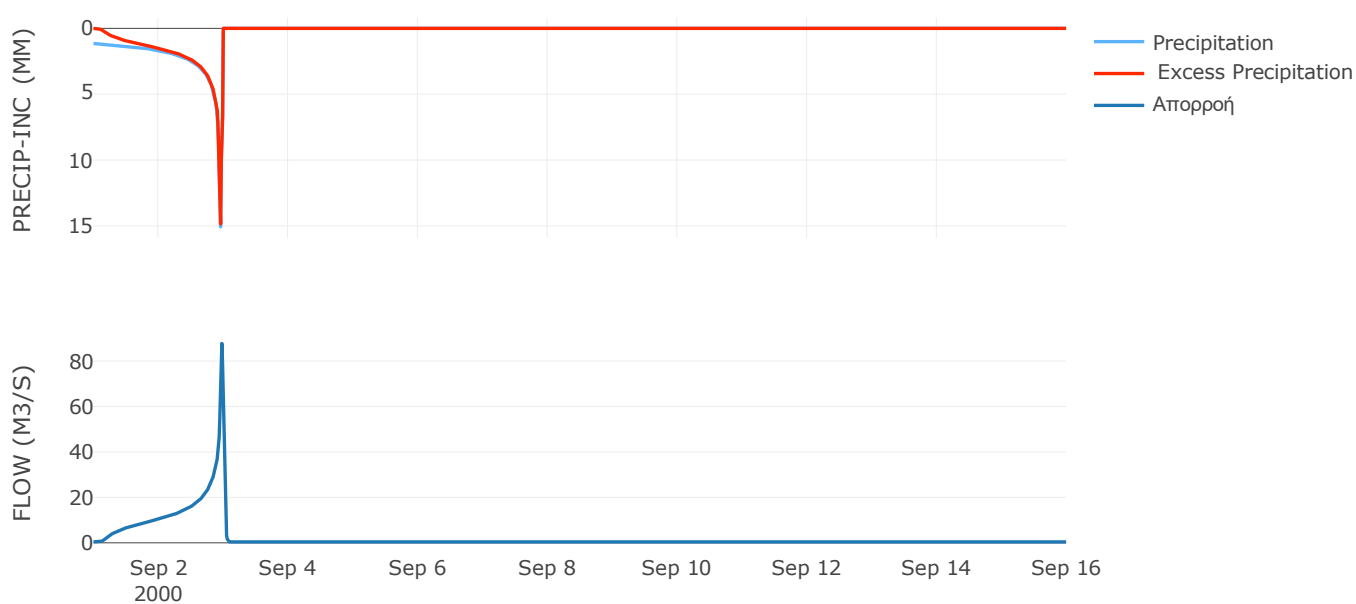
Μέθοδος
Μετασχηματισμού: SCS

| | |
|------------------|-------|
| Χρόνος Υστέρησης | 24.92 |
|------------------|-------|

Αποτελέσματα:
EL0420FR4020

| | |
|-----------------------------|------------------|
| Παροχή αιχμής (M3/S) | 87.78 |
| Χρονική στιγμή αιχμής | 02Sep2000, 23:30 |
| Όγκος (MM) | 475.93 |
| Όγκος βροχόπτωσης (M3) | 2.78E6 |
| Όγκος απωλειών (M3) | 3.82E5 |
| Ενεργός Όγκος (M3) | 2.4E6 |
| Όγκος άμεσης απορροής (M3) | 2.4E6 |
| Όγκος βασικής απορροής (M3) | 5.16E5 |

Βροχόπτωση και Απορροή



Υπολεκάνη: EL0420FR4021

Έκταση (KM2) : 32.13

Κατάντη : J21

Μέθοδος Απωλειών: SCS

| | |
|--------------------------------|-------|
| Ποσοστό αδιαπέρατης επιφάνειας | 0 |
| Αριθμός Καμπύλης Απορροής-CN | 77.63 |
| Αρχικές Απώλειες | 14.63 |

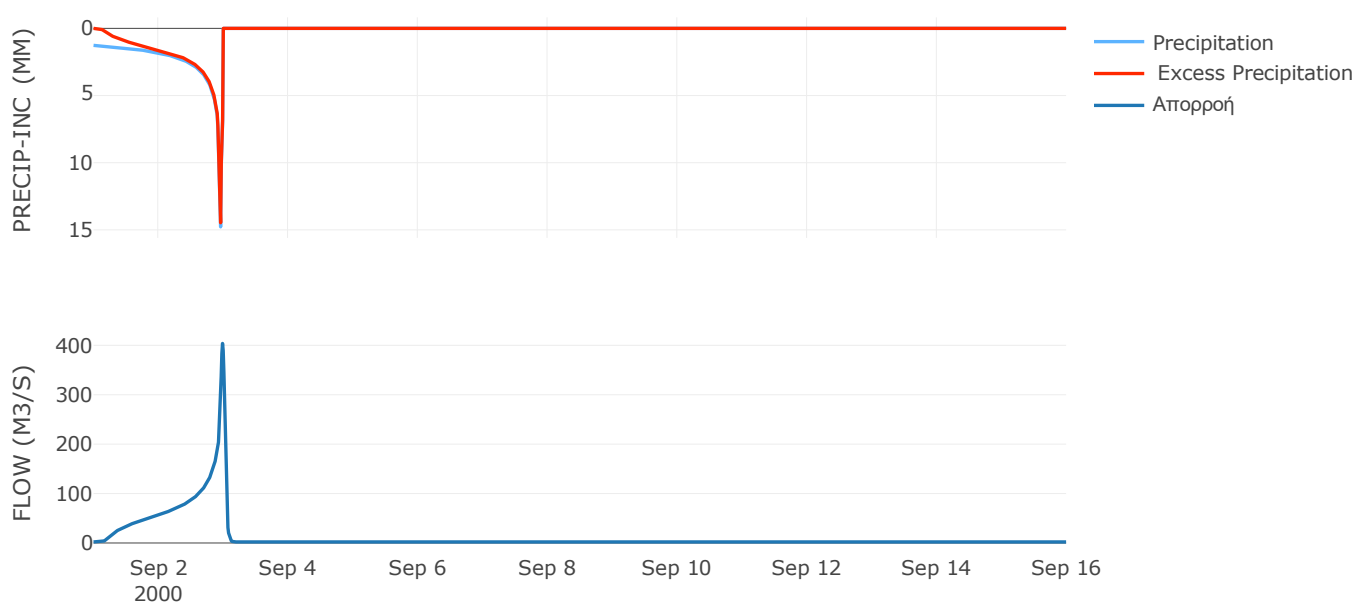
Μέθοδος
Μετασχηματισμού: SCS

| | |
|------------------|-------|
| Χρόνος Υστέρησης | 43.71 |
|------------------|-------|

Αποτελέσματα:
EL0420FR4021

| | |
|-----------------------------|------------------|
| Παροχή αιχμής (M3/S) | 403.81 |
| Χρονική στιγμή αιχμής | 02Sep2000, 23:45 |
| Όγκος (MM) | 487.15 |
| Όγκος βροχόπτωσης (M3) | 1.54E7 |
| Όγκος απωλειών (M3) | 2.5E6 |
| Ενεργός Όγκος (M3) | 1.29E7 |
| Όγκος άμεσης απορροής (M3) | 1.29E7 |
| Όγκος βασικής απορροής (M3) | 2.71E6 |

Βροχόπτωση και Απορροή



Υπολεκάνη: EL0420FR4022

Έκταση (KM2) : 15.31

Κατάνη : J21

Μέθοδος Απωλειών: SCS

| | |
|--------------------------------|-------|
| Ποσοστό αδιαπέρατης επιφάνειας | 0 |
| Αριθμός Καμπύλης Απορροής-CN | 81.55 |
| Αρχικές Απώλειες | 11.49 |

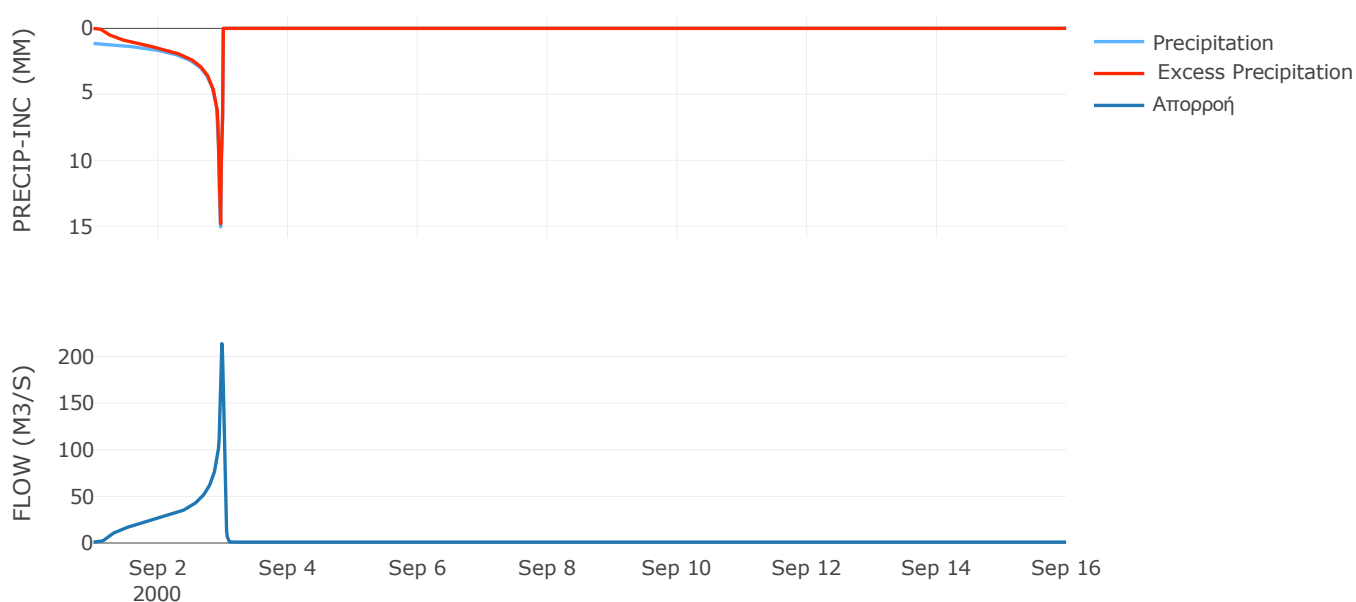
Μέθοδος
Μετασχηματισμού: SCS

| | |
|------------------|-------|
| Χρόνος Υστέρησης | 28.99 |
|------------------|-------|

Αποτελέσματα:
EL0420FR4022

| | |
|-----------------------------|------------------|
| Παροχή αιχμής (M3/S) | 213.78 |
| Χρονική στιγμή αιχμής | 02Sep2000, 23:30 |
| Όγκος (MM) | 474.51 |
| Όγκος βροχόπτωσης (M3) | 6.93E6 |
| Όγκος απωλειών (M3) | 9.54E5 |
| Ενεργός Όγκος (M3) | 5.97E6 |
| Όγκος άμεσης απορροής (M3) | 5.97E6 |
| Όγκος βασικής απορροής (M3) | 1.29E6 |

Βροχόπτωση και Απορροή



Υπολεκάνη: EL0420FR4023

Έκταση (KM2) : 11.12

Κατάντη : J22

Μέθοδος Απωλειών: SCS

| | |
|--------------------------------|-------|
| Ποσοστό αδιαπέρατης επιφάνειας | 0 |
| Αριθμός Καμπύλης Απορροής-CN | 67.46 |
| Αρχικές Απώλειες | 24.5 |

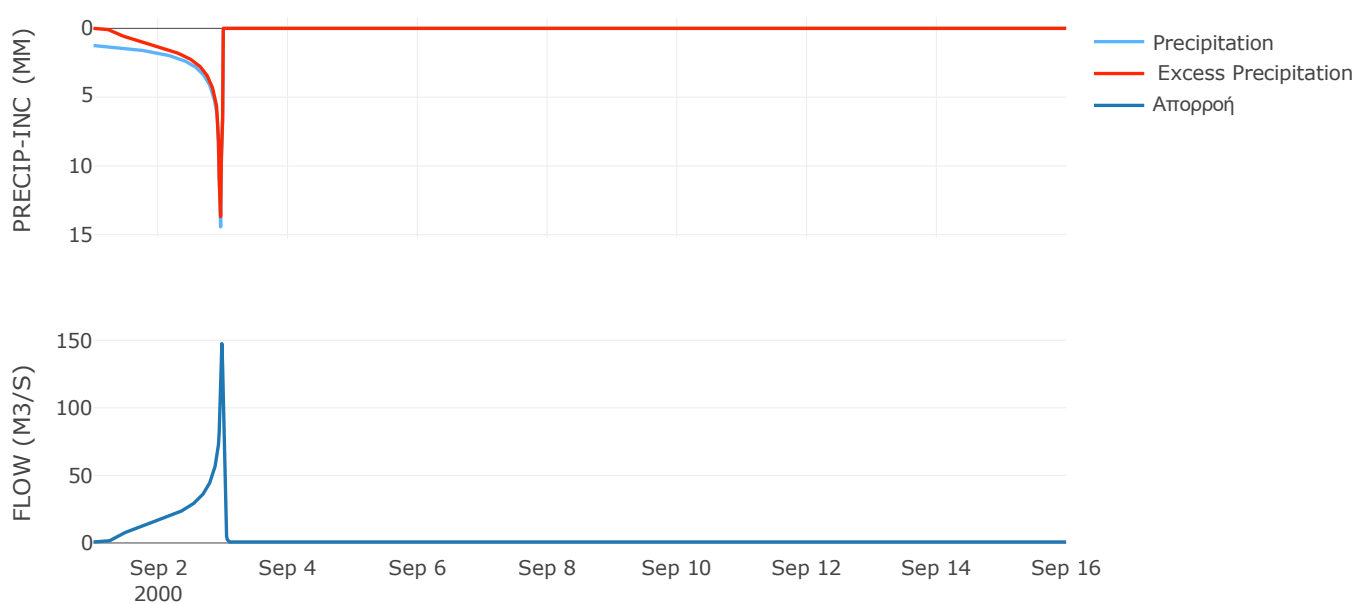
Μέθοδος
Μετασχηματισμού: SCS

| | |
|------------------|-------|
| Χρόνος Υστέρησης | 23.92 |
|------------------|-------|

Αποτελέσματα:
EL0420FR4023

| | |
|-----------------------------|------------------|
| Παροχή αιχμής (M3/S) | 147.51 |
| Χρονική στιγμή αιχμής | 02Sep2000, 23:30 |
| Όγκος (MM) | 436.4 |
| Όγκος βροχόπτωσης (M3) | 5.26E6 |
| Όγκος απωλειών (M3) | 1.34E6 |
| Ενεργός Όγκος (M3) | 3.91E6 |
| Όγκος άμεσης απορροής (M3) | 3.91E6 |
| Όγκος βασικής απορροής (M3) | 9.36E5 |

Βροχόπτωση και Απορροή



Υπολεκάνη: EL0420FR4024

Έκταση (KM2) : 19.63

Κατάντη : J22

Μέθοδος Απωλειών: SCS

| | |
|--------------------------------|-------|
| Ποσοστό αδιαπέρατης επιφάνειας | 0 |
| Αριθμός Καμπύλης Απορροής-CN | 78.26 |
| Αρχικές Απώλειες | 14.11 |

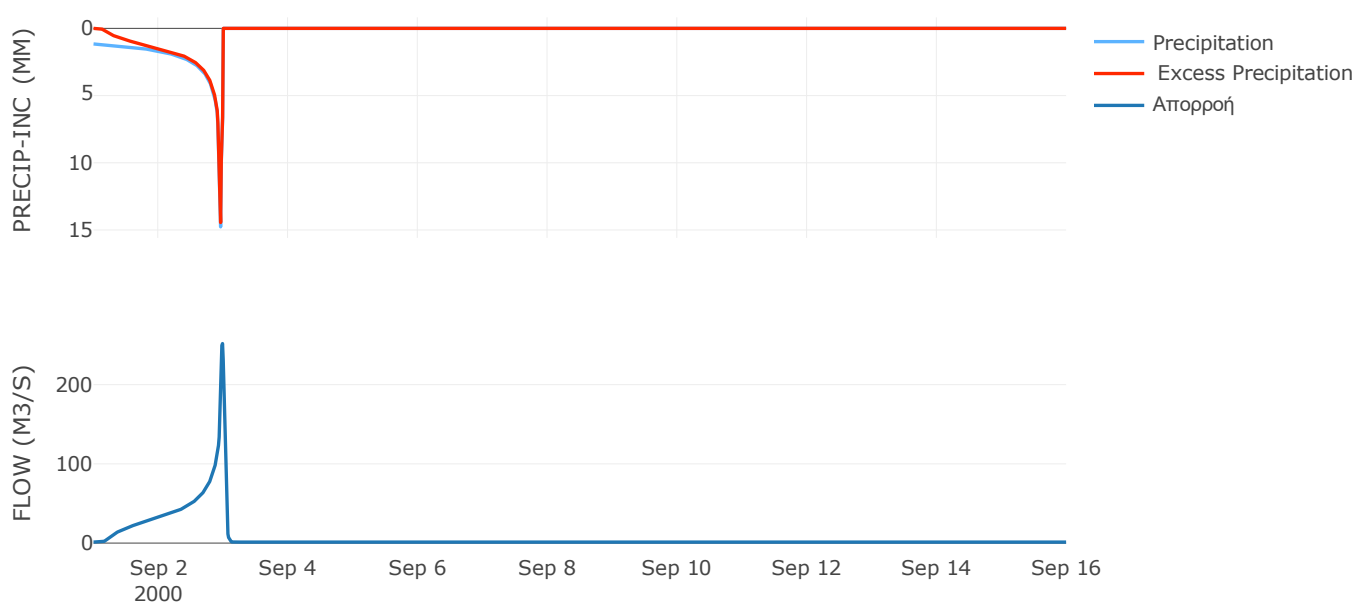
Μέθοδος
Μετασχηματισμού: SCS

| | |
|------------------|------|
| Χρόνος Υστέρησης | 37.3 |
|------------------|------|

Αποτελέσματα:
EL0420FR4024

| | |
|-----------------------------|------------------|
| Παροχή αιχμής (M3/S) | 251.8 |
| Χρονική στιγμή αιχμής | 02Sep2000, 23:45 |
| Όγκος (MM) | 463.41 |
| Όγκος βροχόπτωσης (M3) | 8.91E6 |
| Όγκος απωλειών (M3) | 1.47E6 |
| Ενεργός Όγκος (M3) | 7.44E6 |
| Όγκος άμεσης απορροής (M3) | 7.44E6 |
| Όγκος βασικής απορροής (M3) | 1.65E6 |

Βροχόπτωση και Απορροή



Υπολεκάνη: EL0420FR4025

Έκταση (KM2) : 67.33

Κατάντη : J16

Μέθοδος Απωλειών: SCS

| | |
|--------------------------------|-------|
| Ποσοστό αδιαπέρατης επιφάνειας | 0 |
| Αριθμός Καμπύλης Απορροής-CN | 79.77 |
| Αρχικές Απώλειες | 12.88 |

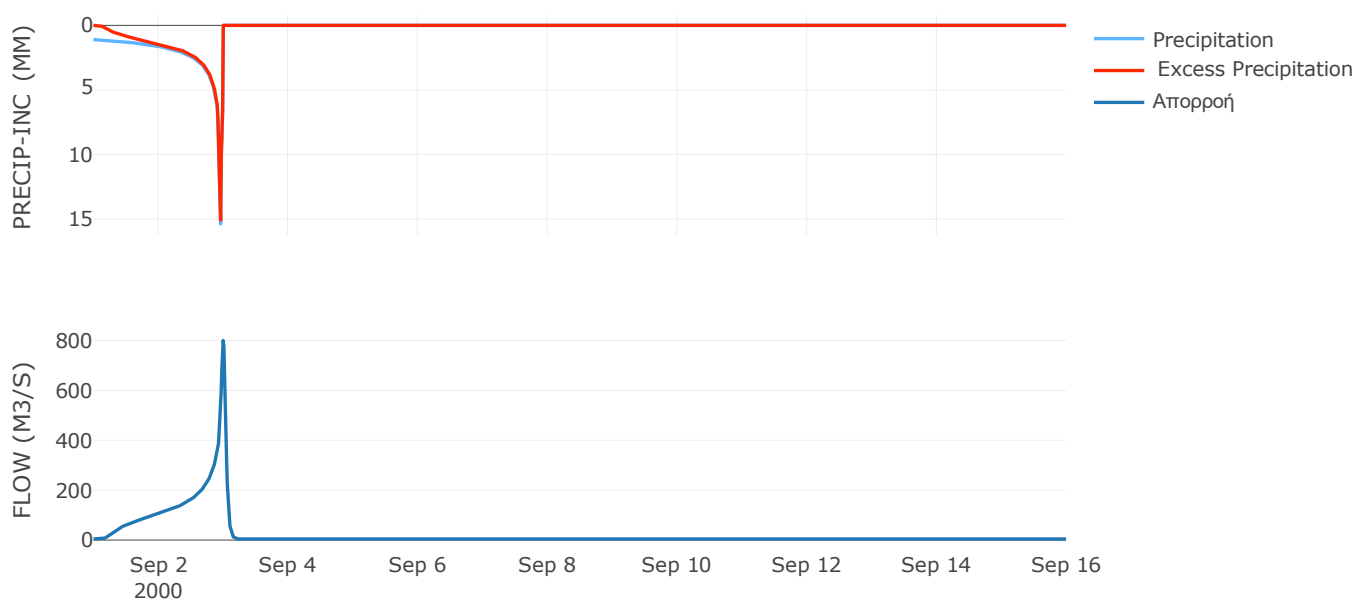
Μέθοδος
Μετασχηματισμού: SCS

| | |
|------------------|-------|
| Χρόνος Υστέρησης | 60.28 |
|------------------|-------|

Αποτελέσματα:
EL0420FR4025

| | |
|-----------------------------|------------------|
| Παροχή αιχμής (M3/S) | 800.3 |
| Χρονική στιγμή αιχμής | 02Sep2000, 24:00 |
| Όγκος (MM) | 459.72 |
| Όγκος βροχόπτωσης (M3) | 2.99E7 |
| Όγκος απωλειών (M3) | 4.64E6 |
| Ενεργός Όγκος (M3) | 2.53E7 |
| Όγκος άμεσης απορροής (M3) | 2.53E7 |
| Όγκος βασικής απορροής (M3) | 5.67E6 |

Βροχόπτωση και Απορροή



Υπολεκάνη: EL0420FR4026

Έκταση (KM2) : 8.76

Κατάντη : J15

Μέθοδος Απωλειών: SCS

| | |
|--------------------------------|-------|
| Ποσοστό αδιαπέρατης επιφάνειας | 0 |
| Αριθμός Καμπύλης Απορροής-CN | 61.78 |
| Αρχικές Απώλειες | 31.43 |

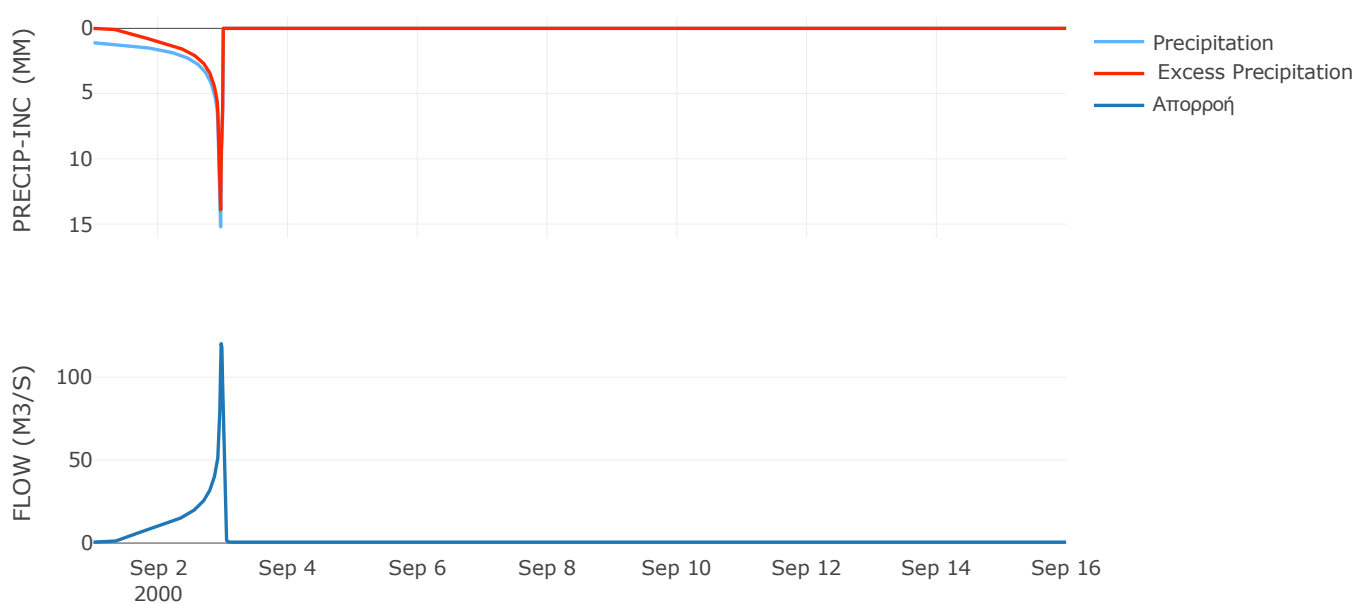
Μέθοδος
Μετασχηματισμού: SCS

| | |
|------------------|-------|
| Χρόνος Υστέρησης | 18.67 |
|------------------|-------|

Αποτελέσματα:
EL0420FR4026

| | |
|-----------------------------|------------------|
| Παροχή αιχμής (M3/S) | 120.24 |
| Χρονική στιγμή αιχμής | 02Sep2000, 23:15 |
| Όγκος (MM) | 382.74 |
| Όγκος βροχόπτωσης (M3) | 3.89E6 |
| Όγκος απωλειών (M3) | 1.27E6 |
| Ενεργός Όγκος (M3) | 2.61E6 |
| Όγκος άμεσης απορροής (M3) | 2.61E6 |
| Όγκος βασικής απορροής (M3) | 7.38E5 |

Βροχόπτωση και Απορροή



Υπολεκάνη: EL0420FR4027

Έκταση (KM2) : 13.94

Κατάντη : J29

Μέθοδος Απωλειών: SCS

| | |
|--------------------------------|-------|
| Ποσοστό αδιαπέρατης επιφάνειας | 0 |
| Αριθμός Καμπύλης Απορροής-CN | 67.22 |
| Αρχικές Απώλειες | 24.77 |

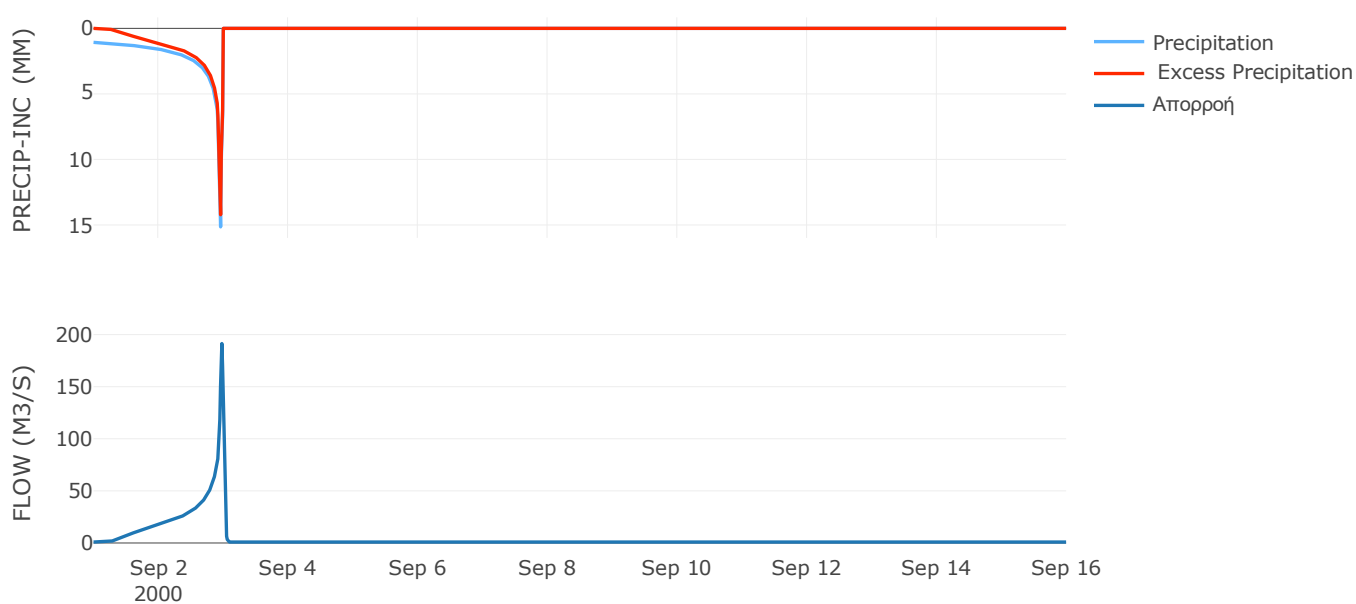
Μέθοδος
Μετασχηματισμού: SCS

| | |
|------------------|-------|
| Χρόνος Υστέρησης | 24.36 |
|------------------|-------|

Αποτελέσματα:
EL0420FR4027

| | |
|-----------------------------|------------------|
| Παροχή αιχμής (M3/S) | 191.41 |
| Χρονική στιγμή αιχμής | 02Sep2000, 23:30 |
| Όγκος (MM) | 398.17 |
| Όγκος βροχόπτωσης (M3) | 6.05E6 |
| Όγκος απωλειών (M3) | 1.67E6 |
| Ενεργός Όγκος (M3) | 4.38E6 |
| Όγκος άμεσης απορροής (M3) | 4.38E6 |
| Όγκος βασικής απορροής (M3) | 1.17E6 |

Βροχόπτωση και Απορροή



Υπολεκάνη: EL0420FR4028

Έκταση (KM2) : 17.93

Κατάντη : J29

Μέθοδος Απωλειών: SCS

| | |
|--------------------------------|-------|
| Ποσοστό αδιαπέρατης επιφάνειας | 0 |
| Αριθμός Καμπύλης Απορροής-CN | 78.88 |
| Αρχικές Απώλειες | 13.6 |

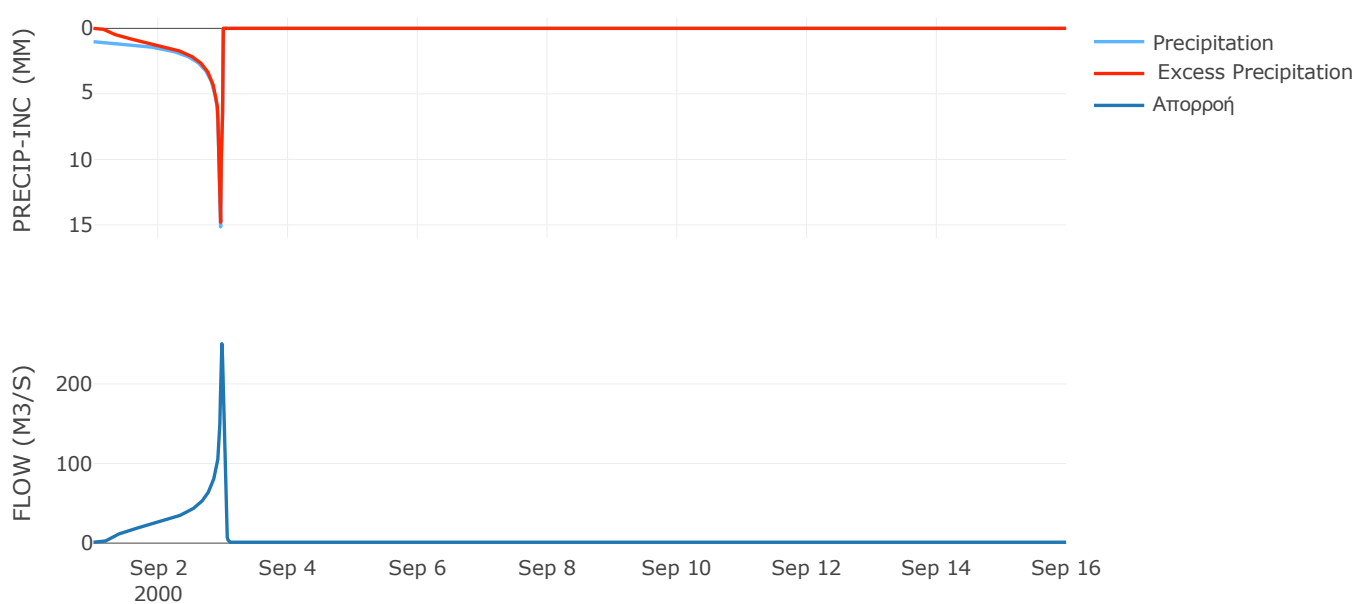
Μέθοδος
Μετασχηματισμού: SCS

| | |
|------------------|-------|
| Χρόνος Υστέρησης | 28.52 |
|------------------|-------|

Αποτελέσματα:
EL0420FR4028

| | |
|-----------------------------|------------------|
| Παροχή αιχμής (M3/S) | 250.48 |
| Χρονική στιγμή αιχμής | 02Sep2000, 23:30 |
| Όγκος (MM) | 433.75 |
| Όγκος βροχόπτωσης (M3) | 7.55E6 |
| Όγκος απωλειών (M3) | 1.29E6 |
| Ενεργός Όγκος (M3) | 6.27E6 |
| Όγκος άμεσης απορροής (M3) | 6.27E6 |
| Όγκος βασικής απορροής (M3) | 1.51E6 |

Βροχόπτωση και Απορροή



Υπολεκάνη: EL0420FR4029

Έκταση (KM2) : 31.51

Κατάντη : J28

Μέθοδος Απωλειών: SCS

| | |
|--------------------------------|-------|
| Ποσοστό αδιαπέρατης επιφάνειας | 0 |
| Αριθμός Καμπύλης Απορροής-CN | 55.43 |
| Αρχικές Απώλειες | 40.85 |

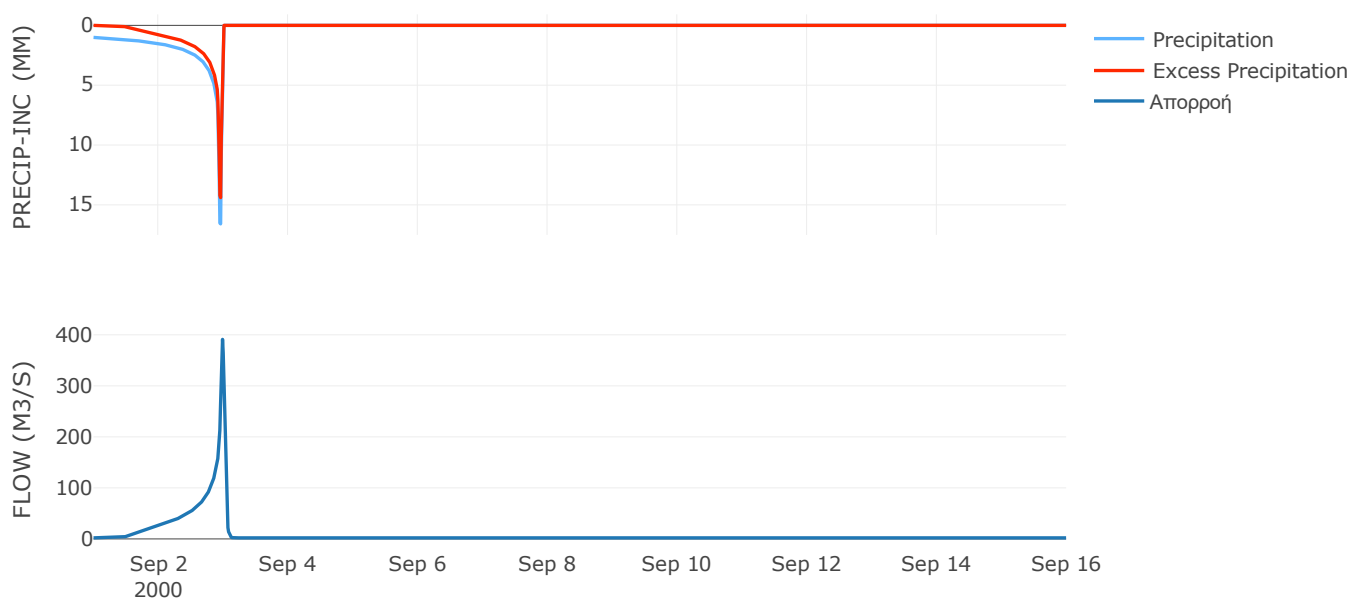
Μέθοδος
Μετασχηματισμού: SCS

| | |
|------------------|------|
| Χρόνος Υστέρησης | 40.1 |
|------------------|------|

Αποτελέσματα:
EL0420FR4029

| | |
|-----------------------------|------------------|
| Παροχή αιχμής (M3/S) | 391.05 |
| Χρονική στιγμή αιχμής | 02Sep2000, 23:45 |
| Όγκος (MM) | 341.36 |
| Όγκος βροχόπτωσης (M3) | 1.36E7 |
| Όγκος απωλειών (M3) | 5.51E6 |
| Ενεργός Όγκος (M3) | 8.1E6 |
| Όγκος άμεσης απορροής (M3) | 8.1E6 |
| Όγκος βασικής απορροής (M3) | 2.65E6 |

Βροχόπτωση και Απορροή



Υπολεκάνη: EL0420FR4030

Έκταση (KM2) : 11.42

Κατάντη : J28

Μέθοδος Απωλειών: SCS

| | |
|--------------------------------|-------|
| Ποσοστό αδιαπέρατης επιφάνειας | 0 |
| Αριθμός Καμπύλης Απορροής-CN | 62.16 |
| Αρχικές Απώλειες | 30.92 |

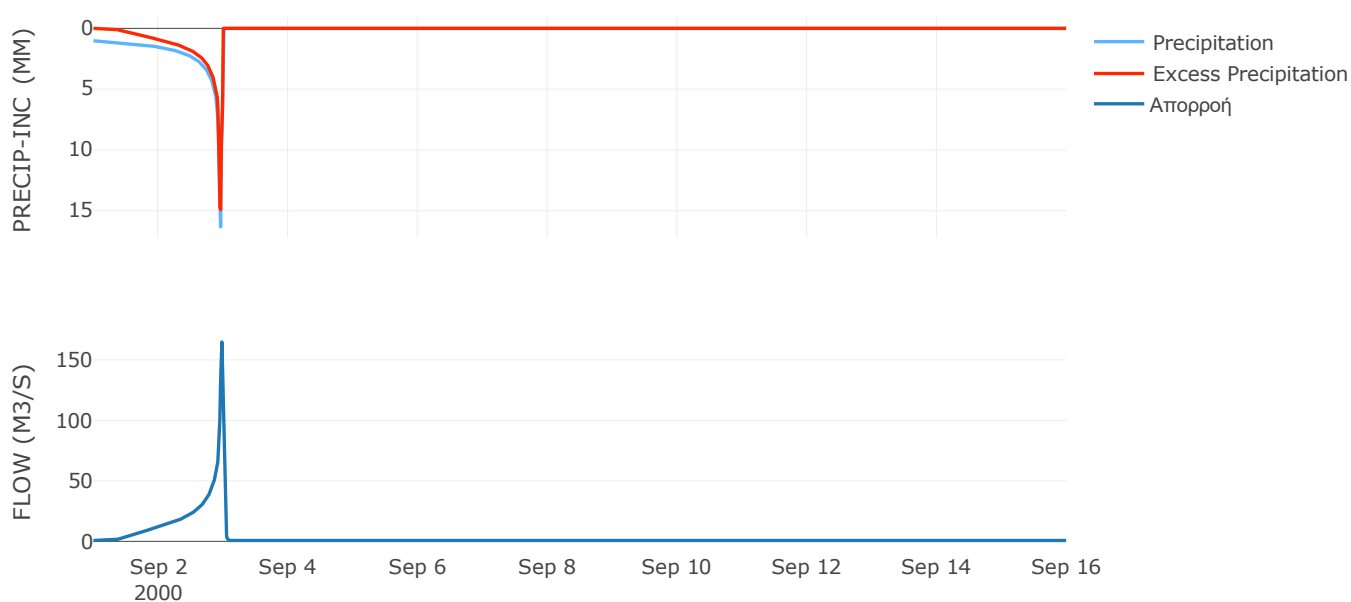
Μέθοδος
Μετασχηματισμού: SCS

| | |
|------------------|-------|
| Χρόνος Υστέρησης | 22.94 |
|------------------|-------|

Αποτελέσματα:
EL0420FR4030

| | |
|-----------------------------|------------------|
| Παροχή αιχμής (M3/S) | 164.78 |
| Χρονική στιγμή αιχμής | 02Sep2000, 23:30 |
| Όγκος (MM) | 374.73 |
| Όγκος βροχόπτωσης (M3) | 4.95E6 |
| Όγκος απωλειών (M3) | 1.63E6 |
| Ενεργός Όγκος (M3) | 3.32E6 |
| Όγκος άμεσης απορροής (M3) | 3.32E6 |
| Όγκος βασικής απορροής (M3) | 9.62E5 |

Βροχόπτωση και Απορροή



Υπολεκάνη: EL0420FR4031

Έκταση (KM2) : 2.28

Κατάνη : J27

Μέθοδος Απωλειών: SCS

| | |
|--------------------------------|-------|
| Ποσοστό αδιαπέρατης επιφάνειας | 0 |
| Αριθμός Καμπύλης Απορροής-CN | 69.51 |
| Αρχικές Απώλειες | 22.28 |

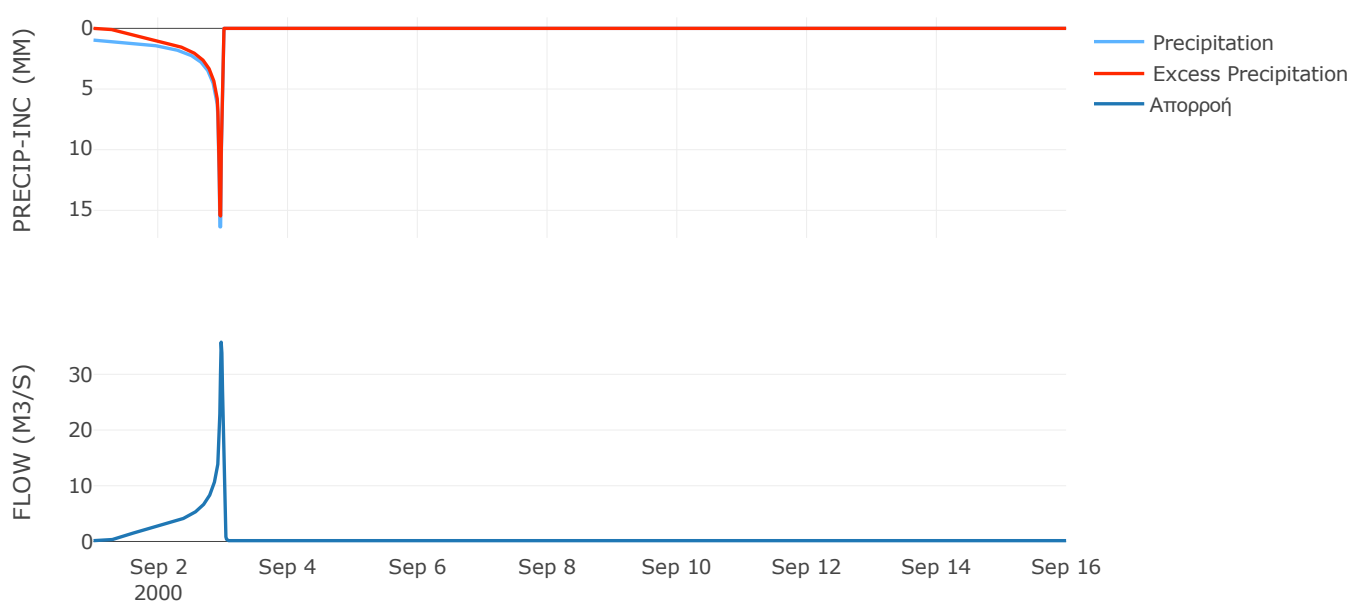
Μέθοδος
Μετασχηματισμού: SCS

| | |
|------------------|-------|
| Χρόνος Υστέρησης | 17.25 |
|------------------|-------|

Αποτελέσματα:
EL0420FR4031

| | |
|-----------------------------|------------------|
| Παροχή αιχμής (M3/S) | 35.77 |
| Χρονική στιγμή αιχμής | 02Sep2000, 23:15 |
| Όγκος (MM) | 394.59 |
| Όγκος βροχόπτωσης (M3) | 9.58E5 |
| Όγκος απωλειών (M3) | 2.5E5 |
| Ενεργός Όγκος (M3) | 7.09E5 |
| Όγκος άμεσης απορροής (M3) | 7.09E5 |
| Όγκος βασικής απορροής (M3) | 1.92E5 |

Βροχόπτωση και Απορροή



Υπολεκάνη: EL0420FR4032

Έκταση (KM2) : 20.34

Κατάντη : J27

Μέθοδος Απωλειών: SCS

| | |
|--------------------------------|-------|
| Ποσοστό αδιαπέρατης επιφάνειας | 0 |
| Αριθμός Καμπύλης Απορροής-CN | 60.47 |
| Αρχικές Απώλειες | 33.21 |

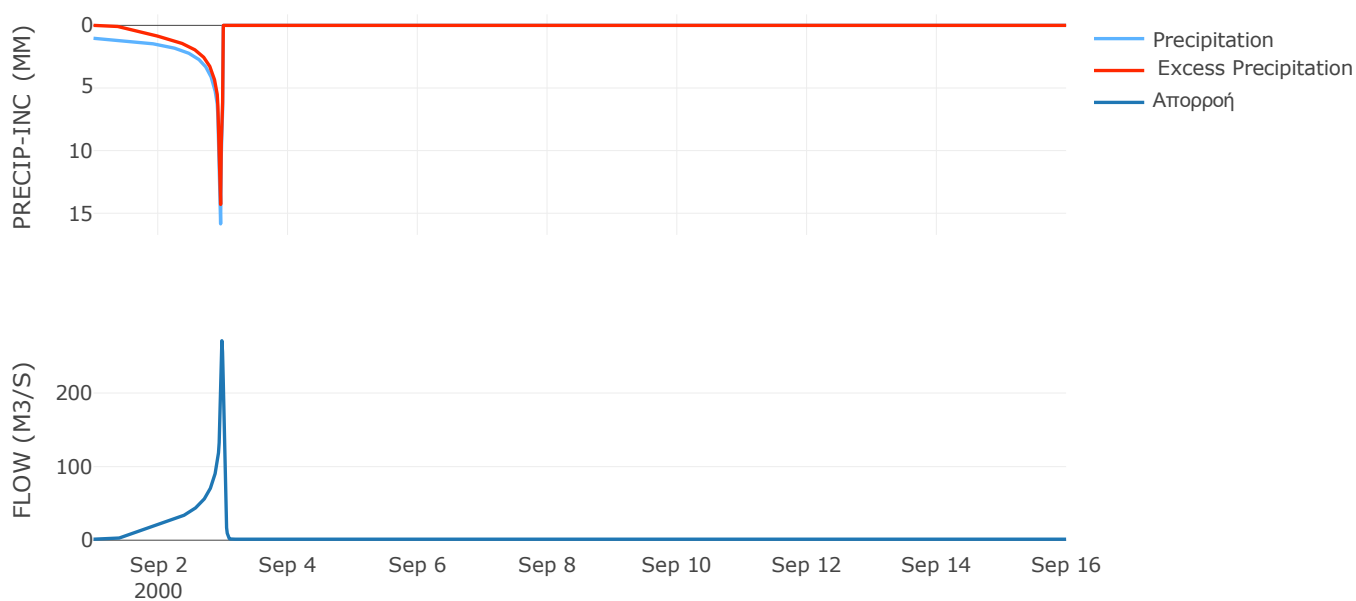
Μέθοδος
Μετασχηματισμού: SCS

| | |
|------------------|-------|
| Χρόνος Υστέρησης | 29.65 |
|------------------|-------|

Αποτελέσματα:
EL0420FR4032

| | |
|-----------------------------|------------------|
| Παροχή αιχμής (M3/S) | 271.16 |
| Χρονική στιγμή αιχμής | 02Sep2000, 23:30 |
| Όγκος (MM) | 365.45 |
| Όγκος βροχόπτωσης (M3) | 8.78E6 |
| Όγκος απωλειών (M3) | 3.06E6 |
| Ενεργός Όγκος (M3) | 5.72E6 |
| Όγκος άμεσης απορροής (M3) | 5.72E6 |
| Όγκος βασικής απορροής (M3) | 1.71E6 |

Βροχόπτωση και Απορροή



Υπολεκάνη: EL0420FR4033

Έκταση (KM2) : 42.85

Κατάντη : J8

Μέθοδος Απωλειών: SCS

| | |
|--------------------------------|-------|
| Ποσοστό αδιαπέρατης επιφάνειας | 0 |
| Αριθμός Καμπύλης Απορροής-CN | 60.83 |
| Αρχικές Απώλειες | 32.71 |

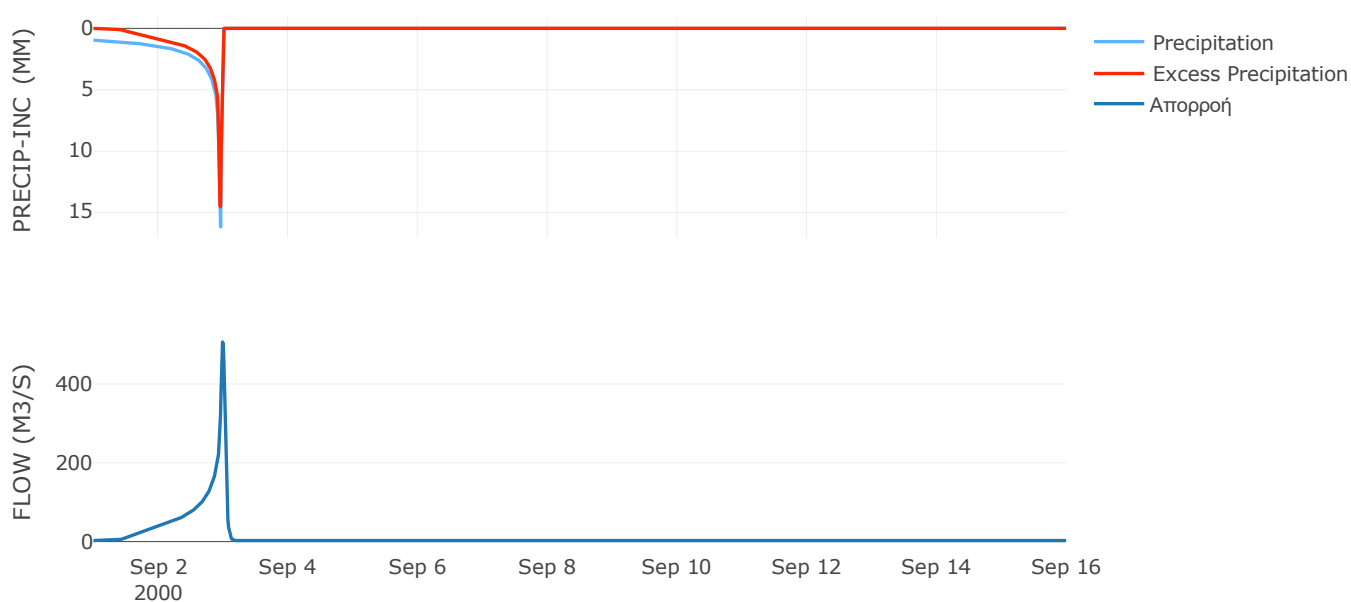
Μέθοδος
Μετασχηματισμού: SCS

| | |
|------------------|-------|
| Χρόνος Υστέρησης | 48.96 |
|------------------|-------|

Αποτελέσματα:
EL0420FR4033

| | |
|-----------------------------|------------------|
| Παροχή αιχμής (M3/S) | 506.61 |
| Χρονική στιγμή αιχμής | 02Sep2000, 23:45 |
| Όγκος (MM) | 352.09 |
| Όγκος βροχόπτωσης (M3) | 1.78E7 |
| Όγκος απωλειών (M3) | 6.31E6 |
| Ενεργός Όγκος (M3) | 1.15E7 |
| Όγκος άμεσης απορροής (M3) | 1.15E7 |
| Όγκος βασικής απορροής (M3) | 3.61E6 |

Βροχόπτωση και Απορροή



Υπολεκάνη: EL0420FR4034

Έκταση (KM2) : 46.4

Κατάντη : J6

Μέθοδος Απωλειών: SCS

| | |
|--------------------------------|-------|
| Ποσοστό αδιαπέρατης επιφάνειας | 0 |
| Αριθμός Καμπύλης Απορροής-CN | 58.95 |
| Αρχικές Απώλειες | 35.37 |

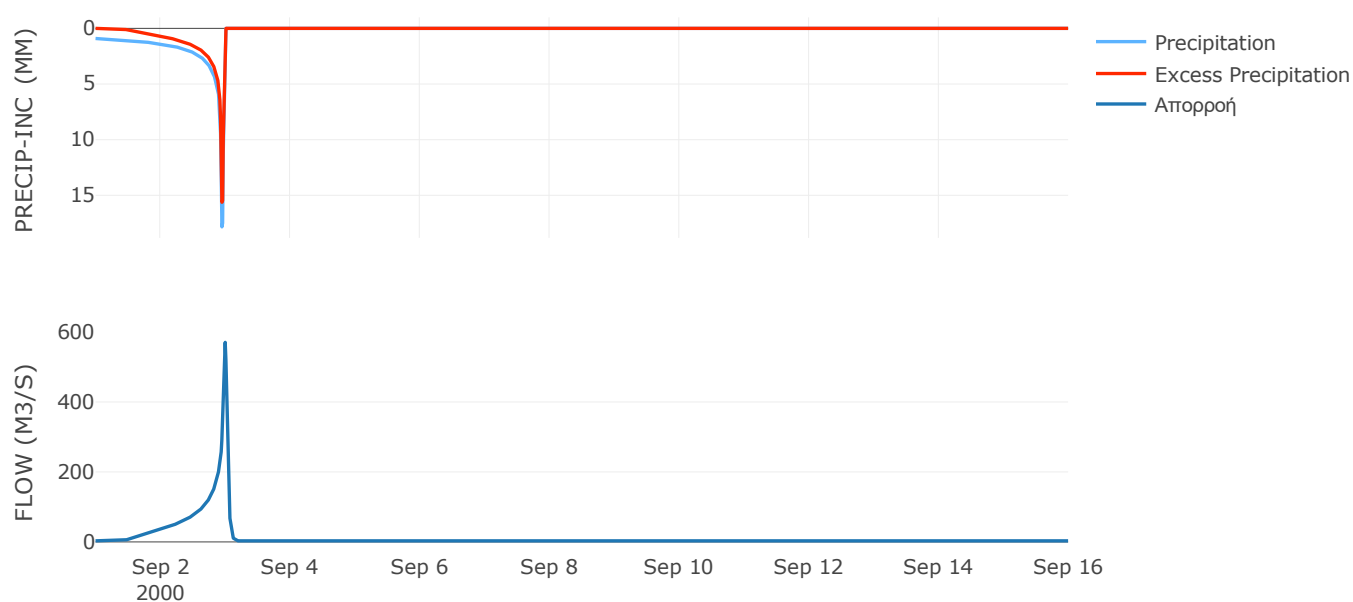
Μέθοδος
Μετασχηματισμού: SCS

| | |
|------------------|-------|
| Χρόνος Υστέρησης | 50.65 |
|------------------|-------|

Αποτελέσματα:
EL0420FR4034

| | |
|-----------------------------|------------------|
| Παροχή αιχμής (M3/S) | 570.37 |
| Χρονική στιγμή αιχμής | 02Sep2000, 24:00 |
| Όγκος (MM) | 341.97 |
| Όγκος βροχόπτωσης (M3) | 1.92E7 |
| Όγκος απωλειών (M3) | 7.23E6 |
| Ενεργός Όγκος (M3) | 1.2E7 |
| Όγκος άμεσης απορροής (M3) | 1.2E7 |
| Όγκος βασικής απορροής (M3) | 3.91E6 |

Βροχόπτωση και Απορροή



Υπολεκάνη: EL0420FR4035

Έκταση (KM2) : 12.2

Κατάνη : J19

Μέθοδος Απωλειών: SCS

| | |
|--------------------------------|-------|
| Ποσοστό αδιαπέρατης επιφάνειας | 0 |
| Αριθμός Καμπύλης Απορροής-CN | 81.66 |
| Αρχικές Απώλειες | 11.41 |

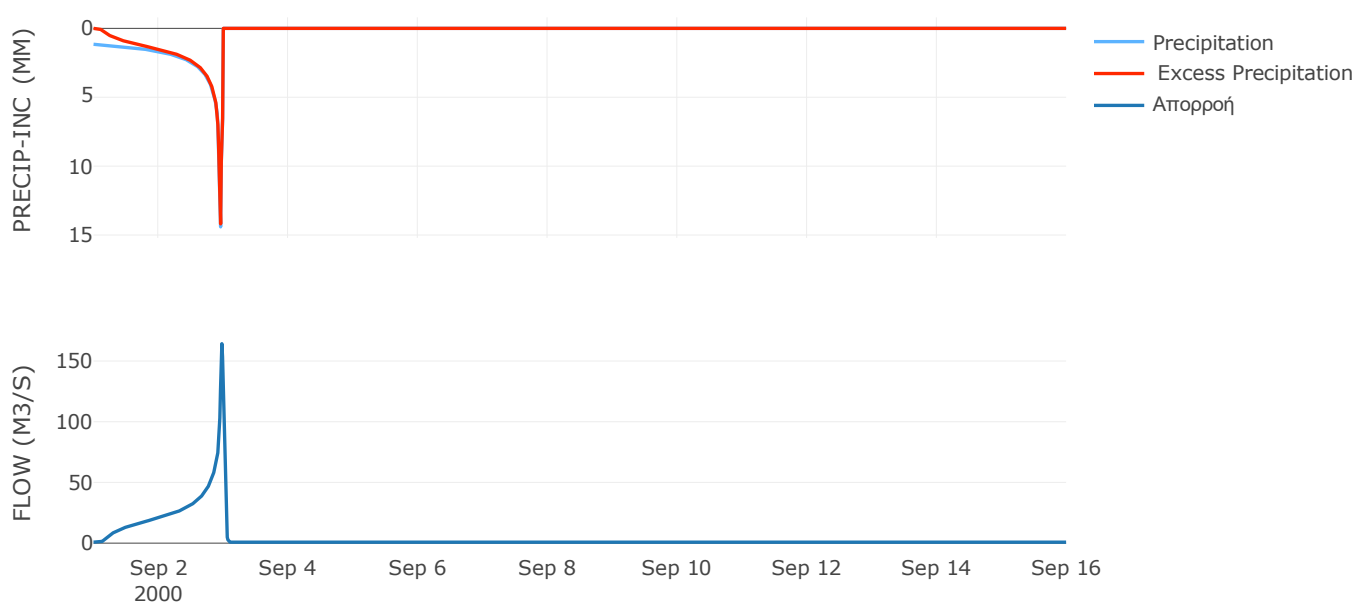
Μέθοδος
Μετασχηματισμού: SCS

| | |
|------------------|-------|
| Χρόνος Υστέρησης | 28.16 |
|------------------|-------|

Αποτελέσματα:
EL0420FR4035

| | |
|-----------------------------|------------------|
| Παροχή αιχμής (M3/S) | 164.29 |
| Χρονική στιγμή αιχμής | 02Sep2000, 23:30 |
| Όγκος (MM) | 471.09 |
| Όγκος βροχόπτωσης (M3) | 5.47E6 |
| Όγκος απωλειών (M3) | 7.55E5 |
| Ενεργός Όγκος (M3) | 4.72E6 |
| Όγκος άμεσης απορροής (M3) | 4.72E6 |
| Όγκος βασικής απορροής (M3) | 1.03E6 |

Βροχόπτωση και Απορροή



Υπολεκάνη: EL0420FR4036

Έκταση (KM2) : 17.89

Κατάνη : J18

Μέθοδος Απωλειών: SCS

| | |
|--------------------------------|-------|
| Ποσοστό αδιαπέρατης επιφάνειας | 0 |
| Αριθμός Καμπύλης Απορροής-CN | 81.52 |
| Αρχικές Απώλειες | 11.52 |

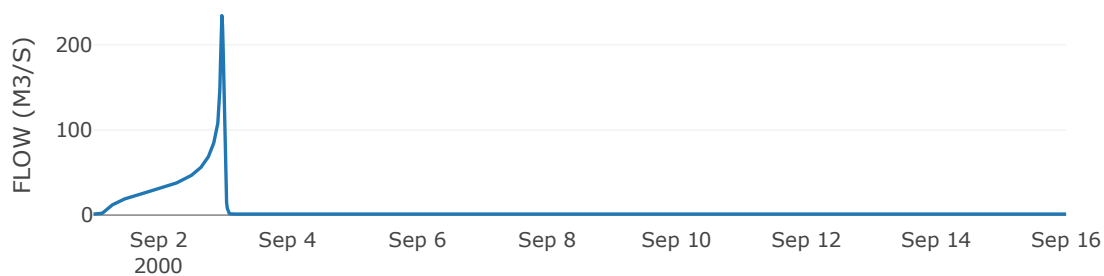
Μέθοδος
Μετασχηματισμού: SCS

| | |
|------------------|-------|
| Χρόνος Υστέρησης | 29.36 |
|------------------|-------|

Αποτελέσματα:
EL0420FR4036

| | |
|-----------------------------|------------------|
| Παροχή αιχμής (M3/S) | 234.44 |
| Χρονική στιγμή αιχμής | 02Sep2000, 23:30 |
| Όγκος (MM) | 471.38 |
| Όγκος βροχόπτωσης (M3) | 8.04E6 |
| Όγκος απωλειών (M3) | 1.12E6 |
| Ενεργός Όγκος (M3) | 6.92E6 |
| Όγκος άμεσης απορροής (M3) | 6.92E6 |
| Όγκος βασικής απορροής (M3) | 1.51E6 |

Βροχόπτωση και Απορροή



Έκταση (KM2) : 37.96
Κατάντη : J17

| | |
|--------------------------------|-------|
| Ποσοστό αδιαπέρατης επιφάνειας | 0 |
| Αριθμός Καμπύλης Απορροής-CN | 80.64 |
| Αρχικές Απώλειες | 12.2 |

| | |
|------------------|------|
| Χρόνος Υστέρησης | 40.5 |
|------------------|------|

| | |
|-----------------------------|------------------|
| Παροχή αιχμής (M3/S) | 490.81 |
| Χρονική στιγμή αιχμής | 02Sep2000, 23:45 |
| Όγκος (MM) | 479.12 |
| Όγκος βροχόπτωσης (M3) | 1.75E7 |
| Όγκος απωλειών (M3) | 2.5E6 |
| Ενεργός Όγκος (M3) | 1.5E7 |
| Όγκος άμεσης απορροής (M3) | 1.5E7 |
| Όγκος βασικής απορροής (M3) | 3.2E6 |

The top graph displays precipitation (mm) and excess precipitation (mm) over time. The y-axis is labeled 'PRECIP-INC (MM)' and ranges from 0 to 15. The x-axis shows dates from Sep 1 to Sep 16, 2000. The legend indicates three series: Precipitation (light blue), Excess Precipitation (red), and Απορροή (dark blue). Precipitation starts at approximately 1 mm on Sep 1, decreases to about 2 mm by Sep 2, and then drops sharply to 0 mm by Sep 3. Excess precipitation starts at 0 mm, increases to about 1 mm by Sep 2, and then drops sharply to 0 mm by Sep 3.

The bottom graph displays flow (m³/s) over time. The y-axis is labeled 'FLOW (M3/S)' and ranges from 0 to 400. The x-axis shows dates from Sep 1 to Sep 16, 2000. The legend indicates three series: Precipitation (light blue), Excess Precipitation (red), and Απορροή (dark blue). Flow starts at 0 m³/s, increases to about 100 m³/s by Sep 2, and then peaks sharply at approximately 450 m³/s on Sep 3, before dropping to 0 m³/s by Sep 4.

Υπολεκάνη: EL0420FR4038

Έκταση (KM2) : 11.75

Κατάνη : J15

Μέθοδος Απωλειών: SCS

| | |
|--------------------------------|-------|
| Ποσοστό αδιαπέρατης επιφάνειας | 0 |
| Αριθμός Καμπύλης Απορροής-CN | 68.37 |
| Αρχικές Απώλειες | 23.5 |

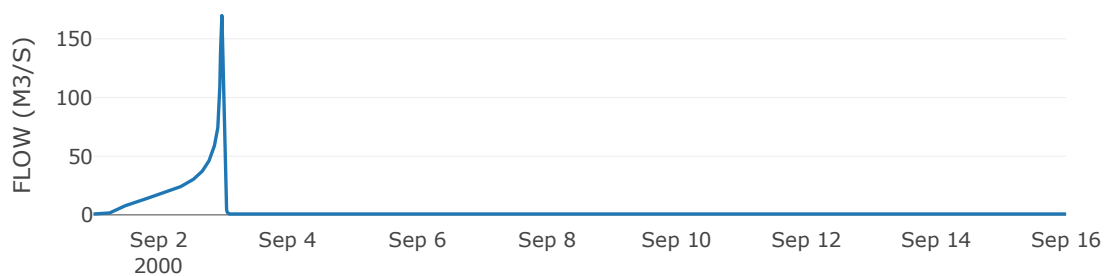
Μέθοδος
Μετασχηματισμού: SCS

| | |
|------------------|-------|
| Χρόνος Υστέρησης | 22.28 |
|------------------|-------|

Αποτελέσματα:
EL0420FR4038

| | |
|-----------------------------|------------------|
| Παροχή αιχμής (M3/S) | 169.87 |
| Χρονική στιγμή αιχμής | 02Sep2000, 23:30 |
| Όγκος (MM) | 436.91 |
| Όγκος βροχόπτωσης (M3) | 5.51E6 |
| Όγκος απωλειών (M3) | 1.37E6 |
| Ενεργός Όγκος (M3) | 4.14E6 |
| Όγκος άμεσης απορροής (M3) | 4.14E6 |
| Όγκος βασικής απορροής (M3) | 9.9E5 |

Βροχόπτωση και Απορροή



Υπολεκάνη: EL0420FR4039

Έκταση (KM2) : 21.53

Κατάντη : J23

Μέθοδος Απωλειών: SCS

| | |
|--------------------------------|-------|
| Ποσοστό αδιαπέρατης επιφάνειας | 0 |
| Αριθμός Καμπύλης Απορροής-CN | 72.21 |
| Αρχικές Απώλειες | 19.55 |

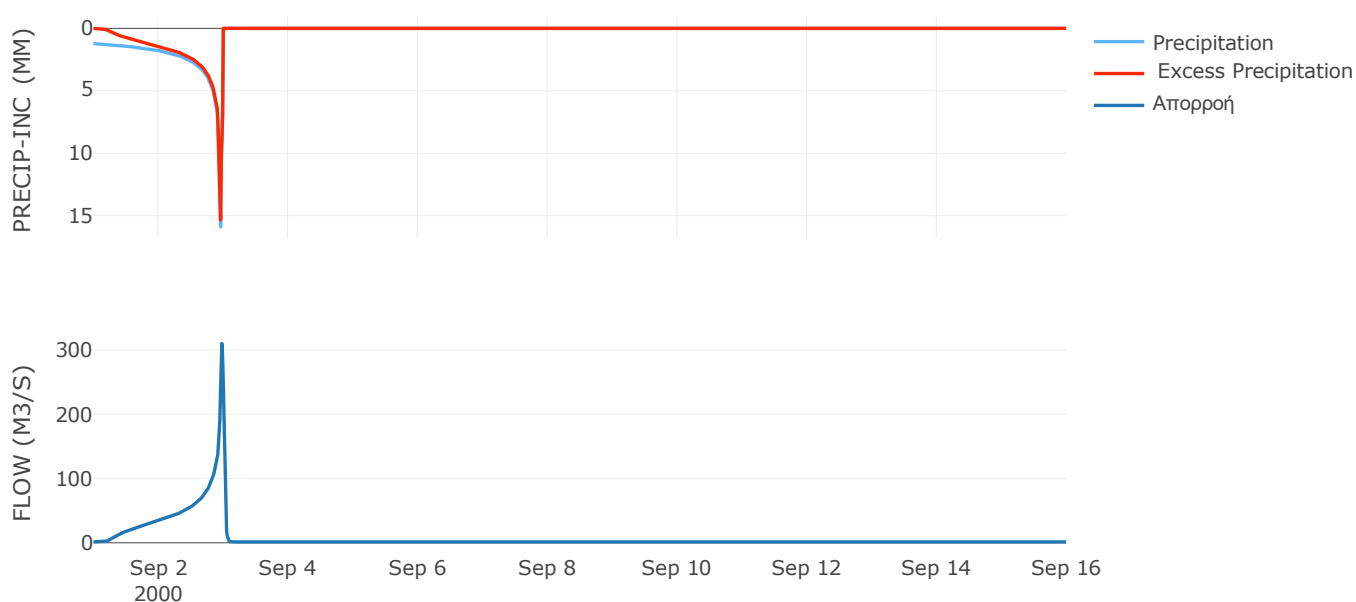
Μέθοδος
Μετασχηματισμού: SCS

| | |
|------------------|-------|
| Χρόνος Υστέρησης | 29.41 |
|------------------|-------|

Αποτελέσματα:
EL0420FR4039

| | |
|-----------------------------|------------------|
| Παροχή αιχμής (M3/S) | 310.13 |
| Χρονική στιγμή αιχμής | 02Sep2000, 23:30 |
| Όγκος (MM) | 464.41 |
| Όγκος βροχόπτωσης (M3) | 1.03E7 |
| Όγκος απωλειών (M3) | 2.16E6 |
| Ενεργός Όγκος (M3) | 8.18E6 |
| Όγκος άμεσης απορροής (M3) | 8.18E6 |
| Όγκος βασικής απορροής (M3) | 1.81E6 |

Βροχόπτωση και Απορροή



Υπολεκάνη: EL0420FR4040

Έκταση (KM2) : 34.79

Κατάντη : J12

Μέθοδος Απωλειών: SCS

| | |
|--------------------------------|-------|
| Ποσοστό αδιαπέρατης επιφάνειας | 0 |
| Αριθμός Καμπύλης Απορροής-CN | 59.29 |
| Αρχικές Απώλειες | 34.88 |

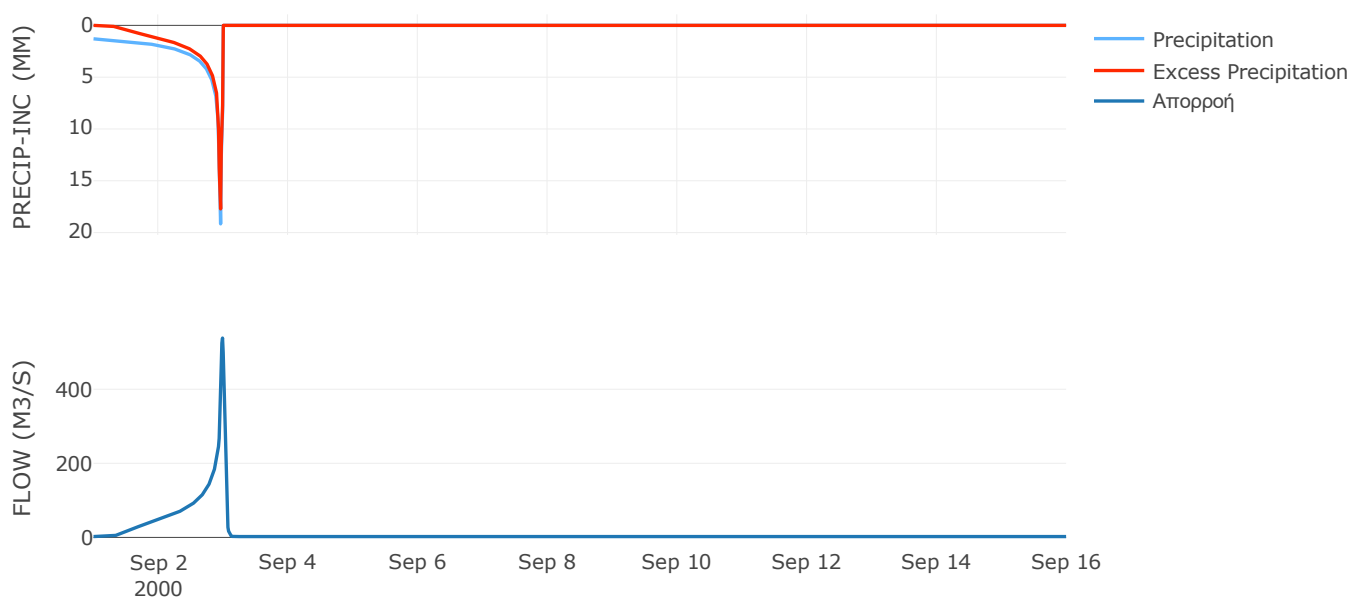
Μέθοδος
Μετασχηματισμού: SCS

| | |
|------------------|------|
| Χρόνος Υστέρησης | 38.9 |
|------------------|------|

Αποτελέσματα:
EL0420FR4040

| | |
|-----------------------------|------------------|
| Παροχή αιχμής (M3/S) | 538.17 |
| Χρονική στιγμή αιχμής | 02Sep2000, 23:45 |
| Όγκος (MM) | 455.48 |
| Όγκος βροχόπτωσης (M3) | 1.86E7 |
| Όγκος απωλειών (M3) | 5.71E6 |
| Ενεργός Όγκος (M3) | 1.29E7 |
| Όγκος άμεσης απορροής (M3) | 1.29E7 |
| Όγκος βασικής απορροής (M3) | 2.93E6 |

Βροχόπτωση και Απορροή



Υπολεκάνη: EL0420FR4041

Έκταση (KM2) : 17.22

Κατάντη : J25

Μέθοδος Απωλειών: SCS

| | |
|--------------------------------|-------|
| Ποσοστό αδιαπέρατης επιφάνειας | 0 |
| Αριθμός Καμπύλης Απορροής-CN | 51.86 |
| Αρχικές Απώλειες | 47.15 |

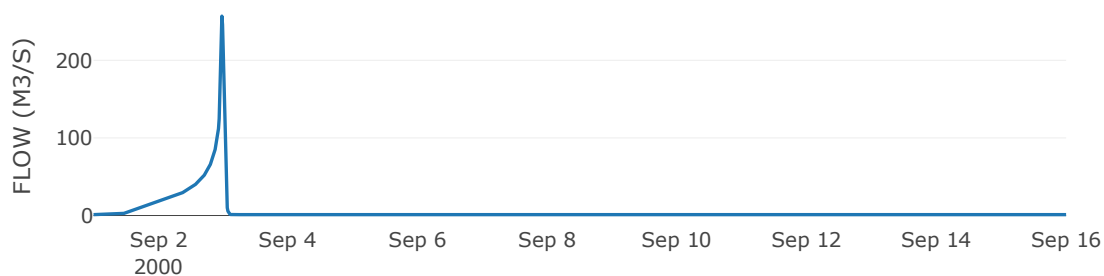
Μέθοδος
Μετασχηματισμού: SCS

| | |
|------------------|-------|
| Χρόνος Υστέρησης | 30.83 |
|------------------|-------|

Αποτελέσματα:
EL0420FR4041

| | |
|-----------------------------|------------------|
| Παροχή αιχμής (M3/S) | 256.97 |
| Χρονική στιγμή αιχμής | 02Sep2000, 23:30 |
| Όγκος (MM) | 387.67 |
| Όγκος βροχόπτωσης (M3) | 8.72E6 |
| Όγκος απωλειών (M3) | 3.5E6 |
| Ενεργός Όγκος (M3) | 5.23E6 |
| Όγκος άμεσης απορροής (M3) | 5.23E6 |
| Όγκος βασικής απορροής (M3) | 1.45E6 |

Βροχόπτωση και Απορροή



Υπολεκάνη: EL0420FR4042

Έκταση (KM2) : 21.68

Κατάντη : J25

Μέθοδος Απωλειών: SCS

| | |
|--------------------------------|-------|
| Ποσοστό αδιαπέρατης επιφάνειας | 0 |
| Αριθμός Καμπύλης Απορροής-CN | 50.78 |
| Αρχικές Απώλειες | 49.23 |

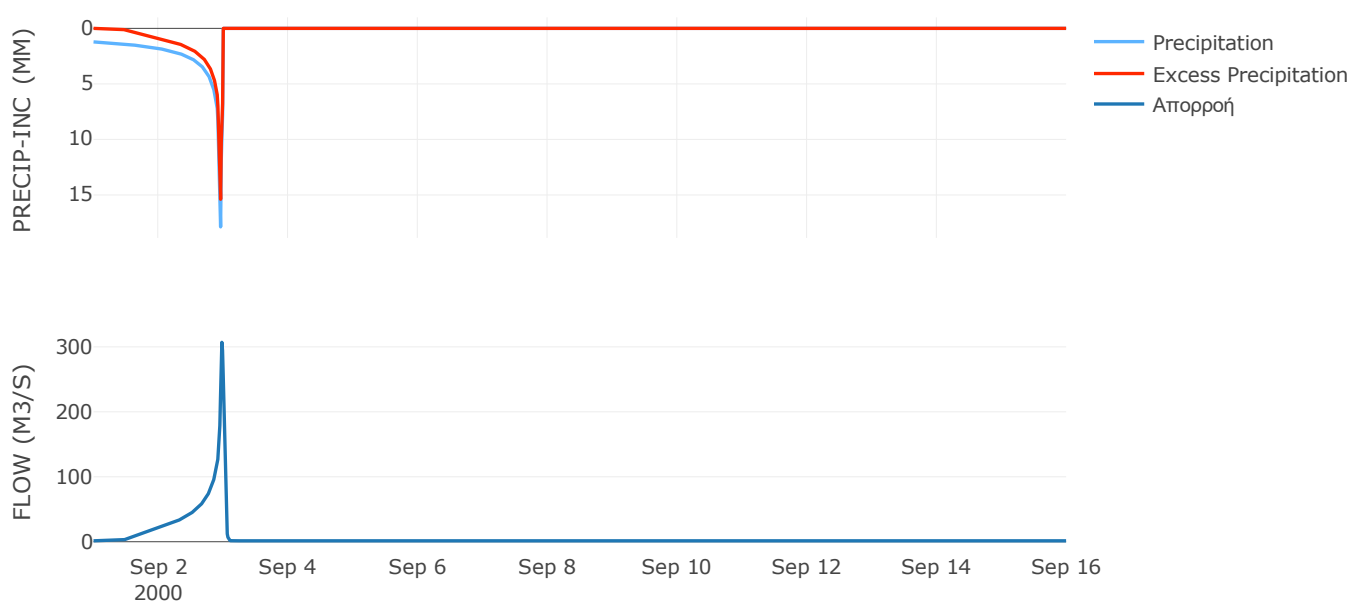
Μέθοδος
Μετασχηματισμού: SCS

| | |
|------------------|-------|
| Χρόνος Υστέρησης | 30.88 |
|------------------|-------|

Αποτελέσματα:
EL0420FR4042

| | |
|-----------------------------|------------------|
| Παροχή αιχμής (M3/S) | 307.02 |
| Χρονική στιγμή αιχμής | 02Sep2000, 23:30 |
| Όγκος (MM) | 376.49 |
| Όγκος βροχόπτωσης (M3) | 1.09E7 |
| Όγκος απωλειών (M3) | 4.52E6 |
| Ενεργός Όγκος (M3) | 6.34E6 |
| Όγκος άμεσης απορροής (M3) | 6.34E6 |
| Όγκος βασικής απορροής (M3) | 1.83E6 |

Βροχόπτωση και Απορροή



Υπολεκάνη: EL0420FR4043

Έκταση (KM2) : 13.12

Κατάντη : J24

Μέθοδος Απωλειών: SCS

| | |
|--------------------------------|-------|
| Ποσοστό αδιαπέρατης επιφάνειας | 0 |
| Αριθμός Καμπύλης Απορροής-CN | 57.47 |
| Αρχικές Απώλειες | 37.59 |

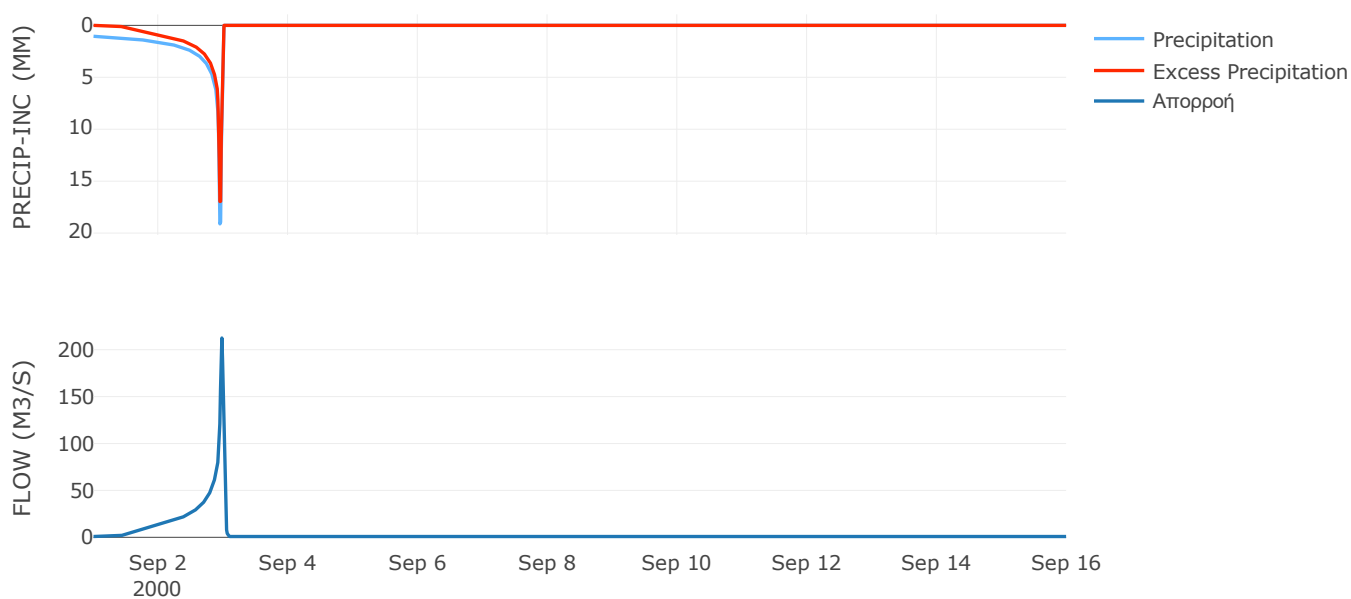
Μέθοδος
Μετασχηματισμού: SCS

| | |
|------------------|-------|
| Χρόνος Υστέρησης | 25.61 |
|------------------|-------|

Αποτελέσματα:
EL0420FR4043

| | |
|-----------------------------|------------------|
| Παροχή αιχμής (M3/S) | 212.48 |
| Χρονική στιγμή αιχμής | 02Sep2000, 23:30 |
| Όγκος (MM) | 382.57 |
| Όγκος βροχόπτωσης (M3) | 6.12E6 |
| Όγκος απωλειών (M3) | 2.21E6 |
| Ενεργός Όγκος (M3) | 3.92E6 |
| Όγκος άμεσης απορροής (M3) | 3.92E6 |
| Όγκος βασικής απορροής (M3) | 1.11E6 |

Βροχόπτωση και Απορροή



Υπολεκάνη: EL0420FR4044

Έκταση (KM2) : 10.33

Κατάντη : J24

Μέθοδος Απωλειών: SCS

| | |
|--------------------------------|-------|
| Ποσοστό αδιαπέρατης επιφάνειας | 0 |
| Αριθμός Καμπύλης Απορροής-CN | 48 |
| Αρχικές Απώλειες | 55.04 |

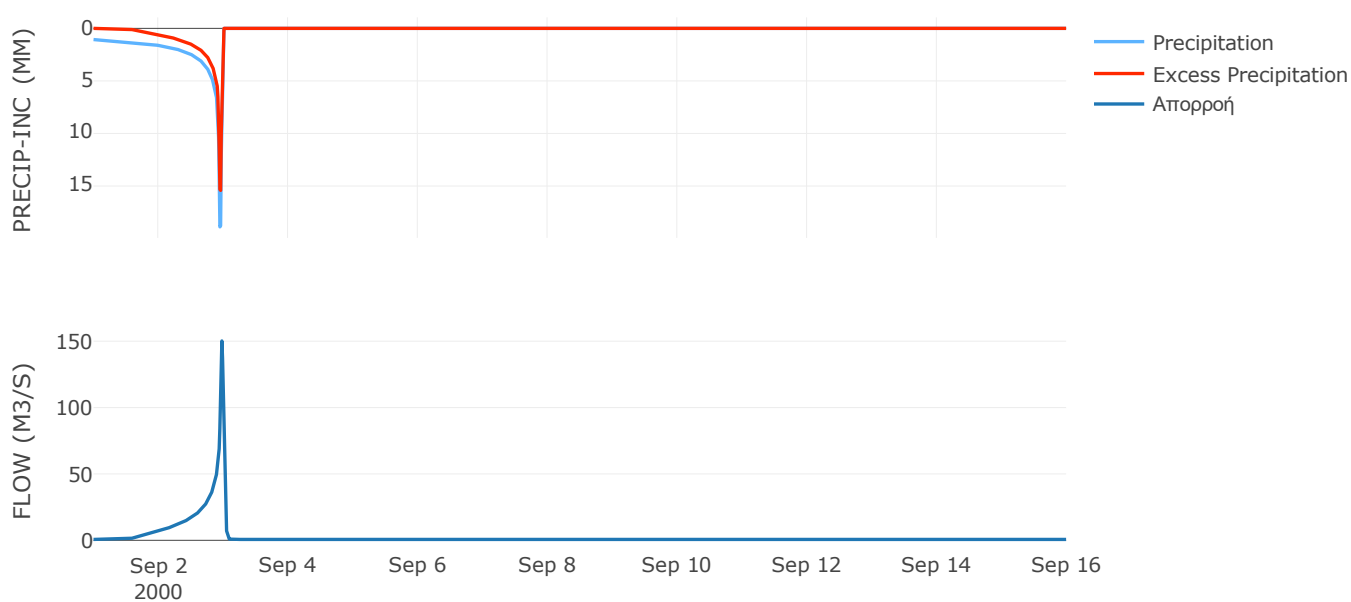
Μέθοδος
Μετασχηματισμού: SCS

| | |
|------------------|------|
| Χρόνος Υστέρησης | 27.3 |
|------------------|------|

Αποτελέσματα:
EL0420FR4044

| | |
|-----------------------------|------------------|
| Παροχή αιχμής (M3/S) | 150.2 |
| Χρονική στιγμή αιχμής | 02Sep2000, 23:30 |
| Όγκος (MM) | 332.81 |
| Όγκος βροχόπτωσης (M3) | 4.85E6 |
| Όγκος απωλειών (M3) | 2.28E6 |
| Ενεργός Όγκος (M3) | 2.57E6 |
| Όγκος άμεσης απορροής (M3) | 2.57E6 |
| Όγκος βασικής απορροής (M3) | 8.71E5 |

Βροχόπτωση και Απορροή



Υπολεκάνη: EL0420FR4045

Έκταση (KM2) : 5.32

Κατάνη : J11

Μέθοδος Απωλειών: SCS

| | |
|--------------------------------|-------|
| Ποσοστό αδιαπέρατης επιφάνειας | 0 |
| Αριθμός Καμπύλης Απορροής-CN | 58.91 |
| Αρχικές Απώλειες | 35.44 |

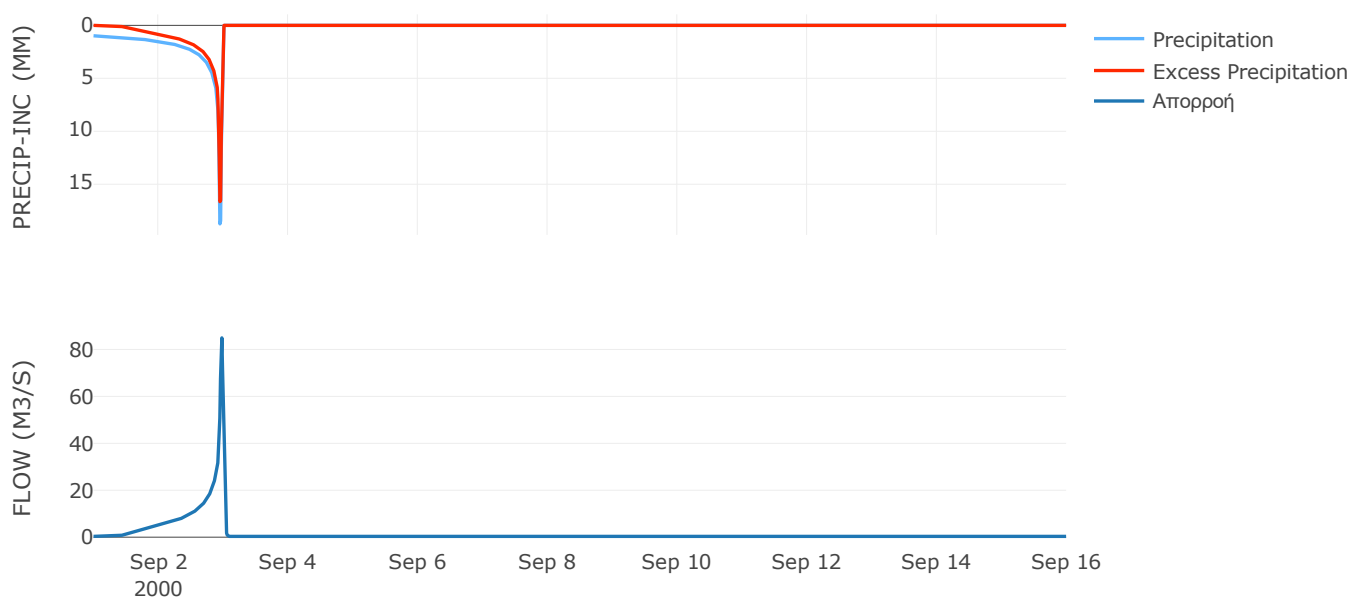
Μέθοδος
Μετασχηματισμού: SCS

| | |
|------------------|-------|
| Χρόνος Υστέρησης | 21.32 |
|------------------|-------|

Αποτελέσματα:
EL0420FR4045

| | |
|-----------------------------|------------------|
| Παροχή αιχμής (M3/S) | 84.94 |
| Χρονική στιγμή αιχμής | 02Sep2000, 23:30 |
| Όγκος (MM) | 368.36 |
| Όγκος βροχόπτωσης (M3) | 2.36E6 |
| Όγκος απωλειών (M3) | 8.45E5 |
| Ενεργός Όγκος (M3) | 1.51E6 |
| Όγκος άμεσης απορροής (M3) | 1.51E6 |
| Όγκος βασικής απορροής (M3) | 4.48E5 |

Βροχόπτωση και Απορροή



Υπολεκάνη: EL0420FR4046

Έκταση (KM2) : 24.57

Κατάντη : J10

Μέθοδος Απωλειών: SCS

| | |
|--------------------------------|-------|
| Ποσοστό αδιαπέρατης επιφάνειας | 0 |
| Αριθμός Καμπύλης Απορροής-CN | 52.86 |
| Αρχικές Απώλειες | 45.31 |

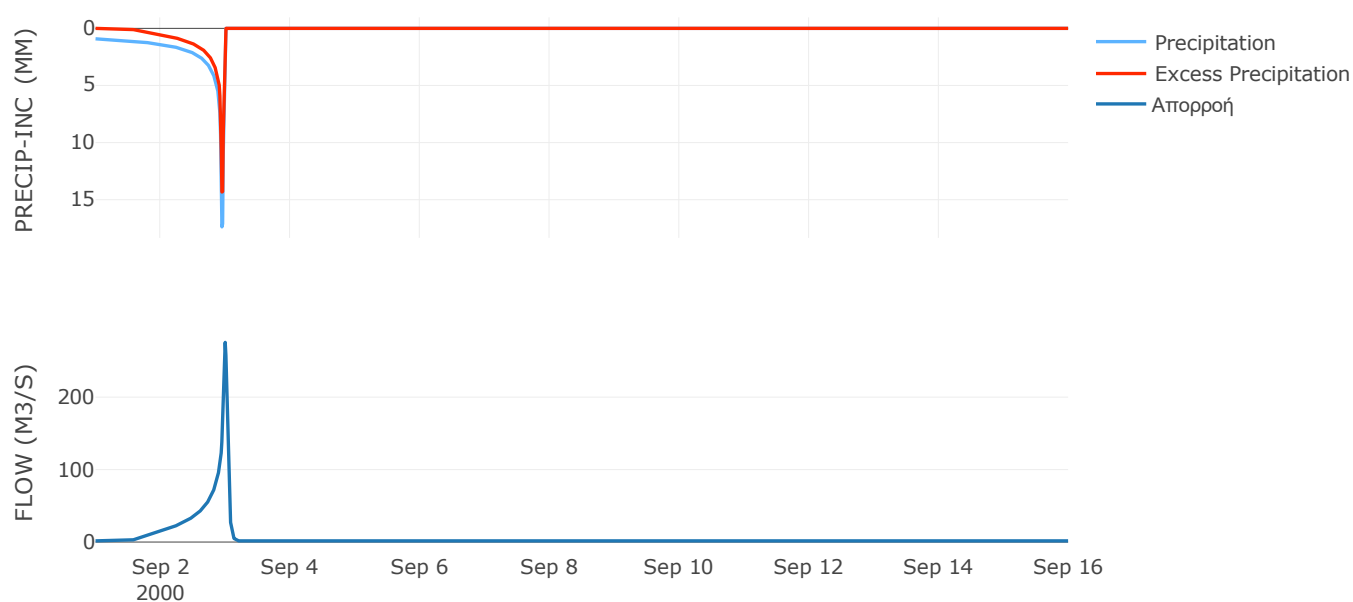
Μέθοδος
Μετασχηματισμού: SCS

| | |
|------------------|-------|
| Χρόνος Υστέρησης | 53.92 |
|------------------|-------|

Αποτελέσματα:
EL0420FR4046

| | |
|-----------------------------|------------------|
| Παροχή αιχμής (M3/S) | 275.6 |
| Χρονική στιγμή αιχμής | 02Sep2000, 24:00 |
| Όγκος (MM) | 309.94 |
| Όγκος βροχόπτωσης (M3) | 1.01E7 |
| Όγκος απωλειών (M3) | 4.55E6 |
| Ενεργός Όγκος (M3) | 5.55E6 |
| Όγκος άμεσης απορροής (M3) | 5.55E6 |
| Όγκος βασικής απορροής (M3) | 2.07E6 |

Βροχόπτωση και Απορροή



Υπολεκάνη: EL0420FR4047

Έκταση (KM2) : 37.25

Κατάντη : J26

Μέθοδος Απωλειών: SCS

| | |
|--------------------------------|-------|
| Ποσοστό αδιαπέρατης επιφάνειας | 0 |
| Αριθμός Καμπύλης Απορροής-CN | 50.17 |
| Αρχικές Απώλειες | 50.45 |

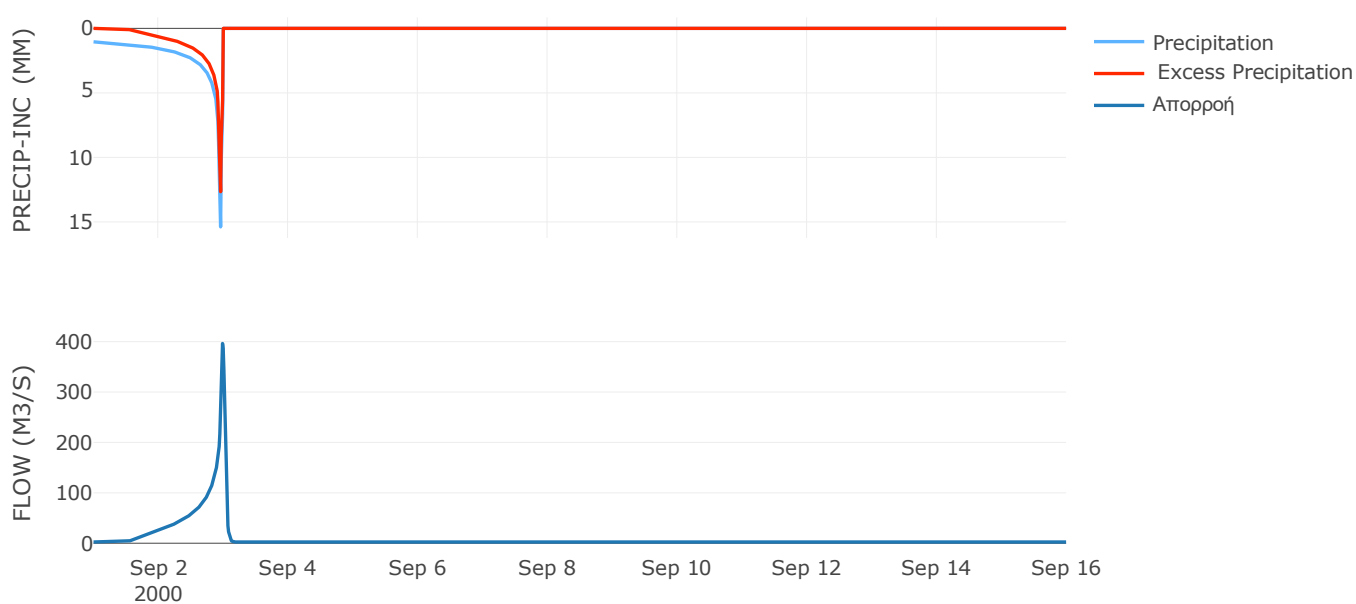
Μέθοδος
Μετασχηματισμού: SCS

| | |
|------------------|------|
| Χρόνος Υστέρησης | 45.4 |
|------------------|------|

Αποτελέσματα:
EL0420FR4047

| | |
|-----------------------------|------------------|
| Παροχή αιχμής (M3/S) | 396.3 |
| Χρονική στιγμή αιχμής | 02Sep2000, 23:45 |
| Όγκος (MM) | 311.95 |
| Όγκος βροχόπτωσης (M3) | 1.6E7 |
| Όγκος απωλειών (M3) | 7.52E6 |
| Ενεργός Όγκος (M3) | 8.48E6 |
| Όγκος άμεσης απορροής (M3) | 8.48E6 |
| Όγκος βασικής απορροής (M3) | 3.14E6 |

Βροχόπτωση και Απορροή



Υπολεκάνη: EL0420FR4048

Έκταση (KM2) : 34.69

Κατάντη : J26

Μέθοδος Απωλειών: SCS

| | |
|--------------------------------|-------|
| Ποσοστό αδιαπέρατης επιφάνειας | 0 |
| Αριθμός Καμπύλης Απορροής-CN | 50.81 |
| Αρχικές Απώλειες | 49.18 |

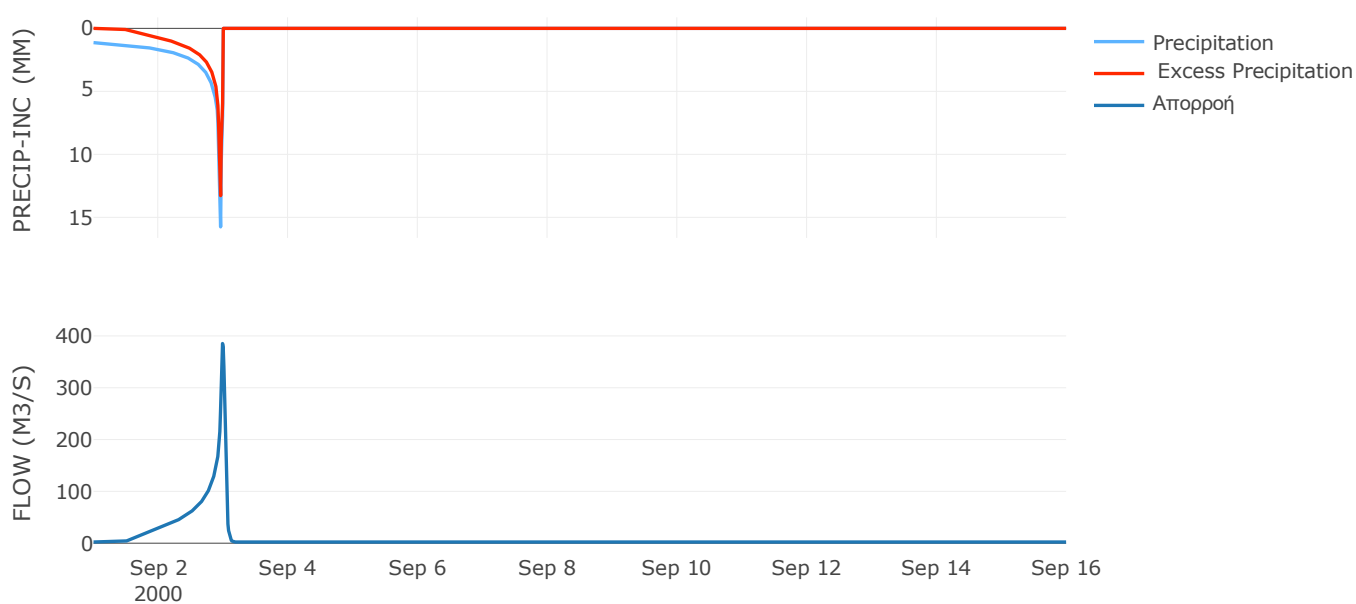
Μέθοδος
Μετασχηματισμού: SCS

| | |
|------------------|-------|
| Χρόνος Υστέρησης | 46.76 |
|------------------|-------|

Αποτελέσματα:
EL0420FR4048

| | |
|-----------------------------|------------------|
| Παροχή αιχμής (M3/S) | 385.34 |
| Χρονική στιγμή αιχμής | 02Sep2000, 23:45 |
| Όγκος (MM) | 338.43 |
| Όγκος βροχόπτωσης (M3) | 1.58E7 |
| Όγκος απωλειών (M3) | 7.03E6 |
| Ενεργός Όγκος (M3) | 8.82E6 |
| Όγκος άμεσης απορροής (M3) | 8.82E6 |
| Όγκος βασικής απορροής (M3) | 2.92E6 |

Βροχόπτωση και Απορροή



Υπολεκάνη: EL0420FR4049

Έκταση (KM2) : 11.77

Κατάνη : J9

Μέθοδος Απωλειών: SCS

| | |
|--------------------------------|-------|
| Ποσοστό αδιαπέρατης επιφάνειας | 0 |
| Αριθμός Καμπύλης Απορροής-CN | 57.41 |
| Αρχικές Απώλειες | 37.69 |

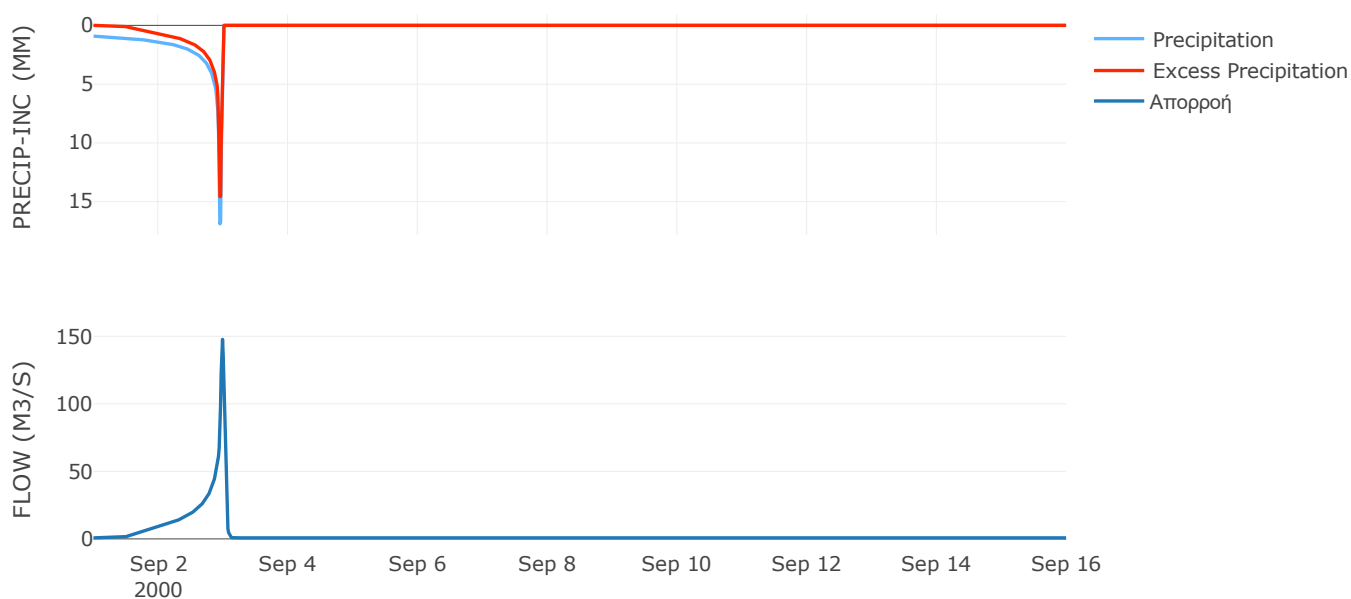
Μέθοδος
Μετασχηματισμού: SCS

| | |
|------------------|-------|
| Χρόνος Υστέρησης | 38.94 |
|------------------|-------|

Αποτελέσματα:
EL0420FR4049

| | |
|-----------------------------|------------------|
| Παροχή αιχμής (M3/S) | 147.74 |
| Χρονική στιγμή αιχμής | 02Sep2000, 23:45 |
| Όγκος (MM) | 329.77 |
| Όγκος βροχόπτωσης (M3) | 4.8E6 |
| Όγκος απωλειών (M3) | 1.91E6 |
| Ενεργός Όγκος (M3) | 2.89E6 |
| Όγκος άμεσης απορροής (M3) | 2.89E6 |
| Όγκος βασικής απορροής (M3) | 9.91E5 |

Βροχόπτωση και Απορροή



Υπολεκάνη: EL0420FR4050

Έκταση (KM2) : 19.25

Κατάνη : J7

Μέθοδος Απωλειών: SCS

| | |
|--------------------------------|-------|
| Ποσοστό αδιαπέρατης επιφάνειας | 0 |
| Αριθμός Καμπύλης Απορροής-CN | 55.91 |
| Αρχικές Απώλειες | 40.05 |

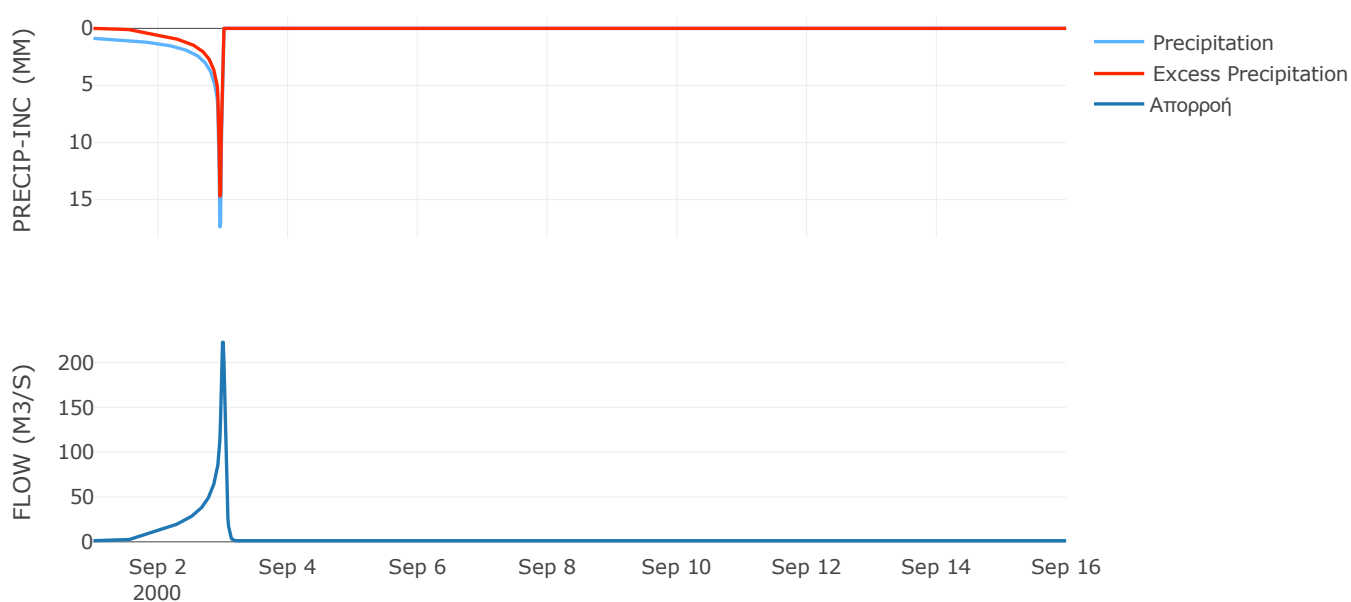
Μέθοδος
Μετασχηματισμού: SCS

| | |
|------------------|------|
| Χρόνος Υστέρησης | 50.2 |
|------------------|------|

Αποτελέσματα:
EL0420FR4050

| | |
|-----------------------------|------------------|
| Παροχή αιχμής (M3/S) | 222.75 |
| Χρονική στιγμή αιχμής | 02Sep2000, 23:45 |
| Όγκος (MM) | 315.34 |
| Όγκος βροχόπτωσης (M3) | 7.7E6 |
| Όγκος απωλειών (M3) | 3.25E6 |
| Ενεργός Όγκος (M3) | 4.45E6 |
| Όγκος άμεσης απορροής (M3) | 4.45E6 |
| Όγκος βασικής απορροής (M3) | 1.62E6 |

Βροχόπτωση και Απορροή



Υπολεκάνη: EL0420FR4051

Έκταση (KM2) : 32.45

Κατάντη : J4

Μέθοδος Απωλειών: SCS

| | |
|--------------------------------|-------|
| Ποσοστό αδιαπέρατης επιφάνειας | 0 |
| Αριθμός Καμπύλης Απορροής-CN | 80.53 |
| Αρχικές Απώλειες | 12.28 |

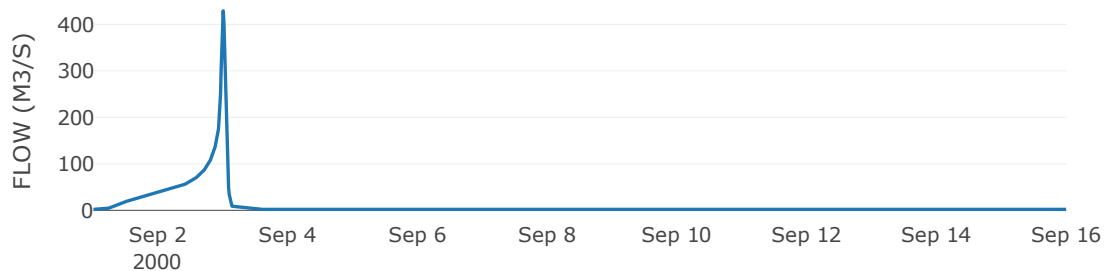
Μέθοδος
Μετασχηματισμού: SCS

| | |
|------------------|-------|
| Χρόνος Υστέρησης | 56.93 |
|------------------|-------|

Αποτελέσματα:
EL0420FR4051

| | |
|-----------------------------|------------------|
| Παροχή αιχμής (M3/S) | 429.13 |
| Χρονική στιγμή αιχμής | 02Sep2000, 24:00 |
| Όγκος (MM) | 403.95 |
| Όγκος βροχόπτωσης (M3) | 1.25E7 |
| Όγκος απωλειών (M3) | 2.11E6 |
| Ενεργός Όγκος (M3) | 1.04E7 |
| Όγκος άμεσης απορροής (M3) | 1.04E7 |
| Όγκος βασικής απορροής (M3) | 2.73E6 |

Βροχόπτωση και Απορροή



Υπολεκάνη: EL0420FR4052

Έκταση (KM2) : 29.83

Κατάντη : J30

Μέθοδος Απωλειών: SCS

| | |
|--------------------------------|-------|
| Ποσοστό αδιαπέρατης επιφάνειας | 0 |
| Αριθμός Καμπύλης Απορροής-CN | 80.61 |
| Αρχικές Απώλειες | 12.22 |

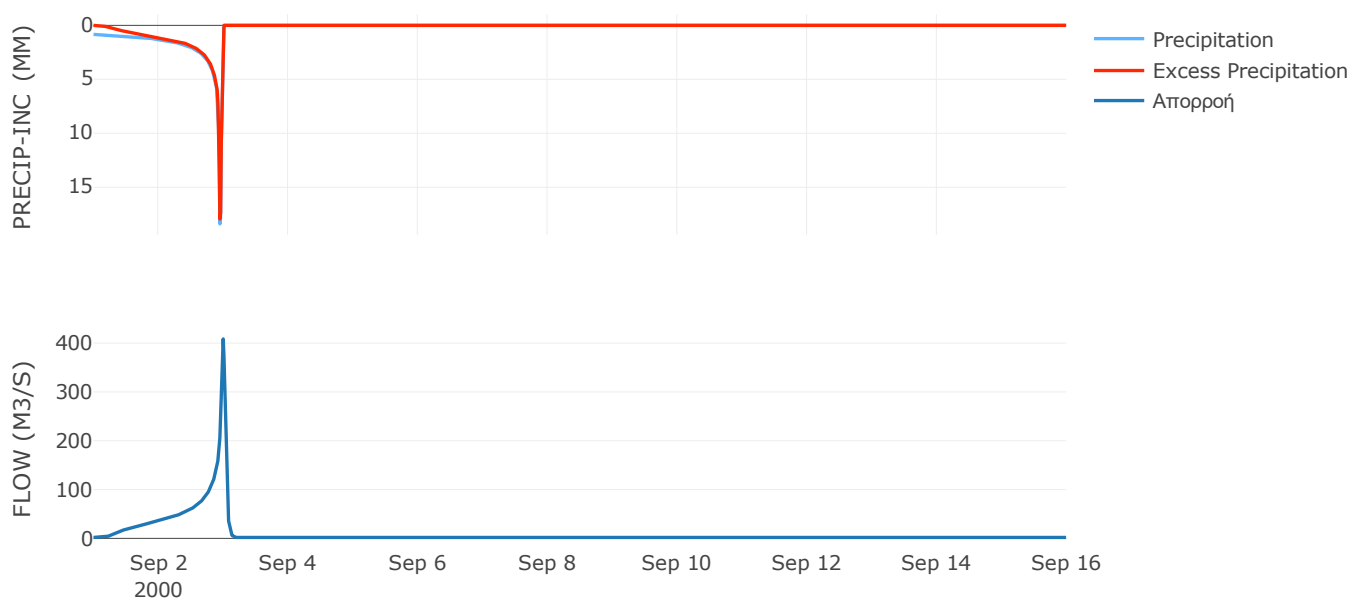
Μέθοδος
Μετασχηματισμού: SCS

| | |
|------------------|-------|
| Χρόνος Υστέρησης | 52.54 |
|------------------|-------|

Αποτελέσματα:
EL0420FR4052

| | |
|-----------------------------|------------------|
| Παροχή αιχμής (M3/S) | 408.52 |
| Χρονική στιγμή αιχμής | 02Sep2000, 24:00 |
| Όγκος (MM) | 414.42 |
| Όγκος βροχόπτωσης (M3) | 1.18E7 |
| Όγκος απωλειών (M3) | 1.94E6 |
| Ενεργός Όγκος (M3) | 9.85E6 |
| Όγκος άμεσης απορροής (M3) | 9.85E6 |
| Όγκος βασικής απορροής (M3) | 2.51E6 |

Βροχόπτωση και Απορροή



Υπολεκάνη: EL0420FR4053

Έκταση (KM2) : 0.54

Κατάντη : J20

Μέθοδος Απωλειών: SCS

| | |
|--------------------------------|-------|
| Ποσοστό αδιαπέρατης επιφάνειας | 0 |
| Αριθμός Καμπύλης Απορροής-CN | 81.16 |
| Αρχικές Απώλειες | 11.79 |

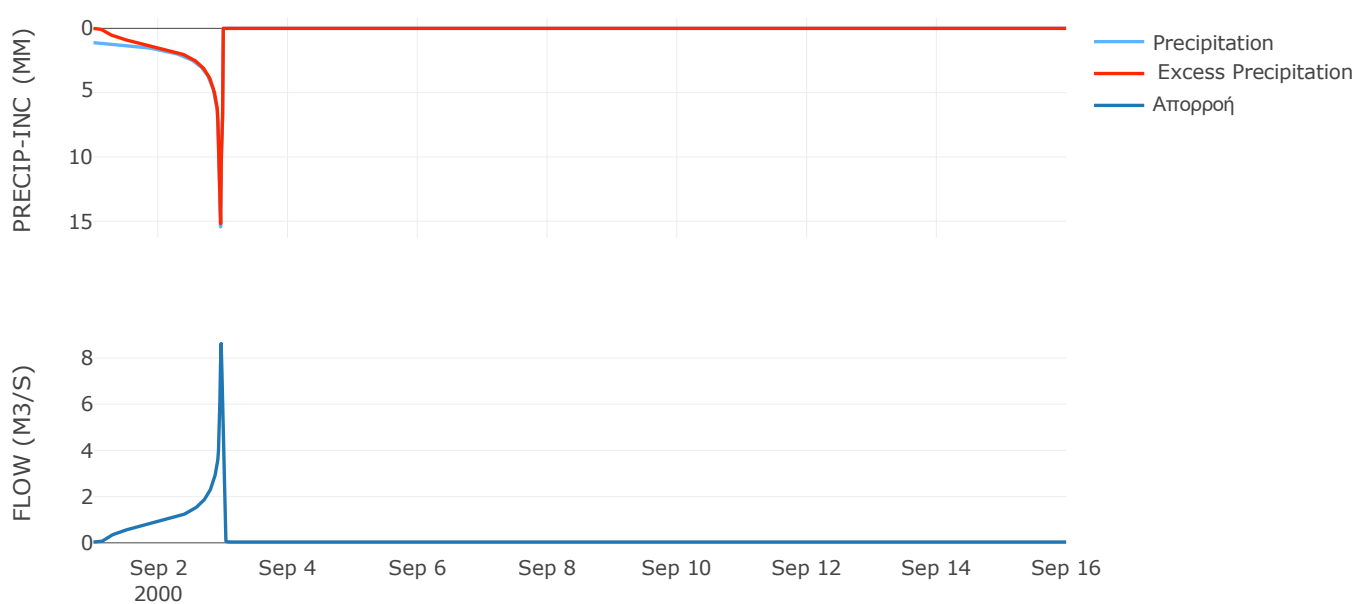
Μέθοδος
Μετασχηματισμού: SCS

| | |
|------------------|-------|
| Χρόνος Υστέρησης | 12.39 |
|------------------|-------|

Αποτελέσματα:
EL0420FR4053

| | |
|-----------------------------|------------------|
| Παροχή αιχμής (M3/S) | 8.62 |
| Χρονική στιγμή αιχμής | 02Sep2000, 23:15 |
| Όγκος (MM) | 469 |
| Όγκος βροχόπτωσης (M3) | 2.41E5 |
| Όγκος απωλειών (M3) | 34199.38 |
| Ενεργός Όγκος (M3) | 2.06E5 |
| Όγκος άμεσης απορροής (M3) | 2.06E5 |
| Όγκος βασικής απορροής (M3) | 45195.41 |

Βροχόπτωση και Απορροή



Υπολεκάνη: EL0420FR4054

Έκταση (KM2) : 4.72

Κατάνη : J2

Μέθοδος Απωλειών: SCS

| | |
|--------------------------------|-------|
| Ποσοστό αδιαπέρατης επιφάνειας | 0 |
| Αριθμός Καμπύλης Απορροής-CN | 80.61 |
| Αρχικές Απώλειες | 12.22 |

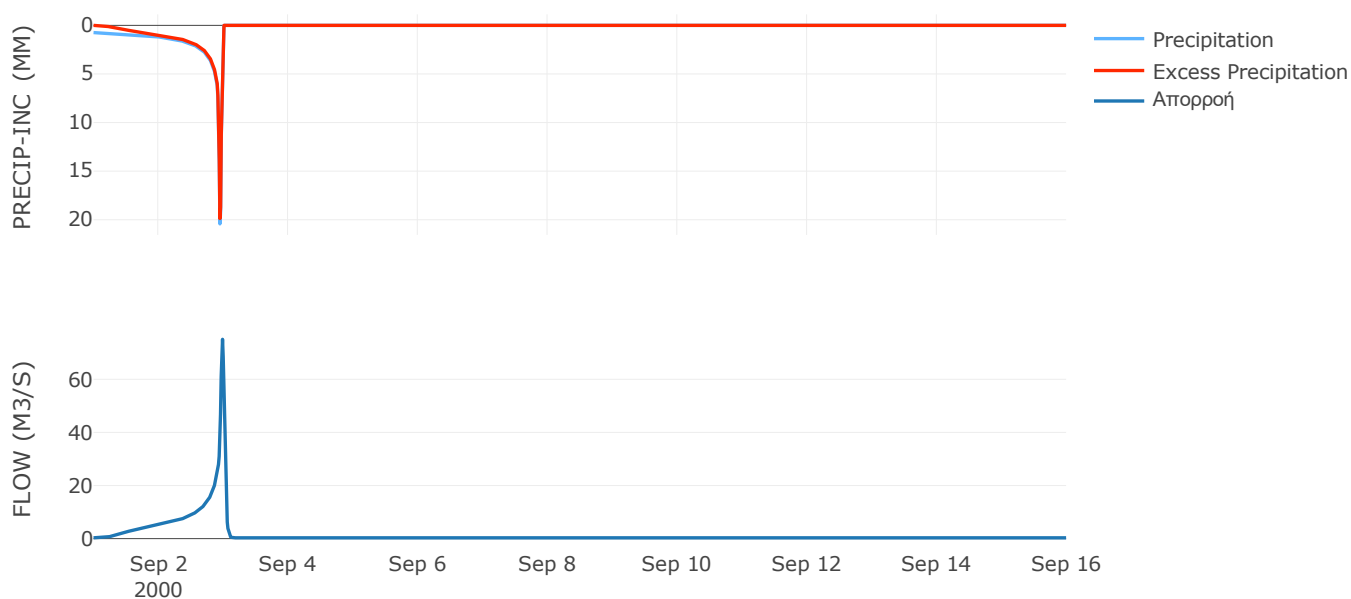
Μέθοδος
Μετασχηματισμού: SCS

| | |
|------------------|-------|
| Χρόνος Υστέρησης | 39.96 |
|------------------|-------|

Αποτελέσματα:
EL0420FR4054

| | |
|-----------------------------|------------------|
| Παροχή αιχμής (M3/S) | 75.08 |
| Χρονική στιγμή αιχμής | 02Sep2000, 23:45 |
| Όγκος (MM) | 399.31 |
| Όγκος βροχόπτωσης (M3) | 1.79E6 |
| Όγκος απωλειών (M3) | 3.05E5 |
| Ενεργός Όγκος (M3) | 1.49E6 |
| Όγκος άμεσης απορροής (M3) | 1.49E6 |
| Όγκος βασικής απορροής (M3) | 3.97E5 |

Βροχόπτωση και Απορροή



Υπολεκάνη: EL0420FR4055

Έκταση (KM2) : 10.12

Κατάντη : Diversion - 1

Μέθοδος Απωλειών: SCS

| | |
|--------------------------------|-------|
| Ποσοστό αδιαπέρατης επιφάνειας | 4.1 |
| Αριθμός Καμπύλης Απορροής-CN | 72.62 |
| Αρχικές Απώλειες | 19.15 |

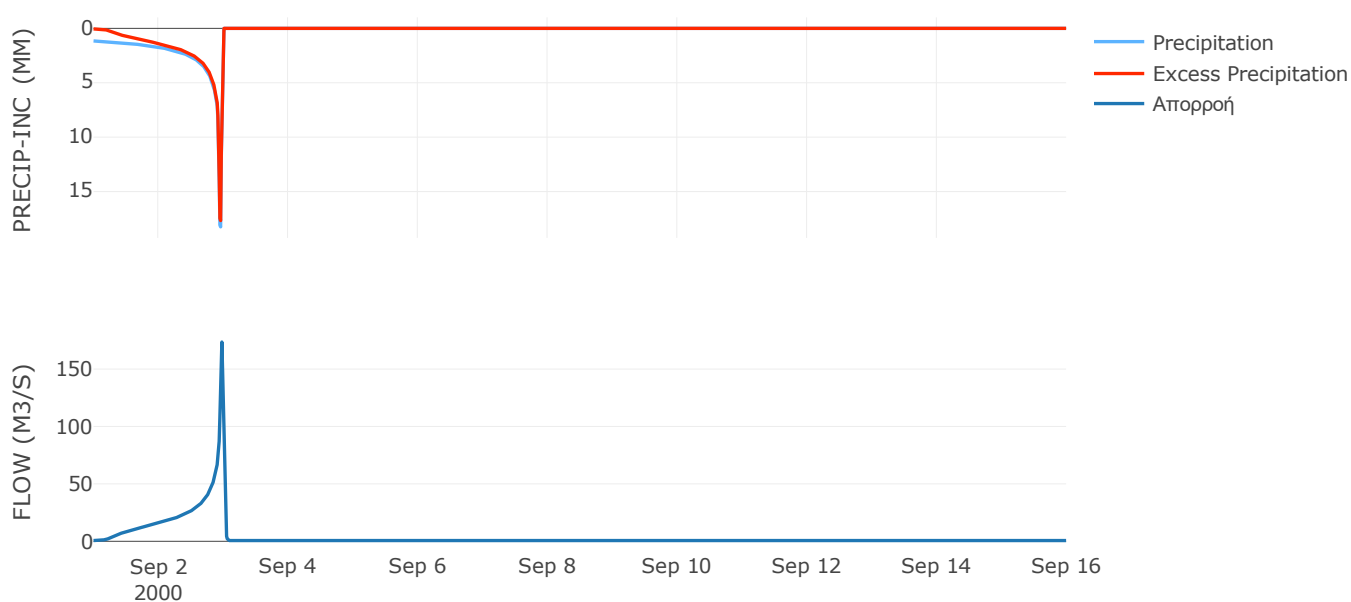
Μέθοδος
Μετασχηματισμού: SCS

| | |
|------------------|-------|
| Χρόνος Υστέρησης | 22.73 |
|------------------|-------|

Αποτελέσματα:
EL0420FR4055

| | |
|-----------------------------|------------------|
| Παροχή αιχμής (M3/S) | 173.54 |
| Χρονική στιγμή αιχμής | 02Sep2000, 23:30 |
| Όγκος (MM) | 477.55 |
| Όγκος βροχόπτωσης (M3) | 4.94E6 |
| Όγκος απωλειών (M3) | 9.58E5 |
| Ενεργός Όγκος (M3) | 3.98E6 |
| Όγκος άμεσης απορροής (M3) | 3.98E6 |
| Όγκος βασικής απορροής (M3) | 8.53E5 |

Βροχόπτωση και Απορροή



Υπολεκάνη: EL0420FR4056

Έκταση (KM2) : 13.8

Κατάντη : J5

Μέθοδος Απωλειών: SCS

| | |
|--------------------------------|------|
| Ποσοστό αδιαπέρατης επιφάνειας | 0 |
| Αριθμός Καμπύλης Απορροής-CN | 80.5 |
| Αρχικές Απώλειες | 12.3 |

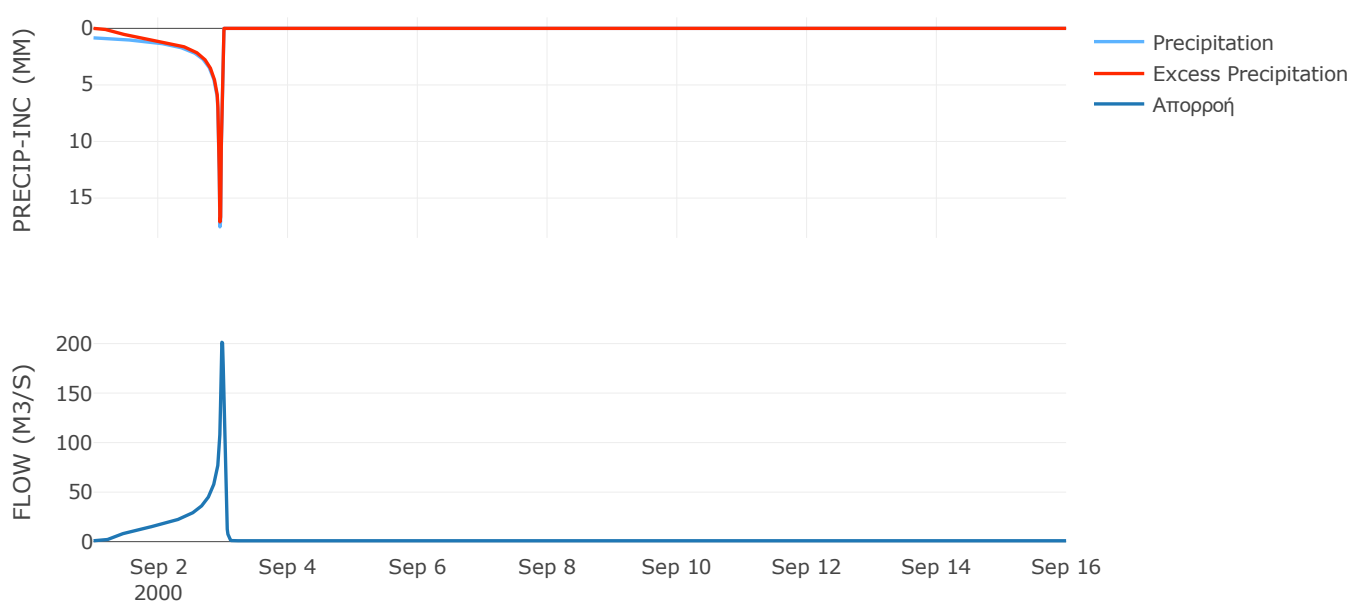
Μέθοδος
Μετασχηματισμού: SCS

| | |
|------------------|-------|
| Χρόνος Υστέρησης | 35.99 |
|------------------|-------|

Αποτελέσματα:
EL0420FR4056

| | |
|-----------------------------|------------------|
| Παροχή αιχμής (M3/S) | 201.34 |
| Χρονική στιγμή αιχμής | 02Sep2000, 23:30 |
| Όγκος (MM) | 409.11 |
| Όγκος βροχόπτωσης (M3) | 5.38E6 |
| Όγκος απωλειών (M3) | 9E5 |
| Ενεργός Όγκος (M3) | 4.48E6 |
| Όγκος άμεσης απορροής (M3) | 4.48E6 |
| Όγκος βασικής απορροής (M3) | 1.16E6 |

Βροχόπτωση και Απορροή



8.2 Δεδομένα και Υδρογραφήματα Σχεδιασμού Κλάδων Υδρογραφικού Δικτύου

Κλάδος: R21

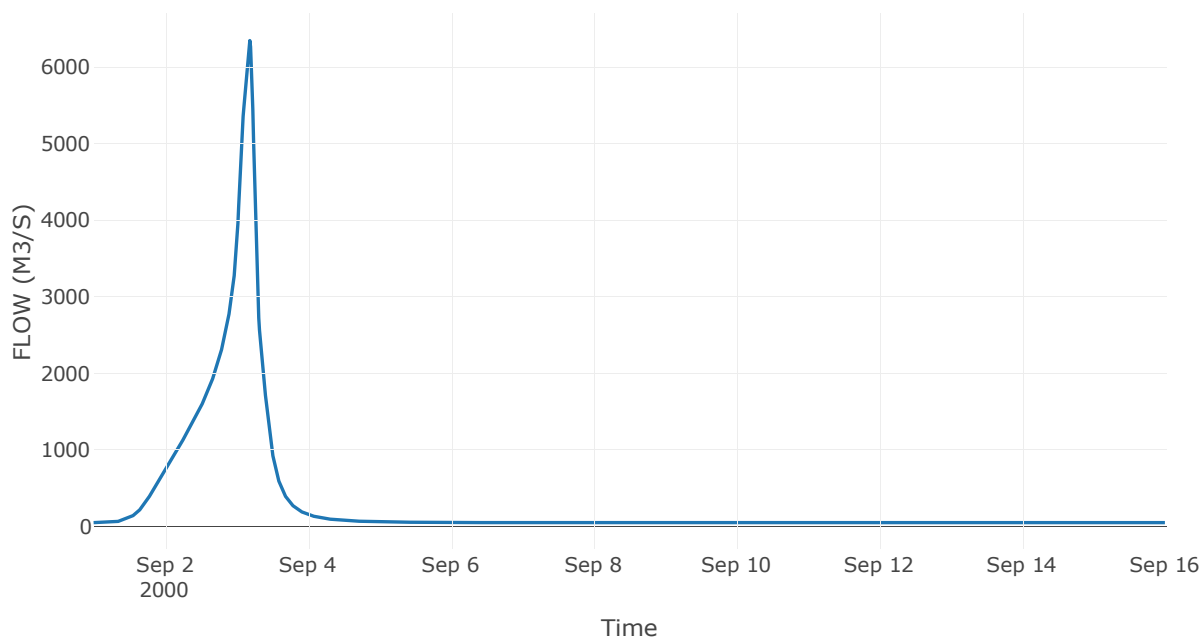
Κατάντη : J1

| | |
|----------------------|-----------------|
| Μέθοδος Διόδευσης | Muskingum |
| Αρχική Μεταβλητή | Combined Inflow |
| Χρόνος Ροής K | 1.46 |
| Συντελεστής βάρους x | 0.2 |
| Πλήθος Υποκλάδων | 7 |

Αποτελέσματα: R21

| | |
|------------------------------|------------------|
| Παροχή Αιχμής(M3/S) | 6347.19 |
| Χρονική στιγμή αιχμής | 03Sep2000, 04:30 |
| Όγκος(MM) | 375.02 |
| Παροχή Αιχμής Εισόδου (M3/S) | 6484.23 |
| Όγκος Εισροής(M3) | 4.02E8 |

Απορροή



Κλάδος: R32

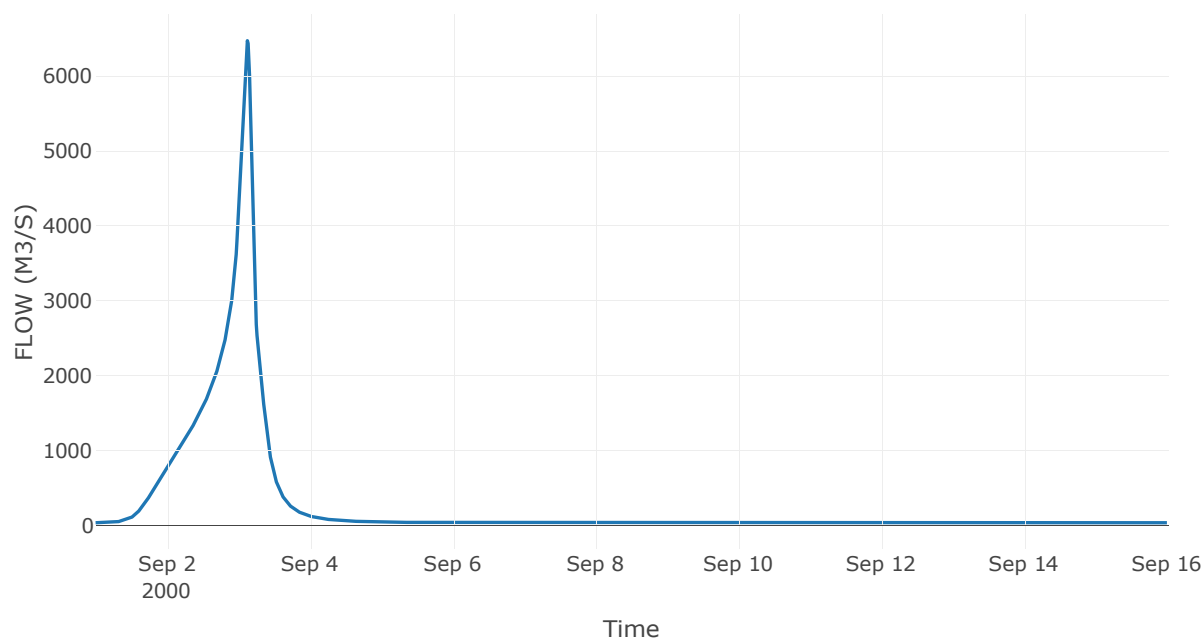
Κατάντη : J2

| | |
|----------------------|-----------------|
| Μέθοδος Διόδευσης | Muskingum |
| Αρχική Μεταβλητή | Combined Inflow |
| Χρόνος Ροής K | 0.35 |
| Συντελεστής βάρους x | 0.2 |
| Πλήθος Υποκλάδων | 2 |

Αποτελέσματα: R32

| | |
|------------------------------|------------------|
| Παροχή Αιχμής(M3/S) | 6468.87 |
| Χρονική στιγμή αιχμής | 03Sep2000, 03:00 |
| Όγκος(MM) | 373.43 |
| Παροχή Αιχμής Εισόδου (M3/S) | 6501.79 |
| Όγκος Εισροής(M3) | 3.82E8 |

Απορροή



Κλάδος: R43

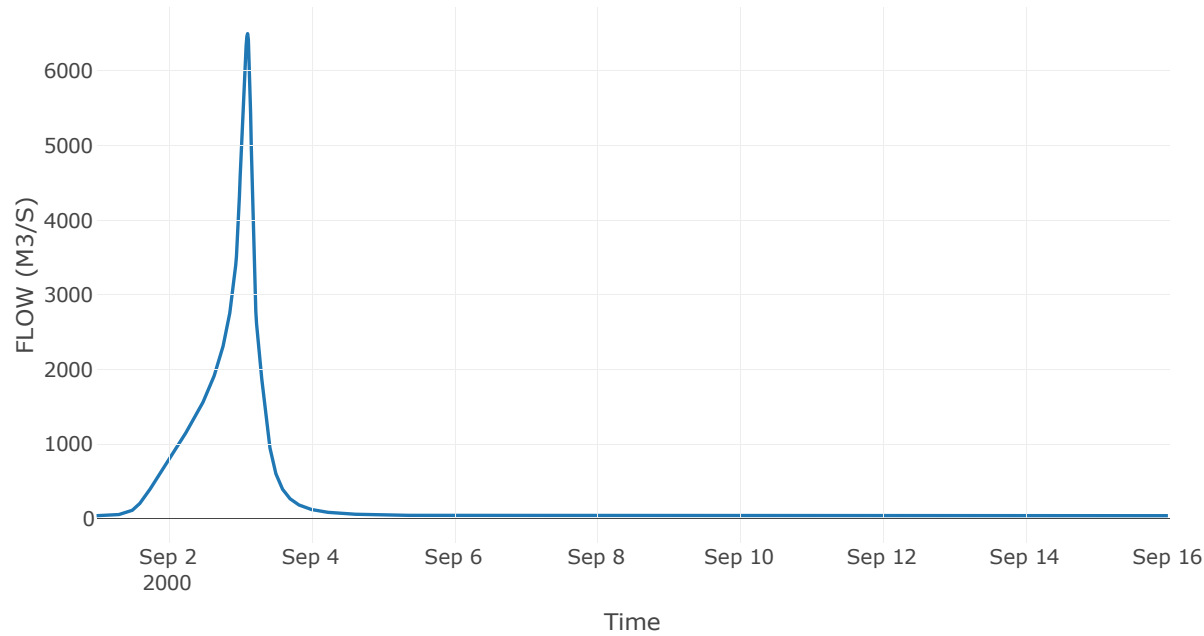
Κατάντη : J3

| | |
|----------------------|-----------------|
| Μέθοδος Διόδευσης | Muskingum |
| Αρχική Μεταβλητή | Combined Inflow |
| Χρόνος Ροής K | 0.44 |
| Συντελεστής βάρους x | 0.2 |
| Πλήθος Υποκλάδων | 2 |

Αποτελέσματα: R43

| | |
|------------------------------|------------------|
| Παροχή Αιχμής(M3/S) | 6497.92 |
| Χρονική στιγμή αιχμής | 03Sep2000, 02:45 |
| Όγκος(MM) | 373.49 |
| Παροχή Αιχμής Εισόδου (M3/S) | 6548.81 |
| Όγκος Εισροής(M3) | 3.75E8 |

Απορροή



Κλάδος: R54

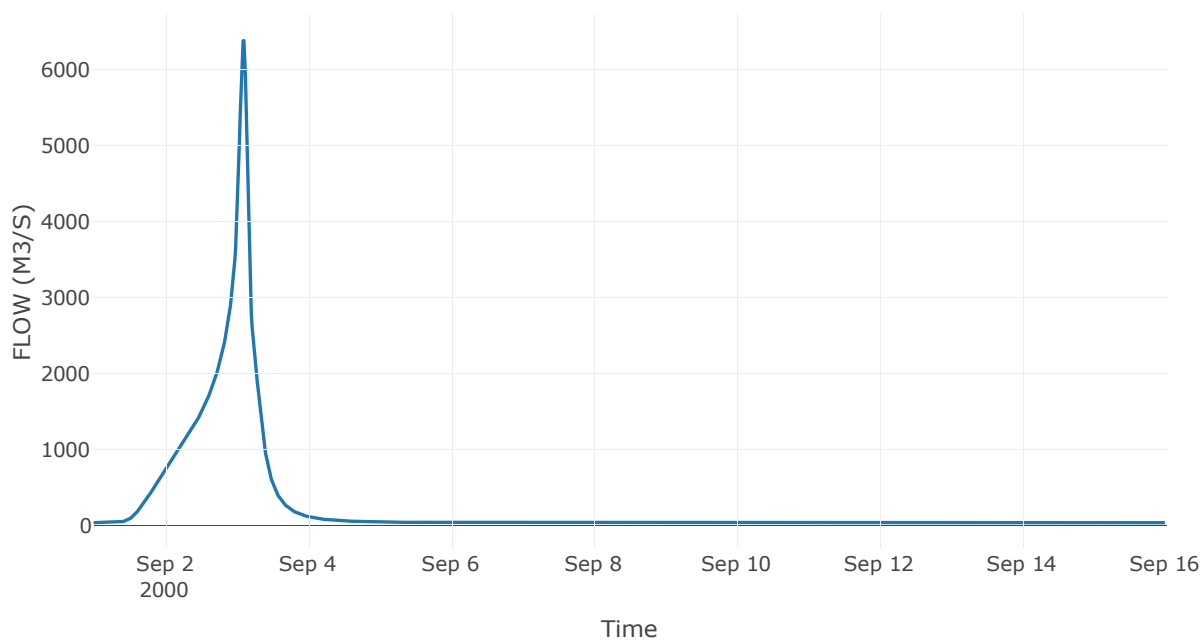
Κατάντη : J4

| | |
|----------------------|-----------------|
| Μέθοδος Διόδευσης | Muskingum |
| Αρχική Μεταβλητή | Combined Inflow |
| Χρόνος Ροής K | 1.04 |
| Συντελεστής βάρους x | 0.2 |
| Πλήθος Υποκλάδων | 5 |

Αποτελέσματα: R54

| | |
|------------------------------|------------------|
| Παροχή Αιχμής(M3/S) | 6385.61 |
| Χρονική στιγμή αιχμής | 03Sep2000, 02:30 |
| Όγκος(MM) | 371.01 |
| Παροχή Αιχμής Εισόδου (M3/S) | 6542.5 |
| Όγκος Εισροής(M3) | 3.44E8 |

Απορροή



Κλάδος: R65

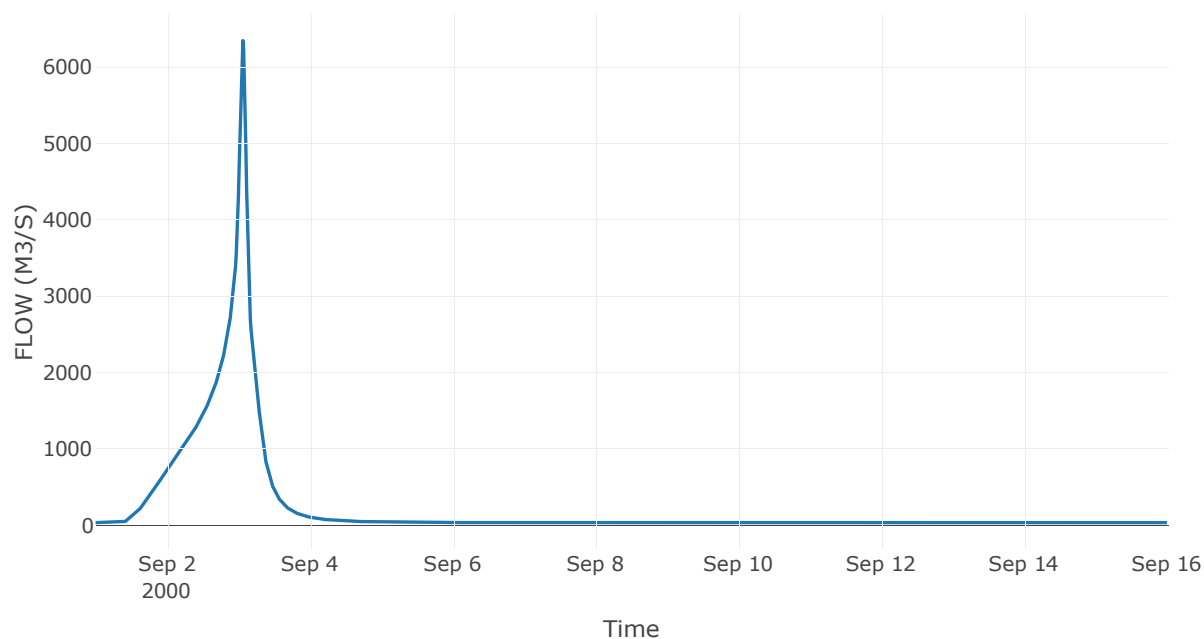
Κατάντη : J5

| | |
|----------------------|-----------------|
| Μέθοδος Διόδευσης | Muskingum |
| Αρχική Μεταβλητή | Combined Inflow |
| Χρόνος Ροής K | 0.8 |
| Συντελεστής βάρους x | 0.2 |
| Πλήθος Υποκλάδων | 4 |

Αποτελέσματα: R65

| | |
|------------------------------|------------------|
| Παροχή Αιχμής(M3/S) | 6347.93 |
| Χρονική στιγμή αιχμής | 03Sep2000, 01:30 |
| Όγκος(MM) | 370.44 |
| Παροχή Αιχμής Εισόδου (M3/S) | 6509.48 |
| Όγκος Εισροής(M3) | 3.2E8 |

Απορροή



Κλάδος: R76

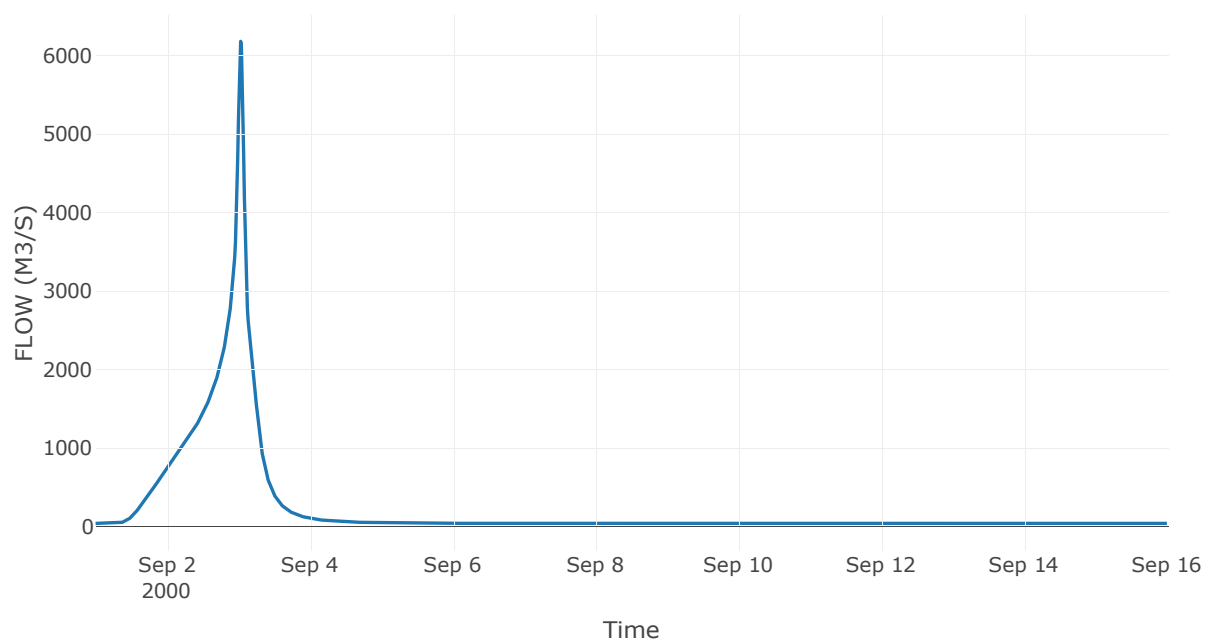
Κατάντη : J6

| | |
|-------------------|------------------|
| Μέθοδος Διόδευσης | Χρόνος Υστέρησης |
| Αρχική Μεταβλητή | Combined Inflow |
| Χρόνος Υστέρησης | 3.68 |

Αποτελέσματα: R76

| | |
|------------------------------|------------------|
| Παροχή Αιχμής(M3/S) | 6180.44 |
| Χρονική στιγμή αιχμής | 03Sep2000, 00:45 |
| Όγκος(MM) | 372.11 |
| Παροχή Αιχμής Εισόδου (M3/S) | 6203.9 |
| Όγκος Εισροής(M3) | 3.04E8 |

Απορροή



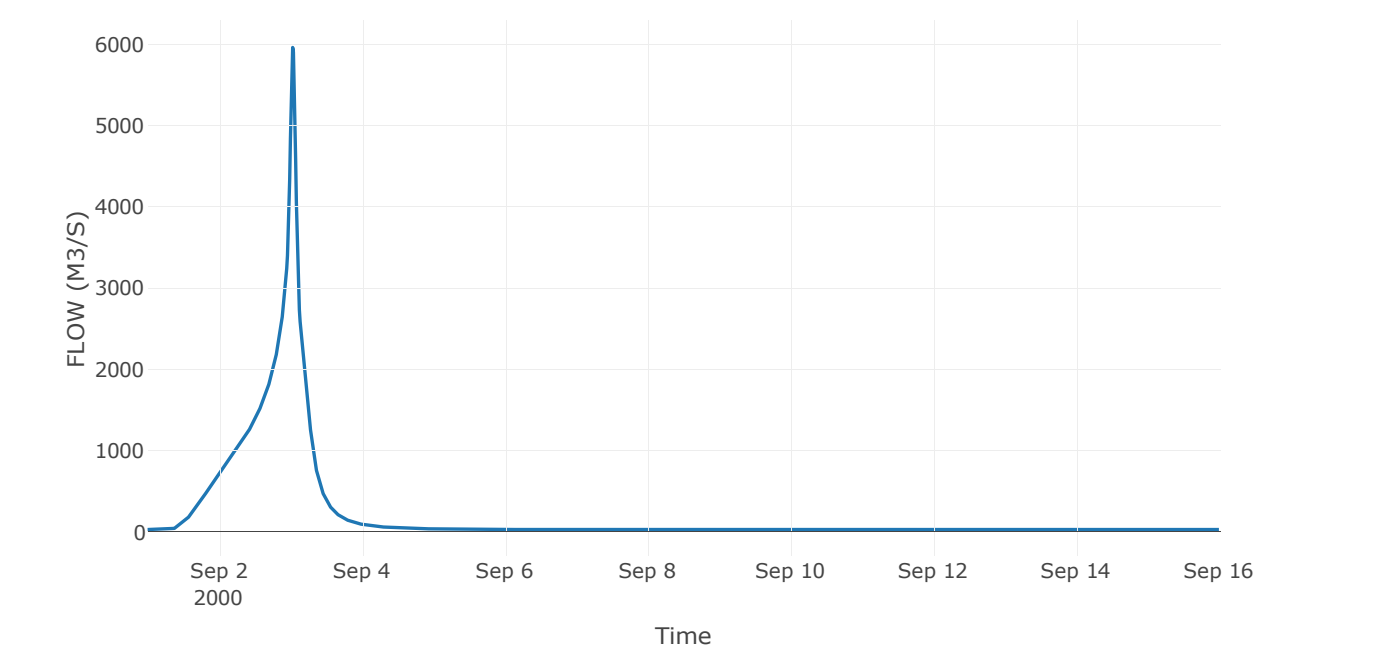
Κλάδος: R87

Κατάντη : J7

| | |
|----------------------|-----------------|
| Μέθοδος Διόδευσης | Muskingum |
| Αρχική Μεταβλητή | Combined Inflow |
| Χρόνος Ροής K | 0.5 |
| Συντελεστής βάρους x | 0.2 |
| Πλήθος Υποκλάδων | 2 |

| | |
|------------------------------|------------------|
| Αποτελέσματα: R87 | |
| Παροχή Αιχμής(M3/S) | 5960.57 |
| Χρονική στιγμή αιχμής | 03Sep2000, 00:45 |
| Όγκος(MM) | 374.09 |
| Παροχή Αιχμής Εισόδου (M3/S) | 6124.12 |
| Όγκος Εισροής(M3) | 2.93E8 |

Απορροή



Κλάδος: R98

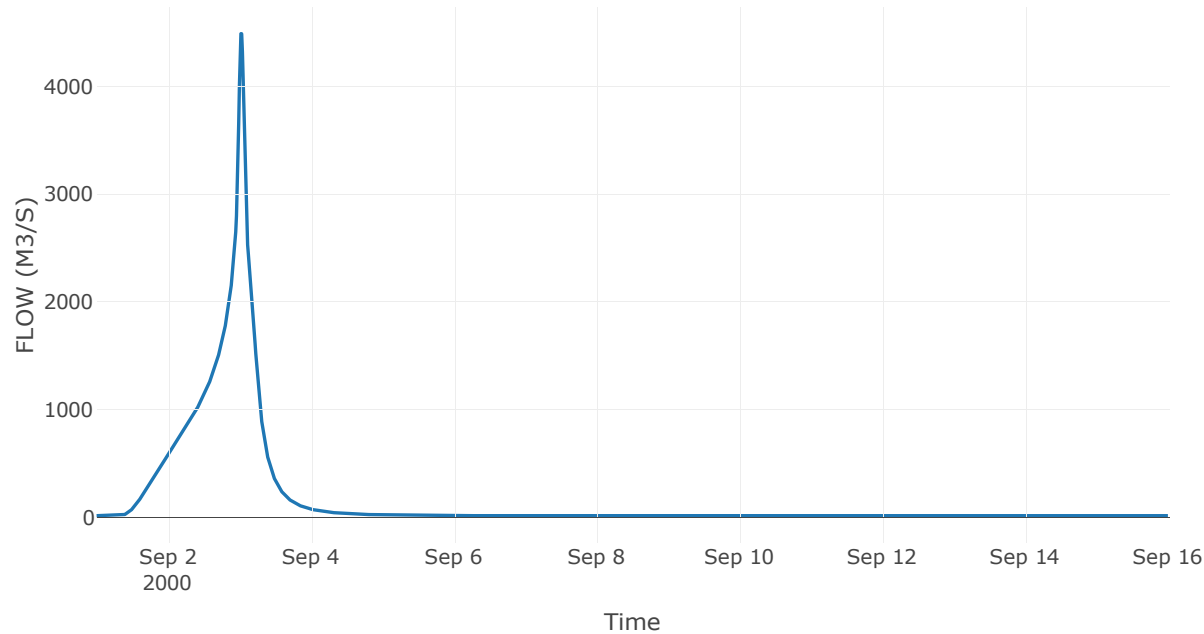
Κατάντη : J8

| | |
|----------------------|-----------------|
| Μέθοδος Διόδευσης | Muskingum |
| Αρχική Μεταβλητή | Combined Inflow |
| Χρόνος Ροής K | 0.26 |
| Συντελεστής βάρους x | 0.2 |
| Πλήθος Υποκλάδων | 1 |

Αποτελέσματα: R98

| | |
|------------------------------|------------------|
| Παροχή Αιχμής(M3/S) | 4490.13 |
| Χρονική στιγμή αιχμής | 03Sep2000, 00:30 |
| Όγκος(MM) | 375.74 |
| Παροχή Αιχμής Εισόδου (M3/S) | 4549.69 |
| Όγκος Εισροής(M3) | 2.36E8 |

Απορροή



Κλάδος: R109

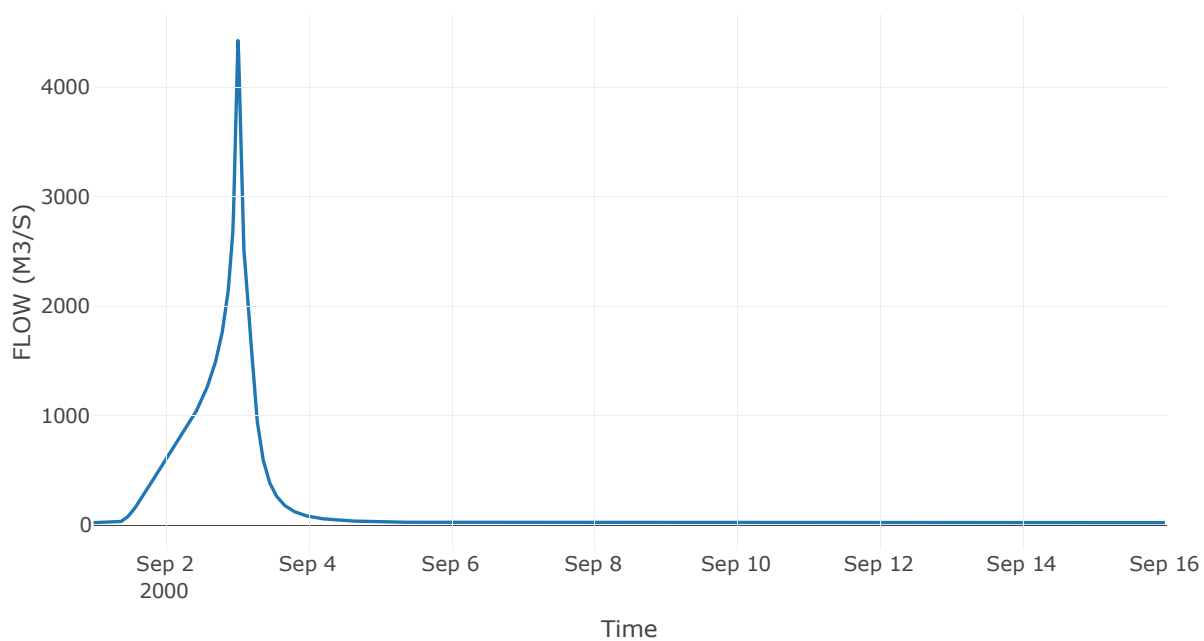
Κατάντη : J9

| | |
|----------------------|-----------------|
| Μέθοδος Διόδευσης | Muskingum |
| Αρχική Μεταβλητή | Combined Inflow |
| Χρόνος Ροής K | 0.21 |
| Συντελεστής βάρους x | 0.2 |
| Πλήθος Υποκλάδων | 1 |

Αποτελέσματα: R109

| | |
|------------------------------|------------------|
| Παροχή Αιχμής(M3/S) | 4427.51 |
| Χρονική στιγμή αιχμής | 03Sep2000, 00:30 |
| Όγκος(MM) | 376.71 |
| Παροχή Αιχμής Εισόδου (M3/S) | 4474.89 |
| Όγκος Εισροής(M3) | 2.3E8 |

Απορροή



Κλάδος: R1110

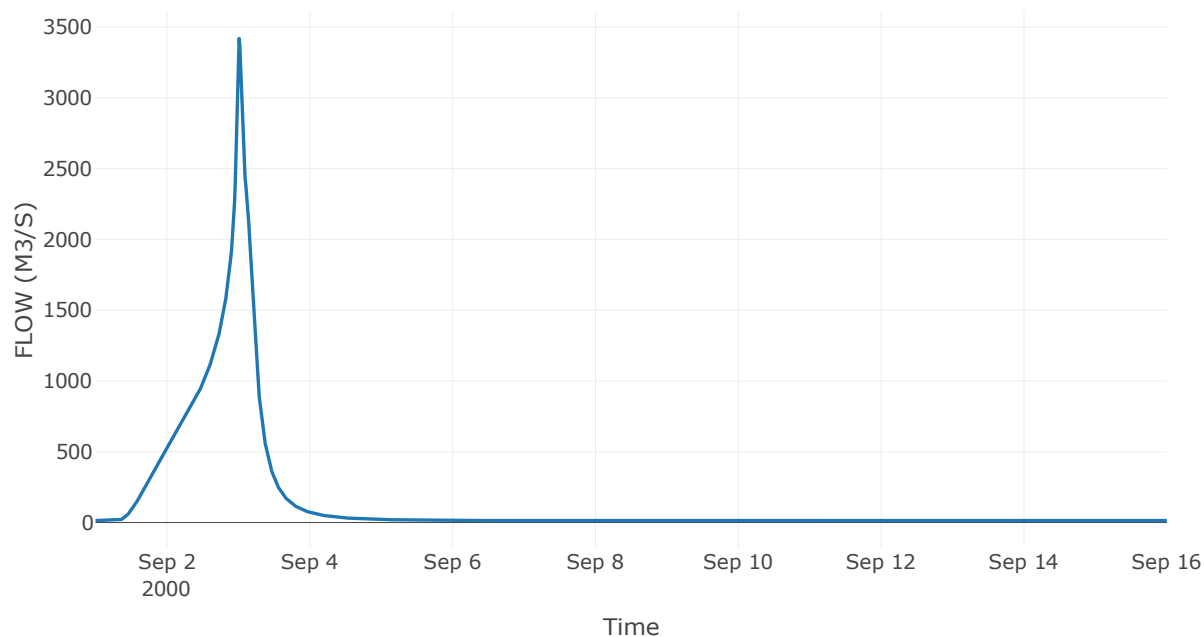
Κατάντη : J10

| | |
|----------------------|-----------------|
| Μέθοδος Διόδευσης | Muskingum |
| Αρχική Μεταβλητή | Combined Inflow |
| Χρόνος Ροής K | 0.18 |
| Συντελεστής βάρους x | 0.2 |
| Πλήθος Υποκλάδων | 1 |

Αποτελέσματα: R1110

| | |
|------------------------------|------------------|
| Παροχή Αιχμής(M3/S) | 3419.34 |
| Χρονική στιγμή αιχμής | 03Sep2000, 00:15 |
| Όγκος(MM) | 387.38 |
| Παροχή Αιχμής Εισόδου (M3/S) | 3432.58 |
| Όγκος Εισροής(M3) | 1.98E8 |

Απορροή



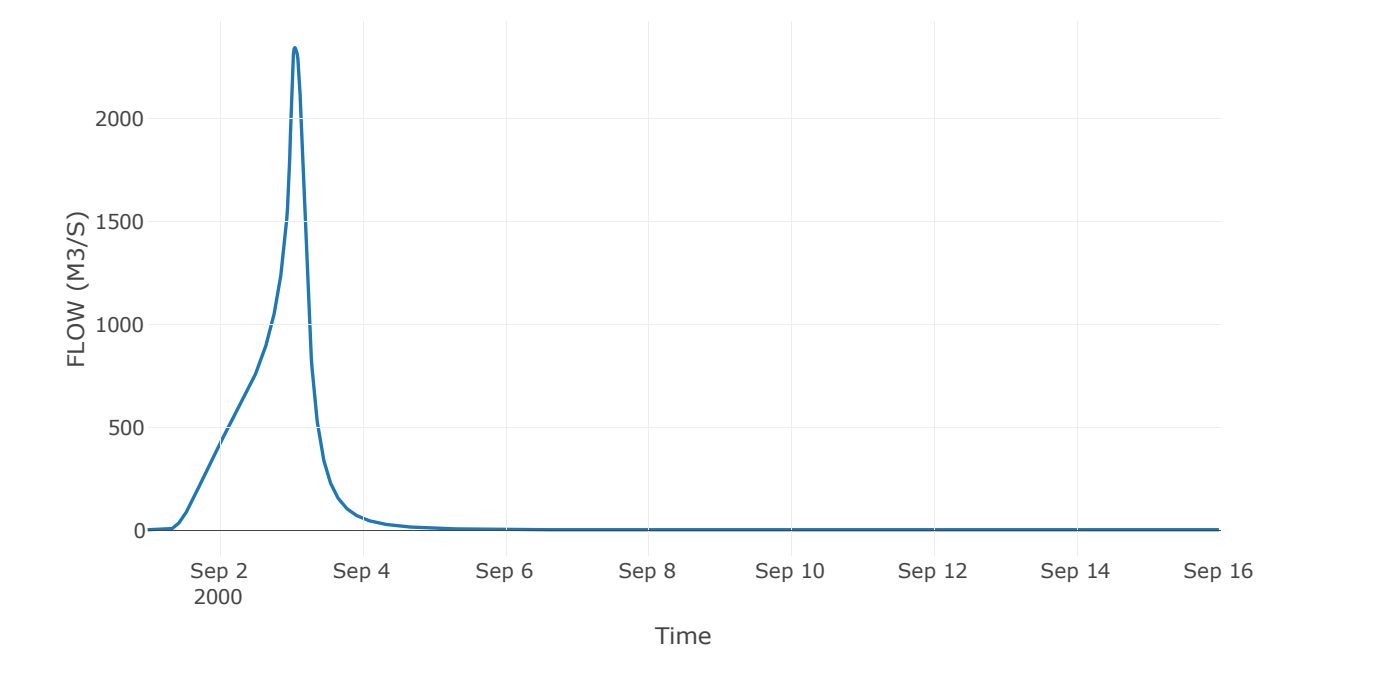
Κλάδος: R1211

Κατάντη : J11

| | |
|----------------------|-----------------|
| Μέθοδος Διόδευσης | Muskingum |
| Αρχική Μεταβλητή | Combined Inflow |
| Χρόνος Ροής K | 1 |
| Συντελεστής βάρους x | 0.2 |
| Πλήθος Υποκλάδων | 5 |

| | |
|------------------------------|------------------|
| Αποτελέσματα: R1211 | |
| Παροχή Αιχμής(M3/S) | 2344.62 |
| Χρονική στιγμή αιχμής | 03Sep2000, 01:30 |
| Όγκος(MM) | 391.35 |
| Παροχή Αιχμής Εισόδου (M3/S) | 2363.54 |
| Όγκος Εισροής(M3) | 1.52E8 |

Απορροή



Κλάδος: R1312

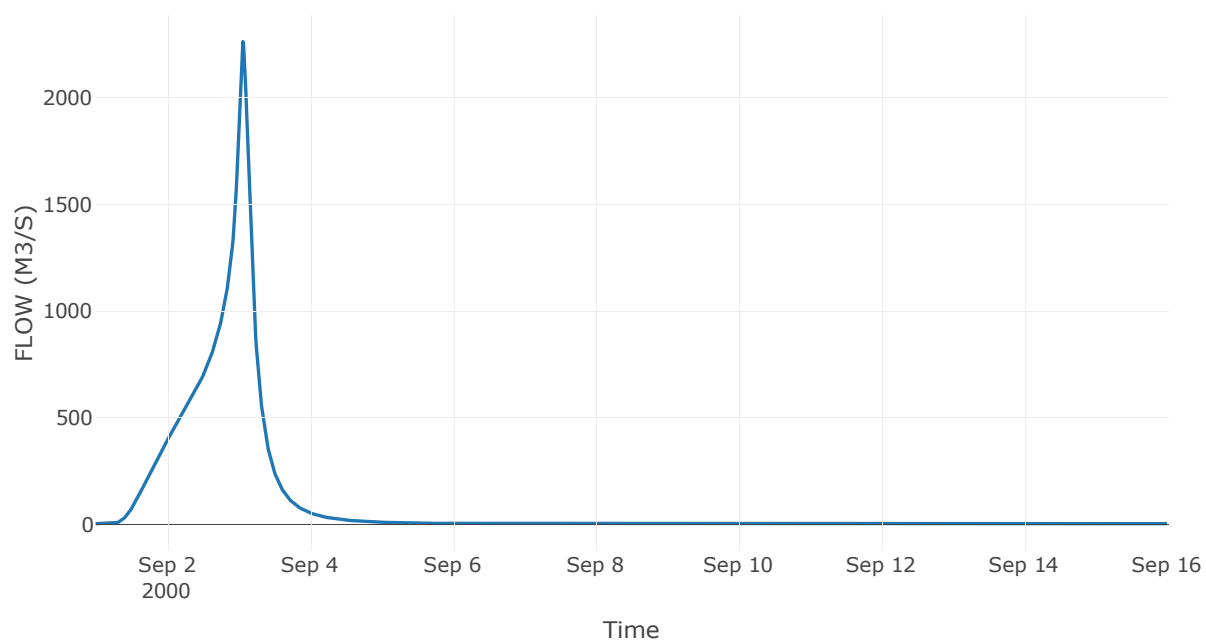
Κατάντη : J12

| | |
|-------------------|------------------|
| Μέθοδος Διόδευσης | Χρόνος Υστέρησης |
| Αρχική Μεταβλητή | Combined Inflow |
| Χρόνος Υστέρησης | 4.04 |

Αποτελέσματα: R1312

| | |
|------------------------------|------------------|
| Παροχή Αιχμής(M3/S) | 2263.06 |
| Χρονική στιγμή αιχμής | 03Sep2000, 01:30 |
| Όγκος(MM) | 384.46 |
| Παροχή Αιχμής Εισόδου (M3/S) | 2264.26 |
| Όγκος Εισροής(M3) | 1.35E8 |

Απορροή



Κλάδος: R1413

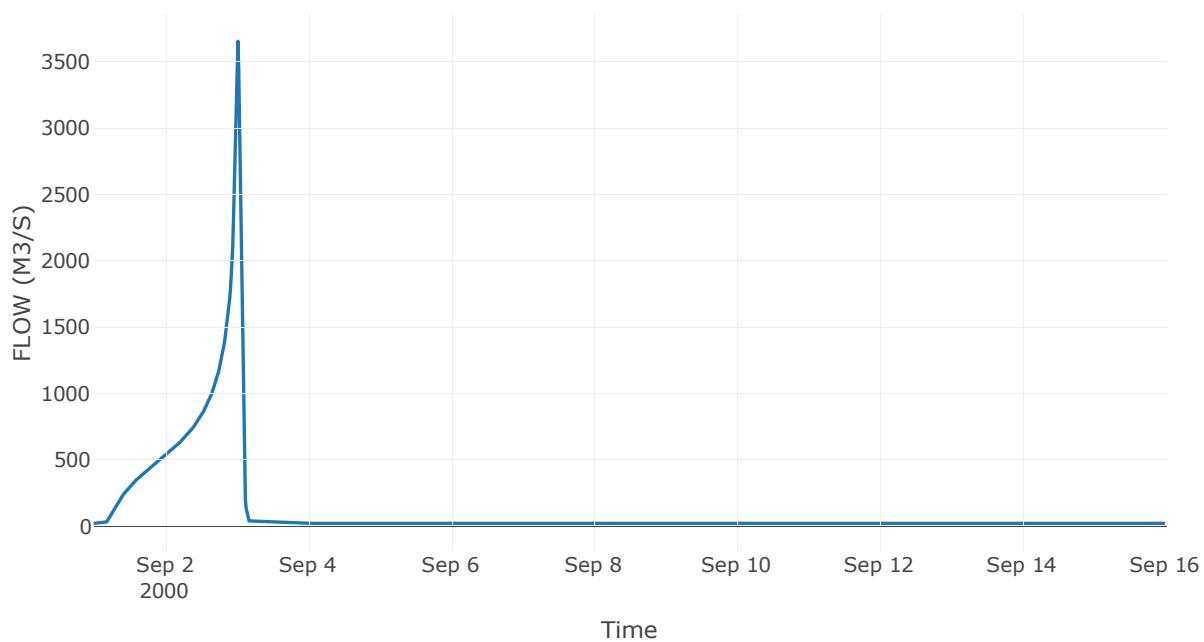
Κατάντη : Diversion - 1

| | |
|-------------------|------------------|
| Μέθοδος Διόδευσης | Χρόνος Υστέρησης |
| Αρχική Μεταβλητή | Combined Inflow |
| Χρόνος Υστέρησης | 4.25 |

Αποτελέσματα: R1413

| | |
|------------------------------|------------------|
| Παροχή Αιχμής(M3/S) | 3650.81 |
| Χρονική στιγμή αιχμής | 03Sep2000, 00:30 |
| Όγκος(MM) | 462.29 |
| Παροχή Αιχμής Εισόδου (M3/S) | 3683.11 |
| Όγκος Εισροής(M3) | 1.58E8 |

Απορροή



Κλάδος: R1514

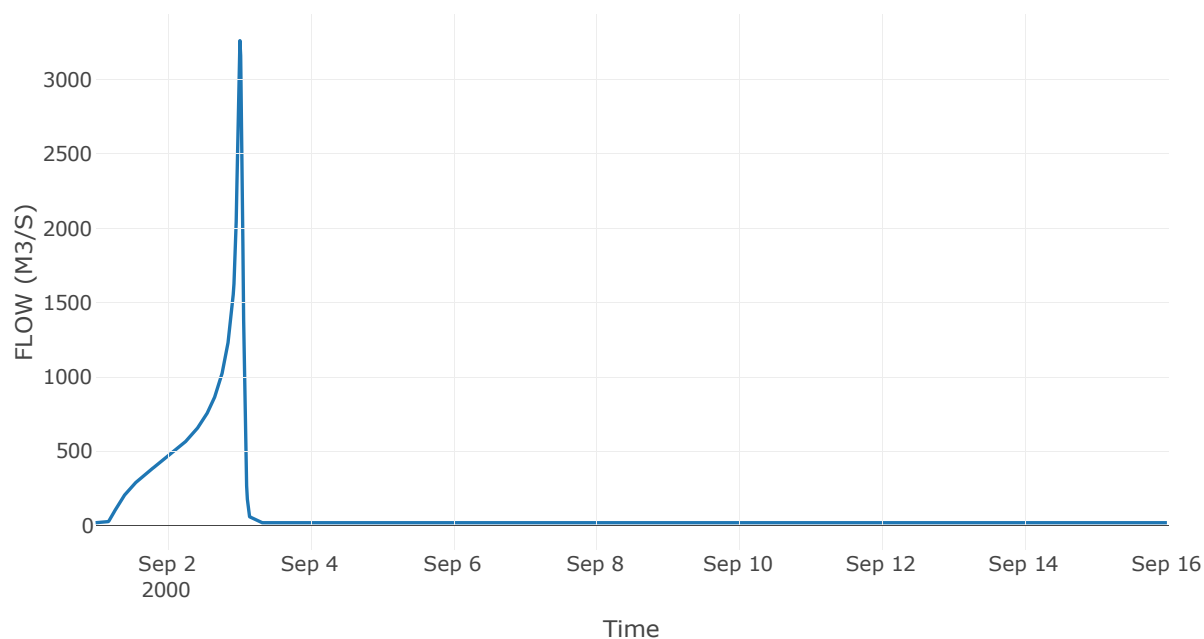
Κατάντη : J14

| | |
|----------------------|-----------------|
| Μέθοδος Διόδευσης | Muskingum |
| Αρχική Μεταβλητή | Combined Inflow |
| Χρόνος Ροής K | 0.34 |
| Συντελεστής βάρους x | 0.2 |
| Πλήθος Υποκλάδων | 2 |

Αποτελέσματα: R1514

| | |
|------------------------------|------------------|
| Παροχή Αιχμής(M3/S) | 3263.26 |
| Χρονική στιγμή αιχμής | 03Sep2000, 00:30 |
| Όγκος(MM) | 464.07 |
| Παροχή Αιχμής Εισόδου (M3/S) | 3317.97 |
| Όγκος Εισροής(M3) | 1.35E8 |

Απορροή



Κλάδος: R1615

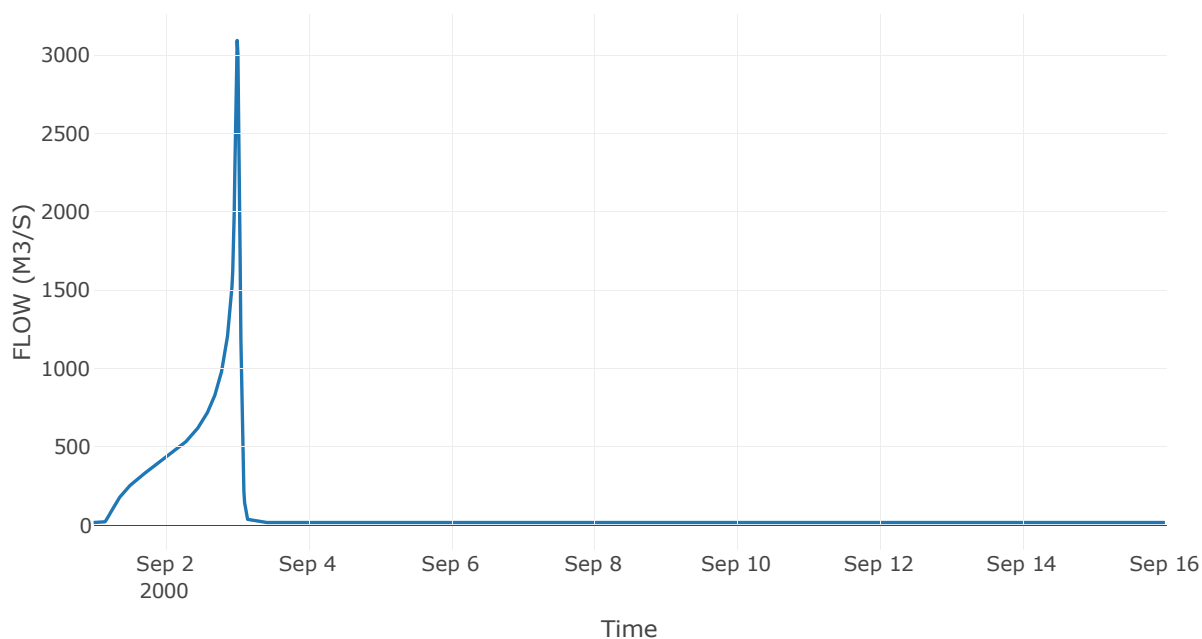
Κατάντη : J15

| | |
|----------------------|-----------------|
| Μέθοδος Διόδευσης | Muskingum |
| Αρχική Μεταβλητή | Combined Inflow |
| Χρόνος Ροής K | 0.3 |
| Συντελεστής βάρους x | 0.2 |
| Πλήθος Υποκλάδων | 1 |

Αποτελέσματα: R1615

| | |
|------------------------------|------------------|
| Παροχή Αιχμής(M3/S) | 3094.11 |
| Χρονική στιγμή αιχμής | 03Sep2000, 00:15 |
| Όγκος(MM) | 470.04 |
| Παροχή Αιχμής Εισόδου (M3/S) | 3187.9 |
| Όγκος Εισροής(M3) | 1.23E8 |

Απορροή



Κλάδος: R1716

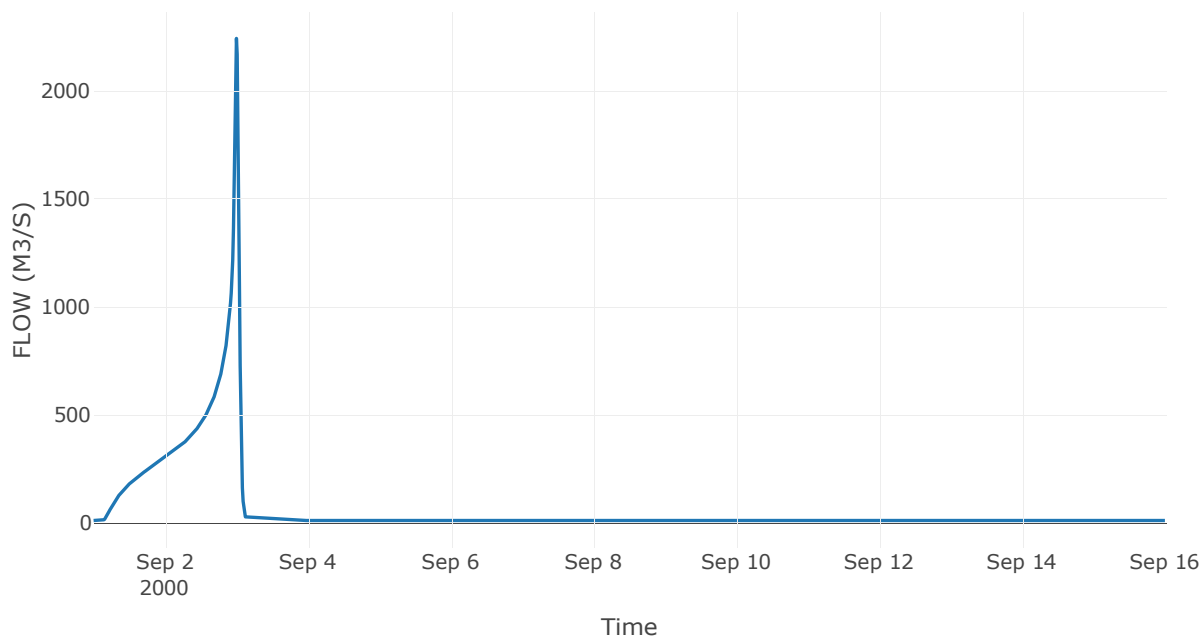
Κατάντη : J16

| | |
|-------------------|------------------|
| Μέθοδος Διόδευσης | Χρόνος Υστέρησης |
| Αρχική Μεταβλητή | Combined Inflow |
| Χρόνος Υστέρησης | 10.34 |

Αποτελέσματα: R1716

| | |
|------------------------------|------------------|
| Παροχή Αιχμής(M3/S) | 2242.64 |
| Χρονική στιγμή αιχμής | 02Sep2000, 24:00 |
| Όγκος(MM) | 473.22 |
| Παροχή Αιχμής Εισόδου (M3/S) | 2246.75 |
| Όγκος Εισροής(M3) | 8.58E7 |

Απορροή



Κλάδος: R1817

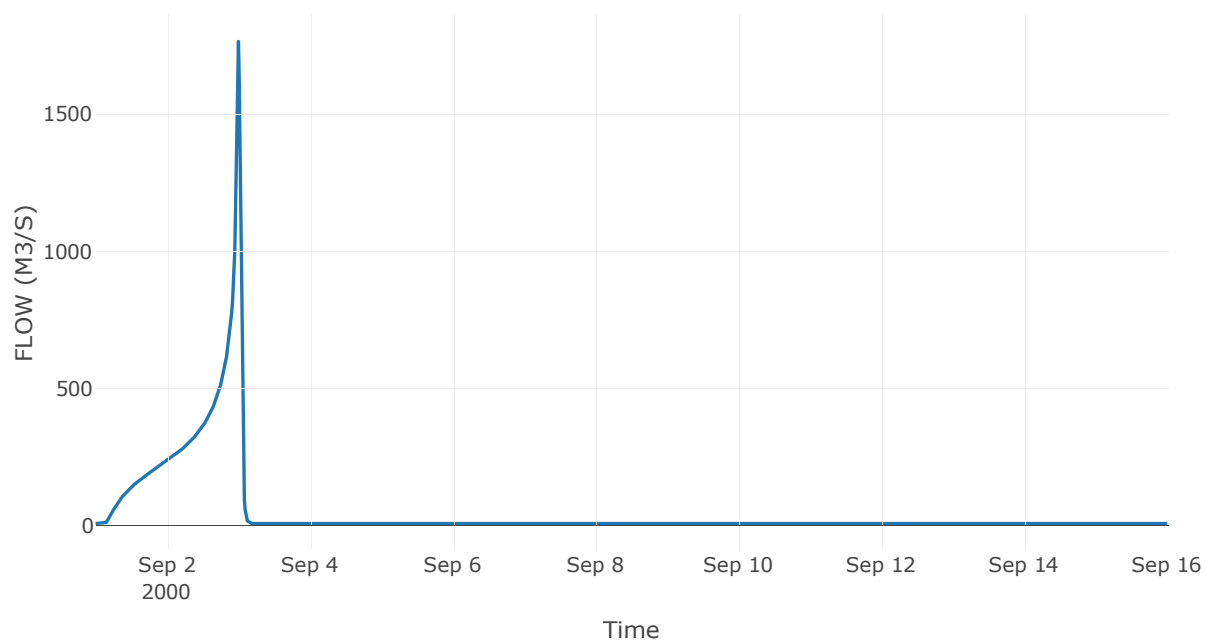
Κατάντη : J17

| | |
|-------------------|------------------|
| Μέθοδος Διόδευσης | Χρόνος Υστέρησης |
| Αρχική Μεταβλητή | Combined Inflow |
| Χρόνος Υστέρησης | 4.27 |

Αποτελέσματα: R1817

| | |
|------------------------------|------------------|
| Παροχή Αιχμής(M3/S) | 1764.85 |
| Χρονική στιγμή αιχμής | 02Sep2000, 24:00 |
| Όγκος(MM) | 471.65 |
| Παροχή Αιχμής Εισόδου (M3/S) | 1783.65 |
| Όγκος Εισροής(M3) | 6.72E7 |

Απορροή



Κλάδος: R1918

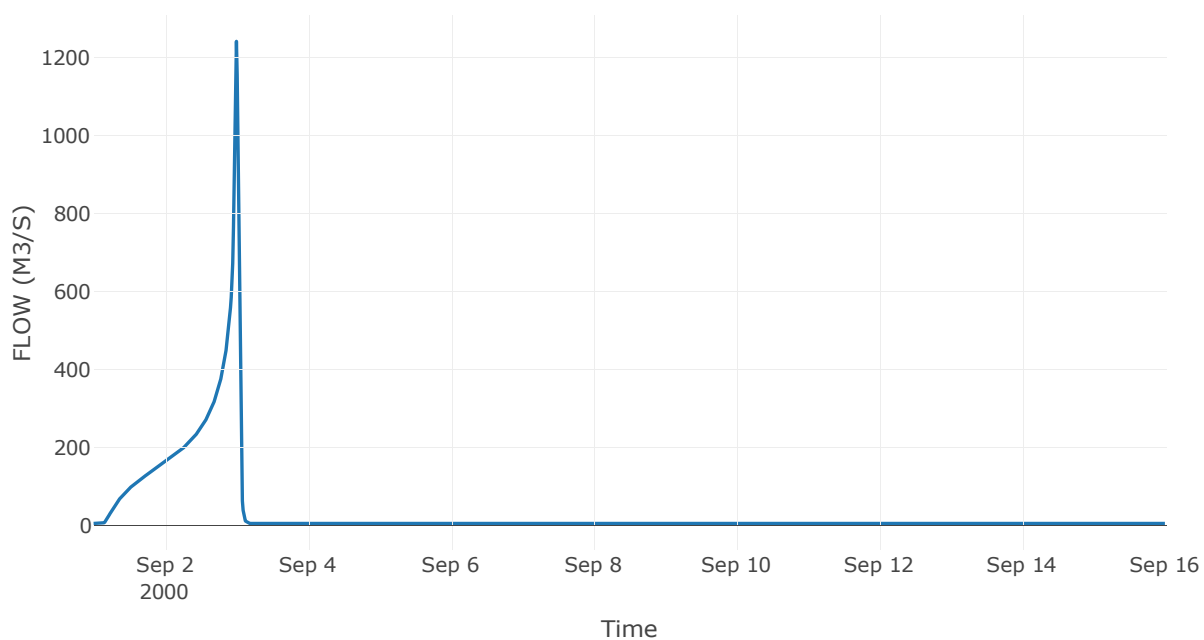
Κατάντη : J18

| | |
|-------------------|------------------|
| Μέθοδος Διόδευσης | Χρόνος Υστέρησης |
| Αρχική Μεταβλητή | Combined Inflow |
| Χρόνος Υστέρησης | 17.85 |

Αποτελέσματα: R1918

| | |
|------------------------------|------------------|
| Παροχή Αιχμής(M3/S) | 1241.11 |
| Χρονική στιγμή αιχμής | 02Sep2000, 24:00 |
| Όγκος(MM) | 471.7 |
| Παροχή Αιχμής Εισόδου (M3/S) | 1241.4 |
| Όγκος Εισροής(M3) | 4.62E7 |

Απορροή



Κλάδος: R2019

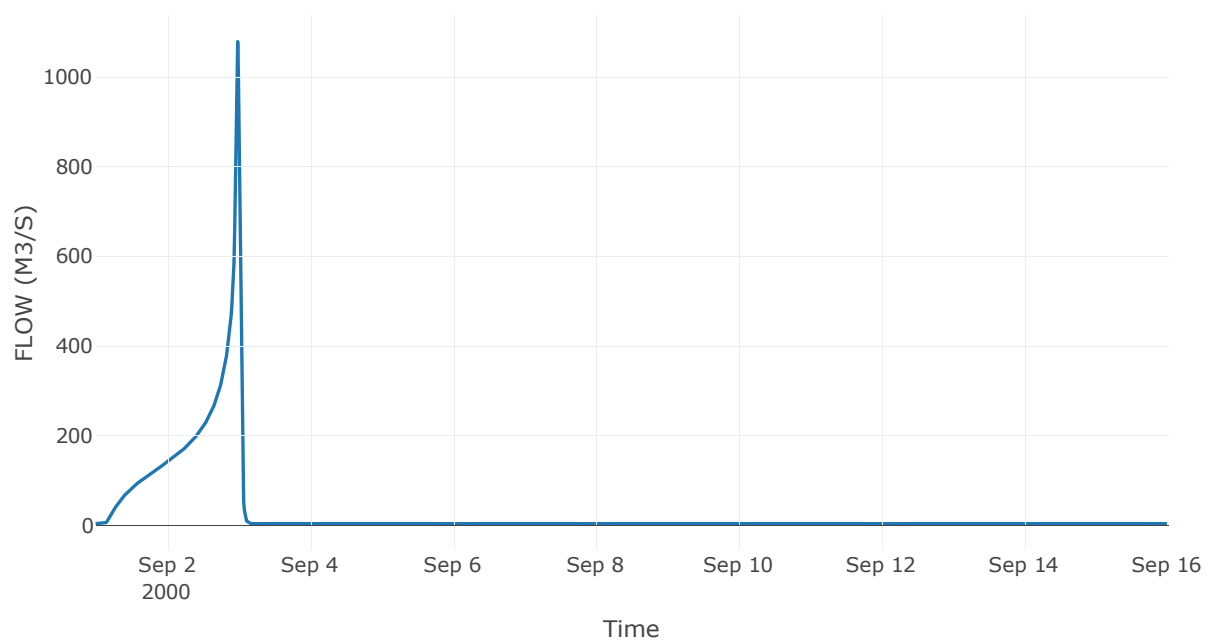
Κατάντη : J19

| | |
|-------------------|------------------|
| Μέθοδος Διόδευσης | Χρόνος Υστέρησης |
| Αρχική Μεταβλητή | Combined Inflow |
| Χρόνος Υστέρησης | 1.63 |

Αποτελέσματα: R2019

| | |
|------------------------------|------------------|
| Παροχή Αιχμής(M3/S) | 1078.32 |
| Χρονική στιγμή αιχμής | 02Sep2000, 23:45 |
| Όγκος(MM) | 471.8 |
| Παροχή Αιχμής Εισόδου (M3/S) | 1078.87 |
| Όγκος Εισροής(M3) | 4E7 |

Απορροή



Κλάδος: R2120

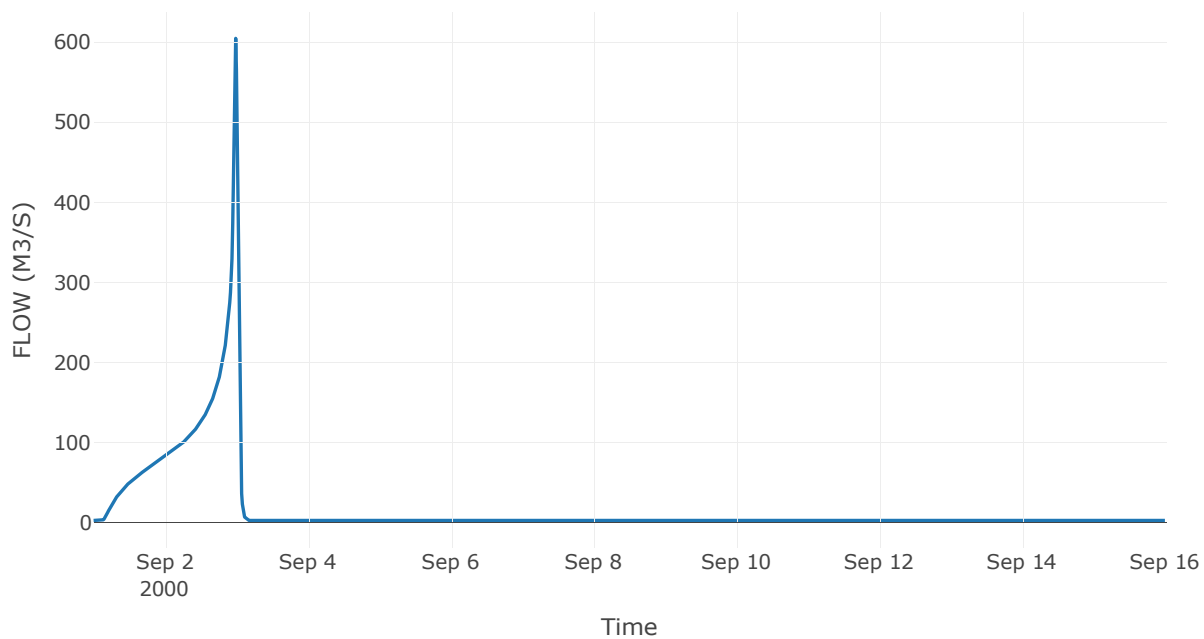
Κατάντη : J20

| | |
|-------------------|------------------|
| Μέθοδος Διόδευσης | Χρόνος Υστέρησης |
| Αρχική Μεταβλητή | Combined Inflow |
| Χρόνος Υστέρησης | 1.62 |

Αποτελέσματα: R2120

| | |
|------------------------------|------------------|
| Παροχή Αιχμής(M3/S) | 604.4 |
| Χρονική στιγμή αιχμής | 02Sep2000, 23:45 |
| Όγκος(MM) | 483.07 |
| Παροχή Αιχμής Εισόδου (M3/S) | 604.89 |
| Όγκος Εισροής(M3) | 2.29E7 |

Απορροή



Κλάδος: R2220

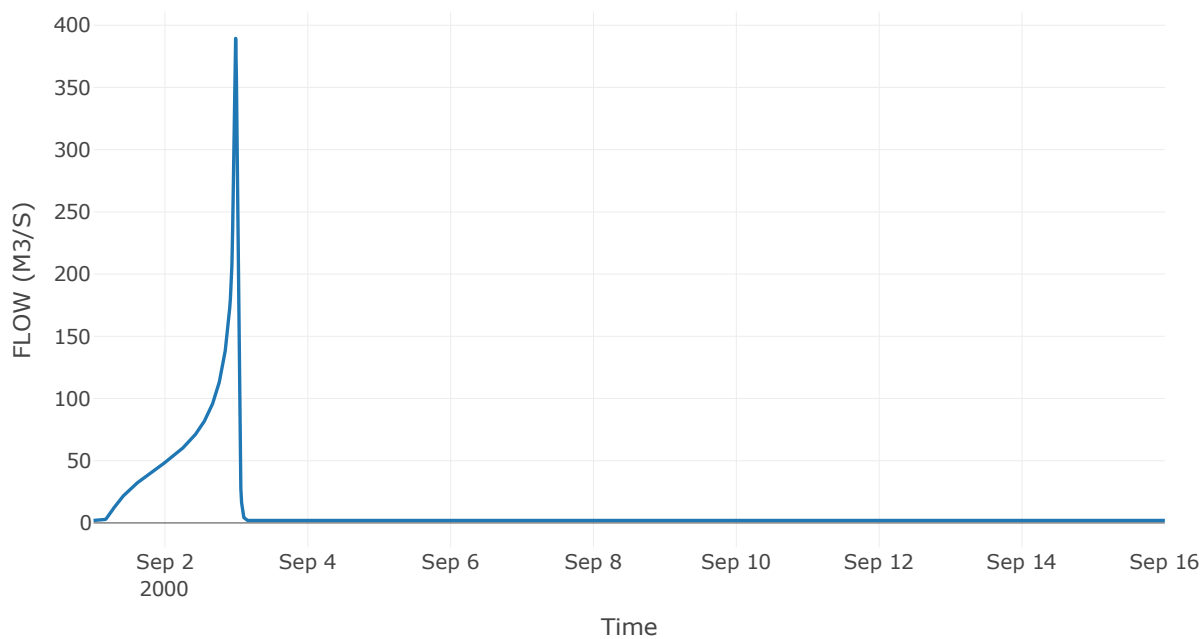
Κατάντη : J20

| | |
|-------------------|------------------|
| Μέθοδος Διόδευσης | Χρόνος Υστέρησης |
| Αρχική Μεταβλητή | Combined Inflow |
| Χρόνος Υστέρησης | 6.8 |

Αποτελέσματα: R2220

| | |
|------------------------------|------------------|
| Παροχή Αιχμής(M3/S) | 389.45 |
| Χρονική στιγμή αιχμής | 02Sep2000, 23:45 |
| Όγκος(MM) | 453.64 |
| Παροχή Αιχμής Εισόδου (M3/S) | 396.41 |
| Όγκος Εισροής(M3) | 1.39E7 |

Απορροή



Κλάδος: R2314

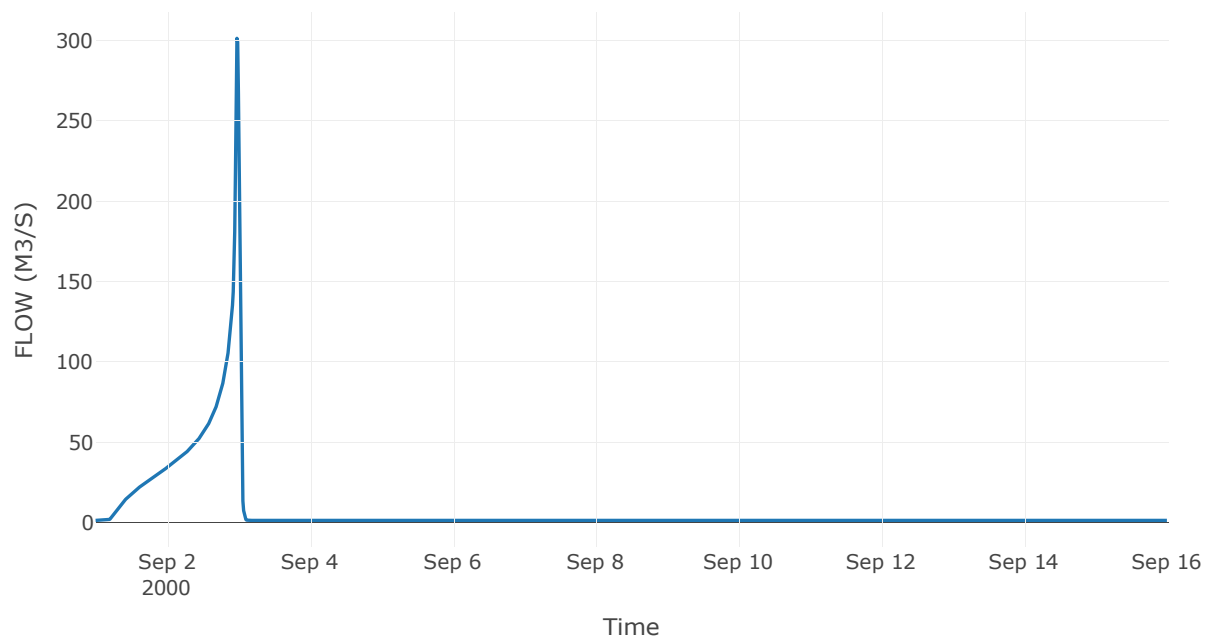
Κατάντη : J14

| | |
|-------------------|------------------|
| Μέθοδος Διόδευσης | Χρόνος Υστέρησης |
| Αρχική Μεταβλητή | Combined Inflow |
| Χρόνος Υστέρησης | 5.94 |

Αποτελέσματα: R2314

| | |
|------------------------------|------------------|
| Παροχή Αιχμής(M3/S) | 301.26 |
| Χρονική στιγμή αιχμής | 02Sep2000, 23:30 |
| Όγκος(MM) | 464.41 |
| Παροχή Αιχμής Εισόδου (M3/S) | 310.13 |
| Όγκος Εισροής(M3) | 1E7 |

Απορροή



Κλάδος: R2411

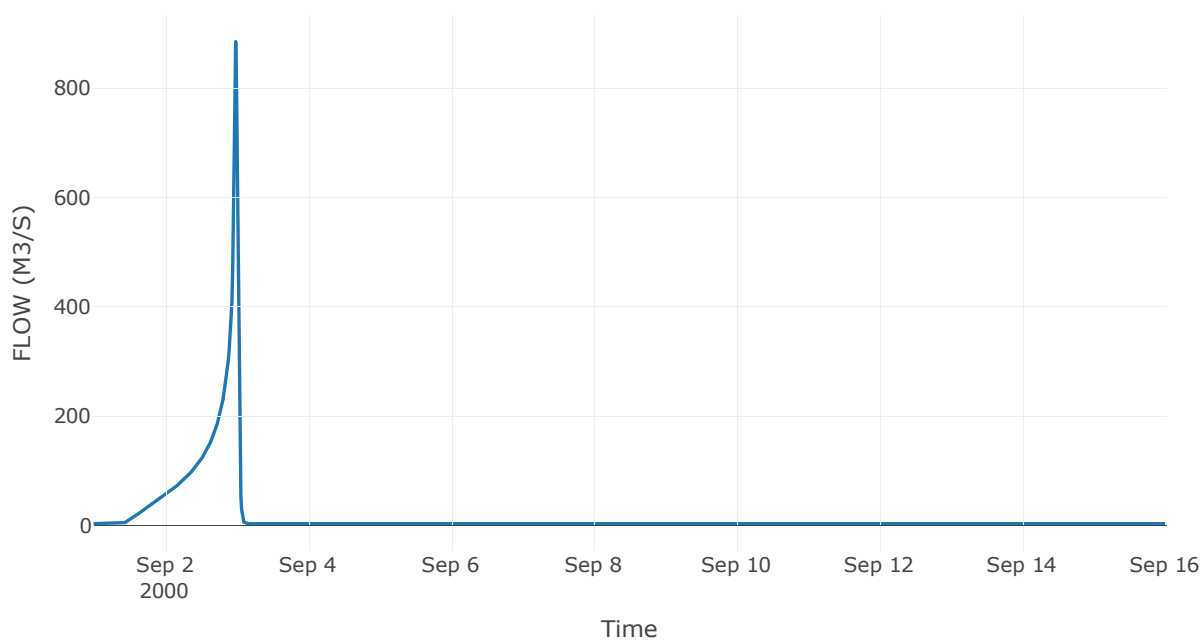
Κατάντη : J11

| | |
|-------------------|------------------|
| Μέθοδος Διόδευσης | Χρόνος Υστέρησης |
| Αρχική Μεταβλητή | Combined Inflow |
| Χρόνος Υστέρησης | 5.36 |

Αποτελέσματα: R2411

| | |
|------------------------------|------------------|
| Παροχή Αιχμής(M3/S) | 885.06 |
| Χρονική στιγμή αιχμής | 02Sep2000, 23:45 |
| Όγκος(MM) | 373.62 |
| Παροχή Αιχμής Εισόδου (M3/S) | 887.95 |
| Όγκος Εισροής(M3) | 2.33E7 |

Απορροή



Κλάδος: R2524

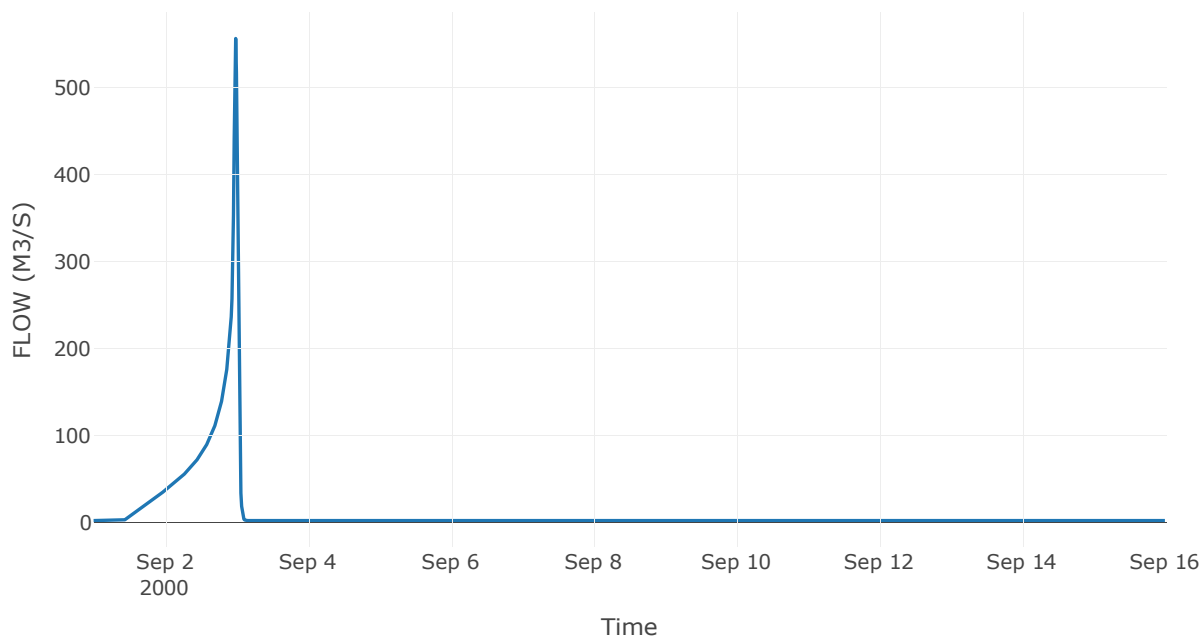
Κατάντη : J24

| | |
|-------------------|------------------|
| Μέθοδος Διόδευσης | Χρόνος Υστέρησης |
| Αρχική Μεταβλητή | Combined Inflow |
| Χρόνος Υστέρησης | 10.89 |

Αποτελέσματα: R2524

| | |
|------------------------------|------------------|
| Παροχή Αιχμής(M3/S) | 556.27 |
| Χρονική στιγμή αιχμής | 02Sep2000, 23:45 |
| Όγκος(MM) | 381.44 |
| Παροχή Αιχμής Εισόδου (M3/S) | 563.99 |
| Όγκος Εισροής(M3) | 1.48E7 |

Απορροή



Κλάδος: R2610

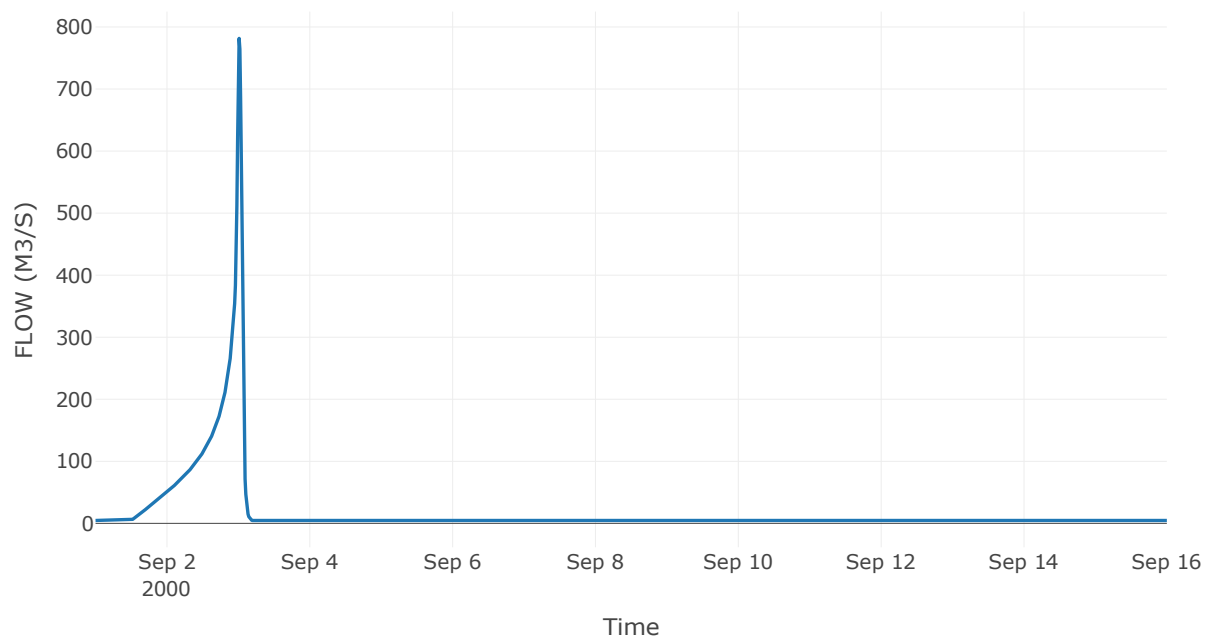
Κατάντη : J10

| | |
|-------------------|------------------|
| Μέθοδος Διόδευσης | Χρόνος Υστέρησης |
| Αρχική Μεταβλητή | Combined Inflow |
| Χρόνος Υστέρησης | 30.9 |

Αποτελέσματα: R2610

| | |
|------------------------------|------------------|
| Παροχή Αιχμής(M3/S) | 781.64 |
| Χρονική στιγμή αιχμής | 03Sep2000, 00:15 |
| Όγκος(MM) | 324.72 |
| Παροχή Αιχμής Εισόδου (M3/S) | 781.64 |
| Όγκος Εισροής(M3) | 2.34E7 |

Απορροή



Κλάδος: R278

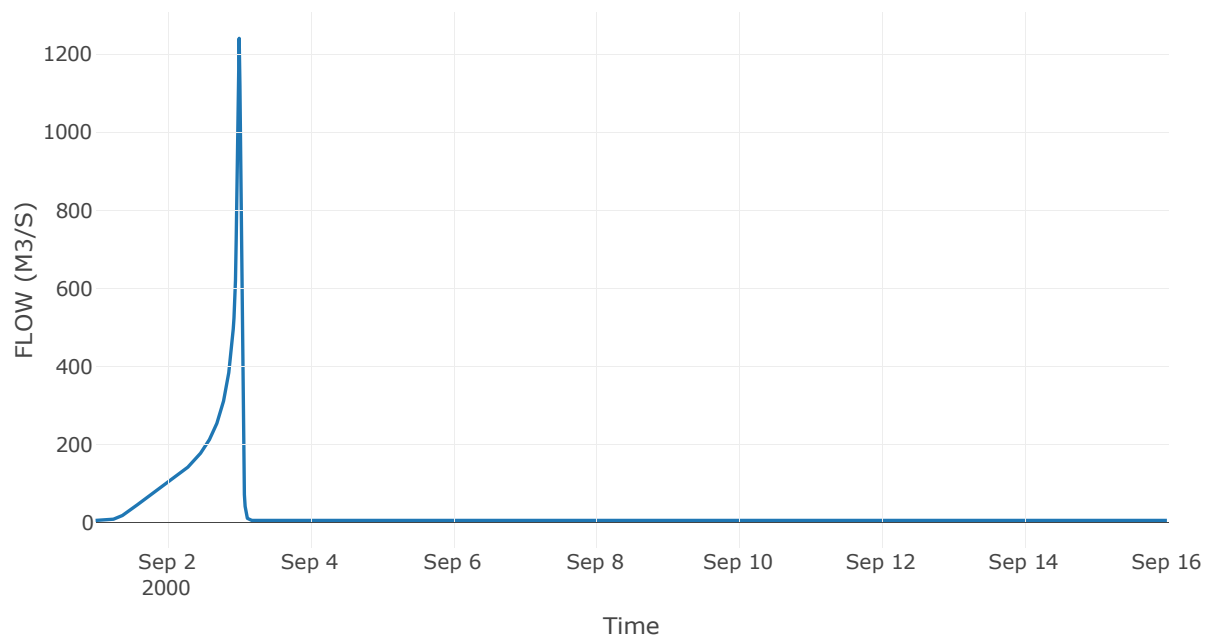
Κατάντη : J8

| | |
|-------------------|------------------|
| Μέθοδος Διόδευσης | Χρόνος Υστέρησης |
| Αρχική Μεταβλητή | Combined Inflow |
| Χρόνος Υστέρησης | 28.73 |

Αποτελέσματα: R278

| | |
|------------------------------|------------------|
| Παροχή Αιχμής(M3/S) | 1240.07 |
| Χρονική στιγμή αιχμής | 03Sep2000, 00:15 |
| Όγκος(MM) | 376.68 |
| Παροχή Αιχμής Εισόδου (M3/S) | 1254.7 |
| Όγκος Εισροής(M3) | 3.67E7 |

Απορροή



Κλάδος: R2827

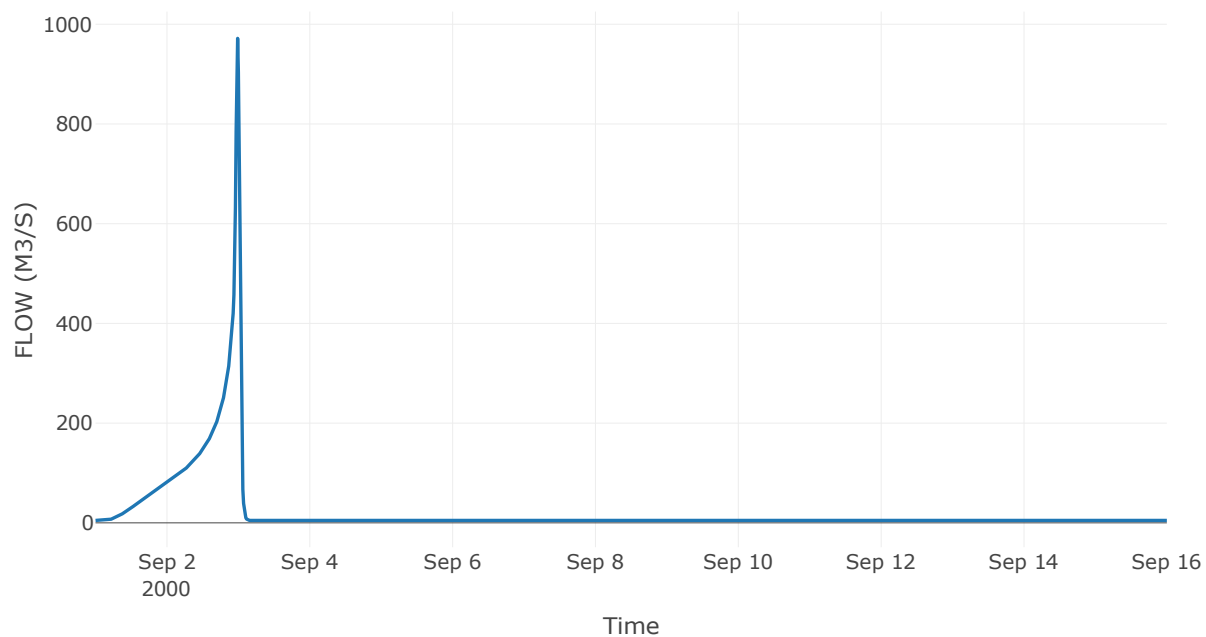
Κατάντη : J27

| | |
|-------------------|------------------|
| Μέθοδος Διόδευσης | Χρόνος Υστέρησης |
| Αρχική Μεταβλητή | Combined Inflow |
| Χρόνος Υστέρησης | 3.43 |

Αποτελέσματα: R2827

| | |
|------------------------------|------------------|
| Παροχή Αιχμής(M3/S) | 971.75 |
| Χρονική στιγμή αιχμής | 02Sep2000, 23:45 |
| Όγκος(MM) | 379.19 |
| Παροχή Αιχμής Εισόδου (M3/S) | 976.42 |
| Όγκος Εισροής(M3) | 2.84E7 |

Απορροή



Κλάδος: R2928

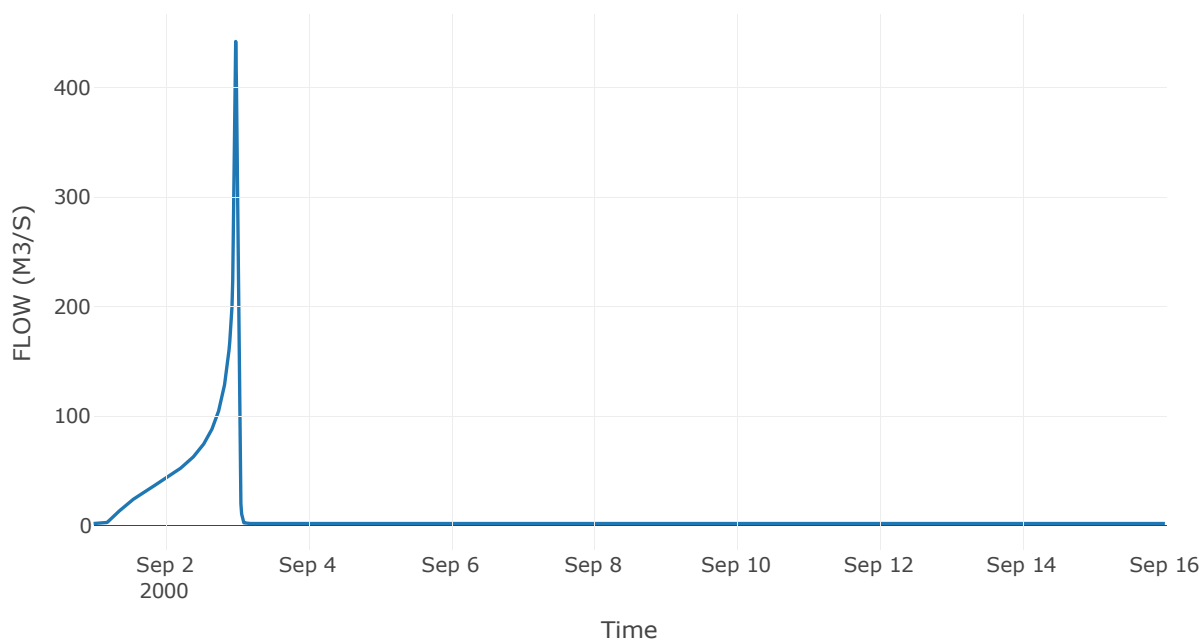
Κατάντη : J28

| | |
|-------------------|------------------|
| Μέθοδος Διόδευσης | Χρόνος Υστέρησης |
| Αρχική Μεταβλητή | Combined Inflow |
| Χρόνος Υστέρησης | 15.08 |

Αποτελέσματα: R2928

| | |
|------------------------------|------------------|
| Παροχή Αιχμής(M3/S) | 441.89 |
| Χρονική στιγμή αιχμής | 02Sep2000, 23:45 |
| Όγκος(MM) | 418.19 |
| Παροχή Αιχμής Εισόδου (M3/S) | 441.89 |
| Όγκος Εισροής(M3) | 1.33E7 |

Απορροή



Κλάδος: R302

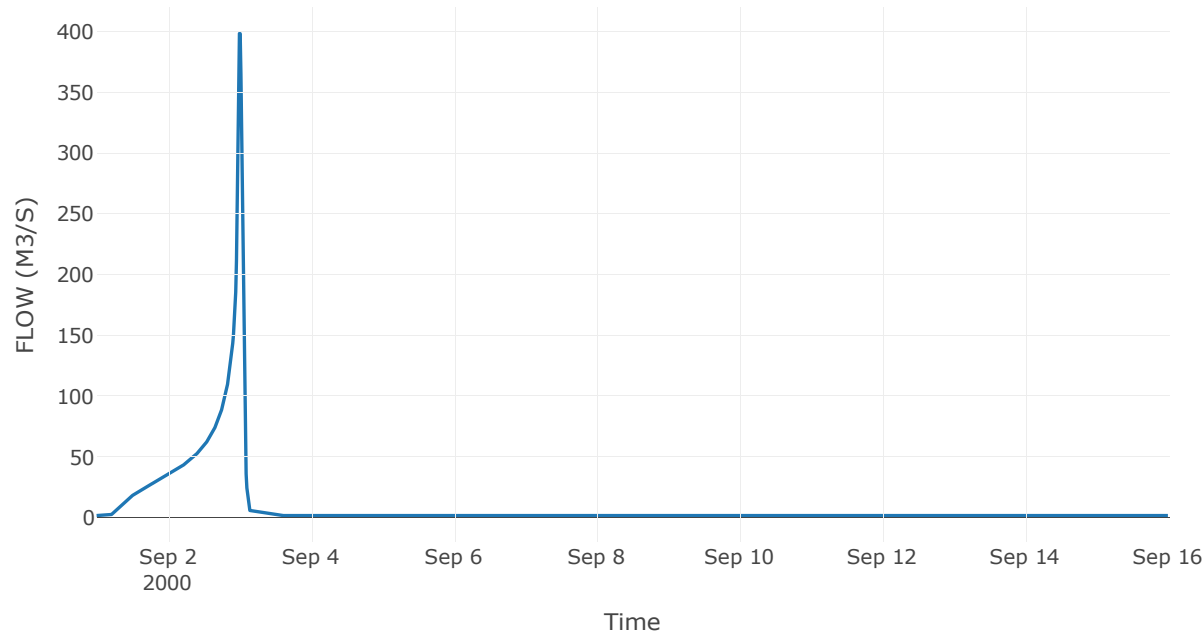
Κατάντη : J2

| | |
|----------------------|-----------------|
| Μέθοδος Διόδευσης | Muskingum |
| Αρχική Μεταβλητή | Combined Inflow |
| Χρόνος Ροής K | 0.23 |
| Συντελεστής βάρους x | 0.2 |
| Πλήθος Υποκλάδων | 1 |

Αποτελέσματα: R302

| | |
|------------------------------|------------------|
| Παροχή Αιχμής(M3/S) | 398.38 |
| Χρονική στιγμή αιχμής | 02Sep2000, 24:00 |
| Όγκος(MM) | 414.42 |
| Παροχή Αιχμής Εισόδου (M3/S) | 408.52 |
| Όγκος Εισροής(M3) | 1.24E7 |

Απορροή



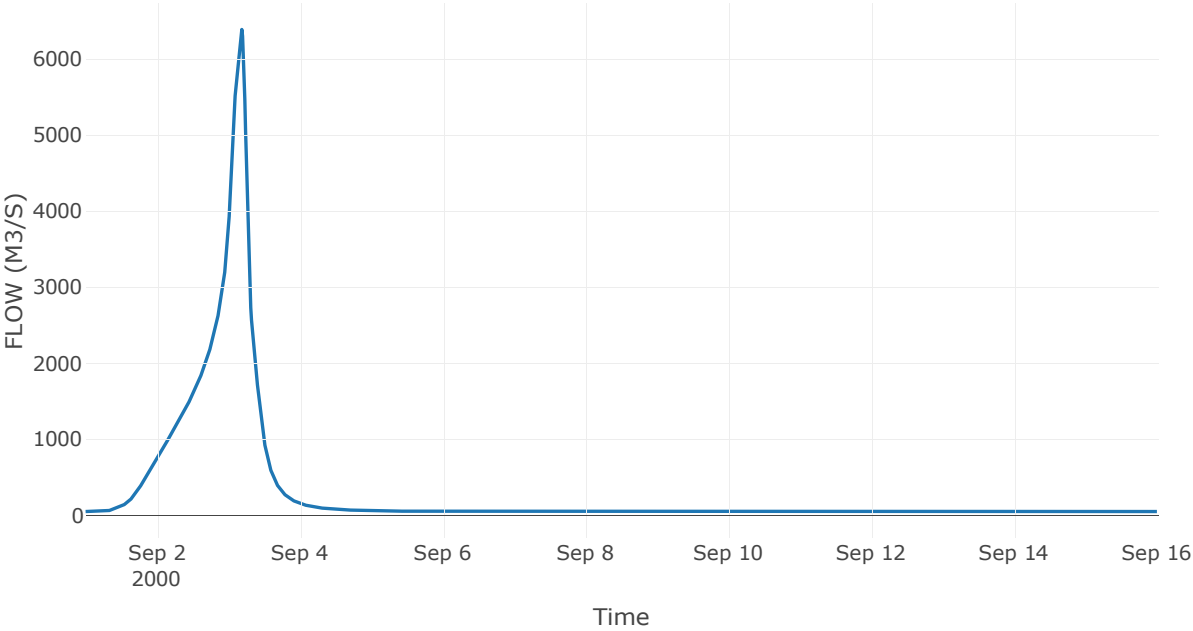
8.3 Δεδομένα και Υδρογραφήματα Σχεδιασμού Κόμβων Υδρογραφικού Δικτύου

Κόμβος εξόδου: J1

Αποτέλεσμα
τα: J1

| | |
|-----------------------|------------------|
| Παροχή αιχμής (M3/S) | 6389.52 |
| Χρονική στιγμή αιχμής | 03Sep2000, 04:30 |
| Όγκος (MM) | 374.59 |

Απορροή



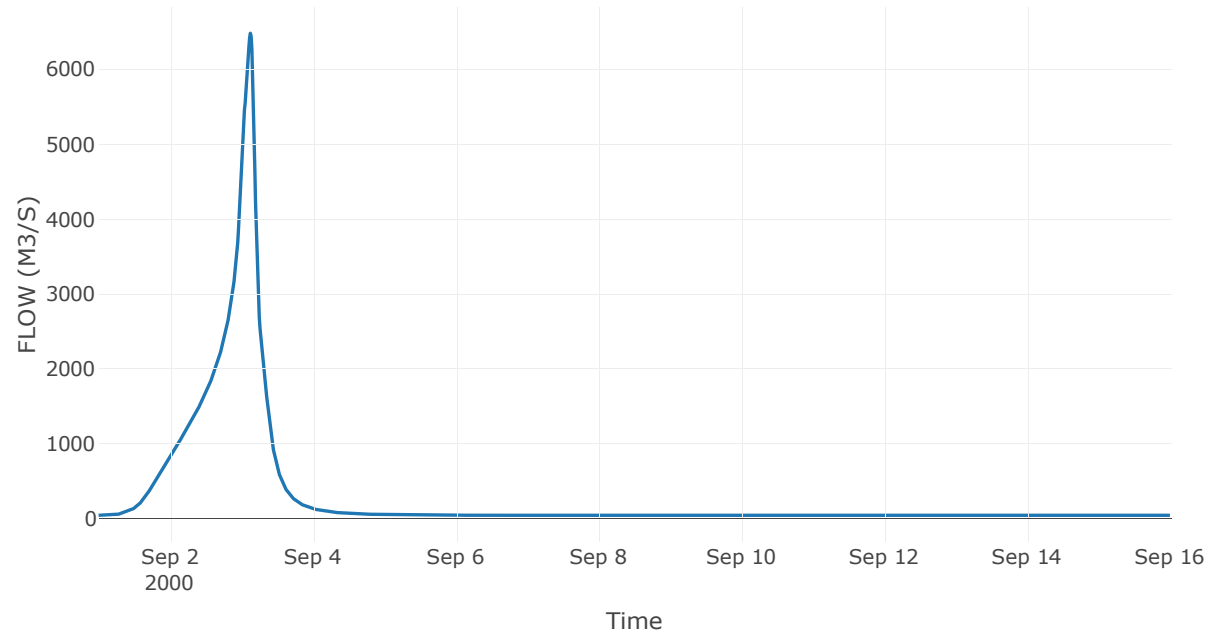
Κόμβος: J2

Κατάντη : R21

Αποτελέσματα: J2

| | |
|-----------------------|------------------|
| Παροχή Αιχμής(M3/S) | 6484.23 |
| Χρονική στιγμή αιχμής | 03Sep2000, 03:00 |
| Όγκος(MM) | 375.02 |

Απορροή



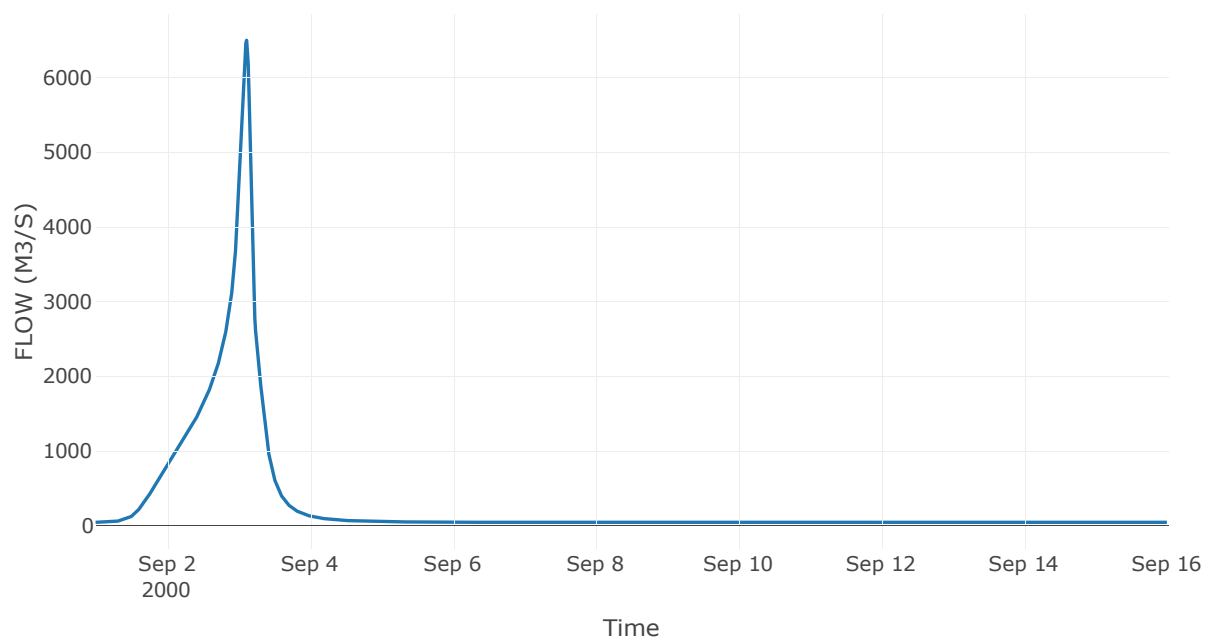
Κόμβος: J3

Κατάντη : R32

Αποτελέσματα: J3

| | |
|-----------------------|------------------|
| Παροχή Αιχμής(M3/S) | 6501.79 |
| Χρονική στιγμή αιχμής | 03Sep2000, 02:45 |
| Όγκος(MM) | 373.43 |

Απορροή



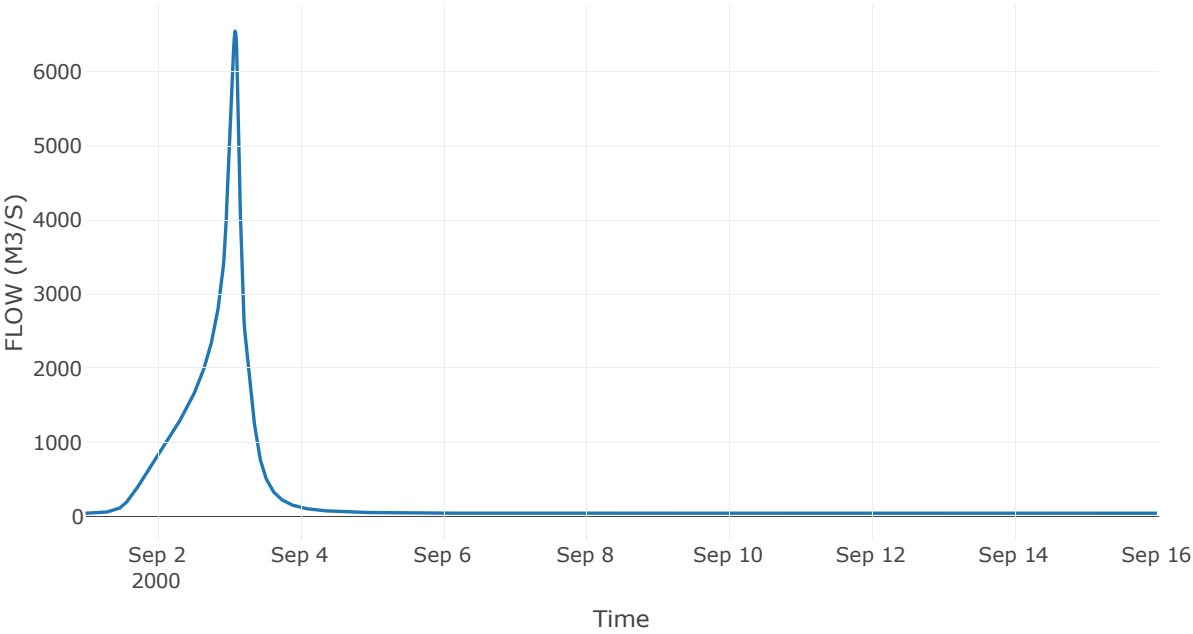
Κόμβος: J4

Κατάντη : R43

Αποτελέσματα: J4

| | |
|-----------------------|------------------|
| Παροχή Αιχμής(M3/S) | 6548.81 |
| Χρονική στιγμή αιχμής | 03Sep2000, 02:15 |
| Όγκος(MM) | 373.49 |

Απορροή



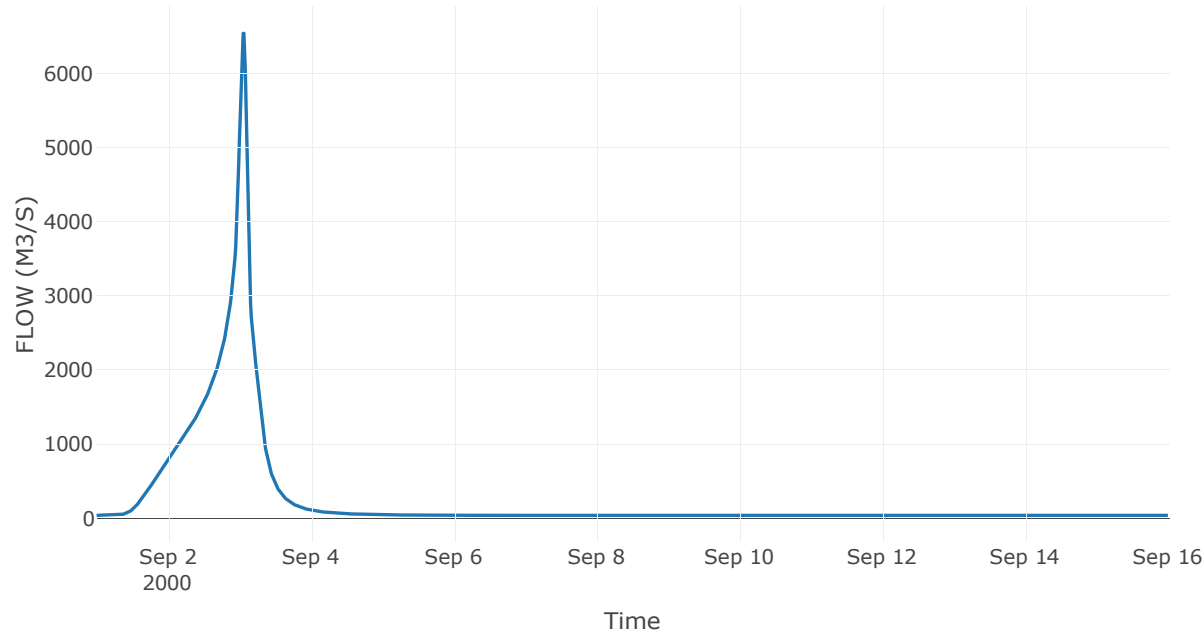
Κόμβος: J5

Κατάντη : R54

Αποτελέσματα: J5

| | |
|-----------------------|------------------|
| Παροχή Αιχμής(M3/S) | 6542.5 |
| Χρονική στιγμή αιχμής | 03Sep2000, 01:30 |
| Όγκος(MM) | 371.01 |

Απορροή



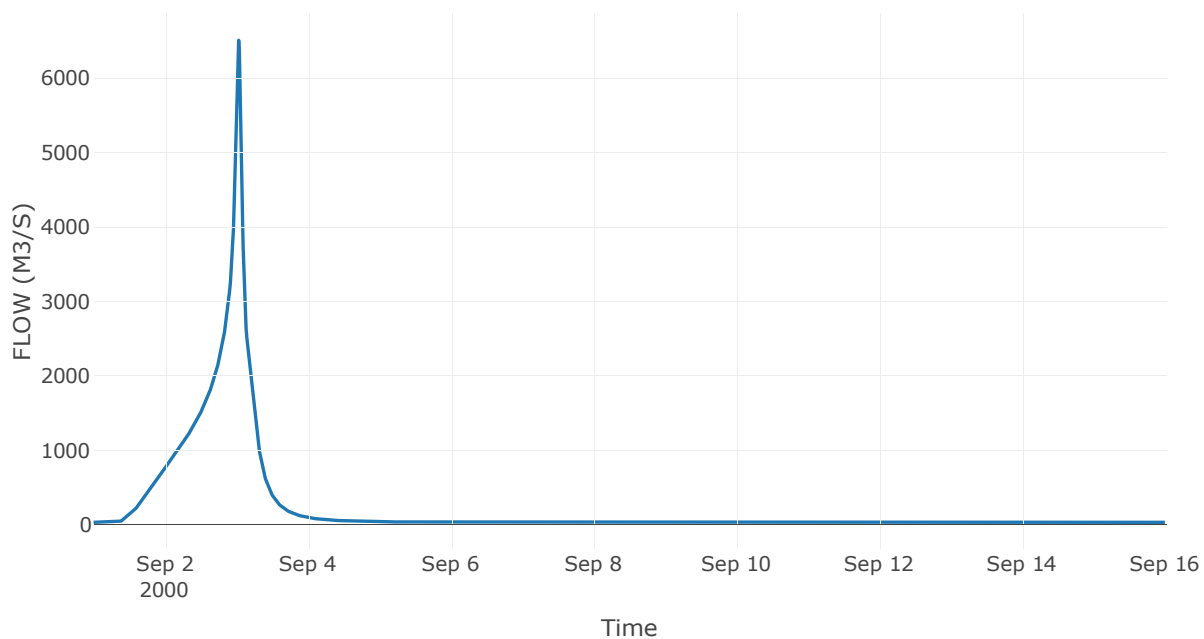
Κόμβος: J6

Κατάντη : R65

Αποτελέσματα: J6

| | |
|-----------------------|------------------|
| Παροχή Αιχμής(M3/S) | 6509.48 |
| Χρονική στιγμή αιχμής | 03Sep2000, 00:45 |
| Όγκος(MM) | 370.44 |

Απορροή



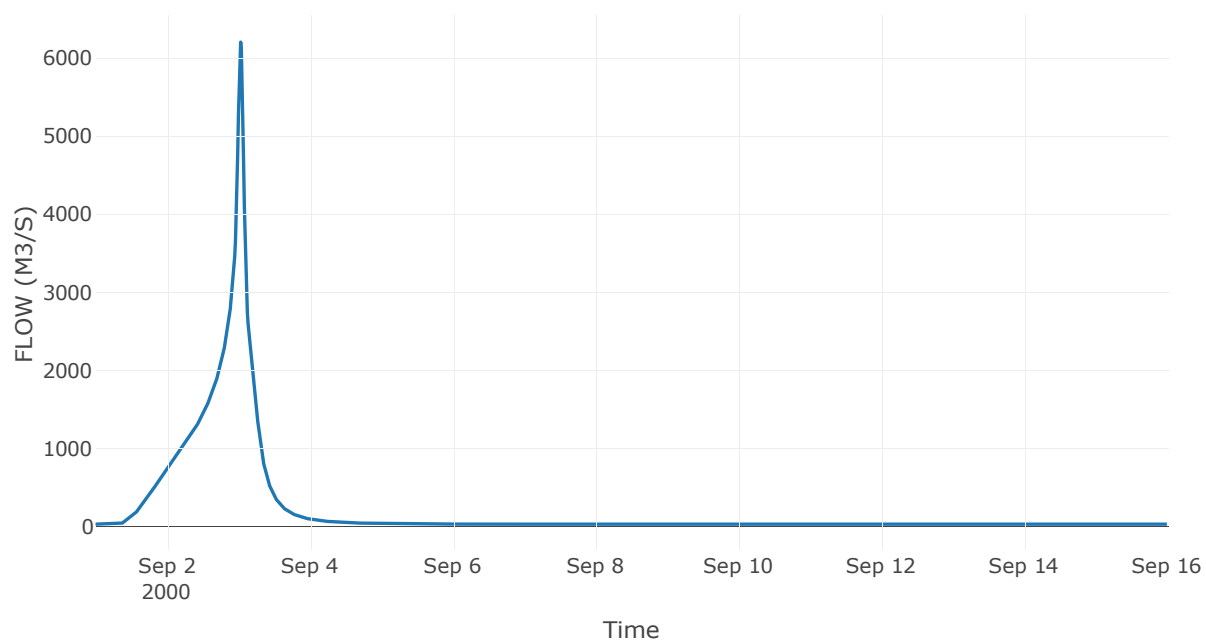
Κόμβος: J7

Κατάντη : R76

Αποτελέσματα: J7

| | |
|-----------------------|------------------|
| Παροχή Αιχμής(M3/S) | 6203.9 |
| Χρονική στιγμή αιχμής | 03Sep2000, 00:45 |
| Όγκος(MM) | 372.11 |

Απορροή



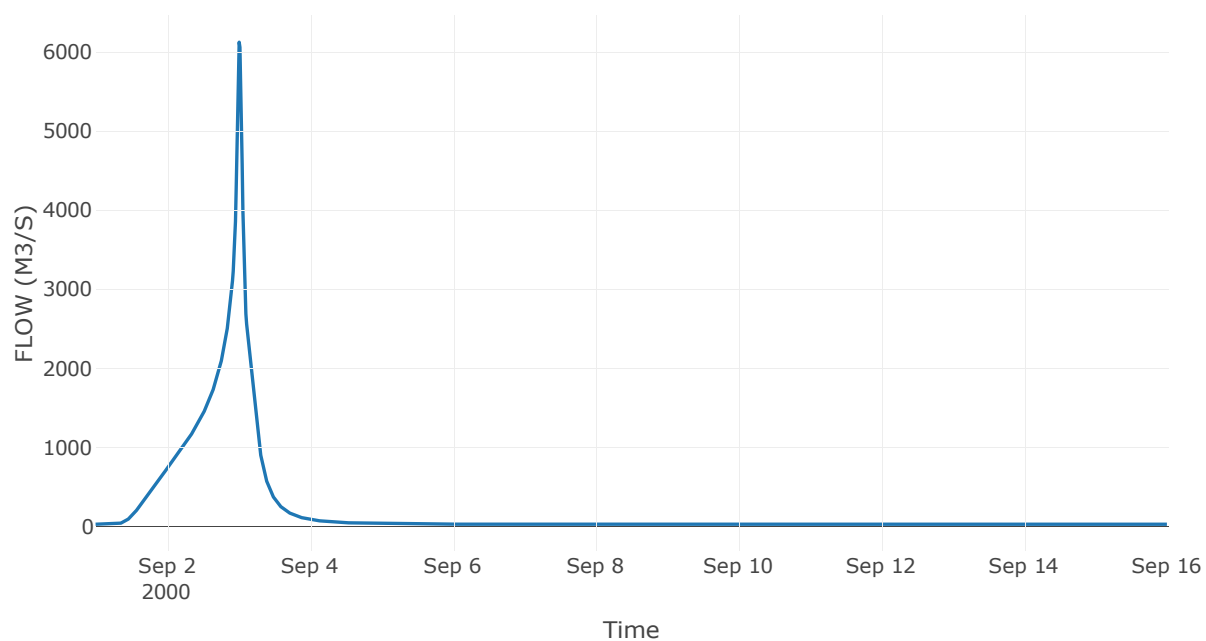
Κόμβος: J8

Κατάντη : R87

Αποτελέσματα: J8

| | |
|-----------------------|------------------|
| Παροχή Αιχμής(M3/S) | 6124.12 |
| Χρονική στιγμή αιχμής | 03Sep2000, 00:15 |
| Όγκος(MM) | 374.09 |

Απορροή



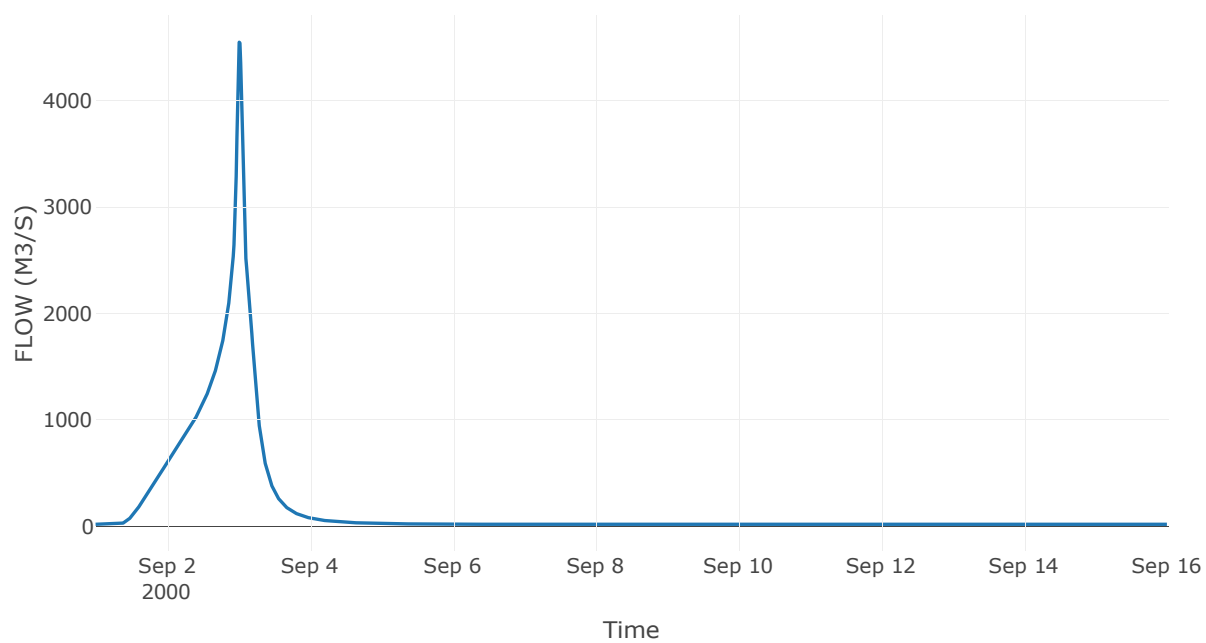
Κόμβος: J9

Κατάντη : R98

Αποτελέσματα: J9

| | |
|-----------------------|------------------|
| Παροχή Αιχμής(M3/S) | 4549.69 |
| Χρονική στιγμή αιχμής | 03Sep2000, 00:15 |
| Όγκος(MM) | 375.74 |

Απορροή



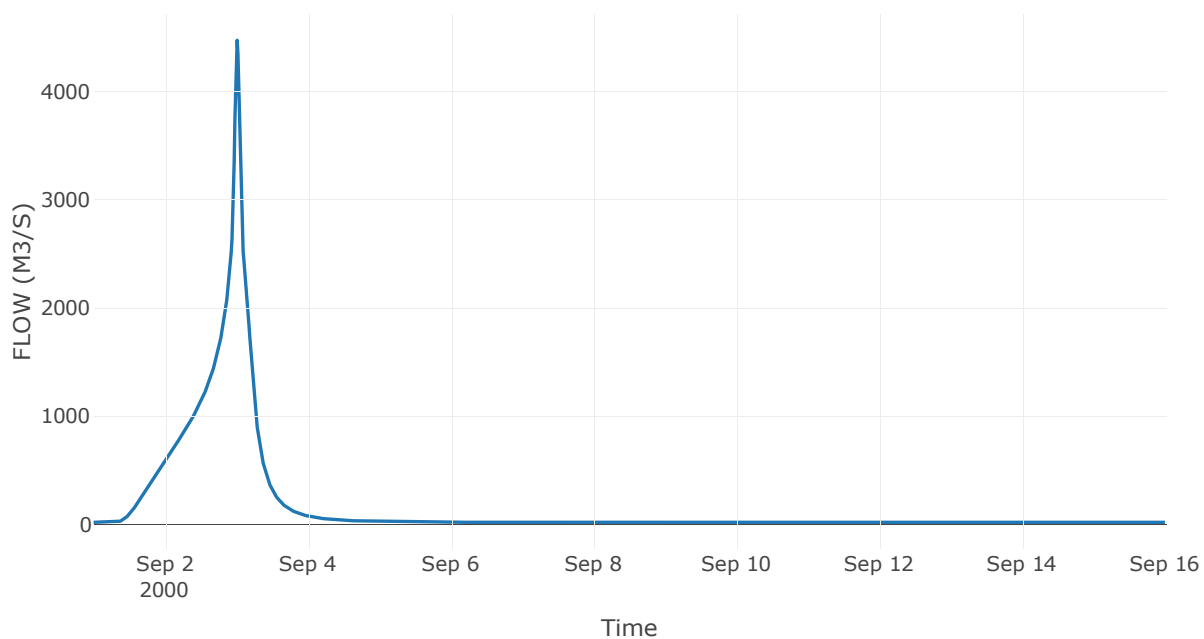
Κόμβος: J10

Κατάντη : R109

Αποτελέσματα: J10

| | |
|-----------------------|------------------|
| Παροχή Αιχμής(M3/S) | 4474.89 |
| Χρονική στιγμή αιχμής | 03Sep2000, 00:15 |
| Όγκος(MM) | 376.71 |

Απορροή



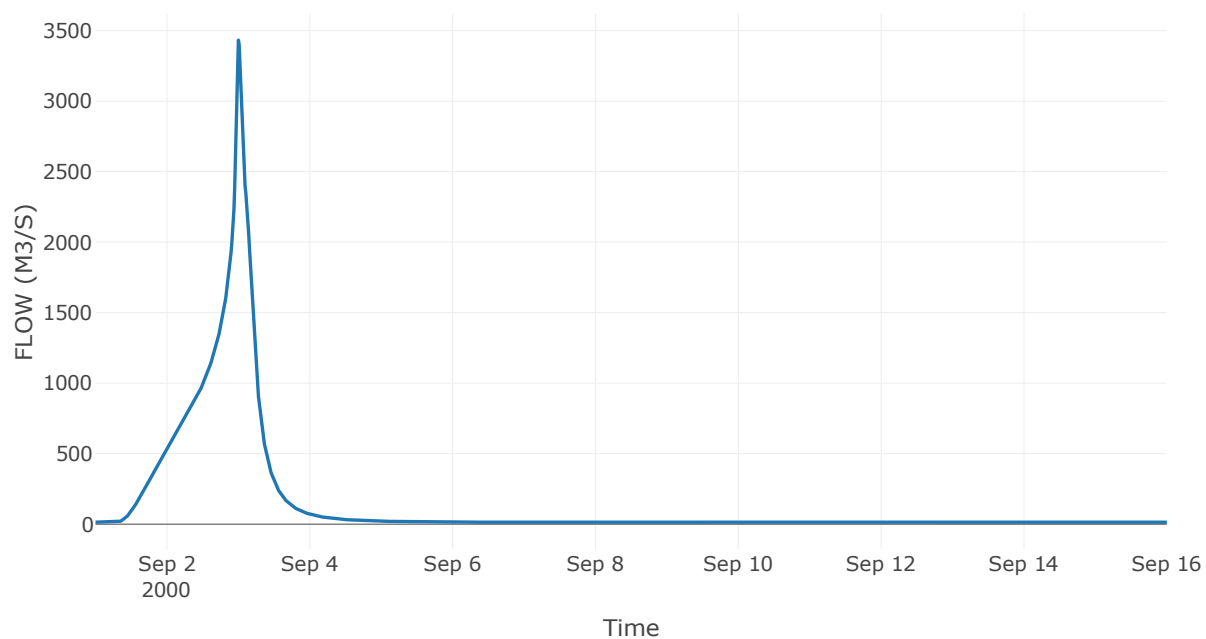
Κόμβος: J11

Κατάντη : R1110

Αποτελέσματα: J11

| | |
|-----------------------|------------------|
| Παροχή Αιχμής(M3/S) | 3432.58 |
| Χρονική στιγμή αιχμής | 02Sep2000, 24:00 |
| Όγκος(MM) | 387.38 |

Απορροή



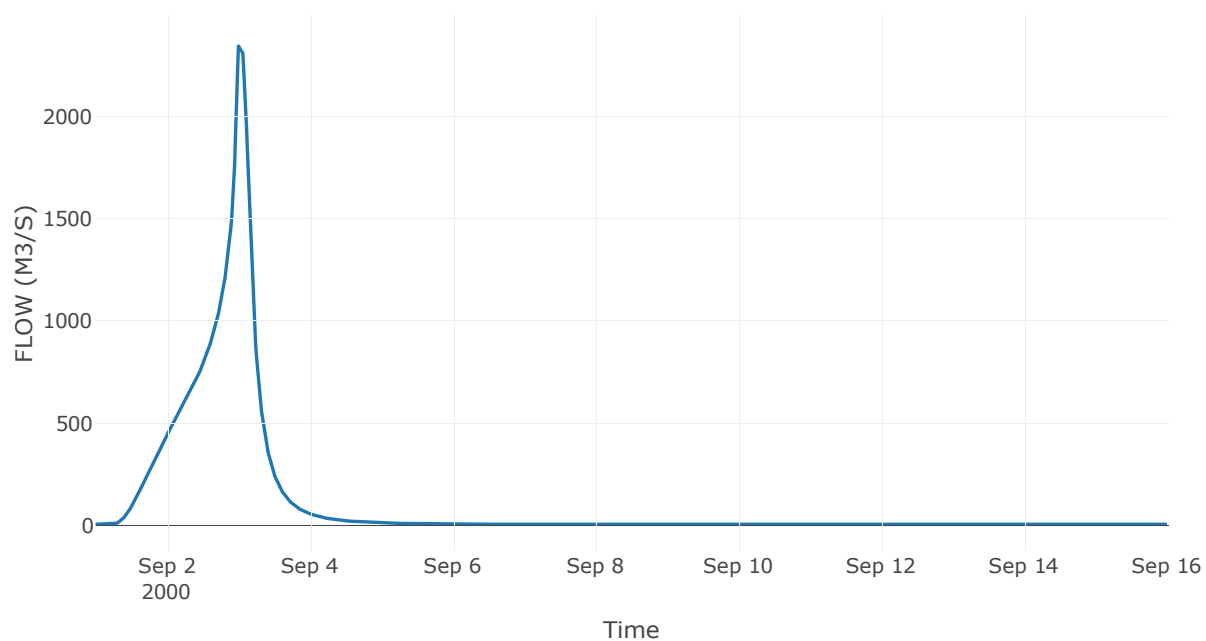
Κόμβος: J12

Κατάντη : R1211

Αποτελέσματα: J12

| | |
|-----------------------|------------------|
| Παροχή Αιχμής(M3/S) | 2363.54 |
| Χρονική στιγμή αιχμής | 03Sep2000, 00:15 |
| Όγκος(MM) | 391.35 |

Απορροή



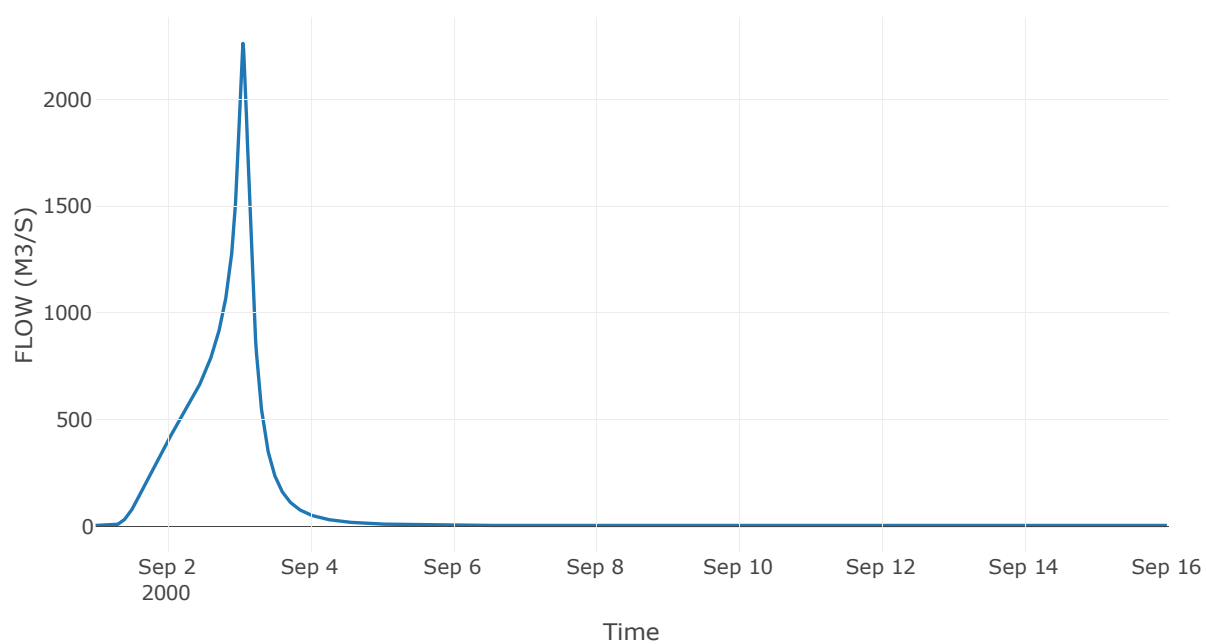
Ταμιευτήρας: J13_RES1

Κατάντη : R1312

Αποτελέσματα: J13_RES1

| | |
|------------------------------|------------------|
| Παροχή Αιχμής(M3/S) | 2264.26 |
| Χρονική στιγμή αιχμής | 03Sep2000, 01:30 |
| Όγκος(MM) | 384.46 |
| Παροχή Αιχμής Εισόδου (M3/S) | 3708.59 |
| Time of Peak Inflow | 03Sep2000, 00:15 |
| Όγκος Εισροής (M3) | 1.32E8 |
| Maximum Storage (M3) | 1.89E8 |
| Peak Elevation (M) | 513.98 |
| Discharge Όγκος(M3) | 1.35E8 |

Απορροή



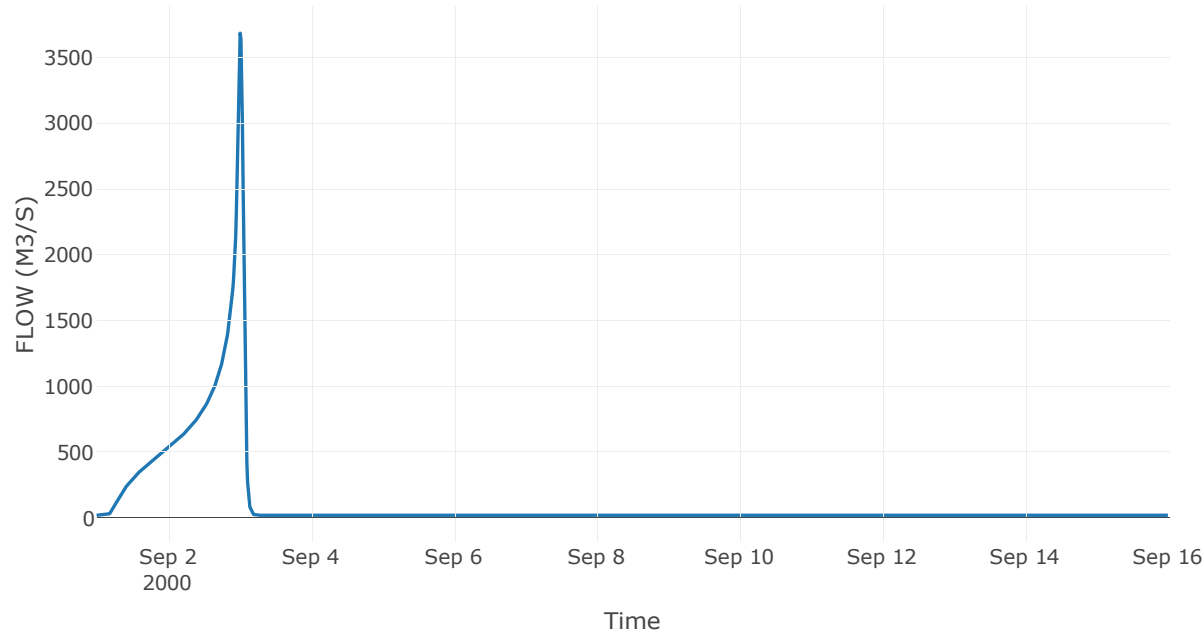
Κόμβος: J14

Κατάντη : R1413

Αποτελέσματα: J14

| | |
|-----------------------|------------------|
| Παροχή Αιχμής(M3/S) | 3683.11 |
| Χρονική στιγμή αιχμής | 03Sep2000, 00:15 |
| Όγκος(MM) | 462.29 |

Απορροή



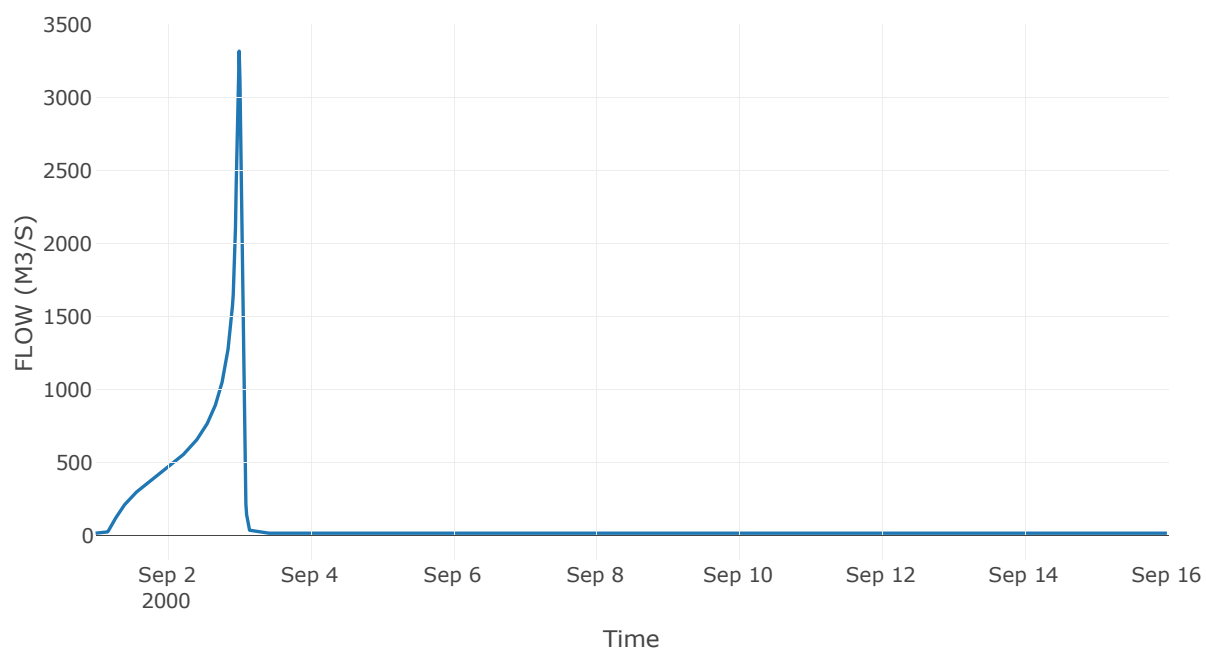
Κόμβος: J15

Κατάντη : R1514

Αποτελέσματα: J15

| | |
|-----------------------|------------------|
| Παροχή Αιχμής(M3/S) | 3317.97 |
| Χρονική στιγμή αιχμής | 03Sep2000, 00:15 |
| Όγκος(MM) | 464.07 |

Απορροή



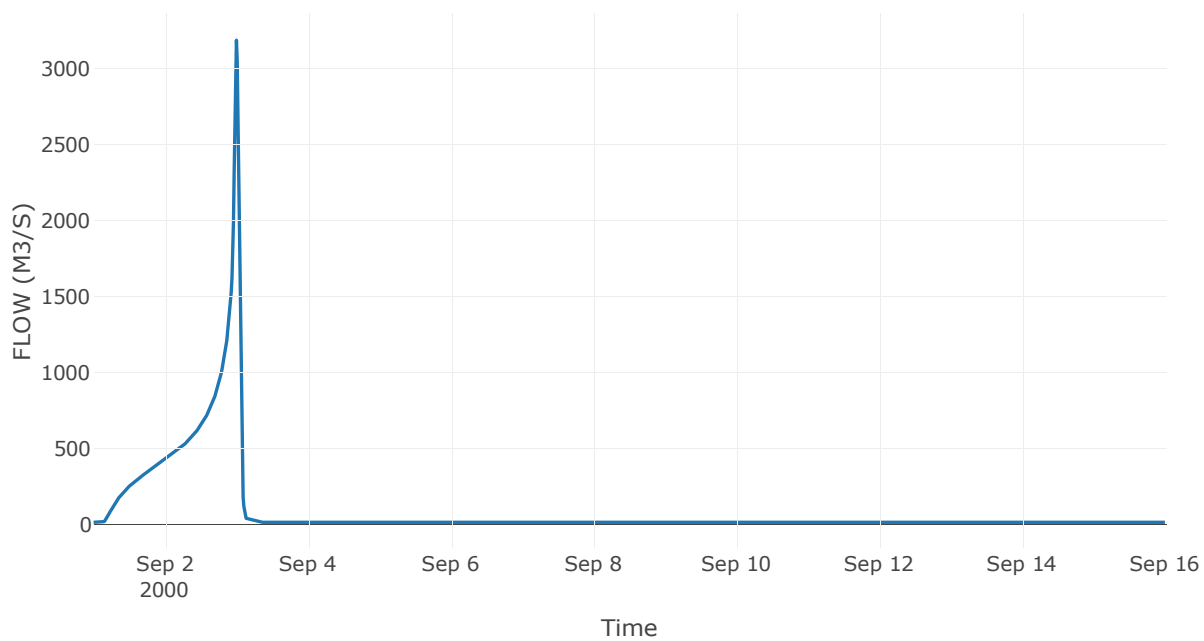
Κόμβος: J16

Κατάντη : R1615

Αποτελέσματα: J16

| | |
|-----------------------|------------------|
| Παροχή Αιχμής(M3/S) | 3187.9 |
| Χρονική στιγμή αιχμής | 02Sep2000, 24:00 |
| Όγκος(MM) | 470.04 |

Απορροή



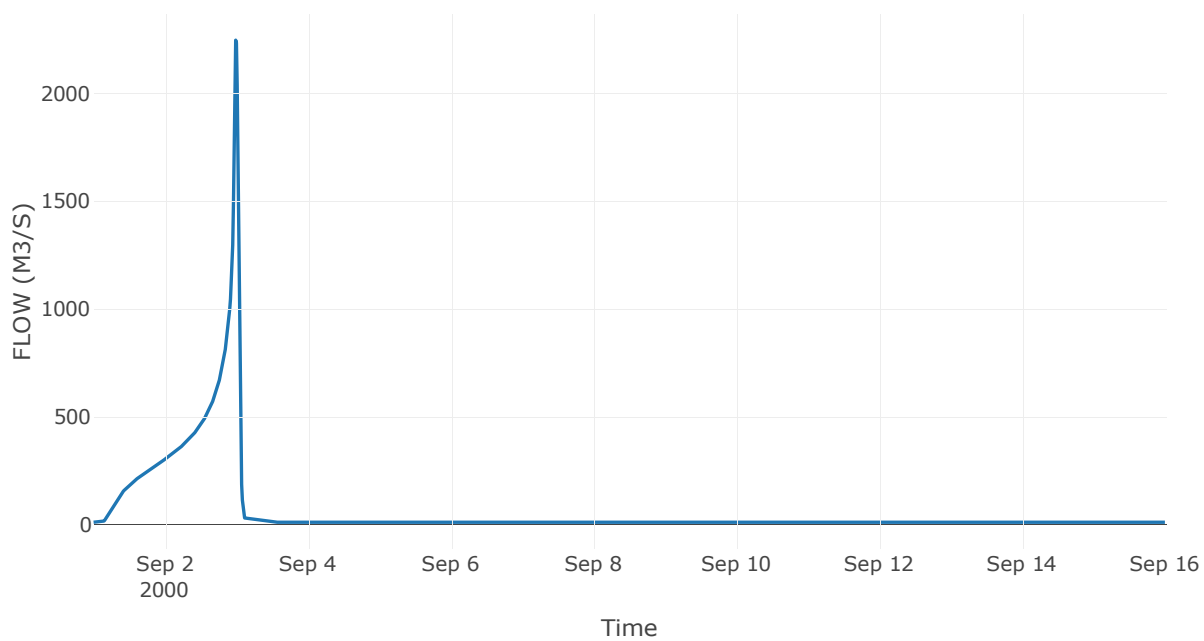
Κόμβος: J17

Κατάντη : R1716

Αποτελέσματα: J17

| | |
|-----------------------|------------------|
| Παροχή Αιχμής(M3/S) | 2246.75 |
| Χρονική στιγμή αιχμής | 02Sep2000, 23:45 |
| Όγκος(MM) | 473.22 |

Απορροή



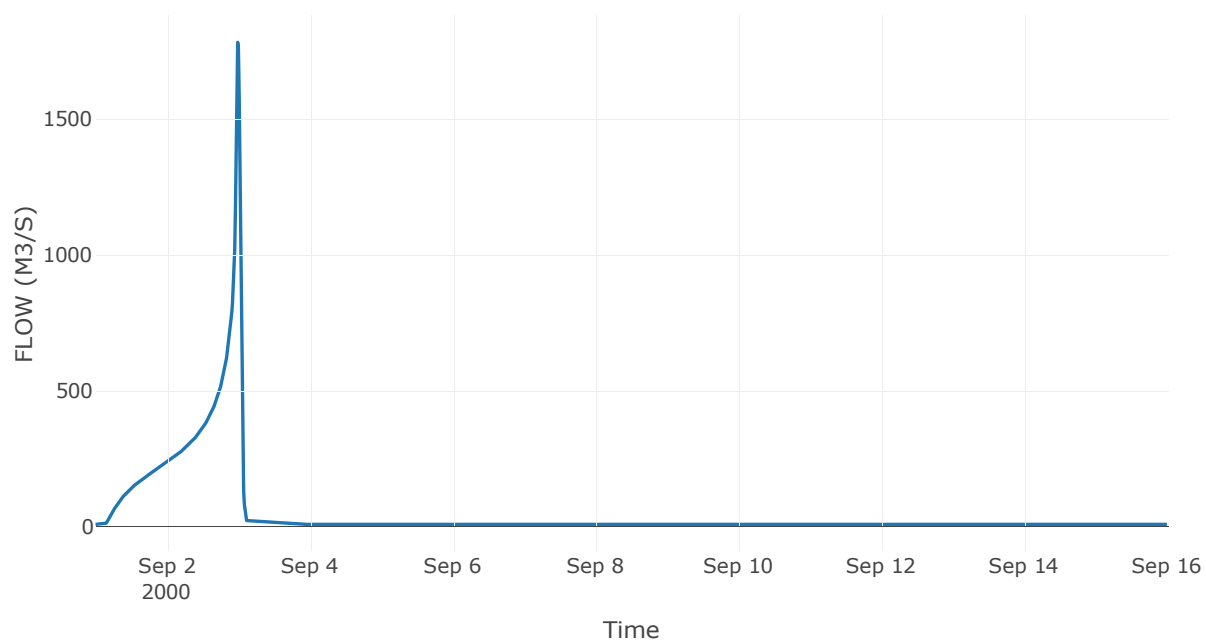
Κόμβος: J18

Κατάντη : R1817

Αποτελέσματα: J18

| | |
|-----------------------|------------------|
| Παροχή Αιχμής(M3/S) | 1783.65 |
| Χρονική στιγμή αιχμής | 02Sep2000, 23:45 |
| Όγκος(MM) | 471.65 |

Απορροή



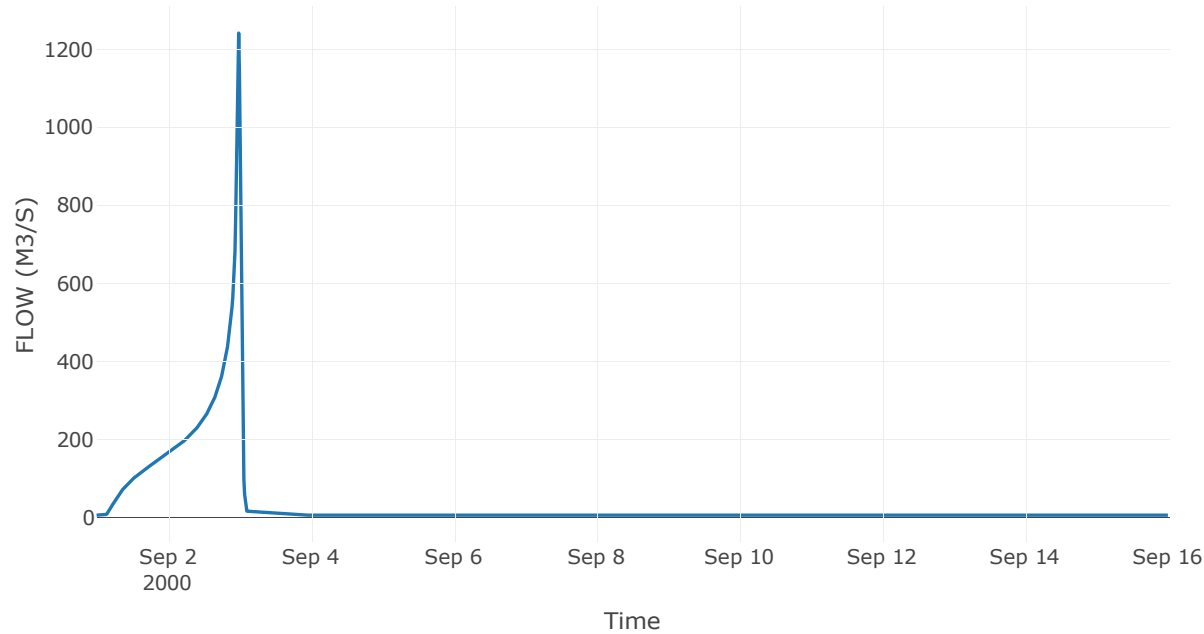
Κόμβος: J19

Κατάντη : R1918

Αποτελέσματα: J19

| | |
|-----------------------|------------------|
| Παροχή Αιχμής(M3/S) | 1241.4 |
| Χρονική στιγμή αιχμής | 02Sep2000, 23:45 |
| Όγκος(MM) | 471.7 |

Απορροή



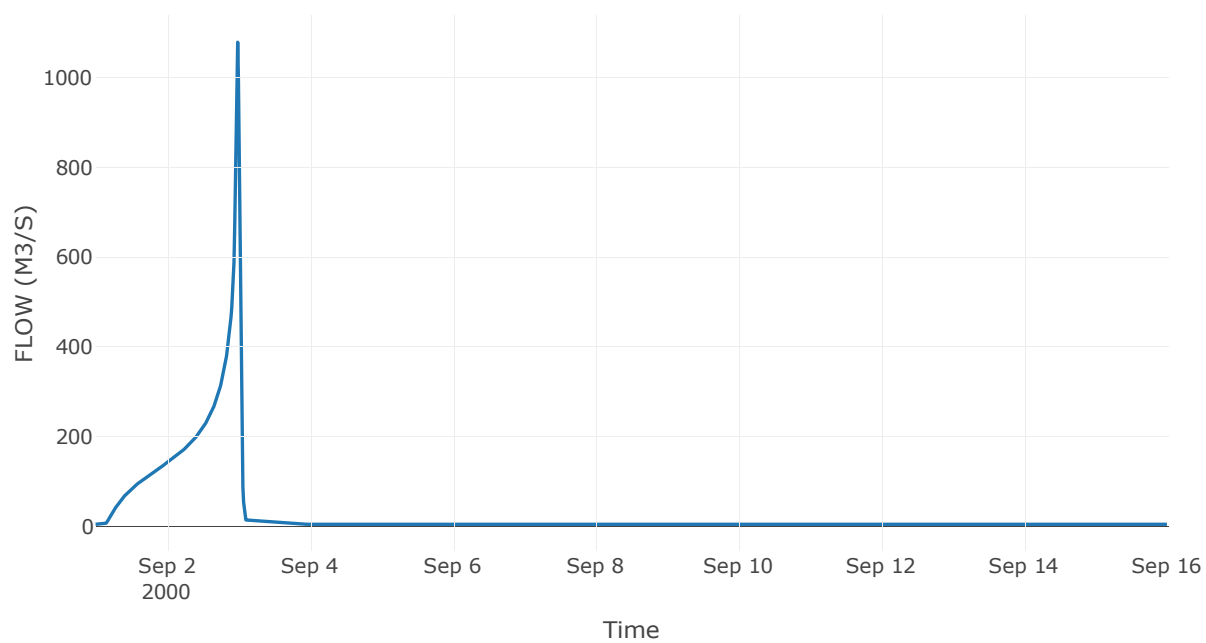
Κόμβος: J20

Κατάντη : R2019

Αποτελέσματα: J20

| | |
|-----------------------|------------------|
| Παροχή Αιχμής(M3/S) | 1078.87 |
| Χρονική στιγμή αιχμής | 02Sep2000, 23:45 |
| Όγκος(MM) | 471.8 |

Απορροή



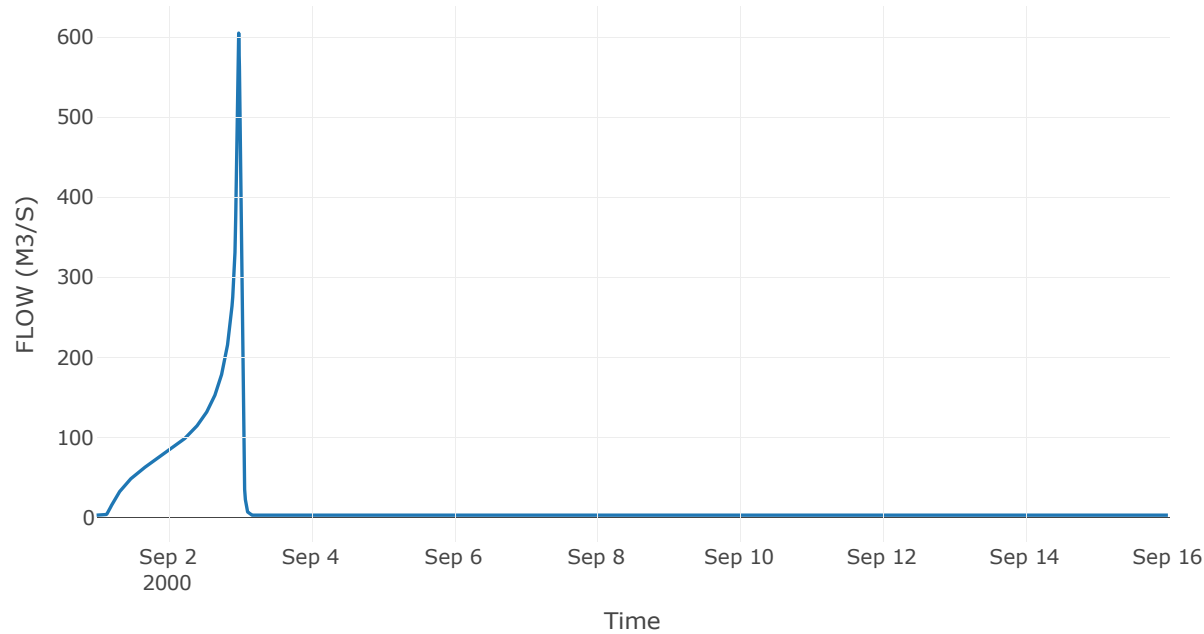
Κόμβος: J21

Κατάντη : R2120

Αποτελέσματα: J21

| | |
|-----------------------|------------------|
| Παροχή Αιχμής(M3/S) | 604.89 |
| Χρονική στιγμή αιχμής | 02Sep2000, 23:45 |
| Όγκος(MM) | 483.07 |

Απορροή



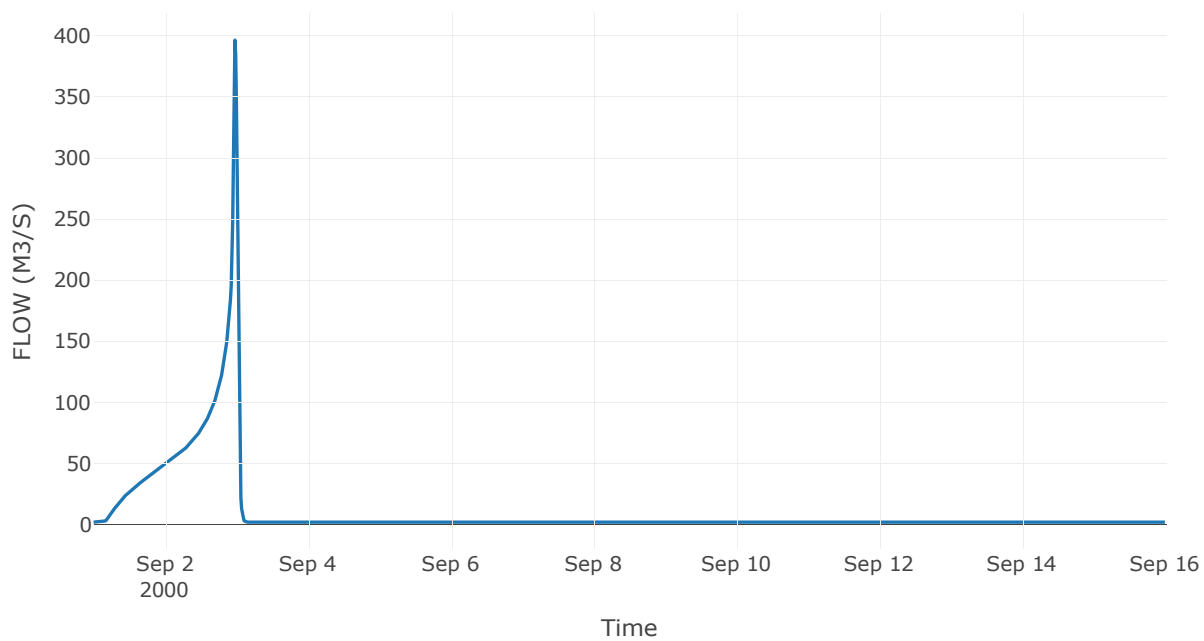
Κόμβος: J22

Κατάντη : R2220

Αποτελέσματα: J22

| | |
|-----------------------|------------------|
| Παροχή Αιχμής(M3/S) | 396.41 |
| Χρονική στιγμή αιχμής | 02Sep2000, 23:30 |
| Όγκος(MM) | 453.64 |

Απορροή



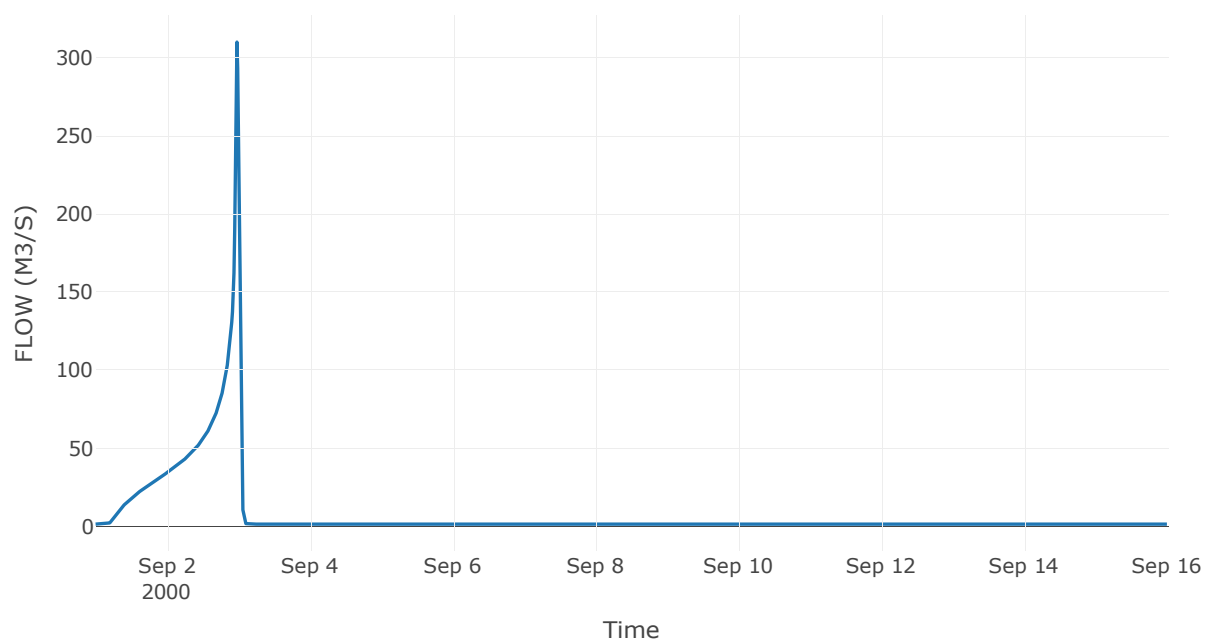
Κόμβος: J23

Κατάντη : R2314

Αποτελέσματα: J23

| | |
|-----------------------|------------------|
| Παροχή Αιχμής(M3/S) | 310.13 |
| Χρονική στιγμή αιχμής | 02Sep2000, 23:30 |
| Όγκος(MM) | 464.41 |

Απορροή



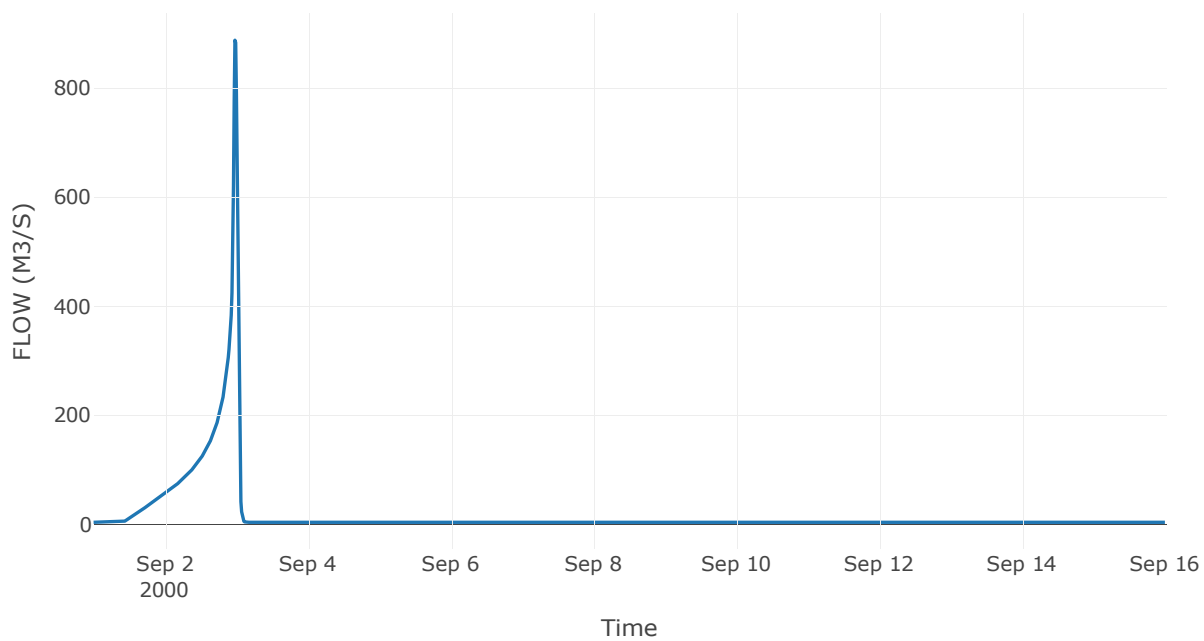
Κόμβος: J24

Κατάντη : R2411

Αποτελέσματα: J24

| | |
|-----------------------|------------------|
| Παροχή Αιχμής(M3/S) | 887.95 |
| Χρονική στιγμή αιχμής | 02Sep2000, 23:30 |
| Όγκος(MM) | 373.62 |

Απορροή



9 Δεδομένα εισόδου και αποτελέσματα υδρολογικού σεναρίου T=1000L

9.1 Αποτελέσματα, υετογραφήματα και υδρογραφήματα σχεδιασμού υπολεκάνων

Υπολεκάνη: EL0420FR4001

Έκταση (KM2) : 23.03

Κατάνη : J1

Μέθοδος Απωλειών: SCS

| | |
|--------------------------------|------|
| Ποσοστό αδιαπέρατης επιφάνειας | 0 |
| Αριθμός Καμπύλης Απορροής-CN | 60.4 |
| Αρχικές Απώλειες | 33.3 |

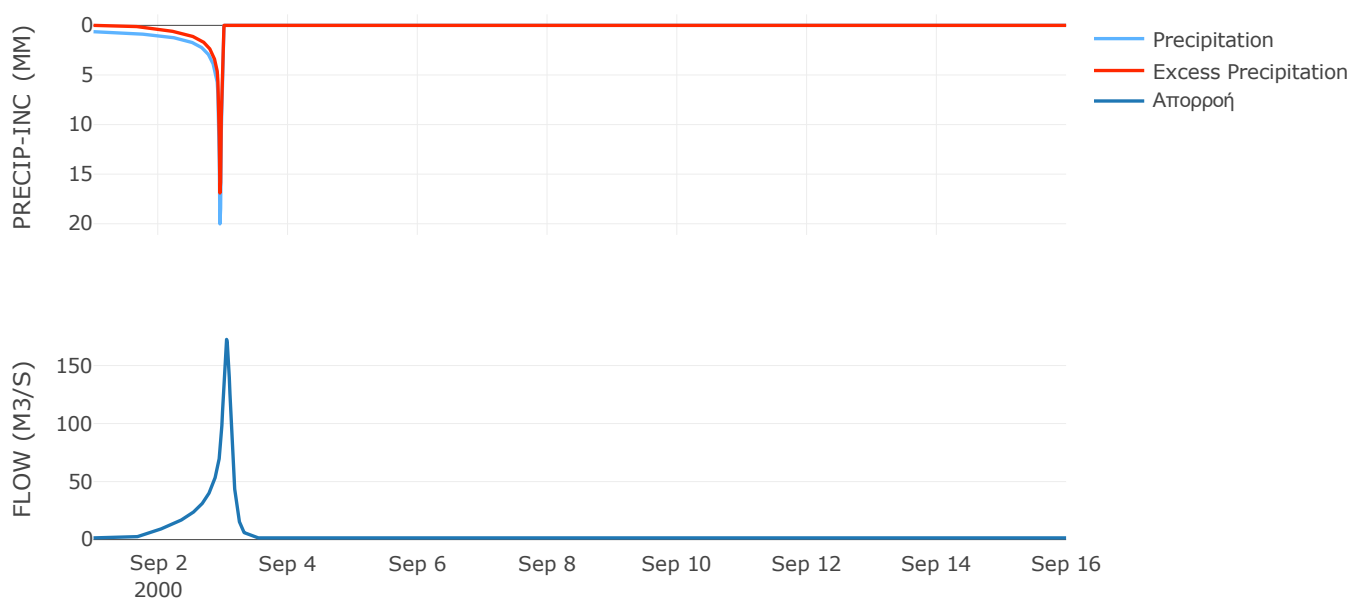
Μέθοδος
Μετασχηματισμού: SCS

| | |
|------------------|--------|
| Χρόνος Υστέρησης | 146.76 |
|------------------|--------|

Αποτελέσματα:
EL0420FR4001

| | |
|-----------------------------|------------------|
| Παροχή αιχμής (M3/S) | 172.51 |
| Χρονική στιγμή αιχμής | 03Sep2000, 01:15 |
| Όγκος (MM) | 284.83 |
| Όγκος βροχόπτωσης (M3) | 7.88E6 |
| Όγκος απωλειών (M3) | 3.26E6 |
| Ενεργός Όγκος (M3) | 4.62E6 |
| Όγκος άμεσης απορροής (M3) | 4.62E6 |
| Όγκος βασικής απορροής (M3) | 1.94E6 |

Βροχόπτωση και Απορροή



Υπολεκάνη: EL0420FR4002

Έκταση (KM2) : 14.69

Κατάνη : J2

Μέθοδος Απωλειών: SCS

| | |
|--------------------------------|-------|
| Ποσοστό αδιαπέρατης επιφάνειας | 0 |
| Αριθμός Καμπύλης Απορροής-CN | 65.06 |
| Αρχικές Απώλειες | 27.28 |

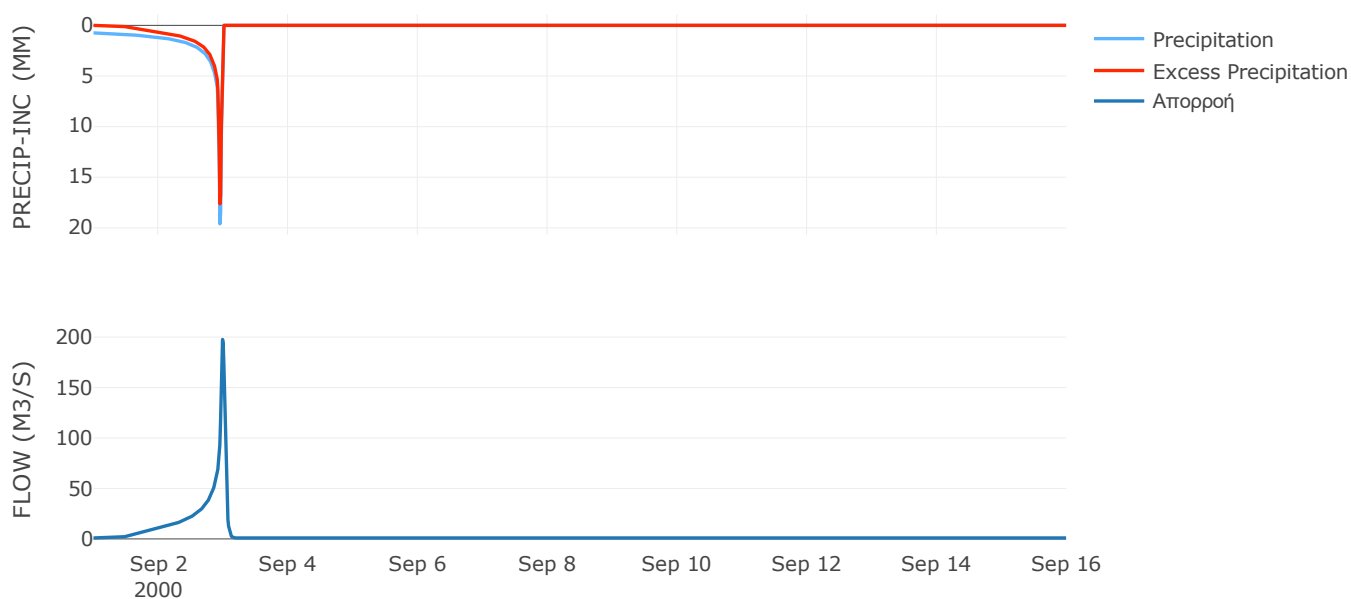
Μέθοδος
Μετασχηματισμού: SCS

| | |
|------------------|-------|
| Χρόνος Υστέρησης | 48.13 |
|------------------|-------|

Αποτελέσματα:
EL0420FR4002

| | |
|-----------------------------|------------------|
| Παροχή αιχμής (M3/S) | 197.64 |
| Χρονική στιγμή αιχμής | 02Sep2000, 23:45 |
| Όγκος (MM) | 333.39 |
| Όγκος βροχόπτωσης (M3) | 5.5E6 |
| Όγκος απωλειών (M3) | 1.84E6 |
| Ενεργός Όγκος (M3) | 3.66E6 |
| Όγκος άμεσης απορροής (M3) | 3.66E6 |
| Όγκος βασικής απορροής (M3) | 1.24E6 |

Βροχόπτωση και Απορροή



Υπολεκάνη: EL0420FR4003

Έκταση (KM2) : 18.27

Κατάντη : J3

Μέθοδος Απωλειών: SCS

| | |
|--------------------------------|-------|
| Ποσοστό αδιαπέρατης επιφάνειας | 0 |
| Αριθμός Καμπύλης Απορροής-CN | 56.17 |
| Αρχικές Απώλειες | 39.63 |

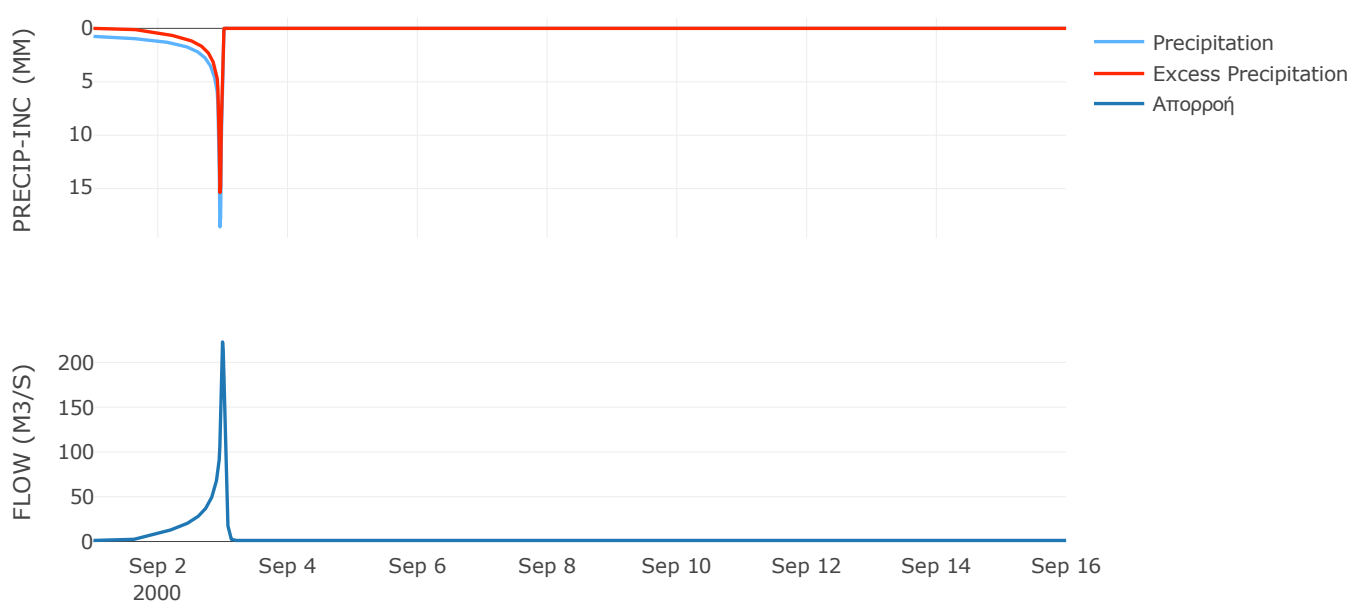
Μέθοδος
Μετασχηματισμού: SCS

| | |
|------------------|------|
| Χρόνος Υστέρησης | 44.8 |
|------------------|------|

Αποτελέσματα:
EL0420FR4003

| | |
|-----------------------------|------------------|
| Παροχή αιχμής (M3/S) | 222.77 |
| Χρονική στιγμή αιχμής | 02Sep2000, 23:45 |
| Όγκος (MM) | 290.68 |
| Όγκος βροχόπτωσης (M3) | 6.76E6 |
| Όγκος απωλειών (M3) | 2.99E6 |
| Ενεργός Όγκος (M3) | 3.77E6 |
| Όγκος άμεσης απορροής (M3) | 3.77E6 |
| Όγκος βασικής απορροής (M3) | 1.54E6 |

Βροχόπτωση και Απορροή



Υπολεκάνη: EL0420FR4004

Έκταση (KM2) : 43.51

Κατάντη : J4

Μέθοδος Απωλειών: SCS

| | |
|--------------------------------|-------|
| Ποσοστό αδιαπέρατης επιφάνειας | 0 |
| Αριθμός Καμπύλης Απορροής-CN | 64 |
| Αρχικές Απώλειες | 28.57 |

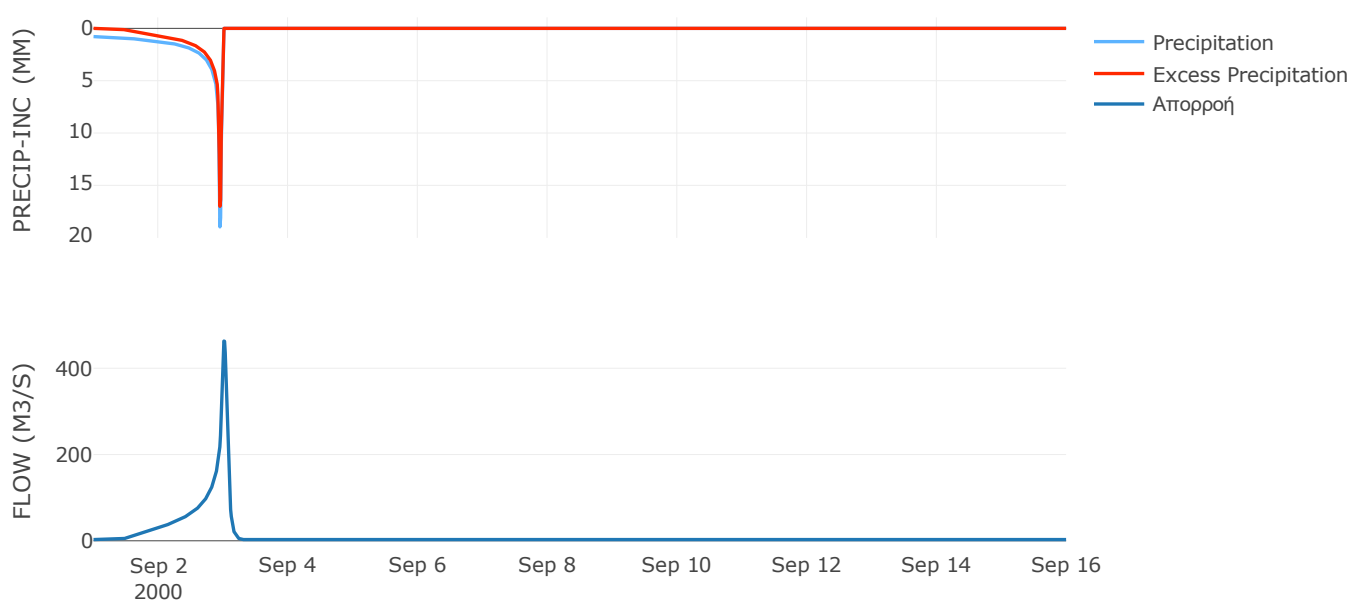
Μέθοδος
Μετασχηματισμού: SCS

| | |
|------------------|-------|
| Χρόνος Υστέρησης | 84.33 |
|------------------|-------|

Αποτελέσματα:
EL0420FR4004

| | |
|-----------------------------|------------------|
| Παροχή αιχμής (M3/S) | 463.11 |
| Χρονική στιγμή αιχμής | 03Sep2000, 00:15 |
| Όγκος (MM) | 336.99 |
| Όγκος βροχόπτωσης (M3) | 1.67E7 |
| Όγκος απωλειών (M3) | 5.67E6 |
| Ενεργός Όγκος (M3) | 1.1E7 |
| Όγκος άμεσης απορροής (M3) | 1.1E7 |
| Όγκος βασικής απορροής (M3) | 3.67E6 |

Βροχόπτωση και Απορροή



Υπολεκάνη: EL0420FR4005

Έκταση (KM2) : 48.87

Κατάντη : J5

Μέθοδος Απωλειών: SCS

| | |
|--------------------------------|-------|
| Ποσοστό αδιαπέρατης επιφάνειας | 0 |
| Αριθμός Καμπύλης Απορροής-CN | 44.61 |
| Αρχικές Απώλειες | 63.08 |

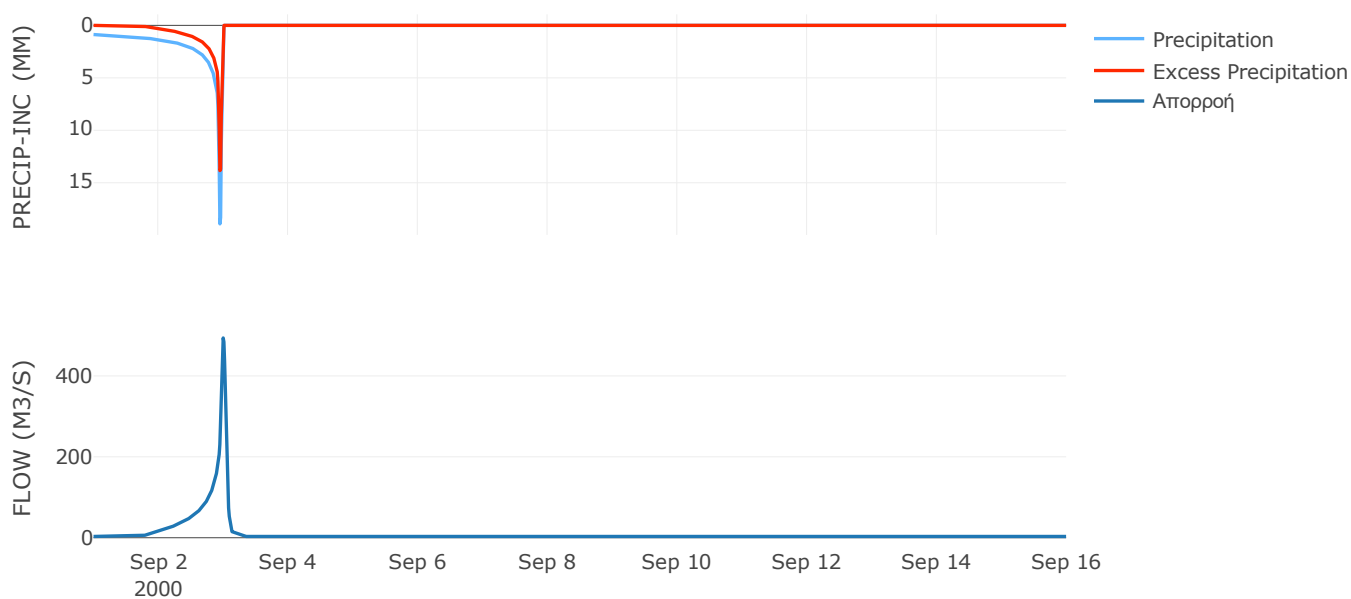
Μέθοδος
Μετασχηματισμού: SCS

| | |
|------------------|-------|
| Χρόνος Υστέρησης | 61.85 |
|------------------|-------|

Αποτελέσματα:
EL0420FR4005

| | |
|-----------------------------|------------------|
| Παροχή αιχμής (M3/S) | 493.8 |
| Χρονική στιγμή αιχμής | 02Sep2000, 24:00 |
| Όγκος (MM) | 266.78 |
| Όγκος βροχόπτωσης (M3) | 2.01E7 |
| Όγκος απωλειών (M3) | 1.12E7 |
| Ενεργός Όγκος (M3) | 8.92E6 |
| Όγκος άμεσης απορροής (M3) | 8.92E6 |
| Όγκος βασικής απορροής (M3) | 4.12E6 |

Βροχόπτωση και Απορροή



Υπολεκάνη: EL0420FR4006

Έκταση (KM2) : 0.82

Κατάντη : J6

Μέθοδος Απωλειών: SCS

| | |
|--------------------------------|-------|
| Ποσοστό αδιαπέρατης επιφάνειας | 0 |
| Αριθμός Καμπύλης Απορροής-CN | 33.82 |
| Αρχικές Απώλειες | 99.42 |

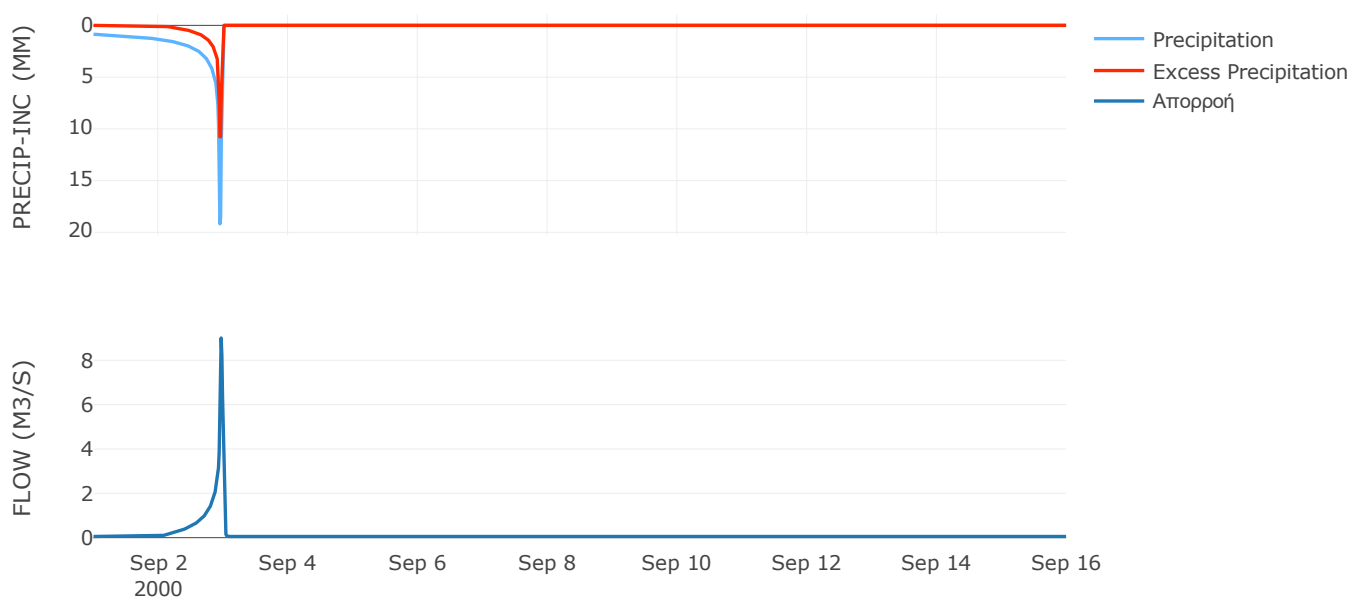
Μέθοδος
Μετασχηματισμού: SCS

| | |
|------------------|-------|
| Χρόνος Υστέρησης | 15.29 |
|------------------|-------|

Αποτελέσματα:
EL0420FR4006

| | |
|-----------------------------|------------------|
| Παροχή αιχμής (M3/S) | 9 |
| Χρονική στιγμή αιχμής | 02Sep2000, 23:15 |
| Όγκος (MM) | 202.2 |
| Όγκος βροχόπτωσης (M3) | 3.33E5 |
| Όγκος απωλειών (M3) | 2.37E5 |
| Ενεργός Όγκος (M3) | 96462.82 |
| Όγκος άμεσης απορροής (M3) | 96462.82 |
| Όγκος βασικής απορροής (M3) | 68887.58 |

Βροχόπτωση και Απορροή



Υπολεκάνη: EL0420FR4007

Έκταση (KM2) : 16.52

Κατάντη : J7

Μέθοδος Απωλειών: SCS

| | |
|--------------------------------|-------|
| Ποσοστό αδιαπέρατης επιφάνειας | 0 |
| Αριθμός Καμπύλης Απορροής-CN | 39.45 |
| Αρχικές Απώλειες | 77.96 |

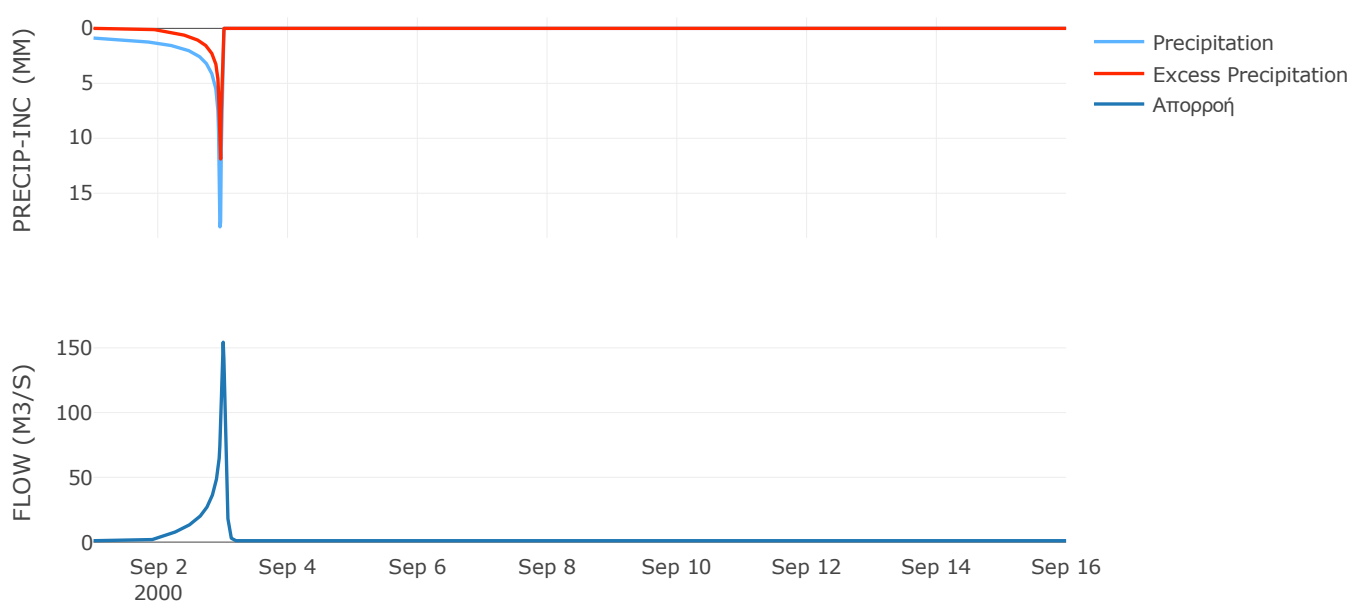
Μέθοδος
Μετασχηματισμού: SCS

| | |
|------------------|-------|
| Χρόνος Υστέρησης | 49.94 |
|------------------|-------|

Αποτελέσματα:
EL0420FR4007

| | |
|-----------------------------|------------------|
| Παροχή αιχμής (M3/S) | 154.38 |
| Χρονική στιγμή αιχμής | 02Sep2000, 24:00 |
| Όγκος (MM) | 234.62 |
| Όγκος βροχόπτωσης (M3) | 6.72E6 |
| Όγκος απωλειών (M3) | 4.23E6 |
| Ενεργός Όγκος (M3) | 2.48E6 |
| Όγκος άμεσης απορροής (M3) | 2.48E6 |
| Όγκος βασικής απορροής (M3) | 1.39E6 |

Βροχόπτωση και Απορροή



Υπολεκάνη: EL0420FR4008

Έκταση (KM2) : 12.7

Κατάντη : J8

Μέθοδος Απωλειών: SCS

| | |
|--------------------------------|-------|
| Ποσοστό αδιαπέρατης επιφάνειας | 0 |
| Αριθμός Καμπύλης Απορροής-CN | 37.73 |
| Αρχικές Απώλειες | 83.83 |

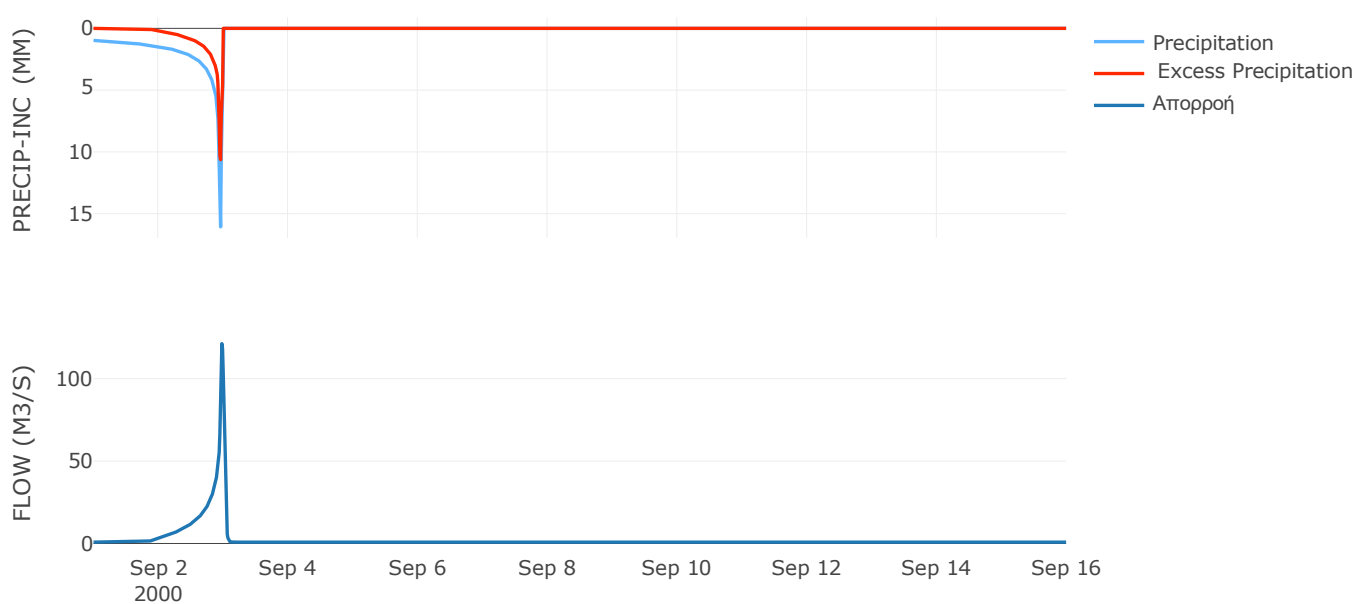
Μέθοδος
Μετασχηματισμού: SCS

| | |
|------------------|-------|
| Χρόνος Υστέρησης | 32.03 |
|------------------|-------|

Αποτελέσματα:
EL0420FR4008

| | |
|-----------------------------|------------------|
| Παροχή αιχμής (M3/S) | 121.21 |
| Χρονική στιγμή αιχμής | 02Sep2000, 23:30 |
| Όγκος (MM) | 232.66 |
| Όγκος βροχόπτωσης (M3) | 5.31E6 |
| Όγκος απωλειών (M3) | 3.43E6 |
| Ενεργός Όγκος (M3) | 1.89E6 |
| Όγκος άμεσης απορροής (M3) | 1.89E6 |
| Όγκος βασικής απορροής (M3) | 1.07E6 |

Βροχόπτωση και Απορροή



Υπολεκάνη: EL0420FR4009

Έκταση (KM2) : 5.92

Κατάντη : J9

Μέθοδος Απωλειών: SCS

| | |
|--------------------------------|-------|
| Ποσοστό αδιαπέρατης επιφάνειας | 0 |
| Αριθμός Καμπύλης Απορροής-CN | 42.28 |
| Αρχικές Απώλειες | 69.35 |

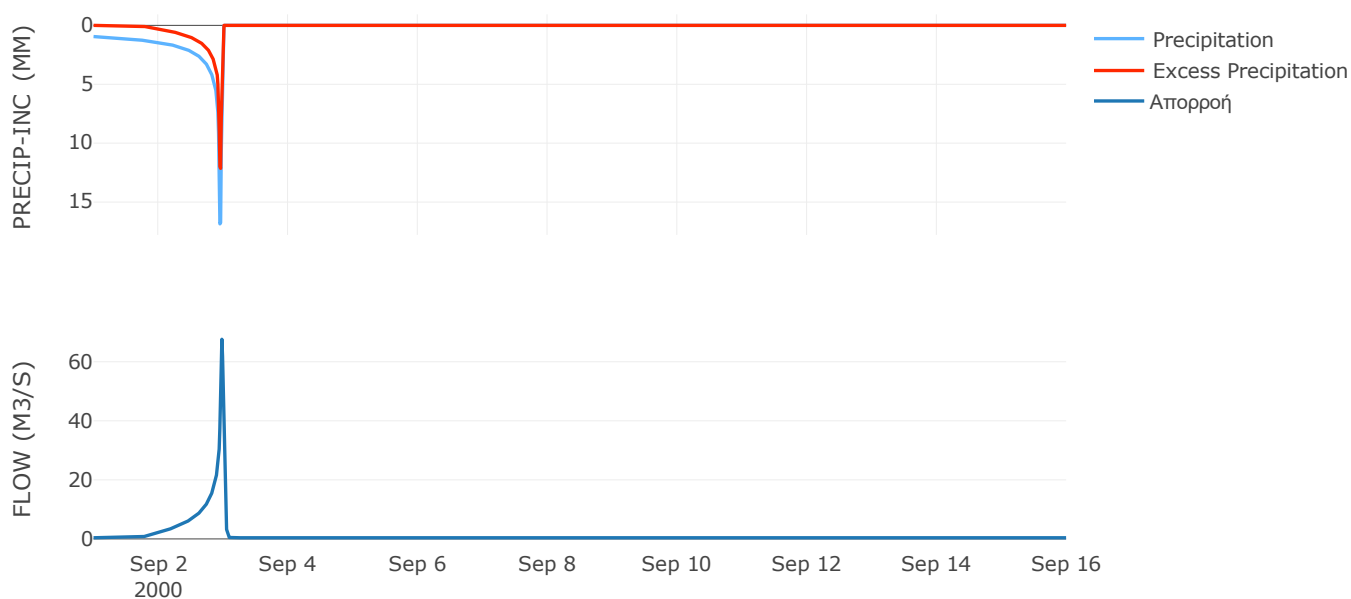
Μέθοδος
Μετασχηματισμού: SCS

| | |
|------------------|-------|
| Χρόνος Υστέρησης | 27.03 |
|------------------|-------|

Αποτελέσματα:
EL0420FR4009

| | |
|-----------------------------|------------------|
| Παροχή αιχμής (M3/S) | 67.61 |
| Χρονική στιγμή αιχμής | 02Sep2000, 23:30 |
| Όγκος (MM) | 258.9 |
| Όγκος βροχόπτωσης (M3) | 2.47E6 |
| Όγκος απωλειών (M3) | 1.44E6 |
| Ενεργός Όγκος (M3) | 1.03E6 |
| Όγκος άμεσης απορροής (M3) | 1.03E6 |
| Όγκος βασικής απορροής (M3) | 4.99E5 |

Βροχόπτωση και Απορροή



Υπολεκάνη: EL0420FR4010

Έκταση (KM2) : 2.67

Κατάντη : J10

Μέθοδος Απωλειών: SCS

| | |
|--------------------------------|-------|
| Ποσοστό αδιαπέρατης επιφάνειας | 0 |
| Αριθμός Καμπύλης Απορροής-CN | 37.08 |
| Αρχικές Απώλειες | 86.22 |

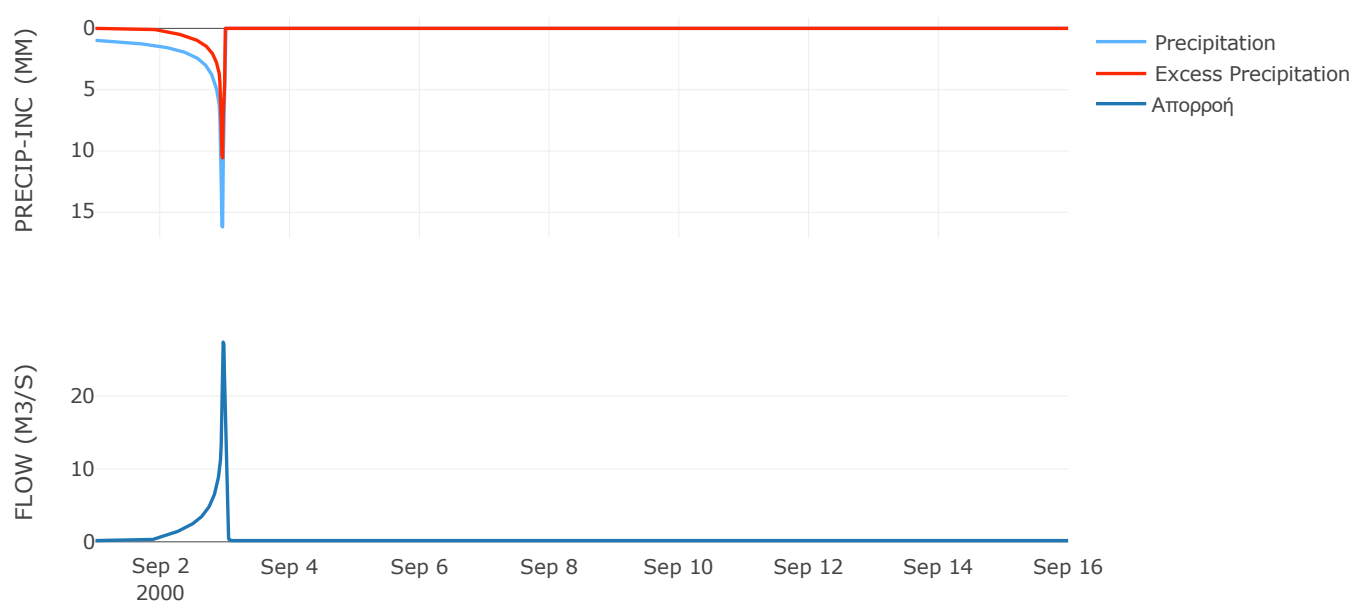
Μέθοδος
Μετασχηματισμού: SCS

| | |
|------------------|-------|
| Χρόνος Υστέρησης | 18.95 |
|------------------|-------|

Αποτελέσματα:
EL0420FR4010

| | |
|-----------------------------|------------------|
| Παροχή αιχμής (M3/S) | 27.39 |
| Χρονική στιγμή αιχμής | 02Sep2000, 23:15 |
| Όγκος (MM) | 229.66 |
| Όγκος βροχόπτωσης (M3) | 1.12E6 |
| Όγκος απωλειών (M3) | 7.32E5 |
| Ενεργός Όγκος (M3) | 3.88E5 |
| Όγκος άμεσης απορροής (M3) | 3.88E5 |
| Όγκος βασικής απορροής (M3) | 2.25E5 |

Βροχόπτωση και Απορροή



Υπολεκάνη: EL0420FR4011

Έκταση (KM2) : 55.39

Κατάνη : J11

Μέθοδος Απωλειών: SCS

| | |
|--------------------------------|------|
| Ποσοστό αδιαπέρατης επιφάνειας | 0 |
| Αριθμός Καμπύλης Απορροής-CN | 35.6 |
| Αρχικές Απώλειες | 91.9 |

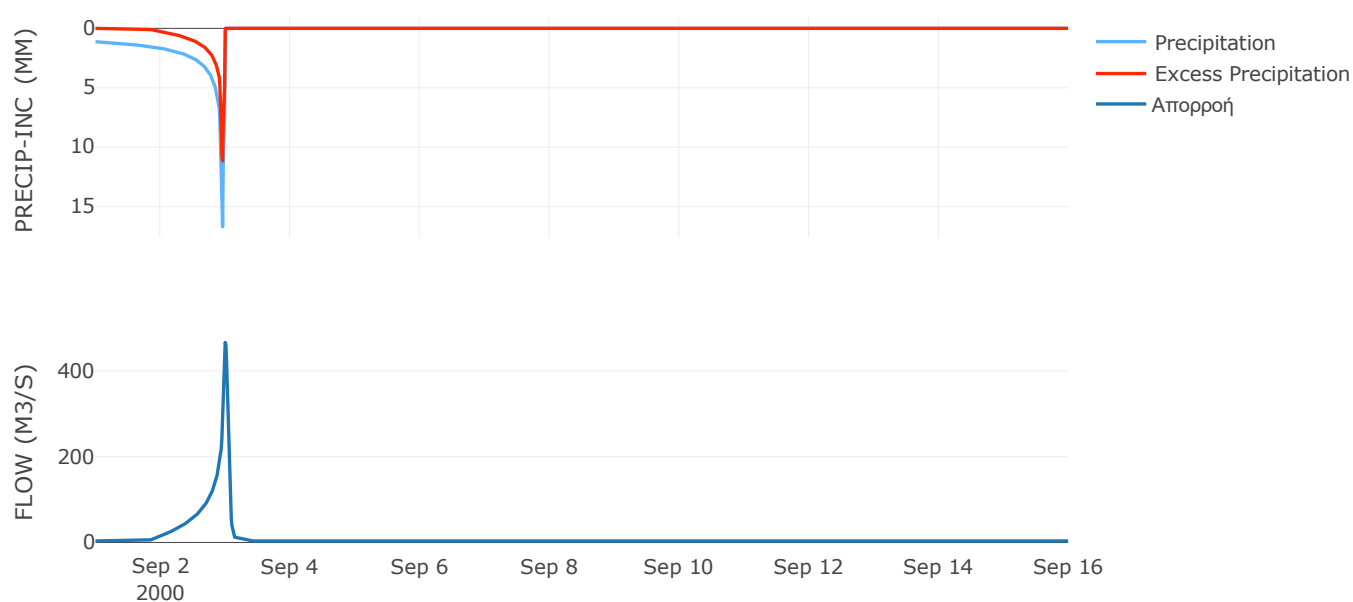
Μέθοδος
Μετασχηματισμού: SCS

| | |
|------------------|-------|
| Χρόνος Υστέρησης | 62.87 |
|------------------|-------|

Αποτελέσματα:
EL0420FR4011

| | |
|-----------------------------|------------------|
| Παροχή αιχμής (M3/S) | 466.25 |
| Χρονική στιγμή αιχμής | 02Sep2000, 24:00 |
| Όγκος (MM) | 250.71 |
| Όγκος βροχόπτωσης (M3) | 2.57E7 |
| Όγκος απωλειών (M3) | 1.65E7 |
| Ενεργός Όγκος (M3) | 9.22E6 |
| Όγκος άμεσης απορροής (M3) | 9.22E6 |
| Όγκος βασικής απορροής (M3) | 4.67E6 |

Βροχόπτωση και Απορροή



Υπολεκάνη: EL0420FR4012

Έκταση (KM2) : 2.36

Κατάνη : J12

Μέθοδος Απωλειών: SCS

| | |
|--------------------------------|-------|
| Ποσοστό αδιαπέρατης επιφάνειας | 0 |
| Αριθμός Καμπύλης Απορροής-CN | 47.06 |
| Αρχικές Απώλειες | 57.14 |

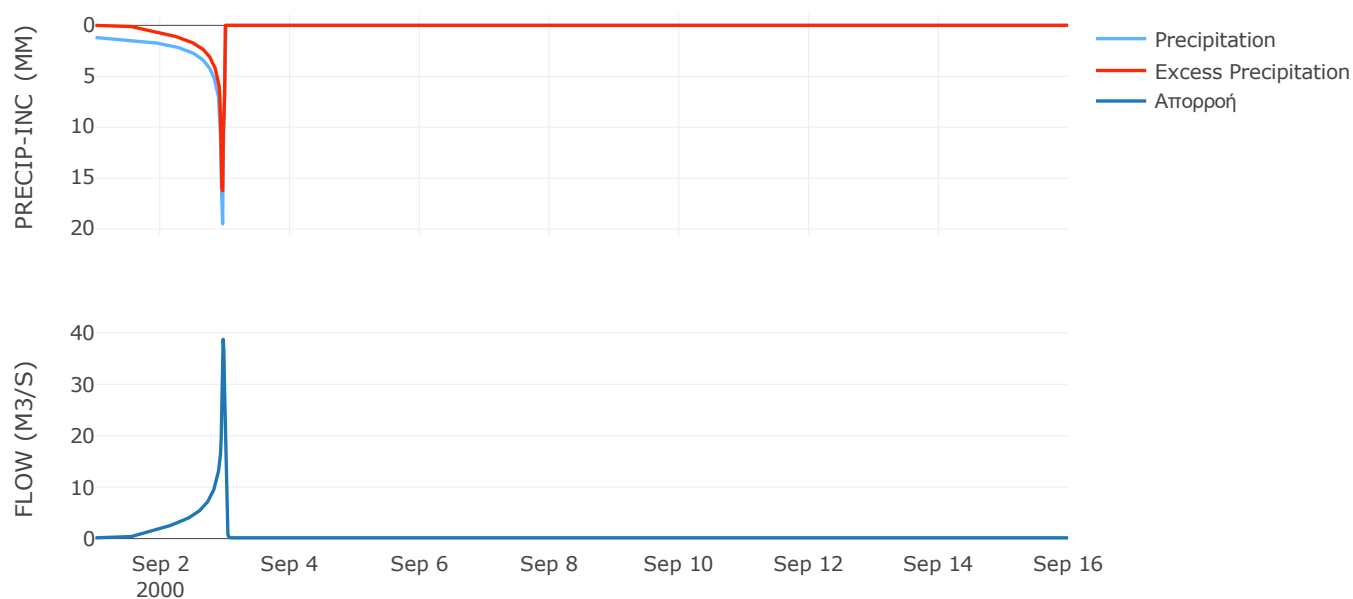
Μέθοδος
Μετασχηματισμού: SCS

| | |
|------------------|-------|
| Χρόνος Υστέρησης | 16.68 |
|------------------|-------|

Αποτελέσματα:
EL0420FR4012

| | |
|-----------------------------|------------------|
| Παροχή αιχμής (M3/S) | 38.75 |
| Χρονική στιγμή αιχμής | 02Sep2000, 23:15 |
| Όγκος (MM) | 362.17 |
| Όγκος βροχόπτωσης (M3) | 1.2E6 |
| Όγκος απωλειών (M3) | 5.48E5 |
| Ενεργός Όγκος (M3) | 6.56E5 |
| Όγκος άμεσης απορροής (M3) | 6.56E5 |
| Όγκος βασικής απορροής (M3) | 1.99E5 |

Βροχόπτωση και Απορροή



Υπολεκάνη: EL0420FR4013

Έκταση (KM2) : 1.96

Κατάντη : J14

Μέθοδος Απωλειών: SCS

| | |
|--------------------------------|-------|
| Ποσοστό αδιαπέρατης επιφάνειας | 24 |
| Αριθμός Καμπύλης Απορροής-CN | 68.45 |
| Αρχικές Απώλειες | 23.42 |

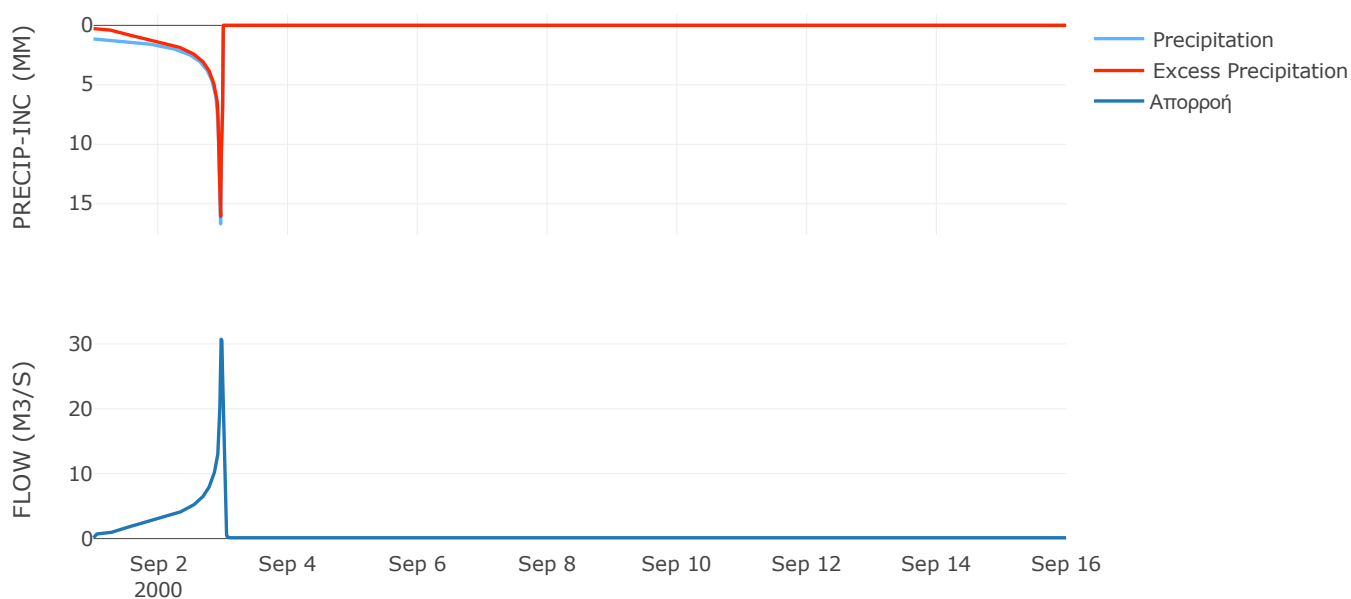
Μέθοδος
Μετασχηματισμού: SCS

| | |
|------------------|-------|
| Χρόνος Υστέρησης | 19.77 |
|------------------|-------|

Αποτελέσματα:
EL0420FR4013

| | |
|-----------------------------|------------------|
| Παροχή αιχμής (M3/S) | 30.72 |
| Χρονική στιγμή αιχμής | 02Sep2000, 23:15 |
| Όγκος (MM) | 464.82 |
| Όγκος βροχόπτωσης (M3) | 9.19E5 |
| Όγκος απωλειών (M3) | 1.73E5 |
| Ενεργός Όγκος (M3) | 7.46E5 |
| Όγκος άμεσης απορροής (M3) | 7.46E5 |
| Όγκος βασικής απορροής (M3) | 1.65E5 |

Βροχόπτωση και Απορροή



Υπολεκάνη: EL0420FR4014

Έκταση (KM2) : 27.11

Κατάντη : J14

Μέθοδος Απωλειών: SCS

| | |
|--------------------------------|-------|
| Ποσοστό αδιαπέρατης επιφάνειας | 7 |
| Αριθμός Καμπύλης Απορροής-CN | 47.63 |
| Αρχικές Απώλειες | 55.86 |

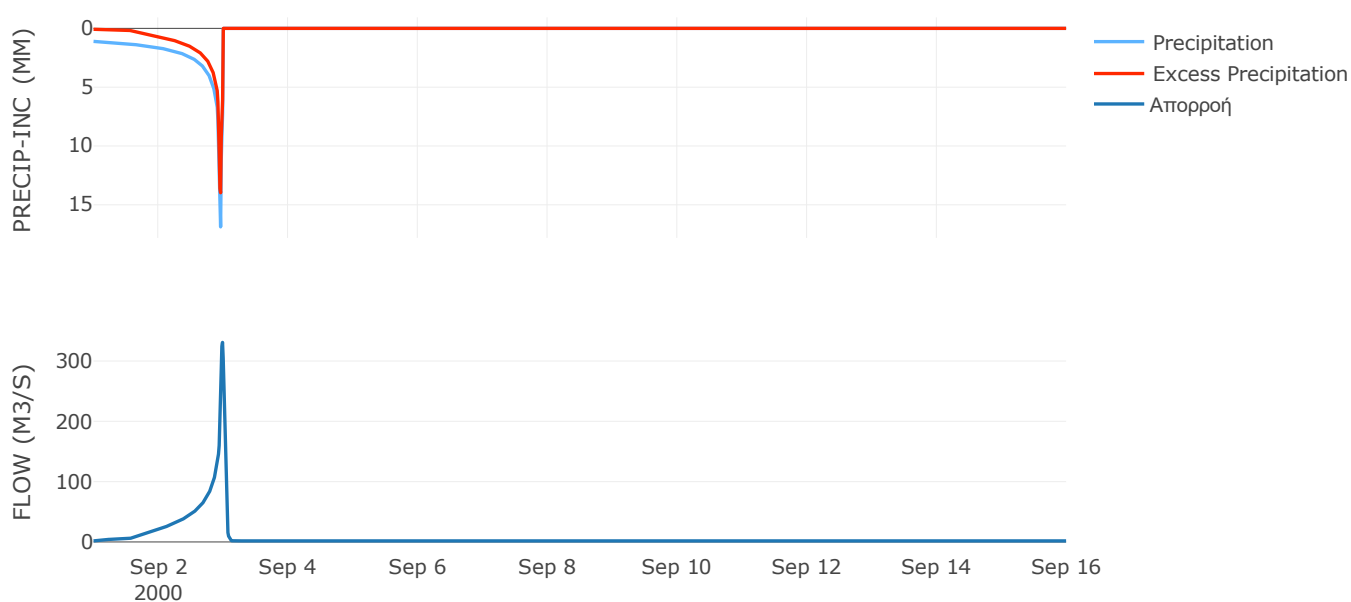
Μέθοδος
Μετασχηματισμού: SCS

| | |
|------------------|-------|
| Χρόνος Υστέρησης | 37.74 |
|------------------|-------|

Αποτελέσματα:
EL0420FR4014

| | |
|-----------------------------|------------------|
| Παροχή αιχμής (M3/S) | 330.91 |
| Χρονική στιγμή αιχμής | 02Sep2000, 23:45 |
| Όγκος (MM) | 340.06 |
| Όγκος βροχόπτωσης (M3) | 1.25E7 |
| Όγκος απωλειών (M3) | 5.58E6 |
| Ενεργός Όγκος (M3) | 6.93E6 |
| Όγκος άμεσης απορροής (M3) | 6.93E6 |
| Όγκος βασικής απορροής (M3) | 2.28E6 |

Βροχόπτωση και Απορροή



Υπολεκάνη: EL0420FR4015

Έκταση (KM2) : 10.07

Κατάνη : J15

Μέθοδος Απωλειών: SCS

| | |
|--------------------------------|-------|
| Ποσοστό αδιαπέρατης επιφάνειας | 0 |
| Αριθμός Καμπύλης Απορροής-CN | 43.85 |
| Αρχικές Απώλειες | 65.05 |

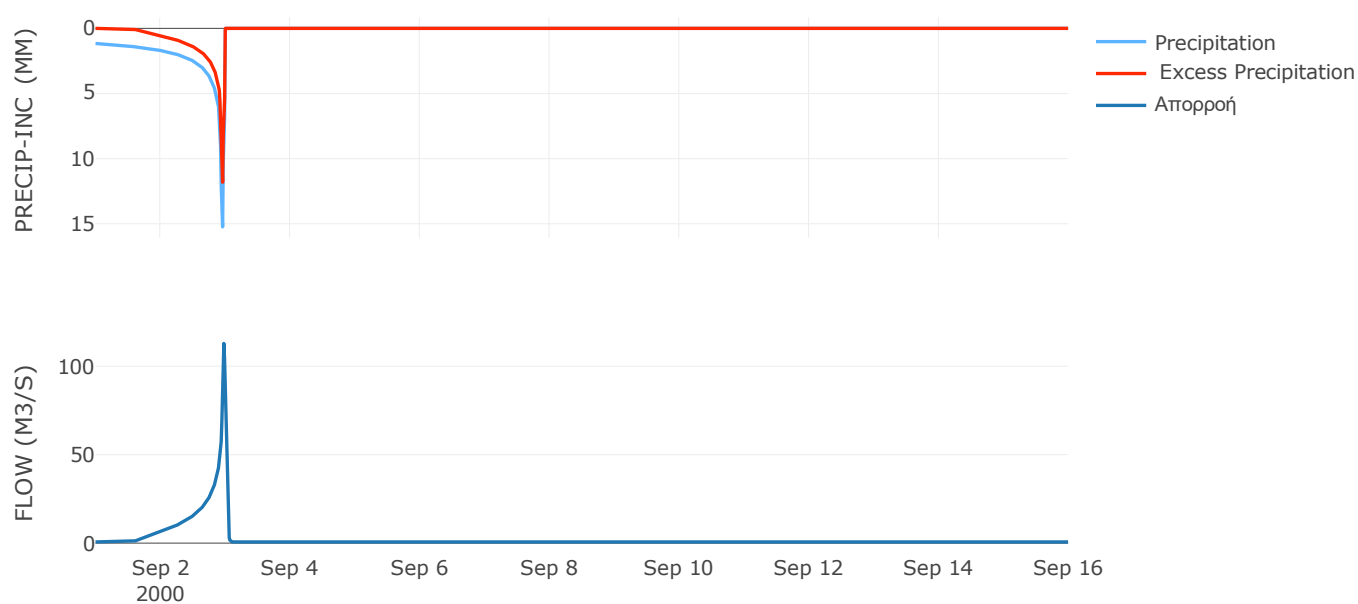
Μέθοδος
Μετασχηματισμού: SCS

| | |
|------------------|-------|
| Χρόνος Υστέρησης | 26.65 |
|------------------|-------|

Αποτελέσματα:
EL0420FR4015

| | |
|-----------------------------|------------------|
| Παροχή αιχμής (M3/S) | 112.88 |
| Χρονική στιγμή αιχμής | 02Sep2000, 23:30 |
| Όγκος (MM) | 299.67 |
| Όγκος βροχόπτωσης (M3) | 4.62E6 |
| Όγκος απωλειών (M3) | 2.45E6 |
| Ενεργός Όγκος (M3) | 2.17E6 |
| Όγκος άμεσης απορροής (M3) | 2.17E6 |
| Όγκος βασικής απορροής (M3) | 8.48E5 |

Βροχόπτωση και Απορροή



Υπολεκάνη: EL0420FR4016

Έκταση (KM2) : 12.09

Κατάντη : J16

Μέθοδος Απωλειών: SCS

| | |
|--------------------------------|-------|
| Ποσοστό αδιαπέρατης επιφάνειας | 0 |
| Αριθμός Καμπύλης Απορροής-CN | 63.3 |
| Αρχικές Απώλειες | 29.45 |

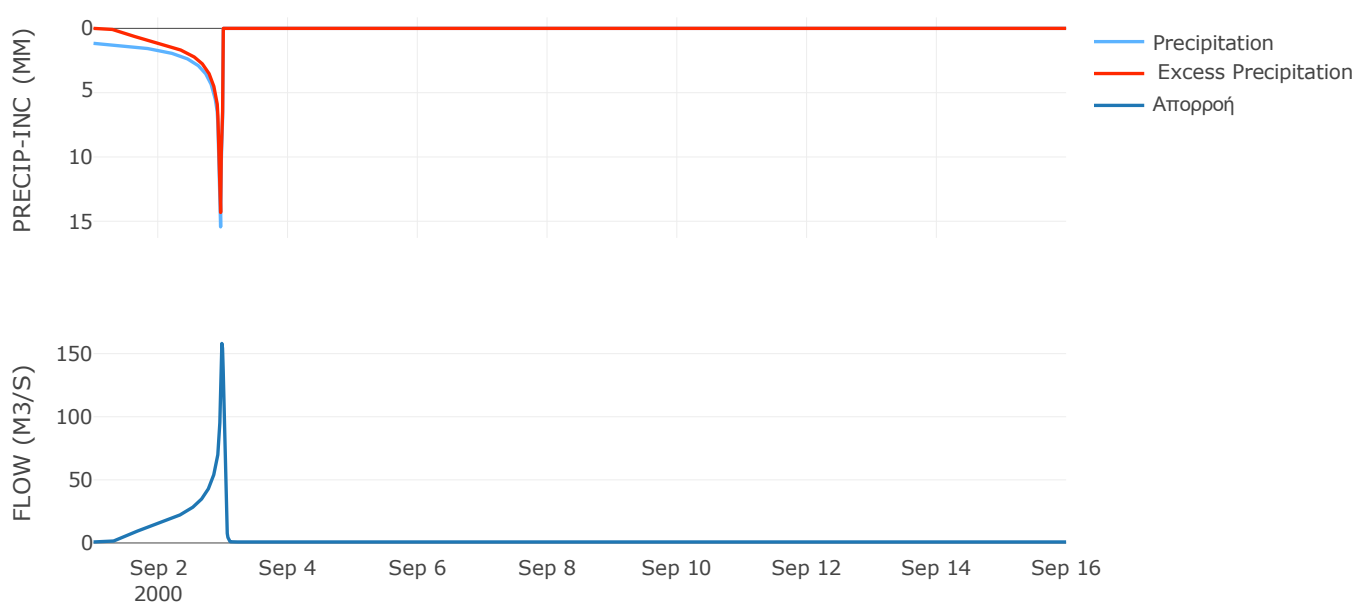
Μέθοδος
Μετασχηματισμού: SCS

| | |
|------------------|-------|
| Χρόνος Υστέρησης | 32.47 |
|------------------|-------|

Αποτελέσματα:
EL0420FR4016

| | |
|-----------------------------|------------------|
| Παροχή αιχμής (M3/S) | 158.06 |
| Χρονική στιγμή αιχμής | 02Sep2000, 23:30 |
| Όγκος (MM) | 407.23 |
| Όγκος βροχόπτωσης (M3) | 5.59E6 |
| Όγκος απωλειών (M3) | 1.68E6 |
| Ενεργός Όγκος (M3) | 3.9E6 |
| Όγκος άμεσης απορροής (M3) | 3.9E6 |
| Όγκος βασικής απορροής (M3) | 1.02E6 |

Βροχόπτωση και Απορροή



Υπολεκάνη: EL0420FR4017

Έκταση (KM2) : 0.82

Κατάληξη : J17

Μέθοδος Απωλειών: SCS

| | |
|--------------------------------|-------|
| Ποσοστό αδιαπέρατης επιφάνειας | 0 |
| Αριθμός Καμπύλης Απορροής-CN | 64.83 |
| Αρχικές Απώλειες | 27.56 |

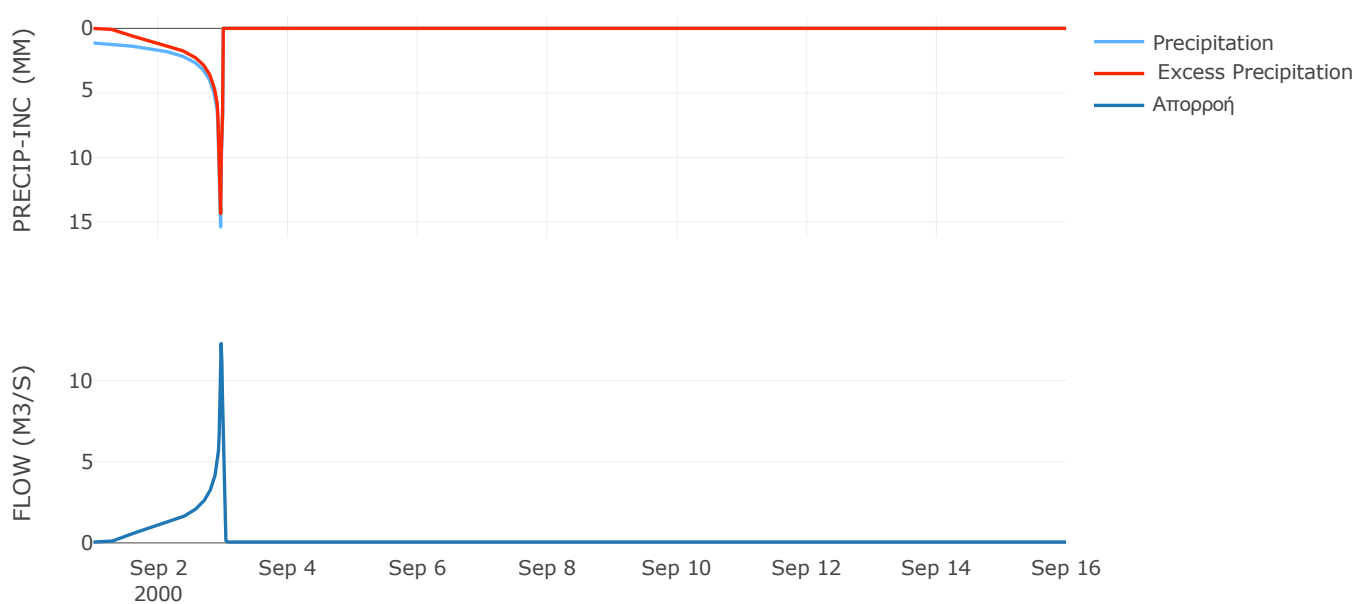
Μέθοδος
Μετασχηματισμού: SCS

| | |
|------------------|-------|
| Χρόνος Υστέρησης | 14.04 |
|------------------|-------|

Αποτελέσματα:
EL0420FR4017

| | |
|-----------------------------|------------------|
| Παροχή αιχμής (M3/S) | 12.27 |
| Χρονική στιγμή αιχμής | 02Sep2000, 23:15 |
| Όγκος (MM) | 406.05 |
| Όγκος βροχόπτωσης (M3) | 3.73E5 |
| Όγκος απωλειών (M3) | 1.08E5 |
| Ενεργός Όγκος (M3) | 2.65E5 |
| Όγκος άμεσης απορροής (M3) | 2.65E5 |
| Όγκος βασικής απορροής (M3) | 69343.78 |

Βροχόπτωση και Απορροή



Υπολεκάνη: EL0420FR4018

Έκταση (KM2) : 26.76

Κατάντη : J18

Μέθοδος Απωλειών: SCS

| | |
|--------------------------------|-------|
| Ποσοστό αδιαπέρατης επιφάνειας | 0 |
| Αριθμός Καμπύλης Απορροής-CN | 63.56 |
| Αρχικές Απώλειες | 29.12 |

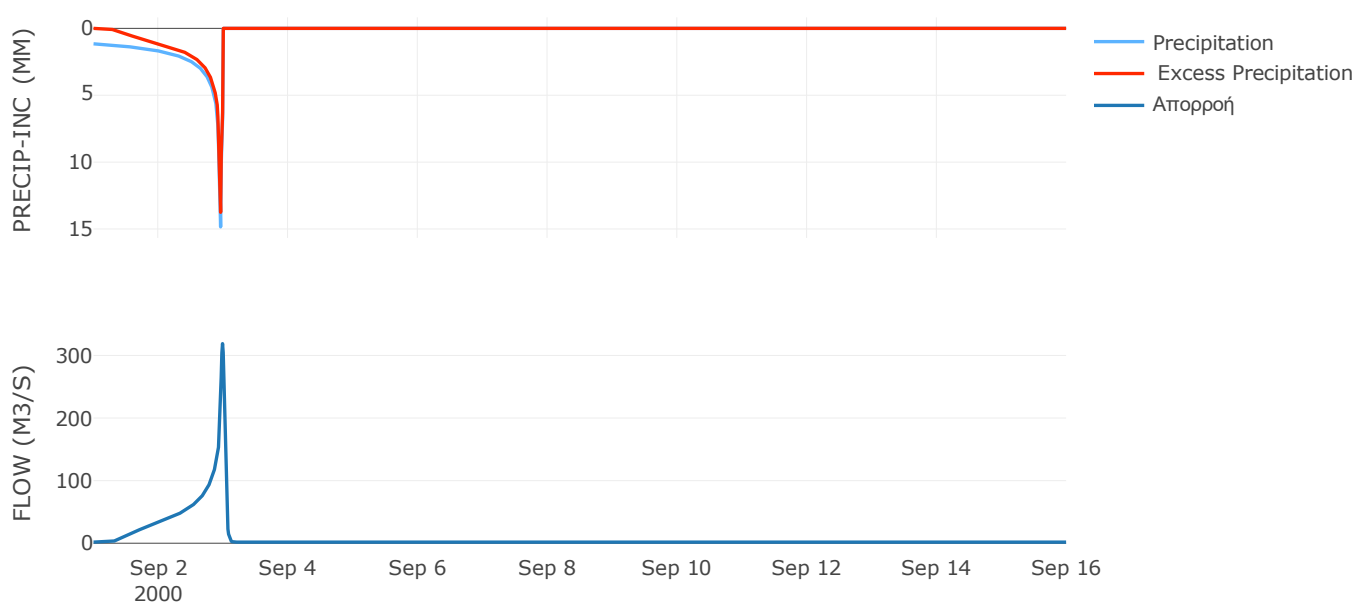
Μέθοδος
Μετασχηματισμού: SCS

| | |
|------------------|-------|
| Χρόνος Υστέρησης | 42.52 |
|------------------|-------|

Αποτελέσματα:
EL0420FR4018

| | |
|-----------------------------|------------------|
| Παροχή αιχμής (M3/S) | 318.95 |
| Χρονική στιγμή αιχμής | 02Sep2000, 23:45 |
| Όγκος (MM) | 400.03 |
| Όγκος βροχόπτωσης (M3) | 1.21E7 |
| Όγκος απωλειών (M3) | 3.68E6 |
| Ενεργός Όγκος (M3) | 8.45E6 |
| Όγκος άμεσης απορροής (M3) | 8.45E6 |
| Όγκος βασικής απορροής (M3) | 2.25E6 |

Βροχόπτωση και Απορροή



Υπολεκάνη: EL0420FR4019

Έκταση (KM2) : 0.87

Κατάντη : J19

Μέθοδος Απωλειών: SCS

| | |
|--------------------------------|-------|
| Ποσοστό αδιαπέρατης επιφάνειας | 0 |
| Αριθμός Καμπύλης Απορροής-CN | 64.75 |
| Αρχικές Απώλειες | 27.66 |

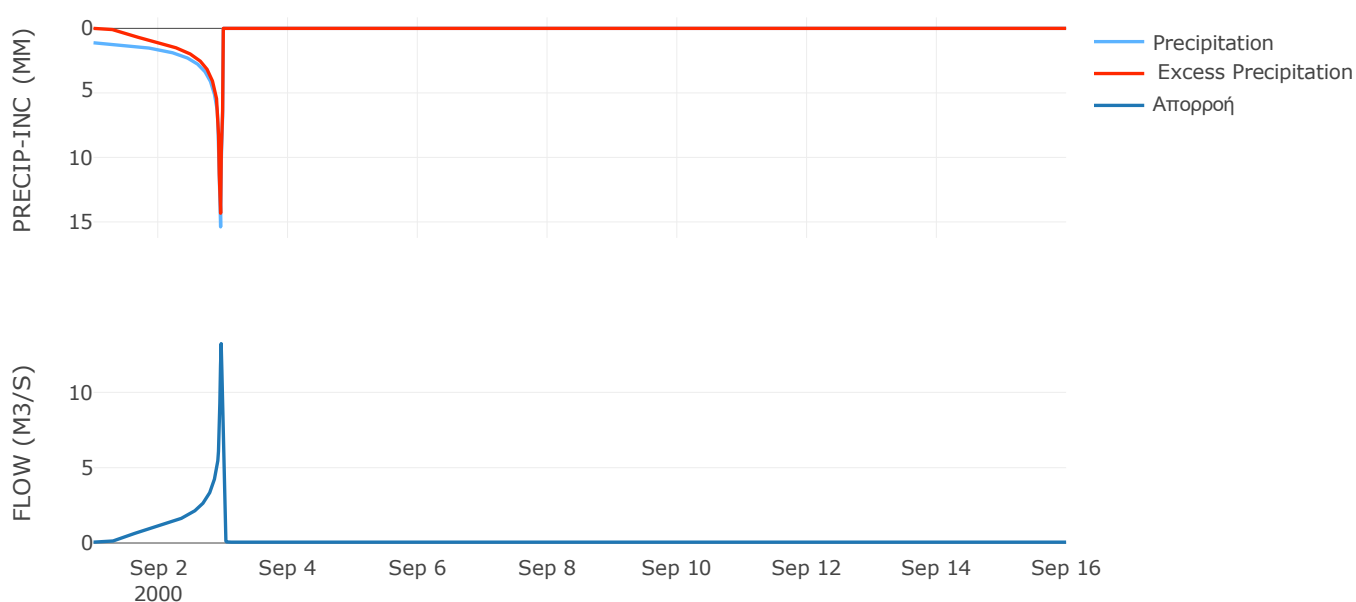
Μέθοδος
Μετασχηματισμού: SCS

| | |
|------------------|------|
| Χρόνος Υστέρησης | 12.1 |
|------------------|------|

Αποτελέσματα:
EL0420FR4019

| | |
|-----------------------------|------------------|
| Παροχή αιχμής (M3/S) | 13.23 |
| Χρονική στιγμή αιχμής | 02Sep2000, 23:15 |
| Όγκος (MM) | 401.81 |
| Όγκος βροχόπτωσης (M3) | 3.92E5 |
| Όγκος απωλειών (M3) | 1.15E5 |
| Ενεργός Όγκος (M3) | 2.77E5 |
| Όγκος άμεσης απορροής (M3) | 2.77E5 |
| Όγκος βασικής απορροής (M3) | 73488.38 |

Βροχόπτωση και Απορροή



Υπολεκάνη: EL0420FR4020

Έκταση (KM2) : 6.12

Κατάντη : J20

Μέθοδος Απωλειών: SCS

| | |
|--------------------------------|-------|
| Ποσοστό αδιαπέρατης επιφάνειας | 0 |
| Αριθμός Καμπύλης Απορροής-CN | 65 |
| Αρχικές Απώλειες | 27.35 |

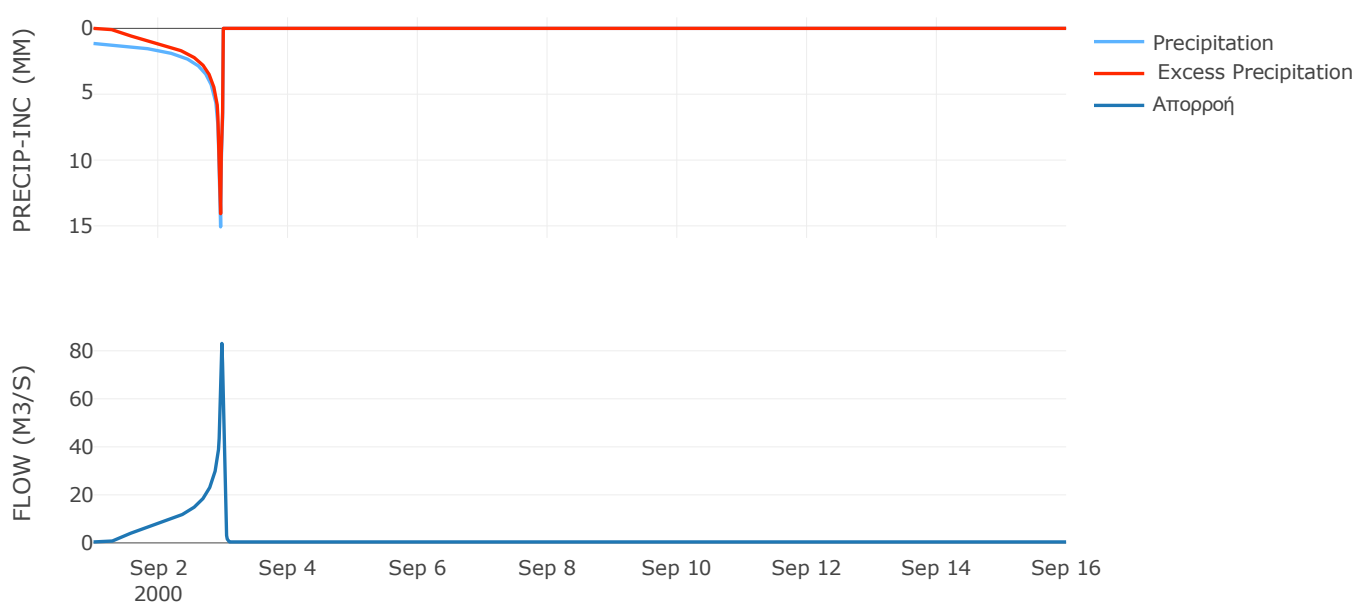
Μέθοδος
Μετασχηματισμού: SCS

| | |
|------------------|-------|
| Χρόνος Υστέρησης | 24.92 |
|------------------|-------|

Αποτελέσματα:
EL0420FR4020

| | |
|-----------------------------|------------------|
| Παροχή αιχμής (M3/S) | 83.06 |
| Χρονική στιγμή αιχμής | 02Sep2000, 23:30 |
| Όγκος (MM) | 407.35 |
| Όγκος βροχόπτωσης (M3) | 2.78E6 |
| Όγκος απωλειών (M3) | 8.02E5 |
| Ενεργός Όγκος (M3) | 1.98E6 |
| Όγκος άμεσης απορροής (M3) | 1.98E6 |
| Όγκος βασικής απορροής (M3) | 5.16E5 |

Βροχόπτωση και Απορροή



Υπολεκάνη: EL0420FR4021

Έκταση (KM2) : 32.13

Κατάντη : J21

Μέθοδος Απωλειών: SCS

| | |
|--------------------------------|-------|
| Ποσοστό αδιαπέρατης επιφάνειας | 0 |
| Αριθμός Καμπύλης Απορροής-CN | 59.31 |
| Αρχικές Απώλειες | 34.85 |

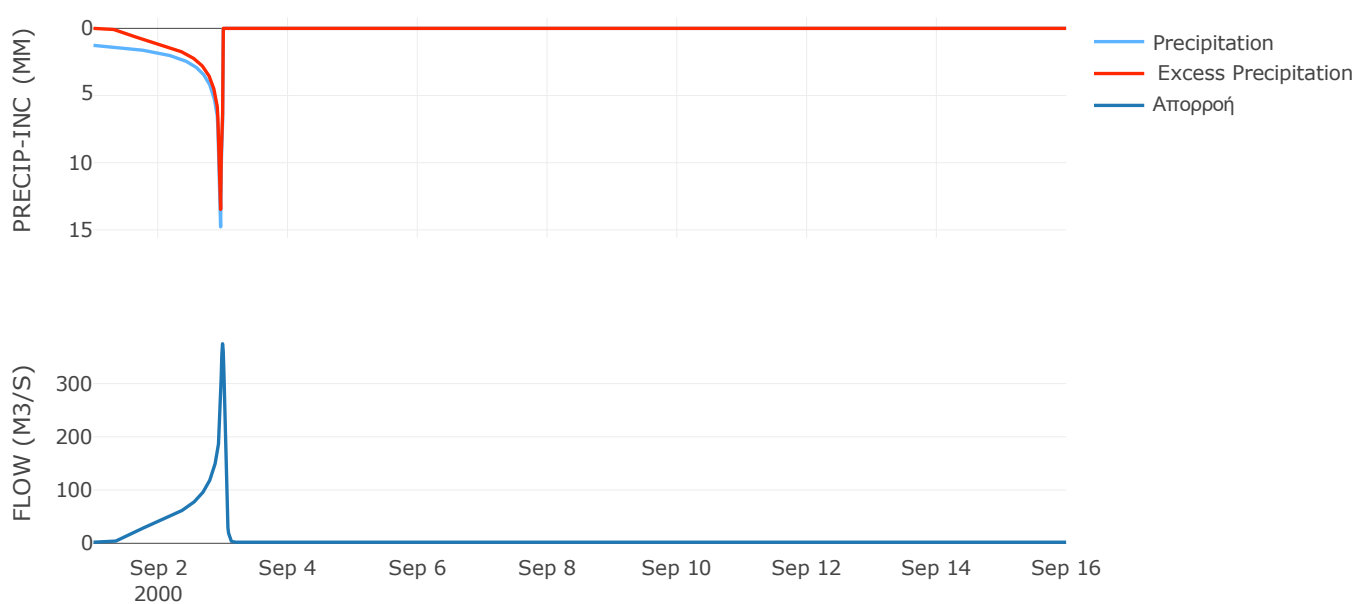
Μέθοδος
Μετασχηματισμού: SCS

| | |
|------------------|-------|
| Χρόνος Υστέρησης | 43.71 |
|------------------|-------|

Αποτελέσματα:
EL0420FR4021

| | |
|-----------------------------|------------------|
| Παροχή αιχμής (M3/S) | 374.93 |
| Χρονική στιγμή αιχμής | 02Sep2000, 23:45 |
| Όγκος (MM) | 404.9 |
| Όγκος βροχόπτωσης (M3) | 1.54E7 |
| Όγκος απωλειών (M3) | 5.15E6 |
| Ενεργός Όγκος (M3) | 1.03E7 |
| Όγκος άμεσης απορροής (M3) | 1.03E7 |
| Όγκος βασικής απορροής (M3) | 2.71E6 |

Βροχόπτωση και Απορροή



Υπολεκάνη: EL0420FR4022

Έκταση (KM2) : 15.31

Κατάντη : J21

Μέθοδος Απωλειών: SCS

| | |
|--------------------------------|-------|
| Ποσοστό αδιαπέρατης επιφάνειας | 0 |
| Αριθμός Καμπύλης Απορροής-CN | 64.99 |
| Αρχικές Απώλειες | 27.37 |

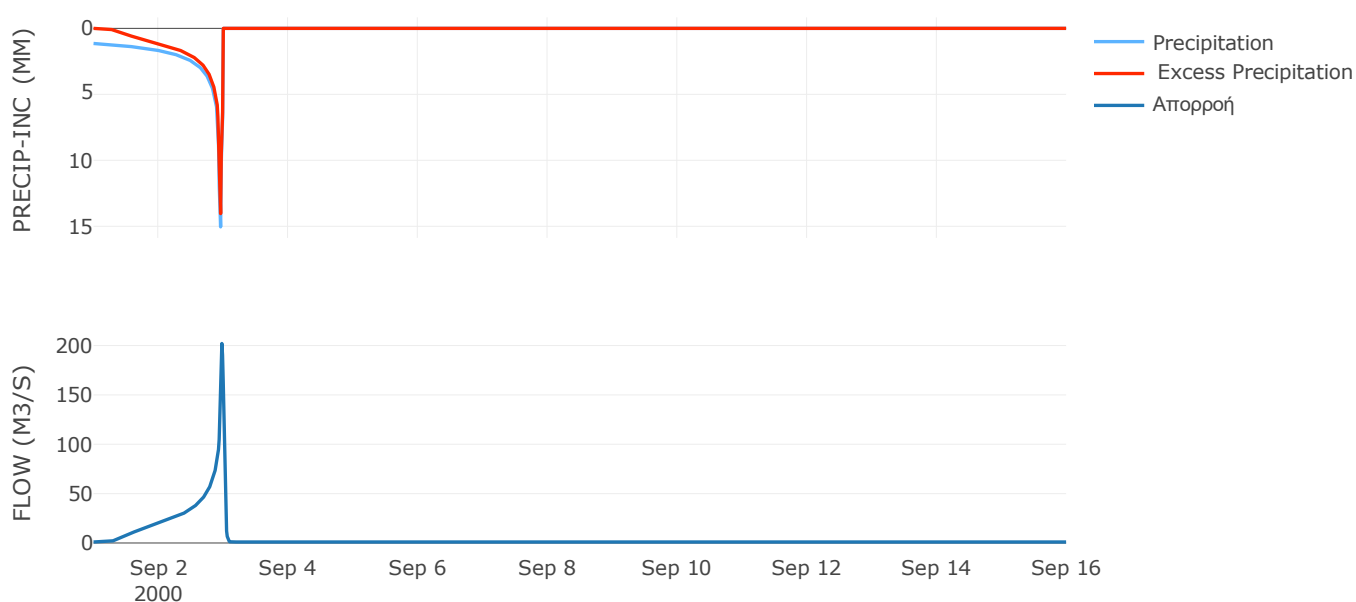
Μέθοδος
Μετασχηματισμού: SCS

| | |
|------------------|-------|
| Χρόνος Υστέρησης | 28.99 |
|------------------|-------|

Αποτελέσματα:
EL0420FR4022

| | |
|-----------------------------|------------------|
| Παροχή αιχμής (M3/S) | 202.09 |
| Χρονική στιγμή αιχμής | 02Sep2000, 23:30 |
| Όγκος (MM) | 405.96 |
| Όγκος βροχόπτωσης (M3) | 6.93E6 |
| Όγκος απωλειών (M3) | 2E6 |
| Ενεργός Όγκος (M3) | 4.92E6 |
| Όγκος άμεσης απορροής (M3) | 4.92E6 |
| Όγκος βασικής απορροής (M3) | 1.29E6 |

Βροχόπτωση και Απορροή



Υπολεκάνη: EL0420FR4023

Έκταση (KM2) : 11.12

Κατάντη : J22

Μέθοδος Απωλειών: SCS

| | |
|--------------------------------|-------|
| Ποσοστό αδιαπέρατης επιφάνειας | 0 |
| Αριθμός Καμπύλης Απορροής-CN | 46.54 |
| Αρχικές Απώλειες | 58.34 |

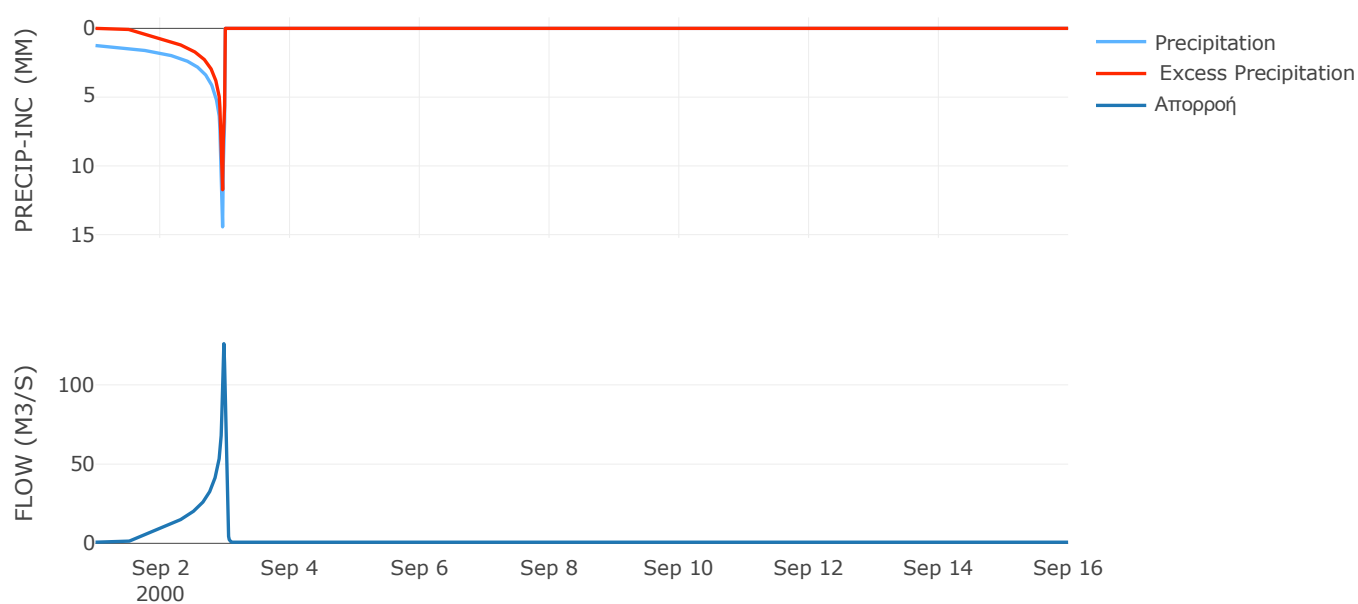
Μέθοδος
Μετασχηματισμού: SCS

| | |
|------------------|-------|
| Χρόνος Υστέρησης | 23.92 |
|------------------|-------|

Αποτελέσματα:
EL0420FR4023

| | |
|-----------------------------|------------------|
| Παροχή αιχμής (M3/S) | 126.01 |
| Χρονική στιγμή αιχμής | 02Sep2000, 23:30 |
| Όγκος (MM) | 327.56 |
| Όγκος βροχόπτωσης (M3) | 5.26E6 |
| Όγκος απωλειών (M3) | 2.55E6 |
| Ενεργός Όγκος (M3) | 2.7E6 |
| Όγκος άμεσης απορροής (M3) | 2.7E6 |
| Όγκος βασικής απορροής (M3) | 9.36E5 |

Βροχόπτωση και Απορροή



Υπολεκάνη: EL0420FR4024

Έκταση (KM2) : 19.63

Κατάντη : J22

Μέθοδος Απωλειών: SCS

| | |
|--------------------------------|-------|
| Ποσοστό αδιαπέρατης επιφάνειας | 0 |
| Αριθμός Καμπύλης Απορροής-CN | 60.19 |
| Αρχικές Απώλειες | 33.6 |

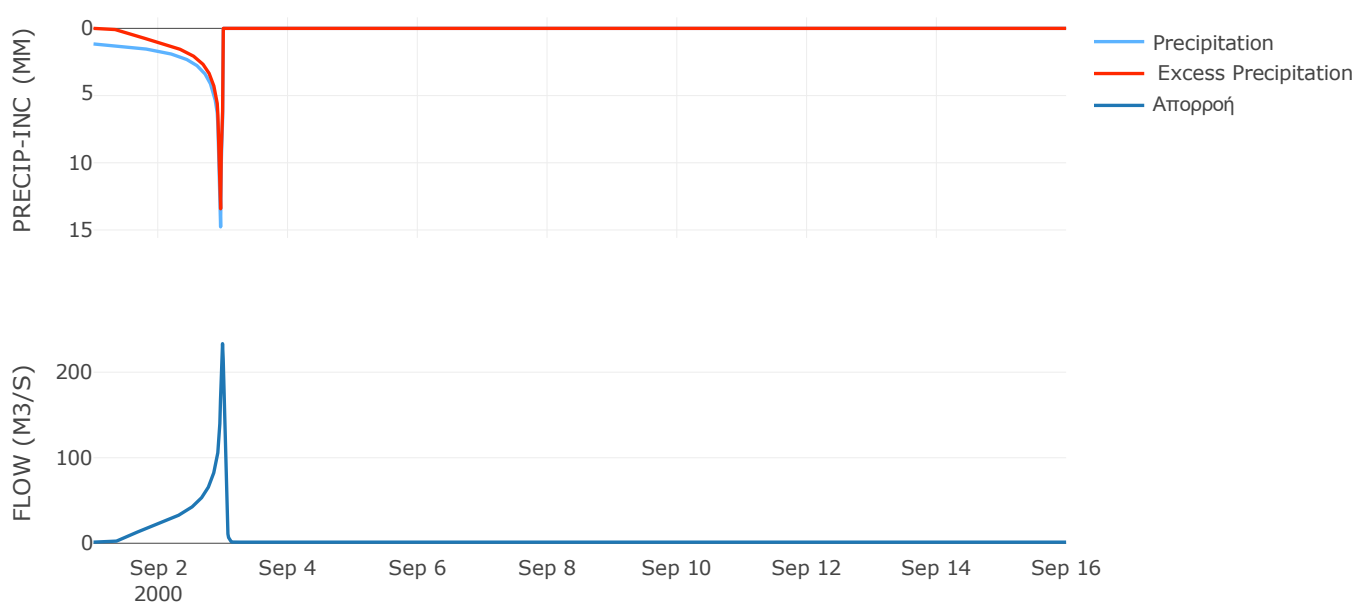
Μέθοδος
Μετασχηματισμού: SCS

| | |
|------------------|------|
| Χρόνος Υστέρησης | 37.3 |
|------------------|------|

Αποτελέσματα:
EL0420FR4024

| | |
|-----------------------------|------------------|
| Παροχή αιχμής (M3/S) | 233.4 |
| Χρονική στιγμή αιχμής | 02Sep2000, 23:45 |
| Όγκος (MM) | 384.69 |
| Όγκος βροχόπτωσης (M3) | 8.91E6 |
| Όγκος απωλειών (M3) | 3.02E6 |
| Ενεργός Όγκος (M3) | 5.9E6 |
| Όγκος άμεσης απορροής (M3) | 5.9E6 |
| Όγκος βασικής απορροής (M3) | 1.65E6 |

Βροχόπτωση και Απορροή



Υπολεκάνη: EL0420FR4025

Έκταση (KM2) : 67.33

Κατάντη : J16

Μέθοδος Απωλειών: SCS

| | |
|--------------------------------|-------|
| Ποσοστό αδιαπέρατης επιφάνειας | 0 |
| Αριθμός Καμπύλης Απορροής-CN | 62.35 |
| Αρχικές Απώλειες | 30.68 |

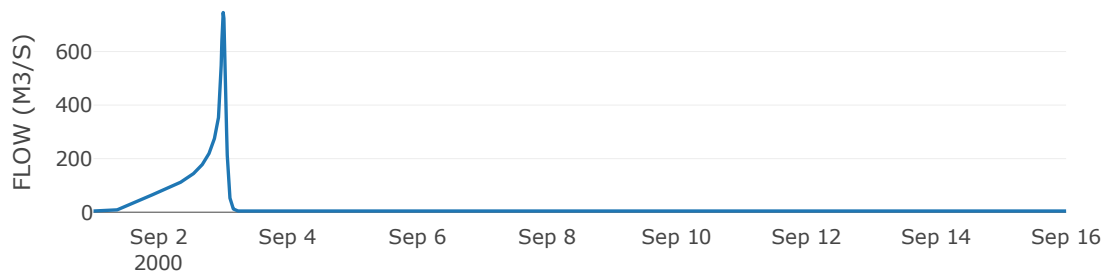
Μέθοδος
Μετασχηματισμού: SCS

| | |
|------------------|-------|
| Χρόνος Υστέρησης | 60.28 |
|------------------|-------|

Αποτελέσματα:
EL0420FR4025

| | |
|-----------------------------|------------------|
| Παροχή αιχμής (M3/S) | 745.72 |
| Χρονική στιγμή αιχμής | 02Sep2000, 24:00 |
| Όγκος (MM) | 386.08 |
| Όγκος βροχόπτωσης (M3) | 2.99E7 |
| Όγκος απωλειών (M3) | 9.6E6 |
| Ενεργός Όγκος (M3) | 2.03E7 |
| Όγκος άμεσης απορροής (M3) | 2.03E7 |
| Όγκος βασικής απορροής (M3) | 5.67E6 |

Βροχόπτωση και Απορροή



Υπολεκάνη: EL0420FR4026

Έκταση (KM2) : 8.76

Κατάνη : J15

Μέθοδος Απωλειών: SCS

| | |
|--------------------------------|-------|
| Ποσοστό αδιαπέρατης επιφάνειας | 0 |
| Αριθμός Καμπύλης Απορροής-CN | 40.43 |
| Αρχικές Απώλειες | 74.84 |

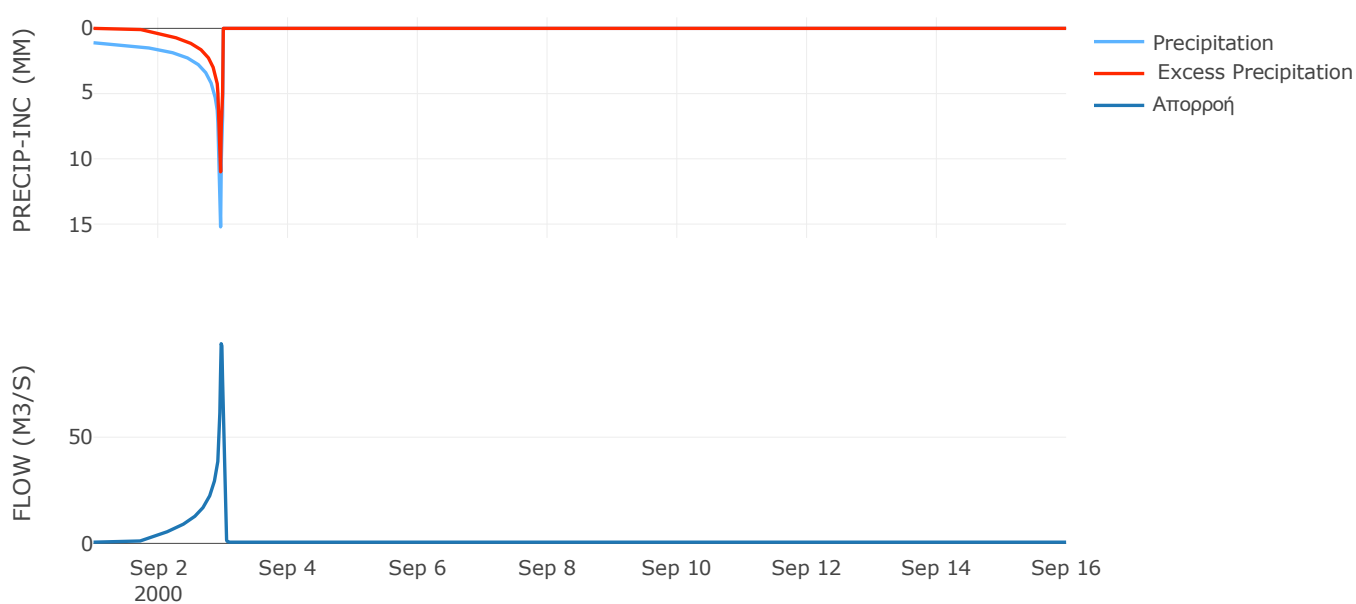
Μέθοδος
Μετασχηματισμού: SCS

| | |
|------------------|-------|
| Χρόνος Υστέρησης | 18.67 |
|------------------|-------|

Αποτελέσματα:
EL0420FR4026

| | |
|-----------------------------|------------------|
| Παροχή αιχμής (M3/S) | 94.07 |
| Χρονική στιγμή αιχμής | 02Sep2000, 23:15 |
| Όγκος (MM) | 267.36 |
| Όγκος βροχόπτωσης (M3) | 3.89E6 |
| Όγκος απωλειών (M3) | 2.28E6 |
| Ενεργός Όγκος (M3) | 1.6E6 |
| Όγκος άμεσης απορροής (M3) | 1.6E6 |
| Όγκος βασικής απορροής (M3) | 7.38E5 |

Βροχόπτωση και Απορροή



Υπολεκάνη: EL0420FR4027

Έκταση (KM2) : 13.94

Κατάντη : J29

Μέθοδος Απωλειών: SCS

| | |
|--------------------------------|-------|
| Ποσοστό αδιαπέρατης επιφάνειας | 0 |
| Αριθμός Καμπύλης Απορροής-CN | 46.27 |
| Αρχικές Απώλειες | 58.99 |

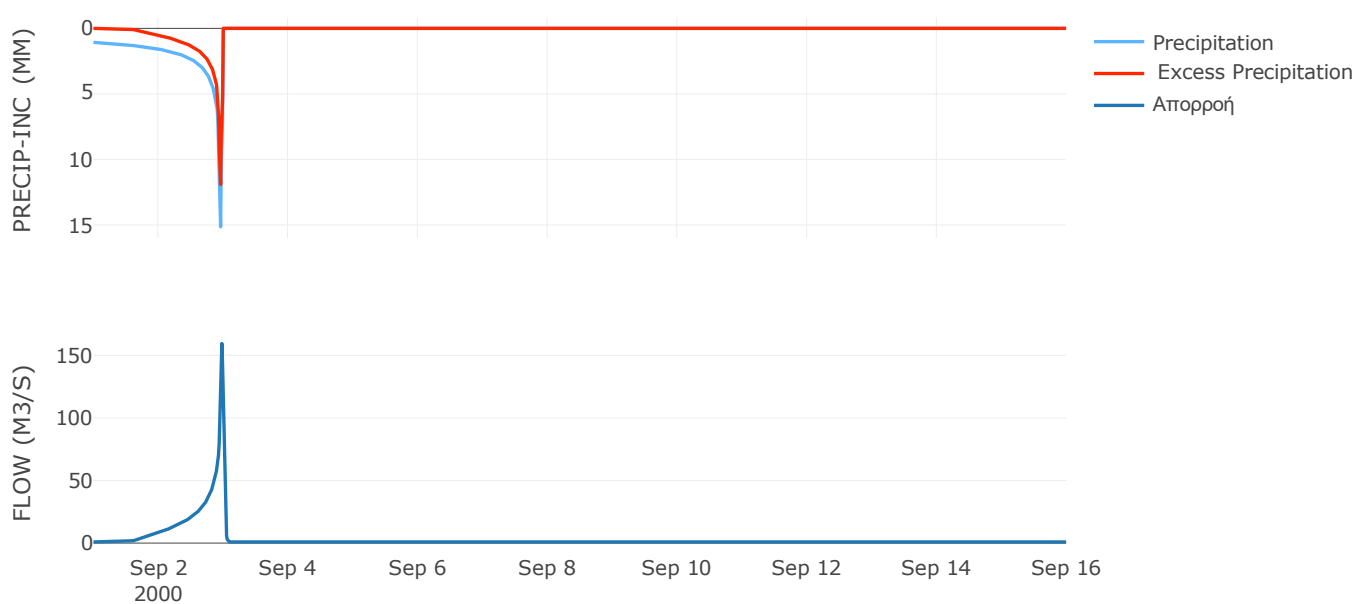
Μέθοδος
Μετασχηματισμού: SCS

| | |
|------------------|-------|
| Χρόνος Υστέρησης | 24.36 |
|------------------|-------|

Αποτελέσματα:
EL0420FR4027

| | |
|-----------------------------|------------------|
| Παροχή αιχμής (M3/S) | 159.5 |
| Χρονική στιγμή αιχμής | 02Sep2000, 23:30 |
| Όγκος (MM) | 293.99 |
| Όγκος βροχόπτωσης (M3) | 6.05E6 |
| Όγκος απωλειών (M3) | 3.12E6 |
| Ενεργός Όγκος (M3) | 2.92E6 |
| Όγκος άμεσης απορροής (M3) | 2.92E6 |
| Όγκος βασικής απορροής (M3) | 1.17E6 |

Βροχόπτωση και Απορροή



Υπολεκάνη: EL0420FR4028

Έκταση (KM2) : 17.93

Κατάντη : J29

Μέθοδος Απωλειών: SCS

| | |
|--------------------------------|-------|
| Ποσοστό αδιαπέρατης επιφάνειας | 0 |
| Αριθμός Καμπύλης Απορροής-CN | 61.07 |
| Αρχικές Απώλειες | 32.38 |

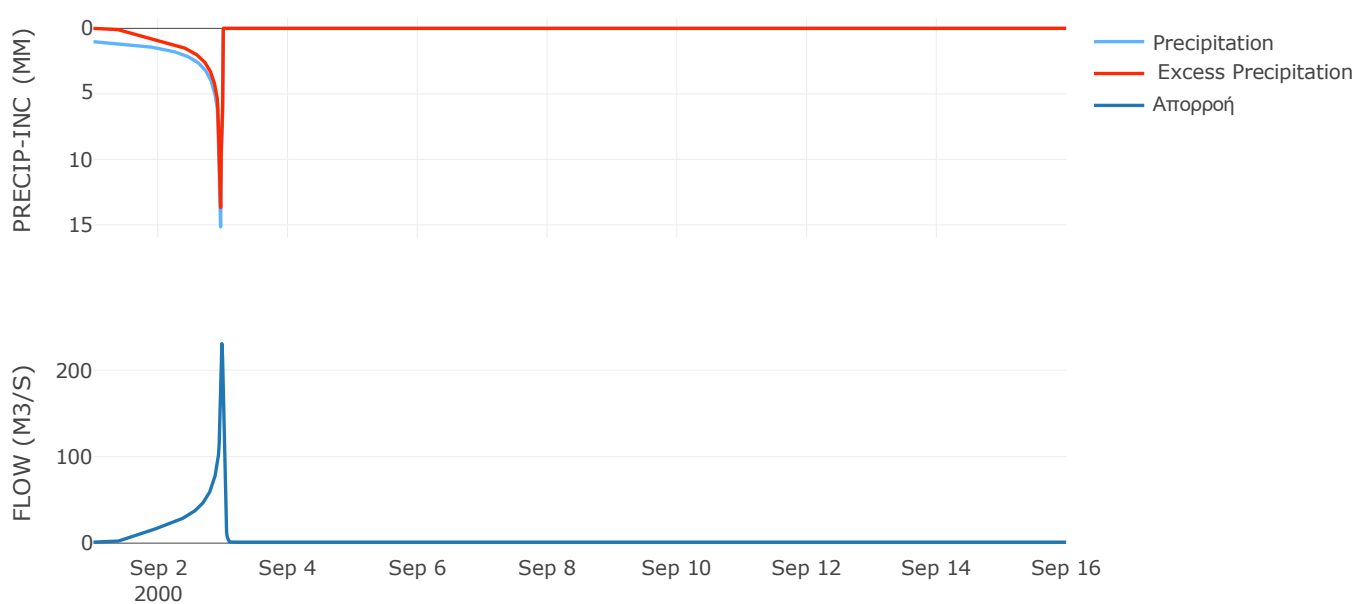
Μέθοδος
Μετασχηματισμού: SCS

| | |
|------------------|-------|
| Χρόνος Υστέρησης | 28.52 |
|------------------|-------|

Αποτελέσματα:
EL0420FR4028

| | |
|-----------------------------|------------------|
| Παροχή αιχμής (M3/S) | 230.69 |
| Χρονική στιγμή αιχμής | 02Sep2000, 23:30 |
| Όγκος (MM) | 358.93 |
| Όγκος βροχόπτωσης (M3) | 7.55E6 |
| Όγκος απωλειών (M3) | 2.63E6 |
| Ενεργός Όγκος (M3) | 4.92E6 |
| Όγκος άμεσης απορροής (M3) | 4.92E6 |
| Όγκος βασικής απορροής (M3) | 1.51E6 |

Βροχόπτωση και Απορροή



Υπολεκάνη: EL0420FR4029

Έκταση (KM2) : 31.51

Κατάντη : J28

Μέθοδος Απωλειών: SCS

| | |
|--------------------------------|-------|
| Ποσοστό αδιαπέρατης επιφάνειας | 0 |
| Αριθμός Καμπύλης Απορροής-CN | 34.31 |
| Αρχικές Απώλειες | 97.25 |

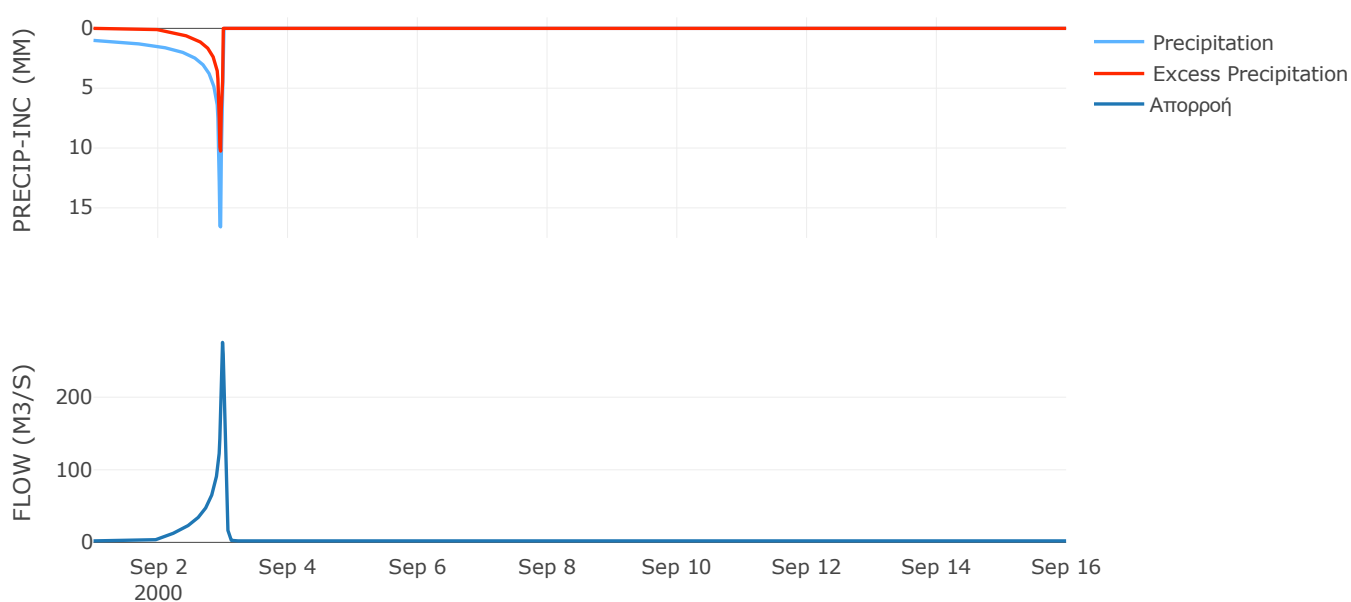
Μέθοδος
Μετασχηματισμού: SCS

| | |
|------------------|------|
| Χρόνος Υστέρησης | 40.1 |
|------------------|------|

Αποτελέσματα:
EL0420FR4029

| | |
|-----------------------------|------------------|
| Παροχή αιχμής (M3/S) | 275.51 |
| Χρονική στιγμή αιχμής | 02Sep2000, 23:45 |
| Όγκος (MM) | 220.83 |
| Όγκος βροχόπτωσης (M3) | 1.36E7 |
| Όγκος απωλειών (M3) | 9.31E6 |
| Ενεργός Όγκος (M3) | 4.3E6 |
| Όγκος άμεσης απορροής (M3) | 4.3E6 |
| Όγκος βασικής απορροής (M3) | 2.65E6 |

Βροχόπτωση και Απορροή



Υπολεκάνη: EL0420FR4030

Έκταση (KM2) : 11.42

Κατάντη : J28

Μέθοδος Απωλειών: SCS

| | |
|--------------------------------|-------|
| Ποσοστό αδιαπέρατης επιφάνειας | 0 |
| Αριθμός Καμπύλης Απορροής-CN | 40.83 |
| Αρχικές Απώλειες | 73.62 |

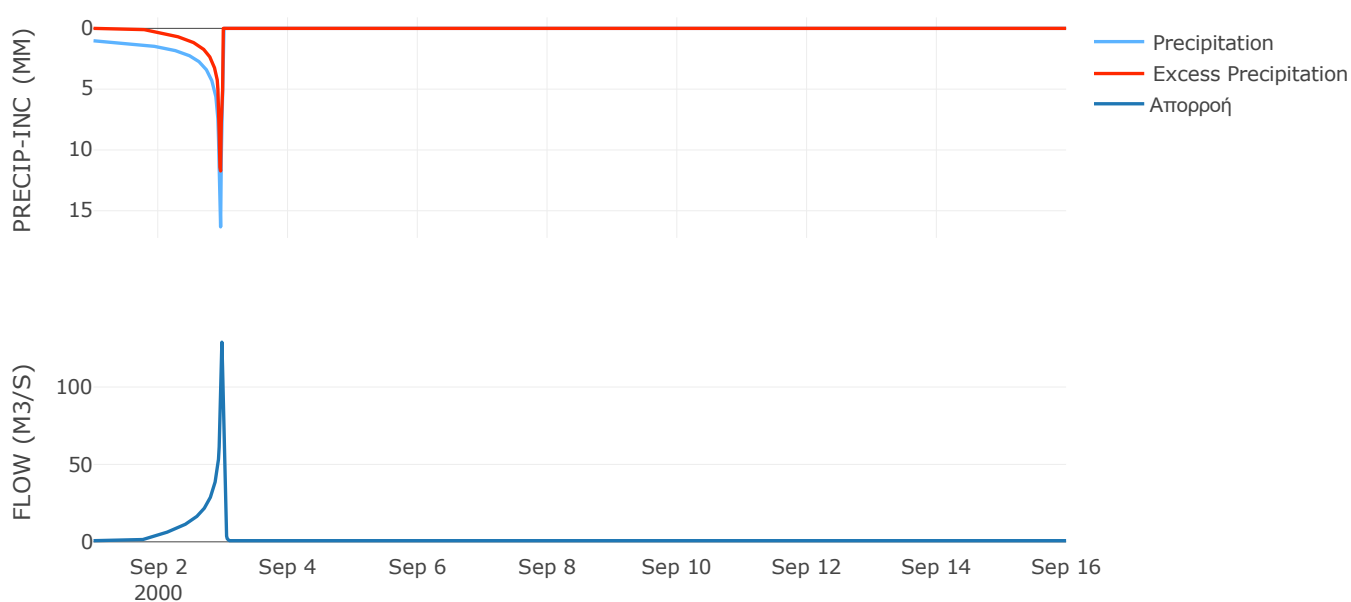
Μέθοδος
Μετασχηματισμού: SCS

| | |
|------------------|-------|
| Χρόνος Υστέρησης | 22.94 |
|------------------|-------|

Αποτελέσματα:
EL0420FR4030

| | |
|-----------------------------|------------------|
| Παροχή αιχμής (M3/S) | 128.99 |
| Χρονική στιγμή αιχμής | 02Sep2000, 23:30 |
| Όγκος (MM) | 261.84 |
| Όγκος βροχόπτωσης (M3) | 4.95E6 |
| Όγκος απωλειών (M3) | 2.92E6 |
| Ενεργός Όγκος (M3) | 2.03E6 |
| Όγκος άμεσης απορροής (M3) | 2.03E6 |
| Όγκος βασικής απορροής (M3) | 9.62E5 |

Βροχόπτωση και Απορροή



Υπολεκάνη: EL0420FR4031

Έκταση (KM2) : 2.28

Κατάνη : J27

Μέθοδος Απωλειών: SCS

| | |
|--------------------------------|-------|
| Ποσοστό αδιαπέρατης επιφάνειας | 0 |
| Αριθμός Καμπύλης Απορροής-CN | 48.92 |
| Αρχικές Απώλειες | 53.05 |

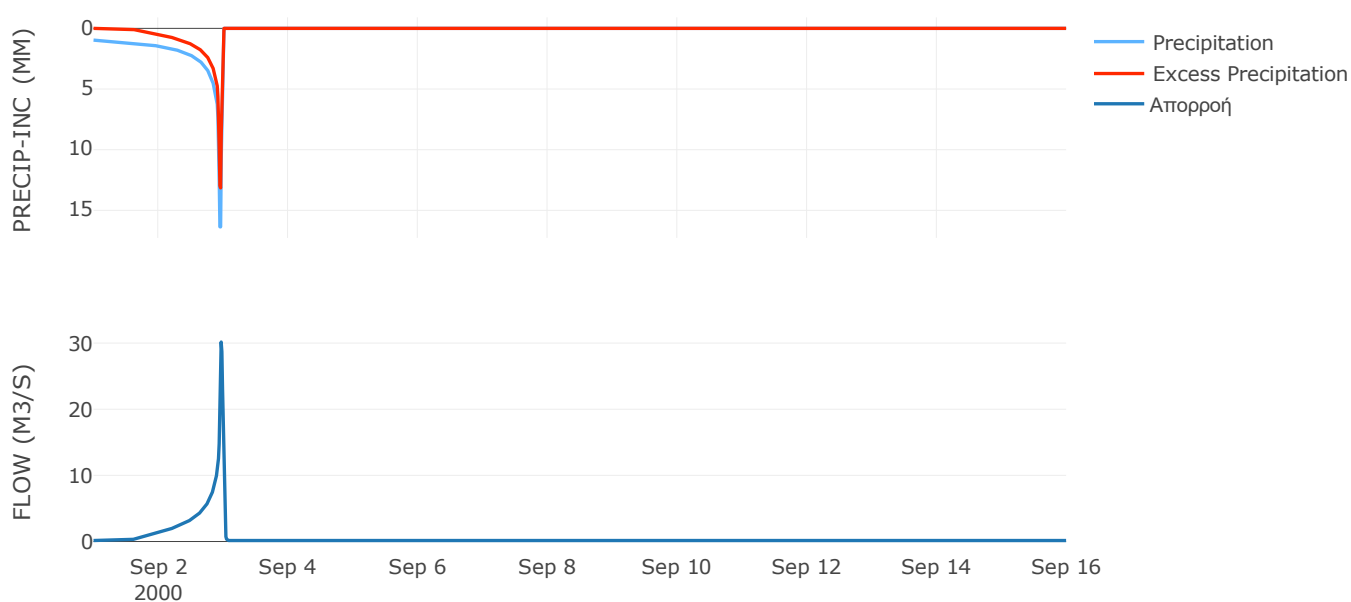
Μέθοδος
Μετασχηματισμού: SCS

| | |
|------------------|-------|
| Χρόνος Υστέρησης | 17.25 |
|------------------|-------|

Αποτελέσματα:
EL0420FR4031

| | |
|-----------------------------|------------------|
| Παροχή αιχμής (M3/S) | 30.16 |
| Χρονική στιγμή αιχμής | 02Sep2000, 23:15 |
| Όγκος (MM) | 296.94 |
| Όγκος βροχόπτωσης (M3) | 9.58E5 |
| Όγκος απωλειών (M3) | 4.73E5 |
| Ενεργός Όγκος (M3) | 4.86E5 |
| Όγκος άμεσης απορροής (M3) | 4.86E5 |
| Όγκος βασικής απορροής (M3) | 1.92E5 |

Βροχόπτωση και Απορροή



Υπολεκάνη: EL0420FR4032

Έκταση (KM2) : 20.34

Κατάντη : J27

Μέθοδος Απωλειών: SCS

| | |
|--------------------------------|-------|
| Ποσοστό αδιαπέρατης επιφάνειας | 0 |
| Αριθμός Καμπύλης Απορροής-CN | 39.12 |
| Αρχικές Απώλειες | 79.07 |

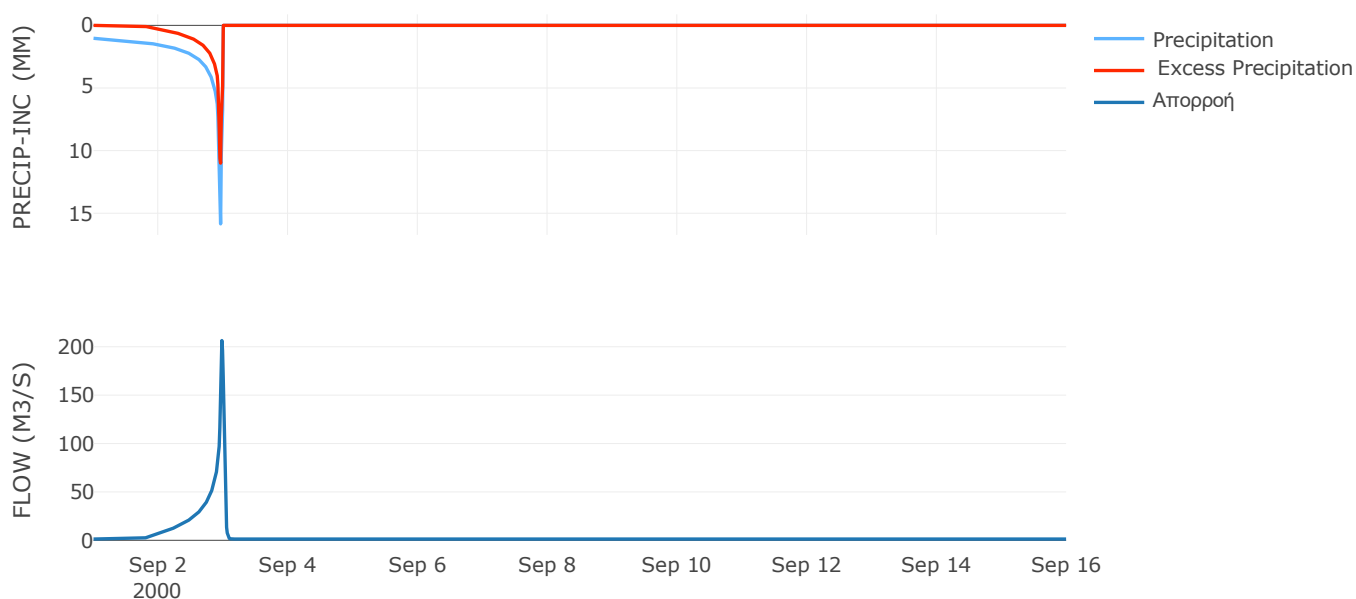
Μέθοδος
Μετασχηματισμού: SCS

| | |
|------------------|-------|
| Χρόνος Υστέρησης | 29.65 |
|------------------|-------|

Αποτελέσματα:
EL0420FR4032

| | |
|-----------------------------|------------------|
| Παροχή αιχμής (M3/S) | 206.4 |
| Χρονική στιγμή αιχμής | 02Sep2000, 23:30 |
| Όγκος (MM) | 250.42 |
| Όγκος βροχόπτωσης (M3) | 8.78E6 |
| Όγκος απωλειών (M3) | 5.4E6 |
| Ενεργός Όγκος (M3) | 3.38E6 |
| Όγκος άμεσης απορροής (M3) | 3.38E6 |
| Όγκος βασικής απορροής (M3) | 1.71E6 |

Βροχόπτωση και Απορροή



Υπολεκάνη: EL0420FR4033

Έκταση (KM2) : 42.85

Κατάντη : J8

Μέθοδος Απωλειών: SCS

| | |
|--------------------------------|-------|
| Ποσοστό αδιαπέρατης επιφάνειας | 0 |
| Αριθμός Καμπύλης Απορροής-CN | 39.48 |
| Αρχικές Απώλειες | 77.88 |

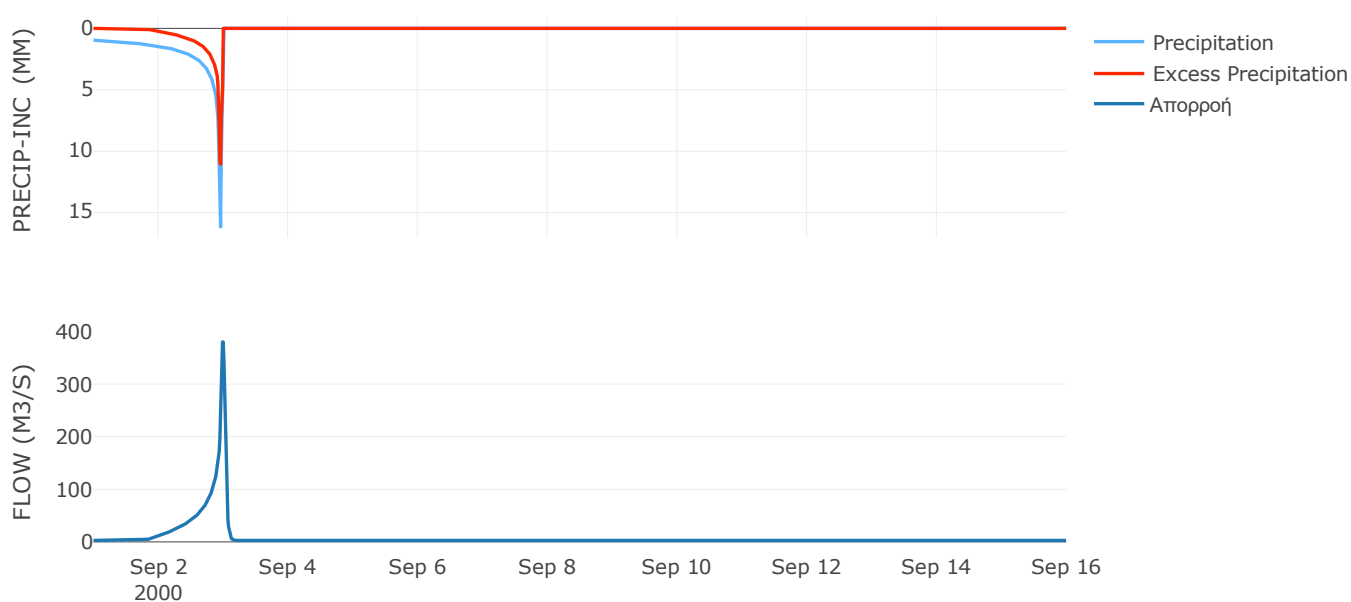
Μέθοδος
Μετασχηματισμού: SCS

| | |
|------------------|-------|
| Χρόνος Υστέρησης | 48.96 |
|------------------|-------|

Αποτελέσματα:
EL0420FR4033

| | |
|-----------------------------|------------------|
| Παροχή αιχμής (M3/S) | 380.24 |
| Χρονική στιγμή αιχμής | 02Sep2000, 23:45 |
| Όγκος (MM) | 240.75 |
| Όγκος βροχόπτωσης (M3) | 1.78E7 |
| Όγκος απωλειών (M3) | 1.11E7 |
| Ενεργός Όγκος (M3) | 6.71E6 |
| Όγκος άμεσης απορροής (M3) | 6.71E6 |
| Όγκος βασικής απορροής (M3) | 3.61E6 |

Βροχόπτωση και Απορροή



Υπολεκάνη: EL0420FR4034

Έκταση (KM2) : 46.4

Κατάντη : J6

Μέθοδος Απωλειών: SCS

| | |
|--------------------------------|-------|
| Ποσοστό αδιαπέρατης επιφάνειας | 0 |
| Αριθμός Καμπύλης Απορροής-CN | 37.63 |
| Αρχικές Απώλειες | 84.22 |

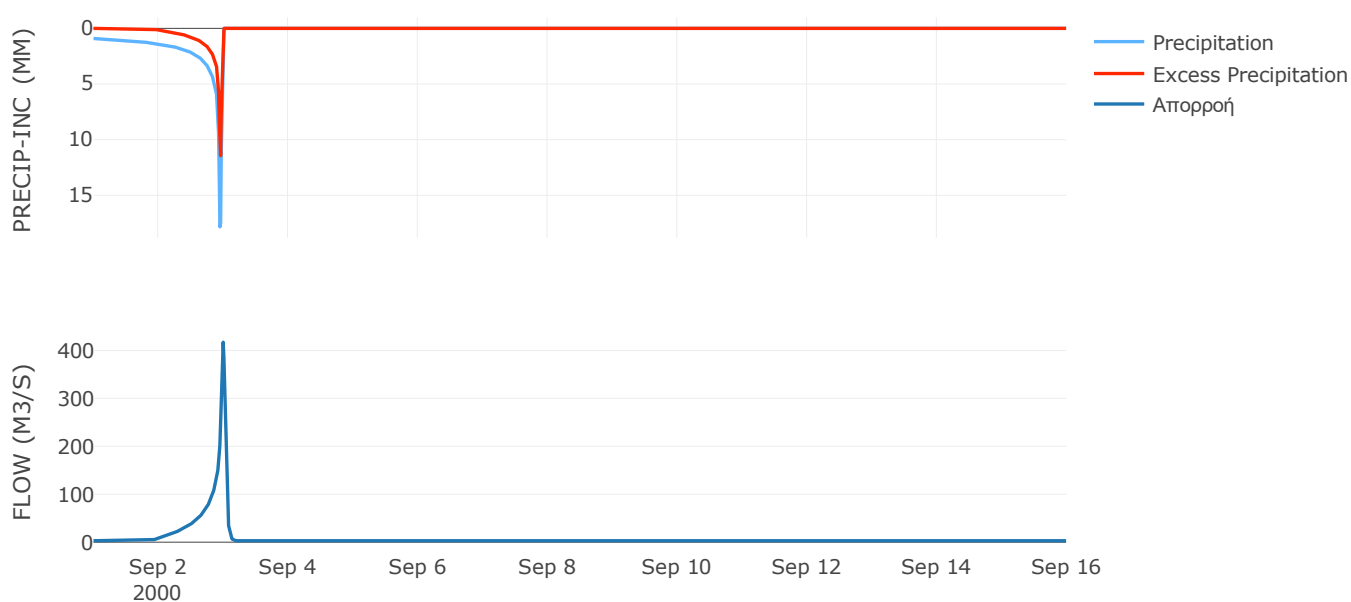
Μέθοδος
Μετασχηματισμού: SCS

| | |
|------------------|-------|
| Χρόνος Υστέρησης | 50.65 |
|------------------|-------|

Αποτελέσματα:
EL0420FR4034

| | |
|-----------------------------|------------------|
| Παροχή αιχμής (M3/S) | 417.16 |
| Χρονική στιγμή αιχμής | 02Sep2000, 24:00 |
| Όγκος (MM) | 228.81 |
| Όγκος βροχόπτωσης (M3) | 1.92E7 |
| Όγκος απωλειών (M3) | 1.25E7 |
| Ενεργός Όγκος (M3) | 6.71E6 |
| Όγκος άμεσης απορροής (M3) | 6.71E6 |
| Όγκος βασικής απορροής (M3) | 3.91E6 |

Βροχόπτωση και Απορροή



Υπολεκάνη: EL0420FR4035

Έκταση (KM2) : 12.2

Κατάνη : J19

Μέθοδος Απωλειών: SCS

| | |
|--------------------------------|-------|
| Ποσοστό αδιαπέρατης επιφάνειας | 0 |
| Αριθμός Καμπύλης Απορροής-CN | 65.16 |
| Αρχικές Απώλειες | 27.16 |

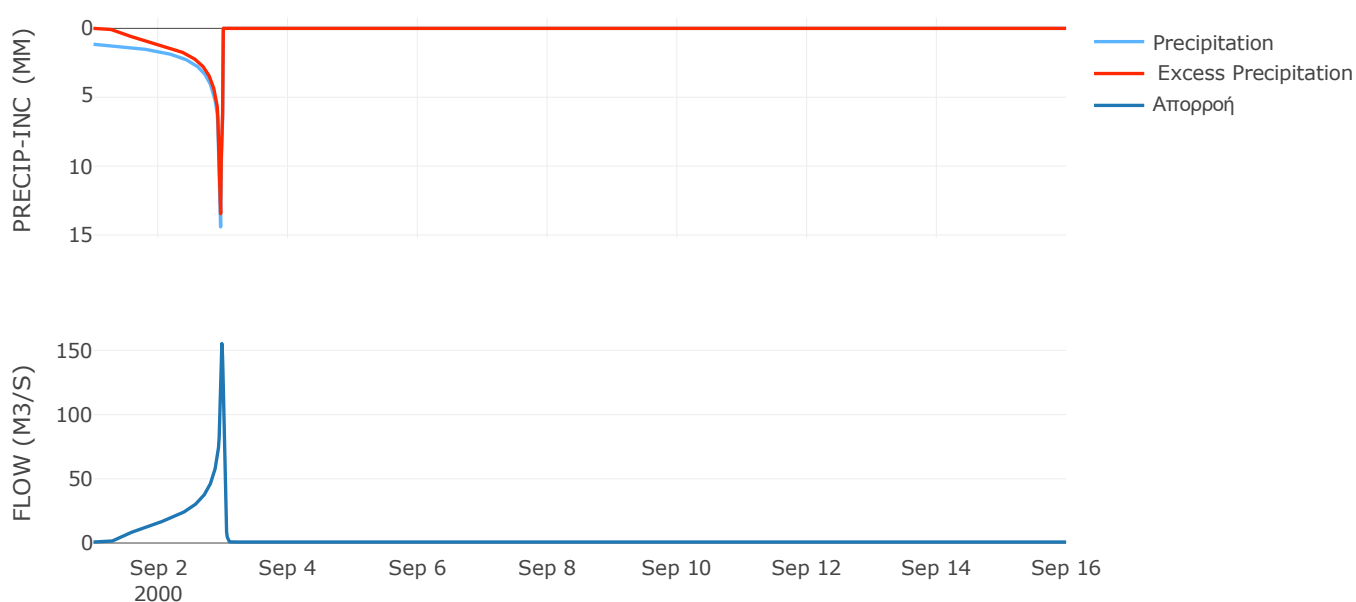
Μέθοδος
Μετασχηματισμού: SCS

| | |
|------------------|-------|
| Χρόνος Υστέρησης | 28.16 |
|------------------|-------|

Αποτελέσματα:
EL0420FR4035

| | |
|-----------------------------|------------------|
| Παροχή αιχμής (M3/S) | 155.35 |
| Χρονική στιγμή αιχμής | 02Sep2000, 23:30 |
| Όγκος (MM) | 403.08 |
| Όγκος βροχόπτωσης (M3) | 5.47E6 |
| Όγκος απωλειών (M3) | 1.58E6 |
| Ενεργός Όγκος (M3) | 3.89E6 |
| Όγκος άμεσης απορροής (M3) | 3.89E6 |
| Όγκος βασικής απορροής (M3) | 1.03E6 |

Βροχόπτωση και Απορροή



Υπολεκάνη: EL0420FR4036

Έκταση (KM2) : 17.89

Κατάντη : J18

Μέθοδος Απωλειών: SCS

| | |
|--------------------------------|-------|
| Ποσοστό αδιαπέρατης επιφάνειας | 0 |
| Αριθμός Καμπύλης Απορροής-CN | 64.94 |
| Αρχικές Απώλειες | 27.43 |

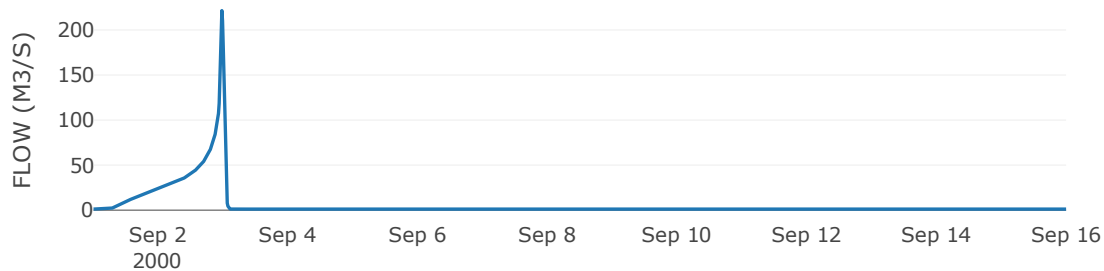
Μέθοδος
Μετασχηματισμού: SCS

| | |
|------------------|-------|
| Χρόνος Υστέρησης | 29.36 |
|------------------|-------|

Αποτελέσματα:
EL0420FR4036

| | |
|-----------------------------|------------------|
| Παροχή αιχμής (M3/S) | 221.52 |
| Χρονική στιγμή αιχμής | 02Sep2000, 23:30 |
| Όγκος (MM) | 402.86 |
| Όγκος βροχόπτωσης (M3) | 8.04E6 |
| Όγκος απωλειών (M3) | 2.34E6 |
| Ενεργός Όγκος (M3) | 5.7E6 |
| Όγκος άμεσης απορροής (M3) | 5.7E6 |
| Όγκος βασικής απορροής (M3) | 1.51E6 |

Βροχόπτωση και Απορροή



Υπολεκάνη: EL0420FR4037

Έκταση (KM2) : 37.96

Κατάνη : J17

Μέθοδος Απωλειών: SCS

| | |
|--------------------------------|-------|
| Ποσοστό αδιαπέρατης επιφάνειας | 0 |
| Αριθμός Καμπύλης Απορροής-CN | 63.62 |
| Αρχικές Απώλειες | 29.05 |

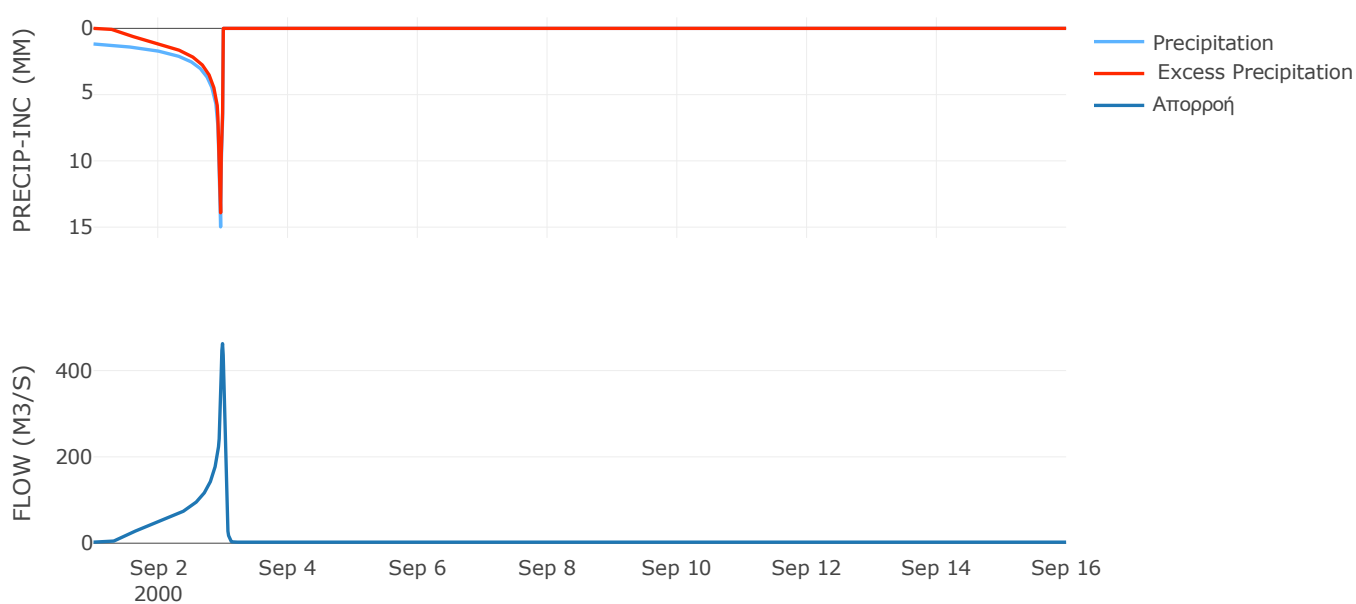
Μέθοδος
Μετασχηματισμού: SCS

| | |
|------------------|------|
| Χρόνος Υστέρησης | 40.5 |
|------------------|------|

Αποτελέσματα:
EL0420FR4037

| | |
|-----------------------------|------------------|
| Παροχή αιχμής (M3/S) | 462.35 |
| Χρονική στιγμή αιχμής | 02Sep2000, 23:45 |
| Όγκος (MM) | 407.3 |
| Όγκος βροχόπτωσης (M3) | 1.75E7 |
| Όγκος απωλειών (M3) | 5.23E6 |
| Ενεργός Όγκος (M3) | 1.23E7 |
| Όγκος άμεσης απορροής (M3) | 1.23E7 |
| Όγκος βασικής απορροής (M3) | 3.2E6 |

Βροχόπτωση και Απορροή



Υπολεκάνη: EL0420FR4038

Έκταση (KM2) : 11.75

Κατάνη : J15

Μέθοδος Απωλειών: SCS

| | |
|--------------------------------|-------|
| Ποσοστό αδιαπέρατης επιφάνειας | 0 |
| Αριθμός Καμπύλης Απορροής-CN | 47.59 |
| Αρχικές Απώλειες | 55.95 |

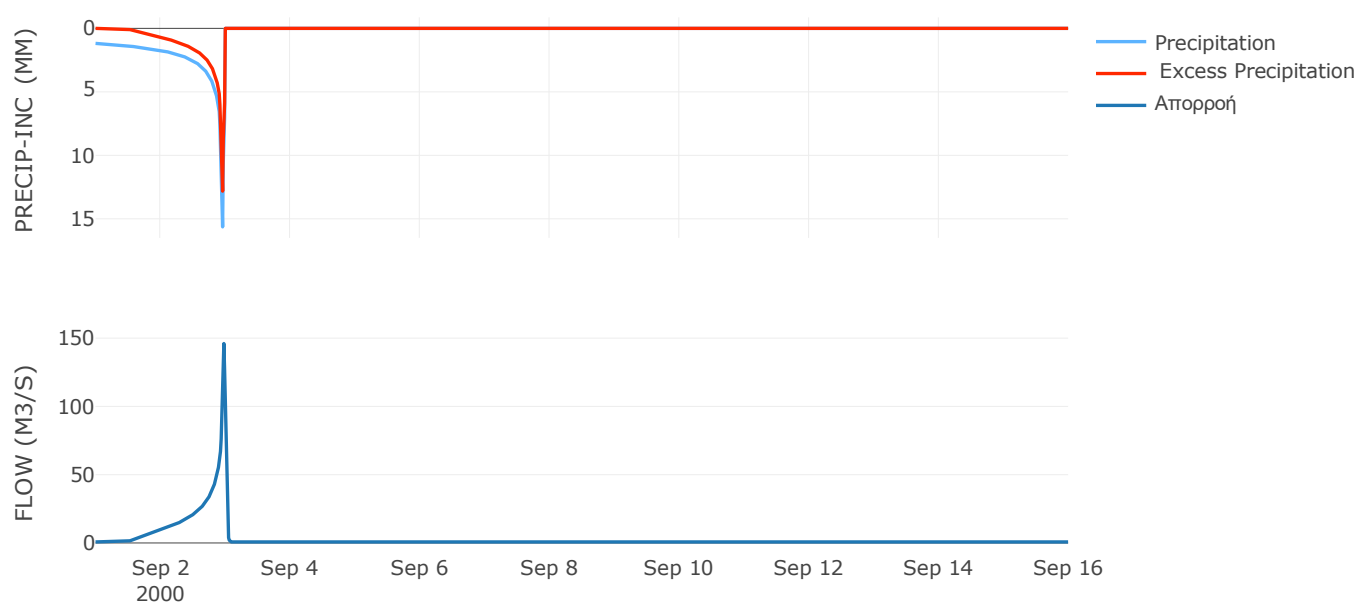
Μέθοδος
Μετασχηματισμού: SCS

| | |
|------------------|-------|
| Χρόνος Υστέρησης | 22.28 |
|------------------|-------|

Αποτελέσματα:
EL0420FR4038

| | |
|-----------------------------|------------------|
| Παροχή αιχμής (M3/S) | 146.05 |
| Χρονική στιγμή αιχμής | 02Sep2000, 23:30 |
| Όγκος (MM) | 330.62 |
| Όγκος βροχόπτωσης (M3) | 5.51E6 |
| Όγκος απωλειών (M3) | 2.62E6 |
| Ενεργός Όγκος (M3) | 2.9E6 |
| Όγκος άμεσης απορροής (M3) | 2.9E6 |
| Όγκος βασικής απορροής (M3) | 9.9E5 |

Βροχόπτωση και Απορροή



Υπολεκάνη: EL0420FR4039

Έκταση (KM2) : 21.53

Κατάντη : J23

Μέθοδος Απωλειών: SCS

| | |
|--------------------------------|-------|
| Ποσοστό αδιαπέρατης επιφάνειας | 0 |
| Αριθμός Καμπύλης Απορροής-CN | 52.18 |
| Αρχικές Απώλειες | 46.55 |

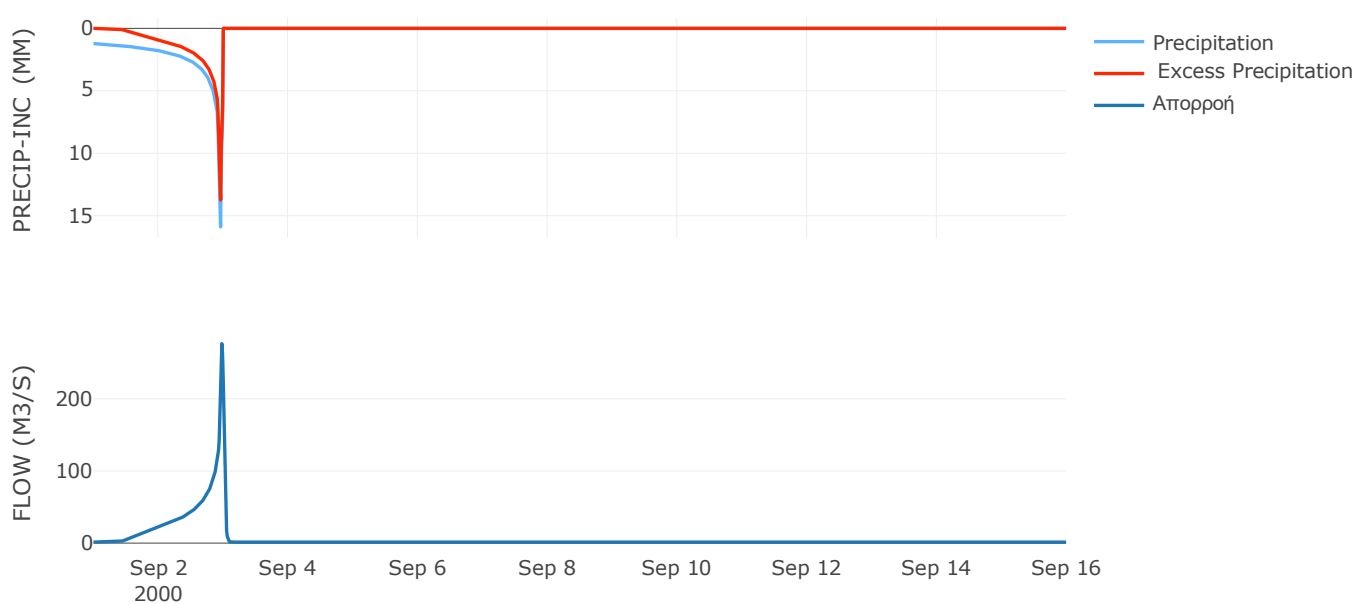
Μέθοδος
Μετασχηματισμού: SCS

| | |
|------------------|-------|
| Χρόνος Υστέρησης | 29.41 |
|------------------|-------|

Αποτελέσματα:
EL0420FR4039

| | |
|-----------------------------|------------------|
| Παροχή αιχμής (M3/S) | 276.46 |
| Χρονική στιγμή αιχμής | 02Sep2000, 23:30 |
| Όγκος (MM) | 366.58 |
| Όγκος βροχόπτωσης (M3) | 1.03E7 |
| Όγκος απωλειών (M3) | 4.26E6 |
| Ενεργός Όγκος (M3) | 6.08E6 |
| Όγκος άμεσης απορροής (M3) | 6.08E6 |
| Όγκος βασικής απορροής (M3) | 1.81E6 |

Βροχόπτωση και Απορροή



Υπολεκάνη: EL0420FR4040

Έκταση (KM2) : 34.79

Κατάντη : J12

Μέθοδος Απωλειών: SCS

| | |
|--------------------------------|-------|
| Ποσοστό αδιαπέρατης επιφάνειας | 0 |
| Αριθμός Καμπύλης Απορροής-CN | 37.96 |
| Αρχικές Απώλειες | 83.03 |

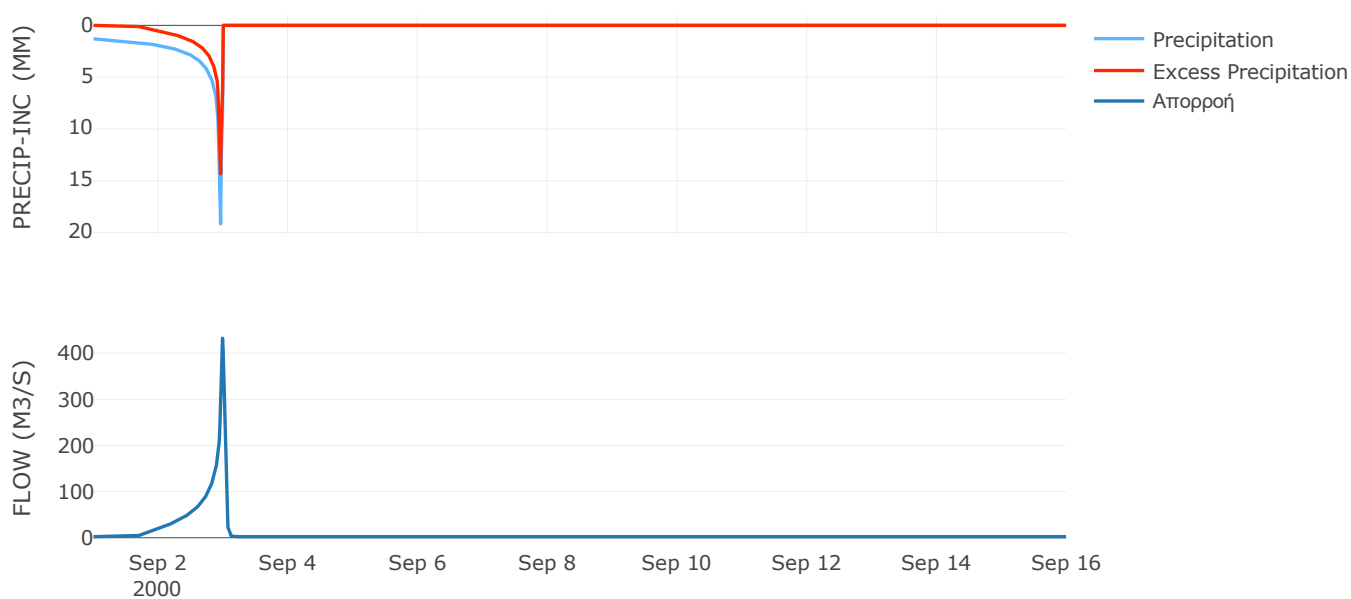
Μέθοδος
Μετασχηματισμού: SCS

| | |
|------------------|------|
| Χρόνος Υστέρησης | 38.9 |
|------------------|------|

Αποτελέσματα:
EL0420FR4040

| | |
|-----------------------------|------------------|
| Παροχή αιχμής (M3/S) | 432.48 |
| Χρονική στιγμή αιχμής | 02Sep2000, 23:45 |
| Όγκος (MM) | 320.14 |
| Όγκος βροχόπτωσης (M3) | 1.86E7 |
| Όγκος απωλειών (M3) | 1.04E7 |
| Ενεργός Όγκος (M3) | 8.21E6 |
| Όγκος άμεσης απορροής (M3) | 8.21E6 |
| Όγκος βασικής απορροής (M3) | 2.93E6 |

Βροχόπτωση και Απορροή



Υπολεκάνη: EL0420FR4041

Έκταση (KM2) : 17.22

Κατάντη : J25

Μέθοδος Απωλειών: SCS

| | |
|--------------------------------|--------|
| Ποσοστό αδιαπέρατης επιφάνειας | 0 |
| Αριθμός Καμπύλης Απορροής-CN | 31.15 |
| Αρχικές Απώλειες | 112.26 |

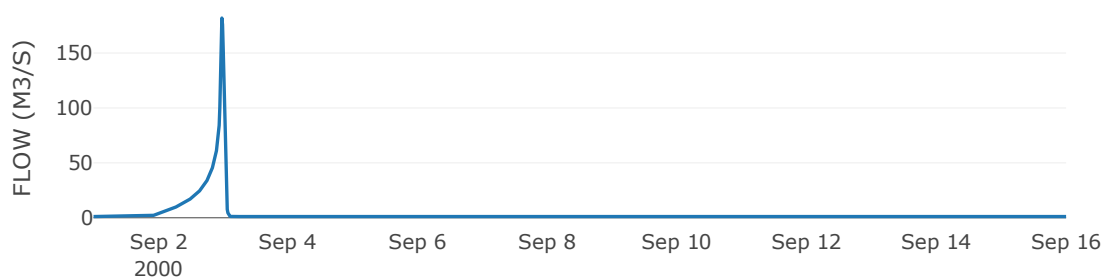
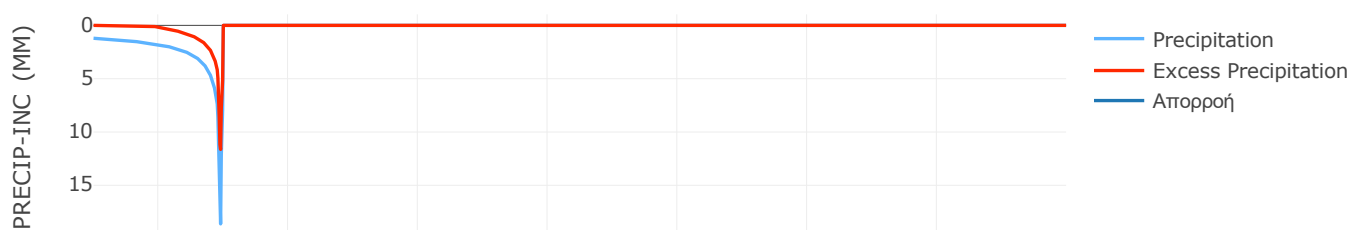
Μέθοδος
Μετασχηματισμού: SCS

| | |
|------------------|-------|
| Χρόνος Υστέρησης | 30.83 |
|------------------|-------|

Αποτελέσματα:
EL0420FR4041

| | |
|-----------------------------|------------------|
| Παροχή αιχμής (M3/S) | 181.87 |
| Χρονική στιγμή αιχμής | 02Sep2000, 23:30 |
| Όγκος (MM) | 246.79 |
| Όγκος βροχόπτωσης (M3) | 8.72E6 |
| Όγκος απωλειών (M3) | 5.92E6 |
| Ενεργός Όγκος (M3) | 2.8E6 |
| Όγκος άμεσης απορροής (M3) | 2.8E6 |
| Όγκος βασικής απορροής (M3) | 1.45E6 |

Βροχόπτωση και Απορροή



Υπολεκάνη: EL0420FR4042

Έκταση (KM2) : 21.68

Κατάντη : J25

Μέθοδος Απωλειών: SCS

| | |
|--------------------------------|--------|
| Ποσοστό αδιαπέρατης επιφάνειας | 0 |
| Αριθμός Καμπύλης Απορροής-CN | 30.23 |
| Αρχικές Απώλειες | 117.23 |

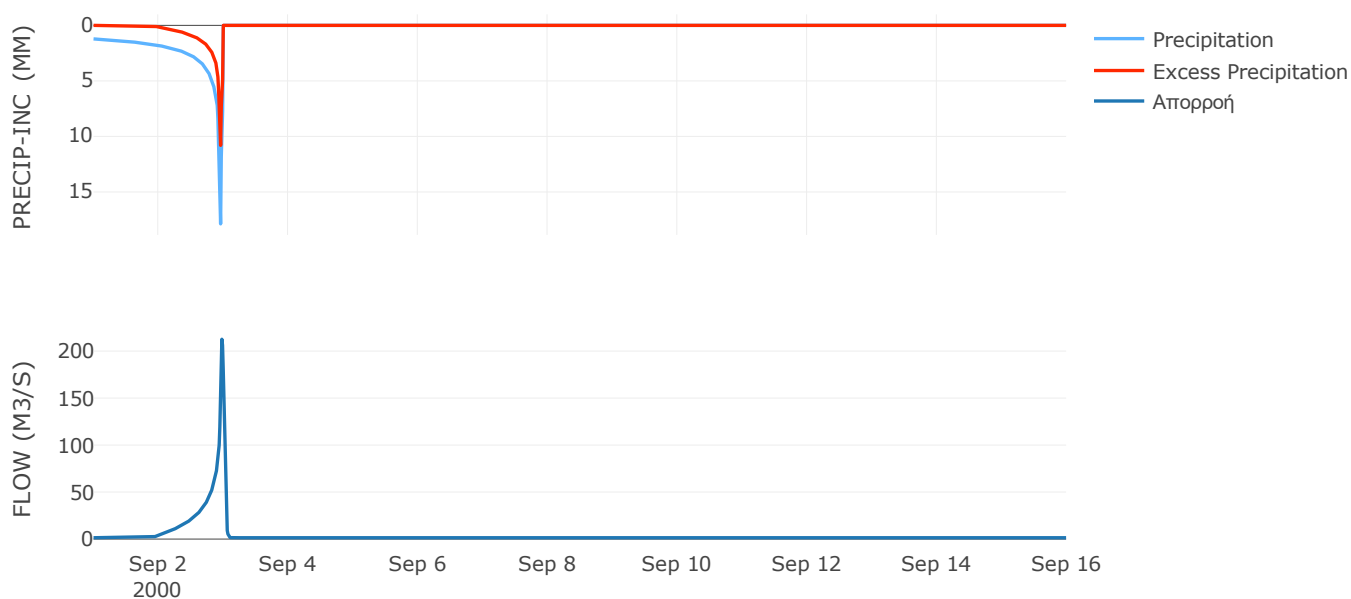
Μέθοδος
Μετασχηματισμού: SCS

| | |
|------------------|-------|
| Χρόνος Υστέρησης | 30.88 |
|------------------|-------|

Αποτελέσματα:
EL0420FR4042

| | |
|-----------------------------|------------------|
| Παροχή αιχμής (M3/S) | 212.61 |
| Χρονική στιγμή αιχμής | 02Sep2000, 23:30 |
| Όγκος (MM) | 235.97 |
| Όγκος βροχόπτωσης (M3) | 1.09E7 |
| Όγκος απωλειών (M3) | 7.57E6 |
| Ενεργός Όγκος (M3) | 3.29E6 |
| Όγκος άμεσης απορροής (M3) | 3.29E6 |
| Όγκος βασικής απορροής (M3) | 1.83E6 |

Βροχόπτωση και Απορροή



Υπολεκάνη: EL0420FR4043

Έκταση (KM2) : 13.12

Κατάντη : J24

Μέθοδος Απωλειών: SCS

| | |
|--------------------------------|-------|
| Ποσοστό αδιαπέρατης επιφάνειας | 0 |
| Αριθμός Καμπύλης Απορροής-CN | 36.21 |
| Αρχικές Απώλειες | 89.5 |

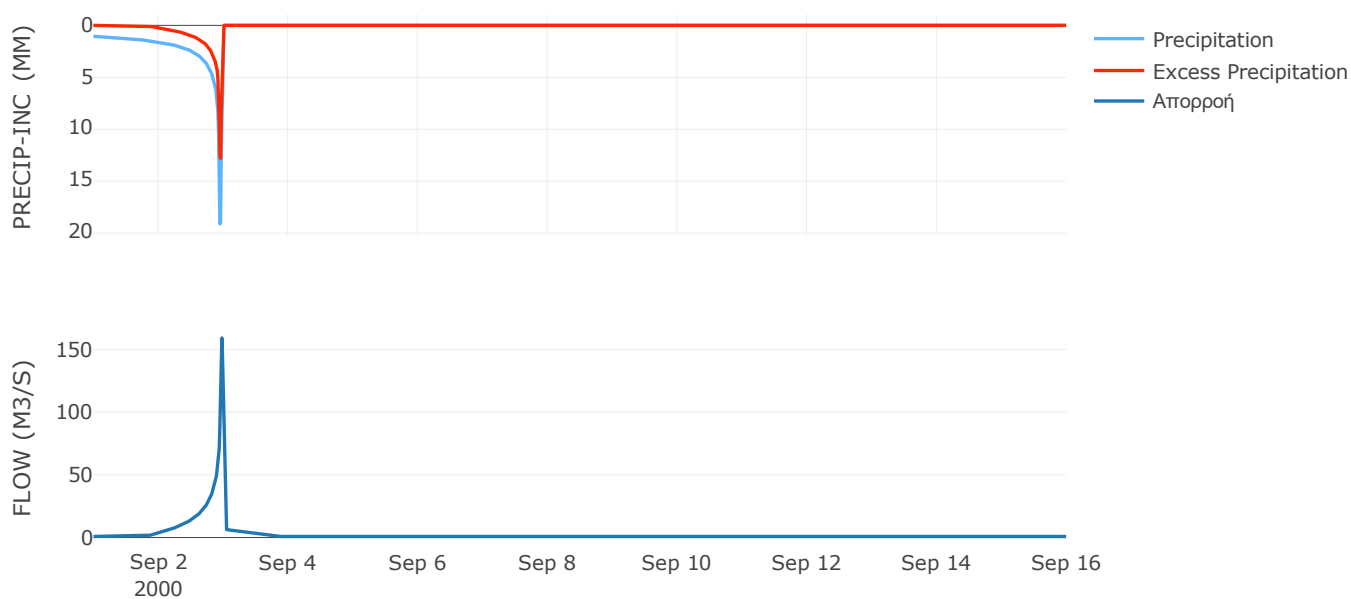
Μέθοδος
Μετασχηματισμού: SCS

| | |
|------------------|-------|
| Χρόνος Υστέρησης | 25.61 |
|------------------|-------|

Αποτελέσματα:
EL0420FR4043

| | |
|-----------------------------|------------------|
| Παροχή αιχμής (M3/S) | 159.07 |
| Χρονική στιγμή αιχμής | 02Sep2000, 23:30 |
| Όγκος (MM) | 256.7 |
| Όγκος βροχόπτωσης (M3) | 6.12E6 |
| Όγκος απωλειών (M3) | 3.86E6 |
| Ενεργός Όγκος (M3) | 2.26E6 |
| Όγκος άμεσης απορροής (M3) | 2.26E6 |
| Όγκος βασικής απορροής (M3) | 1.11E6 |

Βροχόπτωση και Απορροή



Υπολεκάνη: EL0420FR4044

Έκταση (KM2) : 10.33

Κατάνη : J24

Μέθοδος Απωλειών: SCS

| | |
|--------------------------------|--------|
| Ποσοστό αδιαπέρατης επιφάνειας | 0 |
| Αριθμός Καμπύλης Απορροής-CN | 27.93 |
| Αρχικές Απώλειες | 131.06 |

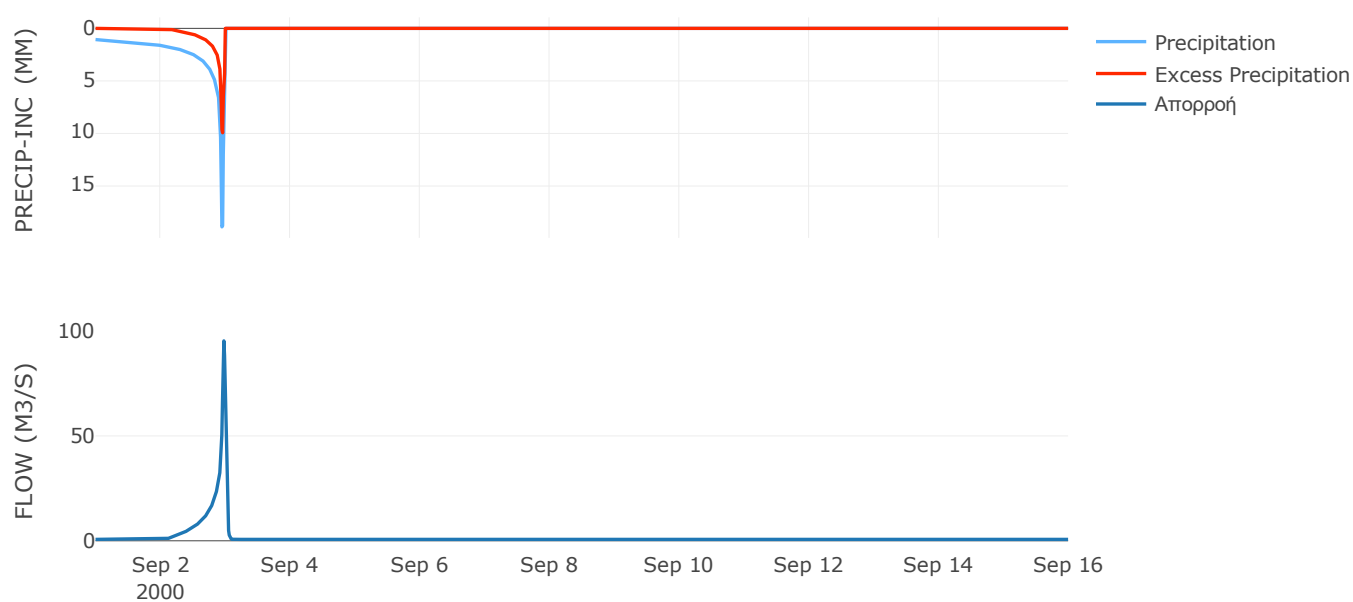
Μέθοδος
Μετασχηματισμού: SCS

| | |
|------------------|------|
| Χρόνος Υστέρησης | 27.3 |
|------------------|------|

Αποτελέσματα:
EL0420FR4044

| | |
|-----------------------------|------------------|
| Παροχή αιχμής (M3/S) | 95.33 |
| Χρονική στιγμή αιχμής | 02Sep2000, 23:30 |
| Όγκος (MM) | 199.17 |
| Όγκος βροχόπτωσης (M3) | 4.85E6 |
| Όγκος απωλειών (M3) | 3.66E6 |
| Ενεργός Όγκος (M3) | 1.19E6 |
| Όγκος άμεσης απορροής (M3) | 1.19E6 |
| Όγκος βασικής απορροής (M3) | 8.71E5 |

Βροχόπτωση και Απορροή



Υπολεκάνη: EL0420FR4045

Έκταση (KM2) : 5.32

Κατάνη : J11

Μέθοδος Απωλειών: SCS

| | |
|--------------------------------|-------|
| Ποσοστό αδιαπέρατης επιφάνειας | 0 |
| Αριθμός Καμπύλης Απορροής-CN | 37.58 |
| Αρχικές Απώλειες | 84.37 |

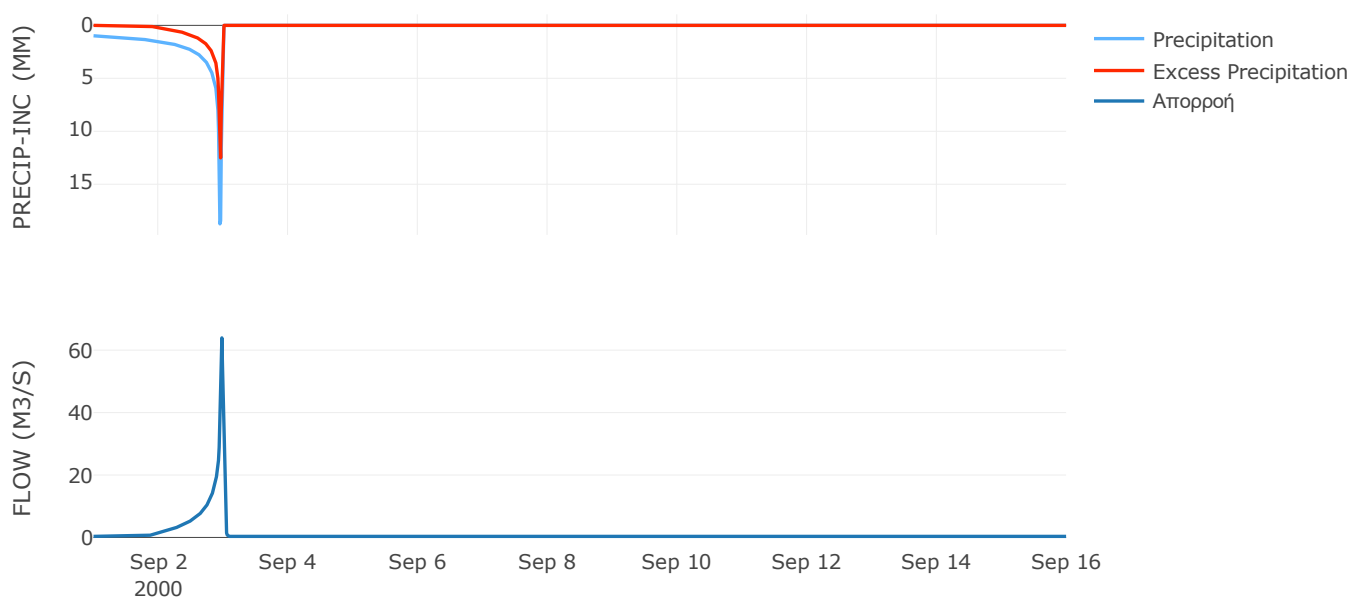
Μέθοδος
Μετασχηματισμού: SCS

| | |
|------------------|-------|
| Χρόνος Υστέρησης | 21.32 |
|------------------|-------|

Αποτελέσματα:
EL0420FR4045

| | |
|-----------------------------|------------------|
| Παροχή αιχμής (M3/S) | 63.93 |
| Χρονική στιγμή αιχμής | 02Sep2000, 23:30 |
| Όγκος (MM) | 249.06 |
| Όγκος βροχόπτωσης (M3) | 2.36E6 |
| Όγκος απωλειών (M3) | 1.48E6 |
| Ενεργός Όγκος (M3) | 8.76E5 |
| Όγκος άμεσης απορροής (M3) | 8.76E5 |
| Όγκος βασικής απορροής (M3) | 4.48E5 |

Βροχόπτωση και Απορροή



Υπολεκάνη: EL0420FR4046

Έκταση (KM2) : 24.57

Κατάντη : J10

Μέθοδος Απωλειών: SCS

| | |
|--------------------------------|--------|
| Ποσοστό αδιαπέρατης επιφάνειας | 0 |
| Αριθμός Καμπύλης Απορροής-CN | 32.02 |
| Αρχικές Απώλειες | 107.87 |

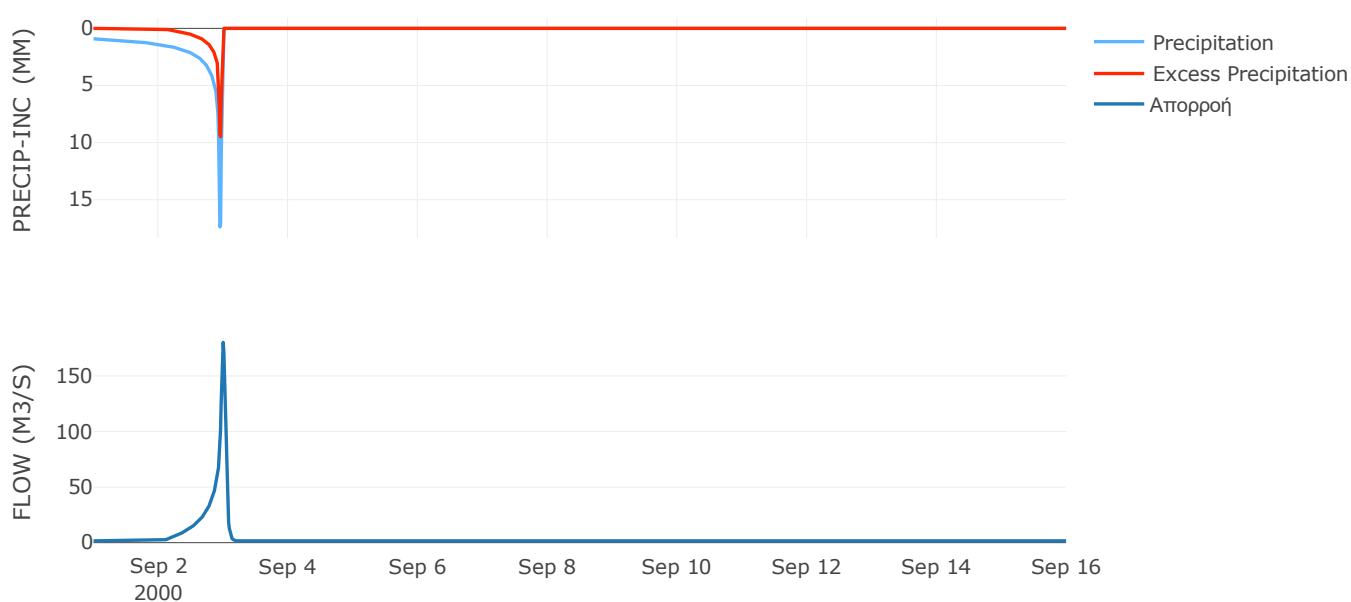
Μέθοδος
Μετασχηματισμού: SCS

| | |
|------------------|-------|
| Χρόνος Υστέρησης | 53.92 |
|------------------|-------|

Αποτελέσματα:
EL0420FR4046

| | |
|-----------------------------|------------------|
| Παροχή αιχμής (M3/S) | 180.15 |
| Χρονική στιγμή αιχμής | 02Sep2000, 24:00 |
| Όγκος (MM) | 193.23 |
| Όγκος βροχόπτωσης (M3) | 1.01E7 |
| Όγκος απωλειών (M3) | 7.42E6 |
| Ενεργός Όγκος (M3) | 2.68E6 |
| Όγκος άμεσης απορροής (M3) | 2.68E6 |
| Όγκος βασικής απορροής (M3) | 2.07E6 |

Βροχόπτωση και Απορροή



Υπολεκάνη: EL0420FR4047

Έκταση (KM2) : 37.25

Κατάντη : J26

Μέθοδος Απωλειών: SCS

| | |
|--------------------------------|--------|
| Ποσοστό αδιαπέρατης επιφάνειας | 0 |
| Αριθμός Καμπύλης Απορροής-CN | 29.72 |
| Αρχικές Απώλειες | 120.11 |

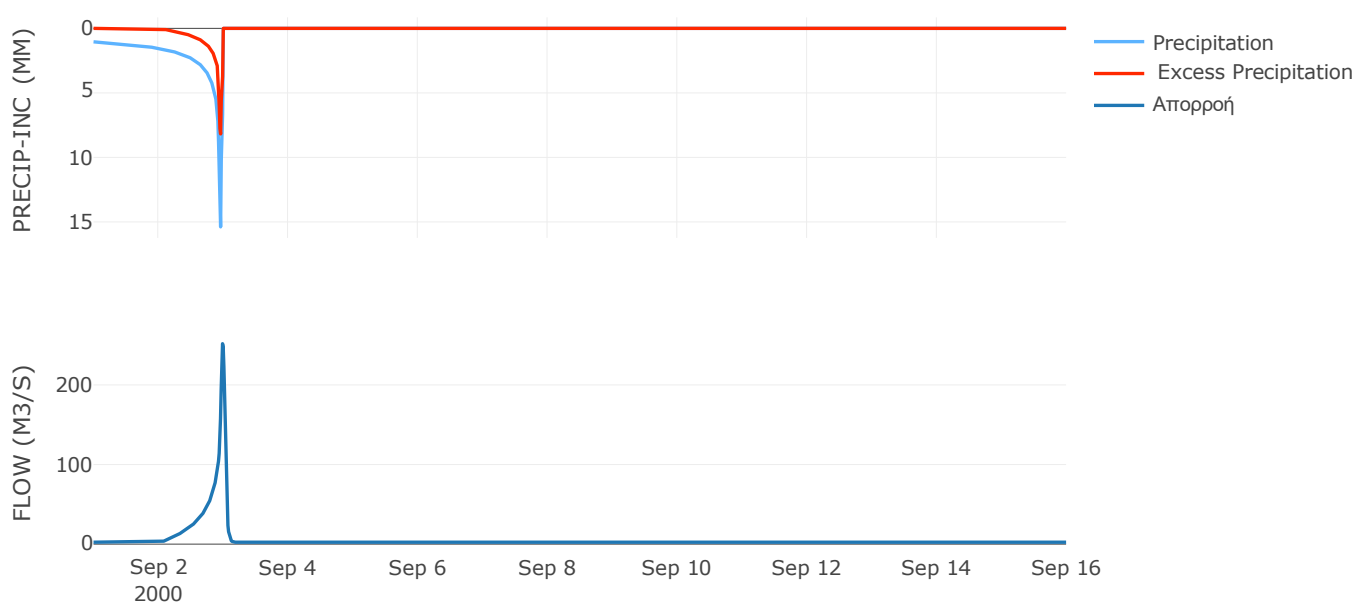
Μέθοδος
Μετασχηματισμού: SCS

| | |
|------------------|------|
| Χρόνος Υστέρησης | 45.4 |
|------------------|------|

Αποτελέσματα:
EL0420FR4047

| | |
|-----------------------------|------------------|
| Παροχή αιχμής (M3/S) | 251.86 |
| Χρονική στιγμή αιχμής | 02Sep2000, 23:45 |
| Όγκος (MM) | 189.51 |
| Όγκος βροχόπτωσης (M3) | 1.6E7 |
| Όγκος απωλειών (M3) | 1.21E7 |
| Ενεργός Όγκος (M3) | 3.92E6 |
| Όγκος άμεσης απορροής (M3) | 3.92E6 |
| Όγκος βασικής απορροής (M3) | 3.14E6 |

Βροχόπτωση και Απορροή



Υπολεκάνη: EL0420FR4048

Έκταση (KM2) : 34.69

Κατάντη : J26

Μέθοδος Απωλειών: SCS

| | |
|--------------------------------|-------|
| Ποσοστό αδιαπέρατης επιφάνειας | 0 |
| Αριθμός Καμπύλης Απορροής-CN | 30.26 |
| Αρχικές Απώλειες | 117.1 |

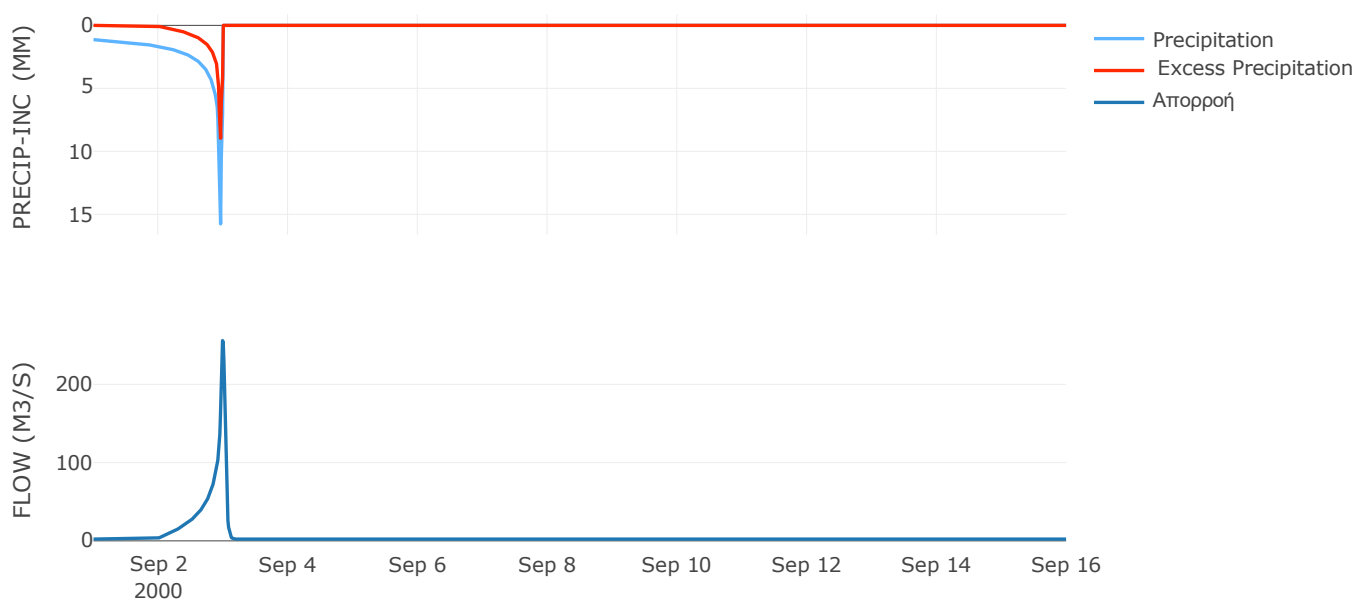
Μέθοδος
Μετασχηματισμού: SCS

| | |
|------------------|-------|
| Χρόνος Υστέρησης | 46.76 |
|------------------|-------|

Αποτελέσματα:
EL0420FR4048

| | |
|-----------------------------|------------------|
| Παροχή αιχμής (M3/S) | 255.94 |
| Χρονική στιγμή αιχμής | 02Sep2000, 23:45 |
| Όγκος (MM) | 208.93 |
| Όγκος βροχόπτωσης (M3) | 1.58E7 |
| Όγκος απωλειών (M3) | 1.15E7 |
| Ενεργός Όγκος (M3) | 4.33E6 |
| Όγκος άμεσης απορροής (M3) | 4.33E6 |
| Όγκος βασικής απορροής (M3) | 2.92E6 |

Βροχόπτωση και Απορροή



Υπολεκάνη: EL0420FR4049

Έκταση (KM2) : 11.77

Κατάντη : J9

Μέθοδος Απωλειών: SCS

| | |
|--------------------------------|-------|
| Ποσοστό αδιαπέρατης επιφάνειας | 0 |
| Αριθμός Καμπύλης Απορροής-CN | 36.15 |
| Αρχικές Απώλειες | 89.74 |

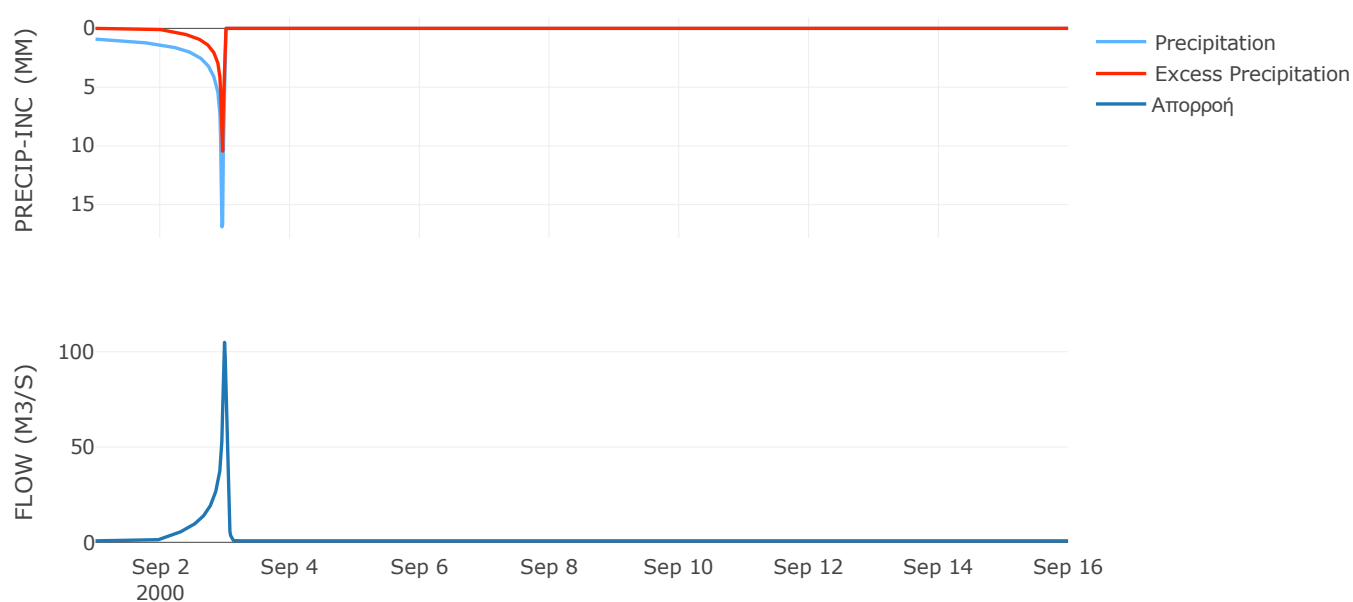
Μέθοδος
Μετασχηματισμού: SCS

| | |
|------------------|-------|
| Χρόνος Υστέρησης | 38.94 |
|------------------|-------|

Αποτελέσματα:
EL0420FR4049

| | |
|-----------------------------|------------------|
| Παροχή αιχμής (M3/S) | 104.92 |
| Χρονική στιγμή αιχμής | 02Sep2000, 23:45 |
| Όγκος (MM) | 216.39 |
| Όγκος βροχόπτωσης (M3) | 4.8E6 |
| Όγκος απωλειών (M3) | 3.25E6 |
| Ενεργός Όγκος (M3) | 1.56E6 |
| Όγκος άμεσης απορροής (M3) | 1.56E6 |
| Όγκος βασικής απορροής (M3) | 9.91E5 |

Βροχόπτωση και Απορροή



Υπολεκάνη: EL0420FR4050

Έκταση (KM2) : 19.25

Κατάνη : J7

Μέθοδος Απωλειών: SCS

| | |
|--------------------------------|-------|
| Ποσοστό αδιαπέρατης επιφάνειας | 0 |
| Αριθμός Καμπύλης Απορροής-CN | 34.75 |
| Αρχικές Απώλειες | 95.37 |

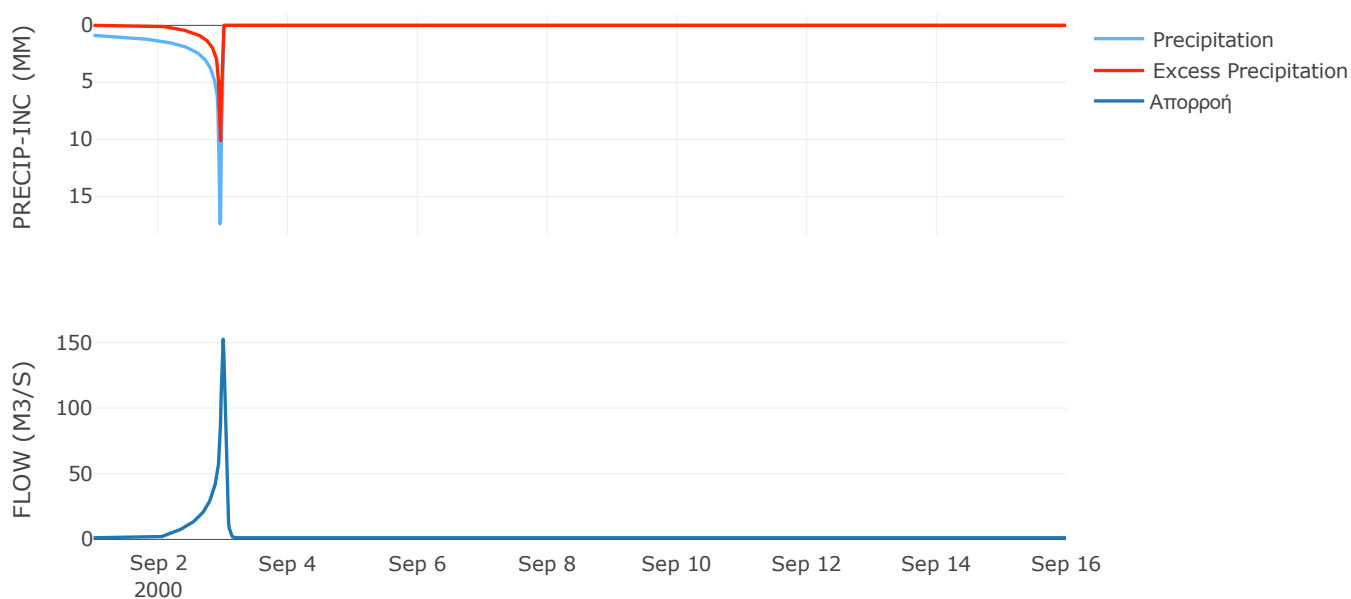
Μέθοδος
Μετασχηματισμού: SCS

| | |
|------------------|------|
| Χρόνος Υστέρησης | 50.2 |
|------------------|------|

Αποτελέσματα:
EL0420FR4050

| | |
|-----------------------------|------------------|
| Παροχή αιχμής (M3/S) | 152.53 |
| Χρονική στιγμή αιχμής | 02Sep2000, 24:00 |
| Όγκος (MM) | 202.87 |
| Όγκος βροχόπτωσης (M3) | 7.7E6 |
| Όγκος απωλειών (M3) | 5.41E6 |
| Ενεργός Όγκος (M3) | 2.28E6 |
| Όγκος άμεσης απορροής (M3) | 2.28E6 |
| Όγκος βασικής απορροής (M3) | 1.62E6 |

Βροχόπτωση και Απορροή



Υπολεκάνη: EL0420FR4051

Έκταση (KM2) : 32.45

Κατάντη : J4

Μέθοδος Απωλειών: SCS

| | |
|--------------------------------|-------|
| Ποσοστό αδιαπέρατης επιφάνειας | 0 |
| Αριθμός Καμπύλης Απορροής-CN | 63.47 |
| Αρχικές Απώλειες | 29.23 |

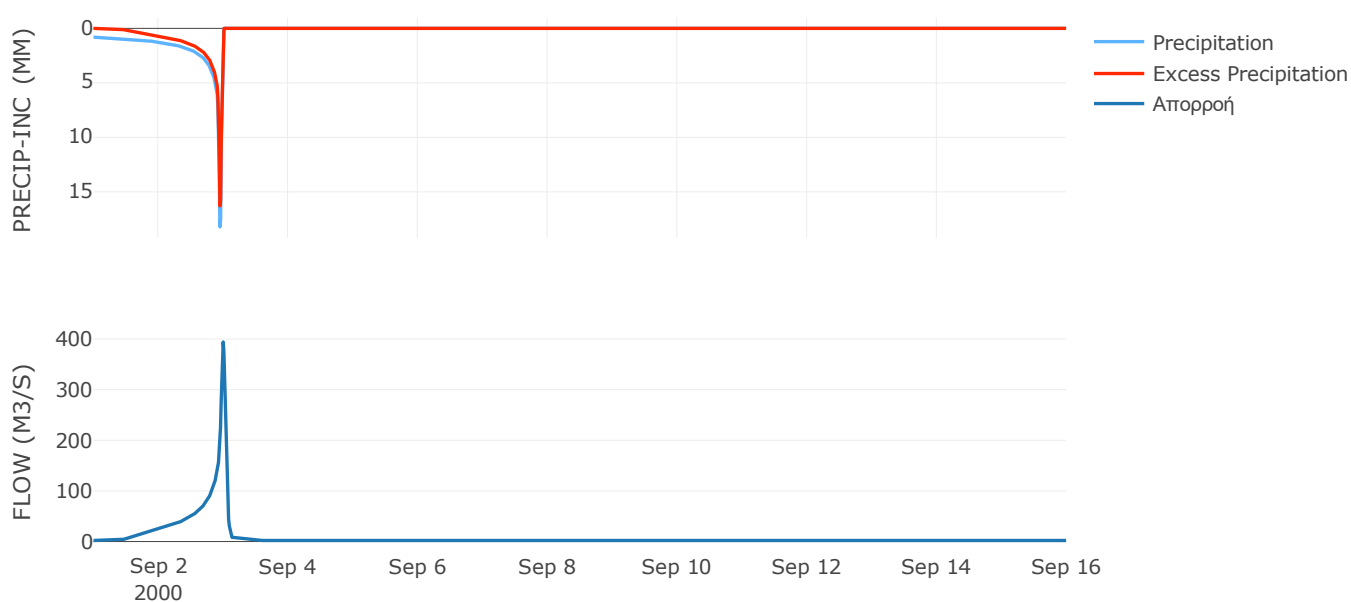
Μέθοδος
Μετασχηματισμού: SCS

| | |
|------------------|-------|
| Χρόνος Υστέρησης | 56.93 |
|------------------|-------|

Αποτελέσματα:
EL0420FR4051

| | |
|-----------------------------|------------------|
| Παροχή αιχμής (M3/S) | 394.21 |
| Χρονική στιγμή αιχμής | 02Sep2000, 24:00 |
| Όγκος (MM) | 336.12 |
| Όγκος βροχόπτωσης (M3) | 1.25E7 |
| Όγκος απωλειών (M3) | 4.31E6 |
| Ενεργός Όγκος (M3) | 8.17E6 |
| Όγκος άμεσης απορροής (M3) | 8.17E6 |
| Όγκος βασικής απορροής (M3) | 2.73E6 |

Βροχόπτωση και Απορροή



Υπολεκάνη: EL0420FR4052

Έκταση (KM2) : 29.83

Κατάντη : J30

Μέθοδος Απωλειών: SCS

| | |
|--------------------------------|-------|
| Ποσοστό αδιαπέρατης επιφάνειας | 0 |
| Αριθμός Καμπύλης Απορροής-CN | 63.58 |
| Αρχικές Απώλειες | 29.1 |

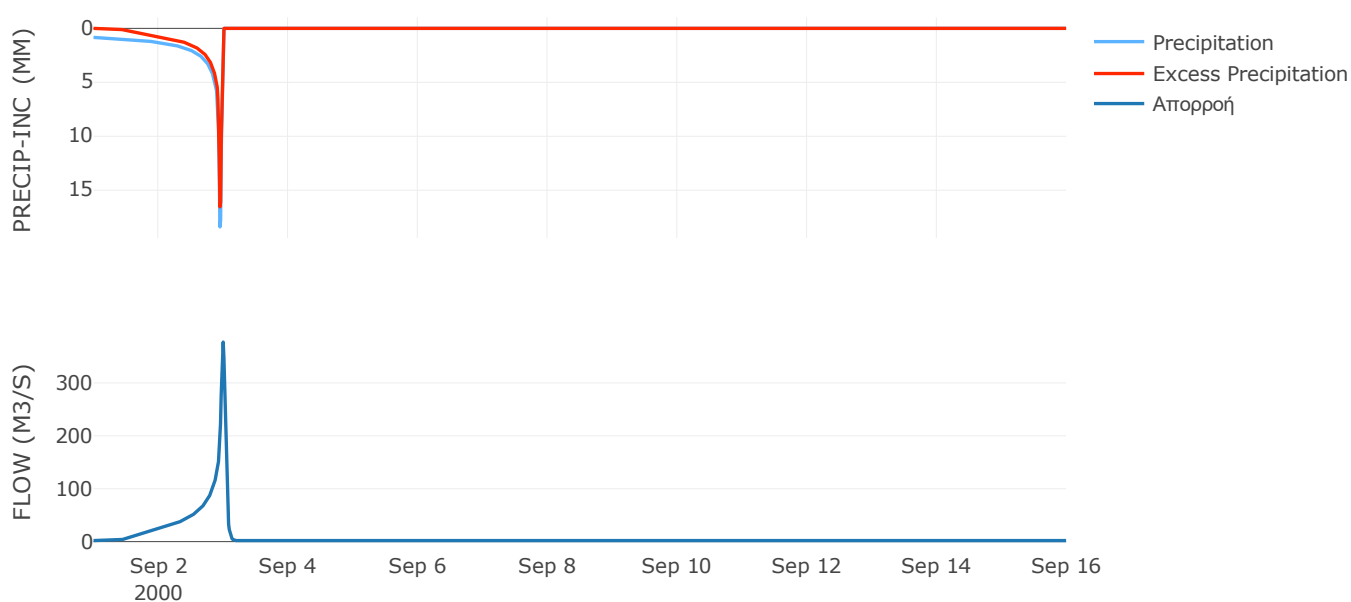
Μέθοδος
Μετασχηματισμού: SCS

| | |
|------------------|-------|
| Χρόνος Υστέρησης | 52.54 |
|------------------|-------|

Αποτελέσματα:
EL0420FR4052

| | |
|-----------------------------|------------------|
| Παροχή αιχμής (M3/S) | 377.19 |
| Χρονική στιγμή αιχμής | 02Sep2000, 24:00 |
| Όγκος (MM) | 346.13 |
| Όγκος βροχόπτωσης (M3) | 1.18E7 |
| Όγκος απωλειών (M3) | 3.97E6 |
| Ενεργός Όγκος (M3) | 7.81E6 |
| Όγκος άμεσης απορροής (M3) | 7.81E6 |
| Όγκος βασικής απορροής (M3) | 2.51E6 |

Βροχόπτωση και Απορροή



Υπολεκάνη: EL0420FR4053

Έκταση (KM2) : 0.54

Κατάντη : J20

Μέθοδος Απωλειών: SCS

| | |
|--------------------------------|-------|
| Ποσοστό αδιαπέρατης επιφάνειας | 0 |
| Αριθμός Καμπύλης Απορροής-CN | 64.4 |
| Αρχικές Απώλειες | 28.08 |

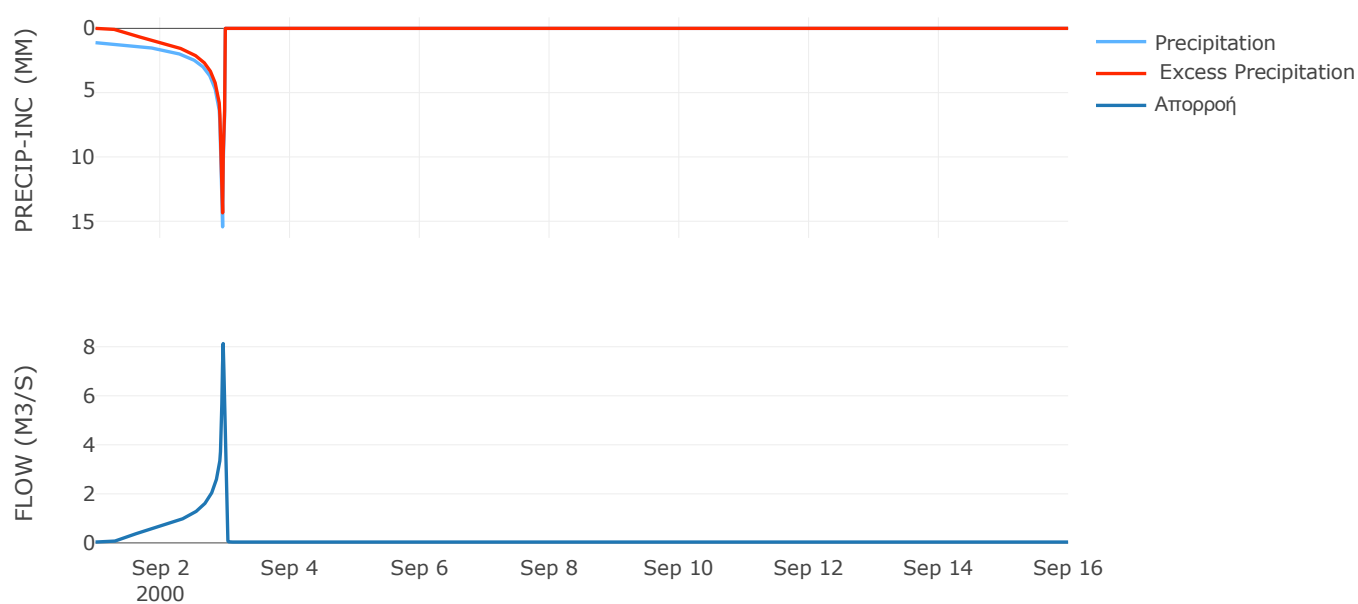
Μέθοδος
Μετασχηματισμού: SCS

| | |
|------------------|-------|
| Χρόνος Υστέρησης | 12.39 |
|------------------|-------|

Αποτελέσματα:
EL0420FR4053

| | |
|-----------------------------|------------------|
| Παροχή αιχμής (M3/S) | 8.13 |
| Χρονική στιγμή αιχμής | 02Sep2000, 23:15 |
| Όγκος (MM) | 399.41 |
| Όγκος βροχόπτωσης (M3) | 2.41E5 |
| Όγκος απωλειών (M3) | 71532.32 |
| Ενεργός Όγκος (M3) | 1.69E5 |
| Όγκος άμεσης απορροής (M3) | 1.69E5 |
| Όγκος βασικής απορροής (M3) | 45195.41 |

Βροχόπτωση και Απορροή



Υπολεκάνη: EL0420FR4054

Έκταση (KM2) : 4.72

Κατάντη : J2

Μέθοδος Απωλειών: SCS

| | |
|--------------------------------|-------|
| Ποσοστό αδιαπέρατης επιφάνειας | 0 |
| Αριθμός Καμπύλης Απορροής-CN | 63.58 |
| Αρχικές Απώλειες | 29.1 |

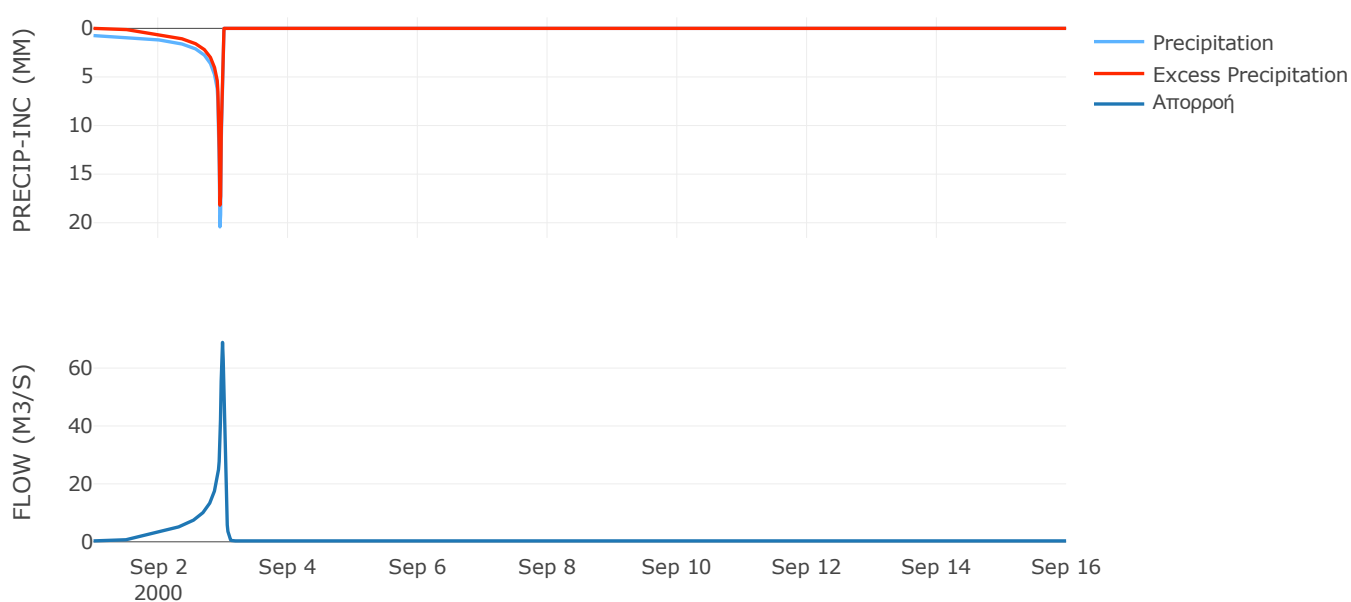
Μέθοδος
Μετασχηματισμού: SCS

| | |
|------------------|-------|
| Χρόνος Υστέρησης | 39.96 |
|------------------|-------|

Αποτελέσματα:
EL0420FR4054

| | |
|-----------------------------|------------------|
| Παροχή αιχμής (M3/S) | 68.86 |
| Χρονική στιγμή αιχμής | 02Sep2000, 23:45 |
| Όγκος (MM) | 332 |
| Όγκος βροχόπτωσης (M3) | 1.79E6 |
| Όγκος απωλειών (M3) | 6.22E5 |
| Ενεργός Όγκος (M3) | 1.17E6 |
| Όγκος άμεσης απορροής (M3) | 1.17E6 |
| Όγκος βασικής απορροής (M3) | 3.97E5 |

Βροχόπτωση και Απορροή



Υπολεκάνη: EL0420FR4055

Έκταση (KM2) : 10.12

Κατάντη : Diversion - 1

Μέθοδος Απωλειών: SCS

| | |
|--------------------------------|-------|
| Ποσοστό αδιαπέρατης επιφάνειας | 4.1 |
| Αριθμός Καμπύλης Απορροής-CN | 52.69 |
| Αρχικές Απώλειες | 45.61 |

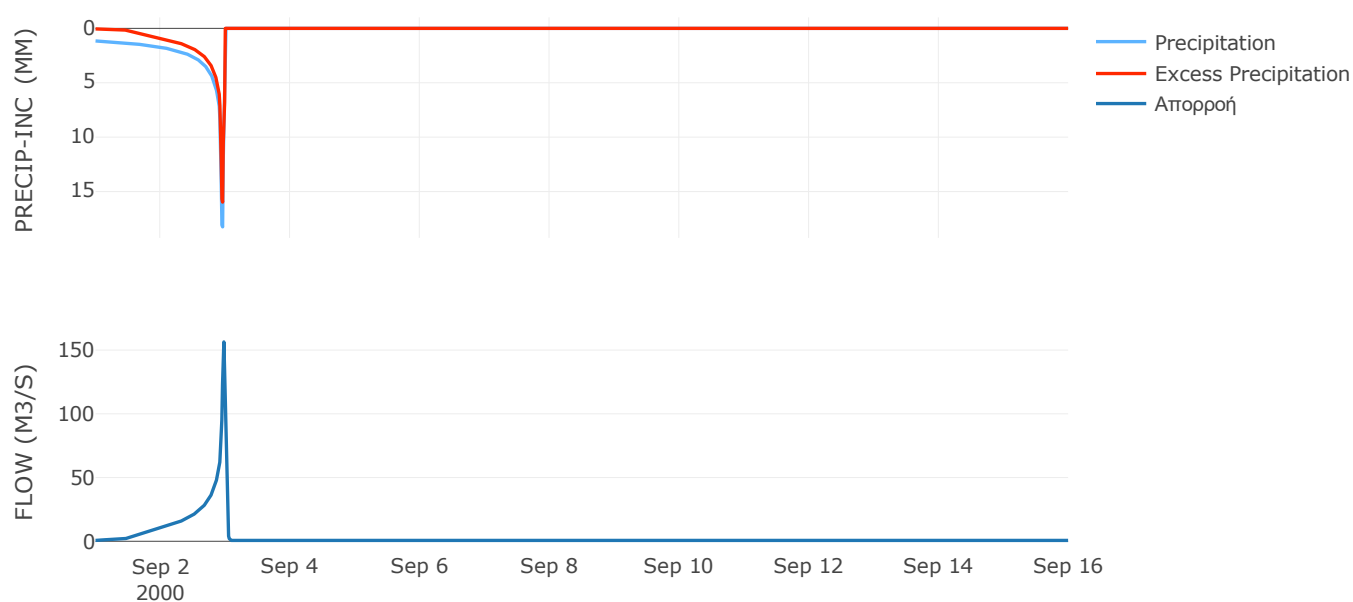
Μέθοδος
Μετασχηματισμού: SCS

| | |
|------------------|-------|
| Χρόνος Υστέρησης | 22.73 |
|------------------|-------|

Αποτελέσματα:
EL0420FR4055

| | |
|-----------------------------|------------------|
| Παροχή αιχμής (M3/S) | 156.43 |
| Χρονική στιγμή αιχμής | 02Sep2000, 23:30 |
| Όγκος (MM) | 384.15 |
| Όγκος βροχόπτωσης (M3) | 4.94E6 |
| Όγκος απωλειών (M3) | 1.9E6 |
| Ενεργός Όγκος (M3) | 3.04E6 |
| Όγκος άμεσης απορροής (M3) | 3.04E6 |
| Όγκος βασικής απορροής (M3) | 8.53E5 |

Βροχόπτωση και Απορροή



Υπολεκάνη: EL0420FR4056

Έκταση (KM2) : 13.8

Κατάντη : J5

Μέθοδος Απωλειών: SCS

| | |
|--------------------------------|-------|
| Ποσοστό αδιαπέρατης επιφάνειας | 0 |
| Αριθμός Καμπύλης Απορροής-CN | 63.43 |
| Αρχικές Απώλειες | 29.29 |

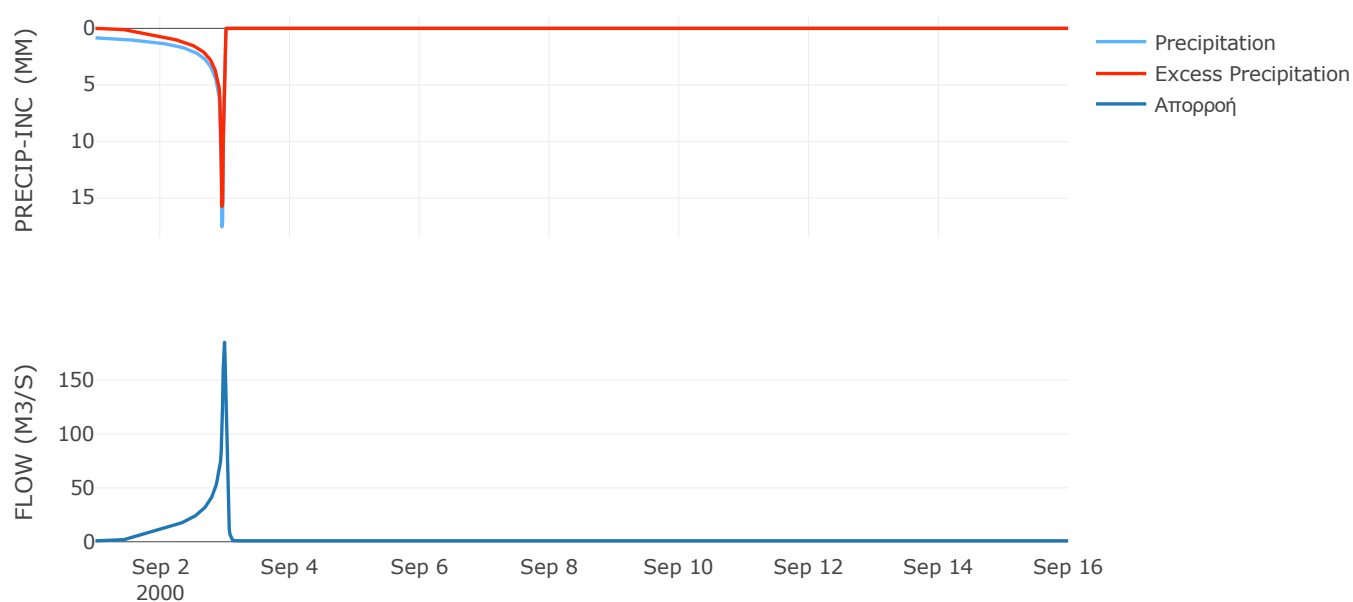
Μέθοδος
Μετασχηματισμού: SCS

| | |
|------------------|-------|
| Χρόνος Υστέρησης | 35.99 |
|------------------|-------|

Αποτελέσματα:
EL0420FR4056

| | |
|-----------------------------|------------------|
| Παροχή αιχμής (M3/S) | 185.14 |
| Χρονική στιγμή αιχμής | 02Sep2000, 23:45 |
| Όγκος (MM) | 340.85 |
| Όγκος βροχόπτωσης (M3) | 5.38E6 |
| Όγκος απωλειών (M3) | 1.84E6 |
| Ενεργός Όγκος (M3) | 3.54E6 |
| Όγκος άμεσης απορροής (M3) | 3.54E6 |
| Όγκος βασικής απορροής (M3) | 1.16E6 |

Βροχόπτωση και Απορροή



9.2 Δεδομένα και Υδρογραφήματα Σχεδιασμού Κλάδων Υδρογραφικού Δικτύου

Κλάδος: R21

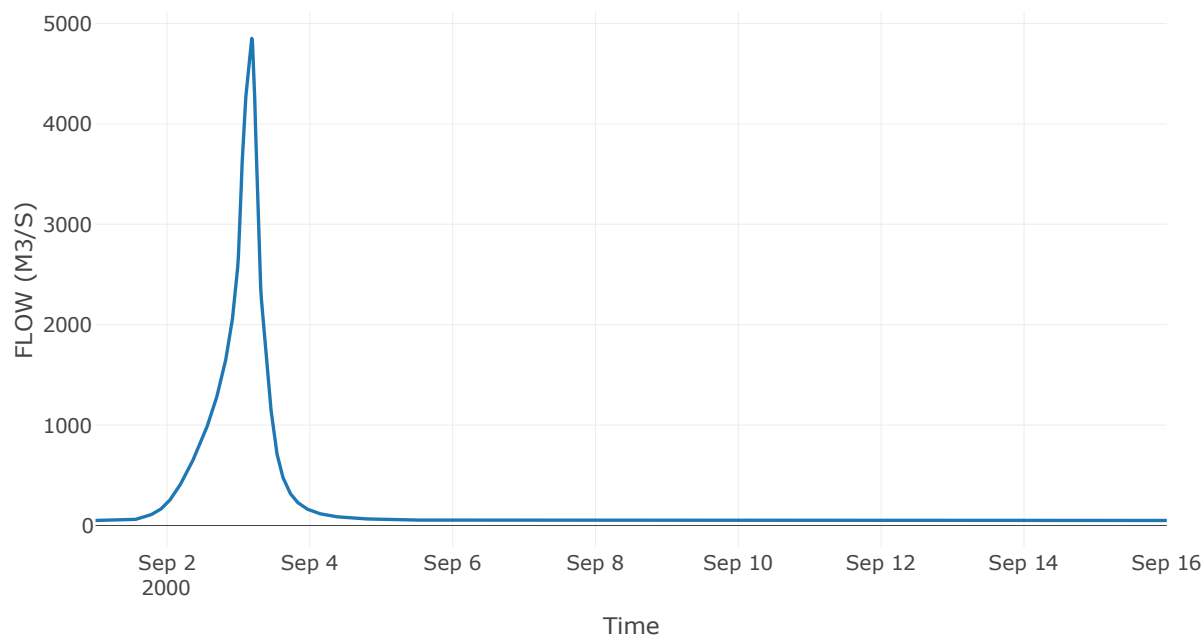
Κατάντη : J1

| | |
|----------------------|-----------------|
| Μέθοδος Διόδευσης | Muskingum |
| Αρχική Μεταβλητή | Combined Inflow |
| Χρόνος Ροής K | 1.46 |
| Συντελεστής βάρους x | 0.2 |
| Πλήθος Υποκλάδων | 7 |

Αποτελέσματα: R21

| | |
|------------------------------|------------------|
| Παροχή Αιχμής(M3/S) | 4850.86 |
| Χρονική στιγμή αιχμής | 03Sep2000, 04:30 |
| Όγκος(MM) | 276.19 |
| Παροχή Αιχμής Εισόδου (M3/S) | 4943.29 |
| Όγκος Εισροής(M3) | 2.96E8 |

Απορροή



Κλάδος: R32

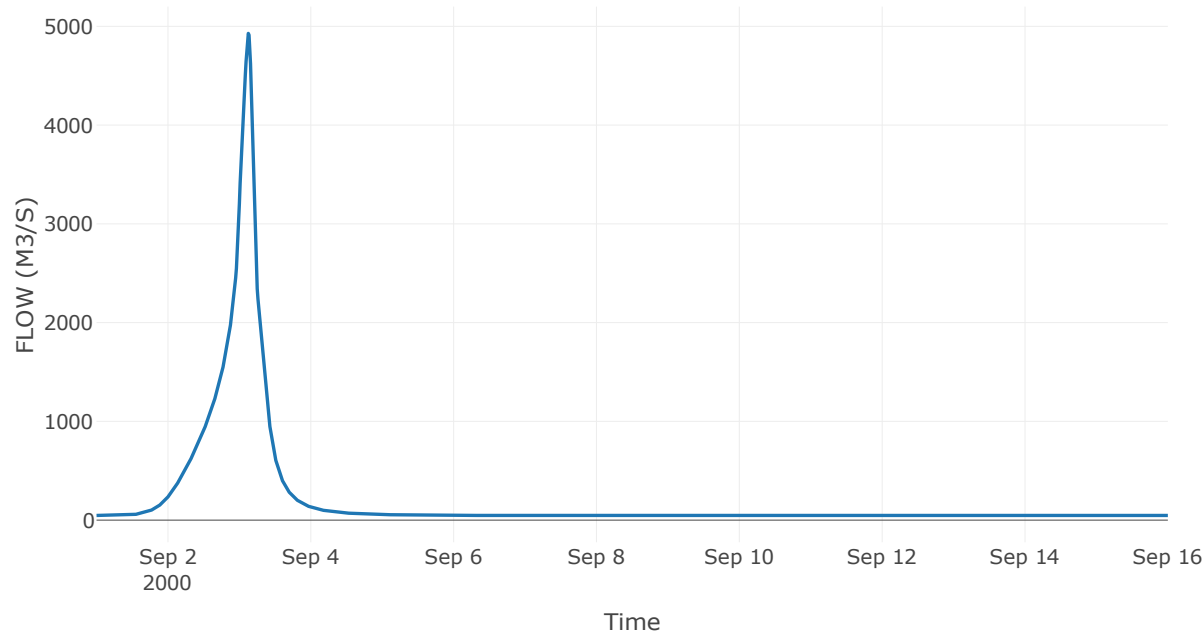
Κατάντη : J2

| | |
|----------------------|-----------------|
| Μέθοδος Διόδευσης | Muskingum |
| Αρχική Μεταβλητή | Combined Inflow |
| Χρόνος Ροής K | 0.35 |
| Συντελεστής βάρους x | 0.2 |
| Πλήθος Υποκλάδων | 2 |

Αποτελέσματα: R32

| | |
|------------------------------|------------------|
| Παροχή Αιχμής(M3/S) | 4928.79 |
| Χρονική στιγμή αιχμής | 03Sep2000, 03:00 |
| Όγκος(MM) | 273.07 |
| Παροχή Αιχμής Εισόδου (M3/S) | 4955.39 |
| Όγκος Εισροής(M3) | 2.79E8 |

Απορροή



Κλάδος: R43

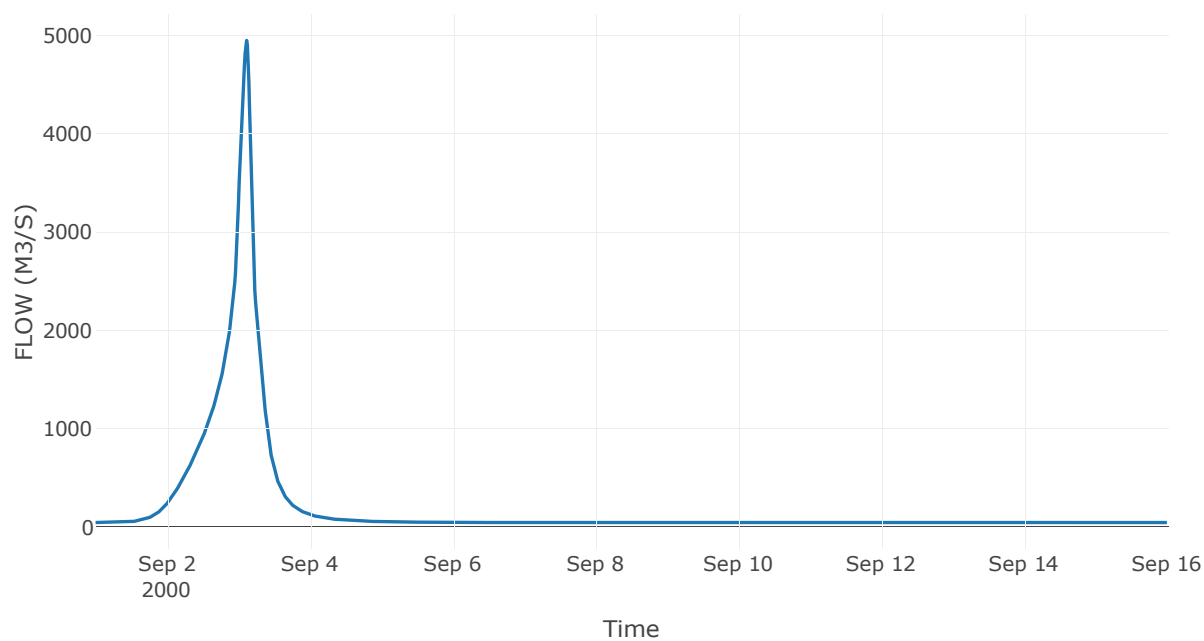
Κατάντη : J3

| | |
|----------------------|-----------------|
| Μέθοδος Διόδευσης | Muskingum |
| Αρχική Μεταβλητή | Combined Inflow |
| Χρόνος Ροής K | 0.44 |
| Συντελεστής βάρους x | 0.2 |
| Πλήθος Υποκλάδων | 2 |

Αποτελέσματα: R43

| | |
|------------------------------|------------------|
| Παροχή Αιχμής(M3/S) | 4951.84 |
| Χρονική στιγμή αιχμής | 03Sep2000, 02:45 |
| Όγκος(MM) | 272.75 |
| Παροχή Αιχμής Εισόδου (M3/S) | 4984.5 |
| Όγκος Εισροής(M3) | 2.74E8 |

Απορροή



Κλάδος: R54

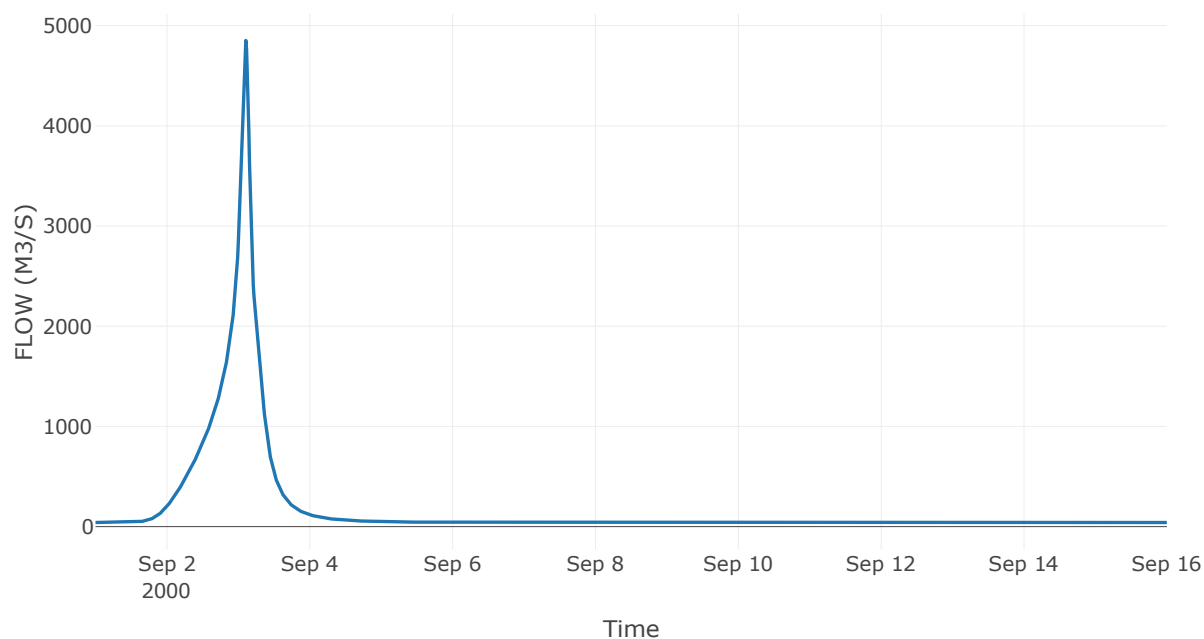
Κατάντη : J4

| | |
|----------------------|-----------------|
| Μέθοδος Διόδευσης | Muskingum |
| Αρχική Μεταβλητή | Combined Inflow |
| Χρόνος Ροής K | 1.04 |
| Συντελεστής βάρους x | 0.2 |
| Πλήθος Υποκλάδων | 5 |

Αποτελέσματα: R54

| | |
|------------------------------|------------------|
| Παροχή Αιχμής(M3/S) | 4852.69 |
| Χρονική στιγμή αιχμής | 03Sep2000, 02:30 |
| Όγκος(MM) | 267.52 |
| Παροχή Αιχμής Εισόδου (M3/S) | 4970.28 |
| Όγκος Εισροής(M3) | 2.48E8 |

Απορροή



Κλάδος: R65

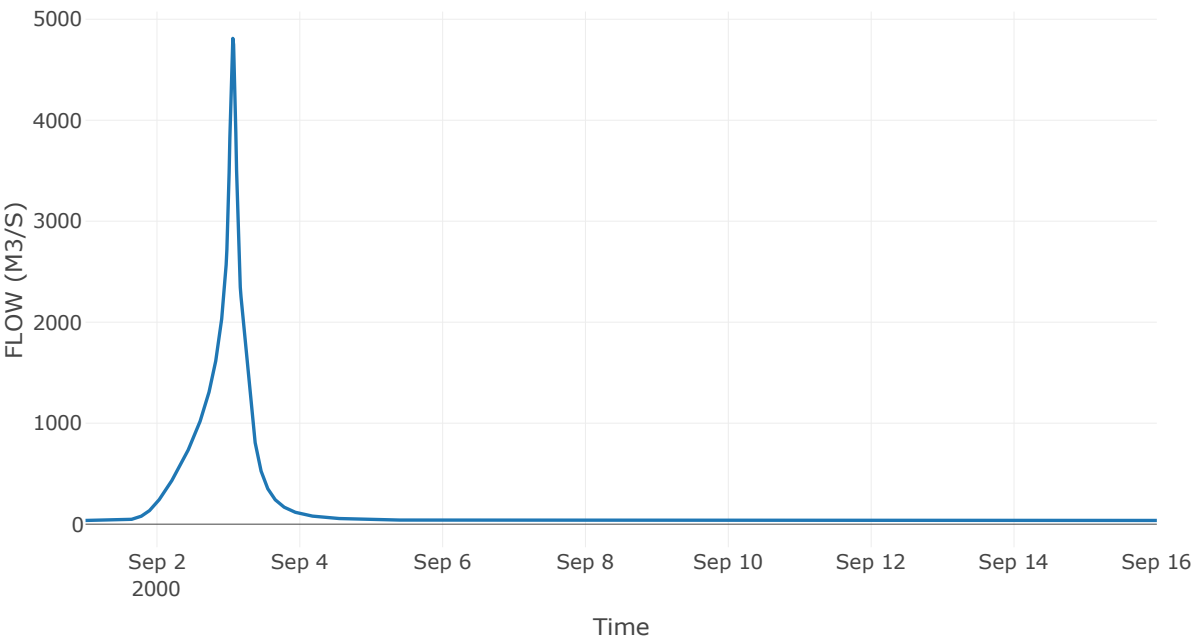
Κατάντη : J5

| | |
|----------------------|-----------------|
| Μέθοδος Διόδευσης | Muskingum |
| Αρχική Μεταβλητή | Combined Inflow |
| Χρόνος Ροής K | 0.8 |
| Συντελεστής βάρους x | 0.2 |
| Πλήθος Υποκλάδων | 4 |

Αποτελέσματα: R65

| | |
|------------------------------|------------------|
| Παροχή Αιχμής(M3/S) | 4810.55 |
| Χρονική στιγμή αιχμής | 03Sep2000, 01:30 |
| Όγκος(MM) | 266.39 |
| Παροχή Αιχμής Εισόδου (M3/S) | 4936.47 |
| Όγκος Εισροής(M3) | 2.3E8 |

Απορροή



Κλάδος: R76

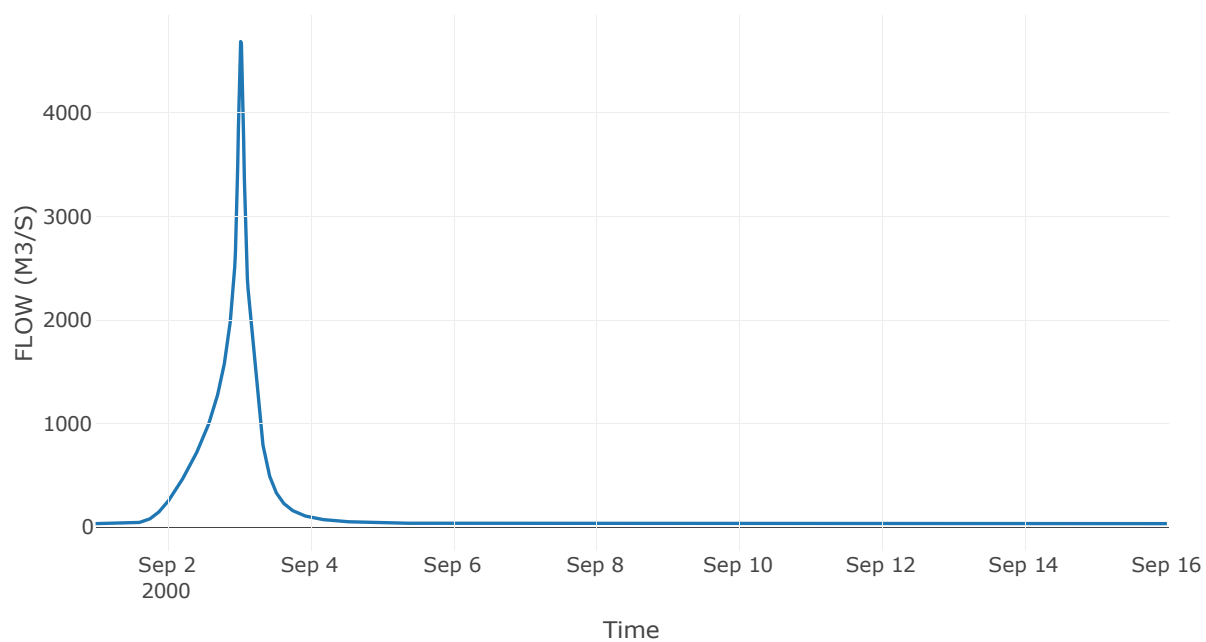
Κατάντη : J6

| | |
|-------------------|------------------|
| Μέθοδος Διόδευσης | Χρόνος Υστέρησης |
| Αρχική Μεταβλητή | Combined Inflow |
| Χρόνος Υστέρησης | 3.68 |

Αποτελέσματα: R76

| | |
|------------------------------|------------------|
| Παροχή Αιχμής(M3/S) | 4691.44 |
| Χρονική στιγμή αιχμής | 03Sep2000, 00:45 |
| Όγκος(MM) | 268.58 |
| Παροχή Αιχμής Εισόδου (M3/S) | 4714.15 |
| Όγκος Εισροής(M3) | 2.2E8 |

Απορροή



Κλάδος: R87

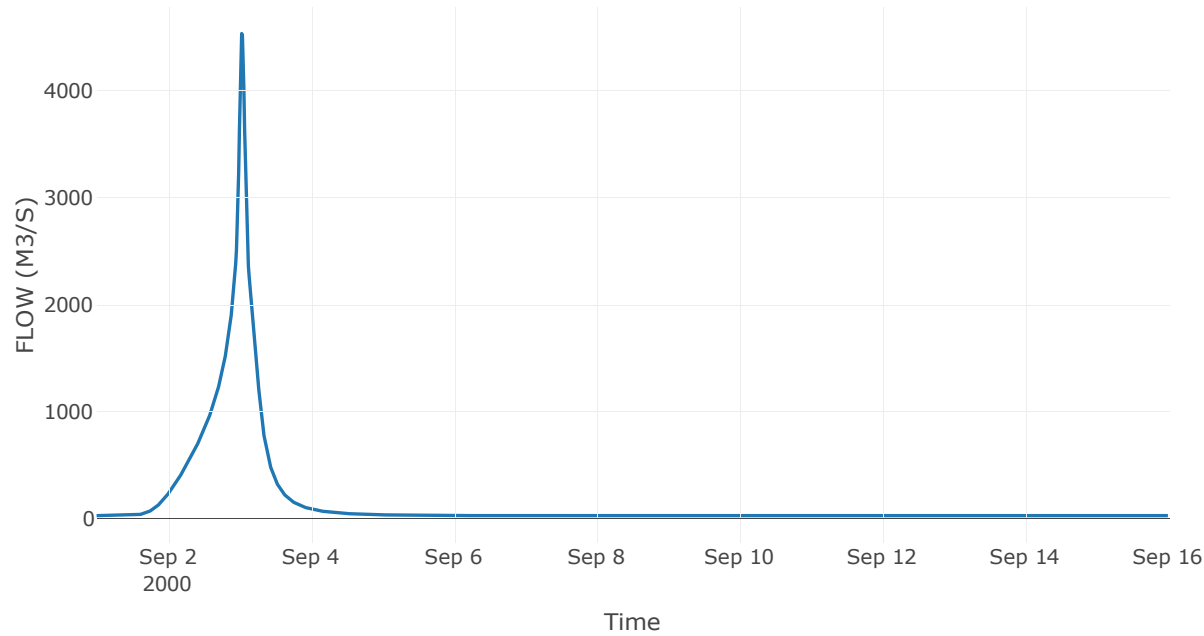
Κατάντη : J7

| | |
|----------------------|-----------------|
| Μέθοδος Διόδευσης | Muskingum |
| Αρχική Μεταβλητή | Combined Inflow |
| Χρόνος Ροής K | 0.5 |
| Συντελεστής βάρους x | 0.2 |
| Πλήθος Υποκλάδων | 2 |

Αποτελέσματα: R87

| | |
|------------------------------|------------------|
| Παροχή Αιχμής(M3/S) | 4536.76 |
| Χρονική στιγμή αιχμής | 03Sep2000, 00:45 |
| Όγκος(MM) | 270.92 |
| Παροχή Αιχμής Εισόδου (M3/S) | 4658.45 |
| Όγκος Εισροής(M3) | 2.12E8 |

Απορροή



Κλάδος: R98

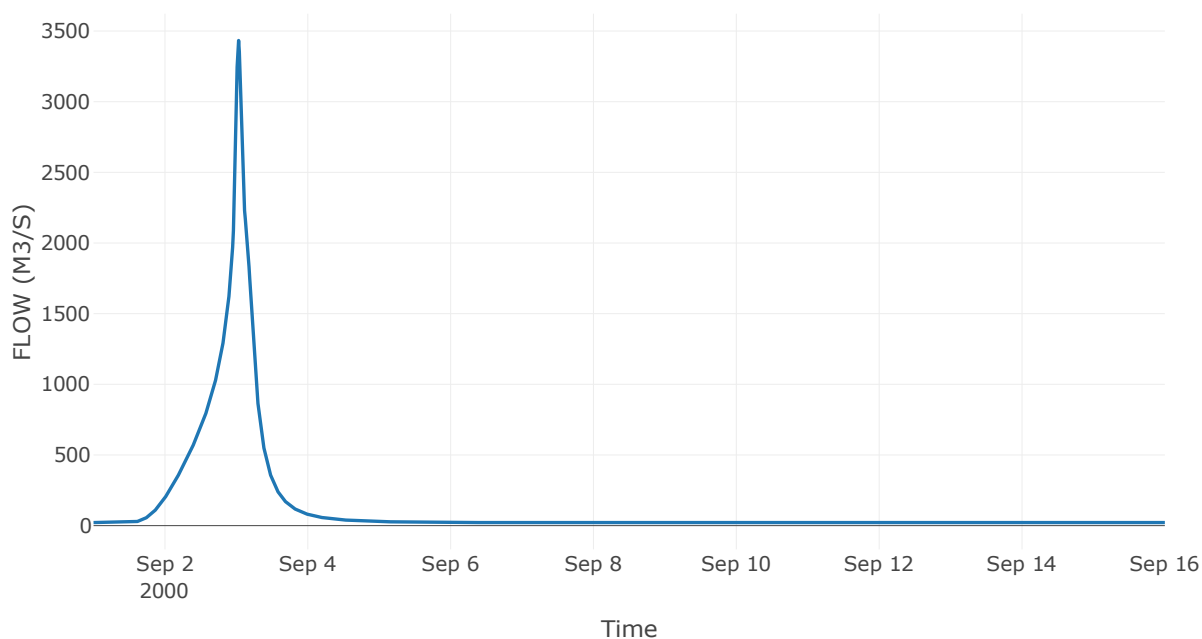
Κατάντη : J8

| | |
|----------------------|-----------------|
| Μέθοδος Διόδευσης | Muskingum |
| Αρχική Μεταβλητή | Combined Inflow |
| Χρόνος Ροής K | 0.26 |
| Συντελεστής βάρους x | 0.2 |
| Πλήθος Υποκλάδων | 1 |

Αποτελέσματα: R98

| | |
|------------------------------|------------------|
| Παροχή Αιχμής(M3/S) | 3433.06 |
| Χρονική στιγμή αιχμής | 03Sep2000, 00:45 |
| Όγκος(MM) | 273.97 |
| Παροχή Αιχμής Εισόδου (M3/S) | 3471.29 |
| Όγκος Εισροής(M3) | 1.72E8 |

Απορροή



Κλάδος: R109

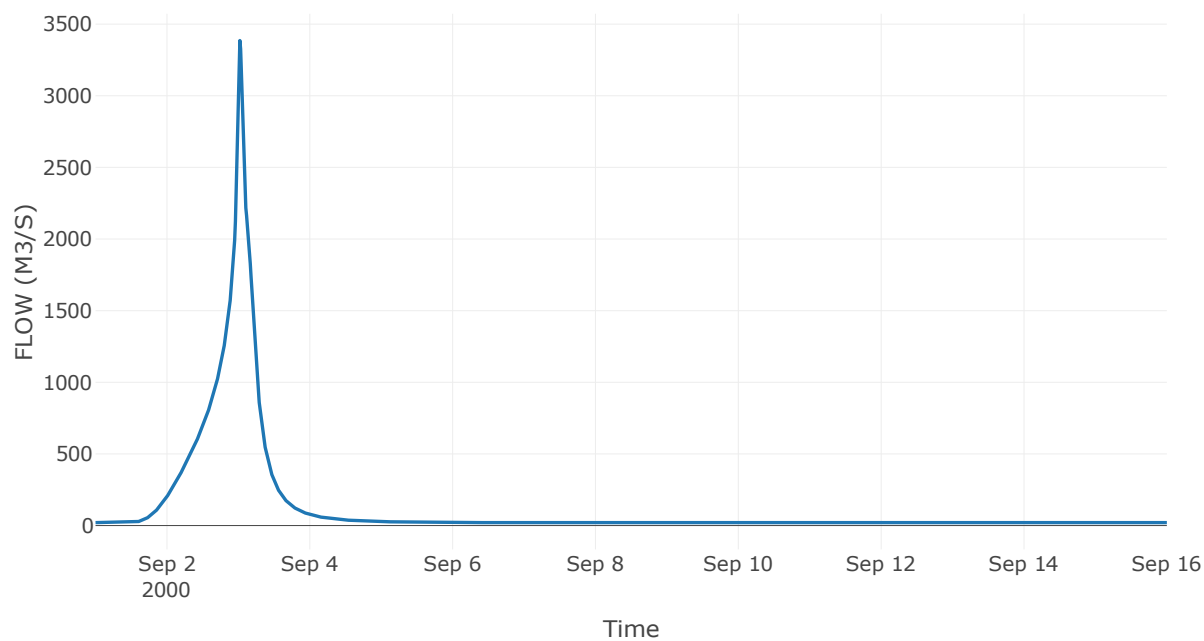
Κατάντη : J9

| | |
|----------------------|-----------------|
| Μέθοδος Διόδευσης | Muskingum |
| Αρχική Μεταβλητή | Combined Inflow |
| Χρόνος Ροής K | 0.21 |
| Συντελεστής βάρους x | 0.2 |
| Πλήθος Υποκλάδων | 1 |

Αποτελέσματα: R109

| | |
|------------------------------|------------------|
| Παροχή Αιχμής(M3/S) | 3385.5 |
| Χρονική στιγμή αιχμής | 03Sep2000, 00:30 |
| Όγκος(MM) | 275.22 |
| Παροχή Αιχμής Εισόδου (M3/S) | 3411.5 |
| Όγκος Εισροής(M3) | 1.68E8 |

Απορροή



Κλάδος: R1110

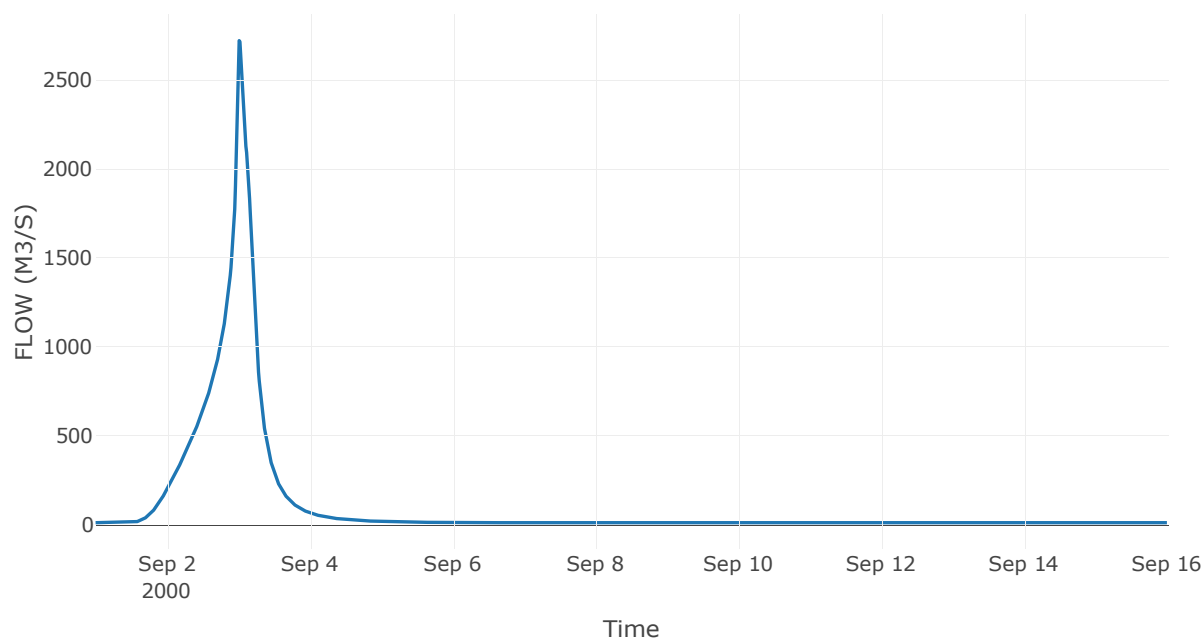
Κατάντη : J10

| | |
|----------------------|-----------------|
| Μέθοδος Διόδευσης | Muskingum |
| Αρχική Μεταβλητή | Combined Inflow |
| Χρόνος Ροής K | 0.18 |
| Συντελεστής βάρους x | 0.2 |
| Πλήθος Υποκλάδων | 1 |

Αποτελέσματα: R1110

| | |
|------------------------------|------------------|
| Παροχή Αιχμής(M3/S) | 2721.33 |
| Χρονική στιγμή αιχμής | 03Sep2000, 00:15 |
| Όγκος(MM) | 290.12 |
| Παροχή Αιχμής Εισόδου (M3/S) | 2735.85 |
| Όγκος Εισροής(M3) | 1.49E8 |

Απορροή



Κλάδος: R1211

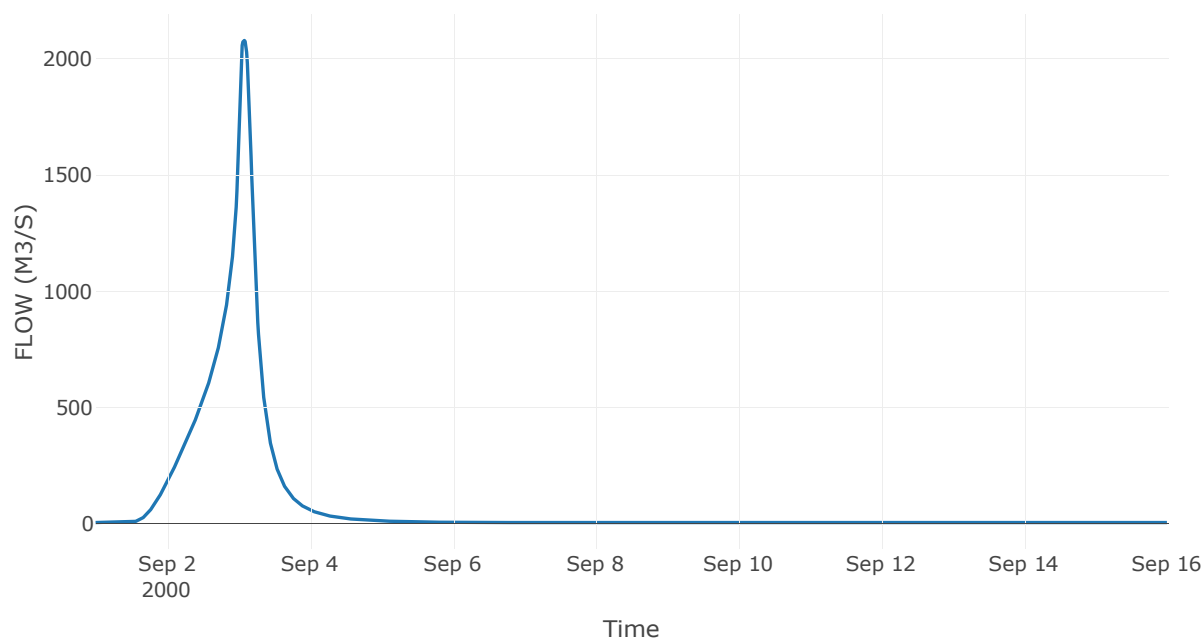
Κατάντη : J11

| | |
|----------------------|-----------------|
| Μέθοδος Διόδευσης | Muskingum |
| Αρχική Μεταβλητή | Combined Inflow |
| Χρόνος Ροής K | 1 |
| Συντελεστής βάρους x | 0.2 |
| Πλήθος Υποκλάδων | 5 |

Αποτελέσματα: R1211

| | |
|------------------------------|------------------|
| Παροχή Αιχμής(M3/S) | 2078.83 |
| Χρονική στιγμή αιχμής | 03Sep2000, 02:00 |
| Όγκος(MM) | 304.76 |
| Παροχή Αιχμής Εισόδου (M3/S) | 2084.17 |
| Όγκος Εισροής(M3) | 1.19E8 |

Απορροή



Κλάδος: R1312

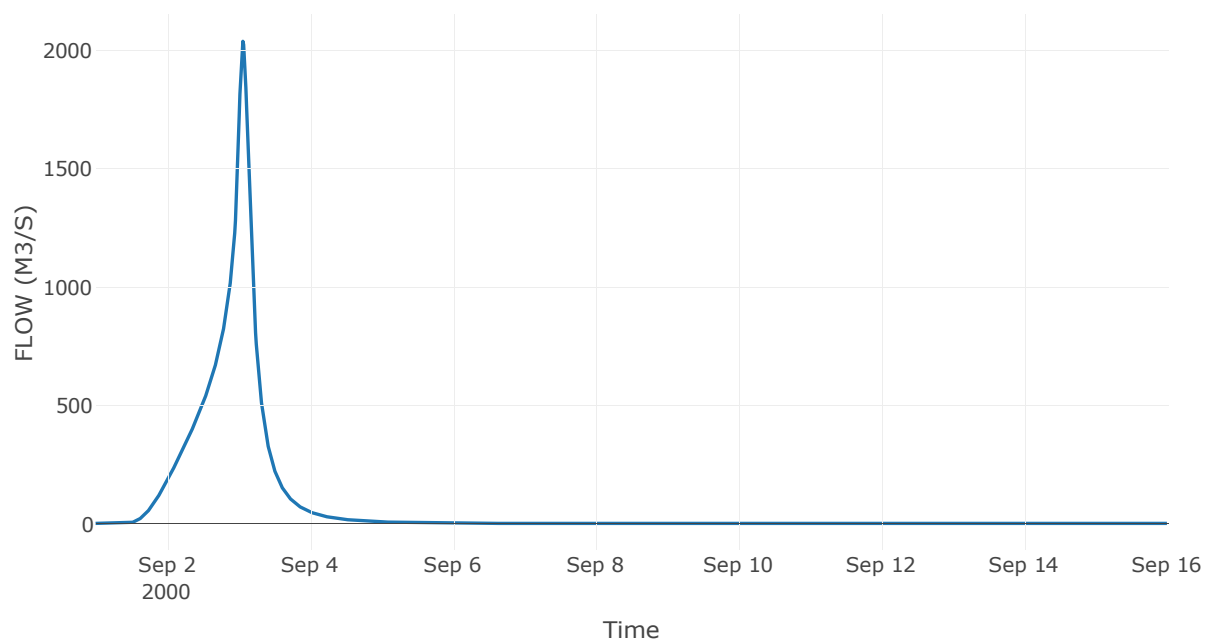
Κατάντη : J12

| | |
|-------------------|------------------|
| Μέθοδος Διόδευσης | Χρόνος Υστέρησης |
| Αρχική Μεταβλητή | Combined Inflow |
| Χρόνος Υστέρησης | 4.04 |

Αποτελέσματα: R1312

| | |
|------------------------------|------------------|
| Παροχή Αιχμής(M3/S) | 2039.18 |
| Χρονική στιγμή αιχμής | 03Sep2000, 01:30 |
| Όγκος(MM) | 302.85 |
| Παροχή Αιχμής Εισόδου (M3/S) | 2041.45 |
| Όγκος Εισροής(M3) | 1.07E8 |

Απορροή



Κλάδος: R1413

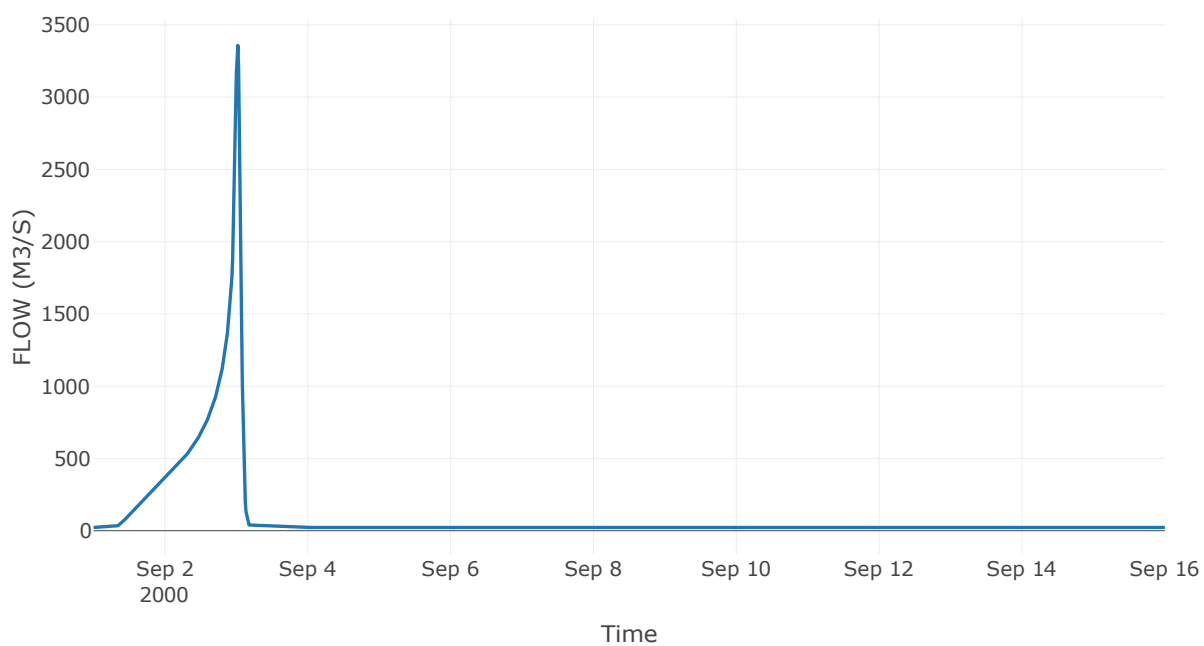
Κατάντη : Diversion - 1

| | |
|-------------------|------------------|
| Μέθοδος Διόδευσης | Χρόνος Υστέρησης |
| Αρχική Μεταβλητή | Combined Inflow |
| Χρόνος Υστέρησης | 4.25 |

Αποτελέσματα: R1413

| | |
|------------------------------|------------------|
| Παροχή Αιχμής(M3/S) | 3357.6 |
| Χρονική στιγμή αιχμής | 03Sep2000, 00:30 |
| Όγκος(MM) | 381.01 |
| Παροχή Αιχμής Εισόδου (M3/S) | 3372.72 |
| Όγκος Εισροής(M3) | 1.3E8 |

Απορροή



Κλάδος: R1514

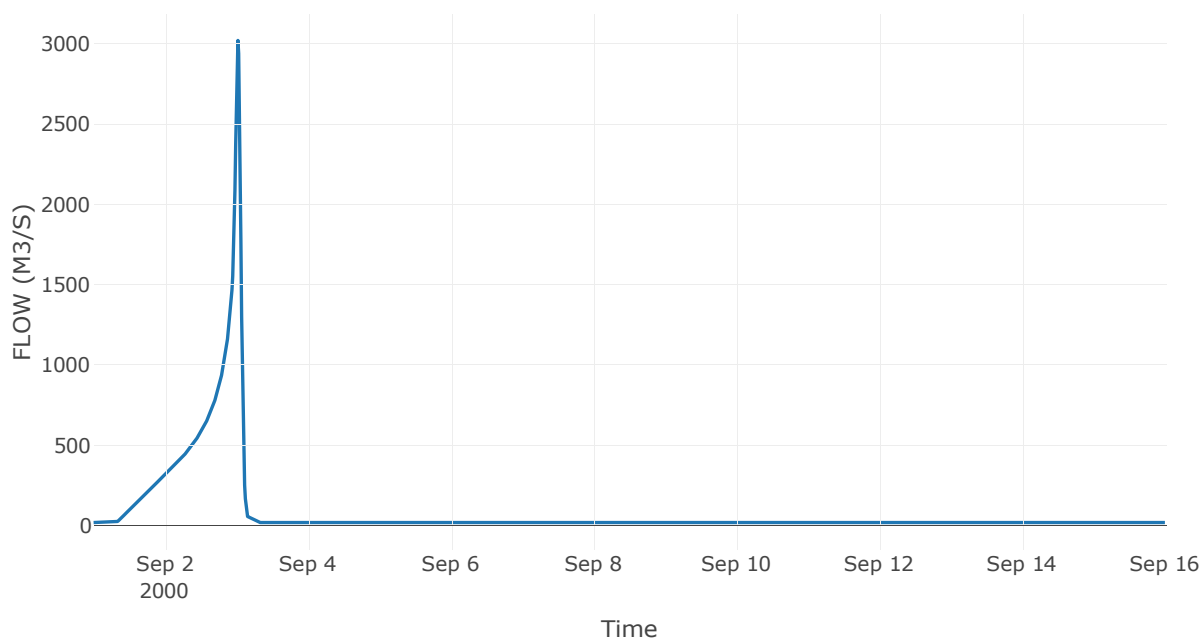
Κατάντη : J14

| | |
|----------------------|-----------------|
| Μέθοδος Διόδευσης | Muskingum |
| Αρχική Μεταβλητή | Combined Inflow |
| Χρόνος Ροής K | 0.34 |
| Συντελεστής βάρους x | 0.2 |
| Πλήθος Υποκλάδων | 2 |

Αποτελέσματα: R1514

| | |
|------------------------------|------------------|
| Παροχή Αιχμής(M3/S) | 3018.82 |
| Χρονική στιγμή αιχμής | 03Sep2000, 00:30 |
| Όγκος(MM) | 385.32 |
| Παροχή Αιχμής Εισόδου (M3/S) | 3074.7 |
| Όγκος Εισροής(M3) | 1.12E8 |

Απορροή



Κλάδος: R1615

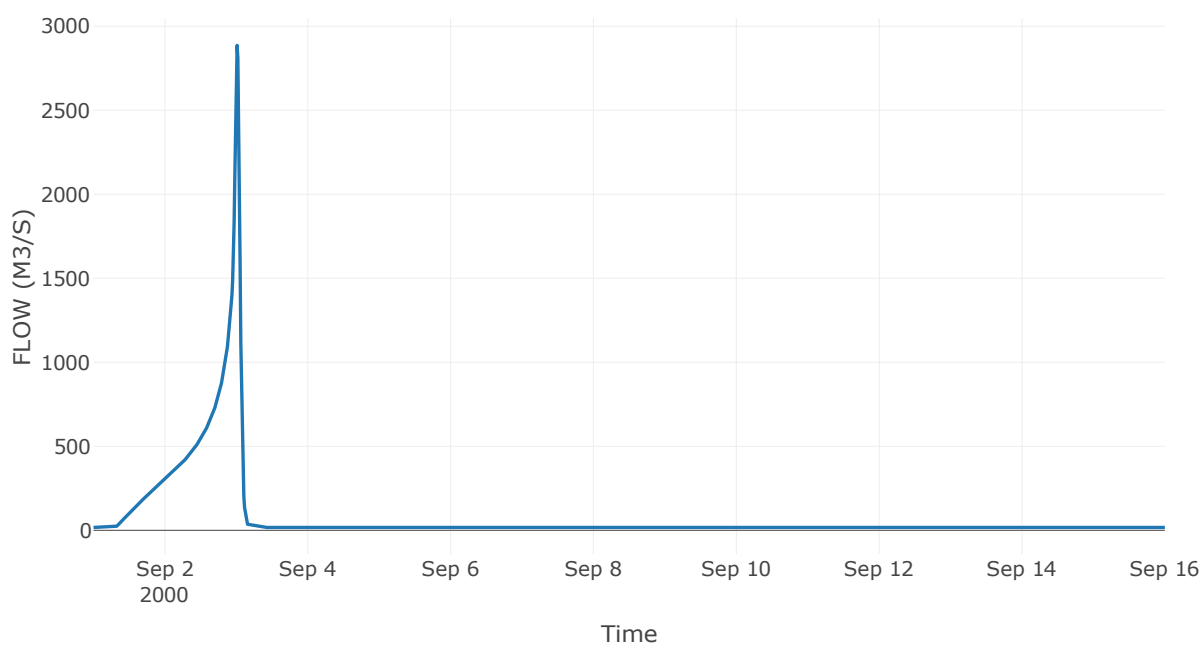
Κατάντη : J15

| | |
|----------------------|-----------------|
| Μέθοδος Διόδευσης | Muskingum |
| Αρχική Μεταβλητή | Combined Inflow |
| Χρόνος Ροής K | 0.3 |
| Συντελεστής βάρους x | 0.2 |
| Πλήθος Υποκλάδων | 1 |

Αποτελέσματα: R1615

| | |
|------------------------------|------------------|
| Παροχή Αιχμής(M3/S) | 2886.08 |
| Χρονική στιγμή αιχμής | 03Sep2000, 00:15 |
| Όγκος(MM) | 395.06 |
| Παροχή Αιχμής Εισόδου (M3/S) | 2974.62 |
| Όγκος Εισροής(M3) | 1.03E8 |

Απορροή



Κλάδος: R1716

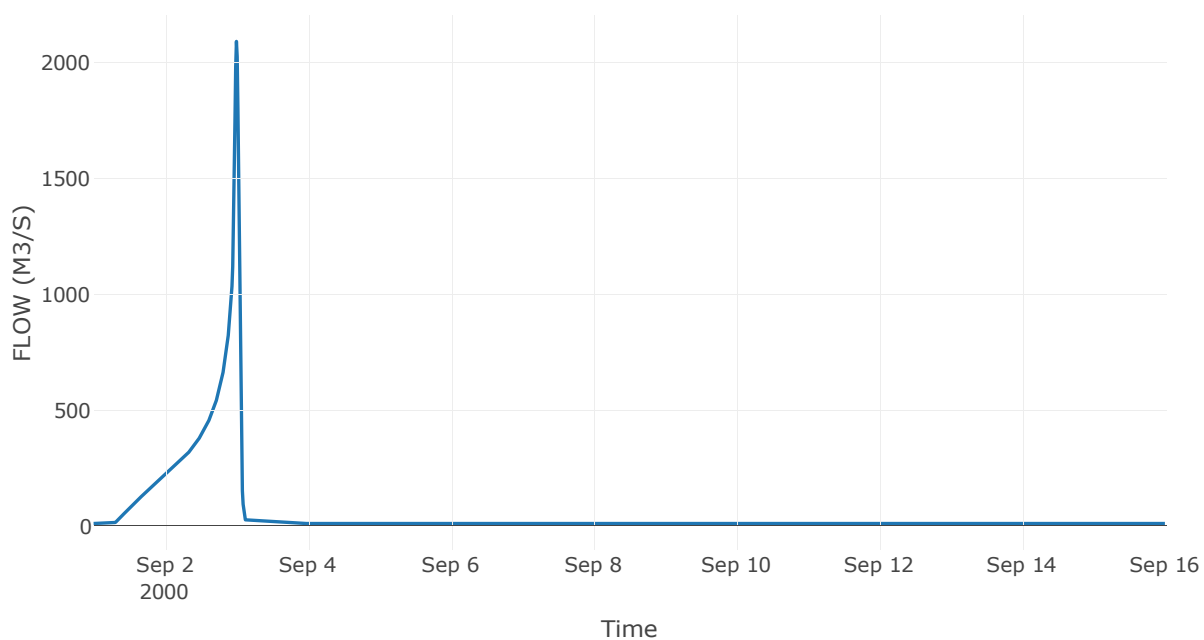
Κατάντη : J16

| | |
|-------------------|------------------|
| Μέθοδος Διόδευσης | Χρόνος Υστέρησης |
| Αρχική Μεταβλητή | Combined Inflow |
| Χρόνος Υστέρησης | 10.34 |

Αποτελέσματα: R1716

| | |
|------------------------------|------------------|
| Παροχή Αιχμής(M3/S) | 2092.05 |
| Χρονική στιγμή αιχμής | 02Sep2000, 24:00 |
| Όγκος(MM) | 397.58 |
| Παροχή Αιχμής Εισόδου (M3/S) | 2094.77 |
| Όγκος Εισροής(M3) | 7.21E7 |

Απορροή



Κλάδος: R1817

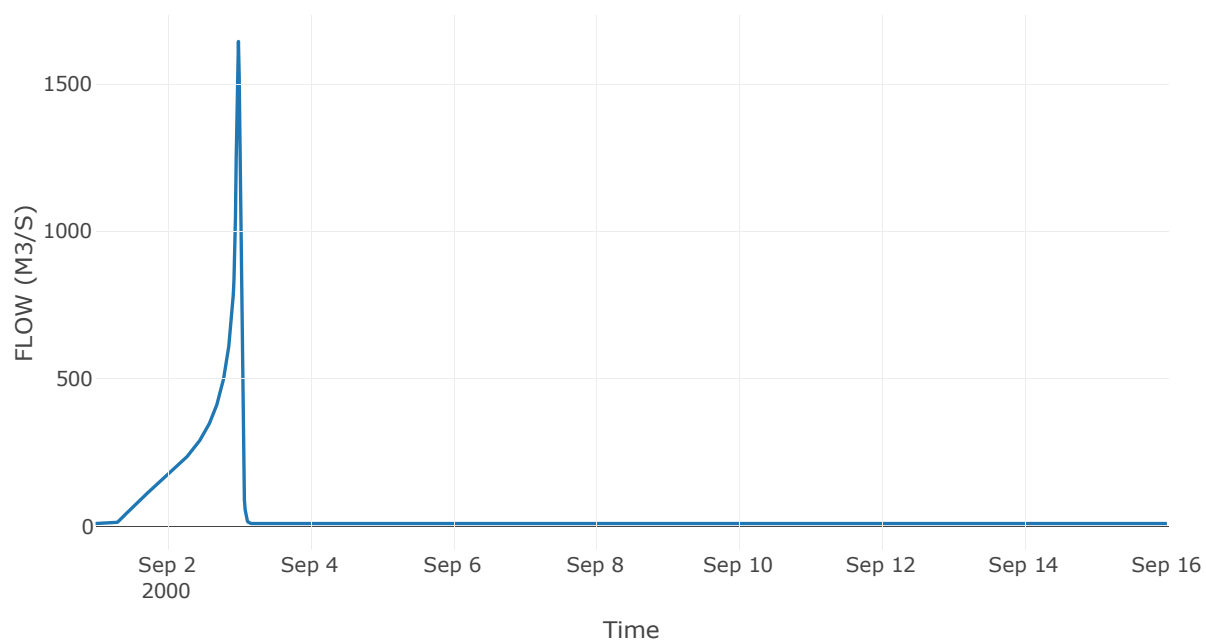
Κατάντη : J17

| | |
|-------------------|------------------|
| Μέθοδος Διόδευσης | Χρόνος Υστέρησης |
| Αρχική Μεταβλητή | Combined Inflow |
| Χρόνος Υστέρησης | 4.27 |

Αποτελέσματα: R1817

| | |
|------------------------------|------------------|
| Παροχή Αιχμής(M3/S) | 1643.38 |
| Χρονική στιγμή αιχμής | 02Sep2000, 24:00 |
| Όγκος(MM) | 394.94 |
| Παροχή Αιχμής Εισόδου (M3/S) | 1658.8 |
| Όγκος Εισροής(M3) | 5.63E7 |

Απορροή



Κλάδος: R1918

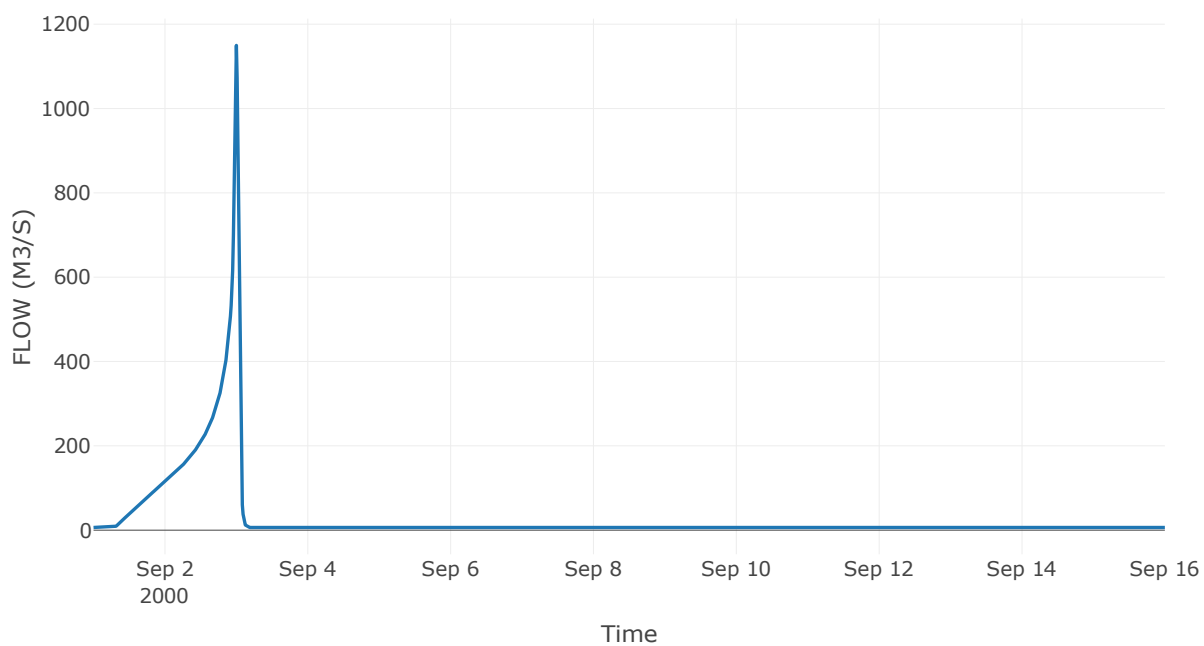
Κατάντη : J18

| | |
|-------------------|------------------|
| Μέθοδος Διόδευσης | Χρόνος Υστέρησης |
| Αρχική Μεταβλητή | Combined Inflow |
| Χρόνος Υστέρησης | 17.85 |

Αποτελέσματα: R1918

| | |
|------------------------------|------------------|
| Παροχή Αιχμής(M3/S) | 1149.68 |
| Χρονική στιγμή αιχμής | 02Sep2000, 24:00 |
| Όγκος(MM) | 392.1 |
| Παροχή Αιχμής Εισόδου (M3/S) | 1150.3 |
| Όγκος Εισροής(M3) | 3.84E7 |

Απορροή



Κλάδος: R2019

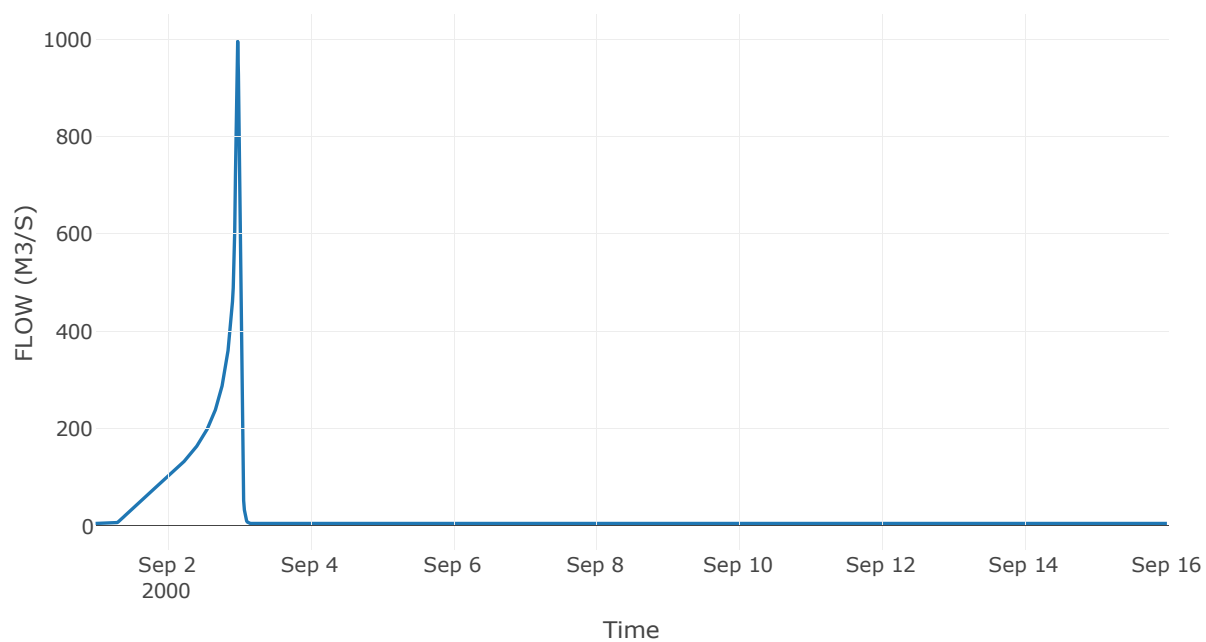
Κατάντη : J19

| | |
|-------------------|------------------|
| Μέθοδος Διόδευσης | Χρόνος Υστέρησης |
| Αρχική Μεταβλητή | Combined Inflow |
| Χρόνος Υστέρησης | 1.63 |

Αποτελέσματα: R2019

| | |
|------------------------------|------------------|
| Παροχή Αιχμής(M3/S) | 995.78 |
| Χρονική στιγμή αιχμής | 02Sep2000, 23:45 |
| Όγκος(MM) | 390.43 |
| Παροχή Αιχμής Εισόδου (M3/S) | 996.47 |
| Όγκος Εισροής(M3) | 3.31E7 |

Απορροή



Κλάδος: R2120

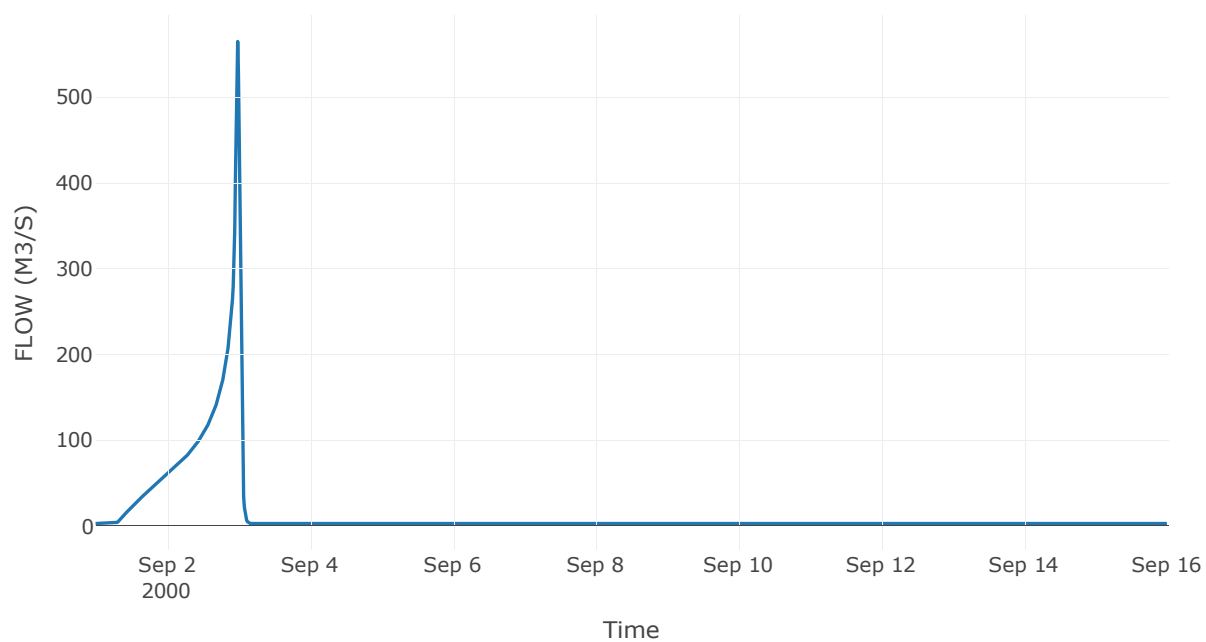
Κατάντη : J20

| | |
|-------------------|------------------|
| Μέθοδος Διόδευσης | Χρόνος Υστέρησης |
| Αρχική Μεταβλητή | Combined Inflow |
| Χρόνος Υστέρησης | 1.62 |

Αποτελέσματα: R2120

| | |
|------------------------------|------------------|
| Παροχή Αιχμής(M3/S) | 564.87 |
| Χρονική στιγμή αιχμής | 02Sep2000, 23:45 |
| Όγκος(MM) | 405.25 |
| Παροχή Αιχμής Εισόδου (M3/S) | 565.39 |
| Όγκος Εισροής(M3) | 1.92E7 |

Απορροή



Κλάδος: R2220

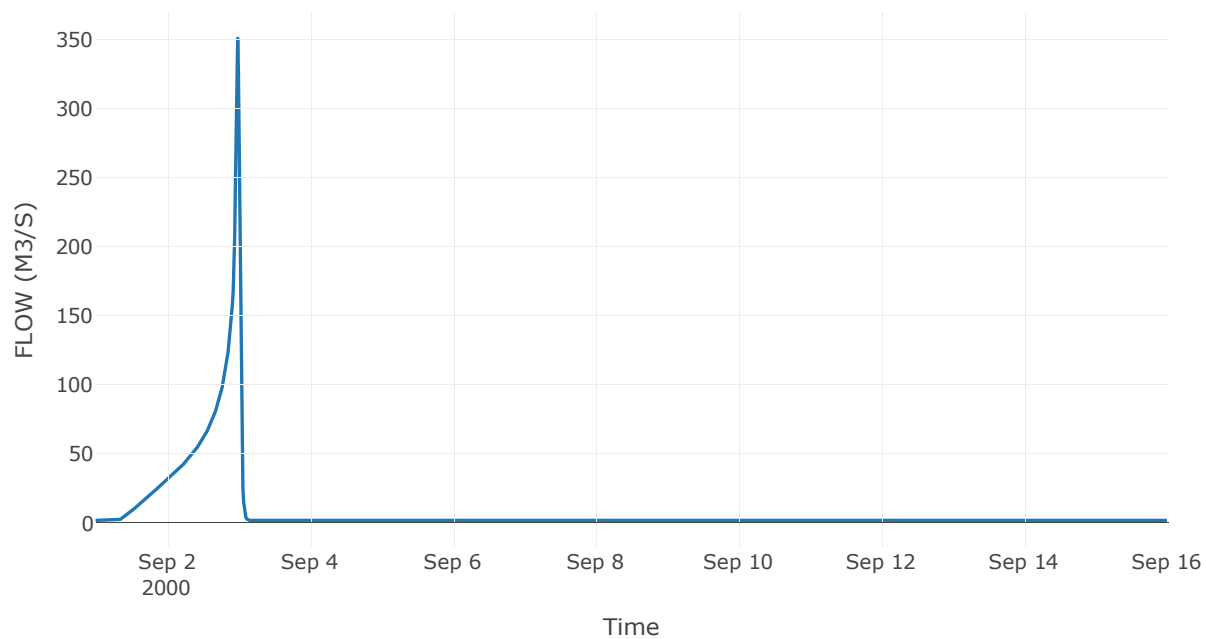
Κατάντη : J20

| | |
|-------------------|------------------|
| Μέθοδος Διόδευσης | Χρόνος Υστέρησης |
| Αρχική Μεταβλητή | Combined Inflow |
| Χρόνος Υστέρησης | 6.8 |

Αποτελέσματα: R2220

| | |
|------------------------------|------------------|
| Παροχή Αιχμής(M3/S) | 350.99 |
| Χρονική στιγμή αιχμής | 02Sep2000, 23:45 |
| Όγκος(MM) | 364.03 |
| Παροχή Αιχμής Εισόδου (M3/S) | 356.13 |
| Όγκος Εισροής(M3) | 1.12E7 |

Απορροή



Κλάδος: R2314

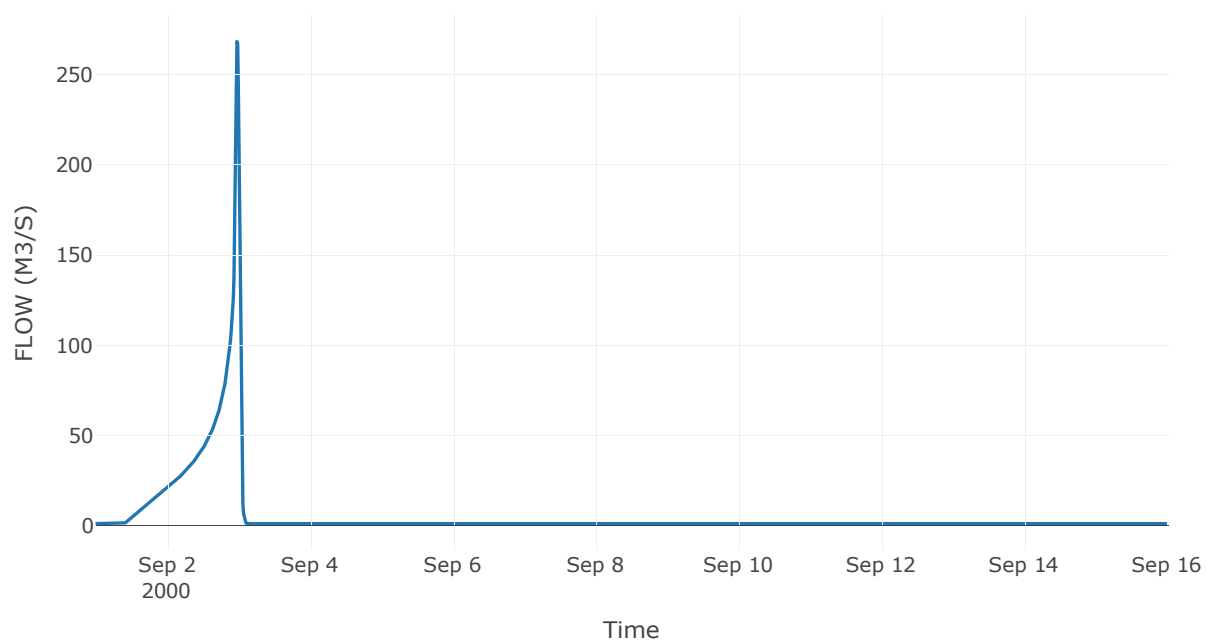
Κατάντη : J14

| | |
|-------------------|------------------|
| Μέθοδος Διόδευσης | Χρόνος Υστέρησης |
| Αρχική Μεταβλητή | Combined Inflow |
| Χρόνος Υστέρησης | 5.94 |

Αποτελέσματα: R2314

| | |
|------------------------------|------------------|
| Παροχή Αιχμής(M3/S) | 268.19 |
| Χρονική στιγμή αιχμής | 02Sep2000, 23:30 |
| Όγκος(MM) | 366.58 |
| Παροχή Αιχμής Εισόδου (M3/S) | 276.46 |
| Όγκος Εισροής(M3) | 7.89E6 |

Απορροή



Κλάδος: R2411

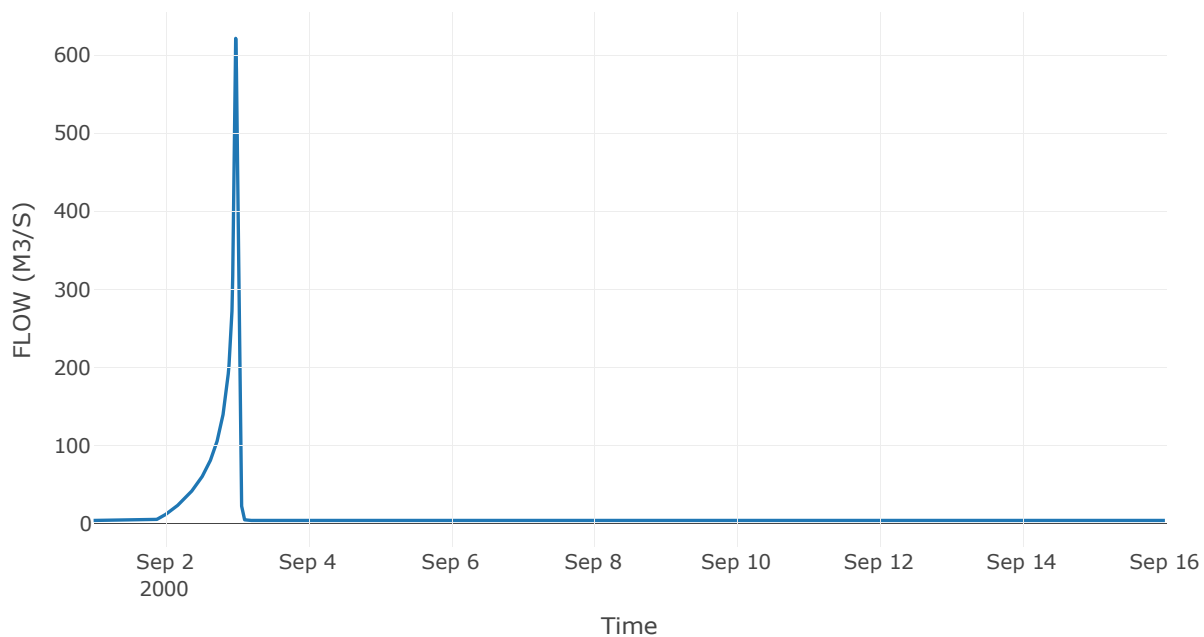
Κατάντη : J11

| | |
|-------------------|------------------|
| Μέθοδος Διόδευσης | Χρόνος Υστέρησης |
| Αρχική Μεταβλητή | Combined Inflow |
| Χρόνος Υστέρησης | 5.36 |

Αποτελέσματα: R2411

| | |
|------------------------------|------------------|
| Παροχή Αιχμής(M3/S) | 621.29 |
| Χρονική στιγμή αιχμής | 02Sep2000, 23:45 |
| Όγκος(MM) | 237.22 |
| Παροχή Αιχμής Εισόδου (M3/S) | 622.44 |
| Όγκος Εισροής(M3) | 1.48E7 |

Απορροή



Κλάδος: R2524

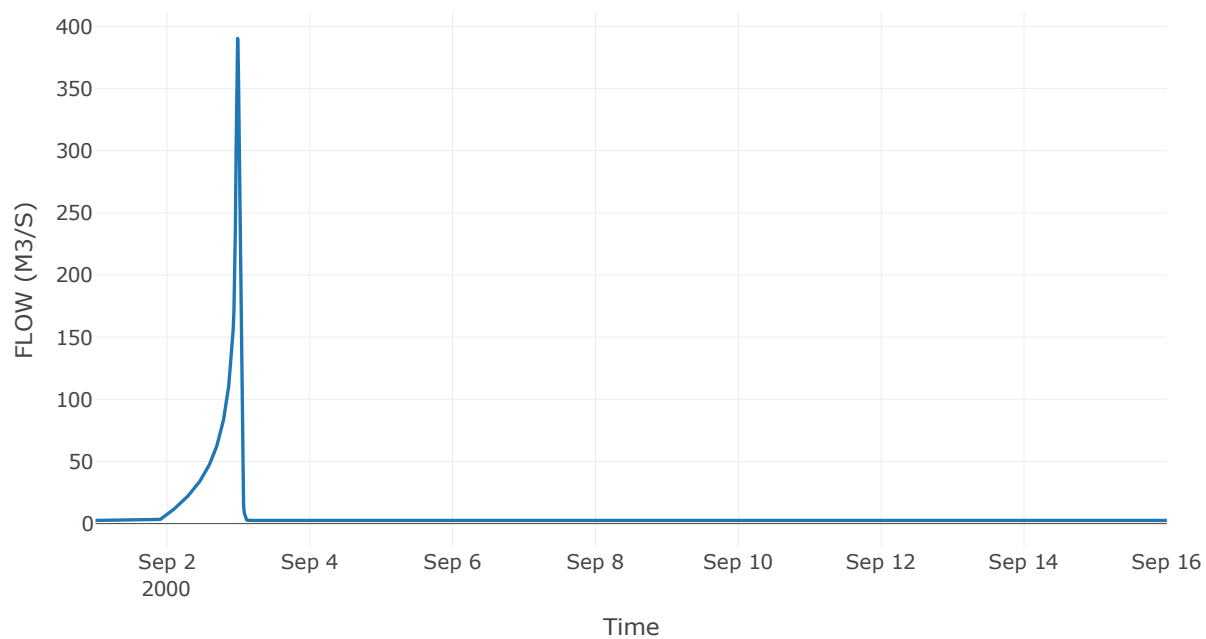
Κατάντη : J24

| | |
|-------------------|------------------|
| Μέθοδος Διόδευσης | Χρόνος Υστέρησης |
| Αρχική Μεταβλητή | Combined Inflow |
| Χρόνος Υστέρησης | 10.89 |

Αποτελέσματα: R2524

| | |
|------------------------------|------------------|
| Παροχή Αιχμής(M3/S) | 390.4 |
| Χρονική στιγμή αιχμής | 02Sep2000, 23:45 |
| Όγκος(MM) | 240.76 |
| Παροχή Αιχμής Εισόδου (M3/S) | 394.48 |
| Όγκος Εισροής(M3) | 9.37E6 |

Απορροή



Κλάδος: R2610

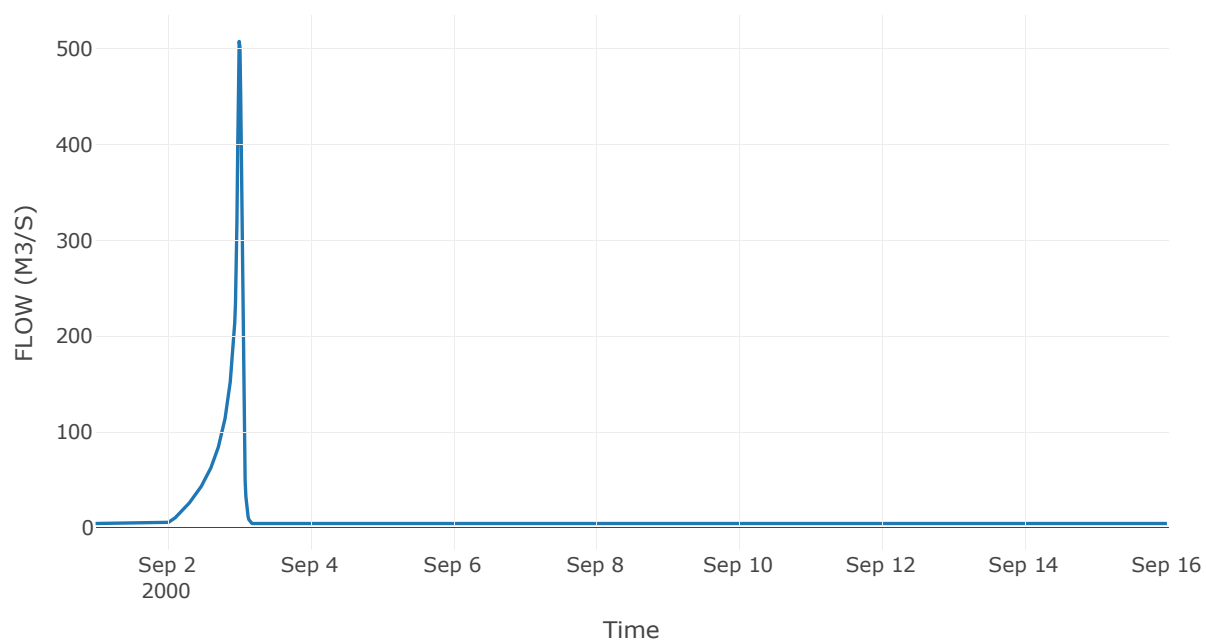
Κατάντη : J10

| | |
|-------------------|------------------|
| Μέθοδος Διόδευσης | Χρόνος Υστέρησης |
| Αρχική Μεταβλητή | Combined Inflow |
| Χρόνος Υστέρησης | 30.9 |

Αποτελέσματα: R2610

| | |
|------------------------------|------------------|
| Παροχή Αιχμής(M3/S) | 507.8 |
| Χρονική στιγμή αιχμής | 03Sep2000, 00:15 |
| Όγκος(MM) | 198.87 |
| Παροχή Αιχμής Εισόδου (M3/S) | 507.8 |
| Όγκος Εισροής(M3) | 1.43E7 |

Απορροή



Κλάδος: R278

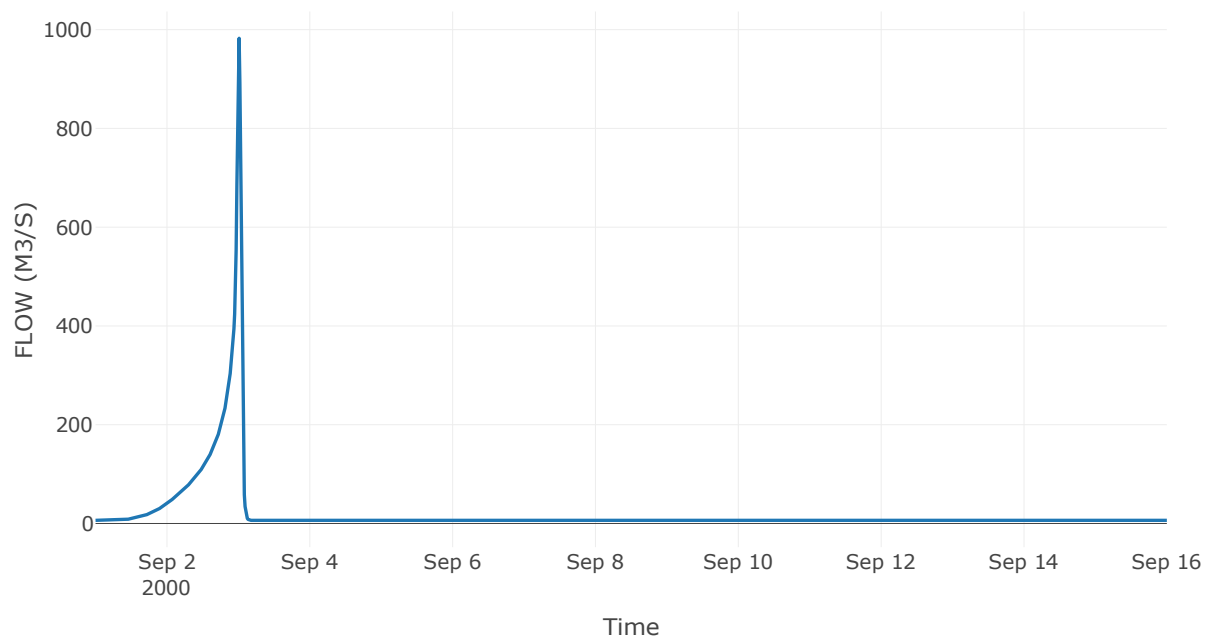
Κατάντη : J8

| | |
|-------------------|------------------|
| Μέθοδος Διόδευσης | Χρόνος Υστέρησης |
| Αρχική Μεταβλητή | Combined Inflow |
| Χρόνος Υστέρησης | 28.73 |

Αποτελέσματα: R278

| | |
|------------------------------|------------------|
| Παροχή Αιχμής(M3/S) | 982.53 |
| Χρονική στιγμή αιχμής | 03Sep2000, 00:15 |
| Όγκος(MM) | 269.48 |
| Παροχή Αιχμής Εισόδου (M3/S) | 993.25 |
| Όγκος Εισροής(M3) | 2.63E7 |

Απορροή



Κλάδος: R2827

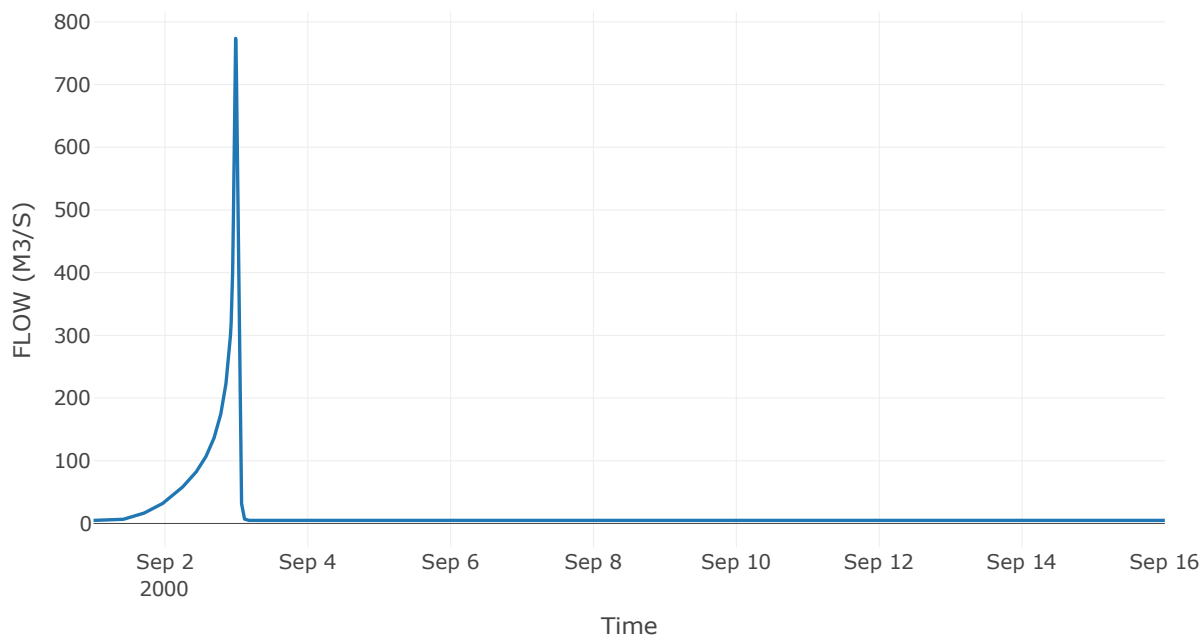
Κατάντη : J27

| | |
|-------------------|------------------|
| Μέθοδος Διόδευσης | Χρόνος Υστέρησης |
| Αρχική Μεταβλητή | Combined Inflow |
| Χρόνος Υστέρησης | 3.43 |

Αποτελέσματα: R2827

| | |
|------------------------------|------------------|
| Παροχή Αιχμής(M3/S) | 773.71 |
| Χρονική στιγμή αιχμής | 02Sep2000, 23:45 |
| Όγκος(MM) | 273.83 |
| Παροχή Αιχμής Εισόδου (M3/S) | 778.92 |
| Όγκος Εισροής(M3) | 2.05E7 |

Απορροή



Κλάδος: R2928

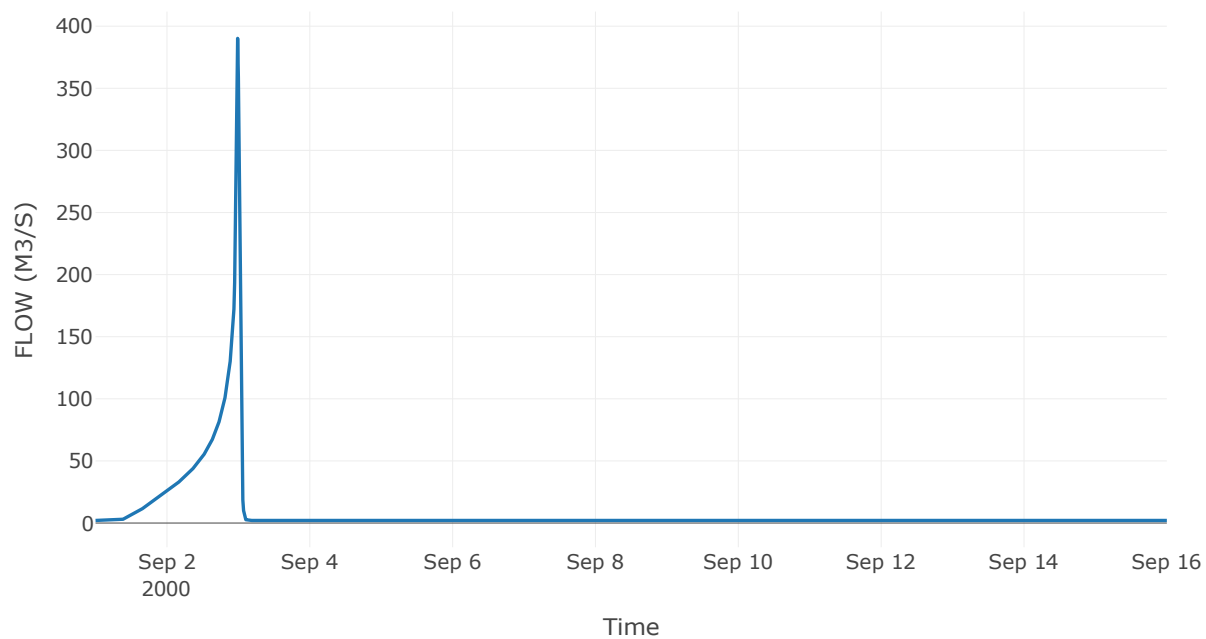
Κατάντη : J28

| | |
|-------------------|------------------|
| Μέθοδος Διόδευσης | Χρόνος Υστέρησης |
| Αρχική Μεταβλητή | Combined Inflow |
| Χρόνος Υστέρησης | 15.08 |

Αποτελέσματα: R2928

| | |
|------------------------------|------------------|
| Παροχή Αιχμής(M3/S) | 390.19 |
| Χρονική στιγμή αιχμής | 02Sep2000, 23:45 |
| Όγκος(MM) | 330.52 |
| Παροχή Αιχμής Εισόδου (M3/S) | 390.19 |
| Όγκος Εισροής(M3) | 1.05E7 |

Απορροή



Κλάδος: R302

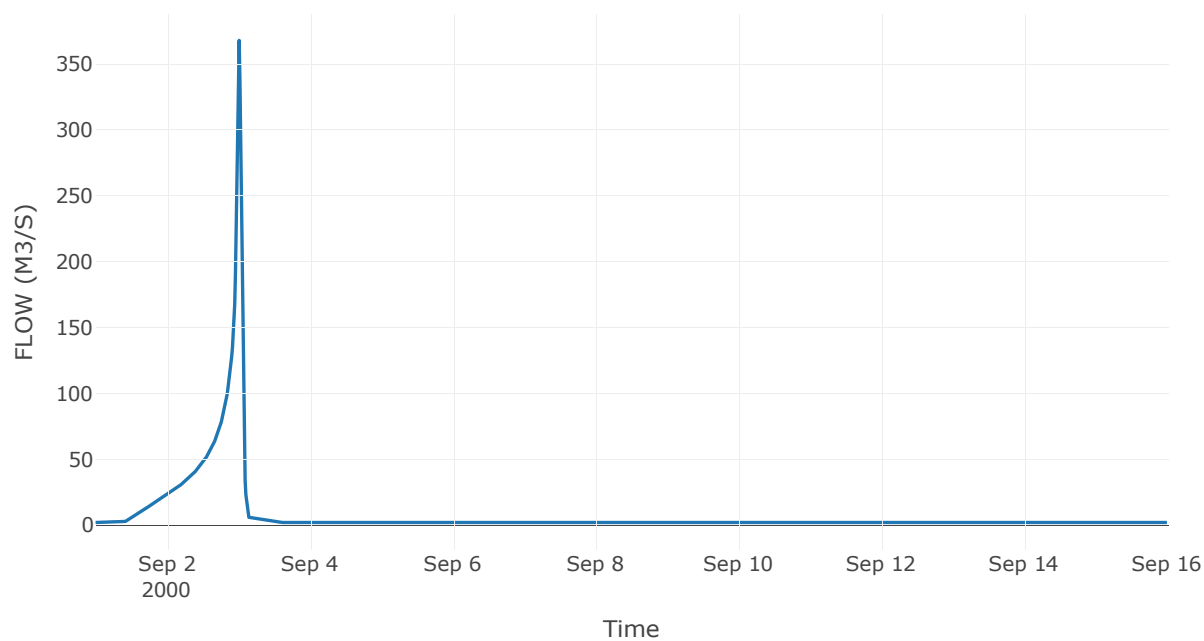
Κατάντη : J2

| | |
|----------------------|-----------------|
| Μέθοδος Διόδευσης | Muskingum |
| Αρχική Μεταβλητή | Combined Inflow |
| Χρόνος Ροής K | 0.23 |
| Συντελεστής βάρους x | 0.2 |
| Πλήθος Υποκλάδων | 1 |

Αποτελέσματα: R302

| | |
|------------------------------|------------------|
| Παροχή Αιχμής(M3/S) | 367.73 |
| Χρονική στιγμή αιχμής | 03Sep2000, 00:15 |
| Όγκος(MM) | 346.13 |
| Παροχή Αιχμής Εισόδου (M3/S) | 377.19 |
| Όγκος Εισροής(M3) | 1.03E7 |

Απορροή



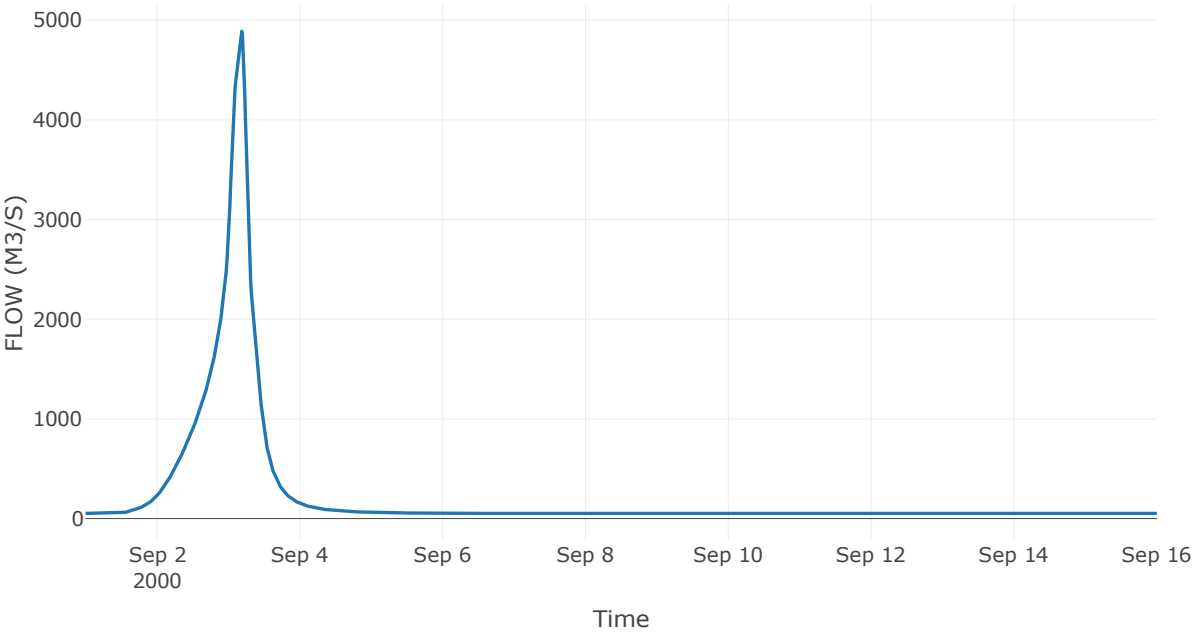
9.3 Δεδομένα και Υδρογραφήματα Σχεδιασμού Κόμβων Υδρογραφικού Δικτύου

Κόμβος εξόδου: J1

Αποτέλεσμα
τα: J1

| | |
|-----------------------|------------------|
| Παροχή αιχμής (M3/S) | 4888.33 |
| Χρονική στιγμή αιχμής | 03Sep2000, 04:30 |
| Όγκος (MM) | 276.37 |

Απορροή



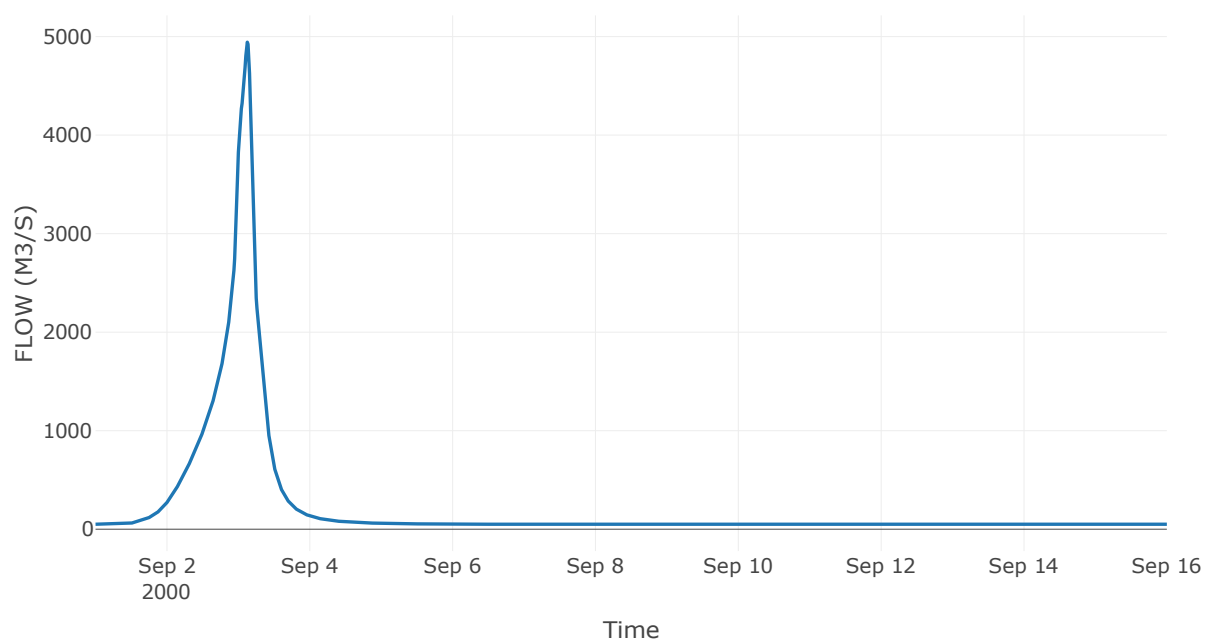
Κόμβος: J2

Κατάντη : R21

Αποτελέσματα: J2

| | |
|-----------------------|------------------|
| Παροχή Αιχμής(M3/S) | 4943.29 |
| Χρονική στιγμή αιχμής | 03Sep2000, 03:00 |
| Όγκος(MM) | 276.19 |

Απορροή



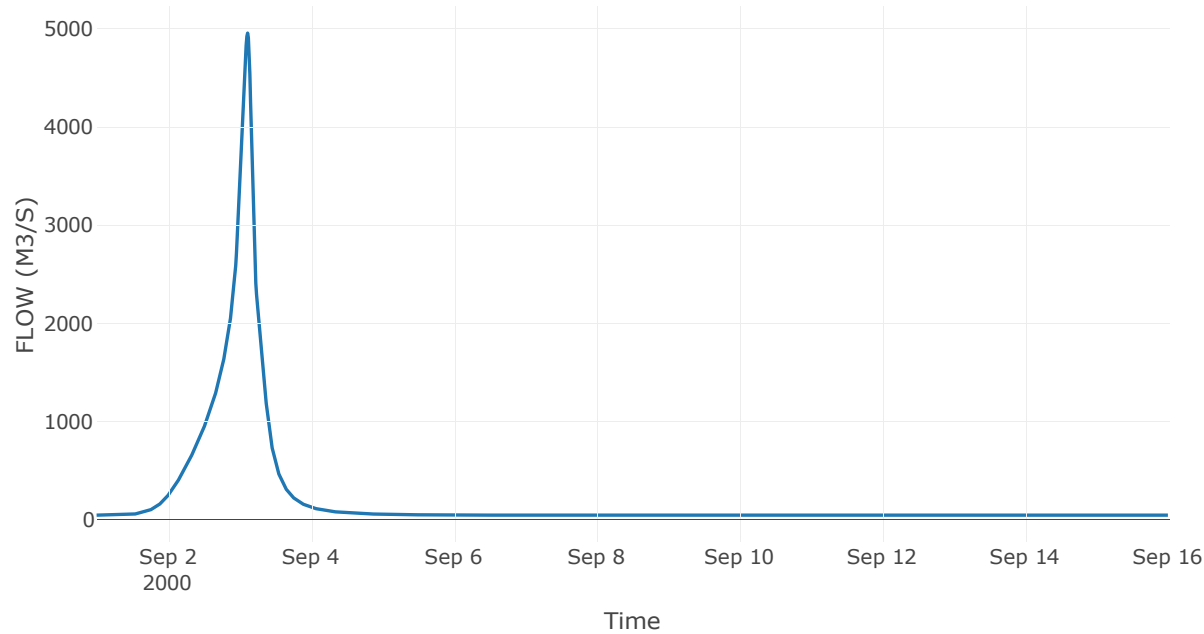
Κόμβος: J3

Κατάντη : R32

Αποτελέσματα: J3

| | |
|-----------------------|------------------|
| Παροχή Αιχμής(M3/S) | 4955.39 |
| Χρονική στιγμή αιχμής | 03Sep2000, 02:45 |
| Όγκος(MM) | 273.07 |

Απορροή



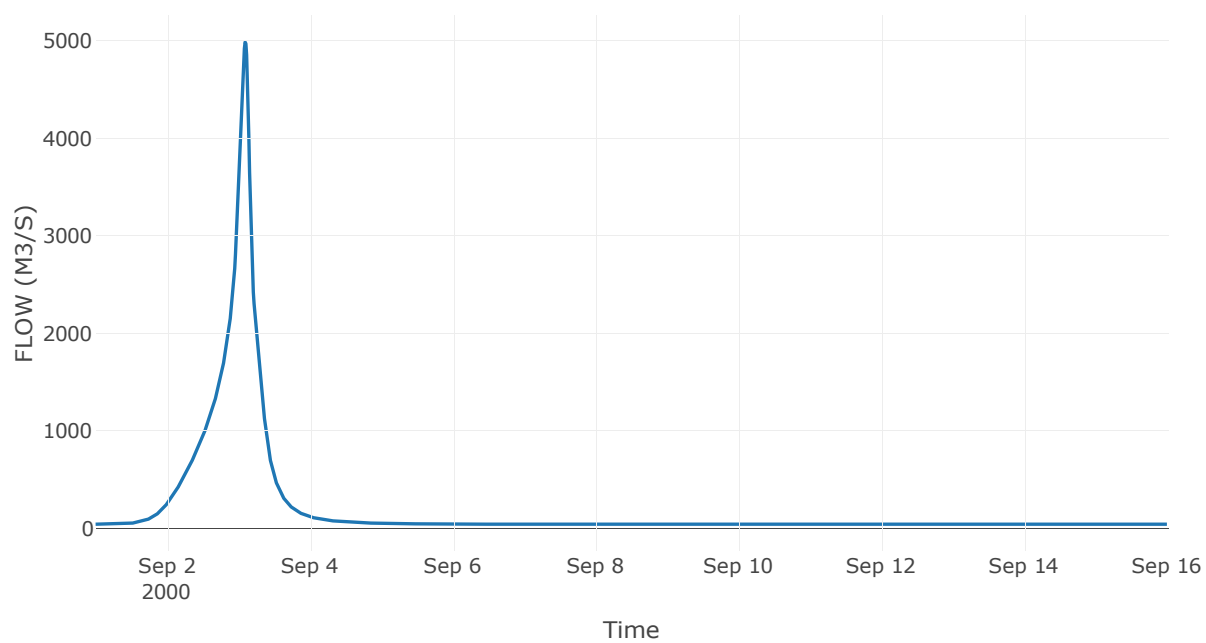
Κόμβος: J4

Κατάντη : R43

Αποτελέσματα: J4

| | |
|-----------------------|------------------|
| Παροχή Αιχμής(M3/S) | 4984.5 |
| Χρονική στιγμή αιχμής | 03Sep2000, 02:15 |
| Όγκος(MM) | 272.75 |

Απορροή



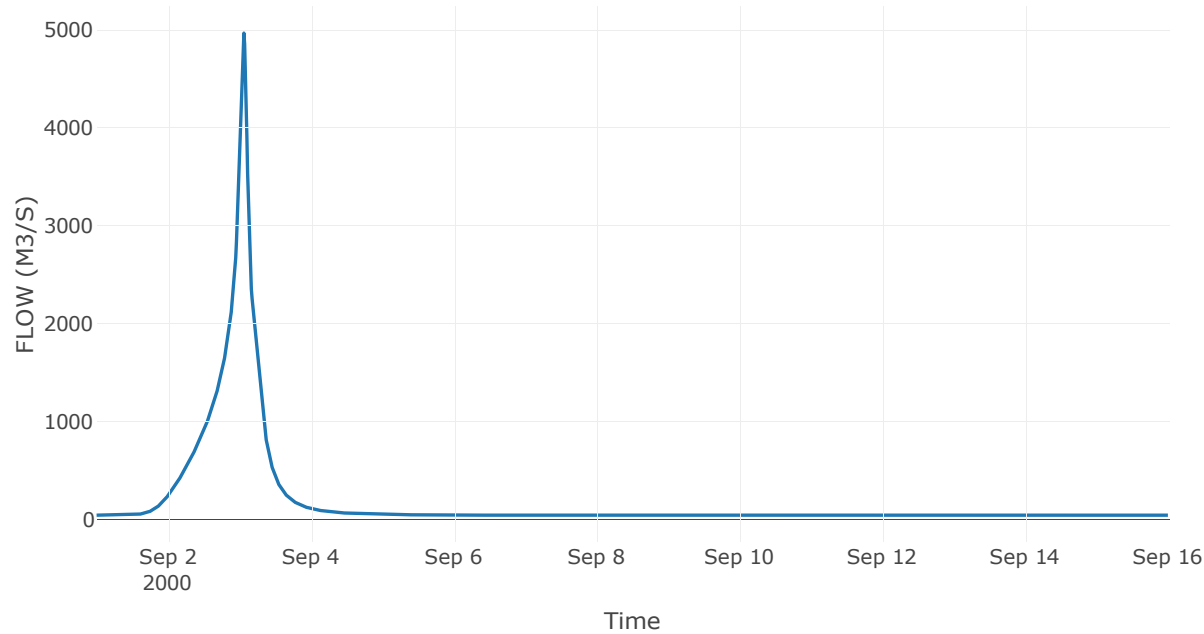
Κόμβος: J5

Κατάντη : R54

Αποτελέσματα: J5

| | |
|-----------------------|------------------|
| Παροχή Αιχμής(M3/S) | 4970.28 |
| Χρονική στιγμή αιχμής | 03Sep2000, 01:30 |
| Όγκος(MM) | 267.52 |

Απορροή



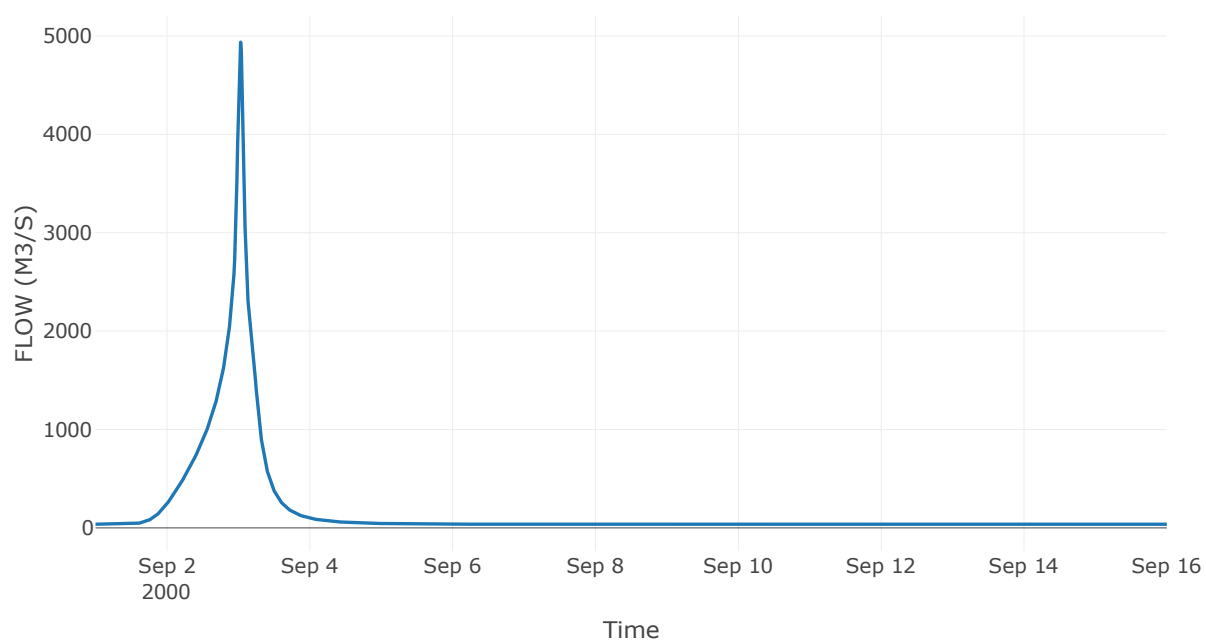
Κόμβος: J6

Κατάντη : R65

Αποτελέσματα: J6

| | |
|-----------------------|------------------|
| Παροχή Αιχμής(M3/S) | 4936.47 |
| Χρονική στιγμή αιχμής | 03Sep2000, 00:45 |
| Όγκος(MM) | 266.39 |

Απορροή



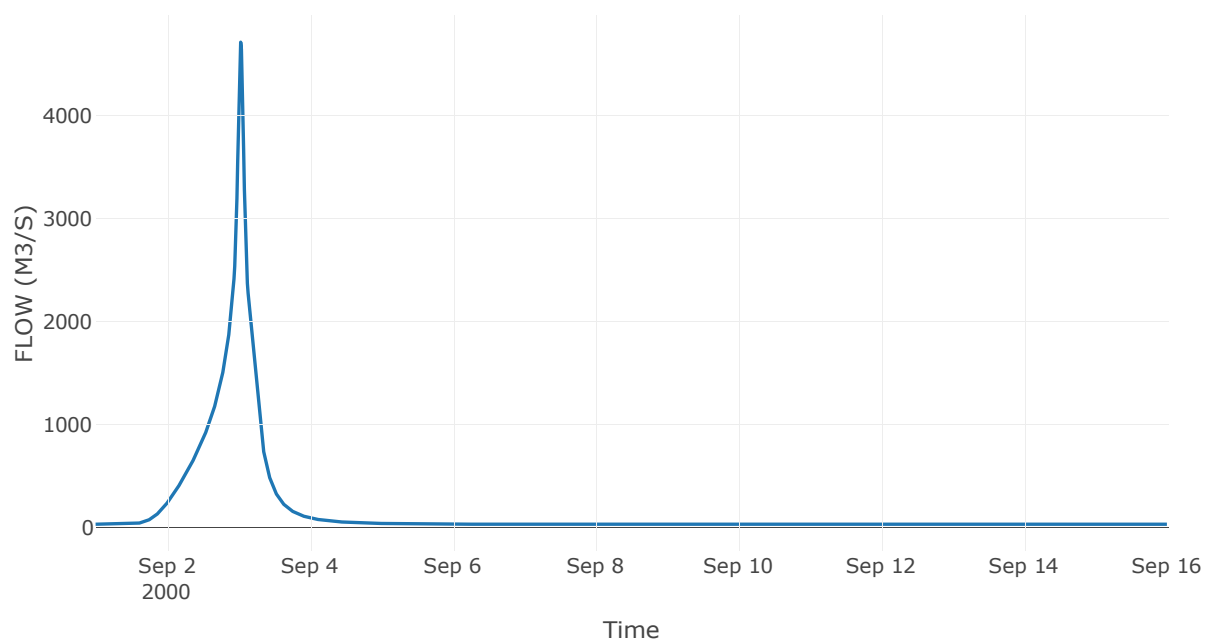
Κόμβος: J7

Κατάντη : R76

Αποτελέσματα: J7

| | |
|-----------------------|------------------|
| Παροχή Αιχμής(M3/S) | 4714.15 |
| Χρονική στιγμή αιχμής | 03Sep2000, 00:45 |
| Όγκος(MM) | 268.58 |

Απορροή



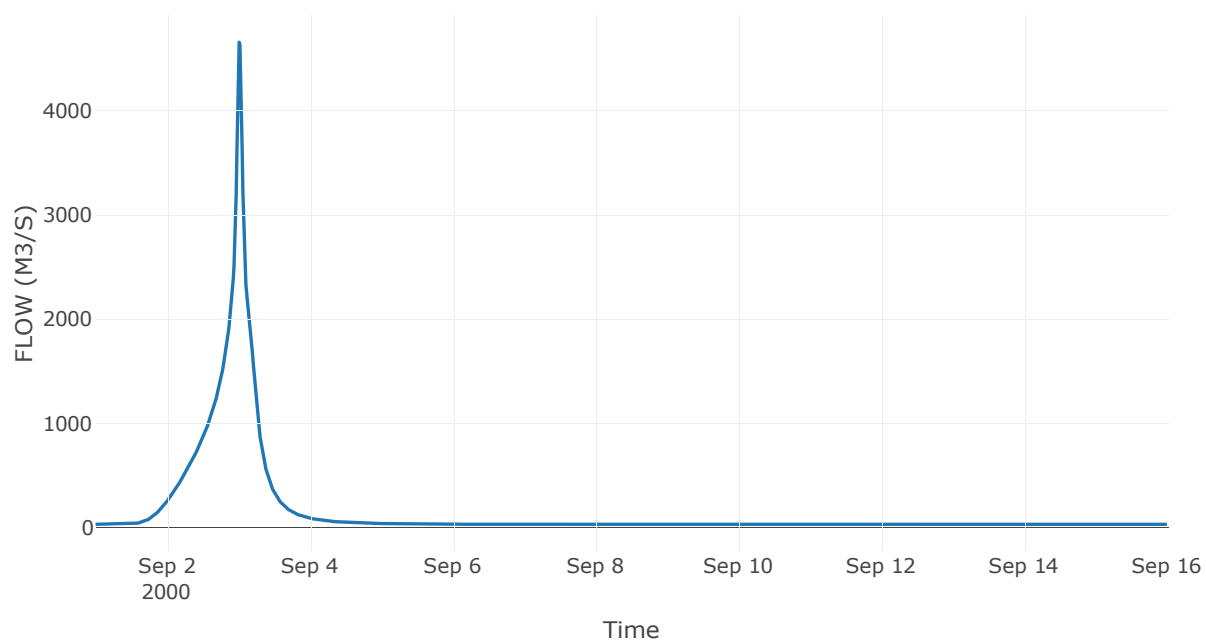
Κόμβος: J8

Κατάντη : R87

Αποτελέσματα: J8

| | |
|-----------------------|------------------|
| Παροχή Αιχμής(M3/S) | 4658.45 |
| Χρονική στιγμή αιχμής | 03Sep2000, 00:15 |
| Όγκος(MM) | 270.92 |

Απορροή



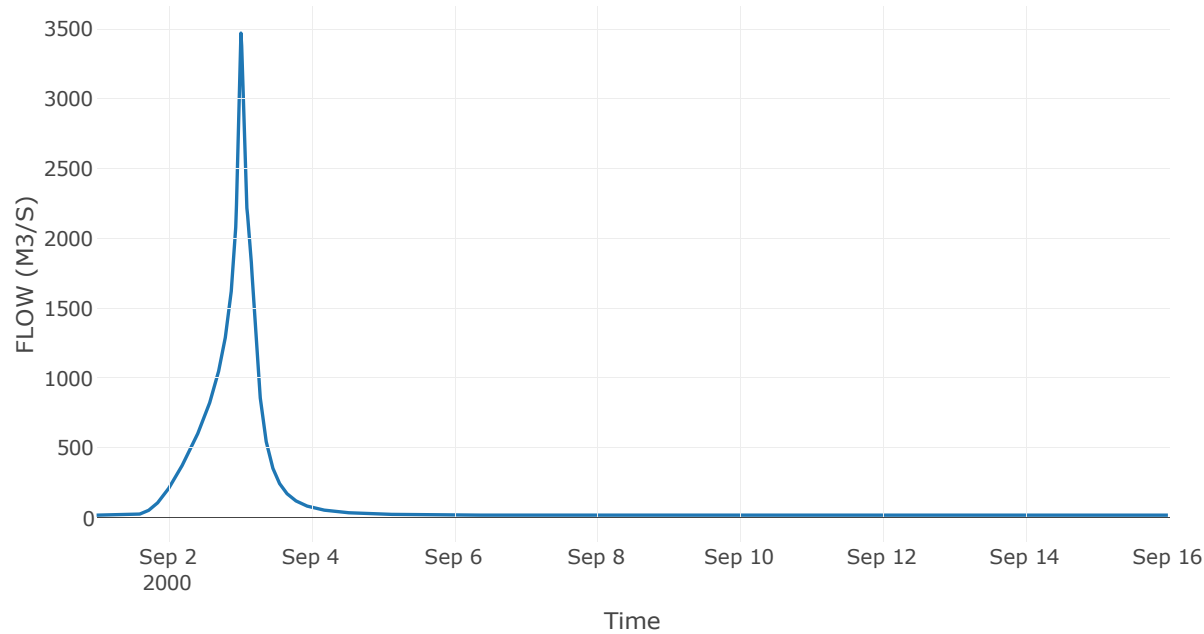
Κόμβος: J9

Κατάντη : R98

Αποτελέσματα: J9

| | |
|-----------------------|------------------|
| Παροχή Αιχμής(M3/S) | 3471.29 |
| Χρονική στιγμή αιχμής | 03Sep2000, 00:30 |
| Όγκος(MM) | 273.97 |

Απορροή



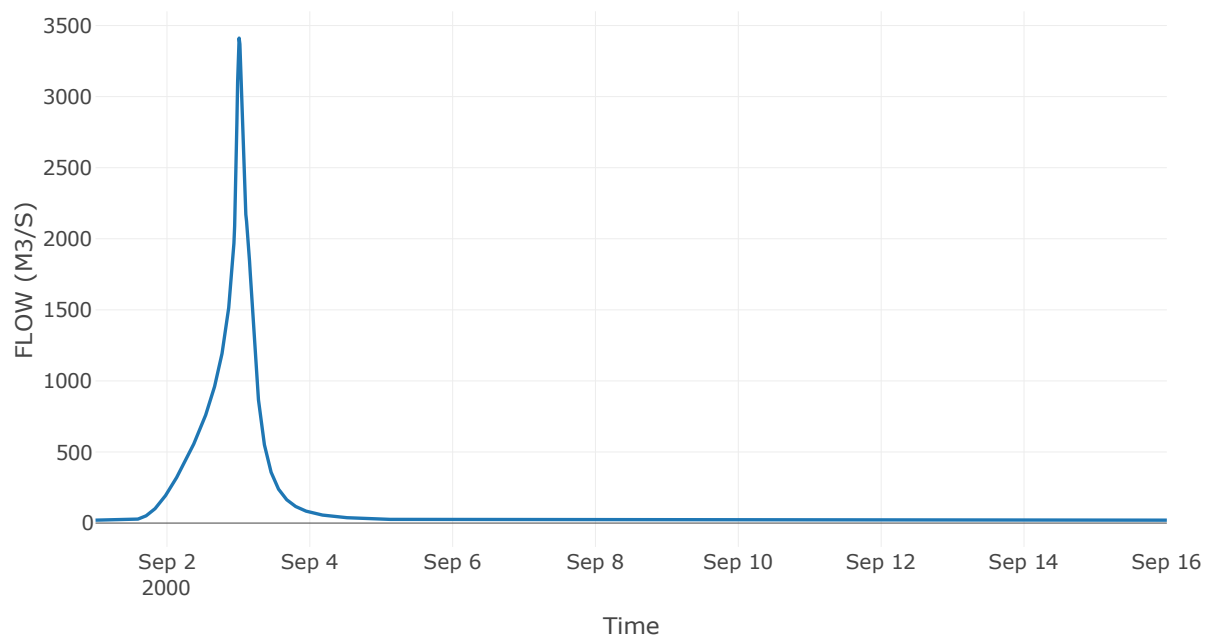
Κόμβος: J10

Κατάντη : R109

Αποτελέσματα: J10

| | |
|-----------------------|------------------|
| Παροχή Αιχμής(M3/S) | 3411.5 |
| Χρονική στιγμή αιχμής | 03Sep2000, 00:15 |
| Όγκος(MM) | 275.22 |

Απορροή



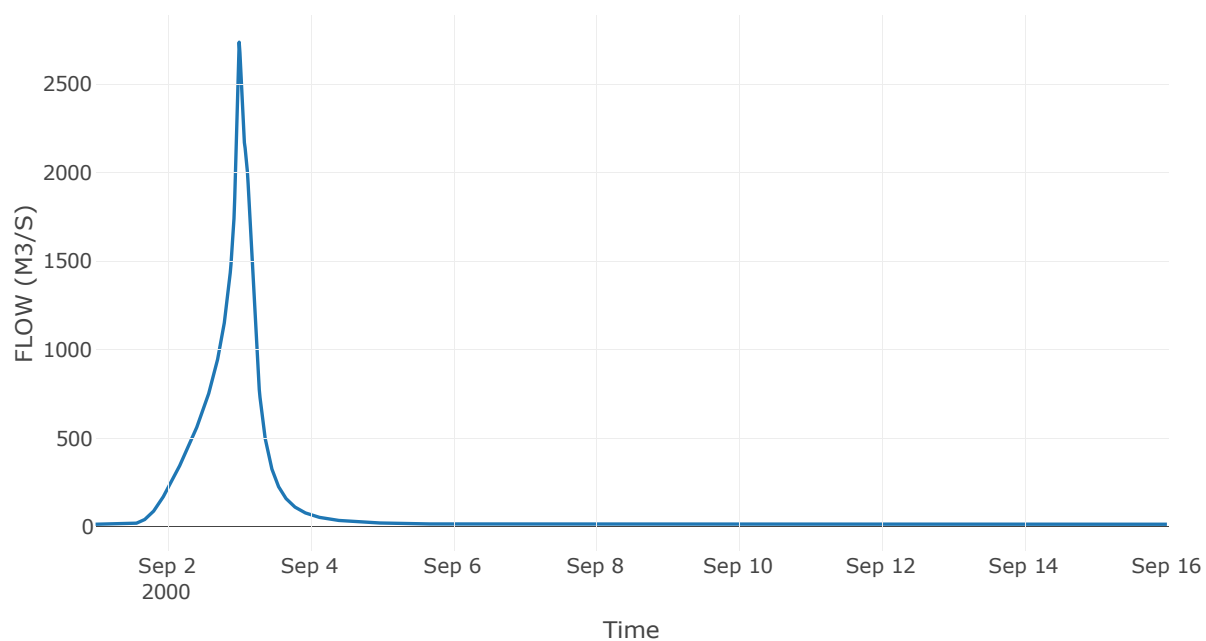
Κόμβος: J11

Κατάντη : R1110

Αποτελέσματα: J11

| | |
|-----------------------|------------------|
| Παροχή Αιχμής(M3/S) | 2735.85 |
| Χρονική στιγμή αιχμής | 03Sep2000, 00:15 |
| Όγκος(MM) | 290.12 |

Απορροή



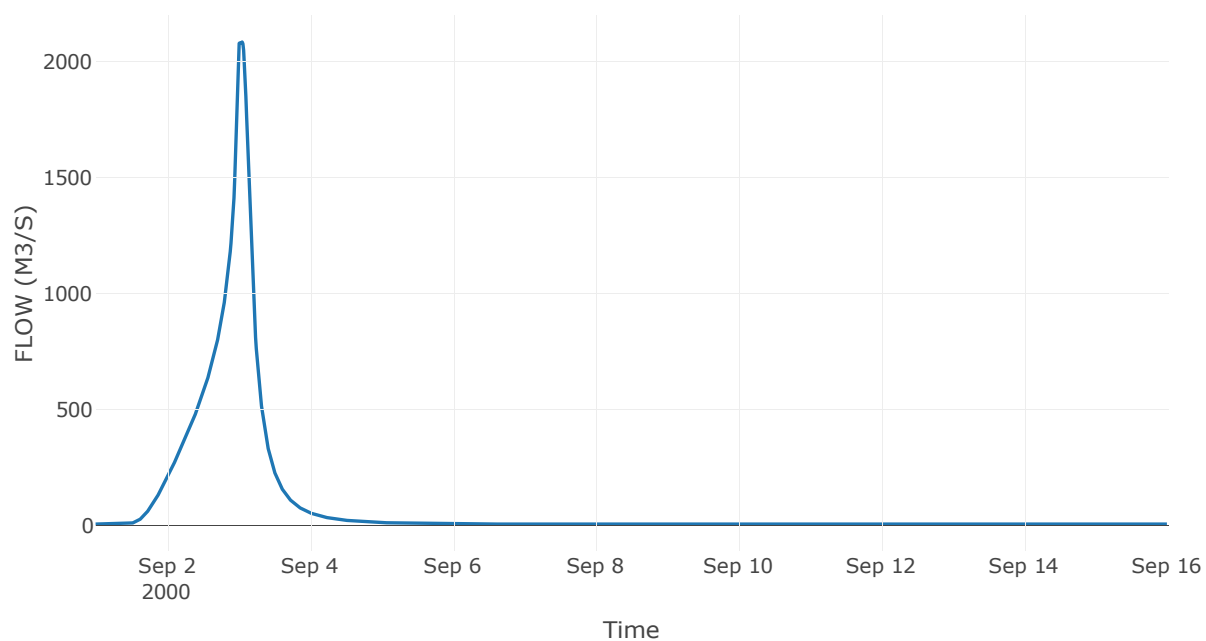
Κόμβος: J12

Κατάντη : R1211

Αποτελέσματα: J12

| | |
|-----------------------|------------------|
| Παροχή Αιχμής(M3/S) | 2084.17 |
| Χρονική στιγμή αιχμής | 03Sep2000, 01:15 |
| Όγκος(MM) | 304.76 |

Απορροή



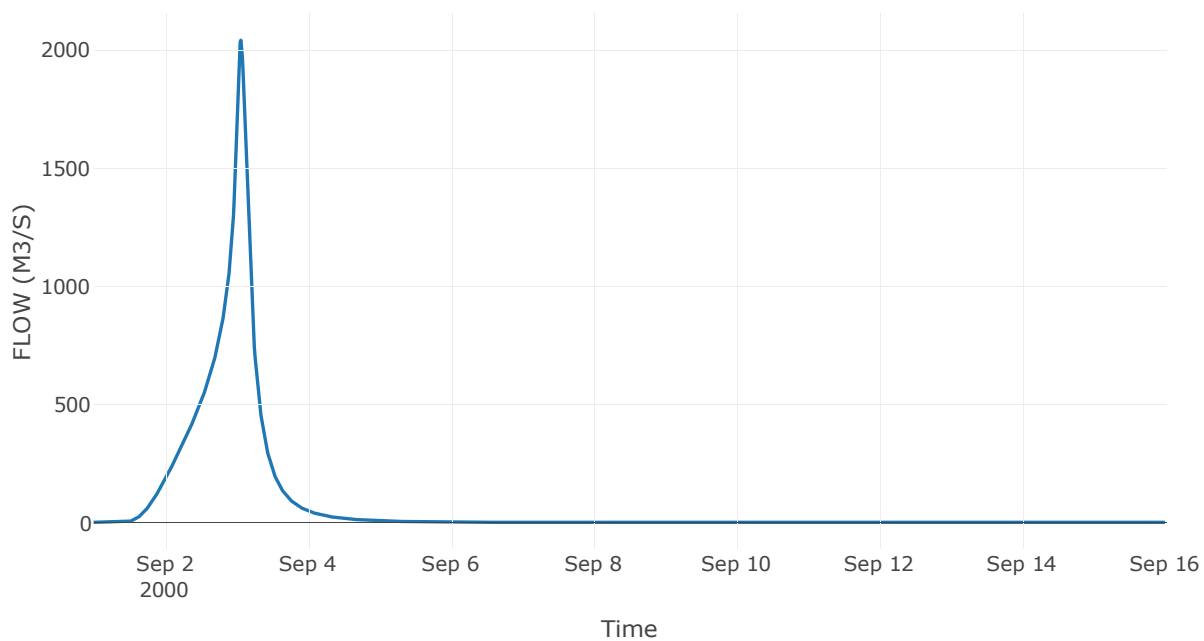
Ταμιευτήρας: J13_RES1

Κατάντη : R1312

Αποτελέσματα: J13_RES1

| | |
|------------------------------|------------------|
| Παροχή Αιχμής(M3/S) | 2041.45 |
| Χρονική στιγμή αιχμής | 03Sep2000, 01:30 |
| Όγκος(MM) | 302.85 |
| Παροχή Αιχμής Εισόδου (M3/S) | 3387.72 |
| Time of Peak Inflow | 03Sep2000, 00:15 |
| Όγκος Εισροής (M3) | 1.04E8 |
| Maximum Storage (M3) | 1.85E8 |
| Peak Elevation (M) | 513.38 |
| Discharge Όγκος(M3) | 1.07E8 |

Απορροή



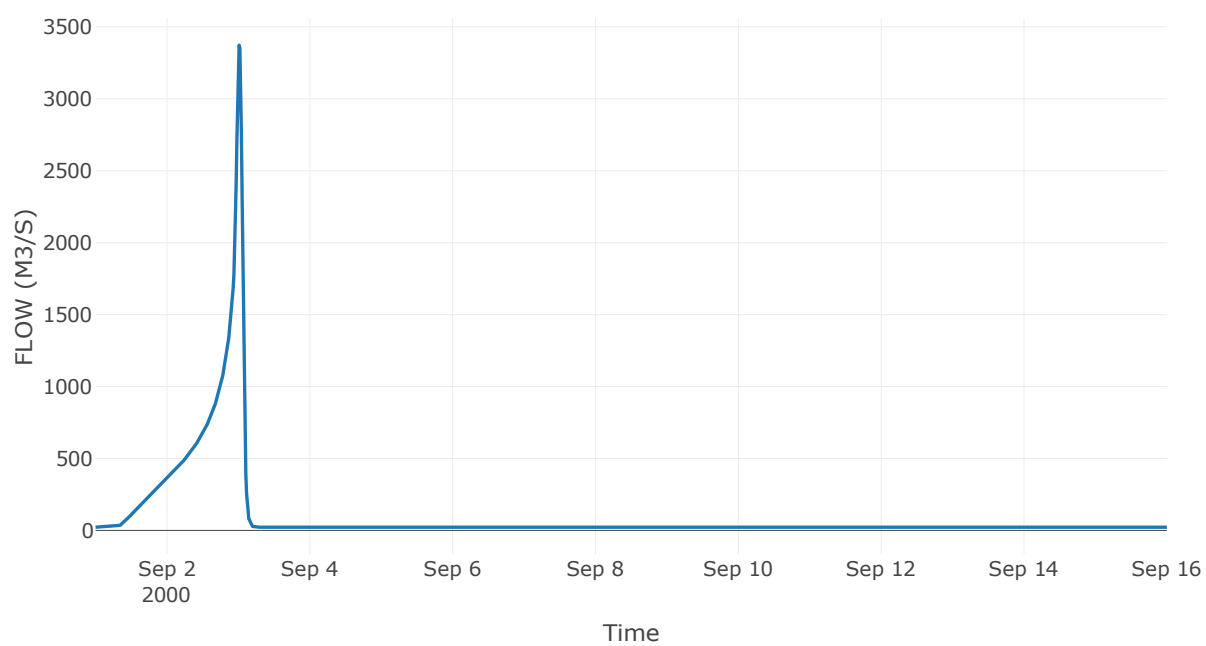
Κόμβος: J14

Κατάντη : R1413

Αποτελέσματα: J14

| | |
|-----------------------|------------------|
| Παροχή Αιχμής(M3/S) | 3372.72 |
| Χρονική στιγμή αιχμής | 03Sep2000, 00:15 |
| Όγκος(MM) | 381.01 |

Απορροή



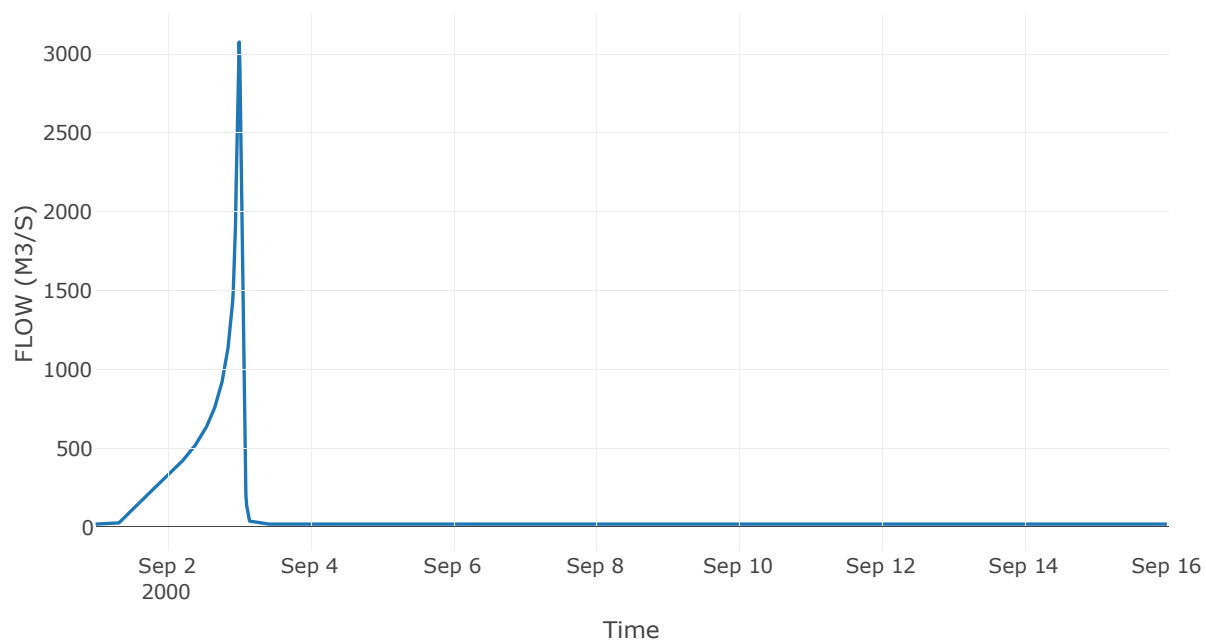
Κόμβος: J15

Κατάντη : R1514

Αποτελέσματα: J15

| | |
|-----------------------|------------------|
| Παροχή Αιχμής(M3/S) | 3074.7 |
| Χρονική στιγμή αιχμής | 03Sep2000, 00:15 |
| Όγκος(MM) | 385.32 |

Απορροή



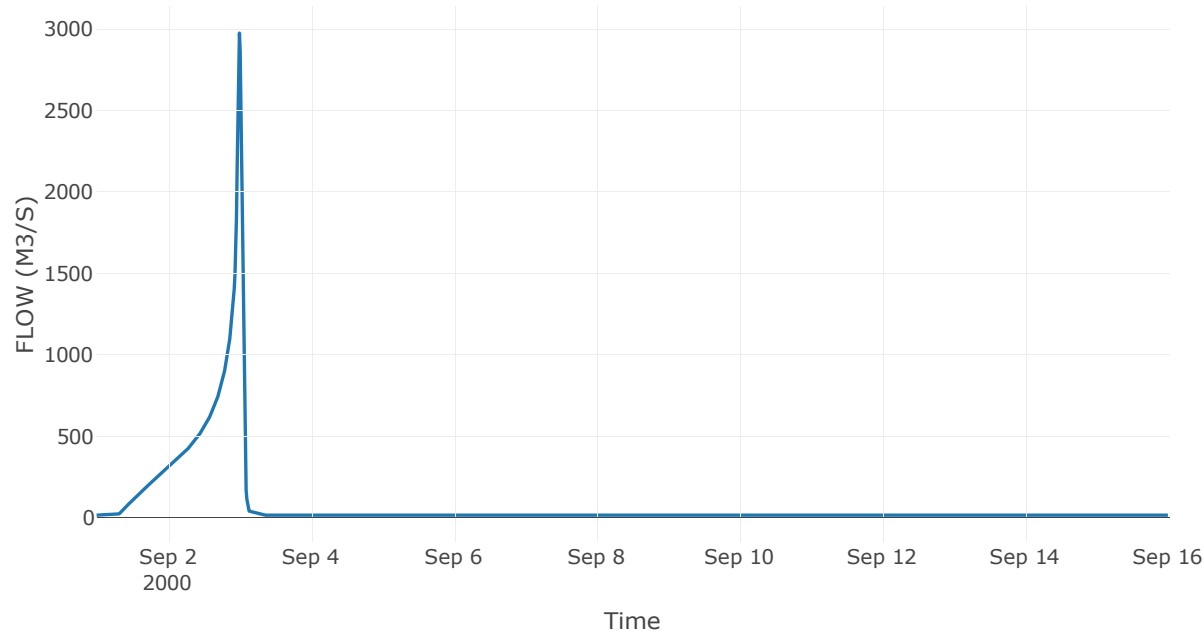
Κόμβος: J16

Κατάντη : R1615

Αποτελέσματα: J16

| | |
|-----------------------|------------------|
| Παροχή Αιχμής(M3/S) | 2974.62 |
| Χρονική στιγμή αιχμής | 02Sep2000, 24:00 |
| Όγκος(MM) | 395.06 |

Απορροή



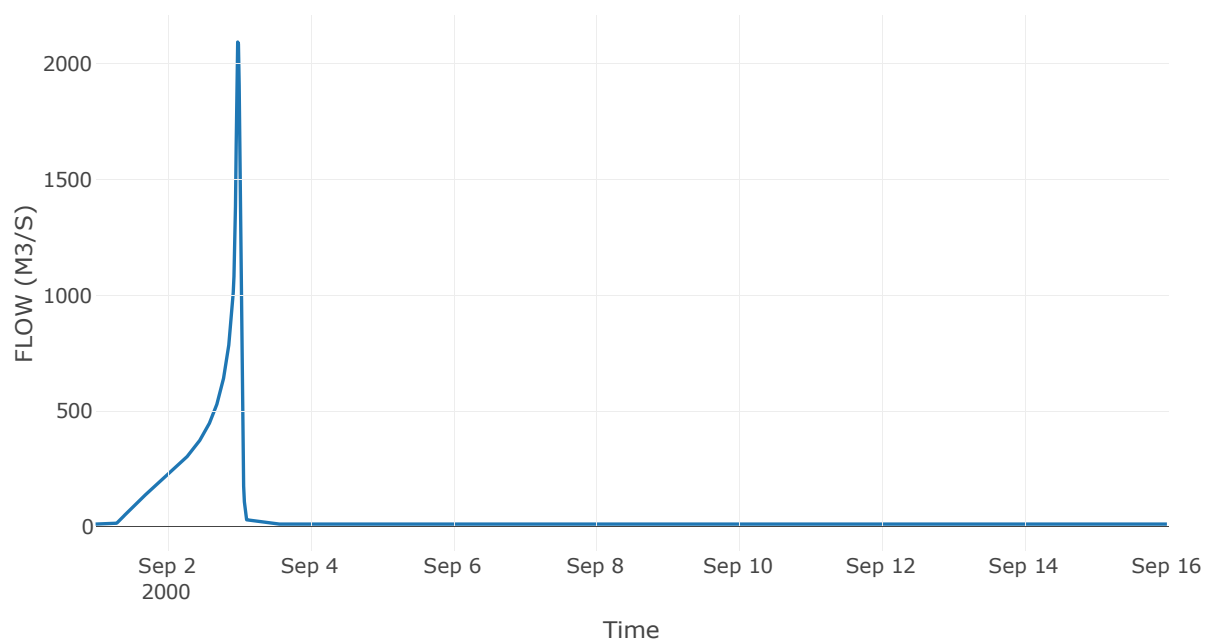
Κόμβος: J17

Κατάντη : R1716

Αποτελέσματα: J17

| | |
|-----------------------|------------------|
| Παροχή Αιχμής(M3/S) | 2094.77 |
| Χρονική στιγμή αιχμής | 02Sep2000, 23:45 |
| Όγκος(MM) | 397.58 |

Απορροή



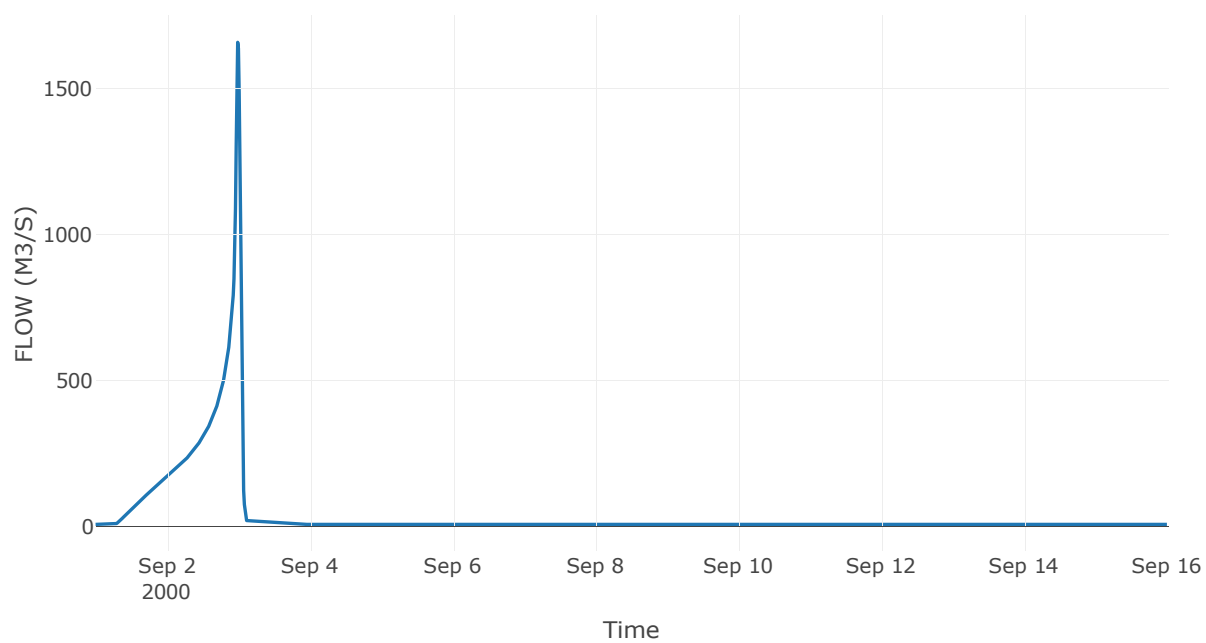
Κόμβος: J18

Κατάντη : R1817

Αποτελέσματα: J18

| | |
|-----------------------|------------------|
| Παροχή Αιχμής(M3/S) | 1658.8 |
| Χρονική στιγμή αιχμής | 02Sep2000, 23:45 |
| Όγκος(MM) | 394.94 |

Απορροή



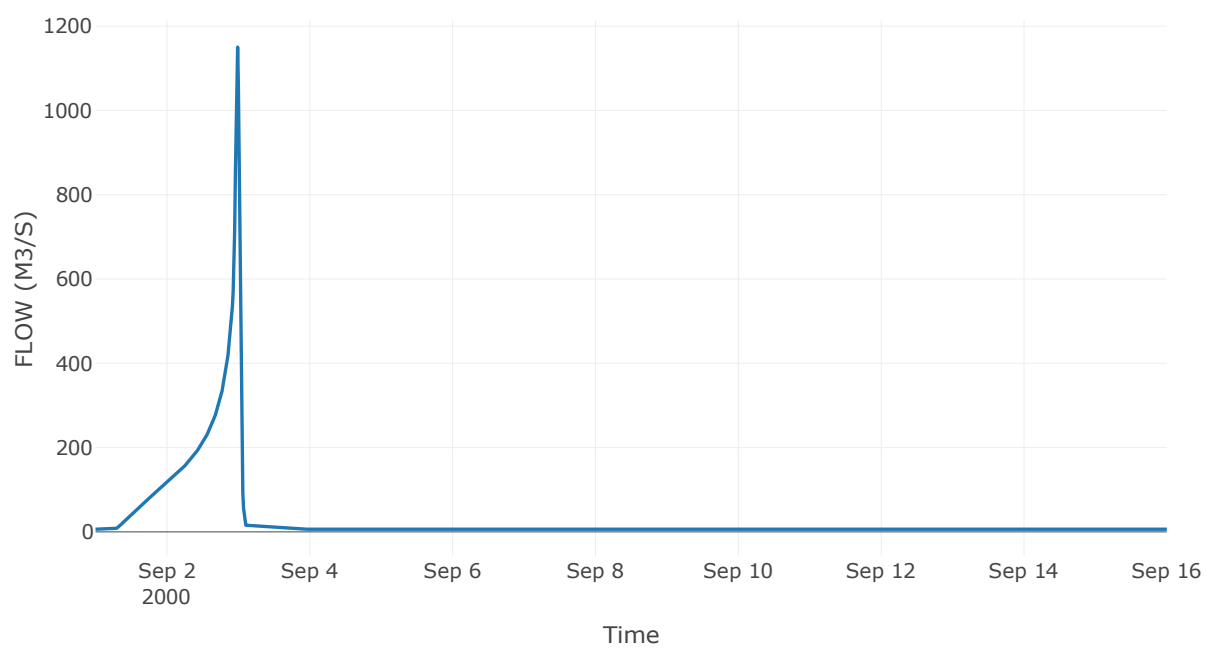
Κόμβος: J19

Κατάντη : R1918

Αποτελέσματα: J19

| | |
|-----------------------|------------------|
| Παροχή Αιχμής(M3/S) | 1150.3 |
| Χρονική στιγμή αιχμής | 02Sep2000, 23:45 |
| Όγκος(MM) | 392.1 |

Απορροή



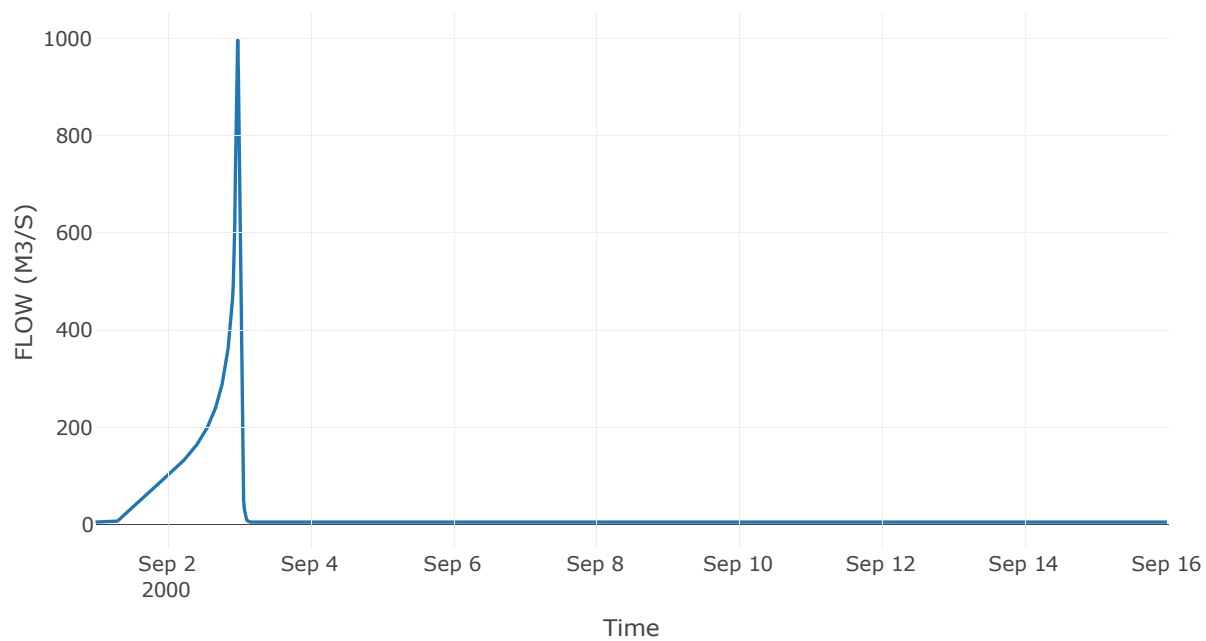
Κόμβος: J20

Κατάντη : R2019

Αποτελέσματα: J20

| | |
|-----------------------|------------------|
| Παροχή Αιχμής(M3/S) | 996.47 |
| Χρονική στιγμή αιχμής | 02Sep2000, 23:45 |
| Όγκος(MM) | 390.43 |

Απορροή



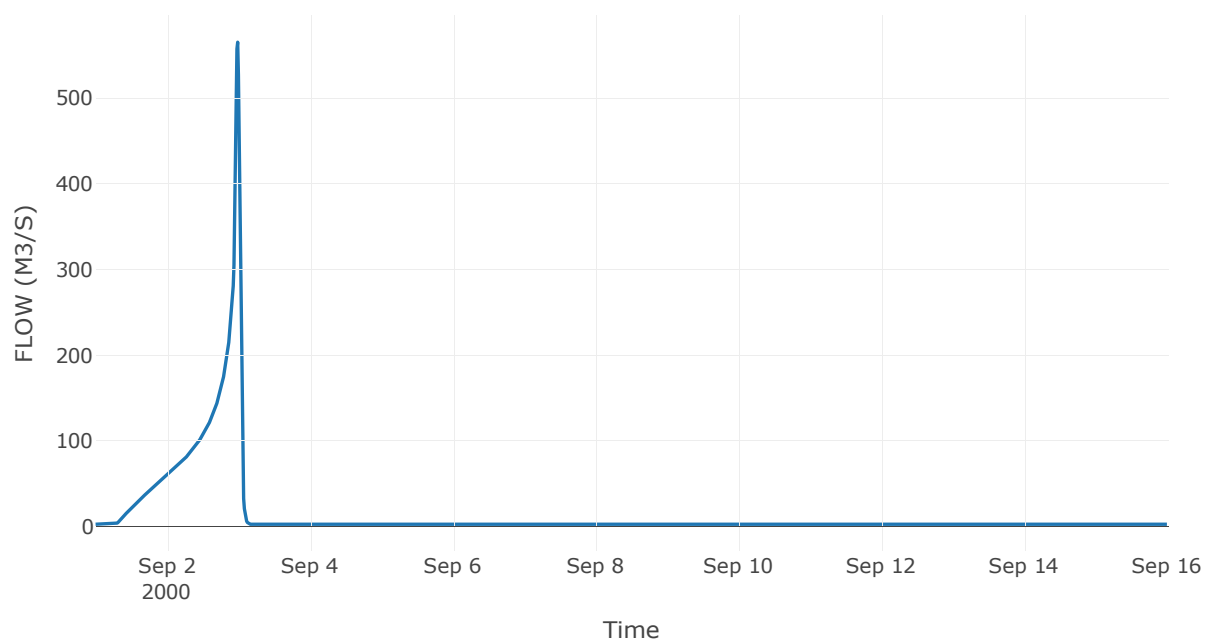
Κόμβος: J21

Κατάντη : R2120

Αποτελέσματα: J21

| | |
|-----------------------|------------------|
| Παροχή Αιχμής(M3/S) | 565.39 |
| Χρονική στιγμή αιχμής | 02Sep2000, 23:45 |
| Όγκος(MM) | 405.25 |

Απορροή



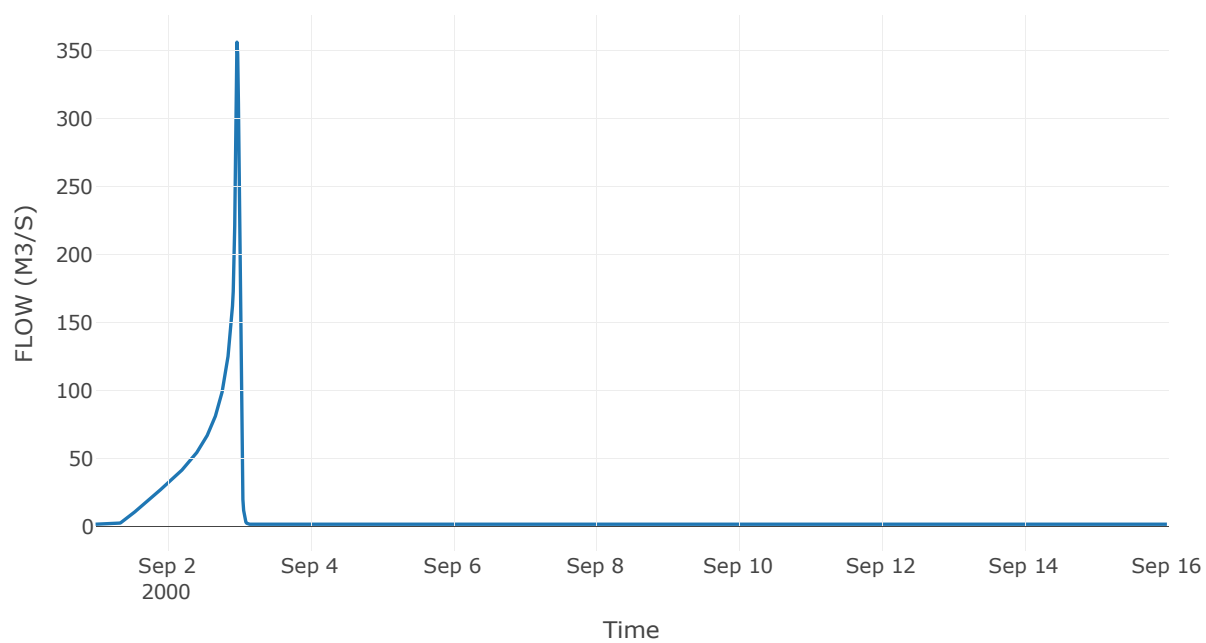
Κόμβος: J22

Κατάντη : R2220

Αποτελέσματα: J22

| | |
|-----------------------|------------------|
| Παροχή Αιχμής(M3/S) | 356.13 |
| Χρονική στιγμή αιχμής | 02Sep2000, 23:30 |
| Όγκος(MM) | 364.03 |

Απορροή



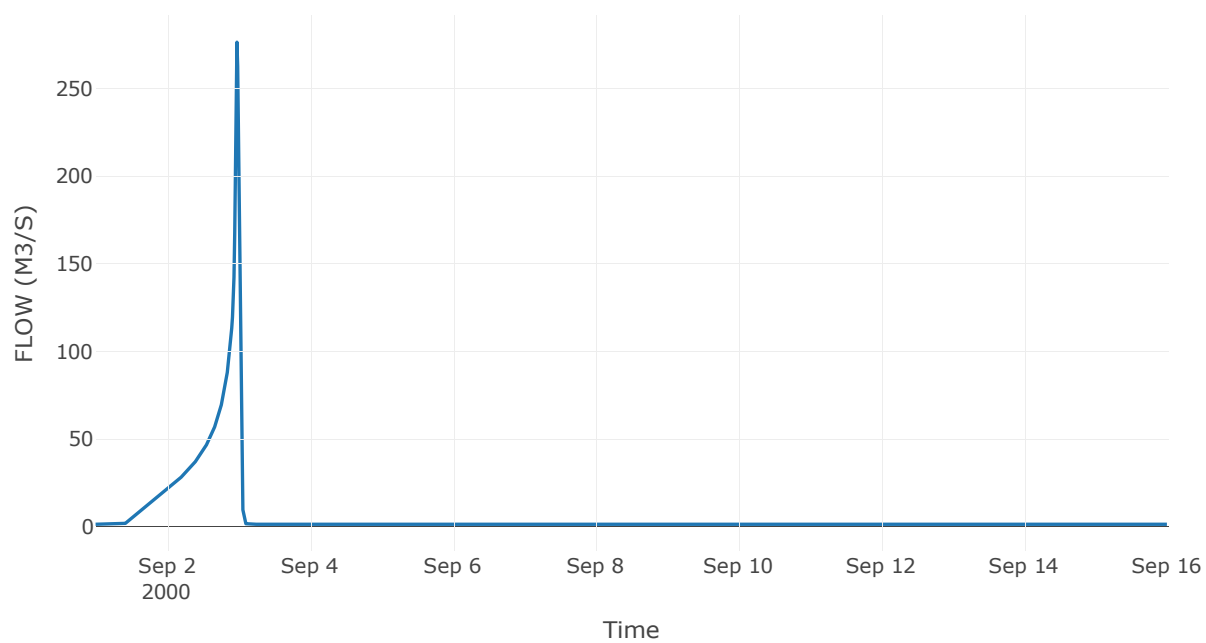
Κόμβος: J23

Κατάντη : R2314

Αποτελέσματα: J23

| | |
|-----------------------|------------------|
| Παροχή Αιχμής(M3/S) | 276.46 |
| Χρονική στιγμή αιχμής | 02Sep2000, 23:30 |
| Όγκος(MM) | 366.58 |

Απορροή



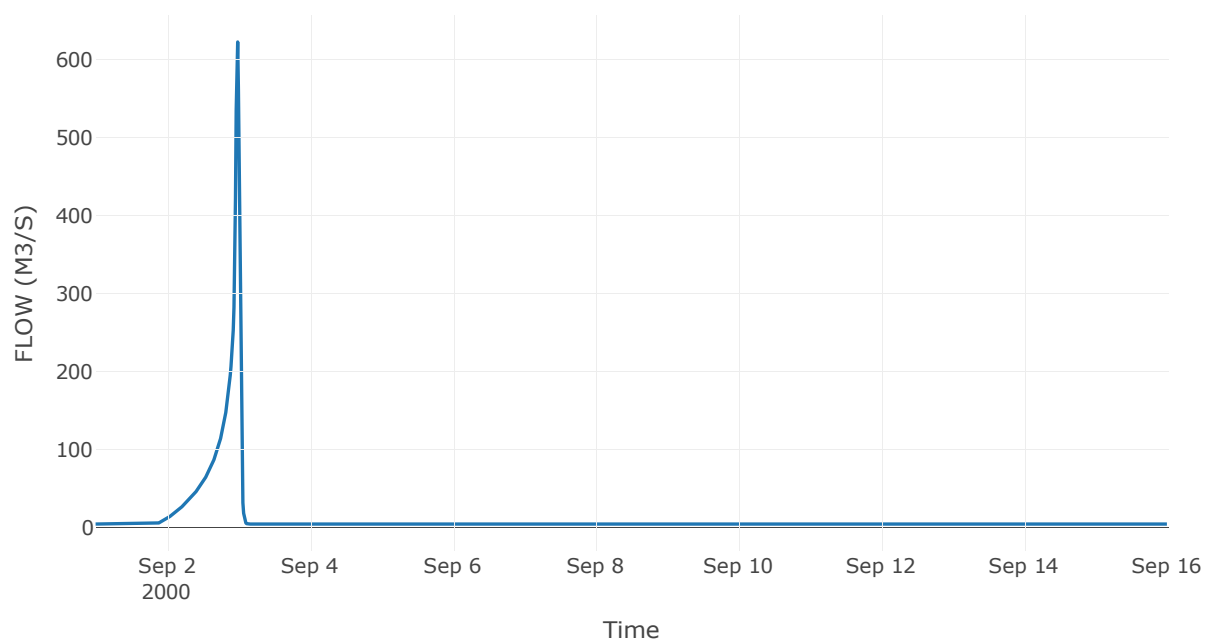
Κόμβος: J24

Κατάντη : R2411

Αποτελέσματα: J24

| | |
|-----------------------|------------------|
| Παροχή Αιχμής(M3/S) | 622.44 |
| Χρονική στιγμή αιχμής | 02Sep2000, 23:45 |
| Όγκος(MM) | 237.22 |

Απορροή



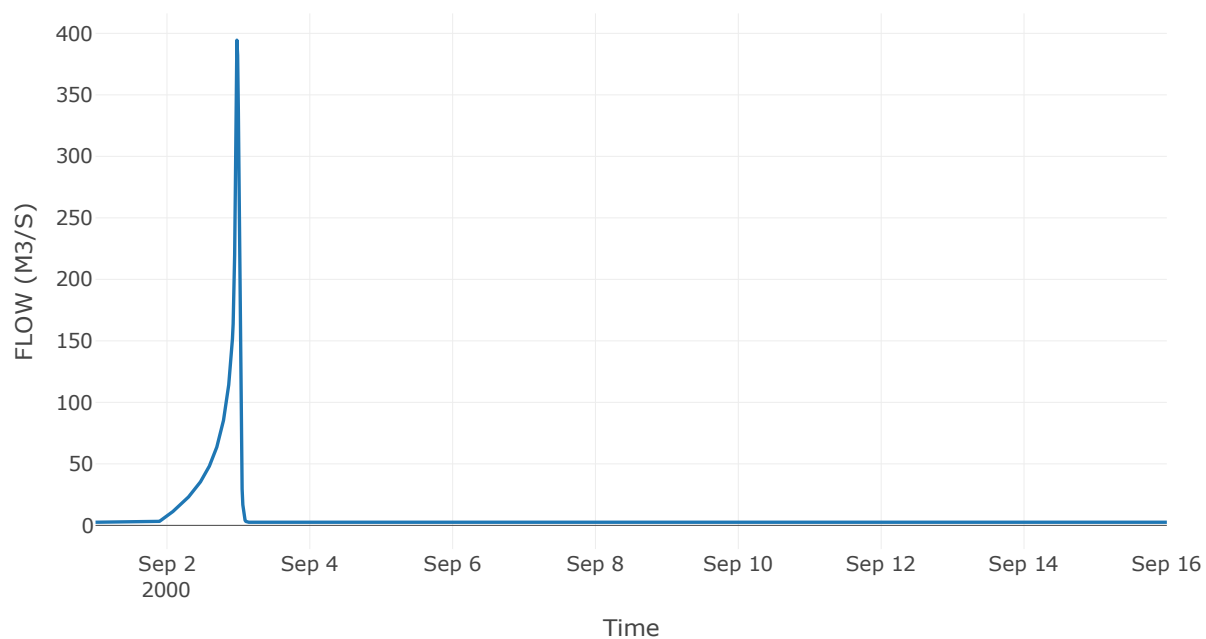
Κόμβος: J25

Κατάντη : R2524

Αποτελέσματα: J25

| | |
|-----------------------|------------------|
| Παροχή Αιχμής(M3/S) | 394.48 |
| Χρονική στιγμή αιχμής | 02Sep2000, 23:30 |
| Όγκος(MM) | 240.76 |

Απορροή



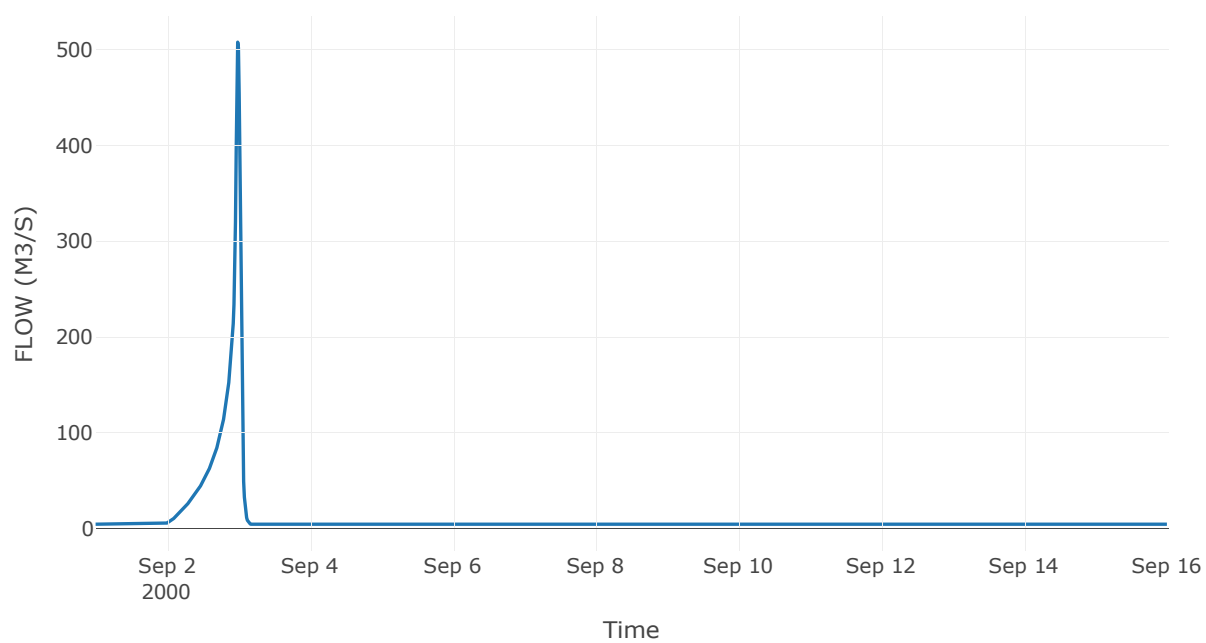
Κόμβος: J26

Κατάντη : R2610

Αποτελέσματα: J26

| | |
|-----------------------|------------------|
| Παροχή Αιχμής(M3/S) | 507.8 |
| Χρονική στιγμή αιχμής | 02Sep2000, 23:45 |
| Όγκος(MM) | 198.87 |

Απορροή



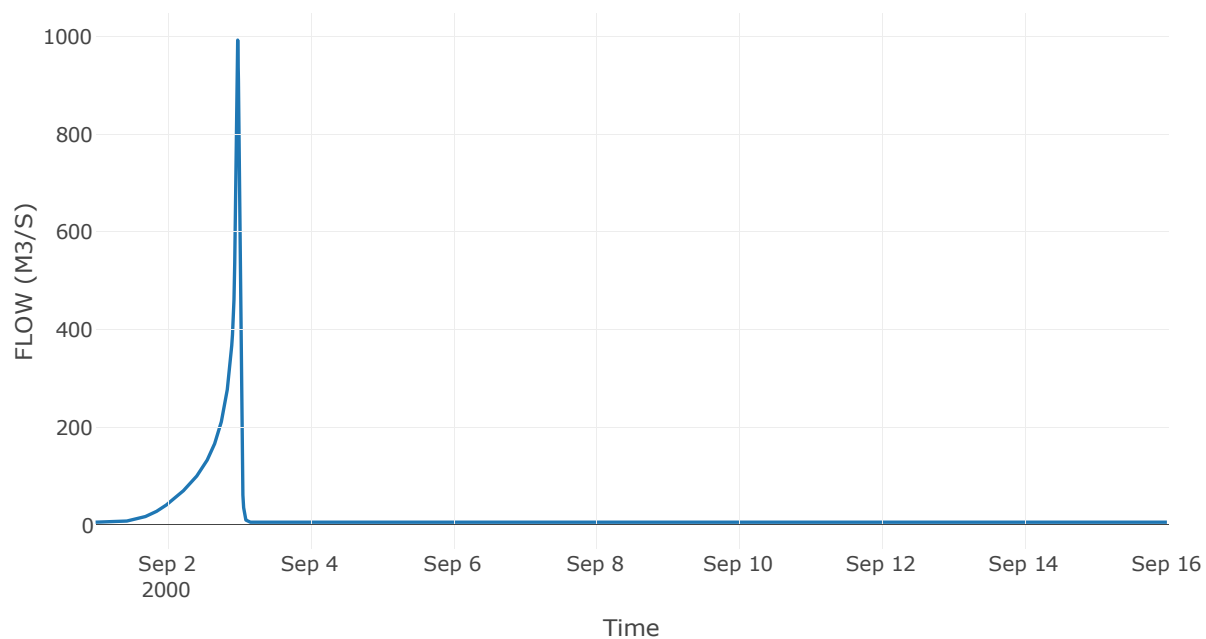
Κόμβος: J27

Κατάντη : R278

Αποτελέσματα: J27

| | |
|-----------------------|------------------|
| Παροχή Αιχμής(M3/S) | 993.25 |
| Χρονική στιγμή αιχμής | 02Sep2000, 23:45 |
| Όγκος(MM) | 269.48 |

Απορροή



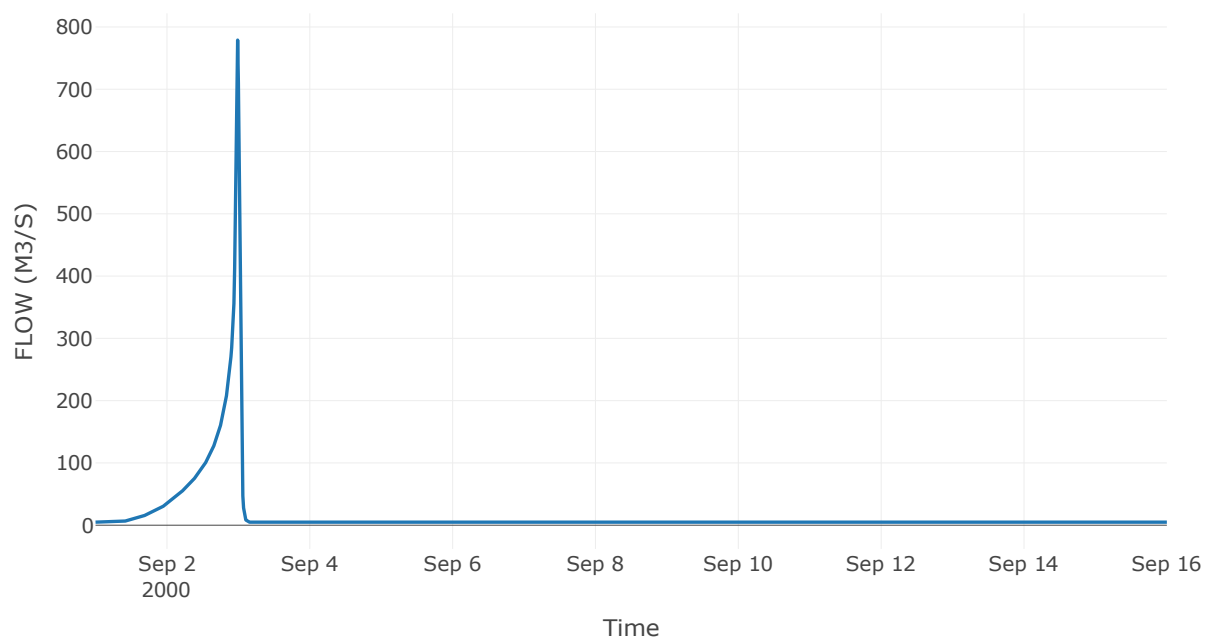
Κόμβος: J28

Κατάντη : R2827

Αποτελέσματα: J28

| | |
|-----------------------|------------------|
| Παροχή Αιχμής(M3/S) | 778.92 |
| Χρονική στιγμή αιχμής | 02Sep2000, 23:45 |
| Όγκος(MM) | 273.83 |

Απορροή



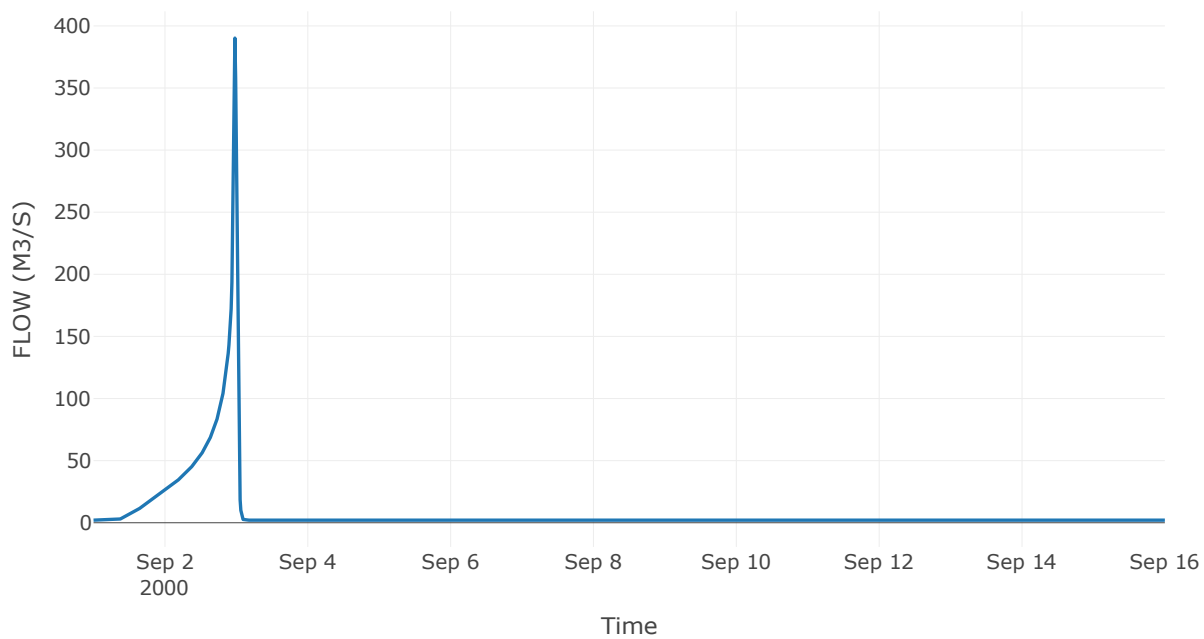
Κόμβος: J29

Κατάντη : R2928

Αποτελέσματα: J29

| | |
|-----------------------|------------------|
| Παροχή Αιχμής(M3/S) | 390.19 |
| Χρονική στιγμή αιχμής | 02Sep2000, 23:30 |
| Όγκος(MM) | 330.52 |

Απορροή



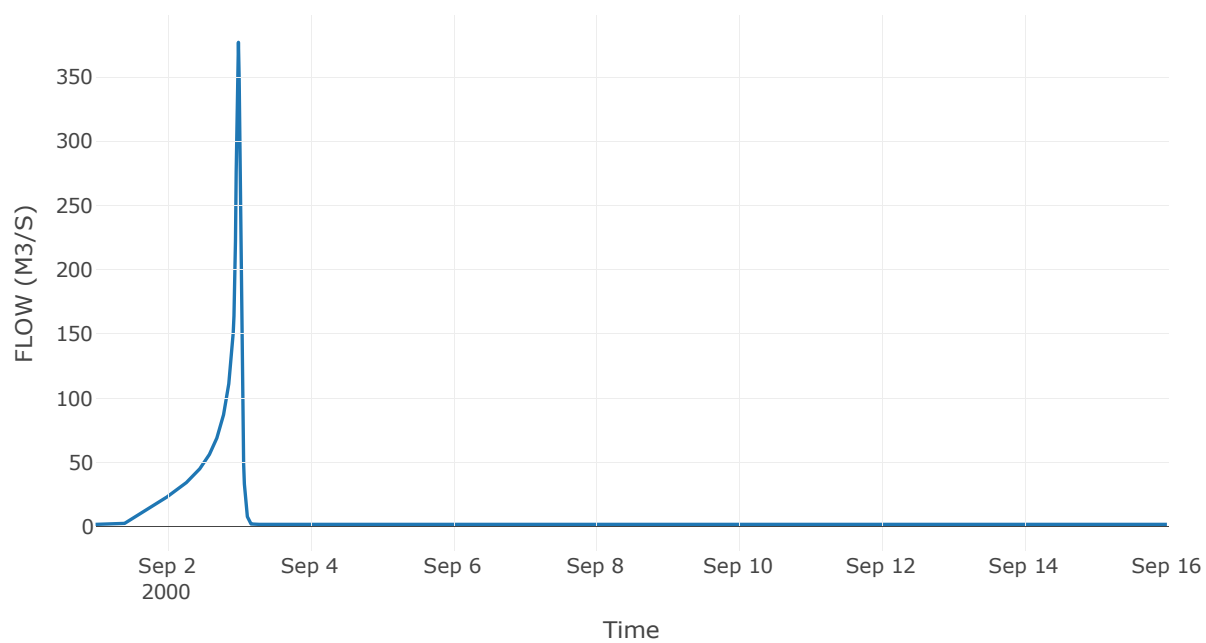
Κόμβος: J30

Κατάντη : R302

Αποτελέσματα: J30

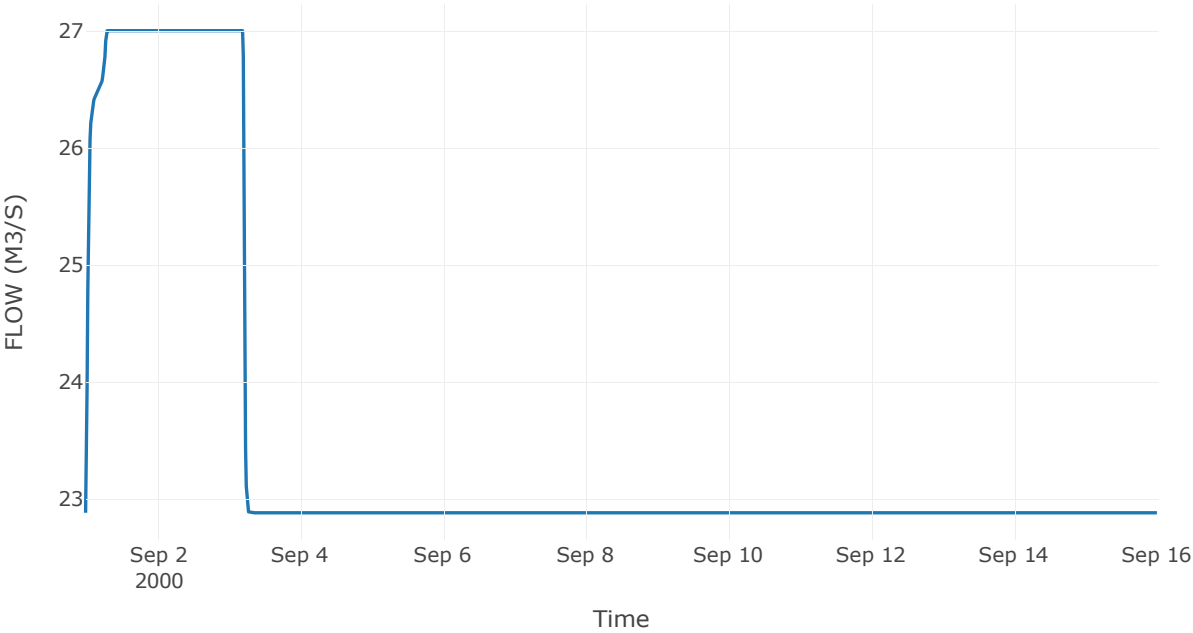
| | |
|-----------------------|------------------|
| Παροχή Αιχμής(M3/S) | 377.19 |
| Χρονική στιγμή αιχμής | 02Sep2000, 24:00 |
| Όγκος(MM) | 346.13 |

Απορροή



| | |
|-----------------------|------------------|
| Παροχή Αιχμής(M3/S) | 27 |
| Χρονική στιγμή αιχμής | 01Sep2000, 07:00 |

Απορροή



10 Δεδομένα εισόδου και αποτελέσματα υδρολογικού σεναρίου T=1000U

10.1 Αποτελέσματα, υετογραφήματα και υδρογραφήματα σχεδιασμού υπολεκάνων

Υπολεκάνη: EL0420FR4001

Έκταση (KM2) : 23.03

Κατάνη : J1

Μέθοδος Απωλειών: SCS

| | |
|--------------------------------|-------|
| Ποσοστό αδιαπέρατης επιφάνειας | 0 |
| Αριθμός Καμπύλης Απορροής-CN | 89.31 |
| Αρχικές Απώλειες | 6.08 |

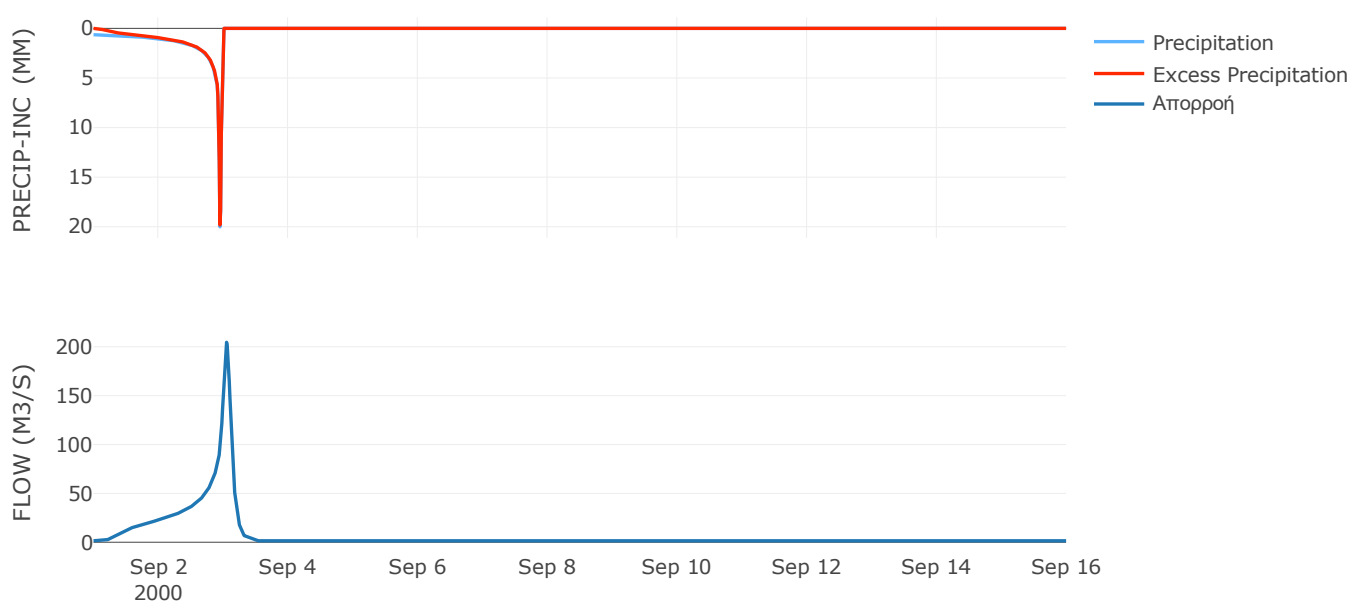
Μέθοδος
Μετασχηματισμού: SCS

| | |
|------------------|--------|
| Χρόνος Υστέρησης | 146.76 |
|------------------|--------|

Αποτελέσματα:
EL0420FR4001

| | |
|-----------------------------|------------------|
| Παροχή αιχμής (M3/S) | 204.6 |
| Χρονική στιγμή αιχμής | 03Sep2000, 01:15 |
| Όγκος (MM) | 392.35 |
| Όγκος βροχόπτωσης (M3) | 7.88E6 |
| Όγκος απωλειών (M3) | 7.82E5 |
| Ενεργός Όγκος (M3) | 7.1E6 |
| Όγκος άμεσης απορροής (M3) | 7.1E6 |
| Όγκος βασικής απορροής (M3) | 1.94E6 |

Βροχόπτωση και Απορροή



Υπολεκάνη: EL0420FR4002

Έκταση (KM2) : 14.69

Κατάνη : J2

Μέθοδος Απωλειών: SCS

| | |
|--------------------------------|-------|
| Ποσοστό αδιαπέρατης επιφάνειας | 0 |
| Αριθμός Καμπύλης Απορροής-CN | 91.07 |
| Αρχικές Απώλειες | 4.98 |

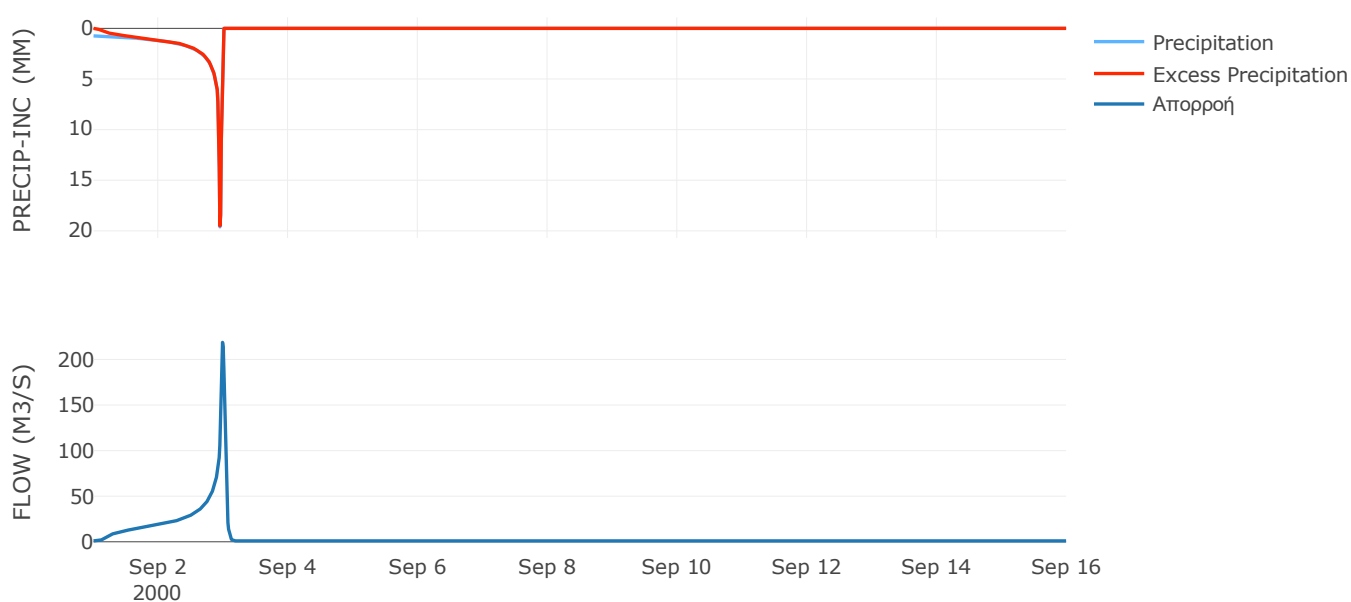
Μέθοδος
Μετασχηματισμού: SCS

| | |
|------------------|-------|
| Χρόνος Υστέρησης | 48.13 |
|------------------|-------|

Αποτελέσματα:
EL0420FR4002

| | |
|-----------------------------|------------------|
| Παροχή αιχμής (M3/S) | 218.77 |
| Χρονική στιγμή αιχμής | 02Sep2000, 23:45 |
| Όγκος (MM) | 430.28 |
| Όγκος βροχόπτωσης (M3) | 5.5E6 |
| Όγκος απωλειών (M3) | 4.16E5 |
| Ενεργός Όγκος (M3) | 5.08E6 |
| Όγκος άμεσης απορροής (M3) | 5.08E6 |
| Όγκος βασικής απορροής (M3) | 1.24E6 |

Βροχόπτωση και Απορροή



Υπολεκάνη: EL0420FR4003

Έκταση (KM2) : 18.27

Κατάνη : J3

Μέθοδος Απωλειών: SCS

| | |
|--------------------------------|-------|
| Ποσοστό αδιαπέρατης επιφάνειας | 0 |
| Αριθμός Καμπύλης Απορροής-CN | 87.53 |
| Αρχικές Απώλειες | 7.24 |

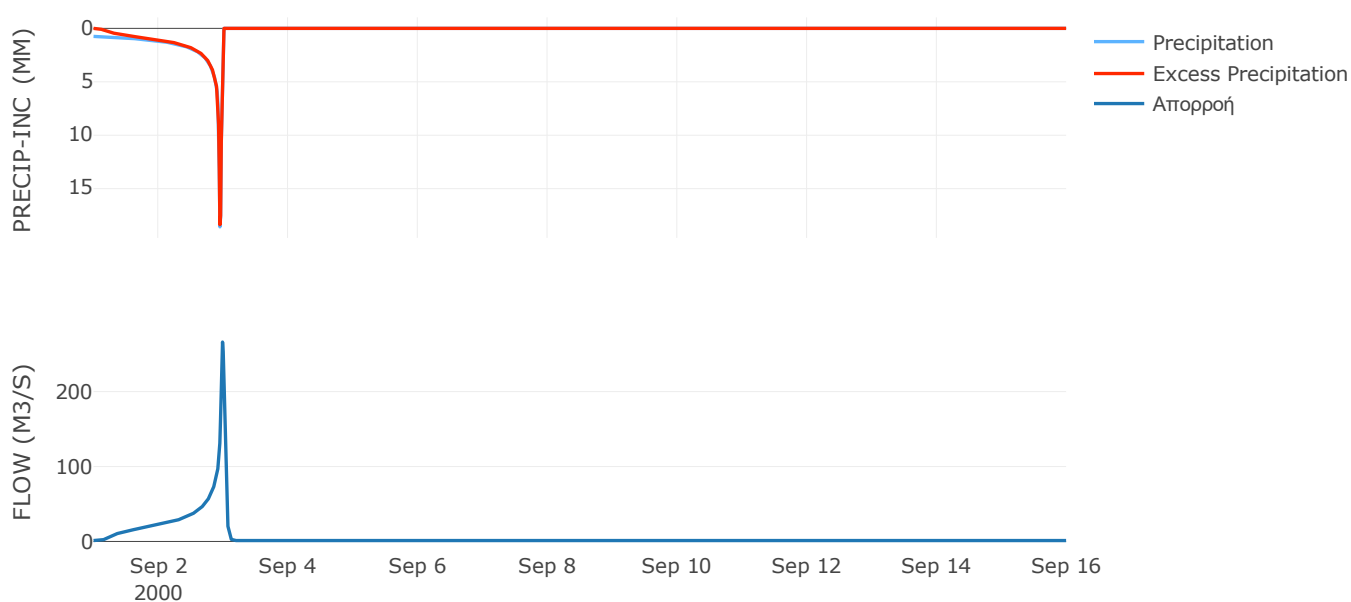
Μέθοδος
Μετασχηματισμού: SCS

| | |
|------------------|------|
| Χρόνος Υστέρησης | 44.8 |
|------------------|------|

Αποτελέσματα:
EL0420FR4003

| | |
|-----------------------------|------------------|
| Παροχή αιχμής (M3/S) | 266.12 |
| Χρονική στιγμή αιχμής | 02Sep2000, 23:45 |
| Όγκος (MM) | 414.02 |
| Όγκος βροχόπτωσης (M3) | 6.76E6 |
| Όγκος απωλειών (M3) | 7.33E5 |
| Ενεργός Όγκος (M3) | 6.03E6 |
| Όγκος άμεσης απορροής (M3) | 6.03E6 |
| Όγκος βασικής απορροής (M3) | 1.54E6 |

Βροχόπτωση και Απορροή



Υπολεκάνη: EL0420FR4004

Έκταση (KM2) : 43.51

Κατάντη : J4

Μέθοδος Απωλειών: SCS

| | |
|--------------------------------|-------|
| Ποσοστό αδιαπέρατης επιφάνειας | 0 |
| Αριθμός Καμπύλης Απορροής-CN | 90.69 |
| Αρχικές Απώλειες | 5.22 |

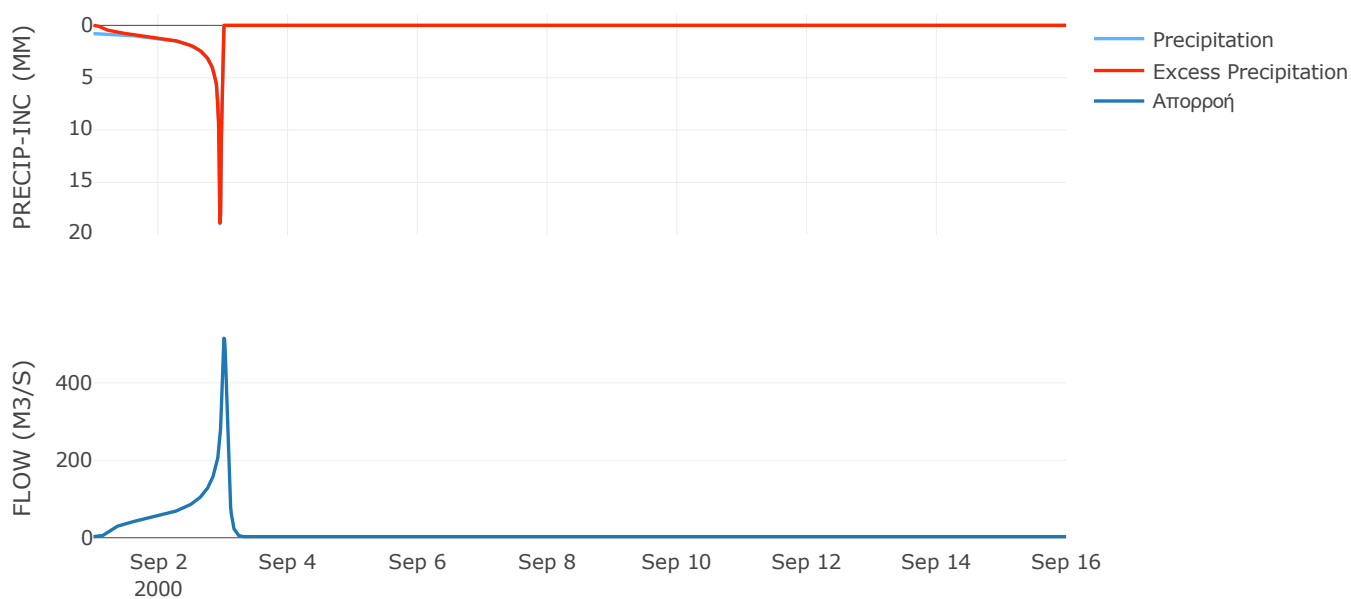
Μέθοδος
Μετασχηματισμού: SCS

| | |
|------------------|-------|
| Χρόνος Υστέρησης | 84.33 |
|------------------|-------|

Αποτελέσματα:
EL0420FR4004

| | |
|-----------------------------|------------------|
| Παροχή αιχμής (M3/S) | 515.54 |
| Χρονική στιγμή αιχμής | 03Sep2000, 00:15 |
| Όγκος (MM) | 437.77 |
| Όγκος βροχόπτωσης (M3) | 1.67E7 |
| Όγκος απωλειών (M3) | 1.29E6 |
| Ενεργός Όγκος (M3) | 1.54E7 |
| Όγκος άμεσης απορροής (M3) | 1.54E7 |
| Όγκος βασικής απορροής (M3) | 3.67E6 |

Βροχόπτωση και Απορροή



Υπολεκάνη: EL0420FR4005

Έκταση (KM2) : 48.87

Κατάντη : J5

Μέθοδος Απωλειών: SCS

| | |
|--------------------------------|-------|
| Ποσοστό αδιαπέρατης επιφάνειας | 0 |
| Αριθμός Καμπύλης Απορροής-CN | 81.52 |
| Αρχικές Απώλειες | 11.52 |

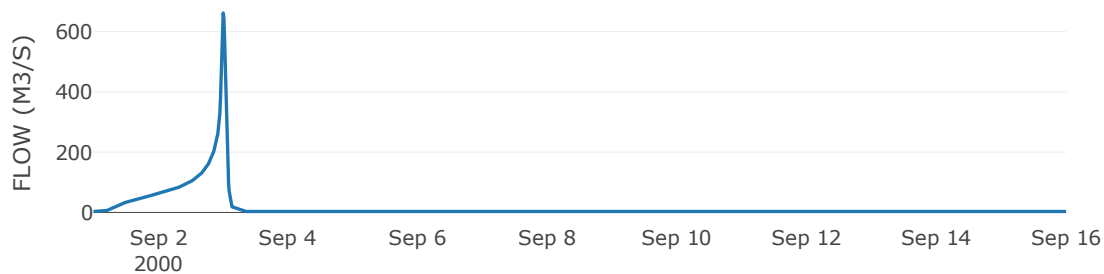
Μέθοδος
Μετασχηματισμού: SCS

| | |
|------------------|-------|
| Χρόνος Υστέρησης | 61.85 |
|------------------|-------|

Αποτελέσματα:
EL0420FR4005

| | |
|-----------------------------|------------------|
| Παροχή αιχμής (M3/S) | 661.66 |
| Χρονική στιγμή αιχμής | 02Sep2000, 24:00 |
| Όγκος (MM) | 433.44 |
| Όγκος βροχόπτωσης (M3) | 2.01E7 |
| Όγκος απωλειών (M3) | 3.02E6 |
| Ενεργός Όγκος (M3) | 1.71E7 |
| Όγκος άμεσης απορροής (M3) | 1.71E7 |
| Όγκος βασικής απορροής (M3) | 4.12E6 |

Βροχόπτωση και Απορροή



Υπολεκάνη: EL0420FR4006

Έκταση (KM2) : 0.82

Κατάντη : J6

Μέθοδος Απωλειών: SCS

| | |
|--------------------------------|-------|
| Ποσοστό αδιαπέρατης επιφάνειας | 0 |
| Αριθμός Καμπύλης Απορροής-CN | 73.67 |
| Αρχικές Απώλειες | 18.16 |

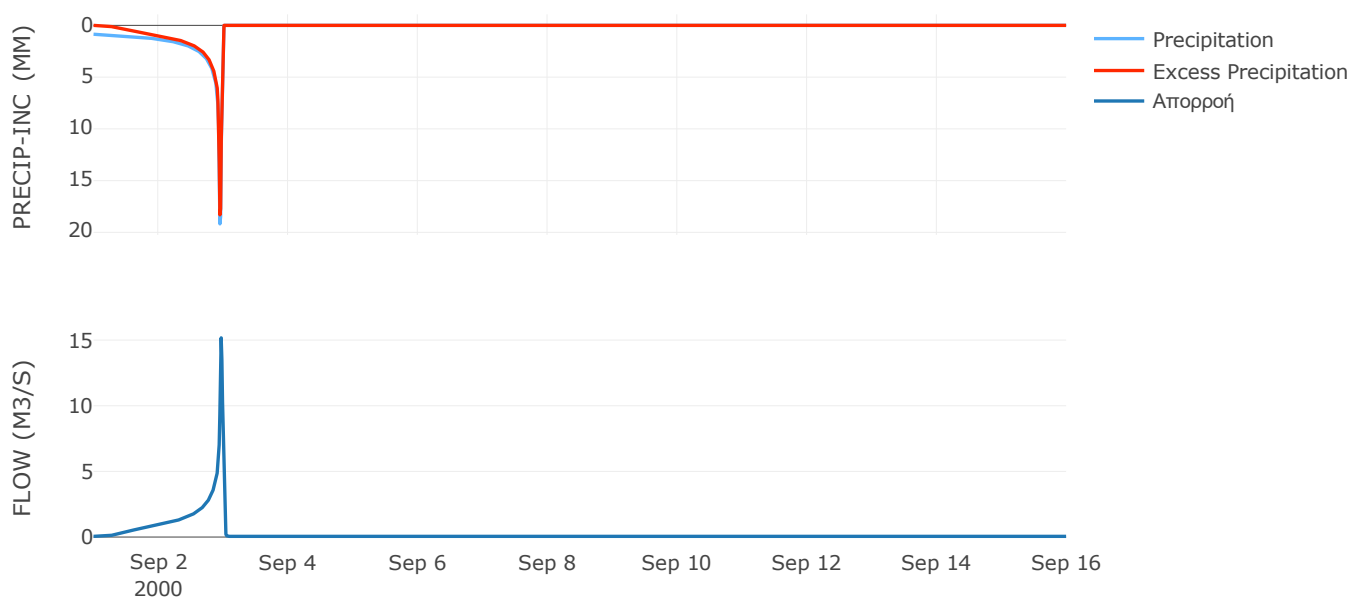
Μέθοδος
Μετασχηματισμού: SCS

| | |
|------------------|-------|
| Χρόνος Υστέρησης | 15.29 |
|------------------|-------|

Αποτελέσματα:
EL0420FR4006

| | |
|-----------------------------|------------------|
| Παροχή αιχμής (M3/S) | 15.17 |
| Χρονική στιγμή αιχμής | 02Sep2000, 23:15 |
| Όγκος (MM) | 400.1 |
| Όγκος βροχόπτωσης (M3) | 3.33E5 |
| Όγκος απωλειών (M3) | 75048.2 |
| Ενεργός Όγκος (M3) | 2.58E5 |
| Όγκος άμεσης απορροής (M3) | 2.58E5 |
| Όγκος βασικής απορροής (M3) | 68887.58 |

Βροχόπτωση και Απορροή



Υπολεκάνη: EL0420FR4007

Έκταση (KM2) : 16.52

Κατάνη : J7

Μέθοδος Απωλειών: SCS

| | |
|--------------------------------|-------|
| Ποσοστό αδιαπέρατης επιφάνειας | 0 |
| Αριθμός Καμπύλης Απορροής-CN | 78.11 |
| Αρχικές Απώλειες | 14.24 |

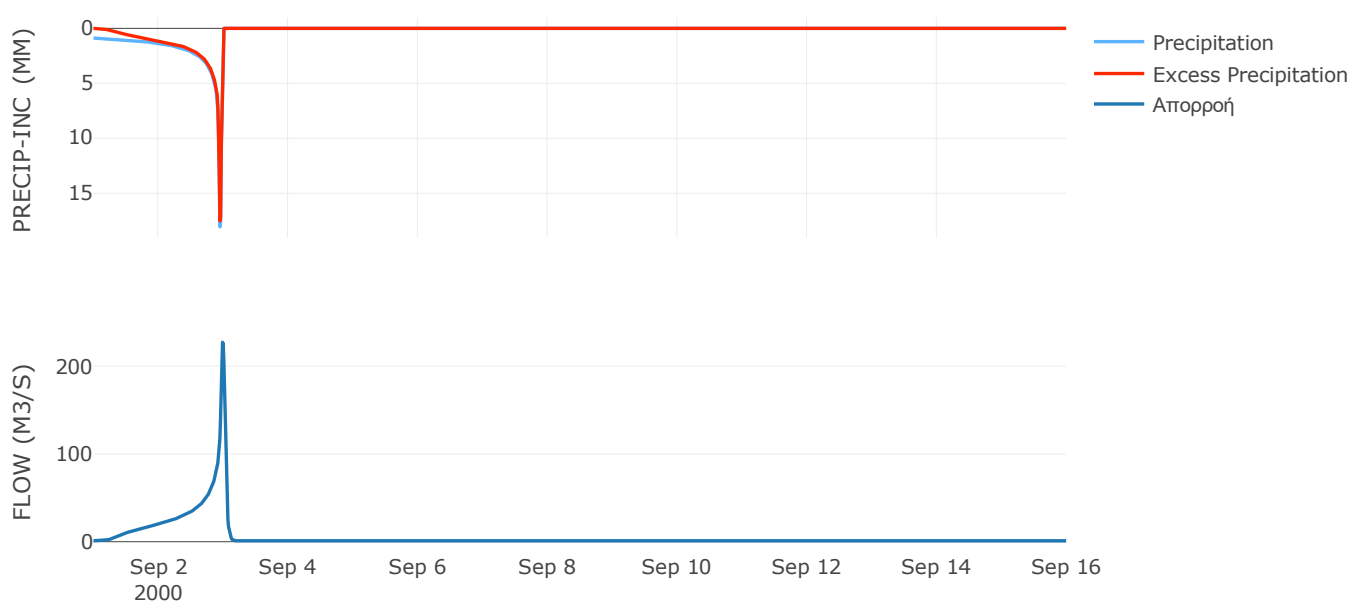
Μέθοδος
Μετασχηματισμού: SCS

| | |
|------------------|-------|
| Χρόνος Υστέρησης | 49.94 |
|------------------|-------|

Αποτελέσματα:
EL0420FR4007

| | |
|-----------------------------|------------------|
| Παροχή αιχμής (M3/S) | 227.25 |
| Χρονική στιγμή αιχμής | 02Sep2000, 23:45 |
| Όγκος (MM) | 416.42 |
| Όγκος βροχόπτωσης (M3) | 6.72E6 |
| Όγκος απωλειών (M3) | 1.23E6 |
| Ενεργός Όγκος (M3) | 5.49E6 |
| Όγκος άμεσης απορροής (M3) | 5.49E6 |
| Όγκος βασικής απορροής (M3) | 1.39E6 |

Βροχόπτωση και Απορροή



Υπολεκάνη: EL0420FR4008

Έκταση (KM2) : 12.7

Κατάντη : J8

Μέθοδος Απωλειών: SCS

| | |
|--------------------------------|-------|
| Ποσοστό αδιαπέρατης επιφάνειας | 0 |
| Αριθμός Καμπύλης Απορροής-CN | 76.84 |
| Αρχικές Απώλειες | 15.31 |

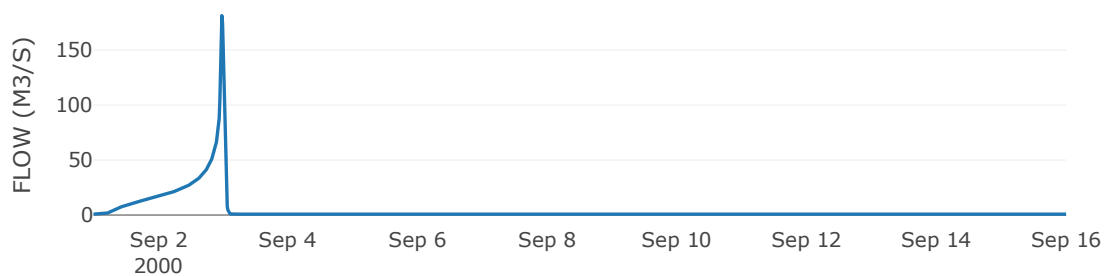
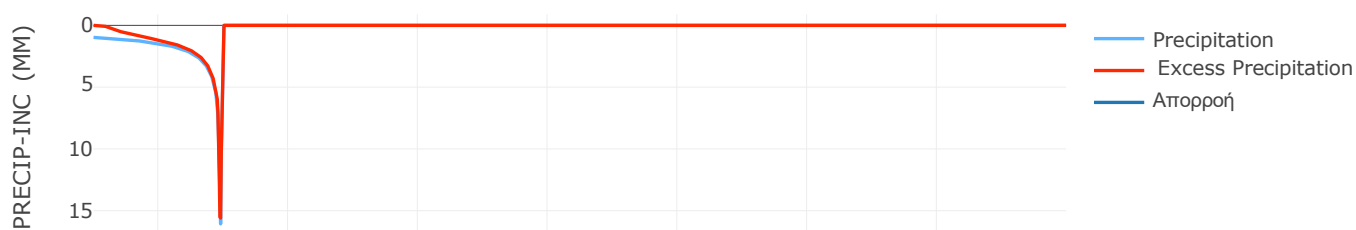
Μέθοδος
Μετασχηματισμού: SCS

| | |
|------------------|-------|
| Χρόνος Υστέρησης | 32.03 |
|------------------|-------|

Αποτελέσματα:
EL0420FR4008

| | |
|-----------------------------|------------------|
| Παροχή αιχμής (M3/S) | 181.32 |
| Χρονική στιγμή αιχμής | 02Sep2000, 23:30 |
| Όγκος (MM) | 422.88 |
| Όγκος βροχόπτωσης (M3) | 5.31E6 |
| Όγκος απωλειών (M3) | 1.01E6 |
| Ενεργός Όγκος (M3) | 4.3E6 |
| Όγκος άμεσης απορροής (M3) | 4.3E6 |
| Όγκος βασικής απορροής (M3) | 1.07E6 |

Βροχόπτωση και Απορροή



Υπολεκάνη: EL0420FR4009

Έκταση (KM2) : 5.92

Κατάντη : J9

Μέθοδος Απωλειών: SCS

| | |
|--------------------------------|-------|
| Ποσοστό αδιαπέρατης επιφάνειας | 0 |
| Αριθμός Καμπύλης Απορροής-CN | 80.05 |
| Αρχικές Απώλειες | 12.66 |

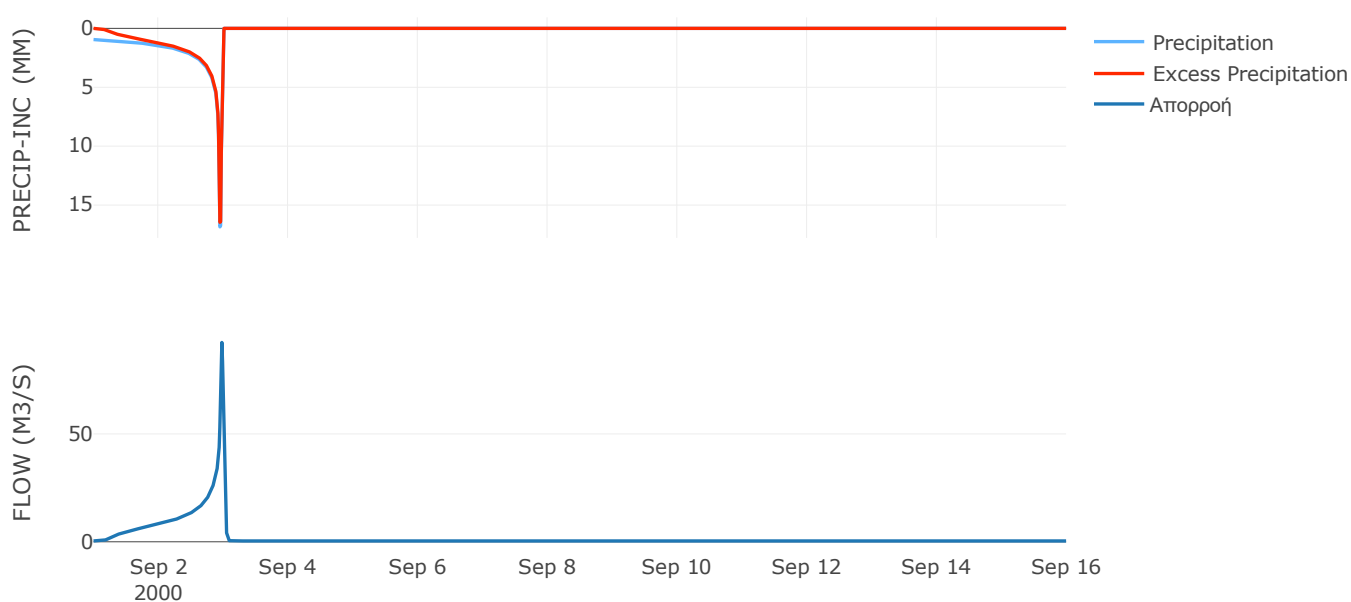
Μέθοδος
Μετασχηματισμού: SCS

| | |
|------------------|-------|
| Χρόνος Υστέρησης | 27.03 |
|------------------|-------|

Αποτελέσματα:
EL0420FR4009

| | |
|-----------------------------|------------------|
| Παροχή αιχμής (M3/S) | 92.42 |
| Χρονική στιγμή αιχμής | 02Sep2000, 23:30 |
| Όγκος (MM) | 434.63 |
| Όγκος βροχόπτωσης (M3) | 2.47E6 |
| Όγκος απωλειών (M3) | 3.99E5 |
| Ενεργός Όγκος (M3) | 2.07E6 |
| Όγκος άμεσης απορροής (M3) | 2.07E6 |
| Όγκος βασικής απορροής (M3) | 4.99E5 |

Βροχόπτωση και Απορροή



Υπολεκάνη: EL0420FR4010

Έκταση (KM2) : 2.67

Κατάνη : J10

Μέθοδος Απωλειών: SCS

| | |
|--------------------------------|-------|
| Ποσοστό αδιαπέρατης επιφάνειας | 0 |
| Αριθμός Καμπύλης Απορροής-CN | 76.34 |
| Αρχικές Απώλειες | 15.74 |

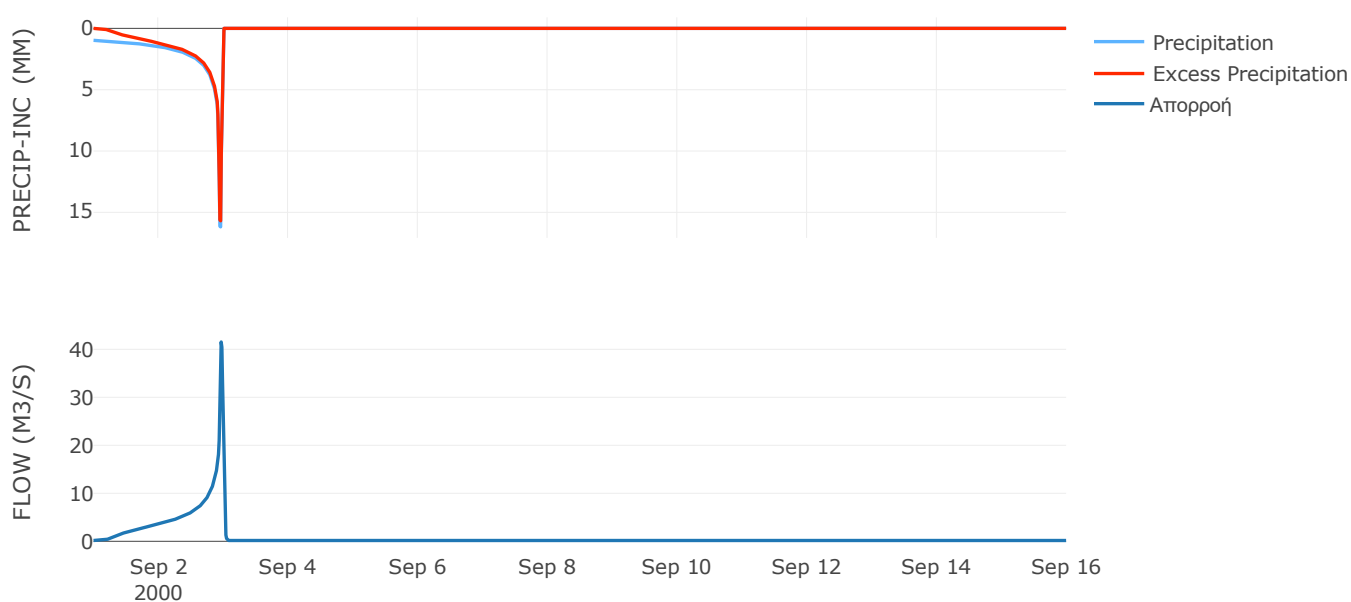
Μέθοδος
Μετασχηματισμού: SCS

| | |
|------------------|-------|
| Χρόνος Υστέρησης | 18.95 |
|------------------|-------|

Αποτελέσματα:
EL0420FR4010

| | |
|-----------------------------|------------------|
| Παροχή αιχμής (M3/S) | 41.53 |
| Χρονική στιγμή αιχμής | 02Sep2000, 23:15 |
| Όγκος (MM) | 422.26 |
| Όγκος βροχόπτωσης (M3) | 1.12E6 |
| Όγκος απωλειών (M3) | 2.18E5 |
| Ενεργός Όγκος (M3) | 9.02E5 |
| Όγκος άμεσης απορροής (M3) | 9.02E5 |
| Όγκος βασικής απορροής (M3) | 2.25E5 |

Βροχόπτωση και Απορροή



Υπολεκάνη: EL0420FR4011

Έκταση (KM2) : 55.39

Κατάνη : J11

Μέθοδος Απωλειών: SCS

| | |
|--------------------------------|-------|
| Ποσοστό αδιαπέρατης επιφάνειας | 0 |
| Αριθμός Καμπύλης Απορροής-CN | 75.17 |
| Αρχικές Απώλειες | 16.78 |

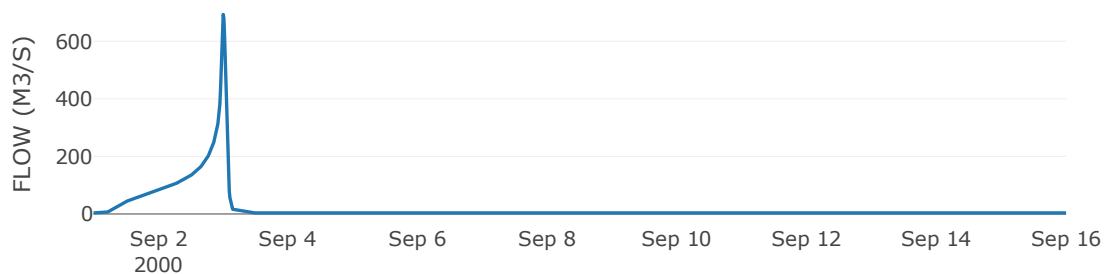
Μέθοδος
Μετασχηματισμού: SCS

| | |
|------------------|-------|
| Χρόνος Υστέρησης | 62.87 |
|------------------|-------|

Αποτελέσματα:
EL0420FR4011

| | |
|-----------------------------|------------------|
| Παροχή αιχμής (M3/S) | 693.37 |
| Χρονική στιγμή αιχμής | 02Sep2000, 24:00 |
| Όγκος (MM) | 460.77 |
| Όγκος βροχόπτωσης (M3) | 2.57E7 |
| Όγκος απωλειών (M3) | 4.84E6 |
| Ενεργός Όγκος (M3) | 2.09E7 |
| Όγκος άμεσης απορροής (M3) | 2.09E7 |
| Όγκος βασικής απορροής (M3) | 4.67E6 |

Βροχόπτωση και Απορροή



Υπολεκάνη: EL0420FR4012

Έκταση (KM2) : 2.36

Κατάντη : J12

Μέθοδος Απωλειών: SCS

| | |
|--------------------------------|-------|
| Ποσοστό αδιαπέρατης επιφάνειας | 0 |
| Αριθμός Καμπύλης Απορροής-CN | 82.96 |
| Αρχικές Απώλειες | 10.43 |

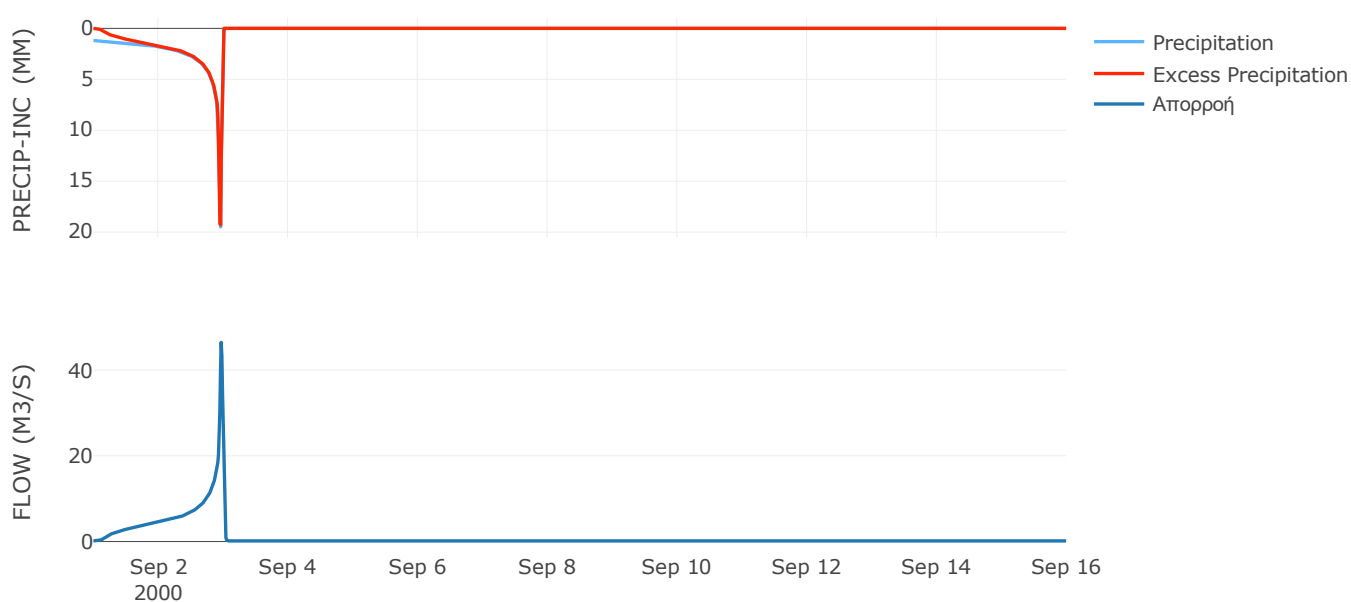
Μέθοδος
Μετασχηματισμού: SCS

| | |
|------------------|-------|
| Χρόνος Υστέρησης | 16.68 |
|------------------|-------|

Αποτελέσματα:
EL0420FR4012

| | |
|-----------------------------|------------------|
| Παροχή αιχμής (M3/S) | 46.46 |
| Χρονική στιγμή αιχμής | 02Sep2000, 23:15 |
| Όγκος (MM) | 536.86 |
| Όγκος βροχόπτωσης (M3) | 1.2E6 |
| Όγκος απωλειών (M3) | 1.36E5 |
| Ενεργός Όγκος (M3) | 1.07E6 |
| Όγκος άμεσης απορροής (M3) | 1.07E6 |
| Όγκος βασικής απορροής (M3) | 1.99E5 |

Βροχόπτωση και Απορροή



Υπολεκάνη: EL0420FR4013

Έκταση (KM2) : 1.96

Κατάντη : J14

Μέθοδος Απωλειών: SCS

| | |
|--------------------------------|-------|
| Ποσοστό αδιαπέρατης επιφάνειας | 24 |
| Αριθμός Καμπύλης Απορροής-CN | 92.24 |
| Αρχικές Απώλειες | 4.28 |

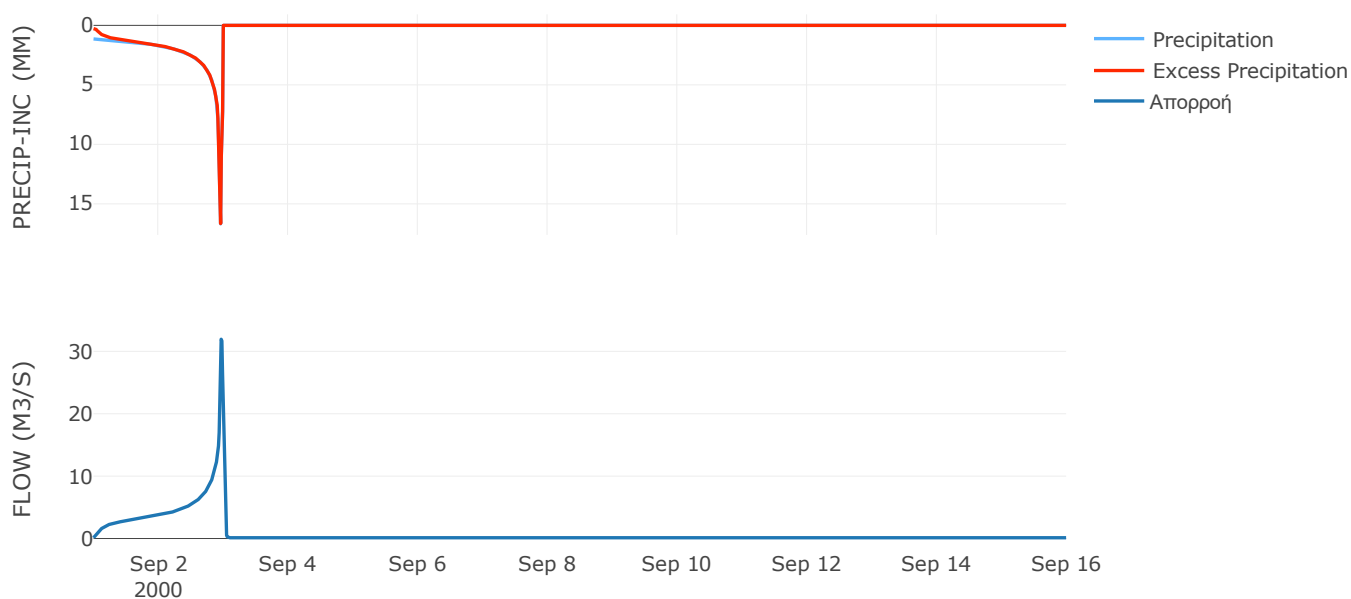
Μέθοδος
Μετασχηματισμού: SCS

| | |
|------------------|-------|
| Χρόνος Υστέρησης | 19.77 |
|------------------|-------|

Αποτελέσματα:
EL0420FR4013

| | |
|-----------------------------|------------------|
| Παροχή αιχμής (M3/S) | 31.94 |
| Χρονική στιγμή αιχμής | 02Sep2000, 23:15 |
| Όγκος (MM) | 534.29 |
| Όγκος βροχόπτωσης (M3) | 9.19E5 |
| Όγκος απωλειών (M3) | 36800.5 |
| Ενεργός Όγκος (M3) | 8.82E5 |
| Όγκος άμεσης απορροής (M3) | 8.82E5 |
| Όγκος βασικής απορροής (M3) | 1.65E5 |

Βροχόπτωση και Απορροή



Υπολεκάνη: EL0420FR4014

Έκταση (KM2) : 27.11

Κατάντη : J14

Μέθοδος Απωλειών: SCS

| | |
|--------------------------------|-------|
| Ποσοστό αδιαπέρατης επιφάνειας | 7 |
| Αριθμός Καμπύλης Απορροής-CN | 83.28 |
| Αρχικές Απώλειες | 10.2 |

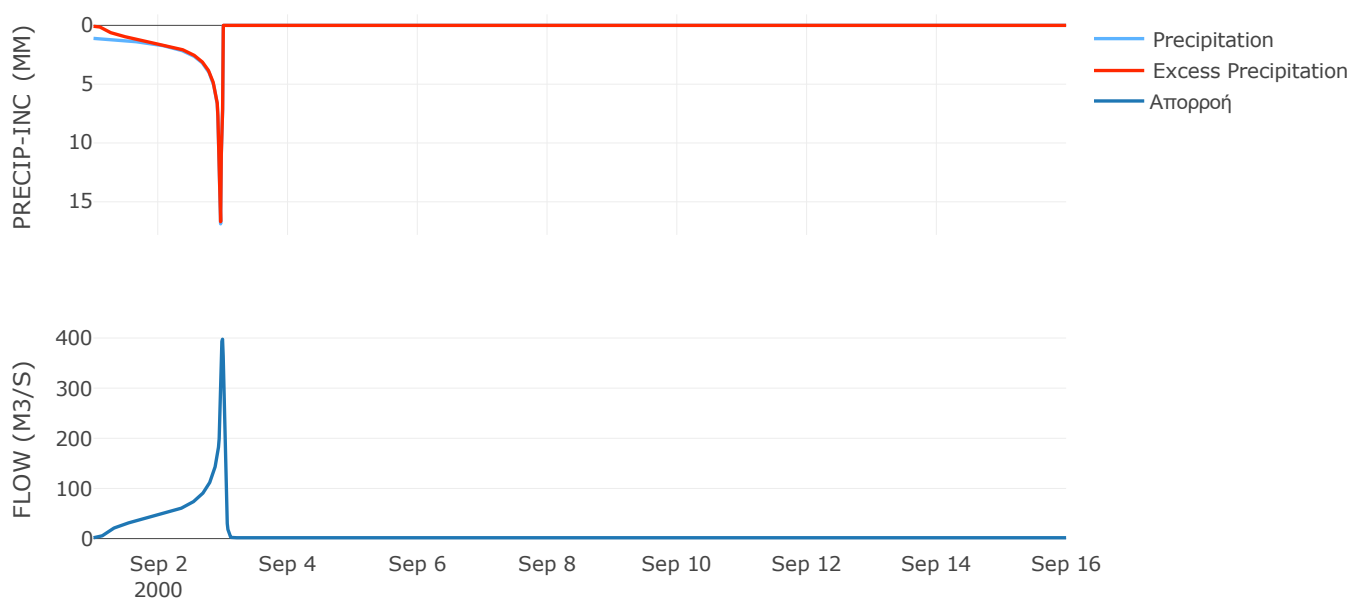
Μέθοδος
Μετασχηματισμού: SCS

| | |
|------------------|-------|
| Χρόνος Υστέρησης | 37.74 |
|------------------|-------|

Αποτελέσματα:
EL0420FR4014

| | |
|-----------------------------|------------------|
| Παροχή αιχμής (M3/S) | 397.57 |
| Χρονική στιγμή αιχμής | 02Sep2000, 23:45 |
| Όγκος (MM) | 493.76 |
| Όγκος βροχόπτωσης (M3) | 1.25E7 |
| Όγκος απωλειών (M3) | 1.41E6 |
| Ενεργός Όγκος (M3) | 1.11E7 |
| Όγκος άμεσης απορροής (M3) | 1.11E7 |
| Όγκος βασικής απορροής (M3) | 2.28E6 |

Βροχόπτωση και Απορροή



Υπολεκάνη: EL0420FR4015

Έκταση (KM2) : 10.07

Κατάνη : J15

Μέθοδος Απωλειών: SCS

| | |
|--------------------------------|-------|
| Ποσοστό αδιαπέρατης επιφάνειας | 0 |
| Αριθμός Καμπύλης Απορροής-CN | 81.05 |
| Αρχικές Απώλειες | 11.88 |

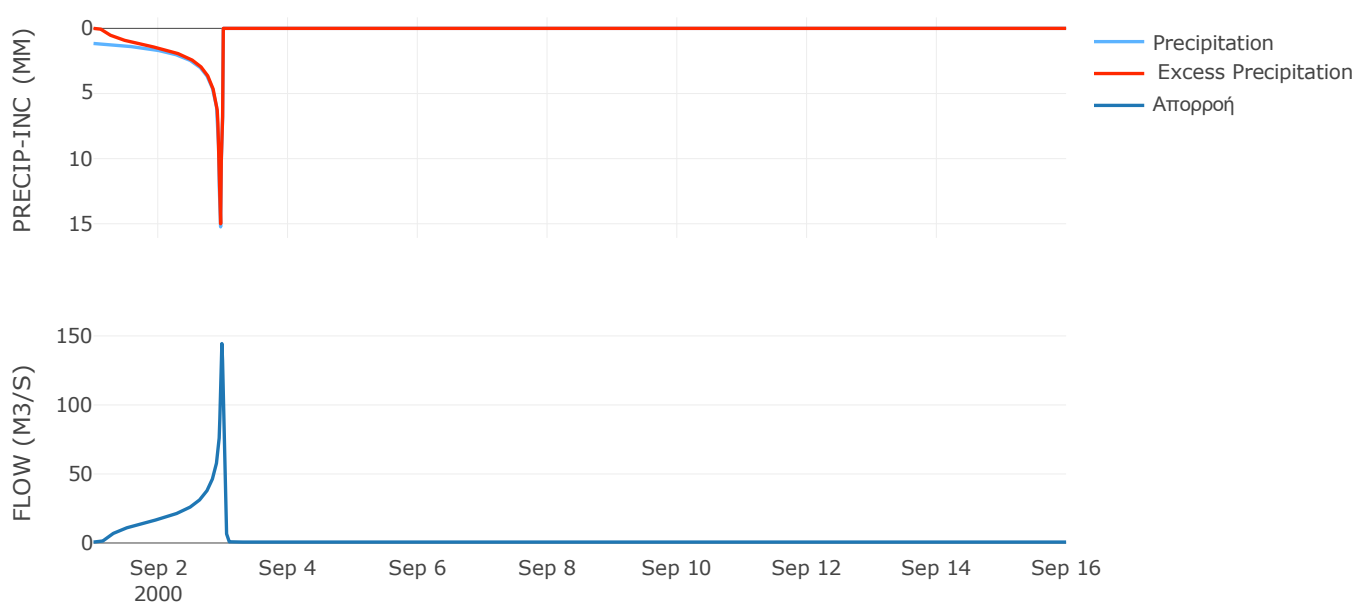
Μέθοδος
Μετασχηματισμού: SCS

| | |
|------------------|-------|
| Χρόνος Υστέρησης | 26.65 |
|------------------|-------|

Αποτελέσματα:
EL0420FR4015

| | |
|-----------------------------|------------------|
| Παροχή αιχμής (M3/S) | 144.45 |
| Χρονική στιγμή αιχμής | 02Sep2000, 23:30 |
| Όγκος (MM) | 478.49 |
| Όγκος βροχόπτωσης (M3) | 4.62E6 |
| Όγκος απωλειών (M3) | 6.47E5 |
| Ενεργός Όγκος (M3) | 3.97E6 |
| Όγκος άμεσης απορροής (M3) | 3.97E6 |
| Όγκος βασικής απορροής (M3) | 8.48E5 |

Βροχόπτωση και Απορροή



Υπολεκάνη: EL0420FR4016

Έκταση (KM2) : 12.09

Κατάντη : J16

Μέθοδος Απωλειών: SCS

| | |
|--------------------------------|-------|
| Ποσοστό αδιαπέρατης επιφάνειας | 0 |
| Αριθμός Καμπύλης Απορροής-CN | 90.43 |
| Αρχικές Απώλειες | 5.38 |

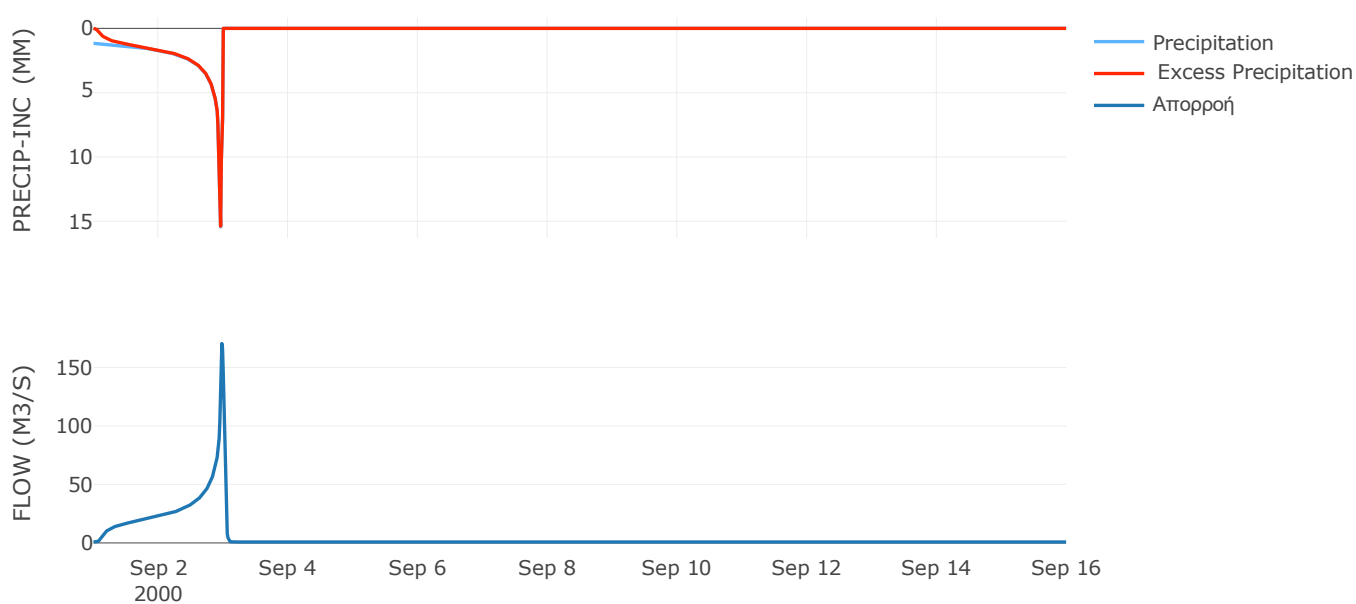
Μέθοδος
Μετασχηματισμού: SCS

| | |
|------------------|-------|
| Χρόνος Υστέρησης | 32.47 |
|------------------|-------|

Αποτελέσματα:
EL0420FR4016

| | |
|-----------------------------|------------------|
| Παροχή αιχμής (M3/S) | 170.53 |
| Χρονική στιγμή αιχμής | 02Sep2000, 23:30 |
| Όγκος (MM) | 515.78 |
| Όγκος βροχόπτωσης (M3) | 5.59E6 |
| Όγκος απωλειών (M3) | 3.72E5 |
| Ενεργός Όγκος (M3) | 5.22E6 |
| Όγκος άμεσης απορροής (M3) | 5.22E6 |
| Όγκος βασικής απορροής (M3) | 1.02E6 |

Βροχόπτωση και Απορροή



Υπολεκάνη: EL0420FR4017

Έκταση (KM2) : 0.82

Κατάνη : J17

Μέθοδος Απωλειών: SCS

| | |
|--------------------------------|-------|
| Ποσοστό αδιαπέρατης επιφάνειας | 0 |
| Αριθμός Καμπύλης Απορροής-CN | 90.99 |
| Αρχικές Απώλειες | 5.03 |

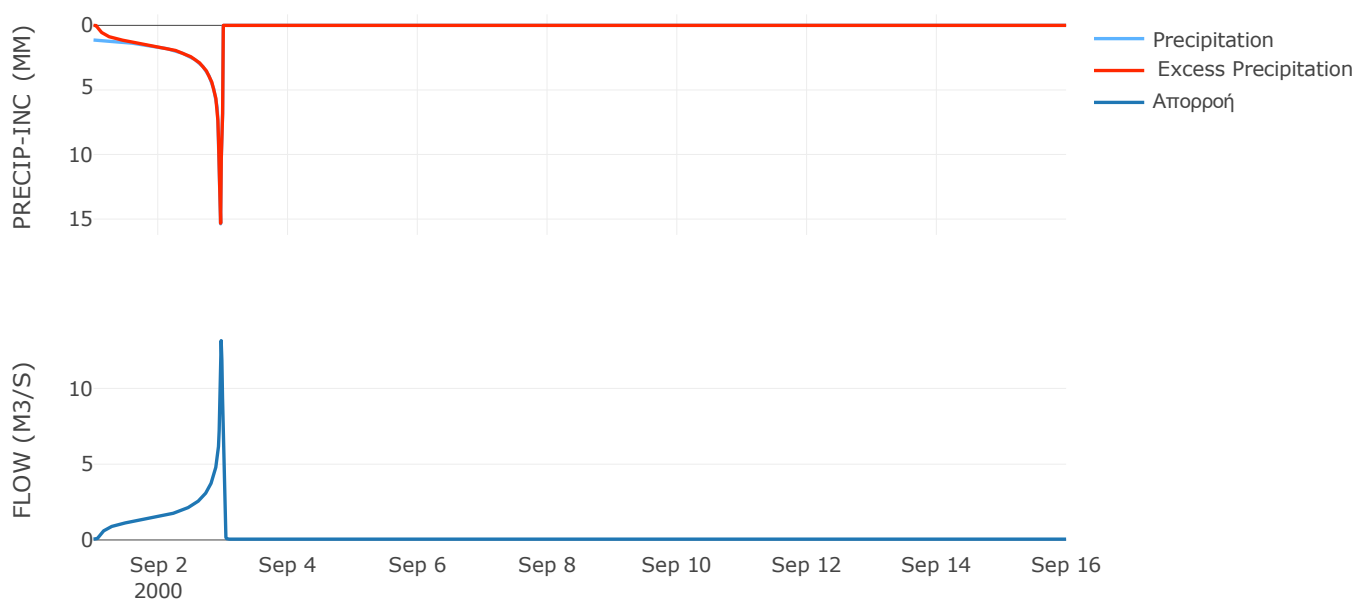
Μέθοδος
Μετασχηματισμού: SCS

| | |
|------------------|-------|
| Χρόνος Υστέρησης | 14.04 |
|------------------|-------|

Αποτελέσματα:
EL0420FR4017

| | |
|-----------------------------|------------------|
| Παροχή αιχμής (M3/S) | 13.15 |
| Χρονική στιγμή αιχμής | 02Sep2000, 23:15 |
| Όγκος (MM) | 508.86 |
| Όγκος βροχόπτωσης (M3) | 3.73E5 |
| Όγκος απωλειών (M3) | 23756.22 |
| Ενεργός Όγκος (M3) | 3.5E5 |
| Όγκος άμεσης απορροής (M3) | 3.5E5 |
| Όγκος βασικής απορροής (M3) | 69343.78 |

Βροχόπτωση και Απορροή



Υπολεκάνη: EL0420FR4018

Έκταση (KM2) : 26.76

Κατάντη : J18

Μέθοδος Απωλειών: SCS

| | |
|--------------------------------|-------|
| Ποσοστό αδιαπέρατης επιφάνειας | 0 |
| Αριθμός Καμπύλης Απορροής-CN | 90.52 |
| Αρχικές Απώλειες | 5.32 |

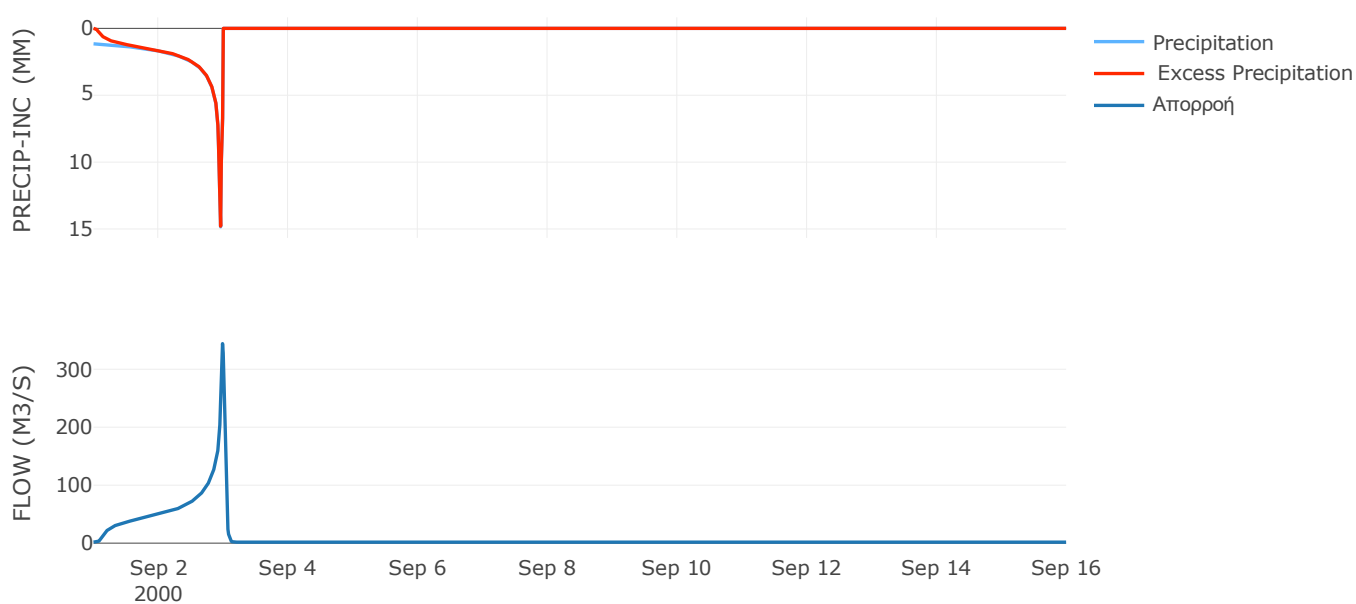
Μέθοδος
Μετασχηματισμού: SCS

| | |
|------------------|-------|
| Χρόνος Υστέρησης | 42.52 |
|------------------|-------|

Αποτελέσματα:
EL0420FR4018

| | |
|-----------------------------|------------------|
| Παροχή αιχμής (M3/S) | 344.17 |
| Χρονική στιγμή αιχμής | 02Sep2000, 23:45 |
| Όγκος (MM) | 507.13 |
| Όγκος βροχόπτωσης (M3) | 1.21E7 |
| Όγκος απωλειών (M3) | 8.14E5 |
| Ενεργός Όγκος (M3) | 1.13E7 |
| Όγκος άμεσης απορροής (M3) | 1.13E7 |
| Όγκος βασικής απορροής (M3) | 2.25E6 |

Βροχόπτωση και Απορροή



Υπολεκάνη: EL0420FR4019

Έκταση (KM2) : 0.87

Κατάντη : J19

Μέθοδος Απωλειών: SCS

| | |
|--------------------------------|-------|
| Ποσοστό αδιαπέρατης επιφάνειας | 0 |
| Αριθμός Καμπύλης Απορροής-CN | 90.96 |
| Αρχικές Απώλειες | 5.05 |

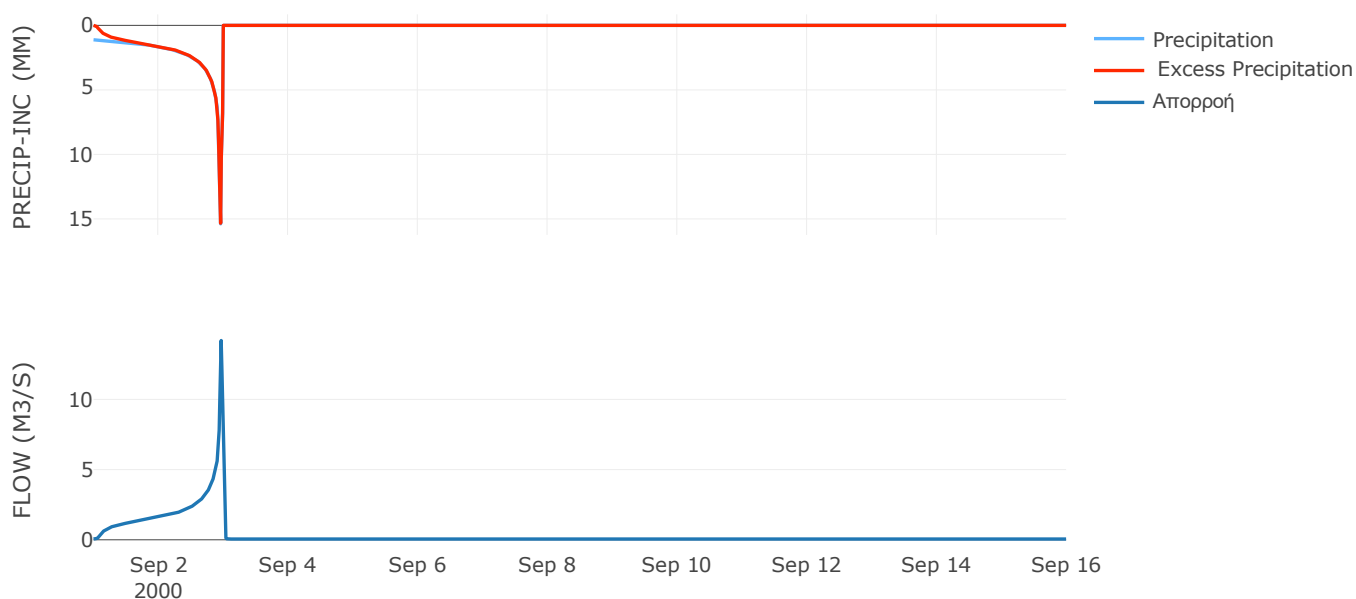
Μέθοδος
Μετασχηματισμού: SCS

| | |
|------------------|------|
| Χρόνος Υστέρησης | 12.1 |
|------------------|------|

Αποτελέσματα:
EL0420FR4019

| | |
|-----------------------------|------------------|
| Παροχή αιχμής (M3/S) | 14.2 |
| Χρονική στιγμή αιχμής | 02Sep2000, 23:15 |
| Όγκος (MM) | 504.66 |
| Όγκος βροχόπτωσης (M3) | 3.92E5 |
| Όγκος απωλειών (M3) | 25251.08 |
| Ενεργός Όγκος (M3) | 3.67E5 |
| Όγκος άμεσης απορροής (M3) | 3.67E5 |
| Όγκος βασικής απορροής (M3) | 73488.38 |

Βροχόπτωση και Απορροή



Υπολεκάνη: EL0420FR4020

Έκταση (KM2) : 6.12

Κατάντη : J20

Μέθοδος Απωλειών: SCS

| | |
|--------------------------------|-------|
| Ποσοστό αδιαπέρατης επιφάνειας | 0 |
| Αριθμός Καμπύλης Απορροής-CN | 91.05 |
| Αρχικές Απώλειες | 4.99 |

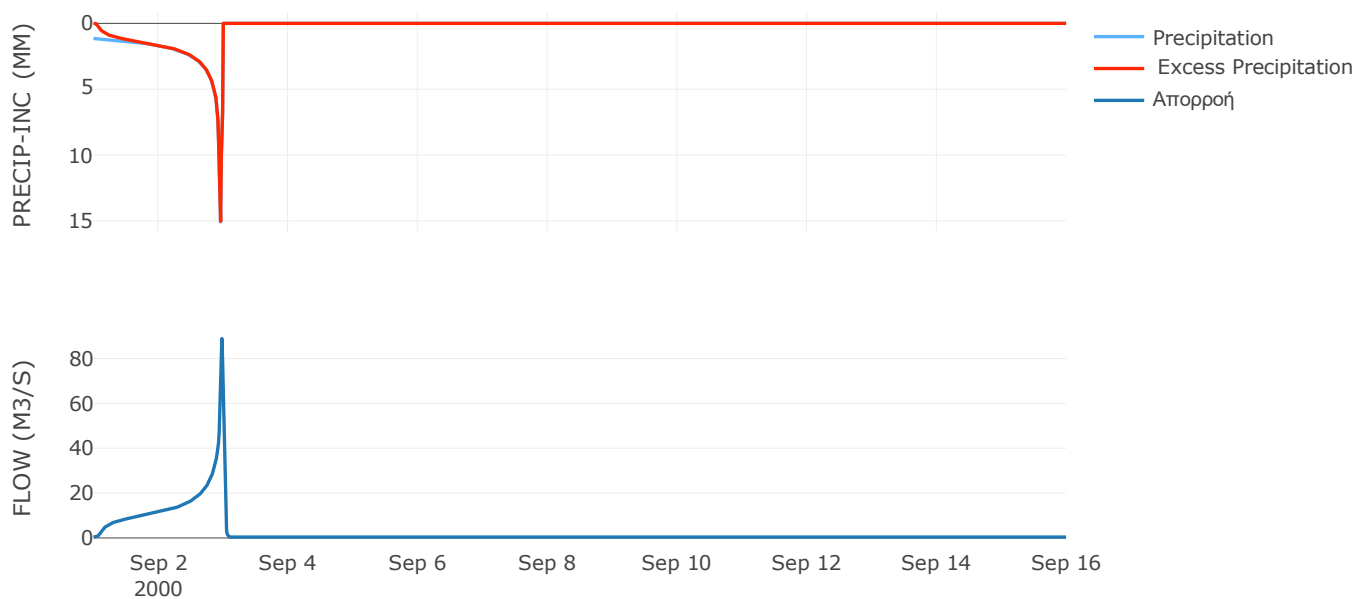
Μέθοδος
Μετασχηματισμού: SCS

| | |
|------------------|-------|
| Χρόνος Υστέρησης | 24.92 |
|------------------|-------|

Αποτελέσματα:
EL0420FR4020

| | |
|-----------------------------|------------------|
| Παροχή αιχμής (M3/S) | 88.88 |
| Χρονική στιγμή αιχμής | 02Sep2000, 23:30 |
| Όγκος (MM) | 509.61 |
| Όγκος βροχόπτωσης (M3) | 2.78E6 |
| Όγκος απωλειών (M3) | 1.75E5 |
| Ενεργός Όγκος (M3) | 2.6E6 |
| Όγκος άμεσης απορροής (M3) | 2.6E6 |
| Όγκος βασικής απορροής (M3) | 5.16E5 |

Βροχόπτωση και Απορροή



Υπολεκάνη: EL0420FR4021

Έκταση (KM2) : 32.13

Κατάντη : J21

Μέθοδος Απωλειών: SCS

| | |
|--------------------------------|-------|
| Ποσοστό αδιαπέρατης επιφάνειας | 0 |
| Αριθμός Καμπύλης Απορροής-CN | 88.87 |
| Αρχικές Απώλειες | 6.36 |

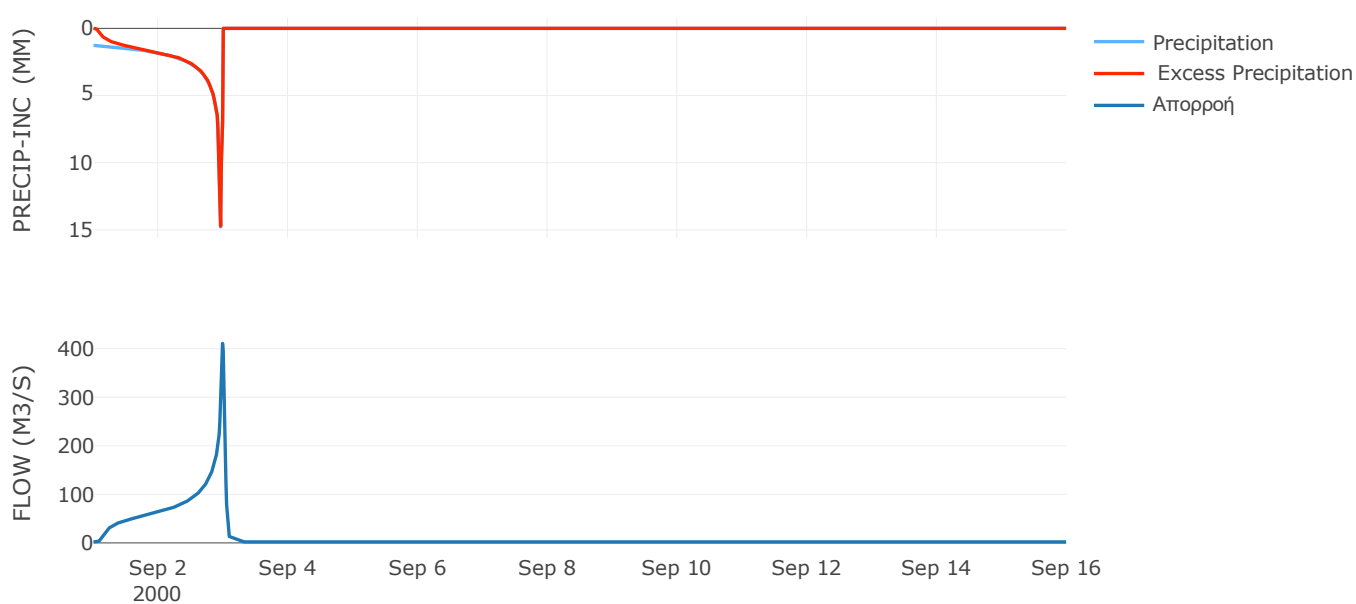
Μέθοδος
Μετασχηματισμού: SCS

| | |
|------------------|-------|
| Χρόνος Υστέρησης | 43.71 |
|------------------|-------|

Αποτελέσματα:
EL0420FR4021

| | |
|-----------------------------|------------------|
| Παροχή αιχμής (M3/S) | 410.92 |
| Χρονική στιγμή αιχμής | 02Sep2000, 23:45 |
| Όγκος (MM) | 528.85 |
| Όγκος βροχόπτωσης (M3) | 1.54E7 |
| Όγκος απωλειών (M3) | 1.16E6 |
| Ενεργός Όγκος (M3) | 1.43E7 |
| Όγκος άμεσης απορροής (M3) | 1.43E7 |
| Όγκος βασικής απορροής (M3) | 2.71E6 |

Βροχόπτωση και Απορροή



Υπολεκάνη: EL0420FR4022

Έκταση (KM2) : 15.31

Κατάνη : J21

Μέθοδος Απωλειών: SCS

| | |
|--------------------------------|-------|
| Ποσοστό αδιαπέρατης επιφάνειας | 0 |
| Αριθμός Καμπύλης Απορροής-CN | 91.04 |
| Αρχικές Απώλειες | 5 |

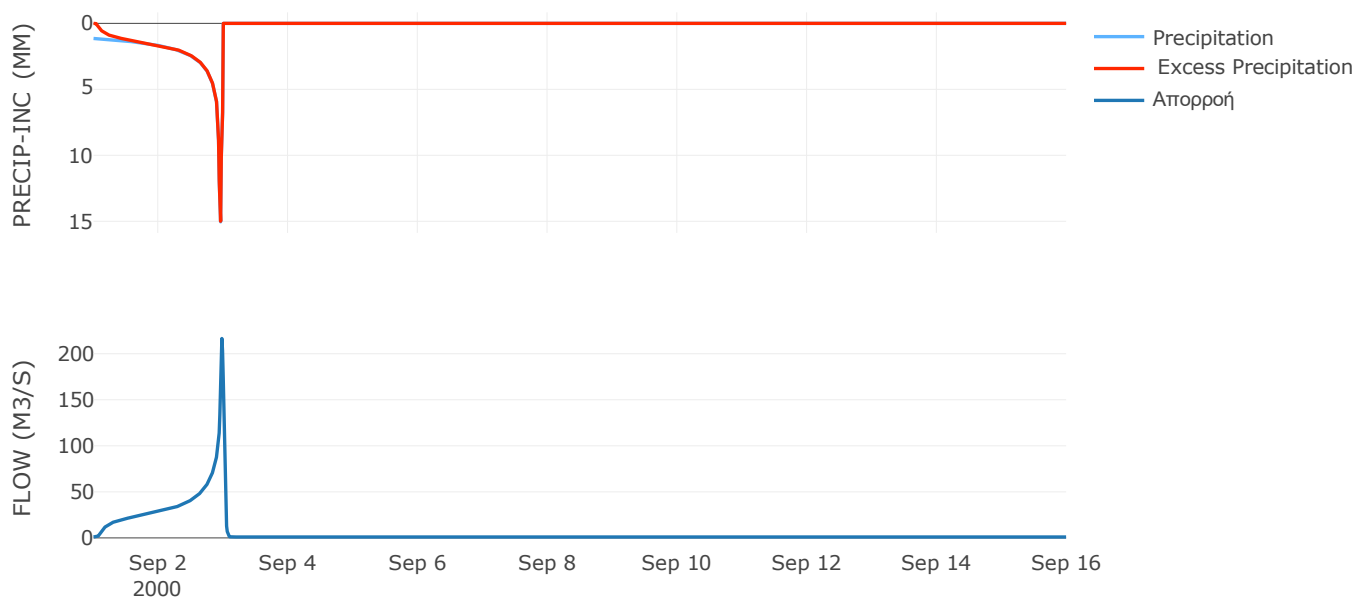
Μέθοδος
Μετασχηματισμού: SCS

| | |
|------------------|-------|
| Χρόνος Υστέρησης | 28.99 |
|------------------|-------|

Αποτελέσματα:
EL0420FR4022

| | |
|-----------------------------|------------------|
| Παροχή αιχμής (M3/S) | 216.52 |
| Χρονική στιγμή αιχμής | 02Sep2000, 23:30 |
| Όγκος (MM) | 508.18 |
| Όγκος βροχόπτωσης (M3) | 6.93E6 |
| Όγκος απωλειών (M3) | 4.39E5 |
| Ενεργός Όγκος (M3) | 6.49E6 |
| Όγκος άμεσης απορροής (M3) | 6.49E6 |
| Όγκος βασικής απορροής (M3) | 1.29E6 |

Βροχόπτωση και Απορροή



Υπολεκάνη: EL0420FR4023

Έκταση (KM2) : 11.12

Κατάντη : J22

Μέθοδος Απωλειών: SCS

| | |
|--------------------------------|-------|
| Ποσοστό αδιαπέρατης επιφάνειας | 0 |
| Αριθμός Καμπύλης Απορροής-CN | 82.66 |
| Αρχικές Απώλειες | 10.65 |

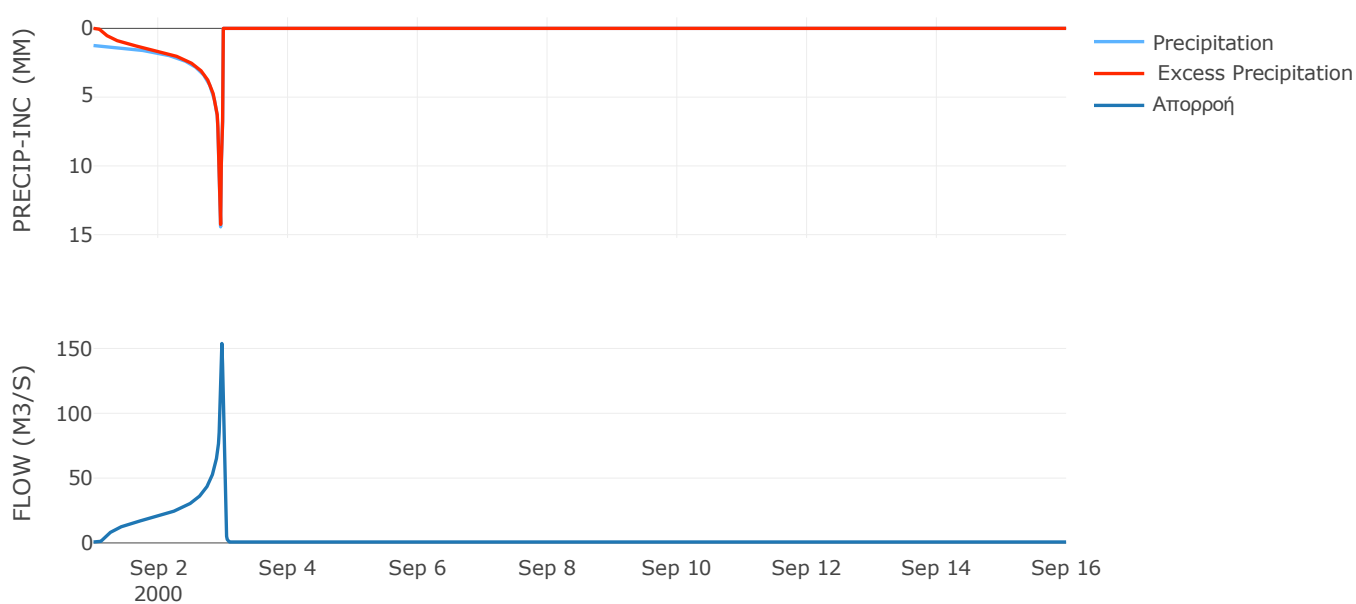
Μέθοδος
Μετασχηματισμού: SCS

| | |
|------------------|-------|
| Χρόνος Υστέρησης | 23.92 |
|------------------|-------|

Αποτελέσματα:
EL0420FR4023

| | |
|-----------------------------|------------------|
| Παροχή αιχμής (M3/S) | 153.84 |
| Χρονική στιγμή αιχμής | 02Sep2000, 23:30 |
| Όγκος (MM) | 498.71 |
| Όγκος βροχόπτωσης (M3) | 5.26E6 |
| Όγκος απωλειών (M3) | 6.49E5 |
| Ενεργός Όγκος (M3) | 4.61E6 |
| Όγκος άμεσης απορροής (M3) | 4.61E6 |
| Όγκος βασικής απορροής (M3) | 9.36E5 |

Βροχόπτωση και Απορροή



| | |
|--------------------------------|-------|
| Ποσοστό αδιαπέρατης επιφάνειας | 0 |
| Αριθμός Καμπύλης Απορροής-CN | 89.22 |
| Αρχικές Απώλειες | 6.14 |

| | |
|------------------|------|
| Χρόνος Υστέρησης | 37.3 |
|------------------|------|

| | |
|-----------------------------|------------------|
| Παροχή αιχμής (M3/S) | 256.35 |
| Χρονική στιγμή αιχμής | 02Sep2000, 23:45 |
| Όγκος (MM) | 503.49 |
| Όγκος βροχόπτωσης (M3) | 8.91E6 |
| Όγκος απωλειών (M3) | 6.84E5 |
| Ενεργός Όγκος (M3) | 8.23E6 |
| Όγκος άμεσης απορροής (M3) | 8.23E6 |
| Όγκος βασικής απορροής (M3) | 1.65E6 |

The figure consists of two vertically stacked line graphs sharing a common x-axis representing time from September 1, 2000, to September 16, 2000.

The top graph displays precipitation-related metrics in millimeters (mm). The y-axis is labeled "PRECIP-INC (MM)" and ranges from 0 to 15. The legend indicates three series: "Precipitation" (light blue), "Excess Precipitation" (red), and "Απορροή" (dark blue). The "Precipitation" series starts at approximately 1 mm and remains relatively constant. The "Excess Precipitation" series starts at 0, remains at 0 until approximately September 3, 2000, then drops sharply to about 15 mm, and then returns to 0. The "Απορροή" series is not visible in this graph, likely because its values are very low.

The bottom graph displays flow in cubic meters per second (M3/S). The y-axis is labeled "FLOW (M3/S)" and ranges from 0 to 200. The legend indicates three series: "Precipitation" (light blue), "Excess Precipitation" (red), and "Απορροή" (dark blue). The "Precipitation" series starts at 0, rises to a peak of approximately 250 M3/S around September 3, 2000, and then returns to 0. The "Excess Precipitation" series is not visible in this graph, likely because its values are very low. The "Απορροή" series is not visible in this graph, likely because its values are very low.

Υπολεκάνη: EL0420FR4025

Έκταση (KM2) : 67.33

Κατάντη : J16

Μέθοδος Απωλειών: SCS

| | |
|--------------------------------|-------|
| Ποσοστό αδιαπέρατης επιφάνειας | 0 |
| Αριθμός Καμπύλης Απορροής-CN | 90.07 |
| Αρχικές Απώλειες | 5.6 |

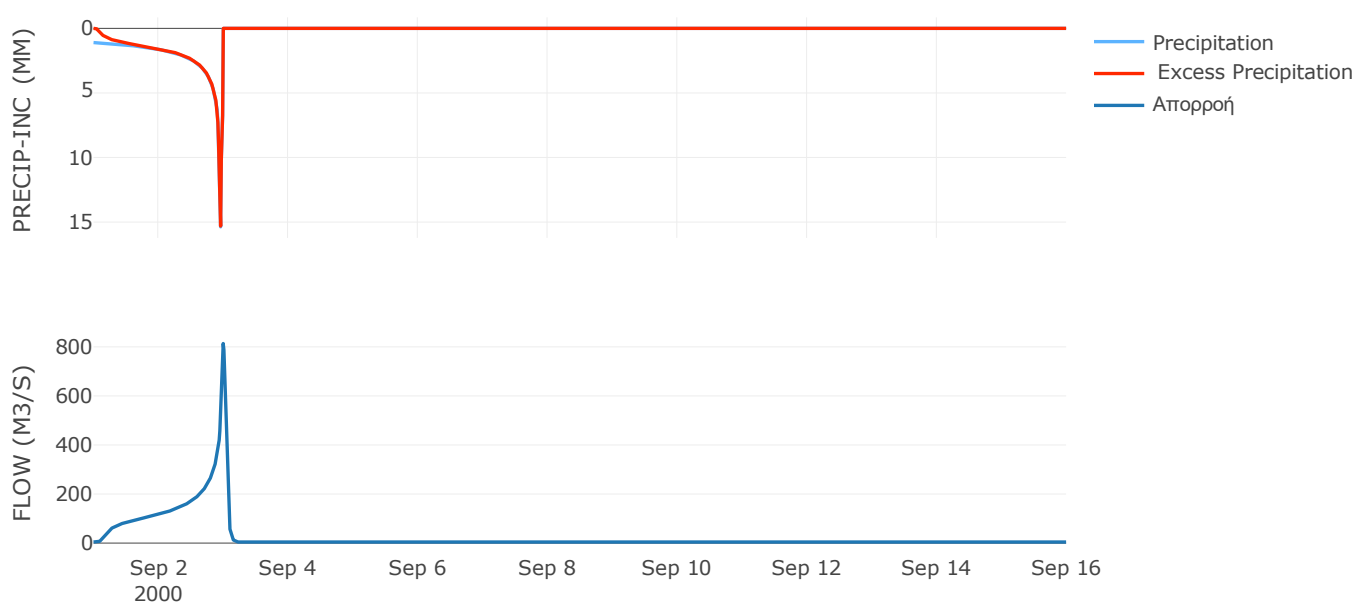
Μέθοδος
Μετασχηματισμού: SCS

| | |
|------------------|-------|
| Χρόνος Υστέρησης | 60.28 |
|------------------|-------|

Αποτελέσματα:
EL0420FR4025

| | |
|-----------------------------|------------------|
| Παροχή αιχμής (M3/S) | 813.62 |
| Χρονική στιγμή αιχμής | 02Sep2000, 24:00 |
| Όγκος (MM) | 496.72 |
| Όγκος βροχόπτωσης (M3) | 2.99E7 |
| Όγκος απωλειών (M3) | 2.15E6 |
| Ενεργός Όγκος (M3) | 2.78E7 |
| Όγκος άμεσης απορροής (M3) | 2.78E7 |
| Όγκος βασικής απορροής (M3) | 5.67E6 |

Βροχόπτωση και Απορροή



Υπολεκάνη: EL0420FR4026

Έκταση (KM2) : 8.76

Κατάνη : J15

Μέθοδος Απωλειών: SCS

| | |
|--------------------------------|-------|
| Ποσοστό αδιαπέρατης επιφάνειας | 0 |
| Αριθμός Καμπύλης Απορροής-CN | 78.8 |
| Αρχικές Απώλειες | 13.67 |

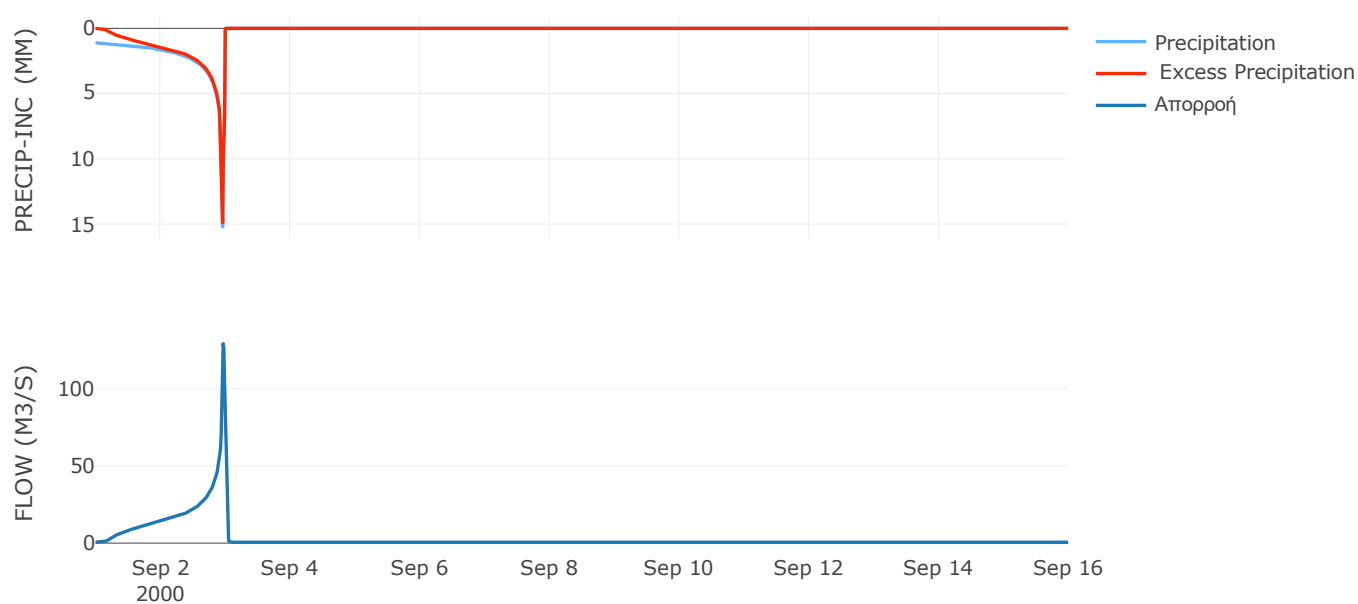
Μέθοδος
Μετασχηματισμού: SCS

| | |
|------------------|-------|
| Χρόνος Υστέρησης | 18.67 |
|------------------|-------|

Αποτελέσματα:
EL0420FR4026

| | |
|-----------------------------|------------------|
| Παροχή αιχμής (M3/S) | 129.16 |
| Χρονική στιγμή αιχμής | 02Sep2000, 23:15 |
| Όγκος (MM) | 455.33 |
| Όγκος βροχόπτωσης (M3) | 3.89E6 |
| Όγκος απωλειών (M3) | 6.36E5 |
| Ενεργός Όγκος (M3) | 3.25E6 |
| Όγκος άμεσης απορροής (M3) | 3.25E6 |
| Όγκος βασικής απορροής (M3) | 7.38E5 |

Βροχόπτωση και Απορροή



Υπολεκάνη: EL0420FR4027

Έκταση (KM2) : 13.94

Κατάντη : J29

Μέθοδος Απωλειών: SCS

| | |
|--------------------------------|-------|
| Ποσοστό αδιαπέρατης επιφάνειας | 0 |
| Αριθμός Καμπύλης Απορροής-CN | 82.51 |
| Αρχικές Απώλειες | 10.77 |

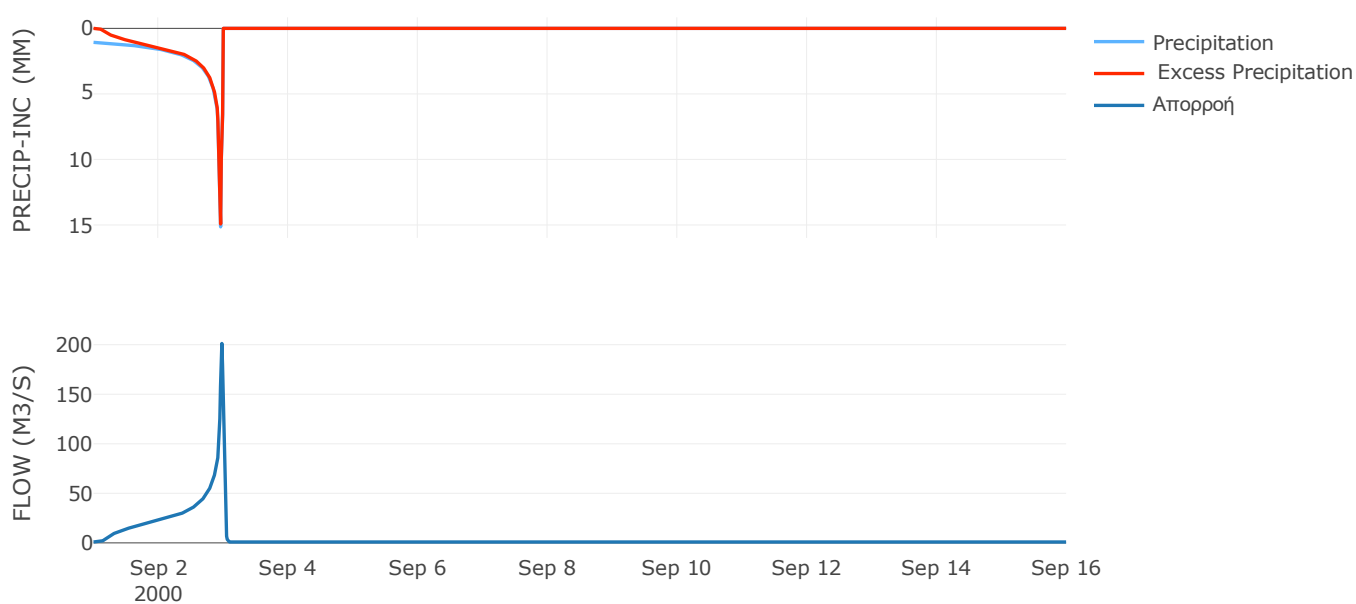
Μέθοδος
Μετασχηματισμού: SCS

| | |
|------------------|-------|
| Χρόνος Υστέρησης | 24.36 |
|------------------|-------|

Αποτελέσματα:
EL0420FR4027

| | |
|-----------------------------|------------------|
| Παροχή αιχμής (M3/S) | 201.24 |
| Χρονική στιγμή αιχμής | 02Sep2000, 23:30 |
| Όγκος (MM) | 459.48 |
| Όγκος βροχόπτωσης (M3) | 6.05E6 |
| Όγκος απωλειών (M3) | 8.16E5 |
| Ενεργός Όγκος (M3) | 5.23E6 |
| Όγκος άμεσης απορροής (M3) | 5.23E6 |
| Όγκος βασικής απορροής (M3) | 1.17E6 |

Βροχόπτωση και Απορροή



Υπολεκάνη: EL0420FR4028

Έκταση (KM2) : 17.93

Κατάντη : J29

Μέθοδος Απωλειών: SCS

| | |
|--------------------------------|-------|
| Ποσοστό αδιαπέρατης επιφάνειας | 0 |
| Αριθμός Καμπύλης Απορροής-CN | 89.57 |
| Αρχικές Απώλειες | 5.91 |

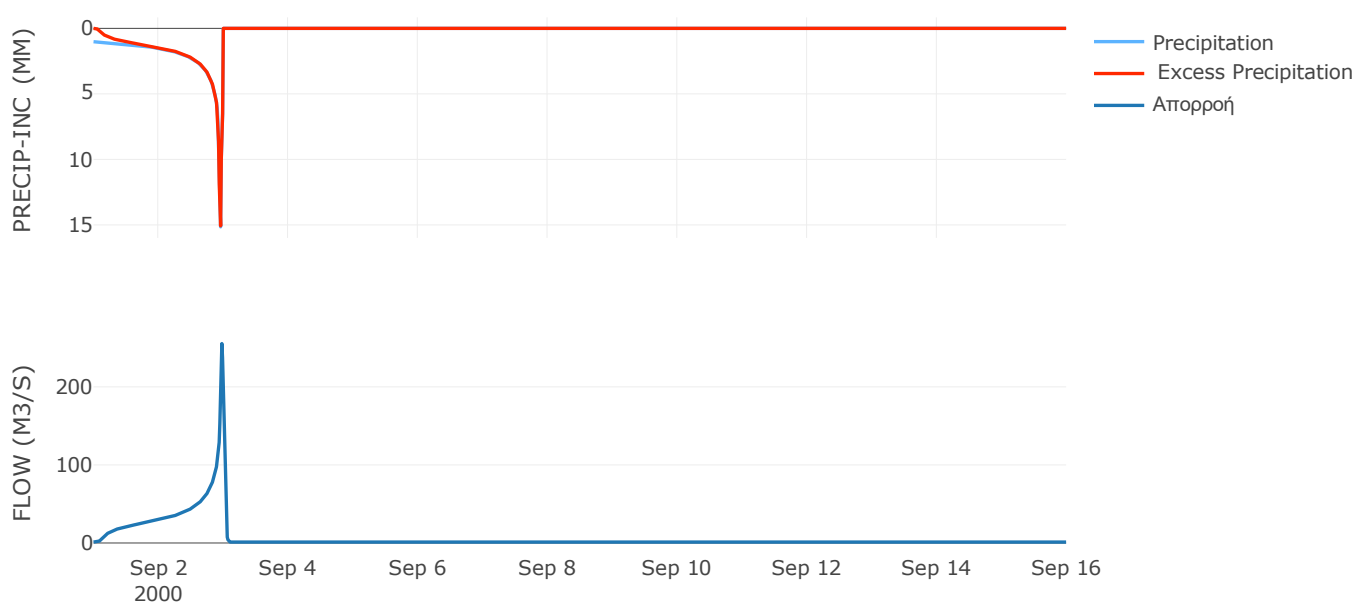
Μέθοδος
Μετασχηματισμού: SCS

| | |
|------------------|-------|
| Χρόνος Υστέρησης | 28.52 |
|------------------|-------|

Αποτελέσματα:
EL0420FR4028

| | |
|-----------------------------|------------------|
| Παροχή αιχμής (M3/S) | 255.45 |
| Χρονική στιγμή αιχμής | 02Sep2000, 23:30 |
| Όγκος (MM) | 472.12 |
| Όγκος βροχόπτωσης (M3) | 7.55E6 |
| Όγκος απωλειών (M3) | 6.01E5 |
| Ενεργός Όγκος (M3) | 6.95E6 |
| Όγκος άμεσης απορροής (M3) | 6.95E6 |
| Όγκος βασικής απορροής (M3) | 1.51E6 |

Βροχόπτωση και Απορροή



Υπολεκάνη: EL0420FR4029

Έκταση (KM2) : 31.51

Κατάντη : J28

Μέθοδος Απωλειών: SCS

| | |
|--------------------------------|-------|
| Ποσοστό αδιαπέρατης επιφάνειας | 0 |
| Αριθμός Καμπύλης Απορροής-CN | 74.1 |
| Αρχικές Απώλειες | 17.76 |

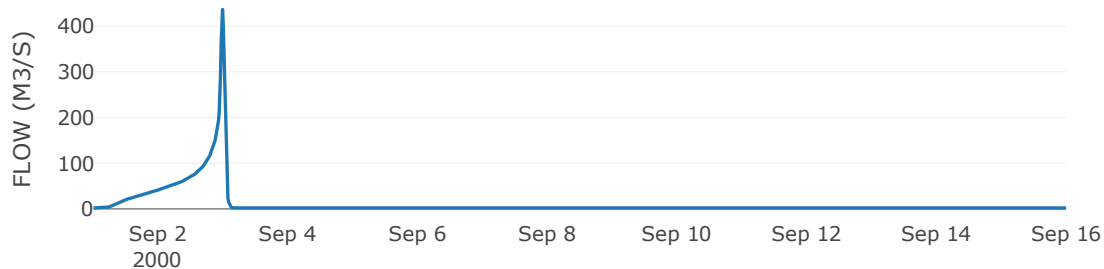
Μέθοδος
Μετασχηματισμού: SCS

| | |
|------------------|------|
| Χρόνος Υστέρησης | 40.1 |
|------------------|------|

Αποτελέσματα:
EL0420FR4029

| | |
|-----------------------------|------------------|
| Παροχή αιχμής (M3/S) | 436.62 |
| Χρονική στιγμή αιχμής | 02Sep2000, 23:45 |
| Όγκος (MM) | 425.52 |
| Όγκος βροχόπτωσης (M3) | 1.36E7 |
| Όγκος απωλειών (M3) | 2.86E6 |
| Ενεργός Όγκος (M3) | 1.08E7 |
| Όγκος άμεσης απορροής (M3) | 1.08E7 |
| Όγκος βασικής απορροής (M3) | 2.65E6 |

Βροχόπτωση και Απορροή



Υπολεκάνη: EL0420FR4030

Έκταση (KM2) : 11.42

Κατάντη : J28

Μέθοδος Απωλειών: SCS

| | |
|--------------------------------|-------|
| Ποσοστό αδιαπέρατης επιφάνειας | 0 |
| Αριθμός Καμπύλης Απορροής-CN | 79.07 |
| Αρχικές Απώλειες | 13.44 |

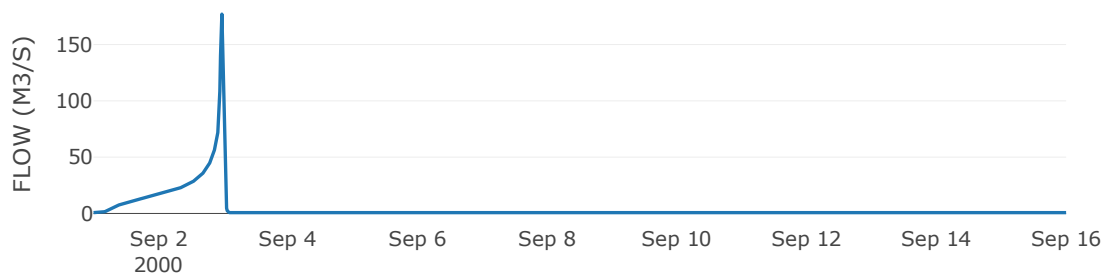
Μέθοδος
Μετασχηματισμού: SCS

| | |
|------------------|-------|
| Χρόνος Υστέρησης | 22.94 |
|------------------|-------|

Αποτελέσματα:
EL0420FR4030

| | |
|-----------------------------|------------------|
| Παροχή αιχμής (M3/S) | 176.98 |
| Χρονική στιγμή αιχμής | 02Sep2000, 23:30 |
| Όγκος (MM) | 445.94 |
| Όγκος βροχόπτωσης (M3) | 4.95E6 |
| Όγκος απωλειών (M3) | 8.15E5 |
| Ενεργός Όγκος (M3) | 4.13E6 |
| Όγκος άμεσης απορροής (M3) | 4.13E6 |
| Όγκος βασικής απορροής (M3) | 9.62E5 |

Βροχόπτωση και Απορροή



Υπολεκάνη: EL0420FR4031

Έκταση (KM2) : 2.28

Κατάντη : J27

Μέθοδος Απωλειών: SCS

| | |
|--------------------------------|-------|
| Ποσοστό αδιαπέρατης επιφάνειας | 0 |
| Αριθμός Καμπύλης Απορροής-CN | 83.99 |
| Αρχικές Απώλειες | 9.69 |

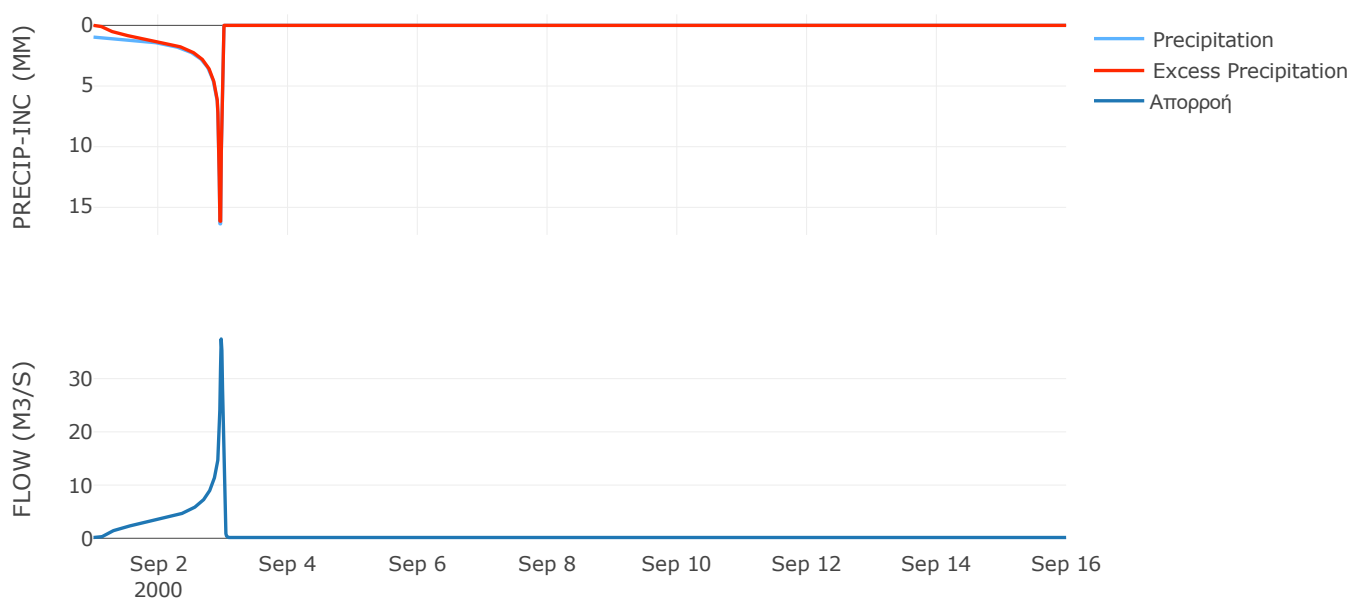
Μέθοδος
Μετασχηματισμού: SCS

| | |
|------------------|-------|
| Χρόνος Υστέρησης | 17.25 |
|------------------|-------|

Αποτελέσματα:
EL0420FR4031

| | |
|-----------------------------|------------------|
| Παροχή αιχμής (M3/S) | 37.46 |
| Χρονική στιγμή αιχμής | 02Sep2000, 23:15 |
| Όγκος (MM) | 450.87 |
| Όγκος βροχόπτωσης (M3) | 9.58E5 |
| Όγκος απωλειών (M3) | 1.21E5 |
| Ενεργός Όγκος (M3) | 8.37E5 |
| Όγκος άμεσης απορροής (M3) | 8.37E5 |
| Όγκος βασικής απορροής (M3) | 1.92E5 |

Βροχόπτωση και Απορροή



Υπολεκάνη: EL0420FR4032

Έκταση (KM2) : 20.34

Κατάντη : J27

Μέθοδος Απωλειών: SCS

| | |
|--------------------------------|-------|
| Ποσοστό αδιαπέρατης επιφάνειας | 0 |
| Αριθμός Καμπύλης Απορροής-CN | 77.87 |
| Αρχικές Απώλειες | 14.44 |

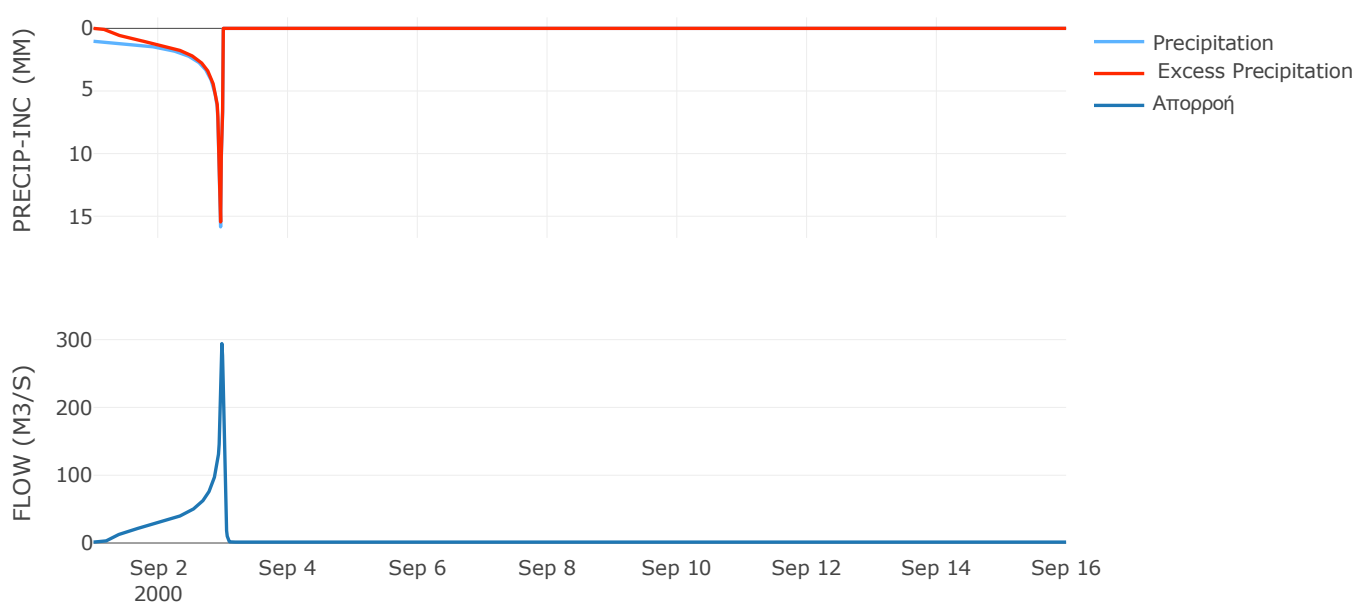
Μέθοδος
Μετασχηματισμού: SCS

| | |
|------------------|-------|
| Χρόνος Υστέρησης | 29.65 |
|------------------|-------|

Αποτελέσματα:
EL0420FR4032

| | |
|-----------------------------|------------------|
| Παροχή αιχμής (M3/S) | 294.16 |
| Χρονική στιγμή αιχμής | 02Sep2000, 23:30 |
| Όγκος (MM) | 439.87 |
| Όγκος βροχόπτωσης (M3) | 8.78E6 |
| Όγκος απωλειών (M3) | 1.55E6 |
| Ενεργός Όγκος (M3) | 7.23E6 |
| Όγκος άμεσης απορροής (M3) | 7.23E6 |
| Όγκος βασικής απορροής (M3) | 1.71E6 |

Βροχόπτωση και Απορροή



Υπολεκάνη: EL0420FR4033

Έκταση (KM2) : 42.85

Κατάντη : J8

Μέθοδος Απωλειών: SCS

| | |
|--------------------------------|-------|
| Ποσοστό αδιαπέρατης επιφάνειας | 0 |
| Αριθμός Καμπύλης Απορροής-CN | 78.13 |
| Αρχικές Απώλειες | 14.22 |

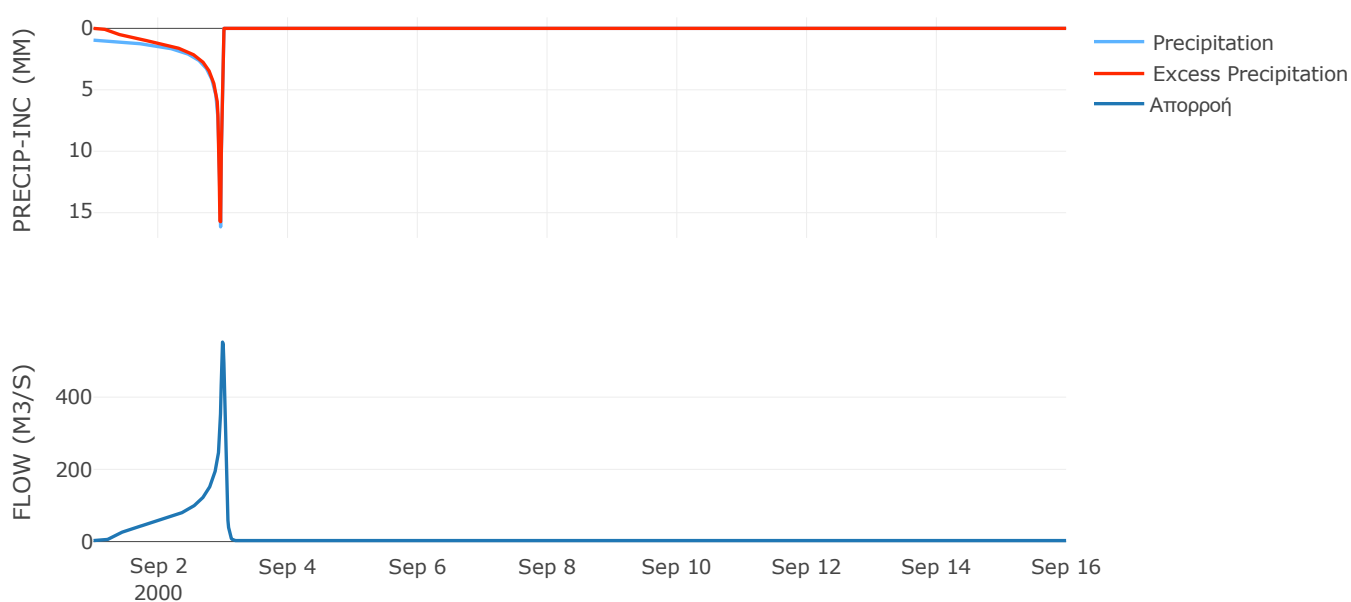
Μέθοδος
Μετασχηματισμού: SCS

| | |
|------------------|-------|
| Χρόνος Υστέρησης | 48.96 |
|------------------|-------|

Αποτελέσματα:
EL0420FR4033

| | |
|-----------------------------|------------------|
| Παροχή αιχμής (M3/S) | 552.45 |
| Χρονική στιγμή αιχμής | 02Sep2000, 23:45 |
| Όγκος (MM) | 424.74 |
| Όγκος βροχόπτωσης (M3) | 1.78E7 |
| Όγκος απωλειών (M3) | 3.2E6 |
| Ενεργός Όγκος (M3) | 1.46E7 |
| Όγκος άμεσης απορροής (M3) | 1.46E7 |
| Όγκος βασικής απορροής (M3) | 3.61E6 |

Βροχόπτωση και Απορροή



Υπολεκάνη: EL0420FR4034

Έκταση (KM2) : 46.4

Κατάντη : J6

Μέθοδος Απωλειών: SCS

| | |
|--------------------------------|-------|
| Ποσοστό αδιαπέρατης επιφάνειας | 0 |
| Αριθμός Καμπύλης Απορροής-CN | 76.76 |
| Αρχικές Απώλειες | 15.38 |

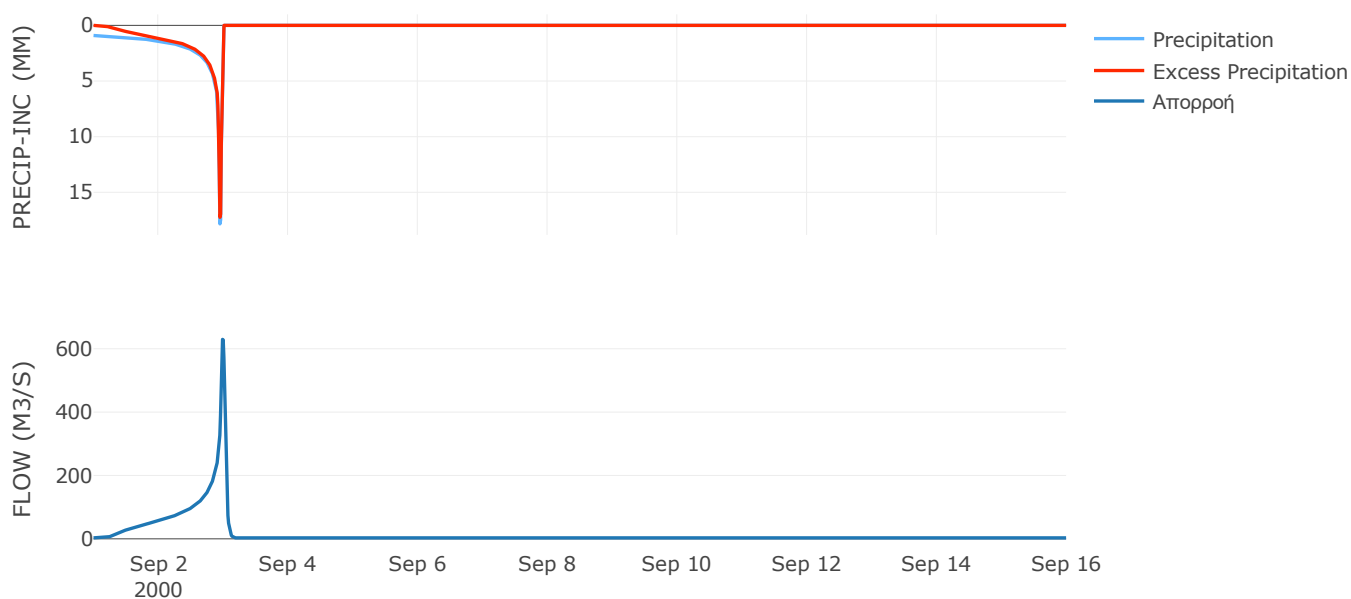
Μέθοδος
Μετασχηματισμού: SCS

| | |
|------------------|-------|
| Χρόνος Υστέρησης | 50.65 |
|------------------|-------|

Αποτελέσματα:
EL0420FR4034

| | |
|-----------------------------|------------------|
| Παροχή αιχμής (M3/S) | 629.54 |
| Χρονική στιγμή αιχμής | 02Sep2000, 23:45 |
| Όγκος (MM) | 418.02 |
| Όγκος βροχόπτωσης (M3) | 1.92E7 |
| Όγκος απωλειών (M3) | 3.7E6 |
| Ενεργός Όγκος (M3) | 1.55E7 |
| Όγκος άμεσης απορροής (M3) | 1.55E7 |
| Όγκος βασικής απορροής (M3) | 3.91E6 |

Βροχόπτωση και Απορροή



Υπολεκάνη: EL0420FR4035

Έκταση (KM2) : 12.2

Κατάντη : J19

Μέθοδος Απωλειών: SCS

| | |
|--------------------------------|-------|
| Ποσοστό αδιαπέρατης επιφάνειας | 0 |
| Αριθμός Καμπύλης Απορροής-CN | 91.11 |
| Αρχικές Απώλειες | 4.96 |

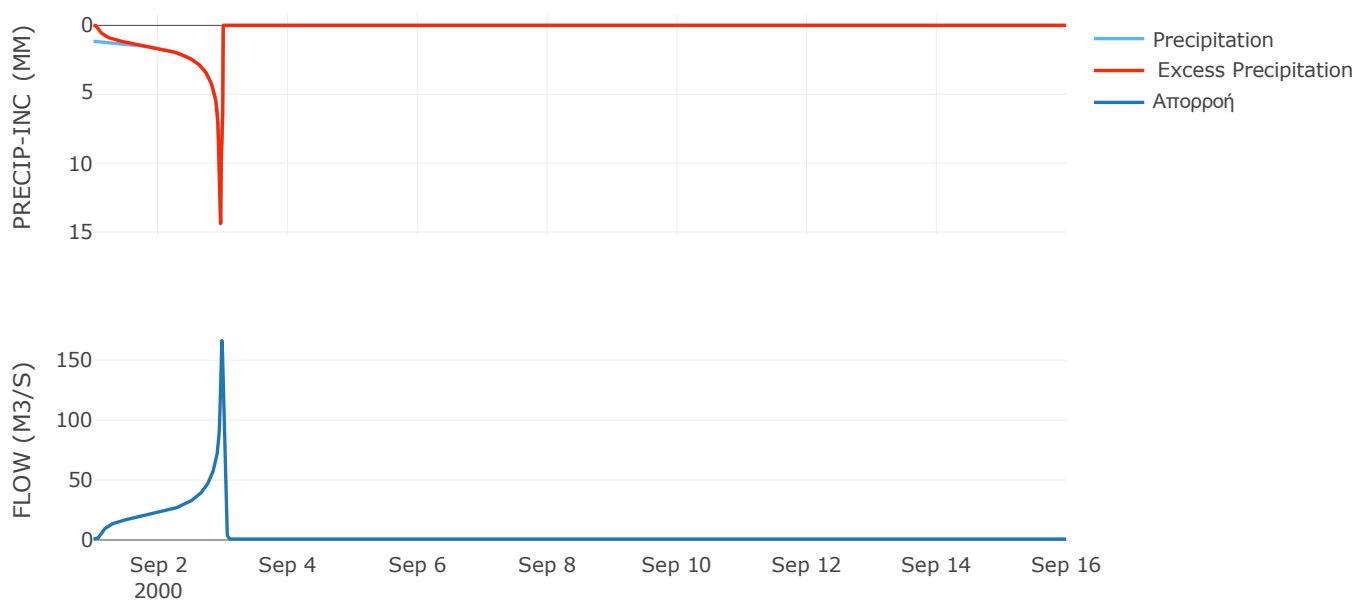
Μέθοδος
Μετασχηματισμού: SCS

| | |
|------------------|-------|
| Χρόνος Υστέρησης | 28.16 |
|------------------|-------|

Αποτελέσματα:
EL0420FR4035

| | |
|-----------------------------|------------------|
| Παροχή αιχμής (M3/S) | 166.38 |
| Χρονική στιγμή αιχμής | 02Sep2000, 23:30 |
| Όγκος (MM) | 504.51 |
| Όγκος βροχόπτωσης (M3) | 5.47E6 |
| Όγκος απωλειών (M3) | 3.47E5 |
| Ενεργός Όγκος (M3) | 5.13E6 |
| Όγκος άμεσης απορροής (M3) | 5.13E6 |
| Όγκος βασικής απορροής (M3) | 1.03E6 |

Βροχόπτωση και Απορροή



Υπολεκάνη: EL0420FR4036

Έκταση (KM2) : 17.89

Κατάντη : J18

Μέθοδος Απωλειών: SCS

| | |
|--------------------------------|-------|
| Ποσοστό αδιαπέρατης επιφάνειας | 0 |
| Αριθμός Καμπύλης Απορροής-CN | 91.03 |
| Αρχικές Απώλειες | 5.01 |

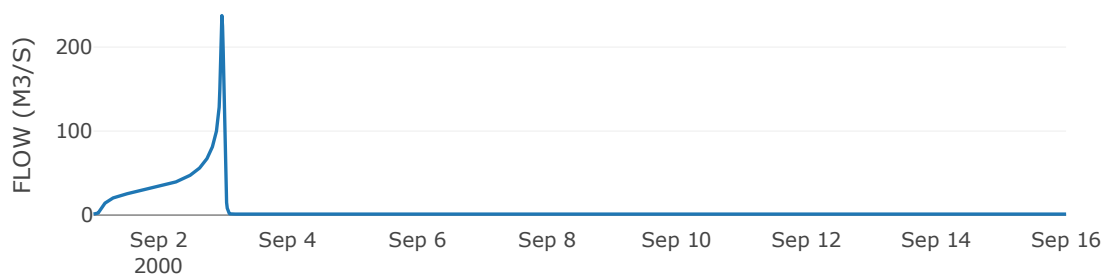
Μέθοδος
Μετασχηματισμού: SCS

| | |
|------------------|-------|
| Χρόνος Υστέρησης | 29.36 |
|------------------|-------|

Αποτελέσματα:
EL0420FR4036

| | |
|-----------------------------|------------------|
| Παροχή αιχμής (M3/S) | 237.47 |
| Χρονική στιγμή αιχμής | 02Sep2000, 23:30 |
| Όγκος (MM) | 505.09 |
| Όγκος βροχόπτωσης (M3) | 8.04E6 |
| Όγκος απωλειών (M3) | 5.14E5 |
| Ενεργός Όγκος (M3) | 7.53E6 |
| Όγκος άμεσης απορροής (M3) | 7.53E6 |
| Όγκος βασικής απορροής (M3) | 1.51E6 |

Βροχόπτωση και Απορροή



Υπολεκάνη: EL0420FR4037

Έκταση (KM2) : 37.96

Κατάληξη : J17

Μέθοδος Απωλειών: SCS

| | |
|--------------------------------|-------|
| Ποσοστό αδιαπέρατης επιφάνειας | 0 |
| Αριθμός Καμπύλης Απορροής-CN | 90.55 |
| Αρχικές Απώλειες | 5.3 |

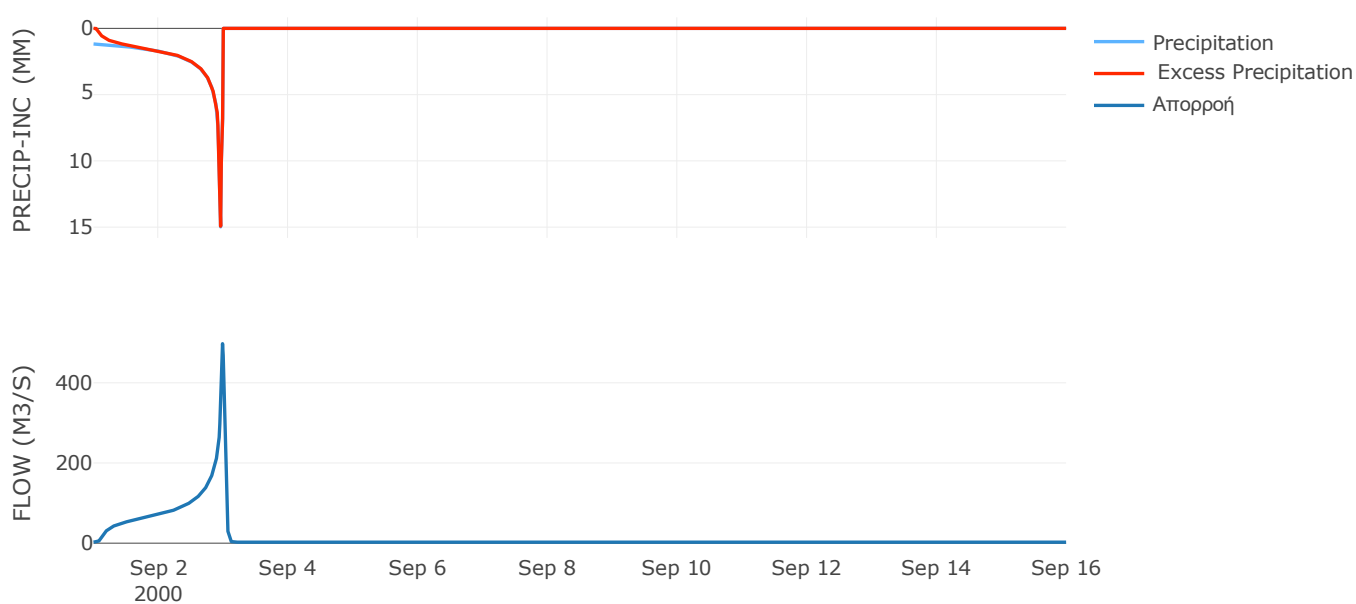
Μέθοδος
Μετασχηματισμού: SCS

| | |
|------------------|------|
| Χρόνος Υστέρησης | 40.5 |
|------------------|------|

Αποτελέσματα:
EL0420FR4037

| | |
|-----------------------------|------------------|
| Παροχή αιχμής (M3/S) | 497.54 |
| Χρονική στιγμή αιχμής | 02Sep2000, 23:45 |
| Όγκος (MM) | 514.65 |
| Όγκος βροχόπτωσης (M3) | 1.75E7 |
| Όγκος απωλειών (M3) | 1.15E6 |
| Ενεργός Όγκος (M3) | 1.63E7 |
| Όγκος άμεσης απορροής (M3) | 1.63E7 |
| Όγκος βασικής απορροής (M3) | 3.2E6 |

Βροχόπτωση και Απορροή



Υπολεκάνη: EL0420FR4038

Έκταση (KM2) : 11.75

Κατάληξη : J15

Μέθοδος Απωλειών: SCS

| | |
|--------------------------------|-------|
| Ποσοστό αδιαπέρατης επιφάνειας | 0 |
| Αριθμός Καμπύλης Απορροής-CN | 83.25 |
| Αρχικές Απώλειες | 10.22 |

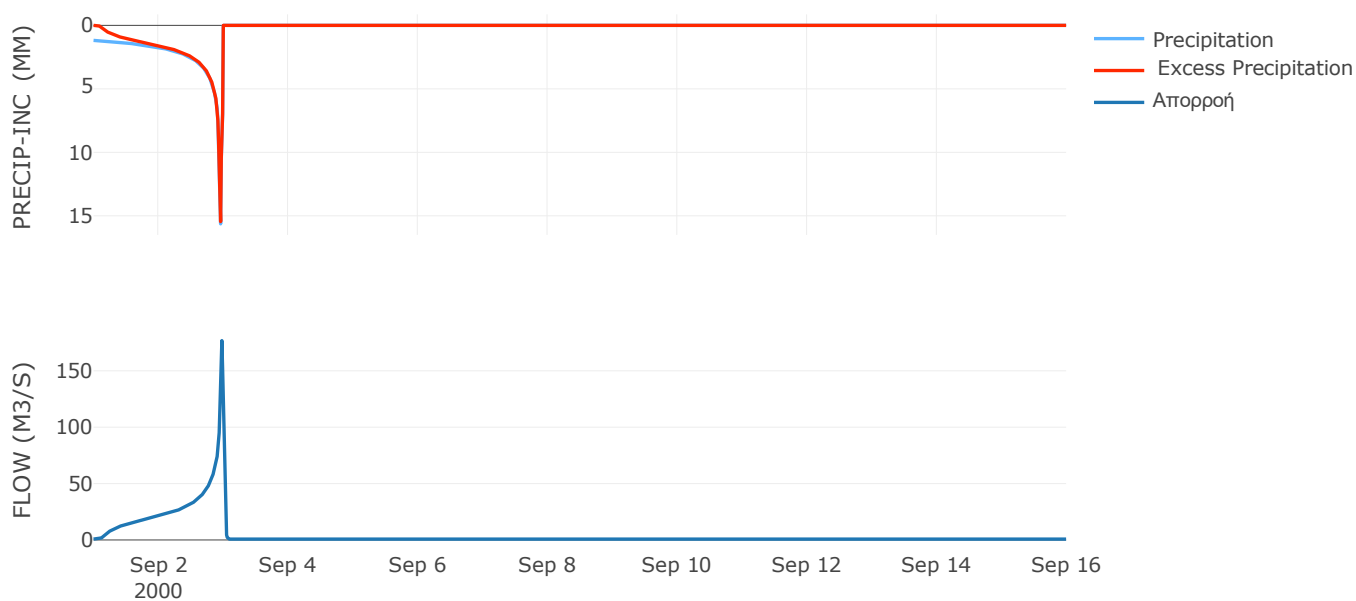
Μέθοδος
Μετασχηματισμού: SCS

| | |
|------------------|-------|
| Χρόνος Υστέρησης | 22.28 |
|------------------|-------|

Αποτελέσματα:
EL0420FR4038

| | |
|-----------------------------|------------------|
| Παροχή αιχμής (M3/S) | 176.8 |
| Χρονική στιγμή αιχμής | 02Sep2000, 23:30 |
| Όγκος (MM) | 497.2 |
| Όγκος βροχόπτωσης (M3) | 5.51E6 |
| Όγκος απωλειών (M3) | 6.6E5 |
| Ενεργός Όγκος (M3) | 4.85E6 |
| Όγκος άμεσης απορροής (M3) | 4.85E6 |
| Όγκος βασικής απορροής (M3) | 9.9E5 |

Βροχόπτωση και Απορροή



Υπολεκάνη: EL0420FR4039

Έκταση (KM2) : 21.53

Κατάντη : J23

Μέθοδος Απωλειών: SCS

| | |
|--------------------------------|-------|
| Ποσοστό αδιαπέρατης επιφάνειας | 0 |
| Αριθμός Καμπύλης Απορροής-CN | 85.67 |
| Αρχικές Απώλειες | 8.5 |

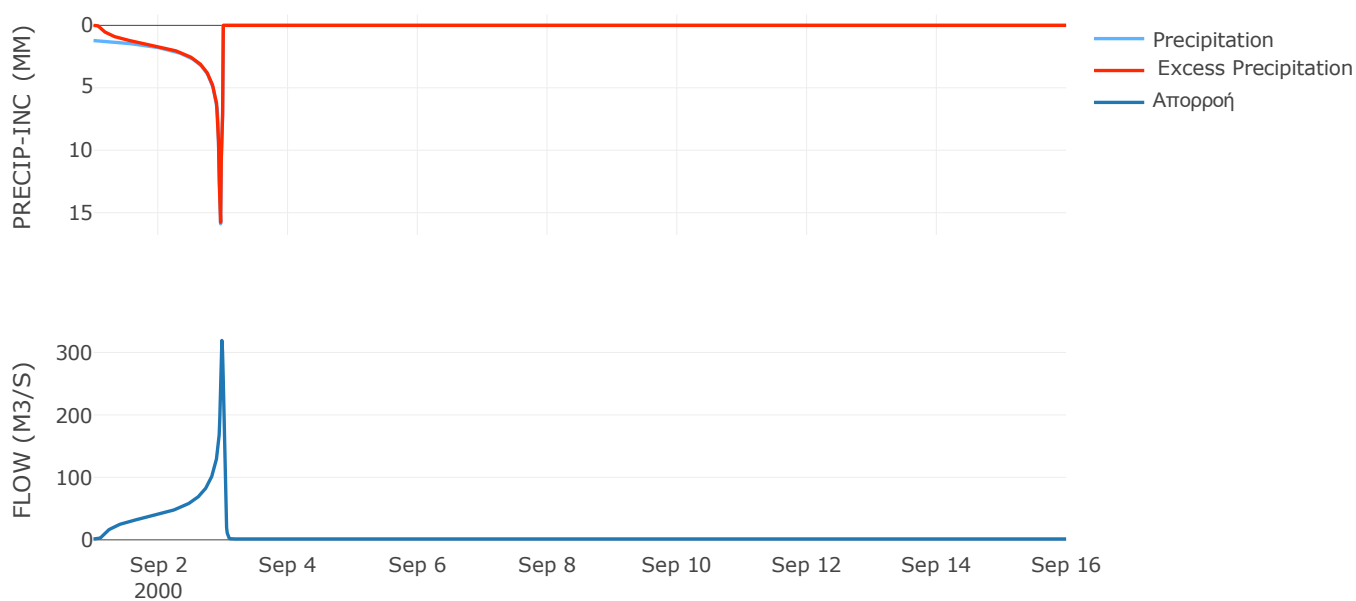
Μέθοδος
Μετασχηματισμού: SCS

| | |
|------------------|-------|
| Χρόνος Υστέρησης | 29.41 |
|------------------|-------|

Αποτελέσματα:
EL0420FR4039

| | |
|-----------------------------|------------------|
| Παροχή αιχμής (M3/S) | 319.23 |
| Χρονική στιγμή αιχμής | 02Sep2000, 23:30 |
| Όγκος (MM) | 517.12 |
| Όγκος βροχόπτωσης (M3) | 1.03E7 |
| Όγκος απωλειών (M3) | 1.02E6 |
| Ενεργός Όγκος (M3) | 9.32E6 |
| Όγκος άμεσης απορροής (M3) | 9.32E6 |
| Όγκος βασικής απορροής (M3) | 1.81E6 |

Βροχόπτωση και Απορροή



Υπολεκάνη: EL0420FR4040

Έκταση (KM2) : 34.79

Κατάντη : J12

Μέθοδος Απωλειών: SCS

| | |
|--------------------------------|-------|
| Ποσοστό αδιαπέρατης επιφάνειας | 0 |
| Αριθμός Καμπύλης Απορροής-CN | 77.01 |
| Αρχικές Απώλειες | 15.16 |

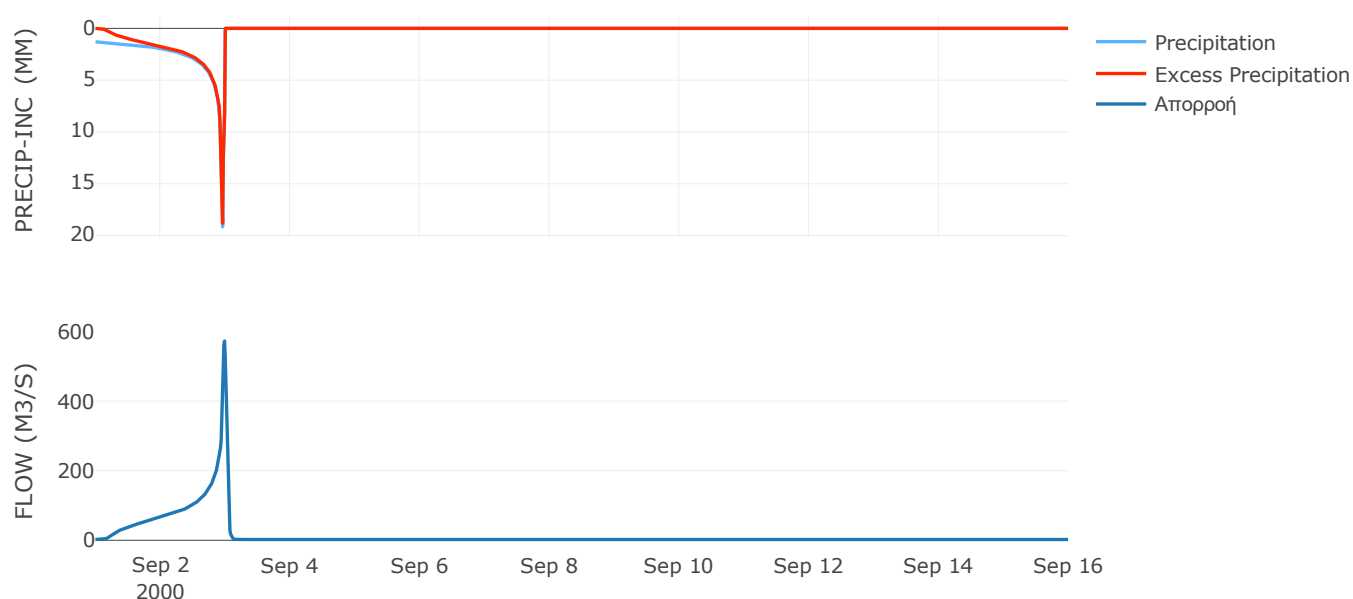
Μέθοδος
Μετασχηματισμού: SCS

| | |
|------------------|------|
| Χρόνος Υστέρησης | 38.9 |
|------------------|------|

Αποτελέσματα:
EL0420FR4040

| | |
|-----------------------------|------------------|
| Παροχή αιχμής (M3/S) | 572.74 |
| Χρονική στιγμή αιχμής | 02Sep2000, 23:45 |
| Όγκος (MM) | 538.34 |
| Όγκος βροχόπτωσης (M3) | 1.86E7 |
| Όγκος απωλειών (M3) | 2.83E6 |
| Ενεργός Όγκος (M3) | 1.58E7 |
| Όγκος άμεσης απορροής (M3) | 1.58E7 |
| Όγκος βασικής απορροής (M3) | 2.93E6 |

Βροχόπτωση και Απορροή



Υπολεκάνη: EL0420FR4041

Έκταση (KM2) : 17.22

Κατάνη : J25

Μέθοδος Απωλειών: SCS

| | |
|--------------------------------|-------|
| Ποσοστό αδιαπέρατης επιφάνειας | 0 |
| Αριθμός Καμπύλης Απορροής-CN | 71.25 |
| Αρχικές Απώλειες | 20.5 |

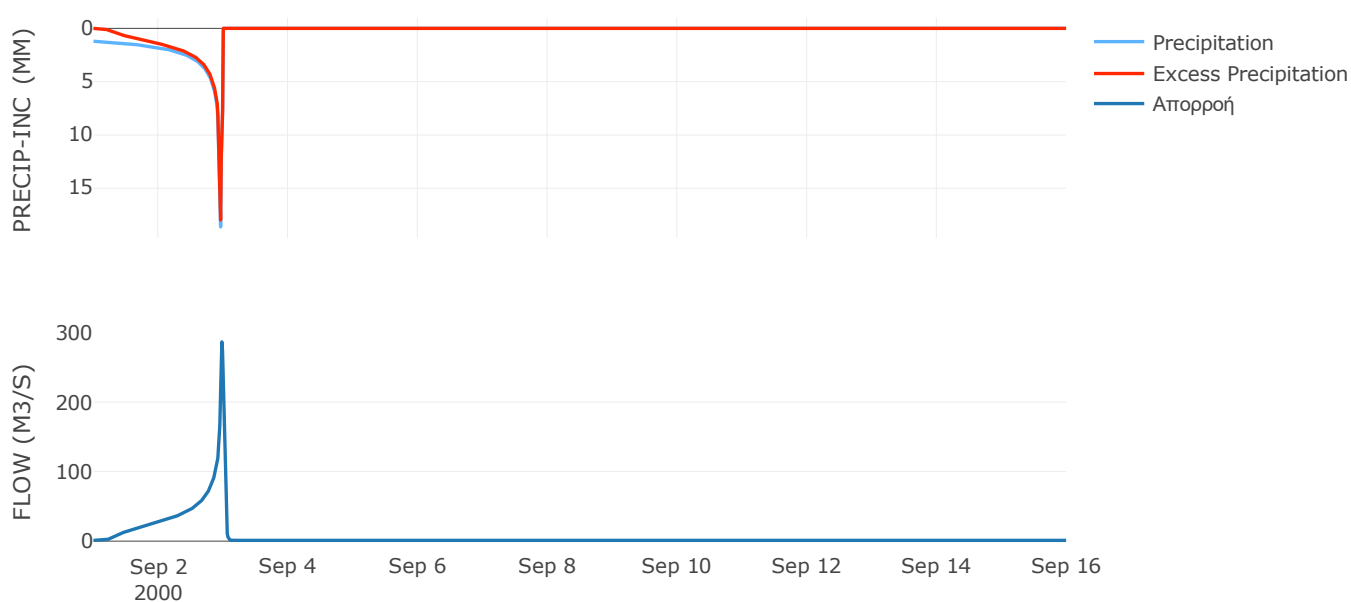
Μέθοδος
Μετασχηματισμού: SCS

| | |
|------------------|-------|
| Χρόνος Υστέρησης | 30.83 |
|------------------|-------|

Αποτελέσματα:
EL0420FR4041

| | |
|-----------------------------|------------------|
| Παροχή αιχμής (M3/S) | 286.38 |
| Χρονική στιγμή αιχμής | 02Sep2000, 23:30 |
| Όγκος (MM) | 485.45 |
| Όγκος βροχόπτωσης (M3) | 8.72E6 |
| Όγκος απωλειών (M3) | 1.81E6 |
| Ενεργός Όγκος (M3) | 6.91E6 |
| Όγκος άμεσης απορροής (M3) | 6.91E6 |
| Όγκος βασικής απορροής (M3) | 1.45E6 |

Βροχόπτωση και Απορροή



Υπολεκάνη: EL0420FR4042

Έκταση (KM2) : 21.68

Κατάντη : J25

Μέθοδος Απωλειών: SCS

| | |
|--------------------------------|-------|
| Ποσοστό αδιαπέρατης επιφάνειας | 0 |
| Αριθμός Καμπύλης Απορροής-CN | 70.35 |
| Αρχικές Απώλειες | 21.41 |

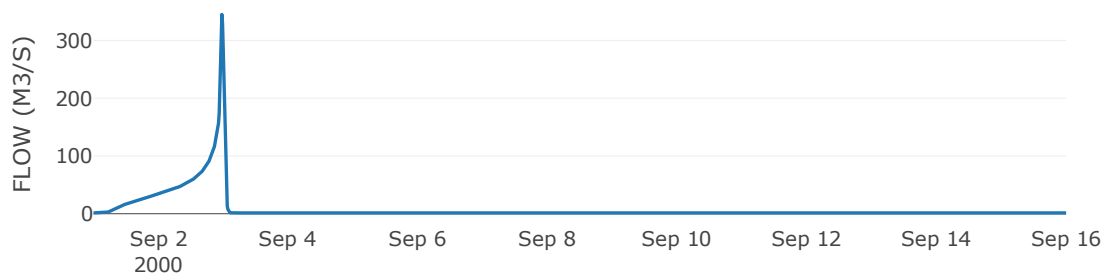
Μέθοδος
Μετασχηματισμού: SCS

| | |
|------------------|-------|
| Χρόνος Υστέρησης | 30.88 |
|------------------|-------|

Αποτελέσματα:
EL0420FR4042

| | |
|-----------------------------|------------------|
| Παροχή αιχμής (M3/S) | 345.01 |
| Χρονική στιγμή αιχμής | 02Sep2000, 23:30 |
| Όγκος (MM) | 476.14 |
| Όγκος βροχόπτωσης (M3) | 1.09E7 |
| Όγκος απωλειών (M3) | 2.36E6 |
| Ενεργός Όγκος (M3) | 8.5E6 |
| Όγκος άμεσης απορροής (M3) | 8.5E6 |
| Όγκος βασικής απορροής (M3) | 1.83E6 |

Βροχόπτωση και Απορροή



Υπολεκάνη: EL0420FR4043

Έκταση (KM2) : 13.12

Κατάντη : J24

Μέθοδος Απωλειών: SCS

| | |
|--------------------------------|-------|
| Ποσοστό αδιαπέρατης επιφάνειας | 0 |
| Αριθμός Καμπύλης Απορροής-CN | 75.66 |
| Αρχικές Απώλειες | 16.34 |

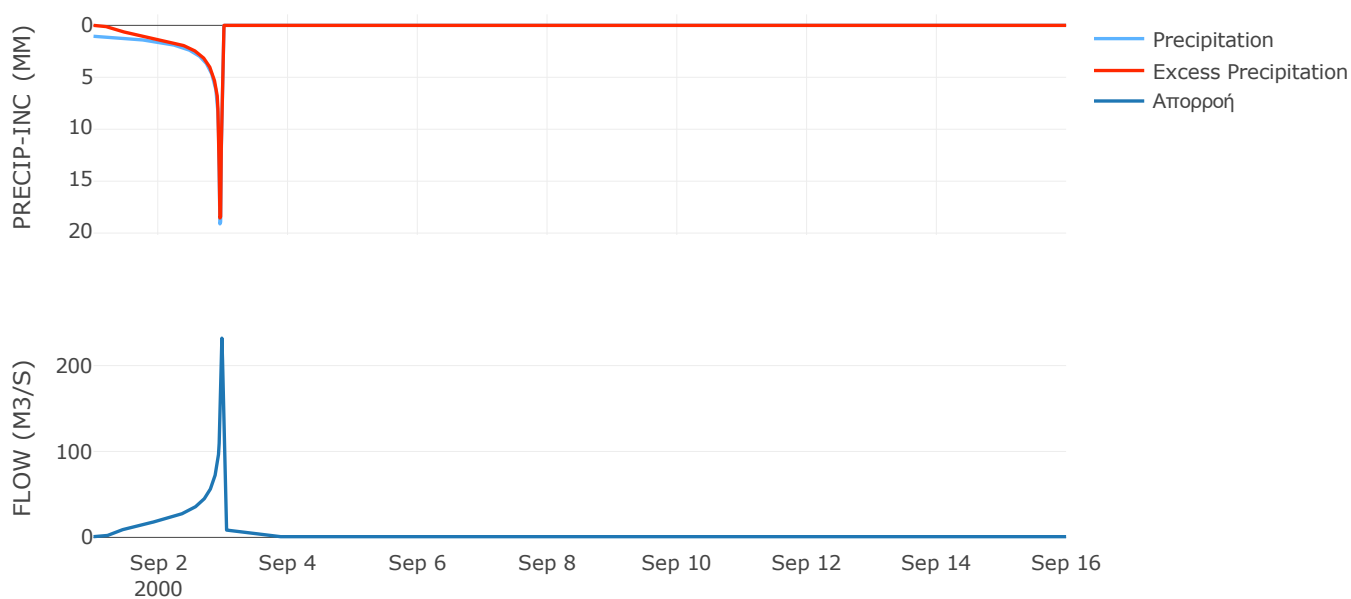
Μέθοδος
Μετασχηματισμού: SCS

| | |
|------------------|-------|
| Χρόνος Υστέρησης | 25.61 |
|------------------|-------|

Αποτελέσματα:
EL0420FR4043

| | |
|-----------------------------|------------------|
| Παροχή αιχμής (M3/S) | 231.89 |
| Χρονική στιγμή αιχμής | 02Sep2000, 23:30 |
| Όγκος (MM) | 465.34 |
| Όγκος βροχόπτωσης (M3) | 6.12E6 |
| Όγκος απωλειών (M3) | 1.12E6 |
| Ενεργός Όγκος (M3) | 5E6 |
| Όγκος άμεσης απορροής (M3) | 5E6 |
| Όγκος βασικής απορροής (M3) | 1.11E6 |

Βροχόπτωση και Απορροή



Υπολεκάνη: EL0420FR4044

Έκταση (KM2) : 10.33

Κατάντη : J24

Μέθοδος Απωλειών: SCS

| | |
|--------------------------------|-------|
| Ποσοστό αδιαπέρατης επιφάνειας | 0 |
| Αριθμός Καμπύλης Απορροής-CN | 67.98 |
| Αρχικές Απώλειες | 23.93 |

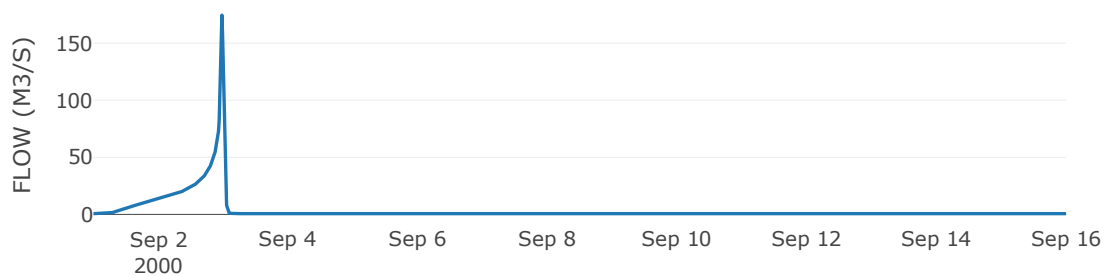
Μέθοδος
Μετασχηματισμού: SCS

| | |
|------------------|------|
| Χρόνος Υστέρησης | 27.3 |
|------------------|------|

Αποτελέσματα:
EL0420FR4044

| | |
|-----------------------------|------------------|
| Παροχή αιχμής (M3/S) | 174.56 |
| Χρονική στιγμή αιχμής | 02Sep2000, 23:30 |
| Όγκος (MM) | 434.91 |
| Όγκος βροχόπτωσης (M3) | 4.85E6 |
| Όγκος απωλειών (M3) | 1.22E6 |
| Ενεργός Όγκος (M3) | 3.62E6 |
| Όγκος άμεσης απορροής (M3) | 3.62E6 |
| Όγκος βασικής απορροής (M3) | 8.71E5 |

Βροχόπτωση και Απορροή



Υπολεκάνη: EL0420FR4045

Έκταση (KM2) : 5.32

Κατάνη : J11

Μέθοδος Απωλειών: SCS

| | |
|--------------------------------|-------|
| Ποσοστό αδιαπέρατης επιφάνειας | 0 |
| Αριθμός Καμπύλης Απορροής-CN | 76.73 |
| Αρχικές Απώλειες | 15.41 |

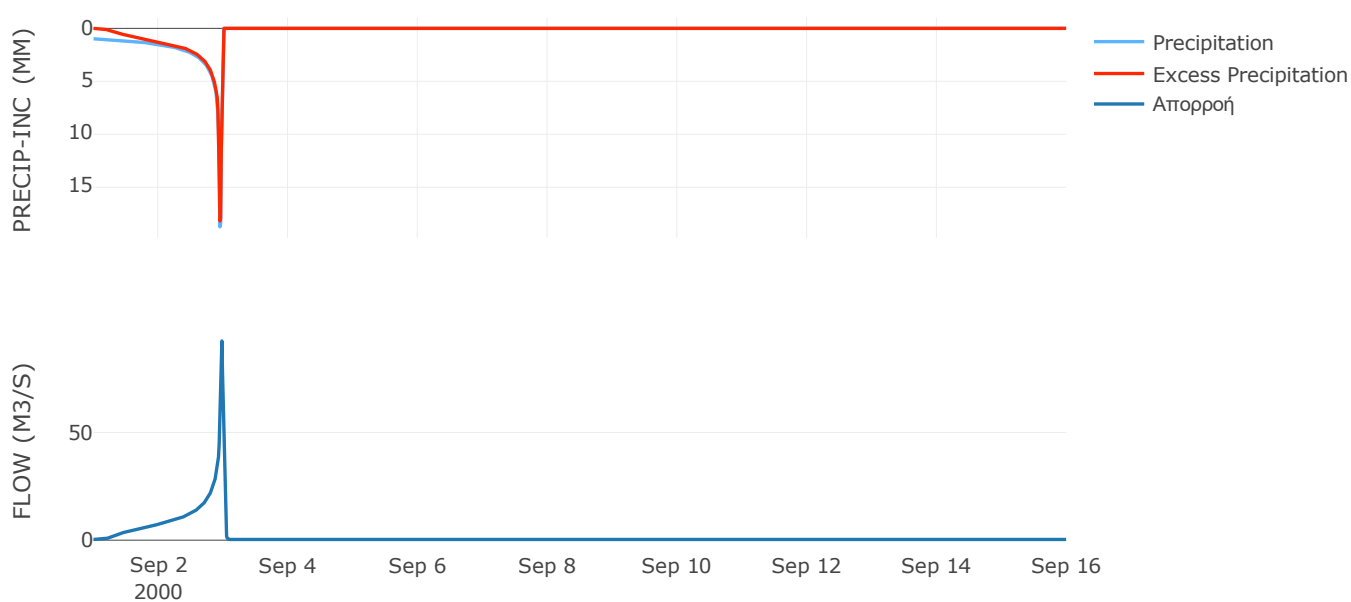
Μέθοδος
Μετασχηματισμού: SCS

| | |
|------------------|-------|
| Χρόνος Υστέρησης | 21.32 |
|------------------|-------|

Αποτελέσματα:
EL0420FR4045

| | |
|-----------------------------|------------------|
| Παροχή αιχμής (M3/S) | 92.52 |
| Χρονική στιγμή αιχμής | 02Sep2000, 23:30 |
| Όγκος (MM) | 446.61 |
| Όγκος βροχόπτωσης (M3) | 2.36E6 |
| Όγκος απωλειών (M3) | 4.29E5 |
| Ενεργός Όγκος (M3) | 1.93E6 |
| Όγκος άμεσης απορροής (M3) | 1.93E6 |
| Όγκος βασικής απορροής (M3) | 4.48E5 |

Βροχόπτωση και Απορροή



Υπολεκάνη: EL0420FR4046

Έκταση (KM2) : 24.57

Κατάντη : J10

Μέθοδος Απωλειών: SCS

| | |
|--------------------------------|-------|
| Ποσοστό αδιαπέρατης επιφάνειας | 0 |
| Αριθμός Καμπύλης Απορροής-CN | 72.06 |
| Αρχικές Απώλειες | 19.7 |

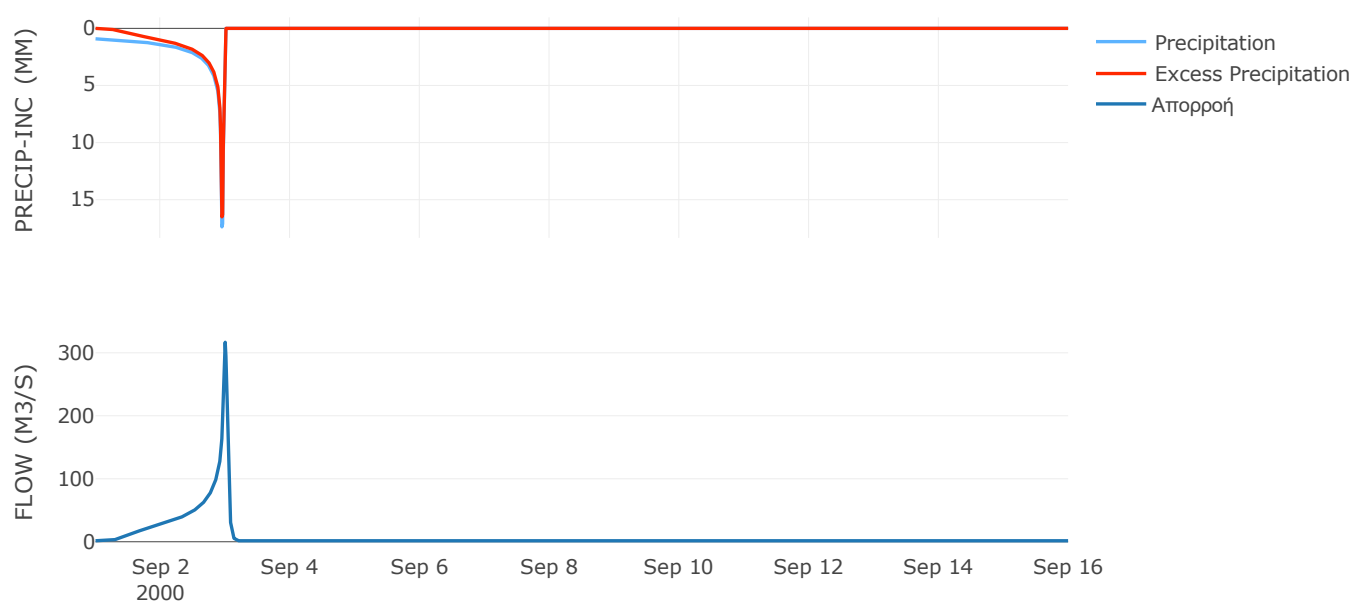
Μέθοδος
Μετασχηματισμού: SCS

| | |
|------------------|-------|
| Χρόνος Υστέρησης | 53.92 |
|------------------|-------|

Αποτελέσματα:
EL0420FR4046

| | |
|-----------------------------|------------------|
| Παροχή αιχμής (M3/S) | 316.75 |
| Χρονική στιγμή αιχμής | 02Sep2000, 24:00 |
| Όγκος (MM) | 396.73 |
| Όγκος βροχόπτωσης (M3) | 1.01E7 |
| Όγκος απωλειών (M3) | 2.42E6 |
| Ενεργός Όγκος (M3) | 7.68E6 |
| Όγκος άμεσης απορροής (M3) | 7.68E6 |
| Όγκος βασικής απορροής (M3) | 2.07E6 |

Βροχόπτωση και Απορροή



Υπολεκάνη: EL0420FR4047

Έκταση (KM2) : 37.25

Κατάντη : J26

Μέθοδος Απωλειών: SCS

| | |
|--------------------------------|-------|
| Ποσοστό αδιαπέρατης επιφάνειας | 0 |
| Αριθμός Καμπύλης Απορροής-CN | 69.84 |
| Αρχικές Απώλειες | 21.93 |

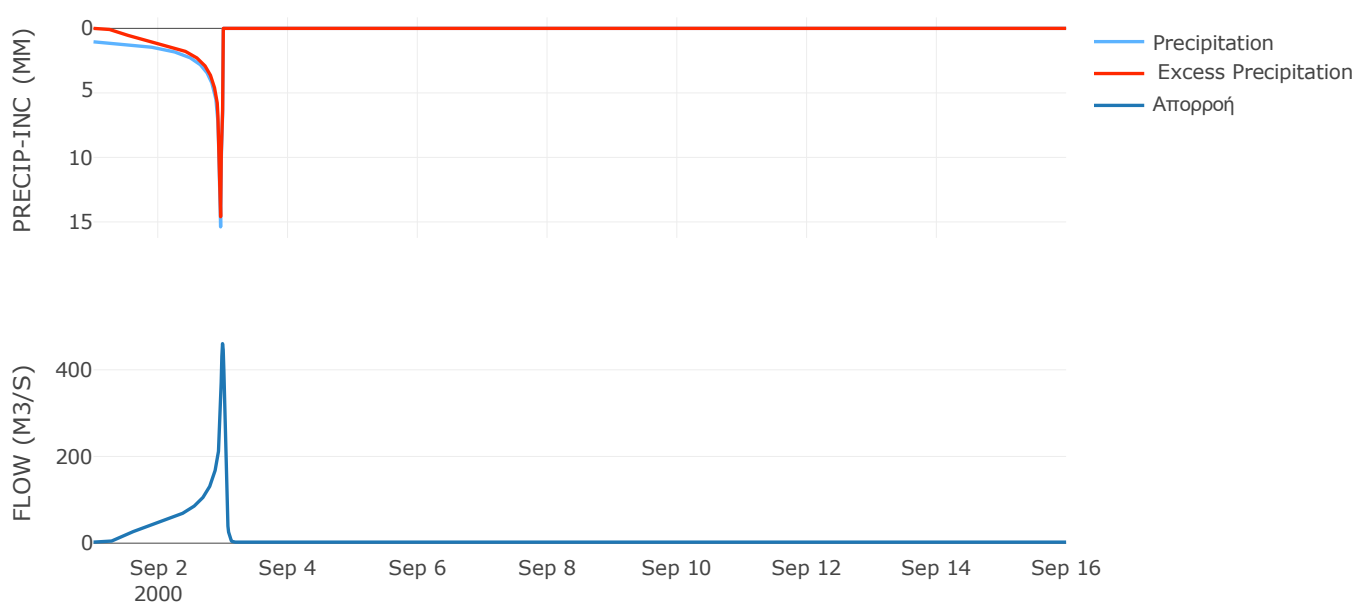
Μέθοδος
Μετασχηματισμού: SCS

| | |
|------------------|------|
| Χρόνος Υστέρησης | 45.4 |
|------------------|------|

Αποτελέσματα:
EL0420FR4047

| | |
|-----------------------------|------------------|
| Παροχή αιχμής (M3/S) | 460.43 |
| Χρονική στιγμή αιχμής | 02Sep2000, 23:45 |
| Όγκος (MM) | 405.51 |
| Όγκος βροχόπτωσης (M3) | 1.6E7 |
| Όγκος απωλειών (M3) | 4.04E6 |
| Ενεργός Όγκος (M3) | 1.2E7 |
| Όγκος άμεσης απορροής (M3) | 1.2E7 |
| Όγκος βασικής απορροής (M3) | 3.14E6 |

Βροχόπτωση και Απορροή



Υπολεκάνη: EL0420FR4048

Έκταση (KM2) : 34.69

Κατάντη : J26

Μέθοδος Απωλειών: SCS

| | |
|--------------------------------|-------|
| Ποσοστό αδιαπέρατης επιφάνειας | 0 |
| Αριθμός Καμπύλης Απορροής-CN | 70.38 |
| Αρχικές Απώλειες | 21.38 |

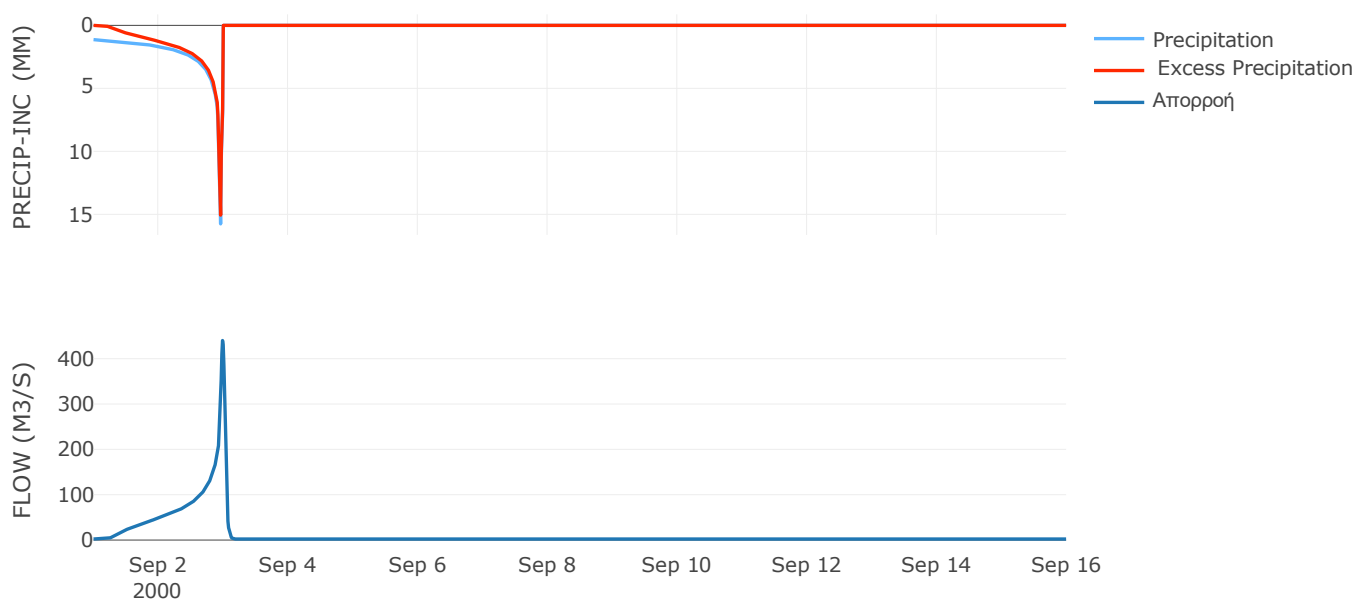
Μέθοδος
Μετασχηματισμού: SCS

| | |
|------------------|-------|
| Χρόνος Υστέρησης | 46.76 |
|------------------|-------|

Αποτελέσματα:
EL0420FR4048

| | |
|-----------------------------|------------------|
| Παροχή αιχμής (M3/S) | 440.09 |
| Χρονική στιγμή αιχμής | 02Sep2000, 23:45 |
| Όγκος (MM) | 433.76 |
| Όγκος βροχόπτωσης (M3) | 1.58E7 |
| Όγκος απωλειών (M3) | 3.72E6 |
| Ενεργός Όγκος (M3) | 1.21E7 |
| Όγκος άμεσης απορροής (M3) | 1.21E7 |
| Όγκος βασικής απορροής (M3) | 2.92E6 |

Βροχόπτωση και Απορροή



Υπολεκάνη: EL0420FR4049

Έκταση (KM2) : 11.77

Κατάντη : J9

Μέθοδος Απωλειών: SCS

| | |
|--------------------------------|-------|
| Ποσοστό αδιαπέρατης επιφάνειας | 0 |
| Αριθμός Καμπύλης Απορροής-CN | 75.61 |
| Αρχικές Απώλειες | 16.39 |

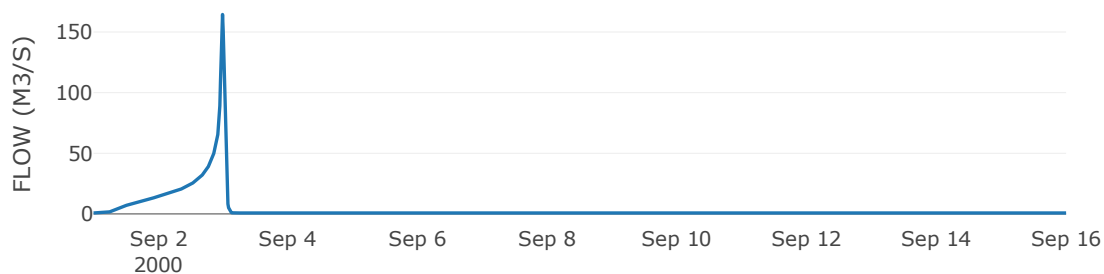
Μέθοδος
Μετασχηματισμού: SCS

| | |
|------------------|-------|
| Χρόνος Υστέρησης | 38.94 |
|------------------|-------|

Αποτελέσματα:
EL0420FR4049

| | |
|-----------------------------|------------------|
| Παροχή αιχμής (M3/S) | 164.46 |
| Χρονική στιγμή αιχμής | 02Sep2000, 23:45 |
| Όγκος (MM) | 408.23 |
| Όγκος βροχόπτωσης (M3) | 4.8E6 |
| Όγκος απωλειών (M3) | 9.9E5 |
| Ενεργός Όγκος (M3) | 3.81E6 |
| Όγκος άμεσης απορροής (M3) | 3.81E6 |
| Όγκος βασικής απορροής (M3) | 9.91E5 |

Βροχόπτωση και Απορροή



Υπολεκάνη: EL0420FR4050

Έκταση (KM2) : 19.25

Κατάντη : J7

Μέθοδος Απωλειών: SCS

| | |
|--------------------------------|-------|
| Ποσοστό αδιαπέρατης επιφάνειας | 0 |
| Αριθμός Καμπύλης Απορροής-CN | 74.47 |
| Αρχικές Απώλειες | 17.41 |

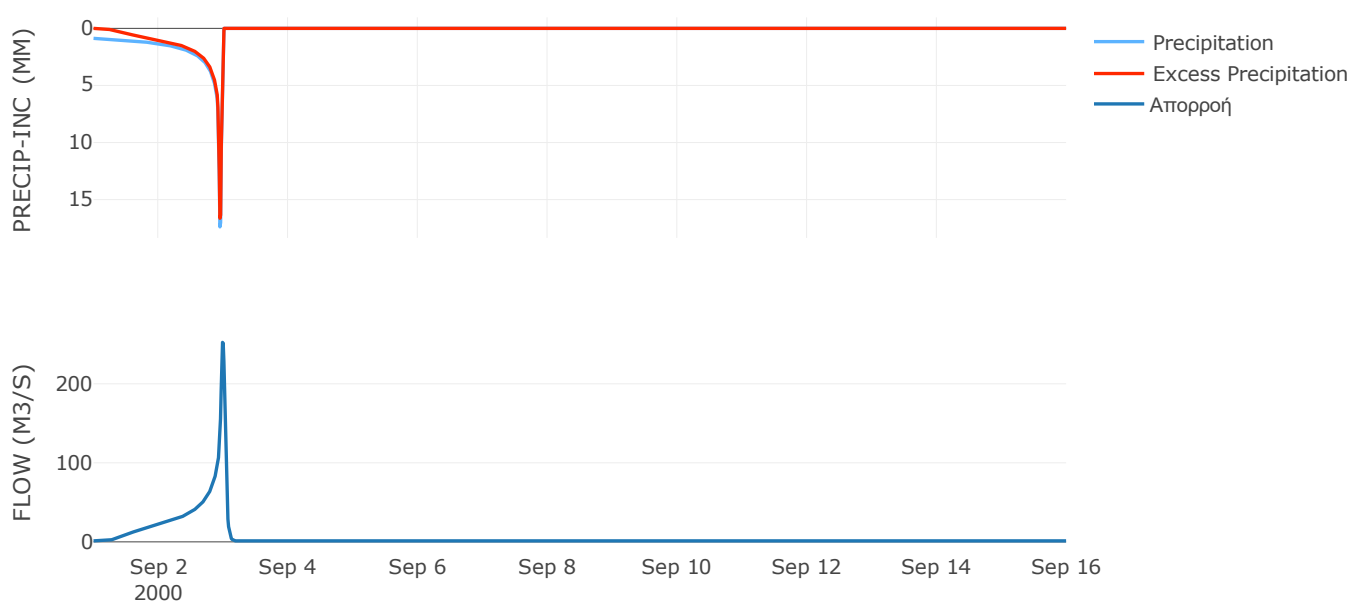
Μέθοδος
Μετασχηματισμού: SCS

| | |
|------------------|------|
| Χρόνος Υστέρησης | 50.2 |
|------------------|------|

Αποτελέσματα:
EL0420FR4050

| | |
|-----------------------------|------------------|
| Παροχή αιχμής (M3/S) | 252.42 |
| Χρονική στιγμή αιχμής | 02Sep2000, 23:45 |
| Όγκος (MM) | 395.71 |
| Όγκος βροχόπτωσης (M3) | 7.7E6 |
| Όγκος απωλειών (M3) | 1.7E6 |
| Ενεργός Όγκος (M3) | 6E6 |
| Όγκος άμεσης απορροής (M3) | 6E6 |
| Όγκος βασικής απορροής (M3) | 1.62E6 |

Βροχόπτωση και Απορροή



Υπολεκάνη: EL0420FR4051

Έκταση (KM2) : 32.45

Κατάντη : J4

Μέθοδος Απωλειών: SCS

| | |
|--------------------------------|-------|
| Ποσοστό αδιαπέρατης επιφάνειας | 0 |
| Αριθμός Καμπύλης Απορροής-CN | 90.49 |
| Αρχικές Απώλειες | 5.34 |

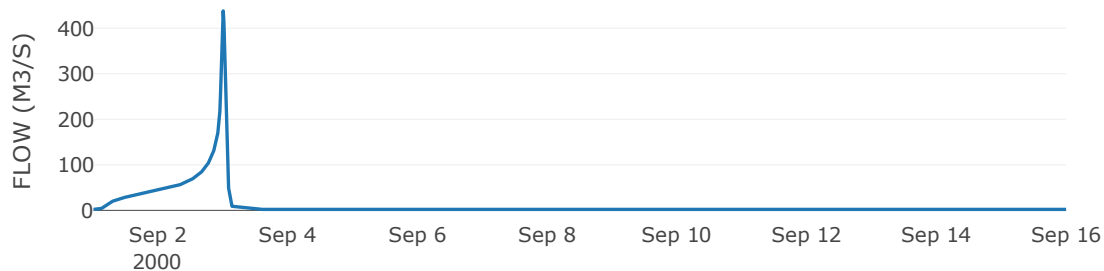
Μέθοδος
Μετασχηματισμού: SCS

| | |
|------------------|-------|
| Χρόνος Υστέρησης | 56.93 |
|------------------|-------|

Αποτελέσματα:
EL0420FR4051

| | |
|-----------------------------|------------------|
| Παροχή αιχμής (M3/S) | 437.97 |
| Χρονική στιγμή αιχμής | 02Sep2000, 24:00 |
| Όγκος (MM) | 438.66 |
| Όγκος βροχόπτωσης (M3) | 1.25E7 |
| Όγκος απωλειών (M3) | 9.82E5 |
| Ενεργός Όγκος (M3) | 1.15E7 |
| Όγκος άμεσης απορροής (M3) | 1.15E7 |
| Όγκος βασικής απορροής (M3) | 2.73E6 |

Βροχόπτωση και Απορροή



Υπολεκάνη: EL0420FR4052

Έκταση (KM2) : 29.83

Κατάντη : J30

Μέθοδος Απωλειών: SCS

| | |
|--------------------------------|-------|
| Ποσοστό αδιαπέρατης επιφάνειας | 0 |
| Αριθμός Καμπύλης Απορροής-CN | 90.53 |
| Αρχικές Απώλειες | 5.31 |

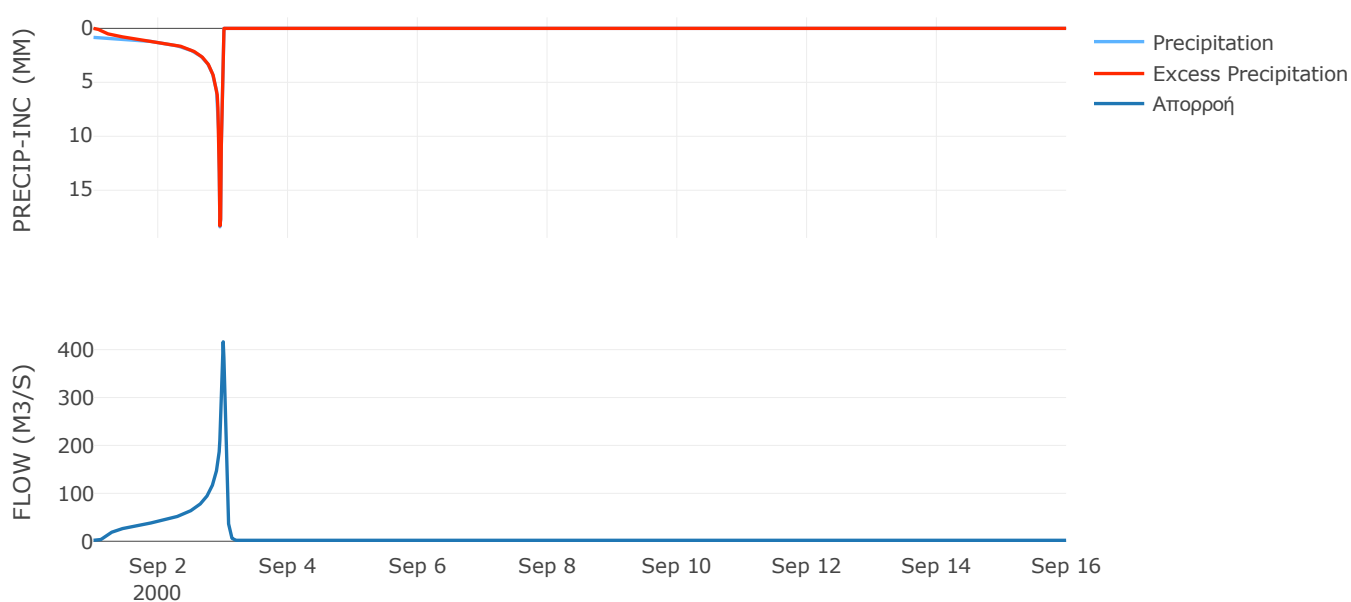
Μέθοδος
Μετασχηματισμού: SCS

| | |
|------------------|-------|
| Χρόνος Υστέρησης | 52.54 |
|------------------|-------|

Αποτελέσματα:
EL0420FR4052

| | |
|-----------------------------|------------------|
| Παροχή αιχμής (M3/S) | 416.34 |
| Χρονική στιγμή αιχμής | 02Sep2000, 24:00 |
| Όγκος (MM) | 449.16 |
| Όγκος βροχόπτωσης (M3) | 1.18E7 |
| Όγκος απωλειών (M3) | 9.01E5 |
| Ενεργός Όγκος (M3) | 1.09E7 |
| Όγκος άμεσης απορροής (M3) | 1.09E7 |
| Όγκος βασικής απορροής (M3) | 2.51E6 |

Βροχόπτωση και Απορροή



Υπολεκάνη: EL0420FR4053

Έκταση (KM2) : 0.54

Κατάντη : J20

Μέθοδος Απωλειών: SCS

| | |
|--------------------------------|-------|
| Ποσοστό αδιαπέρατης επιφάνειας | 0 |
| Αριθμός Καμπύλης Απορροής-CN | 90.83 |
| Αρχικές Απώλειες | 5.13 |

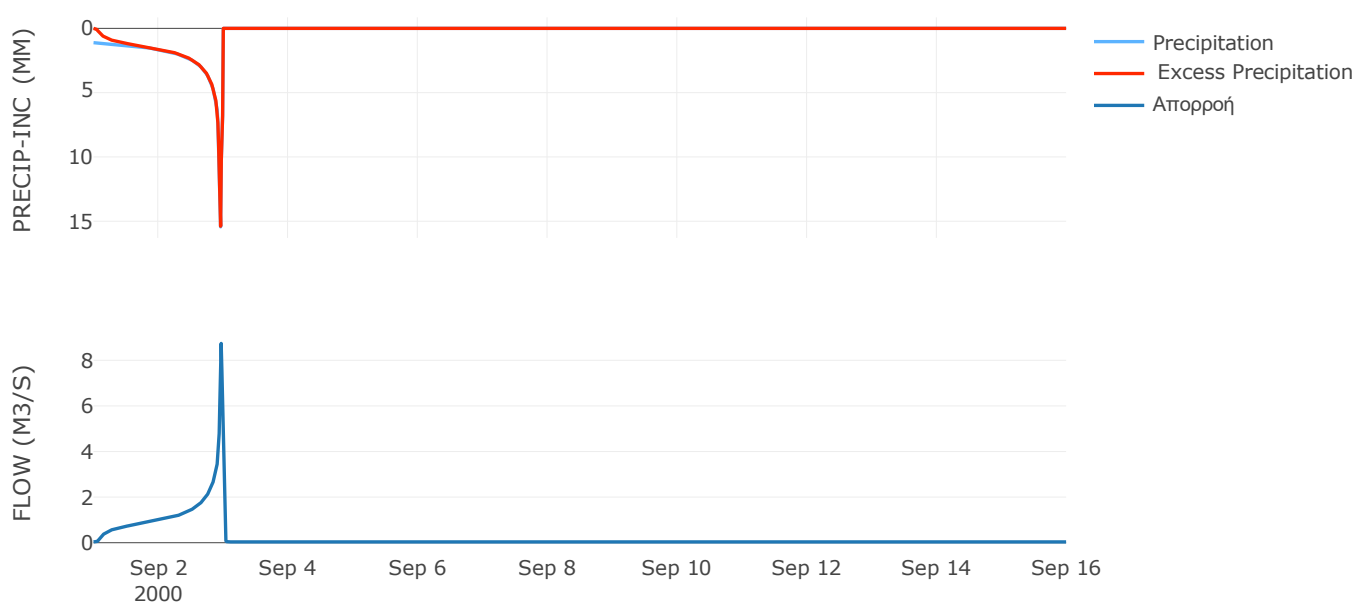
Μέθοδος
Μετασχηματισμού: SCS

| | |
|------------------|-------|
| Χρόνος Υστέρησης | 12.39 |
|------------------|-------|

Αποτελέσματα:
EL0420FR4053

| | |
|-----------------------------|------------------|
| Παροχή αιχμής (M3/S) | 8.74 |
| Χρονική στιγμή αιχμής | 02Sep2000, 23:15 |
| Όγκος (MM) | 503.38 |
| Όγκος βροχόπτωσης (M3) | 2.41E5 |
| Όγκος απωλειών (M3) | 15753.68 |
| Ενεργός Όγκος (M3) | 2.25E5 |
| Όγκος άμεσης απορροής (M3) | 2.25E5 |
| Όγκος βασικής απορροής (M3) | 45195.41 |

Βροχόπτωση και Απορροή



Υπολεκάνη: EL0420FR4054

Έκταση (KM2) : 4.72

Κατάντη : J2

Μέθοδος Απωλειών: SCS

| | |
|--------------------------------|-------|
| Ποσοστό αδιαπέρατης επιφάνειας | 0 |
| Αριθμός Καμπύλης Απορροής-CN | 90.53 |
| Αρχικές Απώλειες | 5.31 |

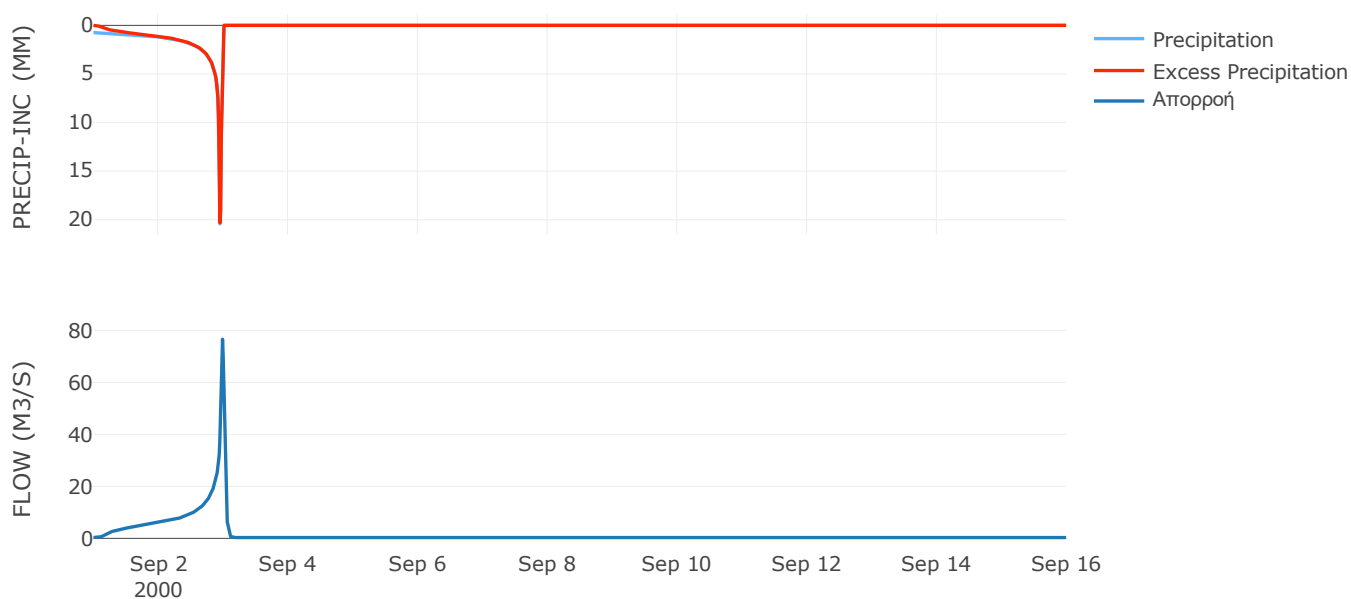
Μέθοδος
Μετασχηματισμού: SCS

| | |
|------------------|-------|
| Χρόνος Υστέρησης | 39.96 |
|------------------|-------|

Αποτελέσματα:
EL0420FR4054

| | |
|-----------------------------|------------------|
| Παροχή αιχμής (M3/S) | 76.65 |
| Χρονική στιγμή αιχμής | 02Sep2000, 23:45 |
| Όγκος (MM) | 433.8 |
| Όγκος βροχόπτωσης (M3) | 1.79E6 |
| Όγκος απωλειών (M3) | 1.42E5 |
| Ενεργός Όγκος (M3) | 1.65E6 |
| Όγκος άμεσης απορροής (M3) | 1.65E6 |
| Όγκος βασικής απορροής (M3) | 3.97E5 |

Βροχόπτωση και Απορροή



Υπολεκάνη: EL0420FR4055

Έκταση (KM2) : 10.12

Κατάντη : Diversion - 1

Μέθοδος Απωλειών: SCS

| | |
|--------------------------------|-------|
| Ποσοστό αδιαπέρατης επιφάνειας | 4.1 |
| Αριθμός Καμπύλης Απορροής-CN | 85.92 |
| Αρχικές Απώλειες | 8.33 |

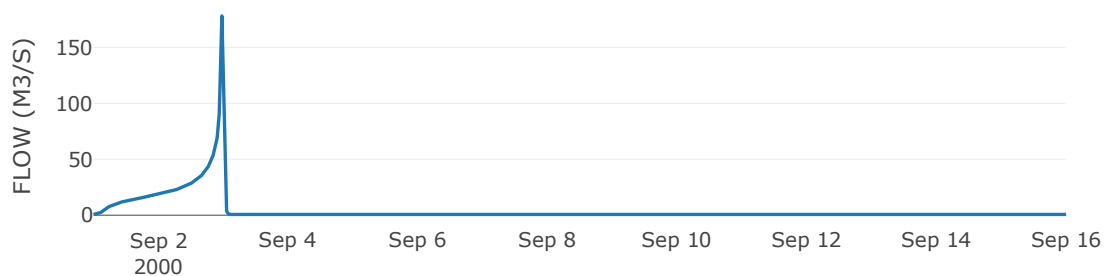
Μέθοδος
Μετασχηματισμού: SCS

| | |
|------------------|-------|
| Χρόνος Υστέρησης | 22.73 |
|------------------|-------|

Αποτελέσματα:
EL0420FR4055

| | |
|-----------------------------|------------------|
| Παροχή αιχμής (M3/S) | 178.11 |
| Χρονική στιγμή αιχμής | 02Sep2000, 23:30 |
| Όγκος (MM) | 527.45 |
| Όγκος βροχόπτωσης (M3) | 4.94E6 |
| Όγκος απωλειών (M3) | 4.53E5 |
| Ενεργός Όγκος (M3) | 4.49E6 |
| Όγκος άμεσης απορροής (M3) | 4.49E6 |
| Όγκος βασικής απορροής (M3) | 8.53E5 |

Βροχόπτωση και Απορροή



Υπολεκάνη: EL0420FR4056

Έκταση (KM2) : 13.8

Κατάντη : J5

Μέθοδος Απωλειών: SCS

| | |
|--------------------------------|-------|
| Ποσοστό αδιαπέρατης επιφάνειας | 0 |
| Αριθμός Καμπύλης Απορροής-CN | 90.47 |
| Αρχικές Απώλειες | 5.35 |

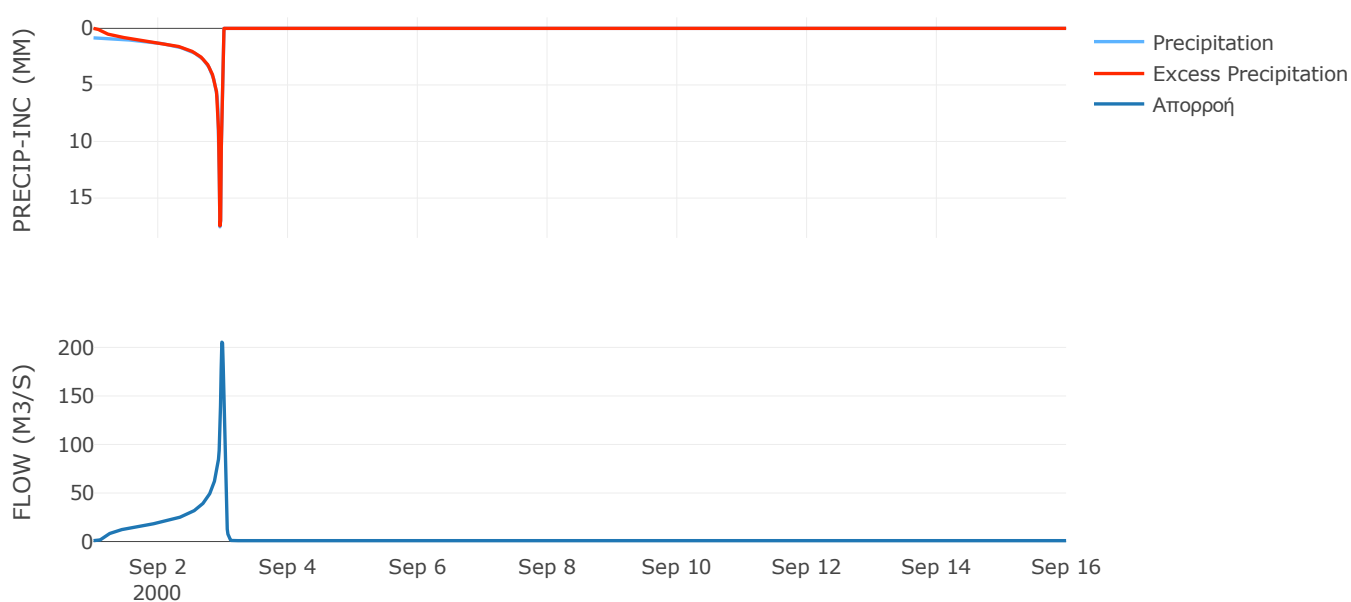
Μέθοδος
Μετασχηματισμού: SCS

| | |
|------------------|-------|
| Χρόνος Υστέρησης | 35.99 |
|------------------|-------|

Αποτελέσματα:
EL0420FR4056

| | |
|-----------------------------|------------------|
| Παροχή αιχμής (M3/S) | 205.44 |
| Χρονική στιγμή αιχμής | 02Sep2000, 23:30 |
| Όγκος (MM) | 443.96 |
| Όγκος βροχόπτωσης (M3) | 5.38E6 |
| Όγκος απωλειών (M3) | 4.19E5 |
| Ενεργός Όγκος (M3) | 4.96E6 |
| Όγκος άμεσης απορροής (M3) | 4.96E6 |
| Όγκος βασικής απορροής (M3) | 1.16E6 |

Βροχόπτωση και Απορροή



10.2 Δεδομένα και Υδρογραφήματα Σχεδιασμού Κλάδων Υδρογραφικού Δικτύου

Κλάδος: R21

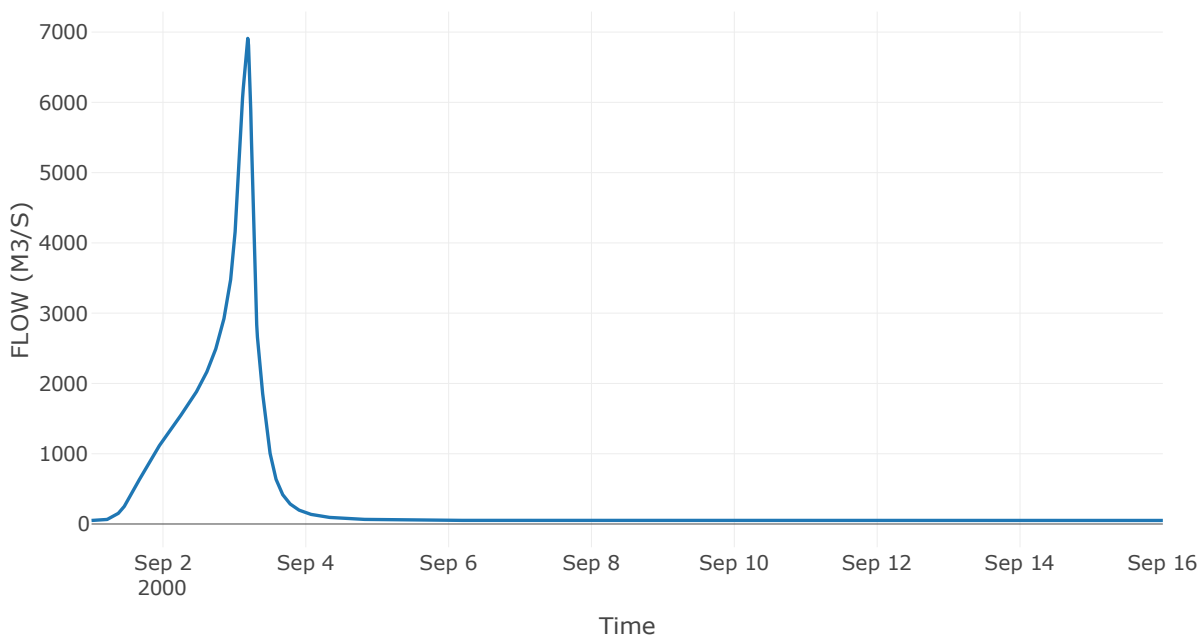
Κατάντη : J1

| | |
|----------------------|-----------------|
| Μέθοδος Διόδευσης | Muskingum |
| Αρχική Μεταβλητή | Combined Inflow |
| Χρόνος Ροής K | 1.46 |
| Συντελεστής βάρους x | 0.2 |
| Πλήθος Υποκλάδων | 7 |

Αποτελέσματα: R21

| | |
|------------------------------|------------------|
| Παροχή Αιχμής(M3/S) | 6910.29 |
| Χρονική στιγμή αιχμής | 03Sep2000, 04:30 |
| Όγκος(MM) | 435.99 |
| Παροχή Αιχμής Εισόδου (M3/S) | 7064.89 |
| Όγκος Εισροής(M3) | 4.67E8 |

Απορροή



Κλάδος: R32

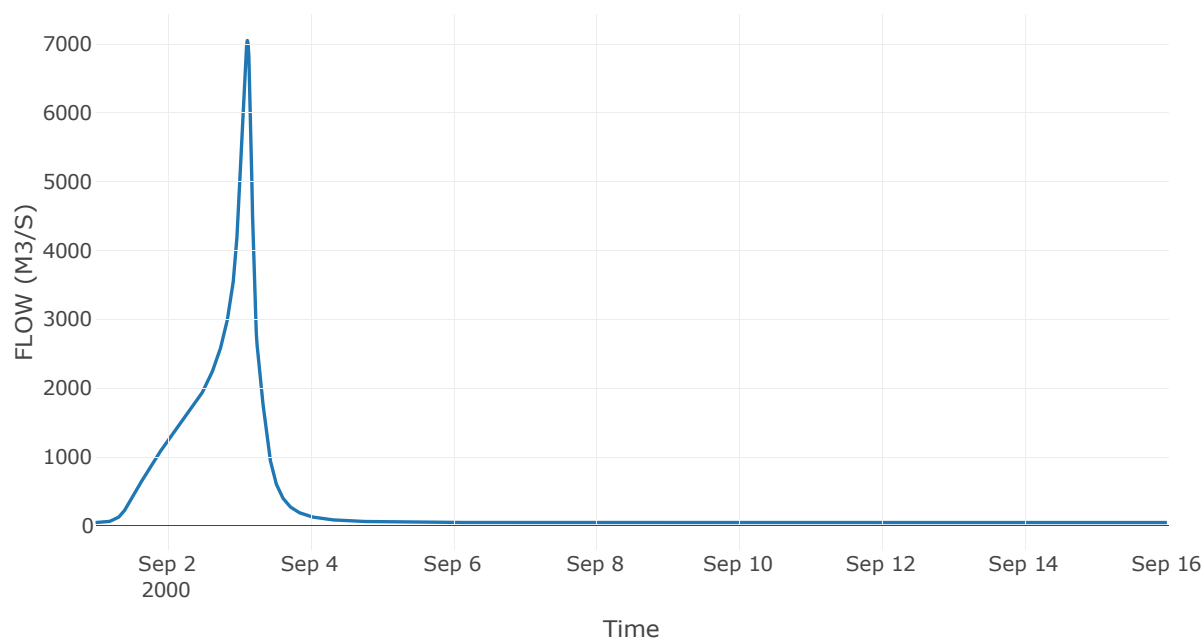
Κατάντη : J2

| | |
|----------------------|-----------------|
| Μέθοδος Διόδευσης | Muskingum |
| Αρχική Μεταβλητή | Combined Inflow |
| Χρόνος Ροής K | 0.35 |
| Συντελεστής βάρους x | 0.2 |
| Πλήθος Υποκλάδων | 2 |

Αποτελέσματα: R32

| | |
|------------------------------|------------------|
| Παροχή Αιχμής(M3/S) | 7049.33 |
| Χρονική στιγμή αιχμής | 03Sep2000, 03:00 |
| Όγκος(MM) | 435.7 |
| Παροχή Αιχμής Εισόδου (M3/S) | 7083.66 |
| Όγκος Εισροής(M3) | 4.45E8 |

Απορροή



Κλάδος: R43

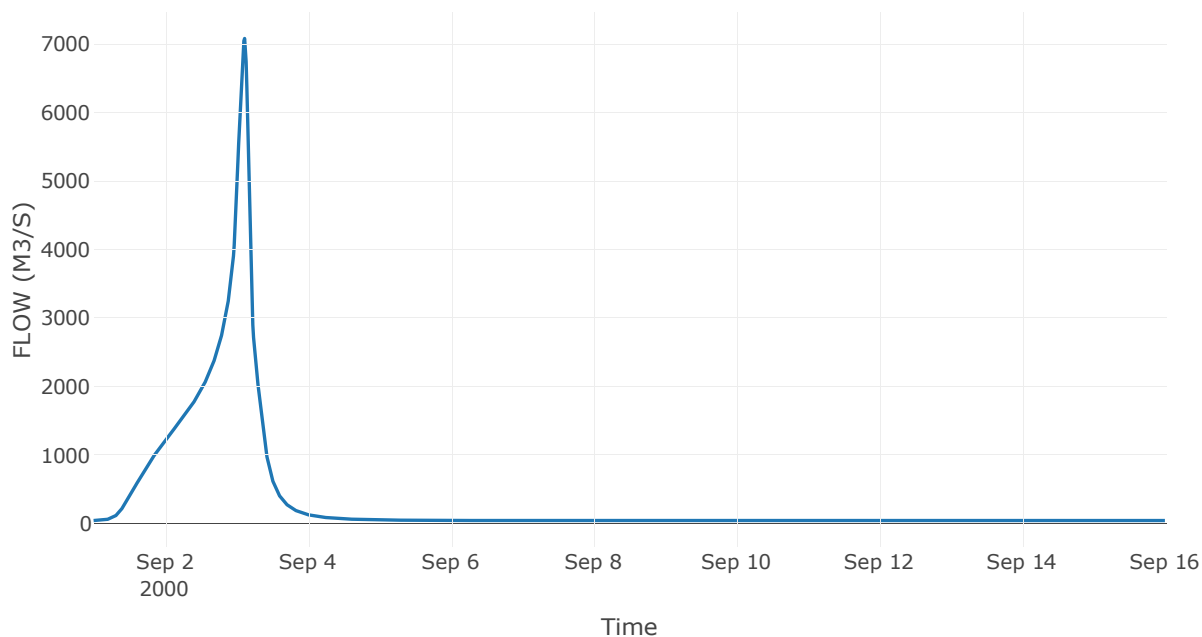
Κατάντη : J3

| | |
|----------------------|-----------------|
| Μέθοδος Διόδευσης | Muskingum |
| Αρχική Μεταβλητή | Combined Inflow |
| Χρόνος Ροής K | 0.44 |
| Συντελεστής βάρους x | 0.2 |
| Πλήθος Υποκλάδων | 2 |

Αποτελέσματα: R43

| | |
|------------------------------|------------------|
| Παροχή Αιχμής(M3/S) | 7079.7 |
| Χρονική στιγμή αιχμής | 03Sep2000, 02:45 |
| Όγκος(MM) | 436.09 |
| Παροχή Αιχμής Εισόδου (M3/S) | 7138.26 |
| Όγκος Εισροής(M3) | 4.38E8 |

Απορροή



Κλάδος: R54

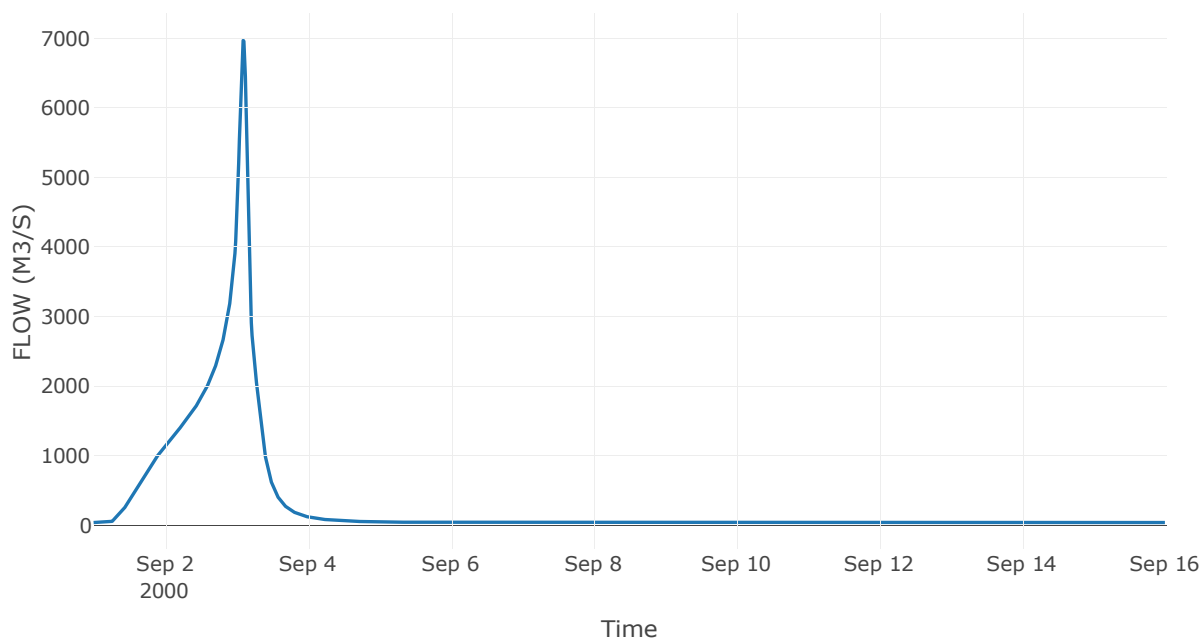
Κατάντη : J4

| | |
|----------------------|-----------------|
| Μέθοδος Διόδευσης | Muskingum |
| Αρχική Μεταβλητή | Combined Inflow |
| Χρόνος Ροής K | 1.04 |
| Συντελεστής βάρους x | 0.2 |
| Πλήθος Υποκλάδων | 5 |

Αποτελέσματα: R54

| | |
|------------------------------|------------------|
| Παροχή Αιχμής(M3/S) | 6970.04 |
| Χρονική στιγμή αιχμής | 03Sep2000, 02:15 |
| Όγκος(MM) | 435.93 |
| Παροχή Αιχμής Εισόδου (M3/S) | 7142.65 |
| Όγκος Εισροής(M3) | 4.04E8 |

Απορροή



Κλάδος: R65

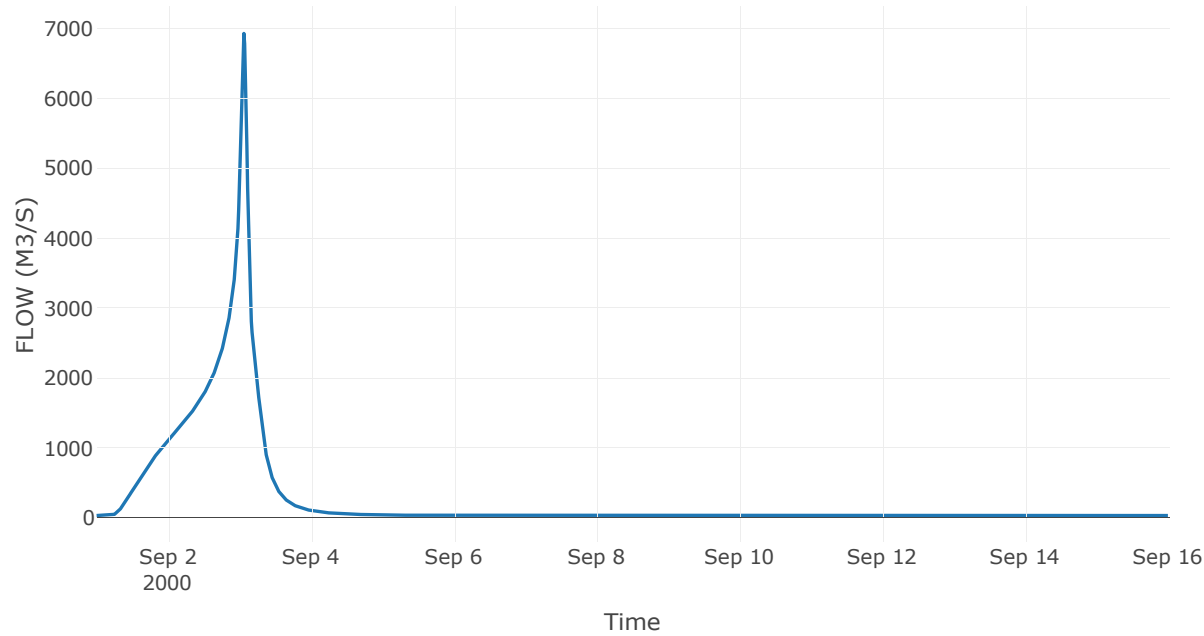
Κατάντη : J5

| | |
|----------------------|-----------------|
| Μέθοδος Διόδευσης | Muskingum |
| Αρχική Μεταβλητή | Combined Inflow |
| Χρόνος Ροής K | 0.8 |
| Συντελεστής βάρους x | 0.2 |
| Πλήθος Υποκλάδων | 4 |

Αποτελέσματα: R65

| | |
|------------------------------|------------------|
| Παροχή Αιχμής(M3/S) | 6927.07 |
| Χρονική στιγμή αιχμής | 03Sep2000, 01:30 |
| Όγκος(MM) | 435.94 |
| Παροχή Αιχμής Εισόδου (M3/S) | 7101.16 |
| Όγκος Εισροής(M3) | 3.77E8 |

Απορροή



Κλάδος: R76

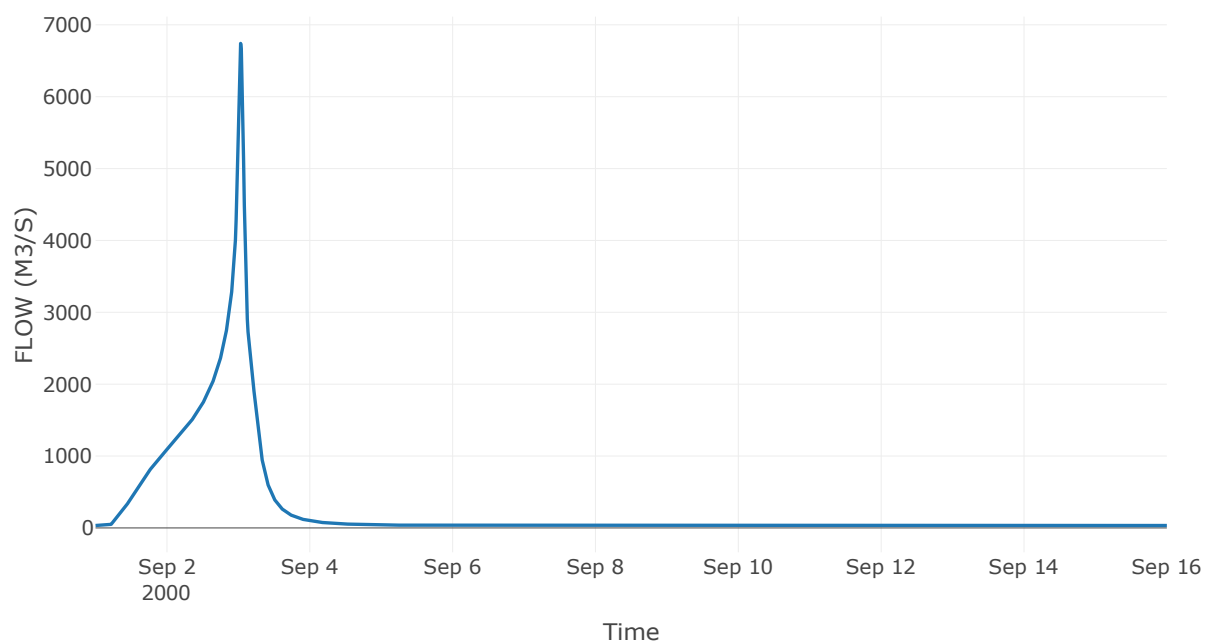
Κατάντη : J6

| | |
|-------------------|------------------|
| Μέθοδος Διόδευσης | Χρόνος Υστέρησης |
| Αρχική Μεταβλητή | Combined Inflow |
| Χρόνος Υστέρησης | 3.68 |

Αποτελέσματα: R76

| | |
|------------------------------|------------------|
| Παροχή Αιχμής(M3/S) | 6741.23 |
| Χρονική στιγμή αιχμής | 03Sep2000, 00:45 |
| Όγκος(MM) | 436.99 |
| Παροχή Αιχμής Εισόδου (M3/S) | 6764.11 |
| Όγκος Εισροής(M3) | 3.57E8 |

Απορροή



Κλάδος: R87

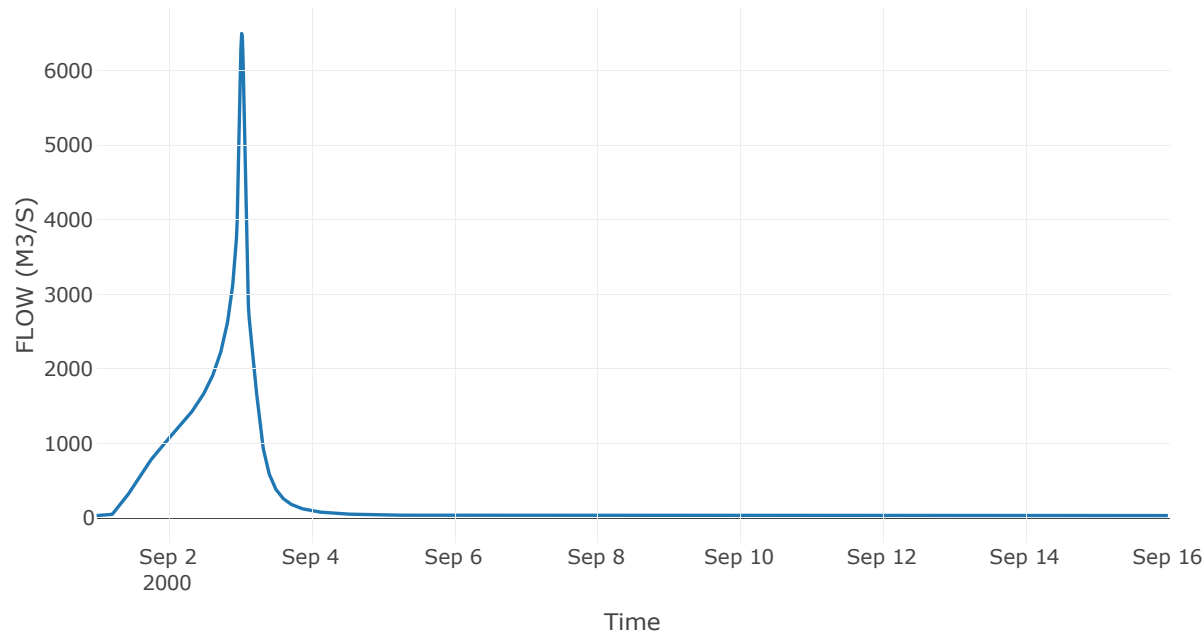
Κατάντη : J7

| | |
|----------------------|-----------------|
| Μέθοδος Διόδευσης | Muskingum |
| Αρχική Μεταβλητή | Combined Inflow |
| Χρόνος Ροής K | 0.5 |
| Συντελεστής βάρους x | 0.2 |
| Πλήθος Υποκλάδων | 2 |

Αποτελέσματα: R87

| | |
|------------------------------|------------------|
| Παροχή Αιχμής(M3/S) | 6495.65 |
| Χρονική στιγμή αιχμής | 03Sep2000, 00:45 |
| Όγκος(MM) | 438.44 |
| Παροχή Αιχμής Εισόδου (M3/S) | 6675.18 |
| Όγκος Εισροής(M3) | 3.43E8 |

Απορροή



Κλάδος: R98

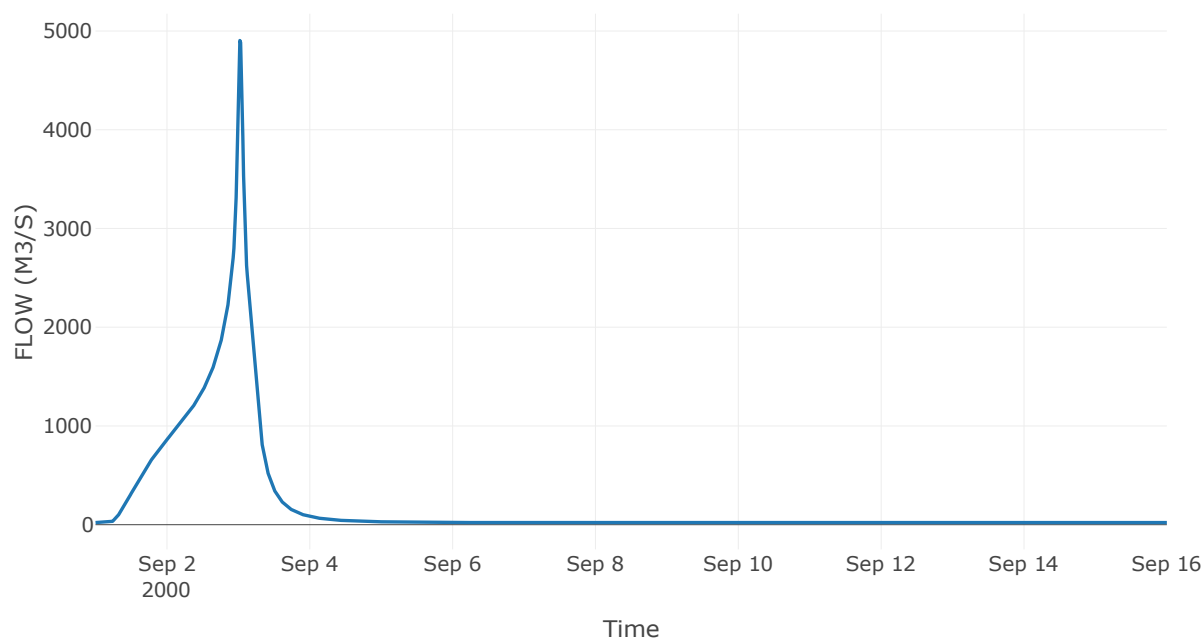
Κατάντη : J8

| | |
|----------------------|-----------------|
| Μέθοδος Διόδευσης | Muskingum |
| Αρχική Μεταβλητή | Combined Inflow |
| Χρόνος Ροής K | 0.26 |
| Συντελεστής βάρους x | 0.2 |
| Πλήθος Υποκλάδων | 1 |

Αποτελέσματα: R98

| | |
|------------------------------|------------------|
| Παροχή Αιχμής(M3/S) | 4903.83 |
| Χρονική στιγμή αιχμής | 03Sep2000, 00:30 |
| Όγκος(MM) | 438.68 |
| Παροχή Αιχμής Εισόδου (M3/S) | 4970.38 |
| Όγκος Εισροής(M3) | 2.76E8 |

Απορροή



Κλάδος: R109

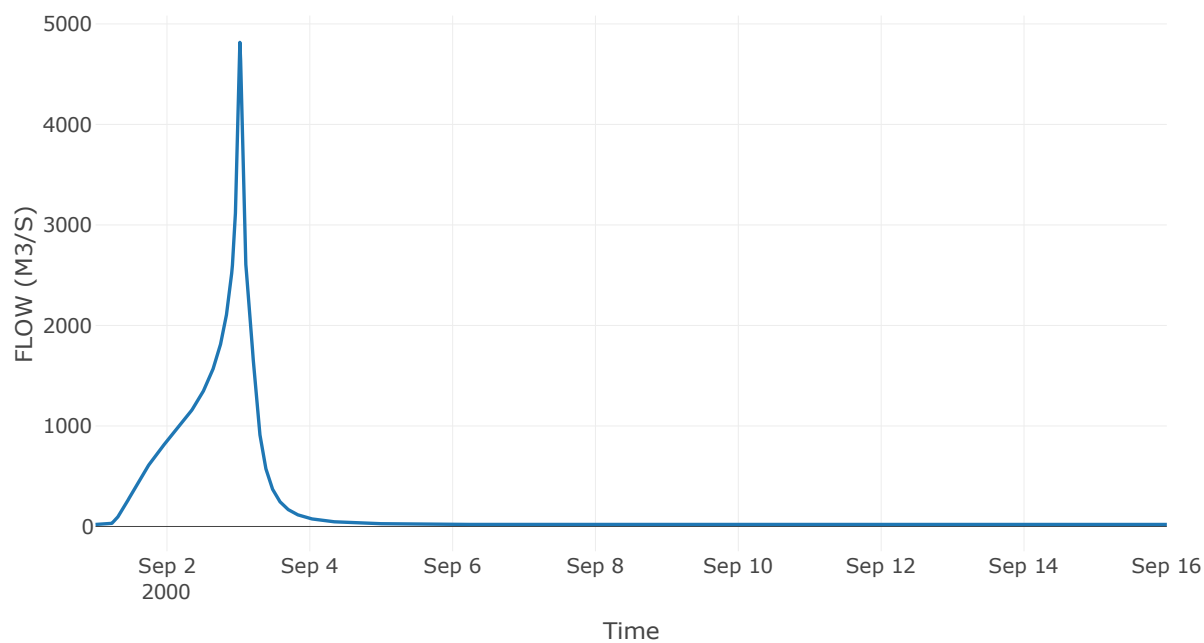
Κατάντη : J9

| | |
|----------------------|-----------------|
| Μέθοδος Διόδευσης | Muskingum |
| Αρχική Μεταβλητή | Combined Inflow |
| Χρόνος Ροής K | 0.21 |
| Συντελεστής βάρους x | 0.2 |
| Πλήθος Υποκλάδων | 1 |

Αποτελέσματα: R109

| | |
|------------------------------|------------------|
| Παροχή Αιχμής(M3/S) | 4816.38 |
| Χρονική στιγμή αιχμής | 03Sep2000, 00:30 |
| Όγκος(MM) | 439.31 |
| Παροχή Αιχμής Εισόδου (M3/S) | 4872.77 |
| Όγκος Εισροής(M3) | 2.69E8 |

Απορροή



Κλάδος: R1110

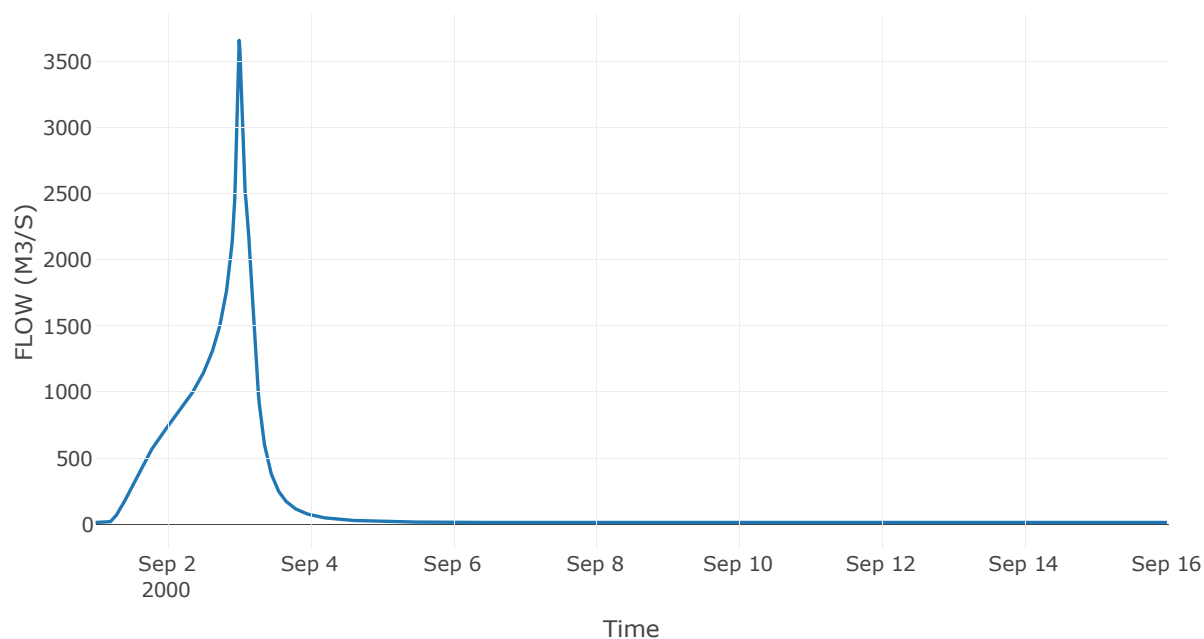
Κατάντη : J10

| | |
|----------------------|-----------------|
| Μέθοδος Διόδευσης | Muskingum |
| Αρχική Μεταβλητή | Combined Inflow |
| Χρόνος Ροής K | 0.18 |
| Συντελεστής βάρους x | 0.2 |
| Πλήθος Υποκλάδων | 1 |

Αποτελέσματα: R1110

| | |
|------------------------------|------------------|
| Παροχή Αιχμής(M3/S) | 3659.56 |
| Χρονική στιγμή αιχμής | 03Sep2000, 00:15 |
| Όγκος(MM) | 444.27 |
| Παροχή Αιχμής Εισόδου (M3/S) | 3679.37 |
| Όγκος Εισροής(M3) | 2.28E8 |

Απορροή



Κλάδος: R1211

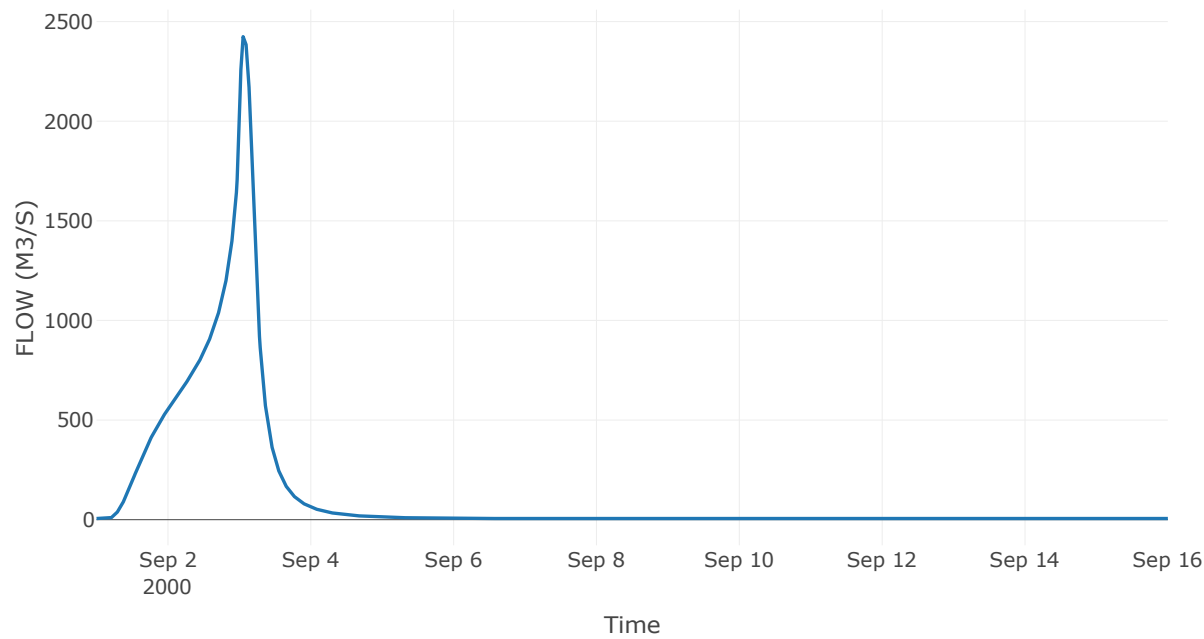
Κατάντη : J11

| | |
|----------------------|-----------------|
| Μέθοδος Διόδευσης | Muskingum |
| Αρχική Μεταβλητή | Combined Inflow |
| Χρόνος Ροής K | 1 |
| Συντελεστής βάρους x | 0.2 |
| Πλήθος Υποκλάδων | 5 |

Αποτελέσματα: R1211

| | |
|------------------------------|------------------|
| Παροχή Αιχμής(M3/S) | 2425.44 |
| Χρονική στιγμή αιχμής | 03Sep2000, 01:30 |
| Όγκος(MM) | 437.83 |
| Παροχή Αιχμής Εισόδου (M3/S) | 2449.46 |
| Όγκος Εισροής(M3) | 1.7E8 |

Απορροή



Κλάδος: R1312

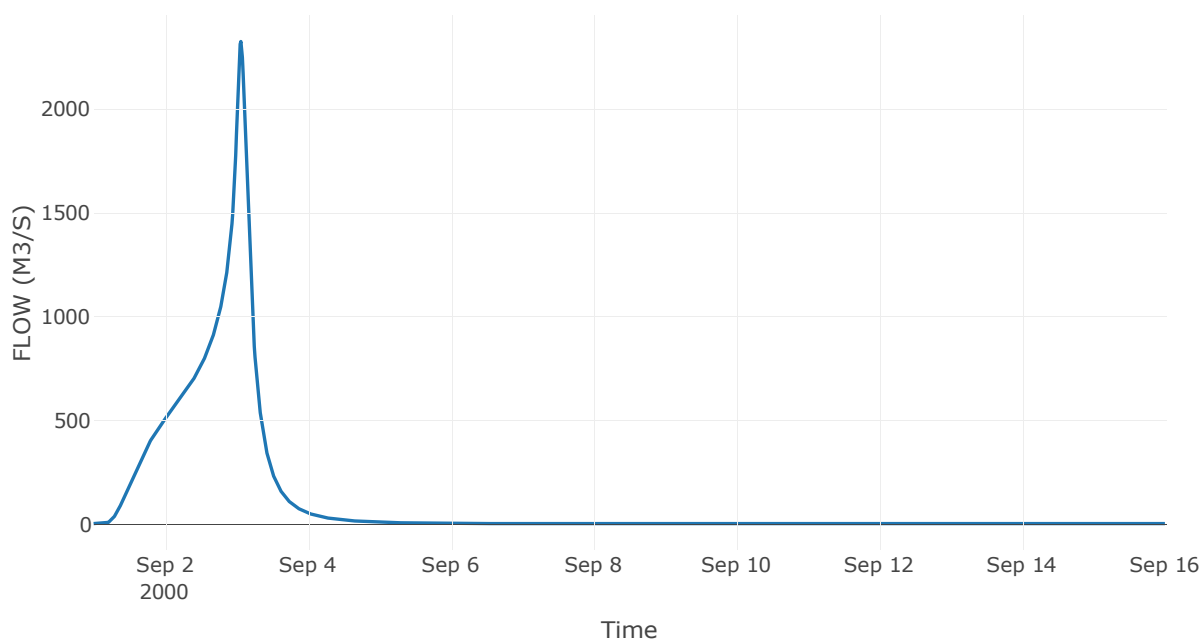
Κατάντη : J12

| | |
|-------------------|------------------|
| Μέθοδος Διόδευσης | Χρόνος Υστέρησης |
| Αρχική Μεταβλητή | Combined Inflow |
| Χρόνος Υστέρησης | 4.04 |

Αποτελέσματα: R1312

| | |
|------------------------------|------------------|
| Παροχή Αιχμής(M3/S) | 2326.34 |
| Χρονική στιγμή αιχμής | 03Sep2000, 01:30 |
| Όγκος(MM) | 427.24 |
| Παροχή Αιχμής Εισόδου (M3/S) | 2327.12 |
| Όγκος Εισροής(M3) | 1.5E8 |

Απορροή



Κλάδος: R1413

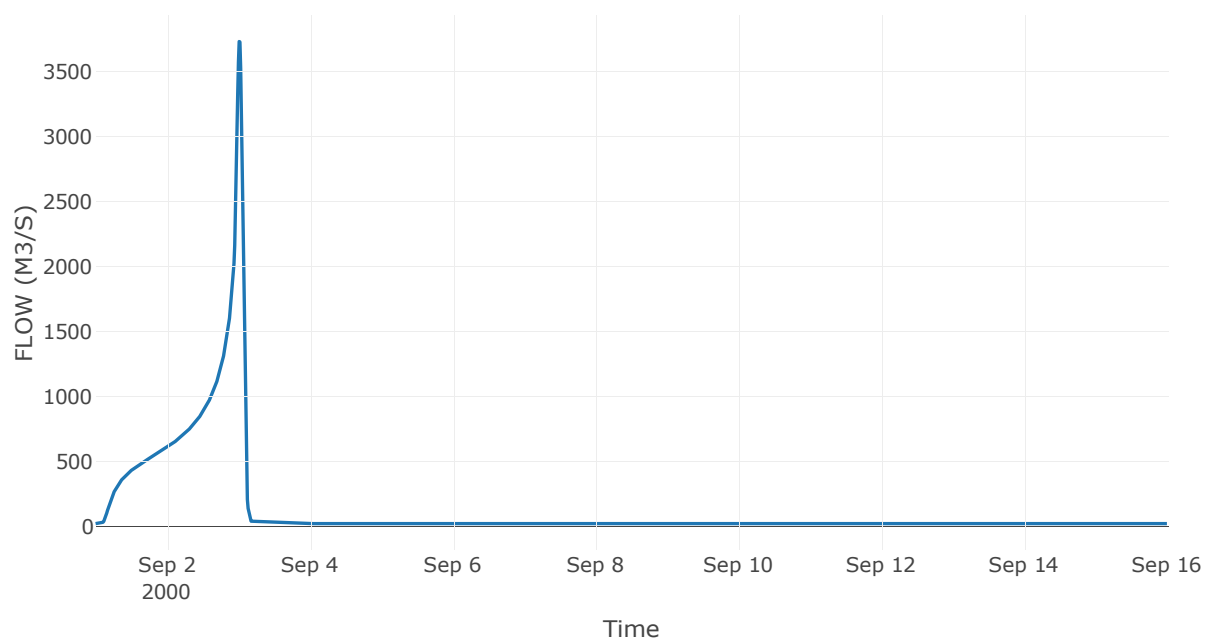
Κατάντη : Diversion - 1

| | |
|-------------------|------------------|
| Μέθοδος Διόδευσης | Χρόνος Υστέρησης |
| Αρχική Μεταβλητή | Combined Inflow |
| Χρόνος Υστέρησης | 4.25 |

Αποτελέσματα: R1413

| | |
|------------------------------|------------------|
| Παροχή Αιχμής(M3/S) | 3730.87 |
| Χρονική στιγμή αιχμής | 03Sep2000, 00:15 |
| Όγκος(MM) | 504.88 |
| Παροχή Αιχμής Εισόδου (M3/S) | 3765.35 |
| Όγκος Εισροής(M3) | 1.73E8 |

Απορροή



Κλάδος: R1514

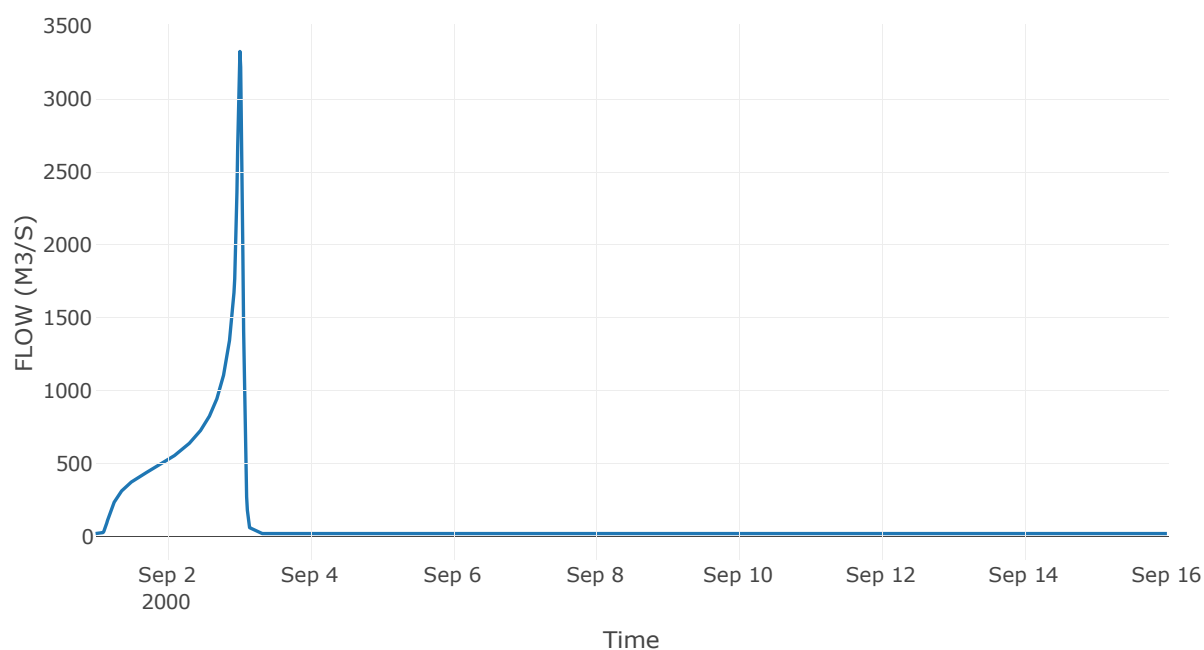
Κατάντη : J14

| | |
|----------------------|-----------------|
| Μέθοδος Διόδευσης | Muskingum |
| Αρχική Μεταβλητή | Combined Inflow |
| Χρόνος Ροής K | 0.34 |
| Συντελεστής βάρους x | 0.2 |
| Πλήθος Υποκλάδων | 2 |

Αποτελέσματα: R1514

| | |
|------------------------------|------------------|
| Παροχή Αιχμής(M3/S) | 3326.04 |
| Χρονική στιγμή αιχμής | 03Sep2000, 00:30 |
| Όγκος(MM) | 504.81 |
| Παροχή Αιχμής Εισόδου (M3/S) | 3380.03 |
| Όγκος Εισροής(M3) | 1.47E8 |

Απορροή



Κλάδος: R1615

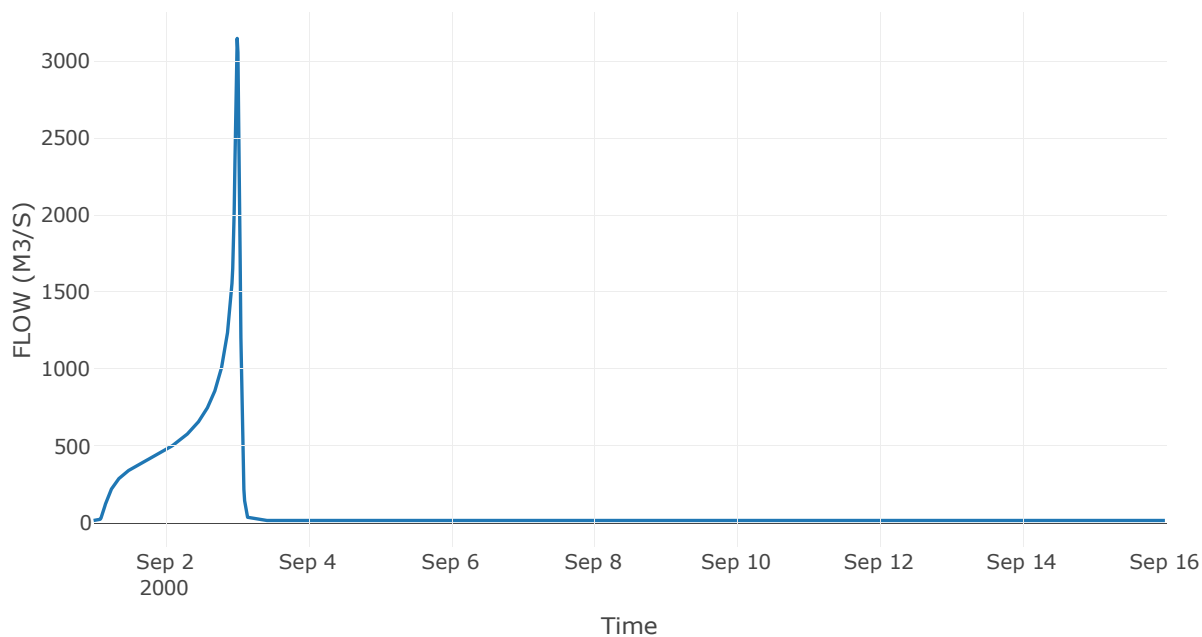
Κατάντη : J15

| | |
|----------------------|-----------------|
| Μέθοδος Διόδευσης | Muskingum |
| Αρχική Μεταβλητή | Combined Inflow |
| Χρόνος Ροής K | 0.3 |
| Συντελεστής βάρους x | 0.2 |
| Πλήθος Υποκλάδων | 1 |

Αποτελέσματα: R1615

| | |
|------------------------------|------------------|
| Παροχή Αιχμής(M3/S) | 3145.42 |
| Χρονική στιγμή αιχμής | 03Sep2000, 00:15 |
| Όγκος(MM) | 507.83 |
| Παροχή Αιχμής Εισόδου (M3/S) | 3240.45 |
| Όγκος Εισροής(M3) | 1.32E8 |

Απορροή



Κλάδος: R1716

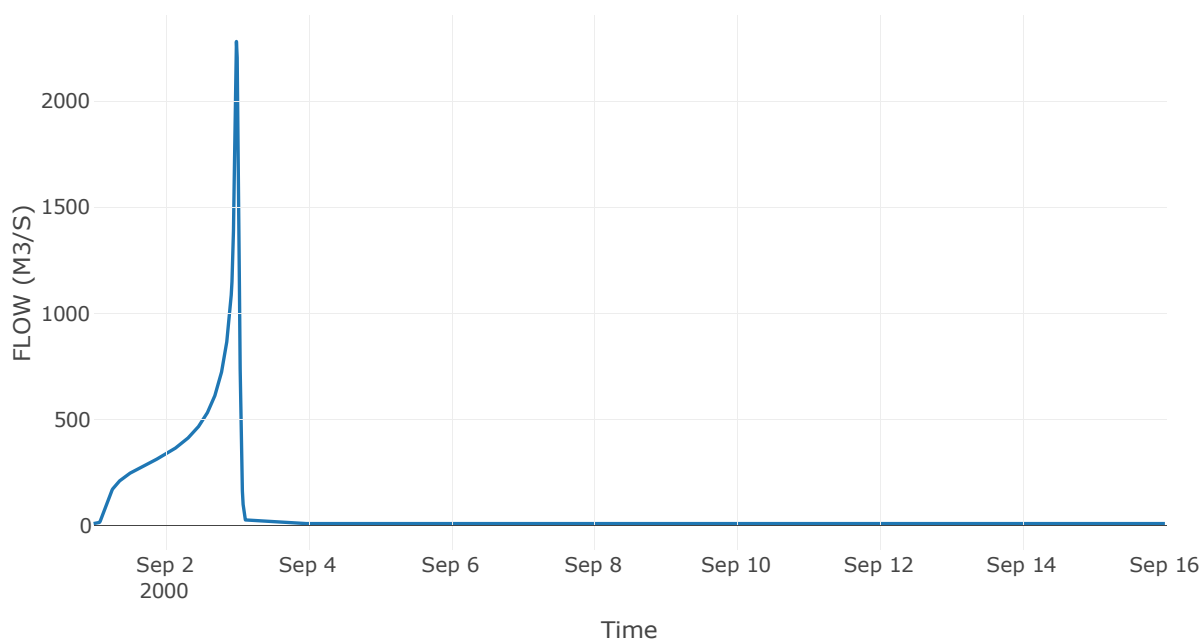
Κατάντη : J16

| | |
|-------------------|------------------|
| Μέθοδος Διόδευσης | Χρόνος Υστέρησης |
| Αρχική Μεταβλητή | Combined Inflow |
| Χρόνος Υστέρησης | 10.34 |

Αποτελέσματα: R1716

| | |
|------------------------------|------------------|
| Παροχή Αιχμής(M3/S) | 2279.96 |
| Χρονική στιγμή αιχμής | 02Sep2000, 24:00 |
| Όγκος(MM) | 511.42 |
| Παροχή Αιχμής Εισόδου (M3/S) | 2284.48 |
| Όγκος Εισροής(M3) | 9.28E7 |

Απορροή



Κλάδος: R1817

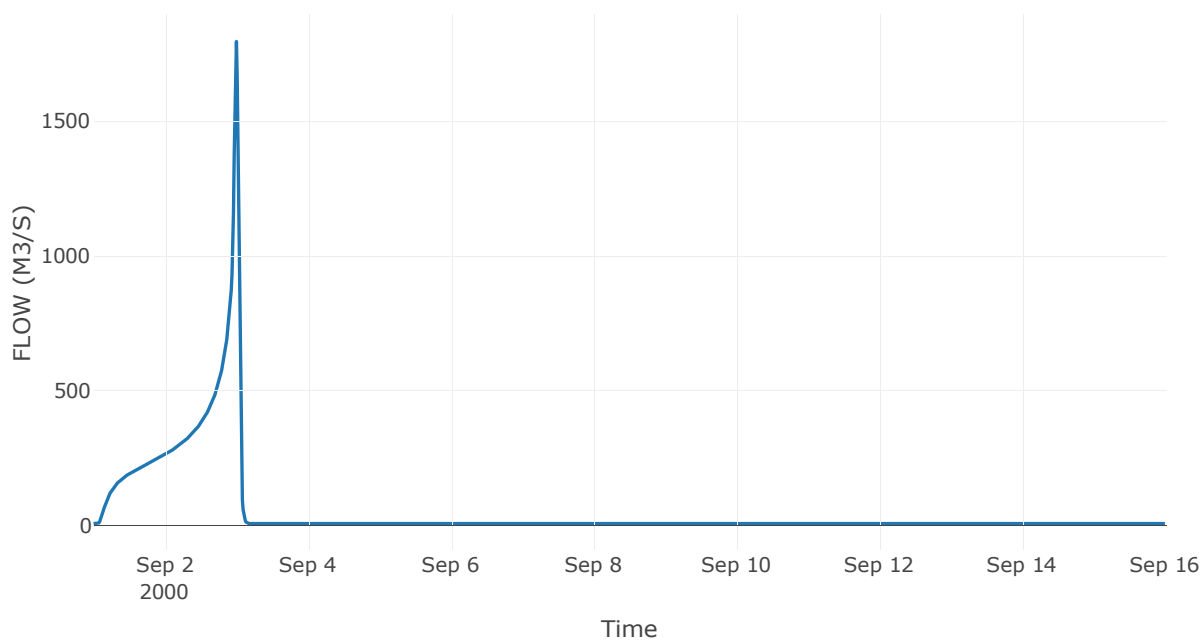
Κατάντη : J17

| | |
|-------------------|------------------|
| Μέθοδος Διόδευσης | Χρόνος Υστέρησης |
| Αρχική Μεταβλητή | Combined Inflow |
| Χρόνος Υστέρησης | 4.27 |

Αποτελέσματα: R1817

| | |
|------------------------------|------------------|
| Παροχή Αιχμής(M3/S) | 1795.17 |
| Χρονική στιγμή αιχμής | 02Sep2000, 24:00 |
| Όγκος(MM) | 510.58 |
| Παροχή Αιχμής Εισόδου (M3/S) | 1814.94 |
| Όγκος Εισροής(M3) | 7.28E7 |

Απορροή



Κλάδος: R1918

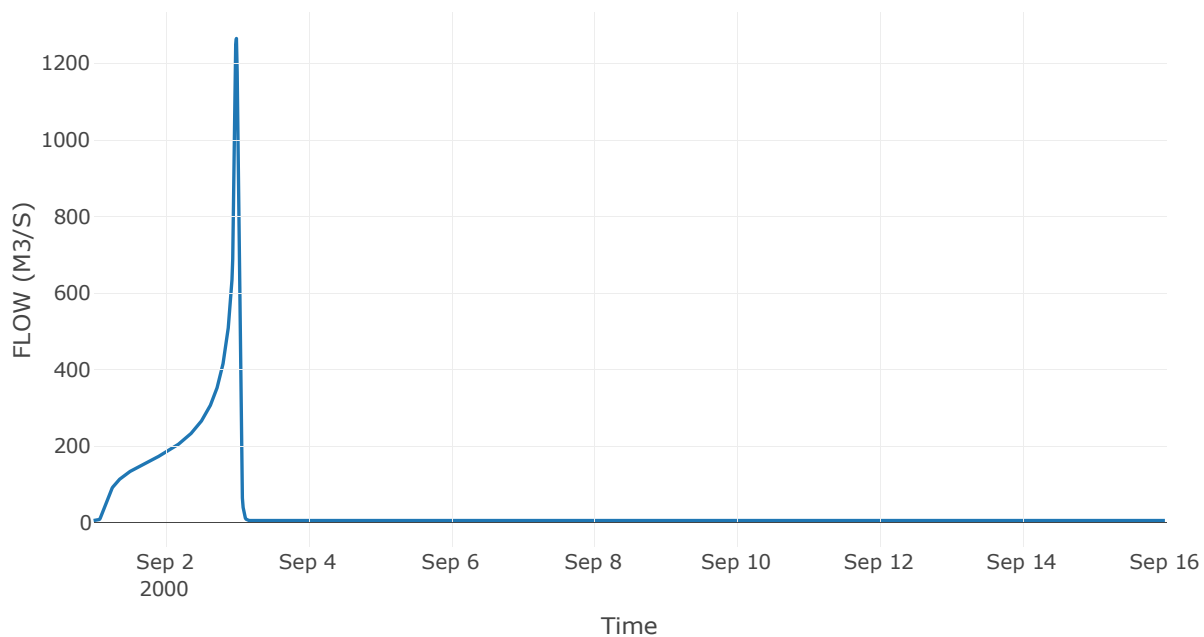
Κατάντη : J18

| | |
|-------------------|------------------|
| Μέθοδος Διόδευσης | Χρόνος Υστέρησης |
| Αρχική Μεταβλητή | Combined Inflow |
| Χρόνος Υστέρησης | 17.85 |

Αποτελέσματα: R1918

| | |
|------------------------------|------------------|
| Παροχή Αιχμής(M3/S) | 1264.31 |
| Χρονική στιγμή αιχμής | 02Sep2000, 24:00 |
| Όγκος(MM) | 512.52 |
| Παροχή Αιχμής Εισόδου (M3/S) | 1264.49 |
| Όγκος Εισροής(M3) | 5.02E7 |

Απορροή



Κλάδος: R2019

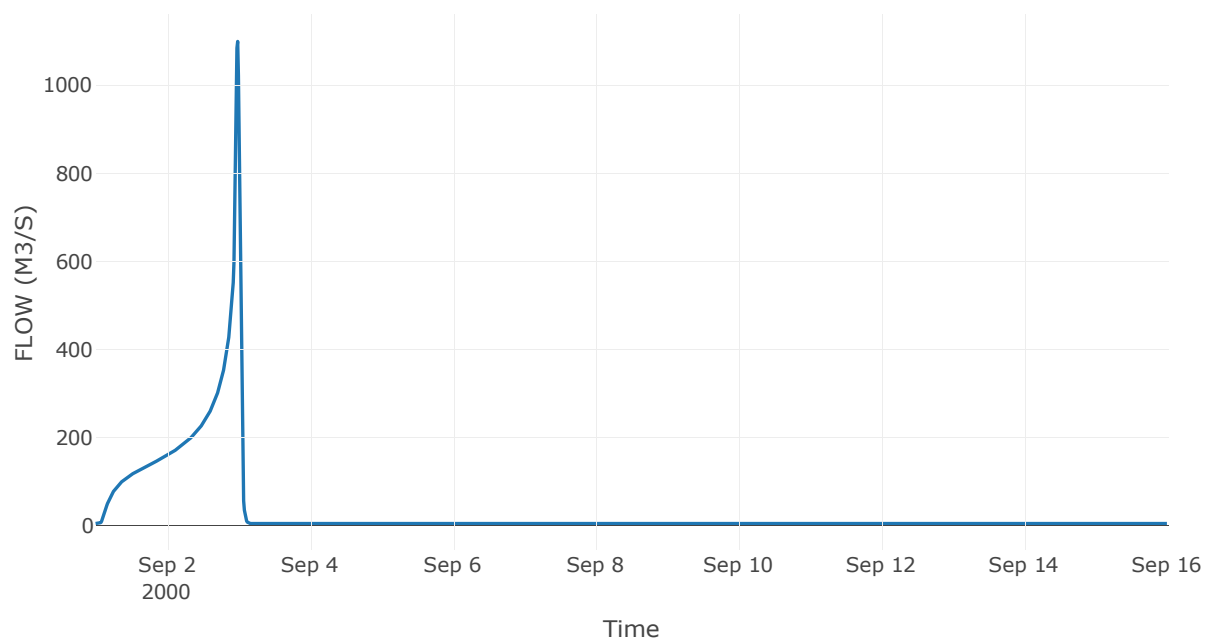
Κατάντη : J19

| | |
|-------------------|------------------|
| Μέθοδος Διόδευσης | Χρόνος Υστέρησης |
| Αρχική Μεταβλητή | Combined Inflow |
| Χρόνος Υστέρησης | 1.63 |

Αποτελέσματα: R2019

| | |
|------------------------------|------------------|
| Παροχή Αιχμής(M3/S) | 1099.41 |
| Χρονική στιγμή αιχμής | 02Sep2000, 23:45 |
| Όγκος(MM) | 513.75 |
| Παροχή Αιχμής Εισόδου (M3/S) | 1099.92 |
| Όγκος Εισροής(M3) | 4.36E7 |

Απορροή



Κλάδος: R2120

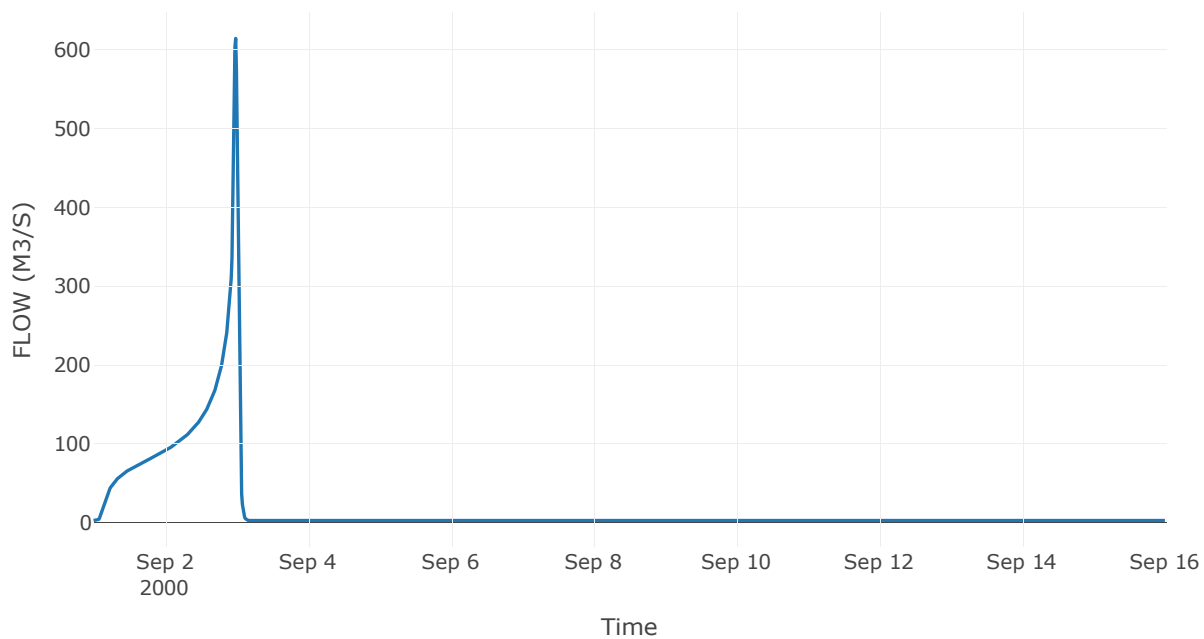
Κατάντη : J20

| | |
|-------------------|------------------|
| Μέθοδος Διόδευσης | Χρόνος Υστέρησης |
| Αρχική Μεταβλητή | Combined Inflow |
| Χρόνος Υστέρησης | 1.62 |

Αποτελέσματα: R2120

| | |
|------------------------------|------------------|
| Παροχή Αιχμής(M3/S) | 614 |
| Χρονική στιγμή αιχμής | 02Sep2000, 23:45 |
| Όγκος(MM) | 522.18 |
| Παροχή Αιχμής Εισόδου (M3/S) | 614.47 |
| Όγκος Εισροής(M3) | 2.48E7 |

Απορροή



Κλάδος: R2220

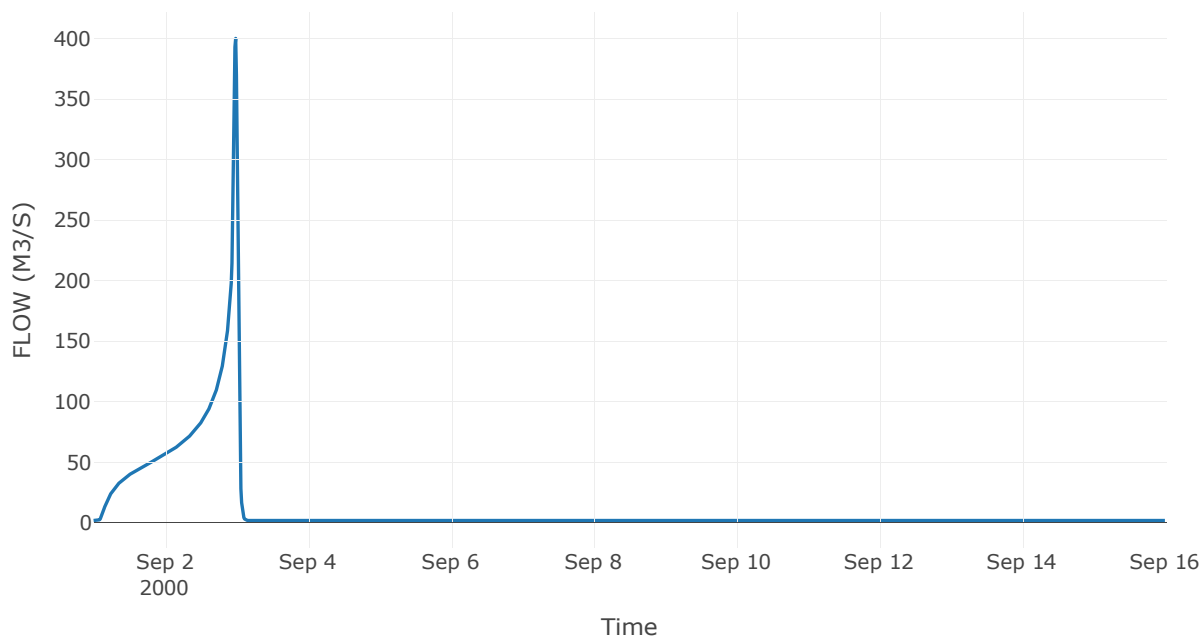
Κατάντη : J20

| | |
|-------------------|------------------|
| Μέθοδος Διόδευσης | Χρόνος Υστέρησης |
| Αρχική Μεταβλητή | Combined Inflow |
| Χρόνος Υστέρησης | 6.8 |

Αποτελέσματα: R2220

| | |
|------------------------------|------------------|
| Παροχή Αιχμής(M3/S) | 399.89 |
| Χρονική στιγμή αιχμής | 02Sep2000, 23:45 |
| Όγκος(MM) | 501.76 |
| Παροχή Αιχμής Εισόδου (M3/S) | 407.42 |
| Όγκος Εισροής(M3) | 1.54E7 |

Απορροή



Κλάδος: R2314

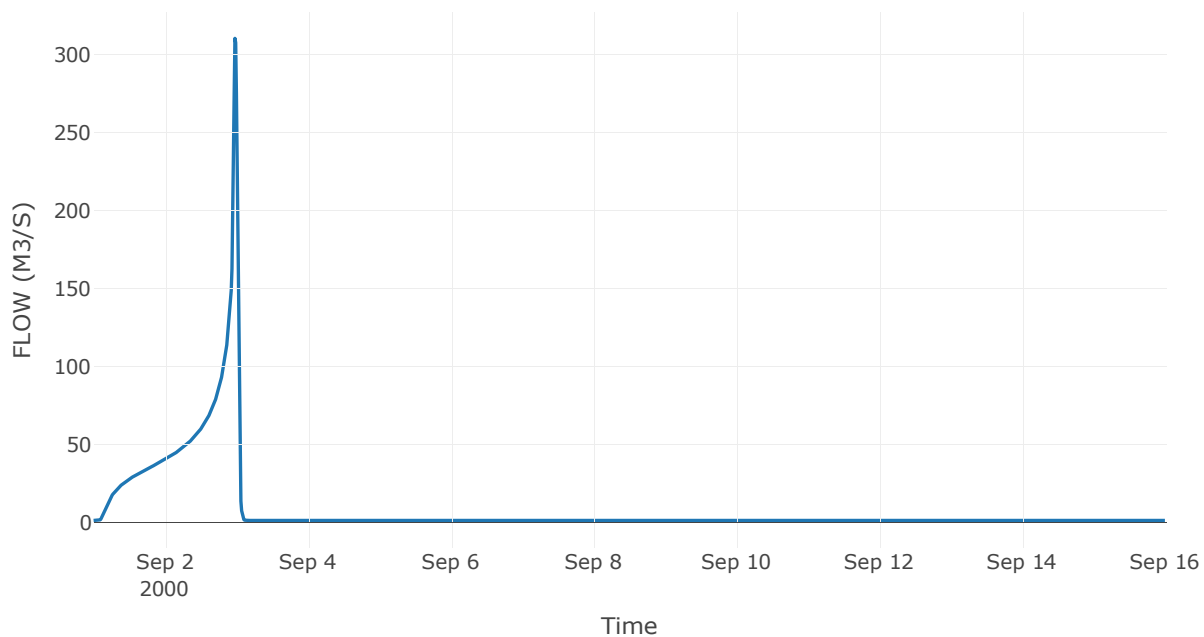
Κατάντη : J14

| | |
|-------------------|------------------|
| Μέθοδος Διόδευσης | Χρόνος Υστέρησης |
| Αρχική Μεταβλητή | Combined Inflow |
| Χρόνος Υστέρησης | 5.94 |

Αποτελέσματα: R2314

| | |
|------------------------------|------------------|
| Παροχή Αιχμής(M3/S) | 310.24 |
| Χρονική στιγμή αιχμής | 02Sep2000, 23:30 |
| Όγκος(MM) | 517.12 |
| Παροχή Αιχμής Εισόδου (M3/S) | 319.23 |
| Όγκος Εισροής(M3) | 1.11E7 |

Απορροή



Κλάδος: R2411

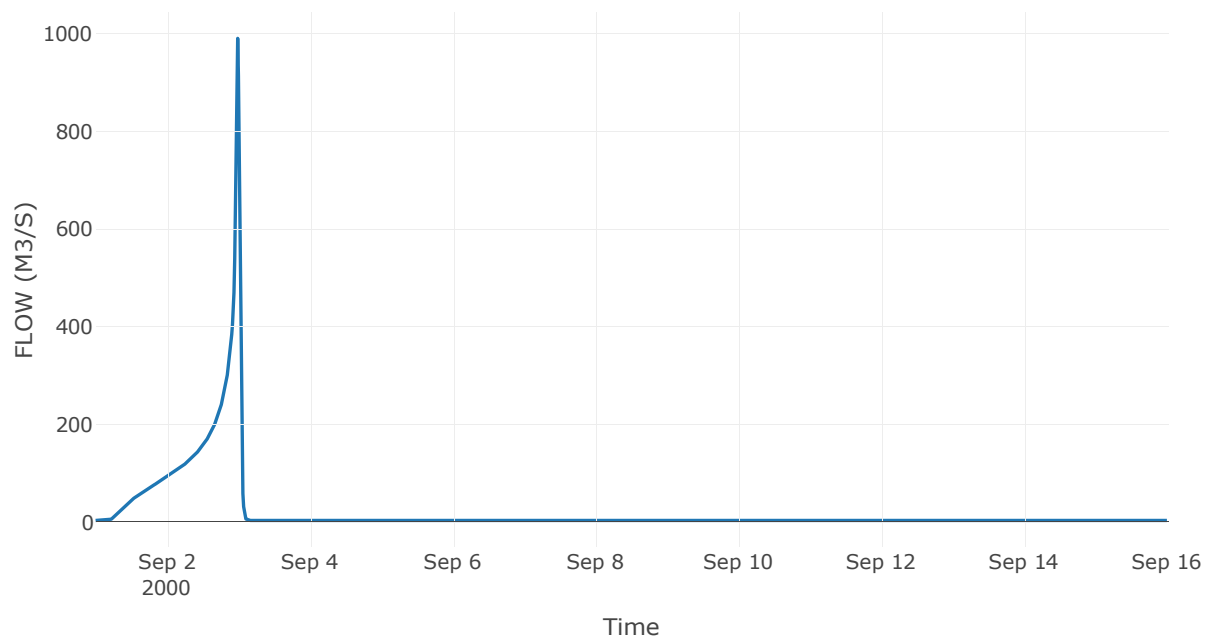
Κατάντη : J11

| | |
|-------------------|------------------|
| Μέθοδος Διόδευσης | Χρόνος Υστέρησης |
| Αρχική Μεταβλητή | Combined Inflow |
| Χρόνος Υστέρησης | 5.36 |

Αποτελέσματα: R2411

| | |
|------------------------------|------------------|
| Παροχή Αιχμής(M3/S) | 990.31 |
| Χρονική στιγμή αιχμής | 02Sep2000, 23:45 |
| Όγκος(MM) | 469.61 |
| Παροχή Αιχμής Εισόδου (M3/S) | 996.23 |
| Όγκος Εισροής(M3) | 2.93E7 |

Απορροή



Κλάδος: R2524

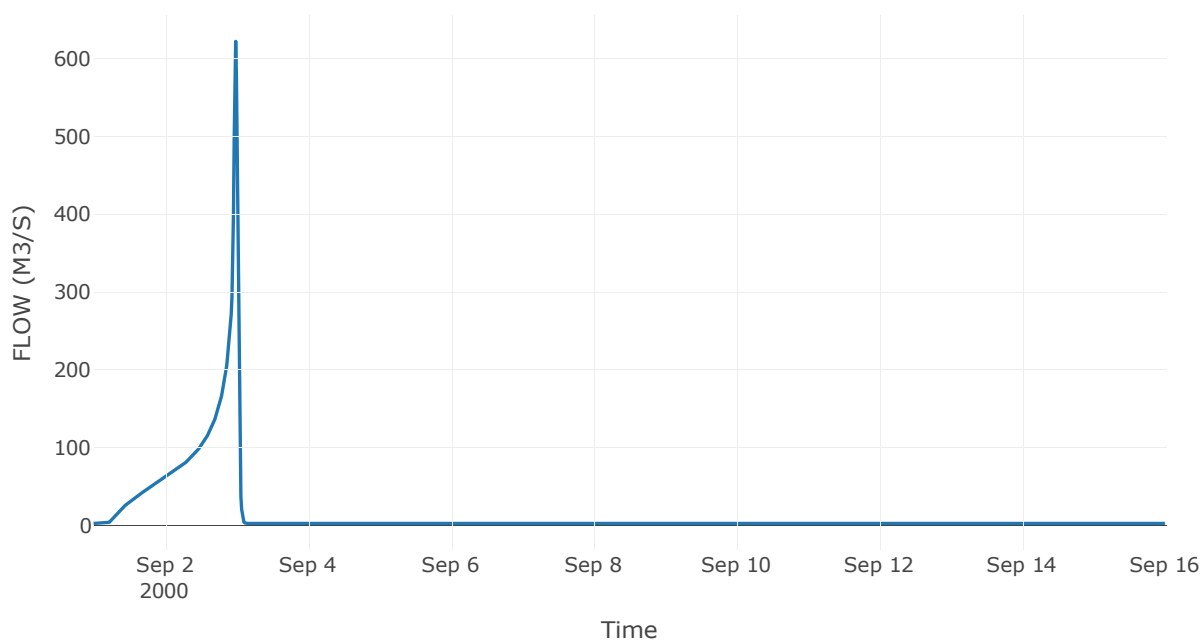
Κατάντη : J24

| | |
|-------------------|------------------|
| Μέθοδος Διόδευσης | Χρόνος Υστέρησης |
| Αρχική Μεταβλητή | Combined Inflow |
| Χρόνος Υστέρησης | 10.89 |

Αποτελέσματα: R2524

| | |
|------------------------------|------------------|
| Παροχή Αιχμής(M3/S) | 621.96 |
| Χρονική στιγμή αιχμής | 02Sep2000, 23:45 |
| Όγκος(MM) | 480.26 |
| Παροχή Αιχμής Εισόδου (M3/S) | 631.39 |
| Όγκος Εισροής(M3) | 1.87E7 |

Απορροή



Κλάδος: R2610

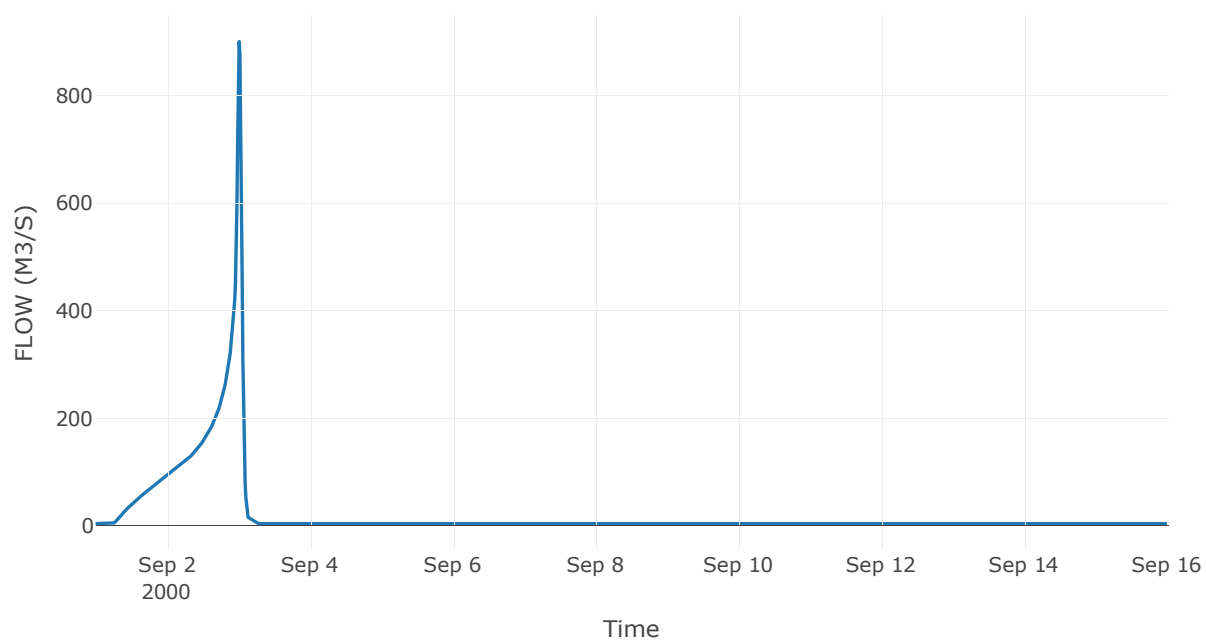
Κατάντη : J10

| | |
|-------------------|------------------|
| Μέθοδος Διόδευσης | Χρόνος Υστέρησης |
| Αρχική Μεταβλητή | Combined Inflow |
| Χρόνος Υστέρησης | 30.9 |

Αποτελέσματα: R2610

| | |
|------------------------------|------------------|
| Παροχή Αιχμής(M3/S) | 900.52 |
| Χρονική στιγμή αιχμής | 03Sep2000, 00:15 |
| Όγκος(MM) | 419.13 |
| Παροχή Αιχμής Εισόδου (M3/S) | 900.52 |
| Όγκος Εισροής(M3) | 3.02E7 |

Απορροή



Κλάδος: R278

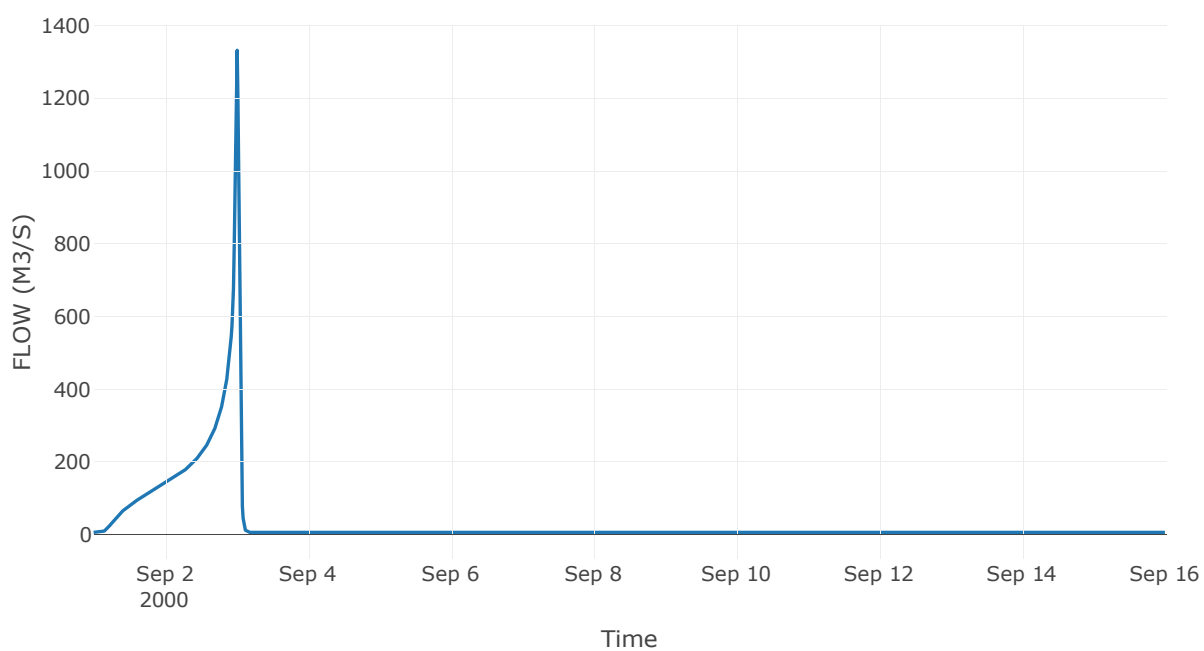
Κατάντη : J8

| | |
|-------------------|------------------|
| Μέθοδος Διόδευσης | Χρόνος Υστέρησης |
| Αρχική Μεταβλητή | Combined Inflow |
| Χρόνος Υστέρησης | 28.73 |

Αποτελέσματα: R278

| | |
|------------------------------|------------------|
| Παροχή Αιχμής(M3/S) | 1331.52 |
| Χρονική στιγμή αιχμής | 03Sep2000, 00:15 |
| Όγκος(MM) | 444.94 |
| Παροχή Αιχμής Εισόδου (M3/S) | 1347.64 |
| Όγκος Εισροής(M3) | 4.33E7 |

Απορροή



Κλάδος: R2827

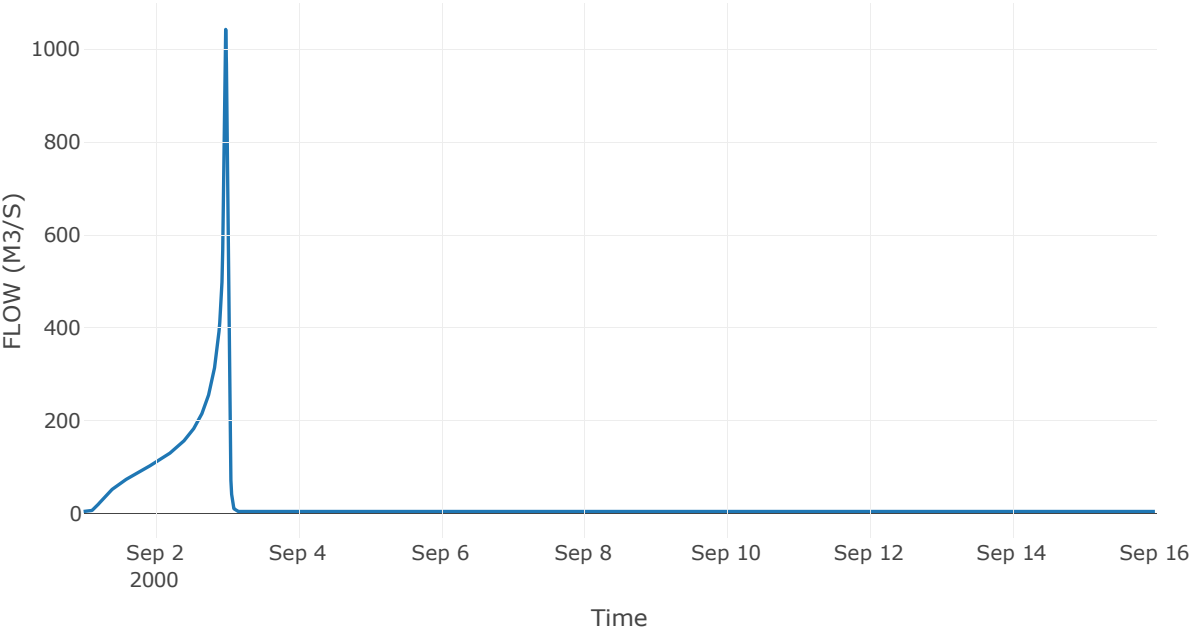
Κατάντη : J27

| | |
|-------------------|------------------|
| Μέθοδος Διόδευσης | Χρόνος Υστέρησης |
| Αρχική Μεταβλητή | Combined Inflow |
| Χρόνος Υστέρησης | 3.43 |

Αποτελέσματα: R2827

| | |
|------------------------------|------------------|
| Παροχή Αιχμής(M3/S) | 1042.66 |
| Χρονική στιγμή αιχμής | 02Sep2000, 23:45 |
| Όγκος(MM) | 446.13 |
| Παροχή Αιχμής Εισόδου (M3/S) | 1046.97 |
| Όγκος Εισροής(M3) | 3.34E7 |

Απορροή



Κλάδος: R2928

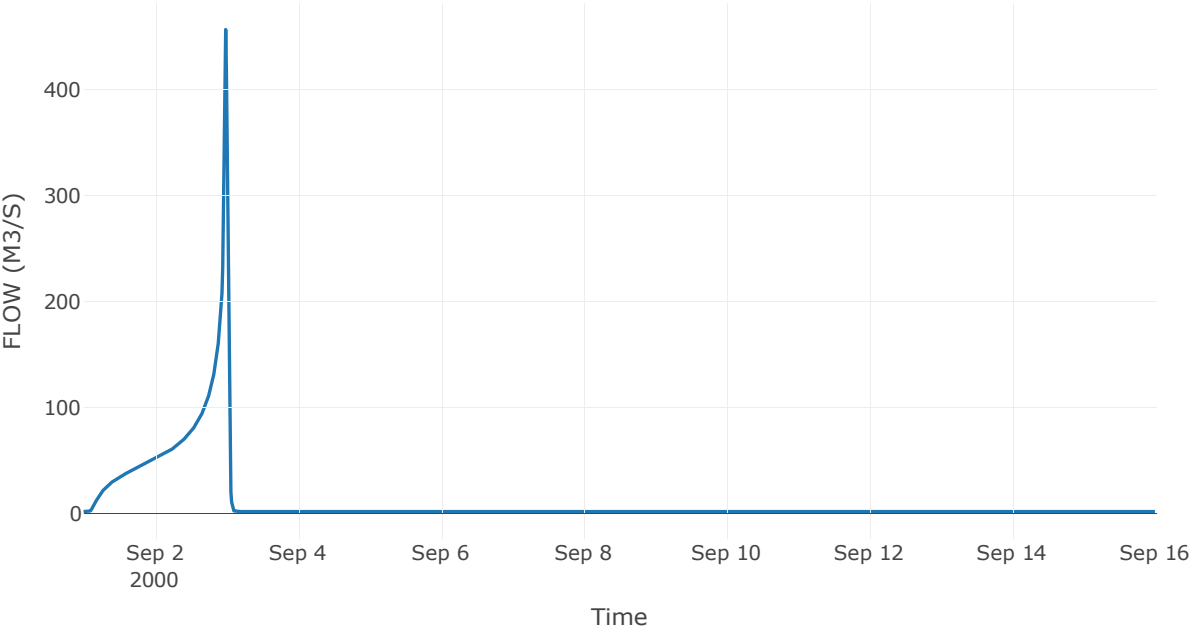
Κατάντη : J28

| | |
|-------------------|------------------|
| Μέθοδος Διόδευσης | Χρόνος Υστέρησης |
| Αρχική Μεταβλητή | Combined Inflow |
| Χρόνος Υστέρησης | 15.08 |

Αποτελέσματα: R2928

| | |
|------------------------------|------------------|
| Παροχή Αιχμής(M3/S) | 456.69 |
| Χρονική στιγμή αιχμής | 02Sep2000, 23:45 |
| Όγκος(MM) | 466.59 |
| Παροχή Αιχμής Εισόδου (M3/S) | 456.69 |
| Όγκος Εισροής(M3) | 1.49E7 |

Απορροή



Κλάδος: R302

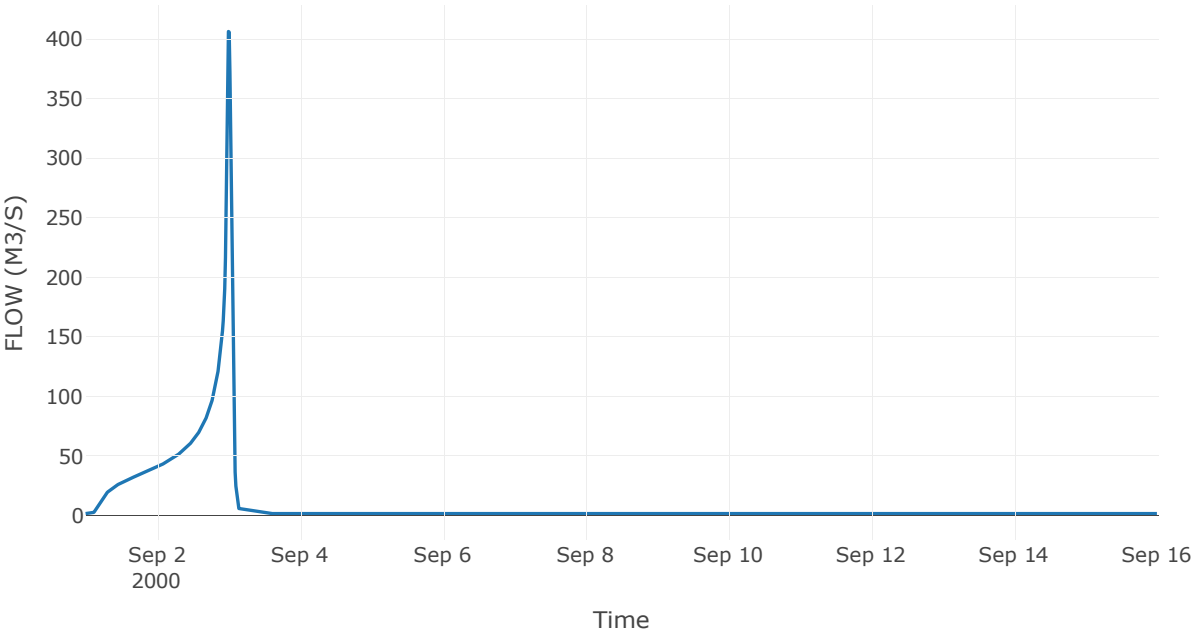
Κατάντη : J2

| | |
|----------------------|-----------------|
| Μέθοδος Διόδευσης | Muskingum |
| Αρχική Μεταβλητή | Combined Inflow |
| Χρόνος Ροής K | 0.23 |
| Συντελεστής βάρους x | 0.2 |
| Πλήθος Υποκλάδων | 1 |

Αποτελέσματα: R302

| | |
|------------------------------|------------------|
| Παροχή Αιχμής(M3/S) | 406.33 |
| Χρονική στιγμή αιχμής | 02Sep2000, 24:00 |
| Όγκος(MM) | 449.16 |
| Παροχή Αιχμής Εισόδου (M3/S) | 416.34 |
| Όγκος Εισροής(M3) | 1.34E7 |

Απορροή



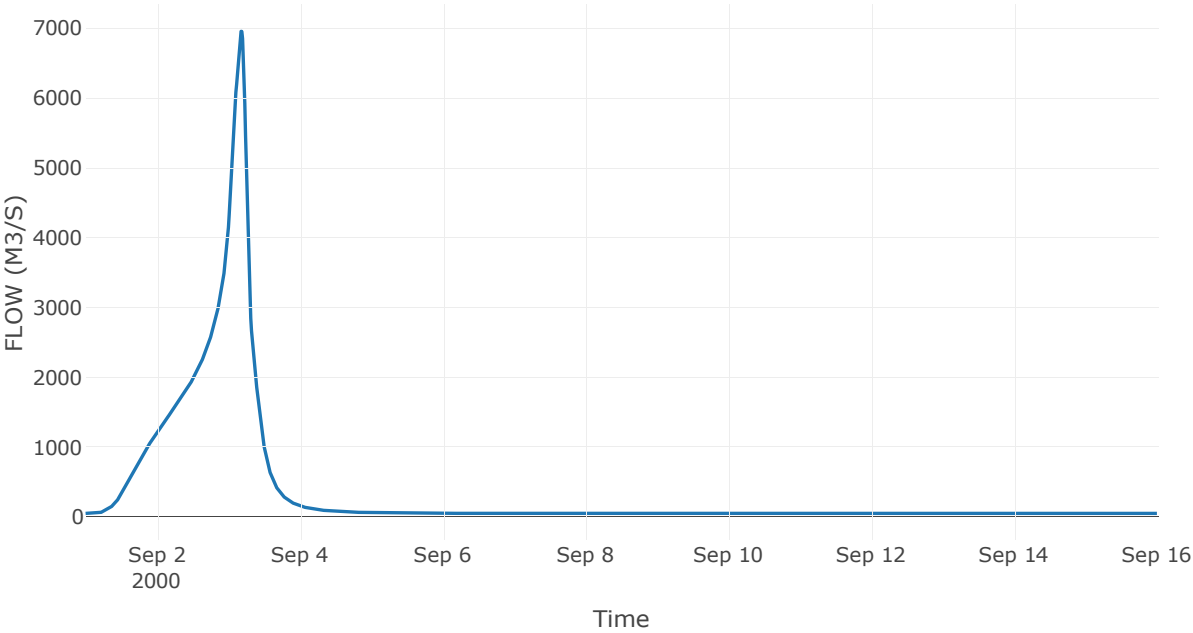
10.3 Δεδομένα και Υδρογραφήματα Σχεδιασμού Κόμβων Υδρογραφικού Δικτύου

Κόμβος εξόδου: J1

Αποτελέσματ
α: J1

| | |
|-----------------------|------------------|
| Παροχή αιχμής (M3/S) | 6956.35 |
| Χρονική στιγμή αιχμής | 03Sep2000, 04:15 |
| Όγκος (MM) | 435.07 |

Απορροή



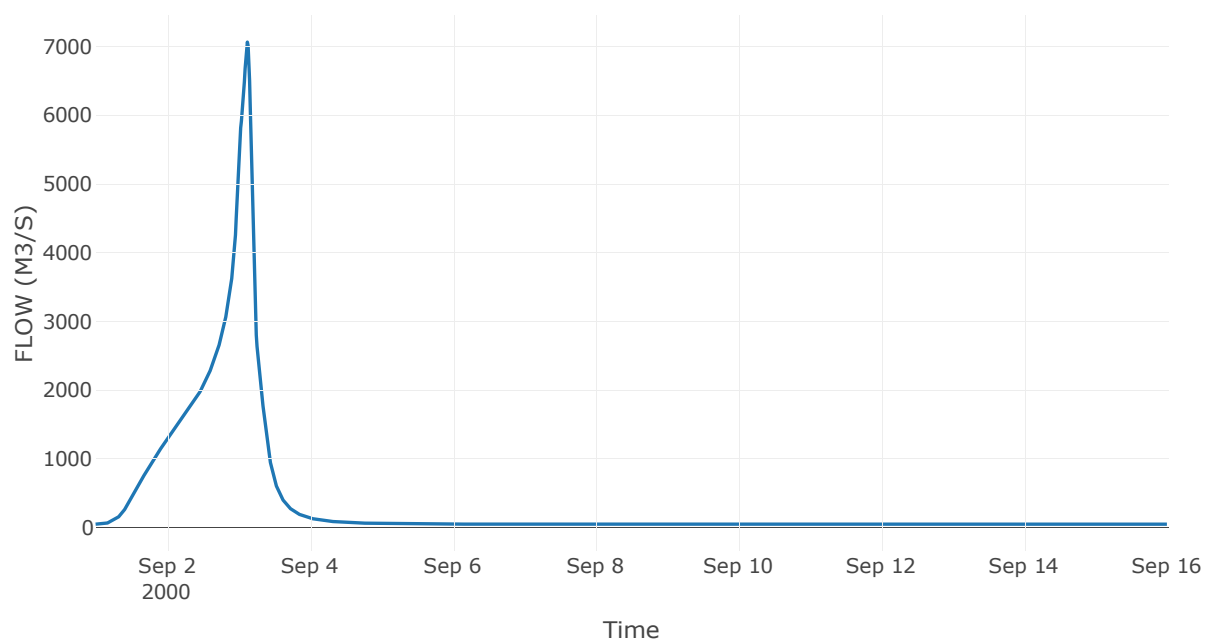
Κόμβος: J2

Κατάντη : R21

Αποτελέσματα: J2

| | |
|-----------------------|------------------|
| Παροχή Αιχμής(M3/S) | 7064.89 |
| Χρονική στιγμή αιχμής | 03Sep2000, 03:00 |
| Όγκος(MM) | 435.99 |

Απορροή



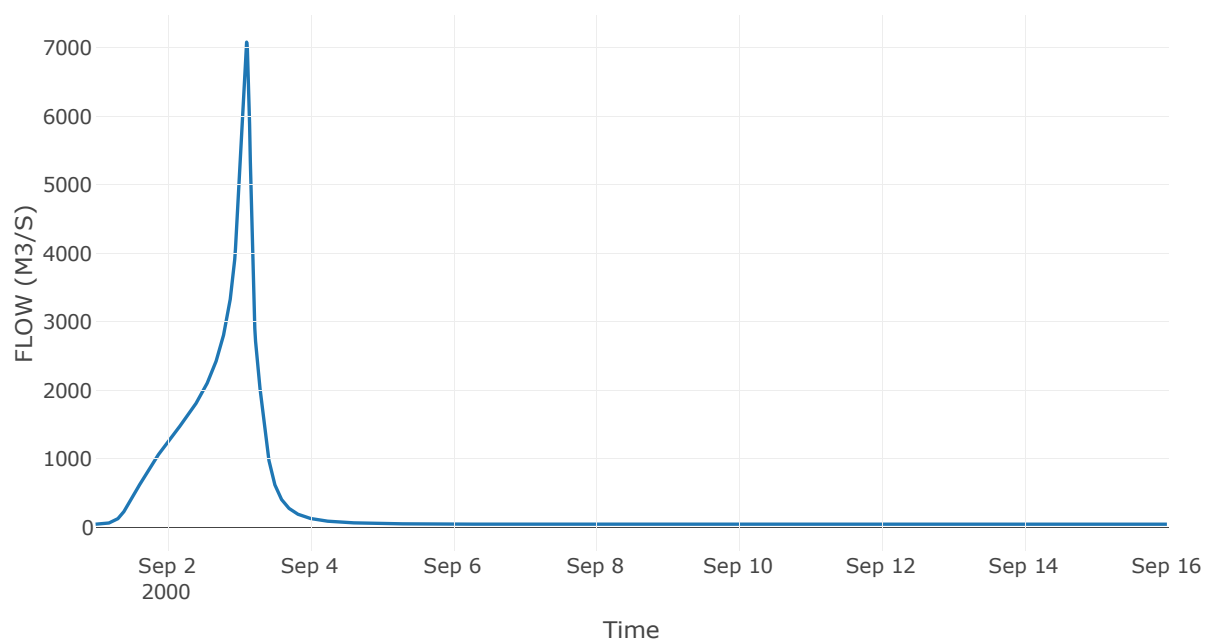
Κόμβος: J3

Κατάντη : R32

Αποτελέσματα: J3

| | |
|-----------------------|------------------|
| Παροχή Αιχμής(M3/S) | 7083.66 |
| Χρονική στιγμή αιχμής | 03Sep2000, 02:45 |
| Όγκος(MM) | 435.7 |

Απορροή



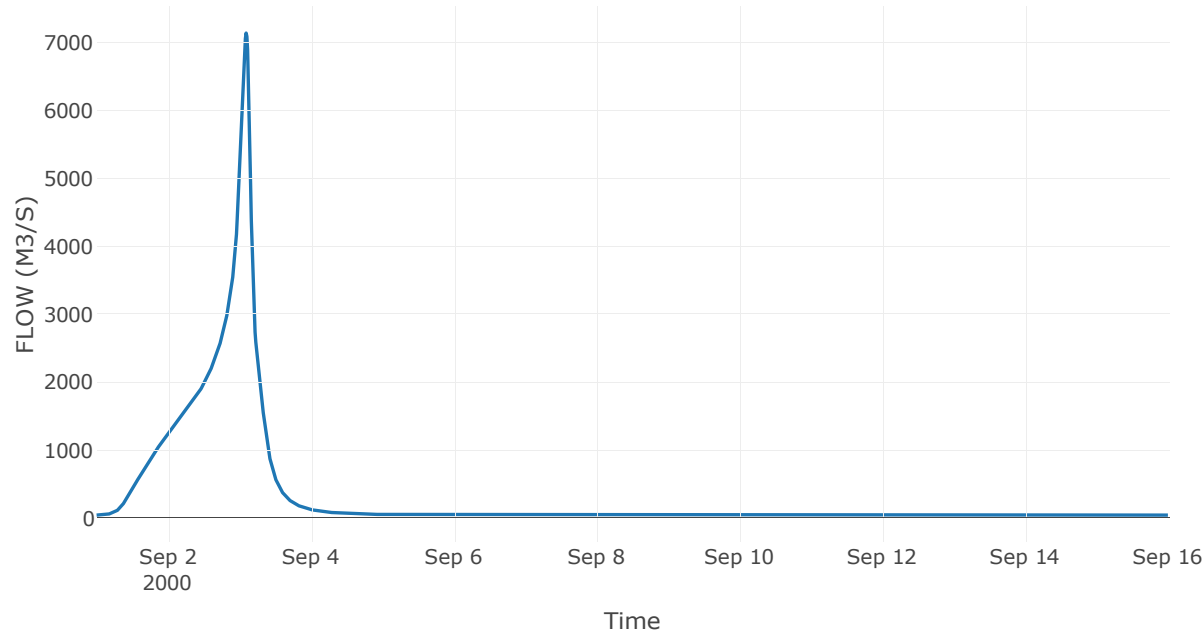
Κόμβος: J4

Κατάντη : R43

Αποτελέσματα: J4

| | |
|-----------------------|------------------|
| Παροχή Αιχμής(M3/S) | 7138.26 |
| Χρονική στιγμή αιχμής | 03Sep2000, 02:15 |
| Όγκος(MM) | 436.09 |

Απορροή



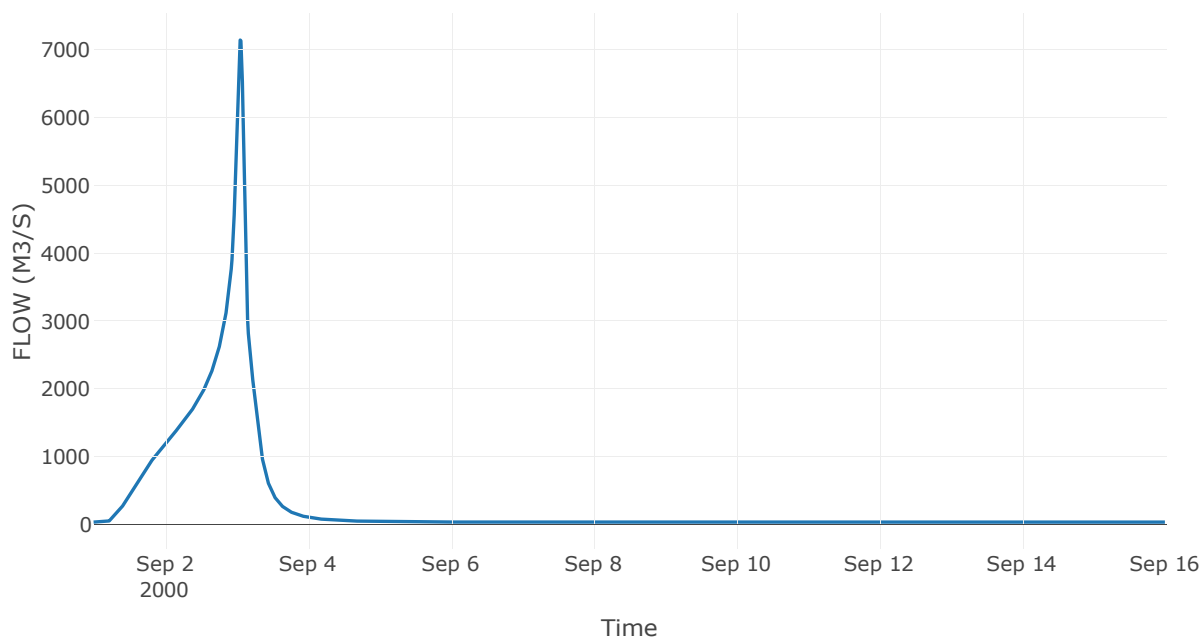
Κόμβος: J5

Κατάντη : R54

Αποτελέσματα: J5

| | |
|-----------------------|------------------|
| Παροχή Αιχμής(M3/S) | 7142.65 |
| Χρονική στιγμή αιχμής | 03Sep2000, 01:15 |
| Όγκος(MM) | 435.93 |

Απορροή



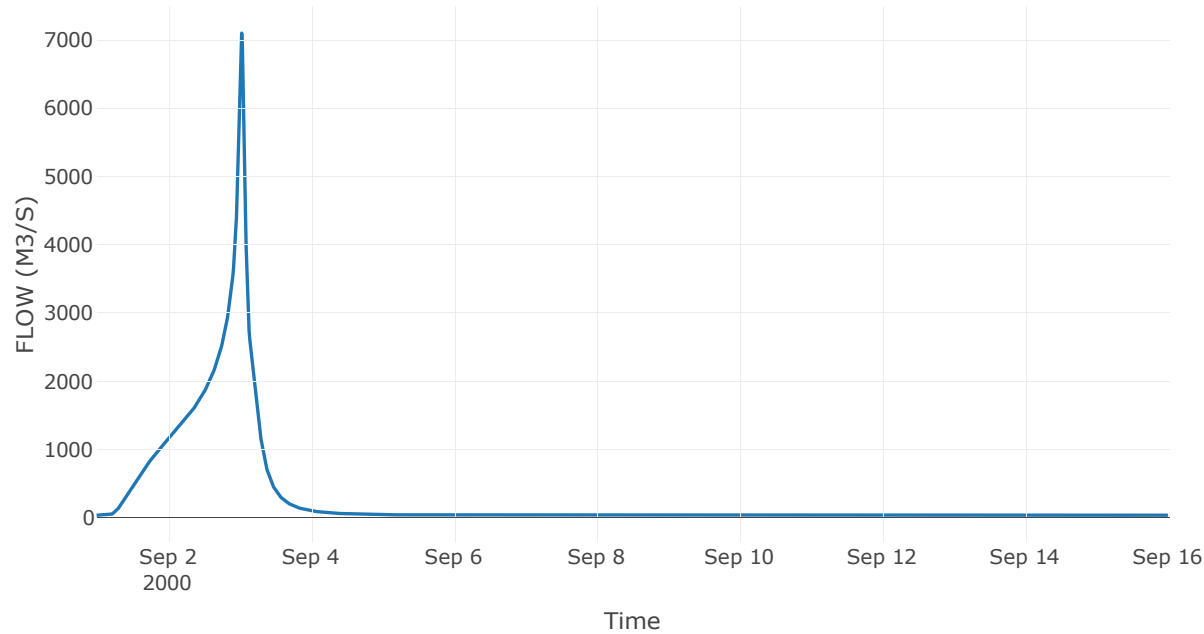
Κόμβος: J6

Κατάντη : R65

Αποτελέσματα: J6

| | |
|-----------------------|------------------|
| Παροχή Αιχμής(M3/S) | 7101.16 |
| Χρονική στιγμή αιχμής | 03Sep2000, 00:45 |
| Όγκος(MM) | 435.94 |

Απορροή



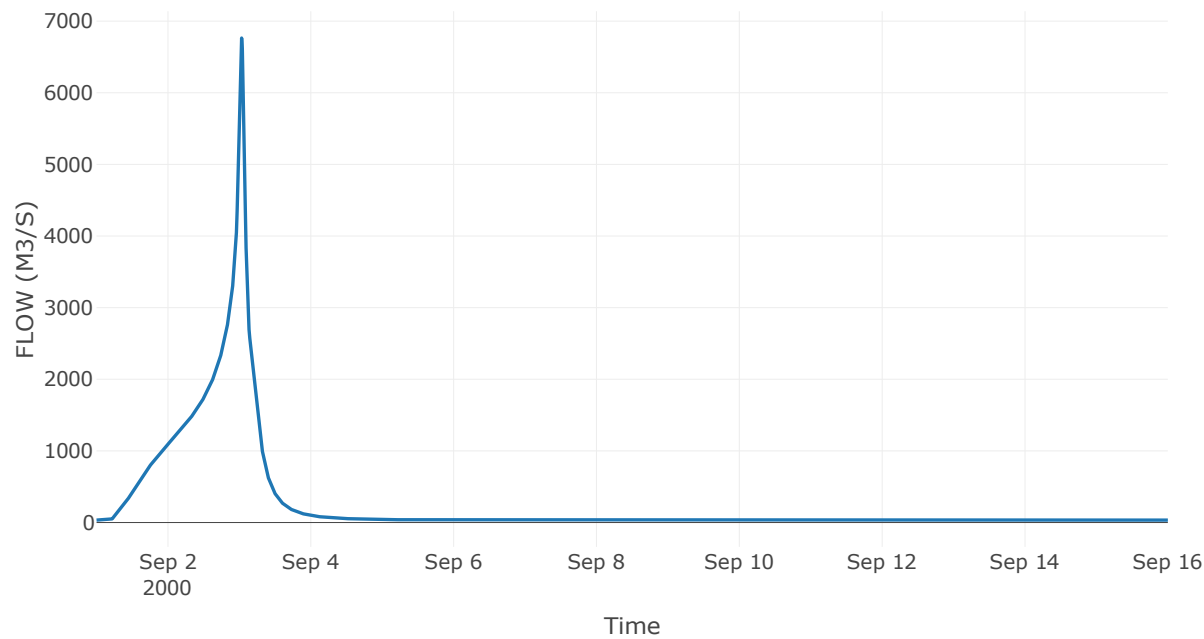
Κόμβος: J7

Κατάντη : R76

Αποτελέσματα: J7

| | |
|-----------------------|------------------|
| Παροχή Αιχμής(M3/S) | 6764.11 |
| Χρονική στιγμή αιχμής | 03Sep2000, 00:45 |
| Όγκος(MM) | 436.99 |

Απορροή



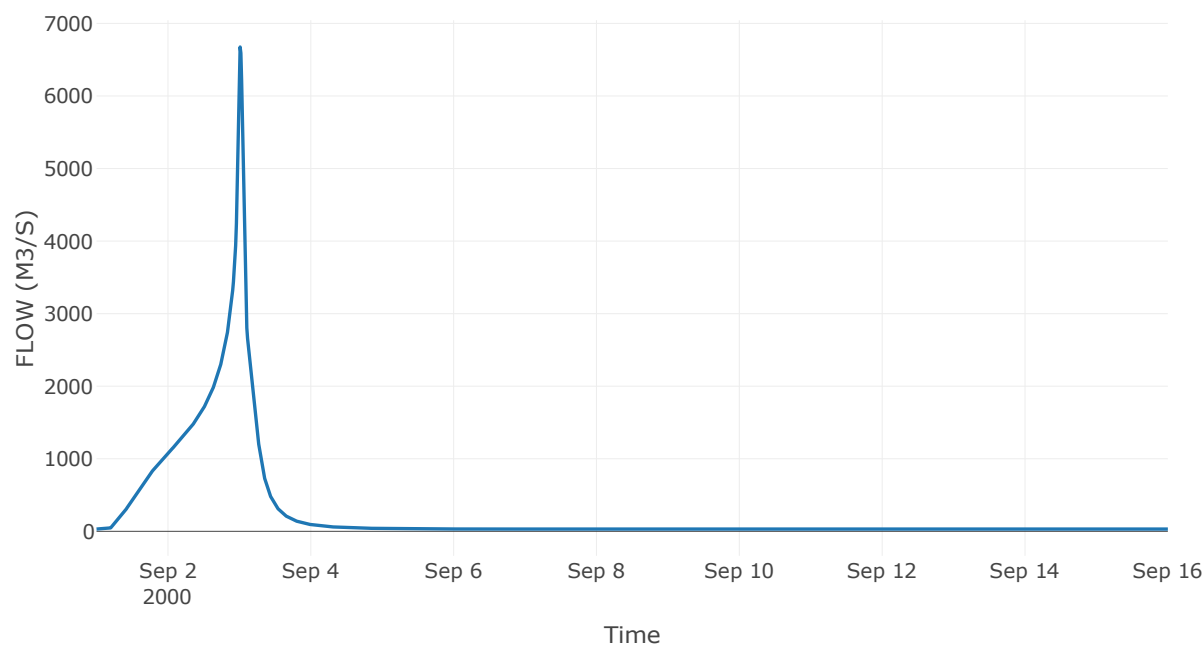
Κόμβος: J8

Κατάντη : R87

Αποτελέσματα: J8

| | |
|-----------------------|------------------|
| Παροχή Αιχμής(M3/S) | 6675.18 |
| Χρονική στιγμή αιχμής | 03Sep2000, 00:15 |
| Όγκος(MM) | 438.44 |

Απορροή



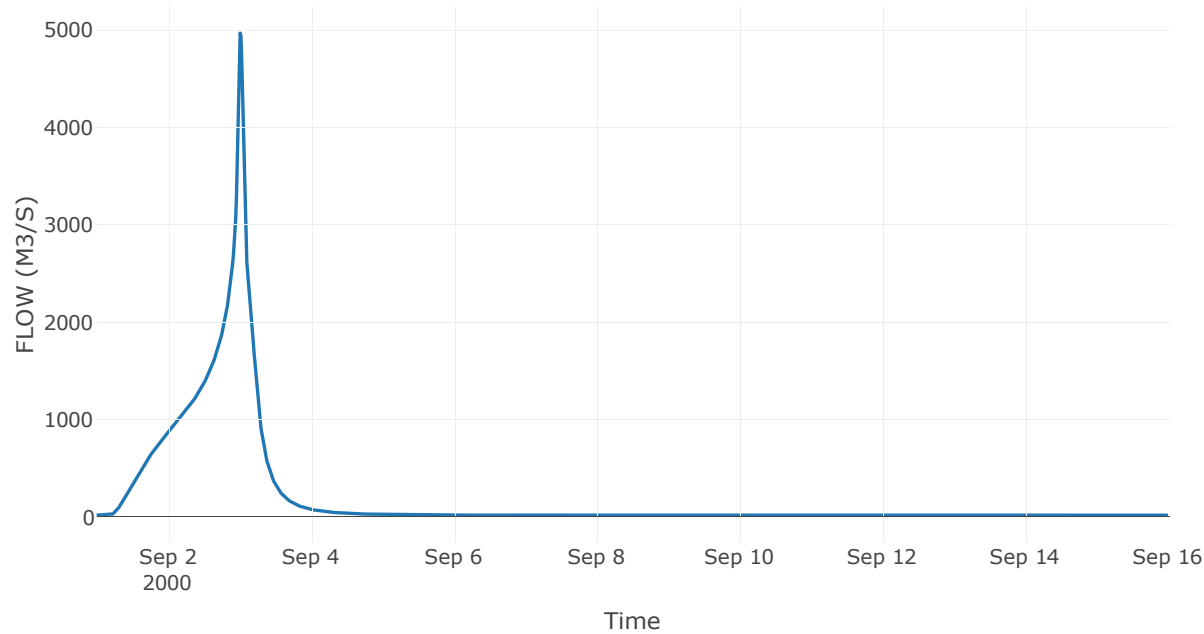
Κόμβος: J9

Κατάντη : R98

Αποτελέσματα: J9

| | |
|-----------------------|------------------|
| Παροχή Αιχμής(M3/S) | 4970.38 |
| Χρονική στιγμή αιχμής | 03Sep2000, 00:15 |
| Όγκος(MM) | 438.68 |

Απορροή



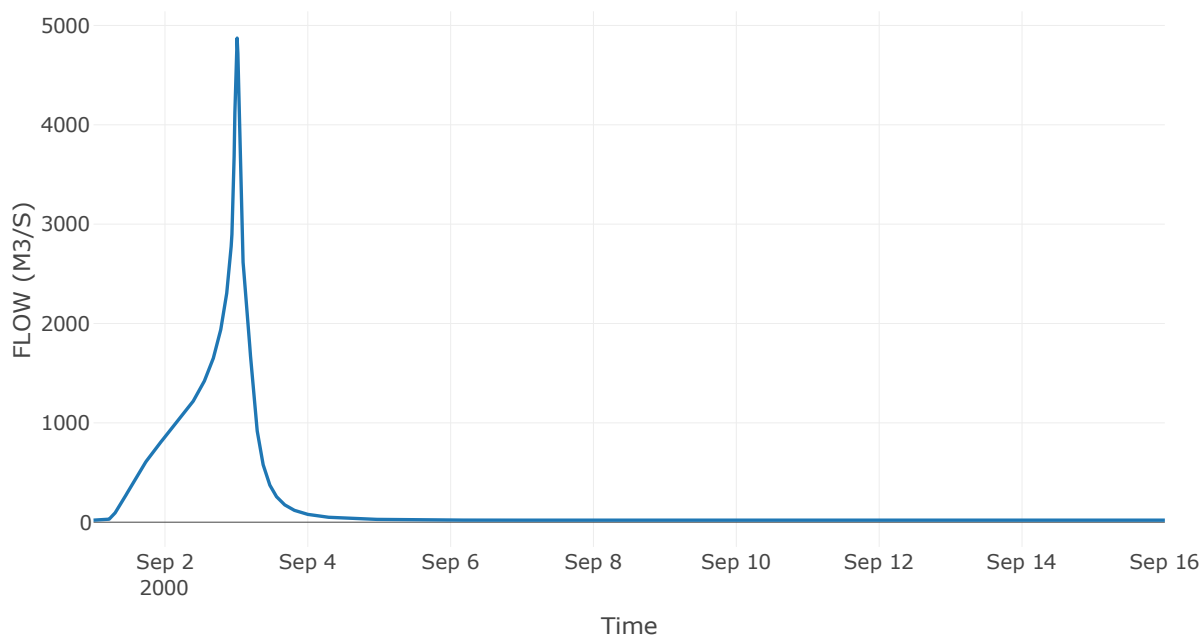
Κόμβος: J10

Κατάντη : R109

Αποτελέσματα: J10

| | |
|-----------------------|------------------|
| Παροχή Αιχμής(M3/S) | 4872.77 |
| Χρονική στιγμή αιχμής | 03Sep2000, 00:15 |
| Όγκος(MM) | 439.31 |

Απορροή



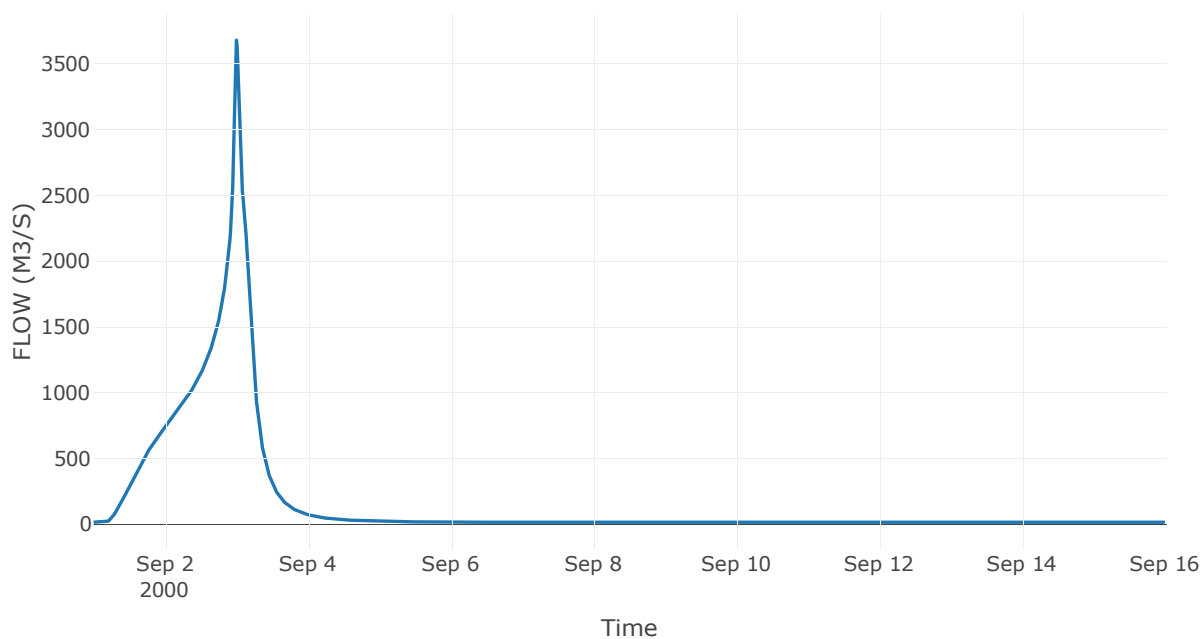
Κόμβος: J11

Κατάντη : R1110

Αποτελέσματα: J11

| | |
|-----------------------|------------------|
| Παροχή Αιχμής(M3/S) | 3679.37 |
| Χρονική στιγμή αιχμής | 02Sep2000, 24:00 |
| Όγκος(MM) | 444.27 |

Απορροή



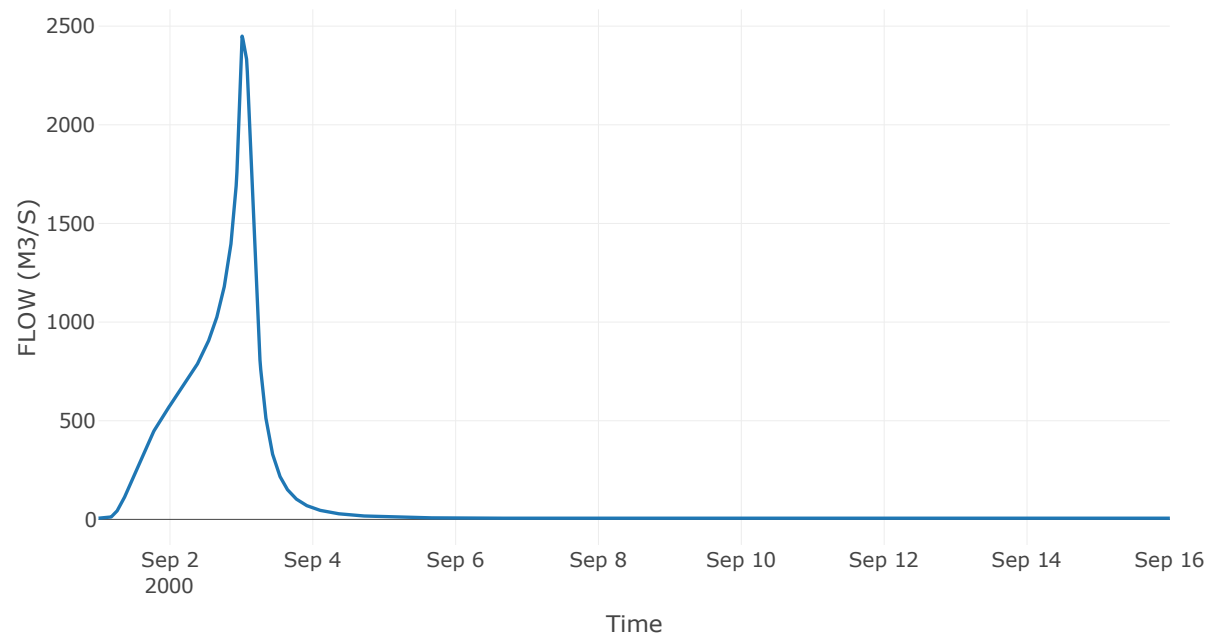
Κόμβος: J12

Κατάντη : R1211

Αποτελέσματα: J12

| | |
|-----------------------|------------------|
| Παροχή Αιχμής(M3/S) | 2449.46 |
| Χρονική στιγμή αιχμής | 03Sep2000, 00:15 |
| Όγκος(MM) | 437.83 |

Απορροή



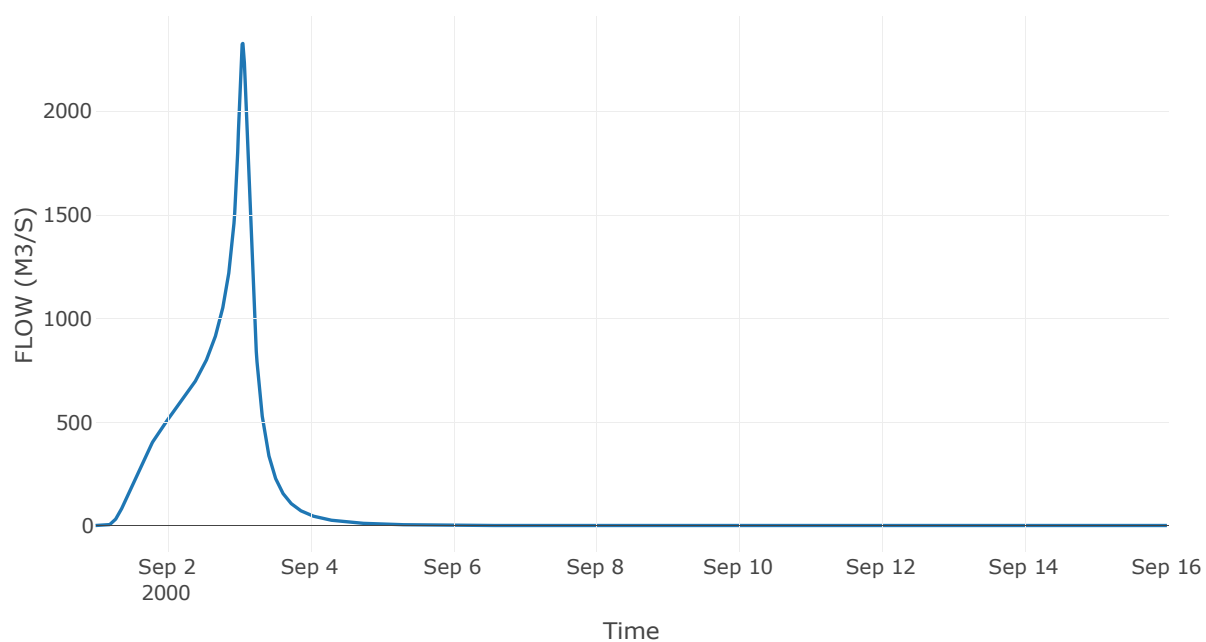
Ταμιευτήρας: J13_RES1

Κατάντη : R1312

Αποτελέσματα: J13_RES1

| | |
|------------------------------|------------------|
| Παροχή Αιχμής(M3/S) | 2327.12 |
| Χρονική στιγμή αιχμής | 03Sep2000, 01:30 |
| Όγκος(MM) | 427.24 |
| Παροχή Αιχμής Εισόδου (M3/S) | 3793.99 |
| Time of Peak Inflow | 03Sep2000, 00:15 |
| Όγκος Εισροής (M3) | 1.48E8 |
| Maximum Storage (M3) | 1.89E8 |
| Peak Elevation (M) | 514.15 |
| Discharge Όγκος(M3) | 1.5E8 |

Απορροή



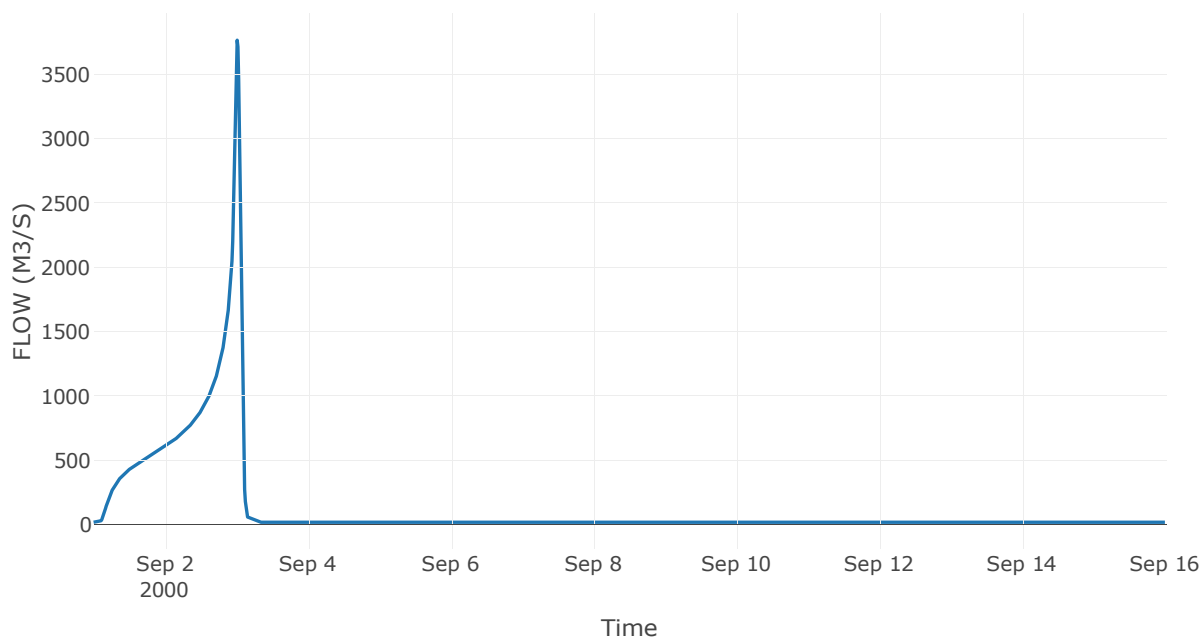
Κόμβος: J14

Κατάντη : R1413

Αποτελέσματα: J14

| | |
|-----------------------|------------------|
| Παροχή Αιχμής(M3/S) | 3765.35 |
| Χρονική στιγμή αιχμής | 03Sep2000, 00:15 |
| Όγκος(MM) | 504.88 |

Απορροή



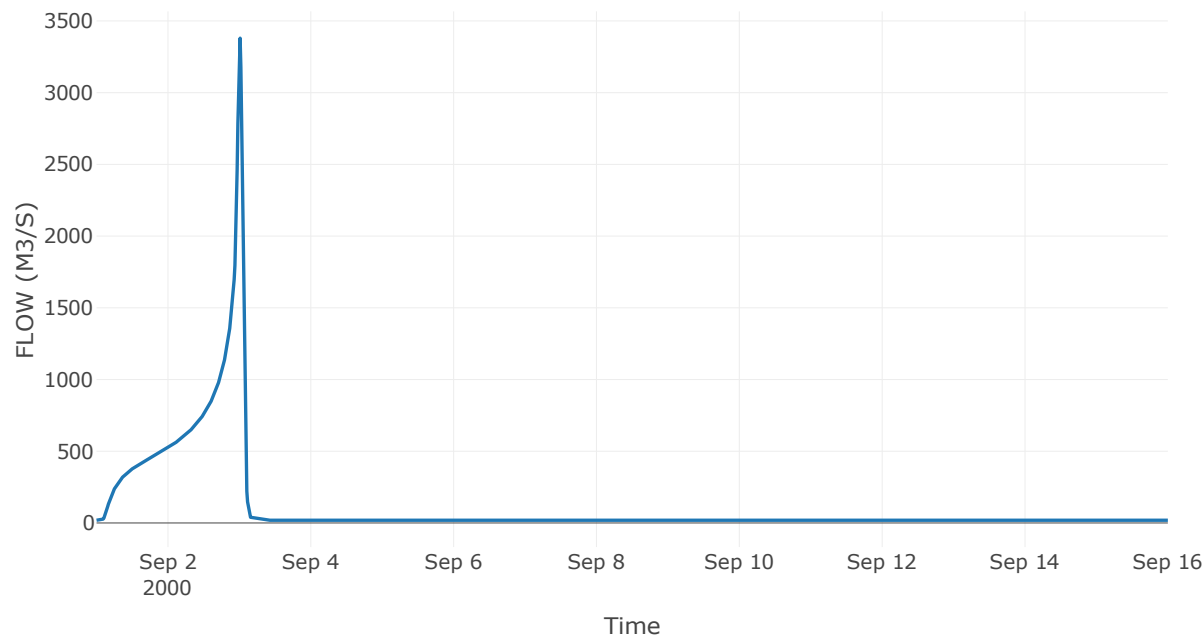
Κόμβος: J15

Κατάντη : R1514

Αποτελέσματα: J15

| | |
|-----------------------|------------------|
| Παροχή Αιχμής(M3/S) | 3380.03 |
| Χρονική στιγμή αιχμής | 03Sep2000, 00:15 |
| Όγκος(MM) | 504.81 |

Απορροή



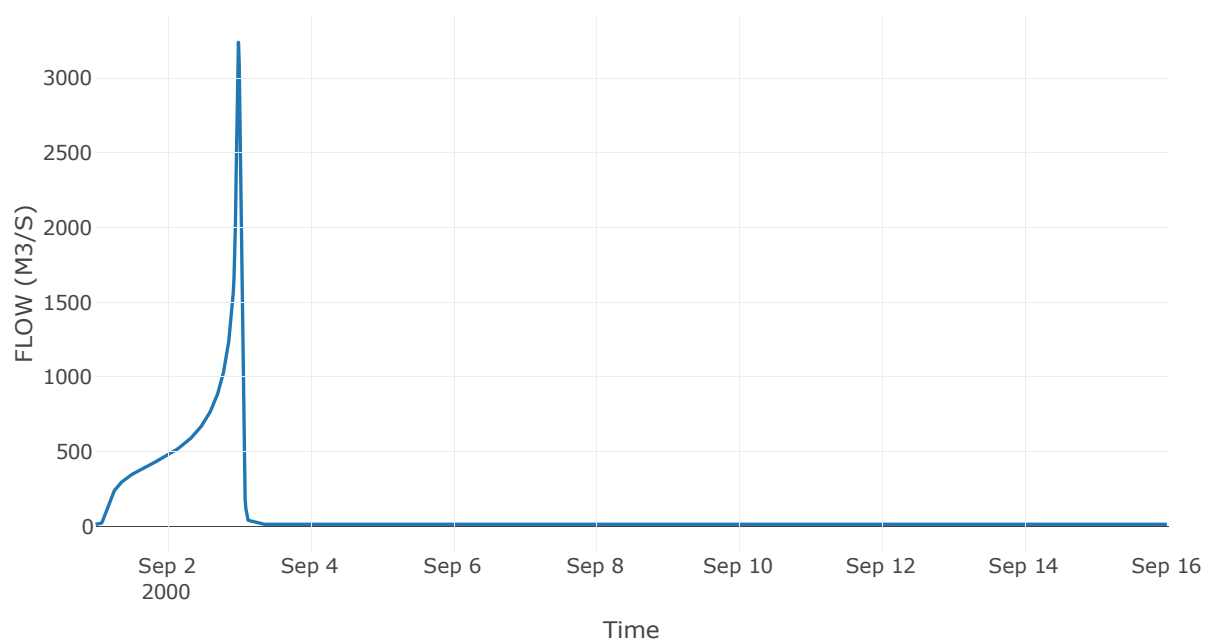
Κόμβος: J16

Κατάντη : R1615

Αποτελέσματα: J16

| | |
|-----------------------|------------------|
| Παροχή Αιχμής(M3/S) | 3240.45 |
| Χρονική στιγμή αιχμής | 02Sep2000, 24:00 |
| Όγκος(MM) | 507.83 |

Απορροή



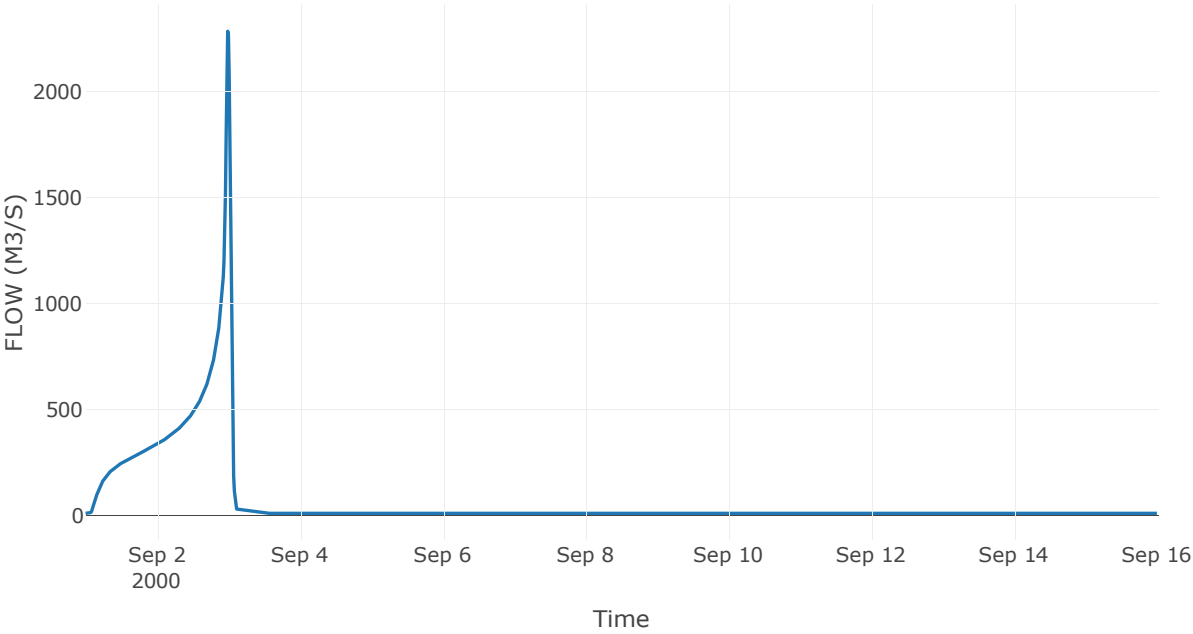
Κόμβος: J17

Κατάντη : R1716

Αποτελέσματα: J17

| | |
|-----------------------|------------------|
| Παροχή Αιχμής(M3/S) | 2284.48 |
| Χρονική στιγμή αιχμής | 02Sep2000, 23:45 |
| Όγκος(MM) | 511.42 |

Απορροή



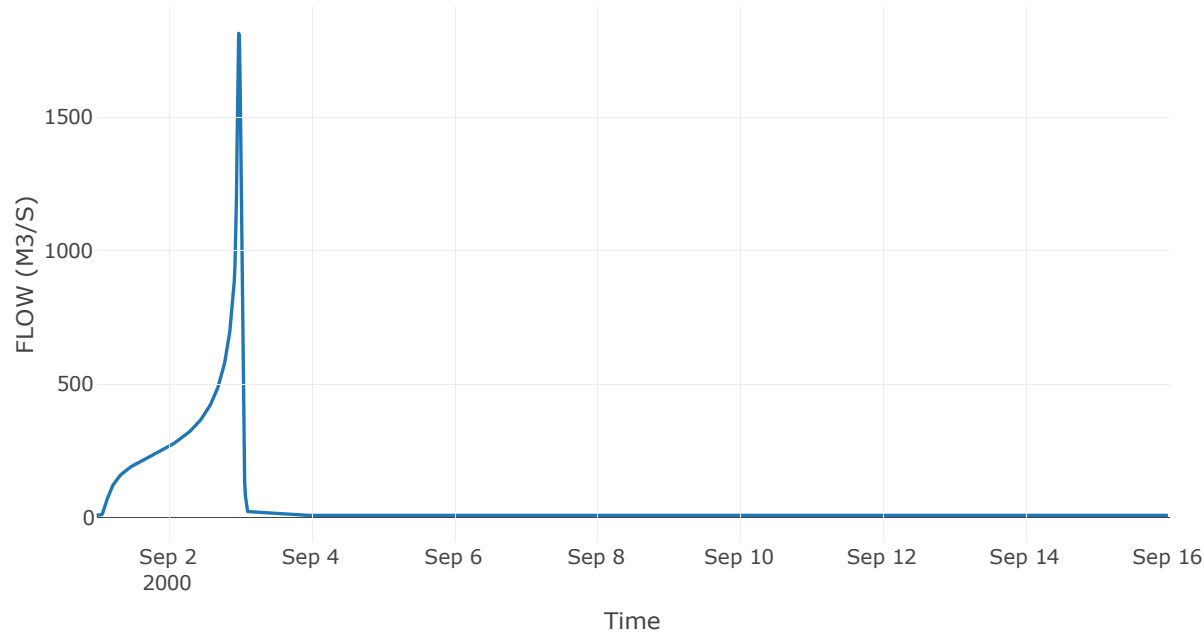
Κόμβος: J18

Κατάντη : R1817

Αποτελέσματα: J18

| | |
|-----------------------|------------------|
| Παροχή Αιχμής(M3/S) | 1814.94 |
| Χρονική στιγμή αιχμής | 02Sep2000, 23:45 |
| Όγκος(MM) | 510.58 |

Απορροή



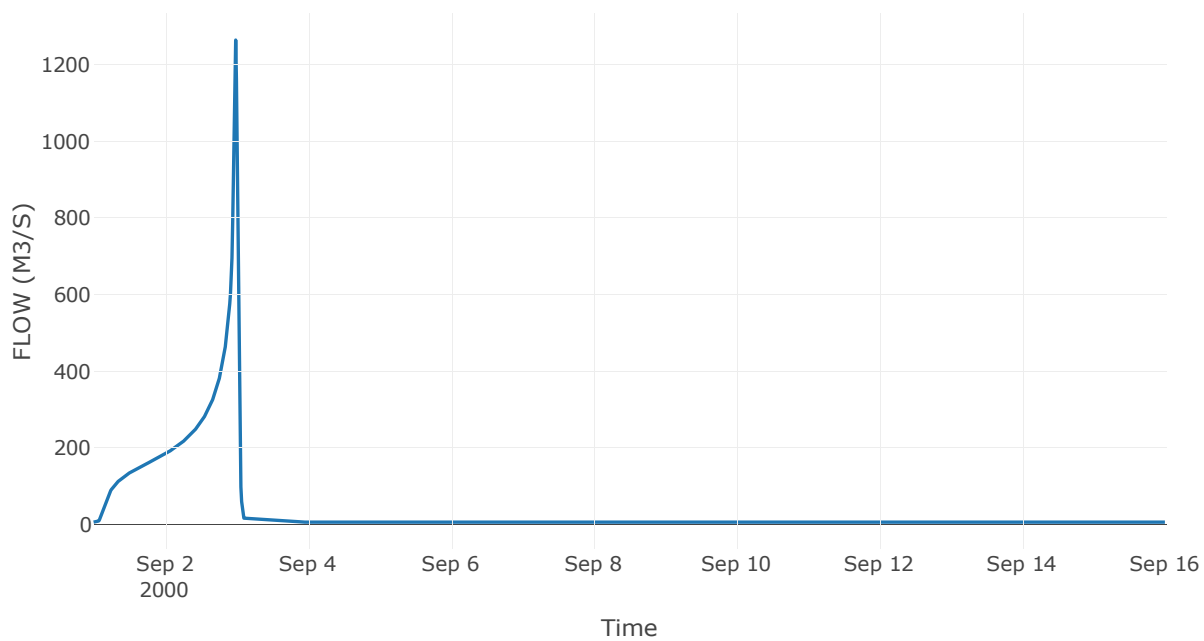
Κόμβος: J19

Κατάντη : R1918

Αποτελέσματα: J19

| | |
|-----------------------|------------------|
| Παροχή Αιχμής(M3/S) | 1264.49 |
| Χρονική στιγμή αιχμής | 02Sep2000, 23:45 |
| Όγκος(MM) | 512.52 |

Απορροή



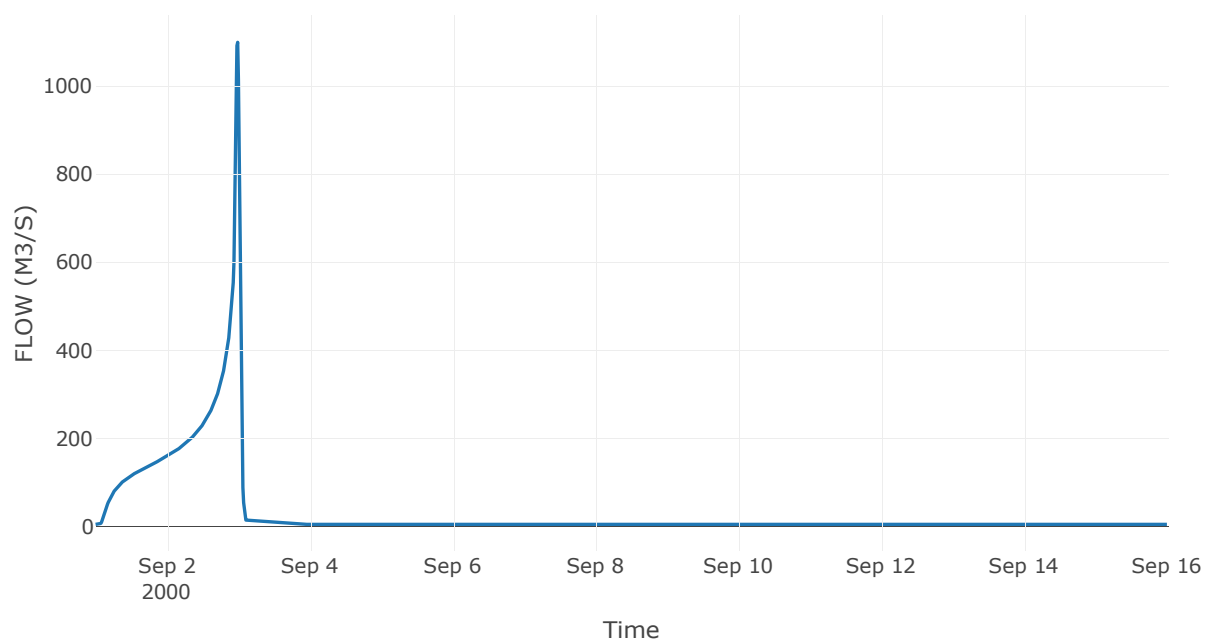
Κόμβος: J20

Κατάντη : R2019

Αποτελέσματα: J20

| | |
|-----------------------|------------------|
| Παροχή Αιχμής(M3/S) | 1099.92 |
| Χρονική στιγμή αιχμής | 02Sep2000, 23:45 |
| Όγκος(MM) | 513.75 |

Απορροή



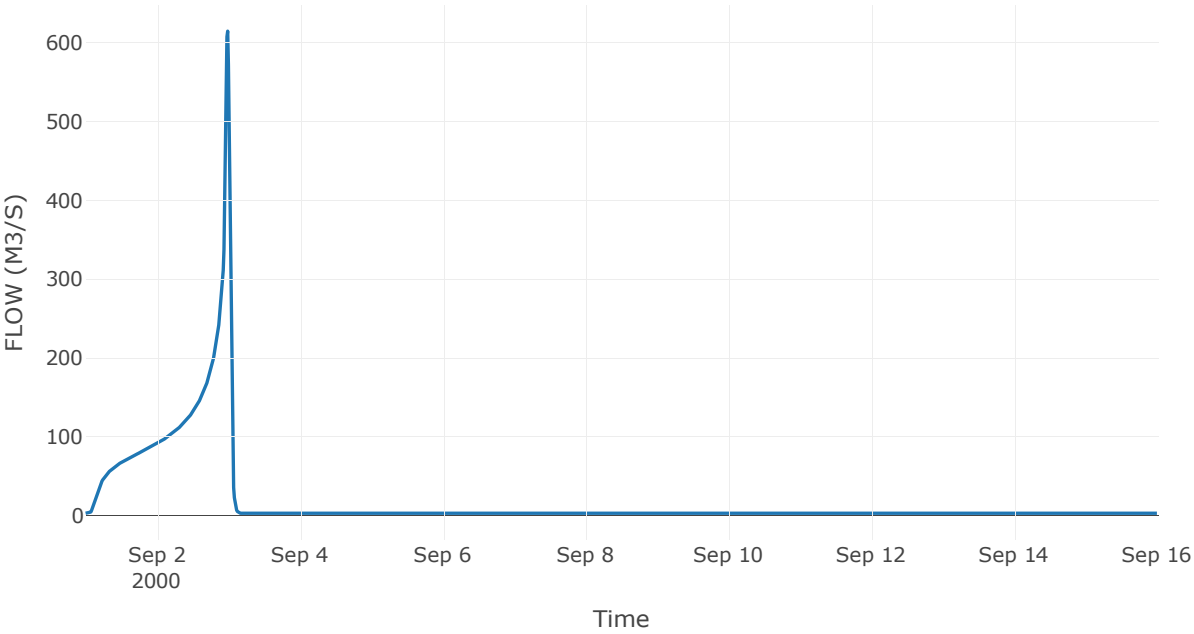
Κόμβος: J21

Κατάντη : R2120

Αποτελέσματα: J21

| | |
|-----------------------|------------------|
| Παροχή Αιχμής(M3/S) | 614.47 |
| Χρονική στιγμή αιχμής | 02Sep2000, 23:45 |
| Όγκος(MM) | 522.18 |

Απορροή



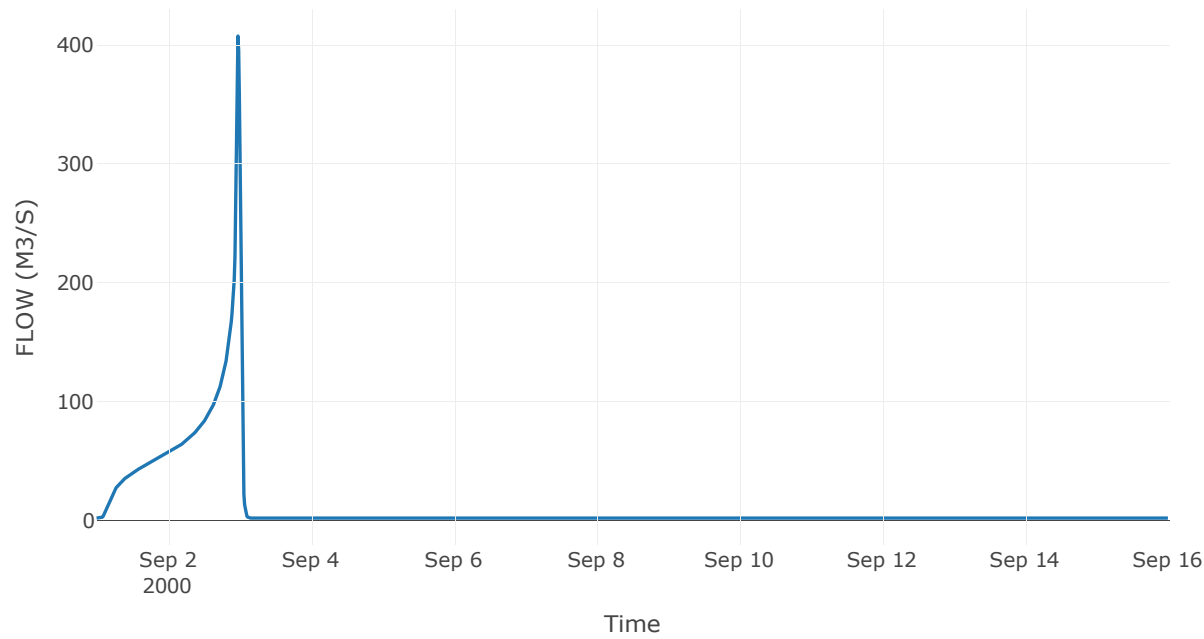
Κόμβος: J22

Κατάντη : R2220

Αποτελέσματα: J22

| | |
|-----------------------|------------------|
| Παροχή Αιχμής(M3/S) | 407.42 |
| Χρονική στιγμή αιχμής | 02Sep2000, 23:30 |
| Όγκος(MM) | 501.76 |

Απορροή



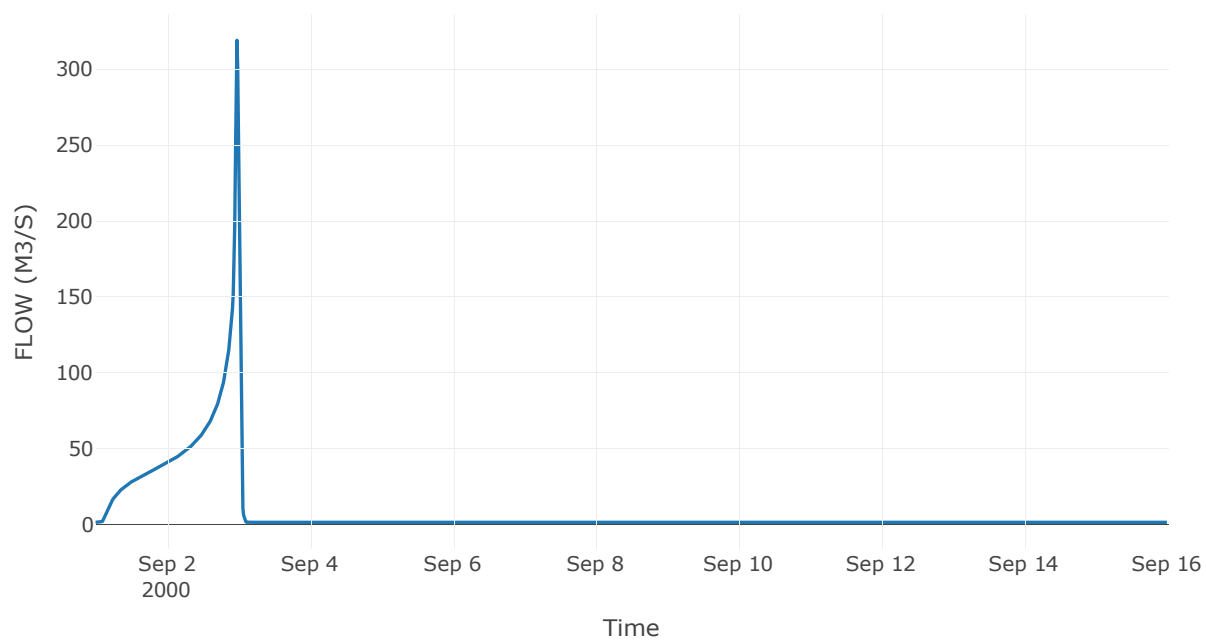
Κόμβος: J23

Κατάντη : R2314

Αποτελέσματα: J23

| | |
|-----------------------|------------------|
| Παροχή Αιχμής(M3/S) | 319.23 |
| Χρονική στιγμή αιχμής | 02Sep2000, 23:30 |
| Όγκος(MM) | 517.12 |

Απορροή



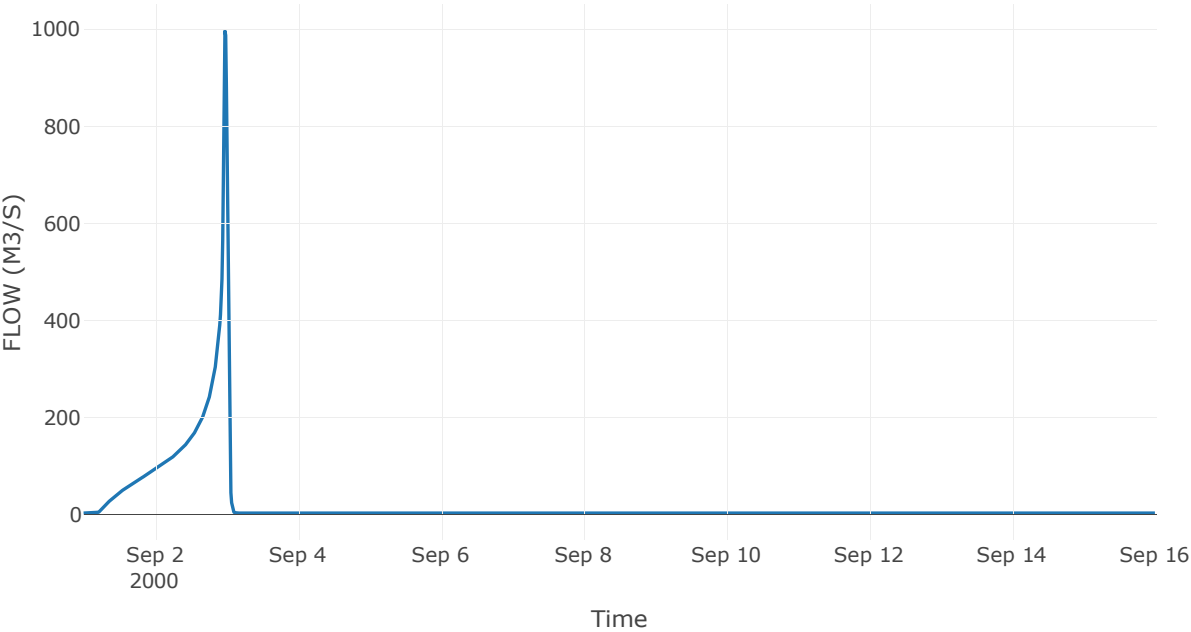
Κόμβος: J24

Κατάντη : R2411

Αποτελέσματα: J24

| | |
|-----------------------|------------------|
| Παροχή Αιχμής(M3/S) | 996.23 |
| Χρονική στιγμή αιχμής | 02Sep2000, 23:30 |
| Όγκος(MM) | 469.61 |

Απορροή



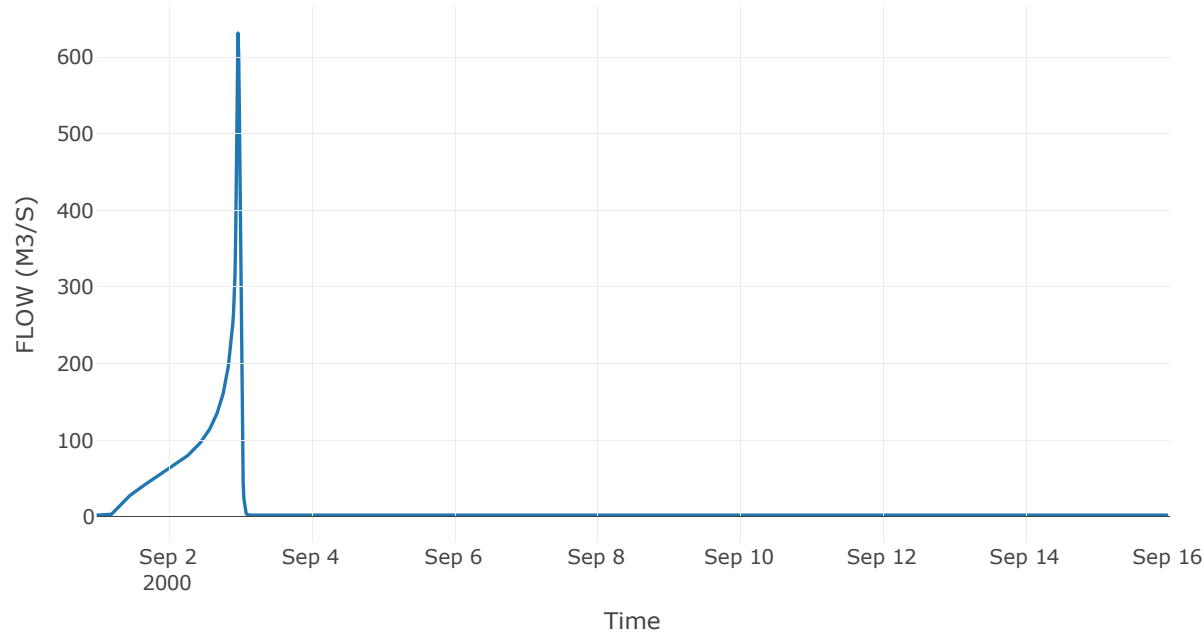
Κόμβος: J25

Κατάντη : R2524

Αποτελέσματα: J25

| | |
|-----------------------|------------------|
| Παροχή Αιχμής(M3/S) | 631.39 |
| Χρονική στιγμή αιχμής | 02Sep2000, 23:30 |
| Όγκος(MM) | 480.26 |

Απορροή



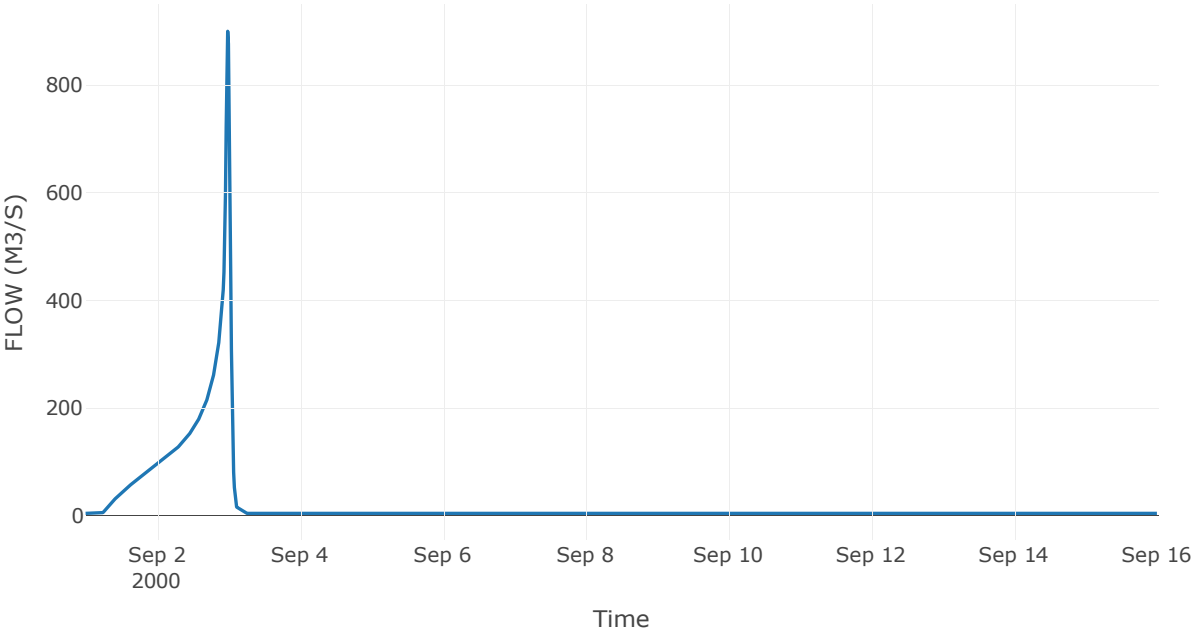
Κόμβος: J26

Κατάντη : R2610

Αποτελέσματα: J26

| | |
|-----------------------|------------------|
| Παροχή Αιχμής(M3/S) | 900.52 |
| Χρονική στιγμή αιχμής | 02Sep2000, 23:45 |
| Όγκος(MM) | 419.13 |

Απορροή



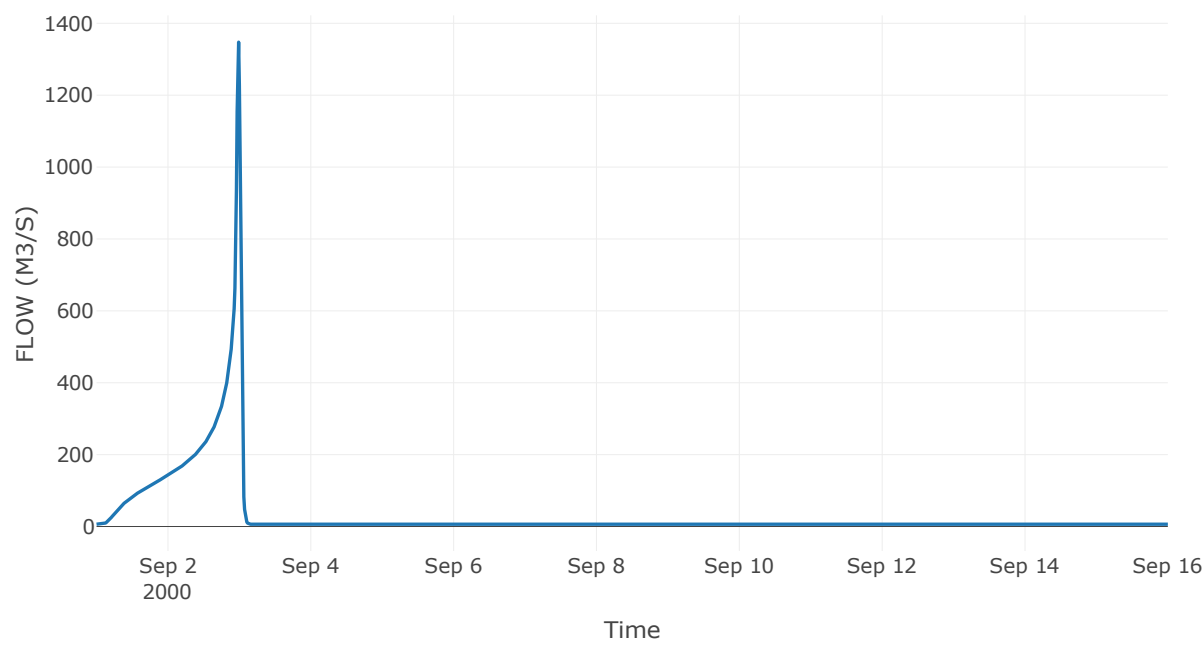
Κόμβος: J27

Κατάντη : R278

Αποτελέσματα: J27

| | |
|-----------------------|------------------|
| Παροχή Αιχμής(M3/S) | 1347.64 |
| Χρονική στιγμή αιχμής | 02Sep2000, 23:45 |
| Όγκος(MM) | 444.94 |

Απορροή



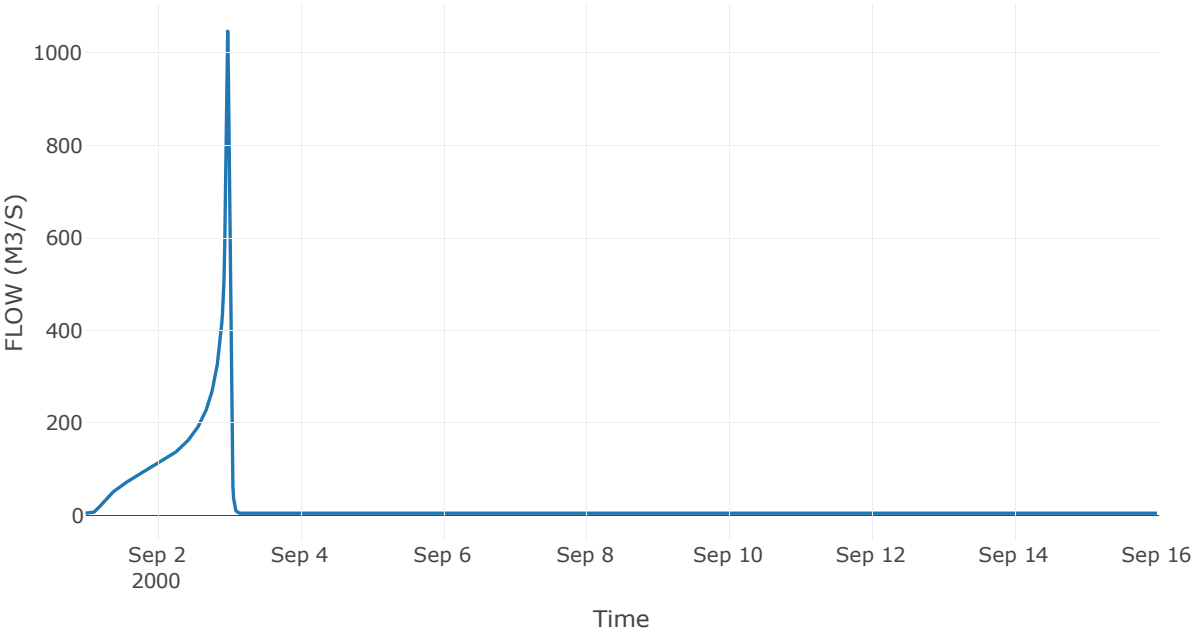
Κόμβος: J28

Κατάντη : R2827

Αποτελέσματα: J28

| | |
|-----------------------|------------------|
| Παροχή Αιχμής(M3/S) | 1046.97 |
| Χρονική στιγμή αιχμής | 02Sep2000, 23:45 |
| Όγκος(MM) | 446.13 |

Απορροή



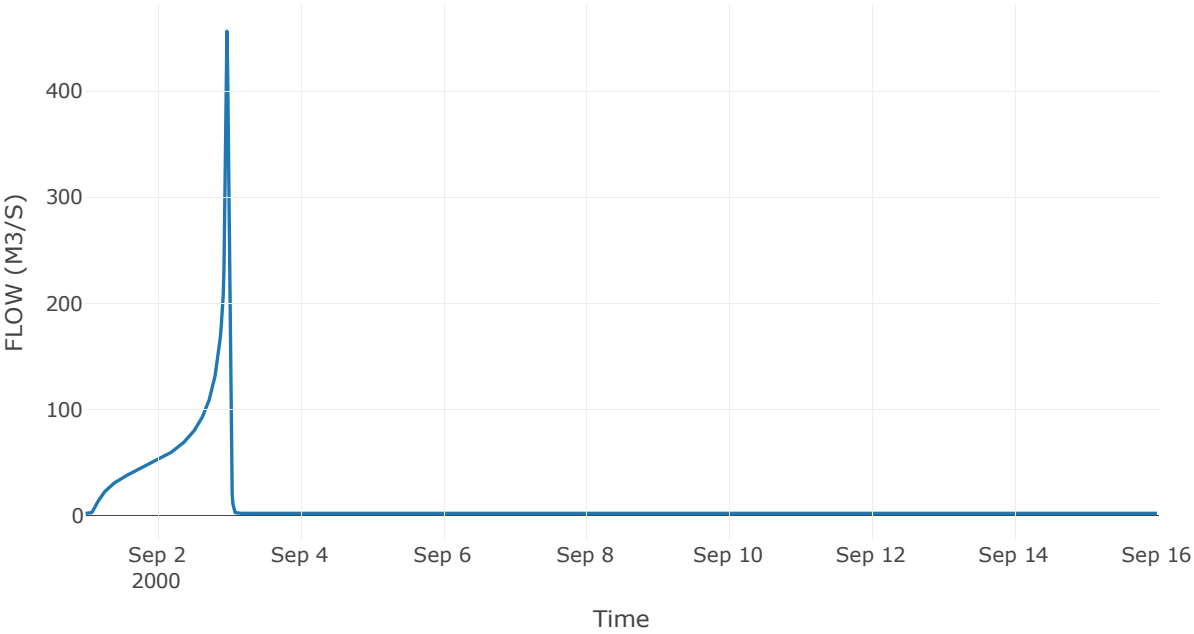
Κόμβος: J29

Κατάντη : R2928

Αποτελέσματα: J29

| | |
|-----------------------|------------------|
| Παροχή Αιχμής(M3/S) | 456.69 |
| Χρονική στιγμή αιχμής | 02Sep2000, 23:30 |
| Όγκος(MM) | 466.59 |

Απορροή



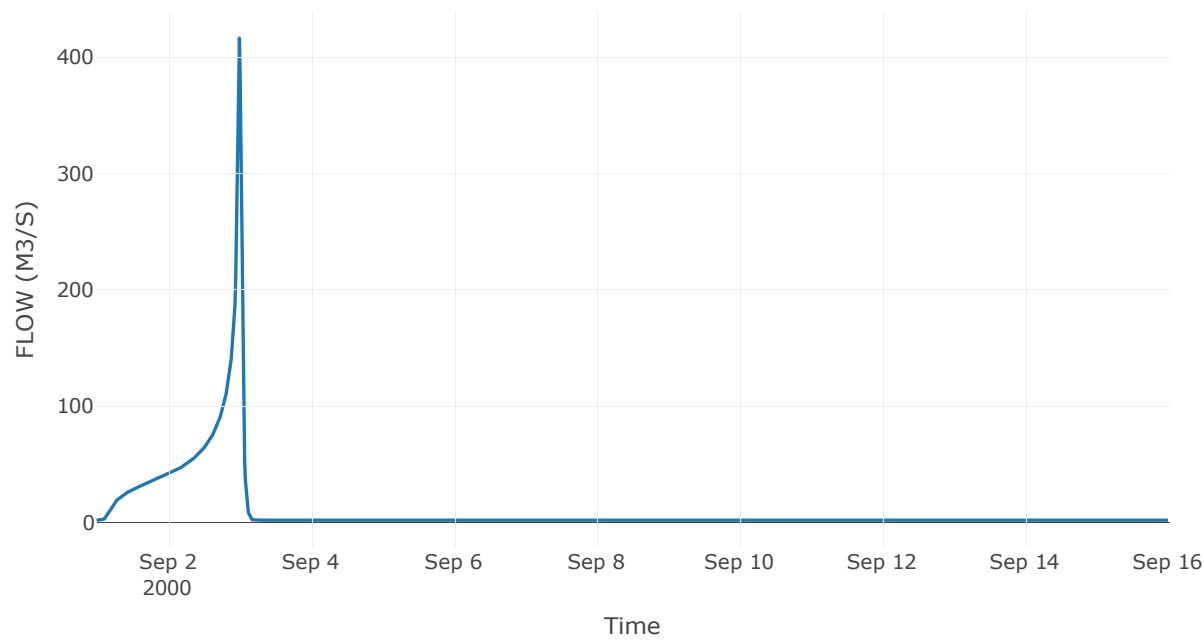
Κόμβος: J30

Κατάντη : R302

Αποτελέσματα: J30

| | |
|-----------------------|------------------|
| Παροχή Αιχμής(M3/S) | 416.34 |
| Χρονική στιγμή αιχμής | 02Sep2000, 24:00 |
| Όγκος(MM) | 449.16 |

Απορροή



Κόμβος εξόδου: Κόμβος εξόδου-1

Αποτελέσματα: Κόμβος εξόδου-1

| | |
|-----------------------|------------------|
| Παροχή Αιχμής(M3/S) | 27 |
| Χρονική στιγμή αιχμής | 01Sep2000, 02:00 |

Απορροή

